

МАССОВАЯ
РАДИО
БИБЛИОТЕКА

ВЫПУСК 940

**СПРАВОЧНИК
РАДИОЛЮБИТЕЛЯ
КОНСТРУКТОРА**

ИЗДАНИЕ ВТОРОЕ, ПЕРЕРАБОТАННОЕ
И ДОПОЛНЕННОЕ



МОСКВА «ЭНЕРГИЯ» 1977



Scan AAW

РЕДАКЦИОННАЯ КОЛЛЕГИЯ:

Берг А. И., Белкин Б. Г., Борисов В. Г., Бурлянд В. А.¹, Ванин В. И., Геништа Е. Н., Гороховский А. В., Демьянов И. А., Ельяшкевич С. А., Жеребцов И. П., Корольков В. Г., Смирнов А. Д., Тарасов Ф. И., Чистяков Н. И., Шамшур В. И.

Составитель *Роман Михайлович Малинин*

СПРАВОЧНИК

РАДИОЛЮБИТЕЛЯ-КОНСТРУКТОРА

Редакторы издательства *Г. Н. Астафуров, Т. В. Жукова*

Переплет художника *А. А. Иванова*

Технические редакторы *Г. Г. Самсонова, Л. В. Иванова*

Корректор *И. А. Володьева*

ИБ № 1392

Сдано в набор 6/III 1976 г. Подписано к печати 10/VI 1977 г. Т-08485. Формат 60×90^{1/16}. Бумага типографская № 3. Усл. печ. л. 47. Уч.-изд. л. 60,57. Тираж 200 000 экз. (1-й завод 1—100 000 экз.). Зак. 949. Цена 4 р. 70 к.

Издательство «Энергия», Москва, М-114, Шлюзовая наб., 10.

Ордена Трудового Красного Знамени Ленинградское производственно-техническое объединение «Печатный Двор» имени А. М. Горького Союзполиграфпрома при Государственном комитете Совета Министров СССР по делам издательств, полиграфии и книжной торговли, 197136, Ленинград, П-136, Гатчинская ул., 26.

С74 Справочник радиолюбителя-конструктора. Изд. 2-е, перераб. и доп. М., «Энергия», 1977.

752 с. с ил. (Массовая радиобиблиотека. Вып. 940)

На обороте тит. л. сост.: Р. М. Малинин.

Справочник содержит рекомендации по выбору схем, конструированию, монтажу и налаживанию радиоприемников, телевизоров, магнитофонов и любительских КВ и УКВ передатчиков. Приведены справочные данные по электровакуумным полупроводниковым приборам, интегральным микросхемам и другим радиодеталям, используемым радиолюбителями в своих конструкциях.

Первое издание справочника вышло в 1973 г.

Справочник предназначен для радиолюбителей, достаточно хорошо знакомых с основами электротехники и радиоэлектроники, имеющих опыт монтажа аппаратуры по готовым схемам и описаниям и приступающих к самостоятельной творческой конструкторской работе.

С $\frac{30404-295}{051(01)-77}$ 194-76

6Ф2.9

СОДЕРЖАНИЕ

Предисловие	4
Обозначения и сокращения, принятые в справочнике . . .	6
<i>Раздел 1. Резонансные цепи</i>	<i>36</i>
<i>Раздел 2. Радиовещательный прием</i>	<i>51</i>
<i>Раздел 3. Телевизионный прием</i>	<i>146</i>
<i>Раздел 4. Электроакустическое звуковоспроизведение</i>	<i>276</i>
<i>Раздел 5. Магнитная звукозапись</i>	<i>330</i>
<i>Раздел 6. Магнитная видеозапись</i>	<i>359</i>
<i>Раздел 7. Аппаратура для любительской радиосвязи . . .</i>	<i>391</i>
<i>Раздел 8. Элементы систем автоматического управления</i>	<i>417</i>
<i>Раздел 9. Электропитание РЭА</i>	<i>444</i>
<i>Раздел 10. Измерительные приборы и радиолюбительские измерения</i>	<i>472</i>
<i>Раздел 11. Основы конструирования и монтаж РЭА . . .</i>	<i>513</i>
<i>Раздел 12. Компоненты и элементы РЭА</i>	<i>544</i>
<i>Раздел 13. Антенны</i>	<i>715</i>

ПРЕДИСЛОВИЕ

Радиолубительство начинается с изучения основ радиотехники и сборки несложной радиоаппаратуры по готовым схемам и описаниям с помощью популярной научно-технической литературы. По мере накопления знаний и опыта в монтаже простой аппаратуры радиолубителям становятся доступными для изготовления более сложные устройства.

Углубив знания в области радиоэлектроники и хорошо освоив технику монтажа, радиолубители переходят на более высокую ступень творческой деятельности: создают собственные конструкции радиоэлектронной аппаратуры. Сконструированные радиолубителями устройства зачастую превосходят по качественным показателям аналогичные по назначению устройства промышленного производства, нередко отличаются оригинальностью схемных и конструктивных решений, а также внешнего оформления.

Из среды радиолубителей вышли известные ученые и специалисты, для многих молодых людей радиоэлектроника стала основной профессией.

На одному поколению советских радиолубителей оказывали необходимую помощь в учебе и в творческой работе школьные радиокружки, Дворцы и Дома пионеров и школьников, станции юных техников, самостоятельные радиокружки и радиоклубы на предприятиях и в учебных заведениях, радиоклубы ДОСААФ, журнал «Радио», книги и брошюры Массовой радиобиблиотеки.

Эта книга предназначена для радиолубителей, достаточно хорошо знакомых с основами электротехники, электроники и радиотехники, имеющих опыт в монтаже аппаратуры по готовым схемам и описаниям, приступающих к самостоятельному конструированию. В связи с этим в «Справочнике радиолубителя-конструктора» не даются описания физических процессов, лежащих в основе радиоэлектроники, не поясняются принципы действия аппаратуры, поскольку все эти сведения имеются в выпускаемых издательством «Энергия» учебниках для радиолубителей и в другой научно-популярной литературе по электротехнике и радиотехнике.

Большой авторский коллектив, в состав которого входят известные специалисты-популяризаторы, постарался дать в этом справочнике возможно больший объем сведений, которые могут непосредственно понадобиться радиолубителю-конструктору в его практической работе.

Во второе издание справочника введены новые разделы: «Магнитная видеозапись», «Элементы систем автоматического управления» и сведения об интегральных микросхемах. Заново написан Р. Г. Варламовым раздел «Основы конструирования и монтаж радиолубительской аппаратуры». Другие разделы справочника подвергались переработке с учетом развития за последние годы радиотехники и электроники и возросших интересов радиолубителей-конструкторов.

Чтобы ориентировать радиолубителей-конструкторов на создание аппаратуры, соответствующей современному уровню техники, в соответствующих разделах справочника приводятся установленные Государственными стандартами СССР качественные показатели бытовой радиоэлектронной аппаратуры (радиовещательные приемники, телевизоры, магнитофоны, электрофоны).

Обозначения единиц физических величин в справочнике соответствуют Международной системе единиц СИ, а схемы, чертежи и другой иллюстрационный материал выполнены с учетом Единой системы конструкторской документации СССР (ЕСКД). В связи с тем что за истекшие годы некоторые ГОСТ на графические обозначения в электрических схемах изменены, во вводной части справоч-

ника даны таблицы, позволяющие читателям сравнивать применяемые в книге новые начертания элементов схем с прежними, привычными для радиолюбителей.

В разделе «Компоненты и материалы радиолюбительской аппаратуры» приведены сведения только о тех полупроводниковых приборах, электронных лампах, кинескопах и других радиодеталях, которые перспективны для применения в радиолюбительских конструкциях.

Материалы для справочника подготовил авторский коллектив в составе: Н. М. Борисов (разд. 8), Р. Г. Варламов (разд. 11), М. Д. Ганзбург (§ 5-2), Е. Б. Гумеля (разд. 2), Г. Н. Джунковский и Л. С. Лаповок (разд. 7), Ю. А. Иидлин (§ 4-3—4-5), Л. М. Капчинский (разд. 13), В. Г. Корольков (§ 4-6, 5-1, 5-3—5-7), Л. Г. Лишин (разд. 6), Б. Н. Лозицкий (разд. 10), Р. М. Малинин (разд. 1 и 9, § 4-1, 4-2, 12-1—12-7, 12-15), С. К. Сотников (разд. 3), В. А. Терехов (§ 12-8—12-11), А. Я. Толкачева (§ 12-12—12-14).

Большую работу по составлению материалов для справочника провел Р. М. Малинин. Общее редактирование справочника осуществил член редакционной коллегии Массовой радиобиблиотеки Н. И. Чистяков.

По согласованию с техническим управлением Госстандарта СССР редакция произвела некоторую унификацию индексов обозначений параметров полупроводниковых приборов — в индексах использованы только сокращения русских слов, а части индексов отделены точкой. Например, параметр „максимально допустимый постоянный прямой ток диода" обозначается в книге $U_{обр. макс}$ (рекомендуемое ГОСТ обозначение $U_{обр. max}$).

Редакционная коллегия Массовой радиобиблиотеки и коллектив авторов будут благодарны читателям за отзывы и замечания по настоящему справочнику, которые просим присылать по адресу: 113114, Москва, М-114, Шлюзовая наб., 10, издательство «Энергия», редакция Массовой радиобиблиотеки.

*Е. Н. ГЕНИШТА,
Лауреат Ленинской и Государственных премий СССР,
член редколлегии Массовой радиобиблиотеки*

ОБОЗНАЧЕНИЯ И СОКРАЩЕНИЯ, ПРИНЯТЫЕ В СПРАВОЧНИКЕ

Сокращенные обозначения единиц физических величин

- А — ампер — единица силы электрического тока.
А·ч — ампер-час — единица количества электричества; емкости гальванического, аккумуляторного элемента, батареи.
В — вольт — единица электрического напряжения.
В·А — вольтампер — единица полной электрической мощности.
вар — единица реактивной мощности.
Вб — вебер — единица магнитного потока.
Вт — ватт — единица электрической мощности.
г. — год.
г — грамм — единица массы.
Г — генри — единица индуктивности и взаимной индуктивности.
ГГц — гигагерц (1 млрд. Гц = 1000 МГц).
Гс — гаусс — единица магнитной индукции (1 Гс = 10^{-4} Т).
Гц — герц — единица частоты.
дБ — децибел — логарифмическая единица относительного уровня электрического или акустического сигнала.
К — кулон — единица количества электричества, электрического заряда.
кВ — киловольт (1000 В).
кВт — киловатт (1000 Вт).
кВт·ч — киловатт-час — единица электрической энергии (1000 Вт·ч).
кг — килограмм.
кГц — килогерц (1000 Гц).
кд — кандела (старое название: свеча) — единица силы света.
кд/м² — кандела на квадратный метр — единица яркости.
км — километр.
кОм — килоом (1000 Ом).
л — литр.
м — метр.
м/с — метр в секунду — единица скорости.
мА — миллиампер (0,001 А).
мВ — милливольт (0,001 В).
мВ/м — милливольт на метр — единица напряженности электрического поля.
мВт — милливатт (0,001 Вт).
мГ — миллигенри (0,001 Г).
МГц — мегагерц (1 млн. Гц).
мес — месяц.
мин — минута.
мкм — микрометр («микрон», 0,001 мм).
мкА — микроампер (0,001 мА).
мкВ — микровольт (0,001 мВ).
мкВ/м — микровольт на метр — единица напряженности электрического поля.
мкВт — микроватт (0,001 Вт).
мкГ — микрогенри (0,001 Г).
Макс — максвелл — единица магнитного потока.

- мкс — микросекунда (одна миллионная доля секунды).
 мксм — микросименс (одна миллионная сименса).
 мкФ — микрофарада (одна миллионная доля фарады).
 мм — миллиметр.
 МОм — мегаом (1 млн. Ом).
 Н — ньютон — единица силы.
 нс — наносекунда (0,001 мкс).
 нФ — нанофарада (1000 пФ = 0,001 мкФ).
 Ом — единица электрического сопротивления.
 Па — паскаль — ньютон на квадратный метр (единица давления).
 пФ — пикофарада (одна миллионная доля микрофарады).
 с — секунда.
 См — сименс — единица электрической проводимости.
 см — сантиметр.
 см/с — сантиметр в секунду — единица скорости.
 Т — тесла — единица магнитной индукции.
 ч — час.
 Ф — фарада — единица электрической емкости.
 эВ — электронвольт — единица электромагнитной энергии.
 °С — градус Цельсия — температура, разность температур.
 Э — эрстед — единица напряженности магнитного поля.

Сокращения терминов, аббревиатуры

- АМ — амплитудная модуляция; амплитудно-модулированный.
 АПЧ — автоматическая подстройка частоты.
 АПЧГ — автоматическая подстройка частоты гетеродина.
 АПЧ и Ф — автоматическая подстройка частоты и фазы (генератора строчной развертки телевизора).
 АРУ — автоматическое регулирование усиления; автоматический регулятор усиления.
 АРЯ — автоматическое регулирование яркости изображения на экране телевизора.
 АЧХ — амплитудно-частотная характеристика.
 БВГ — блок вращающихся головок видеомagnetофона.
 ВС — видеосигнал.
 ВЧ — высокая частота; высокочастотный.
 ГИР — гетеродинный индикатор резонанса.
 ГОСТ — Государственный стандарт СССР.
 ДВ — длинные волны; длинноволновый.
 ДМВ — дециметровые волны.
 ЗЧ — звуковые частоты.
 КВ — короткие волны; коротковолновый.
 к. б. в. — коэффициент бегущей волны.
 к. н. д. — коэффициент направленного действия антенны.
 КПЕ — конденсатор переменной емкости.
 к. п. д. — коэффициент полезного действия.
 ЛПМ — лентопротяжный механизм магнитофона, видеомagnetофона.
 МВ — метровые волны.
 млн. — миллион.
 млрд. — миллиард.
 МС — интегральная микросхема.
 МСЭ — Международный союз электросвязи.
 МЭК — Международный электротехнический комитет.
 НЧ — низкая частота; низкочастотный.
 ОБ — общая база.
 ОК — общий коллектор.

- ООС — отрицательная обратная связь.
 ОСЧ — обратная связь по частоте.
 ОЭ — общий эмиттер.
 ПДУ — пульт дистанционного управления
 ПТК — переключатель телевизионных сигналов.
 ПЧ — промежуточная частота.
 ПЧЗ — промежуточная частота звукового сопровождения телевизионной программы.
 ПЧИ — промежуточная частота изображения.
 РВ — радиовещание; радиовещательный.
 РЭА — радиоэлектронная аппаратура.
 САР — система автоматического регулирования.
 СВ — средние волны; средневолновый.
 СВЧ — сверхвысокая частота; сверхвысокочастотный.
 СМВ — сантиметровые волны.
 СЭВ — Совет Экономической Взаимопомощи социалистических стран.
 ТВ — телевидение; телевизионный.
 ТКЕ — температурный коэффициент емкости.
 ТКИ — температурный коэффициент индуктивности.
 ТКН — температурный коэффициент напряжения.
 ТКС — температурный коэффициент сопротивления.
 ТУ — технические условия.
 ТЦ — телевизионный центр.
 УВС — усилитель видеосигналов.
 УВЧ — усилитель высокой частоты; усиление высокой частоты.
 УКВ — ультракоротковолновый; ультракороткие волны.
 УЛЗ — ультразвуковая линия задержки.
 УНЧ — усилитель низкой частоты; усиление низкой частоты.
 УПТ — усилитель постоянного тока.
 УПЧ — усилитель промежуточной частоты; усиление промежуточной частоты.
 УПЧИ — усилитель промежуточной частоты изображения.
 УПЧЗ — усилитель промежуточной частоты звукового сопровождения.
 ФСС — фильтр сосредоточенной селекции.
 ФПЧ — фильтр промежуточной частоты.
 ЧМ — частотная модуляция; частотомодулированный.
 ЭВМ — электронная цифровая вычислительная машина.
 ЭДОС — электродинамическая обратная связь.
 Э. д. с. — электродвижущая сила.

Классификация волновых и частотных диапазонов

Диапазон сантиметровых волн — 1—10 см ($f = 30$ ГГц — 3 ГГц).

Диапазон дециметровых волн — 10—100 см ($f = 3$ ГГц — 300 МГц).

Диапазон метровых волн — 1—10 м ($f = 300$ МГц — 30 МГц).

Диапазон декаметровых волн — 10—100 м ($f = 30$ МГц — 3 МГц).

Диапазон гектаметровых волн — 100—1000 м ($f = 3$ МГц — 300 кГц).

Диапазон километровых волн — 1000—10 000 м ($f = 300$ кГц — 30 кГц).

УКВ радиовещательный и телевизионный диапазоны включают в себя полосы частот, выделенные из диапазонов метровых и сантиметровых волн.

Коротковолновые радиовещательные диапазоны волн являются частями диапазона декаметровых волн.

Средневолновый радиовещательный диапазон волн представляет собой полосу частот внутри диапазона гектаметровых волн (525 ÷ 1605 кГц).

Длинноволновый радиовещательный диапазон волн образуется полосами частот, выделенных из диапазонов гектаметровых и километровых волн (150 ÷ 408 кГц). Низкие частоты (НЧ) — 30 ÷ 300 кГц.

Высокие частоты (ВЧ) — 3 МГц — 30 МГц.








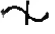



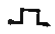
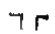




Очень высокие частоты (ОВЧ) — 30 МГц ÷ 300 МГц.

Ультравысокие частоты (УВЧ) — 300 МГц ÷ 3000 МГц.

Сверхвысокие частоты (СВЧ) — 3 ГГц ÷ 30 ГГц.

Обозначения на электрических схемах

Для обозначения видов токов, электрических сигналов, импульсов и полярности электрических напряжений применяют следующие символы:



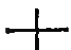

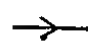

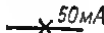
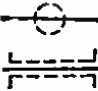
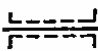





Постоянный ток	
Положительная полярность	
Отрицательная полярность	
Переменный ток, общее обозначение; ток частотой 50 Гц	
Ток (сигнал) НЧ	
Ток (сигнал) ВЧ	
Сигнал переменной частоты	
Сигнал, состоящий из несущей частоты с двумя боковыми полосами частот	
Сигнал, состоящий из несущей частоты и верхней боковой полосы частот	
Сигнал, состоящий из несущей частоты и нижней боковой полосы частот	
Сигнал, состоящий из одной боковой полосы частот (несущая частота подавлена)	
Прямоугольный импульс положительной полярности	
Прямоугольный импульс отрицательной полярности	
Остроугольный импульс положительной полярности	
Остроугольный импульс отрицательной полярности	
Пилообразный импульс положительной полярности	
Трапецеидальный импульс положительной полярности	

Графические условные обозначения проводов, кабелей, экранов, коммутационных устройств, резисторов и конденсаторов приведены в табл. 1, а полупроводниковых приборов — в табл. 2, причем в средних столбцах этих таблиц пред-







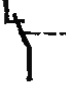








ставлены обозначения элементов РЭА, соответствующие Единой системе конструкторской документации СССР, а в крайних правых столбцах — некоторые нестандартные, но еще встречающиеся в литературе обозначения.

Таблица 1

Графические условные обозначения электрических проводов кабелей, экранов, коммутационных устройств, резисторов и конденсаторов

Наименование элемента	Обозначение по действующим ГОСТ	Другие обозначения
<i>Провода, кабели, экраны</i>		
Провод электрический		—
Ответвление от провода, соединение проводов		—
Провода пересекаются без электрического контакта между ними		—
Электрическая цепь продолжается за пределами схемы		—
Стрелка на проводе указывает направление распространения сигнала		—
Число около крестика на проводе указывает значение тока в данном его сечении, например, 50 мА		
Экранированный провод		—
Частично экранированный провод		—
Коаксиальный кабель		
Соединение с корпусом прибора РЭА		—
Соединение с землей		—
Экран элемента или группы элементов РЭА		—

Продолжение табл. 1

Наименование элемента	Обозначение по действующим ГОСТ	Другие обозначения
<i>Коммутационные устройства</i>		
Контакт коммутационного устройства (выключателя, электрического реле) замыкающий; общее обозначение. Выключатель однополюсный		
То же для коммутации силовой цепи		—
То же с механической связью с другим элементом РЭА		—
Контакт коммутационного устройства размыкающий; общее обозначение		
Контакт коммутационного устройств размыкающий с механической связью с другим элементом РЭА		—
Контакт коммутационного устройства переключающий; общее обозначение. Однополюсный переключатель на два направления		
Контакт коммутационного устройства переключающий без размыкания цепи		
Переключатель однополюсный трехпозиционный с нейтральным положением		
То же с самовозвратом в нейтральное положение		

Продолжение табл. 1

Наименование элемента	Обозначение по действующим ГОСТ	Другие обозначения
Выключатель кнопочный однополюсный нажимной с замыкающим контактом, с самовозвратом		
Выключатель кнопочный однополюсный нажимной с размыкающим контактом		
Переключатель кнопочный однополюсный нажимной с возвратом вторичным нажатием кнопки		—
Переключатель кнопочный однополюсный нажимной с возвратом посредством отдельного привода, например нажатием специальной кнопки (сброс)		—
Переключатель двухполюсный трехпозиционный с нейтральным положением		
Переключатель двухполюсный трехпозиционный с самовозвратом в нейтральное положение		
Переключатель однополюсный многопозиционный, например трехпозиционный переключатель диапазонов радиоприемника; часть многополюсного многопозиционного переключателя		
То же с безобрывным переключением		

Продолжение табл. 1

Наименование элемента	Обозначение по действующим ГОСТ	Другие обозначения
Выключатель многополюсный, например трехполюсный		
Переключатель многополюсный двухпозиционный, например трехполюсный		
Переключатель многополюсный независимых цепей, например четырех		—
Контакт «неразборного» соединения, например осуществленного пайкой		—
Контакт «разборного» соединения, например с помощью зажима		
Колодка зажимов с разборными контактами, например с четырьмя зажимами		—
	ИЛИ 	—
Разъемное однопольное соединение		—
Штырь разъёмного соединения		—

Продолжение табл. 1

Наименование элемента	Обозначение по действующим ГОСТ	Другие обозначения
Гнездо разъёмного соединения		
Штыревая часть коаксиального разъема		-
Гнездовая часть коаксиального разъема		-
Штыревая часть многопроводного разъема, например четырехпроводного		
	ИЛИ 	
Гнездовая часть многопроводного разъема, например четырехпроводного		
	ИЛИ 	
Перемычка коммутационная, размыкающая цепь		-
Перемычка коммутационная, переключающая		

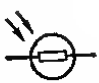

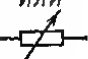


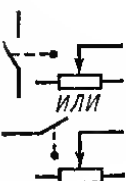



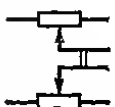
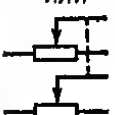
Продолжение табл. 1

Наименование элемента	Обозначение по действующим ГОСТ	Другие обозначения
Вставка-переключатель (четыре варианта соединения четырех цепей)		—
Обмотка электрического реле, контактора, общее обозначение		—
Обмотки двухобмоточного электрического реле		—
Реле электромагнитное, например с замыкающим и размыкающим контактами (контакты реле могут быть расположены на схеме в удалении от обмотки)		
Реле электромагнитное поляризованное на два направления тока в обмотке, с нейтральным положением [контакт, обозначенный точкой (черточкой), замыкается при приложении положительного полюса напряжения к выводу обмотки, обозначенному точкой (черточкой)]		
Реле электромагнитное поляризованное на одно направление тока в обмотке, без самовозврата		—
Реле тепловое, например с замыкающим контактом		
Гнездо контрольное	—	

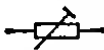









Продолжение табл. 1

Наименование элемента	Обозначение по действующим ГОСТ	Другие обозначения
Гнездо штепсельное телефонное, двухпроводное		—
Штепсель телефонный, двухпроводный		—
<i>Резисторы постоянные</i>		
Общее обозначение		—
С отводами		—
С номинальной мощностью рассеяния 0,05 Вт		—
То же 0,125 Вт		—
То же 0,25 Вт		—
То же 0,5 Вт		—
То же 1 Вт		—
То же 2 Вт		—
То же 5 Вт		—
То же 10 Вт		—
Варистор		—
Терморезистор прямого нагрева		—
Терморезистор с подогревом		


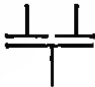


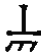



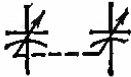
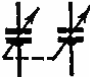




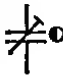

Продолжение табл. 1

Наименование элемента	Обозначение по действующим ГОСТ	Другие обозначения
Фоторезистор		—
<i>Резисторы переменные и подстроечные</i>		
Переменный резистор, реостат, общее обозначение	 ИЛИ 	—
Переменный резистор, используемый в качестве потенциометра		—
Переменный резистор с отводами		—
Переменный резистор с выключателем, изображенным совместно с ним	 ИЛИ 	—
Переменный резистор с выключателем, изображенным раздельно от него	 ИЛИ 	—
Переменный резистор двояный	 ИЛИ 	—



Продолжение табл. 1

Наименование элемента	Обозначение по действующим ГОСТ	Другие обозначения
Подстроечный реостат		—
Подстроечный резистор-потенциометр		—
<i>Дополнительные значки у обозначений переменных и подстроечных резисторов</i>		
Регулирование ручкой, выведенной наружу	●	—
Регулирование инструментом, ось выведена наружу устройства	◐	—
Регулирование инструментом, элемент регулирования внутри устройства	⊖	—
Ступенчатое регулирование	└┐	—
Регулирование громкости, усиления	—	
Регулирование тембра в области верхних звуковых частот	—	
Регулирование тембра в области нижних звуковых частот	—	
Регулирование баланса в стереофонических системах	—	
<i>Конденсаторы</i>		
Постоянной емкости, общее обозначение		
Электролитический полярный		

Продолжение табл. 1

Наименование элемента	Обозначение по действующим ГОСТ	Другие обозначения
Электролитический неполярный		—
Постоянной емкости, двухсекционный (у выводов анодов двухсекционного электролитического конденсатора ставят знак +)		—
Проходной; дуга обозначает корпус, внешний электрод		
Опорный		
Переменной емкости (дуга или точка обозначает ротор)		
Многосекционный, например двухсекционный, переменной емкости (блок КПЕ) (конденсаторы, входящие в блок, могут быть разнесены по схеме)		
Переменной емкости, дифференциальный		
Подстроечный, общее обозначение		
Подстроечный, регулирование инструментом, ось выведена наружу		

Продолжение табл. 1

Наименование элемента	Обозначение по действующим ГОСТ	Другие обозначения
Подстроечный, регулирование инструментом, ось внутри устройства		

Примечания: 1. Число, стоящее около графического обозначения резистора, указывает его номинальное сопротивление. Если после числа нет обозначения единицы — сопротивление выражено в омах. Если после числа стоит буква К или М — сопротивление выражено в килоомах или в мегаомах соответственно.

Примеры: 4,7 — следует читать: 4,7 Ом; 150 — следует читать: 150 Ом; 150К — следует читать: 150 кОм; 4,7М — следует читать: 4,7 МОм.

2. Число около графического обозначения конденсатора указывает его номинальную емкость. Если обозначение после целого числа отсутствует или после числа с дробью имеются буквы пФ — емкость выражена в пикофарадах.

Если около обозначения конденсатора стоит число в виде десятичной дроби или в виде целого числа, после которого запятая и нуль (обозначение единицы отсутствует) — емкость выражена в микрофарадах.

Примеры: 10 — следует читать: 10 пФ; 3,3 пФ — следует читать: 3,3 пФ; 3,3 — следует читать: 3,3 мкФ; 0,1 — следует читать: 0,1 мкФ.

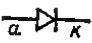





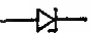



У обозначения электролитического конденсатора дополнительно указывают его номинальное напряжение в вольтах.

3. Если около конденсатора переменной емкости или подстроечного конденсатора стоит одно число, — это его максимальная емкость; если же стоят два числа, разделенные знаком тире, первое из них указывает минимальную, а второе максимальную емкость в пикофарадах.

4. Емкость конденсатора (или сопротивление резистора), около обозначения которого стоит звездочка, является ориентировочной и должна быть подобрана при налаживании аппаратуры.

Таблица 2

Условные графические обозначения полупроводниковых приборов

Наименование полупроводникового прибора	Обозначение по ГОСТ 2.730-73	Другие обозначения
<i>Полупроводниковые диоды</i>		
Диод выпрямительный; столб выпрямительный: a — анод; к — катод		
Туннельный диод		
Обращенный диод		
Стабилитрон; опорный диод		
Стабилитрон с двусторонней проводимостью		

Продолжение табл. 2

Наименование полупроводникового прибора	Обозначение по ГОСТ 2.730-73	Другие обозначения
Варикап		
Варикапная сборка		—
Светодиод		
Фотодиод		
Двунаправленный диод		—
Выпрямительный однофазный диодный мост (схема Греча)		

Тиристоры

Диодный (диннстор): а — анод; к — катод		
Диодный симметричный		—
Триодный (триннстор), незапираемый, с управлением по аноду: а — анод; к — катод; у — управляющий электрод		—
Триодный (триннстор), незапираемый, с управлением по катоду		—

Продолжение табл. 2

Наименование полупроводникового прибора	Обозначение по ГОСТ 2.730-73	Другие обозначения
Триодный (тринистор), запираемый, с управлением по аноду		
Триодный (тринистор), запираемый, с управлением по катоду		
Триодный симметричный, незапираемый (симистор)		—




Транзисторы

Бескорпусной структуры <i>n-p-n</i> (например, в микросхеме): б — база; к — коллектор; э — эмиттер		—
Бескорпусной структуры <i>n-p-n</i> с несколькими эмиттерами (например, в микросхеме)		—
Структуры <i>n-p-n</i> в корпусе; общее обозначение		
Структуры <i>p-n-p</i> в корпусе; общее обозначение		
Электрическое соединение одного из электродов с корпусом обозначается точкой, например:		
а) у транзистора структуры <i>n-p-n</i> с корпусом соединена база		—
б) у транзистора структуры <i>n-p-n</i> с корпусом соединен коллектор		—

Продолжение табл. 2

Наименование полупроводникового прибора	Обозначение по ГОСТ 2.730-73	Другие обозначения
в) транзистор структуры $n-p-n$ с отдельным выводом от корпуса; выводы всех электродов от корпуса изолированы		
Лавинный, например структуры $n-p-n$		—
Однопереходный с базой n -типа: $б_1$, $б_2$ — выводы базы; $э$ — вывод эмиттера		
Одиопереходный с базой p -типа		
Полевой с $p-n$ переходом и n -каналом: $з$ — затвор; $и$ — исток; $с$ — сток		
Полевой с $p-n$ переходом и p -каналом		
Полевой структуры МОП с n -каналом, работающим в режиме обогащения: $з$ — затвор; $и$ — исток; $с$ — сток; n — подложка		
Полевой структуры МОП с p -каналом, работающим в режиме обогащения		
Полевой структуры МОП с n -каналом, работающим в режиме обеднения		

Продолжение табл. 2

Наименование полупроводникового прибора	Обозначение по ГОСТ 2.730-73	Другие обозначения
Полевой структуры МОП с p -каналом, работающим в режиме обеднения		
Полевой структуры МОП с двумя затворами, например, с p -каналом, работающим в режиме обеднения		—

Обозначения катушек, дросселей,
автотрансформаторов и трансформаторов

Катушка без сердечника (магнитопровода)	
То же с отводами	
Катушка с неподвижным ферромагнитным сердечником, в том числе с ферритовым	
Катушка с неподвижным ферромагнитным сердечником, имеющим немагнитный зазор	
Катушка с ферритовым подстроечным сердечником	
Катушка с магнитодиэлектрическим подстроечным сердечником	
Катушка с немагнитным подстроечным сердечником, например латуниным	
Вариометр	

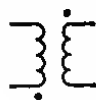
Автотрансформатор с ферромагнитным магнитопроводом



То же с электрически изолированной дополнительной обмоткой



Трансформатор без сердечника (магнитопровода); связь между обмотками постоянная (точкой обозначено начало обмотки)



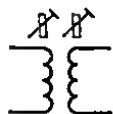
То же с отводами в обмотках



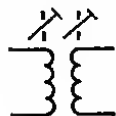
Трансформатор без сердечника (магнитопровода), связь между обмотками переменная



Трансформатор с немагнитными подстроечными сердечниками, раздельными для обмоток



То же с магнитодиэлектрическими подстроечными сердечниками



Трансформатор с магнитодиэлектрическим подстроечным сердечником, общим для обеих обмоток



То же с ферритовым подстроечным сердечником



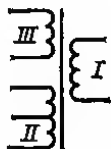
Трансформатор с ферритовыми сердечниками, отдельными для каждой обмотки



Трансформатор двухобмоточный с неподвижным ферромагнитным сердечником, в том числе с ферритовым



Трансформатор трехобмоточный с отводом в обмотке II



Трансформатор с магнитопроводом и экраном между обмотками, соединенным с корпусом устройства



Обозначения электровакуумных электронных и ионных приборов

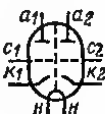
Диод, кенотрон косвенного накала подогревный:
к — катод, н — подогреватель, а — анод



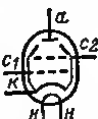
Триод косвенного накала, подогревный:
а — анод; с — сетка; к — катод; н — подогреватель



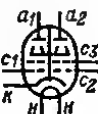
Триод двойной косвенного накала с экраном между триодами:
 a_1, a_2 — аноды; c_1, c_2 — сетки; k_1, k_2 — катоды



Тетрод лучевой косвенного накала:
а — анод; c_1 — управляющая сетка; c_2 — экранирующая сетка

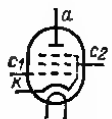
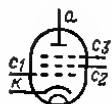


Двойной лучевой тетрод косвенного накала (генераторный)



Пентоды косвенного накала (подогревные):

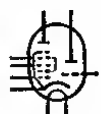
a — анод; c_1 — управляющая сетка; c_2 — экранирующая сетка; c_3 — защитная сетка



Триод-пентод косвенного накала



Триод-гептод косвенного накала



Один триод двойного триода, триодная часть триод-пентода, или триод-гептода, или двойного диода-триода



Пентодная часть триод-пентода



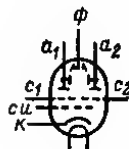
Индикатор электронно-световой:

a — анод; ϕ — флуоресцирующий анод; c — сетка управляющая; $к$ — катод



Индикатор электронно-световой с двойным управлением:

a_1 , a_2 — аноды первого и второго триодов; c_{II} — сетка индикаторная



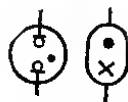
Бареттер (стабилизатор тока)



Электрические лампы накаливания



Газосветная лампа, например неоновая



Стабилитрон газоразрядный



Тиратрон с холодным катодом, триодный



Тиратрон с холодным катодом, тетродный

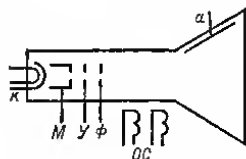


Фотоэлемент нонный



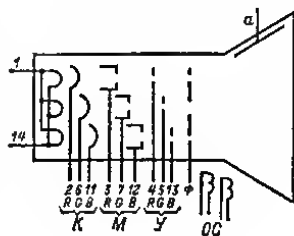
Кинескоп для черно-белого телевизора с электро-
статической фокусировкой и электромагнитным
отклонением луча:

κ — катод; m — модулятор (управляющий электрод); ϕ — фокусирующий электрод; y — ускоряющий электрод; a — основной анод



Кинескоп для цветного телевизора с электро-
статической фокусировкой и электромагнитным
отклонением луча:

R — электроды, обеспечивающие красное
свечение экрана; G — электроды, обеспечи-
вающие зеленое свечение экрана; B — элек-
троды, обеспечивающие синее свечение
экрана



Обозначения электроакустических приборов

Головка громкоговорителя электродинамического прямого излучения



Телефон, общее обозначение



Телефон головной



Микрофон, общее обозначение



Микрофон электродинамический



Зуммер



Звонок электрический

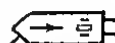


Сирена электрическая

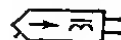


Обозначения звукоснимателей граммофонных

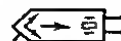
Монофонический пьезоэлектрический



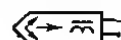
Монофонический электромагнитный



Стерефонический пьезоэлектрический



Стерефонический электромагнитный



Обозначения магнитных головок

Записывающая монофоническая



Воспроизводящая монофоническая



Универсальная монофоническая



Универсальная стереофоническая



Стирающая



Обозначения электродвигателей переменного тока однофазных

С немагнитным или ферромагнитным ротором без обмотки



С ротором, имеющим прорези по окружности, без обмотки



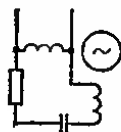
С ротором, имеющим короткозамкнутую обмотку



Коллекторный, последовательного возбуждения



Синхронный, с пусковой обмоткой



Обозначения электродвигателей постоянного тока коллекторных

С возбуждением постоянным магнитом



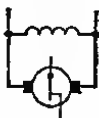
Последовательного возбуждения



Параллельного возбуждения

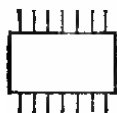
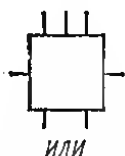


Параллельного возбуждения с центробежным вибрационным регулятором

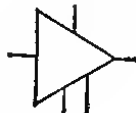
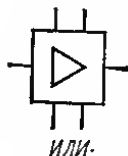


Обозначения интегральных микросхем

Интегральная микросхема, общее обозначение



Интегральная микросхема, выполняющая функции усилителя (выводы интегральных микросхем, к которым другие элементы устройства не подключены, на электрических схемах обычно не показывают. Входы микросхем, выполняющих функции усилителей, как правило, изображают слева, а выходы — справа).



Обозначения других элементов и устройств

Плавкий предохранитель



Исировой разрядник



Магнит постоянный



Обмотка электромагнита



Элемент гальванический или аккумуляторный



Батарея гальванических или аккумуляторных элементов (батарею гальванических или аккумуляторных элементов иногда обозначают в виде одного элемента, указывая рядом с ним напряжение батареи)



Общее обозначение антенны



Штыревая антенна



Противовес



Симметричный вибратор



Петлевой вибратор Пистолькорса



Рамочная антенна



Магнитная (ферритовая) антенна



На электрических принципиальных схемах, кроме того, могут быть следующие условные обозначения:

1. Наличие механических связей между элементами или их конструктивное объединение (например, два переменных резистора с общей осью, переменный резистор, объединенный с выключателем питания, конденсаторы переменной емкости, образующие блок) обозначают штриховой линией или двумя сплошными линиями, если элементы расположены на схеме близко друг к другу (например, контакты многополюсного переключателя — см. стр. 13). При большом удалении объединенных элементов штриховые линии могут быть оборваны вблизи этих элементов; о наличии связей указывают в подписи к схеме или в ее описании.

2. Число в рамке около резонансного контура указывает частоту в мегагерцах, на которую он настроен.

3. Напряжение, обозначенное около вывода электрода транзистора, лампы или около проводника — это напряжение между данной точкой и корпусом аппарата (шасси, землей, общим проводом).

4. Если на схеме указана только точка подключения одного из полюсов источника питания, подразумевается, что его второй полюс присоединен к корпусу (общему проводу) аппарата.

5. На принципиальных схемах РЭА с электронными лампами цепь накала часто не показывают; при этом концы обмотки накала трансформатора питания и выводы от нитей накала (подогревателей) обозначают одинаковыми буквами.

Обозначение элементов структурных и функциональных электрических схем

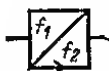
Генератор электрических колебаний, например НЧ



Генератор колебаний переменной частоты, например ВЧ



Преобразователь частоты¹



Умножитель частоты¹



Делитель частоты¹



Усилитель²



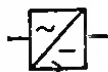
То же с регулируемым усилением²



Ограничитель амплитуды сигнала по максимуму



Фазовращатель

Выпрямитель ¹

Фильтр нижних частот



Фильтр верхних частот



Фильтр полосовой



Фильтр режекторный («фильтр-пробка»)



Линия задержки



Амплитудный детектор



Детектор отношений (детектор ЧМ сигналов)



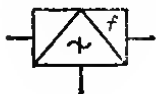
Устройство, выделяющее верхние частоты (предкорректор)



Устройство, выделяющее нижние частоты



Модулятор и демодулятор частотный



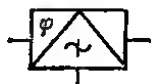
Модулятор и демодулятор фазовый



Дискриминатор частотный

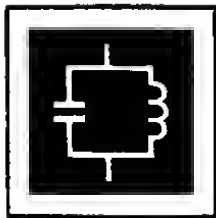


Дискриминатор фазовый



¹ Стрелка указывает направление преобразования сигнала.

² Направление передачи сигнала указывает вершина треугольника на горизонтальной линии связи.



РЕЗОНАНСНЫЕ ЦЕПИ

РАЗДЕЛ

1

СОДЕРЖАНИЕ

- | | | |
|------|---|----|
| 1-1. | Колебательные контуры с сосредоточенными постоянными | 36 |
| | Основные параметры контуров (36). Катушки (38). Взаимная индуктивность (43). | |
| 1-2. | Резонаторы для диапазона ДМВ | 44 |
| | Конструкции резонаторов (44). Основные параметры резонаторов (47). Расчет резонаторов (48). | |

1-1. КОЛЕБАТЕЛЬНЫЕ КОНТУРЫ С СОСРЕДОТОЧЕННЫМИ ПОСТОЯННЫМИ

Основные параметры контуров

При конструировании РЭА часто необходимо вычислять индуктивности катушек L и емкости конденсаторов C резонансных контуров, при которых обеспечивается настройка контуров на заданные частоты f (или длины волн λ), а также определять частоты настройки контуров при известных значениях L и C . Таблица 1-1 дает возможность найти произведение LC , при котором контур настроен на заданную длину волны λ в пределах 10—100 м (соответственно на частоту f в пределах 30—3 МГц), либо определить частоту настройки f при известном произведении LC в пределах 28,2—2820 мкГ·пФ.

Так, например, если имеется катушка с индуктивностью L , то, разделив на L найденное по таблице произведение LC , легко определить, какую нужно иметь в контуре емкость C , для того чтобы получить настройку контура на заданную длину волны λ (или частоту f). Если же задана емкость контура C , то, разделив на C произведение LC , соответствующее требуемому значению f или λ , можно узнать L .

При расчете УКВ контура ($\lambda = 1 \div 10$ м) указанное в таблице численное значение заданной длины волны умножаем на 10 (или делим на 10 заданную частоту), находим полученное число в графе λ (или f) и соответствующее ему произведение LC уменьшаем в 100 раз. Для определения длины волны, на которую настроен контур диапазона УКВ, по известному значению LC , увеличивая это произведение в 100 раз, находим соответствующую ему величину в графе λ и делим ее на 10.

Когда же нужно рассчитать контур на диапазон СВ или ДВ, в графе λ выбираем число, соответствующее в 10 или 100 раз большее заданного (или в графе f число, в 10 или 100 раз меньшее заданного значения частоты), и увеличиваем произведение LC соответственно в 100 раз при СВ или в 10 000 раз при ДВ.

Таблица 1-1

К расчету резонансного контура

$\lambda, \text{ м}$	$f, \text{ МГц}$	$LC, \text{ мкГ} \cdot \text{пФ}$	$\lambda, \text{ м}$	$f, \text{ МГц}$	$LC, \text{ мкГ} \cdot \text{пФ}$	$\lambda, \text{ м}$	$f, \text{ МГц}$	$LC, \text{ мкГ} \cdot \text{пФ}$
10,0	30,00	28,2	21,5	14,00	130,0	48,5	6,19	662
10,1	29,70	28,7	22,0	13,60	136,0	49,0	6,12	676
10,2	29,39	29,2	22,5	13,30	143,0	49,5	6,06	690
10,4	28,83	30,5	23,0	13,00	145,0	50,0	6,00	704
10,6	28,28	31,7	23,5	12,80	156,0	51,0	5,88	733
10,7	28,00	32,3	24,0	12,50	162,0	52,0	5,77	762
10,8	27,76	32,9	24,5	12,20	169,0	53,0	5,66	791
11,0	27,36	34,1	25,0	12,00	176,0	54,0	5,56	821
11,2	26,77	35,3	25,5	11,80	183,0	55,0	5,45	851
11,4	26,30	36,5	26,0	11,50	191,0	56,0	5,36	883
11,6	25,85	37,9	26,5	11,30	198	57,0	5,27	915
11,8	25,41	39,2	27,0	11,10	205	58,0	5,17	947
12,0	25,00	40,5	27,5	10,90	213	59,0	5,09	980
12,2	24,50	41,9	28,0	10,70	221	60,0	5,00	1010
12,4	24,18	43,2	28,5	10,50	229	61,0	4,92	1050
12,6	23,80	44,7	29,0	10,40	237	62,0	4,84	1080
12,8	23,42	46,1	29,5	10,20	245	63,0	4,76	1120
13,0	23,06	47,5	30,0	10,00	253	64,0	4,69	1150
13,2	22,71	49,0	30,5	9,84	262	64,5	4,65	1170
13,4	22,37	50,6	31,0	9,68	270	65,0	4,62	1190
13,6	22,04	52,0	31,5	9,53	280	66,0	4,55	1230
13,8	21,73	53,6	32,0	9,38	288	67,0	4,48	1260
14,0	21,42	55,2	32,5	9,23	297	68,0	4,41	1300
14,2	21,11	56,7	33,0	9,06	316	69,0	4,35	1340
14,3	21,00	57,5	33,5	8,96	316	70,0	4,29	1380
14,4	20,82	58,3	34,0	8,83	326	71,0	4,23	1420
14,6	20,54	60,0	34,5	8,70	335	72,0	4,17	1460
14,8	20,26	61,6	35,0	8,57	345	73,0	4,11	1500
15,0	20,00	63,4	35,5	8,45	355	74,0	4,06	1540
15,2	19,72	65,1	36,0	8,33	365	75,0	4,00	1580
15,4	19,47	66,6	36,5	8,22	375	76,0	3,95	1630
15,6	19,22	68,4	37,0	8,11	385	77,0	3,90	1670
15,8	18,98	70,2	37,5	8,00	396	78,0	3,85	1710
16,0	18,74	72,1	38,0	7,90	407	79,0	3,80	1760
16,2	18,51	73,7	38,5	7,79	417	80,0	3,75	1800
16,4	18,28	75,6	39,0	7,69	428	81,0	3,71	1850
16,6	18,06	77,5	39,5	7,60	439	82,0	3,66	1890
16,8	17,85	79,1	40,0	7,50	450	83,0	3,61	1940
17,0	17,64	81,4	40,5	7,41	462	84,0	3,57	1990
17,2	17,43	83,2	41,0	7,32	473	85,0	3,53	2030
17,4	17,23	85,2	41,5	7,23	485	86,0	3,49	2090
17,6	17,04	87,0	42,0	7,15	497	87,0	3,45	2130
17,8	16,84	89,1	42,5	7,06	509	88,0	3,41	2180
18,0	16,66	91,2	42,8	7,00	517	89,0	3,37	2230
18,2	16,47	93,2	43,0	6,97	521	90,0	3,33	2280
18,4	16,29	95,4	44,0	6,82	545	91,0	3,30	2330
18,6	16,12	97,4	44,5	6,74	568	92,0	3,26	2380
18,8	15,95	99,4	45,0	6,67	570	93,0	3,23	2430
19,0	15,78	102,0	45,5	6,59	583	94,0	3,19	2490
19,2	15,62	103,7	46,9	6,53	596	95,0	3,16	2540
19,4	15,45	106,6	46,1	6,50	600	96,0	3,13	2590
19,6	15,30	108,0	46,5	6,45	609	97,0	3,09	2650
19,8	15,14	110,0	47,0	6,39	629	98,0	3,06	2700
20,0	15,00	112,0	47,5	6,32	635	99,0	3,03	2760
20,5	14,60	118,0	48,0	6,25	649	100,0	3,00	2820
21,0	14,30	124,0						
$\times 10$: 10	$\times 100$	$\times 10$: 10	$\times 100$	$\times 10$: 10	$\times 100$
$\times 100$: 100	$\times 10\,000$	$\times 100$: 100	$\times 10\,000$	$\times 100$: 100	$\times 10\,000$
: 10	$\times 10$: 100	: 10	$\times 10$: 100	: 10	$\times 10$: 100
: 100	$\times 100$: 10\,000	: 100	$\times 100$: 10\,000	: 100	$\times 100$: 10\,000

Ширина полосы пропускания одиночного резонансного контура $2\Delta f$ (интервал между частотами сигнала, при которых амплитуда колебаний уменьшается в $1/\sqrt{2}$ раз, т. е. до 0,7 от амплитуды при равенстве частоты сигнала частоте настройки контура f) можно определить по формуле

$$2\Delta f = f/Q; \quad (1-1)$$

здесь Q — добротность контура.

Соответственно добротность, при которой получается требуемая полоса пропускания

$$Q = f/2\Delta f. \quad (1-2)$$

Эквивалентное резонансное сопротивление резонансного контура с параллельным включением катушки индуктивности и конденсатора (рис. 1-1, а)

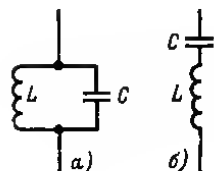


Рис. 1-1.

$$\left. \begin{aligned} R_{oe} &= 6,28fLQ; \\ R_{oe} &= \frac{159 \cdot 10^3 Q}{fC} \end{aligned} \right\} \quad (1-3)$$

и контура с последовательным включением катушки индуктивности и конденсатора (рис. 1-1, б)

$$\left. \begin{aligned} r_{oe} &= \frac{6,28fL}{Q}; \\ r_{oe} &= \frac{159 \cdot 10^3}{CQ} \end{aligned} \right\} \quad (1-4)$$

где R_{oe} и r_{oe} , кОм; f , кГц; L , мкГ; C , пФ.

Поскольку потери в конденсаторе резонансного контура значительно меньше, чем в катушке, собственную добротность одиночного контура можно принимать приблизительно равной добротности примененной в нем катушки. Резонансные контуры РЗА часто связаны с другими контурами либо включены в какие-либо цепи полупроводниковых приборов или электронных ламп. Поскольку упомянутые контуры и приборы вносят в резонансный контур дополнительные потери (обычно значительные), эффективная добротность контура Q_3 меньше его собственной добротности. Вследствие этого полоса пропускания расширяется, R_{oe} уменьшается, а r_{oe} увеличивается. В этих случаях R_{oe} и r_{oe} также можно вычислить по формулам (1-3), (1-4), подставляя в них соответствующие эффективные значения добротности:

$$R_{oe3} = 6,28 \cdot fLQ_3; \quad r_{oe3} = \frac{159 \cdot 10^3}{CQ_3}.$$

Для расширения полосы пропускания каскадов (например, в телевизионных приемниках) иногда приходится снижать добротность параллельных контуров, шунтируя контуры резисторами. Это одновременно ведет к уменьшению R_{oe} .

Определение эквивалентных сопротивлений параллельных контуров необходимо при расчете резонансных усилительных каскадов и генераторов электрических колебаний. От эквивалентного сопротивления контура зависит усиление каскада.

Катушки

Во всех формулах этого параграфа размеры катушек и диаметры проводов выражены в миллиметрах, а индуктивности — в микрогенри.

Индуктивность однослойной цилиндрической катушки без сердечника, содержащей w витков диаметра D , вычисляются по формуле

$$L = w^2 D k_1 \cdot 10^{-4}, \quad (1-5)$$

Коэффициент k_1 находят с помощью графика на рис. 1-2. Заданная индуктивность L получается при числе витков

$$w = 100 \sqrt{\frac{L}{Dk_1}}. \quad (1-6)$$

Чтобы полученное расчетом число витков при плотной намотке заняло заданную длину a , катушку нужно намотать проводом, имеющим диаметр в изоляции

$$d_{из} = a/w. \quad (1-7)$$

Формулам (1-5) — (1-7) можно пользоваться также для расчета дросселей без сердечников, например наматываемых на каркасах непроволочных высокоомных резисторов.

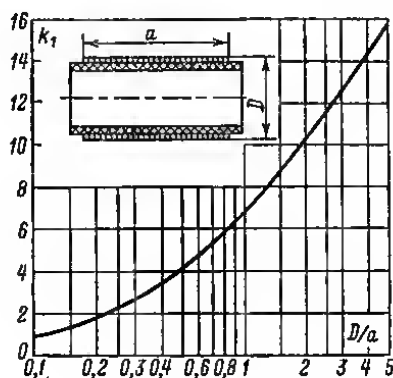


Рис. 1-2.

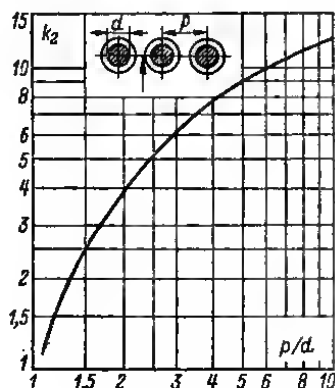


Рис. 1-3.

Индуктивность однослойной цилиндрической катушки, намотанной с шагом p , вычисляют по формуле

$$L = (w^2 D k_1 + w k_2) \cdot 10^{-4}, \quad (1-8)$$

где k_1 и k_2 — из графиков на рис. 1-2 и 1-3.

Индуктивность многослойных катушек. Катушки выполняют многослойными, когда нужно иметь $L > 100$ мкГ (контуры диапазонов СВ и ДВ, контуры ПЧ при $f = 465$ кГц).

Индуктивность многослойной катушки с обмоткой прямоугольного сечения

$$L = w^2 D_{ср} k_3 \cdot 10^{-4}, \quad (1-9)$$

где $D_{ср}$ — средний диаметр обмотки; коэффициент k_3 находят с помощью графика на рис. 1-4 по отношениям $a/D_{ср}$ и $b/D_{ср}$ (a и b — длина и радиальная толщина обмотки).

Число витков катушки, необходимое для получения заданной индуктивности L при $a \approx b$ и $D_{ср} \approx 3a$, можно приближенно определить по формуле

$$w = 20 \sqrt{L/a}. \quad (1-10)$$

Индуктивность катушек со стержневыми ферритовыми и карбонильными сердечниками — «подстроечниками». При тех же размерах и тех же числах витков такие катушки имеют большие индуктивности; соответственно требуемую

индуктивность можно получить при меньшем числе витков. Изменяя положение сердечника относительно витков катушки, можно изменять и подгонять L точно под заданное значение. Вместе с тем введение сердечника увеличивает Q катушки.

В цилиндрических катушках резонансных контуров, работающих на частотах ниже 2 МГц (контуров диапазонов ДВ и СВ), целесообразно применение сердечников из феррита 600НН или 700НМ, в на частотах 3—30 МГц (контуров диапазона КВ, контуров ПЧ при $f = 6,5; 6,8$ и 10,7 МГц) — сердечников из ферритов 13ВЧ, 30ВЧ2, 100НН или из карбонильного железа (см. § 12-7).

Для получения возможно большего значения Q и возможно большего предела изменения L внешний диаметр карнаса катушки не должен превышать диаметр ферритового сердечника более чем в 2—2,5 раза, а карбонильного — в 1,2 раз. Длина намотки катушки должна составлять примерно 0,9 длины сердечника.

Расчет числа витков катушки производят по формуле (1-6) или (1-10), подставляя в нее значение L в 1,3—1,5 раза меньшее заданного. Тогда при введении сердечника получим требуемое значение индуктивности.

Если катушку наматывают на унифицированном карнасе заводского изготовления с сердечником, то требуемое число ее витков

$$\omega = k_4 \sqrt{L}, \quad (1-11)$$

коэффициент k_4 берем из табл. 1-2.

Катушки с кольцевыми сердечниками применяют, когда

нужно получить требуемую индуктивность в минимальных габаритах. Достоинство таких катушек — незначительное рассеивание магнитного потока, а недостаток — сложность процесса намотки и невозможность плавного регулирования индуктивности (изменять индуктивность можно только домоткой или сматыванием витков; при малом общем числе витков таким способом нередко невозможно подогнать индуктивность точно под требуемое значение). Катушки с кольцевыми сердечниками из ферритов с высокой магнитной проницаемостью пригодны только для использования в широкополосных контурах, так как такие катушки имеют малую добротность.

Катушки с кольцевым сердечником можно рассчитать по формуле (1-12) с использованием соответствующего коэффициента из табл. 1-2. Численные значения этих коэффициентов соответствуют магнитным проницаемостям сердечников с наибольшим отрицательным допуском, т. е. во многих практических случаях фактическая индуктивность изготовленной катушки будет больше, чем полученная расчетом. Подгонку индуктивности приходится делать уменьшением числа витков,

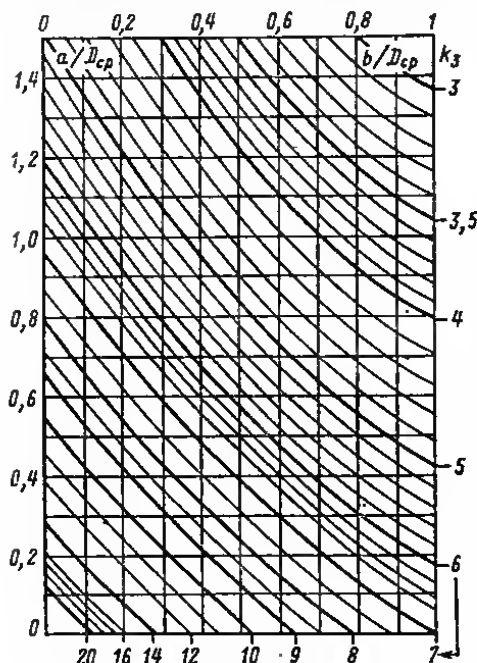


Рис. 1-4.

Таблица 1-2

Коэффициенты к формуле (1-12)

Конструкция катушки	k_4
Однослойная на унифицированном кернасе $\varnothing 6,5$ мм со стержневым сердечником М1000НН-СС-2,8×12, намотка виток к витку проводом ПЭЛШО или ПЭЛ 0,1—0,27 мм ($L \leq 15$ мкГ)	10
Многослойная на унифицированном трехсекционном кернасе со стержневым сердечником М600НН-СС-2,8×14, намотка внавал	11
<i>Катушки на ферритовых кольцевых сердечниках</i>	
М700НМ К10×6×3	2,6
М700НМ К10×6×4,5	2,2
М700НМ К12×8×3	2,9
М700НМ К16×10×4,5	2,2
М700НМ К20×12×6*	1,8
М1000НМ К10×6×3	2,1
М1000НМ К10×6×4,5	1,7
М1000НМ К12×8×3	2,4
М1000НМ К16×10×4,5	1,8
М1000НМ К20×12×6	1,5
М1500НМ К10×6×3	1,7
М1500НМ К10×6×4,5	1,4
М1500НМ К12×8×3	1,9
М1500НМ К16×10×4,5	1,4
М1500НМ К20×12×6	1,2
М2000НМ К10×6×3	1,4
М2000НМ К10×6×4,5	1,2
М2000НМ К12×8×3	1,6
М2000НМ К16×10×4,5	1,2
М2000НМ К20×12×6	1,0
<i>Катушки на ферритовых броневых сердечниках</i>	
М700НМ Б9, $l_3=0,13$ мм	4,1
М700НМ Б9, М1000НМ Б9 и М1500НМ Б9, $l_3=0,26$ мм	5,0
М700НМ Б11, М1000НМ Б11 и М1500НМ Б11, $l_3=0,55$ мм	5,0
М700НМ Б11, М1000НМ Б11, М1500НМ Б11, $l_3=0,3$ мм	4,1
М700НМ Б14, М1000НМ Б14, М1500НМ Б14, $l_3=0,27$ мм	3,2
М700НМ Б14, М1000НМ Б14 и М1500НМ Б14, $l_3=0,14$ мм	2,5
М1000НМ Б9 и М1500НМ Б9, $l_3=0,55$ мм	6,3
М1000НМ Б9 и М1500НМ Б9, $l_3=0,15$ мм	4,1
<i>Катушки в карбонильных броневых сердечниках</i>	
СБ-9а и СБ-12а	7,0
СБ-23-11а	4,0
СБ-23-17а, СБ-28а и СБ-34а	4,5

Примечания: 1. Обозначения типоразмеров сердечников см. § 12-7.

2. l_3 — размер воздушного зазора между средними частями чашек броневых сердечника.

Для определения числа витков катушки с кольцевым сердечником, обеспечивающего заданную индуктивность, можно также применить следующую формулу:

$$\omega = 50 \sqrt{\frac{L(d+d_1)}{\mu_{\text{нач}} h (d-d_1)}}, \quad (1-12)$$

где d , d_1 , h — внешний диаметр, внутренний диаметр и высота кольца; $\mu_{\text{нач}}$ — начальная магнитная проницаемость.

При слабом перемагничивании магнитном поле в сердечнике в отсутствие его постоянного подмагничивания магнитную проницаемость $\mu_{\text{нач}}$ можно принять равной числу, входящему в марку феррита (например, для феррита марки 600НН $\mu_{\text{нач}} = 600$), однако надо иметь в виду, что фактическое значение $\mu_{\text{нач}}$ может отличаться от ее номинального значения. Поэтому точность расчета по формуле (1-12) не превышает 10—15%.

Витки катушки нужно располагать по кольцу равномерно.

Радиолюбители иногда делают немагнитный зазор в кольцевом сердечнике, раскалывая его на две половинки с последующим склеиванием. Таким способом увеличивают добротность катушки. Однако при этом уменьшается магнитная проницаемость и увеличивается поле рассеяния катушки. Точно рассчитать индуктивность катушки с кольцевым сердечником, имеющим клеевой зазор, практически невозможно.

Катушки с броневыми сердечниками характеризуются высокой добротностью и малой собственной емкостью при малых размерах. Так как магнитная цепь полностью окружает витки катушки и обладает хорошими маг-

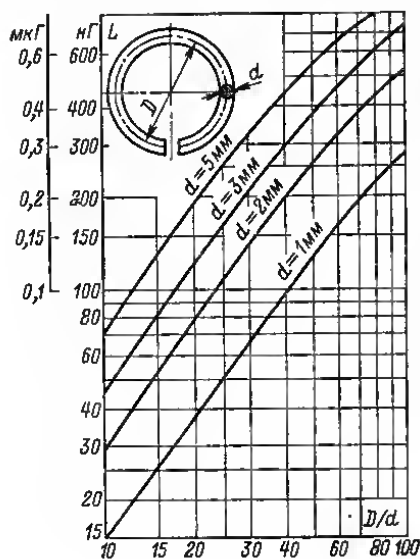


Рис. 1-5.

нитными свойствами, она одновременно является экраном и защищает обмотку от механических повреждений.

С помощью стержневого или винтового сердечника легко регулировать и устанавливать требуемую индуктивность. Расчет катушек в бронежных ферритовых сердечниках при различных размерах зазора можно произвести по формуле (1-12), подставляя в нее соответствующие коэффициенты из табл. 1-2.

Добротность катушки представляет собой отношение реактивной энергии, запасенной в катушке, к энергии потерь при данной частоте. Для катушек с ферритовыми сердечниками в диапазоне частот $f = 100 \text{ кГц} \div 12 \text{ МГц}$ $Q = 60 \div 180$.

Применение многожильного высокочастотного обмоточного провода марок ЛЭП, ЛЭЛ, ЛЭШО, ЛЭШД, ЛЭЛО, ЛЭЛД увеличивает добротность катушек контуров диапазонов СВ и ДВ в среднем в 1,5—2 раза. Теоретический расчет добротности катушек представляет значительную трудность. Значения Q обычно получают измерением.

Собственная емкость C_L однослойной цилиндрической неэкранированной катушки, намотанной на каркасе диаметром D из полиэтилена, полистирола, органического стекла, картона, пропитанного полистирольным лаком, может быть определена по формуле

$$C_L = k_5 D. \quad (1-13)$$

При плотной укладке витков катушки (виток к витку) коэффициент $k_s = 0,65$, а при намотке с шагом p он имеет следующие значения:

p/D	2	3	4 и более
k_s	0,055	0,048	0,045

Если витки уложить по нарезке, предварительно сделанной на иаркасе, то C_L увеличивается на 15—20%. Собственная емкость бескаркасных катушек на 15—20% меньше.

Многослойные катушки имеют емкость порядка десятиков пикофард. Точный теоретический расчет их C_L затруднителен, так как C_L сложно зависит от конфигурации катушки, диаметра и изоляции провода; C_L уменьшается с увеличением толщины намотки и с уменьшением длины намотки (при том же числе витков). Если катушку сделать сенционированной, с расстояниями между сенциями, примерно равными длине сенций, то при двух сенциях C_L уменьшается в 1,5 раза, при трех — в 1,8 раза и при четырех — в 2 раза. Покрытие катушки (однослойной, многослойной) лаком увеличивает ее емкость на 25—30%. Сердечники или экран могут увеличить C_L в 2—3 раза. Чем ближе экран или сердечники в обмотке, тем больше собственная емкость катушки.

Индуктивность *одиночного витка* из провода прямоугольного сечения можно определить по формуле (1-9), подставив в нее $w = 1$ и принимая за a и b размеры этого провода в поперечном сечении. Индуктивность одиночного витка диаметром D из провода круглого сечения диаметром d определяют по графику на рис. 1-5.

Взаимоиндуктивность

При расчете контуров РЭА бывает необходимо определить взаимоиנדуктивность между катушками, чтобы вычислить коэффициент связи k между ними:

$$k = \frac{M}{\sqrt{L_1 L_2}}, \quad (1-14)$$

где M — взаимоиנדуктивность; L_1 , L_2 — индуктивности связанных катушек.

Если витки обеих катушек намотаны с одинаковой плотностью, т. е. соблюдаются соотношения $w_1/a_1 = w_2/a_2$; $w_1/b_1 = w_2/b_2$ и при этом катушки расположены вплотную друг к другу (рис. 1-6, а—е), то их взаимоиנדуктивность можно определить по формуле

$$M = (L_{12} - L_1 - L_2)/2, \quad (1-15)$$

где L_{12} — индуктивность катушки, содержащей $w_1 + w_2$ витков в габаритах $a_1 + a_2$ и $b_1 + b_2$ соответственно.

Если же между катушками имеется зазор (рис. 1-6, з—е), то их взаимоиנדуктивность можно определить следующим способом. Принимают условно, что зазор заполнен витками с такой же плотностью намотки, как у катушек с индуктивностями L_1 и L_2 . Обозначив L_0 индуктивность фиктивной катушки, имеющей

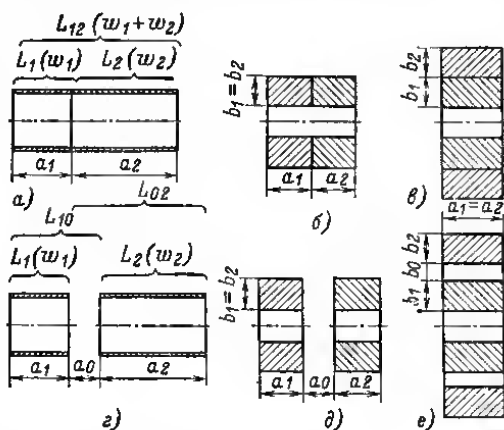


Рис. 1-6.

длину a_0 и толщину намотки b_0 , взаимную индуктивность между L_1 и L_2 можно определить по формуле

$$M = (L_{102} + L_0 - L_{10} - L_{02})/2, \quad (1-16)$$

где L_{102} , L_{10} , L_{02} — индуктивности, образуемые соответственно катушками с индуктивностями L_1 , L_0 и L_2 ; L_{10} и L_{02} — L_1 и L_0 , L_0 и L_2 .

Индуктивности «составных» и «фиктивных» катушек, а также индуктивности L_1 и L_2 можно определить по формулам (1-5), (1-8) и (1-9).

Если $\omega_1/a_1 \neq \omega_2/a_2$ или $\omega_1/b_1 \neq \omega_2/b_2$, то сначала нужно вычислить взаимную индуктивность, приняв эти отношения равными единице, а затем полученный результат умножить на $\omega_1\omega_2/a_1a_2$ или $\omega_1\omega_2/b_1b_2$ соответственно.

1-2. РЕЗОНАТОРЫ ДЛЯ ДИАПАЗОНА ДМВ

Конструкции резонаторов

Обычные конструкции резонансных контуров с сосредоточенными постоянными (индуктивности в катушках, емкости в конденсаторах) неприменимы в диапазонах ДМВ и СМВ по следующим причинам. С уменьшением длины волны индуктивности уменьшаются, и уже в диапазоне метровых волн размеры кату-

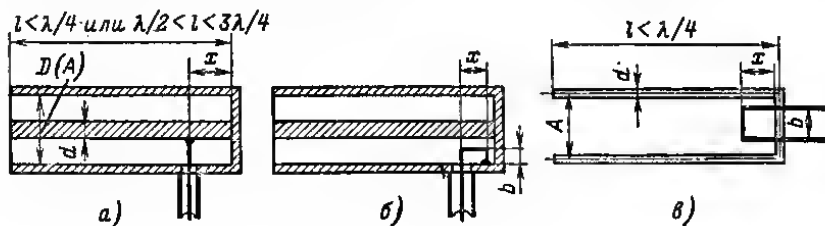


Рис. 1-7.

шек настолько малы, что становится затруднительным их физическое воплощение, а главное — резко уменьшаются добротность и эквивалентное сопротивление контура.

Эти недостатки преодолевают в аппаратуре диапазона ДМВ и СМВ, используя явление резонанса в системах с отрезками двухпроводных линий. Короткозамкнутый на одном конце отрезок коаксиальной линии, т. е. линии, образуемой двумя проводниками, один из которых расположен на оси другого, полого (рис. 1-7, а, б), или симметричной линии, состоящей из двух параллельных проводников одинакового сечения (рис. 1-7, в), представляет собой со стороны другого, разомкнутого конца индуктивное сопротивление для электрических колебаний, если соответствующая им длина волны находится в определенном соотношении с длиной отрезка. Подключив к разомкнутому концу отрезка сосредоточенную емкость, получим электрическую колебательную цепь — резонатор. Условием резонанса, как и в колебательном контуре с сосредоточенными постоянными, является равенство реактивных сопротивлений этой емкости и отрезка линии.

Коаксиальный резонатор (рис. 1-7, а, б). В диапазоне волн $\lambda > 30$ см применяют отрезки линий длиной $l < \lambda/4$, имеющие название четвертьволновых укороченных; для волн короче 30 см длина отрезка определяется выражением $\lambda/2 < l < 3\lambda/4$. Внутренний проводник может быть трубчатым или сплошным.

Резонаторы такой конструкции используют в генераторах диапазонов ДМВ и СМВ на электровакуумных триодах с дисковыми выводами электродов, включая их по схеме с общей сеткой. Внутренний проводник резонатора 2 (рис. 1-8, а), находящийся под положительным потенциалом анода, должен быть изолирован

от внешнего заземляемого цилиндра 1. Внутренний проводник заканчивается фланцем 4 (отделенным от дна внешнего цилиндра тонкой изоляционной прокладкой (например, из слюды); получается конденсатор с весьма малым сопротивлением для переменных токов, через который внешний и внутренний проводники практически замкнуты между собой накоротко. В то же время они изолированы друг от друга по постоянному току.

Сосредоточенная емкость резонатора лампового генератора образуется междоэлектродной емкостью триода и подстроечным конденсатором 3, с помощью которого устанавливают частоту генератора.

Полосковый резонатор отличается от коаксиального тем, что внутренний и внешний (экранирующий) проводники — плоские, имеют прямоугольное сечение.

В приемной аппаратуре диапазона ДМВ, в частности в качестве контуров селекторов каналов телевизионных приемников, применяют резонаторы в виде отрезков экранированной линии длиной $l < \lambda/4$ с внешними проводниками прямоугольного сечения и внутренними — круглого сечения.

Резонатор с симметричной (открытой) линией из двух проводников одинакового сечения (рис. 1-7, в) длиной $l = \lambda/4$ применяют иногда в ламповых генераторах передатчиков диапазона волн $\lambda > 60$ см; при $\lambda < 60$ см добротность подобного резонатора неудовлетворительна. Возможные конструктивные варианты таких генераторов с отрезком линии 7 схематически показаны на рис. 1-8, б, в. Конденсатор установки частоты 3

включают параллельно емкости лампы либо последовательно с ней. Этот конденсатор можно включать на некотором расстоянии от разомкнутого конца линии.

Способы связи с резонаторами и между резонаторами. Связь резонатора с другими контурами (цепями) с целью ввода в него сигнала или отбора из него энергии в нагрузку может быть кондуктивной: в случае коаксиального или полоскового резонатора к коаксиального кабеля внутреннюю его жилу соединяют с внутренним проводником резонатора, а внешний проводник кабеля — с внешним проводником резонатора (рис. 1-7, а). В этом случае при увеличении расстояния между местом подключения кабеля и короткозамкнутым концом резонатора связь увеличивается.

Связь можно осуществить и индуктивным способом — с помощью витка (петли) связи 5, расположенного у короткозамкнутого конца резонатора (рис. 1-8). В случае коаксиального (рис. 1-8, а) или полоскового резонатора виток связи является продолжением внутренней жилы коаксиального кабеля 6. Изменением связи можно осуществлять согласование резонатора с кабелем или иной нагрузкой и тем самым обеспечивать передачу энергии в резонатор или из резонатора с наименьшими потерями. Следовательно, резонатор может служить трансформатором сопротивления.

В триодном генераторе изменением связи устанавливают такое эквивалентное сопротивление резонатора, при котором получается наибольшая колебательная мощность.

Два резонатора с внешними проводниками прямоугольного сечения при наличии у них общей стенки могут быть связаны между собой с помощью щели

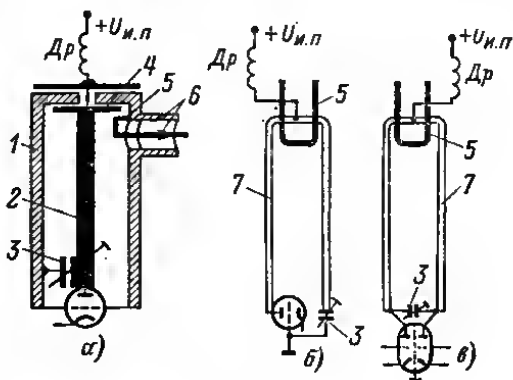


Рис. 1-8.

в этой стенке. В этом случае связь осуществляется за счет обмена энергией магнитных полей резонаторов. При увеличении размеров щели связь увеличивается,

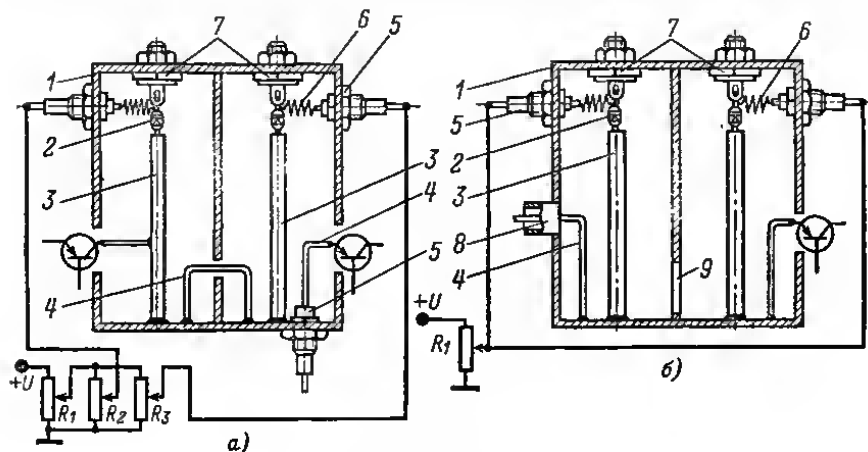


Рис. 1-9.

Четвертьволновые укороченные резонаторы в приемных устройствах. В приемных устройствах диапазона ДМВ, в частности в селекторах частотных каналов телевизоров, применяют полосовые фильтры, составленные из резонаторов. В гетеродинах селекторов также используют резонаторы. Настройку резонаторов в современных устройствах осуществляют варикапами (см. § 12-12). На рис. 1-9 приведены эскизы возможных конструктивных вариантов полосовых фильтров, образуемых двумя резонаторами, и электрическая схема управления емкостями переходов варикапов (на рис. 1-9, б — входной, а на рис. 1-9, а — междукаскадный полосовой фильтр). Здесь: 1 — корпуса (внешние проводники) резонаторов; 2 — варикапы KB109; 3 — внутренние проводники резонаторов; 4 — витки связей; 5 — проходные керамические конденсаторы КТП; 6 — дроссели бескаркасные (можно заменить резисторами МЛТ-0,25 по 47—68 кОм); 7 — опорные керамические конденсаторы КДО; 8 — коаксиальный ввод от витины; 9 — щель связи.

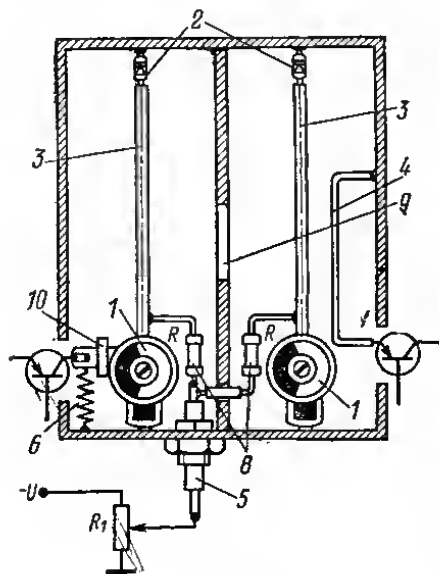


Рис. 1-10.

Настройка резонаторов на требуемую частоту осуществляется переменным резистором R_1 , с помощью которого изменяют напряжение обратного смещения на варикапах. Подстроечные резисторы R_2 и R_3 используют для уста-

новки начальной частоты настройки каждого из резонаторов при налаживании приемного устройства.

Полуволновые укороченные резонаторы в приемных устройствах. В приемных устройствах диапазона ДМВ применяют также резонаторы в виде отрезков двухпроводных линий, разомкнутых с обоих концов. При этом длины их внутренних проводников определяются выражением $l < \lambda/2$. Такие резонаторы носят название полуволновых укороченных. При указании соотношения длины волны и геометрической длины резонатора он эквивалентен индуктивности с обоих концов. Между одним из концов внутреннего проводника укороченного полуволнового резонатора и внешним проводником включают подстроечный (или постоянный) конденсатор 1 (рис. 1-10), изменением емкости которого настраивают резонатор в процессе налаживания приемного устройства. Другой конец внутреннего проводника соединяют с внешним проводником через варикап 2 . Изменяя напряжение смещения на его $p-n$ переходе с помощью переменного резистора R_x , настраивают резонаторы на требуемую частоту в процессе эксплуатации. Управляющее напряжение поступает на аноды варикапов через постоянные резисторы 8 (МЛТ-0,25 по 47—68 кОм).

Основные параметры резонаторов

Рабочая длина волны λ или частота f (либо диапазон волн, частот) задается при расчете резонатора.

Волновое сопротивление z_0 отрезка линии, образующего резонатор, зависит от геометрических размеров линий в ее поперечном сечении; z_0 резонаторов различных конструкций может быть определено по графикам на рис. 1-11—1-14. Добротность Q , эквивалентное резонансное сопротивление R_{0e} и полоса пропу-

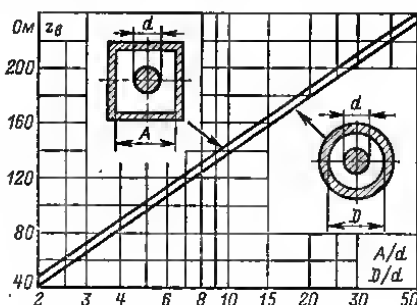


Рис. 1-11.

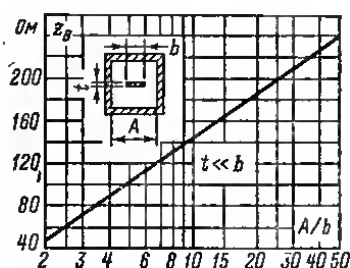


Рис. 1-12.

скания $2\Delta f$ резонатора, как и одноименные параметры контура с сосредоточенными постоянными, взаимосвязаны.

Поскольку собственные потери в экранированном резонаторе невелики и, следовательно, он обладает высокой добротностью, в большинстве случаев можно считать, что Q , R_{0e} и $2\Delta f$ такого резонатора определяются потерями, вносимыми в него извне полупроводниковым прибором, электронной лампой и т. п.

В практике конструирования генераторов диапазона ДМВ на электровакуумных триодах наиболее распространены отрезки коаксиальных линий с $z_0 = 20 \div 60$ Ом и диаметром среднего проводника $d = 0,02 \div 0,1 \lambda$, так как при этих параметрах получается наиболее высокая собственная добротность резонатора.

Повышению добротности резонатора способствует полноразмерная его поверхность, по которой текут токи СВЧ, с последующим гальваническим серебре-

нием этих поверхностей и вторичной полировкой до зеркального блеска (внешнюю поверхность экранированного резонатора серебрить и полировать не нужно, т. к. токи СВЧ по ней не протекают). При полировке вдоль линии получается несколько лучшая добротность. С этой точки зрения полировка элементов коаксиального резонатора с применением вращательного движения нежелательна.

Если резонатор изготавливают из стали, то его поверхность нужно до серебрения омеднить и полировать как до серебрения, так и после него.

Резонаторы приемных устройств диапазона ДМВ должны быть широкополосными, т. е. обладать относительно малой добротностью. В связи с этим средние проводники таких резонаторов обычно выполняют из провода диаметром до 2 мм и принимают $A/d = 12 \div 20$. Производить отделку поверхностей широкополос-

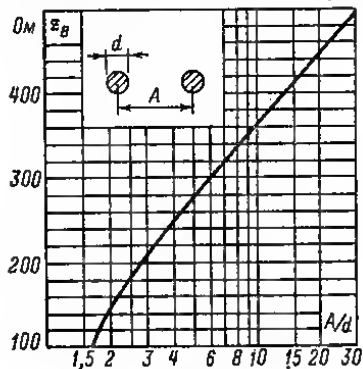


Рис. 1-13.

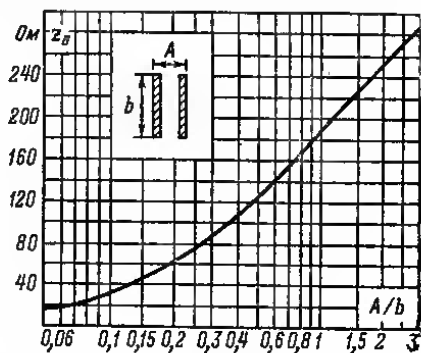


Рис. 1-14.

ных резонаторов не нужно (о применении полуволновых резонаторов в селекторах телевизионных каналов см. § 3-2).

Коэффициент трансформации n . Для резонатора с высокой добротностью

$$n = \sqrt{R_{\text{св}}/z_n}, \quad (1-17)$$

где z_n — полное сопротивление нагрузки.

Если связь с экранированным резонатором для ввода или вывода энергии осуществляется коаксиальным кабелем, то z_n представляет собой волновое сопротивление кабеля.

Расчет резонаторов

Диаметр внешнего проводника коаксиального резонатора для генератора на электровакуумном триоде с дисковыми или кольцевыми выводами выбирают с учетом удобства его механического сочленения и кратчайшего электрического соединения с выводом сетки лампы. Диаметр внутреннего проводника должен соответствовать диаметру анодного или катодного вывода лампы.

В генераторе на лампе со штырьками или с гибкими выводами можно применить резонатор в виде отрезка симметричной двухпроводной линии по возможности с большим поперечным сечением проводников и меньшим расстоянием между ними.

Широкополосный резонатор приемного устройства обычно делают экранированным, прямоугольного сечения. Такой резонатор конструктивно удобно расположить внутри шасси приемного устройства, используя в качестве внешнего проводника резонатора 2—3 стенки монтажного шасси.

Расчет четвертьволнового резонатора производят в следующем порядке.

1. Выбрав конструкцию и размеры поперечного сечения резонатора, определяют его волновое сопротивление z_0 по соответствующему графику (рис. 1-11—1-14).

2. По заданной длине волны λ (или частоте f), принимая $l < \lambda/6$, с помощью графика на рис. 1-15 определяют произведение Cz_0 и, разделив его на z_0 , находят требуемую резонансную емкость C . Если по расчету C получается чрезмерно большой, то нужно задаться большей длиной l .

3. Емкость подстроечного конденсатора, включенного между проводниками линии в генераторе по схеме рис. 1-8, а, в, определяют как разность между расчетной и междуэлектродной емкостью лампы. В случае схемы по рис. 1-8, б резонансная емкость определяется последовательным соединением междуэлектродной емкости лампы и подстроечного конденсатора.

4. Подстроечный конденсатор может быть выполнен конструктивно в виде неподвижного медного или латунного диска, припаянного к концу одного из проводников резонатора (в коаксиальном резонаторе к внутреннему проводнику), и второго такого же диска, который можно приближать к первому диску или удалять от него с помощью винта. Если диаметр каждого диска D , то требуемая емкость C получается при расстоянии t между дисками, определяемом по формуле

$$t = 0,07D^2/C, \quad (1-18)$$

Гайку (резьбу), в которой вращается регулировочный винт конденсатора, в зависимости от конструкции резонатора нрепят (иарезают) на другом его проводнике или на заземленном шасси.

5. При расчете коиндуктивной связи, определив по формуле (1-17) коэффициент трансформации n , вычисляют расстояние a от короткозамкнутого конца линии до места подключения кабеля (нагрузки) по формуле

$$a = l/n. \quad (1-19)$$

6. Точный расчет индуктивной связи с резонатором практически невозможен. В экранированном резонаторе (рис. 1-7, б) обычно размер витка связи b составляет 0,4—0,7 зазора между внутренним и внешним проводниками, а в случае симметричного резонатора (рис. 1-7, в) размер b выбирают в пределах 0,6—0,9 расстояния между проводниками A . Длина витка связи a составляет 0,1—0,2 длины резонатора l . Виток связи можно сделать прямоугольным, круглым или полукруглым.

Связь подбирают практически, поворачивая виток внутри экранированного резонатора, удаляя либо приближая виток связи к короткозамкнутому концу симметричного резонатора. Критерием оптимальной связи с резонатором генератора является наибольшая отдаваемая мощность в нагрузку, а в случае приемного устройства — наилучшая его чувствительность и требуемая полоса пропускания. Если изменением положения витка не удастся добиться оптимальной связи, нужно изменить размеры витка.

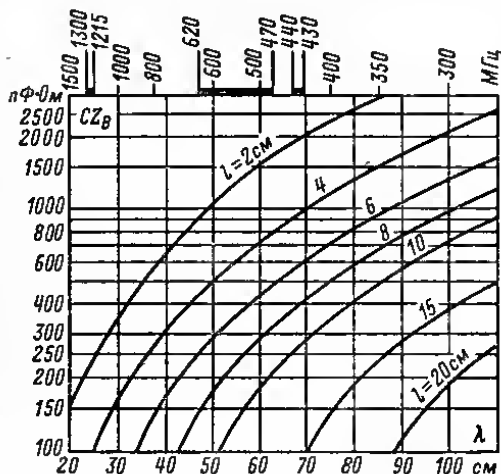


Рис. 1-15.

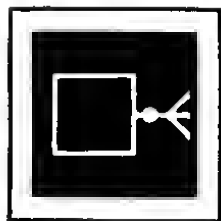
Пример. Рассчитать четвертьволновый укороченный резонатор, настраиваемый на любой из телевизионных каналов диапазона ДМВ (частоты 470—620 МГц).

Выбираем конструкцию экранированного резонатора квадратного сечения $A \times A = 20 \times 20$ мм. Его корпус легко изготовить из листовой латуни или меди толщиной 0,5—0,8 мм. Выбираем диаметр внутреннего проводника $d = 1,4$ мм и длину его, в 12 раз короче наиболее короткой волны заданного диапазона, т. е. $l = 4$ см = 40 мм. При этом $A/d = 14$, и согласно графику на рис. 1-11 резонатор будет иметь волновое сопротивление $z_b = 160$ Ом.

Согласно графику на рис. 1-15 при $l = 4$ см для частоты 620 МГц имеем $C_{zb} = 440$ и для частоты 470 МГц $C_{zb} = 800$. Следовательно, для настройки на частоту 620 МГц нужно иметь на разомкнутом конце резонатора сосредоточенную емкость $C_{мин} = 440 : 160 \approx 2,7$ пФ и для настройки на частоту 470 МГц емкость $C_{макс} = 5$ пФ. Исходя из вычисленных емкостей, определяют необходимые пределы изменения управляющего напряжения смещения варикапа.

Для расчета полуволнового укороченного резонатора можно пользоваться изложенной методикой, считая, что он состоит из двух укороченных четвертьволновых резонаторов, т. е. расчетное значение l будет в 2 раза меньше полной длины среднего проводника резонатора.

Если настройка резонатора должна в эксплуатации изменяться, то расчет ведется для средней частоты заданного диапазона перестройки. При этом емкость нижнего отрезка линии, определяемая суммой выходной емкости транзистора и установленной емкости подстроечного конденсатора, должна быть равна средней емкости варикапа, которая определяется соответствующим напряжением смещения на его $p-n$ переходе. После изготовления резонатора сопряжение контуров на границах диапазона перестройки осуществляют подстроечными конденсаторами. Сопротивления резисторов не критичны, их можно выбрать в пределах 33—68 кОм.



РАДИОВЕЩАТЕЛЬНЫЙ ПРИЕМ

РАЗДЕЛ 2

СОДЕРЖАНИЕ

2-1.	Параметры радиовещательных приемников	51
2-2.	Функциональные схемы радиовещательных приемников	60
	Приемники прямого усиления (60). Супергетеродинные приемники (60).	
2-3.	Входные цепи приемников. Магнитные антенны	66
2-4.	Усилители высокой частоты	73
	Общие сведения (73). Схемы УВЧ на транзисторах (74). Типовые схемы УВЧ на электронных лампах (78).	
2-5.	Преобразование частоты	80
	Общие сведения (80). Преобразователи частоты на полупроводниковых диодах (83). Преобразователи частоты на транзисторах (84). Преобразователи частоты на электронных лампах (91). Расчет сопряжения контуров супергетеродина приемника (91).	
2-6.	Блоки УКВ	93
	Транзисторные блоки УКВ (93). Ламповый блок УКВ радиолы «Ригонда» (95).	
2-7.	Конверторы для приема коротких волн	98
2-8.	Усилители промежуточной частоты	101
	Транзисторные УПЧ (101). Ламповые УПЧ (108).	
2-9.	Детекторы сигналов	110
	Схемы детекторов АМ сигналов (110). Детекторы на транзисторах (111). Детекторы на электронных лампах (112). Детекторы ЧМ сигналов (113).	
2-10.	Автоматические регулировки и вспомогательные устройства в радиовещательных приемниках	116
	Общие положения (116). Автоматическая регулировка усиления (117). Автоматическая подстройка частоты (122). Автоматическая настройка приемников (124). Индикаторы настройки (126).	
2-11.	Типовые схемы транзисторных приемников	125
	Общие положения (126). Приемник прямого усиления (128). Супергетеродинный приемник на микросхемах серии К237 (129). Приемник с полурастянутыми диапазонами КВ (133). Приемник с диапазоном УКВ (135).	
2-12.	Налаживание радиоприемников	139
	Порядок налаживания (139). Проверка правильности монтажа (140). Проверка режима электронных ламп (140). Настройка приемников прямого усиления (141). Настройка супергетеродинных приемников (142). Налаживание тракта приемника ЧМ (144).	

2-1. ПАРАМЕТРЫ РАДИОВЕЩАТЕЛЬНЫХ ПРИЕМНИКОВ

Радиовещательные приемники по требованиям, предъявляемым к их параметрам, делят на классы: высший, I, II, III и IV (ГОСТ 5651-64). За исключением выходной мощности и частично допустимых искажений сигнала при воспроизведении качественных показателей приемников определяются характеристиками их ВЧ трактов. Поэтому с учетом общности параметров низкочастотных трактов приемников, телевизоров и бытовых электрофонов в табл. 2-1 приведены требования к основным параметрам только высокочастотных трактов приемников различных классов. Способы измерения параметров ВЧ трактов регламентируются ГОСТ 9783-71.

Параметры высокочастотных трактов радиовещательных приемников

Параметры		Нормы ГОСТ-5651 по классам				
		Высший	I	II	III	IV
Диапазоны принимаемых частот (волн) ¹	ДВ, кГц (м) СВ, кГц (м) КВ, МГц (м) УКВ, МГц (м)	150,0—408,0 (2000,0—735,3) 525,0—1605,0 (571,4—186,9) 3,95—12,10 (75,9—24,8) 65,8—73,0 (4,56—4,1)				
Промежуточная частота для диапазонов	ДВ, СВ и КВ, кГц УКВ ¹ , МГц	465 ± 2 6,5 ± 0,1; 6,8 ± 0,1; 10,7 ± 0,1				
Чувствительность при отношении напряжения полезного сигнала к напряжению шумов на выходе не менее 20 дБ в диапазонах ДВ, СВ, КВ и 26 дБ в диапазоне УКВ	Со входа от внешней антенны, мкВ, не хуже	ДВ и СВ КВ УКВ ²	50 50 5	150 200 10 20	200 — 30	300 — —
	С внутренней магнитной виточной (для переносных приемников), мВ/м, не хуже	ДВ СВ	— —	1,0 0,7	2,0 1,0	2,5 1,5
Эффективность встроенной УКВ антенны, дБ, не хуже	Селективность по соседнему каналу в диапазонах ДВ и СВ, дБ, не менее	—15 60	—	—20 46	— 26	— 20
Усредненная крутизна ската резонансной характеристики в диапазоне УКВ в интервале ослабления от 6 до 26 дБ, дБ/кГц, не менее	Ширина полосы пропускания тракта УКВ, кГц	0,25	—	0,20 0,17	0,15	—
		120—160	—	120—180	—	—

Продолжение табл. 2-1

Параметры	Нормы ГОСТ-5651 по классам					
	Высший	I	II	III	IV	
Ослабление сигнала по зеркальному каналу, дБ, не менее	ДВ	46	40	26 ³	20 ⁴	
	СВ	50	26	20	20	
	КВ	14	12	—	—	
	УКВ	30	22	20	—	
Уход частоты гетеродина от самопрогрева (от измеренной через 5 мин после включения приемника), кГц, не более	В течение первого часа на частотах 65,8—73,0 МГц		50		—	
	В течение 15 мин на частотах 6—9 МГц 9—12 МГц		4 6	— —	— —	
Излучение гетеродина в диапазоне УКВ (на расстоянии 3 м), мкВ/м, не более	150					—
Ослабление сигнала с частотой, равной промежуточной (для приемников с питанием от сети), дБ, не менее	40	34	30	26	26	26
Действие АРУ в диапазонах ДВ, СВ и КВ	Изменение напряжения на входе приемника, дБ		40	26		
	Соответствующее изменение напряжения на выходе приемника, дБ, не более		8	12	10	12

¹ Диапазон КВ в приемниках классов III и IV в диапазоне УКВ в приемниках класса IV ГОСТ не предусматривается.

² При входном сопротивлении 300 Ом.

³ Для приемников с автономным питанием ГОСТ допускает 20 дБ.

⁴ Для приемников с автономным питанием ГОСТ допускает 16 дБ.

Ввиду отсутствия у большинства радиолюбителей необходимого комплекта измерительных приборов, эти способы приведены ниже с некоторыми упрощениями, не приводящими к существенным ошибкам в определении основных параметров.

Чувствительность РВ приемника. При приеме на внешнюю антенну чувствительность приемника характеризуется минимальным ВЧ напряжением на его входе (мкВ, мВ), а при приеме на встроенную антенну — минимальной напряженностью электромагнитного поля радиостанции в месте приема (мкВ/м, мВ/м), при которых получается стандартная выходная мощность при заданных параметрах принимаемого сигнала и допустимом отношении сигнал/шум.

Таблица 2-2

Стандартные частоты для проверки параметров РВ приемников

Диапазон 0,15—30 МГц			Диапазон 66—73 МГц													
21 частота	11 частот	3 частоты	5 частот	3 частоты	1 частота											
160 кГц	160 кГц	250 кГц	66 МГц	66 МГц	69 МГц											
200 кГц	250 кГц		67 МГц	69 МГц												
250 кГц																
315 кГц																
400 кГц																
560 кГц	400 кГц	1,0 МГц	71 МГц	73 МГц												
630 кГц	560 кГц		73 МГц													
800 кГц	1,0 МГц															
1,0 МГц																
1,25 МГц																
1,4 МГц																
1,6 МГц																
4,0 МГц	1,4 МГц					73 МГц										
6,1 МГц	4,0 МГц															
7,2 МГц	7,2 МГц															
9,6 МГц	7,2 МГц															
11,8 МГц																
15,3 МГц									11,8 МГц							
17,8 МГц									17,8 МГц							
21,6 МГц									25,8 МГц							
25,8 МГц																

Способ измерения. Реальную чувствительность обычно измеряют на стандартных частотах, которые разделены на группы в зависимости от количества измеряемых точек в каждом диапазоне принимаемых частот. Эти частоты для диапазонов ДВ, СВ, КВ и УКВ приведены в табл. 2-2. Генератор сигналов через необходимый эквивалент антенны (табл. 2-3) соединяют со входом приемника для определения чувствительности по напряжению или со стандартной рамкой (рис. 2-1) для определения чувствительности по полю; устанавливают по шкале генератора сигналов необходимую частоту и включают модуляцию (амплитудную или частотную). К выходу приемника подсоединяют вольтметр переменного тока (желательно через полосовой фильтр, пропускающий только частоту модуляции). Регулятор громкости приемника устанавливают в положение наибольшей громкости и настраивают приемник на частоту генератора сигналов по максимуму сигнала на выходе, на середину полосы пропускания или по

минимуму искажений. Регуляторы тембра и полосы пропускания должны находиться в положении, соответствующем широкой полосе пропускания. Изменяя уровень сигнала от генератора сигналов, добиваются на выходе приемника напряжения, соответствующего стандартной выходной мощности. После получения стандартной мощности выключают модуляцию генератора сигналов и определяют уровень шума на выходе приемника. Если заданное отношение сигнал/шум не выполняется, подбирают такое положение регулятора громкости приемника и такой уровень сигнала от генератора сигналов, при которых обеспечиваются стандартная выходная мощность и заданное отношение сигнал/шум.

Таблица 2-3

Эквиваленты антенн

Вид эквивалента антенны	Диапазон КВ (АМ)	Диапазон УКВ (ЧМ)
ЭАВ 1/1		
ЭАВ 2/1		
ЭАВ 3/1		
ЭАВ 1/2		

Продолжение табл. 2-3

Вид эквивалента антенны	Диапазон КВ (АМ)	Диапазон УКВ (ЧМ)
ЭАВ 2/2		
ЭАВ 3/2		

Для измерения максимальной чувствительности регулятор громкости ставят в положение, соответствующее наибольшей громкости, а регуляторы тембра и полосы — в положение, соответствующие самой узкой полосе пропускания. Изменением уровня сигнала от генератора сигналов добиваются на выходе приемника напряжения, соответствующего стандартной выходной мощности, при этом соотношение сигнал/шум на выходе приемника при выключенной модуляции генератора сигнала может отличаться от заданного.

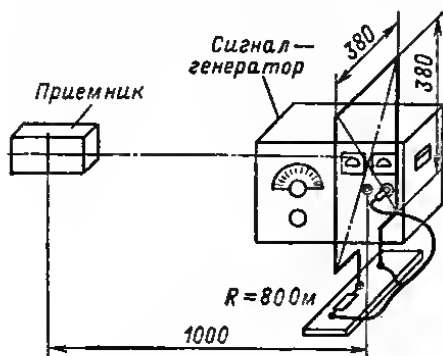


Рис. 2-1.

Измерения чувствительности производят при следующих условиях: глубина модуляции несущей частоты генератора сигналов $m = 0,3$ (в случае ЧМ $m = 0,3$ соответствует девятикратной частоте 15 кГц при пиковой девятикратной частоте 50 кГц); частота модуляции $F = 1000$ Гц; стандартная выходная мощность 50 мВ·А для приемников с номинальной выходной мощностью

$P_{\text{вых}} \geq 150$ мВ·А и 5 мВ·А для приемников с $P_{\text{вых}} < 150$ мВ·А; отношение сигнал/шум составляет 20 дБ для АМ и 26 дБ для ЧМ сигналов.

Селективность РВ приемника — совокупность параметров, характеризующих его способность ослаблять мешающее действие сигналов в различных дополнительных (побочных) каналах приема. Параметры селективности современных супергетеродинных РВ приемников разделяются на три группы: параметры, обусловленные недостаточной селективностью в тракте промежуточной частоты —

селективность по соседнему каналу; параметры, обусловленные взаимодействием сильной помехи и полезного сигнала — перекрестные искажения, коэффициент забития, интерференция между несколькими сигналами; параметры, обусловленные супергетеродинным способом приема — ослабление сигналов, равных промежуточной частоте, зеркальному и другим дополнительным каналам приема.

Селективность РВ приемников при малых уровнях подводимых сигналов, т. е. в пределах линейной части амплитудной характеристики, можно с достаточной точностью измерить односигнальным способом, наиболее часто применяемом в радиолюбительской практике. При этом способе схема измерения не отличается от схемы измерения чувствительности. Сначала генератор сигналов настраивают на частоту основного канала приема по максимуму показаний измерителя выходного напряжения, затем изменением выходного уровня генератора сигналов и положения регулятора громкости РВ приемника устанавливают его номинальную чувствительность. Заметив уровень выходного сигнала, настраивают генератор сигналов на частоту соседнего, зеркального или других дополнительных каналов приема и увеличивают его выходное напряжение до значения, при котором на выходе приемника получится прежнее значение уровня выходного сигнала.

Для измерения реальной селективности применяют двухсигнальный способ, при котором необходимы два генератора сигналов. При этом способе ко входу РВ приемника или рамке генератора поля через соответствующий эквивалент антенны подсоединяют оба генератора сигналов. С помощью одного из них (при выключенном втором) устанавливают номинальную чувствительность приемника на основном канале приема и выключают модуляцию, а затем, настроив второй генератор сигналов на частоту соседнего, зеркального или иного дополнительного канала приема, увеличивают его выходное напряжение (при включенной модуляции) до появления выходного уровня сигнала, меньшего на 20 дБ (в 10 раз), чем при измерении чувствительности.

При обоих способах измерения производят на частотах сигнала 250 кГц, 1,0 и 7,2 МГц (на трех частотах — табл. 2-2) для АМ и на 69 МГц для ЧМ; параметрах модуляции как при измерении чувствительности и расстройке для частот соседнего канала приема 9 кГц для АМ и 180 кГц для ЧМ. Отношение чувствительности по дополнительным каналам приема к чувствительности на частоте основного канала приема дает значение селективности РВ приемника по соответствующему дополнительному каналу приема.

Ширина полосы пропускания ВЧ части тракта при приеме АМ сигналов — интервал частот, на границах которого чувствительность ухудшается в 2 раза (на 6 дБ) по сравнению с резонансной.

Способ измерения. Измеряют чувствительность приемника при настройке на частоту генератора сигналов и, не изменяя настройки приемника и установки регуляторов громкости и тембра, увеличивают выходное напряжение генератора сигналов в 2 раза. После этого изменяют частоту генератора сигналов в обе стороны от резонансной до тех пор, пока измеритель выходного напряжения не покажет прежнее выходное напряжение. Разность частот расстройки равна полосе пропускания.

Диапазон принимаемых частот — область частот, на которые может быть настроен приемник.

Способ измерения. На вход приемника подают напряжение от гетеродинного волномера. Указатель настройки приемника располагают в крайних точках шкалы, после чего волномер настраивают по максимуму выходного напряжения. Соответствующую граничную частоту отсчитывают по шкале волномера. Границы диапазонов частот, соответствующие ГОСТ и Радиорегламенту, приведены в табл. 2-4.

Относительная погрешность градуировки шкалы — погрешность градуировки шкалы, отнесенная к соответствующей частоте сигнала.

Способ измерения. На вход приемника подают напряжение от гетеродинного волномера. Указатель настройки приемника устанавливают на оцифрованную

точную шкалу. Гетеродинный волимер настраивают по индикатору настройки или по максимальному выходному напряжению приемника. Разность частот на шкалах приемника и волномера, отнесенная к частоте сигнала, дает процентную погрешность градуировки. Измерения производят не менее чем для двух точек каждого поддиапазона, причем крайние точки должны отстоять от концов шкалы на 10—20% ширины поддиапазона.

Таблица 2-4

Границы диапазонов частот, отведенных Международным союзом электросвязи для радиовещания

Сокращенное название диапазона	Диапазон частот, МГц	Средняя измерительная частота, МГц	Сокращенное название диапазона	Диапазон частот, МГц	Средняя измерительная частота, МГц
ДВ	0,150—0,285	0,2	49 м	5,950—6,200	6,100
			41 м	7,100—7,300	7,200
СВ	0,525—1,605	1,0	31 м	9,500—9,775	9,600
			КВ 25 м	11,700—11,975	11,800
			19 м	15,100—15,450	15,300
			16 м	17,700—17,900	17,800
75 м	2,300—2,498	2,400	13 м	21,450—21,750	21,600
	3,200—3,400	3,300	11 м	25,600—26,100	25,800
	3,950—4,000	3,975			
	4,750—4,995	4,900	УКВ	87,5—108,0	94
	5,005—5,060	5,030			

Уход частоты гетеродина от самопрогрева — изменение частоты гетеродина приемника вследствие нагревания его деталей.

Способ измерения. Гетеродинный волимер слабо связывают с гетеродином приемника. Приемник настраивают на высшую частоту каждого поддиапазона. Через 5 мин после включения приемника волимер настраивают на частоту гетеродина по нулевым делениям и производят отсчет частоты по его шкале. То же повторяют через 15 мин. Разность результатов двух измерений дает значение ухода частоты гетеродина.

Кривая верности воспроизведения приемника — зависимость звукового давления от частоты модуляции при постоянных значениях частоты, напряжения и глубины модуляции ВЧ сигнала на входе приемника.

Способ измерения. В силу больших трудностей, связанных с непосредственным измерением звукового давления в радиолюбительских условиях, кривую верности воспроизведения обычно получают косвенным путем: снятием кривой верности воспроизведения по выходному напряжению и последующим перемножением ее ординат на ординаты кривой воспроизведения громкоговорителя. Генератор сигналов соединяют с приемником так же, как и при измерении чувствительности, устанавливают выходное напряжение генератора сигналов равным 1 мВ, а глубину модуляции от внешнего звукового генератора равной 30%.

Регулятором громкости приемника устанавливают напряжение на его выходе, соответствующее стандартной выходной мощности. Регуляторы тембра и полосы пропускания устанавливают в положение, соответствующее наиболее широкой полосе пропускания, изменяя частоту звукового генератора и поддерживая неизменным коэффициент модуляции (или девиацию частоты при ЧМ), снимают зависимость выходного напряжения от частоты модуляции, измерения производят на частотах 200 нГц, 1 МГц (АМ) и 69 МГц (ЧМ).

Усредненная крутизна скала резонансной характеристики характеризует степень приближения характеристики селективности приемника к прямоугольной.

Способ измерения. От генератора сигналов ЧМ на вход приемника подают сигнал как при измерении чувствительности. При этом АПЧ выключают, а регуляторы тембра устанавливают в положение, соответствующее узкой полосе пропускания. Регулятором громкости устанавливают выходное напряжение, соответствующее стандартной выходной мощности. К конденсатору дробного детектора (или к ограничителю) подключают высокоомный вольтметр постоянного тока.

При номинальной чувствительности выключают модуляцию генератора сигналов, увеличивают его напряжение в 2 раза и, расстраивая генератор сигналов в обе стороны от частоты точной настройки, фиксируют частоты f_1 и f'_1 , при которых вольтметр показывает напряжение, равное его показаниям при точной настройке. Затем выходное напряжение генератора сигналов увеличивают в 20 раз и фиксируют частоты f_2 и f'_2 аналогичным способом. Усредненную крутизну скатов S [дБ/кГц] определяют для каждой ветви резонансной кривой по формулам

$$S = \frac{20}{f_2 - f_1}; \quad S' = \frac{20}{f'_2 - f'_1},$$

где f — в кГц.

Параметры АПЧ. Коэффициент АПЧ — величина, характеризующая, во сколько раз изменение частоты настройки при выключенной АПЧ больше, чем при включенной, при одном и том же угле поворота ручки настройки РВ приемника или изменении частоты генератора сигналов; полоса захвата АПЧ — полоса, ограниченная частотами, при подходе к которым извне срабатывает система АПЧ; полоса удержания АПЧ — полоса частот, в пределах которой АПЧ вызывает изменение частоты настройки приемника, соответствующее изменению частоты входного сигнала.

Способ измерения. Измерения проводят на трех частотах всех поддиапазонов, в которых действует АПЧ, при входном уровне в 3 раза большем номинальной чувствительности, без модуляции.

Гетеродином волномером или частотомером, слабо связанным с последним каскадом УПЧ, измеряют значение ПЧ при точной настройке приемника на частоту генератора сигналов. Включают АПЧ и расстраивают генератор сигналов в обе стороны на 50—75 кГц при ЧМ и на 5—7 кГц при АМ, определяя соответствующие этим расстройкам значения ПЧ. Коэффициентом АПЧ будет наименьшее из отношений, вычисленное по формуле

$$K_{АПЧ} = \frac{|f_c - f'_c|}{|f_{ПЧ} - f'_{ПЧ}|}.$$

Полосу захвата измеряют, подводя частоту генератора сигналов к частоте настройки приемника по шкале поочередно с обеих сторон после предварительной значительной расстройки (150—200 кГц для ЧМ и 15—20 кГц для АМ). Фиксируя частоты, на которых происходит захват АПЧ (по индикатору настройки или вольтметру постоянного тока, подключенному к выходу ЧМ детектора), определяют ширину полосы захвата АПЧ. Результатом измерения является ширина полосы частот, ограниченная частотами входного сигнала, при которых сработала система АПЧ.

Полосу удержания измеряют таким же способом, но производят расстройку генератора сигналов поочередно в обе стороны от точной настройки, фиксируя частоты, при которых происходит срыв АПЧ. Результатом измерения является ширина полосы частот, ограниченная частотами, на которых нарушилась работа системы АПЧ.

Излучение гетеродина в диапазоне УКВ характеризует интенсивность помех близко расположенным приемникам (телевизорам) от излучаемой в антенну мощности с частотой гетеродина.

Способ измерения. Вследствие больших трудностей измерения напряженности поля, создаваемого гетеродином, этот параметр приемника обычно определяют косвенным путем: измеряют напряжение сигнала гетеродина на входе блока УКВ

при подключении эквиваленте антенны. Напряжение на эквиваленте антенны 300 Ом не должно превышать 1,5 мВ.

Эффективность АРУ — величина, характеризующая степень поддержания постоянства сигнала на выходе приемника при изменении уровня сигнала на входе.

Способ измерения. Измерение производят на частотах 1 и 69 МГц, так же как измерение чувствительности при выходном напряжении приемника, соответствующем стандартной мощности, и входном сигнале, равном 50 мВ. Затем напряжение от генератора сигналов уменьшают в заданное число раз. Отношение напряжений на входе приемника, выраженное в децибелах, и соответствующее ему отношение напряжений на выходе характеризуют действие АРУ.

2-2. ФУНКЦИОНАЛЬНЫЕ СХЕМЫ РАДИОВЕЩАТЕЛЬНЫХ ПРИЕМНИКОВ

Приемника прямого усиления

Достоинство приемников прямого усиления (рис. 2-2, а—д) — простота изготовления и налаживания, делающие их удобными для первоначального этапа радиолюбительской практики; недостаток — малая чувствительность и селективность. При этом чувствительность и селективность тем хуже, чем выше частота сигнала; селективность ограничивается числом контуров и трудностью сопряжения их настроек при большом числе контуров. Область применения приемников прямого усиления без обратной связи практически ограничена диапазонами ДВ и СВ.

Улучшение чувствительности и селективности с помощью положительной обратной связи усложняет управление приемником и не гарантирует постоянства его параметров при изменении уровня принимаемых сигналов, изменении параметров антенны и напряжения питания приемника, кроме того, применение положительной обратной связи (регенерации) может вызвать излучение антенной колебаний с частотой, близкой к частоте сигнала принимаемой радиостанции, что создает помехи. Поэтому применение приемников прямого усиления с обратной связью (регенеративных приемников) без каскада усиления ВЧ, предшествующего каскаду, в котором применена положительная обратная связь, ни в коем случае не допускается (каскад усиления ВЧ ослабляет излучение помех). Принцип сверхрегенерации заключается в периодическом прерывании со сверхзвуковой частотой генерации в приемнике, настроенном на частоту сигнала радиостанции; при этом среднее за период вспомогательных колебаний усиление принимаемой частоты может достигать 1 млн. раз, что позволяет построить приемник с минимальным количеством усилительных элементов (транзисторов, ламп). Высокое качество радиоприема с помощью регенеративных и сверхрегенеративных приемников получить нельзя. Транзисторные и ламповые приемники с обратной связью позволяют вести прием сигналов, создающих на их входах напряжение порядка сотен милливольт — единиц милливольт.

Супергетеродинные приемники

В супергетеродинном приемнике (см. рис. 2-4—2-9) принимаемый сигнал преобразуется в сигнал ПЧ, на которой осуществляется основное усиление сигнала и подавление сигналов радиостанций, создающих помехи приему из-за близкого расположения их рабочих частот к частоте принимаемого сигнала. Постоянство настройки контуров ПЧ позволяет увеличить число резонансных контуров по сравнению с приемниками прямого усиления и тем самым улучшить селективность по соседнему каналу. Сосредоточение основного усиления приемника в УПЧ делает практически независимой от частоты настройки чувствительность приемников супергетеродинного типа, расширяя область их применения до диапазона УКВ, и дает возможность получить значительный запас по усилению, позволяющий ввести ряд дополнительных устройств, улучшающих эксплуатационные характеристики приемников.

Особенности супергетеродинов: наличие побочных каналов приема на ПЧ, на зеркальной частоте и на комбинированных частотах (каналы приема на гармониках принимаемого сигнала, гетеродина и промежуточной частоты).

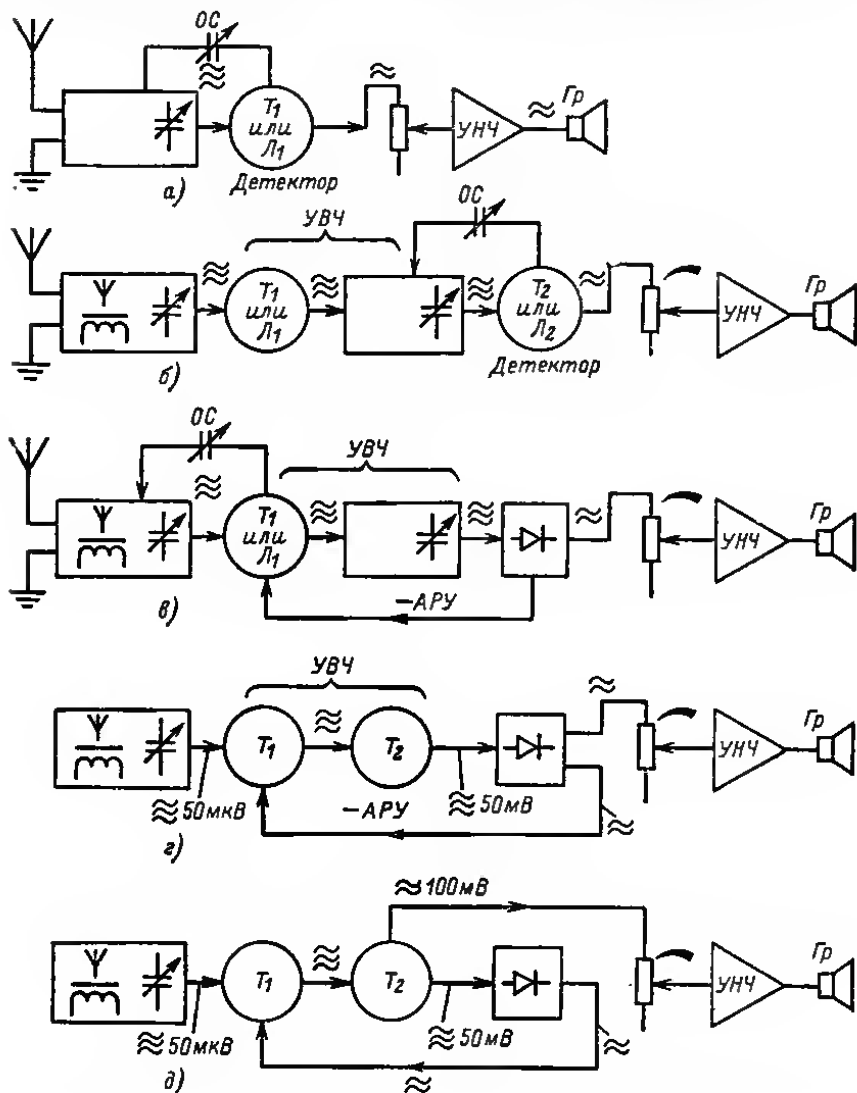


Рис. 2-2.

Возникновение побочных каналов приема заложено в самом принципе преобразования частоты и поясняется примером на рис. 2-3, где приняты следующие обозначения: f_c — частота полезного принимаемого сигнала, f_g — частота гете-

диоде или транзисторе) можно считать: 30—60 мВ для транзисторных приемников III—IV класса, 0,15—0,3 В для транзисторных приемников классов от II до высшего и 1—3 В для ламповых приемников.

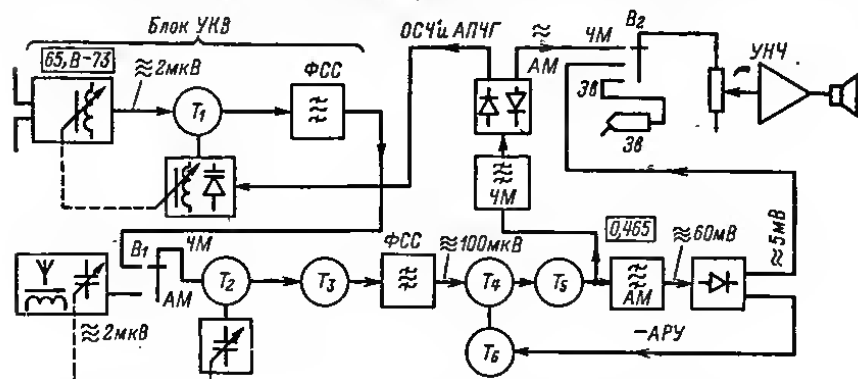


Рис. 2-7.

Приведенные данные определяют необходимое усиление и количество каскадов УВЧ и УПЧ приемника.

Питание гетеродинов должно быть стабилизировано. Для улучшения действия системы АРУ в ней применяют дополнительные каскады УПЧ или УПГ.

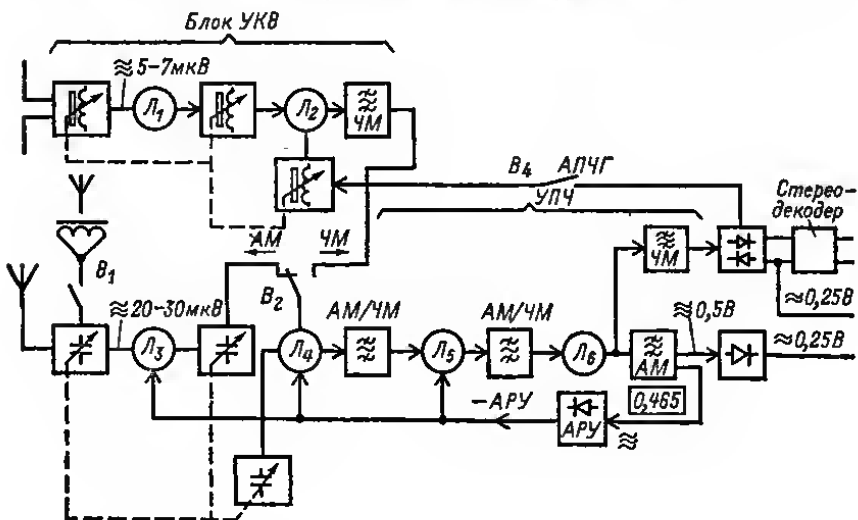


Рис. 2-8.

Приемники с диапазоном УКВ. Типовая функциональная схема подобного приемника приведена на рис. 2-6. В приемнике по схеме рис. 2-7 при приеме ЧМ сигналов на УКВ используется тракт ПЧ АМ, к которому добавлен частотный де-

тектор. С выхода детектора на гетеродин УКВ блока подается отрицательная обратная связь по частоте (ОСЧ), обеспечивающая уменьшение индекса частотной модуляции и автоматическую подстройку частоты (АПЧГ).

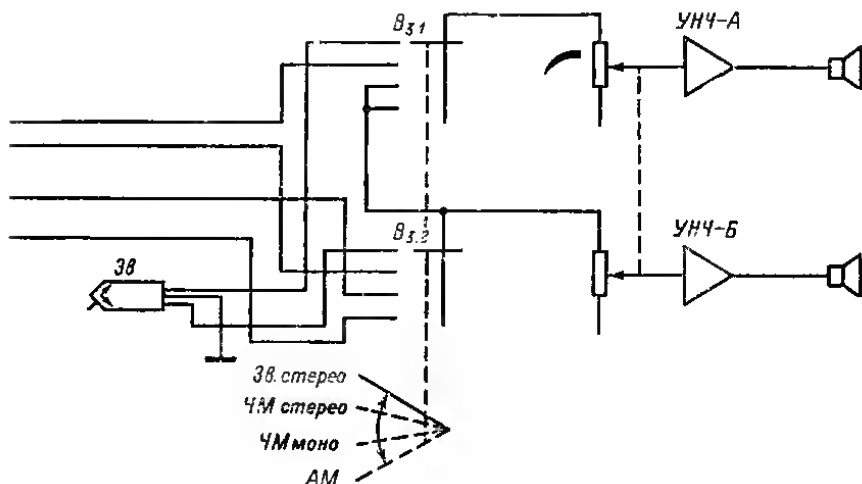
Сущность ОСЧ заключается в том, что к управляющему элементу устройства АПЧГ, кроме постоянного напряжения, значение которого пропорционально расстройке приемника по отношению к сигналу, с выхода частотного детектора подводится напряжение звуковой частоты в такой фазе, что система АПЧГ уменьшает девиацию частоты в тракте УПЧ до ширины его полосы пропускания. Полоса пропускания УПЧ не должна быть уже удвоенного значения наивысшей частоты модуляции, которая подлежит воспроизведению. Совмещение трактов ПЧ, ЧМ и АМ ограничивает полосу пропускания при ЧМ до значения полосы пропускания при АМ (4—5 кГц), что значительно упрощает схему приемника в диапазоне УКВ по сравнению с «кластической» схемой с двумя различными для диапазонов с ЧМ и АМ значениями ПЧ, поэтому она может быть рекомендована для портативных переносных транзисторных приемников.

Стерефонический ламповый приемник высшего и первого класса (рис. 2-8). Кроме каскада УВЧ, усиленной АРУ, АПЧГ в блоке УКВ, особенностью такого приемника является наличие декодера (разделителя) стереосигналов и двух каналов УНЧ для разделения и усиления стереосигналов.

Транзисторный стерефонический приемник выполняется по аналогичной схеме, но в нем необходима стабилизация напряжений питания всех каскадов УВЧ, УПЧ и гетеродина.

Иифрадин. Иифрадин (рис. 2-9) отличается тем, что его ПЧ выше максимальной принимаемой частоты, и поэтому зеркальный канал приема всегда расположен выше диапазона принимаемых частот. Это позволяет заменить перестраиваемый входной контур фильтром нижних частот с границей полосы пропускания, равной максимально принимаемой частоте. Как правило, затем частота понижается, т. е. приемник выполняется с двух- или трехкратным преобразованием частоты.

Вследствие высокого значения первой ПЧ (например, 40—50 МГц) необходима перестройка частоты контура гетеродина сравнительно невелика даже при одновременном (без разбивки на поддиапазоны) перекрытии диапазонов



ДВ, СВ и КВ. Это позволяет повысить надежность и упростить конструкцию приемника за счет исключения переключателя поддиапазонов, а также облегчает применение электронной перестройки частоты с использованием варикапов. Недостат-

ком инфрадина является большая подверженность перекрестным помехам из-за отсутствия узкополосных входных цепей. Во избежание этого недостатка требуется добиваться высокой линейности вольт-амперных характеристик усилительных элементов в первых каскадах приемника.

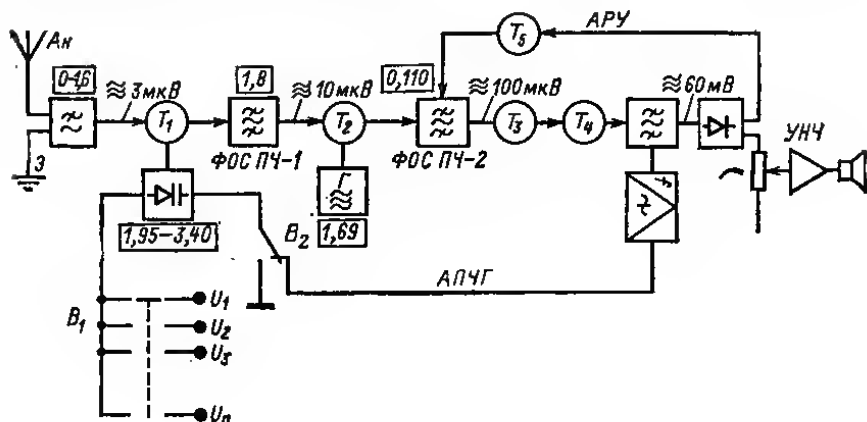


Рис. 2-9.

По схеме инфрадина часто выполняют приемники с автоматической электронной настройкой; при этом необходимо принимать меры к уменьшению перекрестных помех в УВЧ и преобразователе частоты. Современные профессиональные приемники для дальней радиосвязи, как правило, являются инфрадинами. Высококачественный инфрадин имеет сложную конструкцию и требует высокой квалификации при налаживании, поэтому он в радиолюбительской практике применяется редко.

2-3. ВХОДНЫЕ ЦЕПИ ПРИЕМНИКОВ. МАГНИТНЫЕ АНТЕННЫ

Входные цепи. Основное назначение входных цепей приемника — передача сигнала из антенны на преобразователь частоты, на вход УВЧ или детектор, осуществление селективности по соседнему каналу в приемниках прямого усиления, по зеркальному и соседнему каналам, промежуточной частоте и другим побочным каналам приема в супергетеродинах.

Входная цепь приемника на диапазонах ДВ, СВ и КВ, как правило, состоит из одного-двух резонансных контуров, настраиваемых на частоту принимаемого сигнала, и элементов связи антенны с этими контурами.

Величина и способ связи входного контура с антенной определяются заданными требованиями к чувствительности приемника и селективности входной цепи. Для получения максимальной чувствительности связь с антенной должна обеспечивать наибольший коэффициент передачи напряжения сигнала ко входу первого каскада.

В тех случаях, когда определяющую роль играет селективность входной цепи, связь с антенной выбирают из условий обеспечения заданной селективности, мирясь с уменьшением чувствительности приемника. И наоборот, в приемниках III—IV классов в диапазонах ДВ и СВ и в диапазоне УКВ иногда применяют широкополосные цепи связи с антенной, не перестраиваемые в пределах данного диапазона.

Расчет элементов резонансного контура. Перестройка контура входной цепи в заданном диапазоне частот $f_{\min} - f_{\max}$ чаще всего осуществляется конденсато-

ром переменной емкости (рис. 2-10). Расчет параметров контура производят в следующем порядке.

1. Определяют коэффициент перекрытия по частоте

$$k_d = f_{\max}/f_{\min}.$$

2. Выбрав конденсатор переменной емкости, определяют параметр

$$C_{\sim} = C_k - C_n,$$

где C_k и C_n — конечная и начальная емкости конденсатора.

3. Принимая емкость монтажа контура $C_m \approx 30 \div 50$ пФ для лампового приемника и $C_m \approx 15 \div 30$ пФ для транзисторного, определяют начальную емкость контура по формуле

$$C_0 = C_m + C_p + C_n,$$

где C_p — средняя емкость подстроечного конденсатора.

Если начальная емкость удовлетворяет условию: $C'_0 = C_{\sim}/(k_d^2 - 1)$, то индуктивность катушки определяют с помощью табл. 1-1 или по формуле

$$L_k = \frac{25 \ 330}{f_{\min}^2 (C_{\sim} + C_0)},$$

где L_k , мкГ; C_{\sim} и C_0 , пФ; f_{\min} , МГц.

Если же $C'_0 < C_m + C_p + C_n$, то следует применить конденсатор с большим значением C_{\sim} .

4. Определяют ослабление контуром помехи с частотой f_n , отстоящей от резонансной частоты на величину $\Delta f = f_{\text{рез}} - f_n$; в случае малых расстройк

$$d = \sqrt{1 + \left(\frac{2\Delta f}{f_{\text{рез}}} Q_3 \right)^2}$$

и для больших расстройк

$$d = 2\Delta f/Q_3/f_{\text{рез}},$$

где $f_{\text{рез}}$ — резонансная частота контура; Q_3 — эффективная добротность контура, зависящая от потерь, вносимых в него антенной и электронными приборами (транзистор, лампа), связанными с контуром.

Способы связи входного контура с антенной. Связь входного контура с антенной осуществляется с помощью катушки или конденсатора. В первом случае связь называется трансформаторной или индуктивной, во втором — емкостной.

Индуктивная связь (рис. 2-11, а) при частоте настройки антенной цепи f_A ниже самой низкой частоты $f_{\text{мин}}$ данного поддиапазона обеспечивает относительное постоянство коэффициента передачи напряжения $k_{\text{вх}}$ входного контура $L_k C_k$. Приближенный расчет L_A и $k_{\text{вх}}$ можно произвести с помощью номограммы на рис. 2-12 (M — взаиминдуктивность между катушками L_A и L_k).

Емкостная связь отличается большей неравномерностью коэффициента передачи (при применяемой обычно настройке контура переменным конденсатором), чем индуктивная, но в силу простоты применяется в несложных приемниках или в приемниках с узким частотным диапазоном. Она подразделяется на внешнеемкостную (рис. 2-11, б) и внутримекостную (рис. 2-11, в). Расчет элемента внешнеемкостной связи C_c производится по номограмме на рис. 2-13. При внутримекостной связи полученное по номограмме значение C_c необходимо увеличить в Q_3^2 раз.

Комбинированная связь (рис. 2-11, г) позволяет получить наибольшую равномерность коэффициента передачи напряжения антенной цепи в пределах каждого из поддиапазонов приемника,

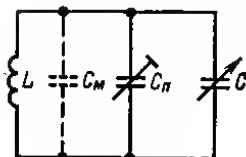


Рис. 2-10.

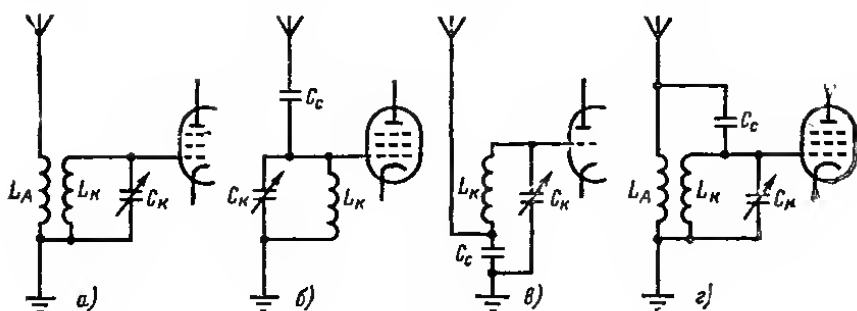


Рис. 2-11.

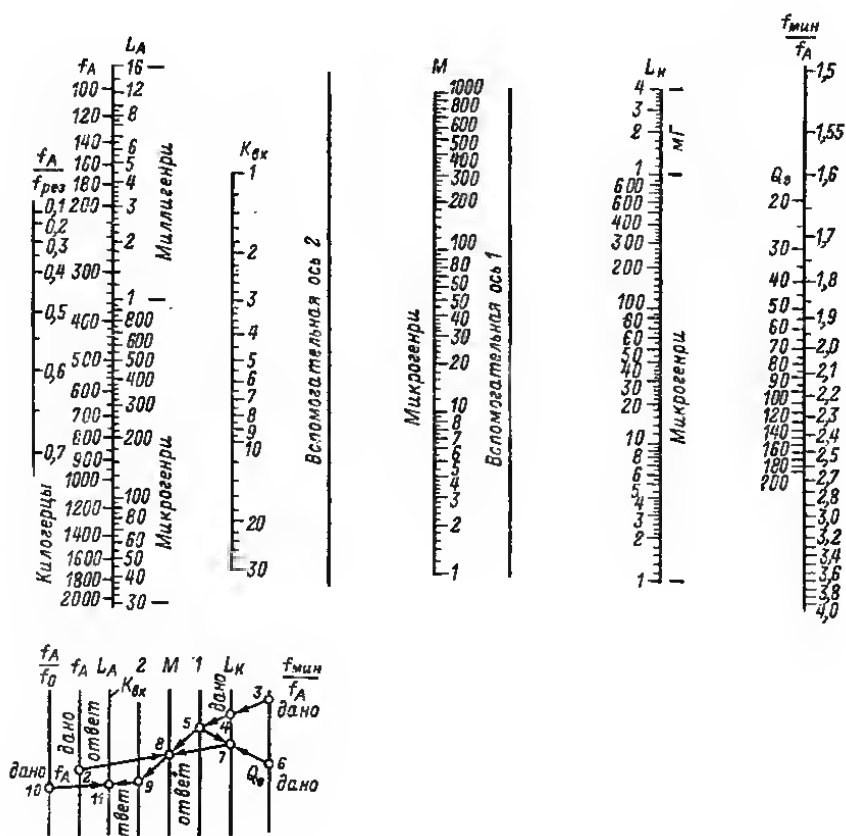


Рис. 2-12.

Связь входного контура с УВЧ. В приемниках с биполярными транзисторами из-за малого входного сопротивления первого каскада цепь базы подключается к контуру не полностью. Величина связи транзистора первого каскада с контуром зависит от коэффициента включения цепи базы p_1 , который ориентировочно равен отношению числа витков катушки связи w_c к числу витков всей контурной катушки w_k при индуктивной связи, или отношению емкости контура к емкости конденсатора связи, при емкостной связи. Для максимальной передачи энергии из контура в цепь базы транзистора входного каскада (УВЧ или преобразователя

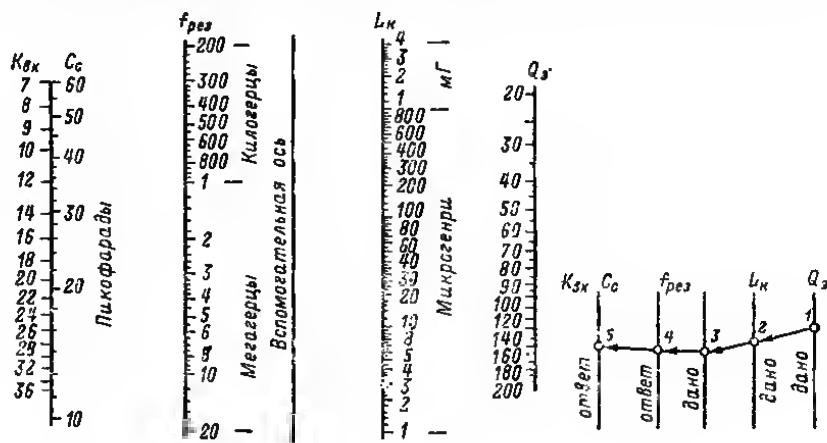


Рис. 2-13.

частоты) необходимо оптимальное согласование входного сопротивления этого каскада с сопротивлением контура при резонансе, которое получается при условии

$$p_1 = \frac{w_c}{w_k} = \sqrt{\frac{R_{вх}}{R_{oe}}},$$

где R_{oe} — эквивалентное сопротивление контура при резонансе с учетом влияния антенны (см. стр. 38).

При таком согласовании добротность контура и, следовательно, его селективные свойства ухудшаются в 2 раза. Если задана ширина полосы пропускания $2\Delta f$, то коэффициент включения

$$p_1 = \sqrt{\frac{R_{вх}}{R_{oe}} \left(\frac{\Delta f}{\Delta f_{рез}} - 1 \right)}.$$

Так как согласование возможно только на одной частоте поддиапазона, то его следует производить на средней частоте либо на одной из крайних. При согласовании на частоте f_{max} селективность будет возрастать при понижении частоты настройки контура, а при согласовании на f_{min} селективность с ростом частоты будет уменьшаться по сравнению с частотой согласования.

В приемниках с полевыми транзисторами на входе и в ламповых приемниках связь входного контура с УВЧ благодаря высокому входному сопротивлению УВЧ в диапазонах ДВ, СВ и КВ, как правило, полная: участок сетка—катод (затвор—исток) подключается параллельно всему контуру.

При оптимальном согласовании коэффициент передачи напряжения антенной цепи на вход первого каскада приемника

$$k'_{вх} = 0,5 p_1 k_{вх},$$

где $k_{\text{вх}}$ — коэффициент передачи напряжения к контуру, рассчитанный по номограмме рис. 2-13.

Магнитные антенны. Магнитные антенны — это ферритовые и рамочные антенны. По сравнению с наружными проволочными антеннами с большой высотой подвеса они, как правило, менее эффективны. Действующая высота магнитных антенн принимает значения от 0,02 (для диапазона ДВ) до 0,5—0,7 м (для диапазона КВ), тогда как действующая высота электрических антенн — от 0,8—1 м (для встроенных штыревых) до 5—15 м (для наружных). Для получения заданной чувствительности приемника с магнитной антенной усиление его ВЧ (ПЧ) тракта должно быть в несколько раз больше, чем в приемнике, предназначенном для работы с внешней или встроенной электрической антенной.

Этот недостаток магнитных антенн окупается их малыми габаритами, более высокой по-

мехозащищенностью по отношению к промышленным помехам и возможностью применения пространственной селекции.

Ферритовая антенна Ее принципиальная схема не отличается от схемы обычного колебательного контура; различие проявляется лишь в том, что катушку контура ферритовой антенны наматывают на сердечнике из феррита с большой магнитной проницаемостью.

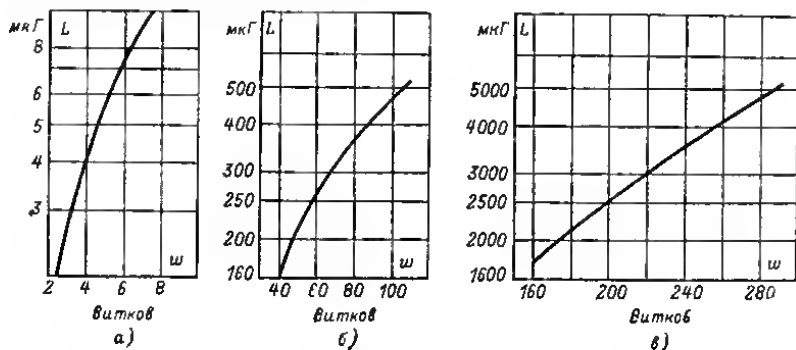


Рис. 2-15.

Напряжение в контуре ферритовой антенны

$$U = 2EQ_0 \omega S_c f_{\text{рез}} \mu_n \cdot 10^{-8},$$

где E — напряженность поля в месте приема, В/м; Q_0 — эффективная добротность; ω — число витков катушки антенны; S_c — площадь поперечного сечения сердечника, мм; $f_{\text{рез}}$ — резонансная частота, МГц; μ_n — среднее значение магнитной проницаемости сердечника.

Для сердечников из феррита марок 400НН и 700НН (рис. 2-14) при указанном размещении катушек можно принять $\mu_n \approx 100$ и $\mu_n \approx 50$ для сердечников из феррита марок 100НН и 150НН.

Зависимость между индуктивностью L и числом витков катушки антенны, выполненной на стандартном сердечнике прямоугольного сечения $4 \times 16 \times 125$ мм из феррита марки 400НН, показана на рис. 2-15. График на рис. 2-15, а соответствует намотке катушки проводом 0,4—0,6 мм с шагом 1 мм, график на рис. 2-15, б — намотке многожильным проводом ЛЭШО $10 \times 0,07$, а график на рис. 2-15, в — намотке проводом ПЭШО 0,1.

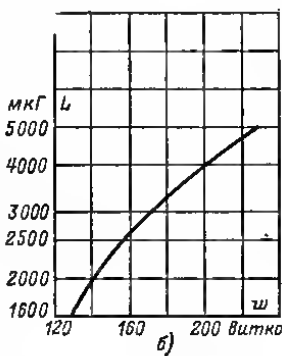
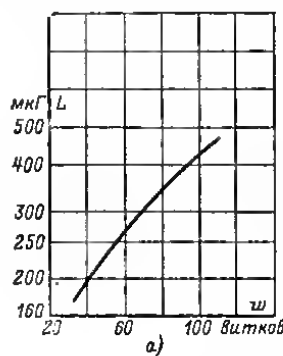


Рис. 2-16.

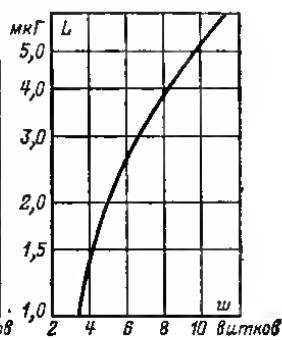


Рис. 2-17.

На рис. 2-16 показана зависимость между индуктивностью L и числом витков w катушек для антенны, выполненной на цилиндрическом сердечнике из феррита марки 700НН диаметром 8 и длиной 160 мм (намотка проводом ЛЭШО $10 \times 0,07$), а на рис. 2-17 — для антенны диапазона КВ, выполненной на сердечнике из феррита марки 150НН диаметром 10 и длиной 200 мм (намотка проводом 0,6—0,8 мм с шагом 2 мм).

Связь контура ферритовой антенны с первым каскадом приемника чаще всего трансформаторная или автотрансформаторная (рис. 2-18, а); при этом катушка связи L_c должна располагаться вплотную к катушке L_k . Во избежание ложных резонансов в диапазоне рабочих частот ферритовой антенны часто применяют проводную (автотрансформаторную) (рис. 2-18, б) или внутриемкостную связь (рис. 2-18, в).

Рамочная антенна (без ферромагнитного сердечника). Эффективность встроенной рамочной антенны (при длине корпуса приемника 150—200 мм) сравнима с эффективностью ферритовой антенны, особенно в диапазоне КВ. Собст-

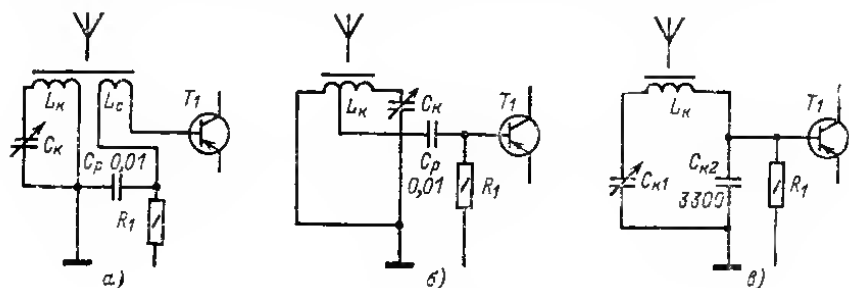


Рис. 2-18.

венная добротность рамочных антенн составляет 150—250.

Зависимость между площадью витка S и индуктивностью рамочной антенны, состоящей из 1—2 витков (для приема в диапазоне КВ), показана на рис. 2-19.

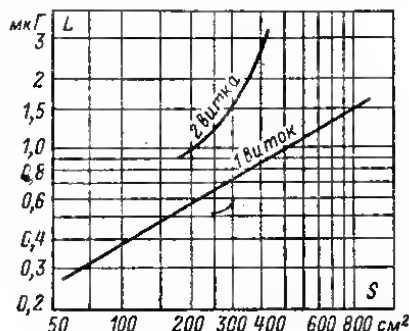


Рис. 2-19.

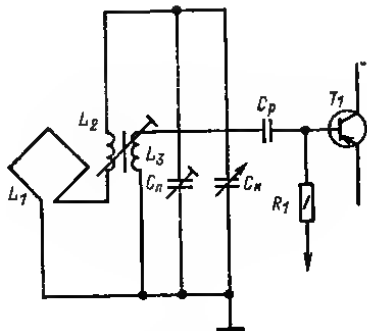


Рис. 2-20.

Связь рамочной антенны с первым каскадом лампового приемника осуществляется подключением цепи сетки первой лампы ко всему контуру. В транзисторных приемниках можно применить связь цепи базы транзистора первого каскада с контуром рамочной антенны по схеме рис. 2-20. В этой схеме часть индуктивности контура представлена катушкой L_2 , намотанной на каркасе с подстроечным сердечником. На этом же каркасе наматывают катушку связи L_3 .

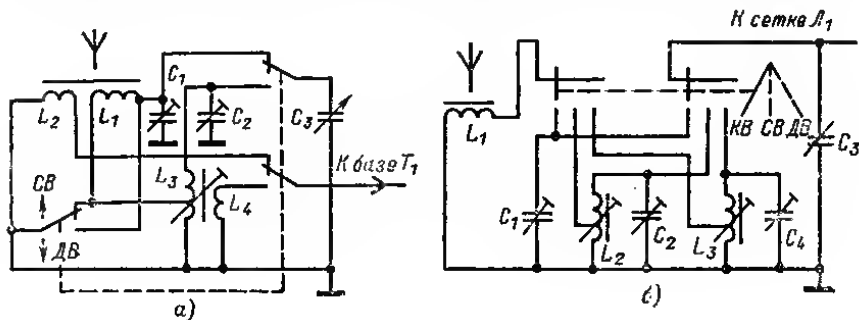


Рис. 2-21.

Во избежание ложных резонансов, снижения чувствительности на отдельных участках поддиапазонов и уменьшения селективности по побочным каналам приема следует применять одну рамочную антенну (или одну катушку на стержне ферритовой антенны) для нескольких поддиапазонов. На рис. 2-21, $a, б$ приведены схемы коммутации контуров приемника с двумя и тремя диапазонами. Катушка L_1 рамочной или ферритовой антенны является контурной катушкой самого коротковолнового поддиапазона приемника, а на остальных поддиапазонах в контур антенны включают дополнительные катушки, выполненные на отдельных каркасах, исключающих связь между ними.

2.4. УСИЛИТЕЛИ ВЫСОКОЙ ЧАСТОТЫ

Общие сведения

Для нормальной работы детектора необходимо обеспечить на его входе достаточно большой уровень ВЧ сигнала. Для усиления слабых сигналов, наводимых в антенне приемника, применяют резонансные и аperiodические каскады УВЧ.

В приемниках прямого усиления основное усиление сигналов до детектора производится в УВЧ, поэтому его коэффициент усиления может достигать нескольких сотен или даже тысяч. Применение более двух резонансных каскадов УВЧ нецелесообразно, так как при этом же числе коммутируемых и перестраиваемых контуров применение супергетеродинного приема позволяет значительно улучшить чувствительность и селективность приемника.

Коэффициент усиления каскада УВЧ (рис. 2-22), при котором еще невозможно самовозбуждение из-за влияния проходной емкости транзистора или лампы, получается при условии

$$K_{\text{макс}} \leq \sqrt{\frac{159 Y_{21\Omega}}{f C_{\text{прох}}}},$$

где $K_{\text{макс}}$ — наибольший допустимый коэффициент усиления, определяемый отношением $U_{\text{вых}}/U_{\text{вх}}$; $Y_{21\Omega}$ — крутизна проходной характеристики транзистора или лампы на данной частоте и в данном режиме ее использования, мА/В; $C_{\text{прох}}$ — проходная емкость усилительного каскада, пФ; f — частота, МГц. Если частота сигнала, усиливаемого транзисторным каскадом, $f < 0.1 f_{\text{гр}}$, то крутизну характеристики транзистора можно считать равной $Y_{21\Omega} \approx 1/h_{11\Omega}$, где $h_{11\Omega}$ — входное сопротивление транзистора, включенного по схеме ОБ, при данном рабочем токе эмиттера, при токе коллектора 1 мА — $h_{11\Omega} \approx 25$ Ом.

Если емкость $C_{\text{прох}}$ достаточно велика (например, у транзистора), то для выполнения этого условия нагрузку необходимо подключать к каскаду через трансформатор с коэффициентом трансформации

$$n = \frac{\omega_2}{\omega_1} = \frac{1}{p_2} = \sqrt{\frac{R_n Y_{21\Omega}}{K_{\text{макс}}}},$$

где ω_1 — число витков обмотки в выходной цепи транзистора (лампы); ω_2 — число витков обмотки, подключаемой к сопротивлению нагрузки; R_n — сопротивление нагрузки, кОм.

Если нагрузкой каскада является резонансный контур, в эту формулу вместо R_n следует подставлять резонансное сопротивление нагруженного контура

$$R_{oe} = \frac{160 Q_a}{f C_k},$$

где R_{oe} — в килоомах; f — в мсггерцах; C_k — в пикофарадах.

Выходное сопротивление транзистора (лампы), шунтирующее контур, при расчете, как правило, можно не учитывать, если коэффициент трансформации рассчитан указанным способом. Влиянием входного сопротивления лампы в диапазонах ДВ, СВ и КВ обычно пренебрегают, тогда как в транзисторных УВЧ следует учитывать влияние входного сопротивления транзисторов на качество контура в цепи

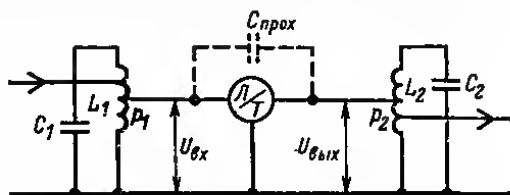


Рис. 2-22.

базы. Входное сопротивление транзистора, включенного по схеме ОЭ, на частотах $f < 0,1 f_{TP}$ можно определить по формуле

$$R_{вх.э} \approx h_{21э} h_{11б}; \text{ для } I_K = 1 \text{ мА } R_{вх.э} \approx 0,5-1 \text{ кОм.}$$

К УВЧ супергетеродинных приемников предъявляют следующие основные требования: хорошая линейность амплитудной характеристики, обеспечение соотношения сигнал/шум, возможно более близкого и достигаемого во входной цепи приемника, уменьшение проникания напряжения частоты гетеродина в антенну, уменьшение влияния настройки входного контура на стабильность частоты гетеродина, повышение эффективности АРУ.

Схемы УВЧ на транзисторах

В приемниках супергетеродинного типа высокого класса и в приемниках прямого усиления с числом перестраиваемых контуров более одного целесообразно применение каскодных усилителей (рис. 2-23); устойчивый коэффициент усиления такого усилителя с транзисторами, имеющими высокую граничную частоту, при рациональном выполнении монтажа очень велик, что обеспечивается малой проходной емкостью каскада с ОБ. Такие усилители хорошо работают в диапазоне УКВ. Так как коэффициент усиления первого транзистора по напряжению равен 1, то напряжение питания между его эмиттером и коллектором можно выбрать небольшим (1—2 В), обеспечив тем самым запас по питанию второго транзистора и избежать ограничения в его коллекторной цепи при значительных амплитудах сигнала на выходе. Температурная стабилизация осуществляется включением в цепь эмиттера резистора R_3 .

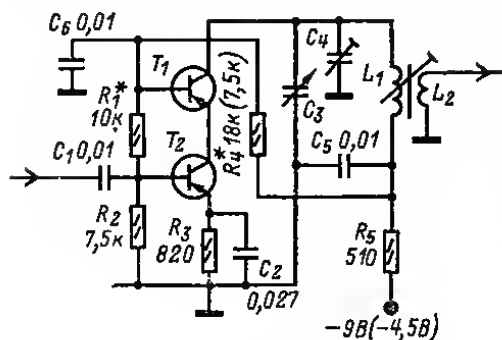


Рис. 2-23.

при токе коллектора 1 мА) такой усилитель обладает значительным коэффициентом усиления, прост в изготовлении и налаживании. При работе на диодный детектор один каскад по схеме с ОБ обеспечивает усиление в 100—300 раз в диапазонах СВ и ДВ. При работе на входное сопротивление следующего такого же каскада усиление составляет 15—50 раз в зависимости от выбранного режима и коэффициента усиления по току транзисторов.

В схеме, приведенной на рис. 2-24, а, напряжение сигнала с части катушки L_1 антенного контура через разделительный конденсатор C_2 подводится к базе транзистора T_1 , в коллекторную цепь которого включен нагрузочный резистор R_2 ; усиленный сигнал через конденсатор C_3 подается на детекторный каскад по схеме удвоения напряжения на диодах D_1 и D_2 . Эту схему следует применять при напряжении питания не ниже 6 В; при этом сопротивление резистора нагрузки может быть относительно большим (3—6 кОм), что обеспечивает достаточный коэффициент усиления. При малых уровнях сигнала коэффициент усиления такого усилителя определяется только сопротивлением резистора R_2 , так как входное сопротивление детекторного каскада велико (20—30 кОм) и практически не шунтирует резистор нагрузки. При больших уровнях сигнала входное сопротивление

небольшим (1—2 В), обеспечив тем самым запас по питанию второго транзистора и избежать ограничения в его коллекторной цепи при значительных амплитудах сигнала на выходе. Температурная стабилизация осуществляется включением в цепь эмиттера резистора R_3 .

Апериодические УВЧ. В большинстве транзисторных приемников прямого усиления, где единственным селективным элементом является резонансный контур ферритовой антенны, применяют апериодический УВЧ. Благодаря большой крутизне характеристики современных транзисторов (35—40 мА/В

детекторного каскада уменьшается до 2—3 кОм в зависимости от сопротивления нагрузочного резистора детектора, и транзистор работает практически только на него. Этим достигается некоторое выравнивание усиления различных по величине сигналов без применения АРУ. Температурная стабилизация режима осуществляется за счет глубокой отрицательной обратной связи по постоянному току благодаря включению резистора смещения R_1 между коллектором и базой транзистора.

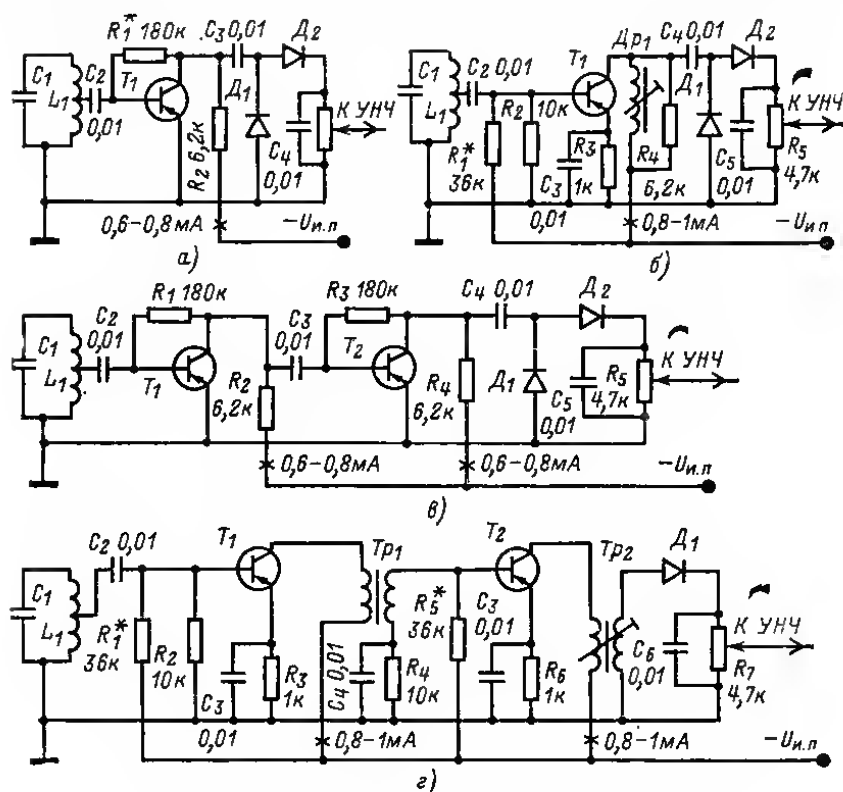


Рис. 2-24.

При низком напряжении питания целесообразно применять схему, показанную на рис. 2-24, б. Отличие состоит в том, что параллельно резистору нагрузки R_1 включен дроссель с малым сопротивлением постоянному току. Индуктивность дросселя для диапазонов СВ и ДВ должна составлять не менее 20 мГ (300 витков провода ПЭВ-1 0,1—0,07; намотка внавал на кольцевом сердечнике диаметром 7—10 мм из феррита 1000НН).

В двухкаскадном усилителе по схеме на рис. 2-24, в первый и второй каскады аналогичны усилителю, показанному на рис. 2-24, а. При низком напряжении питания в каждом каскаде двухкаскадного усилителя (рис. 2-24, в) целесообразно вместо дросселей применить трансформатор, согласующий эти каскады, а также выход усилителя со входом детекторного каскада, что значительно повышает об-

щий коэффициент усиления (число витков обмоток трансформаторов 200 и 100 соответственно, провод ПЭВ-1 0,1—0,07; сердечник — \varnothing 7 мм, 1000НН).

Схема аperiodического УВЧ супергетеродинного приемника изображена на рис. 2-25. Для нормальной работы преобразователя частоты с совмещенным гетеродином на транзисторе T_2 сопротивление резистора R_4 в коллекторной цепи

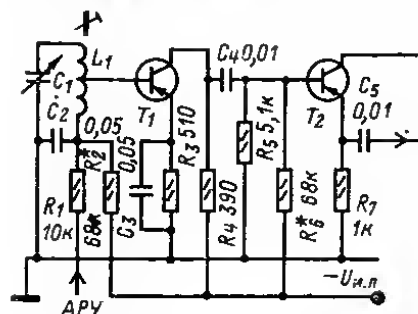


Рис. 2-25.

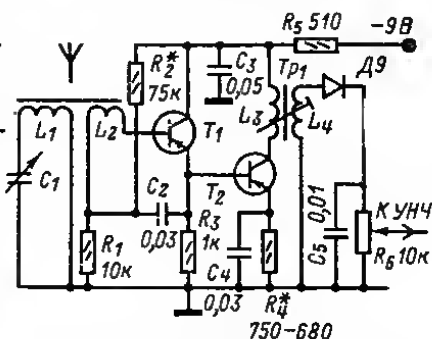


Рис. 2-26.

УВЧ должно быть возможно меньшим, таким, чтобы коэффициент усиления не превышал 10—15. В противном случае возможно значительное снижение селективности по дополнительным каналам приема из-за перегрузки преобразователя частоты сигналом.

Начинающим радиолюбителям для изготовления приемника прямого усиления можно рекомендовать двухкаскадный УВЧ по схеме на рис. 2-27. Резистор

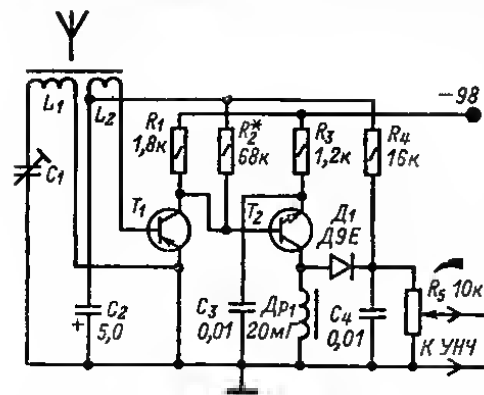


Рис. 2-27.

первого каскада охватываются АРУ при подведении напряжения регулирования только к базе первого каскада.

Усилитель на транзисторах разной структуры (рис. 2-27) обладает такими же достоинствами. Этот усилитель особенно удобен тем, что на его выходе не нужен разделительный трансформатор для осуществления АРУ (как, например, в схемах на рис. 2-25, г и 2-26).

УВЧ с высоким входным сопротивлением. Для уменьшения числа выводов у контурных катушек и, следовательно, упрощения их коммутации в приемниках

с несколькими поддиапазонами частот целесообразно применение УВЧ на трех транзисторах с непосредственной связью между ними (рис. 2-28). Такой усилитель на СВ и ДВ обладает входным сопротивлением около 1 МОм и малой входной емкостью, что позволяет подсоединить его вход непосредственно к контуру ферритовой антенны. Режим по постоянному току устанавливается автоматически и под-

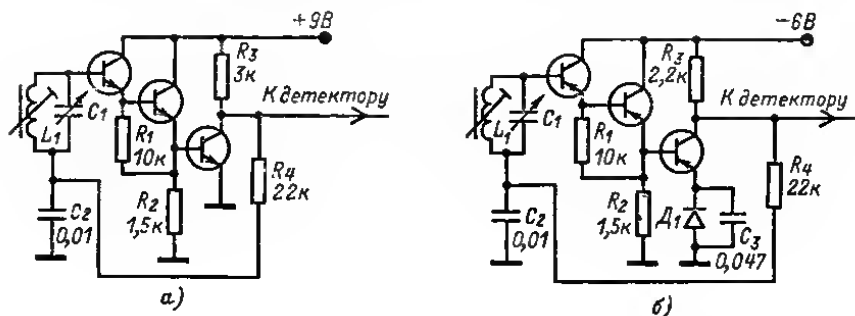


Рис. 2-28.

держивается в необходимых пределах при изменении температуры окружающей среды и напряжения источника питания благодаря глубокой отрицательной обратной связи. Сопротивление резистора нагрузки зависит от напряжения источника питания и выбранного тока коллектора. Для схемы на рис. 2-28, а, в которой должны применяться только кремниевые ВЧ транзисторы,

$$R_n = (U_{н.п} - 2) / I_K.$$

Усилитель по этой схеме удобно выполнять на транзисторной сборке К2НТ012 или К2НТ172 из соответствующих серий микросхем.

Для схемы на германиевых транзисторах (рис. 2-28, б)

$$R_n = (U_{н.п} - 1,2) / I_K.$$

Для обеспечения температурной и режимной стабильности в схеме на германиевых транзисторах необходимо применение кремниевых диода D_1 . С этого диода при необходимости может быть снято стабилизированное напряжение около 0,7 В для стабилизации рабочих точек других каскадов приемника, если потребляемый этими цепями ток не превышает 100—200 мкА.

При введении АРУ в таком случае необходимо добавить еще один транзистор (T_3 на рис. 2-29), который хорошо согласуется с эмиттерным детектором на транзисторе T_3 . При отсутствии сигнала транзистор АРУ заперт и не мешает нормальной работе при большом усилении. По мере возрастания сигнала транзистор T_3 открывается и происходит перераспределение тока между транзисторами T_3 и T_1 — T_2 , не изменяя режима по постоянному току транзистора T_4 . Одновременно уменьшающееся выходное сопротивление транзистора АРУ шунтирует по переменному току вход транзистора T_4 . В результате совместного действия указанных факторов резко падает усиление УВЧ в целом. Начальный режим транзистора T_3 и, следовательно, задержка АРУ устанавливается переменным резистором R_5 .

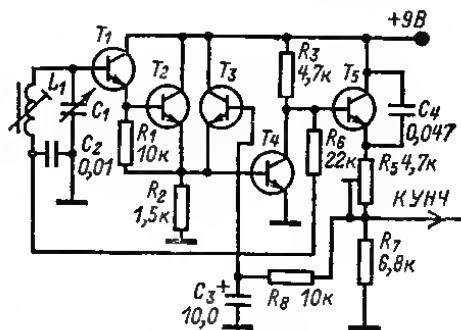


Рис. 2-29.

Еще более высоким входным сопротивлением обладает УВЧ на полевом транзисторе (рис. 2-30). В приемниках прямого усиления диапазонов СВ и ДВ возможно применение сравнительно низкочастотных полевых транзисторов типа КП102. Для уменьшения возможности его самовозбуждения из-за значительной

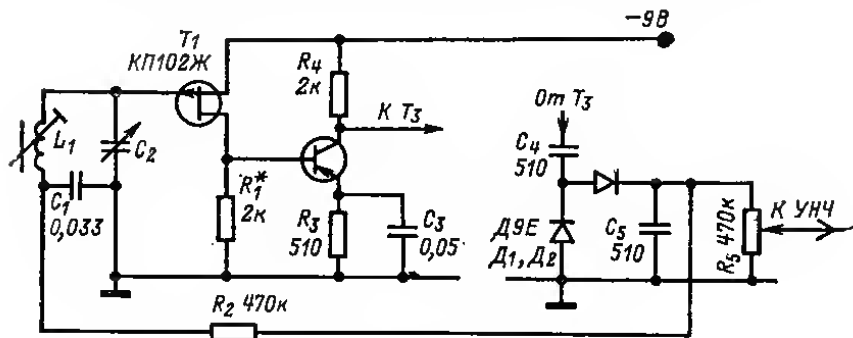


Рис. 2-30.

проходной емкости транзистор T_1 включен по схеме с общим стоком. Второй каскад усилителя выполнен на высокочастотном биполярном транзисторе любого типа структуры $p-n-p$. В правой части схемы показан детектор, от которого через фильтр R_5C_1 подается напряжение АРУ на затвор транзистора T_1 .

Возможно применение высокочастотных полевых транзисторов в каскадах УВЧ блоков УКВ. На рис. 2-31 приведена схема УВЧ на двухзатворном полевом транзисторе, рекомендуемая для применения в приемниках вы-

сокого класса и высококачественных блоках УКВ. Несмотря на возможность полного включения затвора транзистора во входной контур его подключают к части контура для снижения уровня сигнала при приеме мощных радиостанций и уменьшения перекрестных помех. Этому же способствует подведение напряжения АРУ ко второму затвору транзистора, так как крутизна его характери-

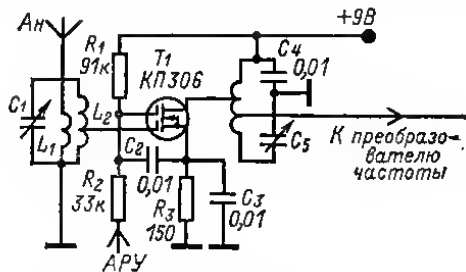


Рис. 2-31.

стики в равной мере зависит от напряжения на каждом из затворов, а входная емкость, положение рабочей точки на необходимом (оптимальном с точки зрения перекрестных искажений) участке характеристики мало изменяется при регулировании по второму затвору.

Типовые схемы УВЧ на электронных лампах

В диапазонах ДВ, СВ и КВ в приемниках прямого усиления и в УВЧ супергетеродинных приемников высшего класса применяют резонансные усилители (рис. 2-32, а). Расчет их выходных контуров производят так же, как и входных (см. стр. 36). Расчет элементов нагрузки апериодического каскада УВЧ (рис. 2-32, б) производят по номограмме на рис. 2-33, где $C_{\Sigma} = C_{\Sigma} + C_{вх} + C_{вых}$.

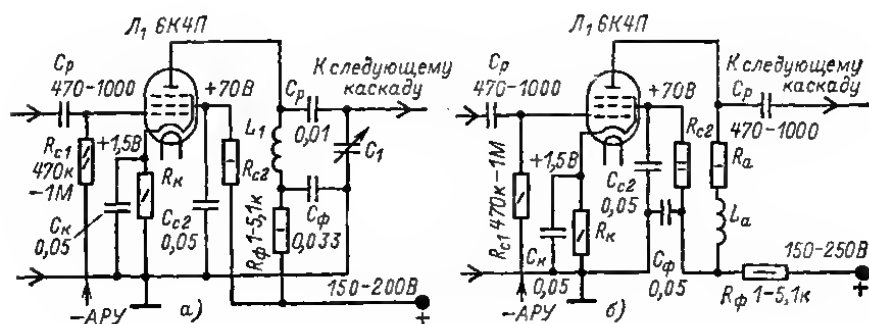


Рис. 2-32.

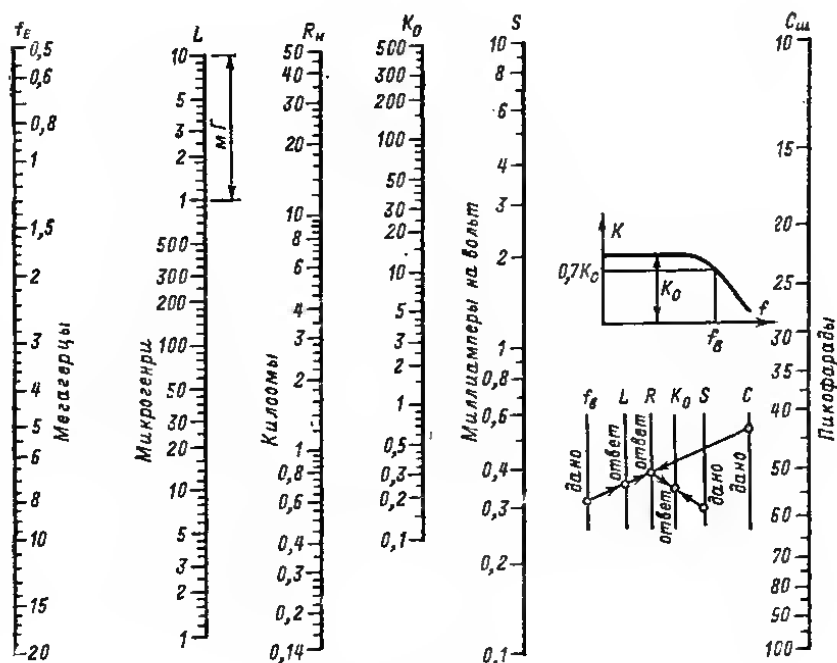


Рис. 2-33.

В диапазоне УКВ в качестве усилительных элементов часто применяют триоды, включенные по схеме с общей сеткой, позволяющие обеспечить минимальный уровень собственных шумов усилителя (рис. 2-34).

В приемниках с высокой чувствительностью применяют каскодные УВЧ на триодах (рис. 2-35), коэффициент устойчивого усиления которых не меньше,

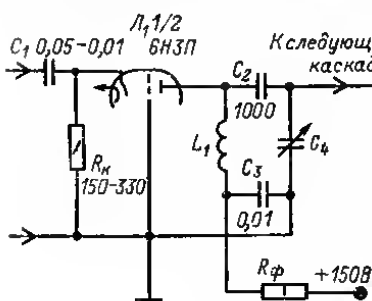


Рис. 2-34.

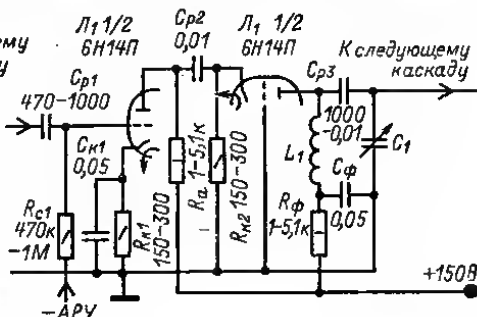


Рис. 2-35.

чем каскада на высокочастотном пентоде с малой проходной емкостью, но при значительно меньшем, чем у пентода, коэффициенте шума. Коэффициент усиления по напряжению каскодного усилителя

$$K_U = S_1 R_n,$$

где S_1 — крутизна характеристики первого триода, мА/В.

2-5. ПРЕОБРАЗОВАНИЕ ЧАСТОТЫ

Общие сведения

Так как для процесса преобразования частоты используются нелинейные свойства преобразующего элемента (ПЭ), то от правильности выбора режима его работы зависят такие характеристики приемника, как чувствительность, селективность, искажения сигнала.

В современных РВ приемниках в качестве преобразующих элементов используются полупроводниковые диоды, биполярные и полевые транзисторы. В радиолюбительской практике используются еще также электронные одно- и многосеточные лампы.

Для преобразования принимаемой частоты в промежуточную к преобразователю кроме напряжения принимаемого сигнала необходимо подвести напряжение с частотой, отличной от частоты сигнала и величину промежуточной частоты от гетеродина. Напряжение сигнала обычно значительно меньше напряжения от гетеродина, поэтому нелинейность характеристики ПЭ почти не проявляется по отношению к сигналу. Однако и в идеальном случае в промежуточную частоту могут быть преобразованы сразу две частоты из огромного множества возможных частот сигналов: основной канал приема и зеркальный канал, как это было представлено на рис. 2-3.

В зависимости от выбора рабочей точки на характеристике ПЭ и амплитуды напряжения гетеродина можно получить большее или меньшее количество нежелательных дополнительных каналов приема при одной настройке приемника, а следовательно, лучшую или худшую реальную селективность приемника. От этих же условий зависят усиление и уровень шума преобразователя, а следовательно,

чувствительность приемника. На рис. 2-36 представлена ориентировочная зависимость коэффициента шума и коэффициента усиления преобразовательного каскада по основному и дополнительным каналам приема от амплитуды напряжения гетеродина. Из этого рисунка видно, что только в сравнительно узкой области напряжений гетеродина существует приемлемый компромисс между параметрами, обеспечивающий оптимальную работу супергетеродина приемника.

Преобразователи по типу примененного ПЭ делятся на пассивные и активные, а по способу получения напряжения гетеродина — на преобразователи с отдельным гетеродином и преобразователи с совмещенным гетеродином.

Пассивные (диодные) преобразователи не усиливают сигнал; они обладают низким коэффициентом передачи. Однако они просты в конструкции и обладают сравнительно малым собственным шумом. При применении специальных схем (балансных и кольцевых) они позволяют скомпенсировать некоторые нежелательные продукты преобразования, и поэтому находят применение в приемниках высокого класса, где им предшествует каскад УВЧ, улучшающий отношение сигнал/шум.

Активные преобразователи, как правило, обеспечивают усиление преобразуемого сигнала, зависящее от параметров и режима ПЭ, они потребляют меньшую мощность от гетеродина и позволяют совмещать функции преобразователя и гетеродина в одном и том же активном элементе (транзисторе, лампе), что делает целесообразным применение их в приемниках простейших конструкций.

Развитие микроэлектроники позволило создать малогабаритные балансные активные преобразователи частоты, не уступающие по степени подавления вредных продуктов преобразования диодным преобразователям, что позволяет применять их в приемниках высокого класса.

Преобразователь с отдельным гетеродином имеет ряд достоинств: каждый из примененных в нем электронных приборов может работать в оптимальном режиме; меньше проявляется действие помех, проникающих через побочные каналы приема; меньше проникание колебаний гетеродина в антенну, могущее вызвать помехи другим приемникам; выше стабильность частоты гетеродина.

В радиолюбительских условиях (при отсутствии специальных измерительных приборов) не всегда удается обеспечить оптимальный режим преобразовательного каскада, поэтому для приемников с диапазонами СВ и ДВ целесообразно применять преобразователи с совмещенными гетеродинами, которые содержат меньше деталей и сравнительно просты в налаживании, так как при обеспечении режима самовозбуждения гетеродина автоматически устанавливаются в режим, близкий к оптимальному для преобразования частоты. К недостаткам таких преобразователей относятся большое число дополнительных каналов приема; большая, чем в случае применения отдельного гетеродина, взаимозависимость настроек входного и гетеродиного контуров; значительное проникание колебаний гетеродина в антенну и влияние изменения параметров ее на частоту гетеродина.

Усиление сигнала при преобразовании зависит от крутизны проходимой характеристики преобразующего элемента (транзистора лампы) в режиме преобразования, поскольку ей пропорциональна крутизна преобразования $S_{\text{пр}}$. Оптимальный режим преобразования по первой гармонике напряжения частоты гетеродина получается при угле отсечки выходного тока ПЭ, равном 90° , при этом $S_{\text{пр}} \approx 0,25 S_{\text{макс}}$.

Преобразование по второй (или более высокой) гармонике гетеродина иногда применяется в блоках УКВ для уменьшения проникания напряжения гетеродина в цепь антенны, и в приемниках с совмещенным преобразователем частоты на КВ для уменьшения взаимного влияния настроек входного и гетеродиного контуров.

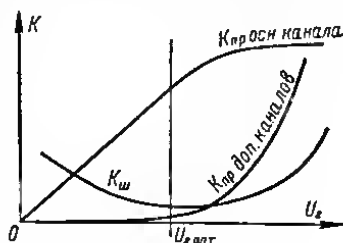


Рис. 2-36.

При этом для повышения эффективности преобразования необходимо увеличить амплитуду гетеродина до получения угла отсечки 60° (или менее), при котором достигается максимальная крутизна преобразования по необходимой гармонике

$$S_{\text{пр}}^n = S_{\text{пр}}^1 \frac{\alpha_n}{\alpha_1};$$

здесь α_1, α_n — коэффициенты разложения Фурье соответствующих номеров гармоник синусоидального усеченного импульса.

При расчете преобразователей на электронных лампах, имеющих ярко выраженный максимум крутизны проходной характеристики, за $S_{\text{макс}}$ при расчетах принимают значение крутизны характеристики, указанное в справочных данных.

При расчете транзисторных преобразователей на частотах, меньших $0,1 f_{\text{гр}}$, крутизну преобразования можно ориентировочно считать равной $0,7 \div 0,8$ крутизны его проходной характеристики в режиме усиления, которая ориентировочно равна (мА/В)

$$S \approx I_K / 0,025,$$

где I_K — постоянная составляющая тока коллектора в рабочем режиме, мА.

Входное сопротивление транзисторного преобразователя частоты

$$R_{\text{вх. пр}} \approx \frac{h_{21э}}{S_{\text{пр}}} \approx 1,2 h_{21э} h_{11б}.$$

Максимальный коэффициент усиления преобразователя ограничивается возможностью возникновения самовозбуждения на частотах, близких к промежуточной. Во избежание самовозбуждения при использовании фильтра ПЧ с большим резонансным сопротивлением коэффициент включения ПЭ в выходной контур должен быть равен

$$p_2 = \sqrt{\frac{K_{\text{макс}}}{S_{\text{пр}} R_{\text{ое}}}},$$

где $K_{\text{макс}}$ — коэффициент устойчивого усиления преобразовательного каскада в режиме усиления ПЧ, рассчитанный по соответствующей формуле из § 2-4.

Коэффициент усиления (передачи) диодного преобразователя, кольцевого или балансного, можно принять равным

$$K_{\text{пр}} = 0,5 \sqrt{\frac{R_{\text{ое ПЧ}}}{R_{\text{ое УВЧ}}}},$$

при условии его оптимального согласования с контурами УВЧ и ПЧ. Так как точный расчет входных и выходных сопротивлений кольцевого преобразователя достаточно сложен, то для расчета согласования можно воспользоваться следующими приближенными данными, справедливыми для большинства германиевых диодов при амплитуде напряжения гетеродина $100 \div 300$ мВ; входное сопротивление со стороны УВЧ и выходное со стороны ПЧ $2 \div 3$ кОм, входное со стороны гетеродина $25 \div 50$ Ом в зависимости от амплитуды гетеродина соответственно. Коэффициент включения со стороны любого входа рассчитывается по обычной формуле

$$p_{\text{вх}} = \sqrt{\frac{R_{\text{вх}}}{R_{\text{ое}}}},$$

где $R_{\text{вх}}$ — сопротивление соответствующего входа (выхода); $R_{\text{ое}}$ — эквивалентное резонансное сопротивление соответствующего контура на средней частоте рассчитываемого поддиапазона.

Для нормальной работы гетеродина выходная цепь активного элемента (лампы, транзистора) должна быть согласована с резонансным сопротивлением контура гетеродина на изшей частоте каждого из поддиапазонов; при этом коэффициент включения

$$p_r = \sqrt{\frac{I}{R_{oe} S}},$$

где p_r — коэффициент включения выходной цепи активного элемента в контур гетеродина; R_{oe} — эквивалентное резонансное сопротивление контура гетеродина на изшей частоте рассчитываемого поддиапазона. Однако точность расчета оказывается недостаточной, что может привести к возникновению паразитной генерации в гетеродине из-за слишком сильной связи с контуром. Обратную связь можно уменьшить включением в цепь эмиттера (катода) резистора с небольшим сопротивлением, который, с одной стороны, уменьшит связь с контуром, а с другой — уменьшит крутизну характеристики активного элемента в 1 — SR раз. Этот прием позволяет, не изменяя точки подключения к катушке контура гетеродина, установить оптимальный режим его работы. В ряде случаев вместо резистора включают разделительный конденсатор небольшой емкости, который одновременно предохраняет от возникновения свержегерации, часто возникающей в диапазонах КВ и УКВ, если емкость этого конденсатора не удовлетворяет условию

$$C < \frac{53 I_3 Q_3}{U_r f_{\text{макс}}} \cdot 10^3,$$

где I_3 — ток эмиттера (катода), мА; U_r — действующее значение напряжения частоты гетеродина на эмиттере (катоде), мВ; $f_{\text{макс}}$ — максимальная частота гетеродина, МГц, Q_3 — эквивалентная добротность контура гетеродина на этой частоте.

Преобразователи частоты на полупроводниковых диодах

В промышленных и радиолюбительских приемниках высокого класса применяют диодные балансные и кольцевые преобразователи частоты. На рис. 2-37 приведена схема кольцевого преобразователя, примененного в приемнике «Океан».

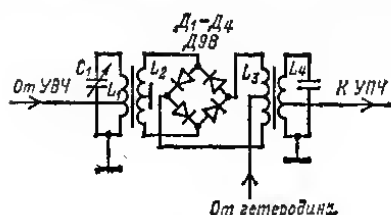


Рис. 2-37.

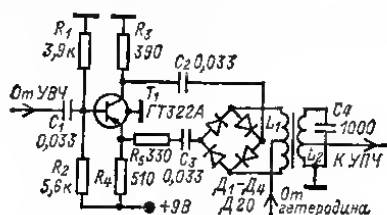


Рис. 2-38.

Входной сигнал через согласующую катушку связи со средней точкой подводится к мосту из высокочастотных германиевых диодов $D_1 \rightarrow D_4$. Ко второй диагонали моста подключена катушка связи с контуром ПЧ. К ее средней точке подведено напряжение, снимаемое с катушки связи с контуром гетеродина. Такое включение диодов (при хорошей симметрии согласующих катушек) обеспечивает подавление целого ряда побочных продуктов преобразования и практически полностью исключает прямое прохождение сигнала в цепи ПЧ и гетеродина. Для минимальных потерь сигнала в преобразователе он должен быть

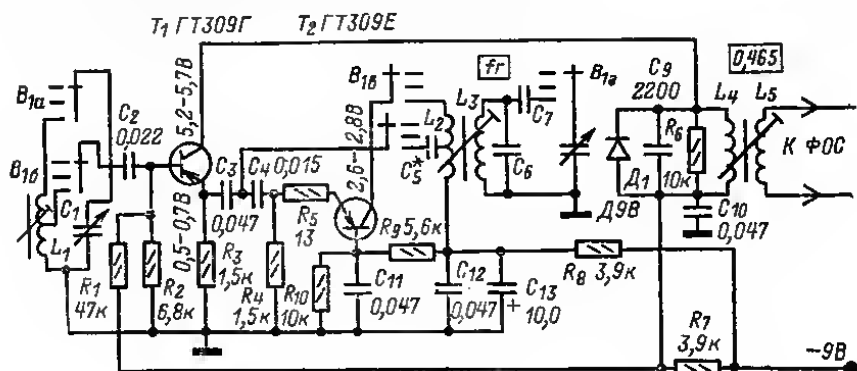
согласован по сигнальному входу, выходу ПЧ и входу гетеродина. С потерями напряжения гетеродина в катушке связи практически можно не считать, так как для тока гетеродина их половины индуктивностью не обладают, благодаря бифилярной намотке.

Линейность преобразователя по сигнальному входу сохраняется до амплитуд сигнала, равных 0,1 амплитуды напряжения гетеродина, т. е. при оптимальном напряжении гетеродина 100—300 мВ линейность сохраняется до 10—30 мВ. Это обстоятельство требует получения от УВЧ минимально необходимого для заданной чувствительности усиления и наличия его автоматической регулировки.

Недостатком приведенного преобразователя является сложность коммутации симметричного сигнального входа. Этот недостаток устранен в преобразователе по схеме рис. 2-38. Благодаря тому, что мост из четырех диодов образует для постоянного тока замкнутую цепь («кольцо»), он может быть подключен к источнику сигнала через разделительные конденсаторы. Это дает возможность вместо симметричных обмоток связи применить аperiodический каскад на транзисторе T_1 с разделенной нагрузкой, имеющий несимметричный вход. Для получения параметров преобразователя, выполненного по этой схеме, близких к параметрам предыдущего преобразователя, следует несколько увеличить напряжение гетеродина, так как в цепи тока гетеродина включены резисторы R_3 и R_5 (каждый в свой полупериод) и R_4 (в оба полупериода).

Преобразователи частоты на транзисторах

В современных промышленных транзисторных РВ приемниках с характеристиками, соответствующими требованиям II и III классов ГОСТ, как правило, применяют преобразователи частоты с отдельным гетеродином. Типовая схема такого преобразователя приведена на рис. 2-39.



постоянной времени предотвращает паразитную частотную модуляцию гетеродина при изменении напряжения питания в такт с потреблением тока УНЧ.

В настоящее время во многих промышленных приемниках используется интегральная микросхема К2ЖА371. На рис. 2-40 приведена схема ее включения для работы в качестве преобразователя во всеволновом приемнике с растянутыми диапазонами КВ. Преобразователь выполнен по балансной схеме на транзисторах T_2 и T_5 с симметричным выходом и не симметричным входом. К эмиттерам обоих транзисторов подключены коллектор одного из транзисторов гетеродина, что обеспечивает автоматическое установление режима преобразователя, согласованное с режимом гетеродина — преобразователь управляется протекающим через него током гетеродина. На выходе преобразователя ток гетеродина компенсируется, и поэтому не может перегрузить следующий за преобразователем каскад даже при плохой фильтрации его контуром ПЧ. Режим по постоянному току транзисторов преобразователя также задается выходным током транзистора

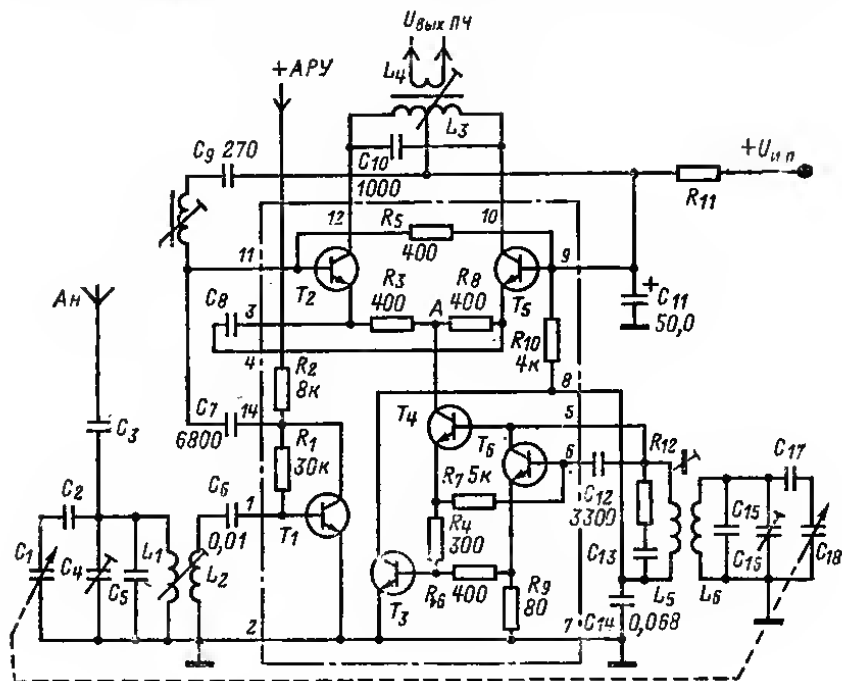


Рис. 2-40.

T_4 . Особенностью гетеродина является то, что он выполнен из двух транзисторов, включенных по схеме, подобной мультивибратору с эмиттерной связью. Однако благодаря стабилизирующей роли контура такой генератор генерирует не прямоугольные импульсы, а синусоидальное напряжение. Некоторое усложнение схемы гетеродина (два транзистора) полностью компенсируется упрощением коммутации контуров гетеродина. Транзистор T_3 служит для стабилизации режима транзисторов гетеродина, а следовательно, и преобразователя. Транзистор T_1 предназначен для работы в УВЧ с АРУ, для чего он получает питание от усилителя постоянного тока цепи АРУ, входящего в состав микросхемы УПЧ К2ЖА372). В приемниках высокого класса между УВЧ и преобразователем

включают перестраиваемый контур, а в цепь эмиттера T_1 — резистор сопротивлением 10—15 Ом для создания отрицательной обратной связи по переменному току с целью уменьшения перекрестных искажений в УВЧ.

В промышленных приемниках с характеристиками, соответствующими требованиям IV класса ГОСТ, и в радиолюбительских приемниках без диапазона КВ обычно применяют преобразователи с совмещенным гетеродином. Типовая схема

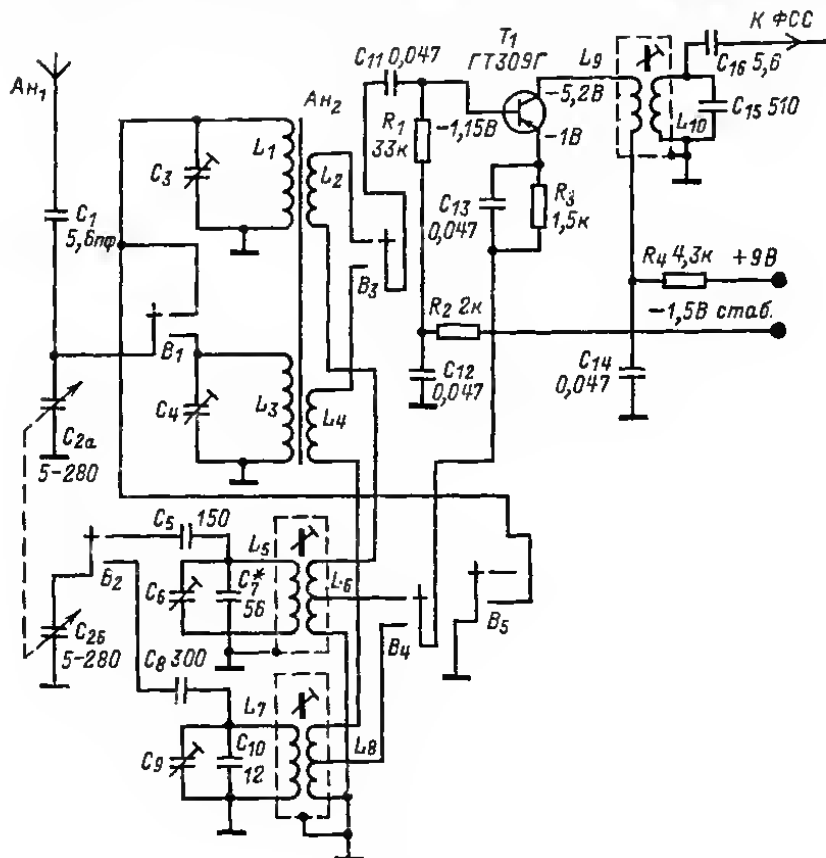


Рис. 2-41.

такого преобразователя приведена на рис. 2-41. Транзистор преобразователя для напряжения сигнала включен по схеме ОЭ, а в гетеродине по схеме ОК.

Напряжение сигнала с катушки связи с входным контуром, включенной последовательно с катушкой связи с гетеродином, подводится к базе транзистора T_1 . Для частоты входного сигнала катушка связи с контуром гетеродина, настроенным на другую частоту, представляет малое сопротивление и сигнал практически без потерь достигает база-эмиттер преобразователя. В свою очередь для токов гетеродина катушка связи с входным контуром также представляет малое сопротивление и практически не мешает его работе. Контур ПЧ, включенный через катушку связи L_4 в цепь коллектора транзистора, для частот гетеродина

также представляет относительно малое сопротивление. Однако возникающее на нем напряжение ПЧ модулирует напряжение частоты гетеродина частотами, кратными ПЧ. Эти комбинационные частоты совместно с гармониками гетеродина создают интерференционные свисты при приеме радиостанций тем в большей степени, чем хуже подобран режим работы преобразователя. Для лучшей работы преобразователя связь его коллекторной цепи с контуром ПЧ необходимо делать минимальной для получения номинальной чувствительности приемника.

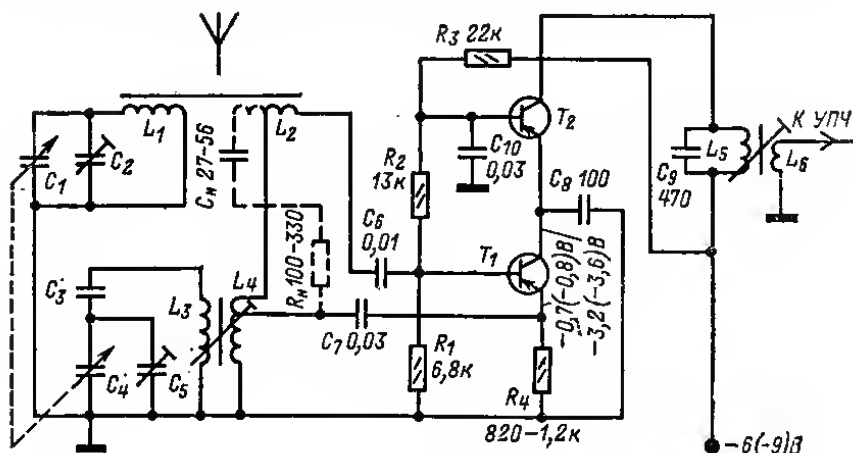


Рис. 2-42.

В радиолюбительских конструкциях приемников возможно применение различных преобразователей частоты, отличающихся друг от друга некоторыми особенностями, которые делают тот или иной вариант предпочтительней в зависимости от предъявляемых к приемнику требований.

В приемниках, к которым предъявляются требования простоты налаживания, целесообразно применение каскодных схем в УПЧ и преобразователе; в этом случае необходимое усиление может быть получено при использовании всего лишь двух каскадов. Это обстоятельство важно и тем, что при этом отсутствуют вредные связи через цепи питания, тогда как трехкаскадные усилители при недостаточной фильтрации по цепям питания склонны к самовозбуждению. Кроме того, применение каскодных схем позволяет уменьшить число отводов от контурных катушек, даже если применяются фильтры ПЧ с большим резонансным сопротивлением, вызванным применением в них контуров конденсаторов сравнительно небольшой емкости (470—270 пФ) и, следовательно, малых габаритов.

На рис. 2-42 приведена схема каскодного преобразователя частоты с совмещенным гетеродином. Здесь транзистор T_1 используется для преобразования частоты, причем для входного сигнала он включен по схеме ОЭ, а в гетеродине — по схеме ОК. Транзистор T_2 усиливает напряжение ПЧ в схеме ОБ, благодаря малой проходной емкости которой возможно включение в цепь коллектора контура с высоким резонансным сопротивлением. В отличие от предыдущей схемы ток гетеродина здесь не протекает через контур ПЧ, а замыкается через входную емкость транзистора T_2 и конденсатор C_8 . Благодаря этому уменьшаются интерференционные свисты за счет меньшей модуляции напряжения гетеродина сигналом ПЧ и его гармониками. Конденсатор C_8 емкостью 100 пФ представляет для промежуточной частоты сопротивление около 3000 Ом и практически не

шунтирует входную цепь транзистора T_2 , входное сопротивление которого имеет порядок 60—30 Ом, а на частотах, близких к $f_{гр}$, облегчает условия возникновения генерации в гетеродине.

Такой преобразователь при применении нейтрализации входной емкости для исключения связи между входным и гетеродинным контурами может быть использован и в диапазоне КВ вплоть до частот 15—20 МГц.

Цепь нейтрализации, применяемая только в диапазоне КВ, на схеме изображена пунктиром. Конденсатор C_4 лучше выполнять в виде подстроечного. Точное значение его емкости устанавливается при налаживании по минимуму проникания напряжения гетеродина во входной контур или (при отсутствии высокочастотного милливольтметра) по минимуму реакции настройки входного контура на частоту гетеродина.

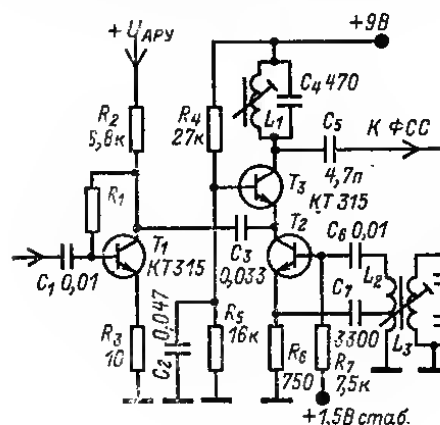


Рис. 2-43.

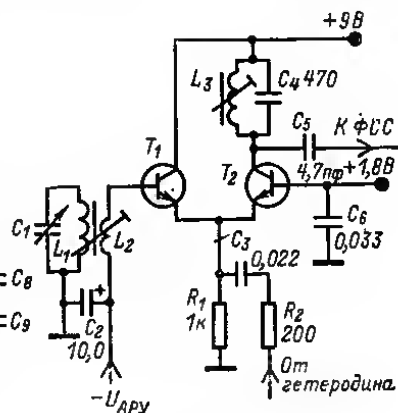


Рис. 2-44.

На рис. 2-43 изображена схема преобразователя с отдельным гетеродином. Режим преобразователя частоты определяется общим для транзисторов T_2 и T_3 током, и поэтому устанавливается автоматически близким к оптимальному после установления режима генерации. Для устойчивой работы гетеродина (особенно на КВ) при изменении питающего напряжения и окружающей температуры цепь базы транзистора T_2 желательно питать от стабилизированного источника. Так как преобразователь выполнен по схеме ОБ, то для согласования его низкоомного входа с входным контуром обязательно применение каскада УВЧ на транзисторе T_1 . Этот каскад желательно охватить АРУ для предотвращения перегрузки преобразователя при приеме сильных сигналов.

На рис. 2-44 приведена еще каскодная схема преобразователя, отличающаяся тем, что ее коэффициент усиления значительно изменяется при подведении напряжения АРУ.

Для переменного тока входного сигнала транзистор T_1 включен по схеме ОК, а транзистор T_2 — по схеме ОБ. Этим обеспечиваются сравнительно высокие входное и выходное сопротивления. Для переменного тока гетеродина оба транзистора включены по схеме ОБ. Для постоянного тока оба транзистора включены по схеме ОЭ и образуют дифференциальный усилитель. Максимальное усиление преобразователя получается при балансе дифференциального усилителя, т. е. тогда, когда токи коллекторов обоих транзисторов равны. При подведении к базе транзистора T_1 положительного или к базе транзистора T_2 отрицательного (по отношению к имеющемуся) напряжения, коллекторный ток T_1 возрастает, а T_2 уменьшается. Одновременно уменьшается крутизна

характеристики транзистора T_2 и, следовательно, усиление каскада ОБ. Коэффициент передачи каскада с транзистором, включенным по схеме ОК, почти не изменяется, так как крутизна его характеристики не может возрасти более чем в 2 раза, в то время как крутизна второго каскада падает неограниченно. Общий коэффициент усиления при регулировке может изменяться в 1000—2000 раз при изменении напряжения на базе транзистора T_1 на 100—200 мВ. Это обстоятельство дает возможность применять такой преобразователь в качестве единственного регулируемого каскада в схеме приемника. Так как режим транзистора T_1 изменится не более чем в 2 раза и в сторону увеличения его тока коллектора, то преобразователь при правильно выбранной амплитуде напряжения гетеродина обладает малым коэффициентом нелинейных искажений при значительных уровнях входного сигнала.

Количество дополнительных каналов приема в сильной степени зависит от значения напряжения гетеродина, подводимого к эмиттерам транзисторов преобразователя. Это напряжение может быть подобрано изменением сопротивления резистора R_2 . Однако следует иметь в виду, что значительное увеличение сопротивления R_2 может привести к самовозбужденному каскаду с ОК. Оптимальное эффективное напряжение гетеродина на эмиттерах преобразователя (с точки зрения минимума дополнительных каналов приема) лежит в пределах 20—30 мВ.

Преобразователь, выполненный по схеме рис. 2-45, не требует подбора напряжения гетеродина, так как его режим устанавливается автоматически в результате последовательного питания с транзисторами гетеродина. Одновременно достигается высокая экономичность, играющая существенную роль в переносных приемниках с питанием от батарей. Однако при таком способе питания возможно изменение напряжения питания гетеродина при работе АРУ, приводящее к уходу его частоты, особенно при работе на КВ. Поэтому такой преобразователь необходимо использовать в приемнике, где обеспечено поддержание напряжения на эмиттерах транзисторов T_1 и T_2 с большой точностью.

Гетеродин на двух транзисторах почти не отличается от гетеродиной части микросхемы К2ЖА371. Основные отличия заключаются в способе питания транзистора T_3 и наличии резистора R_2 . Этот резистор необходим только при появлении нежелательной прерывистой генерации, которая может возникнуть при применении транзисторов с излишне большим значением $f_{гг}$. Сопротивление этого резистора определяется экспериментальным путем и лежит в пределах от нуля до нескольких сотен ом.

При использовании в качестве T_1 и T_2 кремниевых транзисторов типа КТ315 или транзисторов сборки К2НТО12 реальная чувствительность приемника с таким преобразователем частоты достигает с базы T_1 4 мкВ. Улучшение чувствительности возможно за счет применения менее шумящих транзисторов, например ГТ322. Естественно, что в этом случае все транзисторы высокочастотного тракта приемника должны быть одного типа проводимости. В гетеродине в этом случае

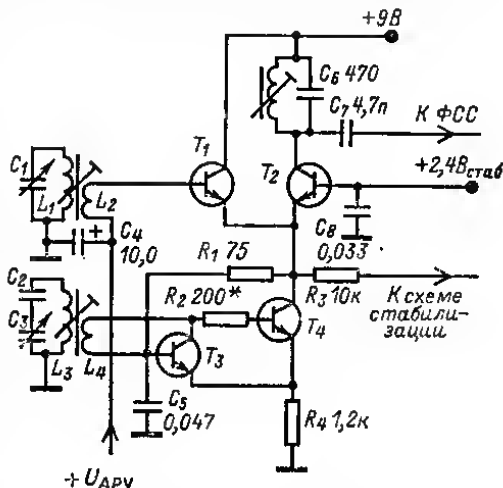


Рис. 2-45.

возможно применение транзисторов ГТ309, ГТ308 или П422, а в УПЧ — применение схемы рис. 2-28, б.

В приемниках высокого класса целесообразно применение преобразователей частоты на полевых транзисторах. Основным достоинством полевых транзисторов при работе в частотно-преобразовательных каскадах приемников является близкая к квадратичной зависимость тока стока от напряжения на затворе, при которой отсутствуют нежелательные продукты преобразования. В преобразователе на схеме рис. 2-46 возможно применение как транзисторов КП102 (на частотах до 1,5 МГц), так и транзисторов с изолированным затвором (МОП-транзисторов КП305). Для получения хороших результатов по основному для приемников

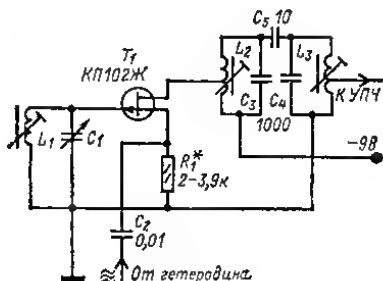


Рис. 2-46.

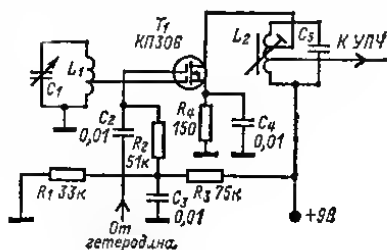


Рис. 2-47.

высокого класса параметру — линейности преобразователя — затвор транзистора T_1 необходимо подключать к части входного контура, несмотря на то что входное сопротивление транзистора позволяет осуществить полное включение.

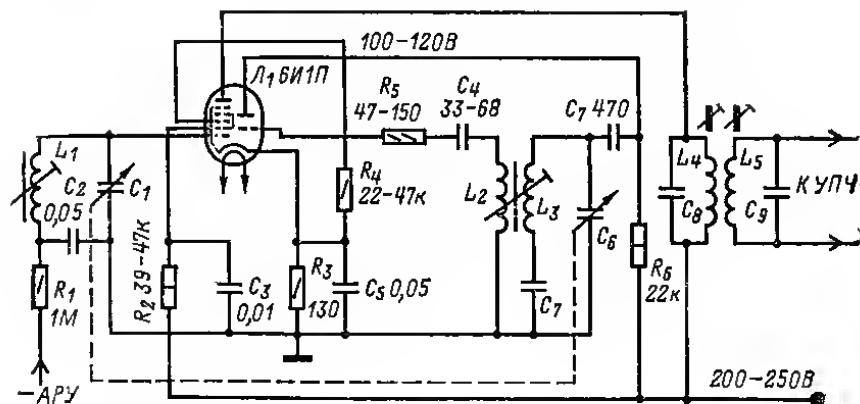


Рис. 2-48.

Коэффициент включения в контур может быть в 2—3 раза больше, чем при использовании биполярного транзистора для улучшения отношения сигнал/шум. При коэффициенте включения, в 10—20 раз больше, чем для биполярного транзистора, преимущества полевого транзистора исчезают.

Напряжение гетеродина для нормальной работы преобразователя на полевом транзисторе должно лежать в пределах 1,2—1,5 В.

Для уменьшения влияния входных цепей на работу гетеродина целесообразно применение преобразователя по схеме рис. 2-47 на двухзатворном полевом транзисторе КП306. Такой преобразователь может применяться как в диапазонах ДВ, СВ, КВ, так и в диапазоне УКВ. При необходимости преобразователь может быть охвачен АРУ. Для этого регулирующее напряжение подводится ко второму затвору транзистора. Напряжение на первом затворе транзистора подбирается по наилучшим характеристикам линейности или максимальному коэффициенту преобразования. Напряжение гетеродина (и на в предыдущей схеме) лежит в пределах 1,2—1,5 В. Коэффициент включения цепи стока для обеих схем рассчитывают по формуле, приведенной в общей части этого параграфа для ионитетного типа применяемого транзистора.

Преобразователи частоты на электронных лампах

Схемы преобразователей частоты ламповых приемников для диапазонов ДВ, СВ и КВ одиотипны, поскольку в них обычно применяется многосеточная комбинированная частотно-преобразовательная лампа — триод-гетод 6Н1П (рис. 2-48).

В диапазоне УКВ распространены преобразователи с совмещенным гетеродином, работающим, как правило, на второй гармонике частоты гетеродина. В таких преобразователях применяется мостовая цепь, состоящая из входной емкости лампы, двух половин катушки L_3 и конденсатора C_6 (рис. 2-49). Включение контура L_1C_1 , настроенного на частоту принимаемого сигнала, в диагональ моста препятствует появлению на нем напряжения с частотой гетеродина.

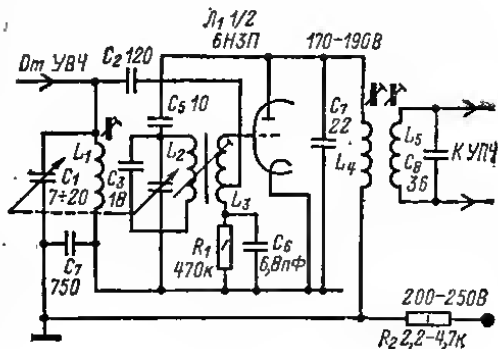


Рис. 2-49.

Расчет сопряжения контуров супергетеродиного приемника

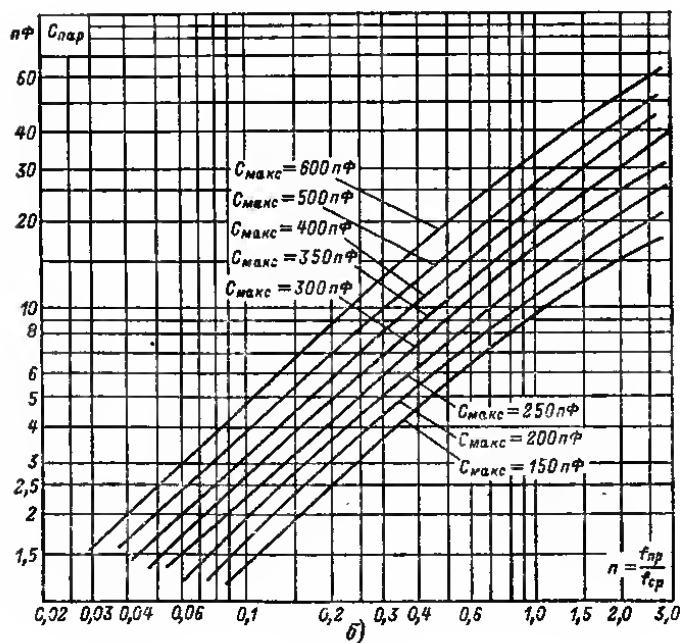
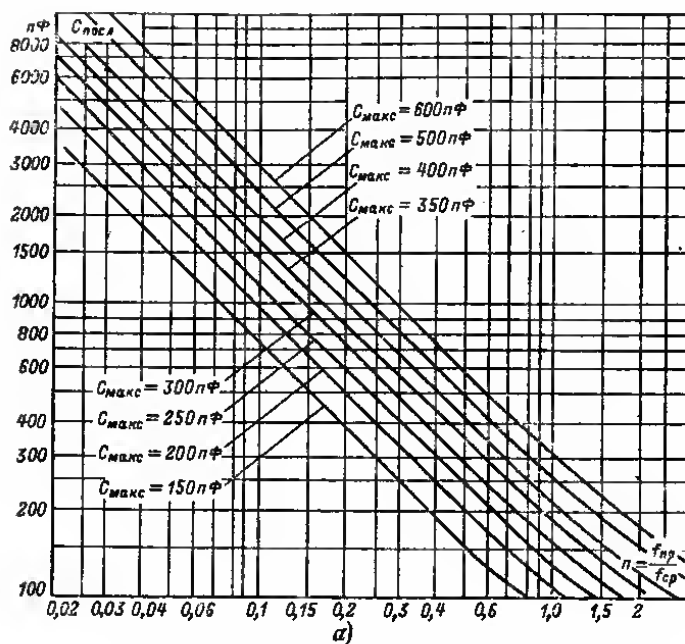
После определения параметров элементов входного контура и других сигнальных контуров приемника, настраиваемых переменными конденсаторами, производят расчет сопряжения контуров в следующем порядке.

1. Вычисляют отношение $f_{пч}/f_{ср}$, где $f_{пч}$ промежуточная частота; $f_{ср} = 0,5(f_{макс} + f_{мин})$; $f_{ср}$, $f_{макс}$ и $f_{мин}$ — средняя, максимальная и минимальная частоты данного диапазона, и по графику на рис. 2-50, а определяют емкость последовательного конденсатора $C_{полз}$ контура гетеродина.

2. По графику на рис. 2-50, б находят емкость параллельного сопрягающего дополнительного конденсатора $C_{пар}$ в контуре гетеродина.

3. По графику на рис. 2-50, в определяют коэффициент α , выражающий отношение индуктивности катушки контура гетеродина к индуктивности катушки входного контура, и вычисляют индуктивность катушки контура гетеродина.

Конструктивный расчет катушек контура гетеродина можно выполнить, пользуясь формулами и графиками из § 1-1.



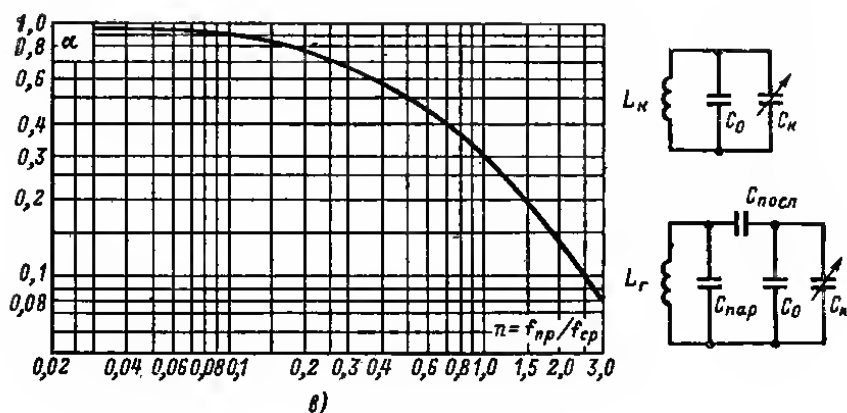


Рис. 2-50.

2-6. БЛОКИ УКВ

Транзисторные блоки УКВ

Транзистор T_1 , включенный по схеме ОБ (рис. 2-51), работает в каскаде усиления ВЧ. На входе этого каскада имеется широкополосный симметрирующий трансформатор $L_1 L_2$, намотанный в два провода на сердечнике $\varnothing 2,8$ мм из феррита

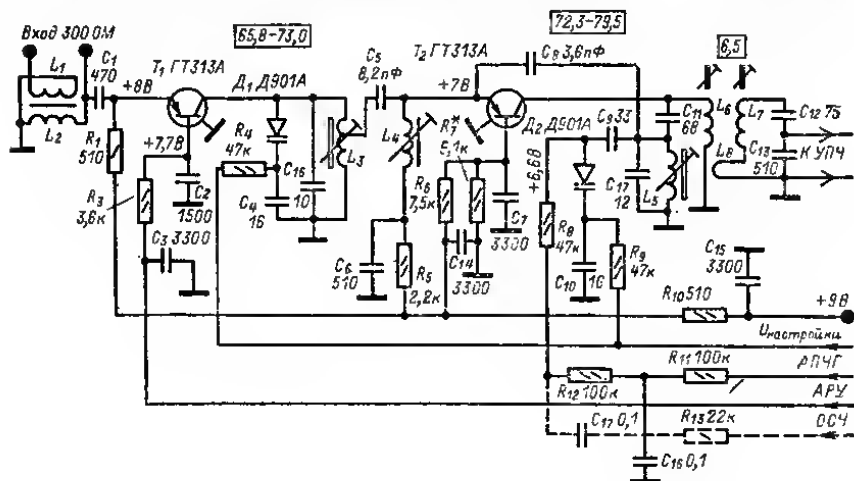


Рис. 2-51.

марки 55НН (2×4 витка). В коллекторную цепь транзистора T_1 включен перестраиваемый контур $L_3 D_1 C_4 C_{16}$, связанный со входом преобразователя частоты с совмещенным гетеродином, выполненного на транзисторе T_2 . Последний также включен по схеме ОБ. Настройка контура гетеродина $L_6 C_9 D_2 C_{10} C_{17}$ осуществляется изменением управляющего напряжения на варикапе D_2 в пределах

3—10 В, которое поступает от потенциометра настройки и с частотного детектора приемника (см. стр. 125).

Контур L_4C_6 настроен на промежуточную частоту, так же как и двухконтурный фильтр L_6C_{11} , L_7L_8 , C_{12} , C_{13} . Сопряжение ВЧ контуров осуществляется изме-

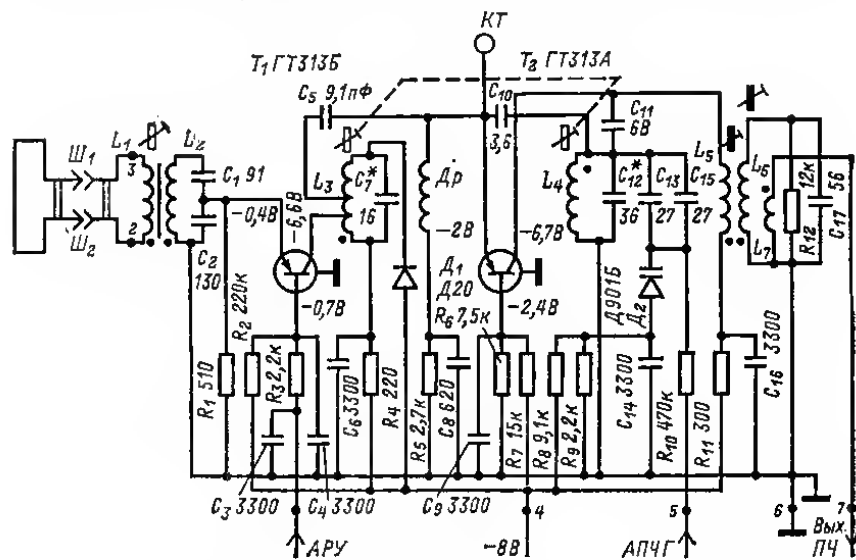


Рис. 2-52.

нением расстояния между витками катушек L_3 и L_5 и подбором емкостей конденсаторов C_{16} и C_{17} .

Данные катушек: L_3 и L_5 содержат по 6 витков провода диаметром 0,8 мм; L_7 и L_8 — по 27 витков провода диаметром 0,12 мм, на каркасах диаметром 6 мм; L_4 — 20 витков провода ПЭВ-2 на резисторе МЛТ-0,25 > 10 кОм.

При установке блока УКВ в приемник с использованием принципа обратной связи по частоте напряжение НЧ подводится к диоду D_2 через резистор R_{13} и конденсатор C_{17} с потенциометра, включенного параллельно выходу частотного детектора.

Для предотвращения перегрузки преобразовательного каскада сигналами с большим уровнем, на базу транзистора T_1 подают напряжение АРУ. При отсутствии АРУ напряжение на базу транзистора T_1 подается с делителя, состоящего из двух резисторов с сопротивлениями 3,6 и 6,8 кОм; делитель подключен к источнику коллекторного питания.

Подвижные контакты потенциометров, применяемых для настройки блоков УКВ, должны иметь хороший контакт и не изменять положения от воздействия толчков и тряски при переноске приемника. Напряжение питания блока УКВ и напряжение, применяемое для настройки, должны быть стабилизированы.

Блоки УКВ приемников «Рига-101» — «Рига-103» изготавливаются в двух вариантах: с симметричным 300-омным входом для подключения УКВ диполя (рис. 2-52) и с несимметричным 75-омным входом для подключения штыревой антенны. На входе блока имеется резонансный контур L_2C_2 , сильно нагруженный входным сопротивлением транзистора УВЧ T_1 , включенным по схеме ОБ. Этот контур настроен на среднюю частоту диапазона УКВ (около 69 МГц). Контур L_3C_7 в коллекторной цепи УВЧ и контур гетеродина $L_4C_{12}C_{13}C_{15}D_2$ пере-

страиваются перемещением латунных сердечников соответствующих катушек. Варикап D_2 в контуре гетеродина служит для АПЧГ. Обратная связь в гетеродине на транзисторе T_2 емкостная с помощью конденсатора C_{10} . Дроссель Dp совместно с конденсатором C_8 образует режекторный фильтр ПЧ. Для уменьше-

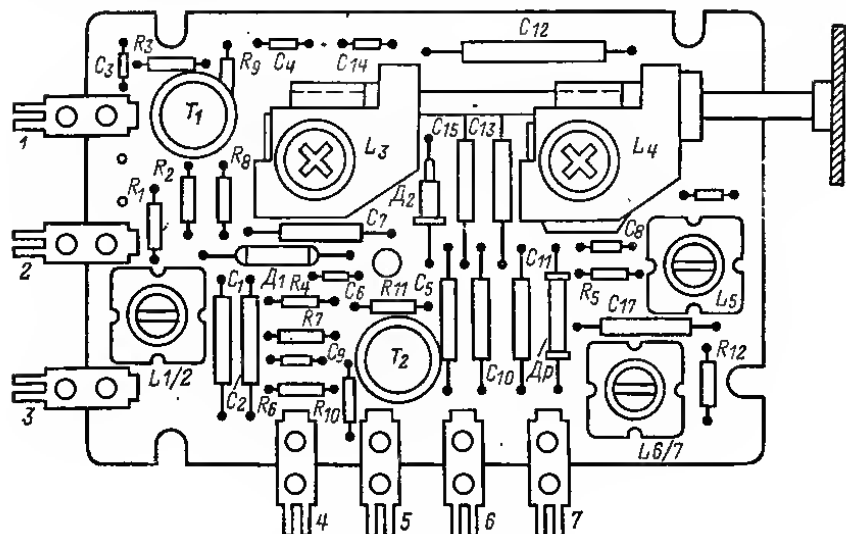


Рис. 2-53.

ния перегрузки при приеме сильных сигналов параллельно контуру УВЧ включен ограничивающий диод D_1 . Расположение деталей на монтажной плате блока показано на рис. 2-53.

Ламповый блок УКВ радиолы «Ригонда»

Симметричный диполь соединен кабелем с широкополосным входным трансформатором блока УКВ, состоящим из катушек L_1 и L_2 (рис. 2-54). Вторичный контур трансформатора настроен на среднюю частоту радиовещательного УКВ диапазона (69 МГц). Левый по схеме триод лампы 6НЗП работает в каскаде УВЧ. В его анодную цепь включен контур $L_3C_6C_7$, настраиваемый на частоту принимаемого сигнала изменением индуктивности катушки с помощью подвижного сердечника. Контур этот индуктивно связан с цепью сетки преобразователя частоты на втором триоде лампы L_1 — 6НЗП. L_4 является катушкой обратной связи. Один из конденсаторов контура $L_5C_9C_{11}$ должен иметь отрицательные ТКЕ для обеспечения стабильности частоты гетеродина. На выходе преобразователя включен двухконтурный фильтр $L_6C_{12}L_8C_{14}$. Контур его связан индуктивно витком L_7 .

На рис. 2-55 показано расположение основных деталей блока УКВ «Ригонда».

С подобным блоком можно сконструировать радиовещательный приемник с диапазоном УКВ, используя в его усилителе промежуточной частоты ФПЧ на 6,5 МГц, применяемые, например, в тракте звукового сопровождения телевизора.

Для осуществления АПЧГ конденсатор C_9 нужно заменить цепью по схеме на рис. 2-56. При этом перестройка гетеродина осуществляется варикапом Д901, емкость которого зависит от значения поступающего на него управляющего напряжения.

На рис. 2-57 изображена схема блока УКВ для высококачественного приемника. УВЧ выполнен на двухзатворном полевом транзисторе T_1 , охваченном

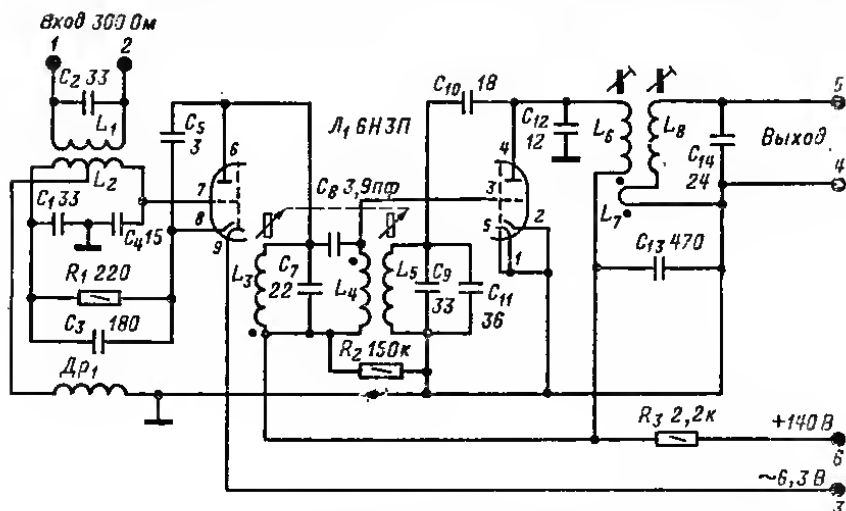


Рис. 2-54.

по второму затвору АРУ. Между УВЧ и преобразователем включен полосовой фильтр, повышающий селективность по

зеркальному каналу приема и уменьшающий перекрестные помехи. В целях уменьшения перекрестных помех контуры УВЧ настраиваются конденсаторами переменной емкости, а не варикапами. Для уменьшения влияния антенной цепи на сигнал (при больших его уровнях) на стабильность частоты гетеродина преобразователь выполнен также на двухзатворном транзисторе и не охвачен АРУ. Гетеродин выполнен на биполярном транзисторе

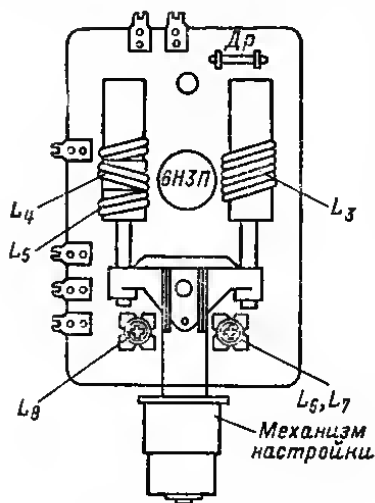


Рис. 2-55.

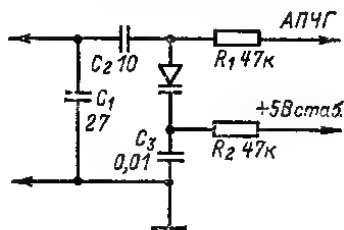


Рис. 2-56.

той же структуры, что и полевые, с индуктивной связью со стороны эмиттера и емкостной со стороны базы. Напряжение гетеродина на второй затвор

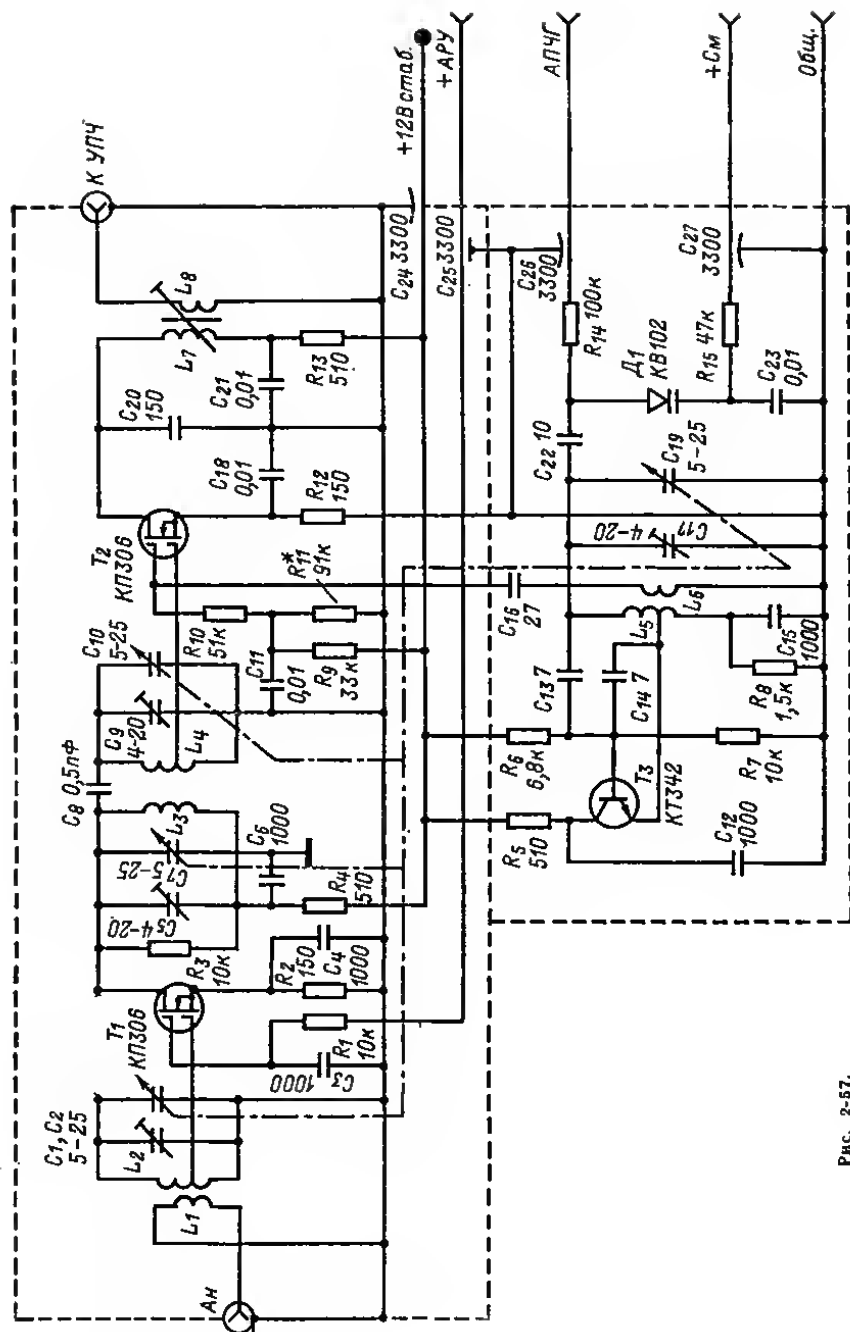


Рис. 2-57.

преобразователя подается с катушки связи, намотанной на одном каркасе с катушкой гетеродина. Катушки контуров УВЧ бескаркасные.

АПЧГ осуществляется с помощью варикапа D_1 . Счетверенный блок КПЕ изготовляют из деталей двух КПЕ от приемника «Рига-302». Все катушки ВЧ с внутренним диаметром намотки 5 мм. Они намотаны проводом \varnothing 1 мм и имеют шаг намотки 1 мм: $L_2 - L_4$ по 5 витков с отводами от первого витка, считая снизу по схеме; L_1 — 1 виток ПЭШО 0,3 мм между витками L_2 ; L_5 — 5 витков с отводом от первого витка намотана голым медным посеребренным проводом с шагом 1 мм; L_6 — 1—3 витка ПЭШО 0,3 мм, между витками L_5 (количество витков уточняется при регулировке режима преобразователя частоты).

Контур ПЧ намотан на полистироловом каркасе \varnothing 6 мм с подстроечным сердечником из феррита М100НН-2СС-2 \varnothing 2,86 мм; число витков катушки L_7 — 9 провода ПЭВ-2 \varnothing 0,2 мм; L_8 — 2 того же провода.

Напряжение питания блока УКВ должно быть стабилизировано.

После достижения момента возникновения генерации гетеродина путем подбора места отвода от катушки L_5 и изменения емкости конденсатора C_{13} подгоняют границы диапазона принимаемых частот перемещением витков катушки L_5 и вращением подстроечного конденсатора C_{17} . Затем перемещением витков катушек L_4 , L_8 , L_2 я подстроечными конденсаторами C_9 , C_6 и C_1 в указанной последовательности сопрягают контуры УВЧ с гетеродином. Монтаж блока УКВ необходимо выполнять так, чтобы избежать паразитных связей входного контура с ползковым фильтром и входного контура с контуром гетеродина. При необходимости получения высокой чувствительности приемника (до 1 мкВ) целесообразно размещение первого каскада УПЧ в экране блока УКВ, так как при большом числе каскадов и высокой промежуточной частоте (10,7 МГц) возможно самовозбуждение УПЧ. Напряжение АРУ может быть получено (см. § 2-9) или путем детектирования сигнала ПЧ после второго-третьего каскадов ПЧ; в последнем случае постоянная времени фильтра цепи АРУ должна быть 0,05—0,1 с.

При неправильной работе системы АПЧГ необходимо в детекторе изменить полярность выходного напряжения АПЧ путем изменения подсоединения концов катушки связи с первым контуром фазосдвигающего трансформатора ПЧ.

2-7. КОНВЕРТОРЫ ДЛЯ ПРИЕМА КОРОТКИХ ВОЛН

Конвертор для преобразования частот диапазона КВ в диапазоне СВ (или ДВ) обычно выполняется в виде приставки к приемнику, не имеющему диапазона КВ. Иногда возможно применение встроенного конвертора — дополнительного преобразователя, работающего только в диапазоне КВ, как, например, блок УКВ, который включается только при работе приемника в диапазоне УКВ. Наиболее часто конверторы применяются для работы с автомобильными приемниками. Благодаря некоторым особенностям автомобильных приемников конверторы хорошо сопрягаются с ними без каких-либо переделок в приемнике, а схемы конверторов отличаются простотой.

На рис. 2-58 приведена схема коротковолновой приставки, выпускаемой серийно, для работы с автомобильными приемниками А-271. Для некоторого упрощения схемы в ней показана коммутация катушек только для двух диапазонов (49 и 25 м); коммутация катушек любого другого растянутого диапазона КВ не отличается от приведенной.

В базовой цепи транзистора T_1 включен один из входных контуров, частоты настройки и полосы пропускания которых соответствуют средним частотам и ширине полосы растянутых КВ диапазонов, выделенных для радиовещания (см. табл. 2-4). В данном примере $f_{ср. вх} = 6,1$ МГц и 11,8 МГц при полосе пропускания около 400 кГц. Частоты настройки контуров гетеродина отличаются от средней частоты настройки соответствующих входных контуров на 1 МГц (для данного примера $f_r = 7,1$ и 12,8 МГц соответственно). В результате на резисторе нагрузки (независимо от того на каком из поддиапазонов ведется прием)

будут выделяться напряжения разностных частот $f_p = f_r - (f_{\text{ср.вх}} \pm \Delta f)$. Таким образом, частоты растянутых КВ диапазонов будут понижены до частот среднего участка диапазона СВ; при этом настройка на требуемую радиостанцию КВ осуществляется при помощи ручки настройки автомобильного приемника, включенного на диапазон СВ. Благодаря хорошей экранировке автомобильного приемника, экранирующему действию корпуса автомобиля и резонансным свойствам входного контура конвертора прием радиостанций в диапазоне СВ при работе

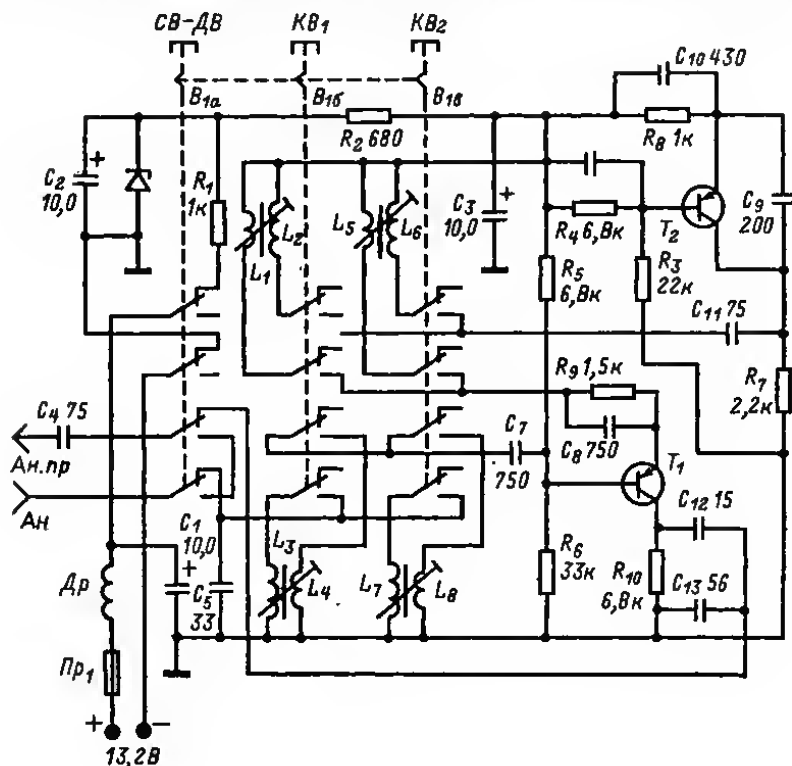


Рис. 2-58.

с конвертором практически невозможен. Переключение на диапазон СВ осуществляется нажатием кнопки B_1 , а. При этом антенна отключается от входа конвертора и подключается к приемнику; одновременно выключается питание конвертора. Для сохранения правильности настройки входного контура приемника при присоединении приставки в схему конвертора введены конденсаторы C_4 и C_{13} , компенсирующие удлинение кабеля антенны при работе на диапазоне СВ и укорочение кабеля от приставки к приемнику при работе на КВ. Для повышения стабильности частоты гетеродина он выполнен с емкостной обратной связью, а питание стабилизировано с помощью стабилизатора D_1 .

Применение КВ приставки по такой схеме с приемником, рассчитанным для работы с ферритовой антенной в диапазоне СВ невозможно, так как в вечерние часы наряду с радиостанциями диапазона КВ будут приниматься радиостанции диапазона СВ, что приведет к взаимным помехам. Поэтому для нормальной

работы конвертора с приемником, имеющим ферритовую антенну, необходимо либо переключение катушек во входном контуре (подключение вместо катушки ферритовой антенны катушки в отдельном экране, предотвращающем наведение э. д. с. от мощных местных СВ радиостанций), либо подсоединение к контуру ферритовой антенны дополнительных элементов, перестраивающих его в диапазон зеркальных по отношению к СВ частот ($1,45 - 2,53$ МГц), в котором нет мощных радиовещательных радиостанций. Первый путь обычно применяется при выполнении конвертора в виде составной части приемника, т. е. в приемниках с двойным преобразованием частоты. Второй путь применим для выполнения конвертора как в виде приставки к приемнику с ферритовой антенной, так и в качестве встроенного первого преобразователя в приемнике с двойным преобразованием.

На рис. 2-59 приведен схема конвертора, отличающаяся от схемы на рис. 2-58 тем, что вместо кнопочного переключателя для настройки входного и гетеродинного контуров применяется малогабаритный КПЕ, а на выходе включены элементы L_6 , C_{10} , C_{11} , переводящие настройку входного контура приемника в диапазон зеркальных частот. С помощью КПЕ конвертора производится грубая настройка на середину желаемого РВ диапазона КВ, а плавная настройка осуществляется органом настройки РВ приемника, к которому подключен конвертор.

При выбранном среднем значении первой промежуточной частоты (2,3 МГц) настройки контуров $L_1C_2C_4$ и $L_3C_6C_8$ достаточно удалены друг от друга, поэтому появилась возможность совместить функции преобразователя частоты и гетеродина в одном транзисторе. Стабильность частоты гетеродина при изменении напряжения источника питания поддерживается за счет стабилизации напряжения базового смещения транзистора T_1 . При настройке конвертора совместно с приемником его выход подсоединяется непосредственно к катушке входного контура диапазона СВ (для подключения конвертора необходимо в приемнике заранее сделать вывод этой точки и общего провода на гнезда для подключения), после чего производят сопряжение настроек этого контура с контуром гетеродина приемника в диапазоне частот $1450 - 2530$ кГц изменением индуктивности катушки L_1 и емкости конденсатора C_{11} в начале и конце диапазона. Затем приемник

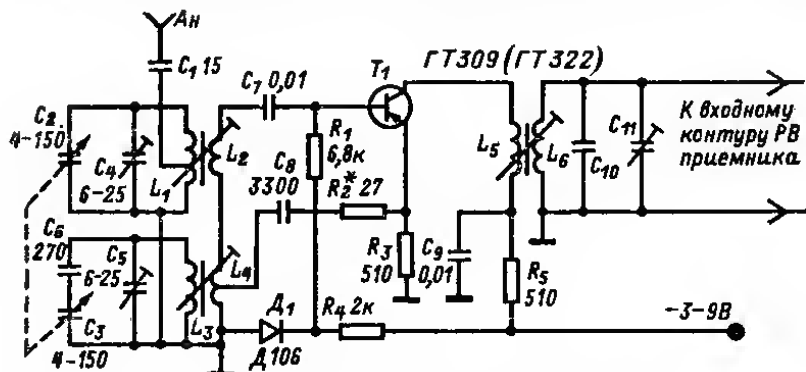


Рис. 2-59.

настраивают на частоту $1,2 - 1,3$ МГц (по шкале), что соответствует среднему значению первой ПЧ, и производят сопряжение настроек контуров конвертора после подгонки граничных частот его гетеродина обычным способом.

В качестве транзистора T_1 возможно применение например ГТ322. Катушки входного и гетеродинного контуров наматывают проводом ПЭЛШО $0,25$ мм на гладких ферритовых сердечниках М100НН-20С диаметром $2,86$ мм и длиной 12 мм. Для диапазона $25 - 75$ м катушка L_1 содержит 20 витков с отводом от 10-го витка $L_2 - 4$ витка, $L_3 - 16$ витков, $L_4 - 1,5 + 3$ витка. Сначала на

сердечник наматывают катушку L_1 . Затем из нее удаляют сердечник и пропитывают раствором полистирола в дихлорэтаноле. После просушки на нее наматывают витки катушки L_2 (у того конца, который будет соединен с общим проводом). Катушки L_3 и L_4 изготавливают аналогично. После изготовления катушки приклеивают к монтажной плате клеем БФ-4. Сердечники вставляют в катушки после полной просушки. Катушку L_1 следует располагать на плате перпендикулярно катушке L_3 . Катушку для сопряжения и связи с приемником L_4 наматывают на ферритовом бронеовом сердечнике типа Ч5 из феррита 600НН с подстроечным сердечником М600НН-2СС. Для приемника с индуктивностью входного контура 310 мкГ катушка L_4 имеет 3×12 витков, катушка связи L_5 — 10 витков.

При других значениях индуктивности входного контура СВ индуктивность катушки L_3 следует выбирать примерно равной 11% индуктивности входного контура, а емкость конденсатора C_{10} — примерно равной 3% максимальной емкости КПЕ РВ приемника. Такие значения элементов позволяют произвести сопряжение с помощью подстроечного сердечника L_4 и подстроечного конденсатора C_{11} . Сопротивление резистора R_4 подбирают в пределах от 1 до 7,5 кОм в зависимости от напряжения питания конвертора.

2-8. УСИЛИТЕЛИ ПРОМЕЖУТОЧНОЙ ЧАСТОТЫ

Транзисторные УПЧ

Входные сопротивления транзисторов, шунтируя резонансные контуры, уменьшают их добротность, что снижает избирательность приемника. Поэтому требуемую избирательность часто обеспечивают, применяя на входе УПЧ фильтры сосредоточенной селекции (ФСС), а необходимое для нормальной работы детек-

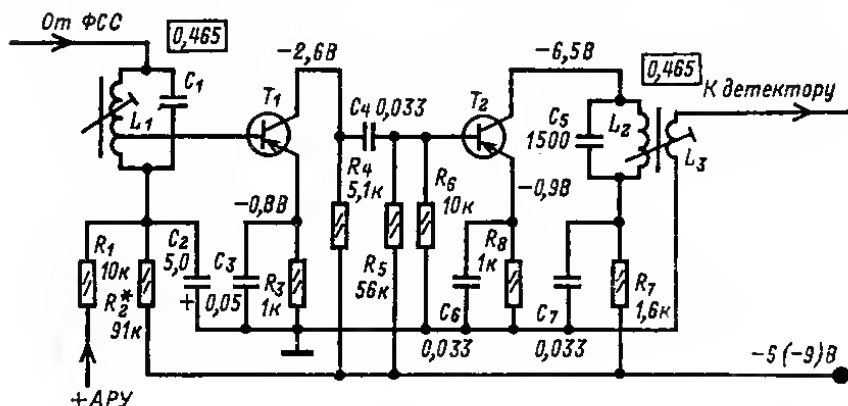


Рис. 2-60.

торного каскада усиление получают в широкополосном усилителе. В широкополосных УПЧ можно использовать схемы, приведенные в § 2-4. Однако нужно учитывать, что напряжение гетеродина, проникающее на вход широкополосного усилителя, может перегрузить его, а при наличии системы АРУ сильно уменьшить его усиление или вызвать релаксационные колебания в системе АРУ—УПЧ. Поэтому необходимо тщательно экранировать входные цепи широкополосного УПЧ от цепей гетеродина.

На рис. 2-60 приведена схема УПЧ, применяемая в промышленных приемниках. Контур L_4C_6 на выходе усилителя сужает полосу пропускания второго

каскада до 80—40 кГц. Относительно небольшое нагрузочное сопротивление первого каскада обеспечивает устойчивую работу обоих каскадов при значительных проходных емкостях транзисторов.

Таблица 2-5

Данные контуров комбинированного ФПЧ АМ/ЧМ

Контур	Тип провода	Число витков	Индуктивность, мкГ	Добротность
$L_1 L_3$	ПЭВ-2 0,12	26	9,2	80*
L_2	ПЭВ-2 0,12	1	—	—
$L_4 L_6$	ПЭВ-2 $5 \times 0,06$	3×32	118	110**
L_5	ПЭЛШКО 0,15	$1,5 \pm 1$	2	—

* При $f = 6,5$ МГц.

** При $f = 465$ кГц.

Модификация этой схемы, представленная на рис. 2-61 (аналогичная рис. 2-30) обеспечивает высокую устойчивость против самовозбуждения при недостаточно эффективной экранировке транзисторов. Кроме того, в этой схеме значительно эффективнее действие АРУ за счет одновременного уменьшения крутизны характеристики обоих транзисторов и применения УПТ в АРУ на транзисторе T_3 .

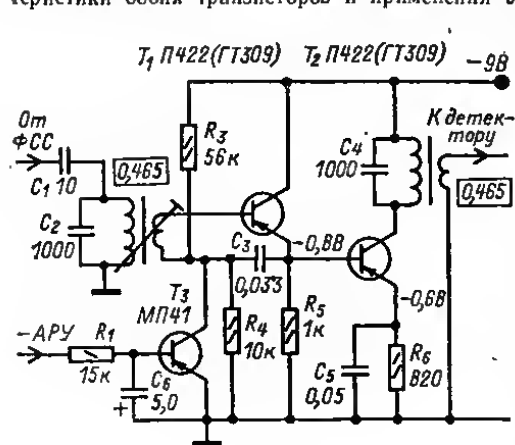


Рис. 2-61.

Вследствие этого необходимо включать перед фильтром резонансный контур, который одновременно служит трансформатором, согласующим выходное сопротивление преобразователя частоты с входным сопротивлением фильтра $R_{вх}$.

Применять пьезокерамические фильтры без резонансного LC-контура невозможно из-за наличия в амплитудно-частотной характеристике фильтров паразитных полюсов пропускания, приводящих к резкому снижению селективности в диапазоне СВ. Частотная характеристика одного из образцов фильтра ФП1П-023 приведена на рис. 2-62. Показанная на этом рисунке слева характеристика затухания может быть получена при тщательном согласовании пьезокерами-

LC-фильтры сосредоточенной селекции. Их катушки индуктивности размещены в броне-вых ферритовых сердечниках (табл. 2-5). Последние заключены в индивидуальные экраны. При намотке катушек проводом, скрученным из 3—7 изолированных жил диаметром 0,05—0,07 мм, их добротность на частоте 465 кГц может достигать 150—250.

Пьезокерамические многоэлементные фильтры (табл. 2-6) обладают малым затуханием в полосе пропускания, а их частотные характеристики имеют крутые скаты. Однако затухание этих фильтров за пределами полосы пропускания возрастает не монотонно.

ческого фильтра со стороны входа и выхода, которое осуществляется подбором режима транзистора УПЧ, сопротивления резистора R_1 и места отвода от контурной катушки (рис. 2-63).

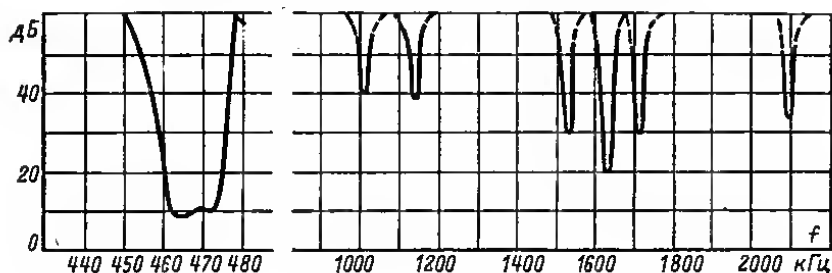


Рис. 2-62.

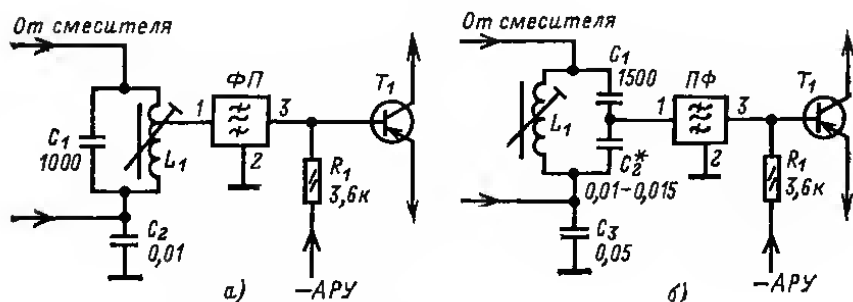


Рис. 2-63.

Коэффициент включения фильтра в контур

$$p = \sqrt{\frac{R_{вх}}{R_{ос}}},$$

где $R_{вх}$ — входное сопротивление фильтра (табл. 2-7).

Таблица 2-6

Данные контуров для промежуточной частоты 465 кГц

Тип сердечника	Число витков катушки при емкости конденсатора, пФ		
	270	510	1000
Броневой карбонильный СБ-12а	145	110	80
Броневой карбонильный СБ-9а	150	115	82
Броневой ферритовый Ч5	130	99	72
Кольцевой ферритовый М600НН-К7 × 4 × 2, зазор 2 × 0,05 мм	125	89	61

Таблица 2-7

Основные характеристики пьезокерамических фильтров

Параметр	ФП1П-011, ФП1П-015	ФП1П-013, ФП1П-017	ФП1П-022	ФП1П-023
Средняя частота полосы пропускания, кГц . . .	465 ± 2	465 ± 2	465 ± 2	465 ± 2
Полоса пропускания по уровню 6 дБ, кГц . . .	$8,5^{+2}_{-1,5}$	$11,5 \pm 2$	$12,5^{+2}_{-2}$	$9,5^{+1,5}_{-1,5}$
Селективность при расстройке от средней частоты ± 9 кГц, дБ, не менее	12	9	26	40
Вносимое затухание в полосе пропускания, дБ, не более	4,5	4,5	9,5	9,5
Нагрузочное сопротивление, кОм:				
$R_{вх}$	2,0	2,0	2,0	2,0
$R_{вых}$	1,0	1,0	2,0	2,0

Продолжение табл. 2-7

Параметр	ФП1П-024	ФП1П-025	ФП1П-026	ФП1П-027
Средняя частота полосы пропускания, кГц . . .	465 ± 2	465 ± 2	465 ± 2	465 ± 2
Полоса пропускания по уровню 6 дБ, кГц . . .	$9,5^{+1,5}_{-1,5}$	$9,5^{+2}_{-1,5}$	$8,5^{+2}_{-1,5}$	$9,5^{+1,5}_{-1,5}$
Селективность при расстройке от средней частоты ± 9 кГц, дБ, не менее	35	30	26	35
Вносимое затухание в полосе пропускания, дБ, не более	9,5	9,5	9,5	9,5
Нагрузочное сопротивление, кОм:				
$R_{вх}$	2,0	2,0	2,0	2,0
$R_{вых}$	2,0	2,0	2,0	2,0

Цепь АРУ может вызвать рассогласование фильтра, вследствие чего частотная характеристика фильтра в полосе пропускания деформируется. Это может создать заметные искажения при приеме сигналов радиостанций, создающих большую напряженность поля в месте приема. При использовании цепей АРУ с шунтирующим транзистором на входе каскада УПЧ (см. рис. 2-98) такие нежелательные явления не наблюдаются.

В УПЧ, выполненный по схеме рис. 2-28, керамический фильтр необходимо включать в УПЧ между двумя согласующими контурами с индуктивной или емкостной системой трансформации сопротивлений (рис. 2-64).

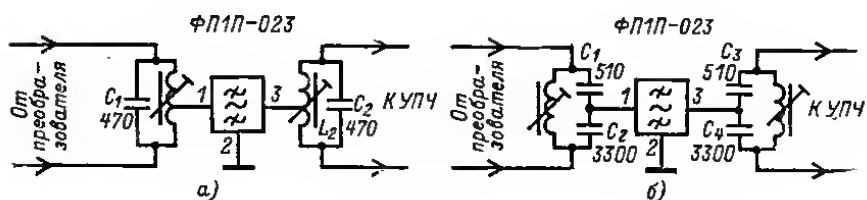


Рис. 2-64.

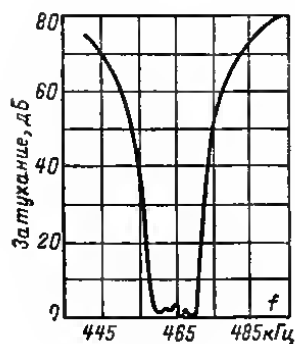


Рис. 2-65.

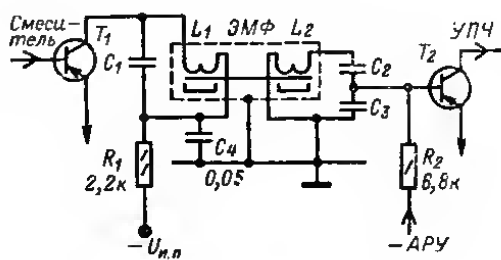


Рис. 2-66.

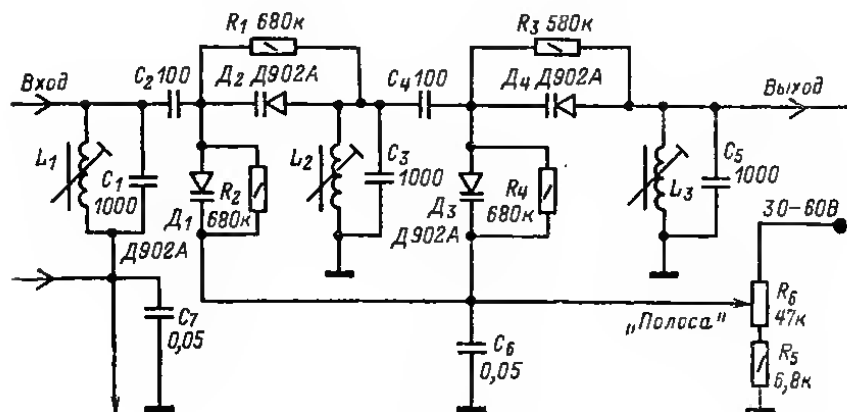


Рис. 2-67.

Электромеханические фильтры (табл. 2—8) работают без согласующих контуров, имеют несколько меньшие габариты и их характеристики (рис. 2-65) практически не искажаются работой системы АРУ. Схема включения фильтра в тракт ПЧ показана на рис. 2-66. Катушки L_1 и L_2 вместе с постоянными магнитами представляют входной и выходной преобразователи электрических колебаний в механические. Емкости конденсаторов C_1 — C_3 должны выбираться в соответствии с данными табл. 2-8 для каждого конкретного типа фильтра.

Таблица 2-8

Основные параметры электромеханических фильтров
со средней частоты полосы пропускания $465 \pm 1,5$ кГц

Параметр	Тип фильтра			
	ЭМФФ-5-465-6	ЭМФФ-5-465-9	ЭМФФ-5-465-13	ЭМФФ-5-465-7
Ширина полосы пропускания на уровне — 3 дБ, кГц	5,6—6,4	8,4—9,6	12,2—13,8	6,5—7,5
Затухание на частоте ± 10 кГц, дБ, не менее	56	42	26	35
Неравномерность затухания в полосе пропускания, дБ, не более . . .	2,5	3,0	3,5	4
Вносимое затухание в полосе пропускания, дБ, не более	8,5	7,0	8,0	14
Емкость настройки входного преобразователя, пФ	300	300	300	150
Емкость настройки выходного преобразователя, пФ	1500	2200	3300	40
Номинальное входное сопротивление, кОм . . .	10	10	10	50
Номинальное нагрузочное сопротивление на выходе, кОм	1	1	1	10

ФСС с плавной изменяемой полосой пропускания (рис. 2-67). Для изменения полосы пропускания используется зависимость емкости варикапов связи D_2 и D_4 от значения подводимого напряжения. Варикапы D_1 и D_3 служат для компенсации изменения настройки фильтра; емкость их уменьшается при увеличении емкости варикапов связи. Напряжение, управляющее емкостью варикапов, должно быть стабилизировано. Настройку фильтра производят при минимальных емкостях варикапов связи D_2 и D_4 по максимальному напряжению на выходе фильтра или приемника.

Схема УПЧ без ФСС. При использовании в УПЧ транзисторов с малыми проходными емкостями (ГТ322, КТ339 и т. п.) можно получить устойчивое усиление, осуществляя межкаскадные связи с применением резонансных контуров. На рис. 2-68 приведена схема подобного УПЧ без ФСС, применяемая в портативных приемниках промышленного изготовления «Рига-301», «Этюд» и др.

Тракты усиления промежуточной частоты транзисторных приемников АМ и ЧМ обычно выполняют с резонансными межкаскадными контурами, но учитывая, что проходная емкость транзистора в схеме ОБ в несколько раз меньше, чем

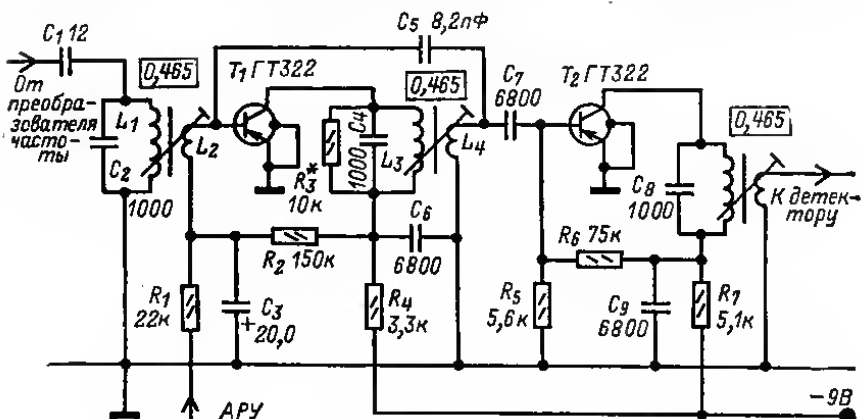


Рис. 2-68.

в схеме ОЭ, при усилении более высокой промежуточной частоты тракта ЧМ транзисторы иногда включают по схеме ОБ. На рис. 2-69 приведена схема УПЧ приемника АМ и ЧМ, в котором оба транзистора включены по схеме ОЭ в тракте АМ и по схеме ОБ в тракте ЧМ.

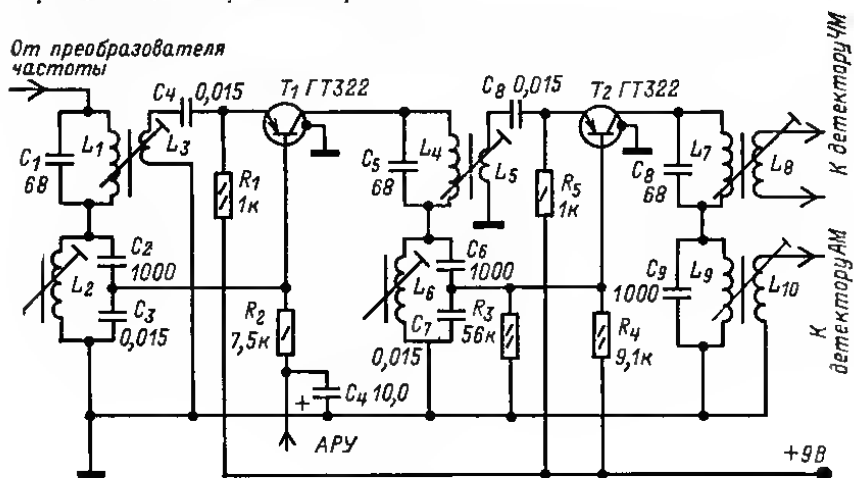


Рис. 2-69.

УПЧ приемников с диапазоном УКВ целесообразно выполнять по каскадной схеме. Контурные катушки ФПЧ тракта ЧМ обычно выполняют на четырехсекционных каркасах с подстроечными сердечниками из феррита 600НН, хотя возможно применение горшкообразных сердечников из феррита 600НН, добротность катушек в которых на частотах до 6,8 МГц достигает 30.

Для упрощения контурных катушек и их настройки целесообразно в приемниках АМ и ЧМ применять УПЧ с большим входным сопротивлением (рис. 2-70). Один из вариантов такой схемы приведен на рис. 2-70. Схема наиболее пригодна при переделке ламповых приемников на транзисторные.

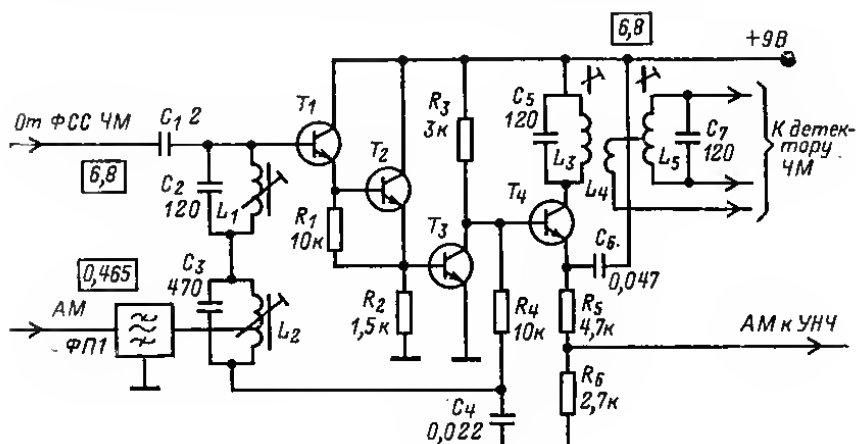


Рис. 2-70.

Ламповые УПЧ

Селективность ламповых приемников обычно обеспечивается применением двухконтурных ФПЧ в качестве элементов межкаскадных связей. Большие входное и выходное сопротивления электронных ламп не ухудшают добротности контуров ПЧ при весьма значительных резонансных сопротивлениях. Малая проходная емкость высокочастотных яеотодов позволяет осуществлять полное

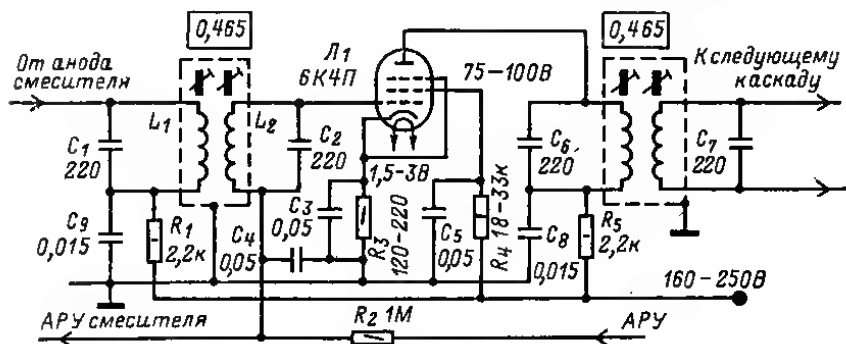


Рис. 2-71.

включение контуров с большими резонансными сопротивлениями в анодные и сеточные цепи ламп каскадов УПЧ; при этом усиление каскада достаточно велико при сравнительно малой крутизне характеристики электронной лампы (4—5 мА/В).

Типовая схема каскада усиления ПЧ приемника на лампах без диапазона УКВ показана на рис. 2-71.

В приемниках с диапазоном УКВ усиление колебаний промежуточной частоты 465 кГц при приеме в диапазонах КВ, СВ и ДВ и колебаний промежуточ-

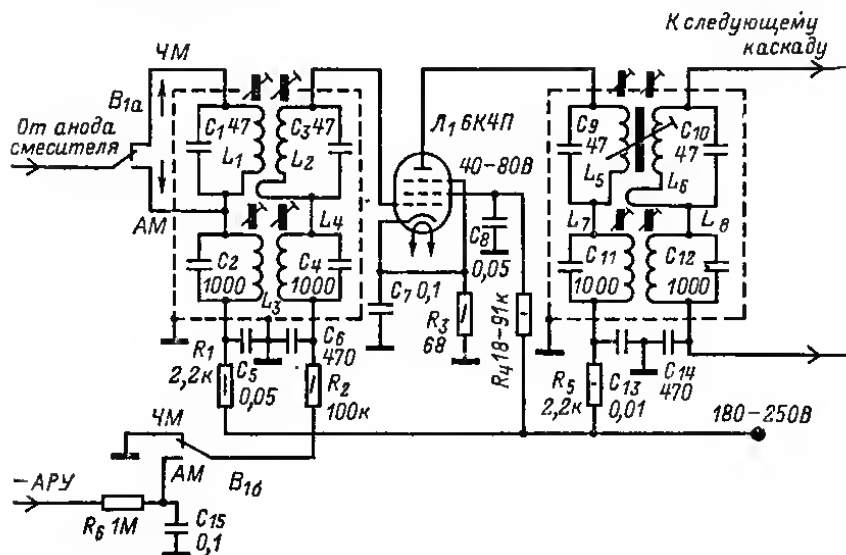


Рис. 2-72.

ной частоты 6,5; 6,8 или 10,7 МГц при приеме на УКВ осуществляют в общем (комбинированном) УПЧ. Контуры фильтров включают при этом в анодные и сеточные цепи ламп последовательно (рис. 2-72). Вследствие большого различия промежуточных частот они не влияют друг на друга. Напряжение АРУ через

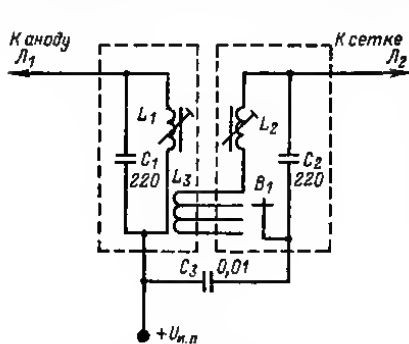


Рис. 2-73.

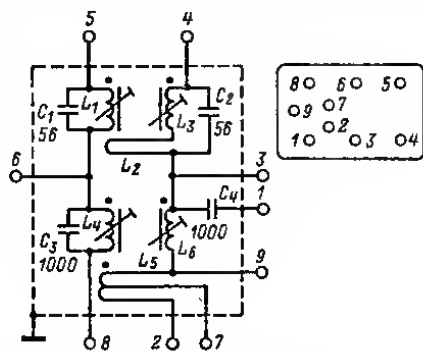


Рис. 2-74.

RC-фильтр нижних частот с постоянной времени 0,05—0,1 с подводится к управляющей сетке лампы. Для изменения полосы пропускания при приеме АМ сигналов связь между контурами одного или двух фильтров на 465 кГц делается переменной. Изменение связи производят изменением положения контурных катушек

L_1 и L_2 относительно друг друга, либо изменением числа витков катушки связи L_3 с помощью переключателя полюс пропускания B_1 (рис. 2-73).

На рис. 2-74 приведена схема, а в табл. 2-5 — точные данные комбинированного АМ/ЧМ ФПЧ, характерного для современных промышленных ламповых РВ приемников.

2-9. ДЕТЕКТОРЫ СИГНАЛОВ

Схемы детекторов АМ сигналов

В большинстве современных приемников применяют амплитудные детекторы на германиевых диодах. В ламповых приемниках находят применение диодные части комбинированных ламп (двойной диод-триод, диод-пентод и т. п.). В большинстве случаев детектирование производится при значительном уровне подводимого к детектору ВЧ (ПЧ) сигнала (0,5—3 В). Входное сопротивление диодного детектора, выполненного по последовательной схеме (рис. 2-75), $R_{вх} \approx R_H/2$; сопротивление детектора, выполненного по параллельной схеме, $R_{вх} \approx R_H/3$.

Напряжение НЧ на выходе детектора

$$U_{НЧ} = U_{ВЧ} m K_d,$$

где m — коэффициент модуляции; K_d — коэффициент передачи детектора; $U_{ВЧ}$ — подводимое напряжение ВЧ.

Детекторные каскады транзисторных приемников, как правило, работают при малых подводимых напряжениях ВЧ (30—300 мВ) и с малым сопротивлением нагрузки (2—15 кОм). Это необходимо для согласования выхода детекторного каскада со входом транзисторного УНЧ, входное сопротивление которого обычно лежит в указанных пределах, и для того, чтобы получить максимальную чувствительность приемника при минимальном усилении в тракте.

При малом уровне входных сигналов коэффициент гармоник существенно зависит от правильности согласования детектора с выходом УПЧ и от режима диода детектора по постоянному току. Обычно с выхода детекторного каскада снимается напряжение постоянного тока для АРУ. В транзисторном приемнике это приводит к необходимости подачи на диод смещения из цепи питания базы транзистора соответствующего каскада УПЧ. Протекающий при этом через диод ток в значительной мере определяет коэффициент передачи детектора к его нагрузке от уровня входного сигнала. В свою очередь от значения коэффициента передачи детектора зависит его входное сопротивление

$$R_{вх} = 0,5 R_H / K_d.$$

Очевидно, что при изменении уровня сигнала изменяется входное сопротивление детекторного каскада и изменяются условия согласования детектора с выходом УПЧ. Минимальный коэффициент гармоник получается лишь при вполне определенных условиях. Для наилучшего использования усилительных свойств последнего каскада УПЧ минимальным подводимым к детектору напряжением следует считать 30—50 мВ. При этом коэффициент передачи детектора приблизительно равен 0,2. Необходимый коэффициент включения детектора в контур УПЧ

$$P_d = \sqrt{\frac{R_H}{2K_d R_{ое}}},$$

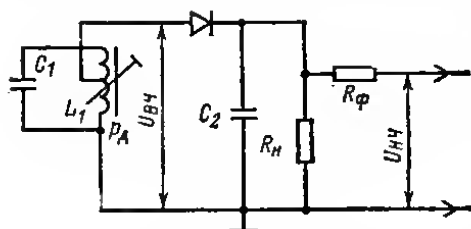


Рис. 2-75.

где ρ_d — коэффициент включения детектора, равный отношению числа витков катушки связи с детектором к числу витков контурной катушки последнего каскада УПЧ; K_d — коэффициент передачи детектора (рис. 2-76); R_{oe} — эквивалентное сопротивление ненагруженного контура.

При таком способе согласования детектора с выходом УПЧ с увеличением напряжения на входе УПЧ напряжение на детекторе почти не изменится. Нели-

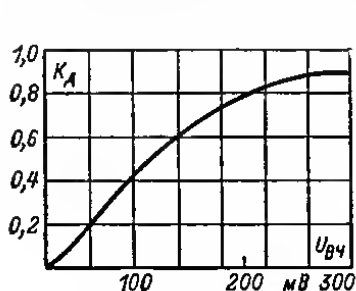


Рис. 2-76.

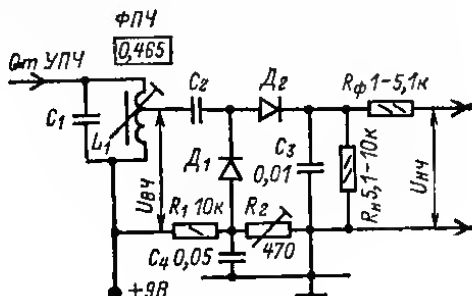


Рис. 2-77.

нейность характеристики детектора компенсируется нелинейностью его входного сопротивления, что снижает коэффициент гармоник. Подводимое к аноду детектора постоянное смещение должно быть таким, чтобы получить небольшой ток через диод 1—5 мкА. Обычно для этого в схему приемника вводят переменный резистор, регулировкой которого обеспечивают малые нелинейные искажения.

На рис. 2-77 приведена схема двухполупериодного детектора, в которую включены цепи, обеспечивающие подбор режима детектора по постоянному току.

Детекторы на транзисторах

Детекторы на транзисторах с обратной связью применяют в простых транзисторных приемниках в целях экономии места.

Применение положительной обратной связи (рис. 2-78) позволяет значительно повысить чувствительность со входа детекторного каскада и благодаря этому

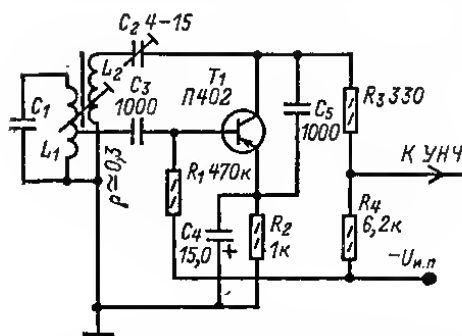


Рис. 2-78.

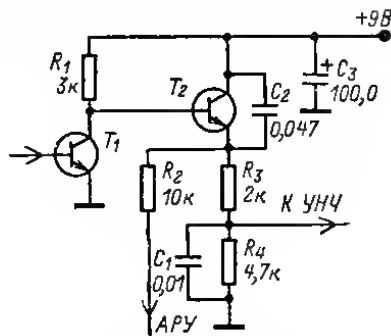


Рис. 2-79.

уменьшить число каскадов УВЧ или УПЧ приемника. Коэффициент включения базы транзистора в контур должен быть 0,2—0,5; при этом можно получить значительное усиление от действия обратной связи. При использовании транзистора с $f_{гр} \geq 60$ МГц детектор может работать даже в диапазоне КВ, однако

приемник с таким детектором работает обычно нестабильно и налаживание его сложно.

В современных транзисторных приемниках, особенно с применением микросхем, широкое распространение получил эмиттерный детектор (рис. 2-79). Его отличительной особенностью является малый коэффициент гармоник. Такой детектор может быть подсоединен непосредственно к коллекторной нагрузке предыдущего каскада (T_1) УПЧ (УВЧ) и на его нагрузочном сопротивлении (резисторы R_3 и R_4) в отсутствие сигнала будет напряжение постоянного тока на 0,2—0,6 В меньше, чем на коллекторе предыдущего каскада. Это напряжение

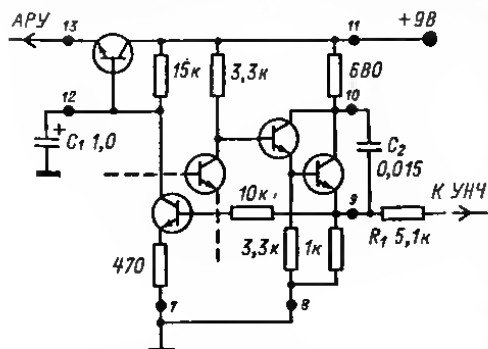


Рис. 2-80.

случае в приемнике с несколькими каскадами в тракте ВЧ может возникнуть самовозбуждение. Частотная характеристика детектора от емкости конденсатора C_2 зависит слабо, так как выходное сопротивление детектора низкое.

При использовании в качестве T_1 транзисторов структуры *p-n-p* необходимо изменить полярность источника питания; естественно, целесообразно применение в качестве T_2 транзистора такой же структуры, как транзистор T_1 .

При использовании кремниевых транзисторов выходное напряжение детектора при отсутствии сигнала меньше напряжения на коллекторе T_1 на 0,6 В, а при германиевых — на 0,15—0,2 В. Такой детектор хорошо согласуется с широкополосными УПЧ (см. § 2-4).

Эмиттерные детекторы часто являются составной частью интегральных микросхем, например серий К224, К237. В этих микросхемах детектор выполнен не в точном соответствии со схемой рис. 2-79, но работает на том же принципе. Иногда для повышения коэффициента передачи в качестве эмиттерного детектора используют два транзистора, включенных по схеме ОК. На рис. 2-80 приведена детекторная часть микросхемы К2ЖА372 с каскадами усиления постоянного тока для целей АРУ.

Детекторы на электронных лампах

Сеточный детектор. Наиболее распространен сеточный детектор (рис. 2-81), обладающий большой чувствительностью, но вносящий существенные нелинейные искажения. Для повышения чувствительности детектора можно применить положительную обратную связь. Способы ее подачи приведены на рис. 2-82 и 2-83. В схеме на рис. 2-82 обратная связь регулируется изменением емкости конденсатора

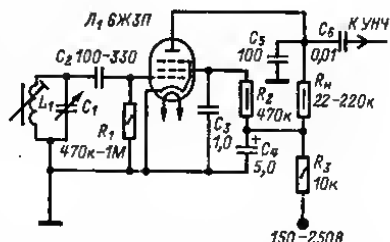


Рис. 2-81.

C_3 , а в схеме на рис. 2-83 — изменением напряжения на экранирующей сетке лампы с помощью потенциометра R_2 . Входное сопротивление сеточного детектора без обратной связи $R_{вх} \approx R_{с1}/3$, а коэффициент передачи детектора

$$K_s \approx mSR_H/4,$$

где S — крутизна характеристики лампы, мА/В; R_H — сопротивление резистора анодной нагрузки, кОм.

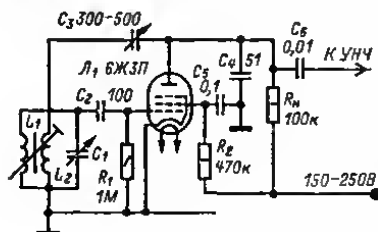


Рис. 2-82.

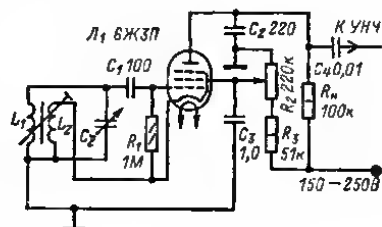


Рис. 2-83.

Анодный детектор (рис. 2-84) вносит явные искажения при сравнительно большом уровне входного напряжения (1—3 В) и применении лампы с резкой отсечкой анодного тока. Достоинством детектора является большое входное сопротивление.

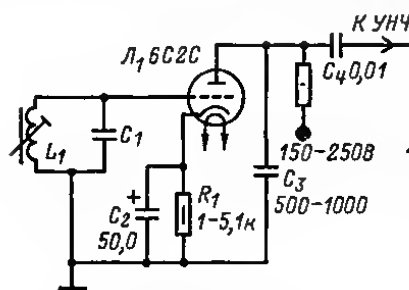


Рис. 2-84.

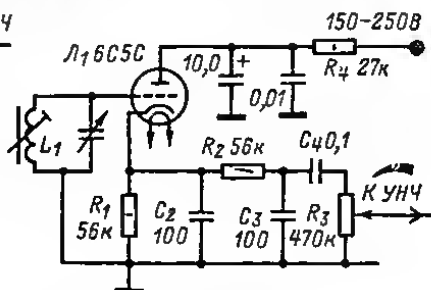


Рис. 2-85.

Катодный детектор имеет большое входное сопротивление и малый коэффициент гармоник благодаря наличию отрицательной обратной связи по низкочастотной огибающей, коэффициент передачи напряжения несколько меньше единицы (рис. 2-85).

Детекторы ЧМ сигналов

Для детектирования ЧМ сигналов чаще всего применяют детектор отношений, который эффективно подавляет амплитудную модуляцию при работе предыдущей лампы в усилительном режиме и напряжении сигнала на ее управляющей сетке 0,05—0,1 В. При использовании детектора отношений громкость приема пропорциональна средней амплитуде принимаемого сигнала, поэтому приемники с такими детекторами часто имеют цепь АРУ.

Симметричный (относительно корпуса) детектор отношений (рис. 2-86) проще в налаживании, но содержит больше деталей и развивает вдвое меньшее напряжение АРУ. Для нормальной работы детектора важно, чтобы половинки катушки L_2 были электрически симметричны. Поэтому их наматывают двумя сложенными вместе проводами.

На рис. 2-87 дана схема несимметричного детектора отношений. Сопротивления и емкость, указанные в скобках на схемах рис. 2-86 и 2-87, соответствуют приемнику на транзисторах, а без скобок — ламповому. Напряжение постоянного тока для АПЧГ может быть снято с той же точки, что и выходное напряжение НЧ.

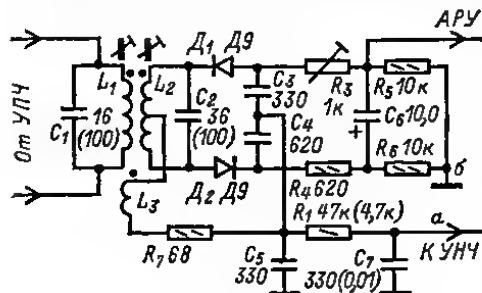


Рис. 2-86.

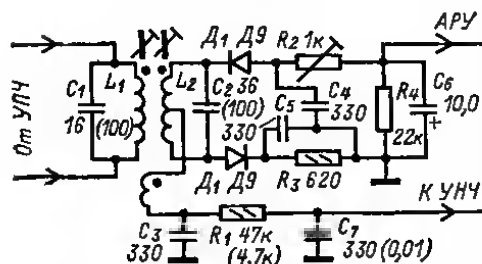


Рис. 2-87.

В транзисторных малогабаритных приемниках изготовления контурных катушек с индуктивной связью затруднительно. Обычно катушки размещают в отдельных экранах. В этом случае целесообразно применение конденсаторов связи (конденсатор C_3 на рис. 2-88), подбором емкости которого легко можно изменить форму S-образной кривой характеристики детектора отношений. Напряжение низкой частоты можно снимать и с резисторов R_1 , R_2 а не со средней точки катушки L_2 , как это сделано в схеме на рис. 2-87. С этой же точки снимается и напряжение постоянного тока для цепей АПЧГ.

Комбинированный детектор ЧМ и АМ сигналов. Детектор по схеме на рис. 2-89 в зависимости от положения выключателя B_1 работает как детектор отношений

ЧМ сигнала, поступающего с выхода тракта ЧМ через полосовой фильтр $L_4 C_2 L_6 C_4$ либо как детектор АМ сигнала, поступающего с фильтра $L_1 C_1 L_3 C_3$.

Стереодекoder для стереофонического радиоприемника. Усилитель на пентодной части лампы L_1 (рис. 2-90) компенсирует потерю громкости при переходе

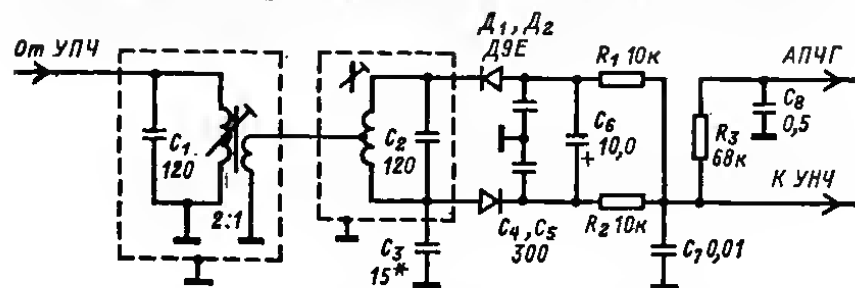


Рис. 2-88.

на прием стереофонической передачи. С помощью частотно-зависимого регулируемого делителя напряжения $R_1 R_2 C_2$ можно изменить частотную характеристику, добиваясь необходимого соотношения составляющих спектра полярно-модулированного колебания на входе полярного детектора на диодах D_1 и D_2 . Это необходимо для устранения проникания сигналов из одного канала в другой.

Полярный детектор подключен к выходу катодного повторителя. На выходах детектора включены RC-цепочки для компенсации предискажений при передаче.

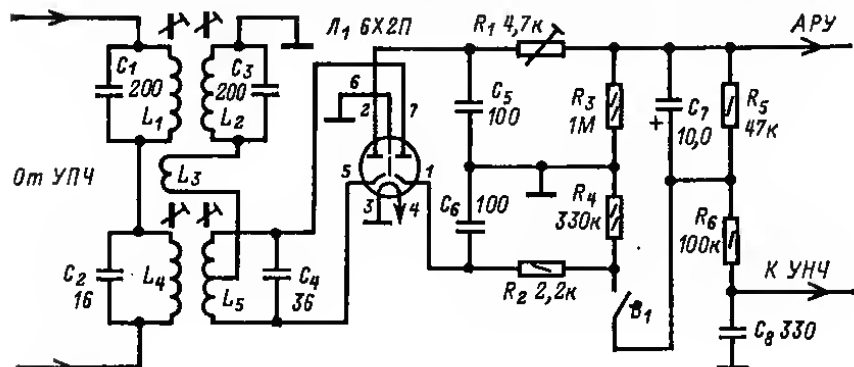


Рис. 2-89.

Транзисторный стереодетектор (рис. 2-91) содержит каскад восстановления поднесущей частоты 31,25 кГц на транзисторе T_1 и каскад разделения напряжения стереосигнала на транзисторе T_2 и диодах $D_1 - D_4$.

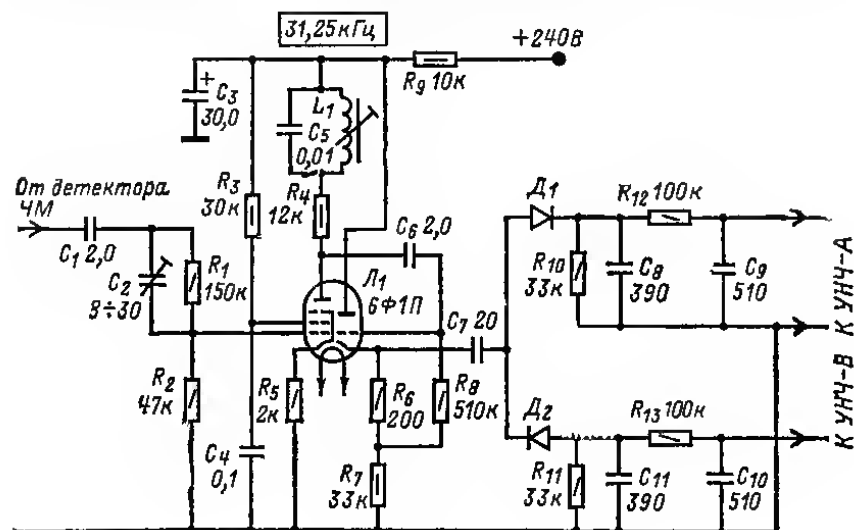


Рис. 2-90.

Уровень поднесущей частоты увеличивается на 14 дБ за счет действия резонансного контура L_1C_4 , настроенного на частоту 31,25 кГц, последовательно с которым включен резистор, обладающий сопротивлением, в 4 раза меньшим сопротивления контура. Необходимый уровень несущей частоты устанавливается при регулировке резистором R_5 .

Разделение стереосигнала на суммарный и разностный происходит в каскаде на транзисторе T_2 , причем суммарный сигнал выделяется на резисторе R_{28} , а разностный — на контуре L_2C_7 . На диодном мосте разностный сигнал детектируется и затем складывается с суммарным. Резисторы R_{17} и R_{21} служат для компенсации составляющих напряжения канала A в канале B и наоборот.

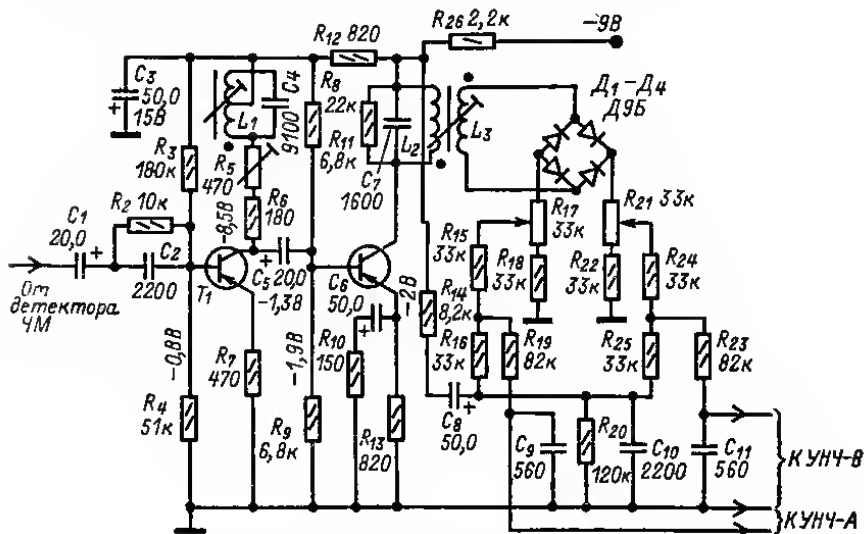


Рис. 2-91.

Данные катушек контуров стереодекодиров: L_1 — 60 витков провода ПЭВ-1 0,2, в ферритовом сердечнике ОБ18. В схеме на рис. 2-91 отвод у катушки L_1 от 12,5 витков; L_2 — 250 витков ПЭВ-1 0,09; L_3 — 400 витков ПЭВ-1 0,09 в таком же сердечнике.

Схема коммутации входов УНЧ с выходами стереодекодера, а также выходов детекторов АМ и ЧМ сигналов приведена на рис. 4-18.

2-10. АВТОМАТИЧЕСКИЕ РЕГУЛИРОВКИ И ВСПОМОГАТЕЛЬНЫЕ УСТРОЙСТВА В РАДИОВЕЩАТЕЛЬНЫХ ПРИЕМНИКАХ

Общие положения

В современных РВ приемниках широкое распространение получили различные автоматические системы регулирования и управления, обеспечивающие удобство в пользовании приемником, независимость его основных параметров — громкости и естественности воспроизведения РВ программы от изменяющихся условий приема, окружающих условий и состояния источника питания.

Назначением автоматических регулировок является автоматизация различных органов управления приемником: поддержание громкости на определенном установленном уровне, которое обеспечивает система автоматического регулирования усиления (АРУ); поддержание точной настройки на радиостанцию, обеспечиваемое цепью автоматической подстройки частоты гетеродина (АПЧГ); поиск и настройка на частоту радиостанции, для которых служит система автоматической настройки (АН), включение и выключение приемника в заданное время и т. д.

К вспомогательным устройствам, непосредственно не содержащим элементов автоматики, относятся различные индикаторы: включения, настройки, напряжения источника питания и т. п.

Автоматическая регулировка усиления

Автоматическая регулировка усиления применяется практически во всех приемниках. Ее основное назначение — не допустить перегрузки усилительных каскадов приемника при увеличении сигнала на входе, которое может быть значительным при приеме местных радиостанций, и выравнять громкость приема дальних и местных радиостанций. Задачи, стоящие перед системой АРУ, достаточно сложны из-за большого диапазона изменения уровня напряженности электромагнитного поля в месте приема: от 100—300 мкВ/м для уверенно принимаемых дальних радиостанций, до 1 В/м и более для близко расположенной местной радиостанции. При изменении сигналов в таких пределах напряжение на выходе приемника в идеальном случае не должно изменяться, а в реальной действительности не должно изменяться более, чем это предусмотрено ГОСТ для различных классов приемников.

В зависимости от способа регулирования возможны различные зависимости выходного напряжения от напряжения на входе приемника. Такие зависимости для различных систем АРУ приведены на рис. 2-92. Простая АРУ уменьшает усиление детекторного тракта пропорционально сигналу. Усиленная АРУ делает то же самое, но в более значительной степени. Задержанная АРУ начинает действовать с некоторого порогового уровня входного сигнала.

Для изменения усиления каскадов ВЧ тракта приемника в простейших случаях используют зависимость крутизны характеристики активных элементов (транзисторов, ламп) от напряжения смещения их рабочих точек по характеристикам. Однако при больших уровнях усиливаемых сигналов такой способ регулирования может вызвать значительные нелинейные искажения сигнала, возможно ухудшение качества воспроизведения. Для сохранения высокого качества приема в этих случаях в приемниках высокого класса применяют управляемые делители напряжения, обеспечивающие отсутствие перегрузки активных элементов и постоянство их режимов, оптимальных с точки зрения неискаженного усиления сигналов.

В качестве регулирующего напряжения обычно используют (непосредственно или через дополнительный усилитель) постоянную составляющую сигнала, продетектированного амплитудным детектором, пропорциональную уровню его несущей частоты; она освобождается от переменной составляющей частот модуляции с помощью фильтра нижних частот с постоянной времени 0,05—0,1 с.

Биполярные транзисторы без искажений усиливают сигналы не более 20 мВ, поэтому требования к цепи АРУ в транзисторных приемниках сравнительно жестки. Применение простых цепей АРУ возможно только в приемниках невысокого класса, тем более что в них, как правило, применяются преобразователи частоты по совмещенной схеме, подведение напряжения АРУ к которым исключается из-за нарушения режима работы гетеродина. В таких приемниках регулировкой обычно охватывается только первый каскад УПЧ. Для исключения смещения рабочей точки детектора на участок характеристики; где возможно появление искажений сигнала при детектировании, в цепи по схеме на рис. 2-93 резистор фильтра АРУ включен в диагональ моста, который уравнивается регулировкой сопротив-



Рис. 2-92.

ления резистора R_5 так, чтобы в отсутствие сигнала ток через диод D_1 был близок к нулю. Критерием правильной установки сопротивления этого резистора являются минимальные искажения принимаемых сигналов и наибольшая чувствительность к приему слабых сигналов. Для исключения влияния регулируемых

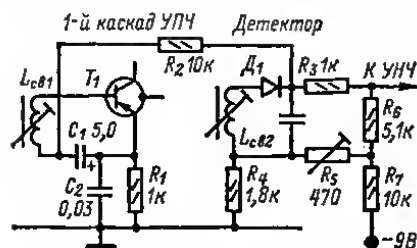


Рис. 2-93.

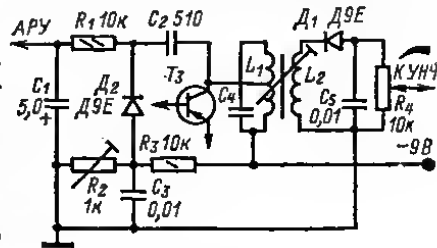


Рис. 2-94.

каскадов на детектор и возможности введения задержки применяют отдельный детектор АРУ (на диоде D_2 , рис. 2-94). Уровень задержки может быть установлен с помощью резистора R_2 , определяющего напряжение смещения на диоде. Можно

также вместо германиевого диода в детекторе АРУ применить кремниевый диод, который начинает детектировать при большем напряжении ВЧ сигнала.

При значительном усилении преобразователя частоты в приемнике при применении АРУ по схемам рис. 2-93 и 2-94 возможно ограничение сигнала в коллекторной цепи преобразователя, как это показано на рис. 2-95. Для устранения этого явления применяют шунтирование высокоомной нагрузки преобразователя зависимыми от напряжения или тока элементами (диодами, транзисторами и т. п.). Эти элементы в транзисторных приемниках включают в цепь усилителя постоянного тока, за счет которого усиливается действие АРУ. Такие усиленные или комбинированные цепи АРУ широко применяют в современных приемниках. В транзисторных приемниках, как уже упоминалось, в цепи АРУ используют усилители постоянного тока (см. функциональную схему рис. 2-96, б), а в ламповых — дополнительный каскад УПЧ (рис. 2-96, а). Шунтирование нагрузки преобразователя приводит к уменьшению его усиления и не допускает появления ограничения сигнала.

На рис. 2-97 показана схема АРУ с использованием рассматриваемого спо-

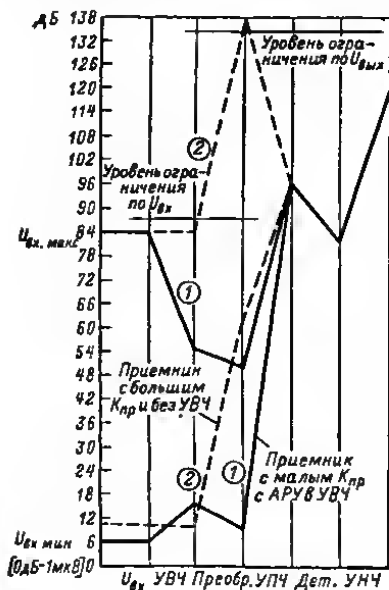


Рис. 2-95.

соба. Выпрямленное детектором на диоде D_1 напряжение несущей частоты через резистор R_5 вводится в цепь базы транзистора УПЧ. Конденсатор C_4 отфильтровывает напряжение НЧ. Уменьшение коллекторного тока транзистора T_2 снижает крутизну его характеристики, и, следовательно, усиление каскада уменьшается. Одновременно вследствие уменьшения тока коллектора транзистора T_2 уменьшается напряжение на резисторе R_4 , диод D_2 отпирается, шунтирует контур,

включенный в коллекторную цепь транзистора T_1 , и уменьшает усиление преобразователя частоты, в котором он работает. Сопротивление днода изменяется от 300—500 кОм в закрытом состоянии до 0,5—1,5 кОм в открытом. Одновременное уменьшение крутизны характеристики транзистора T_2 и резонансного сопротив-

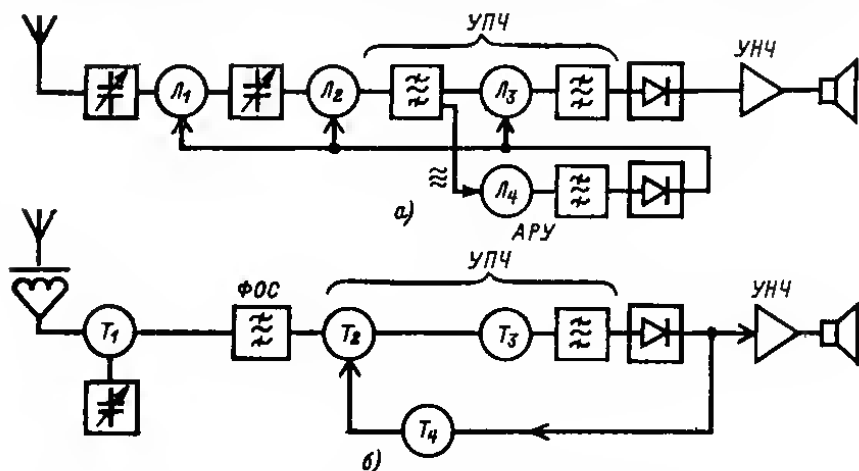


Рис. 2-96.

ления контура L_1C_1 приводит к достаточно глубокой АРУ. Соответствующим подбором сопротивлений резисторов R_1 и R_4 можно получить работу АРУ с задержкой, открывая диод D_2 при меньших или больших уровнях сигнала.

Так как шунтирование контура L_1C_1 сопротивлением днода D_2 несколько расширяет полосу пропускания тракта ПЧ при сильных сигналах, одновременно

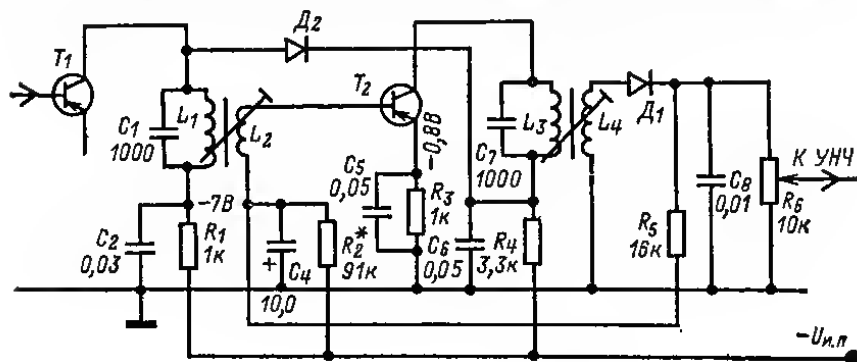


Рис. 2-97.

как бы осуществляется автоматическая регулировка ширины полосы частот пропускаемых приемником. Снижение селективности в данном случае допустимо, т. к. оно происходит только при приеме мощных радиостанций, напряженность поля которых превышает уровень помех. Кроме того, при работе АРУ расширяется полоса пропускания только одного контура.

Более глубокое изменение шунтирующего сопротивления можно получить, используя выходное сопротивление эмиттерного повторителя на кремниевом транзисторе, которое изменяется от нескольких сотен килоом у запертого транзистора до 30—10 Ом при токе 1—3 мА. На рис. 2-98 изображена схема цепи АРУ с использованием этого способа. При малом сигнале транзистор T_3 открыт, а T_2 заперт.

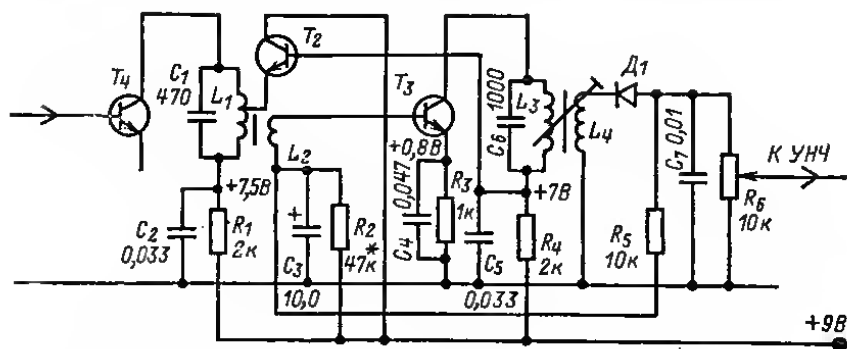


Рис. 2-98.

С ростом сигнала за счет напряжения от детектора уменьшаются ток коллектора транзистора T_3 , крутизна его характеристики и падение напряжения на резисторе R_1 , что является причиной открывания транзистора T_2 . При этом уменьшается динамическое сопротивление со стороны эмиттера и контур L_1C_1 шунтируется пропорционально уровню принимаемого сигнала. Глубина регулировки в этой цепи достигает 70 дБ.

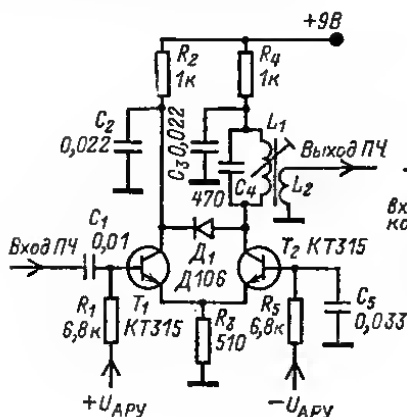


Рис. 2-99.

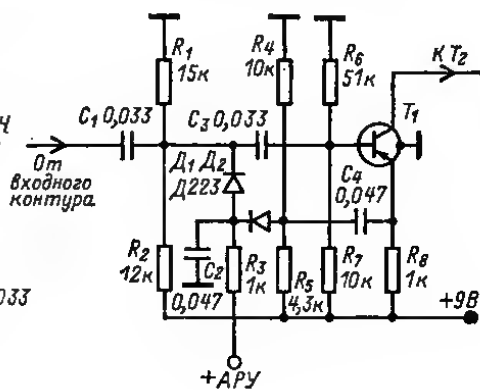


Рис. 2-100.

Хорошими регулировочными характеристиками обладает схема ОК—ОБ (рис. 2-99). Для постоянного тока транзисторы включены по схеме с ОЭ и образуют дифференциальный усилитель. При подведении к базе T_1 регулирующего напряжения токи транзисторов перераспределяются вплоть до полного запаривания транзистора T_2 . Если емкость эмиттер — коллектор этого транзистора мала, то можно получить эффективную АРУ (до 60—70 дБ на один каскад, работающий в режиме

усиления или преобразования частоты). При емкости коллектора около 7 пФ для увеличения эффективности АРУ целесообразно применение шунтирующего диода D_1 . При подведении к базе транзистора T_1 регулирующего напряжения, на 100—200 мВ превышающего напряжение на его базе, изменение коэффициента усиления достигает 80 дБ. Применение этого способа регулирования целесообразно в приемниках с параметрами, соответствующими классу II ГОСТ с встроенной магнитной антенной, в которой напряжение сигнала на базе первого транзистора не превышает 20—30 мВ.

В стационарных транзисторных приемниках более высокого класса, предназначенных для работы с внешней антенной, напряжение на базе первого транзистора может превысить указанное значение, поэтому АРУ целесообразно выполнять с параметрическим делителем напряжения на входе, как это сделано в приемнике радиолы высшего класса «Виктория-Сtereo-001» (рис. 2-100). При максимальной чувствительности приемника диод D_2 , стоящий в цепи обратной связи по току, открыт; усиление каскада максимально. По достижении входным сигналом порогового уровня потенциал в точке соединения диодов становится положительным, в результате чего диод D_2 начинает увеличивать свое динамическое сопротивление и отрицательная обратная связь, возникающая за счет включения сопротивления диода последовательно с конденсатором блокировки эмиттера транзистора УВЧ, уменьшает усиление первого каскада. Одновременно начинает проводить диод D_1 , который при средних уровнях входного сигнала компенсирует возрастающее за счет отрицательной обратной связи входное сопротивление транзистора УВЧ, а при дальнейшем возрастании сигнала начинает шунтировать входной контур, ухудшая его добротность и, следовательно, уменьшая коэффициент передачи напряжения. Совместное действие указанных факторов позволяет получить глубину регулировки порядка 30 дБ и значительно повысить допустимый уровень сигнала на входе приемника по сравнению с указанным ранее. Применение такой цепи регулировки в дополнение к регулировке в УПЧ обеспечивает высокую эффективность АРУ.

Применение в качестве делителей напряжения элементов с нелинейной зависимостью сопротивления от напряжения (диодов и транзисторов) не позволяет полностью избавиться от перекрестных искажений при наличии мощных помех. На рис. 2-101 приведена схема делителя с фоторезистором, сопротивление которого не зависит от значения прикладываемого напряжения. При максимальной чувствительности приемника лампочка L_1 освещает фоторезистор R_1 и падение напряжения на нем минимально. С ростом сигнала транзистор T_2 отпирается и запирает транзистор T_3 , в коллекторную цепь которого включена лампочка L_1 . Освещенность фоторезистора падает, что приводит к возрастанию его сопротивления и уменьшению напряжения на входе транзистора T_1 . Применение такой цепи АРУ целесообразно в стационарных приемниках с питанием от сети, в которых можно не считаться с мощностью, потребляемой лампочкой накаливания.

При изготовлении следует предусмотреть защиту фоторезистора от попадания постороннего света. Монтаж необходимо выполнять таким образом, чтобы проходящая емкость входной контур — вход транзистора была минимальной. Максимальное напряжение на входе приемника при применении такой защиты может достигать десятков вольт при настройке приемника в резонанс на частоту этого

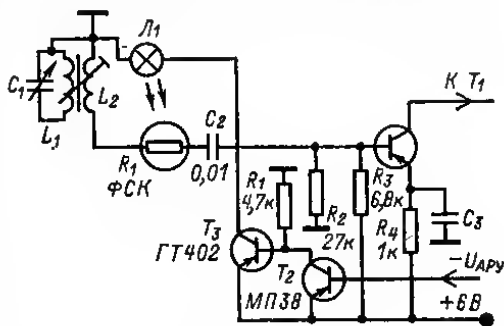


Рис. 2-101.

Более глубокое изменение шунтирующего сопротивления можно получить, используя выходное сопротивление эмиттерного повторителя на кремниевом транзисторе, которое изменяется от нескольких сотен килоом у закрытого транзистора до 30—10 Ом при токе 1—3 мА. На рис. 2-98 изображена схема цепи АРУ с использованием этого способа. При малом сигнале транзистор T_3 открыт, а T_2 закрыт.

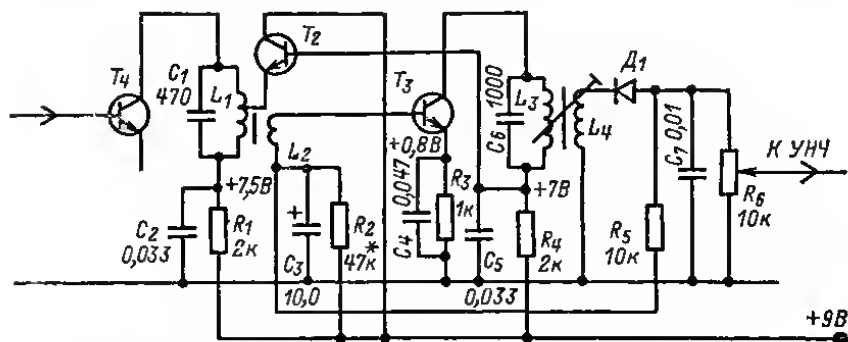


Рис. 2-98.

С ростом сигнала за счет напряжения от детектора уменьшаются ток коллектора транзистора T_3 , крутизна его характеристики и падение напряжения на резисторе R_4 , что является причиной отрывания транзистора T_2 . При этом уменьшается динамическое сопротивление со стороны эмиттера и контур L_1C_1 шунтируется пропорционально уровню принимаемого сигнала. Глубина регулировки в этой цепи достигает 70 дБ.

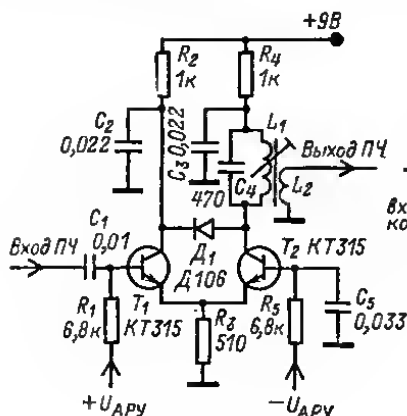


Рис. 2-99.

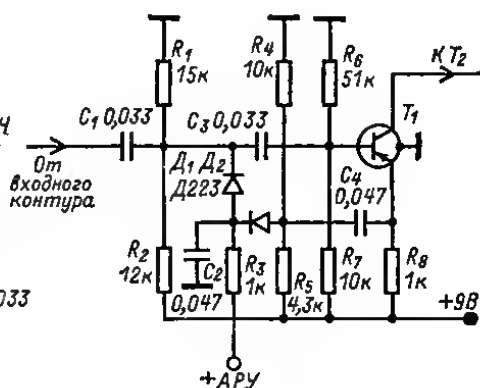


Рис. 2-100.

Хорошими регулировочными характеристиками обладает схема ОК—ОБ (рис. 2-99). Для постоянного тока транзисторы включены по схеме с ОБ и образуют дифференциальный усилитель. При подведении в базу T_1 регулирующего напряжения токи транзисторов перераспределяются вплоть до полного запираания транзистора T_2 . Если емкость эмиттер — коллектор этого транзистора мала, то можно получить эффективную АРУ (до 60—70 дБ на один каскад, работающий в режиме

усиления или преобразования частоты). При емкости коллектора около 7 пФ для увеличения эффективности АРУ целесообразно применение шунтирующего диода D_1 . При подведении к базе транзистора T_1 регулирующего напряжения, на 100—200 мВ превышающего напряжение на его базе, изменение коэффициента усиления достигает 80 дБ. Применение этого способа регулирования целесообразно в приемниках с параметрами, соответствующими классу II ГОСТ с встроеной магнитной антенной, в которой напряжение сигнала на базе первого транзистора не превышает 20—30 мВ.

В стационарных транзисторных приемниках более высокого класса, предназначенных для работы с внешней антенной, напряжение на базе первого транзистора может превысить указанное значение, поэтому АРУ целесообразно выполнять с параметрическим делителем напряжения на входе, как это сделано в приемнике радиолы высшего класса «Виктория-Сtereo-001» (рис. 2-100). При максимальной чувствительности приемника диод D_2 , стоящий в цепи обратной связи по току, открыт; усиление каскада максимально. По достижении входным сигналом порогового уровня потенциал в точке соединения диодов становится положительным, в результате чего диод D_2 начинает увеличивать свое динамическое сопротивление и отрицательная обратная связь, возникающая за счет включения сопротивления диода последовательно с конденсатором блокировки эмиттера транзистора УВЧ, уменьшает усиление первого каскада. Одновременно начинает проводить диод D_1 , который при средних уровнях входного сигнала компенсирует возрастающее за счет отрицательной обратной связи входное сопротивление транзистора УВЧ, а при дальнейшем возрастании сигнала начинает шунтировать входной контур, ухудшая его добротность и, следовательно, уменьшая коэффициент передачи напряжения. Совместное действие указанных факторов позволяет получить глубину регулировки порядка 30 дБ и значительно повысить допустимый уровень сигнала на входе приемника по сравнению с указанным ранее. Применение такой цепи регулировки в дополнение к регулировке в УПЧ обеспечивает высокую эффективность АРУ.

Применение в качестве делителей напряжения элементов с нелинейной зависимостью сопротивления от напряжения (диодов и транзисторов) не позволяет полностью избавиться от перекрестных искажений при наличии мощных помех. На рис. 2-101 приведена схема делителя с фоторезистором, сопротивление которого не зависит от значения прикладываемого напряжения. При максимальной чувствительности приемника лампочка L_1 освещает фоторезистор R_1 и падение напряжения на нем минимально. С ростом сигнала транзистор T_2 отпирается и запирает транзистор T_3 , в коллекторную цепь которого включена лампочка L_1 . Освещенность фоторезистора падает, что приводит к возрастанию его сопротивления и уменьшению напряжения на входе транзистора T_1 . Применение такой цепи АРУ целесообразно в стационарных приемниках с питанием от сети, в которых можно не считаться с мощностью, потребляемой лампочкой накаливания.

При изготовлении следует предусмотреть защиту фоторезистора от попадания постороннего света. Монтаж необходимо выполнять таким образом, чтобы проходная емкость входной контур — вход транзистора была минимальной. Максимальное напряжение на входе приемника при применении такой защиты может достигать десятков вольт при настройке приемника в резонанс на частоту этого

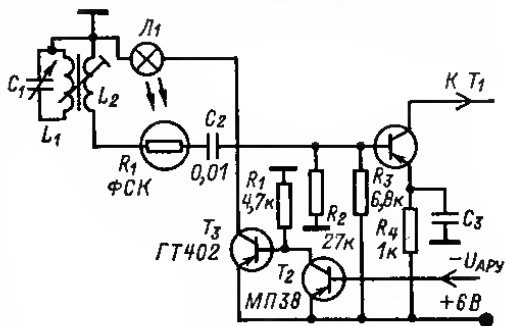


Рис. 2-101.

напряжения. Это обстоятельство подчеркнуто здесь потому, что следует иметь в виду невозможность защиты входного каскада приемника от перегрузки помехами, частоты которых близки к принимаемой частоте, за счет цепи АРУ, какой бы она ни была.

Электронные лампы обладают малыми искажениями при усилении сильных сигналов. Кроме того, наличие специальных ламп с удлиненными характеристиками (в том числе комбинированных частотно-преобразовательных) позволяет получить хорошие результаты при простой схеме АРУ. Регулирующее напряжение в этом случае снимается непосредственно с нагрузки детекторного каскада приемника и через фильтр подводится к управляющим сеткам всех ламп ВЧ тракта. При необходимости введения задержки напряжение снимается со специального детектора АРУ на отдельном диоде, запертого до определенного уровня напряжением задержки.

Автоматическая подстройка частоты

Частотный детектор приемника вырабатывает напряжение постоянного тока, пропорциональное расстройке приемника по отношению к частоте сигнала, а знак его соответствует направлению ухода частоты при расстройке. Поэтому, отфильтровав это напряжение от НЧ составляющей, его можно подвести к управляющему элементу, подключаемому к контуру гетеродина для уменьшения ухода частоты гетеродина. В зависимости от усиления в цепи автоматической подстройки частоты гетеродина (АПЧГ) происходит в большей или в меньшей степени компен-

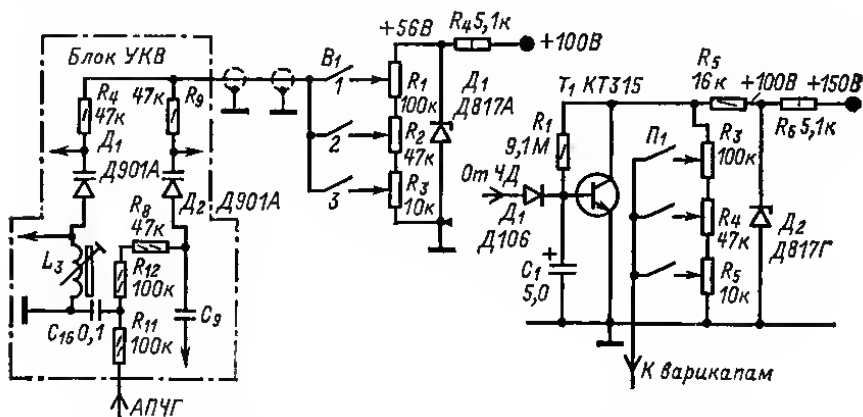


Рис. 2-102.

Рис. 2-103.

сация расстройки. Остаточная расстройка (обычно незначительная), которую цепь АПЧГ не может компенсировать, не сказывается на нормальной работе приемника.

Наиболее часто АПЧГ применяется в приемниках с диапазоном УКВ. Это определяется, во-первых, значительными абсолютными величинами ухода частоты гетеродина на УКВ, и, во-вторых, обязательным наличием в приемнике ЧМ частотного детектора, так что для осуществления АПЧГ достаточно только введения управляющего элемента, как это сделано на рис. 2-56. Кроме того, в современных РВ приемниках в диапазоне УКВ часто применяется фиксированная ключевая настройка на радиостанции. Частота настройки может изменяться со временем за счет различных дестабилизирующих факторов. В этом случае применение АПЧГ обеспечивает необходимое качество работы приемника.

Применение варкапов для перестройки контуров в блоке УКВ (см. § 2-6) позволяет создать приемник ЧМ с настройкой клавишным или кнопочным переключателем, через который к варкапам подводится стабилизированное напряжение, необходимое для настройки на ту или иную радиостанцию (рис. 2-102). Значения управляющих напряжений, соответствующих настройке на три станции, устанавливают переменным резистором R_1 — R_3 . Напряжение от частотного детектора подводится только к варкапу контура гетеродина (хотя оно может быть подведено и к варкапам контуров УВЧ). Для получения малой остаточной расстройки необходима большая крутизна регулирования частоты, которая может быть получена либо при большом уровне напряжения на выходе частотного детектора, либо при введении в цепь АПЧГ усилителя постоянного тока (УПТ). Получение большого напряжения на выходе частотного детектора в транзисторных приемниках затруднительно, поэтому в них целесообразно применение УПТ, как это показано на рис. 2-103. Здесь необходим кремниевый транзистор, рассчитанный на напряжение питания 60—80 В.

Ускление действия АПЧГ можно получить, применив вместо варкапа в контуре гетеродина транзистор с сравнительно большой емкостью перехода коллектор—база. При подведении управляющего напряжения к базе транзистора (рис. 2-104) последний работает как УПТ к при небольшом изменении напряжения на выходе частотного детектора значительно изменяет свою емкость, а следовательно, и частоту гетеродина. В качестве транзистора T_1 возможно применение низкочастотных транзисторов МП35—МП41 в зависимости от полярности источника питания кремника.

В ламповых приемниках возможно применение для АПЧГ реактивной лампы (рис. 2-105), которая представляет собой эквивалентную индуктивность и вслед-

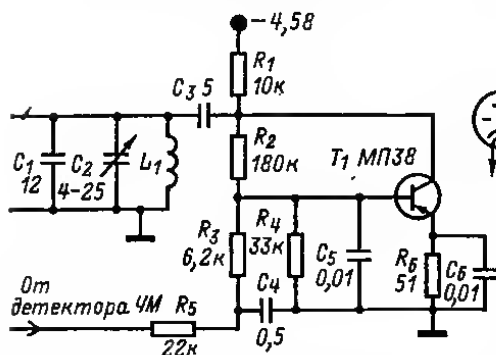


Рис. 2-104.

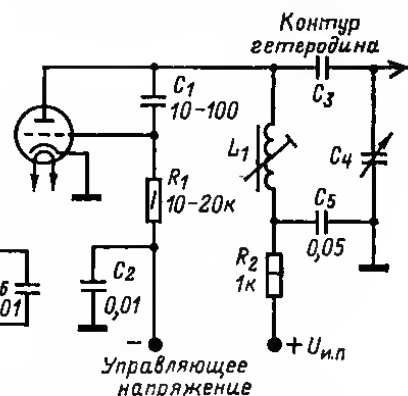


Рис. 2-105.

ствие этого обеспечивает почти одинаковое значение коэффициента АПЧ по диапазону при перестройке контура гетеродина емкостью. При необходимости получения эквивалентной емкости в схеме на рис. 2-105 достаточно поменять местами элементы фазосдвигающей цепочки R_1C_1 . В этом случае для подведения напряжения АПЧ к сетке реактивной лампы необходимо подключить резистор с сопротивлением 0,5—1 МОм.

При налаживании АПЧГ может возникнуть явление «выталкивания» частоты гетеродина управляющим элементом. Оно связано с неправильным фазовым соотношением напряжений, поступающих на диоды частотного детектора с первичной и вторичной катушек контуров фазосдвигающего трансформатора ПЧ. Для восстановления правильного соотношения фаз необходимо поменять местами точки подключения вторичной катушки к диодам детектора.

Автоматическая настройка приемников

Электромеханическая система. Электродвигатель (М), вращая ось блока конденсатора настройки КПЕ, перестраивает приемник в заданном диапазоне частот (рис. 2-106). При точной настройке на радиостанцию на выходе узкополосного усилителя УУПЧ появляется напряжение, которое после детектирования и усиления в УПТ останавливает вращение оси блока КПЕ, фиксируя настройку на данную радиостанцию. Изменяя напряжение на входе УПТ, можно осуществлять прием радиостанций с различной напряженностью поля в месте приема. От ширины полосы пропускания УУПЧ зависит точность настройки приемника.

В автомобильных приемниках агрегат настройки приводится в действие обычно электродвигателем через редуктор с большой степенью замедления. При до-

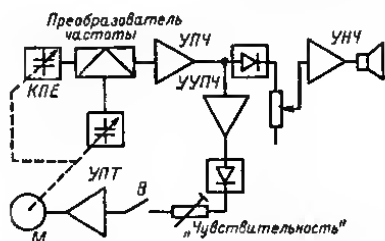


Рис. 2-106.

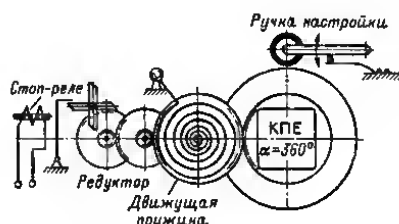


Рис. 2-107.

стижению точной настройки агрегат настройки отсоединяется от электродвигателя и фиксируется (обычно электромагнитной муфтой), а цепь питания двигателя размыкается.

В переносных транзисторных приемниках в целях экономии источников питания вместо электродвигателя обычно применяют пружинный механизм, подобный часовому (рис. 2-107). При этом ось блока КПЕ не должна иметь стопоров, ограничивающих угол вращения.

Для обеспечения высокой точности остановки двигателя при настройке на радиостанцию вертушка стоп-реле связана с пружинным барабаном через редуктор с передаточным числом более 200. При повороте вертушки на один оборот частота настройки приемника изменяется менее чем на 5 кГц.

Обмотка стоп-реле включается на выход двухкаскадного УПТ. В устройстве на рис. 2-108 в этом усилителе работают транзисторы T_2 и T_3 . Регулировка чувствительности осуществляется резистором R_{10} . Узкополосный УПЧ выполнен на транзисторе T_1 и кварцевом фильтре L_4, KB_1, C_5 . Первичный контур L_3C_2 фильтра слабо связан с выходом УПЧ приемника. При настройке на радиостанцию цепь обмотки стоп-реле разорвана и стопор вертушки не дает возможность пружинному двигателю вращать ось КПЕ. Для перестройки на другую радиостанцию необходимо нажатием кнопки KH_1 на короткое время подать напряжение питания на обмотку стоп-реле. При этом освобождается вертушка и пружинный двигатель начинает вращать ось КПЕ до настройки на следующую радиостанцию, напряженность поля которой превышает порог установленной чувствительности УПТ.

Механические системы требуют тщательной регулировки для обеспечения требуемой точности настройки на сигналы принимаемой радиостанции.

Электронная система (рис. 2-109). «Двигателем» является генератор пилоса, вырабатывающий пилообразное напряжение, размах которого должен быть не менее необходимого для перестройки в заданном диапазоне частот блока настройки, в котором в качестве переменных емкостей используются варикапы. В устройстве можно применить генератор пилообразного напряжения фантаскопного типа на лампе 6Ж2П и блок УКВ с электронной настройкой. Электронная

система хорошо сопрягается с системой АПЧГ, благодаря чему обеспечивается высокая точность настройки на радиостанцию. Останавливающим напряжением для фантастронного генератора является выходное напряжение частотного детектора приемника, которое после попадания сигнала радиостанции в полосу про-

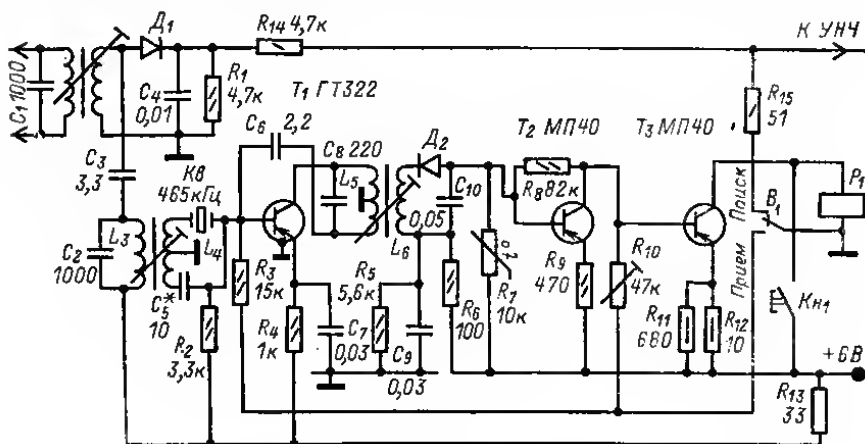


Рис. 2-108.

пускания приемника используется в качестве регулирующего в цепи АПЧГ, в которую превращается устройство после остановки генератора поиска. После прекращения поиска лампа выполняет роль УПТ с большой постоянной времени (роль фильтра).

Перестройка с одной радиостанции на другую осуществляется кратковременным замыканием кнопки $Кн_1$. При пропадании сигнала радиостанции генератор

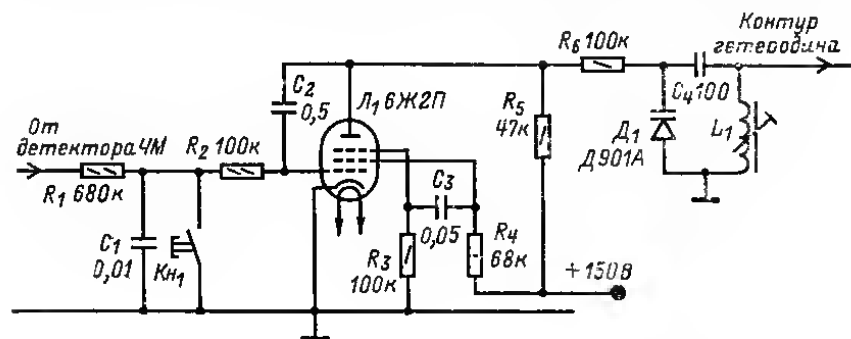


Рис. 2-109.

поиска перестраивает приемник на следующую радиостанцию, частота которой выше ранее принимаемой. Если такой радиостанции нет, то, дойдя до конца диапазона, фантастронный генератор начнет новый цикл поиска с начала диапазона приемника. Это обстоятельство делает его удобным для применения в автомобильных приемниках и в приемниках, включаемых автоматами — реле времени, так как

гарантирует обязательную настройку на какую-нибудь (главным образом мощную местную) радиостанцию без участия радиослушателя.

Применение электронной настройки (рис. 2-110) хотя и не предоставляет таких удобств, но все же обеспечивает отсутствие механических органов настройки

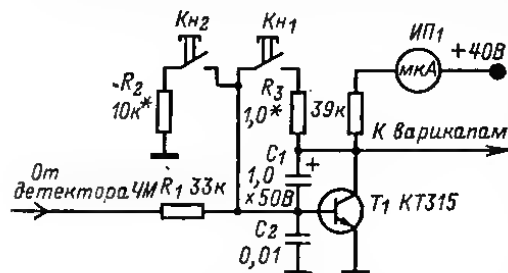


Рис. 2-110.

в приемнике. Возврат поиска в исходное состояние здесь происходит вручную нажатием кнопки $КН_1$. Так же как и в предыдущей схеме, при пропадании сигнала принимаемой радиостанции приемник настраивается на следующую, но, дойдя до конца диапазона, останавливается в этом состоянии и требует вмешательства радиослушателя. При желании перестройки приемника вверх или вниз по частоте нажимают кнопки $КН_1$ или $КН_2$. Скорость перестройки в обе стороны определяется сопротивлением резисторов R_2 и R_3 . Микроамперметр $ИП_1$ служит для грубой индикации частоты настройки приемника.

Индикаторы настройки

Процесс настройки на радиостанции приемников с АРУ усложняется, особенно при применении в УПЧ фильтров с хорошей прямоугольностью частотной характеристики и при работе в УКВ диапазоне. Неточность настройки приводит к искажению принимаемых сигналов, поэтому для обеспечения точной настройки лампового приемника применяют индикатор настройки (рис. 2-111).

Для индикации настройки транзисторного приемника возможно применение стрелочного миллиамперметра, включаемого по схеме рис. 2-112, либо светодиода (см. стр. 654). Если яркость свечения светодиода достаточна при токе 1—1,5 мА, его можно включить в цепь коллектора первого каскада УПЧ (рис. 2-113). Светодиод, дающий хорошую яркость при большем токе, нужно включать в цепь коллектора дополнительного каскада УПЧ (на транзисторе T_2 в схеме на рис. 2-114). В эту же цепь при отсутствии светодиода можно включить миниатюрную лампочку накаливания с током свечения 50—60 мА.

Приведенные схемы обеспечивают настройку «по минимуму». При использовании преобразователя частоты по каскодной схеме ОК—ОБ, охваченной АРУ (см. рис. 2-45), в коллекторные цепи транзисторов можно включить резисторы, развязанные конденсаторами, с которых снимают напряжение для работы индикатора настройки. В простейшем случае между этими резисторами включают микроамперметр (рис. 2-115). При отсутствии сигнала стрелка индикатора стоит на нуле, а при работе АРУ отклоняется пропорционально силе сигнала. Вместо микроамперметра возможно применение других индикаторов, схемы которых описаны ранее.

2-11. ТИПОВЫЕ СХЕМЫ ТРАНЗИСТОРНЫХ ПРИЕМНИКОВ

Общие положения

Современные промышленные РВ приемники развиваются по пути повышения качества радиоприема, упрощения управления, повышения стабильности характеристик, повышения технологичности производства. Радиолобительские конструкции также должны учитывать эти тенденции.

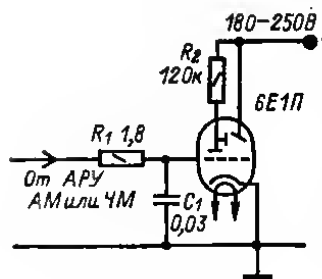


Рис. 2-111.

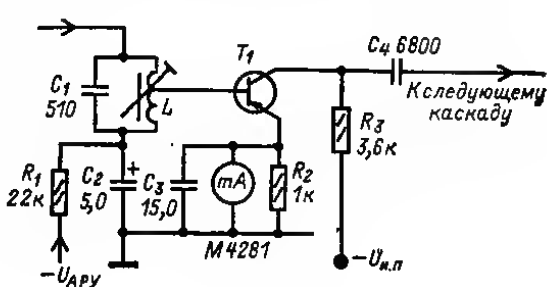


Рис. 2-112.

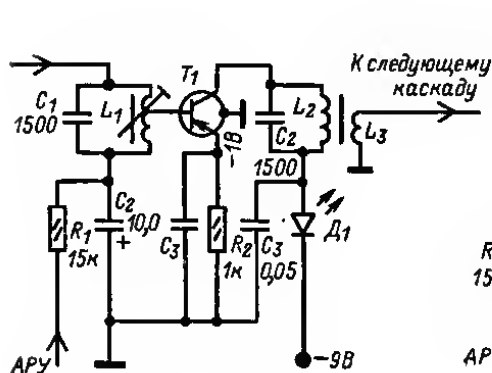


Рис. 2-113.

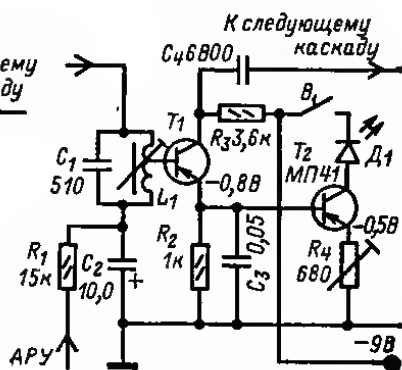


Рис. 2-114.

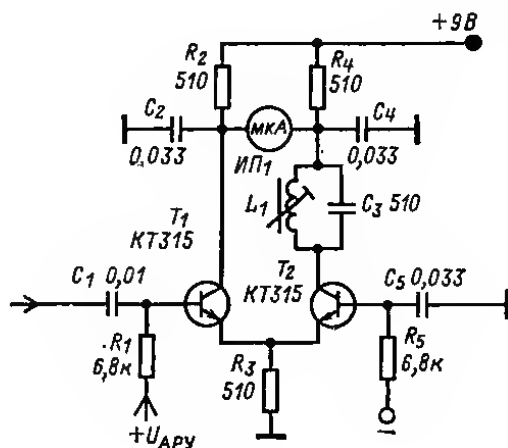


Рис. 2-115.

Повышение селективности, эффективности АРУ и уменьшение коэффициента гармоник часто достигается усложнением конструкции при применении новых элементов (пьезокерамических и электромеханических фильтров). Однако все расширяющееся производство транзисторов и интегральных микросхем позволяет производить усложнения в схемах приемников без существенного увеличения их стоимости. Кроме того, усложнение внутренней структуры микросхем часто приводит к упрощению остальной части схемы приемника. Создание рациональной серии микросхем может привести к значительной унификации принципиальных схем приемников, которая уже в определенной степени наметилась благодаря внедрению в промышленные приемники микросхем серии К237. Применение микросхем этой серии уже сегодня позволяет создавать приемники, отвечающие требованиям II класса ГОСТ в переносном, стационарном и автомобильном исполнении. Налаживание таких приемников сводится к регулировке 1—2 подстроечных резисторов и настройке контуров.

По мере появления в продаже микросхем, транзисторных сборок и отдельных универсальных транзисторов схемы радиолюбительских приемников также изменятся в сторону увеличения числа активных элементов при одновременном упрощении налаживания.

Основным типом приемника, удовлетворяющим почти все запросы радиослушателя и приемлемым с точки зрения самостоятельного изготовления и налаживания, является супергетеродинный приемник с характеристиками, соответствующими II классу ГОСТ. Поэтому в этом разделе приведены типовые схемы приемников именно этого класса (исключением является схема простейшего приемника прямого усиления).

Кроме унифицированного приемника с применением микросхем серии К237 приведены схемы приемников, при разработке которых основное внимание было направлено на хорошую повторяемость их характеристик и возможность изготовления из доступных деталей при минимуме регулировочных работ. Каждая из приводимых схем условно разбита на три функционально законченных блока: блок входных и гетеродинных контуров (БК), блок, содержащий в своем составе все высокочастотные каскады (ВВЧ) и блок — усилитель низкой частоты (УНЧ). Такая разбивка позволяет различные по числу диапазонов, видам антенн, способам коммутации блоки контуров, применяемых в одном приемнике, включить в другой; при изготовлении приемника применять в блоках НЧ различные схемы усилителей из числа приведенных в § 4.2. Высокочастотные части приемников заканчиваются унифицированными разъемами, что позволяет подключать их к мощным высококачественным усилителям, производить запись на магнитофон и использовать УНЧ приемников для воспроизведения грампластинок.

В помещенных в этом разделе схемах приемников использованы отдельные каскады, приведенные в предыдущих параграфах раздела.

Приемник прямого усиления

Приемник прямого усиления (рис. 2-116) может быть выполнен на любых кремниевых ВЧ транзисторах: КТ315, КТ342, КТ301, КТ312, КТ316, транзисторных сборках К2НТ012, К2НТ172. При изменении схемы УНЧ в высокочастотном тракте можно применять германиевые транзисторы МП422, МП416, ГТ309, ГТ322 и т. д. В этом случае в цепь эмиттера T_4 следует включить кремниевый диод любого типа, блокированный конденсатором, как на рис. 2-28, б. Особенностью приемника является применение УВЧ с высоким входным сопротивлением, что позволяет исключить согласующие катушки связи (с входным контуром на каждом диапазоне) и подсоединить базу транзистора T_1 непосредственно к входному контуру. Транзистор T_{10} типа МП38, T_{11} — МП40.

Эмиттерные повторители T_1 и T_2 трансформируют высокое резонансное сопротивление входного контура (200—400 кОм) в сопротивление, близкое к входному сопротивлению транзистора T_4 (около 1 кОм). Общее усиление УВЧ — порядка 150.

Так как для нормальной работы детектора на транзисторе T_5 в схеме ОК необходимо напряжение сигнала 30—50 мВ, а УВЧ полностью подключен и входному контуру, номинальная чувствительность приемника достигает 200—350 мкВ с базы первого транзистора, что примерно соответствует 3—5 мВ/м. Транзистор T_3 предназначен для осуществления автоматической регулировки усиления: отпираясь, он шунтирует вход T_4 и одновременно запирает транзисторы T_1 и T_2 , уменьшая их коэффициент передачи напряжения. С выхода детектора напряжение НЧ поступает на вход четырехкаскадного УНЧ с транзисторами T_6 — T_{11} . Тран-

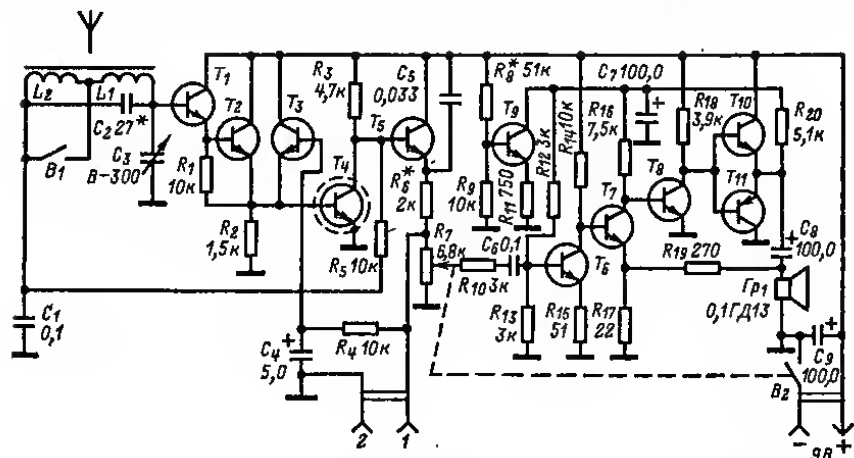


Рис. 2-116.

зисторы T_6 — T_9 по схеме с ОЭ, T_{10} , T_{11} — по схеме с ОК. Транзистор T_9 служит для поддержания на эмиттерах транзисторов выходного каскада напряжения, равного половине напряжения источника питания.

При монтаже приемника необходимо обеспечить соединение базы транзистора T_1 с контуром кратчайшим путем. Если транзистор T_4 не имеет экранирующего корпуса или его коллектор соединен с корпусом транзистора (КТ301, КТ312), то его необходимо экранировать во избежание самовозбуждения УВЧ. Катушки L_1 и L_2 должны быть рассчитаны для приема диапазонов СВ и ДВ соответственно. При указанной на схеме емкости КПЕ катушка L_1 содержит 90 витков провода ЛЭП 5 × 0,06, катушка L_2 — 260 витков ПЭВ-2 0,1 на ферритовом сердечнике М400НН1-8 × 100. Верхний (по схеме) конец резистора R_{18} следует соединить с плюсом источника (на схеме показано ошибочно).

Супергетеродинный приемник на микросхемах серии К237

По схеме на рис. 2-117 возможно выполнение как малогабаритного переносного приемника, так и приемника, рассчитанного для работы в стационарных условиях. Блок контуров должен иметь четыре направления коммутации при работе на ДВ, СВ и КВ. Катушка входного контура может быть намотана на стержне ферритовой антенны или на отдельном каркасе в соответствии с данными § 2-2. Сопряжение контуров рассчитывается по графикам § 2-5. Катушка $L_{свг}$ для получения колебаний на частоте контура гетеродина должна иметь сильную связь с контурной катушкой, т. е. ее витки должны быть намотаны поверх витков контурной катушки $L_{кт}$, а не рядом на каркасе, для КВ и в одном броневом сердечнике для ДВ и СВ. Расположение катушек в блоке должно обеспечивать слабую связь (лучше полное ее отсутствие) между катушками разных поддиапазонов. Цепь $R_{ап}$, $C_{ап}$, включенная параллельно катушке связи с контуром гетеродина, пред-

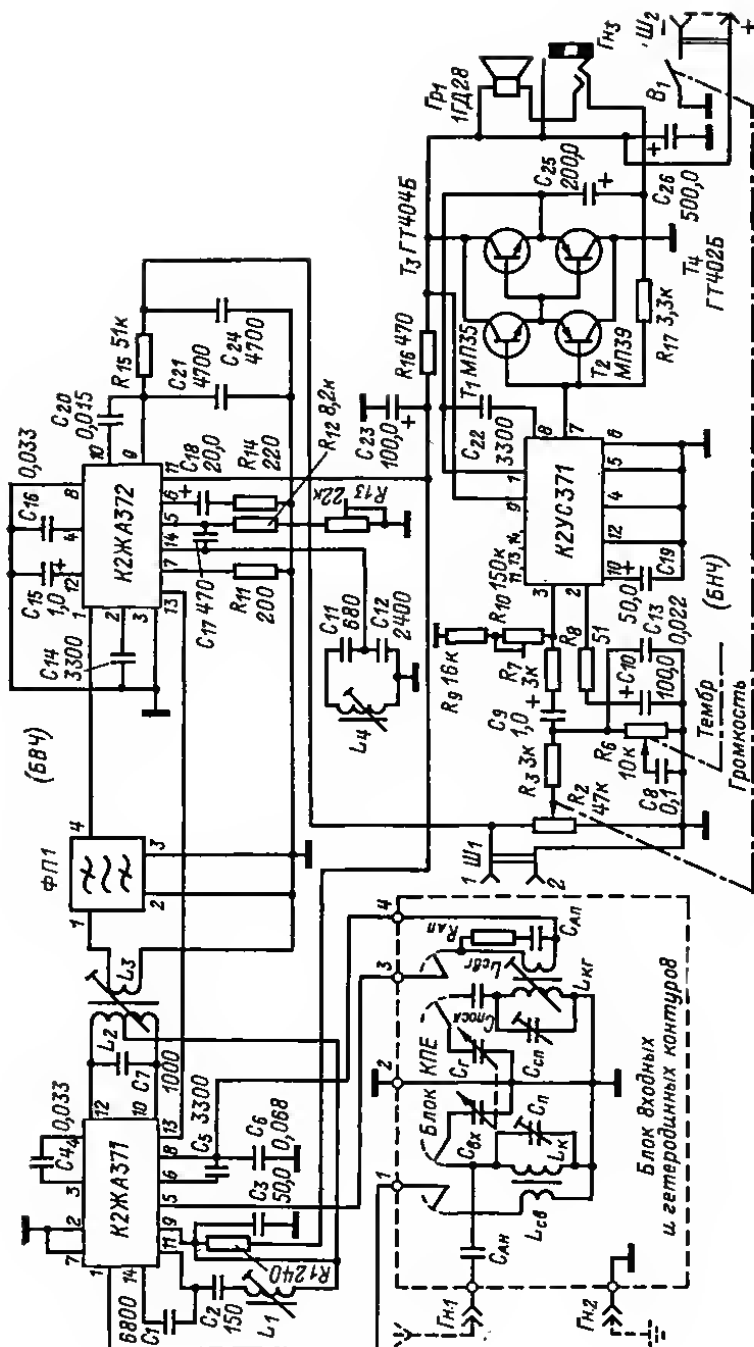


Рис. 2-117.

назначена для подавления паразитной генерации и значения ее элементов зависят от частоты, на которой работает гетеродин. Для диапазонов ДВ и СВ она состоит из резистора сопротивлением 75 Ом и конденсатора емкостью 75 пФ; на КВ емкость конденсатора должна быть уменьшена до 22—15 пФ.

Для примера определим данные катушек выходного и гетеродинного контуров для диапазона СВ. В качестве блока КПЕ выбираем широко распространенный КПЕ типа КПТМ-4 с емкостью 5—260 пФ.

Перекрытие по частоте входного контура

$$K_d = \frac{f_{\max}}{f_{\min}} = \frac{1620}{520} = 3,12;$$

необходимая начальная емкость контура

$$C_{\min} = \frac{C_{\sim}}{K_d^2 - 1} = \frac{255}{3,12^2 - 1} = 26,6 \text{ пФ}$$

при выбранном $C_{\sim} = 255 \text{ пФ}$.

Ориентировочное значение суммарной емкости контурной катушки, монтажа, переключателя диапазонов и пересчитанной в контур входной емкости транзистора УВЧ можно принять равной 15 пФ. Тогда начальная емкость контура без учета емкости подстроечного конденсатора будет равна 20 пФ. Для доведения ее до расчетного значения при настройке включим в контур подстроечный конденсатор емкостью 2—8 пФ, входящий в состав КПЕ.

Определим индуктивность контурной катушки (см. § 2-2)

$$L_k = \frac{25 \cdot 330}{f_{\min}^2 (C_{\sim} + C_{\min})} = \frac{25 \cdot 330}{0,52^2 (255 + 26,6)} = 338 \text{ мкГ}.$$

Выбрав в качестве катушки входного контура обмотку магнитной антенны на ферритовом стержне магнитной втулки диаметром 8 мм и длиной 160 мм, найдем для индуктивности 340 мкГ по графику рис. 2-15, 6 70 витков. Намотка катушки производится на кварце, который должен с небольшим трением перемещаться по стержню магнитной антенны в соответствии с рис. 2-14 для подстройки индуктивности.

Катушку связи с входным контуром рассчитываем, исходя из того, что на входе микросхемы К2ЖА371 стоит кремниевый планарный транзистор с приведенным значением крутизны характеристики 38 1/В.

Принимая значение его коэффициента усиления по току равным 30 — нижнему пределу h_{21} для ВЧ транзисторов, и учитывая, что в соответствии с указанным на схеме режимом питания 5,6 В и сопротивлением резистора нагрузки этого транзистора, получим значение тока коллектора УВЧ даже при полностью открытом транзисторе не больше $I_K < U_{н.п}/R_n = 5,6/8 = 0,7 \text{ мА}$. Принимая $I_K = 0,6 \text{ мА}$, вычислим минимальное входное сопротивление УВЧ:

$$R_{вх} = h_{11} h_{21} = \frac{h_{21}}{S_0 I_K} = \frac{30}{28 \cdot 0,7} \approx 1,5 \text{ кОм}.$$

Согласование входного сопротивления с резонансным сопротивлением контура произведем на средней частоте диапазона, считая добротность контурной катушки равной 150, что близко к действительности при намотке катушки проводом ЛЭШО $10 \times 0,07$:

$$R_{oe} = 2\pi f Q L = 150 \cdot 2 \cdot 3,14 \cdot 1070 \cdot 10^3 \cdot 340 \cdot 10^{-6} = 340 \text{ кОм}.$$

Необходимый коэффициент включения базы транзистора в контур

$$p_1 = \sqrt{\frac{R_{вх}}{R_{oe}}} = \sqrt{\frac{1,5}{340}} = 0,066.$$

Коэффициент связи нонтурной катушки и катушки связи можно принять близким к 1, тогда

$$\omega_{\text{св}} = p_1 \omega_k = 0,06 \cdot 70 = 4,6 \approx 5 \text{ витнов};$$

некоторое увеличение числа витков против расчетного компенсирует несоответствие реального коэффициента связи принятому.

Сопряжение входного и гетеродинного контуров осуществляется включением в гетеродинный нонтур дополнительных последовательного и параллельного конденсаторов.

Полная емкость входного контура

$$C_{\text{макс}} = C_{\text{мин}} + C_{\sim} = 26,6 + 255 \approx 282 \text{ пФ}$$

Выбираем ближайшее по графику рис. 2-50, а значение емкости 300 пФ. Определив коэффициент $n = f_{\text{пр}}/f_{\text{ср}} = 465/1070 = 0,435$, найдем:

$$C_{\text{посл}} = 330 \text{ пФ};$$

$$C_{\text{пар}} = 8 \text{ пФ (по рис. 2-50, б);}$$

$$\alpha = 0,55 \text{ (по рис. 2-50, в)}$$

и рассчитаем

$$L_{\text{кг}} = \alpha L_k = 0,55 \cdot 338 = 185 \text{ мкГ.}$$

Индуктивность катушки связи рассчитывают через коэффициент включения, определяемый по выходному сопротивлению гетеродина, равному 4 кОм.

Расчет катушки связи с контуром гетеродина для схемы гетеродина на микросхеме К2ЖА371 достаточно сложен. Однако практическим путем установлено, что хорошая форма колебаний получается при коэффициенте включения, равном $1/6 - 1/10$ ($R_{\text{вых.г}} \approx 4 \text{ кОм}$). Отсюда число витков катушки связи равно 10. Обязательным условием является сильная связь между катушками, в противном случае возможно возникновение колебаний на резонансной частоте нонтура, образующего индуктивностью катушки связи и емкостью монтажа и транзисторов гетеродина.

Блок высокой частоты состоит из УВЧ с апериодической нагрузкой и преобразователя частоты на микросхеме К2ЖА371. Часть последней служит гетеродином. На выходе УВЧ включен нонтур $L_1 C_2$, служащий для подавления помех с частотой, равной промежуточной. Нагрузкой преобразователя служит симметричный нонтур $L_2 C_7$, к катушке связи с которым подключен пьезокерамический фильтр ФП1. Резистор R_1 и конденсаторы C_3 и C_6 образуют развязывающие фильтры.

Интегральная схема К2ЖА372 вместе с резисторами $R_{11} - R_{15}$ и конденсаторами $C_{14} - C_{18}$, $C_{20} - C_{21}$ выполняет функции УПЧ, детектора и усилителя постоянного тока в цепи АРУ. Контур $L_4 C_{11} C_{12}$, настроенный на промежуточную частоту, сужает шумовую полосу пропускания, обеспечивая малый уровень шумов УПЧ. Чувствительность УПЧ и режим АРУ устанавливается резистором R_{13} .

Напряжение АРУ регулирует усиление первого каскада УПЧ, входящего в состав микросхемы К2ЖА372, и через цепь между контактами 13 микросхем усиление УВЧ в микросхеме К2ЖА371.

Блок НЧ состоит из предварительного усилителя, выполненного на микросхеме К2УС371, резисторах $R_7 - R_{10}$, R_{17} , конденсаторах C_9 , C_{10} , C_{10} , C_{22} и усилителя мощности на транзисторах $T_1 - T_4$, конденсаторе C_{25} . Режим работы УНЧ устанавливается резистором R_{10} по минимуму искажений или по напряжению в точном соединении эмиттеров транзисторов выходного каскада, которое должно быть равно $1/2$ напряжения питания. При использовании динамической головки 1ГД28 выходная мощность достигает 0,7 Вт. Порядок настройки нонтуров изложен в § 2-12.

Премник с полустраутыми диапазонами КВ

В блоке контуров приемника (рис. 2-118) используются две магнитные антенны: ферритовая для диапазонов ДВ и СВ и рамочная — для КВ. Переключатель диапазонов рассчитан на 6 направлений и 4 положения, соответствующих диапазонам ДВ, СВ, КВ1 и КВ2. Границы КВ диапазонов указаны на схеме. Катушка входного контура ДВ образуется из катушки диапазона СВ (L_4) и дополнительной катушки L_4 , которая при приеме СВ замыкается переключателем B_1 , в. Растяжка диапазонов КВ производится путем коммутации конденсаторов во входном (C_3) и гетеродинном (C_{11}) контурах. Сопряжение настройки контуров КВ осуществляется конденсатором C_8 , поэтому при настройке приемника сначала на нижней частоте диапазона КВ1 подстраивают индуктивности контуров, а затем на верхней частоте диапазона КВ2 подстраивают соответствующие полупеременные конденсаторы. Индуктивность входного контура диапазонов КВ состоит из двух частей: L_1 — рамочной антенны, выполненной в виде ручки для переноски приемника, и катушки L_2 , на которой намотана обмотка катушки связи L_3 с базой первого транзистора блока ВЧ. Катушки связи с гетеродинным контуром намотаны поверх обмоток катушек контура гетеродина соответствующих диапазонов в середине каркаса. Блок КПЕ может быть использован от приемника «Селга».

Преобразователь частоты блока ВЧ выполнен на двух транзисторах по схеме с отдельным гетеродином, что позволяет упростить коммутацию гетеродинных контуров. Преобразователь по схеме ОК—ОБ охвачен АРУ. Подробное описание такого преобразователя приведено в § 2-5. Режим преобразователя по постоянному току обеспечивается цепью регулирования, состоящей из транзисторов T_5 — T_7 УПЧ, которая поддерживает с большой точностью напряжение на эмиттерах T_4 и T_2 при работе системы АРУ, чтобы предотвратить уход частоты гетеродина, для которого это напряжение является напряжением питания. Благодаря нелинейности входной характеристик транзистора T_7 цепь регулирования стабилизирует напряжение питания гетеродина и при снижении напряжения батареи в 2 раза сохраняет работоспособность приемника. Напряжение на базу транзистора T_7 снимается с выхода детекторного каскада на транзисторе T_8 в схеме с ОК. Так как напряжение постоянного тока на его выходе примерно на 0,6 В меньше, чем на коллекторе транзистора T_7 , с которого снимается напряжение смещения на базу T_2 , то для осуществления первоначальной установки режимов T_1 и T_2 , т. е. для выравнивания их токов коллекторов, необходимо подобрать сопротивление резистора R_{26} или сделать его регулируемым.

При отсутствии входного сигнала усиление ВЧ тракта максимально, а при приеме сильных сигналов происходит разбаланс цепи T_1 — T_2 так, что транзистор T_2 заперается и его усиление уменьшается пропорционально уровню сигнала. Перераспределение токов между транзисторами T_1 и T_2 , как уже упоминалось, не приводит к изменению напряжения питания транзисторов гетеродина. Усилитель промежуточной частоты с высоким входным сопротивлением полностью подключен к комбинированному фильтру ПЧ, который состоит из двух контуров ($L_{14}C_{20}C_{21}$, $L_{15}C_{22}C_{23}$) и пьезокерамического фильтра ФП1-023. Такое включение фильтра позволяет получить достаточно большой коэффициент передачи напряжения, что существенно из-за малого коэффициента усиления УПЧ. Наличие на входе УПЧ сигнала с высоким уровнем обеспечивает хорошее отношение сигнал/шум в этом усилителе.

Эффективное действие АРУ позволило включить предварительный усилитель НЧ до регулятора громкости. Этот УНЧ обеспечивает уровень сигнала на разьеме Ш1, достаточный для работы мощного усилителя или магнитофона. После регулятора громкости сигнал НЧ подводится к блоку НЧ, состоящему из четырехкаскадного усилителя на транзисторах T_{10} — T_{13} . Усилитель охвачен отрицательной обратной связью (R_{22} , R_{20} , C_{33}), позволяющей применить в предоконечном и окончном каскадах режим В при допустимом уровне искажений. Режим УНЧ устанавливается подбором резистора R_{18} до получения в точке соединения эмитте-

ра T_{14} и коллектора T_{15} напряжения, примерно равного половине напряжения питания. Транзисторы: T_1 — T_{10} типа КТ315, T_{11} —КТ326, T_{12} —МП38, T_{13} —МП40, T_{14} , T_{15} —ГТ402. Ток покоя приемника менее 10 мА. Данные контурных катушек приемника приведены в табл. 2-9.

Таблица 2-9

Данные контурных катушек радиоприемника

Обозначение по схеме	Число витков	Провод	Сердечник	Примечание
L_1	0,5	15×2 мм	Нет	Ручка для переноски, дюралюминий, 100×290×100 мм
L_2	12	ПЭЛШО 0,35	М100ВЧ-СС 2,8×12	Без каркаса, на сердечнике
L_3	5	ПЭЛШО 0,1	То же	Поверх L_2
L_4	75	ЛЭШО 10×0,07	М400НН-3-8×160	Ферритовая антенна
L_5	10	ПЭЛШО 0,1	М400НН-3-8×160	»
L_6	45×6	ПЭЛШО 0,1	М400НН-3-8×160	»
L_7	15	ПЭЛШО 0,1	М400НН-3-8×160	»
L_8	22	ПЭЛШО 0,35	М100ВЧ-СС 2,8×12	Без каркаса, на сердечнике
L_9	6	ПЭЛШО 0,1	То же	Поверх L_8
L_{10}	33×3	ПЭВ-2 0,1	Ч5М600НН, Ø-8,8 мм	От приемника «Сокол»
L_{11}	8	ПЭВ-2 0,1	Ч5М600НН, Ø-8,8 мм	—
L_{12}	50×3	ПЭВ-2 0,1	Ч5М600НН, Ø-8,8 мм	—
L_{13}	12	ПЭВ-2 0,1	Ч5М600НН, Ø-8,8 мм	—
L_{14}	34×3	ЛЭ5×0,06	Ч5М600НН, Ø-8,8 мм	—
L_{15}	34×3	ЛЭ5 0,06	Ч5М600НН, Ø-8,8 мм	—

Приемник с диапазоном УКВ

Приемник (рис. 2-119) рассчитан для работы от сети переменного тока в диапазонах ДВ, СВ и четырех растянутых КВ (КВ1 — 25 м, КВ2 — 31 м, КВ3 — 41 м и КВ4 — 49 м). В диапазоне УКВ приемник имеет пять фиксированных настроек на любую из радиостанций, работающих в этом диапазоне. Переключение в диапазон УКВ осуществляется нажатием независимой кнопки B_2 в блоке контуров. В блоке контуров для коммутации, кроме упомянутой независимой кнопки «АМ—ЧМ», имеется кнопочный переключатель B_1 , содержащий пять кнопок (на 6 цепей каждая). На ДВ и СВ предусмотрено только ферритовая антенна, позволяющая в условиях большого города осуществлять прием радиостанций с меньшим уровнем промышленных помех. В диапазонах КВ и УКВ применяется штыревая антенна; предусмотрено гнездо для подключения внешней антенны. При нажатии соответствующих кнопок к блоку КПЕ в диапазонах ДВ и СВ подключаются соответствующие контурные катушки (L_5 , L_6 , L_9 , L_{11}) с необходимыми сопрягающими конденсаторами (C_{61} и C_{52}). В диапазонах КВ КПЕ подсоединяется к конденсаторам C_{66} — C_{71} и C_{53} — C_{60} , образующим параллельные группы из двух последовательно соединенных конденсаторов в каждой. Такая комбинация конденсаторов в каждом из диапазонов КВ обеспечивает необходимую настройку контуров на нужные частоты и небольшое изменение частоты при изменении емкости КПЕ,

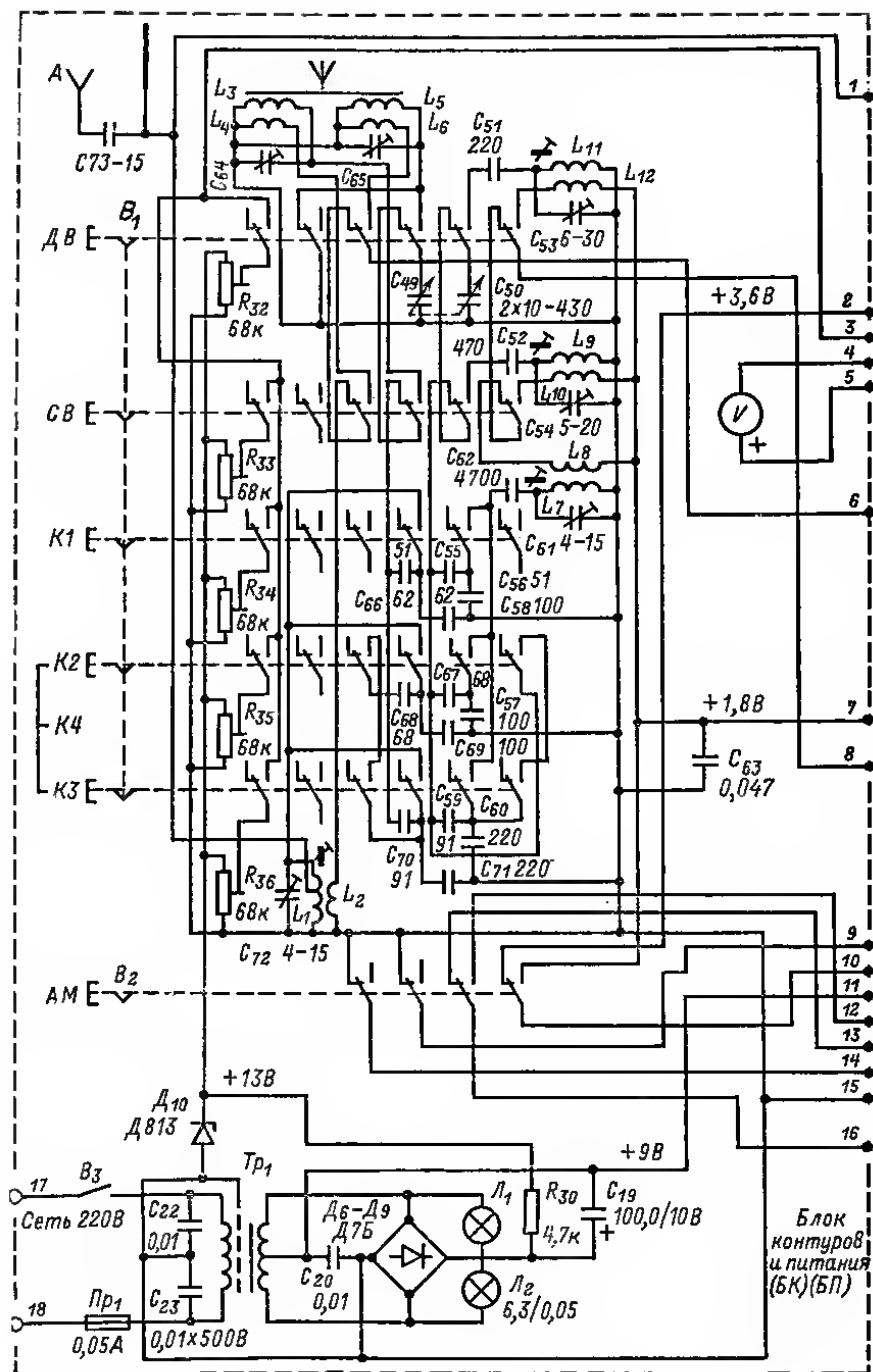
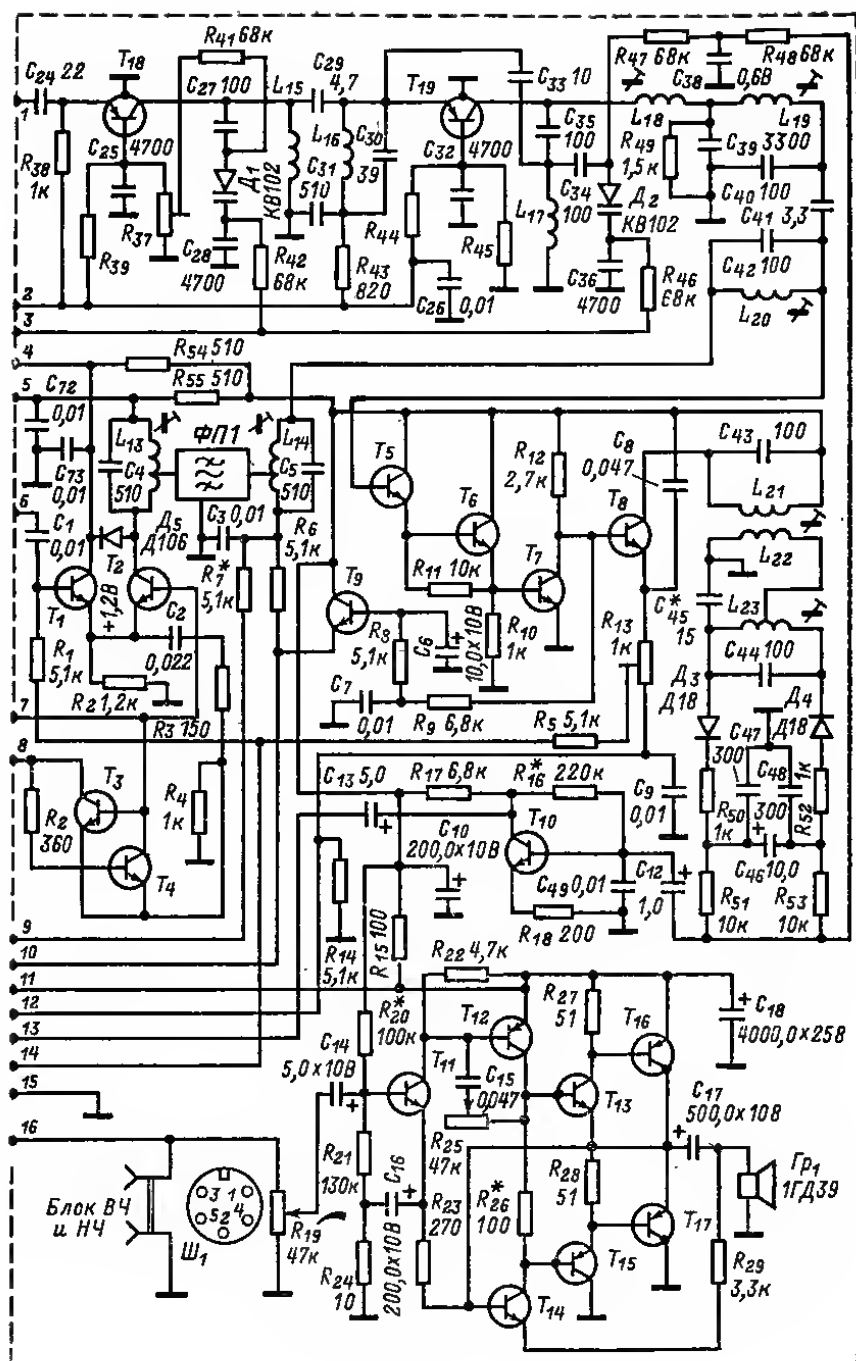


Рис. 2-119.



необходимое для растягивания соответствующего диапазона на всю шкалу приемника. Катушки L_1 и L_7 подсоединяются соответствующими кнопками к необходимой комбинации конденсаторов. Здесь так же как и в предыдущем приемнике, сопряжение контуров при регулировке осуществляется индуктивностью на самой низкой частоте диапазона (КВ4) и емкостью на самой высокой частоте (КВ1). Диапазоны КВ3 и КВ2 при этом сопрягаются автоматически. Такой способ позволил сэкономить контакты для включения установочных резисторов настройки диапазона УКВ.

Блок УКВ выполнен с электронной настройкой на варикапах D_1, D_2 , на которые подается устанавливаемое резисторами $R_{32}-R_{36}$ стабилизированное напря-

Таблицы 2-10

Данные контуров и силового трансформатора радиоприемника

Обозначение по схеме	Число витков	Провод	Сердечник	Примечание
L_1	10	ПЭЛШО 0,2	M100HH-2CC-2,8×12	Каркас диаметром 6 мм; отвод от 3 витка снизу
L_2	3	ПЭЛШО 0,1	M100HH-2CC-2,8×12	—
L_3	180	ПЭВ-2 0,1	M400HH 8×160	Ферритовая антенна
L_3	55	ЛЭШО 10×0,07	M400HH 8×160	—
L_4	6	ПЭЛШО 0,15	M400HH 8×160	—
L_5	15	ПЭВ-2 0,1	M400HH 8×160	—
L_7	9	ПЭЛШО 0,2	M100HH-2CC-2,8×12	Каркас диаметром 6 мм
L_8	3	ПЭЛШО 0,1	M100HH-2CC-2,8×12	—
L_9	26×4	ЛЭ 3×0,06	Ч5М600HH	—
L_{10}	10	ПЭЛШО 0,1	Ч5М600HH	—
L_{11}	40×4	ЛЭ 3×0,06	M600HHЗСС 2,8×12	—
L_{12}	18	ПЭЛШО 0,1	M600HHЗСС 2,8×12	—
L_{13}	33×3	ЛЭ 5×0,06	Ч5М600HH	Отвод от 14 витка
L_{14}	33×3	ЛЭ 5×0,06	Ч5М600HH	То же
L_{15}	4	ПЭВ-2 0,8	—	Без каркаса, диаметром 6 мм
L_{16}	20	ПЭШО 0,1	—	На резисторе МЛТ-0,5 = 100 кОм
L_{17}	4	ПЭВ-2 0,8	—	Без каркаса, диаметром 6 мм, внутри поронок
L_{18}	18	ПЭШО 0,15	Ч5М600HH	—
L_{19}	18	ПЭШО 0,15	Ч5М600HH	—
L_{20}	18	ПЭШО 0,15	Ч5М600HH	—
L_{21}	18	ПЭШО 0,15	Ч5М600HH	—
L_{22}	9	ПЭШО 0,15	Ч5М600HH	—
L_{23}	2×9	ПЭШО 0,15	Ч5М600HH	—
Tr_1 обмотка I	3000	ПЭВ-2 0,13	УШ16×24	Сердечник без зазора, между обмоткой I и II проложены 2 слоя изоляции и экранирующая обмотка в 1 слой
обмотка II	2×95	ПЭВ-2 0,59		

жение постоянного тока из блока питания. Сопряжение контура УВЧ $L_{15}C_{27}D_1C_{28}$ с контуром гетеродина $L_{12}C_{34}D_2C_{35}$ производится также электрическим способом с помощью установочного резистора R_{37} . В отличие от контуров, перестраиваемых переменными конденсаторами, сопряжение контуров с варикапами производят емкостью на нижней частоте диапазона, а индуктивностью — на верхней, так как влияние напряжения на емкость варикапа максимально на нижней частоте.

Усилитель высокой частоты и преобразователь с совмещенным гетеродином выполнены по схеме ОБ на высокочастотных германиевых транзисторах структуры $p-n-p$ (ГТ313). В эмиттерную цепь преобразователя включен последовательный контур $L_{16}C_{31}$, настроенный на промежуточную частоту (6,8 МГц). Конденсаторы C_{33} и C_{30} образуют емкостный делитель в цепи обратной связи гетеродина. Контурная катушка L_{18} первого фильтра ПЧ для частот гетеродина служит дросселем параллельного питания, а конденсатор C_{35} , настраивающий ее на частоту 6,8 МГц, — разделительным конденсатором. На варикап контура гетеродина D_2 кроме напряжения настройки подается напряжение с выхода частотного детектора для автоматической подстройки частоты гетеродина. Контура $L_{18}C_{35}$, $L_{19}C_{40}$ и $L_{20}C_{42}$ образуют ФСС тракта ЧМ. Штыревая антенна вместе с подводящими проводами, частью индуктивности L_1 , входной емкости T_{18} и емкостью монтажа образует контур, настроенный в районе средней частоты диапазона УКВ.

Блок ВЧ отличается от ранее описанного рядом особенностей: в системе стабилизации напряжения питания гетеродина и блока УКВ применен специальный транзистор T_9 ; преобразователь частоты (транзисторы T_1 , T_2) выполнен по схеме на рис. 2-45 и связан с гетеродином через резистор R_3 ; для увеличения эффективности АРУ применен кремниевый высокочастотный диод D_5 ; в коллекторные цепи транзисторов T_1 и T_2 включен индикатор настройки И; в базовую цепь первого каскада УПЧ последовательно включены выходные контуры фильтров АМ ($L_{14}C_6$) и ЧМ ($L_{20}C_{42}$); детекторный каскад АМ (T_8) при приеме на УКВ используется в качестве дополнительного усилителя, а в его коллекторную цепь включен фазосдвигающий трансформатор L_{21} , L_{22} , L_{23} и детектор ЧМ на диодах D_3 , D_4 ; режим преобразователя устанавливается регулировочным резистором R_{13} по нулевым показаниям индикатора.

В блоке ВЧ могут применяться любые ВЧ кремниевые транзисторы, близкие по параметрам к КТ315, и транзисторные сборки различных серий микросхем. Данные всех контуров приемника и трансформатора питания приведены в табл. 2-10. Резисторы: R_{37} — 6,8 к, R_{39} , R_{44} — 2,7 к, R_{45} — 4,7 к.

В блоке НЧ применены регулятор тембра (резистор R_{25}) и транзистор T_{14} (динамическая нагрузка). Транзисторы в УНЧ за исключением выходного и предвыходного каскадов — кремниевые, высокочастотные или среднечастотные. Транзистор T_{13} структуры $p-n-p$ (КТ326, КТ337), T_{13} — МП38, T_{15} — МП40, T_{16} и T_{17} — ГТ402 или П214.

В блоке питания диоды D_6 и D_7 могут быть любого типа с $I_{вп.ср.макс} \geq 300$ мА. Все контурные катушки фильтров ПЧ помещены в экраны.

Между контактами 14 и 15 следует подключить отсутствующий на схеме конденсатор емкостью 20 мкФ.

2-12. НАЛАЖИВАНИЕ РАДИОПРИЕМНИКОВ

Порядок налаживания

Последовательность работ при налаживании обычно следующая: проверка правильности и устранение ошибок монтажа; проверка правильности режимов электронных ламп и полупроводниковых приборов в устранение несоответствия заданным; проверка характеристик НЧ и ВЧ трактов; устранение возможных дефектов в работе отдельных каскадов; подстройка и сопряжение настроек контуров; измерение основных характеристик приемника в целом.

Проверка правильности монтажа

В процессе монтажных работ необходимо тщательно проверять (например, с помощью омметра) правильность всех соединений в соответствии с принципиальной схемой, полярность включения электролитических конденсаторов, отсутствие замыканий между электродами электронных приборов, отсутствие замыканий между обмотками и обмоток с магнитопроводами трансформаторов, отсутствие соприкосновений неизолированных выводов деталей между собой и с другими токоведущими элементами схемы, отсутствие затеков олова, обрезков монтажного провода и т. п.

Проверку электролитических конденсаторов на отсутствие утечек производят до установки их в приемник с помощью омметра, с соблюдением полярности, указанной на конденсаторе. Омметр должен быть включен в положение измерения больших сопротивлений. При использовании в качестве омметра тестеров различных типов следует принимать во внимание, что у большинства из них отрицательный полюс внутренней батареи омметра соединен с выводом прибора, обозначенным знаком «-». При правильном подключении электролитического конденсатора к омметру и при исправном конденсаторе в момент включения стрелка омметра отклонится тем сильнее, чем больше емкость конденсатора, а затем медленно возвратится в исходное положение. Сопротивление изоляции конденсатора должно быть не менее нескольких мегаом, меньшее сопротивление может привести к изменению режимов электронных приборов (особенно транзисторов, так как в транзисторных усилителях электролитические конденсаторы обычно используются в качестве разделительных). Отсутствие броска стрелки указывает на внутренний обрыв или значительное уменьшение емкости конденсатора за счет высыхания электролита.

При отсутствии возможности проверки параметров электронные приборы проверяют на отсутствие междуэлектродных замыканий и на работоспособность. Отсутствие междуэлектродных замыканий проверяют с помощью омметра, причем для транзисторов и полупроводниковых диодов необходимо соблюдать полярность подсоединения щупов омметра. Сопротивление между выводами базы и эмиттера, базы и коллектора в одном из положений щупов омметра должно быть 10—500 Ом. При изменении полярности подключения на участке коллектор—база сопротивление должно быть не менее 100 кОм, а на участке эмиттер—база — не менее 10 кОм, если транзистор исправен. Напряжение внутренней батареи омметра не должно превышать максимально допустимых напряжений для этих участков; например, у большинства ВЧ транзисторов максимально допустимое обратное напряжение база—эмиттер $U_{\text{бэ макс}} \leq 1 + 3 \text{ В}$.

Проверка режимов электронных ламп

Наладживание следует начинать с проверки режимов питания электронных ламп. Независимо от назначения каскада (усиление НЧ, усиление ВЧ, генерирование колебаний) в каскаде всегда можно выделить основные цепи, определяющие режим лампы по постоянному току. Номинальные напряжения на их электродах обычно указывают на схемах приемников, в справочниках по электронным лампам или определяют по их характеристикам. Режим многосеточных ламп, кроме того, определяется напряжениями на второй и третьей сетках. При питании второй сетки через гасящий резистор напряжение на ней может значительно отличаться от рекомендованного в описании приемника. Для обеспечения заданного режима следует сначала убедиться в исправности блокировочного конденсатора второй сетки, а затем подобрать сопротивление гасящего резистора или сменить лампу. Значительно меньший разброс напряжения на второй сетке при замене лампы обычно получается при питании ее от делителя напряжения.

Режимы каскадов УВЧ и УПЧ (за исключением напряжений смещения) можно измерить с помощью тестера с внутренним сопротивлением 5—10 кОм/В.

На рис. 2-120 представлены способы включения тестера между различными электродом лампы, там же показано подключение тестера к транзистору. В кружочках, изображающих тестер, указаны пределы его шкал, на которых следует проводить измерения.

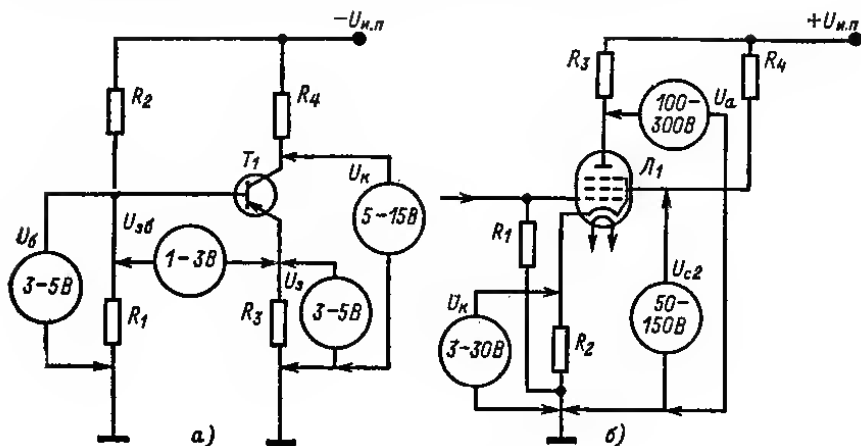


Рис. 2-120.

Настройка приемников прямого усиления

Приемники прямого усиления можно настраивать без специальной измерительной аппаратуры.

После проверки режимов транзисторов или ламп по постоянному току и налаживании УНЧ можно попытаться принять какую-либо радиостанцию. Если она слышна достаточно громко (без свистов и искажений), значит, ВЧ тракт и детектор приемника работают нормально и можно приступить к подгонке границ принимаемого поддиапазона. При искаженном приеме следует устранить неполадки в работе УВЧ и детектора. После этого можно перейти к подгонке границ поддиапазонов приемника.

При отсутствии генератора сигналов эту работу лучше всего производить с помощью вспомогательного приемника, в качестве которого можно использовать РВ приемник промышленного изготовления, имеющий градуировку шкалы. Желательно, чтобы в нем был индикатор настройки. Для контроля частоты настройки контура, определяющего настройку налаживаемого приемника, можно подать на этот контур положительную обратную связь. В одноконтурном приемнике с обратной связью ее увеличивают до возникновения самовозбуждения. Если в приемнике несколько колебательных контуров, то обратную связь следует подать на контур, связанный с детекторным каскадом. Наиболее просто осуществить обратную связь, соединив конденсатором емкостью 5—15 пФ выходную цепь следующего за указанным контуром каскада. Если генерация не возникает, то следует поменять местами концы катушки связи цепи базы транзистора с контуром.

После получения генерации налаживаемый приемник слабо связывают с вспомогательным приемником и принимают его «сигналы», замечая их частоту по шкале вспомогательного приемника. Используя вспомогательный приемник как волномер и изменяя данные контурной катушки налаживаемого приемника, подгоняют настройку его контура в границы заданного поддиапазона. После подгонки в диапазон «основного» контура остальные контуры приемника

настраивают по максимальной громкости приема радиостанций. Сначала приемник настраивают на радиостанцию, работающую в низкочастотном участке диапазона и подстраивают все контуры, изменяя индуктивность нонтуриных катушек. Затем, настроившись на радиостанцию в высокочастотном участке диапазона, подстраивают все контуры, изменяя емкости подстроечных конденсаторов. Для точной подстройки контуров указанные операции необходимо повторить 2—4 раза.

При наличии генератора сигналов подгонку поддиапазонов налаживаемого приемника производят путем настройки его на частоту генератора сигналов, установленную ранее по его шкале. Модулированный звуковой частотой (400 или 1 000 Гц) сигнал подводят ко входу приемника через конденсатор емкостью 100—200 пФ либо через виток связи (см. рис. 2-1), если приемник рассчитан для работы с магнитной антенной.

Настройка супергетеродинных приемников

Настройка контуров тракта ПЧ. Налаживание супергетеродинного приемника следует начинать с настройки резонансных контуров (междукаскадных фильтров и ФСС) тракта ПЧ. Если в приемнике имеется фильтр, предотвращающий попадание сигналов с частотой ПЧ на вход преобразователя частоты, то на время настройки тракта ПЧ этот фильтр следует отсоединить. Его включают после завершения настройки, настроив по минимуму прохождения сигнала ПЧ.

Сигнал промежуточной частоты (465 кГц, 6,5 МГц и т. п.) можно получить от генератора сигналов либо от одного из каскадов УПЧ вспомогательного приемника, настроенного на какую-либо местную радиостанцию. Если в налаживаемом приемнике селективность «расщеплена», то сначала образцовый сигнал подают на вход последнего каскада УПЧ. Для ослабления влияния настройки контура, к которому подсоединяют входной сигнал, контур должен быть зашунтирован низкоомным резистором. Обычно это условие выполняется, если сигнал подается от генератора сигналов с выходным сопротивлением 50—75 Ом или снимается с обмотки связи с контуром ПЧ вспомогательного транзисторного приемника через конденсатор емкостью 0,01—0,05 мкФ. На слух (по максимальной громкости) или визуально (по показаниям прибора, включенного на выход приемника) настраивают выходной фильтр последнего каскада УПЧ. При наличии в приемнике нескольких каскадов УПЧ по мере настройки сигнал подают на вход предыдущего каскада и настраивают его контуры и фильтры, не изменяя частоты сигнала, но соответственно уменьшая его уровень во избежание перегрузки каскадов УПЧ.

При наличии цепей нейтрализации проходных емкостей транзисторов настройки УПЧ производится следующим образом: после настройки последнего ФПЧ (считая от входа приемника), когда низкоомный выход генератора сигналов переносится на вход предыдущего каскада, изменением частоты генератора сигналов определяется уход частоты настройки последнего ФПЧ. Если частота настройки мало изменилась (расстройка меньше 2—3 кГц), то нейтрализующая емкость выбрана правильно; если же расстройка больше допустимой и произойдет в сторону повышения частоты, то емкость конденсатора цепи нейтрализации следует уменьшить, а если в сторону уменьшения — увеличить.

Во всех случаях при настройке транта ПЧ следует срывать колебания гетеродина настраиваемого приемника во избежание ложных настроек путем закорачивания нонтурной катушки гетеродина.

Сопряжение настроек входных и гетеродинного контуров. Сопряжение можно начинать с любого поддиапазона. Если катушки входного или гетеродинного контуров используются на двух или более диапазонах, нужно разобраться в схеме их коммутации и выбрать поддиапазон, с которого следует начинать сопряжение контуров.

Сопряжение контуров следует производить в расчетных точках, которые для стандартных РВ диапазонов имеют следующие значения:

ДВ	160	250	400	кГц
СВ	560	1000	1400	нГц
КВ	4,0	7,2	11,8	МГц
УКВ	66,0	69,0	73,0	МГц

На вход приемника подают сигнал от генератора сигналов через эквивалент внешней антенны либо через виток связи с магнитной антенной приемника, и, поочередно настраивая приемник на крайние частоты поддиапазонов, устанавливаемые по шкале генератора сигналов, вращением соответствующих подстроечных сердечников катушек и осей подстроечных конденсаторов контура гетеродина подгоняют поддиапазоны приемника в следующие границы:

Настройка индуктивностью		Настройка емкостью	
ДВ	148	415	кГц
СВ	520	1620	кГц
КВ	3,9	12,2	МГц

При отсутствии генератора сигналов границы поддиапазонов настраиваемого приемника определяют с помощью вспомогательного приемника, на который принимают сигнал гетеродина диапазона ДВ, настраивая приемник на 613 кГц (490 м) и 880 кГц (340 м) и одну частоту диапазона СВ 980 кГц (306 м). Для установки второй граничной частоты диапазона СВ (1620 кГц) вспомогательный приемник настраивают на 1155 кГц, а колебания от его гетеродина, с частотой 1620 кГц, принимают на настраиваемый приемник. Аналогичным образом приблизительно устанавливают границы диапазона КВ, которые затем уточняют при приеме радиостанций, работающих в участках диапазона.

Настройка входных контуров. Генератор сигналов поочередно устанавливают на крайние частоты точного сопряжения и, изменяя индуктивность на нижних частотах и емкость на верхних, подстраивают по максимуму выходного напряжения входные контуры. При отсутствии генератора сигналов входные контуры настраивают по максимальной громкости сигналов радиостанций, расположенных по шкале приемника вблизи частот точного сопряжения.

Операции по подгонке границ поддиапазонов и сопряжению входных контуров производят не менее 2—4 раз в каждой из указанных точек для последовательного приближения к точному сопряжению.

При сопряжении контуров приемников с настройкой ферроварнометром (например, автомобильных) необходимы генератор сигналов и высокочастотный милливольтметр. Схема преобразовательного каскада с настройкой контуров изменением индуктивности показана на рис. 2-121. Настройку осуществляют следующим образом: к выходному контуру в точке его соединения со входом УВЧ или преобразователя частоты подсоединяют ВЧ милливольтметр; ко входу приемника через эквивалент антенны подсоединяют генератор сигналов и с помощью подстроечного конденсатора C_2 и подбором конденсатора C_3 в соответствующих диапазонах подгоняют границы настроек входных контуров. Затем по шкале генератора сигналов устанавливают частоту точного сопряжения диапазона СВ (1400 кГц) и по максимуму показаний милливольтметра настраивают входной контур на эту частоту. Затем, уменьшив входное напряжение во избежание перегрузки приемника, подстраивают катушку L_3 контура гетеродина до получения максимума напряжения на выходе приемника. Аналогично настраивают входной контур на частоту точного сопряжения 560 кГц и сопрягают с ним контур гетеродина изменением индуктивности катушки L_4 . Если в контрольной точке на средней частоте точного сопряжения получить не удалось, то следует несколько

изменить емкость конденсатора C_6 и повторить всю операцию снова. На диапазоне ДВ на частоте 400 кГц сопряжение осуществляется изменением индуктивности

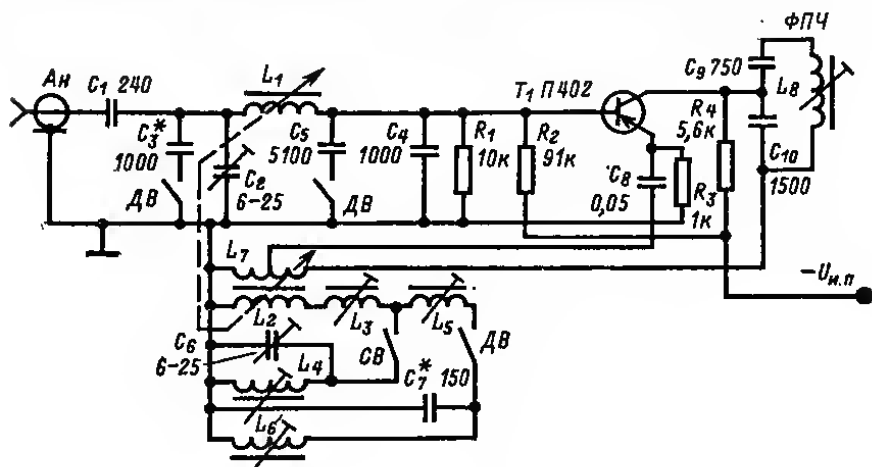


Рис. 2-121.

катушки L_5 , а на частоте 160 кГц — катушки L_6 . После окончания настройки и подключения антенны необходимо уточнить емкость конденсатора C_2 при приеме радиостанции в любой точке диапазона.

Налаживание тракта приемника ЧМ

Налаживание тракта ЧМ начинают с настройки контуров частотного детектора и тракта УПЧ. Если детектор выполнен по схеме симметричного дробного детектора, на его вход подают напряжение ПЧ от генератора сигналов, а к резистору R_8 (см. рис. 2-86) подсоединяют высокоомный вольтметр. Контур детектора настраивают по максимуму выходного напряжения. Затем вольтметр включают между точками a и b и подстраивают вторичный контур, пока напряжение не упадет до нуля. После этого изменяют частоту генератора сигналов в обе стороны от номинального значения ПЧ и снимают зависимость напряжения между точками a и b от расстройки. Эта зависимость должна быть линейной в пределах $\pm (75-100)$ кГц. Ее линейность и симметричность регулируются изменением сопротивлений резисторов R_3 и R_6 , R_8 или изменением связи между контурами детектора.

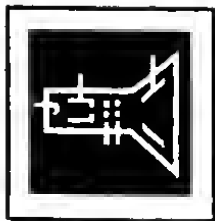
При налаживании дробного детектора, выполненного по несимметричной схеме (см. рис. 2-87), параллельно резистору R_4 присоединяют временный делитель из двух резисторов с сопротивлениями 10—30 кОм (0,47—1 МОм каждый для ламповых приемников), к средней точке которого подсоединяют вольтметр, после чего производят регулировку как и в случае симметричной схемы.

После настройки детекторного каскада настраивают контуры тракта УПЧ по максимальному напряжению на входе детектора или ограничителя. Напряжение на входе детектора следует измерять высокочастотным вольтметром. Напряжение постоянного тока на ограничителе можно замерить вольтметром постоянного тока, подключая его к сетке лампы ограничителя или к электролитическому конденсатору дробного детектора в транзисторном приемнике. При настройке контуров ПЧ необходимо следить за сохранением симметрии полосы пропускания относительно средней частоты, на которой выходное напряжение частотного

детектора равно нулю. Ширина полосы пропускания тракта ПЧ должна быть не менее 120—180 кГц.

Настройка контуров тракта ПЧ и частотного детектора существенно облегчается при применении прибора для настройки телевизоров типа Х1-7 (ПНТ-59) или аналогичного генератора качающейся частоты с панорамным индикатором. Высокочастотный выход прибора подсоединяют ко входу УПЧ, вход усилителя вертикального отклонения прибора подсоединяют к выходу частотного детектора и, разобравшись, какой из контуров влияет на форму характеристики тракта, настраивают контуры так, чтобы получить хорошую линейность S-образной кривой и нужную полосу пропускания тракта в целом, наблюдая за характеристикой на экране индикатора. Для определения точного значения «нулевой частоты» детектора пользуются кварцованными частотными метками или генератором сигналов, подключенным ко входу прибора «внешняя метка».

Блок УКВ заводского изготовления обычно настроен и в регулировке не нуждается. Блок УКВ самостоятельного изготовления настраивают с помощью ВЧ пробника прибора Х1-7, который подключают к выходу ПЧ блока УКВ. Ко входу блока подсоединяют выход ВЧ генератора качающейся частоты прибора, и, изменяя настройку блока УКВ, по частотным меткам определяют диапазон принимаемых частот. При необходимости его корректируют подстройкой контура гетеродина. Входные контуры и контуры УВЧ настраивают по максимуму кривой на экране индикатора.



ТЕЛЕВИЗИОННЫЙ ПРИЕМ

РАЗДЕЛ

3

СОДЕРЖАНИЕ

3-1.	Структурные схемы и параметры телевизионных приемников	147
	Типовая структурная схема телевизионного приемника черно-белого изображения (147). Структурная схема телевизионного приемника цветного изображения (149). Параметры телевизионных приемников (150). Определение основных параметров по универсальной испытательной таблице (154).	
3-2.	Селекторы телевизионных каналов	157
	Усилители высокой частоты селекторов (157). Преобразователи частоты селекторов (159). Селекторы каналов диапазона метровых волн (160). Селекторы каналов дециметрового диапазона волн (170). Всеволновый селектор каналов СК-В-1 (172). Бесконтактное переключение каналов. Сенсорные устройства (177).	
3-3.	Схемы УПЧИ телевизоров черно-белого и цветного изображения	180
	Требования к УПЧИ (180). УПЧИ на электронных лампах (181). Блок УПЧИ унифицированного телевизора класса 11 (УЛТ-61) (183). УПЧИ на транзисторах и интегральных микросхемах (188). Блок УПЧИ и УПЧЗ транзисторных телевизоров ППТ-23-2 (188). УПЧИ начала изображения цветного телевизора на интегральных микросхемах серии К224 (189).	
3-4.	Схемы УПЧЗ	195
	Блок УПЧЗ и УНЧ лампового телевизора класса 11 (УЛТ-61) (196). Канал УПЧЗ и УНЧЗ транзисторных телевизоров ППТ-23-2 (196). Блок УПЧЗ с детектором ЧМ сигналов на интегральных микросхемах серии К224 (198).	
3-5.	Видеодетекторы и видеоусилители	199
	Типовые схемы видеодетекторов и видеоусилителей ламповых телевизоров (199). Типовые схемы видеодетекторов и видеоусилителей транзисторных телевизоров (201).	
3-6.	Ярностный канал цветного телевизора	202
	Требования к ярностному каналу (202). Транзисторно-ламповый видеоусилитель ярностного канала (202). Применение микросхемы К2УБ242 в видеоусилителе ярностного канала (204).	
3-7.	Блок цветности цветного телевизора	205
	Блок цветности на микросхемах серии К224 (209). Блок формирования и усиления видеосигналов для цветного телевизора на микросхемах серии К224 (212).	
3-8.	Устройства синхронизации и развертки изображения	214
	Селекторы импульсов синхронизации (214). Генераторы строчной развертки (216). Стабилизация строчной развертки (222). Автоматическая подстройка частоты и фазы строчной развертки (224). Генераторы кадровой развертки (226). Стабилизация кадровой развертки (229). Блок разверток (230). Схема включения кинескопа на узел строчной развертки цветного телевизора на электронных лампах (235). Узел кадровой развертки цветного телевизора на электронных лампах (239). Узел строчной развертки на транзисторах для цветного телевизора на кинескопе 59ЛК3Ц (240). Узел кадровой развертки на транзисторах для цветного телевизора (244).	
3-9.	Автоматическое регулирование в телевизорах	247
	Автоматическое регулирование усиления (247). Автоматическое регулирование яркости и поддержание уровня черного (250). Автоматическая подстройка частоты гетеродина (253). Автоматическое гашение луча кинескопа (254).	
3-10.	Устройство сведения лучей в цветном кинескопе	255
	Схема сведения лучей для лампового цветного телевизора (257). Схемы сведения лучей для транзисторного цветного телевизора (259).	
3-11.	Блок питания телевизоров	261
3-12.	Настройка транса изображения и звукового сопровождения телевизоров	264
	Настройка транса изображения (264). Настройка УПЧИ на интегральных	

микросхемах при помощи генератора качающейся частоты (266). Настройка тракта звукового сопровождения (266). Настройка тракта звукового сопровождения без генератора сигналов (267). Настройка УПЧЗ на интегральных микросхемах при помощи генератора качающейся частоты (268). Налаживание яркостного канала цветного телевизора (268). Налаживание видеоусилителей в блоке формирования сигналов цветности (269). Налаживание блоков цветности на интегральных микросхемах (269).

- 3-13. Регулировка блоков синхронизации и развертки 271
 Проверка работы селекторов синхросигналов (271). Проверка работы звуковых генераторов строчной и кадровой развертки (272). Проверка оконечных каскадов строчной и кадровой развертки (272). Регулировка схемы АПЧФ строчной развертки (273). Налаживание узла строчной развертки на транзисторах в цветном телевизоре (273). Налаживание узла кадровой развертки на транзисторах в цветном телевизоре (274). Регулировка узла сведения лучей в цветном телевизоре (274).

3-1. СТРУКТУРНЫЕ СХЕМЫ И ПАРАМЕТРЫ ТЕЛЕВИЗИОННЫХ ПРИЕМНИКОВ

Типовая структурная схема телевизионного приемника черно-белого изображения

Современные телевизионные приемники выполняют по супергетеродинной схеме. При этом для усиления сигналов звукового сопровождения в подавляющем большинстве телевизоров используют часть каскадов канала изображения (так называемая одноканальная схема приема — рис. 3-1).

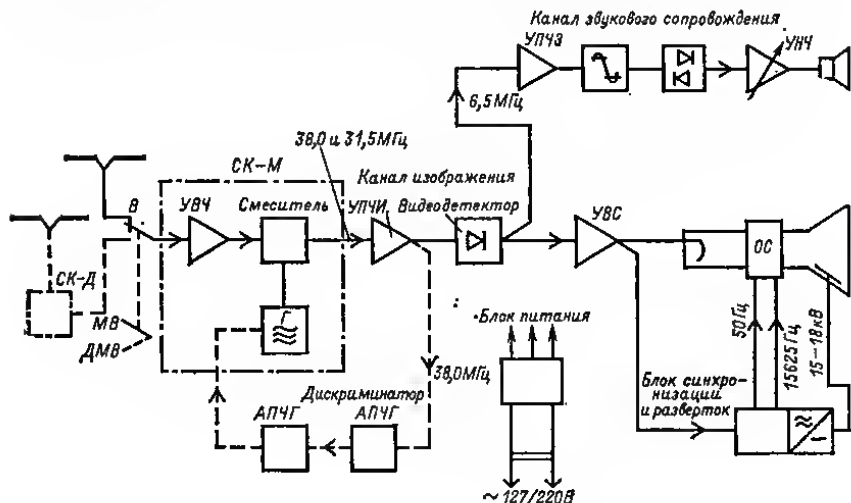


Рис. 3-1.

Смеситель и гетеродин телевизора вместе с УВЧ и переключателем, осуществляющим все переключения при переходе с приема одного телевизионного канала на другой, конструктивно объединяют в блок, который носит название селектора каналов (СК).

Если телевизор рассчитан на прием телевизионных программ не только на 12 каналах МВ, но и в диапазоне ДМВ (табл. 3-1), его снабжают дополнительным блоком — селектором каналов ДМВ. Последний может входить в конструкцию телевизора, быть объединенным с МВ селектором, либо выполняться в виде приставки к телевизору.

Таблица 3-1

Телевизионные каналы, используемые в СССР

Но- мер кана- ла	Частотные границы ка- нала, МГц	Несущая частота изображе- ния, МГц	Несущая частота звукового сопровож- дения, МГц	Номер кана- ла	Частотные границы ка- нала, МГц	Несущая частота изображе- ния, МГц	Несущая частота звукового сопровож- дения, МГц
МВ				ДМВ			
1	48,5—56,5	49,75	56,25	21	470—478	471,25	477,75
2	58—66	59,25	65,75	22	478—486	479,25	485,75
3	76—84	77,25	83,75	23	486—494	487,25	493,75
4	84—92	85,25	91,75	24	494—502	495,25	501,75
5	92—100	93,25	99,75	25	502—510	503,25	509,75
6	174—182	175,25	181,75	26	510—518	511,25	517,75
7	182—190	183,25	189,75	27	518—526	519,25	525,75
8	190—198	191,25	197,75	28	526—534	527,25	533,75
9	198—206	199,25	205,75	29	534—542	535,25	541,75
10	206—214	207,25	213,75	30	542—550	543,25	549,75
11	214—222	215,25	221,75	31	550—558	551,25	557,75
12	222—230	223,25	229,75	32	558—566	559,25	565,75
				33	566—574	567,25	573,75
				34	574—582	575,25	581,75
				39	614—622	615,25	621,75

Принятое изображение воспроизводится на экране кинескопа телевизора. В блоке разверток телевизора вырабатываются электрические колебания, которые поступают в отклоняющую систему кинескопа ОС (рис. 3-1). В современных телевизорах используют кинескопы с отклонением электронного луча магнитным полем, поэтому в ОС электрические колебания преобразуются в переменные магнитные поля, под действием которых луч в кинескопе перемещается по экрану слева направо и сверху вниз, последовательно развертывая изображение. На модулятор кинескопа из приемного блока телевизора подаются сигналы изображения, которые производят модуляцию изображения по яркости.

Блок синхронизации и разверток содержит генераторы пилообразных токов строчной (15 625 Гц) и полукадровой (50 Гц) частоты. Этими токами питают катушки ОС. Импульсы для синхронизации генераторов в блоке развертки выделяются из полного телевизионного сигнала в амплитудном селекторе.

Напряжения, необходимые для питания ламп и транзисторов в телевизоре, вырабатываются в блоке питания, который содержит выпрямители (или батареек и преобразователь напряжения в переносных телевизорах). Высокие напряжения для питания кинескопа вырабатываются дополнительным выпрямителем, на который подаются импульсы напряжения от генератора строчной развертки.

Промежуточные частоты изображения и звукового сопровождения разделяются после видеодетектора. Последний выполняет также роль смесителя для несущих ПЧ звука и изображения. Поэтому на его выходе образуется сигнал со второй, более низкой несущей частотой, равной разности между несущими ПЧ изображения и звука, т. е. $38-31,5=6,5$ МГц (или $34,25-27,75=6,5$ МГц). Так как одна из несущих ПЧ модулирована по амплитуде, а другая — по частоте, то сигнал разностной частоты оказывается промодулированным не только по амплитуде, но и по частоте ($6,5 \text{ МГц} \pm 50 \text{ кГц}$). Разностная частота, являющаяся второй промежуточной частотой звука, выделяется на выходе видеодетектора или видеусилителя при помощи фильтра, настроенного на частоту 6,5 МГц,

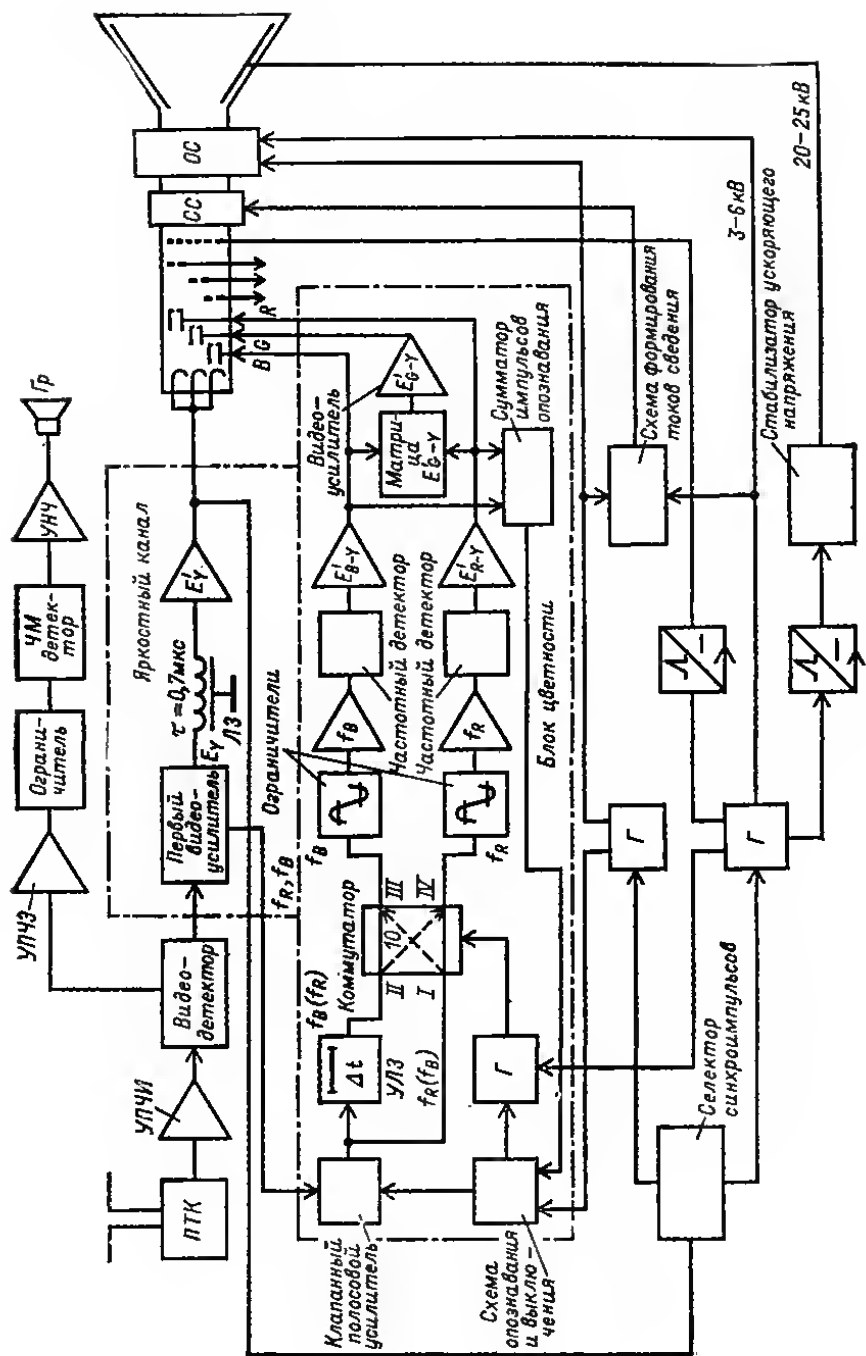


Таблица 3-2

Основные параметры телевизионных приемников черно-белого изображения

Параметр	Классы телевизора			
	I*	II	III	IV
Размер экрана кинескопа по диагонали см, не менее . . .	67	61	47	*
Чувствительность тракта изображения в МВ диапазоне, мкВ, не менее (дБ/мВт): ограниченная шумом	80 (-71)	100 (-69)	110 (-68)	*
ограниченная синхронизацией	27 (-80)	55 (-74)	110 (-68)	*
Чувствительность тракта звукового сопровождения в МВ диапазоне, ограниченная шумами (при отношении напряжений помехи и сигнала — 26 дБ), мкВ (дБ/мВт), не менее	27 (-80)	55 (-74)	110 (-68)	
Селективность дБ, не менее:				
в точке — 1,5 МГц	40	40	32	30
в полосе ниже — 1,5 МГц	38	38	30	28
в точке + 0,8 МГц	45	45	45	30
в полосе выше + 0,8 МГц	Снижение на 6 дБ/МГц			30
Подавление несущей звука, дБ, не менее	26	20	20	20
Эффективность автоматической регулировки усиления в диапазоне МВ:				
изменение сигнала на входе, мВ	0,10—85,0	0,25—50,0	0,50—10,0	1,0—20,0
изменение сигнала на выходе, дБ	2	3	3	3
Максимально допустимый входной сигнал, мВ (дБ/мВт), не менее	85	85	85	*
Максимальная яркость свечения, кд/м ² , не менее	150	140	110	150
Контрастность в крупных деталях не менее	150 : 1	140 : 1	110 : 1	150 : 1
Разрешающая способность в центре экрана, линий, не менее:				
по горизонтали	550	500	450	400
по вертикали	600	550	500	400
Нелинейные искажения раstra по горизонтали и по вертикали, %, не более	± 8	± 10	± 10	*

Продолжение табл. 3-2

Параметр	Классы телевизора			
	I	II	III	IV
Нестабильность размеров изображения, %, не более:				
при прогреве	3	5	5	*
при изменении напряжения питания от +5 до -10% .	4	6	6	*
Расстройка частотного детектора при прогреве, кГц, не более	± 10	± 15	± 20	± 25
Среднее (номинальное) звуковое давление, Па, не менее	0,8	0,6	0,4	*
Частотная характеристика тракта звукового сопровождения по звуковому давлению при неравномерности не более 14 дБ, Гц, не хуже	80—12 500	100—10 000	125—7100	*
Коэффициент гармонии тракта звукового сопровождения по звуковому давлению, %, не более:				
на частотах 200—400 Гц . .	5	7	7	*
на частотах свыше 400 Гц .	4	5	5	*
Уровень акустического шума, дБ, не более.	30	40	40	—

Примечание. Знак * означает, что норма должна быть указана для телевизоров конкретных типов в специальных ТУ и стандартах, утверждаемых дополнительно.

Телевизоры всех классов должны принимать сигналы телецентров, работающих во всех каналах диапазонов МВ и ДМВ (см. табл. 3-1). В телевизорах с элементной настройкой диапазон принимаемых частот может быть разбит на поддиапазоны: I — каналы 1 и 2; II — каналы 3—5; III — каналы 6—12; IV и V — каналы 21—39. Для обеспечения приема в IV и V диапазонах в телевизорах всех классов должна быть предусмотрена возможность установки блоков СК-Д. Значения промежуточных частот приняты: для изображения — 38,0 МГц, для звука — 31,5 МГц.

У телевизоров классов I и II нестабильность частоты гетеродина от прогрева должна быть не более ± 300 иГц, а при изменении напряжения питания от +5 до -10% — не более ± 200 иГц. У телевизоров классов III и IV в диапазонах МВ или от прогрева, так и от колебания напряжения питания в тех же пределах нестабильность частоты не должна превышать ± 300 иГц; в диапазонах ДМВ в зависимости от ионитетного типа телевизора нормы утверждаются дополнительно.

Частота следования кадров и полей установлена равной соответственно 25 и 50 Гц, частота разложения по строкам — 15 625 Гц, а формат кадра (отношение его ширины к высоте) 4 : 3 (ГОСТ 7845-72). При формате кадра 4 : 3 длительность обратного хода луча по вертикали и горизонтали должна составлять не более 5% периода кадровой развертки и не более 18% периода строчной развертки. При формате кадра 5 : 4 длительность обратного хода строчной развертки должна

быть не более 22% ее периода. Допустимо снижение разрешающей способности на краях экрана не более чем на 10%.

ГОСТ 18198-72 предусматривает также для телевизоров всех классов выполнение следующих требований: 1) номинальное сопротивление входной асимметричной ВЧ цепи должно быть равным 75 Ом, а коэффициент отражения в этой цепи не более 0,5; 2) уровень поля излучения гетеродина на расстоянии 3 м от телевизора на основных частотах и гармониках 1—5-го каналов не должен составлять более 0,5 мВ/м, а на основных частотах 6—12-го каналов — не более 1 мВ/м; 3) избирательность по промежуточной частоте в полосе 31,25—39,25 МГц для 1-го и 2-го каналов должна быть не хуже 40 дБ, а для остальных каналов 50 дБ; избирательность по зеркальному каналу в диапазоне МВ должна быть не хуже 45 дБ, в диапазоне ДМВ 50 дБ; 4) геометрические искажения раstra типов «бочка», «подушка», «трапеция», «параллелограмм» не должны превышать 3%; 5) синхронизация не должна нарушаться при изменении напряжения видеосигнала от номинального в пределах 0,75—3,5 и при изменении напряжения сети $\pm 10\%$; 6) должно отсутствовать яркое пятно на экране после выключения телевизора; 7) должна иметься возможность подключения телефонов как при включенных, так и при выключенных громкоговорителях; 8) телевизоры должны подключаться к сети напряжением как 127, так и 220 В и сохранять работоспособность при изменениях напряжения питания от +5 до -10% (телевизоры класса IV должны, кроме того, иметь автономный источник питания напряжением 12 В).

Для телевизоров класса I необходимо обеспечить: 1) наличие на модуляторе кинескопа постоянной составляющей сигнала и отсутствие заметных искажений звука до появления изображения после включения; 2) автоматическую и ручную подстройку частоты гетеродина; 3) регулировку тембра по нижним и верхним частотам; 4) подключение магнитофона для записи звукового сопровождения; 5) возможность управления как с помощью проводного, так и беспроводного ПДУ. Для телевизоров класса II необходимо обеспечить выполнение этих же требований, но в них может отсутствовать регулировка тембра по нижним частотам и не обязательна возможность использования беспроводного ПДУ. В телевизорах класса III и IV выполнение перечисленных требований, предъявляемых к телевизорам класса I и II, не обязательно.

Определение основных параметров по универсальной испытательной таблице

Для субъективного и объективного определения основных параметров телевизионных приемников и параметров черно-белого и цветного (по системе SECAM) телевизионных изображений применяется универсальная электрическая испытательная таблица — УЭИТ, которая обеспечивает возможность контролировать следующие параметры:

- 1) формат изображения;
- 2) устойчивость синхронизации разверток;
- 3) растровые (геометрические) искажения;
- 4) четкость изображения;
- 5) воспроизведение градаций яркости;
- 6) тянущиеся продолжения и повторы;
- 7) правильность чересстрочной развертки;
- 8) установку уровня черного;
- 9) установку центровки изображения.

Кроме того, УЭИТ позволяет контролировать также параметры цветного телевизионного изображения:

10) верность цветопередачи на разных уровнях яркости и основные цвета кинескопа;

- 11) совмещение (сведение лучей) трех изображений;
- 12) динамический баланс белого;

- 13) цветовую четкость;
- 14) установку «нулей» частотных детекторов;
- 15) цветовые переходы;
- 16) соответствие уровней яркостного и цветоразностных сигналов на управляющих электродах приемной трубки;

17) временное совпадение яркостного и цветоразностных сигналов.

УЭИТ (рис. 3-4) имеет прямоугольную форму с отношением ширины к высоте 4 : 3. Отклонение ее от прямоугольной формы позволяет контролировать геометрические искажения телевизионного раstra. УЭИТ имеет обрамление из

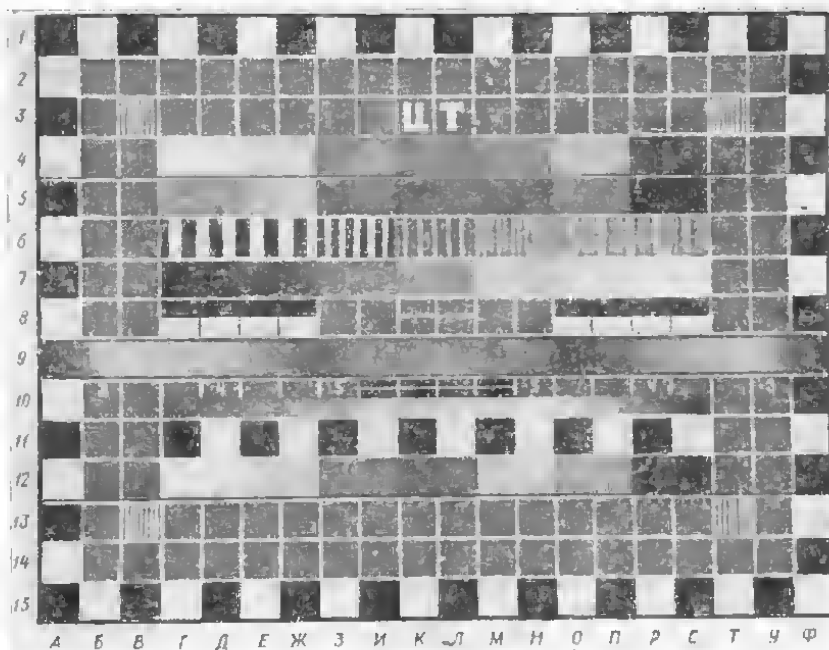


Рис. 3-4.

чередующихся черно-белых (соответствующих уровням черного и белого) прямоугольников в горизонтальных рядах 1 и 15 и в вертикальных А и Ф минимальной и максимальной яркости. Они используются для контроля работы амплитудных селекторов синхронимпульсов (устойчивости синхронизации) в телевизионных приемниках и видеоконтрольных устройствах (ВКУ). При неправильной работе селектора вертикальные линии на экране становятся ломаными. О максимальном размахе сигнала изображения можно судить, производя осциллографический контроль сигнала, соответствующего строкам обрамления УЭИТ.

УЭИТ имеет сетку из 14 горизонтальных и 19 вертикальных белых линий. Сетка служит для контроля линейности разверток, сведения лучей цветного кинескопа и искажений в виде многоконтурности (повторов). Для проверки искажений в виде многоконтурности могут использоваться также темные линии на белых прямоугольниках (квадраты 8, Г — Ж и О — С). Горизонтальные белые линии образуются в результате засветки двух соседних строк. Вертикальные линии сетки создаются импульсами с длительностью, равной двум элементам разложения телевизионного изображения.

Участки 8, Г — С предназначены для проверки искажений в виде тянувшихся продолжений.

Горизонталь 9 служит для проверки яркостной горизонтальной четкости. На ней находятся семь групп черно-белых штрихов, которым соответствуют сигналы частот, указанных цифрами на горизонтали 10 в мегагерцах. На участке 9, К — Л штрихи соответствуют 5,5 МГц (частотам 3, 4, 5 и 5,5 МГц соответствует примерно 330, 440, 550 и 600 линий четкости, определяемой по таблице 0249). На экране цветного телевизора эти черно-белые штрихи приобретают дополнительную окраску, создаваемую сигналами от них, попадающими в канал цветности.

В участках 3, В; 3, Т; 13, В и 13, Т расположены вертикальные черно-белые штрихи, которым соответствует сигнал частотой 3 МГц. Они используются для контроля четкости по углам таблицы и фокусировки электронного луча. На экране цветного телевизора по горизонтали 10, Г — С воспроизводится непрерывное изменение цвета от зеленого до пурпурного с переходом через белое (серое) в середине полосы. По этим сигналам возможен осциллографический контроль ухода нулей и линейности АЧХ детекторов цветоразностных сигналов.

На участках 11, Г — С имеются чередующиеся черно-белые квадраты, которые совместно с участками 12, Г — С предназначены для контроля соответствия уровней яркостного и цветоразностных сигналов. Контроль производят при включенном блоке цветности путем сравнения яркостей соответствующих участков горизонталей 11 и 12 при закрытых двух лучах кинескопа.

Для контроля закрывают «синий» и «зеленый» электронные лучи кинескопа. Если яркость красного цвета на участках 11 и 12 одинакова от Г до С, то уровень сигнала «красного» соответствует установленному уровню яркостного сигнала. Соответствия добиваются изменением уровня сигнала «красного» или уровня яркостного сигнала.

Затем открывают «синий» и запирают «красный» лучи кинескопа. Если яркость синего цвета на участках 11 и 12 не одинакова от Г до С, то уровень сигнала «синего» не соответствует уровню яркостного сигнала. Уровень сигнала «синего» устанавливают, не изменяя уровня яркостного сигнала. Если при изменении уровня сигнала «синего» необходимого соответствия яркостей синего цвета между участками 11 и 12 не получается, то изменяют уровень яркостного сигнала. Однако после этого следует повторить операцию по установке уровня сигнала «красного».

Центр УЭИТ образован пересечением горизонтальной белой линии в квадратах 8, К — Л с вертикальной линией, разделяющей участки К и Л, которые служат для статического сведения лучей цветного кинескопа и для центровки изображения.

Для оценки качества чересстрочной развертки на участке 10, И — М расположена горизонтальная светлая линия, имеющая толщину, равную трем соседним строкам. При правильной чересстрочной развертке линия имеет два равномерных и симметричных по высоте темных зазора.

На экране цветного телевизора в горизонталях 4, 5 и 12, Г — С воспроизводятся цветные полосы различной яркости и насыщенности. Они предназначены для объективной оценки с помощью колориметра верности цветопередачи на разных уровнях яркости и для контроля основных цветов приемника (горизонталь 12, Г — С). Цветные полосы на участках 5, Г — С могут также использоваться для проверки коррекции предискажений по видеочастоте (осциллографическим способом или визуально по воспроизведению переходов от одного цвета к другому).

На экране цветного телевизора в горизонтали 6, Г — С воспроизводятся цветные штрихи для визуальной проверки цветовой четкости: участок 6, Г — Ж содержит желто-синие штрихи, которым соответствует частота импульсов 0,5 МГц; участок 6, З — И — желто-синие штрихи (1,0 МГц); участок 6, К — Л — зелено-пурпурные штрихи (1,0 МГц); участок 6, М — Н — красно-голубые штрихи (1,0 МГц) и участок 6, О — С — красно-голубые штрихи (0,5 МГц). По желто-

синим штрихам (0,5 МГц) контролируют работу линии задержки яркостного канала и временное совпадение яркостного и цветоразностных сигналов. По цветным штрихам также возможен контроль настройки контура коррекции высокочастотных предискажений («клевш»). При правильной настройке контура «клевш» цвет желто-синий и красно-голубых штрихов примерно соответствует аналогичным цветам горизонталей 4. Если теряют окраску желтые и красные штрихи, то это означает, что контур «клевш» настроен на более высокую резонансную частоту, если же теряют окраску синий и голубой штрихи, то — на более низкую частоту.

По горизонталей 7, Г — С расположена шкала, которая создается ступенчатым сигналом. По ней осуществляется контроль воспроизведения градаций яркости, динамического баланса белого, а также установка «нулей» частотных детекторов цветоразностных сигналов. При правильной установке «нулей» серая шкала не должна изменять своего цветового оттенка при включении и выключении блоке цветности. Для их установки закрывают «красный» и «зеленый» (а затем «синий» и «зеленый») лучи кинескопа. Настроив контур частотного детектора канала «синего» («красного»), добиваются равенства яркостей участков 7, Д — С синего (красного) цвета при включении и выключении блоке цветности.

Участки 7, Д и Г служат для установки уровня черного. Уровень сигнала, соответствующего участку 7, Д на 4% выше уровня черного. Сначала регулируя яркость изображения, добиваются, чтобы на участках 7, Г и 7, Д было заметно различие по яркости. Затем ее уменьшают до тех пор, пока яркости этих участков не сравняются.

3-2. СЕЛЕКТОРЫ ТЕЛЕВИЗИОННЫХ КАНАЛОВ

Усилители высокой частоты селекторов

К УВЧ, входящему в состав селектора, предъявляются следующие основные требования: 1) минимальный уровень собственных шумов; 2) усиление принятого сигнала до уровня, превышающего в необходимое количество раз уровень собственных шумов, следующего за УВЧ преобразовательного каскада; 3) неравномерность полосы принимаемых частот на всех каналах — от несущей изображения до несущей звука не более 2—3 дБ.

УВЧ селекторов на электронных лампах. Для удовлетворения перечисленных требований в УВЧ используют электронные лампы с малыми собственными шумами и большими входными сопротивлениями. В блоке ПТК на каналы 1—12 применяют УВЧ на двух триодах по схеме общий катод — общая сетка (каскадная схема) (рис. 3-5, а). По сравнению с пентодами триоды обладают меньшим уровнем собственных шумов, однако из-за большей проходной емкости сетка — анод триоды могут устойчиво работать или в УВЧ по обычной схеме с общим катодом при нейтрализации указанной емкости, или в схеме с общей сеткой, где проходная емкость катод — анод существенно меньше. Устойчивую нейтрализацию удается осуществить при малом усилении каскада, поэтому необходим второй каскад УВЧ с малым уровнем собственных шумов. Каскад с общей сеткой обладает малым входным сопротивлением ($R_{вх} = 1/S$), и при подключении его к входному контуру он будет сильно зашунтирован этим сопротивлением.

В УВЧ, построенном по каскадной схеме, анодной нагрузкой первого триода является цепь катод — заземленная сетка второго триода. Поэтому усиление, даваемое первым триодом, мало, но его входное сопротивление относительно велико и нейтрализация проходной емкости устойчива. Основное усиление обеспечивается вторым триодом с заземленной сеткой. Устойчивое усиление можно получить и без нейтрализации проходной емкости первого триода, однако нейтрализация уменьшает обратную связь через эту емкость и снижает собственные шумы УВЧ.

Для нейтрализации проходной емкости $C_{прох}$ первого триода каскадного УВЧ используют мост, образованный емкостями C_1 , C_2 , $C_{прох}$ и $C_{вх}$ (рис. 3-5, б). Три-

УВЧ селекторов на транзисторах. Обычно в УВЧ малогабаритных и переносных телевизоров транзистор включают по схеме ОЭ. Так как входное сопротивление транзистора в этой схеме выше, чем в схеме с заземленной базой, то удастся лучше согласовать его с входным контуром. Для устойчивой работы такого УВЧ применяется нейтрализация внутренней обратной связи, возникающей в транзисторе за счет емкости коллекторного перехода. С этой целью в усилитель введена цепь внешней обратной связи, через которую передается напряжение из выходной цепи во входную в противофазе по отношению к напряжению, передаваемому через внутреннюю обратную связь.

В усилителях на рис. 3-6 элементом нейтрализации служит конденсатор C_n . Получить противофазное (по отношению к коллекторному) напряжение для цепи нейтрализации удастся, заземлив среднюю точку контура $L_1 C_1 C_2$ (рис. 3-6, а) или снимая это напряжение с дополнительной катушки L_2 , связанной с контуром $L_1 C_1$. В усилителе на рис. 3-6, б емкость C_n зависит от коэффициента трансформации и коэффициента связи между катушками L_1 и L_2 , а в усилителе на рис. 3-6, а — от отношения емкостей конденсаторов C_1 и C_2 . Подавая напряжение от генератора сигналов на коллектор транзистора, подбирают такую емкость C_n , чтобы напряжение сигнала во входной цепи, измеренное ламповым милливольтметром, было минимально. Наименьший уровень внутренних шумов УВЧ на транзисторе достигается при токе коллектора 2—3 мА.

Преобразователь частоты селекторов

Преобразователь частоты на лампах. В ламповых селекторах диапазона МВ преобразователь состоит из односеточного смесителя, обладающего наименьшими внутренними шумами, и отдельного гетеродина по схеме емкости трехточек на

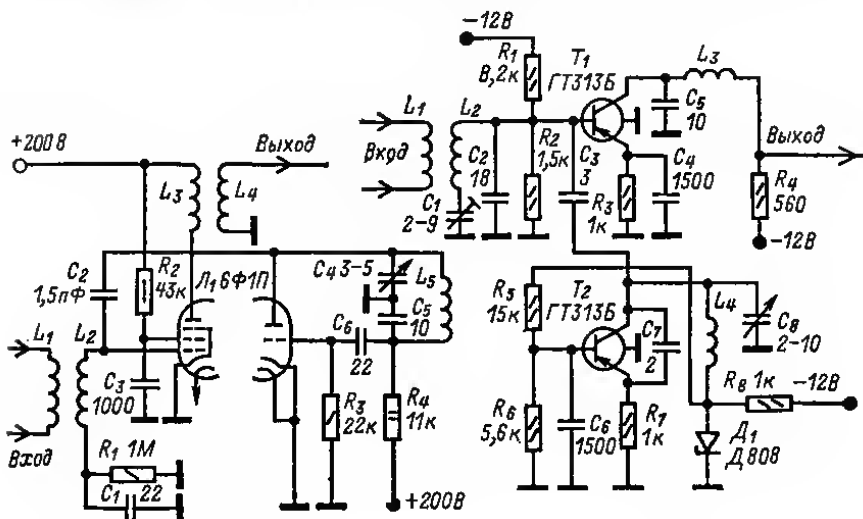


Рис. 3-7.

Рис. 3-8.

триоде L_1 (рис. 3-7). Напряжения с частотами сигнала (с катушки контура L_2) и гетеродина (через конденсатор C_2) подаются на одну и ту же сетку пентода лампы L_1 , работающего смесителем. Благодаря этому обеспечиваются малый уровень внутренних шумов смесителя и высокая крутизна преобразования.

Преобразователь частоты на транзисторах. Наибольшее распространение получил преобразователь по схеме рис. 3-8. Транзистор T_1 работает в смесителе,

в T_2 — в гетеродине. Трайзистор смесителя включен по схеме ОЭ, так как коэффициент преобразования при этом выше, чем у смесителя по схеме ОБ. Режим работы смесителя выбирается из соображений получения максимального коэффициента преобразования (величина внутренних шумов смесителя не имеет такого значения, как в УВЧ). Связь между УВЧ и смесителем может быть индуктивной или емкостной. Максимальный коэффициент преобразования обеспечивается при напряжении гетеродина 200—300 мВ.

Гетеродин выполнен по схеме емкостной трехточки, в которую входят емкости коллекторного и эмиттерного переходов. Обратная связь осуществляется через небольшую емкость C_7 . Стабильность частоты хуже, чем в ламповом гетеродине, и зависит от температурных свойств транзистора и элементов цепей гетеродина. Для улучшения стабильности применяют конденсаторы C_7 и C_8 с отрицательными ТКЕ. Чтобы генерируемая частота не зависела от напряжения питания, его стабилизируют при помощи стабилитрона D_1 .

Селекторы каналов диапазона метровых волн

Селекторы каналов на лампах. Селектор ПТК-11Д. Селектор каналов ПТК-11Д, выпускаемый для унифицированных ламповых и лампово-полупроводниковых телевизоров (УНТ, УТЛ и УЛНПТ), содержит широкополосный УВЧ по каскодной схеме на двойном триоде с малым уровнем внутренних шумов и преобразователь частоты на пентод-триоде (рис. 3-9, табл. 3-3). Для каждого из 12 телевизионных каналов в селекторе имеются отдельные контурные катушки индуктивности, расположенные в барабане переключателя. Антенный вход селектора рассчитан на подключение антенного коаксиального фидера с волновым сопротивлением 75 Ом. Связь антенного фидера со входом УВЧ индуктивная (при приеме на первом канале с помощью катушек L_1 и L_2). Принятый ВЧ сигнал поступает на сетку левого по схеме триода лампы L_1 . На эту же сетку через штырь 4 разъема $Ш_1$ и резистор R_1 подается напряжение АРУ с приемно-усилительного блока.

Между анодом левого триода и катодом правого триода лампы L_1 имеется резонансный контур, образованный выходной емкостью левого триода и дросселем Dp_1 . Полоса пропускания этого контура достаточно равномерна для большинства принимаемых каналов.

Через двухконтурный полосовой фильтр, состоящий из конденсаторов C_8 , C_9 , C_{10} и катушек индуктивности (L_{25} и L_{26} для первого канала), усиленный ВЧ сигнал поступает на управляющую сетку пентодной части лампы L_2 , работающей в смесителе преобразователя частоты. На эту же сетку через конденсатор C_{15} поступает напряжение гетеродина, в котором работает триодная часть лампы L_2 . При этом в цепи управляющей сетки пентодной части лампы L_2 протекает сеточный ток, образующий падение напряжения на резисторе R_6 . Падение напряжения можно обнаружить вольтметром, подключив его к контрольной точке $КТ_1$, при неисправном гетеродине падения напряжения нет. Сеточная цепь селектора ПТК-11Д рассчитана на подключение селектора ДМВ, которое производится через средний вывод дросселя Dp_4 в положении переключателя, соответствующем приему в одном из каналов 6—12. При этом смеситель селектора ПТК-11Д используется в качестве дополнительного каскада УПЧИ.

Спектр промежуточных частот с несущей изображения 38 МГц и несущей звукового сопровождения 31,5 МГц выделяется одиночным контуром с катушкой L_{66} с автотрансформаторным подключением кабеля для соединения с УПЧИ (рис. 3-10). С выхода селектора сигнал поступает на вход УПЧИ через штырь 8 разъема $КП_8$, при помощи которого селектор соединяется с основными блоками телевизора.

В контуре гетеродина селектора имеется варикап Д902, изменением смещения на котором осуществляется электронная настройка этого контура и АПЧГ.

Селектор ПТК-11Д используется в унифицированных черно-белых и цветных телевизорах и обладает выходным сопротивлением 75 Ом. Это дает возмож-

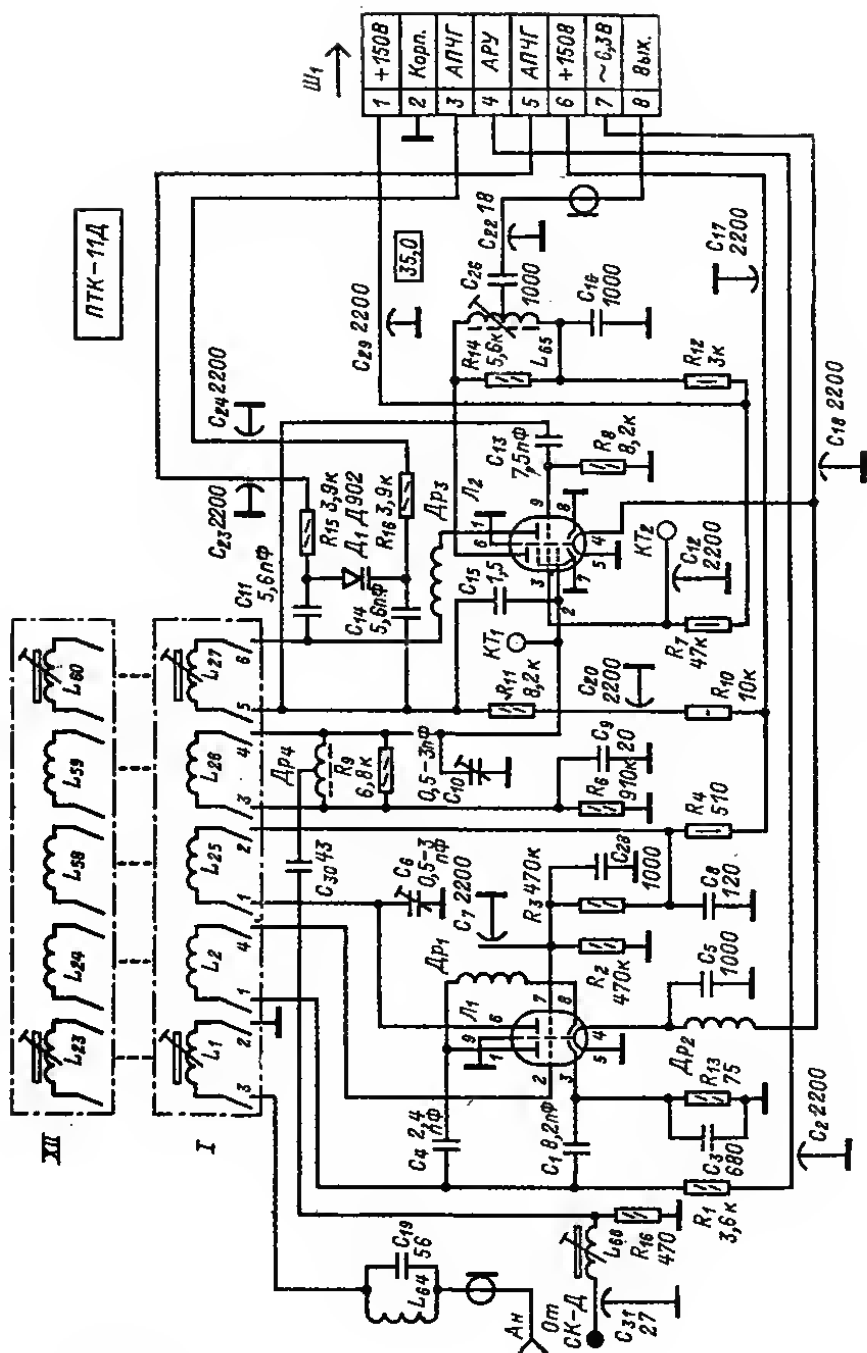


Рис. 3-9.

Таблица 3-3

Данные контурных катушек селекторов ПТК-11Д

Но- мер кана- ла	Обозна- чение в схеме	Число витков	Марка провода	Диаметр провода	Но- мер кана- ла	Обозна- чение в схеме	Число витков	Марка провода	Диаметр провода
1	L_1	4	ПЭВТЛ-1	0,51	7	L_{13}	2	ПЭВТЛ-1	0,51
	L_2	32	ПЭВТЛ-1	0,51		L_{14}	6	ПЭВТЛ-1	0,51
	L_{25}	18	ПЭВТЛ-1	0,31		L_{43}	4×2	ПЭВТЛ-1	0,41
	L_{26}	21	ПЭВТЛ-1	0,31		L_{44}	3	ПЭВТЛ-1	0,51
	L_{27}	13	ПЭВТЛ-1	0,31		L_{45}	3	ПЭВ-1	0,8
2	L_3	3	ПЭВТЛ-1	0,51	8	L_{15}	2	ПЭВТЛ-1	0,51
	L_4	27	ПЭВТЛ-1	0,51		L_{16}	5	ПЭВТЛ-1	0,51
	L_{28}	14	ПЭВТЛ-1	0,31		L_{46}	3	ПЭВТЛ-1	0,41
	L_{29}	16	ПЭВТЛ-1	0,31		L_{47}	3×2	ПЭВТЛ-1	0,41
	L_{30}	10	ПЭВТЛ-1	0,31		L_{48}	3	ПЭВ-1	1,0
3	L_5	2	ПЭВТЛ-1	0,51	9	L_{17}	2	ПЭВТЛ-1	0,51
	L_6	17	ПЭВТЛ-1	0,51		L_{18}	5	ПЭВТЛ-1	0,51
	L_{31}	11	ПЭВТЛ-1	0,51		L_{49}	3×2	ПЭВТЛ-1	0,41
	L_{32}	13	ПЭВТЛ-1	0,31		L_{50}	3×2	ПЭВТЛ-1	0,41
	L_{33}	10	ПЭВТЛ-1	0,51		L_{51}	3	ПЭВ-1	1,0
4	L_7	2	ПЭВТЛ-1	0,51	10	L_{19}	2	ПЭВТЛ-1	0,51
	L_8	14	ПЭВТЛ-1	0,51		L_{20}	4	ПЭВТЛ-2	0,51
	L_{34}	10	ПЭВТЛ-1	0,51		L_{52}	3×2	ПЭВТЛ-1	0,41
	L_{35}	11	ПЭВТЛ-1	0,51		L_{53}	2	ПЭВТЛ-1	0,41
	L_{36}	8	ПЭВТЛ-1	0,51		L_{54}	2	ПЭВТЛ-1	0,51
5	L_9	2	ПЭВТЛ-1	0,51	11	L_{21}	2	ПЭВТЛ-1	0,51
	L_{10}	13	ПЭВТЛ-1	0,51		L_{22}	4	ПЭВТЛ-1	0,51
	L_{37}	9	ПЭВТЛ-1	0,51		L_{55}	3×2	ПЭВТЛ-1	0,41
	L_{38}	9	ПЭВТЛ-1	0,51		L_{56}	2	ПЭВТЛ-1	0,8
	L_{39}	7	ПЭВТЛ-1	0,51		L_{57}	2	ПЭВТЛ-1	0,64
6	L_{11}	2	ПЭВТЛ-1	0,51	12	L_{23}	2	ПЭВТЛ-1	0,51
	L_{12}	6	ПЭВТЛ-1	0,51		L_{24}	4	ПЭВТЛ-1	0,51
	L_{40}	4	ПЭВТЛ-1	0,8		L_{58}	2	ПЭВТЛ-1	0,51
	L_{41}	4×2	ПЭВТЛ-1	0,41		L_{59}	2×2	ПЭВТЛ-1	0,41
	L_{42}	3	ПЭВ-1	0,8		L_{60}	2×2	ПЭВТЛ-1	0,41
						$Др_1$	6,5	ПЭВТЛ-1	0,64
						L_{65}	23+8	ПЭВТЛ-1	0,31
						$Др_2$	18	ПЭВТЛ-1	0,51
						$Др_3$	4	ПЭВТЛ-1	0,8
						$Др_4$	9+16	ПЭВТЛ-1	0,18

Примечание. Катушки L_1-L_{40} намотаны на каркасах $\varnothing 5$ мм, L_{45} — на каркасе $\varnothing 9$ мм. Катушки сеточные, гетеродинные, L_{45} — снабжены латунными сердечниками — подстроечниками. Все катушки, кроме $L_{11}-L_{24}$ и $L_{40}-L_{60}$, намотаны виток к витку; так как все катушки могут подстраиваться раздвиганием витков, то шаг намотки катушек $L_{11}-L_{24}$ и $L_{40}-L_{60}$ может находиться в пределах 2—3 мм, а расстояние между катушками усилителя и гетеродина (анодной, сеточной и гетеродинной) в пределах 0—3 мм.

ность соединять селектор со входом УПЧИ кабелем длиной до 60—80 см с таким же волновым сопротивлением.

Если на входе УПЧИ имеется ФСС, то его входное сопротивление должно быть также равно 75 Ом. Схемы соединения селектора ПТК-11Д со входом лампового УПЧИ и с селектором ДМВ показаны на рис. 3-10.

Число 38 (46, 74 или 86), входящее в обозначение селектора каналов, соответствует длине в миллиметрах оси его переключателя.

Селекторы каналов на транзисторах. Селектор ПТКП-3. Селектор ПТКП-3 (рис. 3-11, табл. 3-4) выпускается для переносных телевизоров «Юность» и «Электроника» (ППТ-23-1, ППТ-23-2 и ППТ-16-1).

Таблица 3-4

Данные контурных катушек селектора ПТКП-3

Номер канала	Обозна- чение в схеме	Число витков	Марка провода	Диаметр провода	Номер канала	Обозна- чение в схеме	Число витков	Марка провода	Диаметр провода	
1	L_1	18	ПЭВ-1	0,12	7	L_{26}	6	ПЭВ-1	0,31	
	L_2	31	ПЭВ-1	0,15		L_{27}	5	ПЭВ-1	0,31	
	L_3	29	ПЭВ-1	0,15		L_{28}	2,5	ПЭВ-1	0,31	
	L_4	12	ПЭВ-1	0,19	8	L_{29}	6	ПЭВ-1	0,31	
2	L_5	17	ПЭВ-1	0,12		L_{30}	5	ПЭВ-1	0,31	
	L_6	25	ПЭВ-1	0,15		L_{31}	2,5	ПЭВ-1	0,31	
	L_7	24	ПЭВ-1	0,15		L_{32}	6	ПЭВ-1	0,31	
	L_8	10	ПЭВ-1	0,19	9	L_{33}	6	ПЭВ-1	0,31	
3	L_9	15	ПЭВ-1	0,12		L_{34}	5	ПЭВ-1	0,31	
	L_{10}	18	ПЭВ-1	0,15		L_{35}	5	ПЭВ-1	0,31	
	L_{11}	18	ПЭВ-1	0,15		L_{36}	2	ПЭВ-1	0,31	
	L_{12}	8	ПЭВ-1	0,19	10	L_{37}	6	ПЭВ-1	0,31	
4	L_{13}	12	ПЭВ-1	0,12		L_{38}	5	ПЭВ-1	0,31	
	L_{14}	15	ПЭВ-1	0,15		L_{39}	4	ПЭВ-1	0,31	
	L_{15}	15	ПЭВ-1	0,15		L_{40}	2	ПЭВ-1	0,31	
	L_{16}	7	ПЭВ-1	0,19	11	L_{41}	5	ПЭВ-1	0,31	
5	L_{17}	10	ПЭВ-1	0,12		L_{42}	4	ПЭВ-1	0,31	
	L_{18}	14	ПЭВ-1	0,15		L_{43}	4	ПЭВ-1	0,31	
	L_{19}	14	ПЭВ-1	0,15		L_{44}	1,5	ПЭВ-1	0,41	
	L_{20}	6	ПЭВ-1	0,19	12	L_{45}	5	ПЭВ-1	0,31	
6	L_{21}	7	ПЭВ-1	0,19		L_{46}	4	ПЭВ-1	0,31	
	L_{22}	6	ПЭВ-1	0,31		L_{47}	3	ПЭВ-1	0,31	
	L_{23}	6	ПЭВ-1	0,31		L_{48}	1,5	ПЭВ-1	0,41	
	L_{24}	3	ПЭВ-1	0,31		L_{49}	12	ПЭВ-1	0,19	
	L_{25}	6	ПЭВ-1	0,19		L_{50}	13	ПЭВ-1	0,19	
						L_{52}	21	ПЭВ-1	0,12	

Примечание. Катушки намотаны виток к витку; L_{1-48} на каркасах $\varnothing 3$ мм с латунными сердечниками $\varnothing 2$ мм, а $L_{49}-L_{51}$ на каркасах $\varnothing 5$ мм с латунными сердечниками $\varnothing 3$ мм.

Транзистор T_1 УВЧ включен по схеме ОБ. В цепь его эмиттера включен П-контур, образованный конденсаторами C_5-C_7 , входной емкостью транзистора,

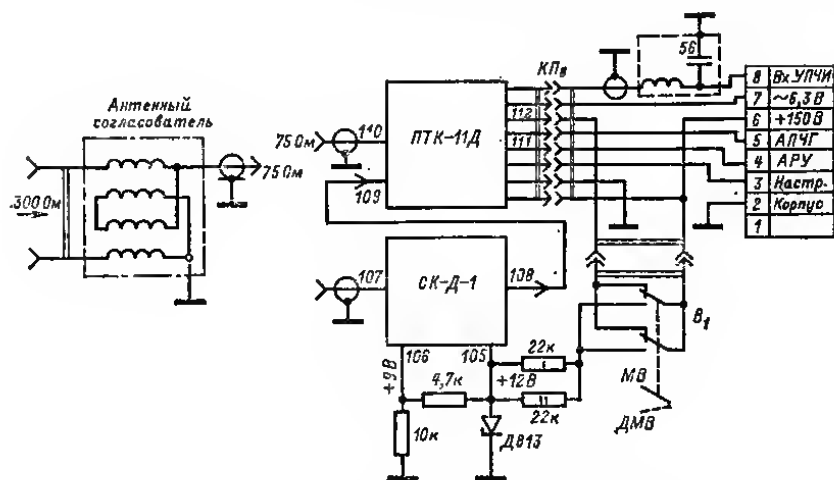


Рис. 3-10.

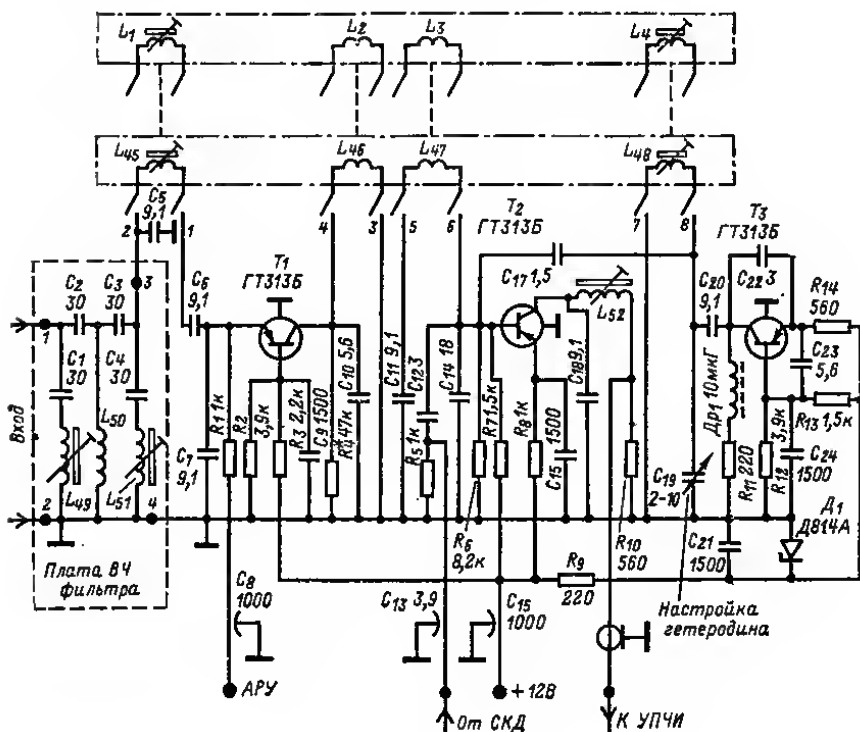


Рис. 3-11.

емкостью монтажа и катушками $L_1 - L_{45}$, переключаемыми при приеме в каналах 1—12. Фильтры $L_{46}L_{47}$, $C_1 - C_4$ — заградительные, обеспечивают селективность блока по промежуточной частоте.

Цепь коллектора транзистора T_1 связана через полосовой фильтр с катушками $L_2 - L_{47}$ с цепью базы транзистора T_2 , работающего в смесителе. В первичный контур этого фильтра входят выходная емкость транзистора T_1 , емкости монтажа и конденсатора C_{10} , а во вторичный — входная емкость транзистора T_2 ; емкости монтажа и конденсаторов C_{11} , C_{14} .

Через фильтр C_6R_1 на эмиттер транзистора T_1 подается напряжение АРУ. При увеличении принимаемого сигнала это напряжение сильнее отпирает транзистор T_1 , падение напряжения на резисторе R_4 увеличивается, а на транзисторе — уменьшается, что приводит к уменьшению усиления каскада.

Транзистор смесителя T_2 включен по схеме с ОЭ. Через конденсатор C_{17} на него подается напряжение гетеродина. По высокой частоте эмиттер транзистора T_2 заземлен через конденсатор C_{15} . Нагрузкой смесителя является контур $L_{48}C_{18}R_{10}$, настроенный на полосу промежуточных частот (несущая 38 МГц для изображения и 31,5 МГц — для звукового сопровождения). Выходное напряжение с резистора R_{10} по ВЧ кабелю подается на вход УПЧИ.

Транзистор T_3 , включенный по схеме с ОБ, работает в гетеродине с емкостной обратной связью. Его режим по постоянному току устанавливается резисторами $R_{11} - R_{14}$. Напряжение питания гетеродина стабилизировано стабилитроном D_1 . Положительная обратная связь из цепи коллектора в цепь эмиттера осуществляется через конденсатор C_{23} . В таком гетеродине уровень генерируемого сигнала оказывается постоянным во всем рабочем диапазоне, так как уменьшение усиления транзистора T_3 с повышением частоты компенсируется увеличением внутренней обратной связи. В контур гетеродина входят катушки $L_4 - L_{48}$ и конденсатор переменной емкости C_{16} , которым осуществляется плавная настройка на выбранный канал.

В селекторе ПТКП-3 предусмотрена возможность подключения селекторов для приема ДМВ. Для этой цели возможно использование селекторов СК-Д-1 и СК-Д-20, выход которых подключается ко входу ДМВ селектора ПТКП-3, смеситель которого при этом используется в качестве дополнительного каскада УПЧИ.

Селектор каналов СК-М-15. На входе транзисторного селектора канала СК-М-15 (рис. 3-12) имеется фильтр ВЧ, подавляющий помехи на частотах ниже первого телевизионного канала, в том числе и в диапазоне ПЧ. Входную цепь селектора образуют переключаемые катушки индуктивности L_8 , конденсаторы C_4 , C_5 и входная емкость транзистора T_1 .

УВЧ на транзисторе T_1 — по схеме с ОБ. АРУ осуществляется изменением напряжения на базе транзистора от 9 до 4 В, нагрузкой транзистора T_1 являются полосовые фильтры $L_6C_{10}C_{11}$ и $L_6C_{13}C_{14}$.

Гетеродин собран на транзисторе T_3 по схеме емкостной трехточки с ОБ. Обратная связь между коллектором и эмиттером транзистора осуществляется через конденсатор C_{18} . Резисторы R_7 , R_8 , R_9 и R_{10} определяют режим транзистора T_3 по постоянному току. Подаваемое на него напряжение стабилизируется при помощи резистора R_{11} и стабилитрона D_1 (Д809). Частота гетеродина определяется параметрами контура L_7 , C_{16} и емкостью варикапа D_2 (Д902). На варикап через резистор подается управляющее напряжение, что позволяет осуществить электронную подстройку частоты гетеродина. Изменение управляющего напряжения от 1 до 11 В вызывает изменение частоты в пределах $\pm 1,5$ МГц. Напряжение гетеродина, поступающее на смеситель через конденсатор C_{17} , имеет зависимость от канала значение от 50 до 200 мВ.

Смеситель выполнен на транзисторе T_2 по схеме с ОЭ. Для согласования входного сопротивления транзистора со вторым контуром полосового фильтра применен емкостный делитель напряжения из конденсаторов C_{13} и C_{14} . Нагрузкой смесителя является контур $L_6C_{21}C_{22}$. Резисторы, R_{16} , R_{15} , R_{13} и R_{12} определяют режим транзистора по постоянному току.

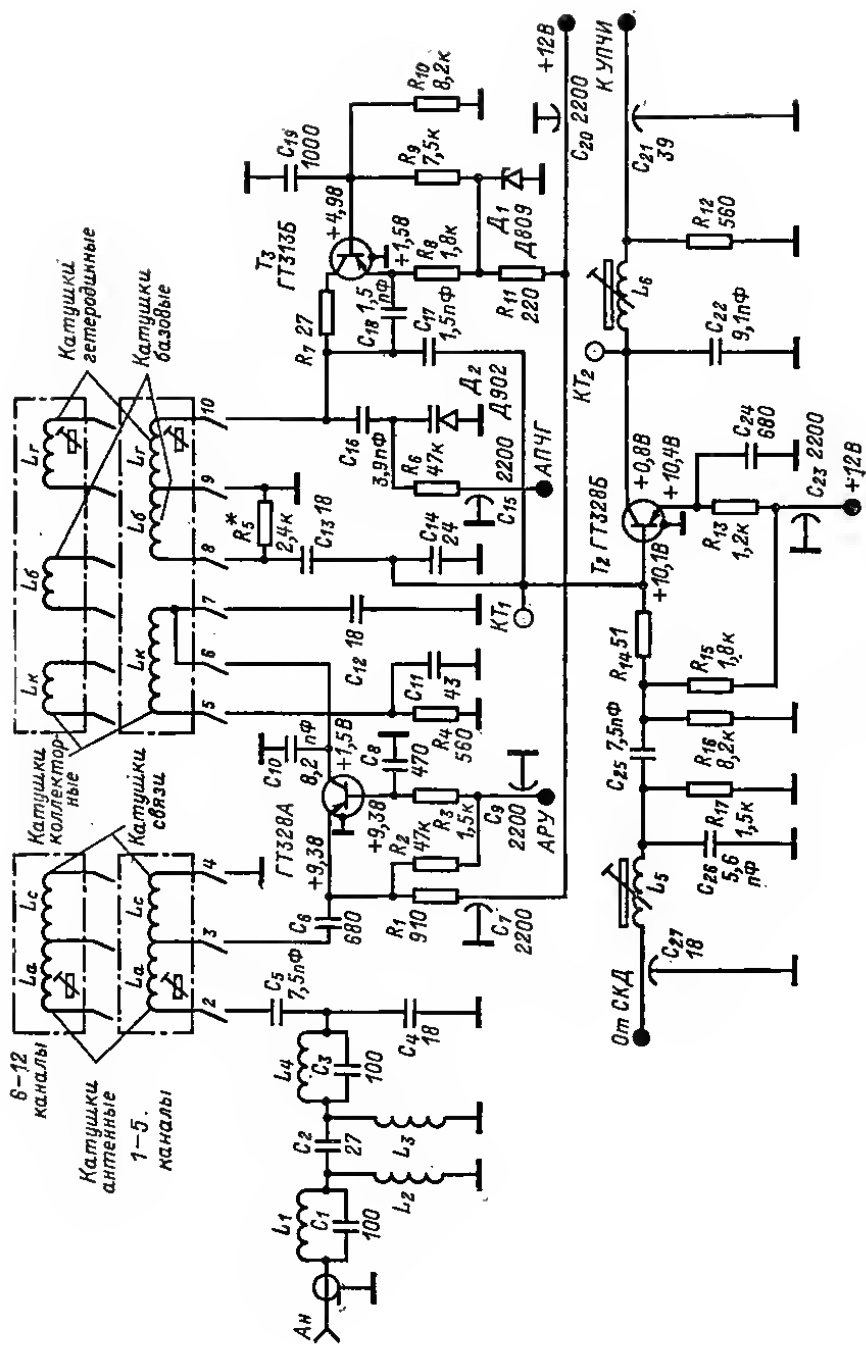


Рис. 3-12.

В селекторе СК-М-15 предусмотрена возможность постоянного подключения к базовой цепи смесителя выхода селектора каналов СК-Д-1. Для того чтобы устранить влияние одного селектора на другой и иметь возможность корректировать результирующую частотную характеристику при их стыковке, к базовой цепи смесителя подсоединен контур, образованный катушкой индуктивности L_4 конденсаторами C_{27} , C_{28} , C_{29} и резисторами R_{16} и R_{17} . При приеме сигналов диапазона ДМВ, когда смеситель селектора каналов СК-М-15 используется как дополнительный УВЧ, питание гетеродина и основного УВЧ отключается. По этой причине на напряжение 12 В подается на смеситель с отдельного ввода.

Таблица 3-5

**Моточные данные катушек гетеродинных
и антенных секторов селектора каналов СК-М-15**

Но- мер кана- ла	Гетеродинный сектор, катушка						Актенный сектор, катушка			
	гетеродинная		базовая		коллекторная		связи		антенная	
	Число витков	Диаметр провода	Число витков	Диаметр провода	Число витков	Диаметр провода	Число витков	Диаметр провода	Число витков	Диаметр провода
1	13	0,41	16	0,41	14	0,41	8	0,41	28	0,41
2	11	0,41	13	0,41	11	0,41	7	0,41	23	0,41
3	9	0,41	9	0,41	8	0,41	6	0,41	16	0,41
4	8	0,41	8	0,41	7	0,41	5	0,41	14	0,41
5	7	0,41	7	0,41	6	0,41	4	0,41	12	0,41
6	3	0,59	4	0,64	4	0,64	1	0,41	5	0,41
7	3	0,74	3	0,31	3	0,31	1	0,41	4	0,41
8	2	0,31	3	0,41	3	0,41	1	0,41	4	0,51
9	2	0,41	3	0,51	3	0,51	1	0,51	4	0,59
10	2	0,59	3	0,74	3	0,74	1	0,51	3	0,41
11	2	0,74	2	0,31	2	0,31	1	0,51	3	0,51
12	2×2	0,41	2	0,51	2	0,59	1	0,51	3	0,59

Примечание. Все катушки намотаны проводом марки ПЭВТЛ-1.

Селектор каналов СК-М-15 смонтирован в металлическом корпусе и имеет барабанный переключатель, в котором установлены контурные катушки всех 12 каналов (данные приведены в табл. 3-5).

Селектор каналов СК-М-20. Селектор СК-М-20 предназначен для малогабаритных переносных телевизоров. При подключении селектора СК-Д-20 обеспечивает прием телевизионных передач в диапазоне ДМВ. Параметры селектора СК-М-20:

Селективность по промежуточной частоте, дБ	47
Неравномерность АЧХ в полосе между несущими частотами изображения и звука, дБ, не более	3,1
Уход частоты гетеродина:	
от прогрева, кГц, не более	220
от изменения питающих напряжений, кГц, не более	60
Номинальное напряжение АРУ, В	8
Глубина АРУ, дБ, не менее	20
Напряжение питания, В	10,5
Потребляемый ток, мА	8
Габариты селектора, мм	75×39×55
Масса, г	210

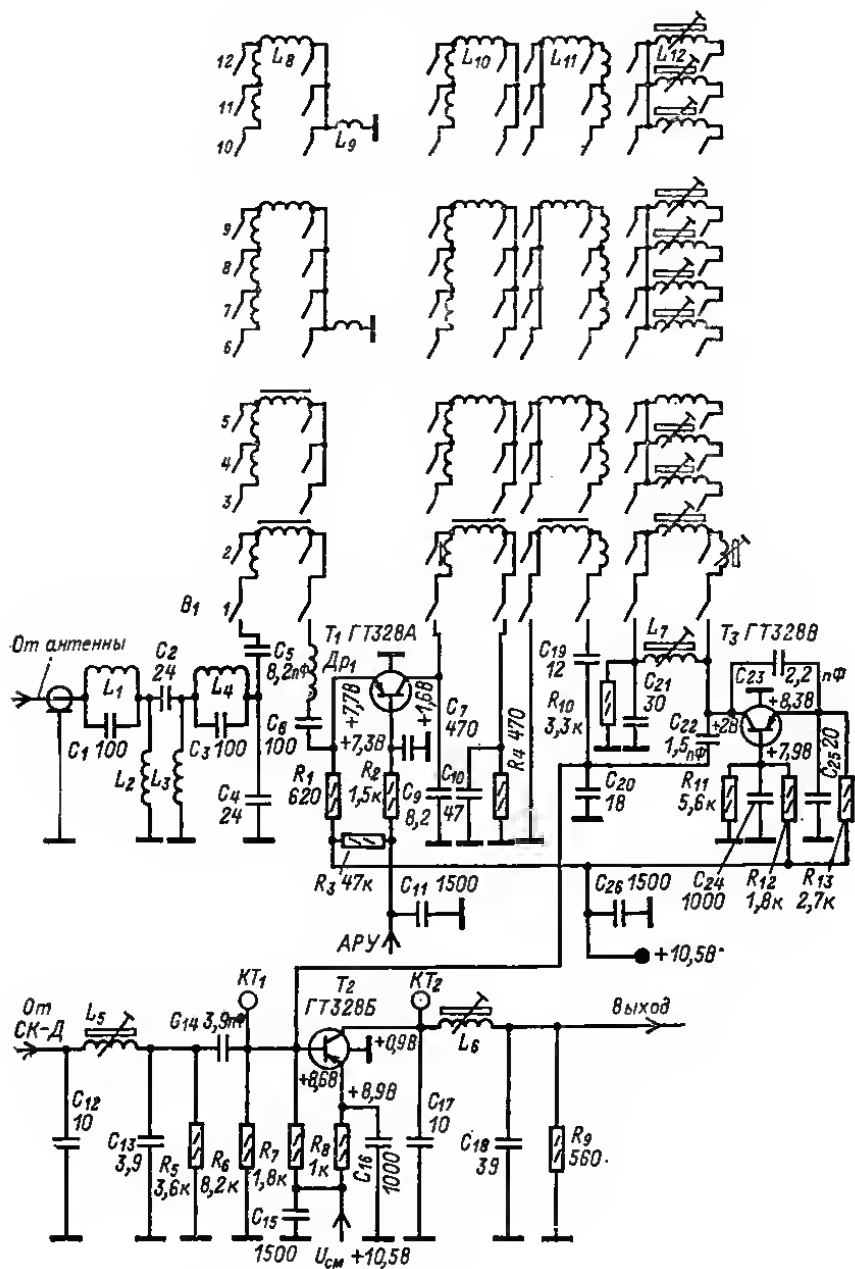


Рис. 3-13.

Селектор (рис. 3-13) содержит фильтр ВЧ, УВЧ, смеситель, гетеродин и цепь подключения селектора СК-Д-20.

Фильтр ВЧ $L_1 - L_4 C_1 - C_4$ со входным сопротивлением 75 Ом задерживает сигналы частотой от 0 до 44 МГц при наибольшем затухании на участке промежуточных частот 31,5—38 МГц.

Транзистор T_1 работает в УВЧ по схеме с ОБ. При этом не требуется нейтрализации паразитной обратной связи, возникающей между выходом и входом транзистора, уменьшаются изменение параметров селектора от действия АРУ и нелинейные искажения, а также увеличивается динамический диапазон принимаемых сигналов.

Каскад УВЧ охвачен АРУ. С уменьшением начального напряжения, подаваемого на базу транзистора T_1 , коллекторный ток транзистора увеличивается, а усиление уменьшается. Включение в цепь коллектора резистора R_4 приводит к добавочному снижению усиления из-за уменьшения напряжения на коллекторе. Резистор R_3 служит для предохранения транзистора T_1 при выходе из строя цепи АРУ.

В коллекторную цепь транзистора T_2 смесителя включен П-образный контур $C_{12}L_6C_{13}$, настроенный на частоту 34,75 МГц, обеспечивающий выходное сопротивление селектора 75 Ом и уменьшающий напряжение гетеродина на выходе селектора. К базе транзистора T_2 подключен также контур $C_{12}L_6C_{13}$, который вместе с выходным контуром селектора дециметрового диапазона образует полосовой фильтр, настроенный на полосу промежуточных частот 31,5—38 МГц.

Во время приема телепередат в диапазоне ДМВ смеситель СК-М-20 работает как добавочный каскад УПЧ, компенсируя уменьшение коэффициента усиления. От гетеродина и УВЧ напряжения питания и АРУ при этом отключаются.

Гетеродин селектора выполнен на транзисторе T_3 по схеме емкостной трехточки. Плавная подстройка частоты гетеродина осуществляется изменением индуктивности катушки L_7 , подключенной параллельно катушкам его контура.

Таблица 3-6

Данные контурных катушек селектора СК-М-20

Обозначение по схеме	Каналы											
	1	2	3	4	5	6	7	8	9	10	11	12
L_8	8	11,5	5	5	6,5	0,5	0,5	0,5	3,5	0,5	0,5	3
L_{10}	7	10,5	5	4	10,5	0,5	0,5	0,5	3,5	0,5	0,5	2
L_{11}	7	10,5	5	4	11,5	0,5	0,5	0,5	3,5	0,5	0,5	2
L_{12}	10,5	15	11	10	9	3	Две катушки по 3 витка	Две катушки по 3 витка	2	2	Две катушки по 2 витка	Две катушки по 2 витка

Примечание. Катушки L_{12} наматывают на каркасах $\varnothing 3$ мм с сердечником из латуни ЛС59-1Т М2,5х4; для 1-го и 2-го каналов — проводом ПЭВТЛ 0,23, а для 3—12-го — ПЭВТЛ 0,31. Катушки для 7, 8, 11 и 12-го каналов составлены из двух катушек, включенных параллельно. Катушки L_8 , L_{10} и L_{11} для 1-го и 2-го каналов, а также L_8 для 5-го выполнены на каркасах $\varnothing 2,5$ мм с сердечником из феррита М600НН-3-СС1, 8х4, остальные катушки — бескаркасные. Для 6, 8, 10 и 11-го каналов катушки L_8 , L_{10} и L_{11} намотаны проводом ММ 0,51; для 2-го канала проводом ПЭВТЛ 0,23, а для 3-го — ПЭВТЛ 0,31. Катушки L_{10} и L_{11} для 1-го и 5-го каналов намотаны проводом ПЭВТЛ 0,23, для 4-го канала — ПЭВТЛ 0,31, а для 8-го ПЭВТЛ 0,51. Катушка L_8 для 1, 5, 9-го каналов намотана проводом ПЭВТЛ 0,31, для 4-го канала — ПЭВТЛ 0,41. Для 12-го канала катушка L_{11} намотана проводом ПЭВТЛ 0,31, L_{10} — проводом ПЭВТЛ 0,41, а L_8 — ПЭВТЛ 0,51.

Для уменьшения размеров ротора переключателя катушки каналов как во входном контуре, так и в контурах полосового фильтра $L_{10}L_{11}C_9C_{10}C_{13}C_{20}$, соединены последовательно, для обеспечения наилучшего соотношения между коэффициентами шума и отражения во всех телевизионных каналах последовательно соединены катушки групп каналов 10—12, 6—9, 3—5, 1—2. На НЧ каналах для уменьшения габаритов катушек применены ферритовые сердечники. Затухание, вносимое ими при этом, расширяет полосу пропускания контуров на 1—5-м каналах, уменьшая неравномерность АЧХ.

Катушки L_1 — L_4 фильтра и дроссель Dr_1 селектора — бескаркасные, имеют внутренний диаметр 3 мм; L_1 — L_3 содержат по 11,5, L_4 — 12,5 витков, в Dr_1 — 1,5 витка провода ПЭВТЛ 0,51. Катушки L_5 и L_6 намотаны на каркасе \varnothing 6 мм, с сердечником из латуни с резьбой М4 × 6. Катушка L_5 из 30, в L_6 — из 20 витков провода ПЭВТЛ 0,18. Катушка L_7 намотана на секционированном каркасе — \varnothing 4,2 мм с сердечником из латуни \varnothing 3 мм и длиной 5,5 мм. Она имеет 6,5 + 0,5 + 12 + 2,5 + 0,5 витков провода ПЭВТЛ 0,23.

Катушки L_8 — L_{13} расположены на роторе селектора. Катушки L_9 — бескаркасные имеют внутренний диаметр 3 мм. Для 6—9-го каналов L_9 содержит 2 витка провода ПЭВТЛ 0,41, а для 10—12-го — 1,5 витка ПЭВТЛ 0,4. Числа витков катушек L_8 , L_{10} — L_{12} приведены в табл. 3-6, а в примечании указаны остальные намоточные данные.

Для уменьшения габаритов селектора применен многосисовый ротор, на отдельных дисках которого смонтированы катушки всех каналов одноименных контуров.

Селекторы каналов дециметрового диапазона волн

Селектор каналов СК-Д-1. Антенный ввод селектора связан с входным контуром L_2C_{11} через петлю связи L_1 (рис. 3-14), предназначенную для согласования сопротивления этого контура с сопротивлением фидера антенны. Сигнал через петлю связи L_3 поступает в эмиттерную цепь транзистора T_1 УВЧ. Нагрузкой транзистора T_1 служит полосовой фильтр, образованный двумя четвертьволновыми отрезками линий L_4 , L_5 и переменными конденсаторами C_{13} и C_{15} . Для получения требуемых полос пропускания и селективности связь между контурами L_4C_{13} и L_5C_{15} выбрана выше критической. Она осуществляется через щель в перегородке у короткозамкнутых концов линий L_4 и L_5 , АРУ производится изменением напряжения в цепи базы транзистора T_1 . Напряжение АРУ при максимальном усилении составляет 9 В.

Смеситель собран на транзисторе T_2 по схеме с ОБ. Он связан с полосовым фильтром с помощью петли связи L_6 . Транзистор нагружен по высокой частоте контуром гетеродина L_7C_{17} , а по промежуточной — контуром $L_8C_9C_{10}$. Гетеродин выполнен по схеме емкостной трехточки, в которой связь между эмиттером и коллектором осуществляется через межуэлектродную емкость $C_{э.к.}$. Для увеличения этой связи к коллектору подключен вывод корпуса транзистора. Связь транзистора с контуром гетеродина L_7C_{17} осуществляется через конденсатор C_8 .

Настройка на требуемый канал производится при помощи блока переменных конденсаторов C_{11} , C_{13} , C_{15} и C_{17} . Сопряжение настроек контуров, к которым подключены каждый из этих конденсаторов, достигается с помощью гибких металлических пластинок, которые закреплены на стенках щелей и образуют конденсаторы C_{12} , C_{14} , C_{16} и C_{18} .

Селектор СК-Д-1 собран в прямоугольном корпусе, который разделен перегородками на пять отсеков. В первом отсеке размещен входной контур L_2C_{11} и петли связи L_1 и L_3 , во втором — контур L_4C_{13} , в третьем — контур L_5C_{15} и петля связи L_6 . В перегородке между вторым и третьим отсеком имеется щель связи. В четвертом отсеке находятся контур и детали гетеродина. В пятом отсеке установлены детали выходной цепи селектора и его верньерное устройство.

между контурами полосового фильтра выбрана выше критической и осуществляется в пучности токов коротко замкнутых четвертьволновых линий L_4 и L_5 через щель в перегородке между отсеками.

Транзистор T_2 работает в схеме гетеродина-преобразователя. Гетеродин выполнен по трехточечной емкостной схеме с обратной связью через междуэлектродную емкость между коллектором и эмиттером транзистора, усиленной подключением его корпуса к выводу коллектора. Нагрузкой транзистора T_2 по промежуточной частоте служит двухконтурный фильтр ПЧ. Первый контур C_{19} , L_8 , C_{20} размещен в селекторе СК-Д-20, а второй контур — в селекторе СК-М-20.

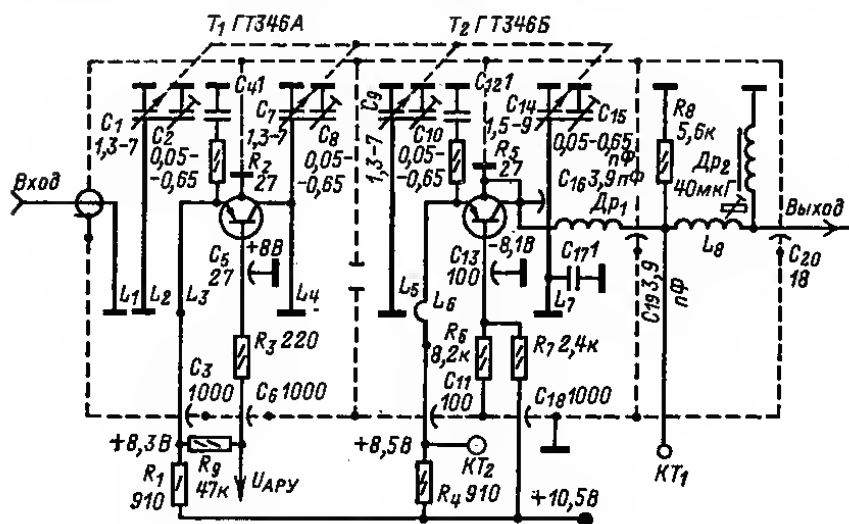


Рис. 3-15.

Связь между контурами внутриемкостная. Емкостью связи (около 6 пФ) служит отрезок коаксиального кабеля, соединяющий селекторы, и конденсаторы с обоих концов кабеля: C_{20} в селекторе СК-Д-20 и C_{13} в селекторе СК-М-20 (рис. 3-13).

Дроссель $Др_1$ — бескаркасный с внутренним диаметром 2,5 мм содержит 12,5 витков провода ПЭВТЛ-1 0,41. Дроссель $Др_2$ — типа ДМ-8,1. Катушка L_8 контура ПЧ намотана на каркасе \varnothing 5 мм и содержит 31 виток провода ПЭВТЛ-1 0,17. Сердечник — латунный (Л-63) с резьбой М4 и длиной 9 мм.

Конструктивно селектор выполнен в корпусе, разделенном перегородками на пять отсеков. В первом отсеке размещен контур входной цепи. В следующих по порядку отсеках находятся контуры полосового фильтра УВЧ, гетеродина и контур ПЧ с верньерным устройством. Корпус и перегородки выполняют роль наружных проводников коаксиальных четвертьволновых линий, для этого они покрыты кадмием, а центральные проводники L_2 , L_4 , L_6 и L_7 посеребрены.

Всеволновый селектор каналов СК-В-1

Всеволновый селектор СК-В-1, предназначен для селекциии, усиления и преобразования телевизионных сигналов диапазонов МВ и ДМВ; по сравнению с отдельными селекторами МВ и ДМВ проще в подключении к остальным блокам телевизора и удобнее для размещения в нем. Он состоит из селектора МВ и селектора ДМВ. Основные параметры СК-В-1 приведены в табл. 3-7.

Таблиц в 3-7

Основные параметры селектора СК-В-1

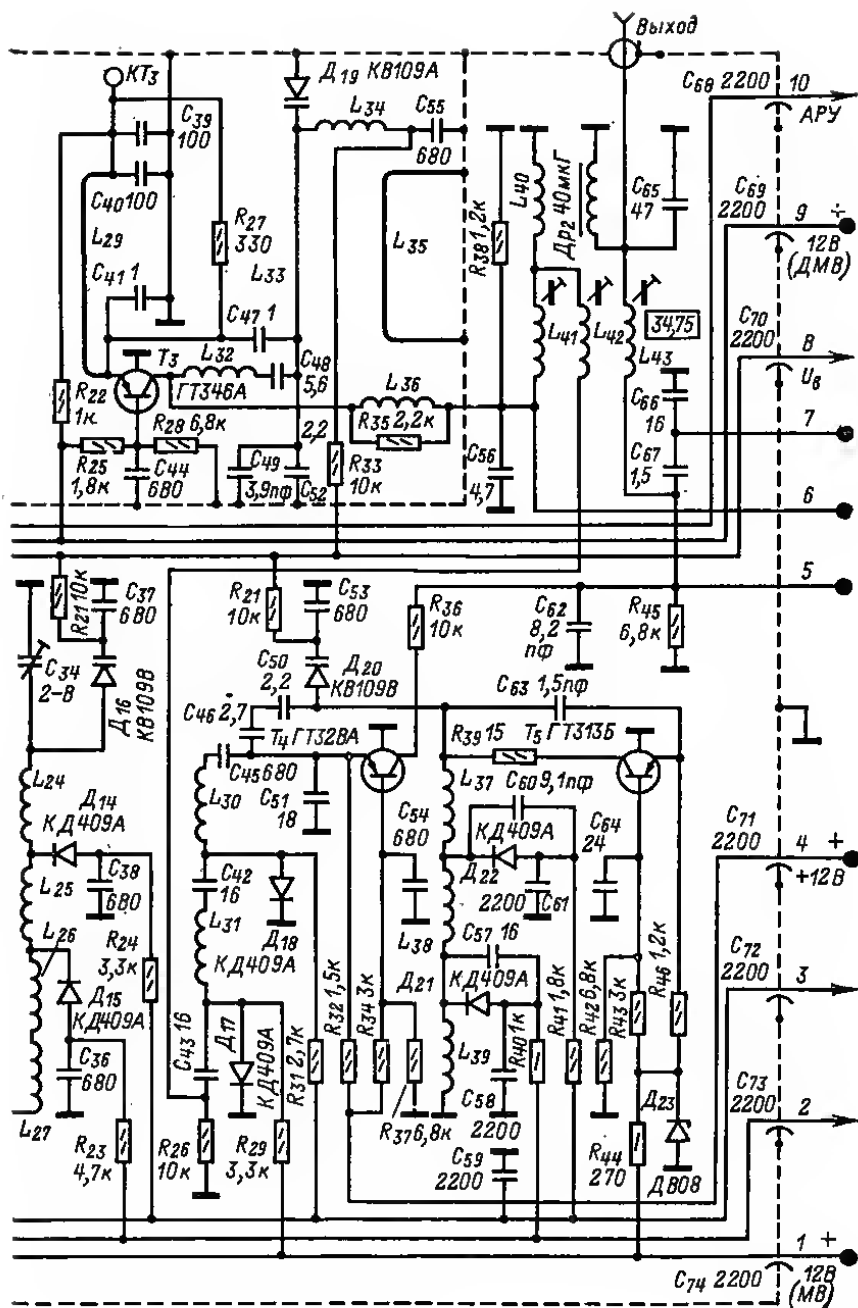
Параметр	Диапазон	
	метровый	дециметровый
Коэффициент усиления по напряжению, дБ	22	22
Глубина АРУ, дБ не менее	20	20
Коэффициент шума KT_0	6	12
Коэффициент отражения	0,35	0,5
Неравномерность АЧХ, дБ	2,0	2,5
Селективность, дБ:		
по зеркальному каналу	50	35
по промежуточной частоте	48	65
Уход частоты гетеродина, кГц:		
при повышении окружающей температуры на 15°C	180	950
при изменении питающих напряжений на +6 и -10%	150	500
Напряжение питания, В	12	12
Потребляемый ток, мА	100	43
Габариты селектора, мм	132×120×35	

Селектор метровых волн состоит из входных цепей, УВЧ (на транзисторе T_1), смесителя на транзисторе T_4 и гетеродина на транзисторе T_5 (рис. 3-16). Прием в метровом диапазоне волн осуществляется на трех поддиапазонах: I — каналы 1—2, II — каналы 3—5 и III — каналы 6—12. Переключение с одного поддиапазона на другой происходит при подаче на выводы 2 и 3 селектора напряжений различной полярности.

Входные цепи обеспечивают согласование волнового сопротивления фидера антенны с входным сопротивлением УВЧ. В поддиапазоне I используется широкополосная цепь $L_3C_4C_5L_6C_{13}C_{14}C_{15}L_{16}$, а в поддиапазоне II — $C_1L_2C_2L_4C_7C_8L_{18}$. Для подавления сигналов ПЧ на входе этих цепей включен режекторный контур L_1C_3 . Входной цепью поддиапазона III является одиночный резонансный контур $C_6D_3C_{12}L_8L_9$. Дiodы D_3 — D_7 в зависимости от полярности поданного на выводы 2 и 3 селектора напряжения коммутируют входные цепи так, что сигнал проходит только через входную цепь необходимого поддиапазона. Входные цепи других поддиапазонов в то же время или замкнуты накоротко, или отключены.

УВЧ охвачен АРУ. Необходимая глубина ее достигается при изменении напряжения АРУ от 9 (номинальное) до 2 В. Опасность выхода из строя транзистора T_1 при отсутствии напряжения АРУ устраняется включением резистора R_{13} . Дiod D_8 служит для защиты от пробоя транзистора при отсутствии напряжения на выводе I.

Транзистор T_2 нагружен на полосовой фильтр, который на поддиапазоне III состоит из первичного контура $D_{10}C_{33}L_{20}$, вторичного $D_{16}C_{34}L_{24}$ и катушки связи со смесителем L_{30} . В поддиапазоне II в контуры включаются катушки L_{21} и L_{25} , в поддиапазоне I — L_{22} , L_{23} , L_{26} , L_{27} . Катушка L_{31} индуктивно связана с катушками L_{25} и L_{26} и обеспечивает связь со смесителем в обоих поддиапазонах. При приеме в поддиапазоне III нижние по схеме выводы катушек L_{20} , L_{24} и L_{30} соединены через диоды D_{11} , D_{14} и D_{18} с общим проводом. При работе в поддиапазоне II эти диоды закрыты, а с общим проводом через диоды D_{12} , D_{15} и D_{17} соединены катушки L_{21} , L_{25} и L_{31} соответственно. При приеме в поддиапазоне I закрыты и диоды D_{12} , D_{15} . Связь между первичным и вторичным контурами на поддиапазоне I осуществляется катушкой связи L_{23} . Катушка L_{26} имеет индуктив-



ную связь с катушкой L_{31} и создает необходимую дополнительную связь со смесителем в поддиапазоне I.

Нагрузкой смесителя на T_4 служит П-контур $C_{62}L_{43}C_{65}$, который обеспечивает согласование выхода селектора со входным сопротивлением (75 Ом) УПЧИ и уменьшает уровень сигнала гетеродина на выходе.

Сигнал гетеродина, собранного по схеме емкостной трехточки, снимается с контура $L_{37}L_{38}L_{39}D_{20}C_{33}C_{57}C_{50}$ и через конденсаторы C_{46} , C_{50} поступает на эмиттер транзистора смесителя. Коммутационные диоды D_{21} , D_{22} замыкают накоротко катушки L_{39} и L_{38} при приеме в II и III поддиапазонах соответственно. Конденсаторы C_{57} и C_{50} служат для сопряжения контуров гетеродина и полосового фильтра УВЧ в I и II поддиапазонах соответственно. Стабильность частоты гетеродина обеспечивается включением стабилизатора D_{23} .

Селектор ДМВ состоит из входной цепи, УВЧ на транзисторе T_1 и преобразователя с совмещенным гетеродином на транзисторе T_3 . В качестве резонансных контуров используются полуволновые отрезки линий. Во входной цепи включен фильтр ВЧ $C_6C_{16}L_7$. Катушка L_8 обеспечивает снятие статических зарядов и подавление сигналов ПЧ на входе селектора. Диод D_1 предохраняет транзистор T_1 в УВЧ от пробоя при отключении напряжения питания. Напряжение АРУ на его базу подается через резистор R_3 . Нагрузкой УВЧ является полосовой фильтр $L_{16}C_{27}L_{19}L_{28}C_{35}D_{13}L_{17}$. Связь между контурами полосового фильтра осуществляется через щель связи и дополнительную петлю L_{17} . Усиленный сигнал снимается с фильтра петлей связи L_{29} и поступает на эмиттер транзистора T_3 преобразователя, выполняющего функции гетеродина и смесителя. Гетеродин построен по схеме с емкостной обратной связью через конденсатор C_{47} . Колебательный контур $L_{33}C_{40}C_{52}D_{19}$ является контуром гетеродина. Сигнал ПЧ снимается через катушку L_{36} на полосовой фильтр $C_{64}L_{40}L_{41}L_{42}C_{43}$. Транзистор T_4 используется как дополнительный УПЧ при приеме в диапазоне ДМВ.

Переключение на желаемый поддиапазон производится подачей различной полярности напряжений на выводы 1, 2, 3, 4, 9 селектора. Настройка селекторов на канал в поддиапазоне осуществляется изменением напряжения, подаваемого на варикапы (вывод 8).

Таблица 3-8

Данные контурных катушек селектора СК-В-1

Обозначение по схеме	Внутренний диаметр катушки, мм	Число витков	Диаметр провода, мм	Обозначение по схеме	Внутренний диаметр катушки, мм	Число витков	Диаметр провода, мм
L_1	3,0	10,5	0,41	L_{22}	4,0	10,5	0,41
L_2	3,5	18,5	0,41	L_{23}	3,5	3,5	0,41
L_3	3,5	18,5	0,41	L_{24}	5,0	2,5	0,64
L_4	3,0	3,5	0,51	L_{25}	4,5	9,5	0,41
L_5	3,0	4,5	0,51	L_{26}	4,5	4,0	0,51
L_6	3,5	13,0	0,41	L_{27}	4,0	7,5	0,41
L_7	3,0	2,0	0,8	L_{28}	4,5	1,5	0,51
L_8	3,0	3,5	0,41	L_{30}	5,5	3,5	0,64
L_9	3,5	1,5	0,41	L_{31}	3,0	13,0	0,41
L_{10}	3,5	13,0	0,41	L_{36}	4,0	2,5	0,51
L_{11}, L_{18}	3,0	3,0	0,41	L_{37}	4,5	3,5	0,51
L_{34}				L_{38}	3,5	3,5	0,51
L_{14}	3,0	6,5	0,41	L_{39}	3,0	16,5	0,41
L_{15}	3,0	6,5	0,41	L_{40}	5,3	16,0	0,23
L_{20}	5,0	2,5	0,64	L_{41}	5,3	16,0	0,23
L_{21}	4,5	7,5	0,41	L_{42}	5,3	22,0	0,18

Катушки L_{41} — L_{43} селектора намотаны на каркасах из полистирола \varnothing 5,3 мм в один слой, сердечники из латуни \varnothing 4,2 мм; остальные катушки — бескаркасные.

Катушки L_{13} и L_{32} содержат по 2 витка и имеют внутренний диаметр 2 мм. Для изготовления этих катушек использованы выводы конденсаторов C_{23} и C_{48} соответственно. Все остальные катушки выполнены проводом ПЭВТЛ-1. Данные о них приведены в табл. 3-8.

Контуры селектора ДМВ выполнены в виде коаксиальных линий, состоящих из центральных проводников и экранов прямоугольного сечения. Центральные проводники L_{16} , L_{28} , L_{33} линий выполнены из медного или латунного провода, покрытого серебром толщиной 10—12 мкм. Диаметр проводников L_{16} — L_{28} 1,2 мм, а проводника L_{33} 2 мм, их длина 33,5 мм. Петли связи L_{12} , L_{17} , L_{19} , L_{29} линий выполнены проводом ПЭВТЛ-1 \varnothing 0,8 (L_{12} , L_{17} , L_{19} и L_{35}) и 0,64 (L_{29}) мм. Петли связи имеют П-образную форму. Высота петель L_{12} , L_{17} , L_{19} , L_{35} 11 мм, а высота петли L_{29} 8 мм. Длина средней части петель L_{12} , L_{19} , L_{35} 19 мм, петли L_{17} 13 мм, а L_{29} 31 мм.

Дроссель Dr_1 — бескаркасный, внутренний диаметр 3 мм. Он содержит 19,5 витков провода ПЭВТЛ-1 0,41. Дроссель Dr_2 — ДМ-0,1.

Бесконтактное переключение каналов. Сенсорные устройства

Использование в телевизорах селекторов каналов с электронными настройкой и переключением каналов дает возможность применить переключатель, аналогичный кнопчному, но срабатывающий от одного лишь касания пальцем «кнопки» — сенсора. Устройства, в которых от такого касания вырабатываются электрические сигналы для управления селекторами, называют *сенсорными*. Существуют сенсорные устройства, которые реагируют на касание пальцем сразу двух контактов. При этом вводится сопротивление пальцев между этими точками



Рис. 3-17.

устройства. Применяется также способ закрывания пальцем отверстия на передней панели телевизора. В этом случае прекращается доступ света к фотозлементу устройства.

Все эти устройства имеют одинаковую структурную схему (рис. 3-17). Рядом с каждым сенсором размещается индикатор, указывающий номер соответствующей телевизионной программы или один, общий для всех программ индикатор — цифровая лампа.

При касании одного из сенсоров вырабатываются необходимые сигналы в устройстве управления селектором, которое состоит обычно из триггерных ячеек. Устройство управления может быть выполнено и на газоразрядных приборах (тиратронах, неоновых лампах), служащих в этом случае одновременно и индикаторами.

Переключатели поддиапазонов и переменные резисторы, с которых снимаются напряжения на варикапы селектора каналов, объединены в блок предварительной настройки. Если в телевизоре применен селектор СКВ-1, рассчитанный на прием программ в четырех поддиапазонах, то необходимо иметь переключатель на четыре положения. Можно обойтись и без него, но в этом случае каждым сенсором можно будет включать канал только в определенном поддиапазоне, что приведет к тому, что во многих местностях номер сенсора не будет соответствовать номеру при-

нимаемой программы. В исполнительном устройстве вырабатываются управляющие напряжения для подачи на коммутирующие диоды селекторов каналов.

Если в сенсорном устройстве на триггерных ячейках без переключателя поддиапазонов и исполнительного устройства (рис. 3-18) включена триггерная ячейка второго сенсора, то ток эмиттера транзистора T_4 , протекая через резистор R_{31} , создает на нем падение напряжения, закрывающее транзистор T_1 . При прикосновении к первому сенсору (замыкании пальцем контакта KT_1 с шиной 1—2) на базу транзистора T_1 через резистор R_{50} и сопротивление пальца (менее 1 МОм) подается напряжение 28В, открывающее транзистор T_1 . Эмиттерный ток транзистора, протекая через резистор R_{31} , создает на нем еще

транзистор K_{31} , создает на нем еще большее падение напряжения, которое закрывает транзистор T_4 работавшей ранее ячейки.

Напряжение, возникающее на резисторе R_3 за счет коллекторного тока транзистора T_1 , открывает транзистор T_3 . Коллекторный ток транзистора T_3 создает на резисторе R_6 падение напряжения, которое через резистор R_6 поступает на базу транзистора T_2 и открывает его до насыщения. В результате этого напряжение $+12$ В будет приложено к нидкаторной лампе Л.

Это же яяпряжение используется для питания селекторов яяналов, а также для самоблокировки ячейки через резистор R_2 после удаления пальца с сенсора.

Напряжение настройки на варикапы селекторов снимается с переменного резистора R_6 работающей ячейки через диод D_{13} . Диоды неработающих ячеек (D_{14} и др.) закрываются этим напряжением. В сенсориом

Рис. 3-18.

клучения селекторов используются выходы, соответствующим входам селекторов (цифрами 3 и 2 обозначены выходы для управления селектором СК-В-1). Конденсаторы C_2 и C_{12} в базовых цепях транзисторов T_1 и T_{16} служат для устранения самопроизвольного переключения программ при кратковременных изменениях напряжений в цепях питания. Цепочки C_3R_3 и $C_{13}R_{33}$, соединяющие по кольцу каждую сенсорную ячейку со следующей, обеспечивают работу системы дистанционного управления (ДУ). Если выключена, например, шестая сенсорная ячейка, то напряжения на конденсаторе C_3 первой ячейки равно нулю, так как левая (по схеме) обкладка (через открытый транзистор T_{16}) и правая (через резисторы R_3 и R_4) конденсатора соединены с одним и тем же полюсом источника питания $+28$ В. До этого же напряжения заряжены аналогичные конденсаторы неработающих ячеек.

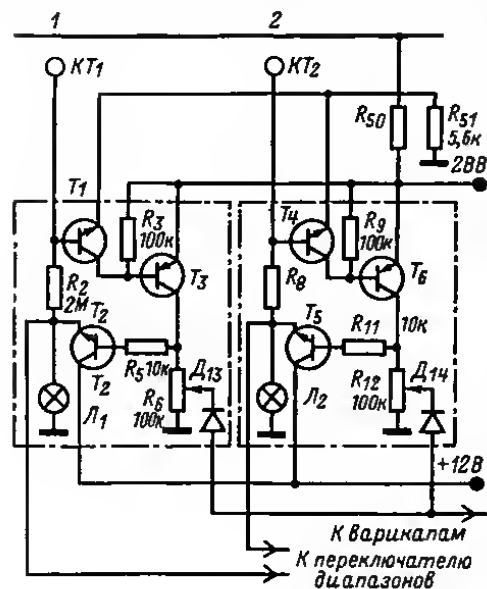


Рис. 3-18.

Напряжения ± 12 В на коммутирующие диоды селектора каналов подаются из исполнительного устройства, состоящего из двух одинаковых электронных ключей (транзисторы $T_{19}-T_{21}$, $T_{22}-T_{24}$). Напряжение $+12$ В подано на коллекторы выходных транзисторов ключей, а на эмиттеры — -12 В (относительно общего провода). Если на базу транзистора T_{19} не подается положительное напряжение (например, при работе на поддиапазоне I), то транзисторы $T_{19}-T_{21}$ закрыты, падения напряжения на резисторе R_{42} нет и на выход B поступает напряжение -12 В. При подаче на базу транзистора T_{19} положительного напряжения (на II, III, IV и V поддиапазонах) транзисторы $T_{19}-T_{21}$ открываются до насыщения. В этом случае напряжение на эмиттере транзистора T_{21} почти равно напряжению на коллекторе и на выходе B будет напряжение $+12$ В.

В качестве индикаторных ламп, L_1 , L_6 включенной программы применены телефонные коммутаторные лампы КМ (12 В; 105 мА). Для уменьшения тока через них до 50 мА включены гасящие резисторы (R_1 , R_{31}). Можно применить также лампы НСМ-50 (10 В; 50 мА), исключив из цепи гасящие резисторы. Переменные резисторы R_6 , R_{36} специально разработаны для сенсорных устройств — резисторы СПЗ-24.

3.3. СХЕМЫ УПЧИ ТЕЛЕВИЗОРОВ ЧЕРНО-БЕЛОГО И ЦВЕТНОГО ИЗОБРАЖЕНИЯ

Требования к УПЧИ

Основное требование к УПЧИ сводится к хорошей форме частотной характеристики, к селективности при широкой полосе передаваемых частот и передаче лишь одной боковой части этой полосы. Кроме того, предъявляются дополнительные требования к фазовой характеристике, т. е. к фазовым искажениям.

Форма частотной характеристики выбирается такой, чтобы обеспечить на нижних частотах наименьшие искажения, вызываемые частотным подавлением одной боковой полосы частот при передаче, а также чтобы уменьшить помехи от теле-

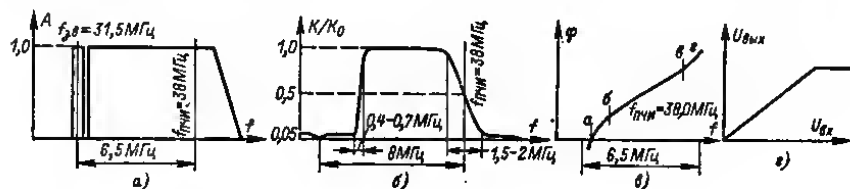


Рис. 3-20.

центров, работающих на соседних каналах, и устранить помехи от сигнала звукового сопровождения с несущей частотой $f_{зв}$ в принимаемом канале (рис. 3-20, а). Усилитель усиливает лишь часть передаваемого спектра частот, определяемую формой его частотной характеристики (рис. 3-20, б). При этом несущая ПЧ изображения должна располагаться на середине правого пологого склона характеристики. Недостаточный уровень (менее 100%) спектра частот, расположенных слева поблизости от несущей, компенсируется некоторым пропусканием этих частот справа от несущей. В результате суммарный уровень спектра нижних частот приводится к 100%.

Крутизна склонов частотной характеристики и избирательность УПЧИ связаны между собой. Для обеспечения наименьших фазовых искажений крутизну правого склона нельзя делать слишком высокой. Вследствие нелинейности фазовой характеристики (участки ab и $вг$ на рис. 3-20, в) составляющие спектра сигнала отстают друг от друга по фазе неравномерно, т. е. нелинейно задерживаются

во времени. В результате синусоидальные составляющие видеосигнала складываются с опережением или с запаздыванием фазы, и форма принятого видеосигнала искажается: появляются всплески — положительные или отрицательные выбросы. Это приводит к появлению светлых или темных «окантовок» справа или слева от контуров изображения.

Если положение несущей ПЧ изображения $f_{ПЧИ}$ на правом склоне характеристики изменить так, чтобы она расположилась на уровне 0,2—0,3 вместо 0,5 (рис. 3-20, б), то усиление верхних видеочастот (по отношению к нижним) будет велико; четкость при этом может возрасти, но появятся фазовые искажения (нестестивная выпуклость деталей изображений и повторы). Высокий же уровень несущей приведет к подъему средних и нижних частот (за деталями изображения тянутся серые полосы).

В одноканальных телевизорах для получения разностной ПЧ звукового сопровождения (6,5 МГц) несущая ПЧ звукового сопровождения (31,5 МГц) должна проходить через общий УПЧИ на уровне 0,05—0,1 на левом склоне частотной характеристики. Этот участок характеристики должен иметь вид плоской ступени, иначе ЧМ сигнал звукового сопровождения будет преобразован в АМ и на изображении появятся помехи от звука.

Амплитудная характеристика УПЧИ должна быть линейной (рис. 3-20, г). Из-за амплитудных искажений полутона в изображении будут передаваться неверно, могут нарушаться амплитудные соотношения между частотами составляющими спектра и могут появиться новые частотные составляющие. Амплитудные искажения могут появиться из-за ограничения усиленных сигналов в последнем каскаде УПЧИ, а также из-за перегрузки УПЧИ при неправильной работе АРУ.

Коэффициент усиления УПЧИ должен быть таким, чтобы при минимальном уровне принимаемого сигнала, определяемом чувствительностью телевизора, амплитуда напряжения, подводимого к детектору, достигала нескольких вольт. Это необходимо для того, чтобы детектирование происходило на линейном участке характеристики диодного детектора.

К УПЧИ цветных телевизоров предъявляются более жесткие требования, обусловленные наличием в области верхних частот спектра сигналов цветности. Для их правильного воспроизведения в цветном телевизоре полоса пропускания УПЧИ должна быть не менее 5,65—5,8 МГц при неравномерности характеристики не более $\pm 1,5$ дБ. При большей неравномерности наличие наклонов характеристики на участке, где располагаются ЧМ цветовые поднесущие, приводит к их демодуляции, т. е. появлению от них в спектре яркостного сигнала значительных амплитудных составляющих, которые становятся заметными в виде мелкоструктурной сетки на экране как черно-белого, так и цветного телевизора. Для устранения помех на изображении, создаваемых бинами частот цветных поднесущих с несущей звукового сопровождения, селективность УПЧИ цветных телевизоров на частоте 31,5 МГц должна быть не менее 40 дБ.

От правильного воспроизведения градаций яркости в цветном телевизоре в значительной степени зависит естественность окраски цветных деталей изображения. Поэтому коэффициент нелинейных искажений усилительного тракта, в который входит УПЧИ (от входа антенны до видеодетектора), не должен превышать 15%.

Требования к селективности УПЧИ цветных телевизоров на частотах, отличающихся от несущей изображений на $+1,5$ МГц $+3,0$ МГц и -8 МГц, не отличаются от тех, которые предъявляются к черно-белым телевизорам соответствующих классов (см. табл. 3-2).

УПЧИ на электронных лампах

Необходимая форма частотной характеристики в многокаскадном УПЧИ на электронных лампах достигается применением в одном или в двух каскадах полосовых фильтров, определяющих наряду с применением режекторных конту-

ров общую селективность УПЧИ. В остальных каскадах в качестве нагрузки используют либо одиночные контуры, настроенные на различные частоты для создания равномерного усиления в требуемой полосе частот, либо двухконтурные асимметричные фильтры. Катушки таких фильтров наматываются на общем каркасе в два провода. Из-за сильной связи между катушками максимумы резо-

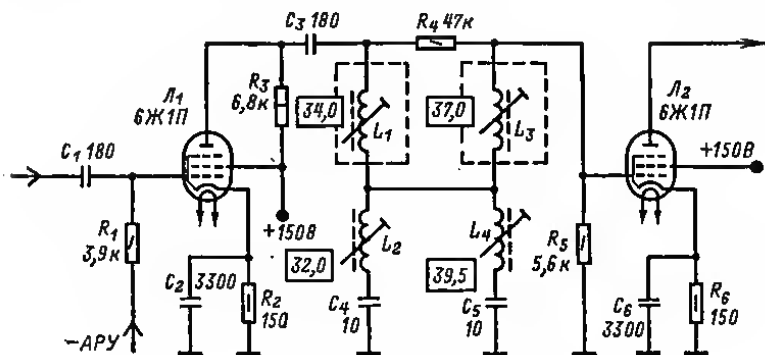


Рис. 3-21.

наисной кривой сильно разнесены и разнятся по амплитуде. Для формирования частотной характеристики УПЧИ используют лишь более интенсивный максимум, а слабый максимум, находящийся далеко за пределами полосы пропускания, не используется. При этом частотная характеристика УПЧИ формируется так же, как при использовании каскадов с одиночными контурами, но конструкция благодаря отсутствию переходных емкостей оказывается более простой, поскольку выходная емкость предыдущего и входная емкость последующего каскадов оказываются разделенными, усиление, даваемое таким услителем, больше. Необходимая селективность обеспечивается комбинированием включения режекторных контуров и фильтров-пробок.

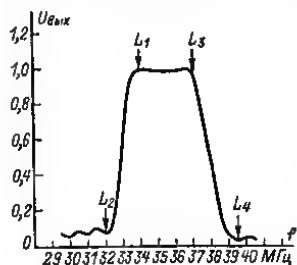


Рис. 3-22.

Среди всего разнообразия схем полосовых фильтров, которые использовались и используются в каскадах УПЧИ ламповых телевизоров различных классов, в основном лишь два их вида нашли широкое применение.

Каскад с М-фильтром (рис. 3-21) применяется в УПЧИ телевизоров III класса. Контур с катушками L_1 и L_3 экранированы и связь между ними осуществляется с помощью режекторных контуров L_2C_4 и L_4C_5 . Последние настраивают на частоту, близкую к несущей ПЧ звукового сопровождения и на несущую звука соседнего канала (39,5 МГц). На частотах режекции сопротивление этих контуров понижается, связь между контурами фильтра и усиление каскада падают (рис. 3-22). На частотах в середине полосы пропускания сопротивление одного режекторного контура имеет индуктивный характер, а другого — емкостный. Эти реактивности компенсируют друг друга, и сопротивление связи имеет почти активный характер. Сопротивление резистора R_4 ухудшает добротность фильтра и уменьшает неравномерность частотной характеристики.

Достоинства М-фильтра — большой коэффициент усиления, равномерная характеристика в полосе пропускания и линейная фазовая характеристика

на границах этой полосы; недостатки — малая селективность и сложность настройки из-за взаимного влияния настройки контуров.

Каскад с фильтром типа «дифференциальный мост» (рис. 3-23) имеет линейную фазовую характеристику в области ПЧ изображения и обеспечивает хорошее

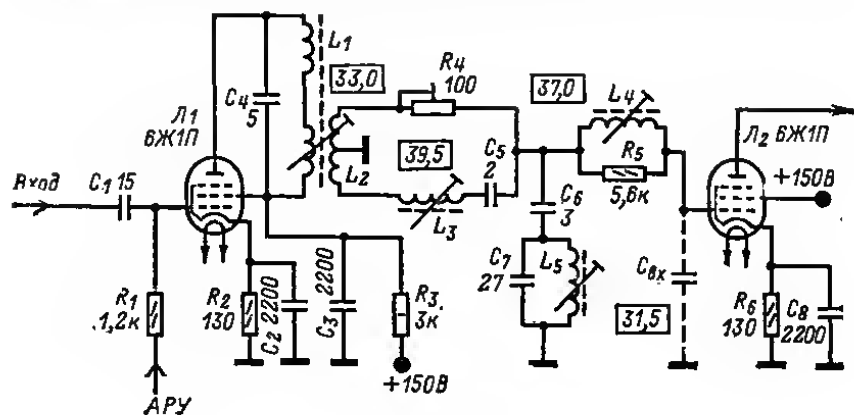


Рис. 3-23.

подавление помех за пределами полосы пропускания. Контуры фильтра L_1C_4 и $L_4C_{вх}$ настроены на крайние частоты полосы пропускания УПЧИ (рис. 3-24) и связаны между собой при помощи мостовой цепи, образованной половинками индуктивности L_2 , индуктивностью L_3 с емкостью C_5 и сопротивлением R_4 . Сопrotивление резистора R_4 выбирается равным эквивалентному сопротивлению последовательного контура L_3C_5 , и поэтому на его резонансной частоте мост описывается сбалансированным, а коэффициент передачи фильтра — минимальным. В полосе пропускания контуры L_1C_4 и $L_4C_{вх}$ связаны в основном через половину индуктивности L_2 и через резистор R_4 , так как сопротивление контура L_3C_5 здесь велико и имеет резонансный характер. Контур L_3C_5 настраивают на частоту, отличающуюся от несущей ПЧ изображения на $+1,5$ МГц (контур L_5C_7 настраивается на несущую ПЧ звука, равную 31,5 МГц). Благодаря резкому спаду частотной характеристики в районе ПЧ звука, малым фазовым искажением на частотах, близких к ПЧ изображения, и глубокому подавлению помех на частотах режекции каскад с фильтром типа «дифференциальный мост» применяется в телевизорах классов I и II.

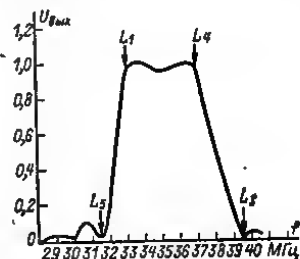
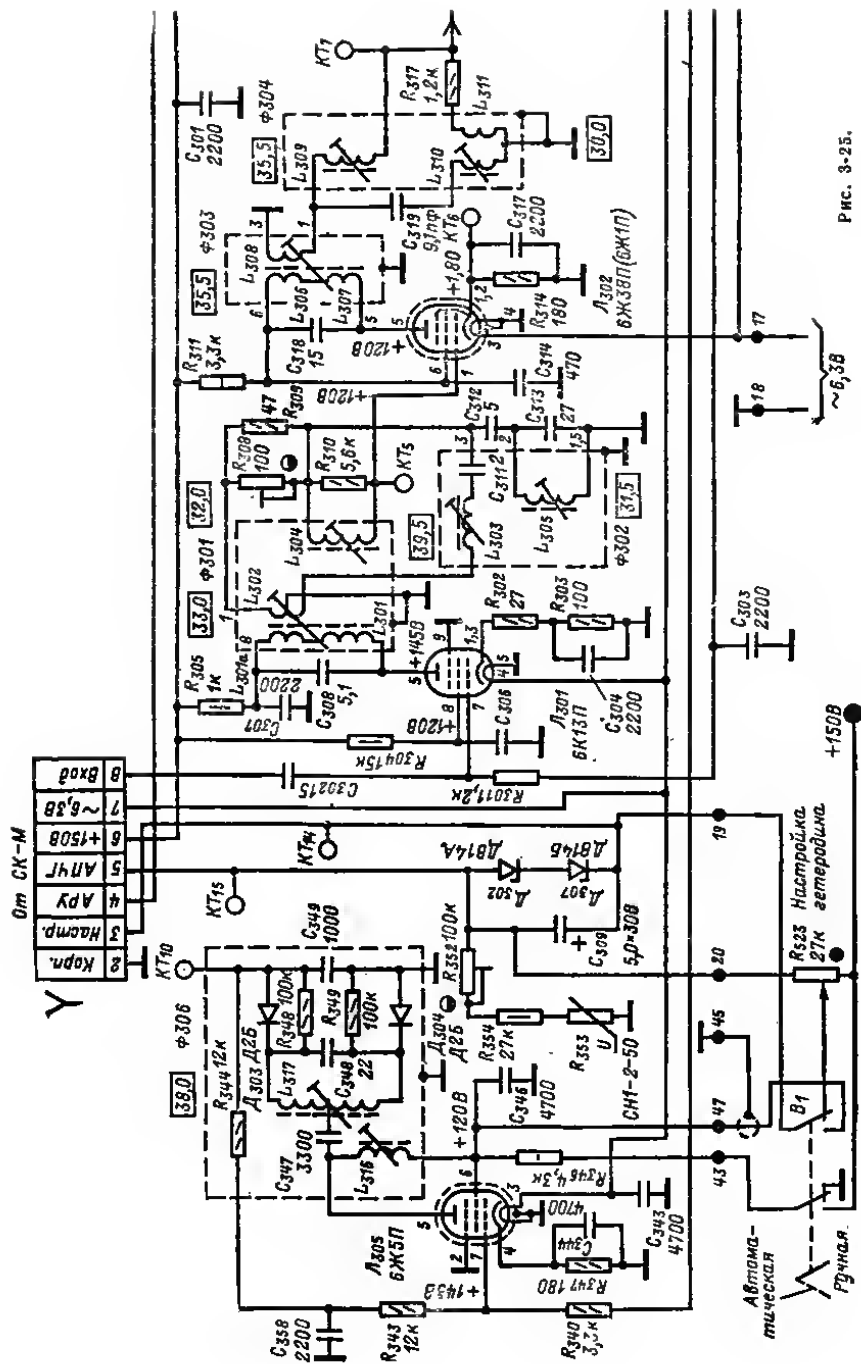


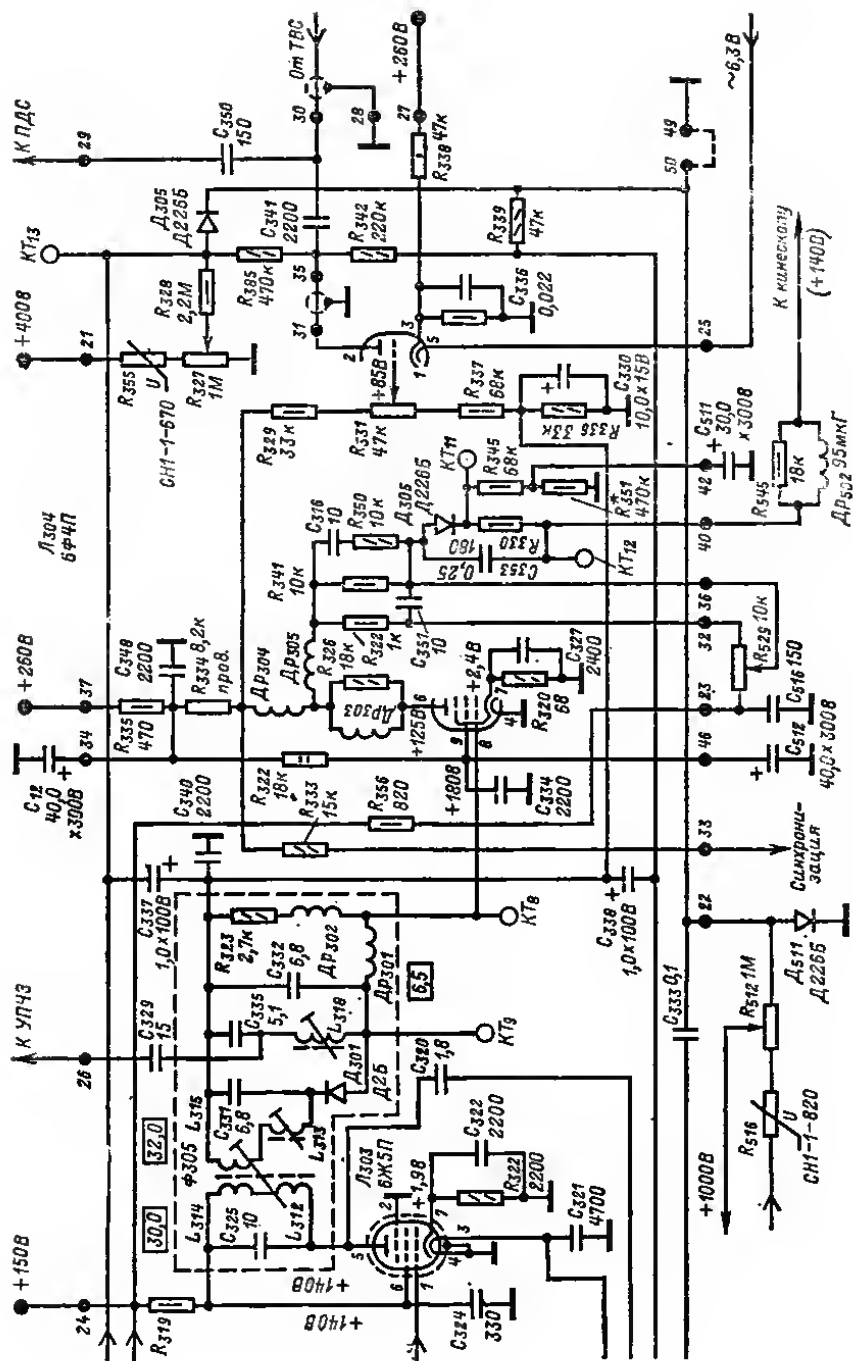
Рис. 3-24.

Блок УПЧИ унифицированного телевизора II класса (УЛТ-61)

Радиолюбители-инструкторы при создании телевизора могут использовать как отдельные детали, так и целый блок УПЧИ от получившего большое распространение телевизора промышленного производства УЛТ-61, выпускаемого под наименованиями «Рубин-206» и «Рубин-205Д».

Усилитель блока УПЧИ — трехкаскадный на лампах L_{901} — L_{903} (рис. 3-25). Использование в первом каскаде лампы 6К13П с удлиненной сеточной характеристикой дает возможность осуществить глубокую АРУ. Коэффициенты усиления





Нагрузкой второго каскада служит полосовой фильтр, в который входят катушки L_{308} — L_{309} ; для регулирования связи применен карбонильный сердечник. Режекторный контур $L_{310}C_{319}$ настроен на несущую ПЧ изображения соседнего канала. С компенсационной обмотки L_{311} , связанной с этим контуром, в цепь сетки лампы L_{303} подается противофазное напряжение, уменьшающее подъем частотной характеристики на частотах ниже 30 МГц.

Нагрузкой третьего каскада служит полосовой фильтр $L_{312}L_{314}C_{325}L_{313}L_{315}C_{331}$ с двугорбой характеристикой (рис. 3-26, а). Частотная характеристика второго и третьего каскадов с управляющей сетки L_{302} приведена на рис. 3-26, б, а общая — со входа УПЧИ — на рис. 3-26, в.

Таблица 3-9

Данные контурных катушек УПЧИ телевизоров УЛТ-61

Обозначение фильтра	Обозначение по схеме	Число витков	Марка провода	Диаметр провода	Намотка
Φ_{301}	L_{301}	11	ПЭЛШО	0,14	Рядовая
	L_{301a}	4	ПЭЛШО	0,14	Рядовая в три прово-
	L_{302}	4×2	ПЭЛ	0,14	да
	L_{304}	13	ПЭЛШО	0,14	Рядовая
Φ_{302}	L_{303}	30	ПЭЛШО	0,14	Рядовая
	L_{305}	7	ПЭЛШО	0,14	Рядовая
Φ_{303}	L_{307}	15	ПЭЛШО	0,14	Рядовая
	L_{300}	5,5	ПЭЛШО	0,14	Рядовая в два прово-
	L_{308}	5,5	ПЭЛ	0,14	
	L_{309}	9	ПЭЛШО	0,14	Рядовая
Φ_{304}	L_{310}	17	ПЭЛШО	0,14	Рядовая
	L_{311}	4	ПЭЛ	0,14	Рядовая поверх
	L_{312}	7	ПЭЛШО	0,14	Рядовая
Φ_{305}	L_{313}	11	ПЭВ-1	0,14	Рядовая
	L_{314}	4,5	ПЭЛШО	0,14	Рядовая в два прово-
	L_{315}	4,5	ПЭВ-1	0,14	
	L_{316}	57	ПЭВ-1	0,14	Универсаль
	Dr_{301}	115	ПЭЛШО	0,12	Универсаль
	Dr_{302}	185	ПЭЛШО	0,12	Универсаль
Φ_{306}	L_{316}	15	ПЭВ-1	0,41	Рядовая
	L_{317}	4×2	ПЭВ-1	0,41	Рядовая в два прово-
	Dr_{303}	165	ПЭЛШО	0,12	да
	Dr_{304}	270	ПЭЛШО	0,12	Универсаль
	Dr_{305}	115	ПЭЛШО	0,12	Универсаль
	Dr_{302}	165	ПЭЛШО	0,12	Универсаль
	Dr_{502}	165	ПЭЛШО	0,12	Универсаль

Данные контурных катушек УПЧИ приведены в табл. 3-9. Катушки L_{301} — L_{311} намотаны на полистирольных каркасах (рис. 3-27, а—г) и заключены в алюминиевые экраны размерами $19,5 \times 19,5 \times 45$ мм. Катушки L_{312} — L_{315} и L_{313} намотаны на двух каркасах, которые вместе с деталями полосового фильтра и видеодетектора находятся на печатной плате, заключенной в экран (рис. 3-27, д).

Подключение селектора ПТК-11Д ко входу УПЧИ производится через контур, согласующий низкое выходное сопротивление селектора с относительно высоким входным сопротивлением УПЧИ (рис. 3-10).

УПЧИ на транзисторах и интегральных микросхемах

Из-за относительно низкого входного сопротивления транзисторов и нестабильности емкостей переходов при изменении температуры и питающих напряжений принципы формирования частотной характеристики в УПЧИ на транзисторах отличаются от принципов, применяемых в ламповых УПЧИ. Транзисторные УПЧИ делают апериодическими или с сильно зашунтированными контурами в междукаскадных связях. Необходимую частотную характеристику в таких УПЧИ формирует ФСС (рис. 3-28). Для уменьшения вероятности самовозбуждения из-за связи через проходные емкости транзисторов коэффициент усиления

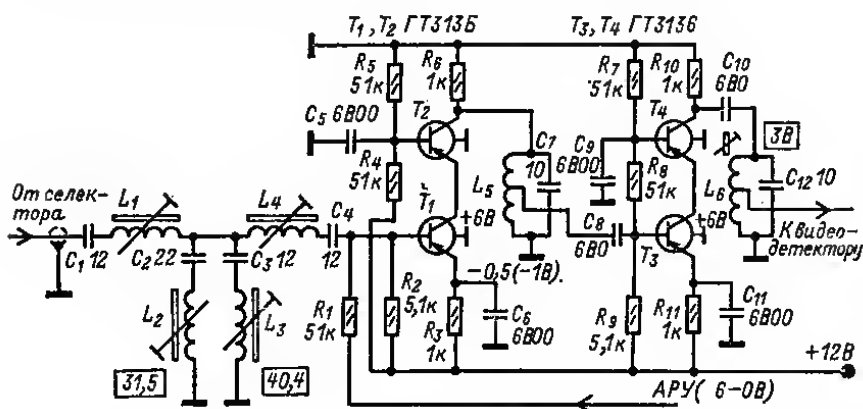


Рис. 3-28.

каждого каскада УПЧИ делают небольшим или применяют каскодное включение транзисторов. Режим транзисторов T_2 , T_3 и T_4 задан делителями R_4 , R_5 и R_7 — R_9 . На базу транзистора T_1 подается напряжение от цепи АРУ (рис. 3-28). Если это напряжение равно +6 В, то усиление каскада с транзисторами T_1 и T_2 максимально.

Контур L_5C_7 и L_6C_{12} , сильно зашунтированные резисторами R_6 , R_{10} и входными сопротивлениями последующих каскадов, обладают резонансными характеристиками с очень пологими склонами. В имеющемся на входе УПЧИ ФСС последовательные резонансные контуры L_1C_1 и L_4C_4 формируют характеристику в полосе пропускания и хорошо согласуются с выходным сопротивлением блока ПТК и входным сопротивлением транзистора T_1 . Контур L_2C_2 и L_3C_3 — режекторные, настроены соответственно на ПЧ звука принимаемого и соседнего каналов.

Вместо транзисторов T_3 и T_4 в УПЧИ по схеме на рис. 3-28 можно применить микросхему К2УС2413 (см. рис. 12-81). Ее вход (вывод 1) соединяется с отводом катушки L_5 , а выход 9 с конденсатором C_{10} . При этом детали C_6 , C_8 , C_{11} и R_7 — R_{11} из схемы на рис. 3-28 исключаются.

Блок УПЧИ и УПЧЗ транзисторных телевизоров ППТ-23-2

При конструировании транзисторного телевизора радиолюбители могут использовать отдельные детали или целый блок УПЧИ и УПЧЗ массовых промышленных телевизоров ППТ-23-2, выпускаемых под наименованием «Юность».

Блок содержит УПЧИ, видеодетектор, видеоусилитель и цепь ключевой АРУ, селектор, фазоинвертор и два усилителя синхронимпульсов; УПЧЗ; частотный детектор и УНЧ. УПЧИ содержит три каскада на транзисторах (T_5 — T_7), вклю-

ченных по схеме с ОЭ, и четвертый (T_8) — по схеме с ОБ (рис. 3-29). Амплитудно-частотную характеристику УПЧИ (рис. 3-30, а) формирует ФСС. Контуры с катушками L_{56} , L_{57} , L_{58} и L_{60} — режекторные, а с катушками L_{55} , L_{59} и L_{61} формируют характеристику в полосе пропускания.

Второй каскад на транзисторе T_6 нагружен одноконтурным контуром с катушкой L_{62} , настроенным на среднюю частоту полосы пропускания, а четвертый каскад — полосовым фильтром $L_{63}C_{46}L_{64}C_{50}$. Через диоды D_4 и D_5 на базу транзистора T_6 подается напряжение АРУ.

Таблица 3-10

Данные контурных катушек блока УПЧИ и УПЧЗ телевизоров
ППТ-23-2 («Юность»-2)

Наименование	Обозначение по схеме	Число витков	Марка провода	Диаметр провода	Намотка
KO_{18}	L_{69}	11	ПЭВ-1	0,23	Рядовая поверх
	L_{70}	36	ПЭВ-1	0,23	Рядовая
	L_{71}	18×2	ПЭВ-1	0,23	Рядовая в два провода
KO_1, KO_{10}	L_{55}, L_{61}	17	ПЭВ-1	0,2	Рядовая
KO_5	L_{59}	9	ПЭВ-1	0,31	Рядовая
KO_6	L_{67}	11	ПЭВ-1	0,31	Рядовая
KO_7	L_{59}	23	ПЭВ-1	0,2	Рядовая
KO_8	L_{58}	16	ПЭВ-1	0,31	Рядовая
KO_9	L_{60}	26	ПЭВ-1	0,31	Рядовая
KO_{11}	L_{62}	12	ПЭВ-1	0,31	Рядовая в два провода
KO_{12}	L_{63}	13	ПЭВ-1	0,23	Рядовая
KO_{13}	L_{64}	12	ПЭВ-1	0,23	Рядовая
KO_{14}	L_{65}	24	ПЭВ-1	0,23	Рядовая
KO_{15}	L_{66}	40	ПЭВ-1	0,23	Рядовая

Данные контурных катушек блока приведены в табл. 3-10. Контурные катушки заключены в экраны размерами $11 \times 11 \times 19$ мм. Детали блока смонтированы на печатной плате из фольгированного гетинакса.

УПЧИ квиваль изображения цветного телевизоров на интегральных микросхемах серии К224

На входе УПЧИ на интегральных микросхемах в канале изображения цветного телевизора (рис. 3-31) использован ФСС (L_1C_1 , $L_2C_2C_3$, L_3C_4 , L_4C_5), обеспечивающий формирование АЧХ и фазовой характеристик, а также необходимую селективность по соседним каналам. Чувствительность не хуже 600 мкВ при уровне неискаженного видеосигнала на нагрузке видеодетектора не менее 2 В удается достичь, применив в УПЧИ три каскада. Первый, выполненный на транзисторе T_1 , охвачен АРУ. Второй и третий — на микросхемах MC_1 и MC_2 — каскодные усилители. Начальное напряжение на базе транзистора T_1 выбирается таким, что ток его эмиттера равен 3—4 мА. При этом УПЧИ имеет максимальное усиление. На выходе третьего каскада УПЧИ включен полосовой фильтр с емкостной связью L_7C_{20} , $L_8C_{25}C_{24}$, нагруженный входным сопротивлением видеодетектора D_4 . Режекторный контур L_9C_{27} , включенный перед видеодетектором, служит для уменьшения помех на изображении от звука, а также для уменьшения помех

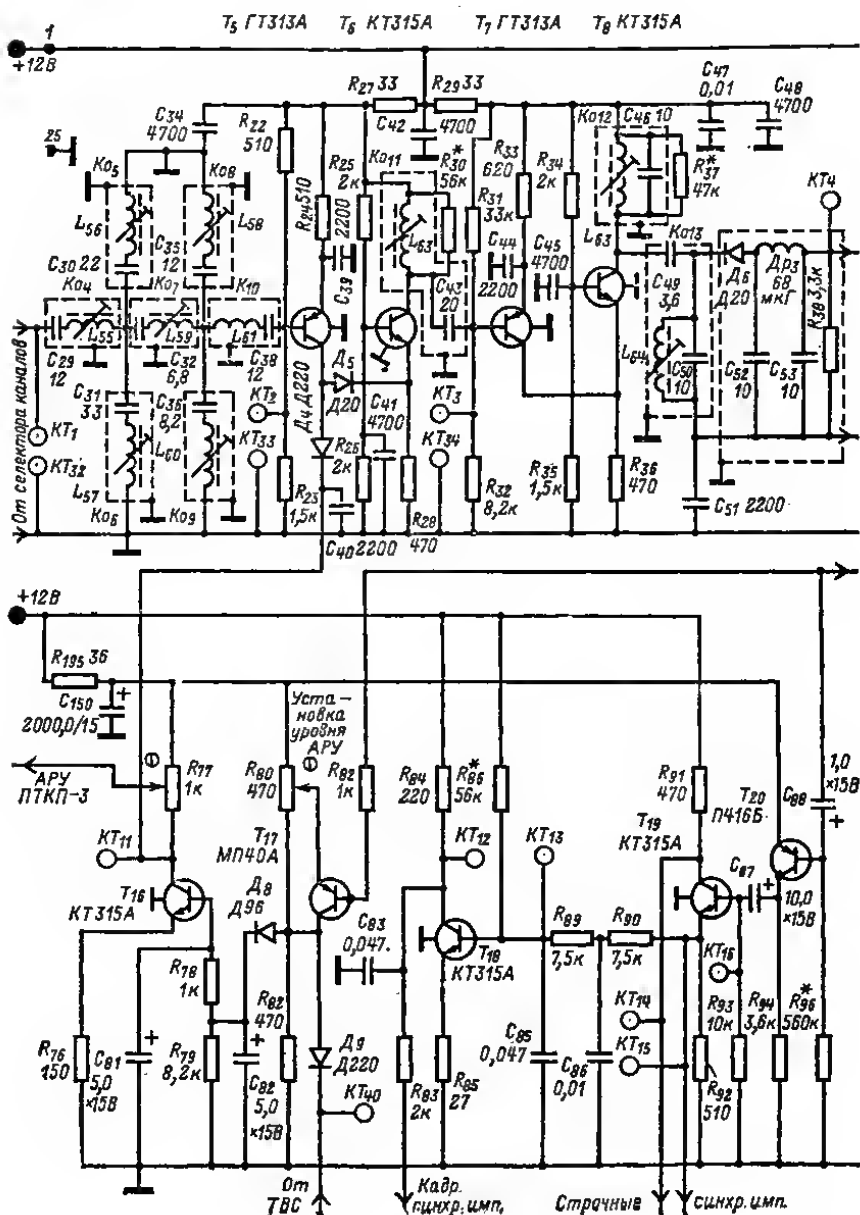


Рис. 3-29.

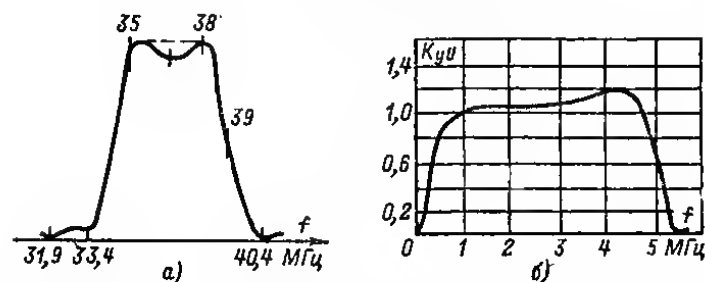


Рис. 3-30.

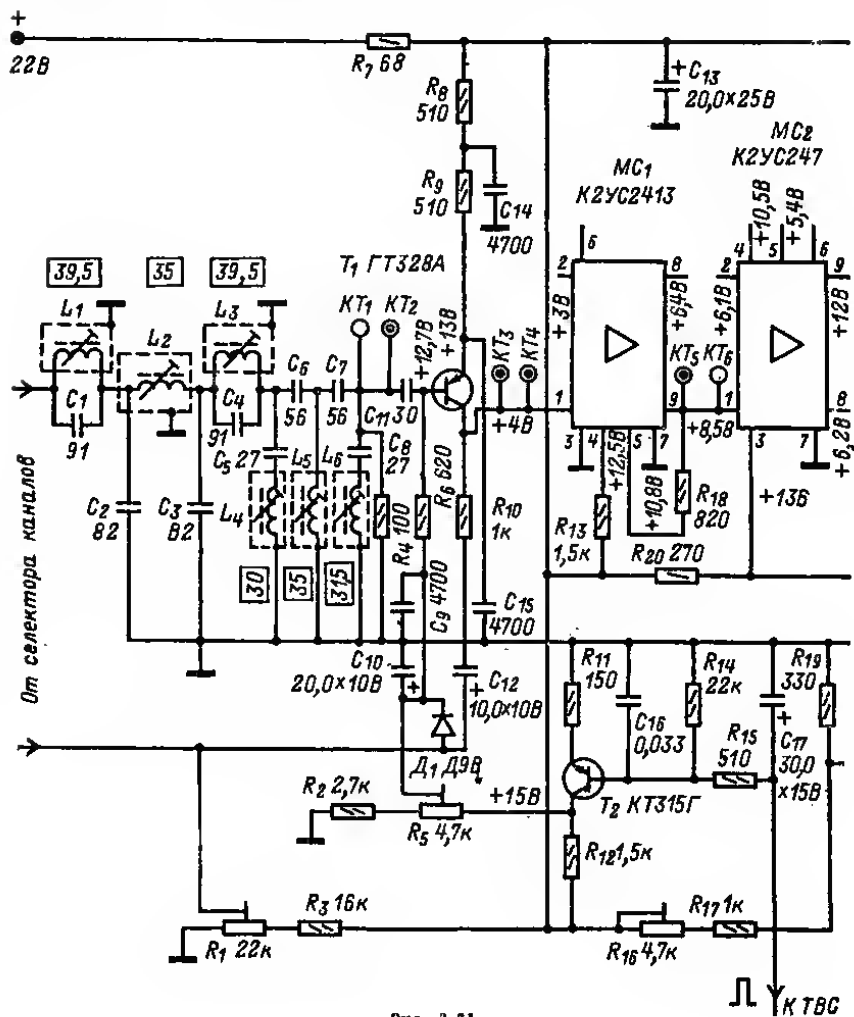


Рис. 3-31.

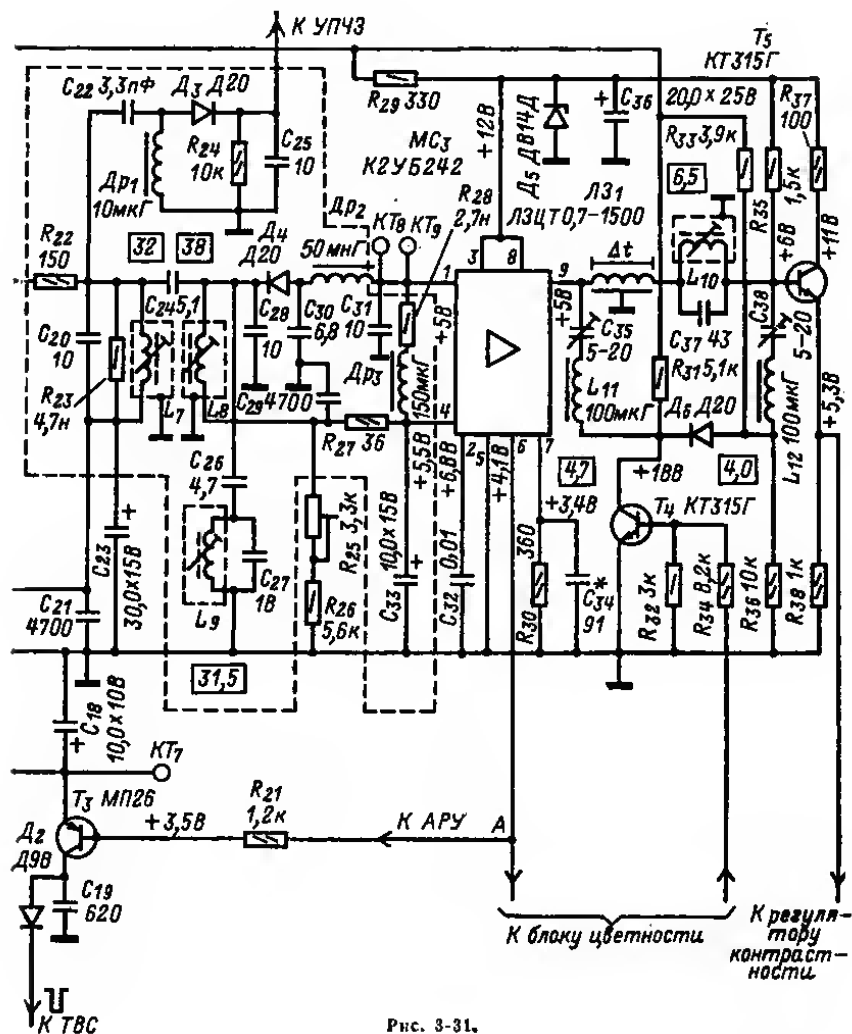


Рис. 3-31.

Намоточные данные катушек приведены в табл. 3-11. Они намотаны в один слой виток к витку на текстолитовых каркасах (рис. 3-32), заключены в экраны размерами $11 \times 11 \times 16$ мм, а для их подстройки использованы сердечники из карбоиленного железа с резьбой М4. На рис. 3-33, а приведена АЧХ УПЧИ без ФСС, а на рис. 3-33, б — сквозная — со входа ФСС.

3-4. СХЕМЫ УПЧЗ

В каскадах УПЧЗ применяют одиночные и полосовые фильтры со связью между контурами несколько выше критической. В последнем случае удается получить частотную характеристику с крутыми склонами и почти ровной вершиной. В одноканальных телевизорах контуры УПЧЗ настраивают на разностную частоту 6,5 МГц. Ширина полосы пропускания УПЧЗ 200—500 кГц. Видеодетектор выделяет видеосигнал и преобразует ЧМ сигнал ПЧ звука в сигнал разностной частоты. Последний отделяют от видеосигнала на выходе видеодетектора

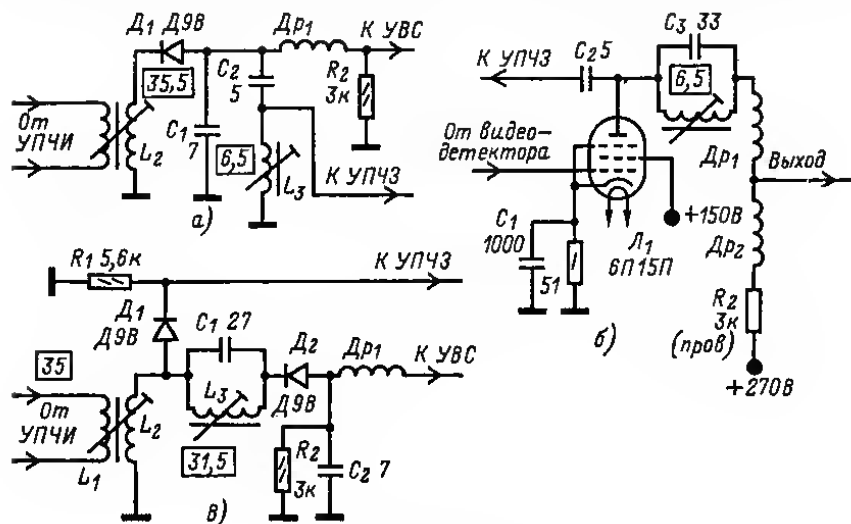


Рис. 3-34.

либо после видеосушителя. Чтобы уменьшить помехи, амплитуда сигнала ПЧ звукового сопровождения на выходе УПЧИ должна быть в 10—20 раз меньше амплитуды сигнала ПЧ изображения.

В усилителях на рис. 3-34, а и б сигнал разностной частоты отделяется при помощи режекторного контура, включенного на выходе видеодетектора или видеосушителя и настроенного на разностную частоту 6,5 МГц. Схему на рис. 3-34, б применяют в телевизорах класса III. Благодаря тому что в этом случае сигнал разностной частоты усиливается в видеосушителе, УПЧЗ может содержать меньшее количество каскадов. Однако из-за дополнительной модуляции разностной частоты в видеосушителе качество звукового сопровождения здесь ниже, чем при использовании схемы на рис. 3-34, а. В телевизорах черно-белого изображения классов I и II и цветных телевизорах для выделения сигнала разностной частоты используют тракт с отдельным детектором на диоде D_3 (рис. 3-31) и D_1 (рис. 3-34, в). Это дает возможность подавить с помощью дополнительных режекторных фильтров L_3C_{27} (рис. 3-31) и L_3C_1 — (рис. 3-34, в) сигнал ПЧ звука

и не пропустить его на вход видеодетектора. В этом случае сигнал разностной частоты, заметный на изображении в виде помехи, не выделяется на выходе видеодетектора и отсутствует в видеоусилителе. Кроме того, исключаются помехи на изображении от сигнала с частотой биений между несущей звука и цветовыми поднесущими при приеме цветной телевизионной передачи.

При конструировании радиолюбители могут использовать детали и целые блоки УПЧЗ ламповых и транзисторных телевизоров массового производства.

Блок УПЧЗ и УНЧ лампового телевизора класса II (УЛТ-61)

В блок входят (рис. 3-35) усилитель разностной частоты на лампе L_{201} , ограничитель на лампе L_{202} , частотный детектор с диодами D_{201} , D_{202} и УНЧ на лампе L_{203} . Нагрузкой усилителя разностной частоты служит полосовой фильтр $L_{203}C_{206}L_{204}C_{207}$. После усиления сигнал проходит через ограничитель на лампе L_{202} , что сильно снижает уровень помех от сигналов изображения. Данные контурных катушек блока приведены в табл. 3-12.

Таблица 3-12

Данные контурных катушек блока УПЧЗ телевизоров УЛТ-61
(«Рубин-205», «Рубин-205Д»)

Обозначение фильтра	Обозначение катушки	Число витков	Марка провода	Диаметр провода	Намотка
Φ_{201}	L_{202}	60	ПЭЛШО	0,14	Рядовая
Φ_{202}	L_{203}	40	ПЭЛШО	0,14	Рядовая
	L_{204}	40	ПЭЛШО	0,14	Рядовая
Φ_{203}	L_{205}	41	ПЭЛШО	0,18	Рядовая
	L_{206}	17×2	ПЭЛШО	0,18	Рядовая в два провода
	L_{207}	12	ПЭЛШО	0,18	Рядовая поверх L_{205}

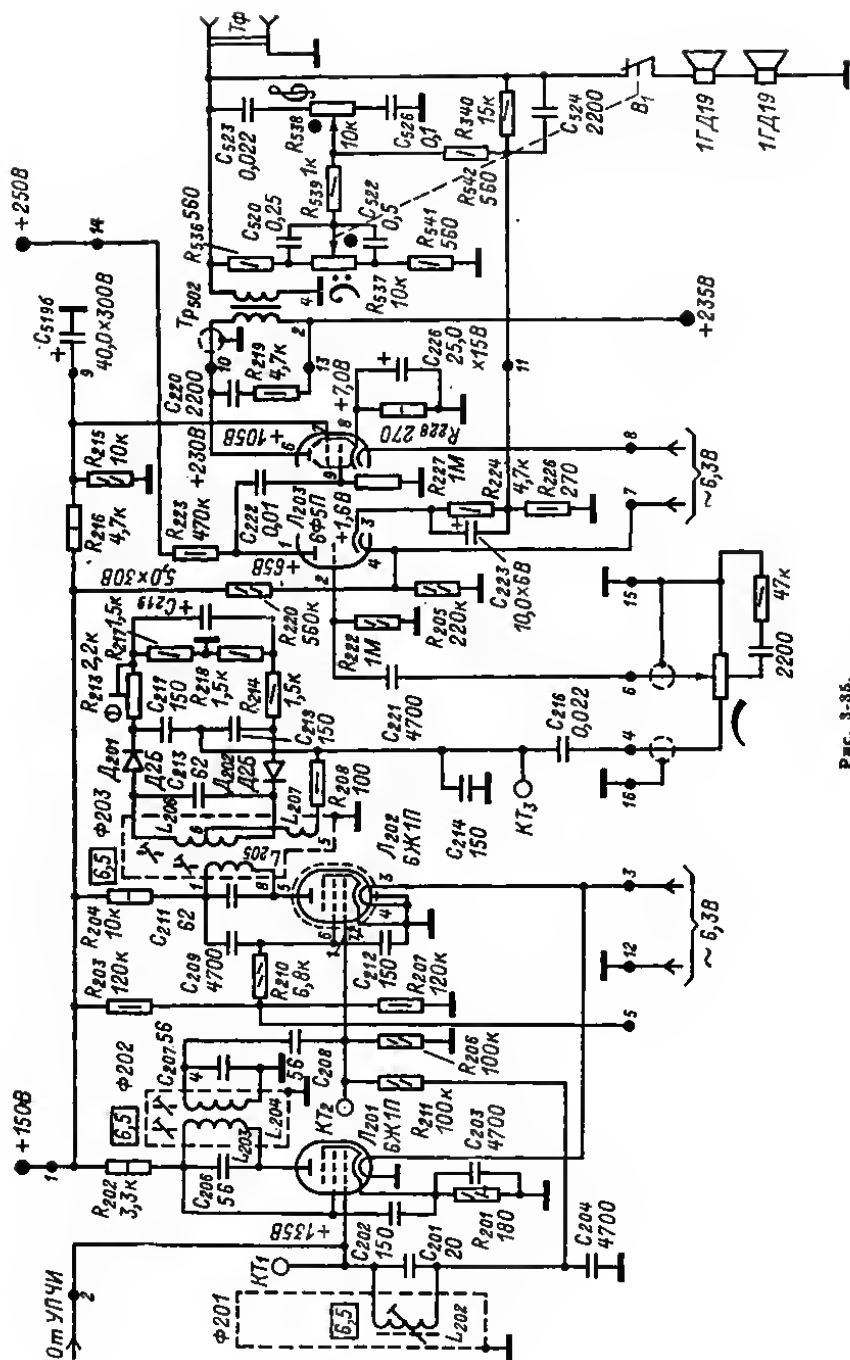
Примечание. Намотка всех катушек рядовая на полистирольных каркасах $\Phi 7,5$ мм с подстроечными сердечниками СЦР-1. Катушка L_{206} намотана в два провода. Катушка L_{207} намотана поверх катушки L_{205} . Фильтры заключены в алюминиевые экраны размером $19,5 \times 19,5 \times 43,5$ мм.

Трансформатор Tr_{202} имеет ленточный магнитопровод БЛ16 \times 25; обмотка I — 2400 витков ПЭЛ 0,15; обмотка II — 86 витков ПЭЛ 0,57.

Головки громкоговорителей 1ГД19 подключаются к выходному трансформатору УНЧ Tr_{202} . Можно применить любые динамические головки с сопротивлением звуковой катушки 6,5 Ом.

Канал УПЧЗ и УНЧ транзисторных телевизоров ППТ-23-2

Канал (см. рис. 3-29) содержит УПЧЗ на транзисторах T_{21} и T_{22} по каскодной схеме, частотный детектор с диодами D_{11} , D_{12} и трехкаскадный УНЧ на транзисторах T_{11} — T_{14} . При помощи диода D_7 осуществляется термостабилизация выходного каскада, нагруженного через автотрансформатор на головку громкоговорителя 0,5-ГД17. Амплитудно-частотная характеристика УНЧ корректируется при помощи частотно-зависимой ООС, напряжение которой подается с эмиттеров транзисторов T_{13} — T_{14} в цепь эмиттера T_{11} через цепь $R_{63}R_{61}R_{62}C_{71}$.



PIC. 3-35.

Обмотки автотрансформатора Tr_1 размещены на сердечнике $Ш4 \times 8$ из пермаллоя и содержат соответственно $220 + 150$ витков провода ПЭВ-1 0,23.

Контуры катушки заключены в экраны размерами $11 \times 11 \times 19$ мм. Контур частотного детектора и детали $R_{95} - R_{106}$ и $C_{89} - C_{95}$ заключены в экран размерами $42 \times 42 \times 22$ мм.

Блок УПЧЗ с детектором ЧМ сигналов на интегральных микросхемах серии К224

Блок выполнен с использованием частоты биений сигналов промежуточных частот 6,5 МГц (рис. 3-36). В него входят УПЧЗ, выполненный на микросхеме К2УС248, и детектор отношений на К2ДС242. Параметры блока: чувствительность не хуже 2 мВ; полоса пропускания не менее 250 кГц; уровень вы-

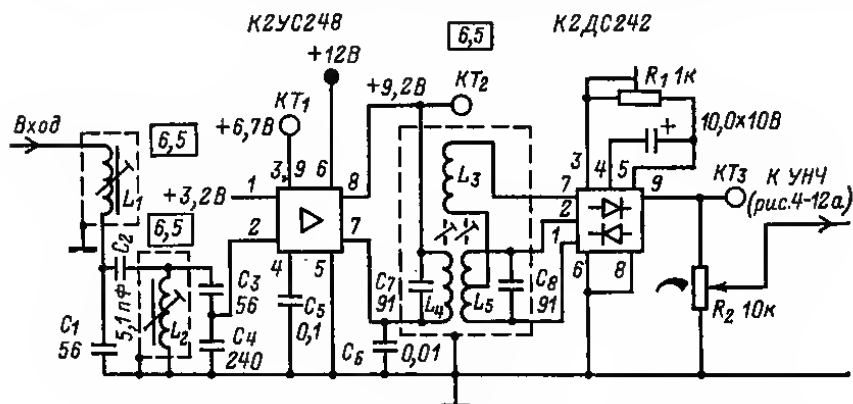


Рис. 3-36.

ходного сигнала на нагрузке детектора отношений при девиации частоты ± 50 нГц — не менее 250 мВ. Потребляемый блоком ток в режиме молчания не более 16 мА.

На входе УПЧЗ включен полосовой фильтр $L_1 C_1 C_2 L_2 C_3 C_4$, выделяющий сигнал разностной частоты 6,5 МГц. Микросхема К2УС248 обеспечивает усиление и одновременно ограничение сигнала разностной частоты.

Нагрузкой этой микросхемы является образованный катушками $L_3 - L_5$ фазовращающий трансформатор, который с микросхемой К2ДС242 образует детектор отношений. Симметрия детектора достигается подстроечным резистором R_1 .

Таблица 3-13

Данные контурных катушек блока УПЧЗ на интегральных микросхемах

Обозначение по схеме	Число витков	Провод	Обозначение по схеме	Число витков	Провод
L_1	56	ПЭВ-2 0,14	L_4	35	ПЭВ-2 0,19
L_2	56	ПЭВ-2 0,14	L_5	17×2	ПЭВ-2 0,19
L_3	15	ПЭВ-2 0,19			

Примечание. Все катушки наматывают в один слой виток к витку, L_3 — поверх L_4 , а L_5 — в два провода.

Сигнал звуковой частоты с выхода детектора через регулятор громкости поступает на вход УНЧ.

Блок монтируется на печатной плате размерами 130×50 мм. Фазовращающий трансформатор детектора отношений помещают в экран.

Печатная плата должна быть рассчитана на установку резисторов ВС-0,125 или МЛТ-0,125, подстроечного резистора СПЗ-1Б конденсаторов К10-7В и электролитических конденсаторов К50-6.

Намоточные данные катушек приведены в табл. 3-13, а конструкция каркасов катушек показана на рис. 3-32. Окк изготовлены из текстолита и заключены в экраны размерами $11 \times 11 \times 16$ мм. Для подстройки контуров используют сердечники из карбонильного железа с резьбой М4.

3-5. ВИДЕОДЕТЕКТОРЫ И ВИДЕОУСИЛИТЕЛИ

Типовые схемы видеодетекторов и видеоусилителей ламповых телевизоров

В видеодетекторе, как правило, используют точечный германиевый диод (Д2А, Д2Б и т. п.). Видеодетектор выделяет видеосигнал, которым промодулирована несущая ПЧ изобразителя. Конденсатор C_1

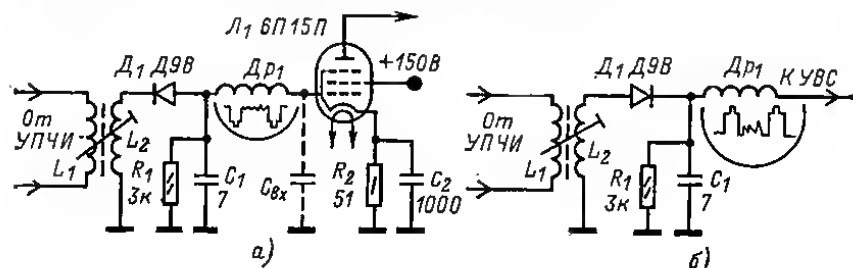
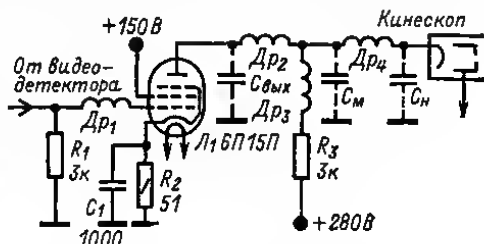


Рис. 3-37.

на выходе видеодетектора (рис. 3-37) отфильтровывает сигнал ПЧ от видеосигнала. Иногда роль этого конденсатора выполняет емкость монтажа или входная емкость следующего за видеодетектором видеоусилителя. Чтобы напряжение на этом конденсаторе успевало изменяться по закону огибающей видеосигнала, постоянная времени нагрузки видеодетектора не должна превышать $0,03$ мкс. Обычно $R = 2 \div 3$ кОм, $C = 5 \div 10$ пФ. В зависимости от полярности включения диода на выходе видеодетектора можно выделить видеосигнал положительной (рис. 3-37, б) или отрицательной полярности (3-37, а). Дроссель $Др_1$ с входной емкостью лампы $C_{вх}$ образует резонансный контур, настроенный на высшие составляющие видеосигнала, которые «заваливаются» на нагрузке детектора. Дроссель $Др_1$ осуществляет высокочастотную коррекцию видеосигнала и предотвращает проникновение сигнала ПЧ на вход видеоусилителя.

Видеоусилитель — чаще всего однокаскадный (рис. 3-38). Видеосигнал на его входе должен иметь амплитуду в несколько вольт; в этом случае нелинейные



искажения из-за нелинейности начального участка характеристики диода в видеодетекторе менее заметны. В нагрузку видеоусилителя входят выходная емкость лампы $C_{\text{вых}}$, монтажные емкости C_m и емкость цепи модулятора кинескопа C_n . Чтобы коэффициент усиления видеоусилителя не сильно уменьшался из-за шунтирующего действия этих емкостей, на верхних частотах полосы пропускания сопротивление резистора в цепи анода лампы выбирают в пределах 2—8 кОм. Кроме того, в цепь нагрузки видеоусилителя включают корректирующие дроссели Dr_2 — Dr_4 , которые вместе с указанными емкостями образуют колебательные контуры, настроенные на высшие частоты видеосигнала. Благодаря этому удается не только скорректировать падение, но даже создать некоторый подъем усиления на высоких видеочастотах.

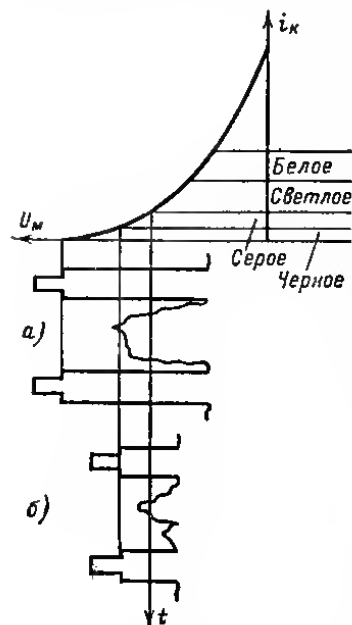


Рис. 3-39.

Чтобы при ограниченном сопротивлении резистора нагрузки получить достаточное усиление, в видеоусилителях применяют лампы с повышенной крутизной характеристики (6П15П, 6Ф4П). Для полной модуляции кинескопа достаточно напряжение видеосигнала в 40—60 В, однако амплитудная характеристика видеоусилителя с учетом старения ламп должна быть линейной до 80—100 В.

Постоянная составляющая видеосигнала передается с выхода видеодетектора до модулятора кинескопа благодаря отсутствию переходных емкостей в видеоусилителе. Необходимость передачи постоянной составляющей поясняет рис. 3-39. Если в видеосигнале, модулирующем кинескоп, отсутствует постоянная составляющая, то яркость деталей воспроизводимого изображения не будет соответствовать оригиналу. Это происходит из-за того, что уровень напряжения на модуляторе кинескопа, соответствующий черному в воспроизводимом изображении, будет меняться в зависимости от средней освещенности передаваемого изображения. В результате при передаче слабо освещенного изображения (рис. 3-39, б) черные детали будут воспроизведены как серые, а серые — как светлые. При передаче ярко освещенного изображения серые детали станут черными, а белые могут стать серыми (рис. 3-39, а).

Если постоянная составляющая видеосигнала передается без потерь вплоть до модулятора кинескопа, то однажды установленный уровень черного не меняет своего положения на характеристике кинескопа в течение всей передачи.

Видеодетектор и видеоусилитель телевизора УЛТ-61. Нагрузкой диода D_{301} видеодетектора служит резистор R_{323} и двухзвенный фильтр $Dr_{301}Dr_{302}C_{323}$ (рис. 3-25). Повышенное напряжение видеосигнала (40—60 В) на выходе видео-

усилителя, необходимое для хорошей модуляции кинескопов 61ЛК1Б, удается получить при увеличении до 8,2 кОм сопротивления резистора R_{334} анодной нагрузки видеоусилителя. Чтобы в этом случае получить полосу пропускания 5,2 МГц, применена сложная схема коррекции с дросселями $Др_{303} - Др_{305}$ и $Др_{302}$. Контрастность регулируется потенциометром R_{329} (см. стр. 252). Элементы $Др_{308}$, C_{511} , R_{330} , R_{345} и R_{351} входят в цепь гашения луча кинескопа после выключения телевизора (см. стр. 254).

Типовые схемы видеодетекторов и видеоусилителей транзисторных телевизоров

Видеодетекторы в транзисторных телевизорах выполняют по тем же схемам, что и в ламповых, однако, из-за того что на вход транзисторного видеоусилителя необходимо подать сигнал с амплитудой всего несколько десятых вольта (обуславливается характеристиками транзисторов), в видеодетекторе в этом случае применяют полупроводниковые диоды, обеспечивающие близкое к линейному детектирование столь малых сигналов (например, $Др_{311}$).

Большое внимание приходится уделять согласованию нагрузочного сопротивления детектора с относительно низким входным сопротивлением транзистора в видеоусилителе. По этой причине между видеодетектором и усилительным каскадом включают эмиттерный повторитель, не дающий усиления по напряжению, но выполняющий роль трансформатора сопротивлений (рис. 3-40). Входное сопротивление эмиттерного повторителя на транзисторе T_1 в h_{213} раз больше его сопро-

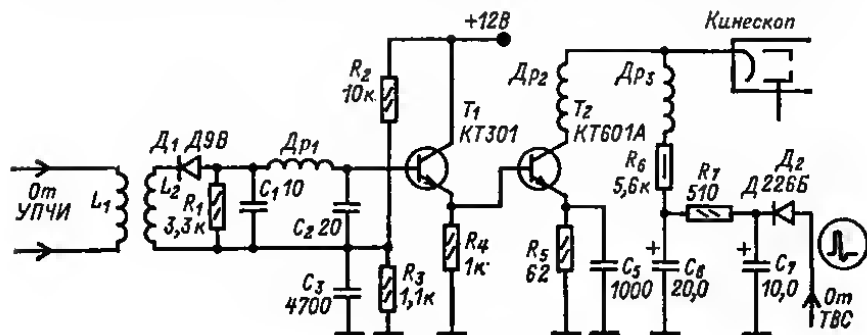


Рис. 3-40.

твления нагрузки R_4 , и это дает возможность исключить шунтирование нагрузки видеодетектора низким входным сопротивлением видеоусилителя (транзистор T_2).

Видеоусилитель обычно содержит один каскад на транзисторе T_2 (рис. 3-40), включенном по схеме ОЭ, и должен развивать выходное напряжение с амплитудой в несколько десятков вольт.

Хотя для транзисторных телевизоров разработаны кинескопы, для модуляции которых достаточно напряжение видеосигнала с амплитудой 20—40 В, в видеоусилителях приходится применять специальные транзисторы, которые могут работать при напряжении на коллекторе 50—100 В. В переносных транзисторных телевизорах, где напряжение питания всех остальных транзисторов обычно равно 12 В, для питания видеоусилителя используют напряжение, полученное от отдельного импульсного выпрямителя на диоде D_2 , подключенного к повышающей обмотке ТВС.

В транзисторных телевизорах модулирующий сигнал всегда подают на катод кинескопа, так как в этом случае изменяется разность потенциалов между модулятором и первым анодом кинескопа. При подаче сигнала на модулятор изменяется разность потенциалов между модулятором и катодом, а между катодом и первым

виодом — не изменяется. Глубина модуляции в первом случае на 20—25% выше, чем во втором, и от видеоусилителя требуется меньшее выходное напряжение.

Видеодетектор и видеоусилитель транзисторных телевизоров ППТ-23-2. После видеодетектора на диоде D_0 имеется двухкаскадный видеоусилитель (рис. 3-29). Первый его каскад — на транзисторе T_9 по схеме с ОК для видеосигнала и по схеме с ОЭ для сигнала разностной частоты звука, который выделяется на контуре $L_{65}C_{58}$ и через конденсатор C_{57} подается на вход УПЧЗ. Режекторный контур $L_{66}C_{59}$ предотвращает попадание разностной частоты на вход второго каскада видеоусилителя на транзисторе T_{10} по схеме с ОЭ и сложной коррекцией АЧХ (рис. 3-30, б) при помощи дросселей Dp_3 и Dp_4 . Усиленный видеосигнал через конденсатор C_{64} подается на катод кинескопа L_1 . Контрастность изображения регулируется изменением глубины ООС при помощи переменного резистора R_{61} в цепи эмиттера транзистора T_{10} .

3-6. ЯРКОСТНЫЙ КАНАЛ ЦВЕТНОГО ТЕЛЕВИЗОРА

Требования к яркостному каналу

Выходное напряжение яркостного канала, необходимое для модуляции лучей цветного кинескопа, должно быть не менее 80—110 В, полоса пропускания — не менее 5,8 МГц с неравномерностью, не превышающей ± 3 дБ относительно уровня на частоте 1 МГц; степень подавления цветовых поднесущих и разностной частоты в яркостном канале должна превышать 18 дБ, а коэффициент нелинейных искажений должен быть менее 15%. В яркостном канале, видеоусилитель которого обычно состоит из 2—3 каскадов, необходимо обеспечить передачу или восстановление постоянной составляющей, играющей важную роль в получении правильной цветопередачи. Так как непосредственную передачу постоянной составляющей в 2—3 каскадном видеоусилителе осуществить трудно, то чаще применяют цепь восстановления постоянной составляющей или цепи привязки уровня черного (см. стр. 252).

Транзисторно-ламповый видеоусилитель яркостного канала

Из-за необходимости получить на выходе яркостного канала большую амплитуду усиленного видеосигнала, оконечный каскад проще выполнить на электронной лампе. Применение транзистора в оконечном каскаде связано с необходимостью защиты его от высоковольтных разрядов, которые происходят в катодной цепи кинескопа. Каскады предварительного усиления можно выполнить на транзисторах (рис. 3-41). Сигнал с выхода видеодетектора на диоде D_1 подается в положительной полярности на базу транзистора T_1 , работающего в первом каскаде усиления с разделенными нагрузками. С эмиттерной нагрузки этого транзистора видеосигнал без потери постоянной составляющей подается в цепь АРУ. В коллекторную цепь включена линия задержки LZ_1 на 0,7 мкс. Резисторы R_4 и R_6 являются согласующими нагрузками линии. На входе и на выходе линии задержки включены режекторные контуры $L_3C_3L_4C_5$ и L_5C_6 , настроенные на полосу частот цветовых поднесущих, и на разностную частоту 6,5 МГц, которые и осуществляют необходимое подавление сигналов этих частот.

Транзистор T_2 работает в эмиттерном повторителе, нагрузкой его является переменный резистор R_{16} — регулятор контрастности. Резистор R_{13} в коллекторной цепи транзистора уменьшает входную емкость повторителя, которая включена параллельно нагрузочному резистору линии задержки и может ухудшить согласование с ней. Сигнал постоянного уровня на амплитудный селектор синхронимпульсов снимается до регулятора контрастности.

В цепи управляющей сетки лампы L_1 — оконечного каскада включена цепь восстановления постоянной составляющей и привязки к уровню синхронимпульсов D_3 (см. стр. 252). Переменным резистором R_{17} изменяют напряжение смещения

Индуктивность дросселей Dr_1 и Dr_2 соответственно 100 и 200 мкГ, а индуктивность катушек L_3 и L_4 по 100 мкГ.

В яркостном канале можно использовать линию задержки промышленного производства ЛЗЦТ-0,7/1500. При этом сопротивление резисторов R_4 и R_8 должно быть равно 1,5 кОм. Если в качестве линии применить отрезок кабеля задержки типа РКЗ-1201 длиной 35 см, то сопротивление резисторов R_4 и R_8 надо уменьшить до 1,2 кОм. Можно использовать кабель задержки РКЗ-401 длиной 110 см ($R_4 = R_8 = 430$ Ом) и кабель РКЗ-1601 длиной 60 см ($R_4 = R_8 = 1,6$ кОм).

Самодельная линия задержки с сосредоточенными постоянными (рис. 3-42, а) содержит 16 катушек индуктивности и 15 конденсаторов. Катушки наматывают на каркасе 1 (рис. 3-42, б), выточенном на токарном станке из эбонита или текстолита. Выводы катушек и конденсаторов припаивают к шпилькам из луженого провода 2, вбитым в отверстия на каркасе между катушками. К толстому луженому проводу 3, расположенному на расстоянии 20 мм, вдоль всего каркаса припаивают заземленные выводы конденсаторов 4. Сопротивление резисторов R_4 и R_8 (на рис. 3-42 — 390—470 Ом) подбирают, добиваясь наиболее четкого изображения испытательной таблицы — без окантовок, теней и повторных контуров около тонких вертикальных линий. Если задержка велика или мала, то цветные пятна на изображении сдвинутся относительно границ раскрашиваемых деталей вправо или влево. В этом случае контуры L_5C_6 и L_4C_5 (рис. 3-41) подключают к выводам от последних секций линии и добиваются совмещения цветных пятен и деталей изображения.

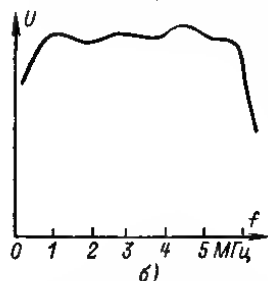
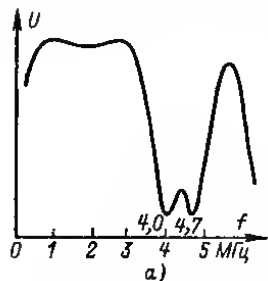


Рис. 3-43.

Применение микросхемы К2УБ242 в видеоусилителе яркостного канала

В микросхеме К2УБ242 (см. рис. 12-81), применяемой в предварительном видеоусилителе, содержатся два каскада, один из которых использован в схеме с ОК, а другой в схеме с ОЭ. Благодаря такому включению видеоусилитель обладает высоким входным сопротивлением, не являющимся до-

полнительной нагрузкой для видеодетектора с диодом D_4 (рис. 3-31). Оконечный каскад усиления яркостного сигнала подключается к выходу микросхемы через согласующий каскад по схеме с ОК на транзисторе T_5 .

С микросхемы видеосигнал поступает на блок цветности и АРУ (транзисторы T_2 и T_3). Нагрузкой микросхемы служит линия задержки ЛЗ₁ на 0,7 мкс. До и после линии задержки включены режекторные контуры $C_{35}L_{11}$ и $C_{38}L_{12}$, ослабляющие сигналы цветности поднесущих частот, которые для яркостного канала являются помехами. Такая режекция приводит к потере четкости изображения, особенно при приеме черно-белого изображения, поэтому предусмотрена возможность автоматического выключения режекторных контуров. Это осуществляется при помощи ключевого каскада, собранного на транзисторе T_4 . На его базу поступает открывающее или закрывающее напряжение с блока цветности. В результате при открытом транзисторе режекторные контуры оказываются подключенными к линии задержки через малое сопротивление насыщенного транзистора и ослабляют сигналы соответствующих частот. Если же транзистор закрыт, то контуры отключены и ослабления сигналов не происходит.

Задержанный видеосигнал через эмиттерный повторитель на транзисторе T_6 и регулятор контрастности поступает на оконечные каскады видеоусиления в блок

формирования сигналов RGB. В цепь базы этого транзистора включен режекторный контур $L_{10}C_{37}$, настроенный на разностную частоту звука 6,5 МГц. Сквозная АЧХ предварительного видеоусилителя приведена на рис. 3-43, а, с отключенными режекторными контурами — на рис. 3-43, б.

В качестве линии задержки ЛЗ₁ можно использовать линию промышленного производства ЛЗЦТ-0,7/1500 или самодельную, изготовленную по рекомендации на стр. 204.

3-7. БЛОК ЦВЕТНОСТИ ЦВЕТНОГО ТЕЛЕВИЗОРА

Блок цветности любительского цветного телевизора можно выполнить без линии задержки и осуществить декодирование сигналов цветности без их запоминания. В этом случае красный и синий цвета будут появляться на экране, чередуясь через строку, а все остальные образуются за счет пространственного смешивания цветов двух соседних строк и зрительной памяти глаза. Цветные детали будут раскрашиваться как бы вдвое более редкими штрихами. Уменьшение видимой цветовой насыщенности можно компенсировать увеличением модуляции лучей кинескопа. Более мелкие неокрашенные детали изображения будут воспроизводиться с полным числом строк развертки, и общая четкость по вертикали не уменьшается.

После декодирования сигналы E'_{R-Y} и E'_{B-Y} появляются поочередно: в течение одной строки на выходе матрицы образуется сигнал $E'_{G-Y} = -0,59E'_{R-Y} + 0$, а в течение другой $E'_{G-Y} = 0 + 19E'_{B-Y}$. Эти сигналы и сигнал E'_Y подаются на модулятор и катод прожектора кинескопа, который в результате будет промодулирован сигналами E'_G и E'_G . В глазу благодаря зрительной памяти и эффекту пространственного смешения происходит сложение информации от этих сигналов $E'_G + E'_G = E_G$ и вся информация о зеленом цвете воспроизводится правильно.

Контур на входе блока, образованный элементами L_2C_3 с входной емкостью пентода Л₁ (рис. 3-44), вместе с контуром L_3C_8 анодной цепи этой лампы формирует колоколообразную АЧХ каскада, необходимую для коррекции ВЧ предыскажений (рис. 3-45). Усиленные полосовым усилителем (пентод Л₁) сигналы цветности через ограничитель с диодами Д₄, Д₅ и Д₁₃, Д₁₄ поступают на управляющие сетки пентодов Л₂ и Л₅, работающих в коммутируемых усилителях цветовых поднесущих.

Переменным резистором R_{48} регулируют порог ограничения сигналов и цветовую насыщенность изображения. Переменным резистором R_{44} дифференциально изменяется ограничение цветовых поднесущих и регулируется верность воспроизведения цветового изображения.

Кроме сигналов цветности на управляющие сетки пентодов Л₂ и Л₅ через конденсаторы C_{29} и C_{31} и резисторы R_{16} и R_{51} поступают коммутирующие импульсы от симметричного триггера на лампе Л₃. Перевод триггера из одного устойчивого состояния в другое осуществляется отрицательными импульсами обратного хода строки развертки, которые поступают на сетки лампы Л₃ через конденсатор C_{27} и диоды Д₁₀ и Д₁₁ и запирают открытый триод. Изменяя емкость C_{27} , устанавливают амплитуду импульсов, поступающих на сетки Л₃, такой, чтобы обеспечить устойчивую работу триггера.

В анодные цепи пентодов Л₂ и Л₅ включены контуры частотных детекторов с диодами Д₇, Д₈ и Д₁₆, Д₁₇. Наклон характеристики (рис. 3-46) частотного детектора сигнала E_{R-Y} иной, чем у детектора сигнала E'_{B-Y} . Это достигается обратным включением диодов Д₇, Д₈.

Требуемая стабильность нулевых точек частотных детекторов обеспечивается применением в их контурах керамических конденсаторов C_{19} и C_{43} с отрицательными ТКЕ (красной окраски) и подстроечных конденсаторов КПКМ также с отрицательными ТКЕ. Дроссели Dp_3 и Dp_4 не пропускают на сетки триодов Л₂ и Л₅ сигналы поднесущих частот f_B и f_R .

Через резисторы R_{26} , R_{60} , R_{67} постоянная составляющая цветоразностных сигналов подается на модуляторы кинескопа. Для достижения требуемой при этом стабильности усилителей в цепь катодов триодов L_2 и L_5 включены стабили-

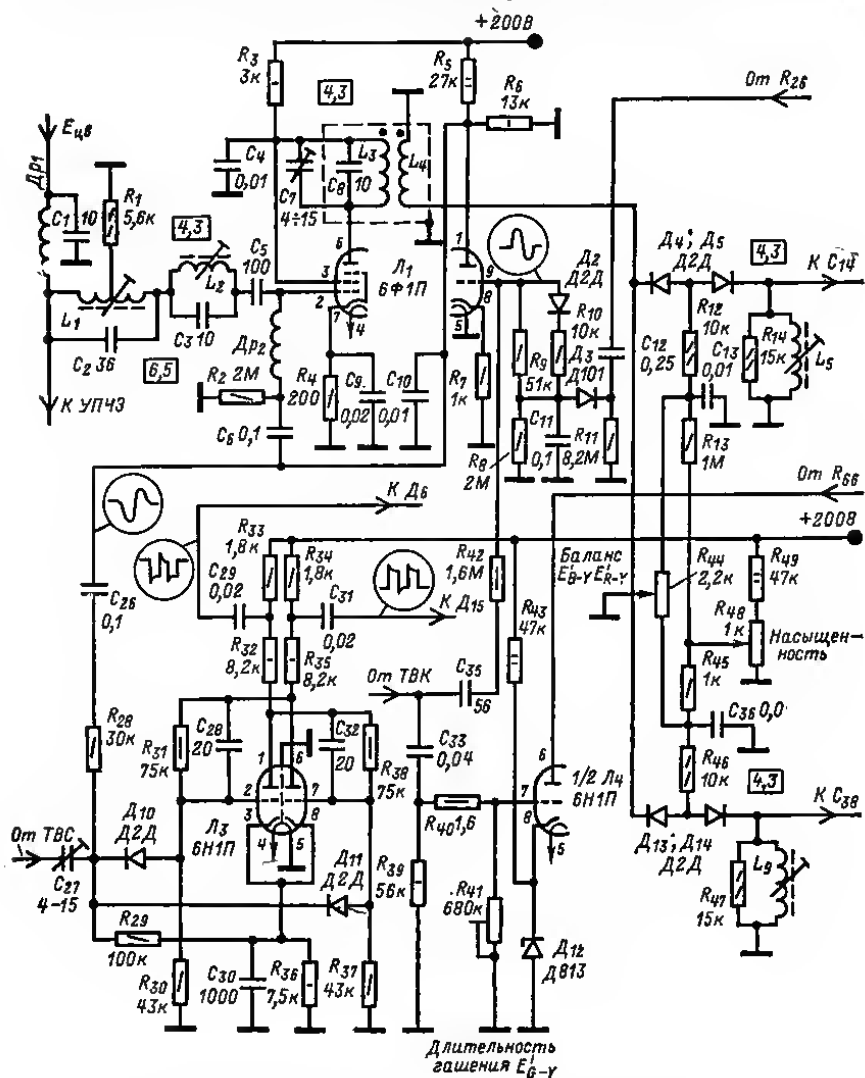
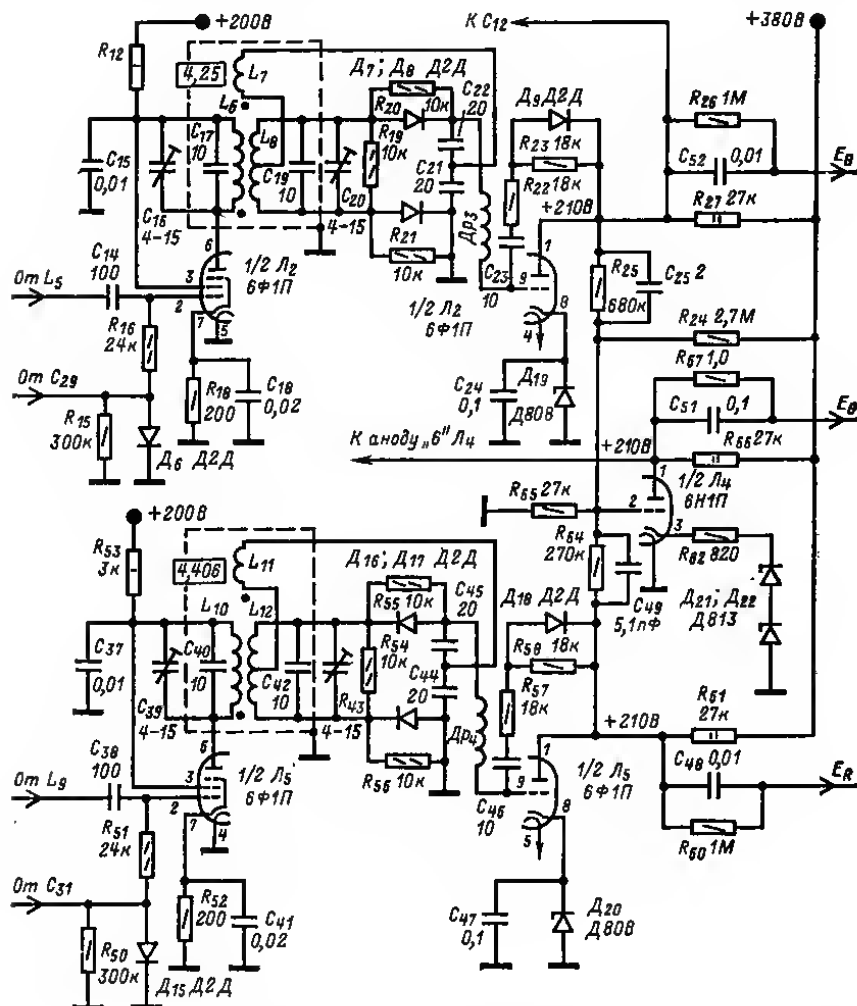


Рис.

троны D_{19} и D_{20} . Резисторы R_{25} , R_{64} , R_{65} матрируют сигналы E'_{G-u} и E''_{G-u} , которые усиливаются правым по схеме триодом L_4 . Левый триод L_4 используется в схеме гашения части строк, которые могут подсвечиваться импульсами опознавания, имеющими на аноде правого триода L_4 положительную полярность. С этой

целью на сетку левого триода подаются импульсы обратного хода кадровой развертки, а его анод подключен к анодной нагрузке правого триода.

Передний фронт положительных импульсов усиливаемых цветоразностных сигналов формируется за счет заряда паразитной емкости нагрузки через резис-



3-44.

торы R_{27} и R_{81} , а отрицательный задний — за счет разряда через внутренние сопротивления триодов L_2 и L_5 . Чтобы повысить крутизну положительного фронта импульсов, в цепи ООС в усилителях сигналов E_B и E_R включены диоды D_9 и D_{18} , которые меняют степень обратной связи для этого фронта.

Катушки $L_3, L_4, L_6 - L_8$ и $L_{10} - L_{12}$ наматывают в одну сторону виток к витку проводом ПЭЛШО 0,1 на каркасах $\varnothing 12$ мм и заключают в экраны размерами $35 \times 35 \times 45$ мм; L_3 и L_4 содержат по 80 витков, намотанных в два провода, полуобмотки катушек L_6 и L_{12} наматывают в два провода и соединяют последовательно. Катушки L_2, L_5 снабженные карбоклиньком сердечниками, и дроссел Dr_2 к Dr_4 наматывают проводом ПЭЛШО 0,1 на секционированных каркасах (рис. 3-48, а); L_2, L_5, L_9 содержат 4 секции по 27 витков; $Dr_2 - Dr_4 - 4 \times 120$ витков, L_6 и L_{12} содержат по 2×19 , L_7 и L_{11} по 12, а L_8 и L_{10} по 60 витков (на рис. 3-48, б $L_6 - L_8$ обозначены как $L_5 - L_7$).

Блок цветности на микросхемах серии К224

Блок цветности (рис. 3-49) содержит каналы прямого и задержанного сигналов, электронный коммутатор с симметричным триггером, каналы «синего» и «красного» сигналов, селектор сигналов цветной синхронизации к устройству опознавания.

На блок цветности поступает сигнал с отдельного видеодетектора или отделенный от сигнала E'_y из канала яркости. Фильтр L_1C_3 на входе блока обеспечивает коррекцию ВЧ предискажений, введенных на телецентре. В канале прямого сигнала происходит усиление сигнала изображения в предварительном усилителе и ограничение в усилителе-ограничителе на микросхеме MC_1 . (Вывод 6 этой МС должен быть соединен не только с выводом 3 MC_2 , но также с выводом 1 MC_7 .)

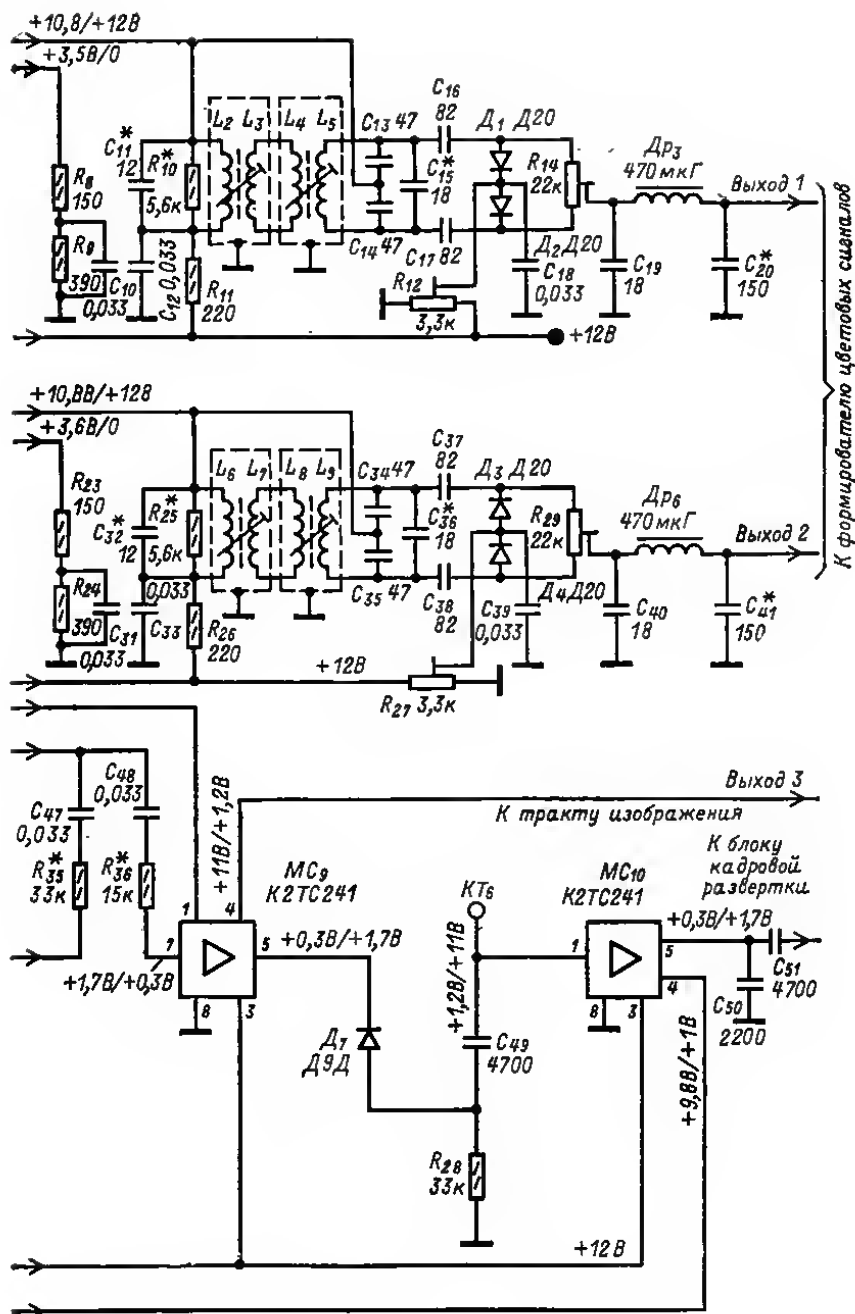
Далее прямой сигнал подается на электронный коммутатор на микросхемах MC_2 и MC_5 , в канал задержанного сигнала — MC_4 к селектору сигналов цветовой синхронизации MC_7 . Часть MC_4 используется в согласующем каскаде, обеспечивающем согласование сопротивлений прямого канала и линии задержки, которая задерживает сигнал на время 63,8 мкс, почти равное длительности строки. Задержанный сигнал через усилитель на второй части MC_4 подается на электронный коммутатор, работой которого управляет симметричный триггер на микросхеме MC_8 , переключаемый импульсам, поступающим из блока строчной развертки.

Электронный коммутатор разделяет «синий» и «красный» цветоразностные ЧМ сигналы. Первый из них через усилитель-ограничитель и усилитель на MC_3 подается на частотный дискриминатор с диодами D_1 и D_2 , а второй через аналогичные каскады на MC_6 — на дискриминатор с диодами D_3 и D_4 . Оба выделенных каскада выходных дискриминаторов цветоразностных сигналов поступают в формирователи цветовых сигналов RGB .

Предварительный усилитель-ограничитель и селектор на микросхеме MC_7 служат для выделения радиоимпульсов цветовой синхронизации. Так как они передаются во время кадрового гасящего импульса, селектор открывается только на этот промежуток времени импульсам, поступающим с триггера кадровых импульсов на микросхеме MC_{10} .

Радикомпульсы детектируются в амплитудном детекторе на диоде D_5 и на его выходе появляются импульсы цветовой синхронизации. Эти импульсы подаются на симметричный триггер коммутатора и корректируют его работу так, чтобы «синий» и «красный» цветоразностные сигналы поступали в свои каналы, а не наоборот. Кроме того, импульсы цветовой синхронизации поступают на каскад опознавания сигналов цветности на MC_9 , изменяя его состояние. При этом на усилителе цветоразностных сигналов в MC_3 к MC_6 подается открывающее их напряжение. Оно также подается на ключевой каскад в предварительном видеоусилителе, который подключает режекторные контуры, ослабляющие сигналы цветности в яркостном канале (рис. 3-31). Это улучшает качество цветного изображения.

Контур $L_{11}C_{25}$ настроен на частоту 3,9 МГц, лежащую в области девиации «синей» поднесущей сигнала опознавания. Детектор на диоде D_5 выделяет пять



видеоимпульсов, которые и используются для коррекции фазы переключения электронного коммутатора. Для повышения надежности коррекции фазы на выходе усилителя-ограничителя селектора включен режекторный фильтр Dr_7C_{44} , настроенный на частоту, лежащую в области девиации «красной» поднесущей сигнала опознавания (4,75 МГц).

Автоматическое открывание блока цветности производится устройством опознавания цветовых сигналов, собранным на MC_9 и представляющим собой триггер, аналогичный триггеру кадровых импульсов (MC_{10}). Импульсами кадровой частоты через дифференцирующую цепочку $C_{45}R_{25}$ и диод D_7 устройство опознавания устанавливается в такое устойчивое состояние, при котором напряжение 9,8 В с вывода $1 MC_9$ подается на базы ключевых транзисторов MC_3 и MC_9 . Эти транзисторы, открывшись, замыкают на общий провод базы транзисторов, нагруженных контурами L_2C_{11} и L_9C_{32} , тем самым закрывая каналы цветности.

Сигналы цветовой синхронизации после амплитудного детектора поступают также на вход 7 микросхемы MC_9 устройства опознавания. Они устанавливают устройство во второе устойчивое состояние, в результате чего на базе транзисторов $T_3 MC_3$ и MC_9 оказывается напряжение, при котором блок цветности открыт. При приеме черно-белого изображения сигналы цветовой синхронизации отсутствуют, поэтому блок цветности оказывается закрытым.

Блок можно смонтировать на плате размерами 150×115 мм из фольгированного стеклотекстолита. Все катушки блока наматывают на каркасах, чертеж которых приведен на рис. 3-32. Намотка — рядовая, виток к витку (катушки L_2, L_5, L_8, L_9 в два слоя). Катушки $L_3, L_4, L_7, L_8, L_{11}, L_{12}$ наматывают соответственно поверх катушек $L_2, L_5, L_6, L_9, L_{10}, L_{13}$ на их середине. Подстроечные сердечники $\varnothing 4$ мм выполнены из карбонильного железа, экраны катушек имеют размеры $11 \times 11 \times 19$ мм. Катушка L_1 содержит 40, а катушки L_{10} и L_{13} имеют по 80 витков ПЭВ-2 0,23. Катушки L_2, L_5, L_6 и L_9 содержат по 100, а $L_3, L_4, L_7, L_8, L_{11}$ и L_{12} — по 10 витков ПЭВ-2 0,19. Катушка L_{13} имеет 50 витков ПЭВ-2 0,14. Резистор R_{20} устанавливают на передней панели телевизора, конденсатор C_{29} монтируют на выводах этого резистора.

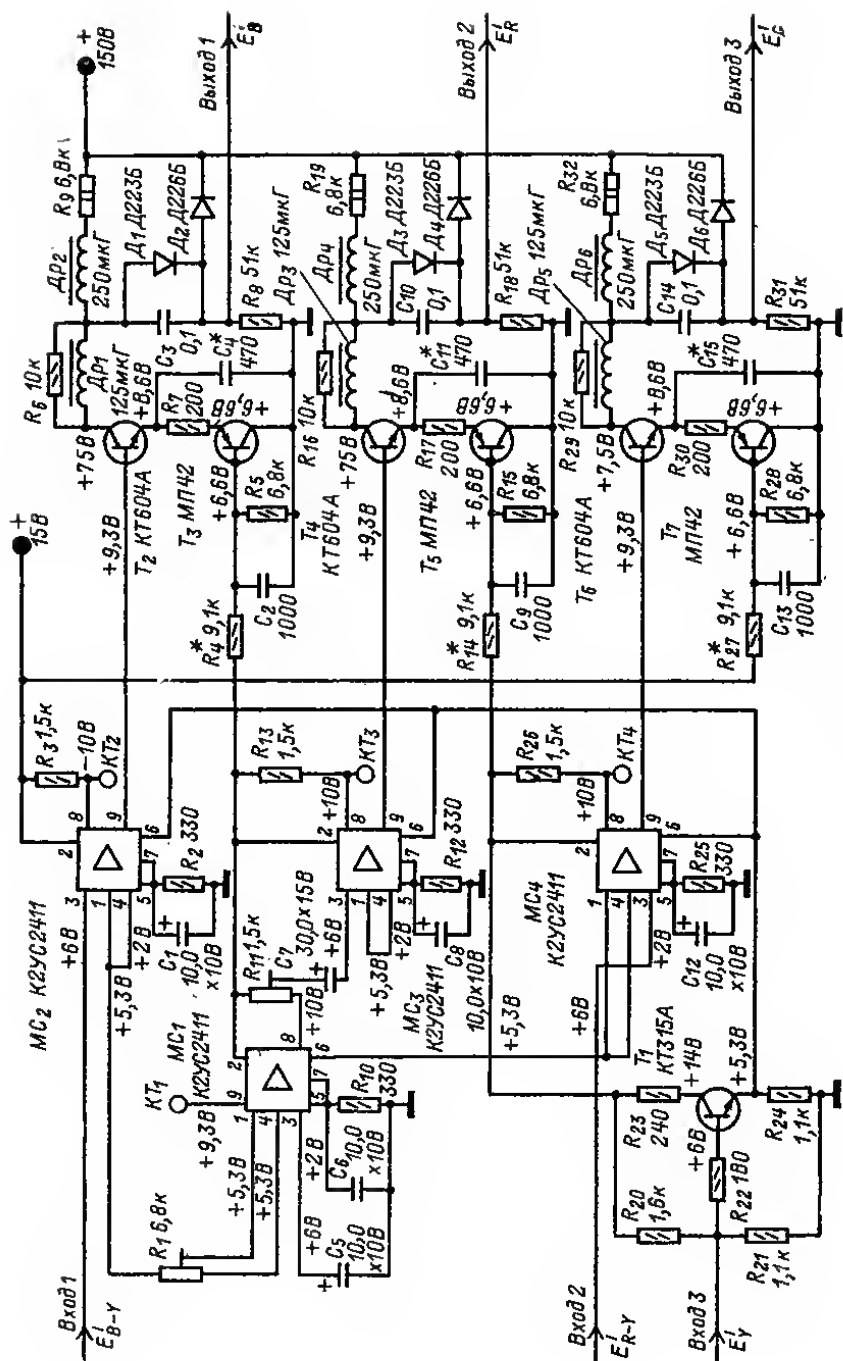
Блок формирования и усиления видеосигналов для цветного телевизора на микросхемах серии К224

В блоках цветных телевизоров на электронных лампах получение (матрицирование) трех основных цветов RGB осуществляется в самом кинескопе, для чего на модуляторы из блока цветности поступают «синий», «зеленый» и «красный» цветоразностные сигналы, а на катоды — яркостный сигнал. Правильность матрицирования проверяют визуально, по изображению, получаемому на экране телевизора. Но можно три основных цветовых сигнала RGB получить до их подачи на кинескоп. Величина сигналов, подаваемых в этом случае на кинескоп, на 20% меньше, чем при матрицировании в кинескопе. Кроме того, регулировку яркости можно производить отдельно от регулировки контрастности, изменяя потенциалы на модуляторах кинескопа.

Схема узла формирования, собранного на четырех одинаковых матрицах $MC_1 - MC_4$, показана на рис. 3-50. В формирователь из блока цветности поступают цветоразностные «синий» и «красный» сигналы (вход 1 и 2 соответственно) и яркостный сигнал (вход 3). Матрица MC_1 служит для получения третьего цветоразностного «зеленого» сигнала, а матрицы $MC_2 - MC_4$ — для формирования основных цветовых сигналов, для чего, кроме цветоразностных сигналов, на них через эмиттерный повторитель на транзисторе T_1 подается яркостный сигнал.

Полученные в матрицах цветные сигналы усиливаются выходными видеоусилителями на транзисторах $T_2 - T_7$ и поступают на катоды кинескопа.

Выходные видеоусилители цветных сигналов построены по одинаковой схеме, поэтому рассмотрим, например, канал «синего» сигнала, собранного на транзисторе T_2 . Для формирования необходимой АЧХ в нагрузку оконечных усили-



телей включены дроссели $Dr_1 - Dr_6$, а для получения равномерного усиления на низших и высших частотах спектра видеосигнала в эмиттерную цепь транзисторов T_2 , T_4 и T_6 введены транзисторы T_3 , T_5 и T_7 . Подбирая сопротивления резисторов R_4 , R_{14} и R_{27} , можно установить наиболее благоприятный режим работы оконечных усилителей.

На выходе усилителей включены защитные цепи, состоящие из диодов $D_1 - D_6$, которые служат для защиты транзисторов и микросхем от высоковольтных разрядов в цепи модулирующих электродов кинескопа, подключаемых к выходам 1—3.

Блок можно смонтировать на печатной плате размерами 105×115 мм. В блоке применяют резисторы МЛТ-2 (R_9 , R_{19} , R_{32}) и МЛТ-0,25 (все остальные), подстроечные резисторы СПЗ-1Б, электролитические конденсаторы К50-6, конденсаторы КМ или КЛГ. Транзисторы выходных каскадов крепят на дополнительной плате, выполненной также из фольгированного гетинакса, которая служит для экранирования выходов блока от его входов; в противном случае выходные сигналы большой мощности могут создать помехи на входе блока, что приведет к значительным искажениям цветов на экране телевизора. Транзисторы КТ604А снабжены радиаторами, которые должны быть изолированы от фольги платы.

3-8. УСТРОЙСТВА СИНХРОНИЗАЦИИ И РАЗВЕРТКИ ИЗОБРАЖЕНИЯ

Селекторы импульсов синхронизации

Селекторы импульсов синхронизации на лампах. Амплитуда синхроимпульсов составляет 25% максимального размаха полного телевизионного сигнала. Так как для получения изображения нормальной контрастности на модулирующий электрод кинескопа подается видеосигнал амплитудой 40—60 В, то амплитуда синхроимпульсов в полном сигнале составляет 10—15 В. В телевизорах, где селекторы выполнены на электронных лампах, напряжение полного телевизионного сигнала с синхроимпульсами положительной полярности с выхода видеоусилителя подается на управляющую сетку пентода (рис. 3-51, а). Напряжение на его экранирующей сетке и на аноде выбирается небольшим. При этом анодный ток прекращается при отрицательном напряжении на управляющей сетке $U_{c1} \leq 7,5 \div 10$ В. Положительные импульсы синхронизации вызывают появление сеточных токов, которые заряжают конденсатор C_1 до напряжения, равного амплитуде полного видеосигнала. Благодаря этому пентод оказывается закрытым этим напряжением и открывается только синхроимпульсами, амплитуда которых превышает напряжение отсечки. В анодной цепи пентода L_1 получаются импульсы тока, соответствующие импульсам синхронизации (рис. 3-51, б).

Постоянная времени цепи $R_1 C_1$ имеет большую величину, с тем чтобы напряжение на обкладках конденсатора C_1 и на управляющей сетке пентода не уменьшалось в промежутках между синхроимпульсами. При этом импульсные помехи, превышающие по амплитуде синхроимпульсы, создадут сеточный ток, который зарядит конденсатор C_1 до большого отрицательного напряжения, и пока конденсатор не разрядится, лампа будет залерта. Поэтому ряд синхроимпульсов не воспроизводится в анодной цепи и синхронизация может нарушиться. Для того чтобы избежать этого, в цепь управляющей сетки пентода L_1 включена цепь из резистора R_2 и конденсатора C_2 . Емкость этого конденсатора значительно меньше емкости конденсатора C_1 . Поэтому во время действия импульсов помех с большой амплитудой конденсатор C_2 заряжается и разряжается через резистор R_2 значительно быстрее конденсатора C_1 . В результате сразу же после окончания помехи на управляющей сетке лампы устанавливается нормальное смещение.

С выхода селектора отделенные от видеосигнала синхроимпульсы поступают на цепи разделения $R_6 C_4$ и $C_5 R_7$.

Цепи разделения синхроимпульсов. Чтобы использовать синхроимпульсы для синхронизации генераторов развертки луча кинескопа по строкам и по кадрам — необходимо разделить их на строчные и кадровые. Отделение кадровых синхроимпульсов, имеющих большую длительность, производится интегрирующей цепью R_6C_4 . Ее постоянная времени выбирается такой, что за время кадрового синхроимпульса 2 конденсатор C_4 успевает зарядиться (накопить заряд) через резистор R_6 почти до полного напряжения U_2 (рис. 3-51, а и г), а за более короткое время строчного синхроимпульса 1 заряд конденсатора оказывается малым (U_1). В результате на **Выходе 2** интегрирующей цепи выделяются импульсы кадровой синхронизации (рис. 3-51, г).

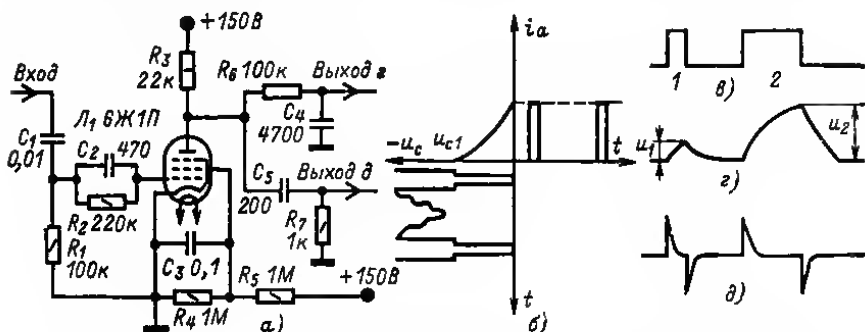


Рис. 3-51.

Для выделения импульсов строчной синхронизации служит дифференцирующая цепь, состоящая из конденсатора C_5 и резистора R_7 . Конденсатор C_5 быстро заряжается во время прихода синхроимпульса и также быстро разряжается после его окончания. В результате ток заряда и разряда конденсатора C_5 создает падение напряжения на резисторе R_7 (**Выход д**) в виде укороченных импульсов (рис. 3-51, д), которые и используются для синхронизации генератора строчной развертки.

Иногда после селектора до цепей разделения синхроимпульсов или после одной из них включают усилительный каскад на триоде, в котором происходит дополнительное ограничение синхроимпульсов, а также изменяется их полярность. Если такой каскад включить после одной из цепей разделения, то влияние генераторов развертки друг на друга, возникающее через цепи разделения, устраняется.

Селекторы импульсов синхронизации на транзисторах. Селекторы на транзисторах содержат 2—4 каскада. Уровень помех при приеме на встроенную в телевизор антенну в условиях города бывает очень высок. Поэтому перед каскадом, в котором происходит отделение синхроимпульсов, включают один или два каскада, предварительно ограничивающих сигнал и помехи. Иногда после отделения синхроимпульсы усиливаются и ограничиваются в дополнительных каскадах, входящих в схему селектора.

Схема каскада, в котором происходит отделение синхроимпульсов, приведена на рис. 3-52. Этот каскад можно использовать в качестве селектора в любительских телевизорах на транзисторах. При отсутствии сигнала на входе транзистор заперт, так как на его базу напряжение смещения не подается. Во время действия синхроимпульсов отрицательной полярности, содержащихся во входном сигнале, транзистор открывается, в цепи базы протекает ток, заряжающий конденсатор C_1 , и к базе транзистора оказывается приложенным положительное напряжение, до которого заряжается конденсатор. В результате ток в цепи коллектора протекает лишь во время открывания транзистора вершинами синхроним-

пульсов, и на резисторе R_3 появляются синхроимпульсы, отделенные от видеосигнала.

Для уменьшения влияния импульсных помех в цепь базы транзистора включена цепь R_1C_2 . Резистор R_4 необходим для того, чтобы большая входная емкость селектора не шунтировала нагрузку видеосигнала. Кроме того, резисторы R_4 , R_1 и R_2 составляют делитель, понижающий напряжение сигнала, приложенного к базе транзистора. Благодаря этому предотвращается пробой перехода база — эмиттер положительным напряжением, имеющимся на конденсаторе C_1 , которое при отсутствии делителя может превысить допустимую величину. Цепи R_5C_3 и C_4R_6 , так же как и в схеме на рис. 3-51, служат для разделения синхроимпульсов на строчные и кадровые.

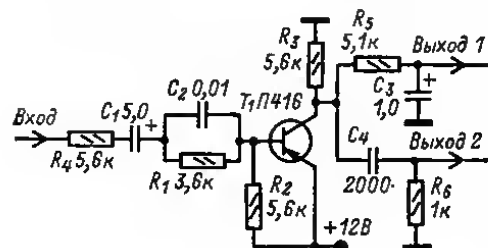


Рис. 3-52.

Селектор синхроимпульсов транзисторного телевизора ППТ-23-2 (рис. 3-29). Из эмиттерной цепи транзистора T_9 видеосигнал подается на вход амплитудного селектора синхроимпульсов на транзисторе T_{20} . Усиление и ограничение синхроимпульсов производится в каскадах на транзисторах T_{19} и T_{20} . С коллектора последнего кадровые и строчные синхронимпульсы поступают на базу транзистора

T_{19} , работающего в фазоинверторе с разделенной нагрузкой. Противофазные строчные импульсы с коллектора и эмиттера этого транзистора подаются на схему АПЧФ блока развертки. Кадровые синхронимпульсы формируются при помощи интегрирующих цепей $R_{90}C_{85}$, $R_{85}C_{85}$ и $R_{84}C_{83}$ в базовой и эмиттерной цепях транзистора T_{18} , работающего в каскаде формирования этих синхронимпульсов.

Селектор импульсов синхронизации на интегральной микросхеме К2СА241. Для выделения из полного видеосигнала синхронизирующих импульсов, используемых для управления частотами задающих генераторов строчной и кадровой разверток, можно применить микросхему К2СА241 (см. рис. 12-84). На ее вход (вывод 1) от предварительного видеосигнала подаются полный видеосигнал, а с выводов 8 и 9 снимаются противофазные импульсы с амплитудой 8 В на устройство АПЧФ строчной развертки. Кроме того, вывод 8 соединяют с входом интегрирующего каскада формирующего импульсы синхронизации кадровой развертки.

Генераторы строчной развертки

В генераторах строчной развертки вырабатывается переменный ток пилообразной формы с частотой 15 625 Гц, необходимый для плавного и равномерного движения луча по экрану кинескопа слева направо с последующим быстрым его возвратом и началу следующей строки. В современных кинескопах луч движется под действием переменного магнитного поля, создаваемого катушками отклоняющей системы. В генераторах пилообразного тока строчной развертки в качестве источника, задающего частоту генерируемых импульсов, используются блокинг-генераторы и мультявibrаторы.

Блокинг-генераторы (рис. 3-53, а) — однокаскадные релаксационные генераторы с трансформаторной обратной связью между сеточной и анодной цепями триода. При этом в устройстве возникают колебания сложной формы, имеющие вид периодических импульсов (рис. 3-53, б-г). Сеточные токи триода, возникающие в моменты появления положительных импульсов напряжения на обмотке I_1 трансформатора Tr_1 , заряжают конденсатор C_1 . Благодаря отрицательному знаку напряжения на нижней (по схеме) обкладке этого конденсатора триод большую часть времени оказывается закрытым. Отпирается он только тогда,

когда напряжение на конденсаторе уменьшается до значения u_{c0} за счет разряда его через резисторы R_2 и R_3 , обмотку II трансформатора Tr_1 и резистор R_1 . Появившийся анодный ток триода создает импульсное падение напряжения на об-

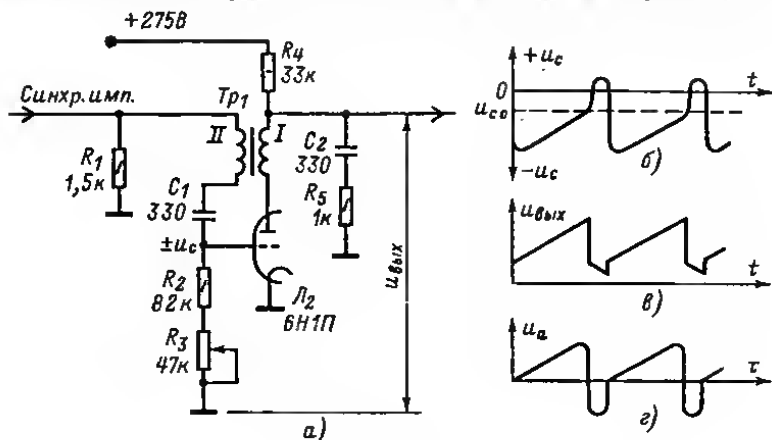


Рис. 3-53.

мотке I (рис. 3-53, г). Это падение напряжения трансформируется в обмотку II и еще больше отпирает триод. В результате за счет ПОС в цепи возникает колебательный процесс и на обмотке II снова образуется положительный импульс напряжения, вызывающий появление сеточного тока и запираание триода.

На конденсаторе C_2 образуется пилообразно-импульсное напряжение (рис. 3-53, в) за счет медленного его заряда напряжением питания +275 В через резистор R_4 и быстрого разряда через триод в момент его отпираания. Это напряжение используется для управления окончательным каскадом генератора строчной развертки. В устройстве используется унифицированный трансформатор типа ТБС. Вместо унифицированного трансформатора ТБС в блокинг-генераторе можно использовать самодельный трансформатор со следующими данными: магнитопровод Ш12 × 12 из трансформаторной стали; обмотка I — 210 витков, обмотка II — 100 витков ПЭЛ 0,2.

В некоторых моделях телевизоров используется разновидность блокинг-генератора с автотрансформаторной обратной связью (рис. 3-54). Особенностью этого генератора является включение автотрансформатора Tr_1 в цепь катода

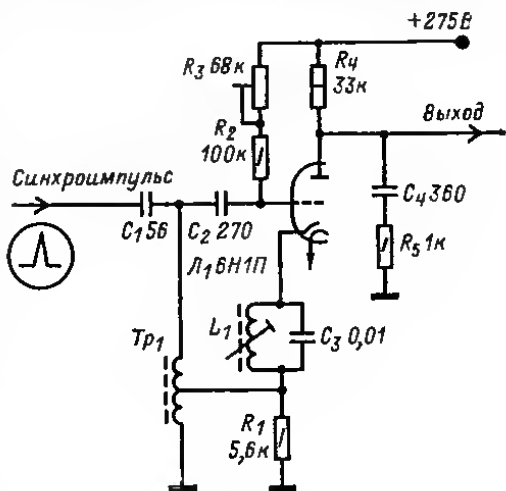


Рис. 3-54.

триода L_1 , что делает синхронизацию более помехоустойчивой. В цепь катода, кроме того, включают колебательный контур L_1C_3 , настроенный на частоту строчной развертки. Синусоидальное напряжение с контура складывается с пилообразно-импульсным напряжением (пунктир), приложенным к сетке триода (рис. 3-55). В результате крутизна конечного участка кривой увеличивается, что стабилизирует частоту колебаний блокинг-генератора и уменьшает вероятность синхронизации его импульсами помех I в конце этого участка.

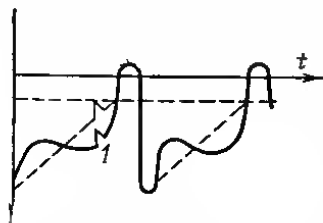


Рис. 3-55

оконачным каскадом генератора с обмотки I трансформатора Tr_1 (рис. 3-56), либо с резистора R_3 в цепи коллектора транзистора, либо с дополнительной (третьей) обмотки трансформатора Tr_1 . Чтобы улучшить согласование и исключить влияние оконечного каскада на параметры блокинг-генератора, между ними часто включают промежуточный усилитель на одном или двух транзисторах.

Мультивибратор на электронных лампах, так же как и блокинг-генератор, можно использовать в качестве задающего генератора в схеме строчной развертки.

Широко применяется для этой цели мультивибратор с катодной связью (рис. 3-57). Триоды лампы L_1 работают поочередно. Когда левый по схеме триод отпирается, а правый запирается, конденсатор C_3 начинает разряжаться через левый триод и резисторы R_5 и R_6 . Ток разряда создает на этих резисторах падение напряжения, которое удерживает правый триод в запорном состоянии. В конце разряда конденсатора запирающее напряжение на сетке правого триода уменьшается и он отпирается (момент t_1 на рис. 3-58). Появившийся анодный ток правого триода создает на резисторе R_4 падение напряжения, запирающее левый триод. Анодный ток этого триода уменьшается, а напряжение на его аноде увеличивается. Тои заряда конденсатора C_3 создает на резисторах R_6 и R_5 падение напряжения, еще больше отпирающее правый триод, что ведет к появлению сеточных токов и включению в цепь заряда промежутиа сетка — катод этого триода и резистора R_4 . В результате заряд конденсатора C_3 происходит значительно быстрее, чем его разряд.

По мере заряда конденсатора C_3 сеточный и анодный ток правого триода уменьшаются, что приводит к уменьшению падения напряжения на резисторе R_4 и к отпираанию левого триода в момент t_2 . При этом конденсатор C_3 начинает раз-

Блокинг-генераторы на транзисторах (рис. 3-56) работают, как и ламповые, за счет трансформаторной обратной связи, и в них протекают аналогичные процессы. Задающая частоту цепь R_1C_1 может включаться в цепь базы (рис. 3-56, а) или в цепь эмиттера (рис. 3-56, б). В последнем случае получается большее входное сопротивление и обеспечивается согласование со схемой синхронизации или управления частотой и фазой колебаний. Выходное напряжение для управления строчной развертки на транзисторах снима-

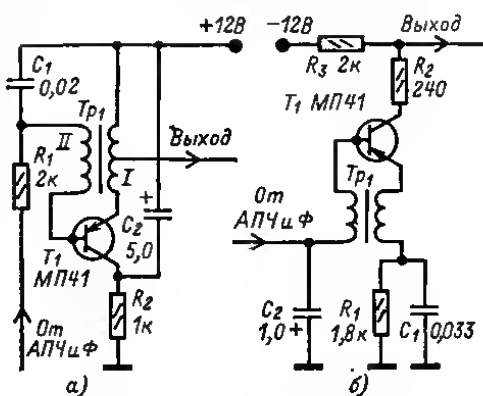


Рис. 3-56.

ряжаться через левый триод, а образующееся за счет его разряда падение напряжения на резисторах R_6 и R_5 еще больше запирает правый триод. Это приводит к тому, что процесс загираания правого и отгираания левого триода происходит скачком (лавинообразно). После того как правый триод запирается, конденсатор C_3 начинает разряжаться через резисторы R_6 и R_5 и весь процесс повторяется. Длительность интервала $t_2 - t_3$ зависит от емкости конденсатора C_3 и сопротив-

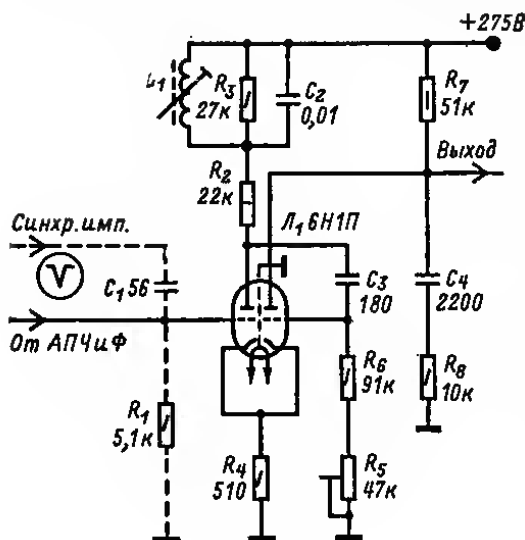


Рис. 3-57.

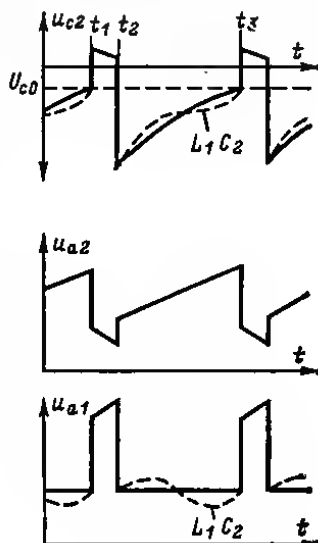


Рис. 3-58.

ления резисторов R_6 и R_5 . На длительность интервала $t_1 - t_2$ в основном влияют емкость конденсатора C_3 и сопротивление резистора R_4 . Частота колебаний в мультивибраторе стабилизируется контуром L_1C_2 так же, как и в блокинг-генераторе. Синхронизация осуществляется подачей отрицательных импульсов на сетку триода (левого на рис. 3-57), который запирается в конце периода, соответствующего длительности одной строки телевизионного стандарта. Напряжение пилообразно-импульсной формы, необходимое для управления оконечным каскадом строчной развертки, формируется в цепи из конденсатора C_4 и резистора R_8 .

Существуют несимметричные мультивибраторы с сеточно-анодной RC -связью правого и левого триодов. В таких мультивибраторах резистор R_4 отсутствует, а постоянная времени указанной RC -цепи выбирается такой, чтобы интервал $t_1 - t_2$ был меньше интервала $t_2 - t_3$, т. е. форма вырабатываемых импульсов была несимметричной. Роль одного триода в таких мультивибраторах может выполнять лампа оконечного каскада строчной или кадровой развертки. Такие схемы используются в удешевленных моделях телевизоров, так как из-за комбинирования включения некоторые параметры оконечного каскада ухудшаются.

Оконечный каскад строчной развертки на лампах нагружен на строчные отклоняющие катушки $KС$, подключенные к выходному трансформатору TBC . Чтобы создать магнитное поле, необходимое для отклонения луча, в современных кинескопах через строчные отклоняющие катушки нужно пропустить пилообразный ток амплитудой до 2—2,5 А. Для создания такого тока в оконечных каскадах применяют лампы 6П13С, 6П31С и 6П36С (L_1 на рис. 3-59, а). Пилообразно-импульсное напряжение, сформированное в цепи задающего генератора подается

через конденсатор C_1 на управляющую сетку лампы L_1 . В анодную цепь этой лампы включен унифицированный выходной трансформатор TBC . Строчные отклоняющие катушки KC подключены к части витков обмотки этого трансформатора.

Демпфирующий диод. Для повышения к. п. д. генератора развертки энергия собственных колебаний контура, образованного трансформатором TBC со всеми подключенными к нему цепями и междувитковыми и монтажными емкостями, используется для увеличения амплитуды пилообразного тока. Делается это с помощью диода L_2 , который гасит собственные колебания этого контура. Дополнительное напряжение, возникающее при этом на конденсаторе C_3 , складывается с напряжением питания цепи анода лампы L_1 . При повышенном напряжении на аноде этой лампы улучшается линейность, получается больший размах пилообразного тока в отклоняющих катушках.

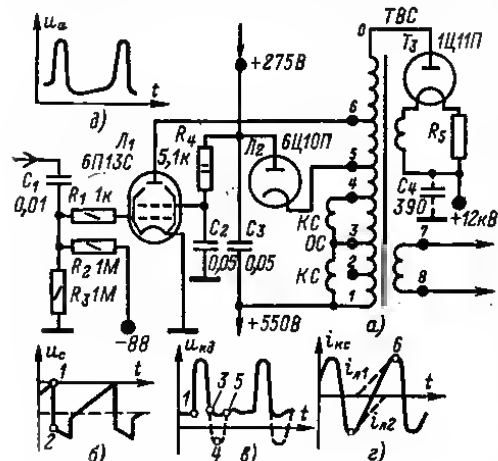


Рис. 3-59.

При увеличении тока через лампу L_1 во время прямого хода луча по строке в трансформаторе TBC накапливается магнитная энергия. Обратный ход начинается с записывания лампы L_1 (рис. 3-59, а), ток через которую резко прекращается. При этом исчезающее магнитное поле становится источником затухающих электрических колебаний в контуре, образованном индуктивностью обмотки трансформатора TBC отклоняющей системы и паразитной распределенной емкостью цепи. Колебательный процесс продолжается только полпериода (1—3 на рис. 3-59, в), до тех пор, пока напряжение на катоде диода L_2 станет отрицательным по отношению к его аноду и в це-

пи, состоящей из диода L_2 , части обмотки 1—5 и конденсатора C_3 , возникает ток, который и заряжает этот конденсатор.

Высоковольтный выпрямитель. При быстрых изменениях тока во время обратного хода луча по строке на первичной обмотке трансформатора TBC возникают положительные импульсы напряжения, достигающие нескольких киловольт (рис. 3-59, д). Эти импульсы используются для получения высокого напряжения, питающего анод кинескопа. С этой целью напряжение импульсов увеличивается с помощью повышающей секции первичной обмотки 6—0 и они заряжают конденсатор C_4 через высоковольтный кенотрон L_3 .

Выходной каскад строчной развертки на транзисторе, применяемый в переносных телевизорах, работает по принципу симметричного ключа (рис. 3-60, а), в качестве которого используется мощный транзистор T_1 с достаточно большой граничной частотой передачи тока, способный выдерживать импульсные токи до 5—8 А и обратные импульсные напряжения до 150 В и при этом имеющий небольшое сопротивление в состоянии насыщения. Так как транзистор T_1 проводит ток лишь в одном направлении, то для получения симметричной вольт-амперной характеристики ключа в схему добавлен диод D_1 , который является также демпферным. Управление транзистором T_1 производится подачей в цепь его базы через трансформатор Tr_1 прямоугольных импульсов напряжения от промежуточного усилителя. В момент t_2 (рис. 3-60, б) транзистор T_1 запирается. Из-за резкого прекращения тока в контуре, образованном индуктивностью трансформатора

матора Tr_2 , строчных отклоняющих катушек KC и конденсаторов C_1 и C_2 , возникают синусоидальные колебания. Через половину периода этих колебаний в момент t_3 ток в индуктивной ветви контура изменит направление, что приведет к отпираанию диода D_1 , который демпфирует колебания (пунктир на рис. 3-60, в).

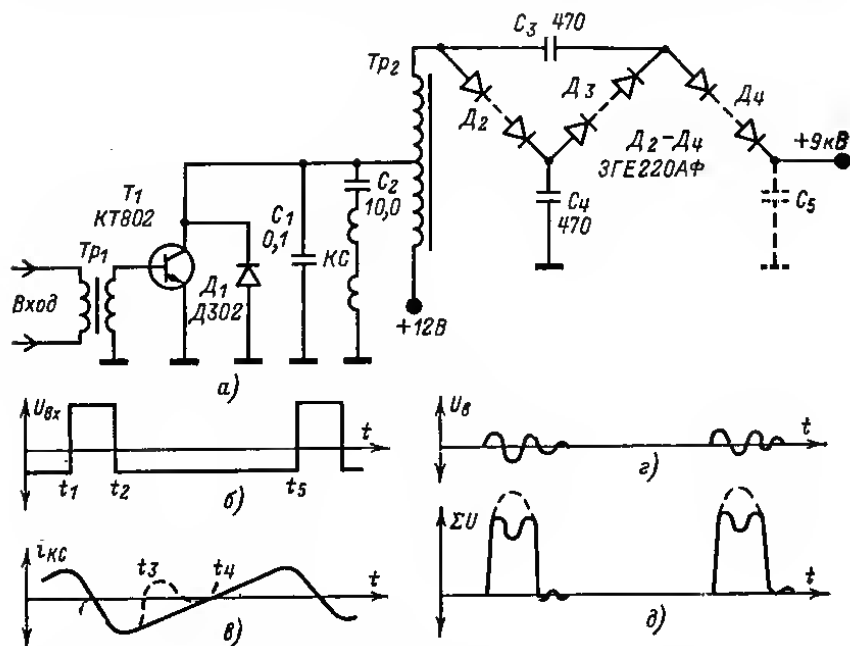


Рис. 3-60.

В момент t_3 диод D_1 открыт, когда ток в индуктивной ветви контура и в строчных отклоняющих катушках изменяется почти линейно. В момент t_4 этот ток изменяет направление и начинает протекать не через диод D_1 , а через транзистор T_1 .

Высокое напряжение для питания второго анода кинескопа в современных переносных телевизорах на транзисторах составляет 6-15 кВ. Это означает, что при допустимой амплитуде импульса обратного хода на коллекторе транзистора T_1 80—140 В коэффициент трансформации трансформатора относительно повышающей обмотки должен быть около 100. При этом и число витков, и паразитная емкость повышающей обмотки будут очень большими. Уменьшив оба этих параметра до допустимых пределов, получить требуемое высокое напряжение удастся, применяя выпрямитель по схеме с утроением напряжения на селеновых столбах (рис. 3-60). В некоторых телевизорах старых конструкций в качестве вентиля применяли кенотроны; при этом трансформатор Tr_2 должен был иметь дополнительную обмотку накала.

Чтобы облегчить режим работы транзистора T_1 по пробивному напряжению, контур, образованный повышающей обмоткой и ее паразитными емкостями, настраивают на третью гармонику частоты колебаний во время обратного хода. Колебания напряжения с частотой третьей гармоники (рис. 3-60, г) трансформируются из повышающей обмотки трансформатора Tr_2 в его первичную обмотку, складываются с импульсами на коллекторе транзистора T_1 и понижают их амплитуду (рис. 3-60, д).

Цепь стабилизации строчной развертки с триодом (рис. 3-61) можно применить в телевизоре, если у радиолюбителя нет варисторов. На анод триода L_2 через конденсатор C_4 с обмотки ТВС подаются положительные импульсы обратного хода. Триод заперт положительным напряжением, приложенным к катоду и снимаемым со стабилитронов D_1 и D_2 . Благодаря этому анодный ток триода появляется с большой отсечкой, т. е. лишь при большом напряжении на его аноде. В результате по цепи анода триод отпирается вершинами импульсов обратного хода, амплитуда которых сильно изменяется при изменении выходной мощности. Конденсатор C_4 заряжается этими вершинами в полярности, показанной на рис. 3-61. Отрицательное напряжение снимается с конденсатора C_4 и через фильтр R_2C_2 подается на управляющую сетку лампы L_1 оконечного кас-

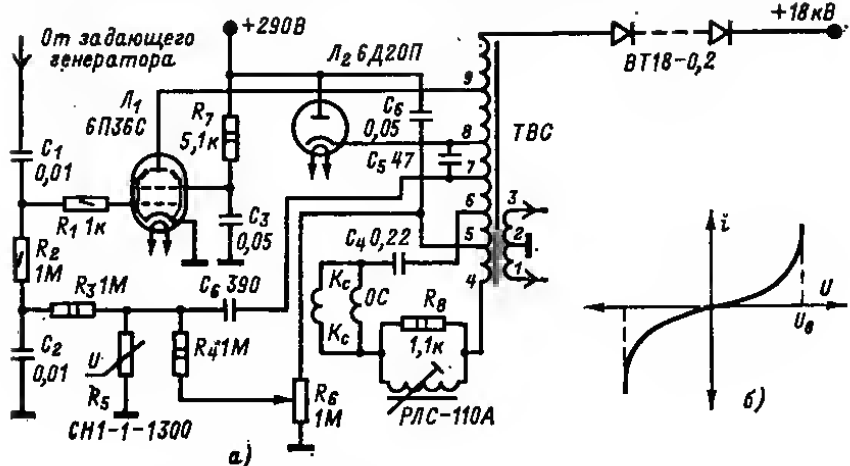


Рис. 3-62.

када строчной развертки. Если выходная мощность по какой-либо причине увеличивается, то отрицательное напряжение на управляющей сетке лампы L_1 тоже увеличивается, что приводит к понижению выходной мощности. При уменьшении выходной мощности отрицательное напряжение уменьшается и лампа L_2 переходит в режим, при котором она развивает большую выходную мощность.

Для повышения чувствительности схемы на управляющую сетку триода L_2 подана часть напряжения вольтодобавки, которое увеличивается при увеличении выходной мощности; напряжение между катодом и сеткой триода L_2 уменьшается, что ведет к уменьшению отсечки анодного тока и к еще большему увеличению отрицательного напряжения на конденсаторе C_4 и на управляющей сетке лампы L_1 . При этом изменения выходной мощности компенсируются эффективнее. Так как для создания необходимой отсечки анодного тока триод L_2 заперт стабилизированным напряжением, то при изменении напряжения питающей сети выходная мощность почти не меняется и поддерживается на установленном уровне. При помощи переменного резистора R_7 можно регулировать запирающее триод L_2 напряжение и, устанавливая ту или иную отсечку анодного тока, изменять отрицательное напряжение на управляющей сетке лампы L_1 и отдаваемую ею выходную мощность.

Схема стабилизации строчной развертки с варистором (рис. 3-62). Принцип работы этой схемы аналогичен схеме на рис. 3-61, с той лишь разницей, что вместо триода в качестве нелинейного элемента используется варистор, а в высоковольтном выпрямителе работает селеновый столб. При малом приложенном на-

пряжении сопротивление варистора велико и лишь при некотором определенном напряжении U_v резко уменьшается (рис. 3-62, б).

В схеме на рис. 3-62, а на варистор R_6 через конденсатор C_6 с обмотки ТВС подаются импульсы обратного хода положительной полярности. Сопротивление варистора СН1-1-1300 уменьшается при большом приложенном напряжении, поэтому конденсатор C_6 заряжается вершинами импульсов обратного хода. В результате при изменениях выходной мощности отрицательное напряжение, снимаемое с этого конденсатора на управляющую сетку лампы L_1 , сильно меняется, что приводит к глубокой компенсации указанных изменений. С переменного резистора R_8 через постоянный резистор R_4 на варистор подается положительное напряжение, что позволяет изменять отрицательное напряжение на управляющей сетке лампы L_1 и устанавливать требуемую выходную мощность и необходимый размер изображения по горизонтали.

Автоматическая подстройка частоты и фазы строчной развертки

При приеме слабых сигналов внутренние шумы телевизора и импульсные помехи накладываются на синхронизирующие импульсы и могут изменить их форму и амплитуду. В результате вертикальные линии в принятом изображении будут выглядеть изломанными, а четкость изображения будет понижена. Искажения кадровых синхронимпульсов меньше сказываются на качестве изображе-

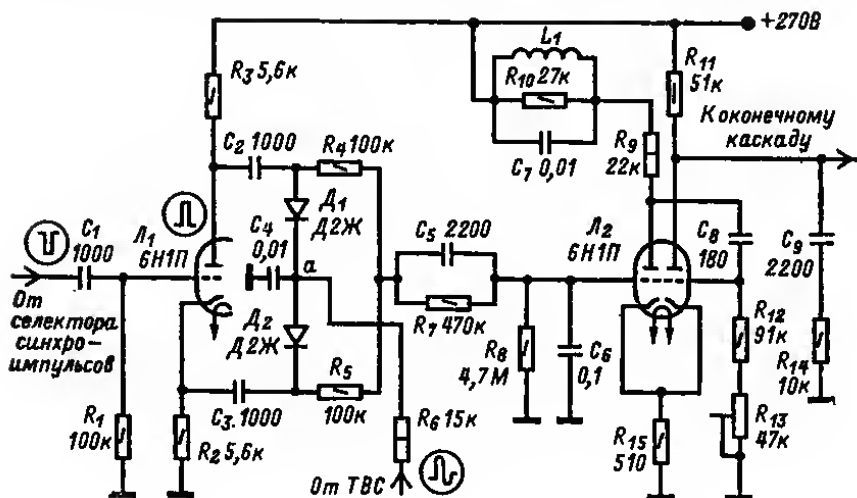


Рис. 3-63.

ния, так как помехи отфильтровываются интегрирующей цепью, формирующей импульсы для синхронизации задающего генератора. Для улучшения качества изображения применяют помехоустойчивые цепи синхронизации строчной развертки, работающие по принципу автоматической подстройки частоты и фазы (АПЧФ) задающего генератора. В таких цепях в результате сравнения частоты и фазы синхронимпульсов с частотой и фазой импульсов от генератора развертки вырабатывается напряжение, управляющее частотой задающего генератора. В результате частота колебаний задающего генератора поддерживается равной частоте входящих синхронимпульсов.

Схема АПЧиФ (рис. 3-63) содержит фазовый дискриминатор на диодах D_1 и D_2 , вырабатывающий напряжение, пропорциональное разности фаз синхроимпульсов, снимаемых с резисторов R_2 и R_3 нагрузки фазоинвертора на лампе L_1 и пилообразного напряжения от генератора развертки, сформированного цепью R_6C_4 . Выработанное напряжение через фильтр $R_7C_5C_6$ подается на сетку лампы задающего генератора и управляет его частотой. Если синхроимпульсы появляются в тот момент, когда пилообразное напряжение проходит через нулевое значение (рис. 3-64, а), то конденсаторы C_2 и C_3 заряжаются через открывающиеся диоды до одинаковых напряжений u_1 и u_2 . В промежутках времени между синхроимпульсами конденсаторы C_2 и C_3 медленно разряжаются соответственно через резисторы R_3 , R_4 , R_7 , R_8 и R_5 , R_6 , R_7 , R_8 . В результате через резистор R_8 текут одинаковые и противоположные по знаку токи и падение напряжения на нем оказывается равным нулю.

Если частоты и фазы синхроимпульсов и импульсов генератора развертки не совпадают, то синхроимпульсы появляются не в тот момент, когда пилообразное напряжение в точке а на схеме рис. 3-63 проходит через нуль. В результате при частоте генератора ниже нормальной (рис. 3-64, б) диод D_1 подотпирается частью пилообразного напряжения, а диод D_2 запирается. При этом конденсатор C_2 заряжается до большего напряжения, чем конденсатор C_3 . Токи разряда этих конденсаторов не компенсируют друг друга, и на резисторе R_8 появляется падение напряжения, которое поступает на сетку L_2 задающего генератора и изменяет его частоту так, чтобы свести к нулю разность фаз синхроимпульсов и колебаний генератора развертки. При частоте генератора выше нормальной (рис. 3-64, в) падение напряжения на резисторе R_8 имеет другой знак, и частота задающего генератора понижается.

В одной из часто применяемых разновидностей схем АПЧиФ роль фазоинвертора выполняет импульсный трансформатор (рис. 3-65, а). В другой схеме (рис. 3-65, б), рассчитанной на работу с синхроимпульсами одной полярности, диоды D_1 и D_2 включены навстречу друг другу и заряжают конденсатор C_3 . Пилообразное напряжение приложено к резисторам R_1 и R_2 и делится на них и диодах D_1 , D_2 поровну. Если синхроимпульсы появляются в тот момент, когда пилообразное напряжение проходит через нулевое значение, то заряд конденсатора C_3 равен нулю. Когда частота задающего генератора отличается от частоты синхроимпульсов, напряжение на одном диоде, полученное путем суммирования части пилообразного напряжения с синхроимпульсом, уменьшается, а на другом диоде — увеличивается. В результате в зависимости от знака отклонения частоты и фазы конденсатор C_3 заряжается напряжением той или иной полярности. Это напряжение через фильтр $R_3R_4C_4C_6$ подается на сетку лампы задающего генератора и управляет его частотой.

Фильтр на выходе схемы АПЧиФ подавляет импульсные помехи и шумы и исключает проникновение их в цепи задающего генератора. При большой постоянной времени этого фильтра полоса схватывания схемы АПЧиФ сужается. В этом случае при значительном отклонении частоты задающего генератора от частоты синхроимпульсов автоматическое регулирование становится невозможным и частоту задающего генератора приходится подстраивать вручную. При малой посто-

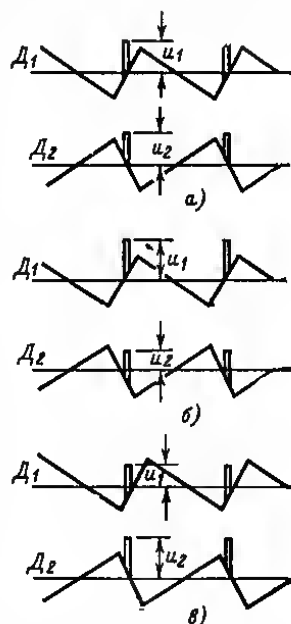


Рис. 3-64.

Пилообразное напряжение из анодной цепи блокинг-генератора подается на делитель напряжения из резисторов $R_8 - R_{13}$. Амплитуда напряжения, поступающего на управляющую сетку пентода оконечного каскада, и, следовательно, вертикальный размер раstra на экране плавно меняются с помощью переменного резистора R_5 . Конденсатор C_7 облегчает прохождение ВЧ составляющих кадрового пилообразного напряжения. Пилообразное напряжение (кривая 3 на рис. 3-66) на управляющей сетке пентода с помощью цепи из конденсатора C_7 и резисторов R_9, R_{10} преобразуется в пилообразно импульсное (кривая 4). Отри-

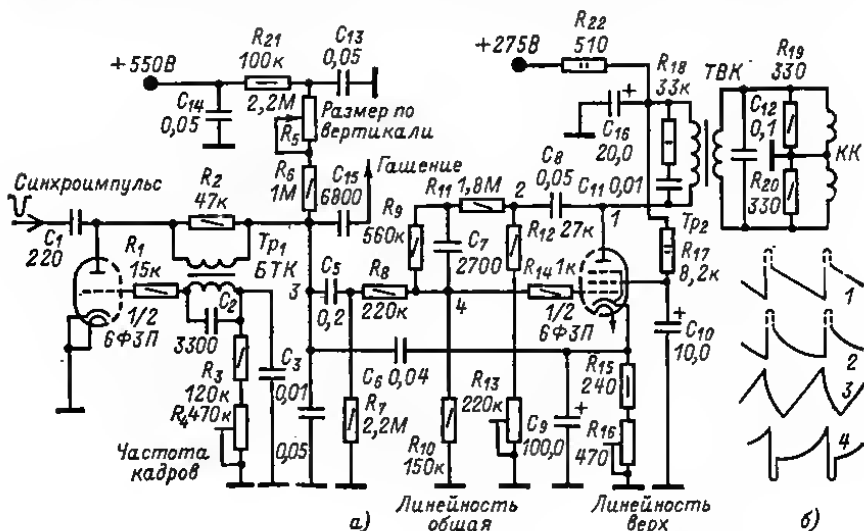


Рис. 3-66.

цательные импульсы этого напряжения используются для записывания лампы оконечного каскада к резкому изменению отклоняющего пилообразного тока с целью обеспечения обратного хода кадровой развертки.

Линейный пилообразный ток в кадровых отклоняющих катушках можно получить, либо применив выходной трансформатор кадров (ТВК) с очень большой индуктивностью первичной обмотки, либо используя напряжение такой формы, чтобы ток был линеен при не столь уж большой индуктивности этой обмотки. Напряжение, которое надо подать для этого на управляющую сетку пентода, должно иметь форму параболы с вершиной, обращенной вниз (кривая 2 на рис. 3-66, б).

Для получения необходимой линейности пилообразного тока на управляющую сетку пентода из ее анодной цепи через цепь, состоящую из конденсатора C_9 и резисторов $R_9 - R_{13}$, подается напряжение ООС, содержащее параболосообразную составляющую. Глубина обратной связи регулируется переменным резистором R_{13} до получения равномерного (без сгущений и разрежений) расположения строк раstra. Улучшение линейности достигается также использованием кривизны характеристики пентода при соответствующем выборе рабочей точки на ее характеристике (рис. 3-67). На управляющую сетку подается отрицательное напряжение с резисторов R_{15} и R_{16} в цепь автоматического смещения.

Генератор тока кадровой развертки через унифицированный трансформатор Tr_2 (тип ТВК) нагружен кадровыми отклоняющими катушками KK отклоняющей системы. Резисторы R_{19} , R_{20} шунтируют каждую из кадровых катушек и

служат для устранения «волнистости» и искривления строк, которые могут появиться из-за возникновения колебаний в обмотках трансформатора Tr_2 во время обратного хода луча. Первичная обмотка трансформатора Tr_2 шунтирована

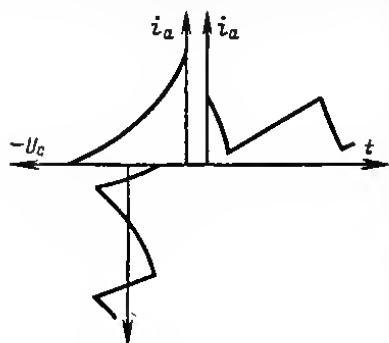


Рис. 3-67.

цепью из резистора R_{18} и конденсатора C_{11} , уменьшающей импульсы напряжения на этой обмотке во время обратного хода по кадру и предотвращающей пробой изоляции между обмотками трансформатора. Для устранения проникновения пульсаций напряжения кадровой частоты в цепь источника анодного питания в схеме предусмотрена развязывающая ячейка из резистора R_{22} и конденсатора C_{16} .

Генераторы кадровой развертки на транзисторах. Они обычно состоят из задающего генератора, промежуточного усилителя и оконечного каскада (рис. 3-68). В качестве задающего генератора используется блокинг-генератор. Параметры трансформатора и элементов цепи выбираются такими, чтобы обеспечить

требуемую частоту и длительность обратного хода развертки. пилообразное напряжение формируется цепью $R_{15}C_1$ (рис. 3-68). Чтобы относительно низкое входное сопротивление оконечного каскада не шунтировало эту цепь и не ухуд-

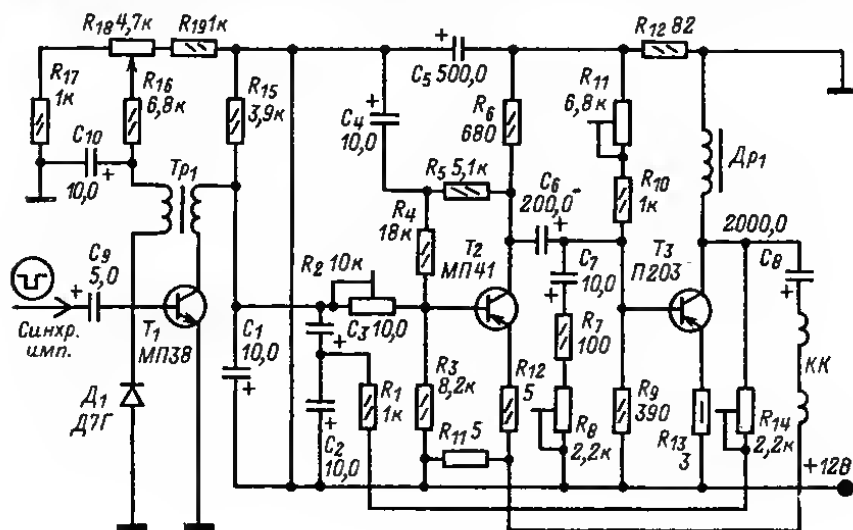


Рис. 3-68.

шило линейность пилообразного напряжения, перед оконечным каскадом включен промежуточный усилитель на транзисторе T_2 . Благодаря этому амплитуду пилообразного напряжения, являющегося частью экспоненты на конденсаторе C_1 , можно сделать небольшой и достаточно линейной. Диод D_1 защищает эмиттерный переход транзистора T_1 от отрицательных выбросов напряжения на обмотке трансформатора Tr_1 .

Особенностью оконечного каскада на транзисторе T_3 является подлючение кадровых отклоняющих катушек KK через конденсатор C_8 к коллекторной цепи этого транзистора, работающего в схеме с ОЭ. Дроссель Dp_1 обеспечивает параллельное питание коллекторной цепи транзистора T_3 . Так же как и в схеме на рис. 3-66, в цепи $R_1 R_4 C_2$ (рис. 3-68) формируется напряжение параболической формы, которое подается на вход промежуточного усилителя для создания ООС и улучшения линейности тока в кадровых отклоняющих катушках. Благодаря ООС из цепи этих катушек в цепь эмиттера транзистора T_2 (через резисторы R_{11} и R_{12}) амплитуда отклоняющего тока мало зависит от прогрева деталей.

Стабилизация кадровой развертки

Стабилизация кадровой развертки особенно необходима в телевизоре с взрывобезопасным инесоном, имеющим прямоугольный экран с соотношением сторон 4 : 5. Так как согласно принятому стандарту передается изображение с соотношением сторон 3 : 4, то при совпадении верхней и нижней его кромок с соответствующими границами экрана указанных инесонов боковые кромки изображения располагаются за боковыми границами экрана и часть изображения пропадает. Если не применять стабилизации, то с целью компенсации возможного уменьшения размеров раstra из-за падения напряжения сети, прогрева деталей и старения ламп придется увеличить размер изображения

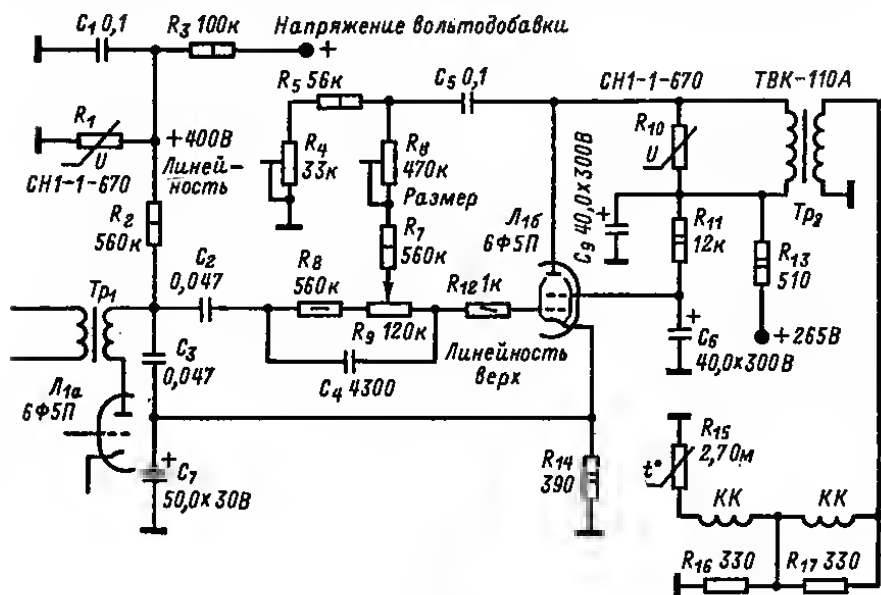


Рис. 3-69.

по вертикали и пропорционально еще больше увести боковые кромки изображения за пределы экрана инесопа и потерять еще большую часть изображения.

Размер изображения по вертикали может изменяться из-за изменения амплитуды пилообразного напряжения на выходе задающего генератора (это происходит в результате изменения напряжения питания зарядной цепи, крутизны

лампы при ее старении и напряжения накала), а также из-за изменения параметров лампы оконечного каскада. Кроме того, амплитуда пилообразного тока в кадровых отклоняющих катушках может изменяться в результате изменения сопротивления этих катушек и обмоток ТВК при нагреве. В телевизорах с кинескопами, имеющими угол отклонения луча 110° , к отклоняющим катушкам подводится большая мощность. Это приводит к сильному нагреву катушек и заставляет принимать дополнительные меры для стабилизации размера изображения по вертикали.

Один из вариантов схемы стабилизированной кадровой развертки приведен на рис. 3-69. Для того чтобы размер изображения по вертикали не зависел от перечисленных выше причин, в схему введен ряд цепей и элементов, уменьшающих влияние дестабилизирующих факторов. Повышение стабильности блокинг-генератора достигается благодаря включению варистора R_1 , который стабилизирует напряжение питания зарядной цепи R_2C_3 . Этим самым не только стабилизируется амплитуда пилообразного напряжения на конденсаторе C_3 , но и улучшается стабильность частоты блокинг-генератора.

Цепь ООС C_5R_4 — R_7 с анода на управляющую сетку и ООС по постоянному току за счет цепи автоматического смещения $R_{14}C_7$ стабилизируют режим лампы L_{16} и уменьшают влияние старения этой лампы и изменений питающего напряжения на мощность, отдаваемую этим каскадом в нагрузку. Варистор R_{18} используется для ограничения большого импульсного напряжения, возникающего на первичной обмотке трансформатора Tr_2 во время обратного хода, и стабильности развертки не улучшает.

Возрастание сопротивления отклоняющих катушек KK при нагреве компенсируется благодаря включению терморезистора R_{15} . Этот терморезистор расположен внутри отклоняющей системы и нагревается вместе с катушками KK . При нагреве сопротивление терморезистора уменьшается. В результате сопротивление всей цепи, подключенной ко вторичной обмотке трансформатора Tr_2 , изменяется мало и ток в отклоняющих катушках практически не уменьшается.

Блок разверток

Блок разверток лампового телевизора. В качестве примера компоновки отдельных схем и узлов приводится полная схема блока развертки унифицированного лампового телевизора УЛТ-61 промышленного производства (рис. 3-70).

Блок содержит амплитудный селектор импульсов синхронизации на пентоде L_{402} , усилитель-ограничитель кадровых и фазоинвертор строчных синхроимпульсов на триоде L_{402} , задающий блокинг-генератор и оконечный каскад кадровой развертки соответственно на триоде и пентоде лампы L_{401} , цепь АПЧФ и задающий — мультивибратор строчной развертки, в которых работают диоды D_{402} и D_{403} и лампа L_{403} , и цепь формирования гасящих импульсов на лампе L_{404} .

Оконечный каскад строчной развертки на лампе L_{501} с демпфером L_{502} и высоковольтным кенотроном L_{503} монтируется отдельно на шасси телевизора.

Триод L_{402} является усилителем-ограничителем для кадровых синхроимпульсов. Его нагрузка для этих импульсов состоит из резисторов R_{433} и R_{432} . Эти синхроимпульсы формируются цепью $R_{433}C_{435}R_{427}C_{417}R_{419}C_{404}$ и подаются на сетку триода L_{401} блокинг-генератора кадров. Его зарядная цепь $R_{402}C_{411}$ питается стабилизированным напряжением, снимаемым с варистора R_{517} . Варистор R_{418} ограничивает импульс напряжения обратного хода, возникающего на первичной обмотке трансформатора Tr_{503} . Напряжение на ускоряющий электрод кинескопа снимается с выпрямителя с селеновым столбом D_{401} , который питается импульсами напряжения, поступающими через конденсатор C_{436} . Благодаря этому осуществляется автоматическое гашение луча кинескопа при выходе из строя генератора кадровой развертки.

Пилообразное напряжение для схемы АПЧФ строчной развертки формируется цепью $R_{438}C_{424}$ из импульсов обратного хода, снимаемых с дополнительной обмотки трансформатора Tr_{501} . Частота мультипликатора на лампе L_{403} стабилизирована контуром $L_{401}C_{429}$. Для улучшения условий самовозбуждения на сетку правого по схеме триода через конденсатор C_{408} подается напряжение положительной ОС с обмотки 2—3 трансформатора Tr_{501} . Описание работы цепи стабилизации размера раstra по горизонтали см. на стр. 223. Импульс отрицательной полярности с обмотки 5—6 трансформатора Tr_{503} подается на модулятор кинескопа через резистор R_{410} и конденсатор C_{420} и гасит луч во время обратного хода по кадру. Для гашения луча во время обратного хода по строкам на модулятор кинескопа через правый по схеме диод L_{403} подаются также отрицательные импульсы с обмотки 1—2 трансформатора Tr_{501} . Левый диод L_{404} устраняет положительные выбросы в гасящих импульсах, которые могут подсветить луч во время прямого хода по строкам и кадру. Так как скорость луча на краях экрана кинескопа 61ЛК1Б больше, изображение сжимается в центре и растягивается на краях. Для компенсации этих искажений скорость нарастания пилообразного тока в начале и в конце периода должна замедляться (кривая должна иметь форму буквы S). Резисторы R_{403} , R_{404} с конденсаторами C_{407} и C_{507} обеспечивают необходимую форму тока в отклоняющих катушках. Через разъем КП-4 к трансформаторам Tr_{501} (ТВС-110А) Tr_{503} (ТВК-110А) подключаются катушки отклоняющей системы ОС-110А. Трансформатор Tr_{401} — типа БТКП.

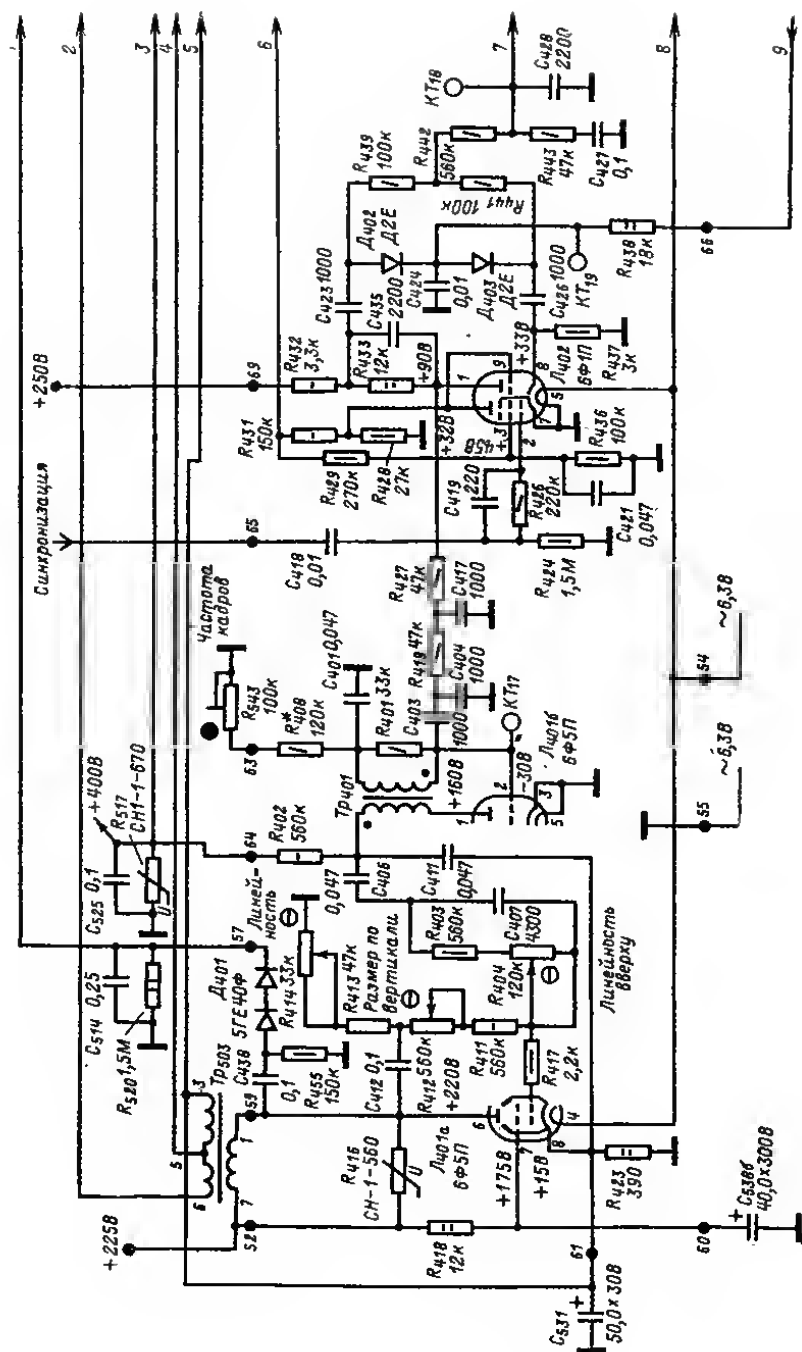
Трансформатор Tr_{503} имеет ленточный магнитопровод сечением 16×20 мм; обмотки содержат 3400 витков ПЭВ-2 0,16 и $210 + 170$ витков ПЭВ-2 0,8 к ПЭВ-2 0,16 соответственно. Вместо ленточного магнитопровода можно применить Ш-образный подходящего сечения.

Блок разверток транзисторного телевизора. Примером компоновки цепей и узлов на транзисторах может служить блок развертки телевизора ППТ-23-2, получившего большое распространение.

Блок содержит задающий блокинг-генератор на транзисторе T_{23} (рис. 3-71) промежуточный усилитель на T_{24} и T_{25} и выходной каскад на T_{26} кадровой развертки, задающий блокинг-генератор на T_{27} , промежуточный согласующий каскад на T_{28} и выходной каскад на T_{29} строчной развертки.

Генератор кадровой развертки. Пилообразное напряжение кадровой развертки, полученное на конденсаторе C_{108} после эмиттерного повторителя T_{24} , через резистор R_{133} поступает на базу транзистора T_{25} , где находится цепь регулирования линейности $C_{110}R_{131}R_{132}$, которая добавляет к этому напряжению параболическую составляющую. Сформированное напряжение из коллекторной цепи транзистора T_{25} поступает через конденсатор C_{112} на базу транзистора T_{26} , включенного по схеме с ОЭ. Режим этого транзистора устанавливается резисторами R_{139} , R_{140} , R_{141} , R_{144} , R_{147} и стабилизируется терморезистором R_{143} . Кадровые катушки отклоняющей системы включены в цепь коллектора транзистора T_{26} через конденсатор C_{114} , с которого также в цепь эмиттера транзистора T_{25} подается напряжение отрицательной обратной связи. Варистор R_{148} ограничивает импульсное напряжение на коллекторе транзистора T_{26} и на первичной обмотке трансформатора Tr_3 . Со вторичной обмотки трансформатора Tr_3 снимаются отрицательные импульсы, которые после формирования цепочкой $R_{148}R_{150}C_{117}C_{118}$ и добавления к ним строчных импульсов с обмотки 1—2 трансформатора Tr_6 подаются на модулятор кинескопа для гашения луча во время обратного хода по кадрам к строкам.

Генератор строчной развертки. Для повышения стабильности задающего блокинг-генератора в цепь базы транзистора T_{27} включен контур $L_{73}C_{127}$, настроенный на частоту 18 кГц. В цепь базы этого транзистора от схемы АПЧФ с диодами D_{16} и D_{17} через фильтр $R_{158}R_{159}C_{124}R_{162}C_{125}$ подается регулирующее напряжение. Частота строк регулируется изменением режима T_{27} при помощи потенциометров R_{155} и R_{161} . Положительные импульсы строчной частоты из коллекторной цепи транзистора T_{27} подаются на базу транзистора T_{28} , работаю-



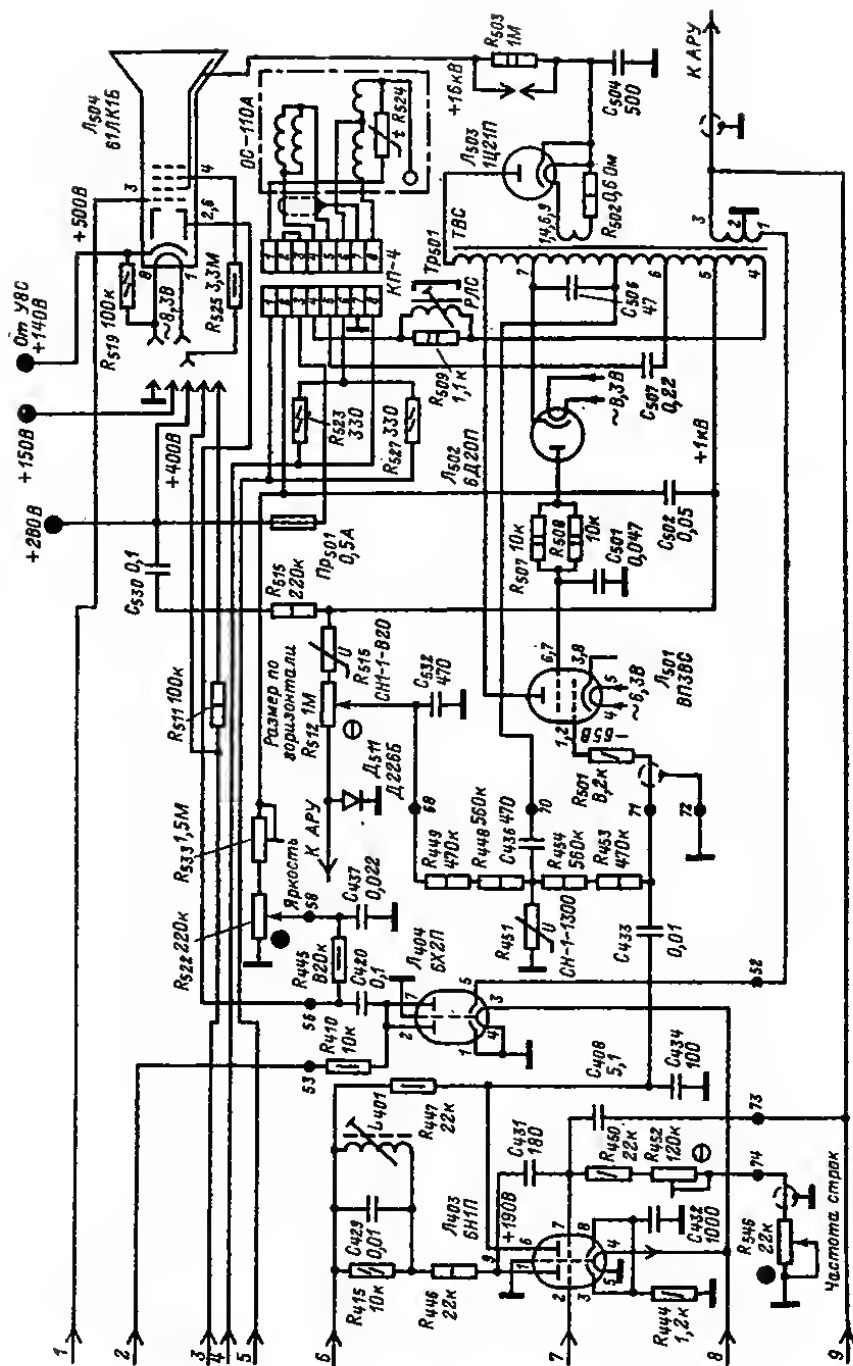


Рис. 8-70.

щего в трансформаторном усилителе. Усиленные импульсы через согласующий трансформатор Tr_5 подаются на базу транзистора T_{29} оконечного каскада строчной развертки. Трансформатор Tr_5 согласует низкое входное сопротивление транзистора T_{29} оконечного каскада с цепью коллектора транзистора T_{28} . В эмиттерную цепь транзистора T_{29} включены: строчные отклоняющие катушки L_{79} , L_{80} с корректирующим конденсатором C_{139} и выходным строчным трансформато-

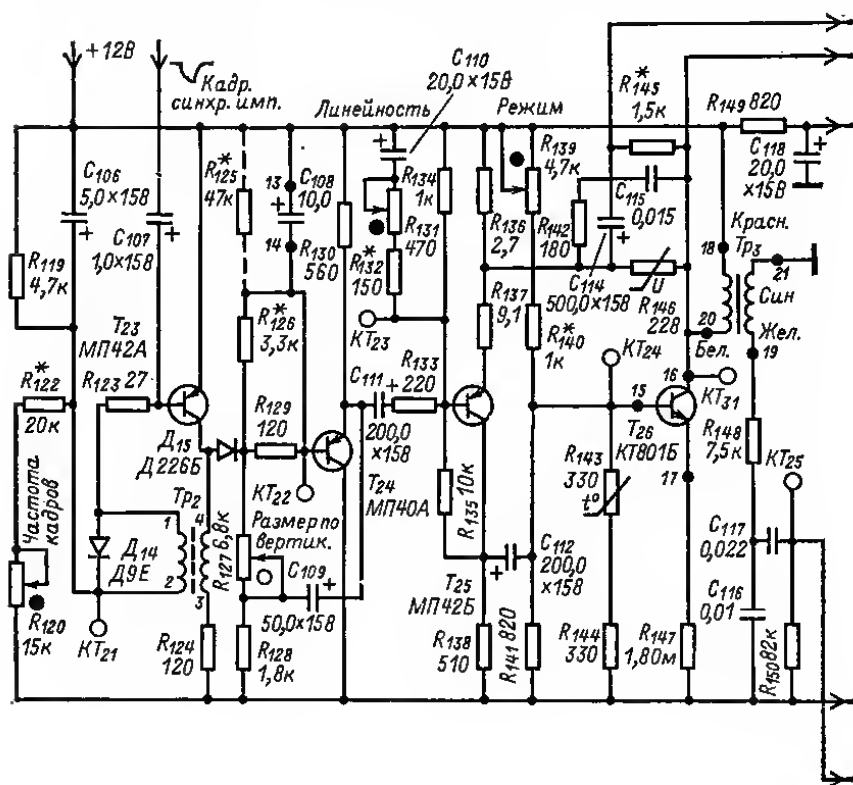


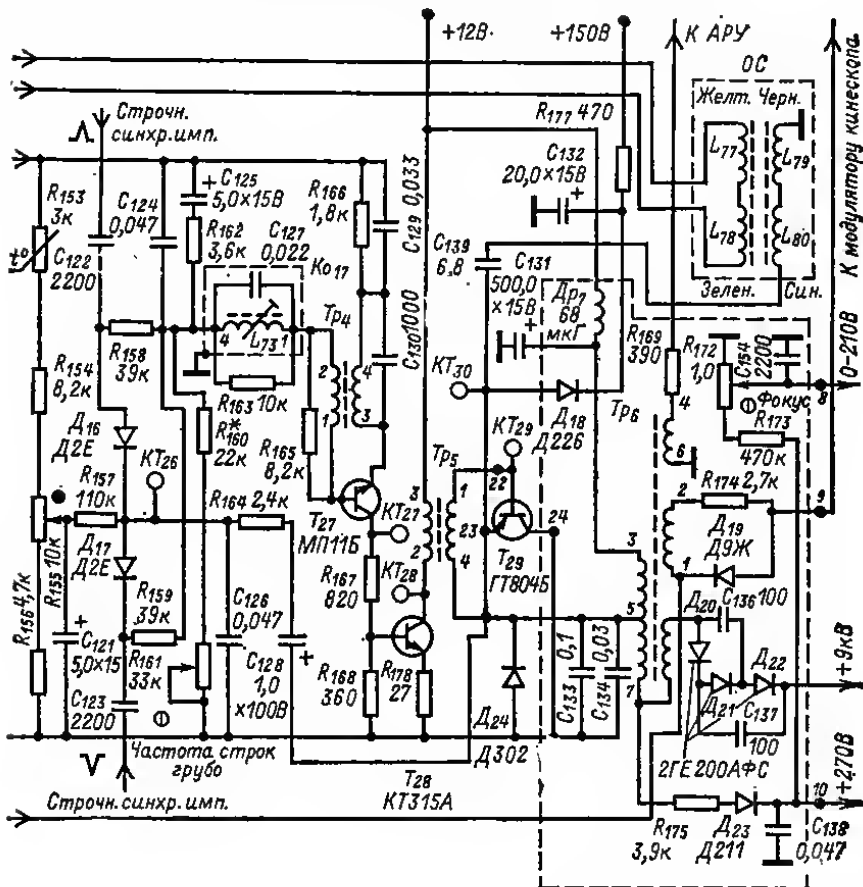
Рис. 3-71.

ром высоковольтного блока Tr_6 , вырабатывающим напряжения для питания электродов кинескопа и импульсные напряжения для АРУ АПЧФ и гашения обратного хода строчной развертки; цепь питания видеоусилителя с диодом D_{18} и конденсатором C_{132} ; цепь демпфирования $D_{24}C_{133}C_{134}$, которая частично предохраняет транзистор T_{29} при случайных выбросах напряжения на эмиттере. Выпрямитель с диодом D_{23} служит также для питания цепей ускоряющего и фокусирующего электродов кинескопа.

Высокое напряжение (9 кВ) для питания анода кинескопа вырабатывается в высоковольтном блоке цепью утроения на выпрямительных столбах $D_{20} - D_{22}$.

Схема включения кинескопа и узел строчной развертки цветного телевизора на электронных лампах

Схема включения цветных кинескопов 40ЛК2Ц, 59ЛК3Ц и 53ЛК4Ц приведена на рис. 3-72. При ускоряющем напряжении 25 кВ для удовлетворительной фокусировки напряжение на фокусирующем электроде составляет 3—6 кВ.



Переменными резисторами $R_8 - R_{10}$ регулируют начальные токи лучей и устанавливают статический баланс белого для выбранной яркости свечения экрана. Чтобы при регулировке яркости в широких пределах установленное соотношение сохранялось, необходимы различные приращенния токов лучей при одинаковом изменении напряжения на катодах. Для этого крутизну характеристик прожекторов делают различной. Изменением напряжения на ускоряющих электродах при помощи потенциометров $R_{20} - R_{22}$ варьируется крутизна характеристик прожекторов и устанавливается динамический баланс белого в широком диапазоне яркости свечения экрана.

Конденсаторы $C_2 - C_4$ шунтированы резисторами $R_5 - R_7$ для передачи постоянной составляющей цветоразностных сигналов. Гашение лучей на время обратного хода осуществляется подачей через конденсаторы $C_5 - C_7$ на ускоряющие электроды отрицательных импульсов. Тумблерами $B_1 - B_3$ отключают регуляторы статического баланса белого и запирают прожекторы кинескопа во время налаживания телевизора.

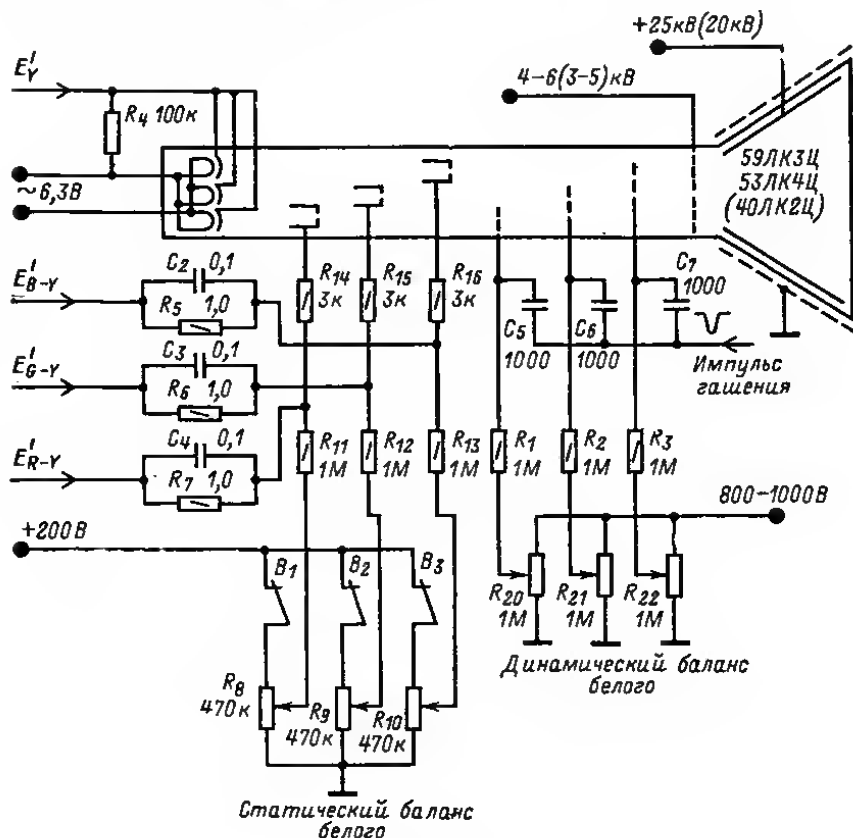
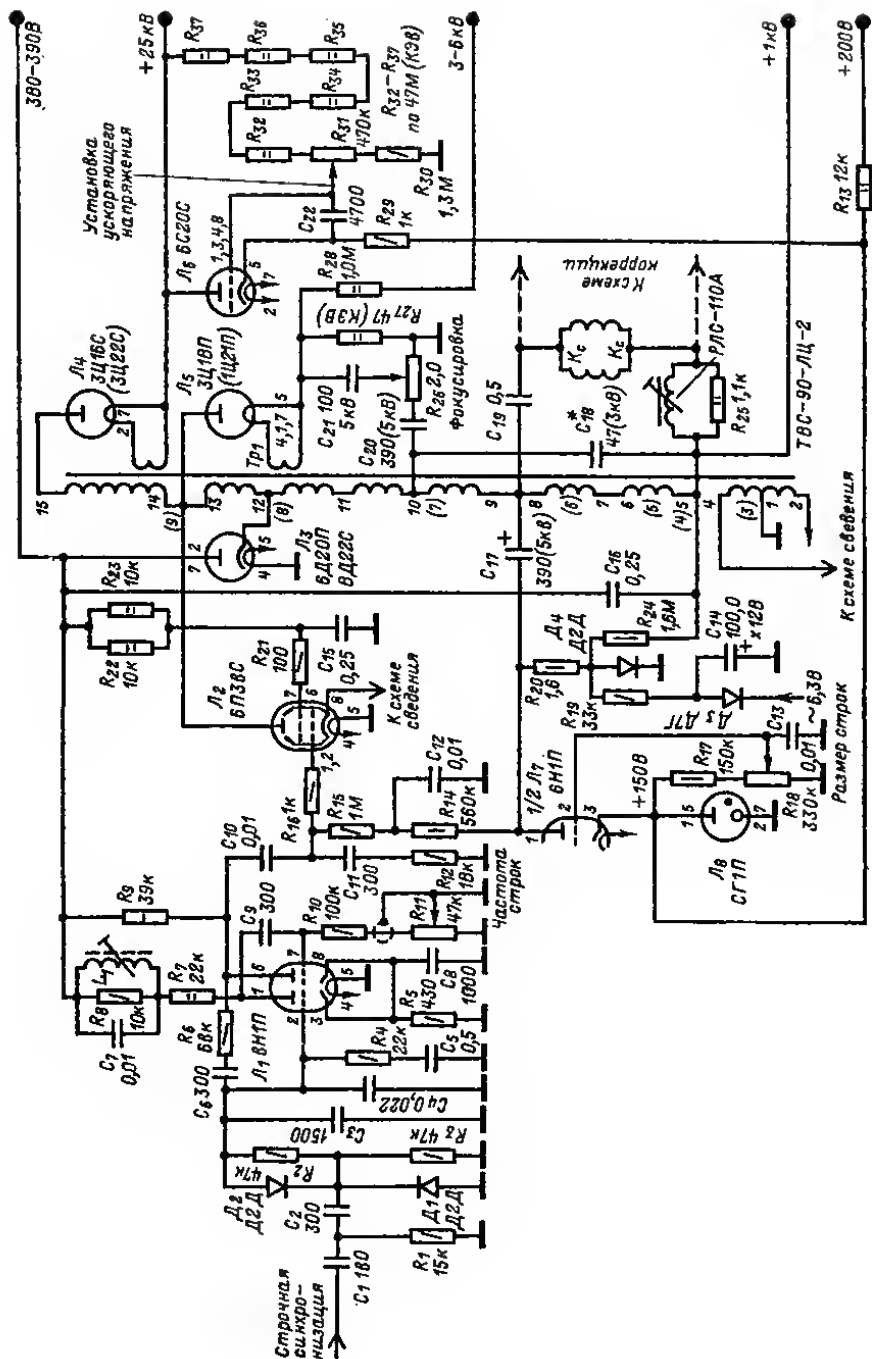


Рис. 3-72.

Узел строчной развертки. В любительских цветных телевизорах можно применить узел строчной развертки с лампой 6П36С в оконечном каскаде (рис. 3-73). Повышенное ускоряющее напряжение и достаточно большую амплитуду тока в строчных катушках отклоняющей системы удастся получить включением в цепь демпфирующего диода L_3 большего числа витков анодной обмотки выходного трансформатора. Для этого конденсатор C_{16} присоединяют не к выводам 6 и 7 трансформатора ТВС-90-ЛЦ-2, а к выводу 5. Ускоряющее напряжение 25 кВ для кинескопов 53ЛК4Ц и 59ЛК3Ц можно получить от выпрямителя L_4 с кенотроном 3Ц16С или 3Ц22С, а напряжение 20 кВ для кинескопа 40ЛК2Ц — используя в выпрямителе кенотрон 1Ц7С и понизив анодное напряжение, питающее узел, до 360 В.



В стабилизаторе ускоряющего напряжения по шунтовой схеме работает лампа L_6 . На ее катод со стабилизатора L_6 подано опорное напряжение, которое используется и в схеме стабилизации динамического режима оконечного каскада. Напряжение на сетке L_6 , снимаемое с делителя $R_{30} - R_{37}$, меньше, чем на ее катоде, и подобрано так, что внутреннее сопротивление этой лампы оказывается большим, если напряжение на ее аноде меньше 24—25 кВ. Когда это напряжение увеличивается, лампа L_6 открывается и ее внутреннее сопротивление, шунтирующее выходную цепь выпрямителя с кенотроном L_4 , понижается. При этом падение напряжения на внутреннем сопротивлении кенотрона L_4 увеличивается, а выходное напряжение поддерживается на установленном уровне.

В выпрямителе фокусирующего напряжения можно использовать лампу 1Ц1С, 1Ц11П или 3Ц18П (L_5). Плавное регулирование этого напряжения осуществляется переменным резистором R_{26} , а грубое — подбором места подключения анода L_5 к отводам обмотки трансформатора Tr_1 .

Лампа L_7 и стабилизатор L_8 работают в цепи стабилизации динамического режима оконечного каскада. Подогреватели ламп L_6 и L_7 должны питаться от отдельной обмотки трансформатора.

Диоды D_3 и D_4 работают в цепи защиты лампы L_2 в течение времени, необходимого для прогрева катода демпфера, когда напряжение на аноде лампы L_2 отсутствует, а мощность, рассеиваемая на ее экранирующей сетке, может превысить максимально допустимую. В это время на конденсаторе C_{16} нет напряжения вольтодобавки и отрицательное напряжение, получаемое на выходе выпрямителя с диодом D_3 , запирает диод D_4 и смещает рабочую точку лампы L_2 в область меньшего тока экранной сетки. По мере прогрева катода L_2 появляется напряжение вольтодобавки, которое через резистор R_{24} поступает на анод диода D_4 и открывает его. Прямое сопротивление открытого диода D_4 мало, и отрицательное напряжение от выпрямителя с диодом D_3 на управляющую сетку L_2 не поступает. После этого режим L_2 зависит лишь от отрицательного напряжения, поступающего на ее управляющую сетку от схемы стабилизации на лампах L_7 и L_8 .

Катодный ток лампы L_2 питает электромагниты для статического сведения лучей и пропускается через кадровые катушки СС для центровки раstra по вертикали. С дополнительной обмотки трансформатора Tr_1 (выводы 2—3) снимаются импульсные напряжения, необходимые для схемы сведения лучей.

Строчные катушки ОС подключены к выводам 8 или 9 и 5 трансформатора Tr_1 через конденсатор C_{19} и регулятор линейности РЛС-110А. При хорошей линейности отклоняющего тока изображение находится в центре экрана, и центрировать его по горизонтали не нужно. В качестве трансформатора Tr_1 можно использовать трансформатор ТВС-110А (на рис. 3-73 его выводы поставлены в скобках). Импульсное напряжение на строчном трансформаторе оказывается промодулированным из-за подключения к нему цепи коррекции подушкообразных искажений. Поэтому импульсы на схему АПЧФ (D_1, D_2) снимаются через цепь R_8, C_6 с анода L_1 мультивибратора.

С целью упрощения узла развертки можно отказаться от стабилизации динамического режима оконечного каскада и исключить лампы L_7 и L_8 , резисторы R_{14} , R_{17} и R_{18} и конденсаторы C_{12} , C_{13} и C_{17} . Нижний по схеме вывод резистора R_{15} надо соединить с анодом диода D_4 , на катод лампы L_6 подать напряжение 380—390 В, а необходимый размер раstra по горизонтали установить подбором резисторов R_9 , R_{22} и R_{23} . При отсутствии у радиолюбителя высоковольтных резисторов $R_{32} - R_{37}$ верхний по схеме вывод переменного резистора R_{31} надо соединить через резистор 2,7 МОм с выводом 5 трансформатора Tr_1 и подать на сетку L_6 часть напряжения вольтодобавки, которое тоже меняется при изменении тока лучей кинескопа.

Если у радиолюбителя нет лампы 6С20С, то можно ограничиться применением одной лишь схемы стабилизации динамического режима (L_7 , L_8), которая в некоторой степени устраняет и колебания ускоряющего напряжения. Из-за

В катодную цепь лампы L_2 включаются кадровые катушки системы сведения. С обмоток $III - IV$ снимаются пилообразные напряжения, необходимые для формирования пилообразных составляющих тока в указанных катушках. Чтобы получить большую мощность, в оконечный каскад телевизора с кинескопом 59ЛК3Ц следует включить параллельно две лампы 6П18П.

Для центровки раstra по вертикали через кадровые катушки ОС пропускается постоянный ток. Хорошие результаты получаются при использовании

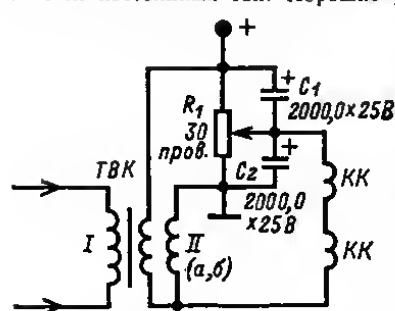


Рис. 3-75.

схемы с двойной выходной обмоткой II на ТВК (рис. 3-75). Однотактные части этой обмотки, намотанные в два провода, через конденсаторы C_1 и C_2 соединены по переменному току параллельно. К точке соединения этих конденсаторов подключены кадровые катушки КК и движок потенциометра R_1 , который включен параллельно частям выходной обмотки, соединенным для постоянного тока последовательно. Под действием этого тока на потенциометре R_1 и частях выходной обмотки II образуется падение напряжения. Перемещая движок потенциометра R_1 можно менять полярность напряжения, приложенного к кад-

ровым катушкам КК, и пропускать через них постоянный ток в том или

ином направлении.

В узле кадровой развертки используется ряд деталей промышленного изготовления: Tr_1 — унифицированный тип БТК или БТКП, R_{21} (рис. 3-74) и R_1 (рис. 3-75) — проволоочные потенциометры для фокусировки и центровки типа ППЗ. Трансформатор Tr_2 — самодельный с магнитопроводом Ш26 × 30. Сначала в два провода наматывается обмотка II , содержащая 228 ± 228 витков ПЭВ-1 0,38, затем — обмотки $III - V$ по 80 ($40 + 40$) витков ПЭВ-1 0,16 каждая. Последняя обмотка I содержит 2740 витков ПЭВ-1 0,16. Каждый слой провода этой обмотки изолируют слоем тонкой конденсаторной бумаги. Между обмотками прокладывают слой лакоткань.

Узел строчной развертки на транзисторах для цветного телевизора на кинескопе 59ЛК3Ц

Узел (рис. 3-76) состоит из двух устройств. Первое из них служит для создания отклоняющего тока необходимой формы в строчных катушках ОС, второе — для получения стабилизированного напряжения питания +25 кВ второго анода кинескопа. Устройство формирования отклоняющего тока состоит из парафазного усилителя на транзисторе T_1 , системы АПЧФ на диодах D_2 к D_5 , УПТ на транзисторе T_2 , задающего блокинг-генератора с коллекторно-базовой связью на транзисторе T_3 , буферного усилителя на транзисторе T_4 и выходного каскада на транзисторах T_5 , T_6 и демпферном диоде D_6 .

С обмотки III трансформатора Tr_1 задающего генератора прямоугольные импульсы поступают на буферный усилитель. Резистор R_{21} ограничивает ток базы транзистора T_4 . Нагрузкой усилителя служит трансформатор Tr_2 , создающий импульсный ток в базах транзисторов T_5 и T_6 , который открывает их до каскаса. Резистор R_{23} в диод D_5 ограничивает положительный выброс напряжения на коллекторе транзистора T_4 , когда он закрывается.

Выходные транзисторы T_5 и T_6 соединены последовательно. Нагрузкой выходного каскада служат выходной строчной трансформатор Tr_3 , ОС, симметрирующая катушка L_3 , регулятор линейности L_2 и трансформатор коррекции подушкообразных искажений раstra Tr_4 . Отклоняющая система подсоединена через регулятор линейности L_2 к коллектору транзистора T_5 и катоду демпфер-

ного диода D_0 . Параллельное включение строчных катушек КС отклоняющей системы позволяет применить симметрирующую катушку L_3 , с помощью которой можно устранить перекрещивание строк красного и зеленого цветов.

Контур L_1C_{15} настроен на третью гармоничную частоту свободных колебаний, возникающих в строчных катушках во время обратного хода луча по горизонтали, что снижает импульсы напряжения обратного хода на транзисторах T_5 , T_0 на 15—20% и уменьшает паразитные колебания отклоняющего тока в начале прямого хода лучей. Импульсное напряжение обратного хода равномерно распределяется с помощью конденсаторов C_{12} , C_{13} на транзисторах T_5 и T_6 .

Параллельно строчным катушкам ОС и катушке L_3 подключены обмотки I и II трансформатора коррекции подушкообразных искажений раstra Tr_4 . Обмотка III этого трансформатора через катушку коррекции фазы L_4 соединена с надровыми катушками ОС. Работа схемы коррекции подушкообразных искажений раstra описана на стр. 258.

Центровка раstra по горизонтали осуществляется с помощью узла центровки, состоящего из обмотки III трансформатора Tr_3 , диодов D_7 , D_8 , конденсаторов C_{18} , C_{17} , резистора R_{26} и дросселя Dr_1 . С обмотки I трансформатора Tr_3 положительные импульсы обратного хода поступают на АРУ, блок цветности, узел гашения обратного хода лучей по горизонтали, блок сведения лучей и генератор источника стабилизированного напряжения 25 кВ для питания второго анода, а также фокусирующего и ускоряющих электродов нинескопа. В этом источнике на транзисторе T_7 собран УПТ, а на T_9 , T_{10} — каскад, формирующий пилообразное напряжение. На базу транзистора T_{11} наснада сравнения поступают постоянное напряжение питания с УПТ (T_7) и пилообразное напряжение с каскада формирования (T_9 , T_{10}). С каскада сравнения T_{11} управляющие импульсы поступают на предоконечный каскад на транзисторе T_{12} , а с него — на выходной каскад T_{13} .

Стабилизация высоковольтного напряжения при изменении тонов лучей нинескопа осуществляется изменением длительности управляющего импульса на базе транзистора T_{13} . При изменении тона лучей или напряжения питания (32 В) изменяется выпрямленное высокое напряжение. Через делитель из резисторов — R_{48} — R_{60} , R_{28} , R_{29} часть этого напряжения поступает на базу транзистора T_7 , эмиттер которого соединен с источником опорного напряжения на стабилизаторе D_{10} . Изменения напряжения на базе транзистора T_7 усиливаются и передаются на каскад сравнения T_{11} . Элементы D_9 , R_{30} , C_{21} — C_{23} служат для устранения самовозбуждения стабилизатора.

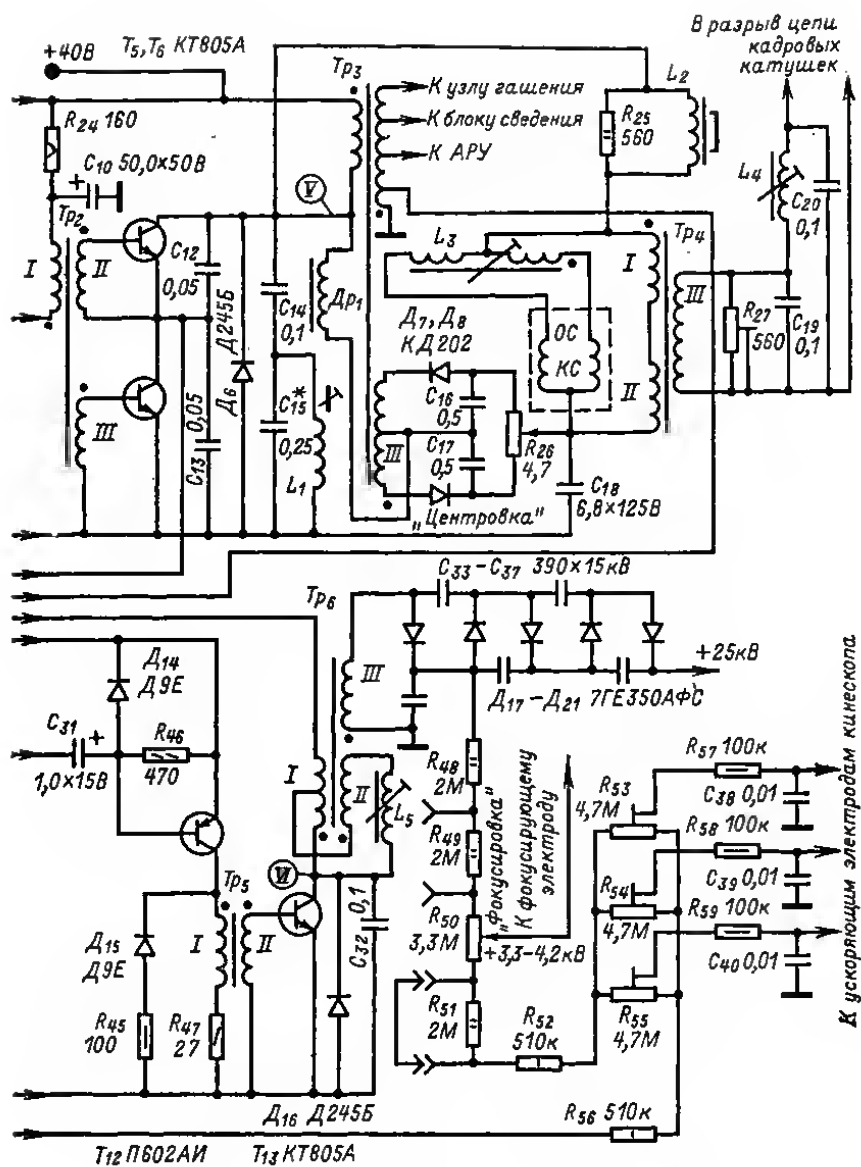
Нагрузкой выходного транзистора T_{13} является трансформатор Tr_0 . Контур, образованный его обмоткой III и паразитными емкостями, настроен на третью гармонику частоты свободных колебаний, возникающих во время обратного хода лучей по горизонтали в контуре, образованном обмоткой I этого трансформатора и также паразитными емкостями. Настройка осуществляется изменением связи между этими контурами с помощью сердечника катушки L_5 . При этом возрастает н. п. д. выходного каскада и снижается на 20—25% импульс напряжения при обратном ходе луча на коллекторе транзистора T_{13} , что повышает надежность его работы.

Умножитель напряжения собран на выпрямителях D_{17} — D_{21} и конденсаторах C_{33} — C_{37} . К первому звену умножителя (выпрямитель D_{17}) подключен делитель (резисторы R_{48} — R_{60} , R_{28} , R_{29}), с которого снимается напряжение на фокусирующий и ускоряющий электроды нинескопа.

Нестабильность высокого напряжения при изменении напряжения питания от —10 до +6% и тона лучей нинескопа в пределах 0—1 мА не превышает 4%.

Узел можно смонтировать на печатных платах. Транзисторы T_5 , T_6 нужно установить на иглочатых радиаторах с площадью рассеяния 200 см² каждый, транзистор T_{13} на радиаторе площадью 150 см². Трансформатор Tr_0 , умножитель напряжения D_{17} — D_{21} , C_{33} — C_{37} и делитель напряжения R_{48} — R_{60} следует установить вне плат.





К ускоряющим электродам кинескопа

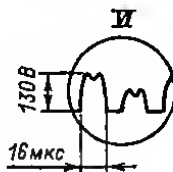
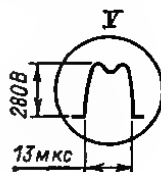
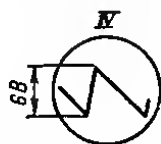


Таблица 3-14

Моточные данные деталей узла строчной развертки на транзисторах для цветного телевизора

Обозначение по схеме	Сердечник	Обмотка	Число витков	Марка провода	Диаметр провода
Tr_1	M2000HM1-Ш5 × 5	I	100	ПЭВ-2	0,12
		II	500	ПЭВ-2	0,12
		III	100	ПЭВ-2	0,12
Tr_2	M2000HM1-Ш7 × 7, зазор 0,12 мм	I	250	ПЭВ-2	0,2
		II	18	ПЭВ-2	0,7
		III	18	ПЭВ-2	0,7
Tr_3	M2000HM1-Ш7 × 7, зазор 0,2 мм	I	5 + 35 — 60 + 10	ПЭВ-2	0,12
		II	120	ПЭВ-2	0,64
		III	5 + 5	ПЭВ-2	0,64
Tr_4	M2000HM1-Ш7 × 7, зазор 0,16 мм	I	45	ПЭВ-2	0,41
		II	45	ПЭВ-2	0,41
		III	180	ПЭВ-2	0,41
Tr_5	M3000HM-C1-ПК26-13, зазор 1 мм	I	15 + 12	ПЭВ-2	0,7
		II	15	ПЭВ-2	0,47
		III	1700	ПЭВ-2	0,1
Dp_1	M2000HM1-Ш5 × 5		55	ПЭВ-2	0,41
L_1	M1500HM3-CC4, 5 × 17		20	ПЭЛШО	1,0
L_2	Ферритовый цилиндрический от РЛС-110Л1		40	ПЭВ-2	0,7
L_3	M1500HM3-CC4, 5 × 17		25 + 25	ПЭВ-2	0,7
L_4	M1500HM3-CC4, 5 × 17		300	ПЭВ-2	0,47
L_5	M1500HM3-CC4, 5 × 17		30	ПЭВ-2	0,7

Примечания: 1. Трансформатор Tr_2 изготавливают по данным трансформатора Tr_1 без обмотки III.

2. Каждый слой и обмотки трансформатора изолируются: у Tr_1 — конденсаторной бумагой толщиной 0,02 мм; — у Tr_2 , Tr_4 , Tr_5 , Tr_6 — то же, толщиной 0,05 мм; у Tr_3 — триацетатной пленкой толщиной 0,07 мм.

3. Ширина обмотки катушки 3–5 мм, расстояние между ними 10 мм.

Узел рассчитан на работу с отклоняющей системой ОС-90ЛЦ1. Регулятор линейности строк можно изготовить на базе РЛС-90ЛЦ2 или РЛС-110Л1, перематыв его по данным, приведенным в табл. 3-14, в которой указаны также намоточные данные всех катушек и трансформаторов. Конденсаторы C_{13} — C_{15} , C_{32} — МГО или К72П-6 на напряжение не менее 400 В, конденсатор коррекции нелинейных искажений C_{18} — К42-11; резисторы R_{48} — R_{52} — КЭВ = 1, а R_{26} — ППЗ.

Узел кадровой развертки на транзисторах для цветного телевизора

Узел кадровой развертки с бестрансформаторным выходом (рис. 3-77) предназначен для цветных телевизоров с нинескопами 59ЛК3Ц и 40ЛК4Ц и обеспечивает нелинейность изображения по вертикали 7–10%; нестабильность размера изображения по вертикали при самопрогреве телевизора 3%; смещение изображения регулировкой Центровка вверх и вниз на 25 мм. Потребляемая мощность 8 Вт.

Задающий генератор, вырабатывающий пилообразно-импульсное напряжение, состоит из мультивибратора с последовательно включенными по постоян-

ному току транзисторам T_1 и T_2 и разрядного каскада на транзисторе T_3 . Ширину прямоугольных импульсов, снимаемых с мультивибратора, можно изменять в пределах 0,7—1,2 мс переменным резистором R_9 . В генераторе предусмотрена регулировка симметрии расположения в растре смежных строк при черестрочной развертке с помощью переменных резисторов R_1 и R_{18} .

С задающего генератора пилообразно-импульсное напряжение через эмиттерный повторитель на транзисторе T_4 поступает на усилитель мощности, который содержит предварительный каскад усиления на транзисторе T_5 , и выходной усилитель. Предварительный каскад охвачен ООС по постоянному току за счет включения резистора R_{20} в цепь эмиттера транзистора T_5 , что улучшает температурную стабилизацию его рабочей точки.

Выходной усилитель собран по схеме бестрансформаторного двухтактного каскада с несимметричными входом и выходом на транзисторах T_7 — T_{10} . Он работает в режиме АВ с небольшим напряжением смещения для получения необходимой линейности изображения по вертикали в середине экрана кинескопа.

Связь между симметрирующим (транзисторы T_7 и T_8) и выходным (T_9 — T_{10}) каскадами усилителя мощности непосредственная. Для температурной стабилизации усилителя служит термокомпенсирующий транзистор T_6 , который расположен вблизи мощного транзистора T_{10} .

Нагрузкой кадровой развертки являются кадровые катушки $КК$ унифицированной отклоняющей системы ОС-90ПЦ2. Терморезисторы, соединенные последовательно с кадровыми катушками, в ОС не используются. Кадровые катушки подключены к выходу усилителя мощности через разделительный конденсатор C_9 , емкость которого влияет на линейность изображения. Способ коррекции подушкообразных искажений описан на стр. 258.

Для линейаризации развертки используется емкостная обратная связь, охватывающая весь усилитель мощности. Полученное на выходе пилообразное напряжение интегрируется и подается на вход эмиттерного повторителя T_4 . После интегрирования получается параболическое напряжение, благодаря чему уменьшается скорость изменения экспоненциального напряжения на базе транзистора T_4 , образующегося в результате работы разрядного каскада.

Способ гашения обратного хода зависит от видеоусилителя. Если видеоусилитель собран на транзисторах, то импульсы гашения обратного хода через диод D_2 и резистор R_{29} должны быть поданы на эмиттер транзистора оконечного каскада видеоусилителя. Если же выходной каскад видеоусилителя выполнен на лампе, импульсы гашения обратного хода подадут на ускоряющие электроды кинескопа через усилитель импульсов гашения.

Для устранения взаимных помех кадровой развертки и УНЧ питание узла производится через два независимых стабилизатора напряжения на транзисторах T_{11} , T_{12} и T_{13} — T_{14} . Выпрямители собраны по схеме удвоения напряжения на диодах D_6 , D_7 и D_9 , D_{10} . При изменении напряжения на $\pm 10\%$ номинального значения выходное напряжение стабилизатора изменяется не более чем на 0,5%.

Все детали узла кадровой развертки можно расположить на одной печатной плате, кроме транзистора T_{10} и переменных резисторов R_5 , R_{12} и R_{31} . Транзистор T_{10} следует расположить на шасси телевизора в месте, не подвергнутом дополнительному нагреву со стороны других деталей. Специального подбора пар транзисторов T_7 , T_8 и T_9 , T_{10} не требуется. Из имеющихся в наличии транзисторов желательно транзисторы с большим коэффициентом передачи по току поставить на место T_8 и T_9 .

Все постоянные резисторы — в блоке МЛТ. Переменные резисторы R_1 , R_9 , R_{14} , R_{18} , R_{24} и R_{25} — СПЗ-16 или СПО-0,5; R_{12} — типа СП-11А; R_{31} — типа ППЗ-11. Конденсатор C_1 — БМТ-2; C_2 — МБМ; C_9 — МБГО-2; C_4 — C_{13} — К50-6 или К50-3. Диод D_1 может быть D_2 или D_9 с любым буквенным индексом; D_2 , D_6 , D_7 , D_9 и D_{10} — Д226Д; D_3 , D_4 и D_5 — Д814Г; D_8 — Д814Д. Транзисторы T_1 , T_3 и T_4 — КТ312Б; T_5 , T_8 и T_{13} — КТ602Г; T_7 , T_{12} — ГТ403Б; T_9 и T_{10} — КТ807Б; T_6 и T_{14} — МП35 — МП38. Для транзисторов T_9 , T_{10} и T_{11} нужно

использовать радиаторы из дюралюминия Д16Т, окрашенные в черный цвет. Площадь радиатора для T_9 должна составлять не менее 50 см^2 , для T_{10} , T_{11} — 100 см^2 . Даниные трансформатора Tr_1 зависят от конструкции других блоков телевизора.

3-9. АВТОМАТИЧЕСКОЕ РЕГУЛИРОВАНИЕ В ТЕЛЕВИЗОРАХ

Автоматическое регулирование усиления

Помехоустойчивая ключевая АРУ. На нагрузке видеодетектора выделяется видеосигнал, содержащий постоянную составляющую, т. е. заполненный полу-волнами напряжения несущей частоты (рис. 3-78). Использовать постоянную составляющую этого сигнала для АРУ нельзя, так как она зависит от освещенности и содержания передаваемого изображения. Для АРУ можно использовать лишь напряжение от пикового детектора U_n , равное напряжению несущей в моменты передачи синхронимпульсов, амплитуда которых не меняется при изменении освещенности передаваемого изображения. Однако АРУ с пиковым детектором не обладает помехоустойчивостью, и усиление приемника понижается при наличии импульсных помех, амплитуда которых превышает амплитуду синхронимпульсов.



Рис. 3-78.

Схема ключевой АРУ содержит стробируемый пиковый детектор или усилитель, отпираемый импульсами обратного хода строк лишь в моменты передачи

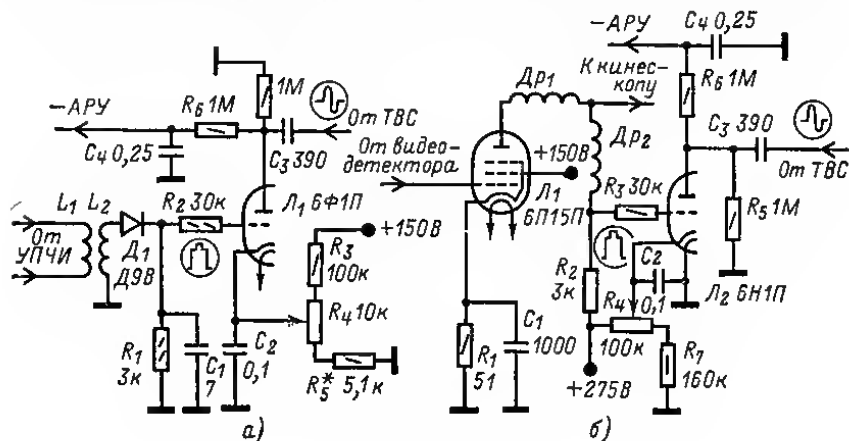


Рис. 3-79.

синхронимпульсов. В цепи по схеме на рис. 3-79, а стробируется усилитель АРУ. На анод триода L_1 подаются импульсы обратного хода от выходного строчного трансформатора амплитудой $100\text{--}200 \text{ В}$. На управляющую сетку триода поступает напряжение от видеодетектора или от отдельного детектора АРУ. Для задержки АРУ триод заперт напряжением, приложенным к катоду и снимаемым с потенциометра R_4 . В результате триод отпирается лишь при совпадении по времени синхронимпульсов, поступающих на сетку, и импульсов обратного хода.

работающие как на запирающие, так и на отпирающие транзисторы в усилительных каскадах.

Схема АРУ, работающая на запирающие, приведена на рис. 3-81. Напряжение от пикового детектора на диоде D_1 , подключенном к контуру последнего насада УПЧИ, поступает на базу эмиттерного повторителя на транзисторе T_3 .

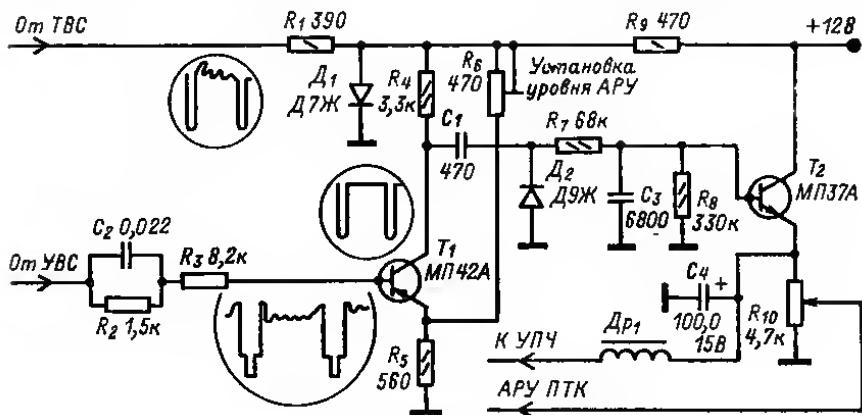


Рис. 3-82.

Этот повторитель согласует высокое выходное сопротивление пикового детектора с низким входным сопротивлением транзистора T_4 , на котором собран усилитель напряжения АРУ. В переносных транзисторных телевизорах, работающих в условиях высокого уровня импульсных помех, особенно в черте города, применяют помехоустойчивые ключевые АРУ.

Ключевая АРУ, работающая на отпирание, показана на рис. 3-82. Импульсы обратного хода строчной развертки, снимаемые с обмотки ТВС, выпрямляются диодом D_2 и заряжают конденсатор C_1 так, что на вход эмиттерного повторителя T_2 через фильтр R_7, C_3 поступает положительный потенциал. При совпадении по времени синхронимпульсов, отпирающих транзистор T_1 , и импульсов обратного хода заряд на конденсаторе C_1 уменьшается из-за того, что эти импульсные напряжения компенсируют друг друга. В результате уменьшается положительное напряжение, образующееся на выходе эмиттерного повторителя и приложенное к базам транзисторов регулируемых насадов, которые сильнее отпираются, и их рабочие точки переходят на участки характеристики с малой крутизной.

Ключевая АРУ ламповых телевизоров. В схеме ключевой АРУ телевизоров УЛТ-61 (см. рис. 3-25) работает триодная часть лампы L_{304} . Напряжение видеосигнала подается на сетку триода с делителя $R_{329}, R_{331}, R_{337}$ без переходных емкостей. Благодаря этому обеспечивается передача постоянной составляющей, величина которой определяется уровнем напряжения ПЧ на входе видеодетектора, а этот уровень в свою очередь зависит лишь от величины принимаемого сигнала и не меняется при изменении содержания передаваемого изображения. Триод L_{304} заперт напряжением, снимаемым с делителя R_{336}, R_{338} , и отпирается вершинами синхронимпульсов, содержащихся в напряжении, поступающем на сетку. Элементы $R_{327}, R_{335}, R_{328}, R_{305}, C_{333}, D_{511}, R_{512}$ входят в схему автоматического заперта приемного тракта на время прогрева катодов ламп строчной развертки, когда АРУ не работает. Этим предотвращается перегрузка приемного тракта и устраняется возникающий от этого шум в громкоговорителях.

В течение времени, необходимого для прогрева катода демпферного диода в окончательном каскаде строчной развертки, импульсы обратного хода на аноде триода J_{304} отсутствуют. В это время отсутствует напряжение вольтодобавки, которое через элементы R_{355} , R_{327} , R_{328} , R_{512} , R_{518} может поступать на диоды D_{305} и D_{511} и отпереть их. При этом диоды выпрямляют напряжение якала, поступающее через C_{333} , и полученное отрицательное напряжение подается на управляющие сетки ламп ПТК и первого каскада УПЧИ и запирает их. Варисторы R_{355} и R_{518} выполняют роль ключей, сопротивление которых при отсутствии напряжения вольтодобавки велико, а при наличии этого напряжения — резко уменьшается.

Ключевая АРУ транзисторных телевизоров. В схеме ключевой АРУ телевизора ППТ-23-2 (см. рис. 3-29) импульс обратного хода строчной развертки, сформированный диодом D_9 , выпрямляется диодом D_8 . Полученное на конденсаторе C_{82} постоянное напряжение через усилитель на транзисторе T_{18} подается на УВЧ селектора ПТКП-3 как начальное напряжение смещения. Транзистор T_{17} отпирается сигналом изображения и шунтирует диод D_8 . В результате напряжение на конденсаторе C_{82} и на выходе схемы АРУ уменьшается, что ведет к уменьшению усиления УВЧ и УПЧИ (работа АРУ на отпирание описана на стр. 249). Благодаря действию АРУ изменение уровня входного сигнала в 10 раз приводит к изменению напряжения на видеодетекторе лишь в 1,4 раза.

В ключевой АРУ транзисторного телевизора можно использовать интегральную микросхему К2ЖА245 (см. стр. 706)

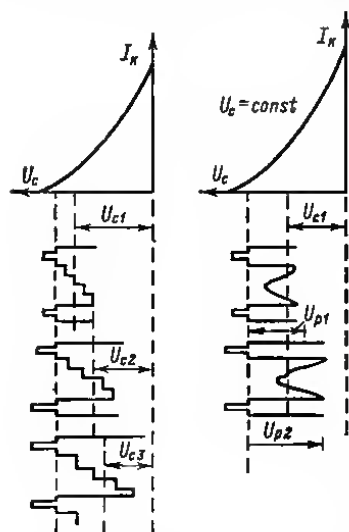


Рис. 3-83.

Автоматическое регулирование яркости (АРЯ) и поддержание уровня черного

Для правильного воспроизведения изображения необходимо, чтобы вершины гасящих импульсов видеосигнала располагались в начале анодно-сеточной характеристики кинескопа, а синхронимпульсы заходили в область отсечки анодного тока. При этом во время передачи темных участков изображения ток луча должен быть минимальным (рис. 3-83). Задача АРЯ сводится к поддержанию уровня черного в воспроизводимом изображении вне зависимости от изменения размаха видеосигнала при регулировке контрастности и от изменения содержания передаваемого изображения, когда размах видеосигнала изменяется при передаче различных по освещенности кадров. Несовпадение уровня черного в видеосигнале с точкой отсечки тока луча кинескопа приводит к неправильному воспроизведению градаций яркости и к потере пропорциональности ступеней серого в принятом изображении.

Для решения задачи правильного воспроизведения градаций применяют либо АРЯ, либо схемы привязки уровня черного.

АРЯ вырабатывает напряжение U_C , которое при любом изменении контрастности устанавливает среднюю яркость изображения такой, чтобы уровень черного соответствовал точке записания тока луча кинескопа I_K (рис. 3-83). В простейшей схеме (рис. 3-84, а) напряжение на потенциометр регулировки яркости R_4 и на катод кинескопа подается с одной и той же точки — после резистора

нагрузки R_2 видеоусилителя. При увеличении напряжения на выходе видеодетектора уменьшаются средний анодный ток лампы $Л_1$ видеоусилителя и разность напряжений между модулятором и катодом кинескопа, а средняя яркость поддерживается на требуемом уровне.

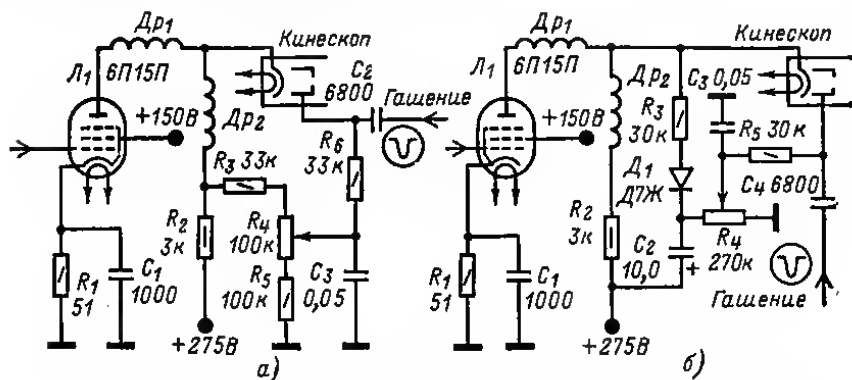


Рис. 3-84.

В более совершенной схеме (рис. 3-84, б) имеется диод D_1 , через который в моменты появления синхронимпульсов заряжается конденсатор C_2 . Начальная яркость устанавливается выбором напряжения на катode кинескопа при помощи резистора R_1 (U_{c1} на рис. 3-83). При увеличении сигнала на выходе

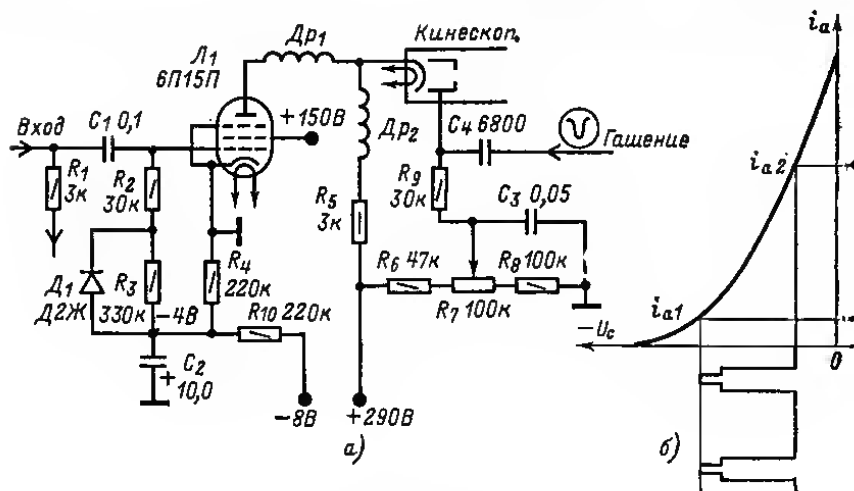


Рис. 3-85.

видеодетектора увеличивается напряжение на конденсаторе C_2 (U_{p2} на рис. 3-83), что приводит к пропорциональному увеличению средней яркости изображения. В результате с повышением контрастности средняя яркость изображения увеличивается так, что уровень черного поддерживается на точке отсечки тока луча кинескопа.

Схема привязки уровня черного с фиксирующим диодом применяется в видеоусилителях, где связь с резистором нагрузки R_1 видеодетектора или предыдущего каскада осуществляется при помощи переходного конденсатора C_1 (рис. 3-85, а). В отсутствие видеосигнала анодный ток лампы L_1 мал (i_{a1} на рис. 3-85, б), а потенциал на ее аноде и на катоде кинескопа повышен так, что яркость свечения экрана минимальна и находится на уровне черного. При появлении на резисторе R_1 видеосигнала отрицательной полярности конденсатор C_1 заряжается через диод D_1 так, что к управляющей сетке лампы L_1 оказывается приложено положительное напряжение, практически равное амплитуде входного видеосигнала. В результате анодный ток лампы L_1 увеличивается до значения i_{a2} , а напряжение на ее аноде и на катоде кинескопа уменьшается так, что яркость свечения экрана автоматически возрастает до уровня, соответствующего передаче светлых деталей изображения. При этом в моменты прохождения гасящих импульсов и синхронимпульсов анодный ток лампы L_1 уменьшается до начального значения i_{a1} , соответствующего уровню черного.

Цепь по схеме рис. 3-85 иногда называют цепью восстановления постоянной составляющей видеосигнала. Однако в этой цепи происходит лишь фиксация

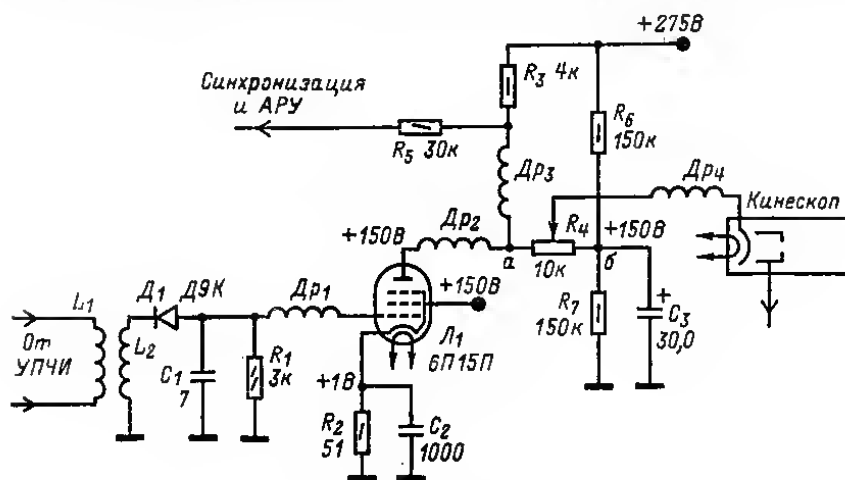


Рис. 3-86.

уровня черного, а постоянная составляющая, пропорциональная амплитуде несущей ПЧ, имевшаяся на нагрузке детектора, оказывается безвозвратно потерянной. По этой причине использовать выходное напряжение видеоусилителя в такой схеме для целей АРУ нельзя.

Мостовая схема регулировки контрастности (рис. 3-86) с фиксированным уровнем черного применяется в телевизорах, имеющих эффективно действующую АРУ, благодаря которой напряжение на аноде лампы видеоусилителя при передаче уровня черного не зависит от изменения амплитуды принимаемого сигнала. Контрастность регулируется резистором R_4 , включенным в диагональ моста, образованного лампой L_1 , резистором R_3 и делителем R_6 , R_7 . Режим лампы L_1 зависит от напряжения на резисторе R_1 нагрузки видеодетектора. Изменяя порог АРУ, это напряжение подбирают таким, чтобы в моменты прохождения гасящих импульсов, т. е. при передаче уровня черного, потенциалы точек а и б были равны. В этом случае при регулировании контрастности изменяется яркость белого и яркость градаций серого, а черное на изображении остается неизменным. Устройство по такой схеме удобно тем, что величина видео-

яния, питающего анодную цепь лампы L_2 , меньше влияли на частоту гетеродина, варикап включен в диагональ моста, плечи которого образованы внутренним сопротивлением этой лампы, нагрузочным резистором R_9 и резисторами R_8 , R_{10} и R_{11} . Стабилитрон Д813 ограничивает пределы изменения напряжения на варикапе и предохраняет его от пробоя при выходе из строя лампы L_2 .

Для создания смещения на сетке лампы L_2 используется стабилитрон D_3 , динамическое сопротивление которого мало (несколько ом), поэтому ООС из-за включения его в катодную цепь лампы L_2 практически не возникает и усиление

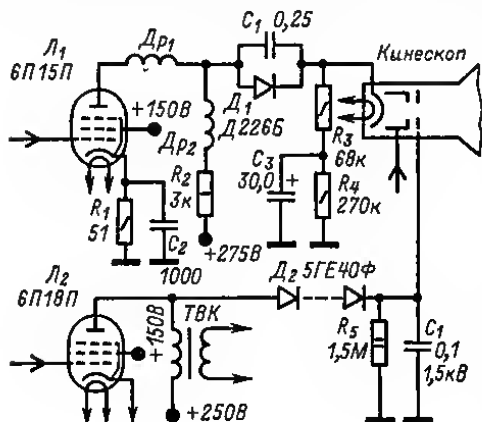


Рис. 3-88.

этого каскада не уменьшается. Строго говоря, стабилитрон D_3 является источником опорного напряжения, с которым сравнивается выходное напряжение частотного детектора, поступающее на сетку лампы L_2 . Полученная после сравнения этих напряжений разность усиливается лампой L_2 .

Переменный резистор R_{10} служит для балансировки схемы моста и установив начального смещения на варикапе. Эти операции производят, выключив АПЧГ — замкнув контакты выключателя B_1 . При этом резистор R_{10} можно использовать для ручной настройки гетеродина.

Катушки контура частотного детектора в устройстве по схеме на рис. 3-87 наматывают на яриасе $\Phi 7,5$ мм на расстоянии друг от друга 10 мм виток и витку, они содержат по 10 витков провода ПЭЛШО 0,35 и снабжаются латунными сердечниками для подстройки. Контур заключен в экран размером $21 \times 21 \times 36$ мм.

АПЧГ телевизора УЛТ-61 (см. рис. 3-25). Лампа L_{306} входит в схему АПЧГ и выполняет функции несущей ПЧИ и усилителя напряжения регулирования. В частотном детекторе АПЧГ работают диоды D_{303} и D_{304} . Варикап, изменяющий частоту гетеродина блока ПТК, включен через контакты 3 и 5 KP_1 в диагональ моста, состоящего из внутреннего сопротивления лампы L_{306} , резистора R_{316} в анодной цепи и делителя из резисторов R_{323} , R_{352} , R_{354} и R_{353} . Диоды D_{302} и D_{807} ограничивают напряжение на варикапе. Полоса захвата цепи АПЧГ — не менее ± 1 МГц. Это значит, что при такой расстройке схема может автоматически подстроить гетеродин.

Автоматическое гашение луча кинескопа

После выключения телевизора на аноде кинескопа остается высокое напряжение, которым заряжена емкость между этим анодом и внешним графитовым покрытием колбы кинескопа, а ионализированный газ продолжает испускать электроны. Генераторы развертки в это время уже не работают, и остановившийся луч высвечивает на экране кинескопа яркое пятно и может даже прожечь люминофор, на котором из-за этого появится темная точка или полоска. Чтобы предотвратить прожог люминофора, применяют цепи, осуществляющие автоматическое гашение луча после выключения телевизора и при возникновении неисправностей в генераторах развертки.

Схема автоматического гашения луча при выходе из строя кадровой развертки (рис. 3-88) содержит выпрямительный столб D_2 , который работает в выпря-

мителе импульсов обратного хода, снимаемых с первичной обмотки ТВК. Напряжение с выхода этого выпрямителя используется в качестве ускоряющего и подается на соответствующий электрод кинескопа. При выходе из строя кадровой развертки ускоряющее напряжение исчезает, благодаря чему напряжения, приложенные к остальным электродам кинескопа, не могут отпереть электронный прожектор и луч оказывается погашенным.

Цепь автоматического гашения луча кинескопа после выключения телевизора состоит из диода D_1 , резисторов R_3 и R_4 и конденсатора C_3 . После выключения телевизора напряжение на конденсаторе C_3 остается, а на аноде лампы L_1 видеусилителя быстро исчезает. При этом D_1 запирается и конденсатор C_3 может разрядиться лишь через резистор R_4 . Постоянная времени цепи разряда выбирается такой, чтобы на все время, пока катод кинескопа еще не остыл, на конденсаторе C_3 сохранялось напряжение, достаточное для запираания электронного прожектора.

3-10. УСТРОЙСТВО СВЕДЕНИЯ ЛУЧЕЙ В ЦВЕТНОМ КИНЕСКОПЕ

Однородность каждого из трех цветных растров на экране кинескопа зависит от точности его изготовления и качества отклоняющей системы. Подбирая длину, форму и взаимное расположение строчных и кадровых отклоняющих катушек, удается получить один общий центр отклонения и совместить его с плоскостью перехода горловины в ионизирующую часть колбы кинескопа. Неточности при изготовлении кинескопа и отклоняющей системы, а также магнитные поля Земли и поля от деталей телевизора могут явиться причинами частичного попадания лучей не на «свой» точный лимбофора или на маску.

Магниты чистоты цвета с продольным по отношению к осям прожекторов полем применяются для коррекции упомянутых неточностей. Вредное влияние внешних магнитных полей устраняют экранировкой колбы кинескопа и размагничиванием его деталей при помощи постоянных магнитов или петли размагничивания, размещенных на колбе.

Три луча должны оставаться сведенными в одну точку не только в центре экрана, но и по всей его поверхности в процессе отклонения. Из-за неодинаковых расстояний от центра и краев экрана до центра отклоняющей системы, из-за смещения осей прожекторов относительно этого центра и неоптимальной конструкции ОС (формы, диаметра, длины и распределения витков отклоняющих катушек) границы трех одноцветных растров оказываются не совмещенными.

Статическое сведение лучей в центре экрана и их динамическое сведение по всей его поверхности в процессе отклонения осуществляется действием на каждый луч постоянного и переменного магнитных полей (рис. 3-89). Для этого внутри горловины кинескопа по бокам каждого прожектора расположены полюсные наконечники, изготовленные из пластин магнитомягкого металла, напро-

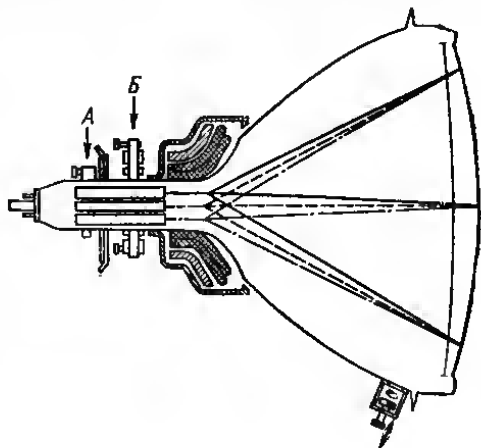


Рис. 3-89.

тив которых на горловине устанавливаются внешние полюсные наконечники электромагнитов системы сведения. Постоянное магнитное поле для статического сведения лучей создают при помощи поворачивающихся постоянных магнитов, размещенных в средней части сердечников *В*, или пропуская постоянный ток через катушки электромагнитов. Для динамического сведения лучей через эти катушки пропускают переменные токи, изменяющиеся по закону параболы. Поле электромагнитов перемещает синий луч вертикально; для его горизонтального перемещения служит постоянный магнит *А*.

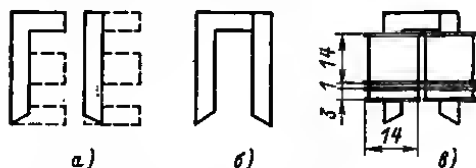


Рис. 3-90.

ний. Из-за жестких требований к форме и точности намотки секций катушек изготовить ОС для цветного телевизора в любительских условиях трудно. Остальные элементы и детали для системы сведения и коррекции траектории лучей можно изготовить самостоятельно.

Самодельный электромагнит системы сведения лучей. Сведение лучей в процессе их отклонения по вертикали и по горизонтали осуществляется двумя парами катушек, питаемых тонами параболы. Катушки имеют сердечник Ш7 из феррита марки 1000 НМ, неужные части которого стачивают на наждачном круге (рис. 3-90, а). Нестаченные поверхности шлифуют илеем БФ-2

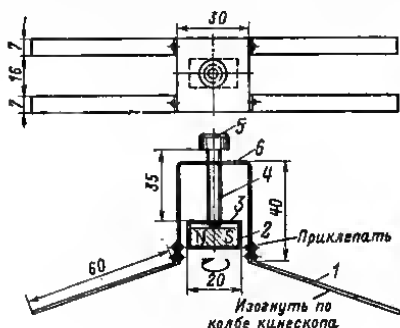


Рис. 3-91.

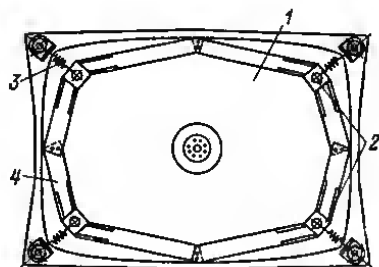


Рис. 3-92.

(рис. 3-90, б). Кадровые катушки содержат по 2000 витков, строчные — по 150 витков, намотанных внавал на картонных кариасах проводом ПЭВ-2 0,15 (рис. 3-90, в). Для последовательного включения у каждой пары катушек, намотанных в одну сторону, между собой соединены концы и выведены начала. Для статического сведения лучей через катушки самодельной системы сведения пропускают постоянный ток.

Полюсные наконечники магнита сдвига синего луча (рис. 3-89) изготавливают из полоски магнитомягкого железа. В них закреплена круглый сердечник от магнита центровки кадра для черно-белых кинескопов. Целый магнит центровки кадра можно использовать вместо дисковых магнитов *В* для регулировки чистоты цвета.

На рис. 3-91 показана конструкция магнитов размагничивания кинескопа. Кронштейн 6 с полюсными наконечниками 1 изготавливают из магнитомягкой стали. Сердечник 2 от магнита ионной ловушки кинескопов 18ЛК5Б упакован в обойму 3, прикрепленную к длинному винту 4 с ручкой 5, которые служат для регулировки положения и перемещения сердечника.

Четыре кронштейна 2 (рис. 3-92) с магнитами укреплены на хомуте из полосы алюминия 4, оклеенной с одной стороны резиной, облегчающей колбу кинескопа 1. Хомут притянут к колбе четырьмя пружинами 3, которые закреплены на четыре наконечника 2 от электрических кабелей, поджатых под гайки, крепящие бандаж кинескопа на четырех шпильках, прикрепленных к футляру телевизора.

Схема сведения лучей для лампового цветного телевизора

Схема на рис. 3-93 формирует токи для питания катушек системы сведения (СС). Хорошее сведение лучей можно получить, питая строчные катушки СС током, кривая изменения которого представляет собой отрезок синусоиды. Такие

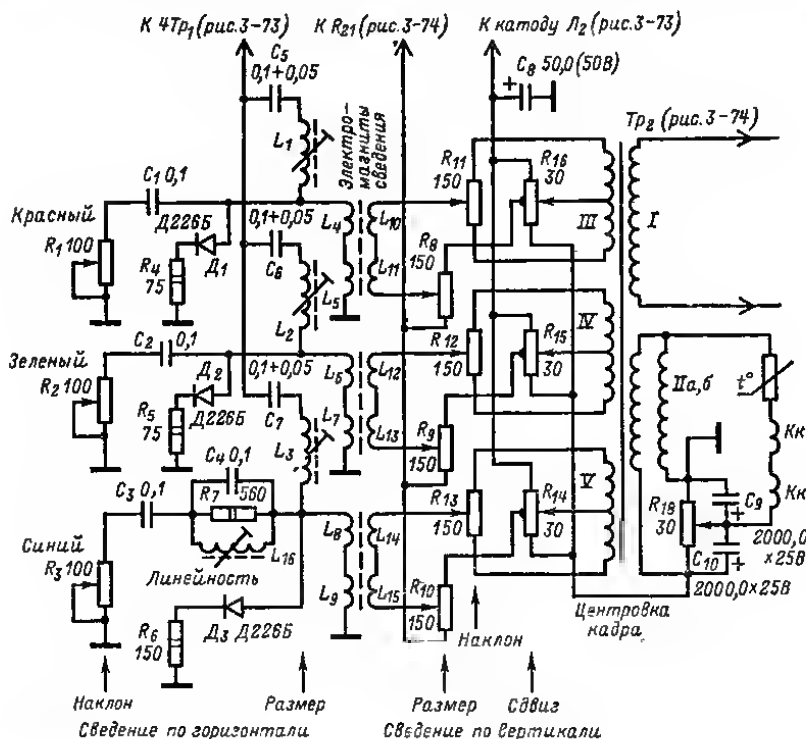


Рис. 3-93.

токи формируются в цепи колебательных контуров ($f = 7-9$ кГц), ударно возбуждаемых импульсами обратного хода строчной развертки, снимаемыми с дополнительной обмотки ТВС. В контуры входят катушки электромагнитов СС $L_4 - L_{10}$, дополнительные катушки $L_1 - L_3$ и конденсаторы $C_5 - C_7$. К каждому

контур подключены зарядные цепи D_1R_4 , D_2R_5 , D_3R_6 и элементы, корректирующие форму тока C_1R_1 , C_2R_2 , C_3R_3 . Чтобы характер перемещения синего луча, отклоняемого СС лишь вертикально, был таким же, как и у зеленого и красного лучей, к катушкам L_6 и L_9 подключен дополнительный корректирующий контур $L_{16}C_4R_7$, настроенный на вторую гармонику тока сведения.

Для сведения лучей по вертикали используется ток параболической формы, протекающий в цепи катода лампы L_2 оконечного каскада кадровой развертки (рис. 3-74). Переменными резисторами $R_8 - R_{10}$ (рис. 3-93) регулируется амплитуда этого тока, протекающего через обмотки ТВК, резисторы $R_{14} - R_{16}$ и конденсатор C_8 . По кадровым катушкам СС кроме тока параболической формы протекает и ток пилообразной формы, амплитуда и фаза которого регулируются потенциометрами $R_{11} - R_{13}$, подключенными к обмоткам $III - V$ ТВК. Это дает возможность в нужной степени рассимметризовать ветви параболы тока в катушках СС и добиться хорошего сведения даже при неодинаковом характере расслоения лучей кинескопа в верхней и нижней части экрана.

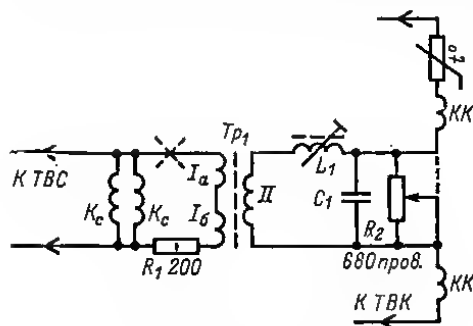


Рис. 3-94.

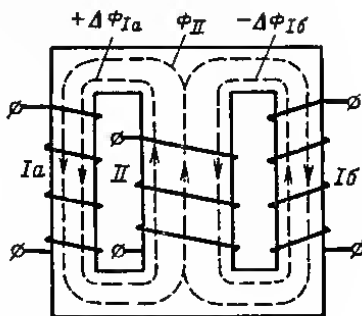


Рис. 3-95.

Статическое сведение лучей в схеме на рис. 3-93 осуществляет постоянная составляющая катодного тока лампы L_2 оконечного каскада строчной развертки. Для этого постоянное напряжение, образованное на потенциометрах $R_{14} - R_{16}$, через обмотки $III - V$ и резисторы $R_8 - R_{13}$ прикладывается к кадровым катушкам СС $L_{10} - L_{15}$.

Постоянный ток, прошедший через резисторы $R_{14} - R_{16}$, пропускается через потенциометр R_{16} , которым производится центровка изображения по вертикали.

В качестве катушек $L_1 - L_3$ можно использовать унифицированные ПРС-70. Резисторы $R_1 - R_3$, $R_8 - R_{13}$, $R_{14} - R_{16}$ — проволочные типа ППЗ или им подобные. Катушка L_{16} наматывается на каркасе $\varnothing 8$ мм, содержит 180 витков ПЭВ 0,21 рядовой многослойной намотки и снабжена для подстройки сердечником 1500НН $\varnothing 4,5$ мм и длиной 1,5 мм.

Схема коррекции подушкообразных искажений раstra на экране кинескопа 59ЛКЗЦ осуществляет модуляцию пилообразных отклоняющих токов параболическими корректирующими токами в трансформаторе Tr_1 (рис. 3-94). Для коррекции кривизны верхней и нижней кромок раstra по обмоткам I_a и I_b , расположенным на крайних кернах Ш-образного ферритового сердечника Tr_1 , пропускают ток отклонения строчной частоты. Образованные магнитные потоки в центральном керне направлены навстречу друг другу (рис. 3-95). По обмотке II , расположенной на центральном керне и включенной в цепь кадровых катушек СС, протекает кадровый отклоняющий ток. Когда этот ток проходит через нулевое значение, потоки в центральном керне компенсируют друг друга. В зависимости от знака магнитного поля, создаваемого катушкой II , из-за нели-

нейности кривой намагничивания в центральном керне сердечника преобладает магнитный поток, создаваемый катушкой Ia или Ib . В результате изменения этого магнитного потока по обмотке II потечет корректирующий параболический ток строчной частоты. Необходимое направление этого тока обеспечивается резонансным контуром, образованным индуктивностью обмотки II катушки L_1 и конденсатором C_1 (рис. 3-94).

Коррекция кривизны боковых кромок раstra осуществляется модуляцией строчного отклоняющего тока благодаря шунтирующему действию обмоток Ia и Ib , подключенных параллельно строчным катушкам ОС. Индуктивность этих обмоток изменяется из-за изменения магнитной проницаемости магнитопровода под влиянием тока кадровой частоты, текущего по обмотке II .

Трансформатор Tr_1 имеет магнитопровод $Ш7 \times 7$ из феррита 2000НМ с зазором 0,01 мм; обмотки Ia и Ib содержат по 230 витков ПЭВ-2 0,12 рядовой намотки в три слоя; II — 40 витков ПЭВ-2 0,41, уложенных в два слоя. Катушка L_1 содержит 250 витков ПЭВ-2 0,47 рядовой намотки в шесть слоев на каркасе $\varnothing 8$ мм и снабжена для подстройки сердечником 1500НМЗ $\varnothing 4,5$ и длиной 17 мм. Переменный резистор R_2 — проволочный типа ППЗ или ему подобный.

Схемы сведения лучей для транзисторного цветного телевизора

Если в цепях строчной развертки на транзисторах импульс возбуждения схемы формирования сигналов сведения по горизонтали получается довольно легко, то бестрансформаторные цепи кадровой развертки на транзисторах не

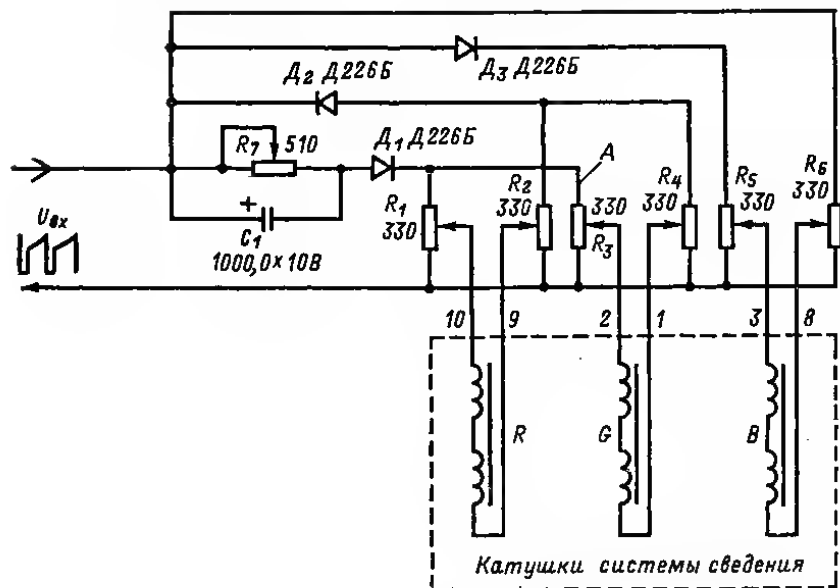


Рис. 3-96.

обеспечивают сигналов параболической и треугольной форм, необходимых для работы схемы сведения по вертикали. Поэтому для формирования этих сигналов необходимы схемы сведения по вертикали, отличающиеся от применяемых в ламповых телевизорах (рис. 3-93).

На вход схемы на рис. 3-96 необходимо подавать однополярное пилообразное напряжение, снимаемое непосредственно с отклоняющей системы. Схема представляет собой три моста, каждый из которых состоит из диодов и резисторов. В диагонали мостов включены кадровые катушки электромагнитов сведения лучей. На катушках электромагнитов создается напряжение треугольной формы, ток же, текущий через них, имеет параболическую форму. Так как для сведения «синего»

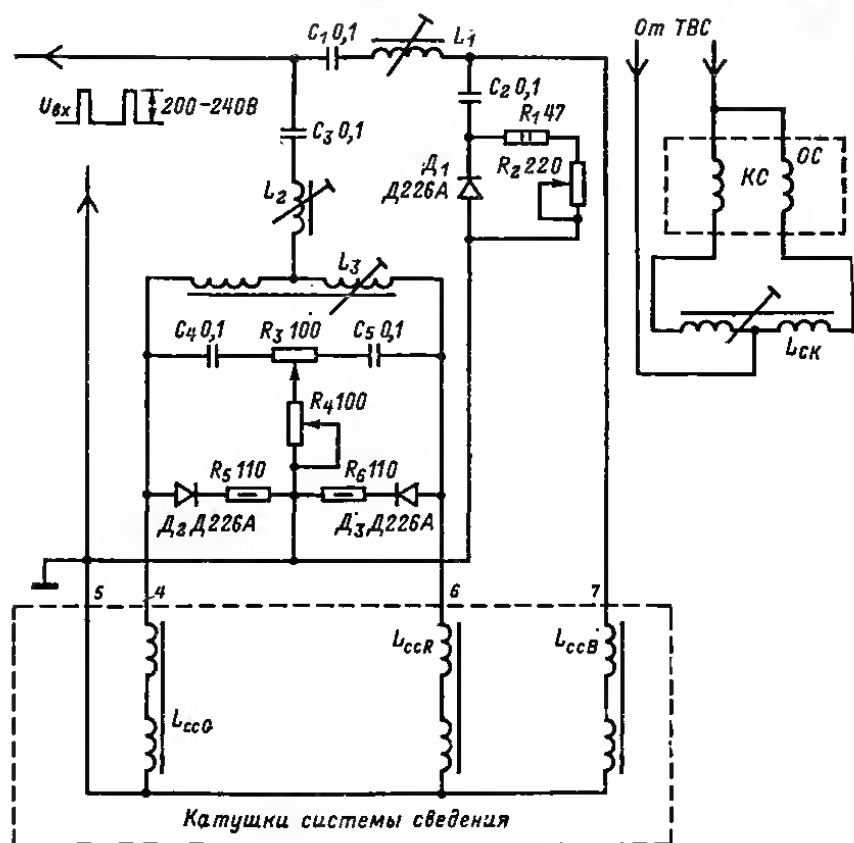


Рис. 3-97.

луча по вертикали требуется, как правило, сигнал меньшего напряжения с заметно выраженной пилообразной составляющей, мост формирования сигнала сведения «синего» луча содержит диод D_3 только в одном плече.

Переменными резисторами R_1 , R_3 и R_5 регулируют сведение лучей в нижней части раstra, а R_2 и R_4 — сведение «красного» и «зеленого» лучей в верхней его части. Резистор R_6 служит для перемещения синих горизонтальных линий раstra по вертикальной оси. Схема на рис. 3-96 при подаче на ее вход напряжения с пилообразной составляющей 10 В совместно с системой сведения РС-90ЛЦ обеспечивает удовлетворительное сведение лучей по вертикали в киноскопах 59ЛК3Ц и 40ЛК4Ц с отклоняющей системой ОС-90ЛЦ2. С кадровыми катушками си-

схемы сведения схему соединяют в соответствии с номерами контактов системы сведения, которые указаны на рис. 3-96.

Иногда из-за производственных допусков как отклоняющей системы, так и кинескопа наблюдается «пересвечение» красной и зеленой линий в нижней части раstra. Для формирования сигналов сведения «красного» и «зеленого» цепь C_1R_7 создает отрицательное напряжение смещения на диоде D_1 . В результате сигнал сведения во второй половине периода кадровой развертки формируется с запаздыванием.

В схеме сведения по горизонтали (рис. 3-97) ток параболической формы для сведения «синего» луча образуется в течение первой половины периода строчной развертки за счет разряда конденсатора C_2 через резисторы R_1 , R_2 и катушку системы сведения ЛССВ, а также через цепь, образованную катушкой L_1 , конденсатором C_1 и обмоткой трансформатора строк, с которой снимаются импульсы напряжения $U_{вх}$ к блоку формирования. При этом диод D_1 закрыт напряжением, образующимся на резисторах R_1 и R_2 . После окончания разряда конденсатора C_2 диод D_1 открывается, шунтируя резисторы R_1 и R_2 ; благодаря накопленной в катушках L_1 и ЛССВ энергии в этой же цепи начинается заряд конденсатора C_2 . Форма тока в катушке системы сведения ЛССВ получается при этом близкой к параболической, причем с большей крутизной ветвей, чем в схемах сведения по горизонтали ламповых телевизоров. Это способствует улучшению сведения синего луча в вертикальном направлении на концах строк.

Конденсатор C_1 препятствует ответвлению значительного тока разряда конденсатора C_2 через индуктивность L_1 и обмотку трансформатора строчной развертки. При регулировке индуктивности катушки L_1 добиваются «распрямления» синей центральной строки, а резистором R_2 устраняют перекрещивание синей строки со сведенными красной и зеленой.

Для схем сведения по горизонтали необходимы проволочные переменные резисторы с мощностью рассеивания не менее 3—4 Вт (например, ППЗ-10). Все конденсаторы — МБМ на номинальное напряжение 250 В (C_2 — желательно на 500 В). Диоды должны быть рассчитаны на обратное напряжение не менее 300 В.

Катушки наматывают на каркасах \varnothing 8 мм. Намотка рядовая многослойная. Подстроечные сердечники — из феррита 1500 НМ: \varnothing 4,5 мм, длина 15 мм. Расстояние между половинками катушек $L_{СК}$ и L_3 — 18 мм.

Пределы изменения индуктивности катушек L_1 и L_2 — от 2 до 5 мГ. Дифференциальные катушки $L_{СК}$ и L_3 имеют большое расстояние между своими полуобмотками, поэтому сердечником подстраивают только одну из них, а индуктивность другой половины остается минимальной. Для катушки $L_{СК}$ пределы регулировки индуктивности — 0,17—0,36 мГ для L_3 — 1,7—3,1 мГ.

Катушка $L_{СК}$ содержит 150 + 150 витков провода ПЭВ-2 0,45 с шириной намотки 7 + 7; катушки L_1 и L_2 — 570 витков ПЭВ-2 0,21 с шириной намотки 13 мм, а катушка L_3 425 + 425 витков ПЭВ-2 0,21 с шириной намотки 7 + 7 мм.

3-11. БЛОКИ ПИТАНИЯ ТЕЛЕВИЗОРОВ

Наличие в телевизорах нескольких функциональных узлов, выполненных по различным схемам и требующих для своего питания отдельных источников напряжения, определяет ряд особенностей в построении цепей блоков питания. Стремление избавиться от заметного на глаз дыхания изображения при приеме трансляций программ телецентров, питаемых от других энергетических систем, а также при приеме программ цветного телевидения привело к созданию фильтров, обеспечивающих при малых габаритах деталей лучшую фильтрацию выпрямленного напряжения.

Блок питания ламповых телевизоров. Блок питания телевизоров УЛТ-61 по схеме рис. 3-98 удовлетворяет изложенным выше требованиям. Для создания

3-12. НАСТРОЙКА ТРАКТОВ ИЗОБРАЖЕНИЯ И ЗВУКОВОГО СОПРОВОЖДЕНИЯ ТЕЛЕВИЗОРОВ

Производить настройку и регулировку отдельных блоков и всего телевизора в целом следует лишь после проверки работы блока питания. Для этого нужно убедиться в том, что блок питания обеспечивает подачу требуемых напряжений при полной нагрузке, т. е. при включении питания на все блоки. Измерение напряжения можно производить миллиампервольтметром любого типа.

Меры безопасности. Производя измерения напряжений, настройку и регулировку блоков, нельзя забывать, что когда телевизор включен в электросеть, в нем имеется высокое напряжение, опасное для человека. Поэтому при всех этих работах следует строго соблюдать меры безопасности. Основными из этих мер являются следующие:

1. Настройку телевизора надо производить одной рукой; вторая рука не должна касаться шасси телевизора или других его деталей, а также приборов и проводящих предметов, расположенных рядом с шасси.

2. Нельзя прикасаться (даже одной рукой) к выводам анода кинескопа и к анодам ламп оконечного узла строчной развертки (6П13С, 6П36С, 6Ц10П, 6Д20П, 1Ц11П, 3Ц18П, 1Ц21П), к выводам трансформаторов ТВК и ТВС, в также к цепям и проводникам схемы, соединенным с ними.

3. Следует избегать прикосновения к цепям схемы, соединенным с источником анодного напряжения, а также к деталям схемы выпрямителя.

4. Рекомендуется пользоваться резиновой перчаткой и инструментами с изолированными ручками.

5. Нельзя производить подключение измерительных приборов, а также монтаж (подпайку, перепайку) деталей во включенном телевизоре. Нужно выключить телевизор, затем подключить приборы либо произвести монтаж или демонтаж той или иной детали, и лишь после этого снова включить телевизор. Этой мерой обеспечивается не только безопасность работы, но и сохранность таких деталей, как транзисторы и микросхемы, которые могут вывести из строя случайные импульсы напряжения, возникающие при подключении приборов и небольшие токи утечки через изоляцию в электрическом паяльнике.

Настроить тракты изображения и звука можно при помощи генератора сигналов и лампового вольтметра или миллиампервольтметра, а также при помощи генератора качающейся частоты (ГКЧ) типа Х1-7 (ПНТ-59) и ему подобных. ГКЧ используются на промышленных предприятиях и обеспечивают наглядность и быстроту настройки при налаживании поточном производстве. Однако низкая точность настройки режекторных контуров, а также сложность освоения и малая доступность ГКЧ заставляют радиолюбителей отдать предпочтение генератору сигналов и ламповому вольтметру.

Из аппаратуры, которая необходима для настройки трактов изображения и звука, радиолюбителям наиболее доступны: генератор сигналов типа ГС-8 или СГ-1, ГСС типа Г4-1А, ГСС-6 или ГСС-6А; ламповый вольтметр типа ВКС-7, В7-2 или ВЛУ-2; миллиампервольтметры типа Ц-20 или ТТ-1 (ТТ-2) и им подобные.

Ламповый вольтметр нужен для снятия частотной характеристики видеоусилителя, и если он имеется в распоряжении радиолюбителя, то можно обойтись без миллиампервольтметра. Если имеется лишь миллиампервольтметр, то можно выполнить настройку всего тракта изображения, за исключением видеоусилителя. Прежде чем приступить к настройке блоков телевизора при помощи измерительной аппаратуры, необходимо хорошо изучить прилагаемые к ней инструкции по эксплуатации.

Настройка тракта изображения

Настройка УПЧИ блока изображения, изготовленного радиолюбителем, или ненастроенного некондиционного блока от промышленного телевизора производится следующим образом.

Вольтметр переменного напряжения с конечным значением шкалы 10 или 30 В присоединяют к выходу видеоусилителя (к катоду кинескопа) через конденсатор емкостью 0,1—0,5 мкФ, а ВЧ кабель генератора ГЗ-8 (ГМВ, СГ-1) — ко входу УПЧИ и шасси телевизора (селектор должен быть отключен). Регулятор выходного напряжения генератора устанавливают на нулевую отметку, включив на одно из средних положений ступенчатый делитель этого напряжения и установив внутреннюю модуляцию генератора синусоидальным напряжением НЧ.

После включения приборов и телевизора и их десятиминутного прогрева настраивают режекторные контуры ($L_{303}C_{311}$, $L_{305}C_{313}$, $L_{310}C_{310}$ на рис. 3-25; KO_8 , KO_6 , KO_9 , KO_7 на рис. 3-29). Для этого устанавливают на шкале генератора частоту, на которую надо настроить один из перечисленных контуров. Доводят выходное напряжение генератора до уровня, при котором вольтметр показывает напряжение 2—4 В. Вращая сердечник катушки настраиваемого контура, добиваются минимальных показаний вольтметра. При настройке контура $L_{303}C_{311}$ (рис. 3-25) минимальных показаний вольтметра следует добиться, регулируя сопротивление подстроечного резистора R_{308} . Затем следует увеличить выходное напряжение генератора и убедиться в том, что при любом изменении положения сердечника указанного контура наблюдается увеличение показаний вольтметра.

После этого настраивают остальные контуры, формирующие характеристику УПЧИ в полосе пропускания. При этом на шкале генератора устанавливают частоты, на которые настраивают эти контуры, и вращением сердечников в их катушках добиваются максимальных показаний вольтметра. По мере подхода к максимальным показаниям нужно уменьшать выходное напряжение генератора во избежание неточной настройки из-за ограничения сигнала в каскадах УПЧИ при слишком большом его уровне.

Проверка правильности настройки УПЧИ производится при таком выходном напряжении генератора, когда усилимый сигнал не ограничивается в усилительных каскадах и максимальные показания вольтметра на выходе видеоусилителя не превышают 7—8 В. Поддерживая выходное напряжение генератора на выбранном уровне (контролируется по вольтметру генератора), изменяют его частоту через 1 МГц и на каждой частоте записывают показания вольтметра на выходе видеоусилителя. По полученным данным строят частотную характеристику УПЧИ, которая должна иметь вид, сходный с видом характеристик на рис. 3-26 и 3-30.

Если выходное напряжение в пределах полосы пропускания будет отличаться от напряжения на средней частоте более чем на $\pm 20\%$, нужно произвести подстройку контуров и снова сравнить полученную частотную характеристику с требуемой.

Проверка АЧХ видеоусилителя производится в том случае, если он сконструирован самостоятельно или после ремонта, связанного с заменой корректирующих дросселей, индуктивности которых оказывает влияние на равномерность этой характеристики. Выход генератора Г4-1А через конденсатор емкостью 1 мкФ подключают ко входу видеоусилителя (KT_9 и KT_4 на рис. 3-25 и 3-29) и к шасси, снимают панельку с цоколя кинескопа и к гнезду панельки, соединявшемуся с катодом, подключают вход ВЧ пробника лампового вольтметра В7-2, корпус которого также соединяют с шасси. Все соединения выполняют короткими проводами.

Выходное напряжение генератора поддерживают равным 1 В, а его частоту изменяют от 0,1 до 6,5 МГц через 0,5 МГц. Для каждого значения частоты отмечают и записывают показания лампового вольтметра. По полученным данным вычерчивают частотную характеристику. Если необходимо, то лучшей равномерности характеристики добиваются, изменяя индуктивность корректирующих дросселей (допустим небольшой подъем на частоте 5 МГц). Режекторные контуры ($L_{310}C_{335}$ на рис. 3-25 и KO_{14} , KO_{15} на рис. 3-29) настраивают по минимуму показаний вольтметра на частоте 6,5 МГц.

Налаживание УПЧИ на интегральных микросхемах при помощи генератора качающейся частоты

Налаживание УПЧИ на интегральных микросхемах (рис. 3-31) начинают с проверки режимов микросхем и транзисторов по постоянному току. Они не должны отличаться от указанных на схеме более чем на $\pm 20\%$. Режимы микросхем и транзисторов измеряются относительно общего провода при отсутствии сигнала на входе тракта. При этом импульсы обратного хода луча с ТВС на ключевой каскад АРУ не подаются. Режим транзистора T_1 устанавливают подстроечным резистором R_5 , а транзистора T_3 в зависимости от выбранного порога срабатывания АРУ — подстроечным резистором R_{16} .

Затем приступают к настройке контуров УПЧИ, отпаяв перемычку между контрольными точками KT_1 и KT_2 . Выходной кабель прибора для настройки телевизоров (Х1-7 или аналогичного) подключают через резистор сопротивлением 100 Ом к точке KT_2 , а входной кабель (без детекторной головки) к точке, обозначенной на схеме буквой А, через резистор сопротивлением 2—3 кОм. На экране прибора должно появиться изображение АЧХ УПЧИ.

Регулируя ручки прибора *Усиление*, *Средняя частота*, *Вых. напряжение* и *Масштаб*, устанавливают размеры характеристики, удобные для наблюдения. Вращая сердечники катушек L_7 , L_8 , L_9 , добиваются получения формы характеристики, показанной на рис. 3-33, а, после чего вновь припаивают перемычку между точками KT_1 и KT_2 .

После этого настраивают ФСС. Выходной кабель прибора Х1-7 подключают ко входу ФСС, а входной кабель оставляют подключенным к точке А. Сердечники катушек L_1 , L_3 полностью ввинчивают, а катушек L_4 , L_6 полностью вывинчивают. Вращая сердечники катушек L_4 , L_6 , формируют левый склон, а катушек L_1 , L_3 — правый склон АЧХ. Изменяя индуктивность катушек L_2 и L_5 , добиваются того, чтобы ее неравномерность в полосе пропускания 33,2—36,5 МГц была не более 15%. Необходимый вид характеристики показан на рис. 3-33 б.

В последнюю очередь проверяют пределы регулирования усиления УПЧИ. Вращая движок подстроечного резистора R_5 , устанавливают напряжение на коллекторе транзистора T_1 (контрольная точка KT_3) равным 8 В. При этом усиление УПЧИ должно уменьшиться на 40 дБ при изменении формы АЧХ в пределах допустимого.

Настройка тракта звукового сопровождения

В зависимости от схемы тракта звука сигнал разностной частоты 6,5 МГц, поступающий на вход УПЧЗ, снимается с нагрузки видеодетектора или видеосилителя. Несмотря на это при настройке УПЧЗ сигнал от генератора Г4-1А с частотой 6,5 МГц следует подать в ту точку схемы, где он образуется, т. е. на нагрузку видеодетектора.

Настройка УПЧЗ ведется при выходном напряжении генератора 0,5—1 В и включенной модуляции. Центральный провод выходного кабеля генератора через конденсатор 1000 пФ подключают к точке KT_9 (рис. 3-25) или KT_4 (рис. 3-29), а оболочку кабеля — к шасси телевизора.

Вольтметр постоянного напряжения подключают параллельно резистору R_{207} (рис. 3-35) или R_{99} (рис. 3-29). Вращением сердечников катушек L_{318} (рис. 3-25), L_{202} — L_{204} (рис. 3-35) к L_{65} (рис. 3-29) добиваются максимальных показаний вольтметра.

Проверка настройки УПЧЗ производится для определения полосы пропускания после его калатки. Оставив приборы включенными, как и в предыдущем случае, изменяют частоту генератора сначала в сторону уменьшения, а затем в сторону увеличения и отмечают частоты, при которых показания вольтметра уменьшаются на 50% максимального показания на частоте 6,5 МГц. Разность этих частот, отмеченных по шкале генератора, и будет шириной полосы пропускания УПЧЗ. Она не должна быть уже 200 кГц.

Настройка контуров дробного детектора производится при том же, как и в предыдущем случае, подключении генератора и его выходном напряжении 0,5—1 В на частоте 6,5 МГц. Вольтметр постоянного напряжения подключают параллельно конденсатору C_{219} (рис. 3-35) и C_{95} (рис. 3-29). Вращением сердечника в катушках L_{205} и L_{69} (на тех же рисунках) добиваются максимальных показаний вольтметра. Затем один полюс вольтметра подключают к точкам KT_3 или KT_{20} , а второй — к точке соединения двух дополнительных резисторов сопротивлением по 27 кОм, включенных параллельно C_{219} и C_{95} и к шасси (рис. 3-35 и 3-39). Вращая сердечник катушек L_{205} и L_{70} , добиваются минимальных показаний вольтметра. При правильной настройке последующие повороты сердечника в обе стороны будут приводить к увеличению показаний вольтметра.

Установив частоту генератора 6,5 МГц с внутренней амплитудной модуляцией 30%, отключают вольтметр постоянного напряжения и подключают к точкам KT_3 (рис. 3-35) и KT_{20} (рис. 3-29) и к шасси телевизора ламповый милливольтметр ВЗ-13. Регулировочный потенциометры R_{213} и R_{102} добиваются минимальных показаний милливольтметра.

Проверка настройки контуров дробного детектора осуществляется необходимой, если имеются сомнения в правильности этой настройки. Проверка производится при том же подключении генератора и вольтметра постоянного напряжения, как и в предыдущем случае. При подаче сигнала с частотой 6,5 МГц и правильной настройке контуров стрелка вольтметра должна оставаться на нулевой отметке его шкалы. Изменяя частоту генератора от указанного значения в обе стороны на ± 200 кГц и изменяя полярность включения вольтметра, отмечают его показания. Допустимо, если измеренные напряжения в этих двух случаях будут отличаться друг от друга не более чем на $\pm 20\%$. Уточнить настройку катушек L_{205} (рис. 3-35) и L_{70} (рис. 3-29) можно во время приема телепередачи, добившись небольшими поворотами их сердечников наилучшего качества звукового сопровождения, без искажений и фона надровой частоты.

Настройка тракта звукового сопровождения без генератора сигналов

Если в распоряжении радиолюбителя нет генератора сигналов, то достаточно точную настройку тракта звука можно выполнить во время приема телепередачи по сигналам телецентра, используя миллиампервольтметр Ц-20, ТТ-1 и подобные им приборы. К такой настройке приступают лишь после полной отладки УПЧИ и правильной установки частоты гетеродина, которую производят, ориентируясь на получение наиболее четкого изображения, свободного от окантовок и серых теней на деталях.

Настройка УПЧЗ ведется в такой же последовательности и при таком же подключении вольтметра постоянного напряжения, как и при использовании генератора сигналов. Если в начале настройки показания вольтметра будут малы, то нужно выбрать более чувствительный диапазон измерений и установить максимальную контрастность изображения. По мере настройки контуров УПЧЗ контрастность изображения следует уменьшать, с тем чтобы стрелка вольтметра не отклонялась за пределы выбранного диапазона измерений.

Настройка контуров дробного детектора производится при тех же подключениях вольтметра постоянного напряжения, как и при настройке с генератором. Приступая к настройке контуров с катушками L_{205} (рис. 3-35) и L_{69} (рис. 3-29), нужно установить контрастность изображения максимальной и снижать ее по мере достижения максимальных показаний вольтметра. Заключая настройку этих контуров, следует пройти весь возможный диапазон контрастности, начиная от минимума, и остановиться там, где рост показаний вольтметра с увеличением контрастности замедляется. При этом положении регулятора контрастности начинают настройку второго контура детектора, которую ведут в той же последовательности и тем же подключением вольтметра, как и при настройке

с генератором. Настройку и регулировку второго контура детектора уточняют во время приема телепередачи, добиваясь наилучшего качества звукового сопровождения без искажений и фона.

Настройка УПЧЗ на интегральных микросхемах при помощи генератора качающейся частоты

УПЧЗ на интегральных микросхемах (рис. 3-36) можно явстронить при помощи прибора для настройки телевизоров Х1-7 или аналогичного. Выход ГКЧ прибора подключают ко входу УПЧЗ (Вход). Детекторную головку осциллографа прибора присоединяют к контрольной точке КТ₁. Ручками Усиление и Масштаб устанавливают размеры кривой, удобные для наблюдения.

Вращая сердечники катушек L_1 и L_2 , добиваются АЧХ на экране электронно-лучевой трубки прибора, показанной на рис. 3-100, а.

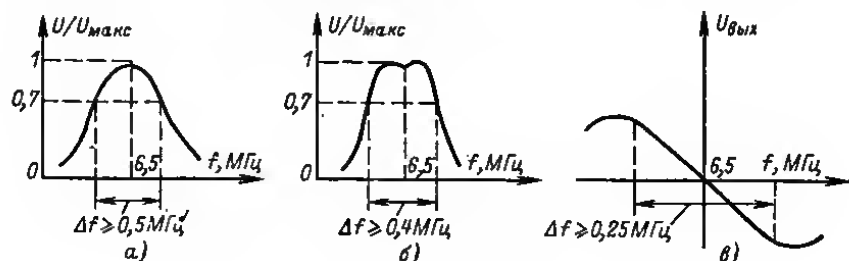


Рис. 3-100.

Далее переносят детекторную головку прибора на контрольную точку КТ₂ и, вращая сердечники катушек L_3 и L_6 , добиваются соответствия АЧХ на экране кривой на рис. 3-100, б.

После этого ко входу осциллографа прибор подключают кабель без детекторной головки и соединяют выводы этого кабеля с контрольной точкой КТ₃ и общим проводом. Вращая сердечник катушки L_5 и движок подстроечного резистора R_1 , стремятся получить на экране осциллографа кривую, показанную на рис. 3-100, в.

Налаживание яркостного канала цветного телевизора

Налаживание яркостного канала на интегральных микросхемах (рис. 3-31) начинают с проверки АЧХ предварительного видеоусилителя при включенных контурах режекции сигналов цветности поднесущих частот. Для этого, отпаяв перемычку между контрольными точками КТ₈ и КТ₉, подключают выходной кабель прибора для настройки телевизора через конденсатор емкостью 10 мкФ к точке КТ₉, а входной кабель с детекторной головкой — к эмиттеру транзистора T_3 . Затем подают постоянное напряжение 8 В на свободный вывод резистора R_{34} , тем самым подключая режекторные контуры $C_{35}L_{11}$ и $C_{33}L_{12}$. АЧХ предварительного видеоусилителя должна иметь вид, показанный на рис. 3-43, а. Этого добиваются настройкой режекторных контуров, на частоты 4,7 и 4 МГц.

Далее проверяют АЧХ видеоусилителя при отключенных режекторных контурах. Для этого напряжение, подаваемое на резистор R_{34} , уменьшают до 0,7 В; АЧХ в этом случае должна иметь вид, показанный на рис. 3-43, б. Подъем в ВЧ части характеристики можно изменять, подбирая конденсатор C_{34} . После налаживания яркостного канала восстанавливают перемычку между контрольными точками КТ₈ и КТ₉.

Налаживание видеоусилителей в блоке формирования сигналов цветности

Налаживание видеоусилителей блока формирования сигналов цветности на интегральных микросхемах (рис. 3-50) следует начинать с проверки режимов микросхем по постоянному току.

Затем, используя измеритель АЧХ Х1-19 или Х1-7, добиваются получения необходимых АЧХ блока. Учитывая, что для неискаженного усиления яркостного сигнала, усилитель должен иметь полосу частот пропускания как минимум 5 МГц (для цветоразностных сигналов достаточно иметь 1,5 МГц), сигнал с выхода прибора Х1-19 следует подать на вход 3 блока. Осциллограф прибора подключают к выходу 1. Затем подбирают индуктивность дросселей Dp_2 и Dp_1 . Дроссель Dp_2 вместе с конденсатором C_4 обеспечивает необходимую полосу пропускания 5 МГц, а дроссель Dp_1 формирует подъем АЧХ на частоте 5 МГц и резкий спад ее на частоте 6,5 МГц. Подбирая резистор R_6 , получают подъем около 10% (рис. 3-101, а). Аналогично настраивают и два других видеоусилителя.

Дальнейшую регулировку блока проводят, установив его в цветной телевизор и принимая сигналы испытательной таблицы в виде восьми вертикальных полос. Для этого на вход 1 и вход 2 подают из блока цветности цветоразностные сигналы E'_{B-Y} и E'_{R-Y} , а на вход 3 — яркостный сигнал E'_Y . Подключив вертикальный вход осциллографа С1-13 к контрольной точке KT_1 и вращая движок резистора R_1 , получают на экране осциллографа цветоразностный сигнал E_{G-Y} , имеющий форму, изображенную на рис. 3-101, б.

Подключая вертикальный вход осциллографа поочередно к контрольным точкам KT_2 — KT_4 и изменяя насыщенность и контрастность изображения, а также вращая движок резистора R_{11} , добиваются соответствия сигналов в этих точках изображенным на рис. 3-101, в, г, д.

Подключая осциллограф к выходам блока, проверяют наличие цветовых сигналов E_B (выход 1), E_R (выход 2), E_G (выход 3). При этом амплитуда выходных сигналов должна быть 80—100 В.

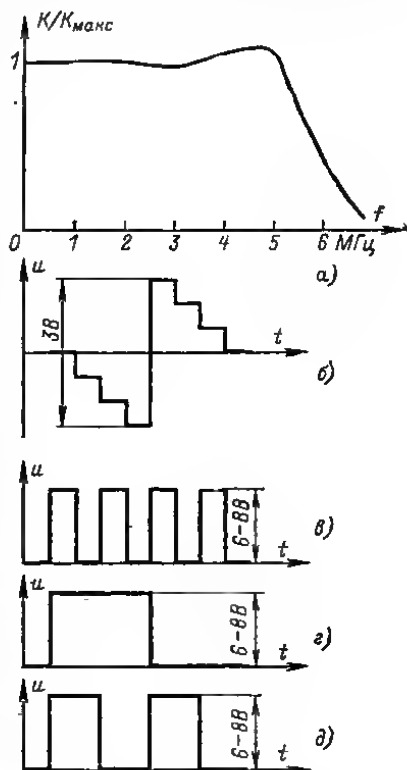


Рис. 3-101.

Налаживание блока цветности на интегральных микросхемах

Налаживание блока (рис. 3-49) начинают с проверки режимов интегральных микросхем по постоянному току. Предварительно необходимо в точки А и Б подать напряжение +12 В, что соответствует максимальной насыщенности изображения.

Для наблюдения частотных характеристик каскадов используют прибор Х1-7 или Х1-19. Сигнал ГКЧ прибора подводят к входу блока. Детекторную

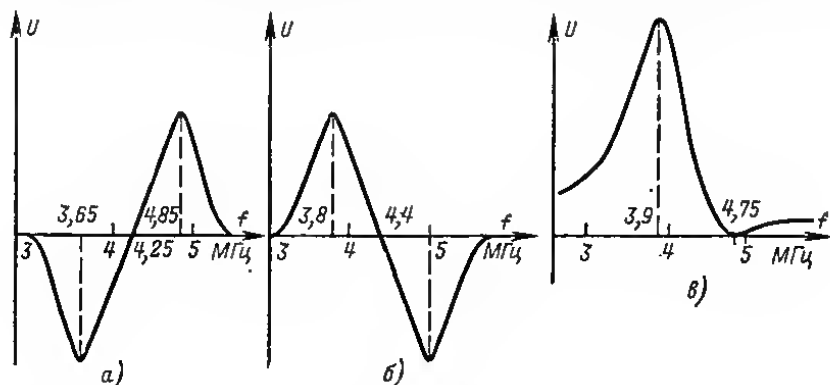


Рис. 3-102.

головку подключают к контрольной точке $КТ_1$. Величину входного сигнала подбирают такой, чтобы не наблюдалось его ограничение, и настраивают контур ВЧ предуслаждений («клев») L_1C_3 на частоту 4,28 МГц.

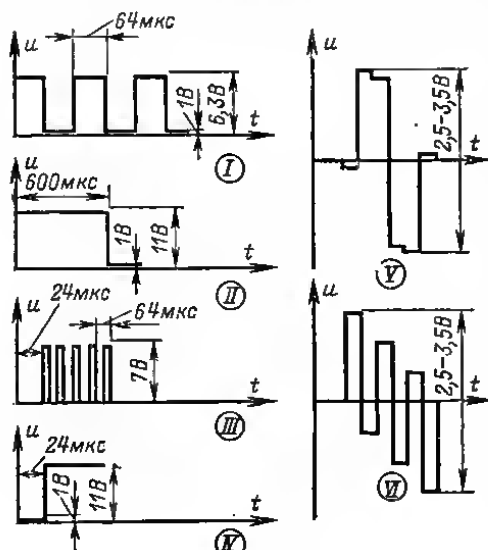


Рис. 3-103.

Затем проверяют работу электронного коммутатора. Для этого детекторную головку подключают поочередно к контрольным точкам $КТ_2$ и $КТ_3$. Соединяя кратковременно выводы 5 или 7 микросхемы $МС_8$ с положительным полюсом источника питания и переключая тем самым симметричный триггер из одного состояния в другое, убеждаются в наличии на входе каналов $R-Y$ и $B-Y$ прямого и задержанного сигналов.

При настройке контуров частотных дискриминаторов необходимо установить устройство опознавания в такое состояние, чтобы на выводе 1 микросхемы $МС_8$ было напряжение около 1 В (блок цветности — открыт). Для этого вывод 7 микросхемы $МС_8$ соединяют кратковременно с положительным полюсом источника питания. Подключив вход прибора Х1-7 (без детекторной

головки) к выходу 1 блока и вращая сердечники катушек L_2 , L_3 и L_4 , L_5 , добиваются соответствия АЧХ дискриминатора канала $B-Y$ характеристике, изображенной на рис. 3-102, а. Положение нулевой точки изменяют сердечником катушек L_4 , L_5 ; сердечником катушек L_2 , L_3 регулируют ширину линейной части характеристики. Симметрии кривой относительно линии нулевого

уровня добиваются резистором R_{14} . Аналогично настраивают частотный дискриминатор канала $R - Y$, характеристика которого должна соответствовать характеристике на рис. 3-102, б.

Далее настраивают селектор сигналов цветовой синхронизации, предварительно установив триггер кадровых импульсов (микросхема MC_{10}) в такое положение, при котором на выходе 4 микросхемы MC_{10} будет напряжение 1 В. Для этого кратковременно подают положительное напряжение источника питания на вывод 5 микросхемы. Детекторную головку прибора Х1-7 подключают к выводу 8 микросхемы MC_7 . Настройкой сердечника катушки L_{14} добиваются соответствия АЧХ селектора характеристике на рис. 3-102, в.

Затем блок цветности подключают к цветному телевизору и проверяют работу симметричного триггера на микросхеме MC_8 . Подключив вертикальный вход осциллографа С1-13А (или ему подобного) к контрольной точке KT_5 , убеждаются в наличии импульсов, изображенных на рис. 3-103 (I). Подключив осциллограф к контрольной точке KT_6 , проверяют наличие импульса, показанного на рис. 3-103 (II).

Селектор сигналов цветовой синхронизации налаживают при приеме цветного изображения. Для этого подключают вертикальный вход осциллографа к контрольной точке KT_4 и на экране наблюдают импульсы, изображенные на рис. 3-103 (III). Для окончательной настройки, вращая сердечник катушки L_{14} , добиваются максимальной амплитуды этих импульсов.

Для проверки работы устройства опознавания сигналов цветности вертикальный вход осциллографа подключают к выходу 3. При приеме цветного изображения на экране осциллографа будет виден импульс, изображенный на рис. 3-103, (IV), при приеме черно-белого изображения он будет отсутствовать.

Подключая вертикальный вход осциллографа поочередно к выходам 1 и 2 и подбирая конденсаторы C_{20} и C_{41} , добиваются при приеме таблицы в виде цветных вертикальных полос соответствия формы цветоразностных сигналов осциллограммам, показанным на рис. 3-103 (V и VI).

3-13. РЕГУЛИРОВКА БЛОКОВ СИНХРОНИЗАЦИИ И РАЗВЕРТКИ

Приступая к регулировке блоков синхронизации и развертки, необходимо убедиться, что блок питания обеспечивает получение необходимых напряжений при полной его нагрузке. Производя регулировку, следует строго соблюдать правила безопасности (см. § 3-12).

Регулировка блоков синхронизации и развертки значительно облегчается, если для этой цели использовать осциллографы типа С1-1 (ЭО-7), СИ-1 (ЭО-6). Низкочастотный осциллограф С1-1 дает возможность контролировать работу селектора синхроимпульсов и генераторов развертки, а осциллограф СИ-1 позволит детально наблюдать форму отдельных синхроимпульсов и импульсов напряжения развертки.

Проверка работы селекторов синхроимпульсов

Проверку производят после настройки блоков УПЧИ и УПЧЗ во время приема телепередачи, которую контролируют по наличию звукового сопровождения.

Подключив вертикальный вход осциллографа ко входу селектора (точка 65 на рис. 3-70 и KT_5 на рис. 3-29) и подобрав необходимую частоту развертки, убеждаются в наличии полного видеосигнала. Затем осциллографом контролируют на выходе селектора (анод пентода J_{402} и коллекторы транзисторов T_{18} , T_{19} , T_{20}) форму синхроимпульсов, отделенных от видеосигнала (рис. 3-70, 3-29).

Проверка без осциллографа сводится к прослушиванию сигналов на входе и выходе селектора после подачи их на вход УНЧ (в точки KT_3 и 3 на рис. 3-35 и 3-29) через конденсатор емкостью 0,1 мкФ. При этом необходимо прекратить

работу задающего блокинг-генератора надровой развертки, замкнув выводы одной из обмоток трансформаторов Tr_{401} и Tr_2 (рис. 3-70 и 3-71).

Если селектор исправлен, то сигналы прослушиваются как фон кадровой частоты.

Проверка работы задающих генераторов строчной и кадровой развертки

Проверку работы задающих генераторов развертки можно производить до настройки УПЧИ и УПЧЗ. Однако окончательную регулировку, связанную с подгонкой частоты, можно выполнить лишь во время приема телепередачи.

Проверка при помощи осциллографа сводится к просмотру и контролю формы импульсных напряжений, вырабатываемых задающими генераторами. При подключении вертикального входа осциллографа к сетке правого (по схеме) триода L_{401} или L_{403} (рис. 3-70), коллектору транзистора T_{24} или эмиттеру T_{27} (рис. 3-71) можно увидеть импульсное напряжение.

Проверка при помощи миллиампервольтомметра или тестера производится через пробник, представляющий собой пиковый детектор, которым можно обнаружить импульсные напряжения в указанных выше местах цепи. Миллиампервольтомметр включается на измерение постоянного напряжения 30—50 В. По показаниям миллиампервольтомметра можно судить о величине импульсных напряжений в контролируемых точках цепи.

Подгонка частоты необходима при значительных отклонениях параметров деталей схемы, выполняется после настройки УПЧИ и после того, как произведена проверка работы оконечных каскадов строчной и кадровой развертки, а на экране кинескопа получен растр, на котором имеются следы изображения.

Когда частота задающего генератора строчной развертки отличается от требуемой, на экране видны широкие темные полосы, образованные гасящими импульсами (границами) несинхронизированного изображения. Если сопротивление резисторов R_{548} , R_{180} , R_{158} , включенных в цепь базы транзистора или в цепь сетки лампы (рис. 3-70, 3-71), близко к нулю, а полосы на экране расположены справа вниз налево, то нужно уменьшить сопротивление резисторов R_{488} , R_{161} , R_{155} . Если сопротивление переменных резисторов максимально, а полосы на экране расположены слева вниз направо, то сопротивление добавочных резисторов надо увеличить.

Когда частота задающего генератора кадровой развертки отличается от требуемой, кадр изображения движется по экрану. Если сопротивление резисторов R_{643} , R_{120} , включенных в цепь базы транзистора или в цепь сетки лампы, равно нулю, а кадр движется по экрану снизу вверх и остановить его не удастся, то нужно уменьшить сопротивление резисторов R_{108} , R_{122} (рис. 3-70 и 3-71). Если сопротивление переменных резисторов максимально, а кадр движется по экрану сверху вниз, то нужно увеличить сопротивление добавочных резисторов.

Проверка оконечных каскадов строчной и кадровой развертки

Если задающие генераторы работают, а раstra на экране кинескопа нет, необходимо проверить работу оконечного каскада сначала строчной, затем кадровой развертки.

Проверка оконечного каскада строчной развертки сводится к измерению напряжений, определяющих режим его работы. При нормальной работе каскада на конденсаторе вольтодобавки C_{502} и конденсаторе фильтра выпрямителя фокусирующего напряжения C_{138} (рис. 3-70, 3-71) имеются напряжения, указанные на схемах. Если эти напряжения есть, а раstra нет, то нужно проверить работу высоковольтного выпрямителя L_{503} и $D_{20} - D_{22}$. Эта проверка сводится к замеру напряжения, поступающего от указанного выпрямителя на анод кинескопа. Замер производится ампервольтомметром, например, типа ТТ-1 с гирляндой добавочных резисторов, расширяющих пределы измерения до 20 кВ. Гирлянду из пяти резисторов типа ВС-27 МОм и 1 Вт включают в несколько поливиниловых

трубок, вставленных друг в друга. Измеряя высокое напряжение, следует строго соблюдать меры безопасности.

Если размер раstra по горизонтали при крайнем положении соответствующего регулятора мал, то нужно увеличить емкость конденсаторов C_{506} и C_{133} . При этом длительность обратного хода возрастет, высокое напряжение на аноде кинескопа уменьшится и это приведет к увеличенному размеру раstra. Если же размер раstra велик, то нужно уменьшить емкость указанных конденсаторов. Из-за возникающего при этом увеличения высокого напряжения повысится яркость изображения, улучшатся его фокусировка и четкость.

При помощи пробника с пиковым детектором можно обнаружить пилообразно-импульсное напряжение на управляющей сетке лампы L_{501} и на базах транзисторов $T_{27} - T_{29}$.

Проверка оконечного каскада кадровой развертки сводится к проверке наличия импульсного напряжения, возникающего на первичной обмотке ТВК (Tr_{603} , Tr_3 на рис. 3-70 — 3-71) во время обратного хода. Проверку ведут при помощи пробника с пик-детектором. При необходимости таким же образом можно обнаружить пилообразно-импульсное напряжение на управляющей сетке лампы L_{401} и на базах транзисторов $T_{23} - T_{25}$.

Если размер раstra по вертикали недостаточен даже при крайнем положении регуляторов этого размера, то необходимо уменьшить сопротивление резисторов R_{402} , R_{126} в зарядной цепи задающего генератора.

Регулировка схемы АПЧФ строчной развертки

Подгонку частоты задающего генератора производят, как и ранее, но при выключенном стабилизирующем контуре и при отсутствии синхронимпульсов на входе схемы АПЧФ. С этой целью выводы катушки стабилизирующего контура L_{401} и L_{73} надо замкнуть, а управляющую сетку (рис. 3-70 и 3-71) триода лампы L_{402} и базу транзистора T_{19} (рис. 3-29) надо соединить с шасси. В процессе подгонки надо установить такую частоту задающего генератора, при которой бегущий кадр изображения можно было хотя бы на короткое время остановить, оперируя регулятором частоты строк.

Настройку стабилизирующего контура ведут при отсутствии синхронимпульсов на входе схемы АПЧФ. После подгонки частоты задающего генератора надо разомкнуть выводы катушки стабилизирующего контура. При этом частота задающего генератора может резко измениться. Подстраивая сердечник катушки, надо добиться того, чтобы бегущий по экрану кадр хотя бы на короткое время останавливался. После этого отсоединяют сетку триода L_{402} или базу транзистора T_{19} от шасси и проверяют работу цепи АПЧФ во время приема передачи различных телецентров, передающих изображение с привязкой к питающей сети другого энергетического кольца. Если в процессе этой проверки выяснится, что иногда при длительной работе телевизора синхронизация по строкам срывается, то нужно обратить внимание на качество конденсатора, включенного параллельно катушке стабилизирующего контура и заменить его на слюдяной типа КСО группы Г.

Налаживание узла строчной развертки на транзисторах в цветном телевизоре

Налаживание узла (рис. 3-76) осуществляется по осциллографу. При этом отклоняющая система и кинескоп должны быть подключены. Сначала налаживают задающий генератор (транзистор T_3), причем до подачи напряжений питания 40 и 32 В необходимо отключить коллекторы выходных транзисторов T_5 , T_{13} . Частоту задающего генератора регулируют переменными резисторами R_8 , R_{13} . Скажность импульсов генератора устанавливают резистором R_{20} . Длительность запирающих импульсов на базах транзисторов T_5 и T_6 должна быть равна 18—25 мкс. Далее присоединяют коллектор транзистора T_5 и подстраивают частоту генератора, так как она изменится из-за влияния нагрузки на задающий

генератор и работы системы АПЧФ. Сердечником катушки L_1 настраивают контур L_1C_{16} на третью гармонику свободных колебаний, контролируя форму, длительность и амплитуду напряжений на коллекторах транзисторов по осциллографу. Если амплитуды напряжения на их коллекторах не равны, то подбирают конденсаторы C_{12} и C_{13} . Затем проверяют полярность импульсов, подаваемых на диоды D_7 и D_8 .

Устройство коррекции геометрических искажений раstra предварительно настраивают сердечником катушки L_4 при среднем положении движка резистора R_{27} по максимальной амплитуде напряжения на конденсаторе C_{16} . Окончательную настройку катушек L_2 — L_4 и установку движков резисторов R_{26} , R_{27} производят после установки блока в телевизор.

При налаживании источника высокого напряжения проверяют наличие пилообразного напряжения на движке резистора R_{41} . Присоединяют коллектор транзистора T_{13} и, вращая движки резисторов R_{28} и R_{41} , устанавливают длительность открывающего импульса на базе этого транзистора равной 16—20 мкс при токе луча кинескопа 0,1 мА и напряжении на выходе умножителя не более 25 кВ. Вращением сердечника катушки L_5 настраивают контур выходного каскада на транзисторе T_{13} на третью гармонику свободных колебаний. Затем проверяют работу устройства стабилизации, изменяя ток лучей кинескопа и контролируя при этом высокое напряжение и длительность управляющего импульса на базе транзистора T_{13} . Необходимый размер раstra по горизонтали устанавливается изменением напряжения питания 40 В.

Налаживание узла кадровой развертки на транзисторах в цветном телевизоре

Перед налаживанием узла кадровой развертки (рис. 3-77) необходимо проверить работоспособность стабилизаторов и подобрать опорные стабилитроны так, чтобы на эквивалентной нагрузке сопротивлением 120 Ом для напряжения источника 42 В и при нагрузке 150 Ом для источника напряжения 12 В получить указанные напряжения. Установив переменный резистор R_{24} в нижнее по схеме положение подключают к источникам питания блок кадровой развертки. Затем проверяют режимы транзисторов по постоянному току и на любом импульсном осциллографе просматривают в контрольных точках форму напряжения. Она должна быть такой, как показано на осциллограммах I—VIII на рис. 3-77.

При отсутствии осциллографа кадровую развертку настраивают по испытательной таблице 0249 или УЭИТ, подав синхроимпульсы положительной полярности размахом больше 2 В. Ручкой *Частота кадров* R_6 добиваются неподвижного изображения таблицы на экране телевизора, переменным резистором R_{18} *Симметрия* устанавливают необходимое напряжение на коллекторе транзистора T_5 , переменным резистором R_{24} устраняют нелинейность в середине экрана, ручкой *Размер по вертикали* R_{12} устанавливают нормальный размер изображения (цифры вверху и внизу таблицы 0249 должны быть не видны), регуляторами *Линейность (R₁₄)* и *Линейность низа (R₂₅)* добиваются нормальной линейности вверху и внизу изображения.

При нормальной чересстрочности диагональные линии в квадратах *Б3* и *Б6* таблицы 0249 не имеют изломов. При полном спаривании строк четного и нечетного полукадров диагональные линии таблицы становятся шире (четкость понижается в 2 раза) и линии горизонтальных клиньев в центре таблицы расходятся веерообразно.

Регулировка узла сведения лучей в цветном телевизоре

Регулировку сведения следует начинать с совмещения лучей в нижней части раstra сначала для «красного» и «зеленого» лучей при выключенном «синем», затем для всех трех лучей вместе. Регулируют сведение лучей несколько раз, каждый раз подстраивая при необходимости сведение их в центре экрана, вращая магниты на системе сведения.

Контролировать сведение лучше всего, подавая на вход телевизора сигнал сечного поля; при настройке по таблице 0249, УЭИТ или «шахматному полю» нужно учесть, что черные линии на светлом поле получаются на экране в дополнительных цветах. Вращая магниты в системе сведения и магнит «синего» и добившись при этом чистоты цвета, нужно свести все три луча в центре экрана. При вращении движков резисторов сведения лучи должны сдвигаться вверх и вниз экрана так, как показано на рис. 3-104, а. Перемещение лучей в противоположном направлении указывает на неправильную полярность подключения катушек; перемещение в другом направлении (не под углом 120° друг к другу) свидетельствует о неправильной раскладке одной из обмоток катушки электромагнита системы сведения. Нужно иметь в виду, что регулировка сведения в нижней части экрана влияет на сведение в верхней.

При настройке узла сведения по горизонтали (рис. 3-97) необходимо вначале движки обоих переменных резисторов установить примерно в среднее положение, сердечники катушек L_1 и L_2 должны быть полностью введены, а в катушках L_3 и $L_{ск}$ находиться в среднем положении. Сначала, перемещая сердечник катушки $L_{ск}$, устраняют перекрещивание центральных красных и зеленых горизонтальных линий. Затем, вывинчивая сердечник катушки L_2 , добиваются сведения красных и зеленых вертикальных линий справа, а изменяя сопротивление резистора R_4 — слева. Неустраняемое изменением индуктивности катушки $L_{ск}$ расслоение центральных красных и зеленых горизонтальных линий по вертикали слева и справа устраняют соответственно регулировкой резистора R_3 и вращением сердечника катушки L_3 . Сведения синей горизонтальной центральной линии добиваются изменением индуктивности катушки L_1 и сопротивления резистора R_2 . Эту операцию нужно проделать несколько раз, добываясь получения наилучших результатов, так как регулировки узла взаимозависимы и влияют друг на друга. Возникающее при этом нарушение сведения в центре экрана устраняется с помощью постоянных магнитов системы сведения. При настройке не следует оставлять катушки индуктивности L_1 и L_2 без сердечников во избежание резкого возрастания мощности, рассеиваемой на остальных элементах узла.

Сведение можно считать удовлетворительным, если в центральной части изображения, соответствующей кругу таблицы 0249, расслоение лучей составляет 0,5—1 мм при измерении между серединами соседних линий по горизонтали или по вертикали. На краях центральных вертикальных и горизонтальных линий (20—25 мм от края экрана) допустимо расслоение 1,5—2 мм.

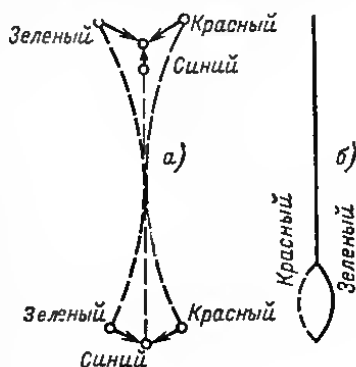
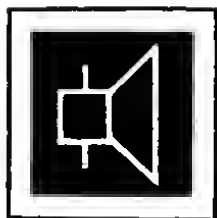


Рис. 3-104.



ЭЛЕКТРО- АКУСТИЧЕСКОЕ ЗВУКО- ВОСПРОИЗВЕДЕНИЕ

РАЗДЕЛ 4

СОДЕРЖАНИЕ

4-1. Основные сведения	276
Классы и качества звуковоспроизведения (276). Параметры звуковоспроизводящих устройств (277).	
4-2. Усилители низкой частоты	281
Однокаскадные каскады транзисторных УНЧ (284). Транзисторные каскады предварительного усиления (288). Регулирование усиления (289). Регулирование тембра (290). Рекомендуемые схемы транзисторных УНЧ (292). Ламповый УНЧ для радиолы или электрофона класса II (296). Стерефонические двухканальные УНЧ (297)	
4-3. Головки громкоговорителей	298
Основные характеристики (298). Типовые отечественные головки громкоговорителей (300). Малогабаритные акустические системы заводского производства (303). Простейшие измерения параметров головок громкоговорителей (304)	
4-4. Расчет и конструирование акустических систем	304
Общие положения (304). Расчет акустического экрана (305). Расчет футляра без задней стенки (306). Расчет закрытого футляра (306). Расчет фазоинвертора (308). Конструирование футляров (310). Соединение в группы и фазирование головок (311). Двух- и трехполосные акустические системы (312). Стерефонические акустические системы (314)	
4-5. Ревербераторы	314
Основные характеристики (314). Принцип работы пружинного ревербератора (315). Самодельный трехпружинный ревербератор (316)	
4-6. Воспроизведение граммофонных записей	321
Типы и параметры грампластинок (321). Воспроизводящая аппаратура (323)	

4-1. ОСНОВНЫЕ СВЕДЕНИЯ

Классы качества звуковоспроизведения

Понятия «качество звуковоспроизведения» и «естественность звучания» связаны с явлениями, которые обобщают под понятиями «искажения» и «помехи». При этом не все слушатели реагируют на дефекты звуковоспроизведения одинаково: одни отметят наличие искажений и помех в передаче или звукозаписи, для других они останутся незамеченными. При воспроизведении речи искажения обычно ощущаются меньше, чем при воспроизведении музыки.

Вместе с тем мы нередко согласны пользоваться относительно несложной, недорогой аппаратурой, примиряясь с тем, что звуковоспроизведение несколько отличается от «естественного». По этим причинам имеется несколько классов качества звуковоспроизведения и соответствующее число классов радиовещательных приемников, магнитофонов и электрофонов.

Далее понятие «радиовещательный приемник» (сокращение «РВ приемник») будем распространять на комбинированные устройства: радиолы, магнитолы, телерадиолы и т. п.

Для каждого класса звуковоспроизведения методами статистики установлены указанные далее показатели.

Класс высший. При звуковоспроизведении по этому классу искажения и помехи «практически незаметны» высококвалифицированным экспертам (музыкантам, звукорежиссерам и др.) и «совершенно незаметны» остальным слушателям, специально приглашенным в качестве экспертов для участия в опытах по оценке качества звучания. Такие оценки дают, когда дефекты не замечают 75—85% специалистов и около 90% остальных слушателей. Это означает, что если слушатели не будут заранее «настроены» на то, что звуковоспроизведение может быть несколько искажено и сопровождаться помехами, они не заметят дефектов звуковоспроизведения.

Звуковоспроизведение по классу «высший» можно получить при приеме радиовещания и звукового сопровождения телевидения на УКВ с ЧМ. Передатчики этих программ имеют рабочий диапазон звуковых частот 30 Гц — 15 кГц при неравномерности частотной характеристики не более 3 дБ, а коэффициент гармоник не превышает 2%. С помощью магнитофона можно получить воспроизведение записей с качеством по классу «высший» при скорости ленты не менее 19,05 см/с.

Класс I. При непосредственном сравнении звуковоспроизведения по классу I с воспроизведением по классу «высший» различие в качестве звучания замечают примерно 20—25% «рядовых» слушателей и около половины профессионально натренированных экспертов.

Программы с качеством по классу I передают радиовещательные станции, работающие в диапазонах ДВ, СВ и КВ с АМ. Их рабочий диапазон звуковых частот 50 Гц — 10 кГц при неравномерности частотной характеристики не более 3,5 дБ, в коэффициент гармоник не превышает 5% (в диапазоне частот 100 Гц — 4 кГц не более 2,5%).

Воспроизведение магнитофонных записей с качеством по классу I можно получить при скорости ленты не менее 9,53 см/с.

Класс II. Звуковоспроизведение с качеством по классу II таково, что при непосредственном сравнении его с воспроизведением по классу «высший» различие замечают примерно половина «рядовых» слушателей и три четверти профессионально натренированных экспертов.

Классу II удовлетворяет радиотрансляционный тракт, состоящий из станционного усилительного оборудования радиоузла, распределительной фидерной и абонентской линии (без громкоговорителя). Следовательно, передачу, получаемую по радиотрансляционной сети, можно записать с качеством по классу II на магнитофон, класс которого не хуже второго. При этом скорость ленты должна быть не менее 9,53 см/с.

Класс III. При непосредственном сравнении звуковоспроизведения с качеством по классу III с воспроизведением по высшему классу искажения и помехи замечают приблизительно три четверти всех слушателей. Звучание с качеством по классу III обычно получается при слушании передач на простые, недорогие радиоприемники, на малогабаритные громкоговорители массового типа по радиотрансляционной сети и при воспроизведении магнитофонных записей при скорости движения ленты 4,76 см/с.

Параметры звуковоспроизводящих устройств

Качество звуковоспроизведения по тому или иному классу достигается в различных системах различными техническими средствами. Если качество воспроизведения передач РВ приемниками в значительной мере определяется параметрами примененных в них громкоговорителей, УНЧ и величиной фона, создаваемого источником питания, то в обеспечении требуемого качества воспроизведения звукозаписи, кроме того, существенное значение имеют скорость и равномерность вращения диска проигрывающего устройства или движения

магнитной лентой, величина помехи, проникающей с соседней звуковой дорожки, уровень вибраций и другие факторы. При телевизионном приеме на качество звукового сопровождения влияют помехи от сигнала изображения, цепей развертки и питания.

При этом аппаратура данного класса не всегда обеспечивает звуковоспроизведение с качеством по такому же классу. Так, например, хотя РВ станции, работающие в диапазонах ДВ, СВ и КВ, и передают программы с качеством по классу I, однако необходимость иметь высокую селективность при радиоприеме, особенно при наличии помех, приводит к тому, что звуковые частоты выше 6 кГц воспроизводятся существенно ослабленными даже радиолы классов «высший» и I. Такие приемники могут обеспечить звуковоспроизведение радиопрограмм всех видов с качеством, соответствующим своему классу, только при приеме на УКВ с ЧМ.

В табл. 4-1 указаны установленные Государственными стандартами СССР численные значения общих для РВ приемников (ГОСТ 5651-64), ТВ приемников (ГОСТ 18198-72), электрофонов (ГОСТ 11157-65) и бытовых магнитофонов (ГОСТ 12392-71) параметров, при которых может быть достигнуто качество звуковоспроизведения, соответствующее различным классам (при условии, что качество принимаемой радиопередачи или звукозаписи не ниже по классу).

Для двухканальной стереофонической аппаратуры это параметры каждого канала. Параметры, указанные для устройства с автономным питанием, относятся также к аппаратуре с универсальным питанием (от электросети и батарей). Если ГОСТ не регламентирует какой-либо параметр для аппаратуры данного класса, в соответствующей графе стоят буквы «НН» (не нормируется).

Буквы «НВ» означают, что аппаратура по данному классу не выпускается.

Номинальный рабочий диапазон звуковых частот — один из основных показателей, по которому звуковоспроизводящее устройство относят к тому или иному классу. Чем выше класс аппаратуры, тем шире должен быть этот диапазон.

Аппаратура в напольном (мебельном) оформлении может быть сконструирована с расчетом на воспроизведение более низких частот, поскольку ее акустические системы могут иметь большие объемы (см. § 4-10). Вместе с тем нижние границы рабочих диапазонов частот переносной аппаратуры вследствие ограниченности ее объема вынужденно повышаются.

Ширина рабочего диапазона определяется акустической частотной характеристикой звуковоспроизводящего устройства по звуковому давлению (кривая верности, см. § 4-3), создаваемому его громкоговорителем (громкоговорителями).

Неравномерность акустической характеристики — отношение максимального звукового давления к минимальному в номинальном рабочем диапазоне частот; обычно выражается в децибелах.

Неравномерность частотной характеристики УНЧ — отношение максимального напряжения электрического сигнала на выходе усилителя к минимальному при неизменной величине входного сигнала в номинальном рабочем диапазоне частот; обычно выражается в децибелах.

Требуемые акустические частотные характеристики РВ и ТВ приемников и электрофонов обеспечиваются при условии, что неравномерность частотной характеристики УНЧ не более 2—6 дБ. Об особенностях частотных характеристик усилителей магнитофонов см. разд. 5.

Вместе с тем УНЧ обычно содержат регуляторы тембра — устройства, позволяющие изменять частотные характеристики тракта усиления.

Среднее звуковое давление, развиваемое громкоговорителем, должно быть тем больше, чем выше класс аппаратуры. Это вызвано тем, что с увеличением «запаса» акустической системы по величине звукового давления уменьшается вероятность возникновения заметных нелинейных искажений при воспроизведении наиболее громких звуков, например при передаче звучания симфонического оркестра.

Нелинейные искажения. Всякий тракт усиления и звуковоспроизведения содержит нелинейные элементы. Громкоговоритель (§ 4-3 и 4-4) тоже является

Таблица 4-1

Электроакустические параметры звуковоспроизводящей аппаратуры

Наименование параметра	Вид аппаратуры	Класс аппаратуры			
		Высший (0)	I	II	III
Рабочий диапазон частот по звуковому давлению, создаваемому громкоговорителем при неравномерности частотной характеристики не более 14 дБ, Гц, не уже!	РВ приемники стационарные в диапазоне УКВ,	(40) 63—15 000	(63) 80—12 000	(80) 100—10 000	160—7100 НН
	Электрофоны	40—18 000	63—16 000	100—10 000	140—7100 НВ
	РВ приемники стационарные в диапазонах КВ, СВ и ДВ	(40) 63—6000	(63) 80—4000	(80) 100—4000	150—3550 200—3000*
	РВ приемники переносные в диапазонах УКВ, СВ, ДВ	—	150—12 000 150—4 000	200—10 000 200—4000	300—7100 300—3550 НН 450—3000*
Рабочий диапазон частот по электрическому напряжению, Гц, не уже	ТВ приемники	НВ	80—12 500	100—10 000	125—7100 НН
	Магнитофоны бытовые со входа усилителя мощности	НВ НВ НВ	40—16 000 80—12 500 НВ	80—10 000 123—7100 160—6300	НН 160—6300 НН 200—5000 315—4000
	На линейном выходе канала записи-воспроизведения бытового магнитофона при скорости ленты	НВ НВ НВ	19,05 см/с 9,53 см/с 4,76 см/с	40—16 000 40—14 000 63—8000	НН 63—12 500 — НВ НН 80—6300
	На выходе автономного приемника в диапазонах	НВ НВ	80—10 000 80—5000	125—7100 125—4000	125—6300 125—3550 НВ НВ

Продолжение табл. 4-1

Наименование параметра	Вид аппаратуры	Класс аппаратуры			
		Высший (0)	I	II	III IV
Среднее звуковое давление на расстоянии 1 м, Па, не менее	PB приемники стационарные с питанием от электросети	1,0	0,80	0,60	0,45 0,35
	PB приемники стационарные с автономным питанием	NB	0,60	0,40	0,25 0,20
	PB приемники переносные	NB	0,4	0,25	0,23 0,10
	PB приемники автомобильные	NB	0,3	0,30	0,30 NB
	TB приемники	NB	0,8	0,60	0,40 NN
	Магнитофоны бытовые с питанием от электросети	NB	1,0	0,80	0,60 NB
	То же с автономным питанием	NB	NB	0,60	0,45 0,25
	PB приемники, электрофоны	60	50	60 ^а	40 ^а 40 ^а
Диапазон ручного регулирования громкости, дБ, не менее	Магнитофоны бытовые с питанием от электросети при воспроизведении	NB	60 ^а	50	40 NB
	То же с автономным питанием	NB	NB	40	30 30
Коэффициент гармоник по звуковому давлению на частотах 200—400 Гц, %, не более	PB приемники стационарные и переносные ⁷	4,0	5,0	5,0	7,0 10
	PB приемники автомобильные ⁷ , *	NB	6,0	7,0	8,0 NB
	TB приемники	NB	5,0	7,0	8,0 NN
	Магнитофоны бытовые с питанием от электросети со входа усилителя мощности	NB	5,0	5,0	7,0 NB
	То же с автономным питанием	NB	NB	7	NN NN

Продолжение табл. 4-1

Наименование параметра	Вид аппаратуры	Класс аппаратуры				
		Высшая (0)	I	II	III	IV
Коэффициент гармоник по звуковому давлению на частотах выше 400 Гц, %, не более	РВ приемники, РВ приемники автомобильные*, *	3 НВ	4,0 4,0	4,0 5,0	5,0 5,0	7,0
	ТВ приемники	НВ	4,0	5,0	5,0	НВ
Коэффициент гармоник по напряжению, %, не более ¹⁰	Магнитофоны бытовые с питанием от электросети То же с автономным питанием	НВ НВ	3,0 НВ	4,0 5,0	5,0 7,0	НВ 10
	На выходе УНЧ электрофона на частотах до 100 Гц То же на частотах выше 100 Гц до частоты, равной половине верхней	1,5 1,0	2,5 1,5	4,0 4,0	5,0 5,0	НВ
Коэффициент гармоник по напряжению, %, не более	На линейном выходе канала записи-воспроизведения бытового магнитофона на частоте 400 Гц	НВ	3	4	4	5
Относительный уровень фона, дБ, не более	РВ приемники	-54 -60	-44 -50	-40 -46	-30 -36	-30 -36
	Электрофоны	-60 -50	-54 -46	-46 -40	-40 -34	НВ НВ

Продолжение табл. 4-1

Наименование параметра	Вид аппаратуры		Класс аппаратуры				
			Высшая (0)	I	II	III	IV
Относительный уровень помех ¹ , дБ, не более	ТВ приемники	Канал звука	НВ	-26	-26	-26	НН
	Магнитофоны бытового канала воспроизведения	При двух дорожках на ленте При четырех дорожках на ленте	НВ	-52 -43	-43 -44	-45 -42	-43 -40
	То же канал записи-воспроизведения	При двух дорожках на ленте При четырех дорожках на ленте	НВ	-43 -45	-54 -42	-42 -39	-40 -37
	ТВ приемники		НВ	-30	-40	-40	НН
Относительный уровень акустического шума, дБ, не более	Прогризателя плав- ных стенок	Приводной меха- низм	-30	-30	-34	-38	НВ

1. При радиоприеме на частотах ниже 250 кГц ($\lambda > 1200$ м) допускается неравномерность частотной характеристики по звуковому давлению до 18 дБ. В скобках указаны значения параметров РВ приемников в полном оформлении.

2. Такие же частотные характеристики по звуковому давлению должны обеспечиваться со входа УНЧ РВ приемника.

3. Номинальный диапазон рабочих частот со входа УНЧ не уже 200—6000 Гц.

4. Такой же диапазон регулирования громкости при записи.

5. Для электрофонов допускается 40 дБ.

6. Для РВ приемников классов III и IV.

7. Указанные коэффициенты гармоник при радиоприеме соответствуют коэффициенту модуляции 0,5; при коэффициенте модуляции 0,3 допускаются в 1,5 раза большие значения коэффициента гармоник.

8. Для РВ автомобильных приемников указаны значения коэффициента гармоник по электрическому напряжению при номинальной выходной мощности.

9. Помехи, создаваемые сигналом изображения, цепями разверток и питания.

10. При номинальной мощности, равной: для класса 0 10 Вт, для класса I 6 Вт, для класса II «стерео» 2 Вт, для классов III и IIII «mono» при питании от сети 1,5 Вт и при питании от автономных источников тока 0,5 Вт. Коэффициент гармоник регламентируется без учета искажений, вносимых звукоусилителем.

нелинейной системой: создаваемое им звуковое давление непропорционально подводному к нему электрическому напряжению. Вследствие этого излучаемый громкоговорителем спектр звуковых колебаний содержит составляющие с частотами, которых нет в составе сигнала, поступающего на вход канала — возникают нелинейные искажения. Их величину принято оценивать с помощью коэффициента гармонических искажений (сокращенно коэффициент гармоник); он представляет собой отношение среднеквадратичного значения звукового давления, создаваемого появившимися дополнительными колебаниями с кратными частотами (гармониками), к среднеквадратичному значению звукового давления, создаваемого колебаниями с частотой входного синусоидального сигнала.

Номинальная выходная мощность УНЧ $P_{\text{ном}}$ — электрическая мощность на его выходе, обеспечивающая создание громкоговорителем требуемого номинального среднего звукового давления при коэффициенте гармоник не выше допустимого. Как видно из табл. 4-1, чем выше класс звуковоспроизводящего устройства, тем большее звуковое давление оно должно развивать. Соответственно увеличивается необходимая номинальная выходная мощность усилителя НЧ.

Максимальная выходная мощность УНЧ $P_{\text{макс}}$ — электрическая мощность на его выходе, при которой коэффициент гармоник выходного сигнала (по напряжению) достигает 10%. Определяют этот параметр, подавая на вход усилителя синусоидальный сигнал.

Входные параметры УНЧ имеют большое значение в обеспечении должного качества звуковоспроизведения. Основными входными параметрами усилителя НЧ являются: полное входное сопротивление в рабочем диапазоне частот $z_{\text{вх}}$, и номинальное входное напряжение $U_{\text{вх}}$, т. е. действующее значение напряжения на входе УНЧ, при котором получается номинальная выходная мощность (для магнитофона нормальный уровень записи). Параметр $U_{\text{вх}}$ называют часто чувствительностью тракта УНЧ.

Параметры входа УНЧ для подключения звукоусилителя. РВ приемники: $U_{\text{вх}} \leq 0,25 \text{ В}$, $z_{\text{вх}} \geq 0,5 \text{ МОм}$ при $f = 1,0 \div 1,6 \text{ кГц}$. Магнитофоны: $U_{\text{вх}} = 0,15 \div 0,5 \text{ В}$, $z_{\text{вх}} \geq 0,4 \text{ МОм}$ при $f = 400 \text{ Гц}$. Электрофоны: $U_{\text{вх}} = 0,2 \div 0,25 \text{ В}$, $r_{\text{вх}} = 0,4 \div 1,0 \text{ МОм}$ при $f = 1 \text{ кГц}$, $C_{\text{вх}} \leq 180 \text{ пФ}$ — для высокоомного звукоусилителя, $U_{\text{вх}} = 3,0 \div 5,0 \text{ мВ}$, $r_{\text{вх}} = 38 \div 56 \text{ Ом}$ при $f = 1 \text{ кГц}$ — для низкоомного (электромагнитного) звукоусилителя.

Параметры микрофонного входа (в частности, в магнитофоне). Стандартное сопротивление нагрузки динамического микрофона при его включении без трансформатора равно 250 Ом. Такого же порядка выбирают и $U_{\text{вх}}$ для микрофонного входа транзисторного УНЧ. За $U_{\text{вх}}$ обычно принимают напряжение, развиваемое микрофоном выбранного типа при воздействии на него звукового давления 0,2 Па на частотах 400—1000 Гц. Чувствительность применяемых при любительской звукозаписи микрофонов (микрофоны класса II А) составляет 0,5—1 мВ.

Параметры входа усилителя магнитофона при записи от приемника. ГОСТ 12392-71 устанавливает, что для такого входа в номинальном рабочем диапазоне частот должно быть $R_{\text{вх}} \geq 25 \text{ кОм}$, а номинальное входное напряжение 10—30 мВ.

Параметры входа усилителя магнитофона при записи с радиотрансляционной линии должны иметь следующие значения: 10 кОм, $U_{\text{вх}} = 10 \div 30 \text{ В}$.

Параметры входа усилителя магнитофона при работе от воспроизводящей головки. При расчете параметров усилителя магнитофона в режиме воспроизведения за $U_{\text{вх}}$ принимают напряжение, развиваемое магнитной головкой.

Стандартные параметры линейного выхода усилителя магнитофона. Согласно ГОСТ на бытовые магнитофоны полное выходное сопротивление усилителя магнитофона в рабочем диапазоне частот должно быть не более 10 кОм, а действующее напряжение на выходе, соответствующее максимальной выходной мощности канала воспроизведения, должно быть 0,25—0,5 В.

Диапазон ручного регулирования громкости звуковоспроизводящей аппаратуры должен быть тем шире, чем выше класс ее, поскольку если акустическая

система способна развить большее звуковое давление, то может встретиться необходимость снижать уровень громкости.

Главное регулирование громкости как при больших, так и малых уровнях сигнала получают, применяя переменный резистор с обратнологарифмической функциональной характеристикой (вид В — см. § 12-2). В устройствах, соответствующих классу II и выше, применяют тонкомпенсированные регуляторы громкости.

Допустимые фои и помехи. Чем выше класс приемника, электрофона, тем меньше должен быть относительный уровень фона на его выходе. Последняя величина определяется как отношение напряжения, обусловленного наводкой в тракте передачи и усиления с частотой питающего переменного тока и с кратными частотами, к напряжению полезного сигнала, соответствующего номинальному значению выходной мощности.

Чем выше класс телевизора или магнитофона, тем меньше должен быть относительный уровень помех, возникающих в самой аппаратуре. В магнитофоне помехи вносятся источником питания (фон), магнитной лентой (шумы, дегонация) и сигналами, проникающими с других звуковых дорожек ленты. В канале звукового сопровождения телевизора помехи наводят цепи питания, цепи развертки и сигналы изображения. Относительный уровень напряжения помех в магнитофонах и телевизорах также измеряется при напряжении сигнала, соответствующего номинальному значению выходной мощности.

Параметры стереофонических систем. Если система передачи-приема или звукозаписи-звуковоспроизведения является одноканальной (монофонической), то даже аппаратура с параметрами, соответствующими высшему классу, не даст естественного звучания в том смысле, что в звуковоспроизведении не будет «акустической перспективы» — слушатели будут чувствовать, что звук излучает небольшая поверхность. Отсутствие акустической перспективы особенно заметно при воспроизведении звучания симфонического оркестра, хора и тому подобных больших ансамблей.

С помощью применяемой в настоящее время двухканальной стереофонической системы получают весьма близкую к естественной акустическую перспективу звуковоспроизведения.

К двухканальной стереофонической аппаратуре предъявляются дополнительные требования, важнейшими из которых являются: 1) различие в усилении обоих каналов усиления НЧ (рассогласование их чувствительности) при всех положениях регуляторов громкости не должно превышать 2—3 дБ; 2) частотные характеристики каналов должны мало отличаться друг от друга при всех положениях регуляторов тембра; рассогласование характеристик на каждой данной частоте должно быть не более 2—3 дБ.

Отношение мешающего сигнала, проникающего в данный канал из другого, к номинальному уровню полезного сигнала (в данном канале — переходное затухание) практически должно быть не более 20 дБ на частотах 63—80 Гц, 20 — 35 дБ на частотах 200 Гц и 5 кГц, 25 — 40 дБ на частоте 1 кГц и 20 — 30 дБ на частоте 10 кГц (большие значения коэффициента переходного затухания относятся к устройствам более высоких классов).

4-2. УСИЛИТЕЛИ НИЗКОЙ ЧАСТОТЫ

Оконечные каскады транзисторных УНЧ

Выбор схемы. Оконечный каскад УНЧ целесообразно выполнять по двухтактной бестрансформаторной схеме с последовательным питанием транзисторов. Такой каскад вносит меньшие частотные и фазовые искажения, чем каскад с трансформаторами. Транзисторы обычно работают в режиме АВ.

Распространенные варианты схем окончательных бестрансформаторных каскадов приведены на рис. 4-1 и 4-2. Каскад из двух транзисторов различной струк-

туры (рис. 4-1, а) применяют в малогабаритных РВ приемниках с $P_{\text{ном}} \leq 0,1$ Вт; подобный же каскад на составных транзисторах также различной структуры (рис. 4-1, б) применяют, когда нужно получить $P_{\text{ном}} = 0,1 \div 0,5$ Вт. Если нужно иметь большую выходную мощность, применяют усилители с отдельными фазоинвертирующими каскадами, показанные на рис. 4-2. При этом варианты а и б используют, когда с общим проводом соединен положительный полюс источника питания, а варианты в и г, когда с общим проводом соединен отрицательный полюс.

Во всех случаях связь с предыдущим каскадом непосредственная: база транзистора T_2 соединяется с коллектором транзистора предыдущего каскада. Терморезисторы R_2 обеспечивают температурную стабилизацию смещения на базах транзисторов T_1 и T_2 . В усилителях с малой выходной мощностью (до 0,1 Вт) вместо терморезисторов можно использовать диоды с прямым включением $p-n$ перехода.

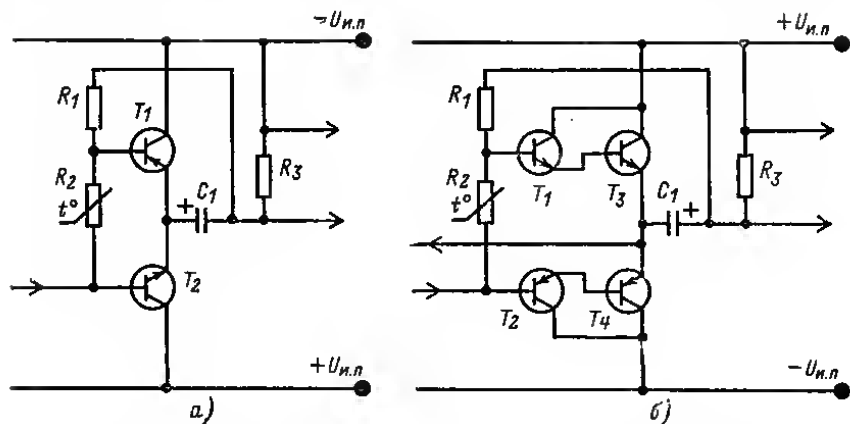


Рис. 4-1.

В усилителе с выходной мощностью порядка нескольких ватт вместо терморезистора для стабилизации режима целесообразно применить транзистор T_5 , включая его по схеме на рис. 4-3.

В усилителе, не подверженном значительным колебаниям температуры базы транзисторов, можно соединить между собой непосредственно и исключить стабилизирующие резисторы R_6 и R_7 . Последние могут отсутствовать также, если транзисторы T_3 и T_4 кремниевые.

Сопrotivления резисторов R_4 и R_5 в схемах на рис. 4-2 не критичны; практически применяют резисторы как с большими, так и с меньшими сопротивлениями.

В схемах, где ток смещения на базы транзисторов T_1 и T_2 проходит через громкоговоритель (рис. 4-1, а, б и рис. 4-2, а, в) параллельно выходу усилителя необходимо включать резистор R_3 , чтобы базы этих транзисторов получали смещение и при случайном отключении громкоговорителя.

В качестве фазоинвертора на входе оконечного каскада иногда применяют согласующий трансформатор с двумя симметричными вторичными обмотками.

Расчет бестрансформаторного каскада. При расчете оконечного каскада бестрансформаторного УНЧ заданными величинами являются номинальная выходная мощность $P_{\text{ном}}$ и полное входное сопротивление громкоговорителя z_r (сопротивления головок громкоговорителей стандартизированы см. табл. 4-4).

Номинальная выходная мощность усилителя класса «высший» должна быть не менее 6 Вт, класса I — не менее 4 Вт, класса II — 2—3 Вт, класса III — 1—2 Вт и класса IV — 0,15—0,5 Вт. В стереофонических двухканальных систе-

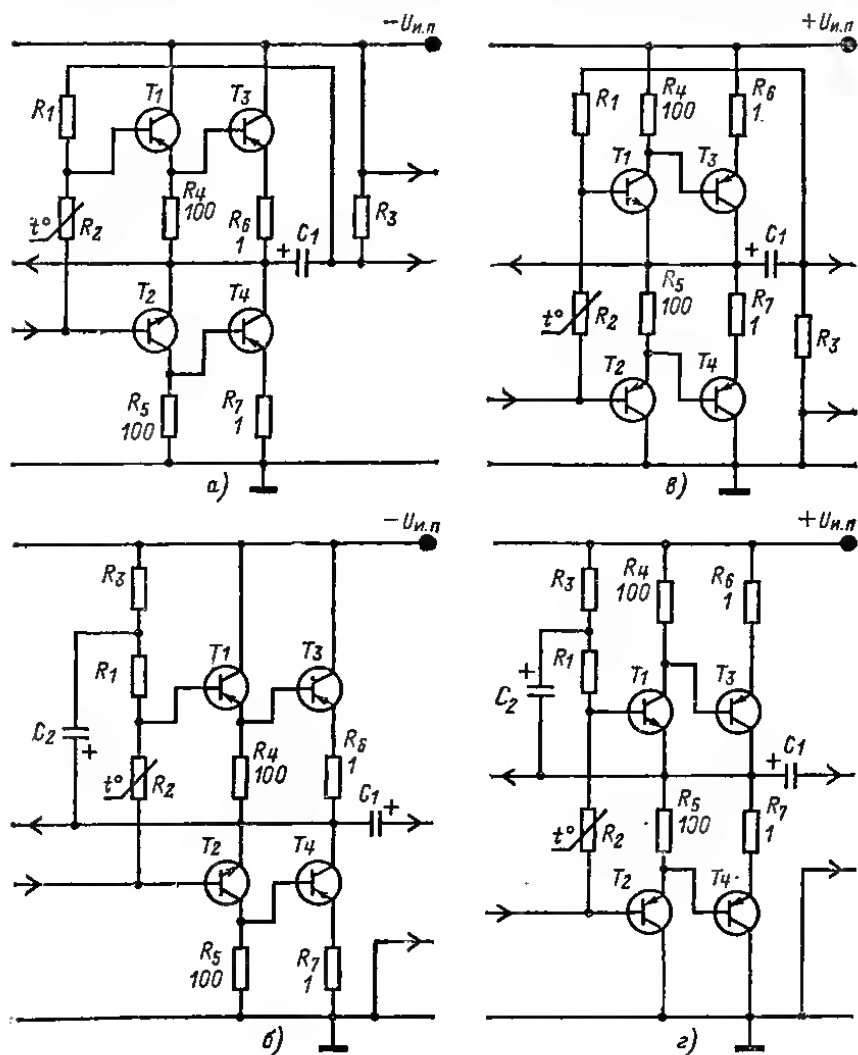


Рис. 4-2.

мах указанную для соответствующего класса выходную мощность должен иметь усилитель каждого из каналов.

Карманные приемники с громкоговорящими делают с $P_{ном} = 0,03 \div 0,1$ Вт.

При выборе выходной мощности нужно иметь в виду, что при снижении нижней границы полосы пропускания на $1/2$ октавы номинальную выходную мощность нужно увеличивать в 2 раза. Номинальная мощность громкоговорителя (суммарная мощность головок, если в громкоговорителе их несколько) должна быть не меньше номинальной выходной мощности усилителя.

Расчетным путем нужно определить номинальное напряжение питания оконечного каскада $U_{н.п.}$, потребляемый от источника питания ток, и на основании расчета выбрать типы транзисторов и параметры элементов схемы. Чтобы при заданном значении $P_{ном}$ при условии применения обратной связи вносимые оконечным каскадом нелинейные искажения были бы достаточно малыми, расчет каскада нужно вести на выходную мощность, в n раз большую $P_{ном}$ [Вт]. Номинальное напряжение питания определяют по формуле

$$U_{н.п.} = \sqrt{8nP_{ном}z_r} + 4U_{КЭнас} \quad (4-1)$$

Для карманных приемников эмпирический коэффициент $n = 1,5$, для приемников классов III и IV $n = 2,0 \div 2,5$ и для приемников более высоких классов $n = 3,5 \div 4,0$.

Напряжение насыщения коллектора германиевых сплавных транзисторов $U_{КЭнас} = 0,4 \div 0,5$, германиевых сплавно-диффузионных $0,6 - 0,7$ В, германиевых конверсионных до 2 В, кремниевых, изготавливаемых с применением диффузионной или планарной технологии, $2 - 5$ В (см. § 12-14).

Если проектируется устройство с питанием от батареи, выбирают ближайшее большее номинальное значение $U_{н.п.}$ из ряда 6, 9, 12 В. При заданном значении $U_{н.п.}$ (например, если проектируется приемник с питанием от автомобильного аккумулятора) можно получить выходную мощность

$$P_{ном} = \frac{(U_{н.п.} - 4U_{КЭнас})^2}{8\pi z_r} \quad (4-2)$$

Импульсное значение коллекторного тока транзисторов оконечного каскада, работающего в режиме АВ, определяют по формуле

$$I_{Кн} = \sqrt{2P_{ном}/z_r}; \quad (4-3)$$

среднее значение коллекторного тока оконечного каскада

$$I_{Кср} = I_{Кн}/\pi = 0,32I_{Кн}. \quad (4-4)$$

На основании полученных по формулам (4-1) — (4-4) величин выбирают тип транзистора; он должен удовлетворять условиям:

$$U_{КЭмакс} \geq 1,2U_{н.п.}; \quad I_{Кн.макс} \geq 2I_{Кн}; \quad P_{макс} \geq 0,5P_{ном}. \quad (4-5)$$

Транзисторы T_1 и T_2 в усилителях по схемам по рис. 4-2, а—г должны удовлетворять следующим условиям:

$$\left. \begin{aligned} U_{КЭмакс} &\geq 1,2U_{н.п.}; \\ I_{Кмакс} &\geq I_{Кн}/h_{21Э}, \end{aligned} \right\} \quad (4-6)$$

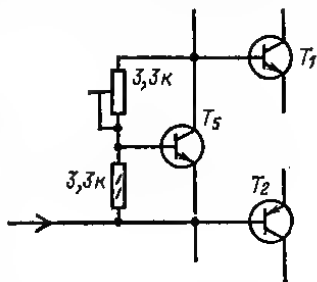


Рис. 4-3.

где I_{Kn} — импульсное значение коллекторного тока транзисторов T_3 и T_4 ; $h_{21Э}$ — статический коэффициент передачи тока последних в режиме большого сигнала.

Минимально необходимую емкость разделительного конденсатора C_1 (мкФ) определяют по формуле

$$C_1 = \frac{2 \cdot 10^5}{f_{нз} z_r}, \quad (4-7)$$

где $f_{нз}$ — низшая частота номинального рабочего диапазона, Гц; z_r — входное сопротивление громкоговорителя, Ом. Выбирают конденсатор с ближайшей большей стандартной номинальной емкостью.

Сопротивление резистора R_3 в схемах на рис. 4-1, а, б и 4-2, а, в

$$R_3 = (10 \div 20) z_r. \quad (4-8)$$

Транзисторные каскады предварительного усиления

Входной каскад УНЧ радиолы или электрофона целесообразно выполнить на полевом транзисторе или на кремниевом биполярном транзисторе с возможно большим значением $h_{21Э}$ по схеме эмиттерного повторителя; этим достигается высокое входное сопротивление усилителя. Рекомендуемая схема входного каскада на биполярном транзисторе приведена на рис. 4-4. Его входное сопротивление свыше 250 кОм, коэффициент передачи напряжения 0,7 (при выходной нагрузке в виде переменного резистора регулирования громкости сопротивлением 100 кОм).

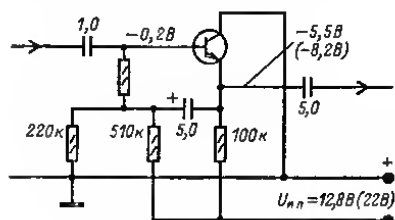


Рис. 4-4.

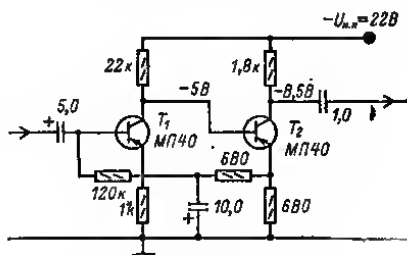


Рис. 4-5.

Промежуточные каскады чаще всего выполняют по схеме с общим эмиттером. Для снижения фазовых искажений применяют гальваническую междукаскадную связь. На рис. 4-5 приведена схема каскадного усилителя типа ОЭ—ОЭ, которую можно рекомендовать для использования в предварительном усилителе; эта схема отличается стабильностью как при колебаниях напряжения питания, так и при изменениях окружающей температуры.

В качестве каскадов предварительного усиления НЧ портативных РВ и ТВ приемников, в том числе автомобильных, рекомендуется использовать микросхемы К2УС245, К2УС371, К2УС372 и т. п. (см. § 12-16).

Типовые схемы подключения источников сигналов к входам УНЧ радиоприемников, радиол, электрофонов и магнитофонов через стандартные низкочастотные штепсельные разъемы типов СШЗ—СГЗ и СШ5—СГ5 показаны на рис. 4-6; схемы в верхнем ряду относятся к монофоническим, а в нижнем — к стереофоническим звуковоспроизводящим устройствам и магнитофонам; цепи левого и правого стереоканалов обозначены буквами А и В. На рис. 4-6, а приведены схемы разъемов для подключения звукоусили-

телей к РВ приемникам и электрофонам, на рис. 4-6, б—г для подключения к магнитофонам микрофонов с симметричными, несимметричными выходами и трансляционной линии соответственно. На рис. 4-7, д показана схема устанавливаем

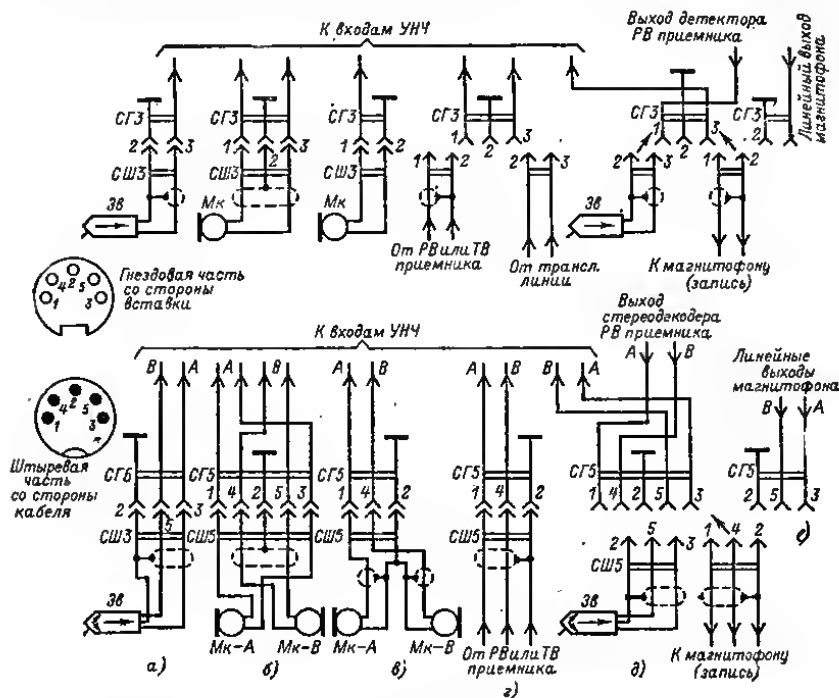


Рис. 4-6.

ых на приемниках (радиоларх) гнездовых частей разъемов, через которые подают на входы их УНЧ сигнал от звукоснимателя, либо снимают сигнал для записи на магнитофон, а на рис. 4-6, е — схема гнездовой части разъема на линейном выходе магнитофона.

Регулирование усиления

Регулирование усиления (громкости) должно осуществляться с помощью переменных резисторов с экспоненциальной характеристикой. (см. рис. 12-8, а). При этом обеспечивается равномерность изменения громкости звуковоспроизведения при различных уровнях входных сигналов. Регулятор усиления включают на входе УНЧ или после первого его каскада, выполняемого обычно по схеме эмиттерного повторителя.

Схема простейшего регулятора громкости показана на рис. 4-7, а.

При уменьшении громкости звуковоспроизведения слушатель ощущает непропорциональное ослабление низкочастотных и высокочастотных составляющих сигнала; тембр звучания обедняется. В связи с этим для сохранения качества звуковоспроизведения при уменьшении громкости применяют тонокompensированные регуляторы громкости. Последние отличаются тем, что при увеличении или уменьшении с их помощью среднего уровня сигнала на выходе УНЧ его НЧ и ВЧ составляющие изменяются в меньшей

степенн, чем среднечастотные. Такие регуляторы должны обеспечивать следующие соотношения между напряжениями различных частот на выходе: при уменьшении составляющей напряжения с частотой 1 кГц на 20 дБ по сравнению с напряжением этой частоты, при котором получается звуковое давление со средней величиной 0,2 Па, составляющая с частотой 100 Гц должна ослабляться лишь на 9—13 дБ, а при уменьшении уровня составляющей с частотой 1 кГц на 40 дБ составляющая с частотой 100 Гц должна ослабляться на 20—24 дБ. На частотах выше 1 кГц частотная характеристика УНЧ при регулировании громкости должна изменяться в несколько меньшей степени.

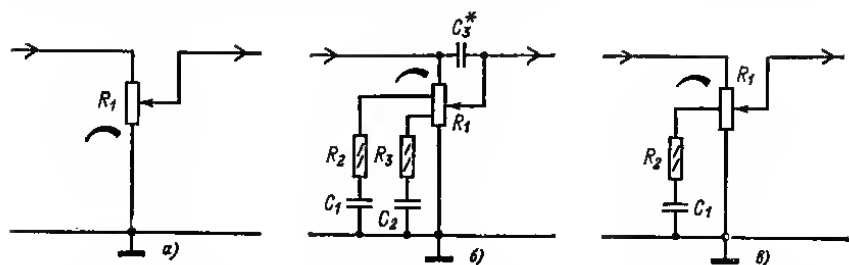


Рис. 4-7.

Тонкомпенсированное регулирование громкости осуществляют с помощью переменных резисторов с отводами, к которым подключают RC-цепи согласно схеме на рис. 4-7, б. При использовании переменных резисторов ВКУ-2а, ВКУ-26 или СПЗ-7 сопротивлением 470 кОм $R_2 = 10$ кОм, $R_3 = 2,7$ кОм, $C_1 = 0,01$ мкФ, $C_2 = 0,047$ мкФ, $C_3 \approx 22 \div 43$ пФ, а при сопротивлении переменного резистора 100 кОм компоненты должны иметь следующие параметры: $R_2 = 3,3$ кОм, $R_3 = 2,2$ кОм, $C_1 = 0,047$ мкФ, $C_2 = 0,1$ мкФ, $C_3 \approx 100 \div 180$ пФ.

Упрощенный тонкомпенсированный регулятор громкости с одной RC-цепью выполняется по схеме рис. 4-7, в. В нем применяют переменный резистор с одним отводом, например ВКУ-1а, ВКУ-16, СПЗ-8 и т. п. При сопротивлении переменного резистора $R_1 = 1$ МОм, $R_2 = 47$ кОм, $C_1 = 2200$ пФ, а при $R_1 = 47$ кОм — $R_2 = 1$ кОм, $C_1 = 0,47$ мкФ.

Регулирование тембра

Субъективно воспринимаемое звуковоспроизведение часто улучшается при увеличении или уменьшении усиления на верхних или нижних частотах рабочего диапазона по сравнению со средними частотами. Например, в комнате, сильно заглушенной драпировками, коврами и мягкой мебелью, звучание кажется многим приятнее, если верхние звуковые частоты усилены больше чем средние и нижние. Вместе с тем одним слушателям больше нравится звуковоспроизведение с пониженным тембром (выделяется звучание басов), а другим с более высоким тембром (звучание басов ослаблено). Речь звучит более четко, когда диапазон рабочих частот ограничен снизу частотой 300—400 Гц. При помехах радиоприему качество звуковоспроизведения субъективно улучшается ограничением рабочего диапазона со стороны верхних звуковых частот.

Регулирование тембра, т. е. изменение относительной громкости воспроизведения различных частей рабочего диапазона звуковых частот, осуществляют изменением амплитудно-частотной характеристики УНЧ с помощью регуляторов тембра.

В аппаратуре классов «высший» и I применяют регуляторы тембра, с помощью которых можно как увеличивать, так и уменьшать усиление на нижних и верхних частотах рабочего диапазона.

На рис. 4-8, а показана широко распространенная схема подобного регулятора. Здесь с помощью переменного резистора R_1 изменяют частотную характеристику тракта в области верхних частот, а с помощью переменного резистора R_2 — в области нижних частот. В регуляторе по варианту схемы, представленному на рис. 4-8, б, нажатием кнопки $КН$ получают оптимальную для воспроизведения речи частотную характеристику, не зависящую от положения контактной щетки переменного резистора R_2 .

Расчет регуляторов тембра. Регуляторы тембра по схемам на рис. 4-8, а, б можно выполнить на резисторах и конденсаторах различных номиналов, однако

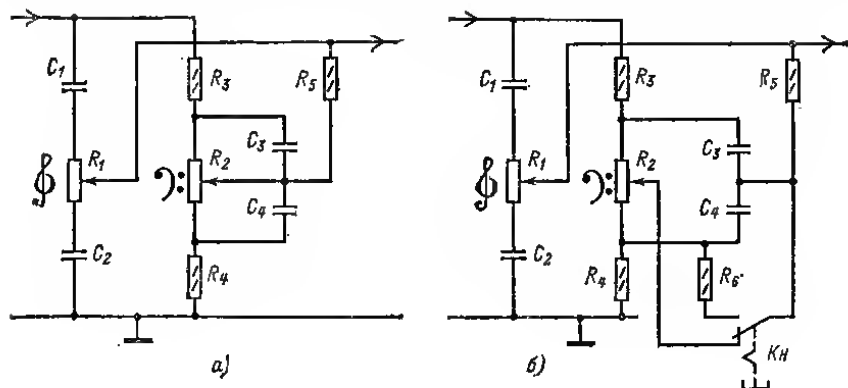


Рис. 4-8.

соотношения их сопротивлений и емкостей должны удовлетворять определенным условиям: номинальные сопротивления переменных резисторов R_1 и R_2 должны быть по крайней мере в 10 раз больше выходного сопротивления предыдущего каскада; практически можно выбрать переменные резисторы с номинальными сопротивлениями в 5—10 раз большими, чем сопротивление резистора в коллекторной (анодной) цепи предыдущего каскада. Входное сопротивление следующего за регулятором каскада должно быть возможно большим.

Если транзистор каскада, следующего после регулятора тембра, включен по схеме ОЭ, то в регуляторе целесообразно применить переменные резисторы с номинальными сопротивлениями 10 — 33 кОм. Если же транзистор последующего каскада включен по схеме с ОК, то переменные резисторы могут иметь номинальное сопротивление до 100 кОм. В устройствах с электронными лампами оба условия легко выполняются при использовании в их регуляторах тембра переменных резисторов с номинальными сопротивлениями 470 кОм — 1,5 МОм.

Параметры остальных компонентов регулятора тембра при выбранных сопротивлениях переменных резисторов R_1 и R_2 вычисляют следующим образом. Емкость конденсатора C_1 определяют по формуле $C_1 = 10^8/R_1$, где R_1 — сопротивление резистора R_1 (R_2) в омах, а C_1 — емкость конденсатора C_1 в пикофарадах. Сопротивления резисторов R_1 , R_2 , R_3 , R_4 , R_5 и R_6 должны находиться в соотношении 1:1:0,1:0,01:0,06:0,15, а емкости конденсаторов C_1 , C_2 , C_3 и C_4 — в соотношении 1:15:22:220. Если по расчету получаются не стандартные величины, следует применить резисторы с ближайшими стандартными сопротивлениями и конденсаторы с ближайшими стандартными емкостями. Применение высокоомных переменных резисторов дает возможность использовать в регуляторах тембра конденсаторы относительно малой емкости.

Пример. При использовании в регуляторе тембра переменных резисторов R_1 и R_2 с номинальным сопротивлением 100 кОм резистор R_3 должен иметь со-

противление $0,1 \cdot 100 = 10$ кОм, резистор $R_4 - 0,01 \cdot 100 = 1$ кОм, $R_5 - 5,6$ кОм, резистор $R_6 - 15$ кОм; конденсатор C_1 должен иметь емкость $10^9/10^3 = 1000$ пФ, конденсатор $C_2 - 15 \cdot 1000$ пФ $= 0,015$ мкФ, $C_3 - 22 \cdot 1000$ пФ $= 0,022$ мкФ и $C_4 - 220 \cdot 1000$ пФ $= 0,22$ мкФ.

Регулятор с рассчитанными предлагаемым способом параметрами незавн-

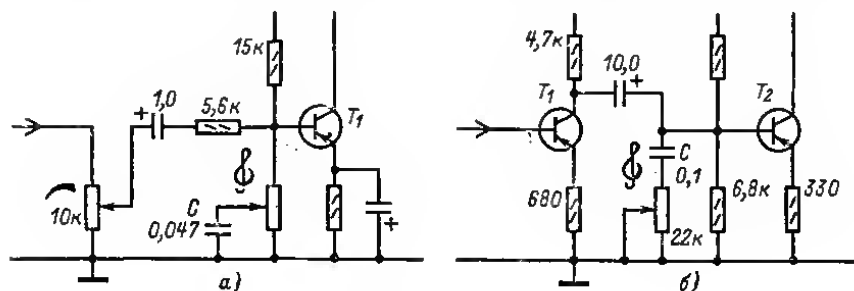


Рис. 4-9.

симо от положения движков переменных резисторов будет вносить на средней частоте полосы пропускания 1 кГц затухание около 25 дБ. Примерно такое же затухание будет иметь место на всех частотах в диапазоне 100 Гц — 10 кГц, если контактные щетки переменных резисторов установлены в среднее положение. При повороте ручек переменных резисторов от упора до упора затухание, вносимое регулятором на частотах 100 Гц к 10 кГц, будет изменяться в пределах ± 12 дБ.

Описанные регуляторы тембра включают между усилительными каскадами.

Упрощенные регуляторы тембра для транзисторных УНЧ. Два варианта схем таких регуляторов приведены на рис. 4-9, а, б. При перемещении контактной щетки переменного резистора вверх (по принципиальной схеме) шунтирующее действие конденсатора C для верхних частот полосы пропускания увеличивается, вследствие чего усиление на этих частотах снижается. При этом на форму АЧХ звуковоспроизводящего устройства в области средних и нижних частот полосы регулятор практически не оказывает влияния.

Рекомендуемые схемы транзисторных УНЧ

Схема простейшего УНЧ для портативного РВ приемника класса IV показана на рис. 4-10. При подключении к его выходу громкоговорителя 0,1ГД-9 или 0,1ГД-13 ($z_r = 60$ Ом) и $U_{н.п} = 9$ В номинальная выходная мощность усилителя 60 мВт, чувствительность 18 мВ, рабочая полоса частот 450 Гц — 3 кГц.

Диоды D_1 и D_2 обеспечивают термостабилизацию смещения на базах транзисторов оконечного каскада.

На базу транзистора T_1 поступает НЧ сигнал с регулятора громкости.

Усилители из микросхем. Варианты практических схем УНЧ на микросхемах в качестве каскадов предварительного усиления приведены на рис. 4-11 — 4-13, в табл. 4-2 указаны их параметры. На рис. 4-11 приведена схема УНЧ с оконечным двухтактным бестрансформаторным каскадом, выполненным на составных транзисторах разнотипной структуры. В схеме УНЧ по рис. 4-12, а применены выходные транзисторы средней мощности, а в схеме на рис. 4-12, б транзисторы большой мощности, причем в обоих усилителях выходные транзи-

сторы T_3 и T_4 имеют одинаковую структуру, а фазоинвертирование осуществляется парой транзисторов T_1 и T_2 различной структуры. Усилитель по схеме на рис. 4-13 отличается от предыдущих тем, что выход микросхемы связан с оконечным каскадом, выполненным на транзисторах большой мощности, с помощью

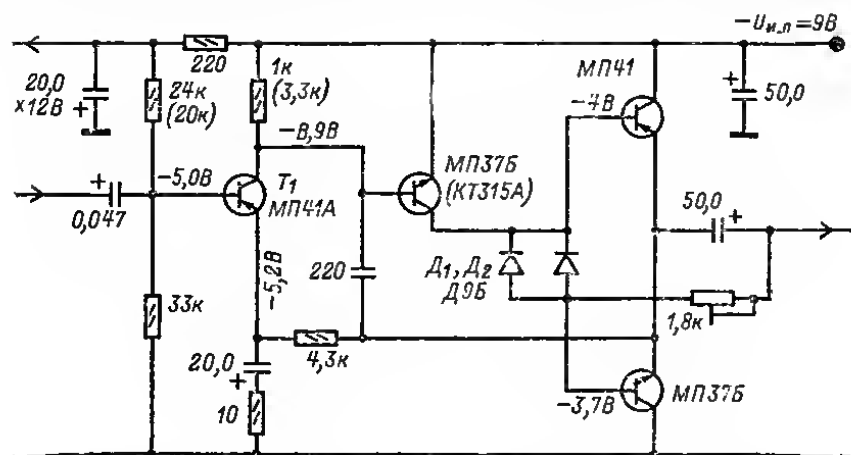


Рис. 4-10.

согласующего трансформатора, имеющего следующие конструктивные данные: магнитопровод Ш5 × 10 из пластины электротехнической стали толщиной 0,35 мм марки Э310; обмотка I — 1200 витков ПЭВ-1 0,08; обмотки IIa и IIb — по 350 витков ПЭВ-1 0,12.

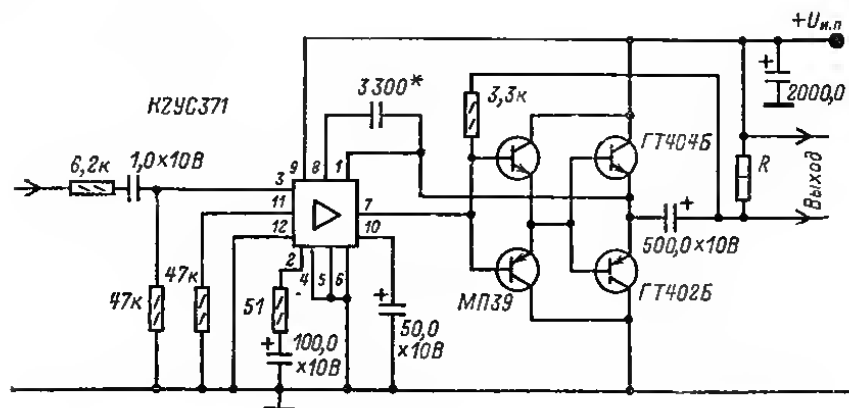


Рис. 4-11.

Мощный усилитель для радиолы электрофона класса I. По схеме на рис. 4-14 может быть выполнен усилитель с номинальной выходной мощностью до 20 Вт. В табл. 4-3 приведены параметры этого усилителя при $P_{ном} = 3$ и 6 Вт; его рабочий диапазон частот 80 Гц — 12 кГц.

Таблица 4.2

Параметры УНЧ на микросхемах

Параметры	Рис. 4-11	Рис. 4-12, а				Рис. 4-12, б	Рис. 4-13
f_H , Гц	60	80				50	80
f_B , кГц	10	12				15	8
$U_{н.п.}$, В	9,0	6,0	9,0	12,8	12,8	12,8	12,8
$I_{пот.0}$, мА		2,7	4,0	5,5			
$r_{нагр.}$, Ом	6,5	4,0	4,0	4,0		4,0	4,0
$P_{вых.}$, Вт	0,5	0,25	0,8	2,0		3,0	2,0
K_T , %, не более	0,3	1,0	1,0	1,0		1,0	4,0
$U_{вх.}$, мВ	30	7,0	12,0	19,0		—	42
$R_{вх.}$, кОм, не менее	—	25	25	25		—	—

Примечание. Неравномерность АЧХ в диапазоне от f_H до f_B для УНЧ по схемам на рис. 4-11 и 4-12, б не более 6 дБ, для УНЧ по схеме на рис. 4-12, а не более 1,5 дБ и для УНЧ по схеме на рис. 4-12 не более 2,0 дБ.

Предварительный усилитель к мощному усилителю по схеме на рис. 4-14 может иметь такую структуру: входной каскад по схеме на рис. 4-4, регулятор усиления по схеме на рис. 4-7, б с переменным резистором 100 кОм, промежу-

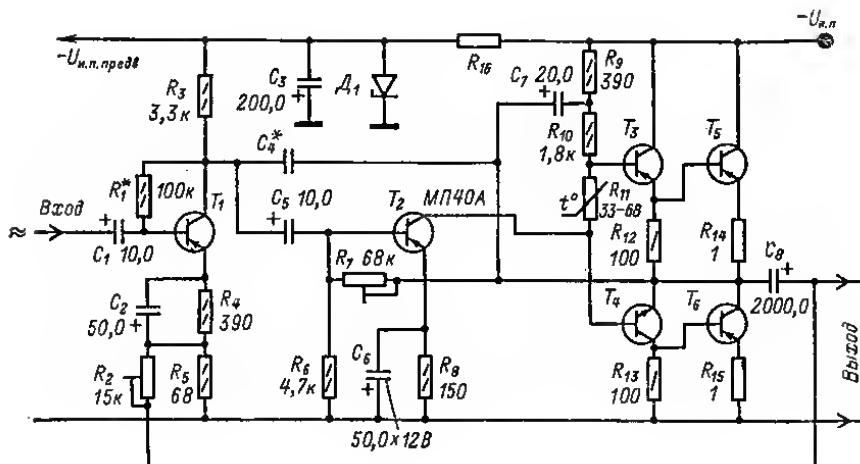


Рис. 4-14.

точный каскад по схеме на рис. 4-5, регулятор тембра по схеме на рис. 4-8 с переменными резисторами по 33 кОм. При этом чувствительность тракта со входа не хуже 250 мВ. Питание предварительного усилителя можно осуществить от параметрического стабилизатора мощного усилителя ($D_1 R_9$) по цепи $U_{н.п. предв}$ (см. рис. 4-14),

Таблица 4-3

Параметры УНЧ по схеме на рис. 4-14

Параметры	$P_{ном}$, Вт		Параметры	$P_{ном}$, Вт	
	3	6		3	6
$P_{макс}$, Вт	6	10	T_4	МП37А	ГТ404Г
$U_{н.п.}$, В	22		T_5, T_6	П213Б	П214А
$I_{пот.в.}$, МА		120	Δ	Д813	Д816А
r_n , Ом	4,5	8,0	R_9 , Ом	680	390
$U_{вх.}$, МВ	70	200	R_{11} , Ом	68	33
T_3	МП25Б	ГТ402Г			

Ламповый УНЧ для радиолы или электрофона класса II

Рабочий диапазон частот усилителя по схеме на рис. 4-15 80 Гц — 12 кГц. Номинальная выходная мощность 2 Вт при работе на громкоговоритель, состоящий из двух последовательно соединенных головок 4ГД-28 (4ГД-28М), воспроизводящих в основном частоты нижней и средней части диапазона. Параллельно этим головкам через конденсатор емкости 1 мкФ подключены две последовательно соединенных головки 1ГД-28 (1ГД-19), воспроизводящие верхние частоты.

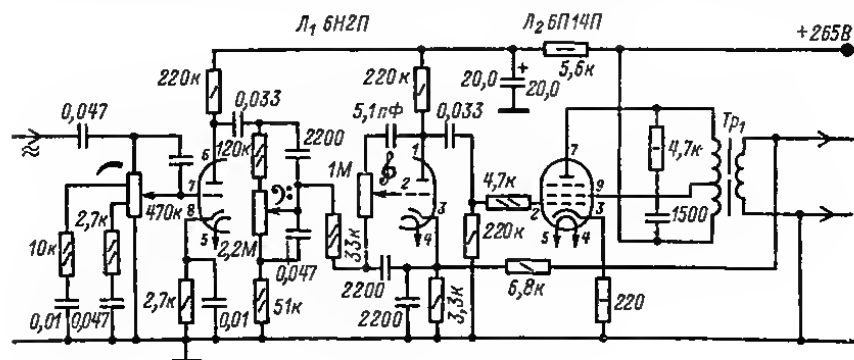


Рис. 4-15.

Чувствительность усилителя со входа 160 — 220 мВ. Регулятор тембра нижних к верхним частот, включенный между первым к вторым каскадами усилителя, обеспечивает диапазон регулирования 14 — 18 дБ относительно частоты 1 кГц.

Выходной трансформатор имеет магнитопровод Ш20 × 20 из стали марки Э310; обмотка I — 650 + 2250 витков ПЭЛ 0,15; обмотка II — 80 + 40 витков ПЭЛ 0,5.

С целью снижения уровня фока какал лампы L_1 должек питаться от отделиной обмотки трансформатора, ка которую подается положительный потенциал относительно катода лампы.

Ткловые схемы УНЧ телевизоров представлены в третьей частк.

Стерефонические двухканальные УНЧ

Двухканальное стерефоническое звуковоспроизводящее устройство содержит два одинаковых УНЧ, которые могут быть выполнены по одной из приве-

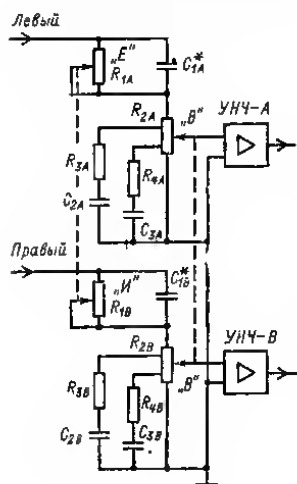


Рис. 4-10.

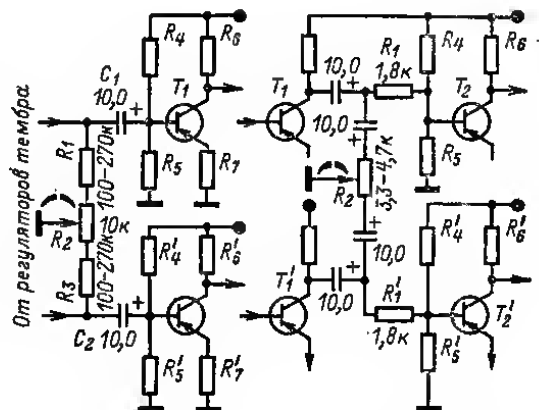


Рис. 4-17.

Рис. 4-18.

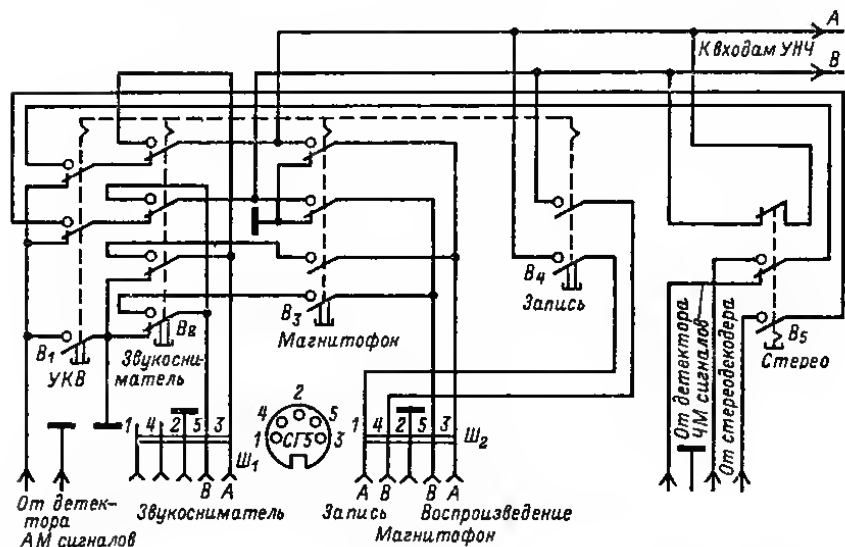


Рис. 4-19.

денных выше схем. Регулирование громкости и тембра должно осуществляться в обоих каналах одновременно спаренными переменными резисторами.

Стереобаланс, т. е. выравнивание усиления обоих каналов, осуществляют с помощью переменного резистора с функциональными характеристиками вида

Е/И (см. рис. 12-8), включенного на входы УНЧ правого и левого каналов (R_1, R_2 на рис. 4-16) последовательно с регуляторами громкости (R_3, R_4). При вращении оси резистора R_1, R_2 с увеличением усиления одного канала уменьшается усиление другого, или наоборот.

В качестве регулятора стереобаланса можно применить и одночный переменный резистор с функциональной характеристикой вида А (R_2 на рис. 4-17, 4-18).

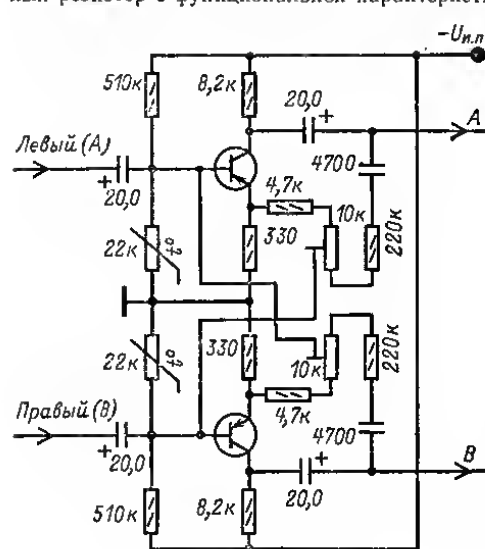


Рис. 4-20.

Схема коммутации выходов двух УНЧ радиолы с детекторами, звукоусилителем и магнитофоном приведена на рис. 4-19. Стерефонический звукоусилитель включается в розетку $Ш_1$. Вход усилителя магнитофона подключается к гнездам 2—3—5 розетки $Ш_2$ для записи радиовещательных программ; при этом на магнитофон поступает НЧ сигнал с одного из детекторов радиолы (в зависимости от положения клавиш *УКВ* и *Сtereo*). На гнезда 2—1—4 розетки $Ш_2$ можно подать сигнал с линейного выхода магнитофона для использования УНЧ радиолы в качестве мощного усилителя к магнитофону.

Компенсатор переходных помех. При значительном проникновении сигнала из одного канала системы в другой и наоборот (переходные помехи) стерефонический эффект ухудшается. Для борьбы с этим явлением

в стерефоническое звуковоспроизводящее устройство вводят компенсатор переходных помех. Действие его заключается в том, что в каждый из усилительных каналов вводят из другого канала сигнал, сдвинутый по фазе, в идеальном случае противофазный по отношению к проникающей переходной помехе. Один из возможных вариантов двухканального стерефонического усилителя с компенсатором переходных помех показан на рис. 4-20.

4-3. ГОЛОВКИ ГРОМКОГОВОРИТЕЛЕЙ

Основные характеристики

Полное электрическое сопротивление головки громкоговорителя z_r — сопротивление переменному току, измеренное на зажимах головки. На основной частоте механического резонанса подвижной системы головки f_0 модуль полного электрического сопротивления достигает значительной величины и с понижением частоты быстро падает до сопротивления звуковой катушки постоянному току. На верхних звуковых частотах z_r постепенно растет из-за влияния индуктивности катушки. При увеличении демпфирования подвижной системы головки модуль полного сопротивления на частоте f_0 уменьшается.

За номинальное сопротивление z_r принимают модуль полного электрического сопротивления на частоте 1 кГц или (для головки) минимальное его значение в диапазоне частот выше частоты основного механического резонанса.

Номинальная мощность $P_{ном}$ — наибольшая подводимая к головке громкоговорителя электрическая мощность, при которой вносимые головкой нелинейные искажения не превышают определенного уровня.

Номинальную мощность головки громкоговорителя в ваттах выражает число в начале обозначения. Например, 1ГД-28 — головка громкоговорителя динамическая номинальной мощностью 1 Вт, модель 28.

Акустическая мощность — средняя во времени мощность сигнала, излучаемого головкой громкоговорителя.

Частотная характеристика — зависимость от частоты развиваемого головкой громкоговорителя звукового давления в некоторой фиксированной точке звукового поля (обычно эта точка лежит на акустической оси), при постоянной амплитуде напряжения сигнала на ее зажимах.

Вид частотной характеристики определяется условиями испытаний и частично выходным сопротивлением усилителя. Частотную характеристику головки громкоговорителя обычно снимают на открытом воздухе или в заглушенной камере. При измерениях устанавливают головку в стандартный акустический экран или в ее обычное акустическое оформление. На рис. 4-21, а указаны размеры стандартного акустического экрана, а на рис. 4-21, б, в показаны два способа крепления в нем головки громкоговорителя. Частотная характеристика головки в помещении весьма нерегулярна — неравномерность на отдельных частотах может достигать 25 дБ и более; форма частотной характеристики может меняться при перемещении головки и измерительного микрофона.

Слишком малое выходное сопротивление усилителя, используемого в испытаниях, может ослабить излучение звуков низких частот, а слишком высокое обычно приводит к выделению узкой полосы частот вблизи f_0 .

Номинальный диапазон частот — диапазон звуковых частот, в пределах которого неравномерность частотной характеристики головки, измеренной на ее акустической оси, не превышает заданной величины.

Стандартное звуковое давление $P_{ст}$ — звуковое давление, развиваемое головкой громкоговорителя в точке, лежащей на его рабочей оси на расстоянии 1 м, определяемое при подведении к зажимам напряжения, соответствующего мощности 0,1 Вт при номинальном электрическом сопротивлении головки.

Среднее стандартное звуковое давление $P_{ст.ср}$ — среднеарифметическое из значений стандартных звуковых давлений на частотах ряда 16, 20, 25, 32 Гц и т. д. через $1/3$ октавы, которые входят в номинальный диапазон частот головки громкоговорителя.

Коэффициент нелинейных искажений — отношение действующего суммарного звукового давления на всех частотах, отличных от частоты подводимого к головкам громкоговорителя синусоидального напряжения, к действующему значению звукового давления, развиваемого головкой на всех частотах, включая частоту подводимого напряжения, выраженное в процентах.

Нелинейные искажения вызываются главным образом нелинейностью упругости подвесов подвижной системы головки и проявляются при относительно больших амплитудах ее колебаний. На средних и верхних звуковых частотах искажения этого рода незначительны, однако они быстро растут при понижении частоты.

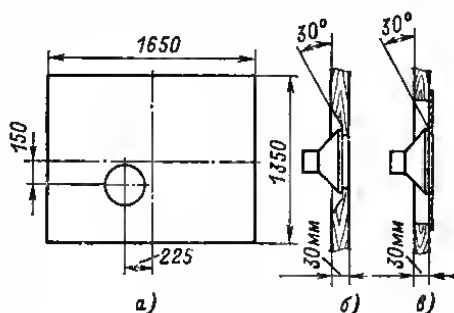


Рис. 4-21.

Коэффициент нелинейных искажений вследствие неоднородности магнитного поля в рабочем зазоре при малых амплитудах, как правило, не превышает 1%; при больших амплитудах он обычно велик.

Нелинейные искажения во многом определяются типом акустического оформления головки громкоговорителя. Например, если головка установлена в правильно рассчитанном фазоинверторе, то искажения, вызванные нелинейностью упругости подвесов, уменьшаются.

Если головка громкоговорителя воспроизводит одновременно звуки двух частот f_1 и f_2 , то слушатель воспринимает модулированный звук, спектр которого содержит боковые частоты $f_2 \pm n f_1$ ($n = 0, 1, 2 \dots$). Например, если $f_1 = 50$ и $f_2 = 5000$ Гц, то вследствие модуляции возникает спектр, содержащий частоты $5000 \pm n 50$ Гц. Эти дополнительные частоты называют комбинационными.

Если оценивать искажения вследствие модуляции корня квадратного из отношения энергии комбинационных частот к общей звуковой энергии, то их значения прямо пропорциональны значениям верхней частоты (в нашем примере 5 кГц) и на верхних частотах могут достигать 10% и более. Искажения этого вида можно значительно уменьшить применением различных головок для воспроизведения нижних и верхних частот (см. стр. 301).

Демпфирование определяет точность воспроизведения головкой коротких звуков. Количественно демпфирование оценивают добротностью полной механической схемы головки

$$Q = 2\pi f_0 M/R, \quad (4-9)$$

где M — сумма масс подвижной системы громкоговорителя и соколеблющегося воздуха; R — сумма механического сопротивления в подвижной системе, сопротивления излучения и приведенных к механической схеме электрического сопротивления катушки головки и выходного сопротивления усилителя.

Добротность головки можно изменить введением поглощающего материала в футляр, в котором она установлена, изменением выходного сопротивления усилителя или обоими способами. Выходное сопротивление усилителя может быть уменьшено до незначительной величины использованием отрицательной обратной связи по напряжению. Иногда для улучшения демпфирования применяют положительную обратную связь по току в комбинации с отрицательной обратной связью по напряжению; это позволяет получить выходное сопротивление усилителя равным нулю или даже отрицательным.

Критическое значение демпфирования определяется значением $Q_{кр}$, при котором свободные колебания подвижной системы становятся аperiodическими (для головки в акустическом экране $Q_{кр} = 0,5$). Дальнейшее увеличение демпфирования незначительно сказывается на передаче коротких звуков, однако может существенно ослабить излучение нижних частот.

Типовые отечественные головки громкоговорителей

Головки громкоговорителей (динамические, прямого излучения) делят на следующие три основных вида, каждый из которых характеризуется номинальным диапазоном частот:

широкополосные — обеспечивающие воспроизведение полной полосы частот, соответствующей тому или иному классу радиолы, электрофона, магнитофона; нижняя частота рабочего диапазона широкополосных головок различных типов $f_n = 63 - 315$ Гц, а верхняя $f_v = 5 - 12,5$ кГц. Наиболее широким диапазоном частот обладают головки с номинальной мощностью 3 — 4 Вт, предназначенные для звуковоспроизводящих устройств I класса, а наиболее узким — головки малой номинальной мощности, используемые в переносной аппаратуре;

низкочастотные — с нижней частотой рабочего диапазона 40 — 63 Гц и верхней не более 5 кГц;

Таблица 4-4

Данные головок громкоговорителей динамических прямого излучения

Тип головки	Неравномерность частотной характеристики, дБ, не более	Номинальный диапазон частот		Частота резонанса f_0 , Гц	Среднее стандартное звуковое давление, Па, не менее	Полное электрическое номинальное сопротивление, Ом	Размеры, мм
		$f_{\text{д}}$, Гц	$f_{\text{в}}$, кГц				

Широкополосные

0,25ГД-10	15	315	5,0	290 ± 60	0,20	8,0	$63 \times 63 \times 29,5$
0,5ГД-30	15	125	10,0	125 ± 50	0,30	16,0	$125 \times 80 \times 47$
0,5ГД-31	15	200	10,0	200 ± 30	0,20	16,0	$125 \times 80 \times 47$
0,5ГД-37	15	315	7,1	300 ± 50	0,30	8,0	$80 \times 80 \times 37,5$
1ГД-36-100	10	100	12,5	100 ± 20	0,20	8,0	$160 \times 100 \times 58$
1ГД-36-140	10	140	12,5	140 ± 20	0,20	8,0	$160 \times 100 \times 58$
1ГД-37-100	12	100	10,0	100 ± 20	0,28	8,0	$160 \times 100 \times 64$
1ГД-37-140	12	140	10,0	140 ± 20	0,28	8,0	$160 \times 100 \times 64$
1ГД-39	15	200	6,3	180 ± 20	0,20	8,0	$100 \times 100 \times 37$
1ГД-40-100	12	100	10,0	100 ± 20	0,27	8,0	$160 \times 100 \times 45$
1ГД-40-140	12	140	10,0	140 ± 20	0,30	8,0	$160 \times 100 \times 45$
1ГД-40-180	12	180	10,0	180 ± 20	0,30	8,0	$160 \times 100 \times 45$
1ГД-40Р-100	12	100	10,0	100 ± 20	0,28	8,0	$160 \times 100 \times 45$
1ГД-40Р-140	12	140	10,0	140 ± 20	0,28	8,0	$160 \times 100 \times 45$
2ГД-22	15	100	10,0	100 ± 20	0,20	12,5	$82 \times 280 \times 77$
3ГД-38	15	80	12,5	—	0,20	4,0	$160 \times 160 \times 73,6$
4ГД-8Е	18	125	7,1	120 ± 20	0,30	4,0	$125 \times 125 \times 49$
4ГД-35	10	63	12,5	65 ± 10	0,30	4; 8,0	$200 \times 200 \times 74$
4ГД-36	10	63	12,5	65 ± 10	0,20	4; 8,0	$200 \times 200 \times 85$
6ГД-3	12	100	10,0	85 ± 15	0,40	4,0	$240 \times 160 \times 87$

Низкочастотные

6ГД-2	15	40	5,0	30 ± 3	0,27	6,3	252×135
6ГД-6	15	63	5,0	80 ± 8	0,10	4,0	125×80
8ГД-1	10	40	1,0	25 ± 5	0,20	8,0	252×135
10ГД-30	15	63	5,0	32 ± 8	0,15	8,0	240×126

Среднечастотные

4ГД-6	10	200	5,0	160 ± 30	0,2	8,0	$80 \times 80 \times 38$
-------	----	-----	-----	--------------	-----	-----	--------------------------

Высокочастотные

2ГД-36	15	2000	20,0	2500 ± 500	0,20	8,0	$80 \times 50 \times 85$
3ГД-2	10	5000	18,0	4500 ± 700	0,25	15,0	$80 \times 80 \times 3,1$
3ГД-31	15	3000	18,0	—	0,20	8,0	$100 \times 100 \times 48$

Продолжение табл. 4-4

Тип головки	Неравномерность частотной характе- ристики, дБ, не более	Номинальный диапазон частот		частота резонанса f_0 , Гц	Среднее стандартное звуковое давление, Па, не менее	Полное электриче- ское номинальное сопротивление, Ом	Размеры, мм
		$f_{\text{н}}$, Гц	$f_{\text{в}}$, кГц				
Разные, устаревших типов							
0,025ГД-2	18	1000	3,0	500 ± 50	0,15	60,0	40×16
0,05ГД-1	18	700	2,5	600 ± 100	0,15	60,0	40×8
0,05ГД-2	18	700	2,5	600 ± 100	0,15	6,5	40×16
0,1ГД-3М	18	630	3,15	550 ± 50	0,18	10,0	50×20
0,1ГД-6	18	450	3,15	400 ± 50	0,23	10,0	60×27
0,1ГД-9	18	450	3,15	465 ± 15	0,18	60,0	50×14
0,1ГД-12	18	450	3,15	430 ± 50	0,20	10,0	60×27
0,25ГД-1	15	315	3,55	310 ± 50	0,25	10,0	70×36
0,25ГД-2	15	315	7,0	330 ± 70	0,27	10,0	70×34
0,5ГД-10	15	200	6,3	200 ± 20	0,23	6,5	105×50
0,5ГД-12	15	200	6,3	200 ± 20	0,23	6,5	105×35
0,5ГД-17	15	315	5,0	400 ± 70	0,30	8,0	$106 \times 70 \times 37$
0,5ГД-20	15	315	5,0	300 ± 50	0,30	8,0	80×34
0,5ГД-21	15	315	7,0	300 ± 50	0,30	8,0	80×37
1ГД-4	12	100	10,0	120 ± 20	0,30	8,0	$150 \times 100 \times 58$
1ГД-3	12	5000	16,0	4500 ± 1000	0,30	12,5	70×27
1ГД-5	15	125	7,1	120 ± 20	0,20	6,5	126×54
1ГД-18	15	100	10,0	100 ± 20	0,18	6,5	$156 \times 98 \times 48$
1ГД-19	15	100	10,0	100 ± 20	0,20	6,5	$156 \times 98 \times 41$
1ГД-28	15	100	10,0	100 ± 20	0,20	6,5	$156 \times 98 \times 41$
2ГД-19М	15	100	10,0	100 ± 15	0,20	4,5	152×52
2ГД-28	15	100	10,0	80 ± 15	0,20	4,5	152×52
2ГД-35	15	80	12,5	70 ± 15	0,20	4,5	152×52
3ГД-1	10	100	5,0	120 ± 20	0,30	8,0	150×54
3ГД-28	18	80	8,0	80 ± 10	0,25	4,5	$204 \times 134 \times 55$
4ГД-4	10	63	12,5	45 ± 10	0,30	8,0	202×76
4ГД-5	10	63	5,0	45 ± 10	0,30	8,0	202×76
4ГД-7	10	63	12,5	63 ± 10	0,30	4,5	202×76
4ГД-9	18	100	8,0	120 ± 20	0,25	4,5	$204 \times 134 \times 54$
4ГД-28	15	63	12,5	63 ± 10	0,20	4,5	202×71
6ГД-3Т	12	100	10,0	85 ± 15	0,40	4,0	$240 \times 160 \times 85$

Примечание. В графе «Размеры» для головок с круглыми диафрагмами указаны диаметр и высота, а для головок эллиптической формы — размеры большой оси, малой оси эллипса и высота.

среднечастотные — с нижней частотой диапазона 200 Гц и верхней не более 5 кГц;

высокочастотные, обладающие рабочим диапазоном частот от 2 — 5 до 18 — 20 кГц.

Головки 0,25ГД-10, 0,5ГД-30, 0,5ГД-37, 1ГД-37 и 1ГД-39 (табл. 4-4) предназначены для переносных радиоприемников, телевизоров, магнитофонов и электрофонов с ограниченной полосой пропускания и выходной мощностью.

Головки широкополосные с малой неравномерностью частотной характеристики 1ГД-36, 1ГД-40, 1ГД-40Р, 2ГД-22, 3ГД-38, 4ГД-35 и 4ГД-36 предназначены для стационарных радиоприемников, радиол, телевизоров, магнитофонов и электрофонов с широкой полосой пропускания.

Головки 4ГД-8Е и 6ГД-3, имеющие повышенную чувствительность и высокую механическую прочность, предназначены для автомобильных радиоприемников.

Низкочастотные головки 6ГД-2, 6ГД-6, 8ГД-1 и 10ГД-30, среднечастотная головка 4ГД-6 и высокочастотные головки 2ГД-36, 3ГД-2 и 3ГД-31 предназначены для использования в многополосных акустических системах высшего класса, причем головки 6ГД-6, 10ГД-30, 3ГД-31 — специально для малогабаритных выносных акустических систем.

Малогабаритные акустические системы заводского производства

Серийно выпускаются выносные громкоговорители («акустические системы») 2АС-1 и 10МАС-1 (табл. 4-5), которые могут использоваться в комплекте с бытовой аппаратурой для высококачественного воспроизведения стереофонических и монофонических звуковых программ.

Таблица 4-5

Основные данные выносных акустических систем

Основные данные	Тип акустической системы	
	2АС-1	10МАС-1
Номинальная мощность, Вт	2	10
Полоса воспроизводимых звуковых частот, Гц.	125—10 000	63—18 000
Неравномерность частотной характеристики, дБ, не более	18	15
Среднее стандартное звуковое давление, Па, не менее	0,2	0,15
Полное входное сопротивление, Ом	8	6,3
Габаритные размеры, мм, не более	376 × 262 × 190	428 × 270 × 234
Масса, кг, не более	6	10
Объем, л	11,5	18,0

Акустическая система 2АС-1 содержит три головки 1ГД-40 и предназначена для работы в комплекте с кассетными магнитофонами третьего класса «Вильма-302-стерео» и «Вильма-300» (монофонический).

Малогабаритная акустическая система 10МАС-1 состоит из низкочастотной головки 10ГД-30 с резиновым подвесом и высокочастотной головки 3ГД-31; ее применяют в радиолах «Эстония-006-стерео» и «Вега-001-стерео», магнитофонах «Ростов-101-стерео» и «Юпитер-201-стерео», электрофонах «Аккорд-001-стерео» и «Вега-101-стерео».

Простейшие измерения параметров головок громкоговорителей

Полное электрическое сопротивление головки обычно измеряют по схеме на рис. 4-22 при постоянстве амплитуды тока. Сопротивление балластного резистора R_1 должно не менее чем в 20 раз превышать сумму ориентировочного максимального полного электрического сопротивления громкоговорителя и выходного сопротивления звукового генератора $ЗГ$. Сопротивление образцового резистора R_2 должно быть известно и иметь один порядок с предполагаемым сопротивлением головки.

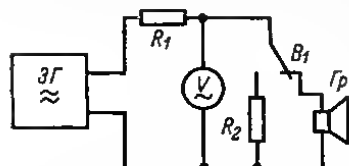


Рис. 4-22.

Измерив вольтметром V падение напряжения на резисторе R_2 и на зажимах головки, по закону Ома можно определить полное электрическое сопротивление головки.

Полная масса подвижной системы M_r . Частоту механического резонанса головки f_0 определяют по максимуму его полного электрического сопротивления на разных частотах. Затем к диффузору головки прикрепляют известную массу m и находят новую резонансную частоту $f_{0,1}$, тогда

$$M_r = \frac{mf_{0,1}^2}{f_0^2 - f_{0,1}^2}. \quad (4-10)$$

Гибкость подвесов

$$C_r = \frac{1}{(2\pi f_r)^2 M_r}. \quad (4-11)$$

Добротность полной механической цепи головки

$$Q = \frac{f_n}{2\Delta f} \frac{R_{вых} + R_k}{R_n - R_k}, \quad (4-12)$$

где $R_{вых}$ — выходное сопротивление усилителя; R_k — сопротивление катушки громкоговорителя постоянному току; R_n — полное электрическое сопротивление громкоговорителя на частоте f_0 ; $2\Delta f$ — ширина резонансного пика полного сопротивления на уровне — 3 дБ (0,707) по отношению к R_n .

4-4. РАСЧЕТ И КОНСТРУИРОВАНИЕ АКУСТИЧЕСКИХ СИСТЕМ

Общие положения

Акустическим оформлением головки (излучающей системы, состоящей из группы головок) называют конструкцию (футляр, ящик), в которой головка устанавливается.

В случае монофонической радиолы, магнитофона, телевизора акустическое оформление головки в большинстве случаев выполняется в виде футляра, в котором смонтированы остальные блоки и конструктивные узлы аппаратуры. Применяют также выносное акустическое оформление головок, особенно в стереофонических устройствах. При этом головки располагают в отдельных от остальных частей аппаратуры футлярах или на акустических экранах, имеющих вид деревянных щитов.

Важнейшей задачей акустического оформления является защита передней стороны диффузора головки от звуковых волн, излучаемых его задней стороной. От эффективности этой защиты в большой степени зависит нижняя граница рабочего диапазона частот звуковоспроизводящего устройства.

Головки громкоговорителей в РВ приемниках и радиоллах. В переносном приемнике используется обычно динамическая головка с большим стандартным звуковым давлением. Из-за небольших размеров такая головка не может эффективно излучать звуки наиболее низких частот.

Частотная характеристика коэффициента передачи усилителя переносного приемника, как правило, имеет некоторый подъем на верхних частотах и резкий спад после 3—4 кГц для увеличения акустического отношения сигнал/шум.

В стационарном РВ приемнике или радиоле головка размещается в ящике с картонной, перфорированной, т. е. по существу открытой, задней крышкой вместе с приемно-усилительной частью. Обострение характеристики направленности головки на верхних частотах приводит к уменьшению в звуковом поле перед громкоговорителем доли отраженных от поверхностей помещения звуковых волн и часто весьма неприятно для слуха. Поэтому в радиовещательных приемниках классов I и высшего кроме двух основных головок, расположенных на фронтальной стенке ящика и излучающих звуки нижних и средних частот, часто имеются две или более ВЧ головок, ориентированных под разными углами. Это приводит к расширению характеристики направленности на верхних частотах и к увеличению доли отраженной звуковой энергии, что часто связывают с понятием «объемное звучание».

Головки громкоговорителей в телевизорах. В телевизионном приемнике большую часть фронтальной панели занимает экран кинескопа, поэтому головки часто располагают на боковых поверхностях ящика, что ухудшает качество звуковоспроизведения. В телевизионных приемниках класса I применяют систему из двух головок — низкочастотной, устанавливаемой на боковой поверхности ящика, и эллиптической высокочастотной, размещенной на фронтальной панели рядом с экраном.

В телевизионных приемниках, имеющих кинескопы с большим углом отклонения, головки устанавливают обычно на фронтальной панели, так как боковое расположение приводит к усилению воздействия полей рассеяния магнитных систем головок на качество изображения.

Расчет акустического экрана

Полное разделение излучений передней и задней сторон диффузора головки требует размещения его в бесконечно большом экране. Подобный же эффект получается, когда задняя сторона диффузора излучает звук в большой, хорошо задемпфированный поглощающим материалом объем.

Частотная характеристика головки в бесконечно большом экране в нижней части его рабочего диапазона горизонтальна вплоть до f_0 , если $Q = 1$. При критическом демпфировании ($Q = 0,5$) уровень акустической мощности головки на частоте f_r падает на 3 дБ. При $Q > 1$ частотная характеристика головки имеет подъем на частоте резонанса или несиоколько выше.

При конечных размерах акустического экрана наименьшая сторона при заданной нижней граничной частоте $f_{н.э}$ [Гц] должна иметь размер d [м], определяемый по формуле

$$d = (60 \div 170) / f_{н.э}. \quad (4-13)$$

Так, например, для выполнения наиболее строгих требований, т. е. при d в числителе коэффициент 170, при частоте $f_{н.э} = 80$ Гц необходимо иметь $d \geq 2,1$ м. На частотах ниже $f_{н.э}$ головка ведет себя как излучатель без акустического оформления (на его работу экран практически не влияет), демпфирование головки мало и нелинейные искажения велики.

Вместе с тем излучаемые задней стороной диффузора звуковые колебания с более высокими частотами отражаются от потолка, стен и интерферируют с волнами, излучаемыми передней стороной. Это существенно увеличивает неравномерность звукового поля.

Простейшему акустическому экрану трудно придать вид, достаточно совершенный с эстетической точки зрения. Целесообразно монтировать головку на экране, имеющем форму треугольника, расположенного в вершине телесного угла, образуемого двумя стенами и потолком (на рис. 4-23, а цифрой 1 обозначено отверстие для основной головки, а цифрой 2 — для высокочастотной). При этом излучение НЧ составляющих концентрируется в наименьшем телесном

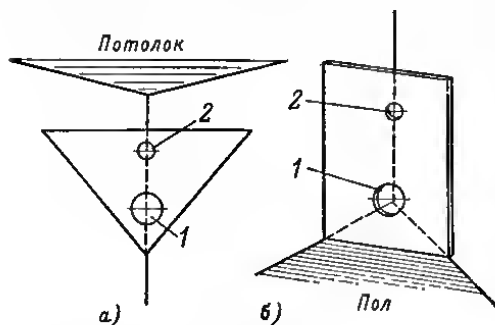


Рис. 4-23.

угле ($\pi/2$ ср.), но обстрояется характеристика направленности на верхних звуковых частотах. Поэтому если нет возможности улучшить распределение звуковой энергии применением дополнительной высокочастотной головки, следует ориентировать головку на сравнительно небольшую зону слушания, ограничивающую углом 15° от оси головки, или не ориентировать его на слушателей, компенсируя ослабление верхних частот коррекцией АЧХ усилителя.

Другое выгодное положение головки — на прямоугольном

экране в вершине двугранного угла, образованного двумя стенами комнаты, изображено на рис. 4-23, б. Расстояние от центра головки до верхнего края экрана рассчитывают по формуле (4-13). Качество звуковоспроизведения может быть улучшено мебелью, тяжелыми занавесами, коврами. Слушатели должны размещаться не ближе 1,5 м от громкоговорителя; для двух- и трехполосной системы это расстояние увеличивается.

Расчет футляра без задней стенки

Этот тип акустического оформления трактуется как неплоский экран, фронтальные размеры которого уменьшены введением боковых стенок. Основная частота резонанса такого футляра — ящика

$$f_{\text{я}} = 170 / (l + \sqrt{S}), \quad (4-14)$$

где l — глубина ящика, м; S — площадь отверстия, м^2 . Увеличение акустической мощности на основной частоте резонанса на 3—6 дБ при сравнительно плоских и на 6—10 дБ при глубоких футлярах придает излучаемому звуку неестественный тембр. Если $f_{\text{я}} = f_0$, то увеличение акустической мощности на нижних частотах наиболее значительно. Целесообразно использовать головку с частотой резонанса ниже частоты резонанса ящика; наиболее часто встречается соотношение $f_0/f_{\text{я}} = 0,5 \div 0,7$.

Футляр без задней крышки как акустическое оформление в высококачественных бытовых системах воспроизведения в настоящее время не используют. Если же нет выбора, то футляр должен быть возможно более плоским; его следует располагать не ближе 20 см от стены, которую рекомендуется завесить тяжелым ковром. Если громкоговоритель должен быть размещен на одной из стен помещения, то желательно — на короткой, ближе к ее середине.

Расчет закрытого футляра

Установка головки в закрытом футляре достаточно большого объема позволяет получить удовлетворительное воспроизведение составляющих низших частот, так как передняя сторона диффузора полностью защищается от излучения задней стороны. Это приводит к более медленному уменьшению акустиче-

ской мощности на нижних частотах, чем при установке головки в акустическом экране конечных размеров.

Частоту резонанса головки, установленной в закрытом футляре средних размеров f_p , при условии, что головка занимает менее трети площади стенки, на которой она укреплена, определяют в следующем порядке:

определяют гибкость подвеса подвижной системы головки (см. стр. 304); вычисляют гибкость объема воздуха в футляре по формуле

$$C_v = 2,5 \cdot 10^{-5} V / d_r^4, \quad (4-15)$$

где V — объем воздуха в футляре [м³], равный его внутреннему объему за вычетом объема головки, который в первом приближении равен $0,4 d^4$ (d — диаметр диффузора [м]);

по отношению C_r/C_v с помощью графика на рис. 4-24 определяют отношение f_p/f_0 , обеспечиваемое футляром данного объема V . Частоту механического резонанса головки в акустическом экране можно взять из табл. 4-4 или измерить, как указано на стр. 304.

Если нужно с имеющейся головкой получить акустическую систему в виде закрытого футляра с резонансной частотой f_p , то требуемый объем футляра определяют в следующем порядке: берут значение резонансной частоты головки f_0 в акустическом экране из табл. 4-4 (или измеряют ее, как указано на стр. 304); определяют гибкость подвесов подвижной системы головки C_r ; задавшись желаемым отношением f_p/f_0 , определяют по графику на рис. 4-24 соответствующее ему отношение C_r/C_v и находят требуемую гибкость объема воздуха C_v в закрытом футляре; вычисляют требуемый объем воздуха внутри футляра [м³] по формуле

$$V = 0,4 \cdot 10^5 C_v d_r^4. \quad (4-16)$$

Полный внутренний объем футляра получают, добавив к вычисленному значению V объем головки.

Если значение f_0 неизвестно или его определить в акустическом экране достаточно большого размера затруднительно, то можно измерить частоту механического резонанса головки $f_{0,в}$ без экрана и при расчете пользоваться кривой $f_p/f_{0,в}$ на рис. 4-24.

Приведенный расчет справедлив лишь для частот $f < 40/l$ (l — глубина футляра в метрах). В связи с этим заднюю сторону диффузора головки в закрытом футляре нужно защищать от отраженных внутренними стенками звуковых волн, соответствующих более высоким частотам, покрытием этих стенок звукопоглощающим материалом.

Габариты закрытого футляра можно уменьшить, заполнив его стекловатой или другим подобным материалом. Такое заполнение равносильно увеличению объема футляра на 40%.

Если полученная расчетом частота f_p достаточно низка, то головка должна иметь $Q \approx 1$. Если же частота f_p недопустимо высока, то хорошие результаты получаются при снижении добротности до значения $Q \approx 0,1$; при этом, конечно, необходим подъем нижних частот в усилителе примерно на 6 дБ/октава, начиная с частоты

$$f = 260/d_r. \quad (4-17)$$

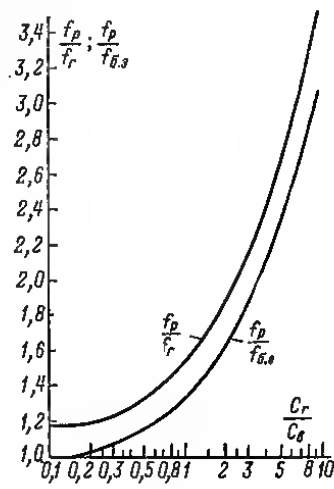


Рис. 4-24.

Расчет фазоинвертора

Фазоинвертор представляет собой футляр 1 (рис. 4-25) с дополнительным отверстием 3, расположенным на той же стенке, где укреплена головка 2, и имеющим площадь, как правило, равную площади диффузора. Задвижка глубинной фазоинверсного отверстия, отношением его сторон, вычислив эффективную площадь диффузора (определяющую площадь отверстия) и приняв резонансную частоту фазоинвертора $f_{\phi} = f_0$, можно определить требуемый объем футляра по номограмме на рис. 4-26.

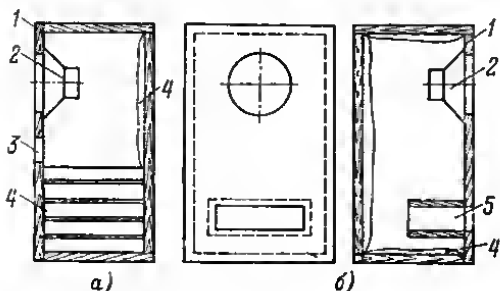


Рис. 4-25.

Глубина фазоинверсного отверстия может быть равной толщине стенки футляра (рис. 4-25, а), но может быть приблизительно равной $n/30/f_{\phi}$ при использовании туннеля 5 (рис. 4-25, б). Значительная длина туннеля позволяет применить маленький ящик, однако расстояние от конца туннеля до задней стенки ящика не должно быть менее $d_r/2$.

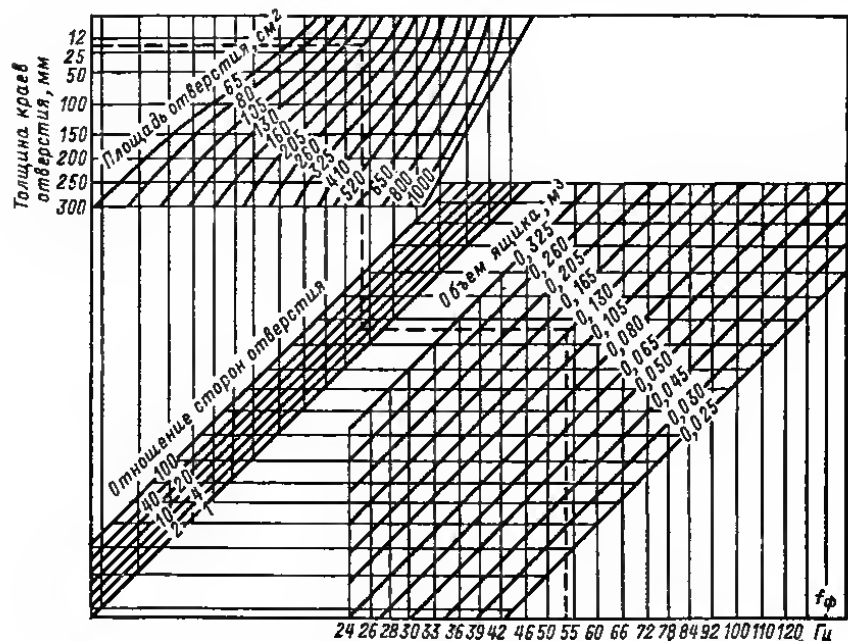


Рис. 4-26.

На частоте f_{ϕ} фазоинвертор можно рассматривать как акустический трансформатор, улучшающий согласование головки с воздушной нагрузкой. Хотя акустическая мощность, отдаваемая передней стороной диффузора, уменьшается

на этой частоте, общая акустическая мощность может возрасти значительно. Вместе с тем существенно уменьшаются нелинейные искажения и увеличивается номинальная мощность громкоговорителя вследствие уменьшения амплитуды смещения диффузора.

На частотах ниже f_ϕ реакция гибкости воздушного объема увеличивается и образует жесткую связь между массой воздуха в отверстии и массой подвижной системы головки. Таким образом, масса воздуха прибавляется к массе подвижной системы и вместе с гибкостью подвесов образует механический контур с резонансной частотой $f_1 < f_\phi$. Когда диффузор на этой частоте смещается вперед, воздух в отверстии движется назад (и наоборот) и эффективность излучения ничтожна.

На частотах выше f_ϕ сопротивление массы воздуха в отверстии становится высоким и фазоинвертор можно рассматривать как полностью закрытый футляр. Жесткость воздушного объема прибавляется к жесткости подвесов и вместе с массой подвижной системы образует контур с резонансной частотой $f_2 > f_\phi$. Излучение фазоинверсным отверстием на частоте f_2 весьма мало.

Модуль полного электрического сопротивления головки Z_r в фазоинверторе имеет обычно два максимума (сплошная кривая на рис. 4-27) на частотах f_1 и f_2 , расположенных по обе стороны от частоты резонанса головки в плоском акустическом экране f_r (штриховая линия на рис. 4-27, где R — сопротивление катушки головки постоянному току).

Пики полного сопротивления головки в фазоинверторе существенно ниже пика полного сопротивления головки в акустическом экране, однако соответствующие им значения Q_1 и Q_2 выше Q_r — добротности головки в экране. Этот недостаток особенно сильно проявляется на частоте f_1 , так как увеличение скорости движения диффузора приводит к увеличению нелинейных искажений, заметности которых способствует отсутствие полезного излучения на этой частоте. С этим явлением можно бороться ограничением выходной мощности усилителя на частотах, близких к f_1 .

Если желательно, чтобы частотная характеристика звукового давления головки в фазоинверторе была горизонтальна в нижней части рабочего диапазона частот, начиная от f_0 , то необходимо выполнить условие $Q_r = 0,6$.

При увеличении Q_r значение Q_2 возрастает, а значение Q_ϕ уменьшается и это вызывает неравномерность частотной характеристики. Если уменьшить Q_r нет возможности, то необходимо хотя бы подавить пик частотной характеристики на частоте f_2 , возникающий при $Q_r > 0,6$. Это достигается введением в футляр звукопоглощающего материала 4 (см. рис. 4-25). Иногда заполняют стекловатой весь объем, в этом случае полученную расчетом по помограмме на рис. 4-26 площадь фазоинверсного отверстия следует увеличить в 2,5 раза.

Введение в фазоинвертор большого количества звукопоглощающего материала приводит к ослаблению излучения на нижних частотах, и при желании продлить характеристику в сторону этих частот (хотя бы до f_0) следует обеспечить существенный подъем НЧ составляющих в усилителе.

Настройку фазоинвертора производят изменением площади отверстия (например, пластиной, укрепленной так, чтобы ее поворот изменял площадь отверстия) или глубины туннеля. Необходимо стремиться к тому, чтобы частотный интервал, разделяющий резонансные пики полного сопротивления, не отличался значительно от октавы, чтобы амплитуды пиков были равны, а дополнительные

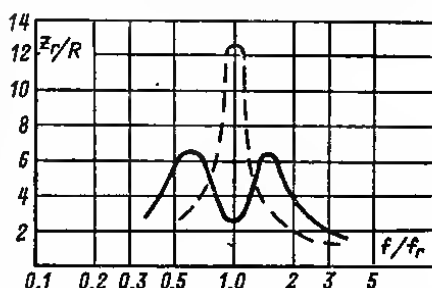


Рис. 4-27.

пнки, вызванные возникновением стоячих волн в футляре, ликвидировались путем добавления демпфирующего материала.

Преимущество фазоинвертора в сравнении с закрытым футляром такого же объема состоит в увеличении акустической мощности приблизительно на 5 дБ в диапазоне от одной до двух октав и в уменьшении нелинейных искажений в диапазоне частот $f_{\phi} - 2f_{\phi}$ при той же акустической мощности.

Недостатком фазоинвертора являются более быстрое уменьшение акустической мощности на частотах ниже f_{ϕ} , чем в закрытом ящике, и необходимость настройки.

Конструирование футляров

На одной или нескольких частотах звукового диапазона возможен резонанс стенок футляра, приводящий к неприятному изменению тембра звуковоспроизведения. Это явление проявляется наиболее сильно в частично или полностью закрытых футлярах. Уменьшить вибрации стенок можно, применяя материалы с большой плотностью, например фанеру толщиной не менее 20 мм. Хороший результат дает сухой речной песок, засыпаемый между двумя тонкими фанерными листами. Стенки футляра, в особенности задняя и частично передняя, должны быть усилены деревянными брусками. Возможно использование древесно-стружечных плит.

Демпфирование стенок футляра. Внутренние поверхности футляра 1 (рис. 4-28) должны быть покрыты слоем звукопоглощающего материала 6 тол-

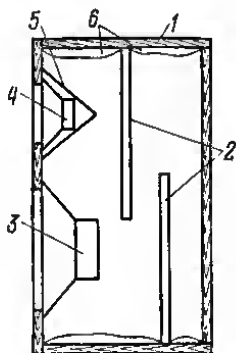


Рис. 4-28.

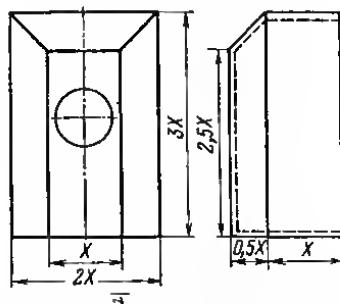


Рис. 4-29.

щиной не менее 10 мм (или одна из пар параллельных поверхностей слоем двойной толщины). Однако стоячие волны на относительно низких частотах при этом не устраняются.

Лучший результат дает разделение объема футляра одной или несколькими звукопоглощающими перегородками 2, например из войлока толщиной 5 — 10 мм. Секции ящика, которые отделены от головки одной или несколькими перегородками, в этом случае требуют очень слабой акустической обработки. Высокочастотная головка 4 должна быть защищена от излучения задней стороны диффузора НЧ головкой несколькими слоями звукопоглощающего материала, или металлическим коллаком 5. Низкочастотная головка 3 размещается внизу футляра.

Размещение головки. Отверстие, в котором размещается головка, ведет себя как труба, длина которой равна толщине стены или доски. Резонансы и антирезонансы этой трубы, а также отражения от краев отверстия являются причиной неравномерности частотной характеристики, поэтому рекомендуется скатывание краев отверстия или установка головки в более тонком экране, который размещают в стене или в экране нормальной толщины.

Форма футляра. На нижних частотах головка излучает сферические волны, и ребра футляра, особенно те, которые составляют фронтальная стенка, образуют препятствия на пути звуковых волн. Это вызывает искривление фронта волны (дифракцию) и вторичное излучение от ребер, что приводит к возникновению интерференционных явлений, вызывая появление на частотной характеристике пиков и провалов до ± 5 дБ. С точки зрения борьбы со вторичным излучением идеальная форма футляра — сфера, худшая — куб с головкой в центре одной из сторон. Прямоугольный параллелепипед с головкой, размещенной ближе к одной из коротких сторон, предпочтительнее куба. Однако лучшее приближение к идеалу дает прямоугольная усеченная пирамида, поставленная на прямоугольный параллелепипед (рис. 4-29). При любой форме желательно, чтобы футляр имел различные линейные размеры ни один из них не должен быть много больше или много меньше других; наибольший размер футляра не должен превышать $1/4$ длины волны нижней частоты рабочего диапазона.

Декоративная ткань не должна вызывать значительных потерь акустической мощности. Наиболее пригодна ткань из жестких, крепких (хлопчатобумажных или пластиковых) свободно переплетенных нитей. Применение тканей из мягких и пушистых нитей нежелательно.

Соединение в группы и фазирование головок

Групповое соединение образуют несколько одинаковых головок, размещенных близко одна к другой в одном акустическом экране. Группа головок имеет большую площадь излучения на нижних частотах (что потребовало бы при использовании одной головки значительного увеличения размеров и массы подвижной системы); вместе с тем сохраняются преимущества отдельной головки со сравнительно легкой подвижной системой с точки зрения переходного режима и воспроизведения высоких частот.

Сопротивление излучения каждой головки группы возрастает на низких частотах в n раз (n — число головок в группе). Это позволило бы получить значительный выигрыш в акустической мощности, если бы одновременно не увеличивалась в \sqrt{n} раз масса колеблющегося воздуха. В результате при $n = 2 + 4$ акустическая мощность увеличивается значительно, но все же не в n раз (при той же подводимой электрической мощности), а дальнейшее возрастание n выигрыша почти не дает.

Увеличение массы соколеблющегося воздуха понижает частоты резонанса каждой головки группы и, следовательно, расширяет рабочий диапазон частот, особенно значительно при большом n .

Наиболее удовлетворительное соединение головок в группу — параллельное; тогда Q системы не будет отличаться от Q_1 . Если необходимо, чтобы сопротивление группы было равно сопротивлению одной головки, то с точки зрения лучшего Q группы лучше применить последовательно-параллельное соединение головок (число которых должно быть равно n^2 , где $n = 1, 2, 3 \dots$). При любом соединении головок в группу они должны быть правильно сфазированы: при подключении источника постоянного тока (например, низковольтной батареи) к входным зажимам диффузоры всех головок должны смещаться в одном направлении. Изменение направления смещения диффузора головки производится изменением порядка включения его входных концов.

Если размещение группы головок в закрытом футляре почему-либо затруднено — требуемый объем футляра по расчету получается чрезмерно большим, то головки можно разместить в малом акустическом экране или футляре меньшего объема, заполненном поглощающим материалом, компенсируя ослабление излучения головок на низких частотах соответствующей коррекцией АЧХ усилителя.

К недостаткам группового соединения относится значительная неравномерность частотной характеристики и характеристики направленности на верхних частотах.

Двух- и трехполосные акустические системы

Выбор головки громкоговорителей. Звуковоспроизведение с качеством по классу 1 обычно можно получить, применяя головку с номинальным диапазоном частот 63 Гц — 12 кГц, либо разделяя полный диапазон частот, соответствующий этому классу, на две полосы. Для обеспечения звуковоспроизведения с качеством по классу «высший» встречается необходимость разделять полный диапазон на три полосы.

Номинальный диапазон частот головки, предназначенной для воспроизведения той или иной полосы, должен быть шире этой полосы на две октавы при использовании фильтров с крутизной 6 дБ/октава и на одну октаву при использовании фильтров с крутизной 12 дБ/октава. Частоту разделения двухполосной системы выбирают обычно от 400 до 1200 Гц. В трехполосной системе низкочастотное звено может работать на частоте до 300 — 600 Гц, среднечастотное — до 2 — 5 кГц.

Вблизи частоты разделения могут возникнуть значительные искажения, вызванные совместной работой головок. Если расстояния от каждой из головок до слушателя не равны, то частотная характеристика системы может иметь зна-

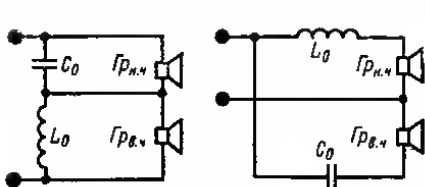


Рис. 4-30.

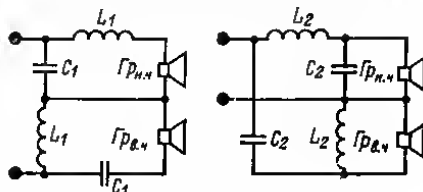


Рис. 4-31.

чительную неравномерность, определяемую фазовыми соотношениями входящих сигналов.

Разделительные фильтры. Наиболее простое подключение ВЧ головки — через конденсатор, защищающий головку от перегрузки на низких частотах. Такое включение применяется, когда основная головка имеет недостаточно широкий частотный диапазон. Емкость конденсатора рассчитывается по формуле

$$C = \frac{160 \cdot 10^3}{f_p r_p}, \quad (4-18)$$

где f_p — частота разделения, Гц; r_p — полное сопротивление головки на частоте f_p , Ом.

Фильтр должен быть построен так, чтобы каждая головка работала лишь в той области частот, на которую она рассчитана. Потери в фильтре в полосе пропускания должны быть минимальными.

Индуктивности и емкости фильтра при различной крутизне среза, которая определяется как изменение затухания при изменении частоты на одну октаву, вычисляют по следующим формулам.

Для крутизны спада 6 дБ/октава (фильтр по схеме на рис. 4-30)

$$\left. \begin{aligned} L_0 &= 160 r_p / f_p; \\ C_0 &= 160 \cdot 10^3 / f_p r_p; \end{aligned} \right\} \quad (4-19)$$

для крутизны спада 12 дБ/октава (фильтр по схеме на рис. 4-31)

$$\left. \begin{aligned} L_1 &= 131 r_p / f_p; \\ L_2 &= 225 r_p / f_p; \\ C_1 &= 225 \cdot 10^3 / f_p r_p; \\ C_2 &= 113 \cdot 10^3 / f_p r_p. \end{aligned} \right\} \quad (4-20)$$

В формулах (4-19) и (4-20) индуктивности измеряются в миллигенри, емкости — в микрофарадах. На основе расчета выбирают конденсаторы с ближайшими номинальными стандартными емкостями. Для получения требуемой емкости возможно параллельное соединение нескольких конденсаторов. Очевидно, что если емкость конденсатора отличается от полученной расчетом, частота разделения будет отличаться от заданной.

Если для фильтра нужны конденсаторы с емкостью порядка десятков микрофарад и выше, можно использовать электрические конденсаторы. Так как последние полярны, а будут работать в цепи переменного тока, то в каждом звене фильтра придется применить по два встречно-включенных конденсатора, каждый из которых должен иметь емкость, возможно более близкую к полученной расчетом. В звеньях разделительного фильтра транзисторного усилителя без выходного трансформатора можно применить по одному электрическому конденсатору, соблюдая правильную полярность их включения.

Фильтр для трехполосного акустического агрегата (рис. 4-32) представляет собой комбинацию двух рассмотренных фильтров. Первый из них отделяет нижнечастотную область от

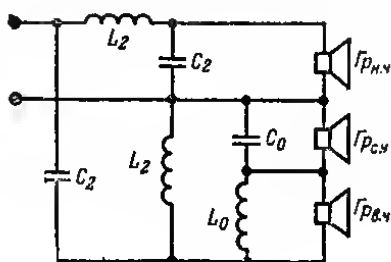


Рис. 4-32.

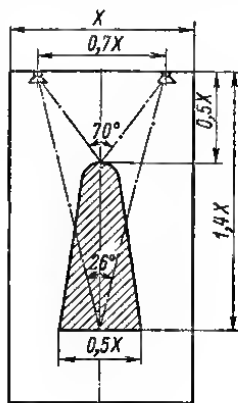


Рис. 4-33.

среднечастотной; последняя затем делится вторым фильтром. Оба фильтра не обязательно должны иметь одинаковую крутизну среза; они должны лишь рассчитываться на одно сопротивление.

Методика расчета разделительных фильтров базируется на предположении равенства и резистивного характера сопротивлений головок в разделяемых полосах. Так как полное сопротивление головки на частоте разделения может иметь значительную индуктивную составляющую, во избежание частотных искажений в области перекрытия следует учитывать при расчете индуктивность средней и низкочастотной головки как часть фильтра, т. е. катушку фильтра, включаемую последовательно с головкой, изготовлять с индуктивностью, меньшей расчетной на индуктивность головки.

Если сопротивления головок в звеньях многополосной системы не равны, то следует попытаться подобрать равные сопротивления звеньев путем группового соединения головок (допустимо последовательное соединение ВЧ головок).

Параллельное соединение двух-трех ВЧ головок дает возможность использовать их в сочетании практически с любой НЧ головкой. Возможное расхождение в полных сопротивлениях звеньев акустической системы может быть устранено увеличением входного сопротивления ВЧ звена с помощью делителя напряжения из резисторов.

Если в двух- или трехзвенной системе используется несколько ВЧ головок, то их следует располагать в футляре так, чтобы угол между их осями в горизонтальной плоскости составлял 20—30°.

Если же в многоканальной звуковоспроизводящей системе используется только одна ВЧ головка, имеющая полное сопротивление больше, чем у головки НЧ звена, то с целью выравнивания сопротивления нагрузки разделительного фильтра в области верхних частот, ВЧ головку следует шунтировать резистором.

Стереофонические акустические системы

Параметры громкоговорителей двухканальной стереофонической системы должны быть по возможности идентичны. Громкоговорители следует располагать в соответствии с рис. 4-33, где зона оптимального стереофонического эффекта заштрихована. Ориентирование громкоговорителей зависит от их характеристик направленности и должно быть определено экспериментально.

4-5. РЕВЕРБЕРАТОРЫ

Основные характеристики

Реверберацией называется остаточное звучание (послезвучание), наблюдаемое в помещениях после прекращения действия источника звука. Послезвучание возникает в результате многократных отражений звуковых волн от стен, потолка, пола и других поверхностей. Если же источник продолжает излучать колебания, то звуковое поле в помещении представляет собой совокупность прямого звука и многократных отражений. Реверберация субъективно оценивается как «гулкость» звучания.

Ревербератор представляет собой устройство, имитирующее описанное явление. С этой целью на воспроизводимый сигнал накладывается последова-

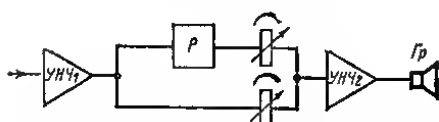


Рис. 4-34.

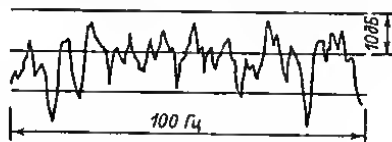


Рис. 4-35.

тельность его запаздывающих повторений (эхо-сигналов) с постепенно убывающим по мере нарастания времени запаздывания уровнем. Структурная схема звукового тракта с ревербератором P приведена на рис. 4-34.

Основными характеристиками ревербератора являются следующие.

Импульсная реакция — зависимость напряжения на выходе ревербератора от времени при напряжении на входе в виде короткого импульса. Если интервалы времени между следующими друг за другом эхо-сигналами превышают 0,05 с, то на реальном сигнале они могут восприниматься слушателем раздельно (флаттер-эффект), что оценивается как дефект искусственной реверберации, так как в помещении эти интервалы существенно меньше и отдельные эхо-сигналы объединяются в слуховом восприятии. Звучание ревербератора весьма неприятно, если его импульсную реакцию составляют эхо-сигналы, следующие через равные интервалы времени — явление, практически невозможное в помещении.

Время реверберации T_p — время, в течение которого напряжение на выходе ревербератора после выключения источника стационарного сигнала на его выходе уменьшается в 1000 раз (уровень падает на 60 дБ) от первоначального значения. Убывание напряжения должно происходить по экспоненциальному закону, так же как в идеальном случае убывает звуковая энергия в помещении после выключения источника стационарного звукового сигнала.

Эффект искусственной реверберации можно регулировать изменением времени искусственной реверберации, т. е. скорости убывания уровня эхо-сигналов,

создаваемых ревербератором, или изменением соотношения уровней прямого и реверберационного сигналов; в схеме на рис. 4-34 последнее производится двумя переменными сопротивлениями. Оба способа регулировки дают в некоторых пределах одинаковое изменение гулкости звучания. Это дает возможность в простых ревербераторах пользоваться регулировкой второго рода, что значительно упрощает их конструкцию.

Частотная характеристика коэффициента передачи ревербератора — зависимость напряжения на выходе ревербератора от частоты при постоянной амплитуде входного напряжения.

Частотная характеристика коэффициента передачи помещения (рис. 4-35) существенно зависит от положений громкоговорителя и измерительного микрофона. На частотной характеристике большого помещения пики расположены нерегулярно; в среднем они распределены с интервалом $4/T_p$ [Гц], а перепад между пиками и провалами достигает 25 дБ и более.

Для того чтобы достаточно хорошо имитировать акустические условия большого помещения, плотности пиков частотных характеристик коэффициентов передачи ревербератора и помещения должны быть сравнимы.

Существует несколько систем ревербераторов. Далее описывается пружинный ревербератор, поскольку он имеет небольшие размеры, относительно дешев, не сложен конструктивно и поэтому доступен для изготовления в любительских условиях.

Принцип работы пружинного ревербератора

Основой пружинного ревербератора является линия задержки, состоящая из двух преобразователей (датчика и приемника механических колебаний) и натянутой между ними цилиндрической пружины (см. структурную схему пружинной линии на рис. 4-36).

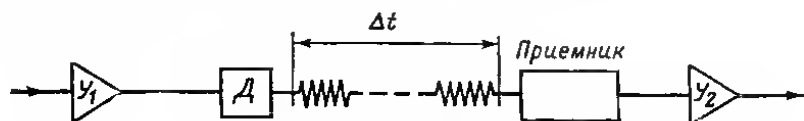


Рис. 4-36.

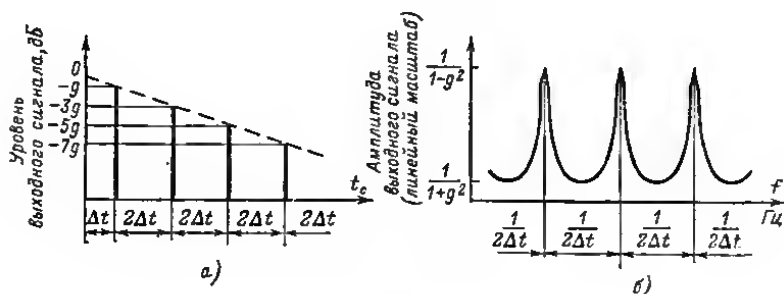


Рис. 4-37.

Входной сигнал, усиленный усилителем U_1 , преобразуется в колебательные движения крутильного типа подвижного элемента датчика D , которые передаются пружине. Механическая волна распространяется по пружине и достигает приемника через время, определяемое скоростью распространения колебаний в пружине и ее длиной. Отразившись от приемного конца пружины, волна возвращается к датчику, затем снова к приемнику и т. д., постепенно затухая.

Первый эхо-сигнал в пружинной линии задерживается на время Δt , а следующие за ним эхо-сигналы сдвинуты во времени один относительно другого на $2 \Delta t$; пики на частотной характеристике коэффициента передачи ревербератора располагаются с интервалом $1/2 \Delta t$, Гц (рис. 4-37).

Самодельный трехпружинный ревербератор

Технические данные ревербератора: плотность пиков на частотной характеристике ревербератора не менее 15 в полосе 100 Гц; средний интервал времени между соседними эхо-сигналами — не более 0,025 с; рабочий диапазон частот 150—3000 Гц; время искусственной реверберации 3—4 с на низких частотах рабочего диапазона с постепенным понижением к верхним частотам до 1,5—2 с.

Время реверберации на частотах выше 3 кГц в помещении относительно мало и определяется потерями при распространении звуковой волны в воздухе. Поэтому создание искусственной реверберации на верхних звуковых частотах часто неприятно для слуха. Увеличение же времени реверберации на низких частотах ухудшает четкость и разборчивость звучания. Время искусственной реверберации на верхних частотах в пружинном ревербераторе относительно мало и не превышает обычно 2 с; с понижением частоты оно постепенно увеличивается, достигая иногда 6—8 с на самых низких частотах. Поэтому в конструкции ревербератора следует предусмотреть демпфер, способствующий уменьшению реверберации на низких частотах.

Выбор параметров ревербератора. Первые два пункта изложены выше. Требования удовлетворяются в трехпружинном ревербераторе с временем задержки 0,029; 0,037 и 0,043 с. Плотность пиков

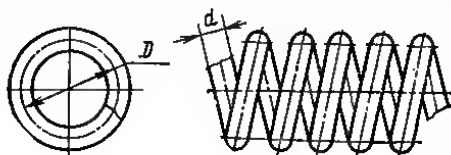


Рис. 4-38.

на каждые 100 Гц частотного диапазона такого ревербератора — около 20; средний промежуток времени между соседними эхо-сигналами — около 0,025 с.

Расчет пружины. Пружина представляет собой механический фильтр нижних частот. При среднем диаметре витка D [мм] (рис. 4-38) из стальной проволоки диаметром d [мм] пружина пропускает колебания крутильного типа с частотами ниже частоты среза:

$$f_c = 253 \cdot 10^3 d / D^2. \quad (4-21)$$

При использовании стальной проволоки диаметром d для получения требуемой частоты среза f_c [Гц] диаметр навивки в миллиметрах должен быть равен:

$$D = \sqrt{\frac{253 \cdot 10^3 d}{f_c}}. \quad (4-22)$$

Частота среза пружинной линии задержки должна быть 3—4 кГц.

Пружины изготавливают из стальной «рояльной», возможно более упругой проволоки диаметром 0,2—0,4 мм путем навивки на токарном или точном станке плотно, виток к витку. Длина проволоки, приготовленной для навивки, должна несколько превышать величину $3,14 Dn$ (n — число витков в пружине). Часть крайнего витка пружины загибается в виде крючка. Уменьшение диаметра проволоки затрудняет навивку, а увеличение — ведет к росту размеров ревербератора.

Время задержки сигнала в пружине практически не зависит от частоты (за исключением частот, близких к f_c , где оно возрастает) и определяется формулой

$$\Delta t = 0,32n / f_c. \quad (4-23)$$

Число витков пружины зависит от требуемого времени задержки и находится из выражения

$$n = 3,14 \Delta t f_c. \quad (4-24)$$

Выбор типа преобразователя. В качестве преобразователя может быть использована система, состоящая из намагниченного ферритового ротора, совершающего крутильные колебания под действием переменного электромагнитного

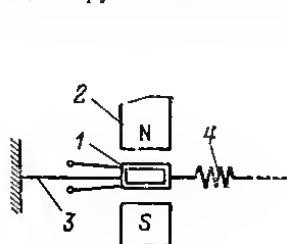


Рис. 4-39.

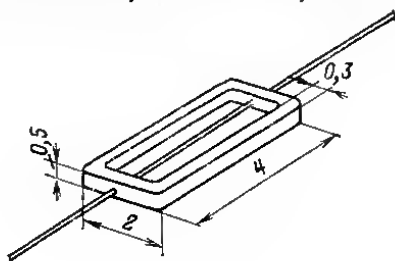


Рис. 4-40.

поля, создаваемого катушкой с магнитным сердечником. Однако наиболее целесообразно выполнить преобразователь с подвижной катушкой 1 (рис. 4-39), расположенной в поле постоянного магнита 2.

Катушку поддерживает проволока 3. Ток звуковой частоты, проходя по катушке, взаимодействует с полем магнита и вызывает крутильные колебания катушки, которые передаются пружине 4. Приемник аналогичной конструкции осуществляет обратное преобразование. На рис. 4-40 указаны размеры катушки, при которых обеспечивается диапазон частот 150—3000 Гц при использовании пружин из проволоки диаметром 0,2 мм.

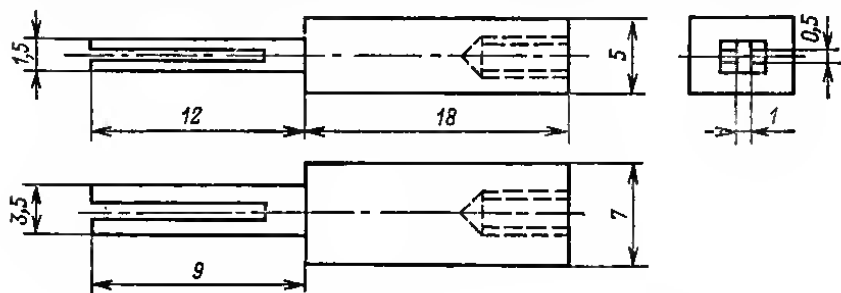


Рис. 4-41.

Катушку преобразователя наматывают с клеевой пропиткой на оправке из дюралюминия (рис. 4-41) таким образом, чтобы проволока проходила сквозь катушку, как показано на рис. 4-40. Катушка содержит 30 витков ПЭВ-1 0,04. Когда клей высохнет, катушку аккуратно снимают, слегка сжав оправку. Выводы катушек должны иметь длину 50 мм.

Один из концов проволоки, предназначенный для соединения с пружиной, загибается в виде крючка на расстоянии не далее 2 мм от катушки; другой конец, имеющий длину 30 мм, служит поддерживающей проволокой.

При навивке пружин из более толстой проволоки площадь поперечного сечения катушки увеличивается приблизительно пропорционально кубу диаметра проволоки (при неизменной частоте среза).

Конструкция ревербератора (рис. 4-42). Три пружинные линии задержки конструктивно объединены общими для датчиков магнитными системами, состоящими из постоянных магнитов 2 с полюсными наконечниками 3 у датчика и 5 у приемника колебаний. Длина ревербератора и радиус навивки пружин определены диаметром проволоки (0,2 мм) и частотой среза 4 кГц (при этом $D=3,54$ мм.) Каждая пружина 1 состоит из двух половин правой и левой навивки для предотвращения изменений ориентации катушек в магнитном поле при усталостном раскручивании пружин. Числа витков в пружинных линиях, обеспечивающие различные значения времени задержки Δt , должны быть следующими:

Δt , с	0,029	0,037	0,043
n	2×182	2×232	2×270

Стальные проволоки 7 и 8 диаметром 0,1 мм, поддерживающие катушку датчика 4 и катушку приемника колебаний 6 в магнитных полях, проходят через отверстия в металлических столбиках 9, 10 и фиксируются винтами 12.

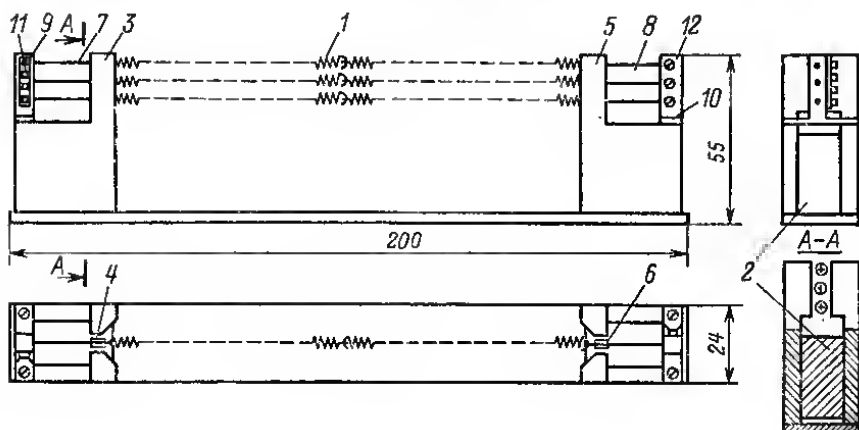


Рис. 4-42.

Катушки датчика и приемника, имеющие сопротивление по 3 Ом, соединяются последовательно на расширочных платах 11, укрепленных на столбиках. Провода, подводящие ток к катушкам, проходят рядом с соответствующей поддерживающей проволокой и приклеиваются к ней в двух-трех местах.

В качестве постоянных магнитов используются части кольцевого магнита из феррита бария от неисправного громкоговорителя.

Время искусственной реверберации на низких частотах уменьшает демпфер в виде полосок губчатой резины 1 (рис. 4-43), приклеенных к пластинам 2 из органического стекла и размещенных у поддерживающих проволок.

Усилители ревербератора (рис. 4-44). Усилитель датчика обеспечивает на катушках общим сопротивлением 9 Ом напряжение 1 В, устанавливаемое потенциометром R_1 при входном напряжении не менее 10 мВ. Чувствительность усилителя приемника составляет 0,1 мВ; номинальное выходное напряжение не менее 1 В при отношении сигнал/шум не менее 50 дБ.

В усилителе предусмотрена возможность смешивания основного и реверберационного сигналов; сигнал с переменного резистора R_{14} на выходе усилителя датчика подается в усилитель приемника после регулятора уровня R_{26} ; таким образом, смешивание сигналов производится манипулированием резисторами R_{14} и R_{26} .

Данные трансформатора Tr_1 : магнитопровод $Ш6 \times 6,5$ из пермаллоя; обмотка I — 1800 витков ПЭВ 0,1, обмотки IIa и IIб — по 400 витков ПЭВ 0,1. Сначала наматывают 900 витков обмотки I, затем 400 витков двойного провода обмоток IIa и IIб и, наконец, 900 витков обмотки I.

Сборка и налаживание пружинного ревербератора. Сборку ревербератора начинают с установки на плате магнитных систем преобразователей и металлических столбиков. Затем укрепляют поддерживающие проволоки с катушками датчика и приемника в нижних отверстиях металлических столбиков и растягивают между катушками обе половины наиболее длинной пружины ($\Delta t = 0,043$ с.) Если имеются «слипшиеся» витки, то нужно попытаться растянуть в этом месте пружину или заменить ее новой. Места соединений проклеивают, а выводы катушек пропаивают.

После этого включают усилители и проверяют работу первой линии задержки при синусоидальном сигнале напряжением на катушках датчика не более 0,2 В. Искажения кривой на экране осциллографа (преимущественно в области низких частот) могут быть вызваны наличием «слипшихся» витков, люфтом в местах механических соединений, механическим контактом катушек с полюсными наконечниками.

Чрезмерное ограничение частотной характеристики пружинной линии в области верхних частот может быть вызвано неправильным расчетом пружины (что приводит к понижению частоты среза), наличием «слипшихся» витков и увеличенными, по сравнению с рекомендованными, размерами катушек преобразователей.

Аналогичным способом собирают и налаживают две другие пружинные линии. Затем устанавливают пластины с наклеенными полосками пористой резины. Степень сжатия резины между пластинами определяет время искусственной реверберации на нижних частотах.

Измерения в пружинном ревербераторе. Проверка правильности расчета времени задержки пружины и времени реверберации требует специальной аппаратуры, недоступной радиолюбителю. Поэтому все необходимые данные предлагается получить косвенными способами, включая звуковой генератор на вход ревербератора и вольтметр на его выход. Измерения следует производить для каждой пружинной линии задержки отдельно, отключив две другие.

Медленно изменяя частоту генератора, определяют интервал частот между соседними пиками Δf ; тогда задержка в пружине

$$\Delta t = 1/2 \Delta f. \quad (4-25)$$

Определив соотношение пик/провал D на частотной характеристике коэффициента передачи ревербератора, нетрудно найти затухание g в данной

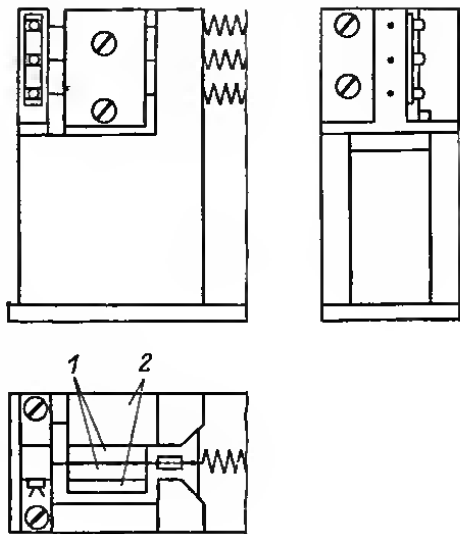


Рис. 4-43.

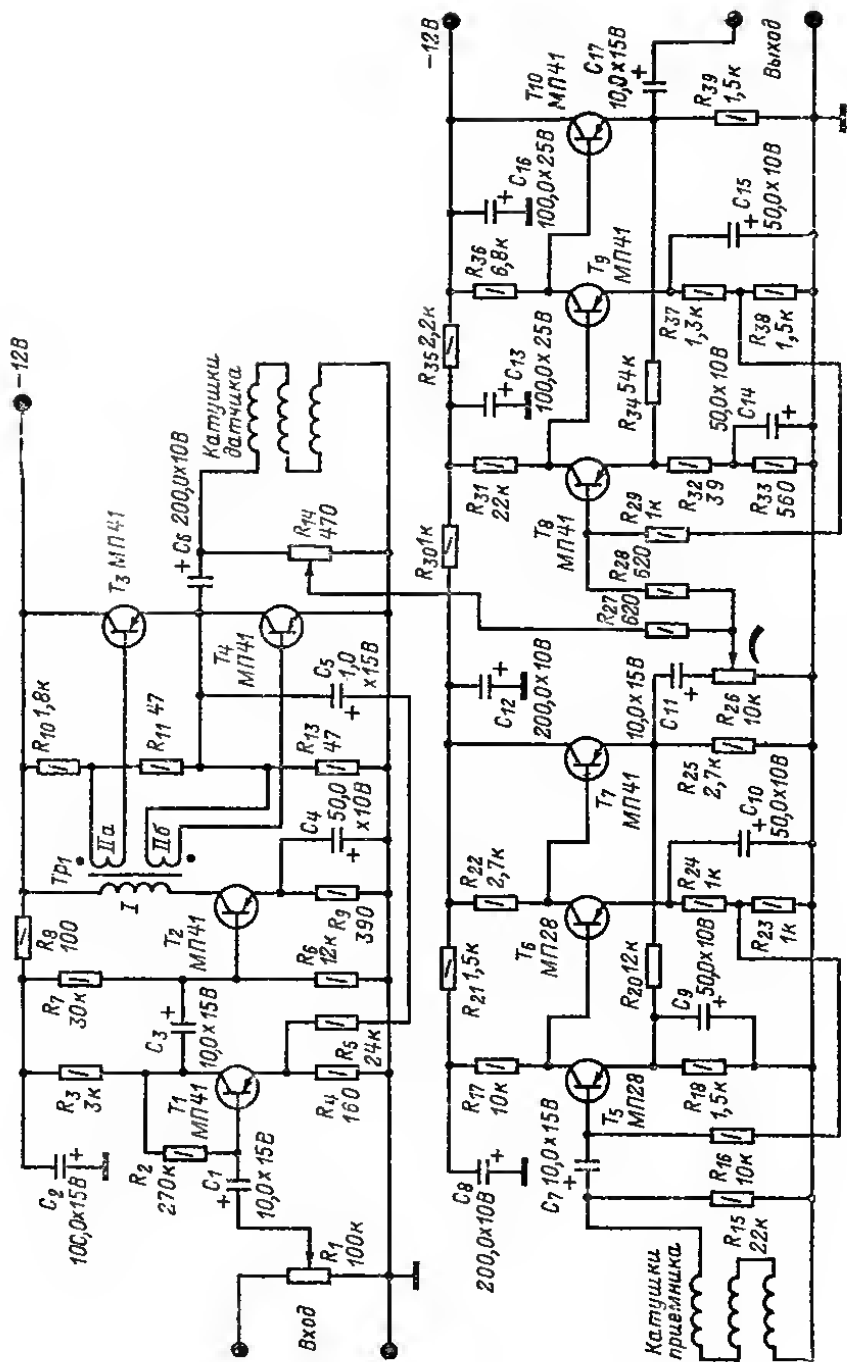


Рис. 4-44.

области частот механической волны при однократном прохождении ее по пружине

$$g = \sqrt{\frac{D-1}{D+1}} \quad (4-26)$$

и время искусственной реверберации в секундах $T = \Delta t/g$, где g в децибелах.

Применение ревербератора. При работе источника звука в помещении направление прихода отраженных звуковых волн к слушателю, как правило, не совпадает с направлением прихода основного сигнала. Включение ревербератора в звуковой тракт согласно рис. 4-34 не является наилучшим, так как основной сигнал и эхо-сигналы воспроизводятся одним громкоговорителем и по направлениям прихода к слушателю не разделены. Ощутимый эффект присутствия в большом зале дает разделение трактов основного и реверберационного сигналов в соответствии со схемой рис. 4-45. Так как требования к частотной характеристике коэффициента передачи ревербератора не являются жесткими, громкоговорители распределенной системы, воспроизводящие реверберационный сигнал, могут быть пониженного качества. При ограниченных возможностях распределения система может быть заменена одним громкоговорителем, расположенным за спиной слушателя и с вертикально ориентированной рабочей осью.

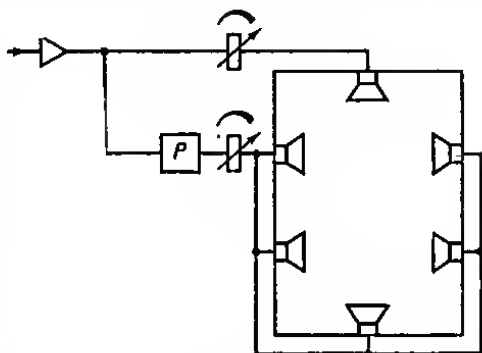


Рис. 4-45.

4-6. ВОСПРОИЗВЕДЕНИЕ ГРАММОФОННЫХ ЗАПИСЕЙ

Типы и параметры грампластинок

Классификация. Грампластинки разделяют на монофонические с узкой канавкой (долгоиграющие с частотой вращения 33 1/3 и 45,11 об/мин), обозначаемые знаком ∇ (до 1968 г. они обозначались буквами МУ), и стереофонические (также долгоиграющие) с узкой канавкой и такими же частотами вращения, обозначаемые знаком \odot . И те и другие предназначены для электроакустического воспроизведения.

Кроме того, прежде изготавливались монофонические пластинки с широкой канавкой (77,92 об/мин), допускающие как электроакустическое, так и акустическое воспроизведение (с помощью патефона, граммофона), они обозначались буквами МШ.

Увеличение длительности звучания долгоиграющих пластинок по сравнению с пластинками МШ достигнуто путем уменьшения ширины канавок, их сближения и уменьшения частоты вращения пластинок.

Грампластинки и запись на них удовлетворяют требованиям ГОСТ 7893-72 «Звукозапись механическая на диск» и ГОСТ 5289-73 «Грампластинки. Общие технические условия». В табл. 4-6 приведены диаметры, частоты вращения и масса пластинок, Эксцентриситет центрального отверстия относительно центра

записи пластинок с узкой канавкой должен быть не более 0,2 мм и для пластинок с широкой канавкой не более 0,25 мм.

Таблица 4-6

Граммофонные пластинки

Тип пластинок	Частота вращения, об/мин	Диаметр пластинки, мм	Диаметр центрального отверстия, мм	Масса, г, не более
Монофонические и стереофонические с узкой канавкой	33 $\frac{1}{3}$	301 230 174	7,24 $^{+0.00}$	184 120 50
	45,11	174	7,24 $^{+0.00}$ или 38,15 $^{+0.10}$	50
Монофонические с широкой канавкой	77,92	250	7,24 $^{+0.00}$	196

Параметры записи. Размеры канавок грампластинок в микрометрах приведены на рис. 4-46, а (узкая канавка) и 4-46, б (широкая канавка). На внутренней стенке канавки стереофонической пластинки (стенка, расположенная ближе к центру пластинки) записаны сигналы левого, а на наружной — сигналы правого канала (рис. 4-47, а). Вид сверху на канавку стереофонической пластинки показан на рис. 4-47, б.

Амплитудно-частотная характеристика канала записи, применяемого для грампластинок с узкой канавкой, приведена на рис. 4-48; она представляет

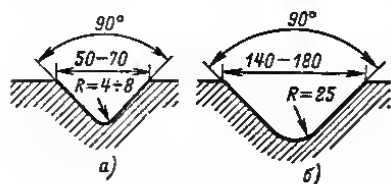


Рис. 4-46.

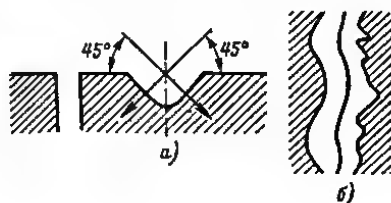


Рис. 4-47.

собой зависимость колебательной скорости — произведения амплитуды на частоту колебаний записывающего резца от частоты сигнала. Колебательная скорость — основной параметр записи на пластинке. Чем она выше, тем, при прочих равных условиях, громче звучит пластинка при воспроизведении. Максимальное значение колебательной скорости установлено равным 14 см/с для монофонической записи и 10 см/с для стереофонической.

Гибкие грампластинки (33 1/3 об/мин) изготавливают диаметром 174 мм из пленки толщиной 0,12—0,15 мм. Запись монофоническая, размеры канавки близки к размерам узкой канавки обычных долгонгающих пластинок. Воспроизведение должно осуществляться на электропроигрывающих устройствах.

Воспроизводящая аппаратура

В настоящее время воспроизведение грамзаписи осуществляют почти исключительно электроакустическим способом с помощью электропроигрывающих устройств (ЭПУ). ЭПУ содержит движущий механизм, вращающий грампластинку и звукосниматель, и предназначено для встраивания в какую-либо аппаратуру. В состав ЭПУ с магнитным звукоснимателем может входить также предварительный корректирующий усилитель. ЭПУ, встроенное в простой футляр и снабженное шнурами и кабелями для внешних подключений, называют электропроигрывателем. Электропроигрыватель, смонтированный вместе с оконечным усилителем и громкоговорителем, называют электрофоном (изготавливается по ГОСТ 11157-74). ЭПУ входит, кроме того, в состав радиол и магнито радиол.

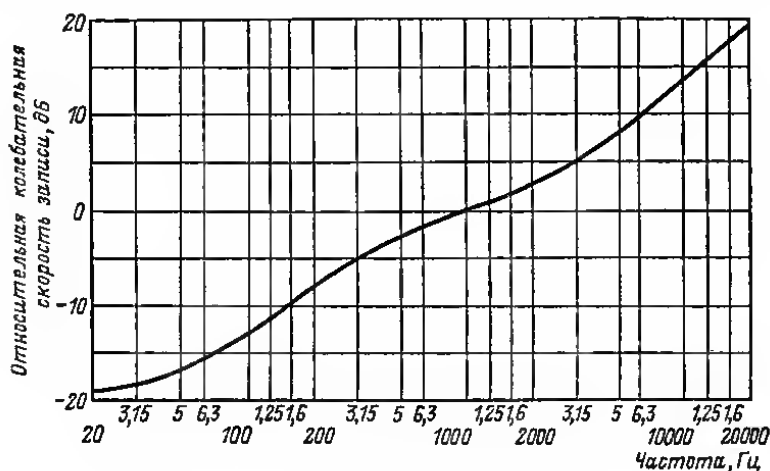


Рис. 4-48.

Электропроигрывающие устройства изготавливают четырех классов: высшего, I, II и III по ГОСТ 18631-73. ЭПУ высшего и I классов предназначены для воспроизведения записей как стереофонических, так и монофонических грампластинок, ЭПУ класса II — только стереофонических или только монофонических и класса III — только монофонических. Все ЭПУ должны обеспечивать частоты вращения грампластинки 33 1/3 и 45,11 об/мин. Необязательные частоты — 16 2/3 и 77,92 об/мин. Параметры ЭПУ приведены в табл. 4-7, там же указаны типы современных ЭПУ и электрофонов отечественного производства, соответствующих определенным классам качества. Диаметр шпинделя для надевания грампластинок во всех ЭПУ равен 7,24 $\pm 0,15$ мм, а для грампластинок с увеличенным центровым отверстием (табл. 4-6) 38,2 $\pm 0,50$ мм. Если ЭПУ содержит предварительный усилитель, его выходное сопротивление не должно превышать 10 кОм. В зависимости от класса в ЭПУ применяют различные вспомогательные устройства, облегчающие эксплуатацию и повышающие качество воспроизведения (табл. 4-8).

Звукосниматели. По принципу действия звукосниматели делят на магнитные, пьезоэлектрические, полупроводниковые и фотоэлектрические. Наиболее распространены магнитные и пьезоэлектрические (пьезокерамические). Последние просты по конструкции,

Таблица 4-7

Электропронгрывающие устройства

Параметры	Класс ЭПУ			
	Высший	I	II	III
Допускаемые отклонения от номинальной частоты вращения *	$\pm 0,55$	$\pm 1,2$	$\pm 1,8$	$\pm 2,1$
Коэффициент детонации, %	$0,1^{+0,05}$	$0,1^{+0,05}$	$0,15^{+0,05} **$ $0,2^{+0,05} ***$	$0,25^{+0,05}$ $0,4^{+0,10} ****$
Относительный уровень рокота (помеха от вибрации движущего механизма), дБ	-60	-46	-31	-28
Относительный уровень фона, дБ: с пьезоэлектрическим звукоинимателем	-67	-63	-57	-53
	-63	-57	-53	—
Уровень акустического шума от движущего механизма, дБ	30	30	34	38
Типы отечественных ЭПУ	—	I-ЭПУ-73С	II-ЭПУ-52С и II-ЭПУ-74С (стерео) II-ЭПУ-50 и II-ЭПУ-76 (моно)	III-ЭПУ-28М III-ЭПУ-33
Типы отечественных электрофонов	«Аккорд-001»	«Вега-101» «Корвет-стерео»	«Аккорд-201-стерео» «Аккорд-201-моно» «Ноктюрн-201 (моно)» «Рондо-201» (моно)	«Каравелла» «Концерт-301» «Лидер-303» «Юность»

- * При питании от электросети переменного тока
 ** Для стереофонических устройств
 *** Для монофонических устройств.
 **** Для устройств с питанием от источника постоянного тока.

дешевы и не требуют применения предварительного усилителя со специальной АЧХ. Звукосниматель состоит из головки и тонара мв, укрепляемого в ЭПУ на поворотной ножке. Основными частями головки являются иглодержатель с корундовой или алмазной иглой и преобразователь механических колебаний в электрические. В головке стереофонического звукоснимателя таких преобразователей два. Так как иглы для пластинок с узкой и широкой канавками различаются размерами, головки звукоснимателя делают сменными (каждая для определенного типа пластинок) или снабжают сменными блоками с определенными типами игл или с двумя переключаемыми иглами. Рабочие положения переключателя и сменные головки (или блоки) имеют цветные обозначения (табл. 4-9).

Таблица 4-8




Вспомогательные устройства, входящие в состав ЭПУ

Устройства	Класс ЭПУ			
	Высший	I	II	III
Регулятор частоты вращения $33\frac{1}{3}$ об/мин со встроенной визуальной индикацией	О	О	Н	Н
Автостоп	О	О	О	О ⁺
Микролифт	О	О	О	О ⁺
Механизм возврата звукоснимателя в исходное положение	О	О	Н	Н
Регулятор статической балансировки звукоснимателя относительно вертикальной оси	О	О	О ⁺⁺	Н
Регулятор прижимной силы звукоснимателя	О	О	Н	Н
Цепь замыкания звукоснимателя или выключатель усилителя в нерабочем положении иглы	О	О	О	О

Примечание. О — обязательно; Н — не обязательно; + — только при питании от сети переменного тока; ++ — при пьезоэлектрическом звукоснимателе не обязательно.

Таблица 4-9

Обозначения на головках звукоснимателя

Тип воспроизводимой грамзаписи	Обозначение	Цвет обозначения
Монофоническая с широкой канавкой		Зеленый
Монофоническая с узкой канавкой		Красный
Стереофоническая и монофоническая с узкой канавкой		Голубой

Для облегчения следования иглы по канавке звукоосниматель должен быть определенным образом ориентирован относительно грампластинки. Это обеспечивают, придавая тонарму изогнутую форму. Для малогабаритных ЭПУ рекомендуются размеры тонарма, представленные на рис. 4-49; здесь рабочая длина $l = 185 \pm 2$ мм, установочная база $h = 175$ мм, угол коррекции $\alpha = 20^\circ 30' \pm 1^\circ 30'$.

Качество воспроизведения и износ пластинки зависят от прижимной силы иглы к канавке. Прижимную силу регулируют с помощью противовеса или пружины в тонарме. Для пьезоэлектрических звукооснимателей прижимная

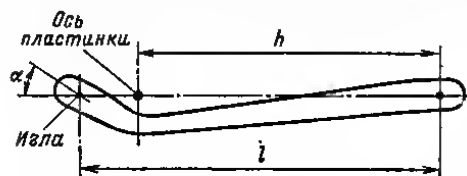


Рис. 4-49.

сила не должна превышать 70 мН, для магнитных — устанавливается в зависимости от класса ЭПУ: не более 20 мН в ЭПУ высшего, 30 мН — I и 40 мН — II классов. При недостаточной прижимной силе возникают нелинейные искажения, так как игла не будет надежно следовать по канавке и даже может выйти из нее. Чтобы

обеспечить симметричное положение иглы в немодулированной канавке, что особенно важно при воспроизведении стереозаписи, в лучших звукооснимателях предусматривается балансировка тонарма и компенсация нежелательной скатывающей силы, которая оказывает через иглу избыточное давление на внутреннюю стенку канавки, увеличивает ее износ и нарушает баланс сигналов левого и правого каналов при воспроизведении стереофонической грамзаписи. Пример конструкции современного звукооснимателя приведен на рис. 4-50 (1 — противовес, 2 — балансир, 3 — компенсатор скатывающей силы).

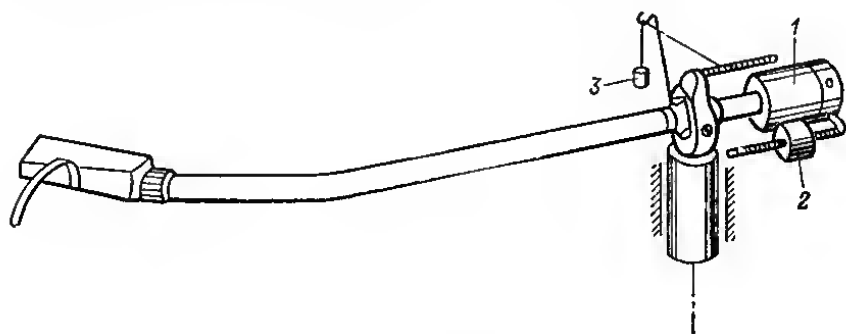


Рис. 4-50.

Номинальная нагрузка пьезоэлектрического звукооснимателя должна состоять из резистора сопротивлением 1000 ± 50 кОм и конденсатора емкостью 150 ± 10 нФ, включенных параллельно, а магнитного звукооснимателя — из резистора сопротивлением 47 ± 5 кОм.

При магнитном звукооснимателе АЧХ предварительного усилителя должна быть обратной по форме характеристике грамзаписи (рис. 4-48). При любом типе звукооснимателя в усилителе необходимо корректировать частотные искажения, поэтому для воспроизведения грамзаписи следует применять усилитель с раздельной регулировкой тембра на низких и высоких частотах (см. § 4-2).

Чувствительность пьезоэлектрического звукооснимателя равна 50—70 мВ·см⁻¹·с, магнитного — не менее 0,7 мВ·см⁻¹·с. При конструировании

усилителей можно считать, что пьезоэлектрический звукоусилитель развивает на средних частотах напряжение 0,7 В, а магнитный — 1 мВ.

Номинальный частотный диапазон звукоусилителя в ЭПУ высшего класса составляет 20 Гц — 20 кГц; I — 31,5 Гц — 16 кГц; II — 50 Гц — 12,5 кГц и III — 50 Гц — 10 кГц при неравномерности АЧХ 4—6 дБ в середине и 8—10 дБ на краях диапазона. Чувствительность обоих каналов стереофонических звукоусилителей в средней части частотного диапазона может отличаться не более чем на 2—3 дБ. Переходное затухание между каналами должно быть не менее 20 дБ.

Отечественная промышленность изготавливает звукоусилители следующих типов:

ГЗУМ-73С — магнитный, стереофонический для ЭПУ высшего и I класса (применяется в электрофоне «Аниорд-001»);

ГЗКУ-631Р — пьезоэлектрический, стереофонический для ЭПУ класса II;

ГЗК-661 — пьезоэлектрический, монофонический для ЭПУ классов II и III (класс обозначен на переключателе игл).

Проверку работы и измерение качественных показателей звукоусилителя производят с помощью измерительной грампластинки фирмы «Мелодия» типа ИЗМ33Д0101/0102, содержащей запись ряда частот с определенными значениями колебательной скорости.

Воспроизведение стереозаписи. Головка стереозвукоусилителя может иметь три или четыре вывода. Маркировка их приведена в табл. 4-10. Стереозвукоусилитель подсоединяют к двухканальному усилителю с двумя разнесенными громкоговорителями. Регулировку громкости, тембра и стереобаланса осуществляют, как сказано в § 4-2. Для проверки правильности расположения и фазировки громкоговорителей правого и левого каналов и баланса каналов применяют испытательную (демонстрационную) грампластинку фирмы «Мелодия». Указания по ее использованию записаны на самой пластинке.

Таблица 4-10

Маркировка выводов головки стереозвукоусилителя

Количество выводов	Назначение вывода	Номер вывода	Цвет провода (маркировка)
3	Левый канал	1	Белый
	Общий (соединение с корпусом)	2	Черный
	Правый канал	3	Красный
4	Левый канал	1	Белый
	Левый канал (соединение с корпусом)	2	Синий
	Правый канал	3	Красный
	Правый канал (соединение с корпусом)	4	Зеленый

Стереофонический звукоусилитель чувствителен к вертикальным перемещениям иглы, поэтому движущий механизм ЭПУ должен быть хорошо отрегулирован, чтобы не создавать во время работы вибраций.

Стереофонические грампластинки обладают свойством совместимости, т. е. их запись можно воспроизводить и на монофоническом ЭПУ. При этом сигналы правого и левого каналов автоматически складываются в звукоусилителе и пластинка «звучит» как монофоническая. С другой стороны, монофоническую запись на долгоиграющей пластинке можно воспроизводить на стереофоническом ЭПУ.

Естественно, что сигналы правого и левого каналов при этом одинаковы и звуковоспроизведение остается монофоническим.

Схемы УНЧ, обеспечивающих высокое качество воспроизведения грамзаписей, приведены в § 4-2.

Движущий механизм ЭПУ. Основная задача механизма состоит в том, чтобы вращать с заданной частотой грампластинку, установленную на диске. Для этого чаще всего применяют асинхронный однофазный двигатель с возможно более жесткой механической характеристикой и частотой вращения около 2800 об/мин. Мощность на валу двигателя должна быть приблизительно 1 Вт. Двигатель устанавливают на амортизаторах с тем, чтобы защитить от его вибраций звукоприемник ЭПУ. Для передачи вращения от двигателя к внутреннему ободу диска обычно применяют редуктор с фрикционной передачей, с помощью обрезиненного промежуточного ролика (рис. 4-51). Для возможности получения несольких частот вращения диска ЭПУ шнив на валу двигателя 1 делают ступенчатым, а переключателем скорости изменяют высоту положения промежуточного ролика

Рис. 4-51.

линия 2. В другом варианте для этой цели используют двухступенчатый редуктор (рис. 4-52).

При выключении ЭПУ очень важно выводить промежуточные ролики из зацепления во избежание деформации их обрезиненной поверхности. Для подстройки точного значения частоты вращения диска ступенчатый шнив выполняют с небольшой конусностью и в процессе регулировки перемещают в небольших пределах промежуточный ролик вверх и вниз. Контроль скорости ведут по стробоскопическим полосам, освещаемым неоновой лампой, питаемой от сети переменного тока. Частота вращения $n = 6000/k$, где k — число стробоскопических полос. Стробоскопические полосы наносят или на торец диска ЭПУ, или на бумажный диск, укладываемый на грампластинку. Для равномерного вращения грампластины диск

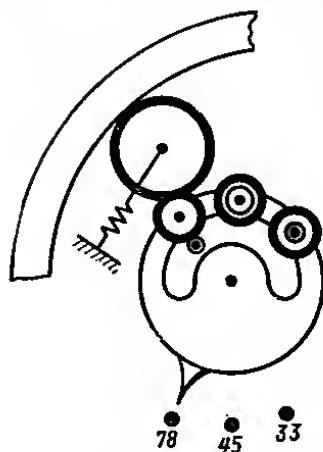


Рис. 4-52.

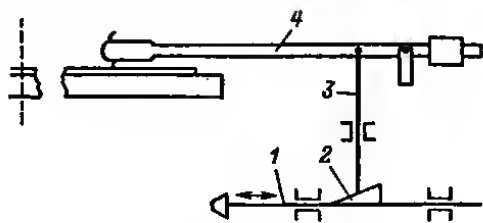


Рис. 4-53.

ЭПУ должен обладать достаточно большим моментом инерции, т. е. иметь большой диаметр (до 300 мм) и большую массу (до 3 кг).

Движущий механизм содержит ряд устройств, создающих удобства при пользовании ЭПУ.

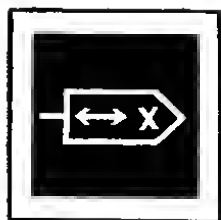
Автостоп выключает механизм в конце воспроизведения записи на одной стороне грампластинки. Наибольшее применение получила конструкция автостопа, действие которой основано на ускорении перемещения тонара, вследствие

вие резкого изменения шага выводной канавки грампластинки по сравнению с шагом канавки в зоне записи.

Микролифт служит для плавного опускания и подъема звукоснимателя. Простейший микролифт показан схематически на рис. 4-53. Перемещение штока 1 и связанной с ним детали 2 с наклонной поверхностью вызывает движение опирающегося на эту поверхность толкателя 3 и соответственно подъем или опускание звукоснимателя 4. Для более плавного действия в кинематическую схему микролифта вводят обычно дополнительное звено подтормаживания толкателя 3 демпфером с вязкой средой.

Иногда микролифт совмещают с устройством, возвращающим звукосниматель в исходное положение после окончания воспроизведения записи одной стороны грампластинки *.

* Подробные сведения по расчету механизмов ЭПУ приведены в книге Ю. С. Позова «Механизм электропроигрывающих устройств». М., «Эксперия», 1974.



МАГНИТНАЯ ЗВУКОЗАПИСЬ

РАЗДЕЛ 5

СОДЕРЖАНИЕ

5-1. Основные характеристики и структурные схемы магнитофонов	330
Терминология (330). Стандарты на магнитофоны (332) Структурные схемы магнитофонов (336). Диктофоны (338).	
5-2. Электронические схемы узлов магнитофонов	339
Усилители (339). Автоматическое регулирование уровня записи (341). Генераторы ВЧ тона подмагничивания и стирания (343) Индикаторы уровня записи (345).	
5-3. Лентопротяжные механизмы магнитофонов	345
Общие сведения (345). Двигатели для лентопротяжных механизмов (346). Типовые узлы лентопротяжных механизмов (347).	
5-4. Магнитная лента	348
Общие сведения (348). Качественные показатели магнитных лент (348). Ассортимент магнитных лент (349). Намотка магнитных лент (349) Эксплуатация магнитных лент (350).	
5-5. Магнитные головки	351
Конструкции головок (351). Эксплуатация магнитных головок (351).	
5-6. Намагничивание магнитофонов	352
Измерительные магнитные ленты (352) Испытание лентопротяжного механизма (353). Испытание канала воспроизведения (354). Испытание высокочастотного генератора (356). Испытание канала записи-воспроизведения (356).	
5-7. Микрофоны для любительской звукозаписи	358

5-1. ОСНОВНЫЕ ХАРАКТЕРИСТИКИ И СТРУКТУРНЫЕ СХЕМЫ МАГНИТОФОНОВ

Терминология

Основные термины, относящиеся к записи и воспроизведению информации, в частности к магнитной звукозаписи, определены ГОСТ 13699-74. Наиболее часто используемые термины приводятся в том значении, которое они имеют применительно к бытовым и любительским магнитофонам.

Магнитная запись — процесс преобразования сигналов информации в пространственное изменение остаточной намагниченности носителя или его отдельных частей с целью последующего воспроизведения информации.

Дорожка записи — намагниченная область носителя (магнитной ленты), образуемая в процессе записи.

Фонограмма — носитель записи, после того как на нем произведена звукозапись, например магнитная лента с одной или несколькими дорожками записи; в последнем случае говорят о *n*-дорожечной (двух-, трех-, четырехдорожечной) фонограмме.

***n*-дорожечная запись** — способ записи, при котором на носителе одновременно образуется *n* дорожек записи. В монофонических магнитофонах всегда произ-

водится одноканальная запись, в стереофонических бытовых — двухканальная. В результате переключивания и переключения катушек с лентой, а иногда и переключения магнитных головок в итоге образуется двух- или четырехканальная фонограмма.

О с н о в а — слой носителя записи, предназначенный для придания ему механической прочности.

Р а б о ч и й с л о й — слой носителя записи, предназначенный для сохранения в нем сигналов информации. В магнитных лентах это застывший магнитный лак, содержащий микроскопические частицы гамма-оксида железа или двуокиси хрома.

М а г н и т н а я г о л о в к а — миниатюрный электромагнит, взаимодействующий на очень небольшом участке с магнитной лентой или фонограммой и осуществляющий процессы записи, воспроизведения, стирания. Соответствующие названия присваиваются головке. Головку, которую можно использовать для разных процессов, например и для записи, и для воспроизведения, называют *универсальной*.

Б л о к м а г н и т н ы х г о л о в о к — конструктивно неразъемное объединение двух или более магнитных головок, каждая из которых предназначена для отдельной дорожки записи (например, в стереофоническом магнитофоне); количество дорожек указывают в названии, например «Д в у х д о р о ж е ч н ы й б л о к у н и в е р с а л ь н ы х м а г н и т н ы х г о л о в о к».

М а г н и т о ф о н — устройство для записи звука и его воспроизведения (реже только для воспроизведения), действие которого основано на магнитной системе записи. В бытовых и любительских магнитофонах в качестве носителя записи применяют магнитную ленту, которая намагничивается при записи магнитной головкой; через обмотку головки проходит ток записываемых сигналов и вспомогательный ток с частотой 60—120 кГц, осуществляющий *подмагничивание* магнитной ленты. Подмагничивание необходимо для уменьшения нелинейных искажений записи, которые без него очень велики.

п-д о р о ж е ч н ы й м а г н и т о ф о н — магнитофон, в котором образуется при записи или используется при воспроизведении *п-д о р о ж е ч н а я* фонограмма.

П е р е н о с н ы й м а г н и т о ф о н — магнитофон, приспособленный к перевозкам пассажирским транспортом без принятия специальных мер для его сохранности.

Н о с и м ы й м а г н и т о ф о н — магнитофон, приспособленный к работе при переносках и при перевозках пассажирским транспортом.

К в т у ш е ч н ы й м а г н и т о ф о н — магнитофон с магнитной лентой, намотанной на катушки.

К а с с е т н ы й м а г н и т о ф о н — магнитофон с магнитной лентой, содержащейся в кассете.

Д и к т о ф о н — магнитофон для записи речи и ее диктовки при воспроизведении, с конечной целью записи информации от руки или на пишущей машинке.

Л е н т о п р о т я ж и й м е х а н и з м — механизм, приводящий в движение магнитную ленту в магнитофоне.

Р а б о ч и й х о д — режим работы лентопротяжного механизма, при котором происходит запись или воспроизведение.

П е р е м о т к а — режим работы лентопротяжного механизма, при котором движение ленты не сопровождается записью или воспроизведением. Скорость перемотки ленты обычно в несколько раз больше скорости рабочего хода. В механизмах с одним направлением рабочего хода различают *перемотку вперед*, если она совпадает с направлением рабочего хода, и *перемотку назад* в противоположном направлении.

В е д у щ и й у з е л — узел лентопротяжного механизма, приводящий ленту в движение во время рабочего хода. В состав ведущего узла входит *ведущий вал*, к которому лента прижимается обрезиненным *прижимным роликом*.

Подающий узел — узел лентопротяжного механизма, с которого лента поступает и магнитные головки во время рабочего хода. Кроме того применяют термины: *подающая катушка, подающий сердечник, подающий рулон ленты*.

Приемный узел — узел лентопротяжного механизма, на который поступает лента, прошедшая магнитные головки во время рабочего хода. Кроме того применяют термины: *приемная катушка, приемный сердечник, приемный рулон ленты*.

Подвигуши — узел лентопротяжного механизма, на который устанавливается и с которым сопрягается катушка с магнитной лентой.

Инерционный ролик — узел лентопротяжного механизма, приводимый во вращение магнитной лентой, имеющий требуемый момент инерции и предназначенный для уменьшения колебаний скорости ленты.

Лентоприжим — узел, прижимающий магнитную ленту к рабочей поверхности магнитной головки (в простейшем виде — плоская пружина с фетровой наклепкой).

Дрейф скорости — нежелательное изменение средней скорости ленты во время рабочего хода.

Коэффициент колебания скорости ленты — отношение величины колебания скорости к ее среднему значению.

Детонация — искажение звука, возникающее вследствие паразитной частотной модуляции с частотами, находящимися примерно в диапазоне 0,2—200 Гц; в магнитофоне детонация вызывается колебаниями скорости ленты.

Коэффициент детонации — коэффициент колебания скорости ленты, измеренный специальным прибором (*детонометром*), содержащим взвешивающий фильтр, который учитывает неодинаговую восприимчивость слуха и паразитной частотной модуляции с разной частотой.

Уровень записи — в магнитофонах — значение остаточного магнитного потока в рабочем слое ленты, отнесенное (условно) к одному метру ширины дорожки записи. Нормируется максимально допустимый уровень записи, который в катушечных магнитофонах, например, для нижних частот равен 250 нВб/м (эффективное значение). Для измерения уровня записи в магнитофоне имеется индикатор уровня записи, калибруемый по измерительной ленте.

Измерительная лента — фонограмма на магнитной ленте с нормированной записью измерительных сигналов, используемая для измерений и настройки магнитофонов.

Кавил записи магнитофона — усилитель записи (от точки подключения источника сигнала) к записывающей головке.

Квквл воспроизведения магнитофока — головка воспроизведения к усилителю воспроизведения.

Стандарты на магнитофоны

Катушечные магнитофоны. Любительские магнитофоны должны удовлетворять основным требованиям ГОСТ 12392-71 на бытовые катушечные стационарные, переносные и носимые магнитофоны для того, чтобы обеспечивать возможность обмена фонограммами. Кроме того, требования ГОСТ полезно учитывать при конструировании любительских магнитофонов, поскольку они определяют оптимальные сочетания качественных показателей и эксплуатационных свойств. К числу стандартизованных показателей относятся: номинальные скорости магнитной ленты при рабочем ходе 19,05; 9,53; 4,76; 2,38 см/с и связанные с ними требования к лентопротяжным механизмам (табл. 5-1); намотка ленты на катушки типа 1 (см. рис. 5-1) рабочим слоем внутрь рулона; расположение дорожек записи, показанное со стороны рабочего слоя на рис. 5-2 и 5-3. При двухдорожечной монофонической фонограмме (рис. 5-2) сначала производят запись дорожки 1; затем катушки с лентой переворачивают, меняют местами и записывают дорожку 2. В некоторых магнитофонах предусмотрены два направления рабочего хода ленты и соответственно два комп-

лекта магнитных головок; в их переход с одной дорожки на другую осуществляется без снятия катушек — переключением головок и изменением направления движения ленты.

Таблица 5-1

Параметры лентопротяжных механизмов бытовых магнитофонов

Параметры	Классы магнитофонов			
	I	II	III	IV
Допустимое отклонение средней скорости от номинальной, %:				
19,05 см/с	± 2	± 2	—	—
4,76 и 9,53 см/с	± 2	± 2	± 2	± 2
Коэффициент детонации в магнитофоне при питании от сети, %, не более:				
19,05 см/с	$\pm 0,1$	$\pm 0,2$	—	—
9,53 см/с	$\pm 0,2$	$\pm 0,3$	$\pm 0,3$	—
4,76 см/с	$\pm 0,3$	$\pm 0,4$	—	—
То же при питании от автономных источников и универсальном питании, %, не более:				
19,05 см/с	—	$\pm 0,3$	—	—
9,53 см/с	—	$\pm 0,4$	$\pm 0,4$	—
4,76 см/с	—	$\pm 0,5$	—	$\pm 0,6$
Максимальный номер катушки для магнитофона при питании от сети	18	15	15	—
То же при питании от автономных источников и универсальном питании	—	15	13	10
Длительность перемотки катушки ленты максимального размера при толщине ленты 37 мкм, с, не более:				
при питании от сети	180	225	225	—
при питании от автономных источников и универсальном питании	0,1 времени воспроизведения записи одной дорожки при наибольшей скорости рабочего хода ленты			

При стереофонической фонограмме обе дорожки записывают одновременно, дорожка 1 соответствует левому каналу, дорожка 2 — правому.

Четырехдорожечную фонограмму (рис. 5-3) используют главным образом в стереофонических магнитофонах. При движении ленты в одну сторону записывается одна пара дорожек (1 — левый канал, 3 — правый канал), при обратном движении другая пара (2 — правый канал, 4 — левый канал). В случае монофонической записи дорожки записываются в следующем порядке: 1—4—3—2.

Кроме того, ГОСТ 12392-71 определяет ряд других важных показателей и устанавливает классы качества. Стереофонические магнитофоны с сетевым питанием изготавливают классов I и II, а с универсальным питанием и питанием от автономных источников — класса II. Монофонические магнитофоны с любым питанием — классов II и III, а носимые магнитофоны (с универсальным питанием и питанием от автономных источников) классов III и IV.

Электрические качественные показатели бытовых магнитофонов различных классов приведены в табл. 4-1. В указанных в таблице пределах номинальных рабочих диапазонов частот АЧХ канала воспроизведения по измерительной

ленте и АЧХ канала записи-воспроизведения, определяемые на линейном выходе магнитофона, должны укладываться в поле допусков на рис. 5-4, где f_H и f_B — нижняя и верхняя граничные частоты рабочего диапазона (штриховая линия соответствует классу I).

В магнитофонах класса I обязательны дистанционный пуск и останов ленты, счетчик ленты, автостоп, выключающий лентопротяжный механизм при окончании или обрыве ленты,

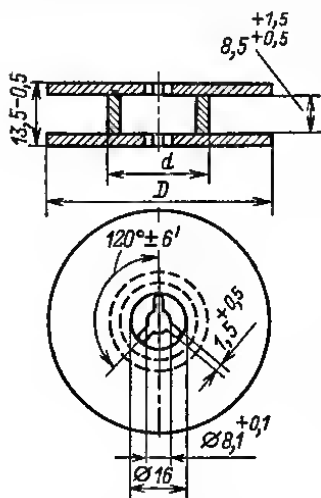


Рис. 5-1.

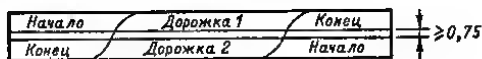


Рис. 5-2.

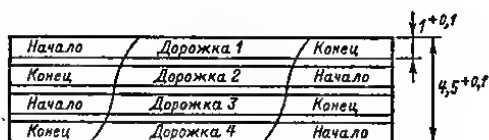


Рис. 5-3.

устройство для очистки ленты от пыли, спаренный регулятор усиления обоих каналов, действующий только при записи, спаренный регулятор усиления обоих каналов при воспроизведении, а также регулятор баланса усиления тех же каналов (стереобаланс), отдельные регуляторы тембра по НЧ и ВЧ, действующие только при прослушивании через громкоговоритель магнитофона.

Внешние электрические цепи НЧ должны подключаться к магнитофону с помощью штепсельных соединений по ГОСТ 12368-66, состоящих из 3 и 5-контактных вилок СШЗ и СШ5 и соответствующих им розеток СГЗ и СГ5.

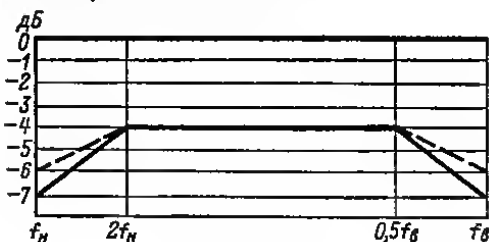


Рис. 5-4.



Рис. 5-5.

Около органов управления и штепсельных соединений магнитофона рекомендуется выполнять условные функциональные обозначения (символы и надписи), установленные ГОСТ 20837-75. Некоторые из них приведены на рис. 5-5.

Кассетные магнитофоны. Бытовые магнитофоны этого вида (ГОСТ 20838-75) изготавливают с одной обязательной номинальной скоростью рабочего хода

ленты 4,76 см/с, четырех классов, примерно соответствующих классам катушечных магнитофонов для скорости 9,5 см/с. Кассетные магнитофоны могут получать электропитание от сети переменного тока, от автономных источников, а также допускать универсальное питание. В кассетах копланарного типа (ГОСТ 20492—75), содержащих два сердечника для ленты, расположенные в одной плоскости (рис. 5-6), рабочим слоем наружу намотана магнитная лента шириной 3,81 мм *. В зависимости от общей толщины ленты (27 или 18 мкм) длительность рабочего хода в одном направлении может достигать соответственно 30 или 45 мин. Расположение дорожек записи на ленте показано со стороны рабочего слоя на рис. 5-7. Дорожки 1 и 2 используют одновременно при одном направлении движения ленты (сторона кассеты 1), дорожки 3 и 4 — для другого (сторона кассеты 2). При монофонической записи указанные пары дорожек

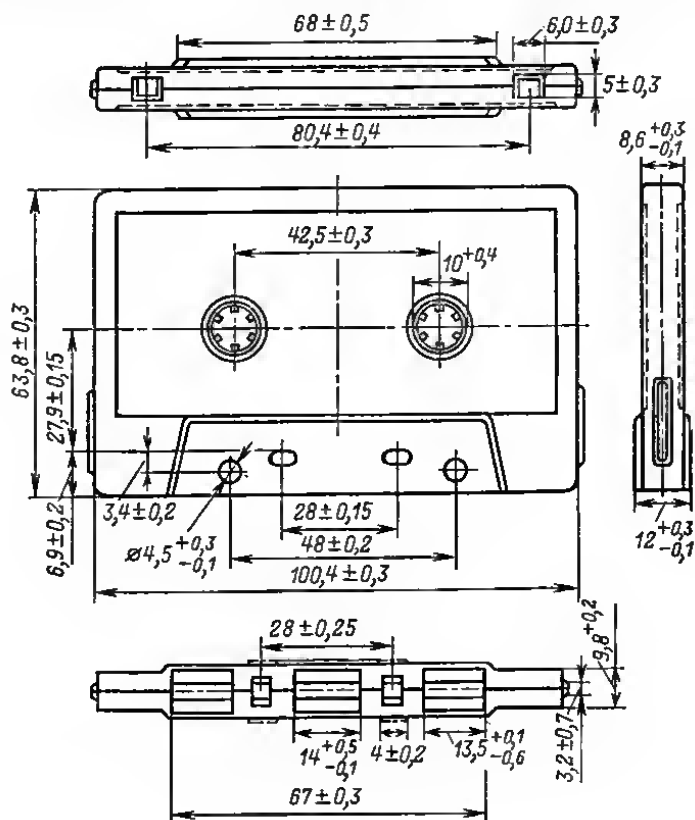


Рис. 5-6.

содержат одинаковые записи. При стереофонической записи дорожки 1 и 4 должны содержать запись, воспроизводимую через левый (глядя от слушателя) громкоговоритель.

* Кроме того, существуют кассеты с двумя соосными катушками, кассеты с бесконечным рулоном ленты, кассеты с петлей ленты.

Для лентопротяжных механизмов кассетных магнитофонов и их кассет нормированы, кроме того, следующие требования: 1) диаметр ведущего вала не должен превышать 3 мм; 2) давление лентоприжима на универсальную магнитную головку должно находиться в пределах $(5-15) \cdot 10^3$ Па; 3) кассета должна устанавливаться в магнитофоне только на посадочные поверхности; 4) момент трения полного рулона ленты в кассете не должен быть более $2,7 \cdot 10^{-3}$ Н·м.

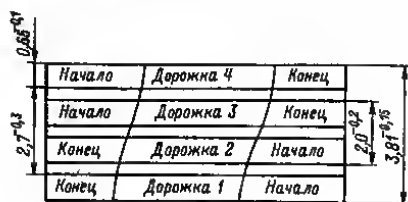


Рис. 5-7.

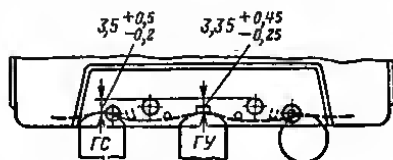


Рис. 5-8.

При тормозном моменте $0,8 \cdot 10^{-3}$ Н·м, приложенном к подающему сердечнику при минимальном диаметре намотанного на него рулона, момент, который надо приложить к полному рулону на приемном сердечнике, чтобы стронуть ленту с места, не должен превышать $5,5 \cdot 10^{-3}$ Н·м.

Магнитные головки устанавливают относительно кассеты, как это показано на рис. 5-8; направляющие для ленты располагают в местах по обеим сторонам выреза для головок.

Структурные схемы магнитофонов

Большинство бытовых и любительских магнитофонов имеет универсальный усилитель, т. е. усилитель, работающий и при записи, и при воспроизведении (рис. 5-9). При переходе от воспроизведения *В* и записи *З* производится необходимая коммутация на входе и выходе усилителя *УУ*, изменяется его АЧХ и включается высокочастотный генератор *Г*. Омонечный усилитель *ОУ* и громкоговоритель *Гр* позволяют осуществлять слуховой контроль при записи и последующее воспроизведение ее через громкоговоритель. Если микрофон во время записи расположен вблизи магнитофона, контроль через громкоговоритель невозможен, так как приводит к акустическому самовозбуждению. Тогда громкоговоритель выключают и контроль ведут на головные телефоны *Тф*.

Уровень записи измеряют индикатором *ИП*, включенным на выход универсального усилителя. К этому же выходу подключают универсальную магнитную головку. Благодаря такому включению показания индикатора не зависят от громкости слухового контроля, которая регулируется усилением омонечного усилителя. Выход универсального усилителя (так называемый линейный выход магнитофона) соединяют с внешним штепсельным соединением и используют для подключения другого магнитофона при перезаписи или внешнего громкоговорящего агрегата. Действующее значение напряжения на этом выходе должно достигать 0,25—0,5 В при сопротивлении нагрузки не менее 10 кОм.

Кроме показанного на рис. 5-9 микрофонного входа магнитофон должен иметь еще входы для подключения звукозаписывателя (или линейного выхода другого магнитофона), радиоприемника (телевизора) и трансляционной линии проводного вещания. Микрофонный вход должен иметь сопротивление не меньшее, чем номинальное сопротивление нагрузки применяемого микрофона, а напряжение на этом входе принимают равным напряжению, развиваемому микрофоном на нагрузке с номинальным сопротивлением при звуковом давлении 0,2 Па.

Входные напряжения и сопротивления для других входов равны соответственно: Звукосниматель 150—500 мВ, $R_{вх} \geq 400$ кОм; Радиоприемник 10—30 мВ, $R_{вх} \geq 25$ кОм; Трансляционная линия 10—30 В, $R_{вх} \geq 10$ кОм.

Другая, более совершенная структурная схема магнитофона (рис. 5-10) содержит отдельные усилители и отдельные магнитные головки записи и воспроизведения. В результате образуется сквозной канал, позволяющий непосредственно в процессе записи контролировать ее качество. В усилителе записи (УЗ) осуществляются частотные предискажения записываемых сигналов и мощность сигналов доводится до величин, достаточной для нормальной работы записывающей головки. В усилителе воспроизведения (УВ) производится предварительное усиление сигналов, вырабатываемых воспроизводящей головкой и их частотная коррекция. Выход УВ соединен с индикатором уровня записи (ИП) и линейным выходом магнитофона. Остальные составные элементы — те же что и в схеме на рис. 5-9. Иногда для более точной слуховой оценки качества записи в усилитель вводят переключатель, позволяющий соединять вход оконечного усилителя или с выходом УВ или с промежуточным выходом УЗ (до того места в его схеме, где осуществляются частотные предискажения). Это позволяет сравнивать звучание до записи и после записи.

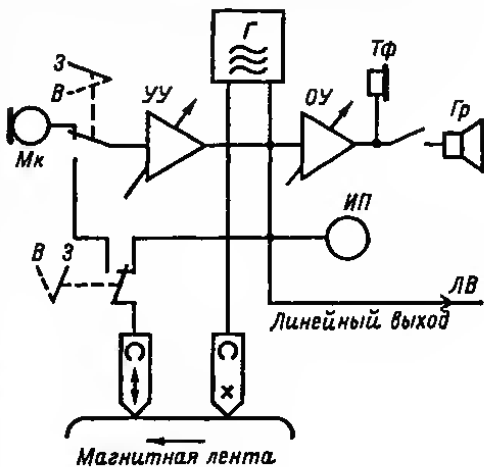


Рис. 5-9.

Структурная схема стереофонического магнитофона образуется из двух рассмотренных структурных схем монофонических магнитофонов; общий для обоих каналов записи высокочастотный генератор делают более мощным (2—3 Вт). При синфазных входных сигналах записи на дорожках должны быть также синфазными, что достигается применением двухдорожечного блока магнитных головок записи, у которых рабочие зазоры расположены вдоль общей прямой, образующей с направлением движения ленты угол $90^\circ \pm 5'$ (при двухдорожечных фонограммах) и $90^\circ \pm 8'$ (при четырехдорожечных). Аналогичный по конструкции и установке блок головок используется и для воспроизведения*.

Для получения правильной картины размещения источников звука в пространстве при воспроизведении стереофонической записи усиление должно регулироваться при записи и при воспроизведении одинаково и одновременно в обоих каналах. Так же регулируется и тембр при воспроизведении. Кроме того, необходимо предусмотреть стереобаланс. По тем же причинам в стереофоническом магнитофоне должны незначительно различаться между

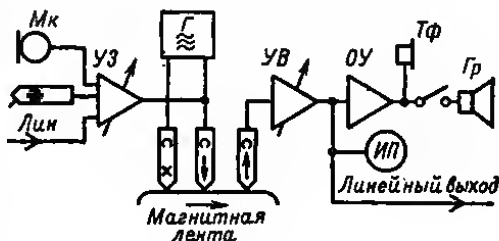


Рис. 5-10.

* Возможно также использование одного блока универсальных магнитных головок.

собой по всем видам потерь магнитные головки, входящие в разные стереоканалы. Выравнивание их показателей сильно различающимися частотными предискажениями и коррекцией недопустимо.

Запись с наложением. Так называют записи речевых пояснений на фоне ранее записанной музыки. Для такой записи головку стирания отключают и поэтому прежняя запись на ленте лишь частично стирается полем подмагничивания записывающей (универсальной) головки. Для записи с наложением в магнитофоне следует предусмотреть переключатель, отключающий головку стирания и заменяющий ее резистором. Сопротивление резистора подбирается так, чтобы ток (напряжение) подмагничивания при переключениях не изменялся.

Диктофоны

Диктофоны широкого применения изготавливают промышленностью в соответствии с требованиями ГОСТ 14907-69. От магнитофона диктофон отличается следующим:

1. В качестве носителя записи используются ленты шириной 6,25 и 3,81 мм (на катушках и в кассетах), а также *магнитные диски* диаметром 155 мм и *магнитные магнеты* шириной 88,9 мм, диаметром 97 мм. В случае магнитных лент применяют скорости 4,76, 2,38 см/с или скорости, изменяющиеся в широких пределах от начала к концу ленты, но по одному и тому же закону при записи и при воспроизведении.

2. Требования к качеству звукозаписи понижены, так как диктофон должен лишь разборчиво передавать речь при воспроизведении. Вполне достаточен частотный диапазон от 200—300 Гц до 3—5 кГц, коэффициент детонации до 4 %, относительный уровень шумов — 30 дБ, коэффициент гармоник до 10 %. Важным дополнительным требованием является разборчивость слогов; при доверительной вероятности 0,9 она должна составлять 60—80 %.

3. Для упрощения записи совещаний и конференций, когда выступающие могут находиться на разном расстоянии от микрофона, в диктофонах часто устанавливают АРУ для записи. Благодаря этому при изменении входного напряжения на 25 дБ уровень записи изменяется только на 6 дБ. Время срабатывания АРУ 5—200 мс, время восстановления — не менее 0,5 с.

4. Для упрощения записи речи, поступающей с большими паузами, например записи телефонных переговоров, распоряжений диспетчера и др., в диктофонах предусматривают автоматический пуск носителя после появления входного сигнала (длительность пуска не более 0,15 с) и автоматический останов через 2—6 с после прекращения сигнала.

5. При воспроизведении, во время буквенной перезаписи механизм диктофона работает в старт-стопном режиме, т. е. его рабочий ход включается на непродолжительное время, затем выключается; при необходимости повторения механизм реверсируется (производится так называемый *откат*), снова включается и т. д. Нормальная скорость носителя должна достигаться достаточно быстро ($< 0,35$ с), также быстро должен производиться останов ($< 0,1$ с). Подобный режим работы с числом включений до двух-трех в минуту требует особо прочной конструкции механизма.

6. Для облегчения буквенной перезаписи в диктофоне предусматривается дистанционное управление механизмом при воспроизведении с помощью кнопки педали или небольшого клавишного устройства, которое можно закрепить на пишущей машинке. Такое управление позволяет легко включить, выключить и повторить воспроизведение, не отвлекаясь от работы на машинке или от перезаписи вручную. В некоторых диктофонах после каждого останова носителя он автоматически передвигается в обратном направлении на небольшое расстояние. Благодаря этому воспроизведение начинается с повторения части предыдущей группы слов, что облегчает понимание речи. Иногда применяют *автоповтор*, при включении которого автоматически осуществляются откат и последующее включение воспроизведения.

5-2. ЭЛЕКТРИЧЕСКИЕ СХЕМЫ УЗЛОВ МАГНИТОФОНОВ

Усилители

Простейший универсальный усилитель для односкоростного носимого кассетного магнитофона (рис. 5-11) содержит каскады предварительного усиления на транзисторах T_1 и T_2 и каскады дополнительного усиления на транзисторах T_3 и T_4 . Связь между транзисторами T_1 — T_2 , а также T_3 — T_4 непосредственная. Переключатель рода работы B_1 изменяет режим усилителя в соответствии с выполняемой функцией (здесь и далее этот переключатель показан в режиме «Воспроизведение»). Группы B_{1a} — B_{1b} этого переключателя подключают ко входу усилителя либо универсальную магнитную головку ГУ, либо делитель входного напряжения. В режиме записи через группу B_{1b} к универсальной головке подводится ток записи и ток подмагничивания от генератора ВЧ.

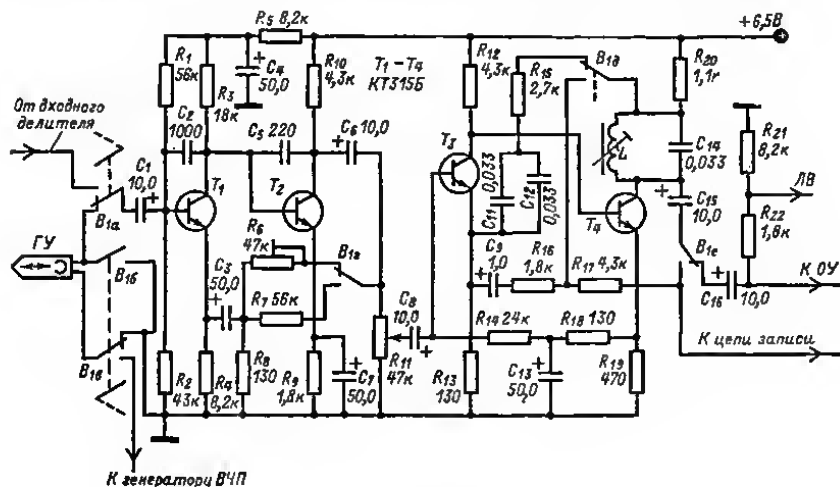


Рис. 5-11.

Каскады усилителя попарно охвачены отрицательной обратной связью. В предварительном усилителе таких связей две. Напряжение одной из них снимается с коллектора транзистора T_2 и через конденсатор C_5 подводится к его базе, благодаря чему ограничивается усиление верхних звуковых частот за пределами рабочего диапазона и тем самым уменьшаются характерные для магнитной записи звука помехи на верхних частотах. Напряжение другой обратной связи также снимается с коллектора транзистора T_2 и через группу B_{1b} подводится к эмиттеру транзистора T_1 . С помощью этой обратной связи устанавливается общий коэффициент усиления усилителя, причем в режиме воспроизведения подстроечным резистором R_6 устанавливают на линейном выходе напряжение 0,25—0,5 В. В дополнительном усилителе отрицательная обратная связь используется для коррекции АЧХ. Ее напряжение снимается с коллектора транзистора T_4 и через группу B_{1b} и цепочки $R_{15}C_9$ или $R_{15}C_{11}C_{13}$ подводится к эмиттеру транзистора T_3 , осуществляя тем самым подъем АЧХ в области нижних звуковых частот. Подъем АЧХ в области верхних звуковых частот происходит благодаря включению в цепь коллектора транзистора T_4 контура LC_{11} , настроенного на верхнюю граничную частоту рабочего диапазона частот. В режиме записи этот контур шунтируется резистором R_{17} , что приводит к некоторому уменьшению уси-

ления на верхних частотах. Указанные на схеме величины элементов коррекции АЧХ соответствуют постоянным времени $\tau_1 = 120$ и $\tau_2 = 1590$ мкс, стандартизованным для скорости ленты 4,76 см/с. В качестве регулятора уровня записи и громкости воспроизведения используется переменный резистор R_{11} .

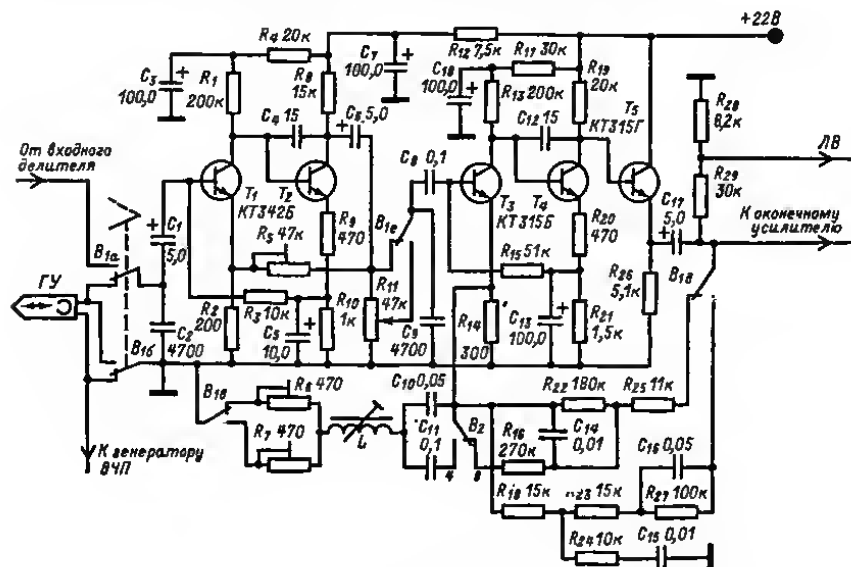


Рис. 5-12.

Усилитель для двухскоростного переносного или стационарного магнитофона с питанием от электросети переменного тока (рис. 5-12) отличается от магнитофона по схеме на рис. 5-11 наличием эмиттерного повторителя на транзисторе T_6 , обеспечивающего пониженное выходное сопротивление.

С помощью подстроечных резисторов R_6 и R_7 в зависимости от режима работы устанавливают требуемый подъем АЧХ в области верхних звуковых частот. Общий коэффициент усиления, устанавливаемый подстроечным резистором R_6 , одинаков для обоих режимов работы. Переключатель B_2 изменяет цепи частотной коррекции в зависимости от скорости движения ленты. Указанные на схеме параметры элементов рассчитаны на такие же постоянные времена, как и в усилителе по схеме на рис. 5-11 для скорости 4,76 см/с и на постоянные времена $\tau_1 = 90$ и $\tau_2 = 3180$ мкс для скорости 9,53 см/с. Переменный резистор R_{11} служит только для изменения уровня записи. Регулятор громкости воспроизведения в этом случае располагают на входе оконечного усилителя.

Усилитель по схеме рис. 5-13 рассчитан на использование в двухскоростном магнитофоне с питанием от сети переменного тока или батарей при скоростях магнитной ленты 19,05 и 9,53 см/с с постоянными времени коррекции $\tau_1 = 70$ и 140 мкс соответственно. Отличие от предыдущей схемы заключается в использовании в цепи коррекции двойного Т-образного моста для подъема АЧХ в области верхних звуковых частот. Подстроечные резисторы R_{33} и R_{34} предназначены для регулировки величины подъема АЧХ в режиме воспроизведения, а резисторы R_{35} и R_{36} — в режиме записи. Подстроечным резистором R_{14} устанавливают напряжение на линейном выходе ЛВ. Переменный резистор R_{17} служит регулятором уровня записи.

Рассмотренные усилители применяют как в монофонических, так и в стереофонических магнитофонах. В последнем случае необходимы два усилителя. Для магнитофона со сквозным каналом можно использовать те же схемы, оставив в них цепи коррекции для одного вида работы.

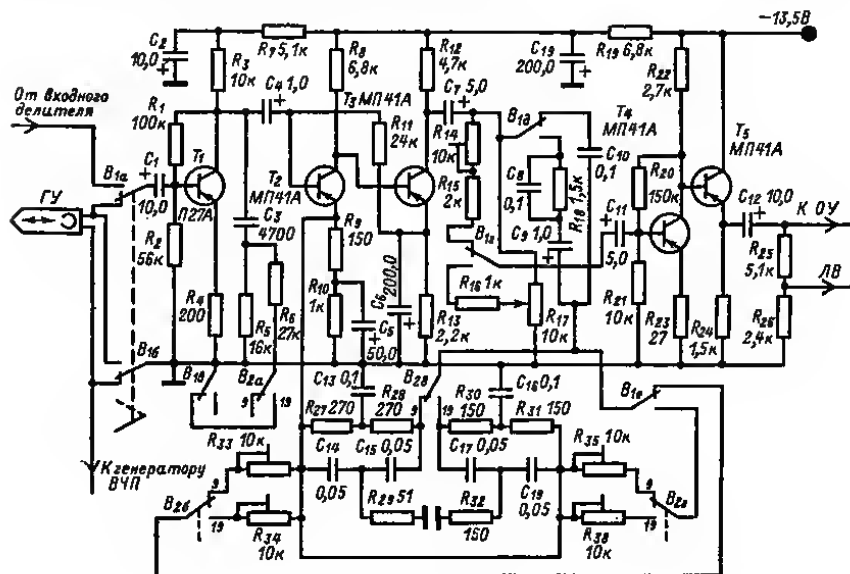


Рис. 5-13.

Усилители по приведенным схемам рассчитаны на работу с магнитными головками, индуктивность которых равна 30—100 мГ. Напряжение на линейном выходе (ЛВ) должно иметь значение 0,25—0,5 В, а напряжение, подводимое ко входу оконечного усилителя, 0,5—1,5 В.

Автоматическое регулирование уровня записи

В радиолюбительских условиях запись на магнитофон программ от РВ или ТВ приемника или с граммофонной пластинки довольно проста, так как достаточно установить уровень записи в моменты наиболее громкого звучания. Объясняется это тем, что звукорежиссер студии отрегулировал уровень и каких-либо неожиданностей возникнуть не может. Другое дело, когда приходится производить «живую» запись с микрофона. Во избежание непредвиденных изменений уровня сигнала в этом случае все время необходимо следить за показаниями индикаторов уровня записи и почти непрерывно регулировать уровень сигнала, подаваемого на запись. Но и при самом тщательном регулировании избежать кратковременных превышений максимального уровня записи не всегда удается. Можно, конечно, заранее уменьшить уровень записи, оставив резерв на непредвиденное увеличение входного сигнала, однако это приведет к уменьшению динамического диапазона записи из-за ухудшения соотношения сигнал/шум.

Чтобы облегчить запись программ с микрофона в магнитофонах и особенно в диктофонах используют автоматическое регулирование уровня записи (АРУЗ). Если в РВ и ТВ приемниках АРУ поддерживает определенное соотношение между

В схеме рис. 5-15) соответствует автоматическому диктофону конструкции радиолюбителя А. Румянцева) использовано обратное регулирование. Сигнал подается в цепь АРУЗ с выхода усилителя, выпрямляется диодами D_1 и D_2 , включенными по схеме удвоения напряжения, и поступает на конденсатор C_{11} зарядно-разрядной цепи. Напряжение регулирования с этого конденсатора через

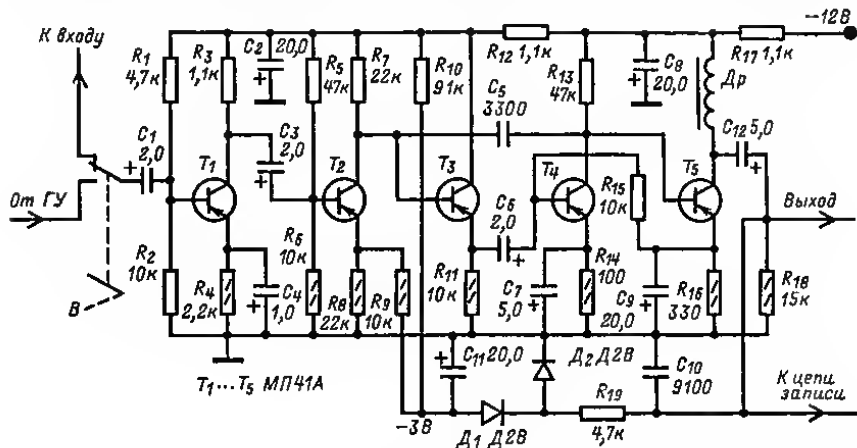


Рис. 5-15.

резистор R_9 подается в отрицательной полярности в цепь эмиттера транзистора T_2 . Увеличение сигнала на выходе усилителя приводит к уменьшению тока эмиттера транзистора T_2 и, как следствие, к уменьшению усиления. Отличительной особенностью этого усилителя является наличие напряжения противосмещения, которое снимается с делителя напряжения R_8, R_{10} и подается на детектор. Это напряжение определяет порог срабатывания АРУЗ. В данной схеме АРУЗ работает при напряжении входного сигнала от 0,2 до 2 мВ, т. е. обеспечивает регулирование усиления в 20 дБ.

Генераторы ВЧ тока подмагничивания и стирания

На рис. 5-16 показаны схемы двух транзисторных генераторов, выполненных по двухтактной схеме. Один из них (рис. 5-16, а) имеет индуктивную обратную связь, а другой — емкостную. Катушка для генератора по схеме рис. 5-16, а намотана на двухсекционном каркасе из изоляционного материала и помещена в чашки Б-22 из феррита марки М2000НМ. Обмотка I содержит 2×35 витков провода ПЭВ-2 0,2, обмотка II — 2×50 витков такого же провода диаметром 0,1 мм и обмотка III — 100 витков провода диаметром 0,2 мм. Обмотки I и II следует наматывать одновременно в два провода и размещать их попарно в различных секциях каркаса, а обмотку III нужно уложить равномерно в обе секции каркаса. При указанных на схеме величинах элементов частота генератора 70 кГц. Для генератора по схеме на рис. 5-16, б может быть использована та же катушка, но без обмотки I. При приведенных на схеме величинах элементов его частота 80 кГц. Оба генератора рассчитаны на работу с универсальной или записывающей магнитной головкой с индуктивностью 30—100 мГн и ферритовой стирающей головкой с индуктивностью 0,6—1 мГн и могут быть использованы в монофонических и стереофонических магнитофонах.

На рис. 5-17 приведена более простая схема генератора, предназначенная для упрощенного носимого магнитофона. В качестве катушки контура в ней исполь-

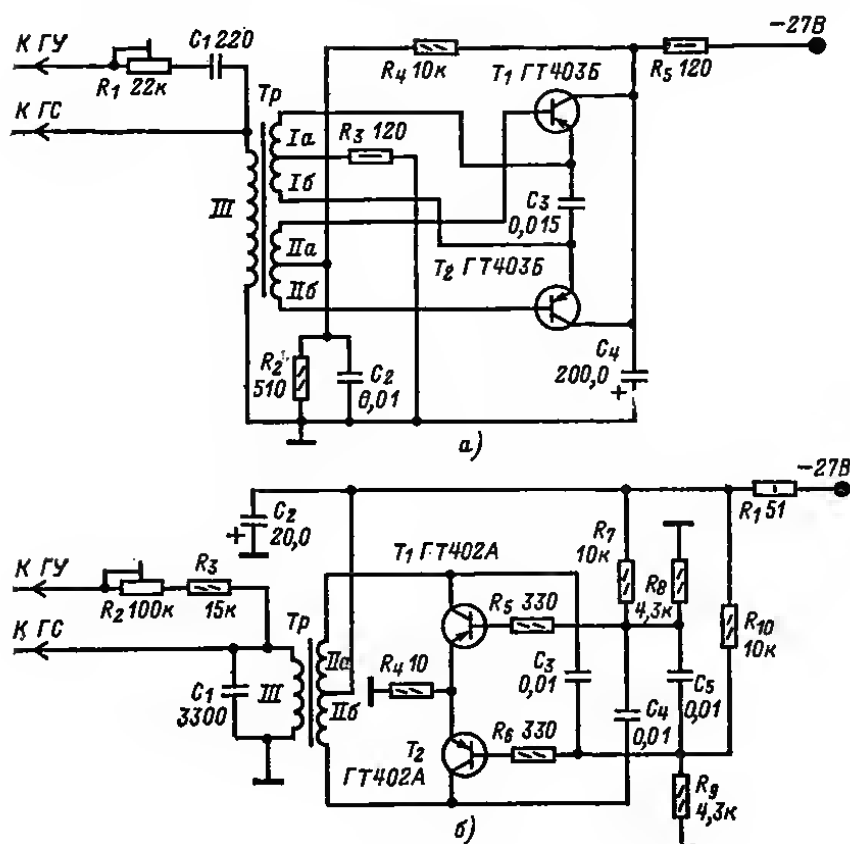


Рис. 5-16.

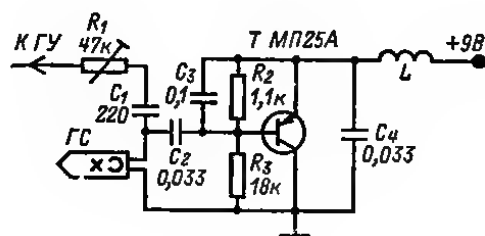


Рис. 5-17.

зуется обмотка стирающей магнитной головки. При указанных на схеме величинах элементов и индуктивности стирающей головки около 0,5 мГ частота генератора 50 кГц.

Во всех трех схемах генераторов ВЧ установка тока подмагничивания производится подстроечными резисторами.

Индикаторы уровня записи

В магнитофонах, построенных на транзисторах, используют, как правило, только стрелочные индикаторы уровня записи. Две наиболее простые схемы индикаторов уровня записи, в которых используется микроамперметр типа М476 или М4762, показаны на рис. 5-18. Первая из них (рис. 5-18, а) может быть применена в том случае, когда на выходе предварительного усилителя имеется эмиттерный повторитель. Если же эмиттерного повторителя нет, то для уменьшения влияния индикатора на ток записи между выходом усилителя и индикатором нужно включить каскад на транзисторе T_1 (рис. 5-18, б). В обоих инди-

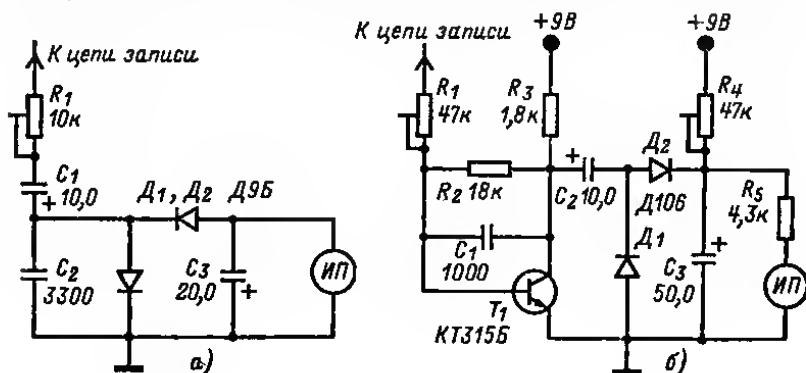


Рис. 5-18.

торах для увеличения их чувствительности использована цепь удвоения напряжения на диодах D_1 и D_2 . Установка показания индикатора, соответствующего максимальному уровню записи, производится подстроечным резистором R_1 . Время интеграции обоих индикаторов 150—350 мс, а время обратного хода, определяемое временем разрядки конденсатора C_3 , составляет 0,5—1,5 с. Индикатор по схеме на рис. 5-18, б позволяет также контролировать напряжение источника питания, подводимое в режиме воспроизведения и микроамперметру через подстроечный резистор R_4 .

Приведенные схемы индикаторов можно использовать как в монофонических, так и в стереофонических магнитофонах. В последнем случае возможно использование либо двух отдельных индикаторов для каждого канала в отдельности, либо одного совмещенного индикатора, который будет показывать наибольшее напряжение в одном из каналов.

5-3. ЛЕНТОПРЯЖНЫЕ МЕХАНИЗМЫ МАГНИТОФОНОВ

Общие сведения

Большинство бытовых и любительских магнитофонов имеет лентопротяжный механизм с одним двигателем и одним направлением рабочего хода ленты. Кинематическая схема такого механизма приведена на рис. 5-19. Здесь 1 — электродвигатель; 2 — маховик ведущего вала; 3 — ведущий вал; 4 — прижим-

ный ролик; 5 — фрикцион приемного узла; 6 — фрикцион подающего узла; 7 — обводной ролик (иногда инерционный ролик или просто обводная неподвижная стойка); 8 — универсальная и стирающая магнитные головки; 9, 10, 11 — пассики (бесконечные бесшовные ремни). Во время записи и воспроизведения ведущий узел продвигает магнитную ленту с постоянной скоростью, равной окружной скорости ведущего вала, к которому лента прижимается свободно вращающимся обрезиненным прижимным роликом. Ведущий вал вращается от двигателя через ременную передачу или с помощью промежуточного обрезиненного ролика. Для изменения скорости ленты изменяют коэффициент передачи. Массивный маховик на ведущем валу стабилизирует частоту его вращения и уменьшает детонацию звука. Во время рабочего хода лента разматывается с рулона на подающем узле, проходит по обводному ролику или стойке, по магнитным головкам, через ведущий узел и наматывается на рулон приемного узла.

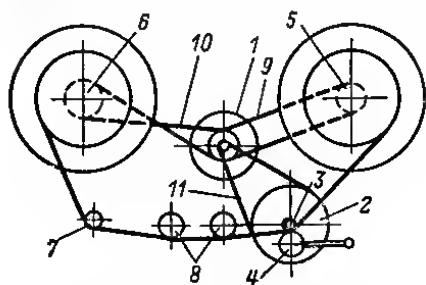


Рис. 5-19.

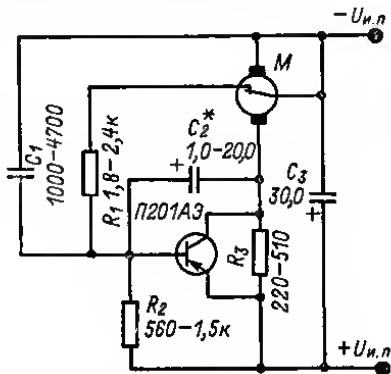


Рис. 5-20.

Так как частота вращения подающего и приемного узлов изменяется в зависимости от количества ленты в соответствующих рулонах, соединение двигателя с этими узлами производится через проскальзывающие фрикционы. Подающий узел через фрикцион стремится вращаться в сторону, противоположную движению ленты. Это создает натяжение ленты, необходимое для того, чтобы она плотно прилежала к магнитным головкам. В некоторых магнитофонах используют лентоприжим — узел механизма, прижимающий ленту непосредственно к рабочей поверхности универсальной магнитной головки, например в форме плоской пружины с наклеенным фетром. В таких магнитофонах можно не соединять во время рабочего хода подающий узел с двигателем.

При перемотке ленты в ту или другую сторону прижимной ролик отходит и не прижимает ленту к ведущему валу, а подающий (или приемный) узел ускоряет свое вращение. Для этого обе части соответствующего фрикциона жестко сцепляют между собой или включают дополнительную механическую связь с двигателем.

Чтобы при остановке движения ленты рулоны ленты не раскручивались по инерции, лента не запутывалась и не обрывалась, ее необходимо тормозить, особенно после перемотки. Тормозят ленту только со стороны того узла, с которого она до этого разматывалась. Для этого тормозную колодку прижимают к ведомому шкиву соответствующего узла.

Двигатели для лентопротяжных механизмов

При питании магнитофона от сети переменного тока в лентопротяжном механизме используют однофазные асинхронные двигатели с частотой вращения 1000—3000 об/мин и мощностью на валу от 0,6 Вт (при скорости 4,76 см/с и маг-

итной ленте в кассете) до 5 Вт (при скорости 19 см/с и магнитной ленте, намотанной на самую большую катушку). К числу таких двигателей относятся, например, двигатели типа АД-2 и АД-5 (127 В, 1400 об/мин, 5 Вт), ЭПУ (110 В, 2500 об/мин, 2 Вт), КД-2 и КД-3,5 (127 В, 1420 об/мин, 6 Вт), ЭДГ-1 и ЭДГ-4 (220 В, 2800 об/мин, 2 Вт), ЭДГ-2 и ЭДГ-2П (110 В, 2800 об/мин, 5 Вт), ДАП-1 (127/220 В, 2800 об/мин, 1 Вт).

При питании магнитофона от автономных источников и при универсальном питании применяют коллекторные двигатели постоянного тока с центробежным регулятором частоты вращения, включаемыми в управляющую транзисторную цепь (рис. 5-20). Мощность на валу от 0,2 до 1 Вт, частота вращения от 1500 до 2500 об/мин. К числу таких двигателей относятся, например, 1ДПРС (11—15 В, 1600 об/мин, 0,8 Вт), 3ДПРС (10—14 В, 1540 об/мин, 0,8 Вт), МД-0,35-2000-9 (6,6—9,6 В, 2000 об/мин, 0,35 Вт), ДКС9-2600 (6—9,2 В, 2450 об/мин, 0,2 Вт), 4ДКС-8 (13—16 В, 2000 об/мин, 0,8 Вт), ДКС-8М (10—12 В, 2000 об/мин, 0,6 Вт).

Типовые узлы лентопротяжных механизмов

В любительских магнитофонах целесообразно использовать типовые узлы, которые обычно применяются в промышленных конструкциях бытовых магнитофонов. На рис. 5-21 изображен приемный узел, на рис. 5-22 — подающий узел, на рис. 5-23 — обрезиненный прижимной ролик, на рис. 5-24 — промежуточ-

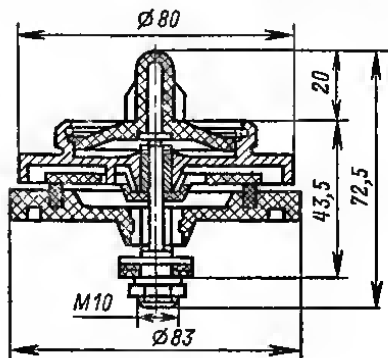


Рис. 5-21.

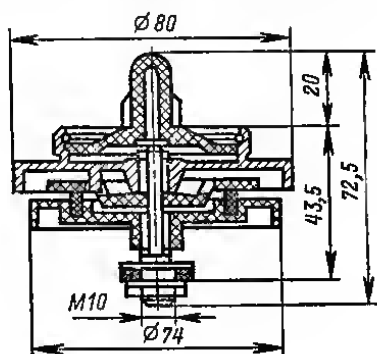


Рис. 5-22.

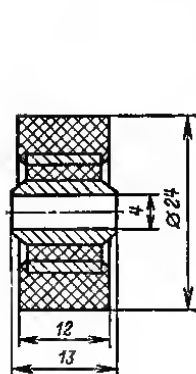


Рис. 5-23.

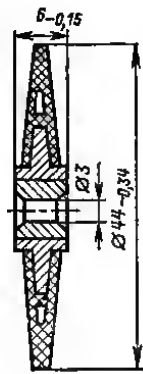


Рис. 5-24.

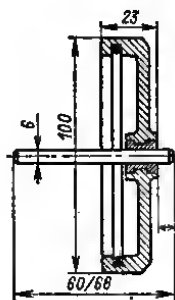


Рис. 5-25.

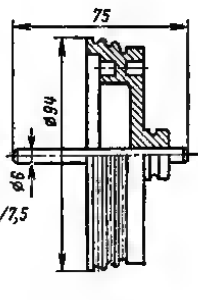


Рис. 5-26.

ный обрешиненный ролик, на рис. 5-25 — ведущий вал с маховиком (через дробную черту показаны размеры двух рекомендуемых вариантов). На рис. 5-26 изображен ведущий вал с маховиком, образующим одновременно трехступенчатый шкив, используемый для переключения скоростей рабочего хода ленты путем переборки пассниа.

В лентопротяжных механизмах рекомендуется применение круглых резиновых пассниов с внутренним диаметром 73 мм и диаметром сечения 4 мм и плоских резиновых пассниов с внутренним диаметром 108 мм и прямоугольным сечением $1 \times 4,2$ мм.

5-4. МАГНИТНАЯ ЛЕНТА

Общие сведения

В бытовых и любительских катушечных магнитофонах применяют ленту шириной $6,25 \pm 0,05$, а в профессиональных $3,81 \pm 0,15$ мм. Ленты имеют общую толщину 18^{-2} , 27^{-2} , 37^{-2} , 55^{-2} мкм при толщине основы (примерно) 12, 16, 27 и 38 мкм соответственно.

Обозначение отечественных магнитных лент состоит из ряда букв и цифр, например, лента, иногда выпускавшаяся под названием «Тип 6», теперь называется А2601-6Б. Буква «А» означает область применения — звукозапись. Первая цифра указывает на материал основы (2 — диалкилцеллюлоза, 3 — триалкилцеллюлоза, 4 — полиэтилентерефталат). Вторая цифра обозначает общую толщину ленты (2 — от 15 до 20; 3 — от 20 до 30; 4 — от 30 до 40; 6 — от 50 до 60 мкм). Третья и четвертая цифры — порядковый технологический номер разработки ленты. Цифра после трех означает целочисленное значение ширины ленты (6 или 3), а последняя буква — дополнительную характеристику назначения ленты, например Б — для бытовых магнитофонов, Р — для радиовещания.

Для современных магнитофонов рекомендуются более тонкие ленты общей толщиной 18^{-2} и 27^{-2} мкм на полиэтилентерефталатной основе (отечественное название материала — лавсан). Их рабочий слой содержит чаще всего частицы гамма-оксида железа ($\gamma = \text{Fe}_2\text{O}_3$); постепенно расширяется применение лент с частицами двуокиси хрома (CrO_2) и иобальтированными частицами гамма-оксида железа (так называемые высокоэнергетические ленты).

Качественные показатели магнитных лент

Физико-механические свойства ленты определяют ее механическую прочность (разрывное усилие, относительное удлинение под нагрузкой и др.), а также теплостойкость и влагостойкость. Прочнее всего ленты на полиэтилентерефталатной основе. При ширине 6,25 мм и толщине основы 16 мкм ее разрывное усилие равно 25 Н, а допустимая нагрузка при работе 4 Н. Прочность ацетатной основы примерно в 2 раза меньше. Лента не должна иметь коробления и сабельности, т. е. искривления по ширине и длине. Рабочий слой не должен осыпаться при трении о детали лентопротяжного механизма.

Электроакустические свойства определяют качество записи, которое можно получить на данной ленте в магнитофоне. Главные из них — чувствительность на средней частоте, АЧХ, нелинейные искажения, шум в паузе, относительный уровень ионизации. Все эти свойства определяются относительно отобранного образца ленты, называемого *типовой лентой*. Для реализации присущих ленте электроакустических свойств необходимо обеспечить в магнитофоне хороший контакт ленты с головками и оптимальное подмагничивание при записи, т. е. такое подмагничивание, при котором лента максимально намагничивается. Подмагничивание подбирают в процессе записи сигнала средней частоты (например 1 кГц).

Электроакустические свойства у разных лент очень различны. При прочих равных условиях у лент с более толстым рабочим слоем чувствительность больше, нелинейные искажения меньше, но зато хуже АЧХ (сильнее спад на верхних частотах). Чем тоньше основа, тем сильнее сказывается копирэффект, т. е. сильнее эхо-сигналы, возникающие при хранении фонограммы. Шум в паузе зависит от размеров частиц магнитного порошка и равномерности их распределения в рабочем слое ленты.

Ассортимент магнитных лент

Отечественная промышленность изготавливает для бытовых и любительских магнитофонов ленты следующих типов:

A2601-6 — общей толщиной 55 мкм для магнитофонов старых лет выпуска (прежнее название — тип 6);

A4402-6 — общей толщиной 37 мкм для катушечных магнитофонов (прежнее название — тип 10);

A4203-3 — общей толщиной 18 мкм, для кассетных магнитофонов.

Кроме того, в продаже бывают ленты шириной 6,25 мм производства ОРВО (ГДР): РС35-6 (37 мкм), РС25-6 (27 мкм) и РС18-6 (18 мкм). Две последние следует применять только в тех магнитофонах, где пятажные ленты, особенно при пуске, невелико (не превышает 4 и 3 Н соответственно).

Намотка магнитных лент

Магнитные ленты шириной 6,25 мм наматывают в бытовых и любительских магнитофонах на катушки из полистирола (см. рис. 5-1), изготовленные согласно ГОСТ 13275-67. Номер катушки приблизительно соответствует ее наружному диаметру в сантиметрах (см. табл. 5-2 и 5-3).

Таблица 5-2

Катушки для магнитной ленты

Номер катушки	Размеры (рис. 5-1), мм		Масса, г, не более	Номер катушки	Размеры (рис. 5-1), мм		Масса, г, не более
	D^*	d^{**}			D^*	d^{**}	
7,5	76	35	20	15	146	50	65
10	102	35	25	18	178	60	85
13	127	45	45				

* Допуск ± 2 мм.

** Допуск ± 1 мм.

Радиус рулона ленты r [см], обеспечивающего запись в течение времени t [с] при скорости v [см/с],

$$r \approx \sqrt{r_0^2 + tv \frac{q}{\pi}},$$

где r_0 — начальный радиус намотки рулона, см; q — общая толщина ленты, см. Магнитные ленты шириной 3,81 мм наматывают только в кассеты (рис. 5-6).

Таблица 5-3

**Длина магнитной ленты в рулоне
при нормальной плотности намотки на катушку**

Номер катушки	Общая толщина ленты, мкм				Номер катушки	Общая толщина ленты, мкм			
	18	27	37	55		18	27	37	55
	Длина ленты в рулоне, м. не менее					Длина ленты в рулоне, м. не менее			
7,5	150	100	75	50	15	750	500	375	250
10	300	200	150	100	18	1050	700	525	350
13	540	360	270	180					

Эксплуатация магнитных лент

Соединение магнитных лент. Соединение оборвавшихся лент, а также монтаж фонограмм можно производить путем *склеивания и сращивания*. Для склейки концы ленты надо аккуратно обрезать ножницами, одни из концов смазать клеем на участке 1 см вдоль ленты, сложить и на некоторое время сжать обе ленты пальцами. Состав клея для лент с основой из днацетицеллюлозы: уксусная кислота (23,5 см³), ацетон (63,5 см³), бутилацетат (13 см³). Магнитные ленты с основой из полиэтилентерефталата не склеиваются и их надо сращивать с помощью специальной липкой ленты. Узкая полоска такой ленты накладывается на

внутреннюю сторону соединенных стык магнитных лент. Надо следить, чтобы липкая лента была везде прикрыта магнитной лентой, иначе липкий слой может загрязнять головки магнитофона.

Чтобы в месте соединения не возникала импульсная помеха (щелчок), ножницы, которыми разрезают магнитную ленту, должны быть хорошо размагничены.

Для этого используют тот же электромагнит, которым размагничивают магнитные головки на рис. 5-27.

Ракорды. К началу и концу фонограммы приклеивают ракорд — цветную ленту, изготовленную из того же материала, что и основа магнитной ленты, но толще ее и прочнее. Ракорд предохраняет концы фонограммы от повреждения при зарядке в лентопротяжный механизм и при пуске, когда неизбежно возникают толчки. Кроме того, ракорд позволяет достичь номинальной скорости к началу фонограммы. На ракорде пишут или печатают название записи. Различные цвета ракордов (белый, желтый, зеленый, красный, синий) используют иногда для обозначения начала и конца фонограммы и для обозначения номинальной скорости.

Хранение магнитных лент. Магнитные ленты и фонограммы на катушках должны укладываться в полиэтиленовые мешки и храниться в картонных коробках, в вертикальном положении на полках, в помещении с температурой 10—20° С и относительной влажностью 60%. Для лент очень вредно продолжительное воздействие температуры выше 30° С, поэтому их нельзя хранить около отопительных приборов и держать на солнце. Во избежание коробления нельзя хранить ленту в сыром помещении. Фонограммы надо оберегать от действия магнитных полей трансформаторов, электродвигателей, микрофонов, громко-

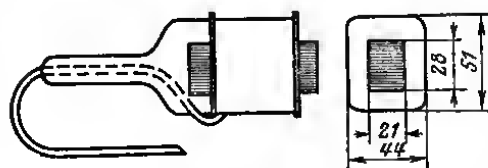


Рис. 5-27.

говорителей и других приборов во избежание повреждения (частичного стирания) записи и усиления копирэффекта. Копирэффект может также возрасти, если фонограмма хранится при повышенной температуре.

Рулон ленты, намотанный на катушку, не должен иметь ребристую боковую поверхность (допускаются выступы не более 0,5 мм), иначе возможны повреждения выступающих краев.

Магнитные ленты и фонограммы в кассетах надо хранить в специальных коробках, защищающих от пыли. Внешние условия хранения такие же, как для лент и фонограмм на катушках.

5-5. МАГНИТНЫЕ ГОЛОВКИ

Конструкции головок

Магнитная головка состоит из сердечника, обмотки и арматуры крепления. Сердечник изготавливают из тонких пластин пермаллоя или из феррита (последний применяют главным образом в стирающих головках); состоит он из двух половин (полусердечников) 1 (рис. 5-28), на которых расположена обмотка 4. С той стороны, где головка соприкасается с магнитной лентой, полусердечники разделены узкой немагнитной (бронзовой или слюдяной) прокладкой, образующей рабочий зазор 2. Ширина d , длина l и глубина t зазора являются важными параметрами головки. Чем меньше ширина d , тем лучше АЧХ записи и воспроизведения, но меньше чувствительность головки. Чувствительность можно повысить, уменьшая глубину t , однако при этом уменьшается срок службы головки. Длина l согласуется с размером дорожки записи фонограммы (рис. 5-2, 5-3, 5-7).

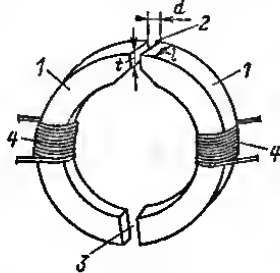


Рис. 5-28.

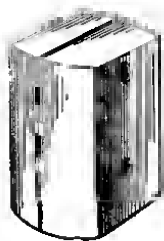


Рис. 5-29.

В записывающих и иногда в универсальных головках полусердечники, кроме того, разделены дополнительным зазором 3, предотвращающим остаточное намагничивание головки.

В стереофонических магнитофонах применяют блоки магнитных головок (рис. 5-29). Изготовление магнитных головок очень сложно, поэтому в любительских магнитофонах рекомендуется использовать головки от бытовых магнитофонов заводского изготовления.

В транзисторных магнитофонах применяют универсальные головки с индуктивностью до 100 мГ, в ламповых — с индуктивностью более 1 Г. Индуктивность стирающей головки для транзисторных магнитофонов 1 мГ, для ламповых — несколько миллигенр.

Эксплуатация магнитных головок

Положение магнитной головки необходимо отрегулировать по высоте, наклону рабочего зазора и его размещению в пределах угла огибания головки лентой (§ 5-6). Для обеспечения хорошего качества записи и воспроизведения на верхних частотах необходим, кроме того, плотный контакт магнитной ленты с головкой. Его достигают, подтормаживая подающий узел лентопотяжного механизма либо прижимая ленту к рабочей поверхности головки с помощью плоской пружины с наклеенным на нее фетром или с помощью эластичной ленты.

В первом случае контактное давление $p \approx P/p \cdot b$, где P — натяжение ленты около головки, Н; p — радиус рабочей поверхности головки, м (его можно измерить с помощью шаблона, вырезанного из плотного картона или тонкой пластмассы (рис. 5-30); b — ширина зоны соприкосновения магнитной ленты с головкой, м (часто этот размер равен ширине ленты).

Во втором случае $p = P/s$, где P — сила прижима ленты, Н; s — площадь контакта ленты с головкой, м²; ее можно определить по следу, оставляемому на головке движущейся лентой, если предварительно нанести на рабочую поверхность тонкий слой мела.

Средняя норма контактного давления $p = 8$ кПа.

Пример. Радиус закругления головки $p = 10$ мм; контакт с головкой осуществляется по всей ширине ленты, т. е. $b = 6,25$ мм; отсюда необходимое натяжение ленты

$$P = p \cdot b = 8000 \cdot 10 \cdot 10^{-3} \cdot 6,25 \cdot 10^{-3} = 0,5 \text{ Н (около 50 г)}.$$

Рабочая поверхность головки может загрязниться магнитным порошком, отделяющимся от движущейся ленты. Это резко ухудшает качество записи.

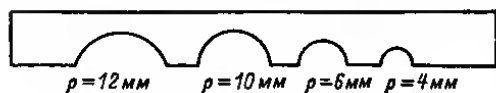


Рис. 5-30.

Чистку головки можно производить заточенной спицей и сукоикой, смоченной в спирте. *Применение металлических предметов недопустимо!* Одновременно чистят и весь тракт движения ленты, следя за тем, чтобы пыль,

магнитный порошок и небольшие кусочки ленты не попали на движущиеся детали лентопротяжного механизма.

Новые головки следует размагнитить. Размагничивание производят и при эксплуатации после случайного прикосновения к головке стальным инструментом (например, ножинцами, отверткой), а также в случае резкого увеличения шума при воспроизведении.

Для размагничивания применяют ручной электромагнит (рис. 5-27). Включив электромагнит в сеть, плавно подносят его к головке, так же плавно удаляют на расстояние 0,5 м и выключают. Размагничивание следует производить при выключенном магнитофоне. Если головка имеет съемный экран, то перед размагничиванием его надо снять.

Нельзя оставлять электромагнит включенным более 1,5—2 мин, так как он перегревается. Необходимо следить, чтобы в поле электромагнита не оказалась фонограмма.

Сердечник электромагнита собран из 60 пластин электротехнической стали толщиной 0,35 и длиной 70 мм. Обмотка содержит 1680 витков ПЭЛ 0,38 для напряжения сети 220 В или 970 витков ПЭЛ 0,47 для напряжения сети 127 В.

5-6. НАЛАЖИВАНИЕ МАГНИТОФОНОВ

Измерительные магнитные ленты

Согласно ГОСТ 19786-74 изготавливают измерительные магнитные ленты типа ЛИЛ для измерения и контроля параметров бытовых магнитофонов. Комплект измерительных лент состоит из четырех частей.

Часть «У» служит для настройки индикатора уровня магнитофона и содержит запись сигнала 400 Гц с максимальным уровнем записи.

Часть «Ч» содержит нормированную запись ряда частот звукового диапазона.

Часть «Н» представляет собой специальную двухдорожечную фонограмму для установки правильного наклона рабочего зазора магнитной головки.

Часть «Д» содержит запись сигнала 3150 Гц, выполненную с высокой стабильностью скорости; она предназначена для измерения коэффициента детонации.

Комплекты измерительных лент выпускают для скоростей 19,05; 9,05 и 4,76 см/с и, кроме того, раздельно для двух- и четырехдорожечных магнитофонов, а также для катушечных (ширина ленты 6,25 мм) и для кассетных магнитофонов (ширина ленты 3,81 мм). Все эти данные обозначены на коробке, в которую упакована измерительная лента.

Испытание лентопротяжного механизма

Зарядив лентопротяжный механизм полной катушкой хорошей ленты (не высохшей, не растянутой, не коробленной и желательно без склеек), проверяют ее движение при записи, воспроизведении и при ускоренных перемотках. Лента должна двигаться равномерно, без толчков; последние можно ощутить, прикоснувшись к ленте пальцем. Во время движения лента не должна перемещаться вверх и вниз более чем на 0,5 мм, считая расстояние от самого верхнего до самого нижнего положения. Для проверки следует вблизи от головок поместить за лентой кусок миллиметровой бумаги и наблюдать за движущейся на фоне этой бумаги лентой через лупу. Большое перемещение может быть вызвано неровной поверхностью прижимного ролика, плохой намоткой ленты на катушку, неправильной установкой направляющих.

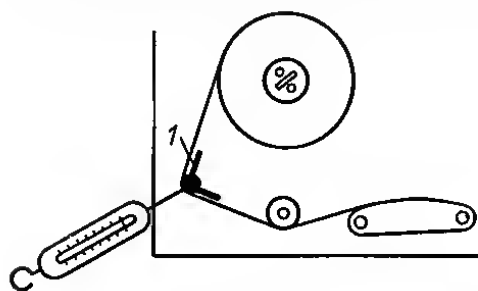


Рис. 5-31.

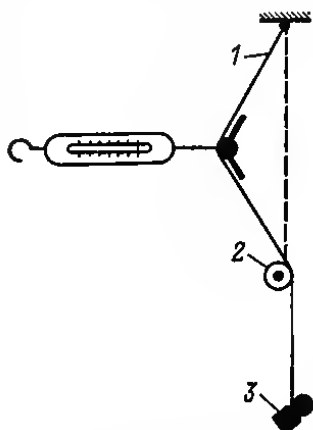


Рис. 5-32.

Края ленты не должны цепляться за борта катушек и подминаться на пути своего движения. Если прижим ленты к головкам осуществляется ее натяжением, то последнее должно быть не меньше расчетной величины, приведенной в § 5-5.

Измерение натяжения ленты. В первую очередь натяжение ленты надо проверить со стороны подающего узла в начале рабочего хода при полном рулоне на подающей катушке (когда оно минимально) и в конце (когда оно максимально) с помощью самодельного пружинного динамометра (рис. 5-31; цифрой 1 обозначены указатели правильного направления ленты). Динамометр следует предварительно отградуировать набором гирь. На рис. 5-32 показано, как это делается: здесь 1 — нить, 2 — вспомогательный обводный ролик, 3 — гиря. Отношение максимального натяжения к минимальному не должно превышать двух. Натяжение изменяют регулировкой фрикциона подающего узла. После этого проверяют натяжение ленты со стороны приемного узла; оно должно быть на 20—30% больше натяжения со стороны подающего узла во избежание образования петли при пуске ленты.

Если лента прижимается к универсальной головке лентоприжимом, то натяжение ленты со стороны подающего узла регулируют так, чтобы подача ленты

к головкам была равномерной (без толчков), а прижим ленты к головке стирания обеспечивал равномерное стирание по длине ленты.

Намотка ленты на катушку должна быть ровной, без уступов, лента должна плавно тормозиться при остановке. Слишком резкое торможение опасно, так как может растянуть ленту. Добившись хорошей работы лентопротяжного механизма, можно начать его испытание.

Измерение средней скорости ленты. Необходимо взять полную катушку размагниченной ленты и вклеить в нее два отрезка ленты длиной 1—2 см с какой-либо записью. Первый отрезок вклеивают на расстоянии 3—4 м от начала ленты, а второй — на расстоянии 22,86 м от первого. Расстояние между серединами отрезков надо измерить линейкой возможно точнее, не растягивая при этом ленту. Зарядив в магнитофон изготовленную таким путем контрольную ленту, включают его на воспроизведение и по секундомеру определяют интервал времени между звуковыми импульсами в момент прохождения вклеек около универсальной головки. При скорости ленты 19,05 см/с этот интервал должен быть 120 с, при скорости 9,53 см/с — 240 с и т. д. Отклонение от указанных значений позволяет определить отличие скорости от номинала. Например, если в магнитофоне с номинальной скоростью 19,05 см/с измеренный интервал времени оказался 130 с, то отклонение скорости

$$\frac{(120 - 130)}{120} \cdot 100\% = -8,3\%.$$

Вклейки с записью можно заменить вклеиками цветных рамок. В этом случае наблюдают моменты их прохождения около какой-либо детали механизма, например около направляющей стойки.

Среднюю скорость ленты нужно измерить для двух режимов работы механизма, соответствующих началу и концу записи. Для этого катушку с контрольной лентой первый раз устанавливают на подающий узел, а второй раз — на приемный узел, отмотав 30—35 м ленты на подающую катушку.

Причиной больших отклонений скорости могут быть проскальзывание в передаче от двигателя к ведущему узлу, чрезмерное натяжение ленты со стороны подающего узла (например, из-за неисправности тормоза), неисправность электродвигателя и плохой прижим ленты к ведущему валу из-за выработки резины на прижимном ролике.

Измерение коэффициента детонации. Для этого измерения необходимо иметь измерительную ленту (часть Д) и детонатор. Его включают на выход магнитофона. Если детонатора нет, то производят запись фортепьянной музыки (особенно подходят медленные чередования длительных вкрадков) и по качеству звукопроизведения судят о детонации. При плохо работающем лентопротяжном механизме звук «плывет» — рояль звучит как гавайская гитара.

Причиной повышенной детонации являются обычно бленки вращающихся деталей лентопротяжного механизма (особенно ведущего вала), выработка резиновых поверхностей роликов, дефекты пассивов, чрезмерно сильное натяжение ленты.

Испытание канала воспроизведения

Для испытания канала воспроизведения нужно размагнитить при помощи электромагнита (рис. 5-27) магнитные головки и стальные детали механизма, с которыми соприкасается магнитная лента.

Для испытания канала воспроизведения нужно иметь измерительную ленту, соответствующую скорости ленты (части «У» и «Ч»), ламповый вольтметр и осциллограф.

Проверка правильности установки универсальной (воспроизводящей) головки. Головка устанавливается по высоте в соответствии со стандартным расположением дорожек записи, а ее рабочий зазор должен находиться в середине

угла обхвата головки лентой и под углом 90° к направлению движения ленты. Правильное расположение рабочего зазора 2 магнитной головки 1 по отношению к магнитной ленте 3 показано на рис. 5-33. Выполнение первых двух требований определяют осмотром взаимоположения головки и ленты. Угол наклона магнитной головки 1 (рис. 5-34) регулируют винтом 4, изменяющим положение площадки 2, на которой крепится головка. Винт 5 является стопорным; 3 — панель магнитофона, 6 — стальной шарик.

Чтобы установить правильный наклон рабочего зазора воспроизводящей головки, воспроизводят двухдорожечную запись сигналов, содержащуюся в части «Н» измерительной ленты. Воспроизводится одновременно запись обеих дорожек. На них записан сигнал одной и той же частоты с периодически быстро чередующимся сдвигом фаз. На первом и третьем участках

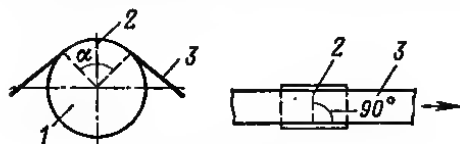


Рис. 5-33.

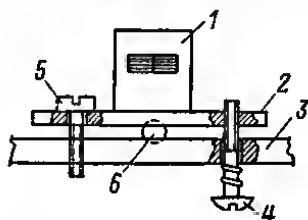


Рис. 5-34.

он равен $180^\circ + \varphi$ и $180^\circ - \varphi$ соответственно, на втором участке 180° . При правильном наклоне рабочего зазора головки выходное напряжение магнитофона при воспроизведении записи второго участка должно быть минимальным, а при воспроизведении записи первого и третьего участков — одинаковым. Наблюдение за выходным напряжением удобно вести по осциллографу.

Установку наклона рабочего зазора можно производить и без измерительной ленты, воспроизводя хорошую музыкальную запись, сделанную на магнитофоне с заведомо правильно установленной головкой. Изменяя во время воспроизведения наклон рабочего зазора, находят такое его положение, при котором лучше всего воспроизводятся высокие звуки. При этом регулятор тембра надо поставить в положение, соответствующее максимальному усилению на верхних частотах.

Проверка АЧХ канала воспроизведения по измерительной ленте (часть «Ч»). Отсчитывая показания лампового вольтметра на ряде частот, строят АЧХ канала, которая должна находиться в пределах поля допусков по ГОСТ 12392-71 (см. рис. 5-4).

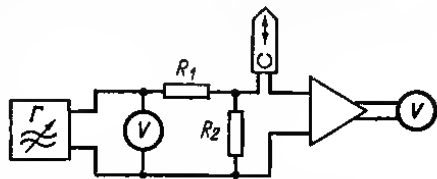


Рис. 5-35.

Если АЧХ канала воспроизведения неудовлетворительна, проверяют АЧХ усилителя в режиме воспроизведения. Для этого на его вход подают напряжение от звукового генератора через делитель R_1R_2 (рис. 5-35), размещаемый непосредственно у головки. Поддерживая напряжение постоянным, изменяют частоту генератора и для каждого ее значения определяют выходное напряжение усилителя. Напряжение генератора должно быть таким, чтобы в пределах всего рабочего диапазона частот напряжение на выходе усилителя не превышало значения, максимально допустимого для данного магнитофона. Характеристика усилителя с магнитной головкой среднего качества должна соответствовать указанию в табл. 5-4. Коррекцию АЧХ производят изменением параметров элементов схемы усилителя.

Причиной плохой АЧХ канала воспроизведения обычно является магнитная головка. Наиболее часты следующие ее дефекты: загрязненность рабочей

поверхности, непрямолинейность рабочего зазора (дефект изготовления), износ сердечника головки и расширение вследствие этого рабочего зазора.

Таблица 5-1

АЧХ усилителя воспроизведения (относительный уровень, дБ)

Скорость ленты, см/с	Частота, Гц									
	40	80	250	400	1000	4000	8000	10 000	12 500	16 000
19	20	14	4	0	-7,2	-14	-15	-15	-15	-15
9	16	12,5	4	0	-7	-12	-13	-11	-9	—
4,76	11,5	10	3,5	0	-6,2	-10	-6	-4	-2	—

При отсутствии измерительной ленты, когда нельзя проверить АЧХ канала воспроизведения, следует лишь установить правильную АЧХ усилителя при воспроизведении, а о качестве головки можно судить, сравнивая звучание хорошей музыкальной записи на испытуемом и на другом, заведомо исправном магнитофоне. Для правильного сравнения надо прослушивание в обоих случаях производить через один и тот же оконечный усилитель и громкоговоритель.

Испытание высокочастотного генератора

Включив магнитофон на запись, но без ленты, измеряют частоту и значение тока через головку стирания. Частоту измеряют с помощью осциллографа методом фигур Лиссажу; она должна соответствовать данным используемого генератора (обычно 40—80 кГц). Ток стирания измеряют ламповым вольтметром, подключенным параллельно резистору сопротивлением 10 Ом, включенному на время измерений последовательно с головкой стирания в заземленный провод. Ток рассчитывают по закону Ома. Подключив к упомянутому резистору осциллограф, проверяют симметричность кривой тона стирания (обычно это синусоидальный ток). Если ток стирания для данной головки мал, надо проверить транзистор (лампу) генератора, режим его работы и изменить емкость включенного последовательно с головкой конденсатора. Отсутствие колебаний или искажения их форма чаще всего бывают вследствие пробоя между витками катушки контура или неисправности транзистора (лампы). Проверив работу генератора, испытывают качество стирания записей. Для этого можно воспользоваться лентами с ненужными записями, сделанными с большим уровнем. Зарядив ленту в магнитофоне, включают его на 2—3 мин на запись при выведенном регуляторе усиления. Перемотав после этого ленту, прослушивают стертый участок при полностью введенном регуляторе громкости и определяют на слух качество стирания. Нормально старая запись должна слабо прослушиваться только в отдельных, наиболее громких местах.

Причинами плохого стирания могут быть недостаточный тон стирания, загрязнение головки стирания, плохой контакт ее с движущейся лентой, неправильная установка головки по высоте (сердечник головки не перерывает полностью дорожку записи), либо неисправность головки (чаще всего короткое замыкание части витков обмотки). Последнее можно обнаружить, измерив ее индуктивность.

Испытание канала записи-воспроизведения

Установка тона подмагничивания. На вход усилителя магнитофона подают от звукового генератора напряжение с частотой 1 кГц и регулятором усиления устанавливают уровень записи, при котором затемненный сенсор электронно-светового индикатора уровня лишь немного сузился. Производят подряд несоль-

ко записей при различных емкостях конденсатора (или сопротивлениях резистора), регулирующих ток подмагничивания, и запоминают эти положения. Потом, при воспроизведении, сравнивают записи между собой и определяют, для какой из них выходное напряжение усилителя воспроизведения получилось наибольшим. Соответствующее этой записи подмагничивание и устанавливают в магнитофоне.

В магнитофонах с двумя или тремя скоростями подмагничивание подбирается для большей скорости и для ленты того типа, на которую магнитофон рассчитан.

Настройка индикатора уровня записи. На вход магнитофона подают сигнал 400 Гц с напряжением $U_{вх1}$ и регулятором усиления устанавливают сходжение затемненного сектора лампы индикатора (или отклонение стрелки индикатора на условленный угол). Производят запись, перематывают ленту и воспроизводят запись, измеряя выходное напряжение $U_{вых1}$ при неизменном положении регулятора усиления. При том же его положении воспроизводят запись части «У» измерительной ленты и измеряют соответствующее ей выходное напряжение $U_{вых2}$. Если $U_{вых1} \approx U_{вых2}$, то индикатор уровня настроен правильно. Если же эти напряжения неодинаковы, то необходима регулировка потенциометра на входе индикатора либо подбор сопротивлений делителя напряжения, после чего входное напряжение магнитофона, вызывающее прежние показания индикатора, изменяется до значения

$$U_{вх2} = U_{вх1} U_{вых2} / U_{вых1}.$$

Измерение АЧХ канала запись-воспроизведение. На вход магнитофона подают постоян-

ное напряжение от звукового генератора, производят запись сигналов ряда частот звукового диапазона, воспроизводят эту запись и по результатам измерения выходного напряжения строят АЧХ. Если она неудовлетворительна, то надо проверить АЧХ усилителя при записи. При раздельных головках записи и воспроизведения обязательно регулировка наклона рабочего зазора головки записи (осуществляется при записи сигнала высокой частоты, путем ряда проб). Перед проверкой АЧХ отпаивают провод, по которому от генератора подается в головку ток подмагничивания. В заземленный провод, подходящий к головке, впивают резистор сопротивлением 100 Ом и параллельно ему подключают ламповый вольтметр. Показания вольтметра будут пропорциональны току записи. После этого магнитофон переключают в режим записи и снимают АЧХ (зависимость тока записи от частоты при постоянном входном напряжении). Она должна быть близка к приведенной на рис. 5-36. Причинами плохой АЧХ канала запись-воспроизведение помимо неудовлетворительной АЧХ усилителя при записи могут быть чрезмерно большой ток подмагничивания и дефекты рабочего зазора магнитной головки. В некоторых случаях универсальная головка может удовлетворительно работать при воспроизведении, но плохо при записи, и наоборот.

Испытание магнитофона заканчивается проведением пробных записей и прослушиванием их. Больше всего для этого подходят записи с хорошего проигрывателя грампластинок или с трансляционной сети. При прослушивании надо обратить внимание на степень заметности нелинейных искажений, фона

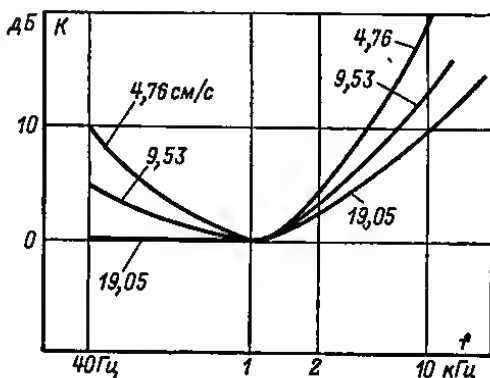


Рис. 5-36.

и шума. Причиной нелинейных искажений могут быть недостаточный ток подмагничивания, неправильная настройка индикатора уровня (из-за чего возникает перемодуляция) и искажения в усилителе. В последнем случае искажения слышны через громкоговоритель магнитофона уже во время записи.

Источником фона в записи бывает обычно фон усилителя из-за наводок от двигателя, трансформатора питания и пульсаций питающих напряжений. Повышенный шум в записи (шипение) свидетельствует о несимметричной форме тока подмагничивания либо об остаточной намагниченности универсальной головки.

5-7. МИКРОФОНЫ ДЛЯ ЛЮБИТЕЛЬСКОЙ ЗВУКОЗАПИСИ

Основные данные микрофонов приведены в табл. 5-5. Микрофон МД-47 применяют с ламповыми магнитофонами, остальные — с транзисторными, хотя и их можно подключать к ламповым магнитофонам через повышающие трансформаторы 1 : 30, 1 : 40. Одноразовленные микрофоны более удобны для записи в шумных помещениях и на улице.

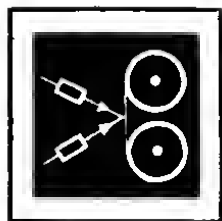
Таблица 5-5

Основные качественные показатели и конструктивные данные микрофонов

Тип микрофона	Номинальный диапазон частот, Гц	Неравномерность АЧХ, дБ	Чувствительность на частоте 1000 Гц при номинальной нагрузке, мВ/Па	Номинальное сопротивление нагрузки, Ом	Средняя разность чувствительности между фронтом и тылом, дБ	Вид характеристики направленности *	Габариты, мм	Масса с подставкой, г
МД-44	100—8000	12	0,63	250	10	ОН	33×50	200
МД-47	100—10 000	20	15	500 000	—	НН	94×71×32	260
МД-55	60—8000	12	1,25	250	—	НН	60×80	1650
МД-200	100—10 000	12	1,5	250	12	ОН	34×120	120
МД-64	100—12 000	10	1,0	250	12	ОН	33×115	200

* НН — ненаправленная круговая, ОН — односторонняя (направленная).

Нормальное расстояние от микрофона до источника звука 0,5 м. При меньшем расстоянии записанный звук будет казаться глухим, а при большем будет больше ощущаться объем помещения (сильнее реверберация). Для записи звука от многих источников (например, для записи небольшого музыкального ансамбля) ненаправленный микрофон можно подвешивать в центре на высоте 2—2,5 м от пола. При записи на открытом воздухе микрофон надо оберегать от прямого действия ветра. Для этого микрофон можно снабдить коротким рупором или козырьком из картона.



МАГНИТНАЯ ВИДЕОЗАПИСЬ

РАЗДЕЛ

6

СОДЕРЖАНИЕ

6-1. Общие сведения	359
6-2. Структурные и электрические схемы видеомagnetофонов	362
6-3. Лентопотяжные механизмы	376
6-4. Блок вращающихся головок	381
6-5. Магнитные ленты и головки	385
6-6. Порядок настройки видеомagnetофона	387
6-7. Совместная работа видеомagnetофона с телевизором	387

6-1. ОБЩИЕ СВЕДЕНИЯ

Терминология

Видеомagnetофон — устройство, предназначенное для магнитной видеозаписи и звукозаписи и (или) воспроизведения магнитной видеозаписи и звукозаписи.

Видеомagnetофон-приставка — видеомagnetофон, работающий только с телевизором.

Видеола — видеомagnetофон, встроенный в телевизор.

По назначению видеомagnetофоны разделяются на бытовые, предназначенные для массового потребителя; профессиональные, предназначенные для работы на телецентрах (студийные) или в установках для репортажа (репортажные); полупрофессиональные, предназначенные для работы в замкнутых телевизионных системах в научно-исследовательских лабораториях, учебных, медицинских и других учреждениях.

По способам заправки и хранения ленты видеомagnetофоны разделяются на катушечные, в которых используется лента, намотанная на катушки; кассетные, в которых используется магнитная лента в кассете.

Видеофонограмма — сигналограмма на магнитной ленте, совмещающая в себе видеogramму (запись сигналов изображения) и фонограмму (запись звукового сопровождения).

Строка записи — часть дорожки записи, длина которой ограничена размерами носителя или конструктивными особенностями устройства записи.

Строчная запись — запись, при которой дорожка записи разделена на строки записи. Продольно-строчная, наклонно-строчная и поперечно-строчная запись различаются по расположению строк записи видеogramмы относительно направления движения носителя.

Взаимозаменяемость видеозвукозаписей — свойство видеофонограмм и видеоманитофонов, заключающееся в том, что видеозвукозапись, выполненную на одном видеоманитофоне, можно воспроизводить на другом, в котором используется тот же способ записи.

Стоп-кадр — режим работы видеоманитофона, при котором многократно воспроизводится один кадр записанного изображения.

Выпадение сигнала — кратковременный перерыв или недопустимое уменьшение уровня воспроизводимого сигнала, обусловленное дефектами носителя записи или особенностями работы устройства записи и (или) воспроизведения.

Диск головок — вращающийся диск с магнитными головками (одной, двумя или четырьмя), используемыми для видеозаписи и (или) ее воспроизведения (вместо диска иногда применяют коромысло).

Видеоканал — канал записи-воспроизведения ТВ сигнала изображения.

ЧМ канал — канал записи-воспроизведения ЧМ сигнала, в который преобразован записываемый видеосигнал.

САРСЛ — система автоматического регулирования средней скорости движения магнитной ленты в видеоманитофоне.

САР-СД — система автоматического регулирования положения и частоты вращения диска головок в видеоманитофоне.

Система обработки — устройство, предназначенное для регенерации искаженной или «зашумленной» части воспроизводимого ТВ сигнала.

Временные искажения — различные временных масштабов сигналов при записи и воспроизведении, возникающее вследствие отличия скоростей записи и воспроизведения или деформации носителя.

Компенсатор временных искажений — электронное устройство, уменьшающее временные искажения, возникающие в видеоманитофоне.

Термины, относящиеся к магнитным головкам и магнитным лентам, см. § 5-1.

Параметры видеоманитофонов

Параметры любительских конструкций, предназначенных для записи и воспроизведения черно-белого и цветного изображения на магнитную ленту шириной 12,7 мм, как и параметры, рекомендуемые для видеоманитофонов промышленного производства, должны быть следующими:

Число вращающихся головок	2
Диаметр барабана, мм	$105 \pm 0,022$
Номинальная частота вращения барабана, об/мин	1500
Номинальная скорость ленты v_d , см/с	14,29
Допускаемые отклонения v_d :	
при записи черно-белого изображения, %	± 2
при записи цветного изображения, %	$\pm 0,3$
Частота ЧМ сигнала:	
на уровне синхронимпульсов, МГц	$3,0 \pm 0,15$
на уровне белого, МГц	$4,4 \pm 0,15$
на уровне ограничения по пикам белого, МГц	$4,8 \pm 0,15$
Поднесущая частота при записи цветного изображения:	
красная строка, МГц	0,594
синяя строка, МГц	0,750

Уровень тока записи относительно значения тока записи сигнала яркости (в цветном видеомэгнитофоне) — $(22,0 \pm 0,5)$ дБ.

Размеры элементов видеофонограммы на магнитной ленте шириной 12,7 мм показаны на рис. 6-1, а и на ленте шириной 25,4 мм — на рис. 6-1, б. В послед-

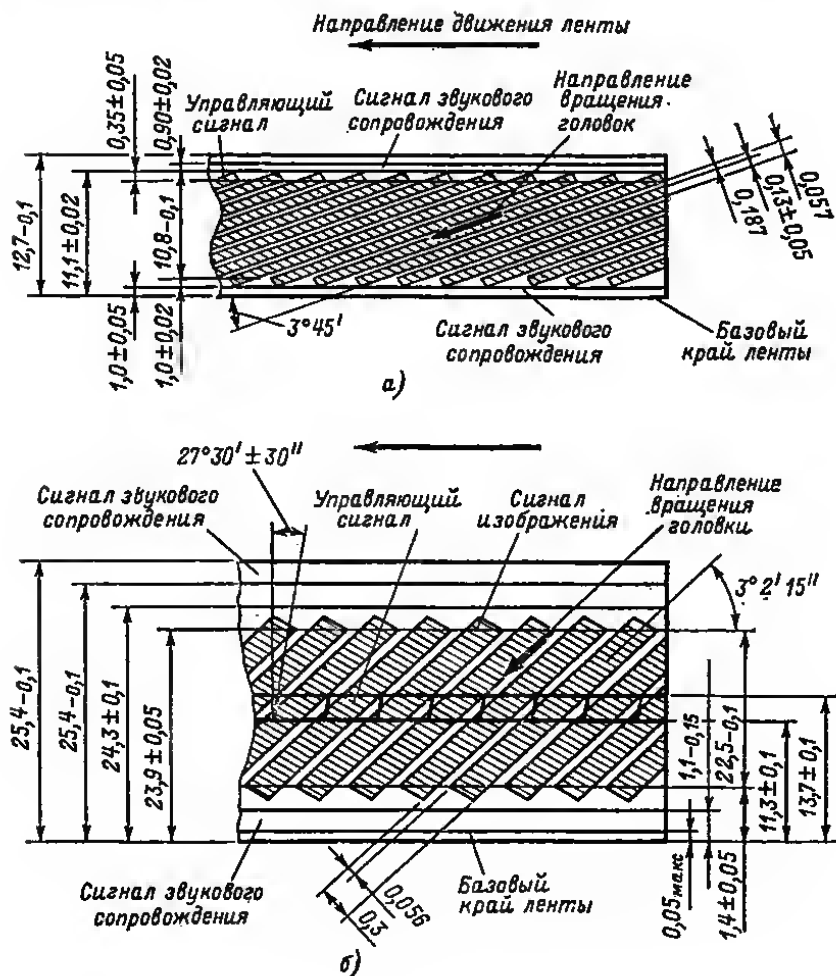


Рис. 6-1.

нем случае запись сигнала изображения осуществляется одной головкой, вращающейся с частотой 3000 об/мин, диаметр барабана 135_{-0.022} мм, номинальная скорость ленты 24,053 см/с.

Скорость записи сигналов звукового сопровождения во всех случаях равна скорости ленты.

Процесс магнитной видеозаписи более сложен, чем процесс звукозаписи. Это связано с тем, что верхняя частота видеосигнала достигает 6 МГц, а рабочая полоса частот занимает 18 октав. Кроме того, при воспроизведении необходимо иметь отношение сигнал/шум не ниже 40 дБ и сохранить временные соотношения в сигнале, иначе возникнут геометрические искажения изображе-

ния элементов сигнала становятся менее заметными, элентронным путем снижают временные искажения, регулируют размах и улучшают форму импульсной части полного ТВ сигнала.

В телевизионном вещании используют видеомagniтофоны с четырьмя вращающимися головками, записывающими строки попеременно магнитной ленты шириной 50,8 мм. Для бытовой видеозаписи обычно применяют ленту шириной 12,7 мм и записывают на нее сигнал изображения двумя вращающимися головками, наносящими на ленту строки под острым углом и направлению движения ленты. Существуют также видеомagniтофоны, записывающие изображение на ленте шириной 6,25 мм двумя или даже одной вращающейся магнитной головкой. Хотя одоголовочные видеомagniтофоны в принципе обеспечивают более высокое качество записи, чем двухголовочные, последние предпочитают для бытовых целей.

Упрощенная структурная схема бытового видеомagniтофона для записи черно-белых ТВ сигналов приведена на рис. 6-2.

Записываемый ТВ сигнал проходит через устройство автоматической регулировки уровня 1, фиксируется по уровню «черного», и через цепь высокочастотных преобразований поступает на модулятор 2. Полученный на его выходе ЧМ сигнал усиливается усилителями записи 3 (применение отдельных усилителей для каждой из головок в отдельности позволяет индивидуально подбирать оптимальные токи записи) и через контакты P_1 , P_2 реле переключения рода работы и токоисеминии PK_1 , PK_2 блока вращающихся головок подается на головки MG_2 и MG_3 . Вместе с тем ТВ сигнал поступает в опорный селектор 12, где из него выделяются надровые синхронимпульсы. Последние усиливаются усилителем записи сигнала управления 11 и записываются на ленту головкой MG_4 . Сигнал звукового сопровождения подается на универсальный усилитель 14 и записывается головкой MG_5 , в которую поступает тон высокочастотного подмагничивания от генератора 13. Ранее сделанная запись стирается головкой MG_1 , питаемой от того же генератора.

При воспроизведении ЧМ сигнал от головки проходит через контакты реле P_1 и P_2 усиливается и ориентруется усилителями 4 и поступает в электронный переключатель 5, который объединяет оба сигнала путем поочередного подключения усилителя, на выходе которого имеется воспроизводимый сигнал.

Суммарный ЧМ сигнал через ограничитель 6 подается на демодулятор 7. На выходе демодулятора образуется видеосигнал, который может быть подан через адаптер на телевизор.

Сигнал звукового сопровождения воспроизводится головкой MG_5 , усиливается и корректируется усилителем 14 и через адаптер поступает на вход канала звукового сопровождения телевизора (либо непосредственно на громкоговоритель).

Во всех режимах работы двигателя лентопротяжного механизма питаются от сети и имеют постоянную частоту вращения.

Системы автоматического регулирования бытовых видеомagniтофонов

В простейших бытовых видеомagniтофонах скорость движения магнитной ленты не регулируется, а частота вращения диска стабилизируется управляющим сигналом, воспроизводимым головкой MG_4 и усиленным усилителем 11. Частота вращения диска БВГ с головками MG_2 и MG_3 и их положение по отношению к ленте должны быть строго определенными как при записи, так и при воспроизведении. Для обеспечения этого служит система автоматического регулирования частоты вращения диска (типа САР-СД) 10, в которую также входит тахогенератор (рис. 6-3, а) и электромагнитный тормоз Эм.

Регулирование частоты вращения диска БВГ с помощью магнитного тормоза осуществляется следующим образом. Диск БВГ вращается через

резиновый пассив синхронным двигателем 8, питаемым от сети. При подаче в обмотку магнитного тормоза управляющего тона частот вращения пассива уменьшается из-за возникающего торможения и проскальзывания пассива. Выбором соотношения диаметров шкивов частот вращения диска БВГ в отсутствие тона в магнитном тормозе устанавливается на 1—2% выше номинальной; это дает возможность регулировать частоту вращения в обе стороны от ее номинального значения.

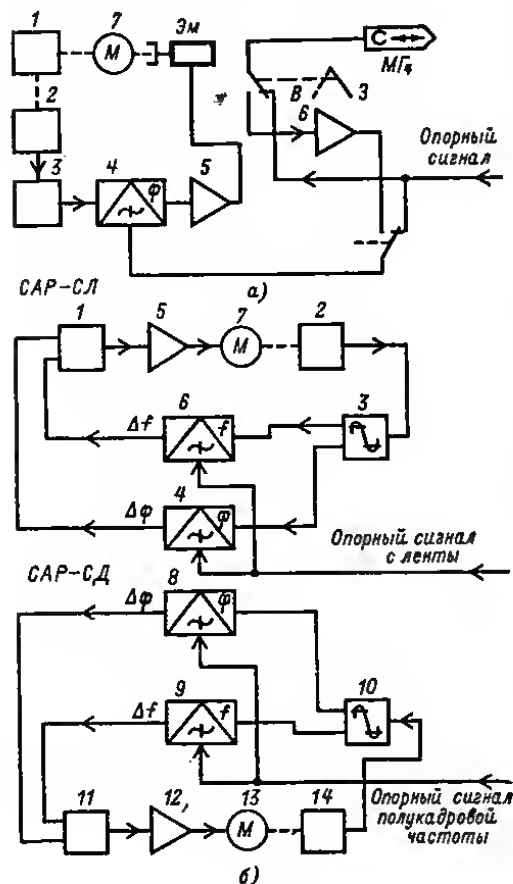


Рис. 6-3

Применяемая в магнитофоне САР по структурной схеме, приведенной на рис. 6-3, б, обеспечивает большую точность поддержания частоты вращения диска БВГ. Здесь ведущий 7 и скоростной 13 двигателя питаются от усилителей мощности 5 и 12. Блоки головки и ведущий вал непосредственно соединены с роторами двигателей. Двигатели имеют тахогенераторы 2 и 14, сигналы от которых формируются ограничителями 3 и 10 и подстраиваются под опорную частоту по частоте и фазе с помощью частотных 6, 9 и фазовых 4, 8 дискриминаторов. Перед подачей на усилители сигналы ошибки суммируются сумматорами 1 и 11.

Структурная схема простейшей САР-СД с магнитным тормозом изображена на рис. 6-3, а. Опорный сигнал (обычно полуквадровые импульсы, выделяемые из записываемого видеосигнала) подается на фазовый дискриминатор 4 и записывается на ленту головкой управления $МГ_4$. В фазовом дискриминаторе с опорным сигналом сравниваются импульсы тахогенератора 2, предварительно сформированные формирователем 3. Сигнал ошибки с фазового дискриминатора усиливается УИП 5 и подается в электромагнитный тормоз ЭМ. При воспроизведении записанные импульсы воспроизводятся головкой $МГ_4$, усиливаются усилителем воспроизведения 6 и подаются на вход фазового дискриминатора 4 вместо опорного сигнала. Таким образом, на диск с вращающейся головкой 1, тормозом и тахогенератором вводятся на ось двигателя 7, положение головки фиксируется в пространстве. Это обеспечивает совпадение траектории движения воспроизводящих головок с записанными магнитными дорожками.

Запись цветного телевизионного сигнала в бытовых видеомагнитофонах

Запись цветного телевизионного сигнала системы «Секам» в бытовых видеомагнитофонах производится способом переноса сигналов цветности в ЧМ канал (ПЧМ). Способ этот состоит в следующем. Сигналы цветности E'_D и яркости E'_Y

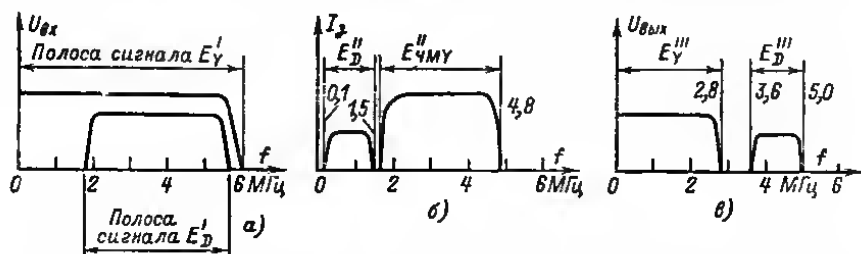


Рис. 6-4.

(рис. 6-4, а) * перед записью разделяют либо фильтрами, либо вычитанием из полного видеосигнала сигнала яркости, прошедшего через фильтр нижних частот с плавно спадающей АЧХ. При этом спектры сигналов сужаются.

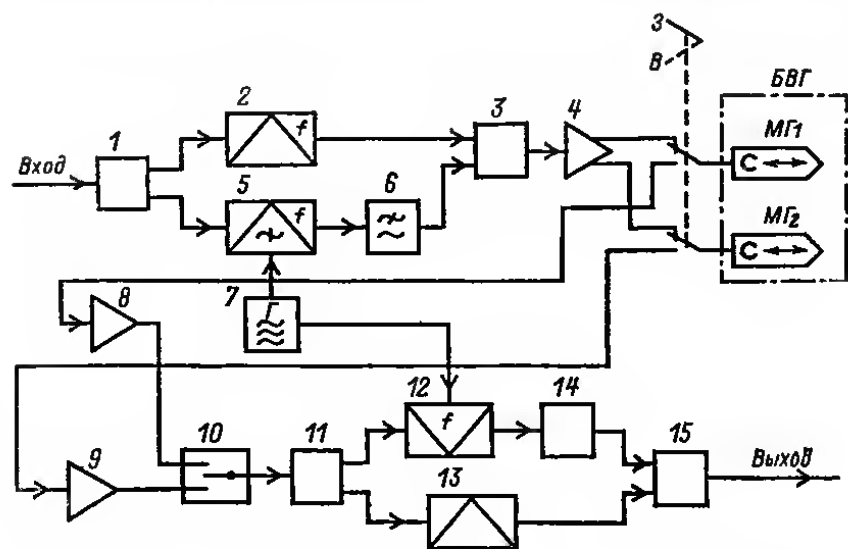


Рис. 6-5.

Затем сигнал E'_Y преобразуют в ЧМ сигнал ($E'_{ЧМ Y}$ на рис. 6-4, б), а сигнал цветности переносят в область нижних частот путем гетероднирования (E'_D). Сумму этих сигналов записывают на ленту.

* Полоса частот E'_D на рис. 6-4, а соответствует общей полосе частот сигналов $E'_R - Y$ и $E'_B - Y$.

При воспроизведении сигналы E_D'' и $E_{ЧМ\gamma}'$ разделяют по частоте, демодулируют ЧМ сигнал, получая сигнал яркости E_Y'' (рис. 6-4, в), а сигнал цветности переносят путем гетеродинирования в область верхних частот с таким расчетом, чтобы в полученном сигнале E_D'' частоты цветовых поднесущих имели такие же значения, как в исходном видеосигнале.

Структурная схема устройства, в которой осуществляется описанное преобразование, показана на рис. 6-5. Сигналы яркости и цветности выделяются разделителем 1. Сигнал яркости подается на частотный модулятор 2 и далее на сумматор 3. На смеситель 5 поступают сигнал цветности и напряжение от гете-

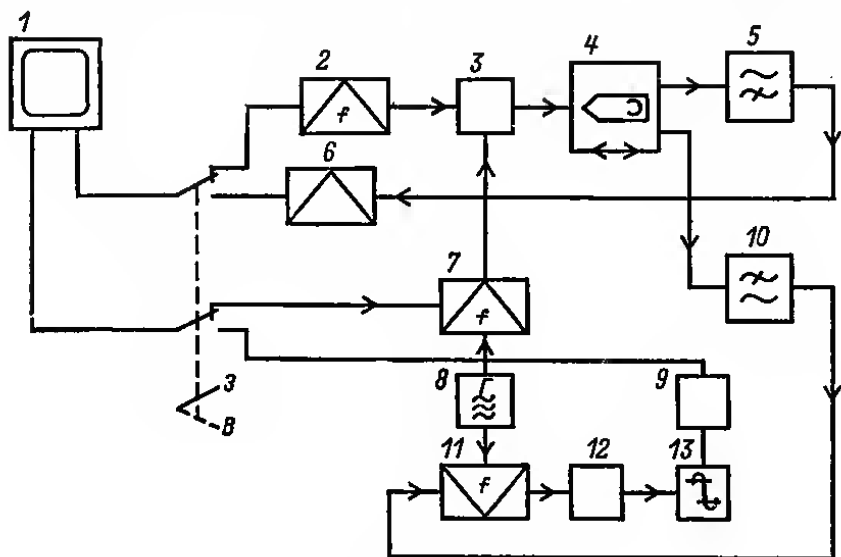


Рис. 6-6.

родина 7. Нижняя боковая полоса частот сигнала, полученного на выходе смесителя, выделяется фильтром нижних частот 6 и подается на сумматор 3. Полученный на его выходе сигнал усиливается усилителем 4 и записывается на ленте головками $МГ_1$ и $МГ_2$.

При воспроизведении сигналы от головок усиливаются усилителями 8, 9, объединяются в переключателе 10 и поступают на разделитель 11. Здесь сигнал E_D' выделяется фильтром нижних частот и поступает в смеситель 12, в котором смешивается с сигналом гетеродина 7 и переносится в область частот исходного сигнала цветности (сигнал E_D''). Нижняя боковая часть спектра воспроизводимого сигнала (сигнал $E_{ЧМ\gamma}'$) подается в ограничитель и демодулятор 13, где демодулируется. Полученный сигнал яркости E_Y' поступает в сумматор 15, в котором суммируется с сигналом E_D'' .

«Цветная» приставка к видеомагнитофону (рис. 6-6). С ее помощью на видеомагнитофон, предназначенный для записи сигналов черно-белого телевидения, записывают цветной телевизионный сигнал способом ПЧМ. Приставка работает аналогично предыдущему устройству. Здесь 1 — цветной телевизор; 2 — модулятор; 3 — смеситель; 4 — видеомагнитофон; 5 — фильтр верхних ча-

ловии $МГ_Y$, $МГ_{R-Y}$, $МГ_{B-Y}$, на которые подается подмагничивание от высокочастотного генератора (частота 6—8 МГц).

При воспроизведении сигналы от головок усиливаются и иоррентируются усилителями $УВ_Y$, $УВ_{R-Y}$, $УВ_{B-Y}$ и поступают на матрицу деодирующего устройства телевизора. В канал E_Y включены линии задержки для фазирования сигналов яркости и цветности, и устройство восстановления постоянной составляющей ВП.

Качество сигнала, воспроизводимого приставкой, ниже, чем при использовании обычного видеомагнитофона, так как запись производится при скорости движения ленты в 3 раза меньшей, чем в видеомагнитофонах с вращающимися головками.

Структурная схема видеомагнитофона «Электроника-501-видео»

При работе видеомагнитофона, работающего в комплекте с телевизионной камерой в режиме записи (рис. 6-8, а), сигнал от камеры подается на вход усилителя 1, далее через ФНЧ 2 с частотой среза 3 МГц и усилитель 4 — на цепи фиксации уровня черного 5. На выход усилителя 4, кроме того, подключены: устройство АРУ 3, автоматически поддерживающее необходимый уровень видеосигнала, и выходной усилитель 18, с которого сигнал поступает на телевизор, позволяющий контролировать записываемую программу. Выход цепи фиксации 5 соединен цепью предскажений 6, осуществляющей подъем верхних частот записываемого сигнала перед подачей его на модулятор 8. Ограничитель 7 устраняет выбросы, превышающие уровень белого, способные вызвать перемодуляцию. С выхода модулятора ЧМ сигнал поступает через усилитель записи 9 и токосъемники $ПК_1$, $ПК_2$, и $ПК_3$ в головки $МГ_1$ и $МГ_2$.

В режиме воспроизведения головки включены через согласующие трансформаторы $Тр_1$ и $Тр_2$ на входы предварительных усилителей 10 и 11. Усиленный ЧМ сигнал поступает на переключатель 13. Отпирание и запираание усилителей происходит синхронно с поворотом диска БВГ импульсами, поступающими с цепи формирования 12 и тахогенератора 14, связанного с диском БВГ механически. С выхода переключателя 13 ЧМ сигнал поступает через усилитель 15 и ограничитель 16 на демодулятор 17. Демодулированный видеосигнал усиливается усилителем 18 и подается в селектор САР и адаптер телевизора.

САР видеомагнитофона (рис. 6-8, б) управляет ведущим 14 и дополнительным 15 двигателями, связанными с помощью пассивов со шкивом π маховике ведущего вала. На валу ведущего двигателя установлены индукционные тахогенераторы: 13 полукадровой частоты, 16 строчной частоты и 7 частоты вращения двигателя.

При записи от телекамеры (переключатель в положении «Телекамера») САР работает автономно. Вырабатываемые тахогенератором 16 колебания с частотой 15 625 Гц усиливаются усилителем 17, формируются формирователем 18 и через делитель частоты 19 подаются на вход генератора опорной частоты 20 и цепь сравнения 21. В ней происходит сравнение по длительности импульсов тахогенератора и опорных импульсов. Устройство сравнения вырабатывает сигнал, управляющий устройством питания 22 ведущего двигателя 14. При отклонении частоты вращения этого двигателя от номинального значения изменяется частота импульсов тахогенератора, поступающих на делитель 19. Так или частота генератора 20 постоянна, на выходе устройства сравнения вырабатывается сигнал, поддерживающий номинальную частоту вращения ведущего двигателя 14. Синхронизация телевизионной камеры также осуществляется опорным генератором 20.

Импульсы синхронизации строчной и кадровой развертки камеры формируются блоками 11 из сигналов, вырабатываемых соответственно тахогенераторами 13 и 16. Кроме того, кадровые импульсы с частотой следования 50 Гц выделяются из записываемого сигнала селектором 1 и запускают ждущий мультивибратор 2. При работе с телекамерой он выполняет роль делителя частоты

на два. Установка мультивибратора 2 в исходное положение осуществляется импульсами с частотой следования 25 Гц, вырабатываемыми тахогенератором 7. Они поступают на мультивибратор через усилитель 5 и цепь формирования 3.

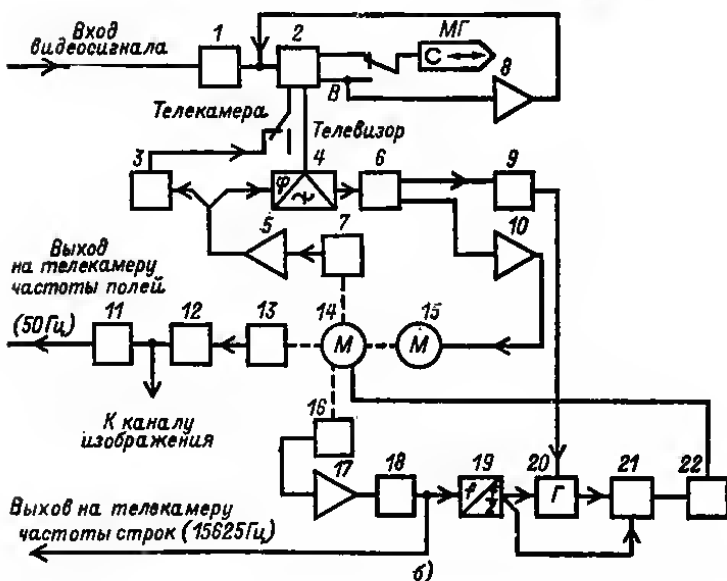
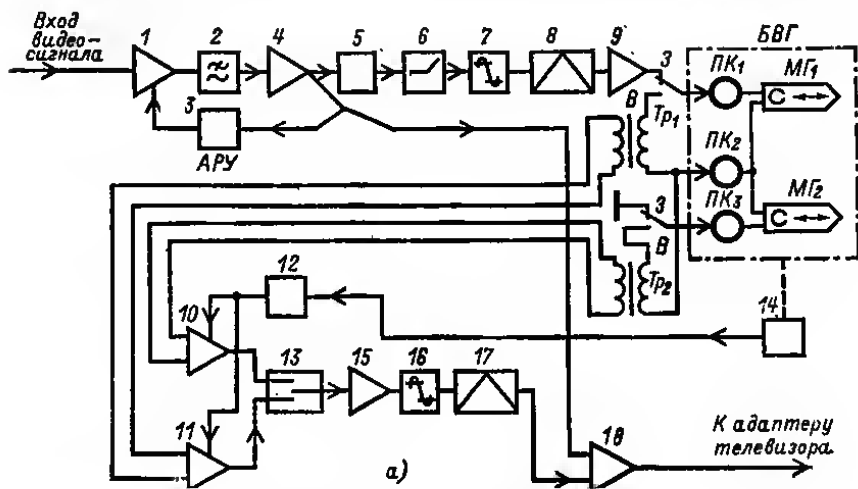
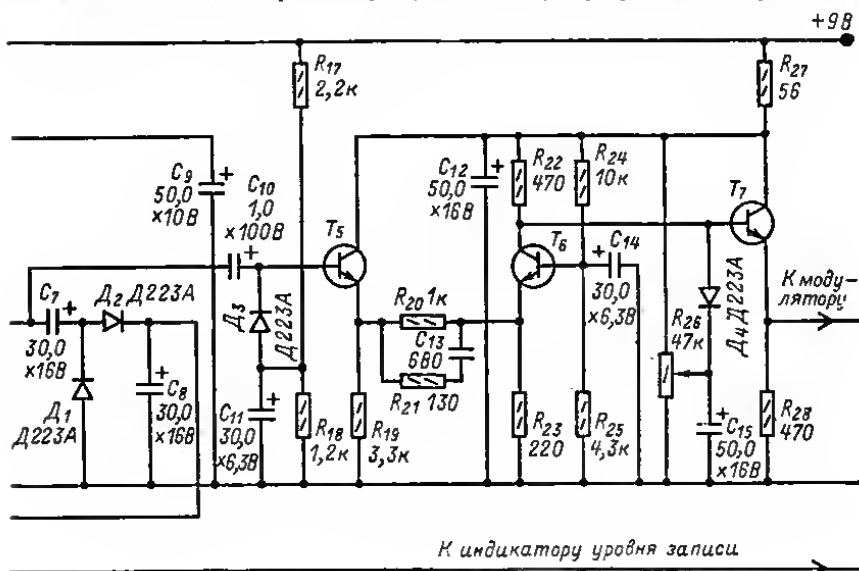


Рис. 6-8.

Импульсы мультивибратора через дифференцирующую цепь (на схеме не показана) подаются в головку $МГ$ и записываются на ленту (дорожка записи управляющего сигнала на рис. 6-1).

цию несущей частоты видеомагнитофона. При меньшем или большем размахе входного сигнала АРУ срабатывает, поддерживая постоянный уровень выходного сигнала. Сигнал АРУ вырабатывается детектором (диоды D_1 и D_2) и изменяет ток стока транзистора T_1 , изменяя отношение значений сигнала на резисторе R_2 и выходном сопротивлении T_1 . Режим этого транзистора устанавливают переменным резистором R_5 . Между каскадами на транзисторах T_2 и T_3 , T_4 включен фильтр, ограничивающий полосу входного сигнала до 2,7 МГц. С помощью диода D_3 осуществляется неуправляемая привязка уровня синхронимпульсов. Цепь $R_{20}R_{21}C_{13}$ увеличивает уровень высокочастотных составляющих записываемого видеосигнала. Транзистор T_6 и диод D_4 образуют малоинерционный



ограничитель пиков белого (порог ограничения устанавливают переменным резистором R_{26}). Нагрузкой ограничителя служит эмиттерный повторитель на транзисторе T_7 .

Двухканальный предварительный усилитель воспроизведения (рис. 6-10) содержит в каждом канале каскодные усилители (T_1 , T_5 и T_3 , T_6), имеющие малую входную емкость и низкий уровень шума в рабочем диапазоне частот 0,3—6 МГц. Ключевые каскады на транзисторах T_2 и T_4 насыщаются импульсами, поступающими от тахогенератора, и запирают поочередно каналы воспроизведения на время, пока головка не находится в контакте с лентой. К обоим входам усилителя через токосъемники (см. далее описание конструкции БВГ) подключаются головки. Повышающие трансформаторы Tr_1 , Tr_2 выполнены на ферритовых кольцевых сердечниках. Индуктивность их обмоток рассчитывается в соответствии с применяемыми головками. Во входных каскадах вместо полевых транзисторов можно применить биполярные транзисторы типа КТ311Ж или ГТ329Б с ООС в цепи эмиттера.

Ограничитель выполняется из 3—4 включаемых последовательно одинаковых ячеек, каждая из которых дает ограничение 10—16 дБ. Ячейка содержит усилитель с индуктивной ВЧ коррекцией, нагруженный на два встречно-включенных диода D_1 и D_2 (рис. 6-11).

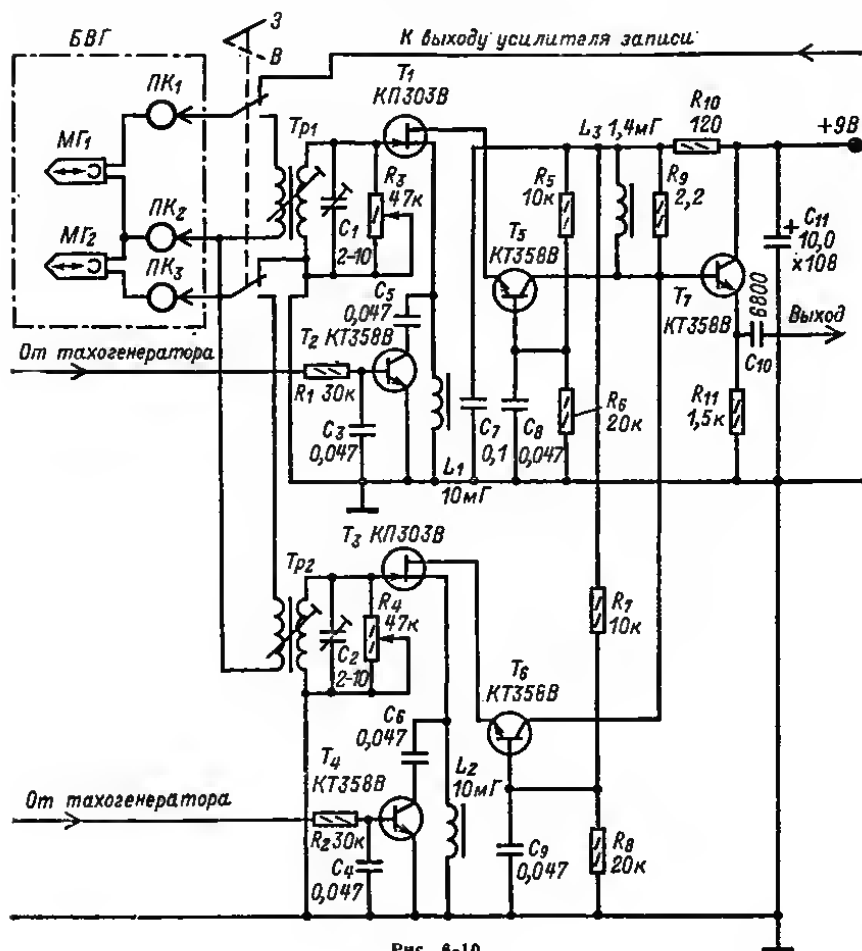


Рис. 6-10.

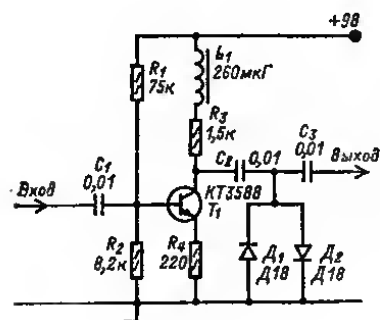


Рис. 6-11.

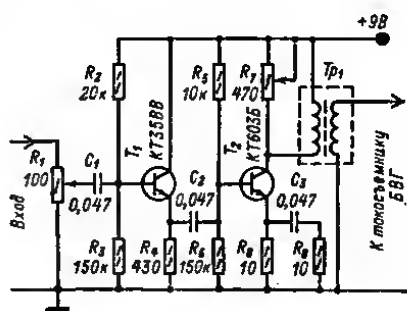


Рис. 6-12.

На вход первой ячейки поступает сигнал с выхода усилителя воспроизведения, в с выхода последней ячейки сигнал подается на демодулятор.

Усилитель записи ЧМ сигнала усиливает сигнал прямоугольной формы с временем нарастания не более 40 нс. На входе усилителя (рис. 6-12) включен регулятор тока записи R_1 , его нагрузкой является эмиттерный повторитель на транзисторе T_1 . Выходной каскад на транзисторе T_2 имеет регулируемую коррекцию R_7 и цепь высокочастотной коррекции C_3 , R_9 . Головка согласовывается с выходным каскадом с помощью трансформатора Tr_1 , выполненного на ферритовом кольце, в экране.

Усилитель постоянного тока (рис. 6-13) служит для управления частотой вращения двигателя. На его вход поступает сигнал от фазового дисциplinатора. Между эмиттерным повторителем T_1 и усилителем T_2 включена интегрирующая цепь R_4 , C_1 . Конденсатор C_4 и дроссель L_1 снижают создаваемые двигателем помехи.

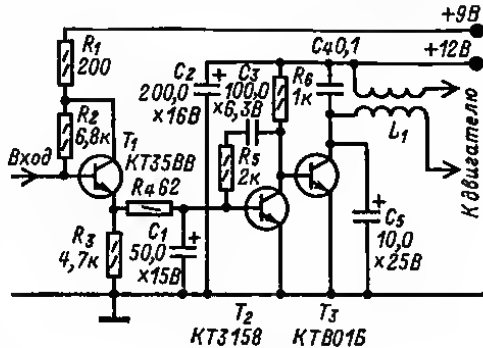


Рис. 6-13.

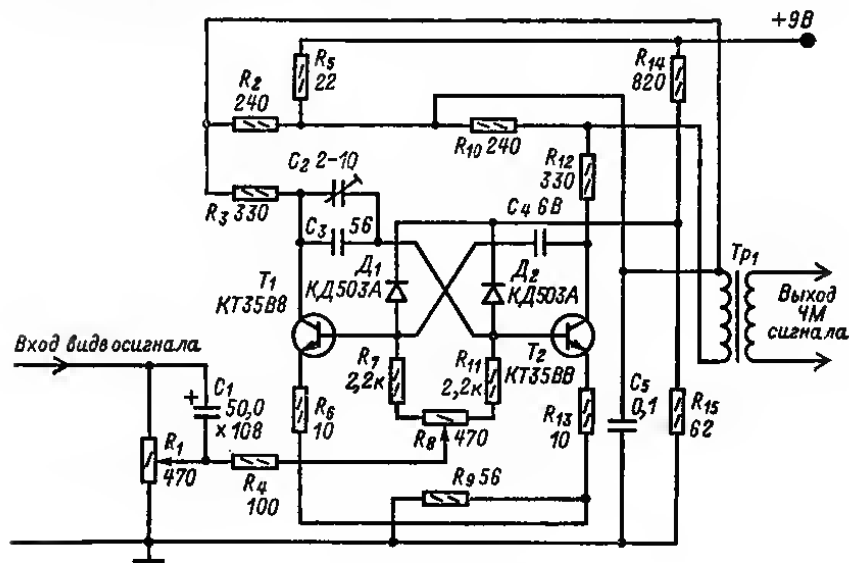


Рис. 6-14.

Дроссель и вмотви нв резисторе МЛТ-0,5-100 Ом проводом ПЭВ-2 0,15—0,25; число витков (10—15) × 2.

Модулятор (рис. 6-14) осуществляет модуляцию несущей частоты поступающим видеосигналом в соответствии с графиком на рис. 6-15. Частоты на выходе модулятора имеют следующие значения:

частота, соответствующая уровню вершин синхронимпульсов, $f_1 = 3,00 \pm 0,15$ МГц;
 частота, соответствующая уровню гвсющих импульсов, $f_2 = 3,42 \pm 0,15$ МГц;
 частота для пикового значения уровня белого $f_3 = 4,40 \pm 0,15$ МГц;
 частота ограничения уровня белого $f_4 = 4,80 \pm 0,15$ МГц;

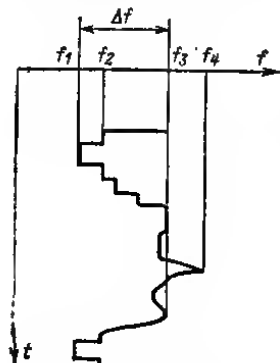


Рис. 6-15.

девиация частоты $\Delta f = f_3 - f_1 = 1,40$ МГц.
 Частота модулятора, представляющего собой мультивибратор на транзисторах, управляется поступающим на вход модулирующим видеосигналом. Несущая частота определяется времязадающими цепями C_2 и C_3 , R_7 , R_{11} и C_4 . Для увеличения крутизны спада импульсов делитель напряжения R_{14} , R_{15} соединен с базами транзисторов T_1 и T_2 через диоды D_1 и D_2 .

Демодулятор (рис. 6-16) состоит из эмиттерного повторителя на транзисторе T_1 , нагрузкой которого является удвоитель частоты на диодах D_1 и D_2 , и усилителя на транзисторе T_2 , выход которого соединен с ФНЧ, выполненным на индуктивностях $L_1 - L_5$ и конденсаторах $C_6 - C_{11}$. Подстроечный резистор R_6 служит для симметрирования удвоителя частоты. Фильтр должен подавлять несущую частоту, не внося искажений в спектр

демодулированного видеосигнала. Неточная настройка фильтра вызывает окантовки и муар на изображении.

Триггер САР (рис. 6-17) служит для формирования импульсов, поступающих на его вход от высокочастотного тахогенератора диска БВГ. Запускающие импульсы подаются на базу транзистора T_1 .

Опорный мультивибратор САР (рис. 6-18) определяет частоту вращения вала двигателя головок и частоту развертки телекамеры. Имеются цепи подачи

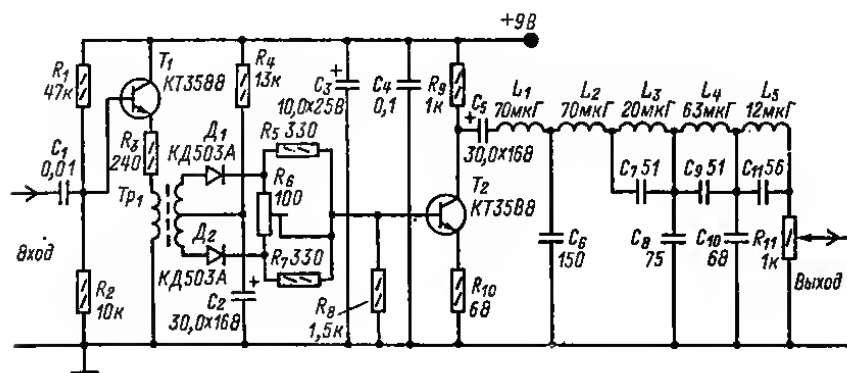


Рис. 6-16.

импульсов от высокочастотного тахогенератора блока видеоголовок (через диод D_1) на мультивибратор и импульсов для синхронизации телекамеры.

Селектор кадровых импульсов (рис. 6-19) содержит два усилительных каскада, между которыми включены интегрирующие звенья R_4C_6 и R_6C_8 . На вход селектора поступает видеосигнал, а выход соединяется с фазовым дискриминатором. Цепь R_1C_2 служит для защиты от импульсных помех,

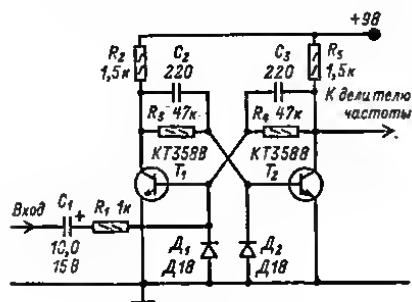


Рис. 6-17.

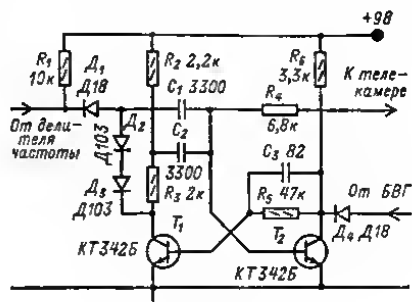


Рис. 6-18.

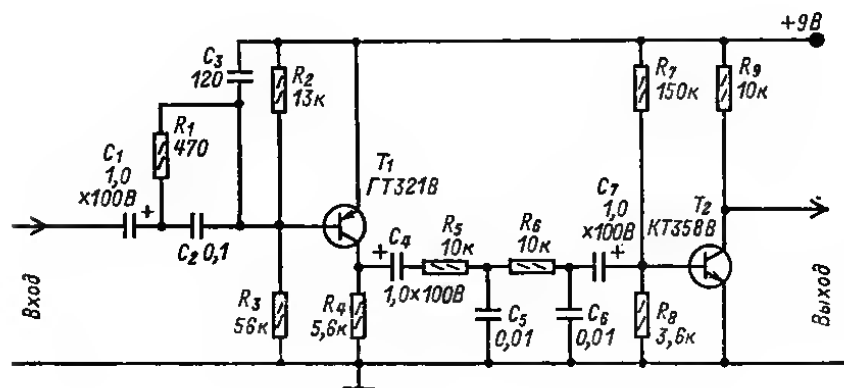


Рис. 6-19.

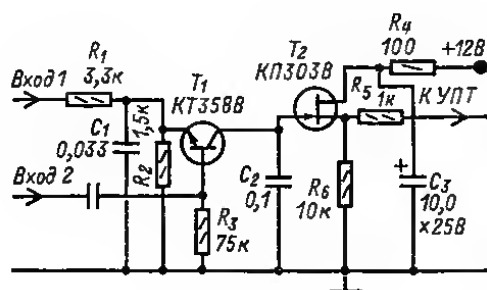


Рис. 6-20.

Фазовый дискриминатор САР (рис. 6-20). На вход 1 поступают импульсы с выхода усилителя канала управления, а на вход 2 импульсы от тахогенератора БВГ (25 Гц). Сигнал ошибки выделяется в цепи коллектора, интегрируется конденсатором C_2 и через истоковый повторитель и резистор R_5 подается на вход УПТ САР.

Электрические схемы каналов звукового сопровождения, генераторов стирания и подмагничивания, блоков питания и коммутации мало отличаются от схем аналогичных узлов магнитофонов.

6-3. ЛЕНТОПРЯЖНЫЕ МЕХАНИЗМЫ

Лентопротяжные механизмы (ЛПМ) видеомагнитофонов выполняют те же функции, что и в магнитофонах. Поэтому конструкции их приемного, подающего, ведущего и других узлов аналогичны соответствующим узлам, описанным в разд. 5. Основное отличие ЛПМ видеомагнитофона состоит в наличии блока вращающихся головок БВГ (рис. 6-21).

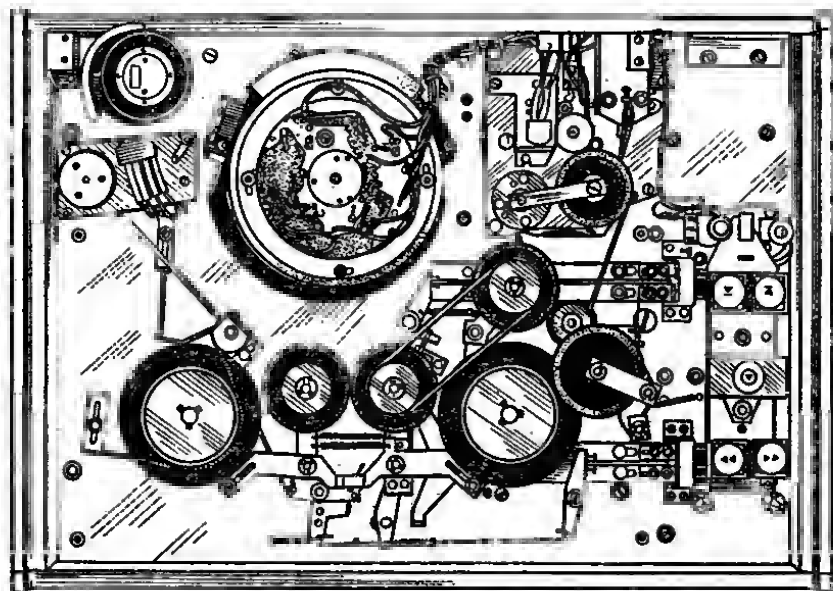


Рис. 6-21.

В одноголовочных видеомагнитофонах за один оборот диска на одной строчке записывают один полукадр телевизионного изображения, а в двухголовочном — два. Поэтому в одноголовочном видеомагнитофоне частота вращения диска $n = 3000$ об/мин, а в двухголовочном — 1500 об/мин. Диаметр диска D и скорость записи v_z связаны соотношением

$$v_z = \pi D n$$

В то же время верхняя частота f_n , записываемая на ленту, равна

$$f_n = v_z / \lambda_{\text{мин}}$$

где $\lambda_{\text{мин}} = 2 \div 3$ мкм — минимальная длина записываемой на ленту волны; чем выше качество головок и лент, тем $\lambda_{\text{мин}}$ меньше.

При равных диаметрах диска в одноголовочном видеомagnetофоне скорость записи вдвое выше и, следовательно, выше записываемая частота. Так как угол наклона магнитной строки обычно равен $3-5^\circ$, а ее длина равна πD , то неравномерность скорости движения ленты, вызываемая плохой ее намоткой на катушки, биснием обводных роликов или ведущего вала непосредственно влияет на временные искажения воспроизводимого изображения. Чем равномернее скорость движения ленты в ЛПМ и частота вращения диска, тем стабильнее изображение на экране. Стабильное изображение легче получить при короткой магнитной строке и небольших размерах диска БВГ.

Кинематическая схема ЛПМ одноголовочного видеомagnetофона с трактом типа Ω -петля (рис. 6-22). Угол охвата лентой 1 блока головок 5 составляет 360° . Для уменьшения влияния приемной 14 и подающей 10 катушек на неравномерность скорости ленты последняя прижимается к ведущему валу 16 с двух сторон — правым 11 и левым 15 прижимными роликами. Ведущий двигатель 13 приводит в движение ведущий вал 16 через ремень 12. Двигатель 9 блока головок 5

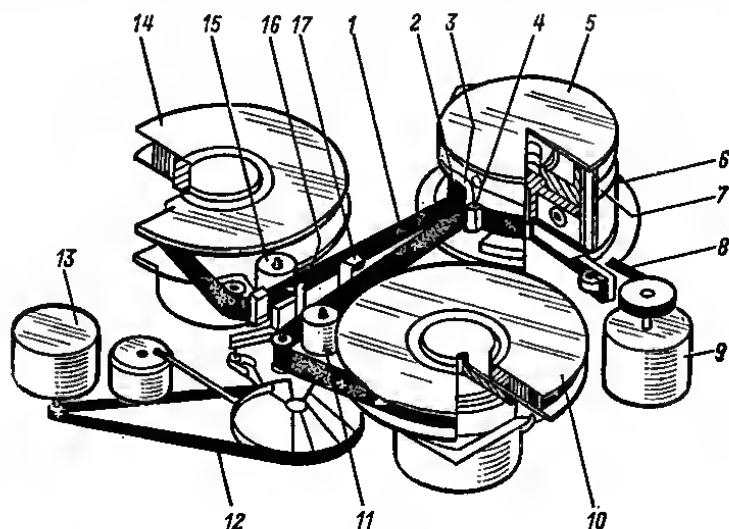
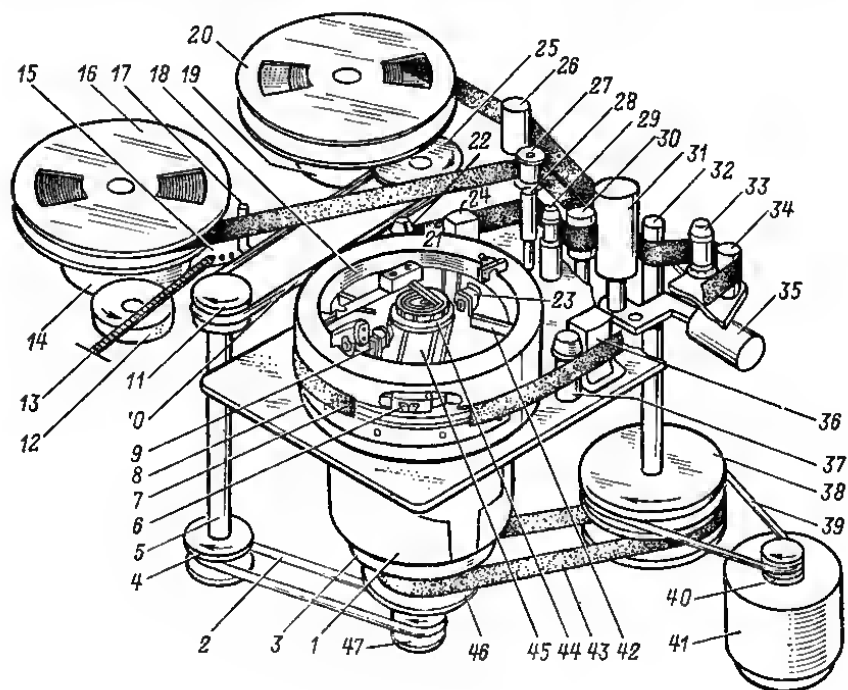


Рис. 6-22.

вращает диск 6 с головкой 7 с помощью ремня 8. Диск управляется встроенным внутрь БВГ тормозом. Звуковые головки и головка канала управления 17 расположены внутри замкнутой петли ленты. Лента входит на барабан и выходит с него через наклонные направляющие 2 и 4, фиксируемые в рабочем режиме стопором 3. Направляющие максимально приближены к барабану и сведены друг с другом для того, чтобы уменьшить длительность провала в воспроизводимом сигнале при переходе головки с верхнего края ленты на нижний. Основные недостатки одноголовочных видеомagnetофонов — большие потери на трение из-за угла охвата барабана на 360° и провал в сигнале, усложненная заправка ленты.

В кинематической схеме ЛПМ (рис. 6-23) двухголовочного видеомagnetофона БВГ охватывается лентой на угол, несколько больший 180° . ЛПМ состоит из ведущего вала 32, приемного 19 и подающего 14 узлов, на которые устанавливаются катушки 16 и 20 с лентой 7, блок видеоголовок 18 с двигателем 1, вспо-

могательного двигателя 41 со шкивом 40 (39 — резиновый пассик) и ряда направляющих роликов и стоек (22, 26—30, 33, 34, 37). На оси двигателя 1 закреплено коромысло 45 с вращающимися головками 6, токосъемники 21 и 44 и тахогенератор частоты кадров 42, имеющий катушки 9 и 23, и тахогенератор частоты строк 3. В режимах записи и воспроизведения вращение двигателя с помощью шкивов 46 и 47 и резиновых пассиков 2 и 43 передается маховику 38 ведущего вала 32 и шкиву 4 промежуточного вала 5. Прижатие ленты 7 осуществляется обрезиненным роликом 31, который движется электромагнитом 35. Для образования «замк-



Риг. 6-23.

нутой петли» лента в этих режимах прижимается к ролику 31 и с противоположной стороны, где она охватывает свободно вращающийся ролик 36. Для повышения стабильности натяжения на левой катушке применен механический стабилизатор, состоящий из рычага 15 со штырем 17, связанным с металлической лентой, оклеенной кожей, и пружины 13. До конической направляющей стойки 28 лента движется параллельно плоскости катушки, а после нее ложится нижним краем на направляющую 8, закрепленную на барабане 18 блока видеоголовок. По ходу движения ленты внутри петли помещены стирающая головка 24 и блок универсальных головок 36. При перемотке ленты вперед ролик 31 отводит ленту от ведущего вала, пассик 10 прижимается к приемному узлу и частота вращения приемной катушки значительно возрастает. В режиме обратной перемотки этот же пассик через промежуточный ролик 12 передает вращение подающему узлу от шкива 11 промежуточного вала 5 через шкив 25.

Оба двигателя коллекторные, постоянноточные с возбуждением от постоянных ферритбариевых магнитов. Напряжение питания первого — 7 В, второго —

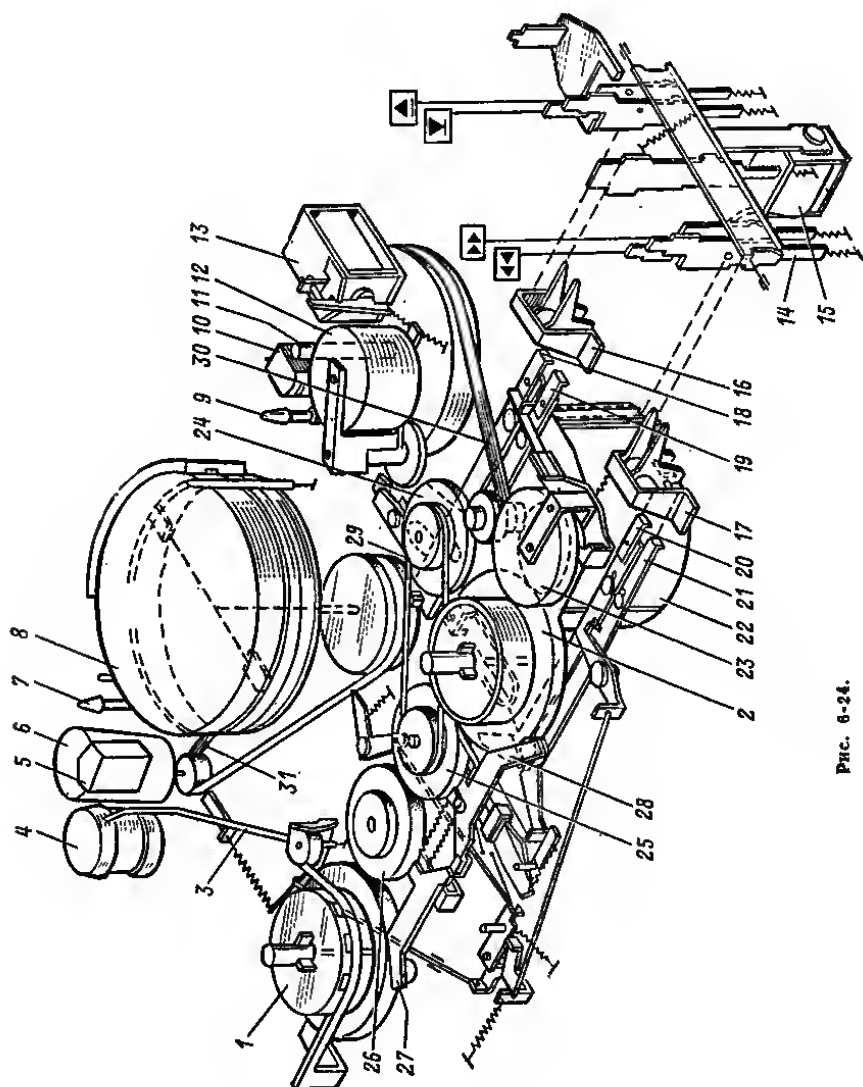


Рис. 6-24.

4,5 В; частота вращения соответственно 1500 и 2500 об/мин; мощности потребления — 3,65 и 1,35 Вт.

ЛПМ типа «заминутая петля» имеет хорошую стабильность, но неудобен в эксплуатации, так как заправка ленты затруднена. Этот недостаток значительно уменьшен в устройстве, кинематическая схема которого приведена на рис. 6-24. ЛПМ типа «разомкнутая Ω -петля» имеет ведущий двигатель 22, двигатель блока головок 6, подающий узел 1, приемный узел 2, ведущий вал 11 с маховиком, прижимной ролик 12, обводной ролик 4, направляющие стойки 7 и 9. Для поддержания постоянного натяжения в тракте подающий узел снабжен механическим тормозом с рычагом 3 и пружиной. Передача

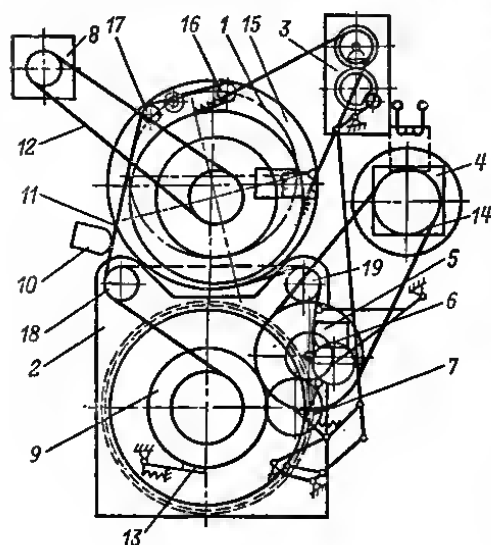


Рис. 6-25.

движения от двигателей производится ременными передачами 29, 30, 31, фрикционной подмоткой 23 и шкивами перемотки 24, 25, 26. По ходу движения со стороны основы помещена стирающая головка 5 (при тании расположении стирающей головки и рабочий слой ленты не изнашивается), блок вращающихся головок 8. Рядом с ведущим валом расположена универсальная головка 10. Переключение режимов работы осуществляется от инопочной станции 14 толкателями 18, 19, 20, 21 со скобами 16, 17, рычагами 27, 28 и электромагнитами 13, 15. Большим преимуществом ЛПМ является удобство заправки ленты и ее малый износ при эксплуатации.

Наилучшим образом лента сохраняется в кассете, которую обычно заряжают в видеомэгнитофон с помощью специального устройства. На рис. 6-25 изображена упрощенная кинематическая схема ЛПМ кассетного видеомэгнитофона. В центре ЛПМ расположен блок вращающихся головок 1, охваченный поворотной платформой 15 зарядного устройства с направляющими роликами 16 и 17. В нижней части ЛПМ находятся гнездо и лифт для перемещения съемной кассеты 2, в корпусе которой расположены одна над другой две катушки, образующие приемно-подающий узел 9. Лента 11 сматывается с нижней катушки, проходит вокруг обводных роликов 18 и 19 и наматывается на верхнюю катушку. При опускании кассеты лифтом ролик 16 зарядной платформы 15 входит в окно кассеты и захватывает свободный конец ленты (положение ленты перед заправкой показано штриховой линией), привод механизма зарядки 3 начинает вращать поворотную платформу 15, извлекая ленту из кассеты и укладывая ее вокруг БВГ. Внешняя обратная петля ленты проходит по роликам 17 и 18 и поступает в приемную катушку. Подмотка катушки производится путем вращения ролика 7, который входит в зацепление со щечкой катушки. Кассета снабжена встроенными тормозами 13, которые препятствуют спаданию ленты с роликов при съеме кассеты. Окно для ролика зарядного устройства в разряженной кассете закрыто крышкой, защищающей внутренность кассеты от пыли. Остальные элементы ЛПМ мало отличаются от рассмотренных.

Стирающая головка 10 установлена со стороны основы ленты. Вращение диска с головками осуществляется от двигателя 8 через ременную передачу 12. Для

уменьшения трения ленты о барабан блока головок его верхнюю часть делают вращающейся. Частота вращения барабана 1500 об/мин. При вращении барабана между его поверхностью и лентой образуется воздушная подушка с зазором 20—40 мкм. Ведущий узел приводится во вращение двигателем 4 через ременную передачу 14. В непосредственной близости от него расположен блок 5 с головкой записи-воспроизведения звукового сопровождения и управляющей головкой. Ленту можно перематывать в кассете, не снимая ее с направляющего барабана БВГ.

6-4. БЛОК ВРАЩАЮЩИХСЯ ГОЛОВЕК

Разрез съемного блока вращающихся головок со встроенным тормозом показан на рис. 6-26. Размеры блока определяются шириной ленты и выбранной сигнальной диаграммой. Обычно диаметр блока равен 105 мм (при желании записать более высокую частоту диаметр блока увеличивают до 135—140 мм). Все элементы блока должны быть точно изготовлены и тщательно собраны. Радиальный бой и несоосность диска я направляющих не должны превышать 5 мкм. Барабаны изготавливают из дюралюминиевых сплавов В-95, А-30 или нержавеющей стали, точно обрабатывают после сборки под заданный размер и покрывают химическим способом никелем и тонким слоем хрома или эмалируют.

Вращение диска 14 с головками осуществляется через ременную передачу; диск тормозится магнитным тормозом 6, 7. Для облегчения точной обработки диаметра и поверхности конструкции блока выполняют коаксиальной, а его ось 16 делают полую. Внутри оси диска проходит неподвижная опора верхней части барабана 1. В опоре имеются канавки, по которым выводят провода от токосъемника 10 к установленной на диске головке 2. Внутри барабана 4 можно разместить оконечные каскады усилителя записи и входные каскады предварительного усилителя воспроизведения. Нижнюю часть барабана закрепляют на плате неподвижно и устанавливают на ней тахогенераторы 3 подшипники 5, 8, 15 и магнитный тормоз. Ось заканчивается шкивом 9. Ход ленты по барабану определяется подвижной направляющей 13, перемещаемой упором 12. Последний закреплен на эксцентриковой втулке 11.

Верхнюю и нижнюю части барабана БВГ двухголовочного видеомagnetofона можно скрепить сегментной стойкой с регулировочными винтами, позволяющими точно устанавливать соосность барабанов. В этом случае ось диска должна быть сплошной; выводы токосъемника пропускают по сегментной стойке.

Сборочный чертеж одной из конструкций БВГ бытового видеомagnetofона с двумя головками приведен на рис. 6-27. Здесь: 1 — диск; 2 — крышка токосъем-

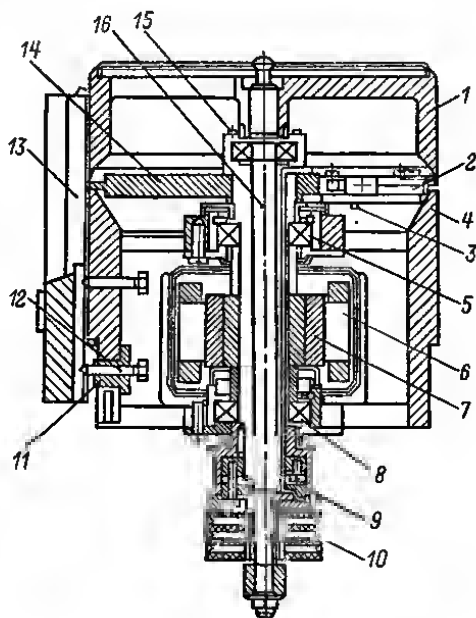


Рис. 6-26.

инка; 3 — оснoвaнне (сплав Д16); 4 — шкив; 5 — подшипник нижний; 6 — направляющая (сплав Д16Т); 7 — цилиндр верхний (сталь Х18Н10Т); 8 — ленточная направляющая; 9 — малая накладка; 10 — средняя накладка; 11 — большая накладка; 12 — винт крепления цилиндра; 13 — винт установки головки; 14 — токосъемники; 15 — винт крепления ленточной направляющей; 16 — винт крепления диска к фланцу; 17 — винт крепления верхней крышки; 18 — тахогенератор; 19 — нижний цилиндр (сталь Х18Н10Т); 20 — фланец (латунь ЛС59-1); 21 — вал; 22 — подпятник; 23 — упор; 24 — видеоголовки; 25 — корпус; А — посадочная плоскость нижнего цилиндра; Б — зазор в токосъемнике; Г — поверхность верхнего цилиндра; Д — верхняя поверхность сегментной направляющей; Е — плоскость вращения головок; Ж — верхняя кромка ленточной направляющей.

Неплоскостность поверхностей Д деталей 6 и 7 должна быть не более 10 мкм; размер Б обеспечивается винтами М2 × 4 и М2,5 × 5. Радиальное биение поверхности В относительно поверхности Г должно быть не более 5 мкм и обеспечивается перемещением детали 1 при отпущенных винтах 16; винты 16 контрятся эмалью НЦ-25. Деталь 23 устанавливается на эпоксидный клей. Поверхность Ж следует выставить относительно поверхности Е по винтовой линии с углом подъема $3^{\circ}41'7'' \pm 5''$. Размеры, отмеченные звездочкой, даны для справок.

На рис. 6-28 показан корпус в сборе, основные размеры деталей БВГ и указаны материалы, из которых их изготавливают. Там же указаны допуски, обеспечивающие сопряжение основных деталей. Для их изготовления необходимо весьма точное оборудование и технологическая оснастка.

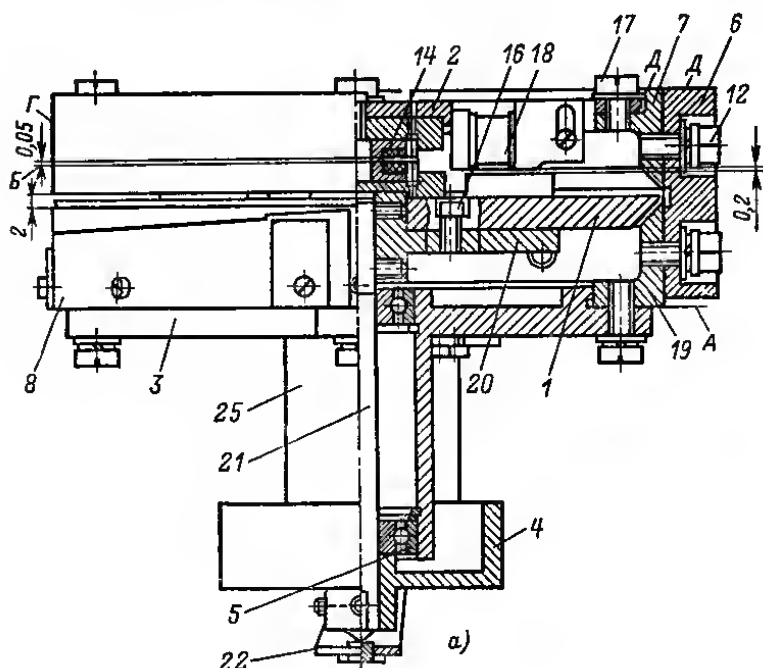
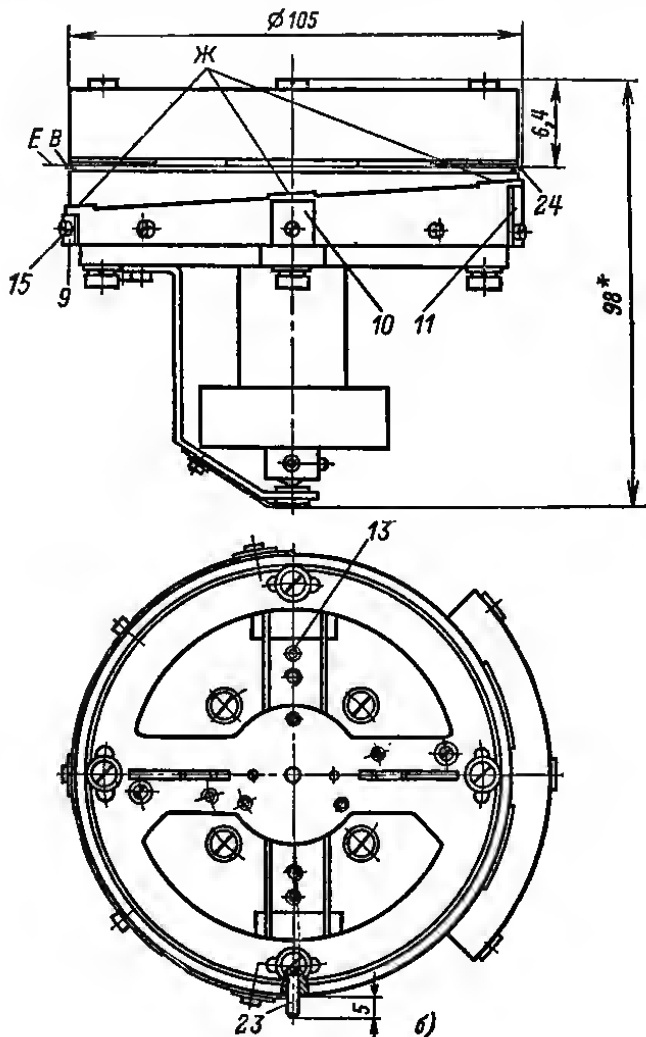


Рис. 6-27.

На рис. 6-28: 1 — цилиндр нижний; 2 — вкладыш подпятника; 3, 9 — шайбы установочные; 4 — скоба подпятника; 5 — фланец; 6 — вал; 7 — шкив; 8 — нижний подпятник; 10, 11 — шайбы установочные; 12 — винт крепления цилиндра; 13 — шайба запорная; 14 — клемма; 15 — винт стопорный; 16 — винт подпятника; 17 — винт крепления корпуса; 18 — шарикоподшипники.

Более совершенная конструкция блока головок со встроенным двигателем (рис. 6-29). Корпус двигателя 1 расположен внутри нижней неподвижной нап्रा-



вляющей барабана 2. На вал 11, снизу упирающийся в подпятник 13, жестко посажен диск 4 с головками, ротором токосъемника 5 и датчиками тахогенератора. Двигатель имеет разнесенные радиально-упорные подшипники 10 и 12. Отсутствие ременной передачи и непосредственное управление частотой вращения вала двигателя с помощью САР-СД позволяют получить малые временные искажения воспроизводимого сигнала. Верхняя направляющая барабана 3 соединяется с диском и делается подвижной (при этом вал двигателя должен иметь паз для пропуща проводов от токосъемника 5) либо соединяется с нижней направляющей 2 с помощью стойки 6. Осевое биение внешнего цилиндра относительно оси диска должно быть не более 5 мкм.

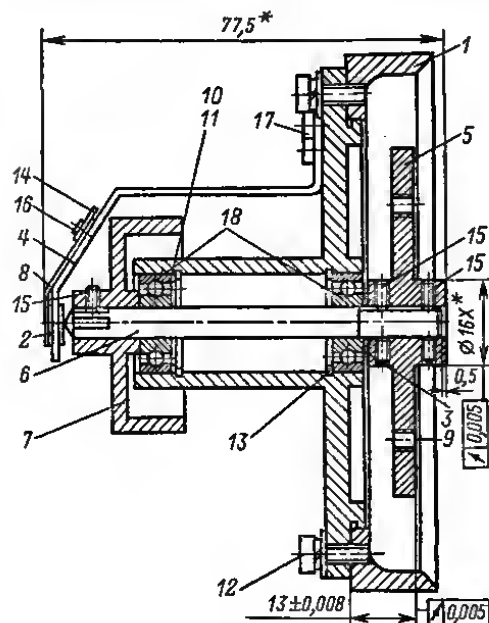


Рис. 8-28.

Между диском и верхней крышкой 7 размещают предварительный усилитель воспроизведения, а с целью уменьшения длины проводов, идущих к головкам, можно расположить и оконечный каскад усилителя записи.

Наилучшие результаты получаются при использовании специального двигателя постоянного тока с печатным ротором 8, имеющим большое число коллекторных пластин; ток подводится к ним щетками 16. Статор 9 двигателя выполнен в виде кольцевого постоянного магнита с несколькими полюсами. Щетки прижимаются пружиной 15, сила прижима регулируется держателем 14. Применяют также синхронные электродвигатели переменного тока, питаемые от мощных усилителей.

Сигналы к головкам БВГ подаются через токосъемники с числом секций, равным числу головок. Контактный токосъемник представляет собой нольца, поверхность которых по-

крыта серебром или специальным малоокисляющимся сплавом. Применяют щетки из мягкого графита или из мягких пружинящих тонких проволочек.

Бесконтактный токосъемник изготавливают из двух ферритовых нолец с пазами, в которые помещают обмотки. Со стороны пазов, по торцу, кольца пришлифовывают и закрепляют на валу и на неподвижной верхней направляющей так, чтобы магнитный поток от статора к ротору замыкался через воздушные зазоры, размер которых не должен быть более 50—80 мкм. При использовании бесконтактных токосъемников с целью уменьшения помех диска с головками следует заземлять через специальную щетку.

Простейший тахогенератор можно изготовить из обычной магнитной головки с широким рабочим зазором и небольшого постоянного магнита, которые укрепляют на диске БВГ. Во время вращения диска перед зазором магнитной головки периодически появляется магнит и индуцирует импульсы, поступающие в САР-СД. В качестве тахогенератора можно использовать малогабаритный дроссель, один из сердечников которого обрезают и закрепляют на диске.

Для определения частоты вращения диска используют изменение индуктивности дросселя при периодическом разрыве его ярма.

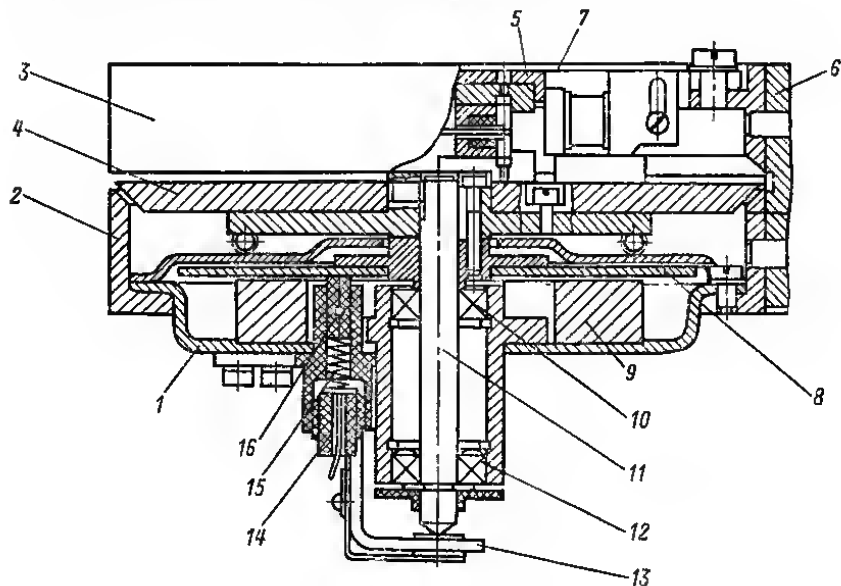


Рис. 6-29.

Тахогенератором может служить фотодиод или фоторезистор. Его освещают миниатюрной лампочкой через прорезь в диске, либо отраженным светом от черных и белых секторов, наносимых на диск.

6-5. МАГНИТНЫЕ ЛЕНТЫ И ГОЛОВКИ

В бытовых видеомагнитофонах используют магнитную ленту с рабочим слоем двуокиси хрома на лавсановой основе Т-4305-12Б толщиной 27 мкм. Несколько худшие результаты можно получить при использовании лент с кобальтированным гамма-оксидом железа. Применение лент с рабочим слоем из гамма-оксида железа нежелательно, так как уровень воспроизводимого сигнала в этом случае в 2—4 раза меньше, чем при использовании ленты с двуокисью хрома. Поверхность магнитной ленты должна быть чистой, не иметь заметных царапин, короблений и растянутых мест. Запись желательно проводить при комнатной температуре и пониженной влажности. После записи ленту следует снимать с ЛПМ, во избежание ее прилипания к барабану.

Склейка лент для видеозаписи производится так же, как и лента для звукозаписи (см. § 5-7).

Для видеомагнитофонов, работающих на ленте шириной 6,25 мм, следует использовать ленты на лавсановой основе с рабочим слоем очень высокого качества.

Для записи сигналов изображения в БВГ бытовых магнитофонов используют головки ($2 \times 2 \times 0,2$ мм) с ферритовыми сердечниками, которые приклеивают к латуинной оправке. Параметры этих головок приведены в табл. 6-1. Головки ФВГ-1 применяют в катушечных, а ФВГ-2 — в кассетных видеомагнитофонах. Головки закрепляют на диске БВГ и юстируют с помощью специального при-

способления, позволяющего точно выставить угол между головками $180^\circ \pm 20''$ или $181^\circ 26' \pm 20''$ при записи с пропуском полукадра. Наконечники головок должны выступать над поверхностью диска на 50—100 мкм. В процессе эксплуатации выступ уменьшается на 30—40 мкм и отдача головок постепенно повышается. В конце срока службы рабочий зазор разрушается и головки приходят в негодность.

Таблица 6-1

Видеоголовки для бытовых видеомagnetофонов

Параметры головки	Тип головки	
	ФВГ-1	ФВГ-2
Ширина рабочего зазора, мкм	$0,5 \pm 0,2$	$0,5 \pm 0,2$
Длина рабочего зазора, мкм	130 ± 10	130 ± 5
Глубина рабочего зазора, мкм	40 ± 10	30 ± 10
Индуктивность, мкГ	$0,7 \pm 0,27$	$1,8 \pm 0,27$
Добротность, не менее	4	4
Ток записи, мА	100	80

Таблица 6-2

Неподвижные комбинированные головки для бытовых видеомagnetофонов

Параметры головки	Тип головки	
	12Д22-1	12Д33-1
Ширина рабочего зазора, мкм	4,0	4,0
Длина рабочего зазора, мм звуковой	$0,7 \pm 0,025$	$0,7 \pm 0,025$
управляющего сигнала	—	$0,3 \pm 0,025$
Глубина рабочего зазора, мм	$0,3 \pm 0,05$	$0,3 \pm 0,05$
Индуктивность, мкГ	45 ± 10	40 ± 10
Рабочая полоса частот, Гц	100—10 000	60—15 000

При эксплуатации головки следует периодически очищать от магнитного порошка мягкой замшей, смоченной фреоном или спиртом. После очистки головки рекомендуется проверить путем воспроизведения заведомо хорошей записи.

В качестве стирающих и универсальных неподвижных головок можно использовать головки от обычных магнитофонов с размерами сердечников, соответствующими выбранным видеофонограммам, либо универсальные комбинированные головки (табл. 6-2). Головка 12Д22-1 с двумя магнитными системами предназначена для применения в катушечных, а головка 12Д33-1 с тремя магнитными системами — в кассетных магнитофонах. Магнитные цепи этих головок изготовлены из пермаллоя.

Стирающая головка имеет ферритовый сердечник и обладает следующими параметрами.

Длина рабочего зазора, мм	14—0,2
Ширина рабочего зазора, мм	0,3
Глубина рабочего зазора, мм	$0,3 \pm 0,05$
Индуктивность, мГ (измеряется на $f = 1$ кГц)	$0,35 \pm 0,1$
Ток стирания, мА	250
Частота стирания, кГц	65
Эффективность стирания, дБ	55

6-6. ПОРЯДОК НАСТРОЙКИ ВИДЕОМАНИТОФОНА

1. Проверяют правильное функционирование узла ЛПМ и электронных блоков видеоманитофона при различных режимах работы: *Рабочий ход*, *Перемотка* и *Стоп*.

2. Заправляют ленту в ЛПМ и проверяют ее ход по лентопротяжному тракту. Лента должна перемещаться плавно, без рывков. Не допускается заминание ленты на направляющих и обводных роликах. Натяжение ленты во время рабочего хода должно составлять 0,5—1 мН. При торможении и остановках катушек не должны образовываться петли и провисающие участки.

3. Проверяют стирание общей головкой и налаживают канал записи звукового сопровождения по методике, принятой для обычных магнитофонов (см. § 5-9).

4. Проверяют канал записи управляющего сигнала и функционирование систем авторегулирования.

5. Проверяют работу модулятора и демодулятора, устанавливают несущую частоту и значение девиации частоты при номинальном размахе входного видеосигнала.

6. Производят запись изображения, ленту перематывают и воспроизводят записанное. По качеству воспроизводимого изображения подбирают уровень тока записи и устанавливают наилучшую коррекцию по высоким частотам.

6-7. СОВМЕСТНАЯ РАБОТА ВИДЕОМАНИТОФОНА С ТЕЛЕВИЗОРОМ

Видеоманитонфон подключают к телевизору через адаптер (устройство сопряжения), в функции которого входят ввод и вывод телевизионного сигнала и сигнала звукового сопровождения. Адаптер встраивают в телевизор и соединяют с видеоманитофоном кабелями.

Способ соединения телевизора с видеоманитофоном и низкочастотным адаптером стандартизован. На телевизоре устанавливают гнездовую часть разъема типа СНИ-5-6, а адаптер снабжают кабелем с штыревой частью этого разъема. В табл. 6-3 указаны сигналы и напряжения питания, проходящие через контакты разъема при различных режимах работы.

На рис. 6-30 приведена схема адаптера УС-2, который может быть встроен в телевизор любого типа, а в табл. 6-4 указан порядок подключения цепей адаптера а — ж к схемам телевизоров различных типов.

При записи к выходу видеодетектора телевизора подключают эмиттерный повторитель, собранный на транзисторе T_1 . С его выхода через резистор R_{10} и реле P_1 сигнал поступает через контакт 2 разъема $Ш_1$ на вход видеоманитофона. Переменный резистор R_1 служит для установки номинальной амплитуды сигнала на входе. Сигнал звукового сопровождения через эмиттерный повторитель на транзисторе T_2 и контакт 4 разъема $Ш_1$ подается на вход канала звукового сопровождения видеоманитофона.

При воспроизведении сигнал с выхода видеоманитофона через контакт 2 разъема $Ш_1$ адаптера, через контакты реле P_1 и регулятор уровня R_{18} подается на вход усилителя, собранного на транзисторах T_3 и T_5 . Резистор R_{18} предназначен для установки требуемой контрастности воспроизводимого сигнала. Сигнал звукового сопровождения с выхода видеоманитофона через контакт 4 разъема и контакты реле P_1 подается на базу транзистора T_4 , усиливается последним и далее поступает на вход УНЧ телевизора. При воспроизведении постоянная времени цепи АПЧ и Ф телевизора уменьшается по сравнению с номинальной, для чего размыкаются контакты 10 и 12 реле P_1 и включается цепь C_{10} , D_1 , D_2 , R_3 . В адаптере применено реле типа РС-22.

Для получения высококачественной записи телевизор необходимо точно настраивать на принимаемую станцию. Уровень входного видеосигнала должен быть таким, чтобы пик белого не приводил к перемодуляции ленты или к появлению муара на изображении.

Назначение контактов разъема СЩ5-6

Режим работы	Номера		
	1	2	3
Телевизор — как видео-контрольное устройство. Видеомагнитофон в режиме <i>Воспроизведение</i>	Напряжение переключения $+12\text{ В}/90\text{ мА}$	Вход видеосигнала: входное сопротивление 75 Ом черно-белый или цветной сигнал размахом 0,7—1,4 В	Корпус, экран
Телевизор — источник программы. Видеомагнитофон в режиме <i>Запись</i>	Напряжение переключения 0 В	Выход видеосигнала: выходное сопротивление 75 Ом; черно-белый или цветной сигнал размахом 0,7—1,4 В	Корпус, экран

Подключение адаптера УС-2

Обозначение цепи в схеме рис 6-30	Тип			
	УПТ-47/59-11-1 [«Славутич», «Горизонт» (59), «Изумруд-201», «Изумруд»]	УПТ-47/59/59-11-2 УЛТ-50/59/61-11-3 [«Рубин-205», «Рубин-205Д», «Березка-205» (50), «Славутич-201» (50)]	УЛПТ-47/59-11-1/3 («Электрон-2-1», «Крым-201», «Чайка-2»)	УЛПТ-57/59-11-2/4 УПТ-59/61-11-5/6/7/8 («Крым-202», «Крым-204», «Крым-206», «Чайка-205»)
<i>a</i>	Соединение $R_{443}C_{427}$	Соединение $R_{443}C_{427}$	Соединение $R_{443}C_{427}$	Соединение $R_{443}C_{427}$
<i>б</i>	Вывод резистора R_{302}	Вывод резистора R_{202}	Вывод резистора R_{205}	Вывод резистора R_{205}
<i>в</i>	Контакт панели КП-1а	Контакт 4 перен. ВК-504	Контакт 6 панели КП-1а	Контакт перен ВК-501
<i>г</i>	Контакт 24 блока 3	Контакт В (+150 В)	Контакт 24 блока 3	Контакт В (+150 В)
<i>д</i>	Контакт KT_8 блока 3	Контакт KT_8 блока 3	Контакт KT_8 блока 3	Контакт KT_8 блока 3
<i>е</i>	Контакт 4 блока 2	Контакт 4 блока 2	Контакт 3 блока 2	Контакт 3 блока 2
<i>ж</i>				

Таблица 6-3

низкочастотного адаптера

контактов		
4	5	6
Вход сигнала звукового сопровождения: входное сопротивление 10 кОм; входное напряжение 0,1—2 В	Напряжение питания +12 В/100 мА	Вход сигнала звукового сопровождения со второй дорожки: входное сопротивление 10 кОм; входное напряжение звукового сигнала 0,1—2 В
Выход сигнала звукового сопровождения: выходное сопротивление 10 кОм; выходное напряжение 0,1—2 В	Напряжение питания +12 В/100 мА	Дополнительный выход звукового и коммутирующего сигналов: выходное сопротивление 1 кОм; выходное напряжение 0,1—2 В; дополнительное коммутирующее постоянное напряжение +12 В, подаваемое через последовательное сопротивление 0,5 МОм при работе с цветным сигналом и 0 В при работе с черно-белым сигналом

Таблица 6-4

к телевизорам различных типов

телевизора			
УЛПТ-61-11-11/12 («Электрон-205», «Электрон-205Д»)	УЛПТ-61-11-21/22 («Крым 217», «Электрон-206»)	УЛПТ-61-21И/22И («Электрон-206Д»)	ЛПТ-65-1-1 («Горизонт-101») ЛПТ-67-1-4/5
Соединение $R_{443}C_{427}$	Соединение $R_{381}C_{22}$	Соединение $4-R_{38}-4-C_{23}$	Соединение $3-R_{14}-3-C_{12}$
Вывод резистора R_{204}	Вывод резистора $2R_4$		Контакт 7 блока 1У2
Контакт 24 блока 3	Контакт 53 блока 43	Контакт 53 блока 43	Контакт 34 блока 1У4
Контакт В (+150 В)	Контакт Б (+145 В)	Контакт В (+145 В)	Контакт Д (+150 В)
Контакт КТ ₈ блока 3	Контакт ЗКТ11 блока У3	Контакт ЗКТ11 блока У3	Контакт КТВ блока 1У4
Контакт 3 блока 2	Контакт 20 блока У2	Контакт 20 блока У2И	Контакт 9 блока 1У2
		Контакт 2-КТ ₂ блока У2И	

Существуют более сложные схемы адаптеров, у которых в канале изображения имеется АРУ, поддерживающая постоянный уровень сигнала на входе видеоманитона. Адаптер для цветного телевизора обычно имеет АРУ в канале цвет-

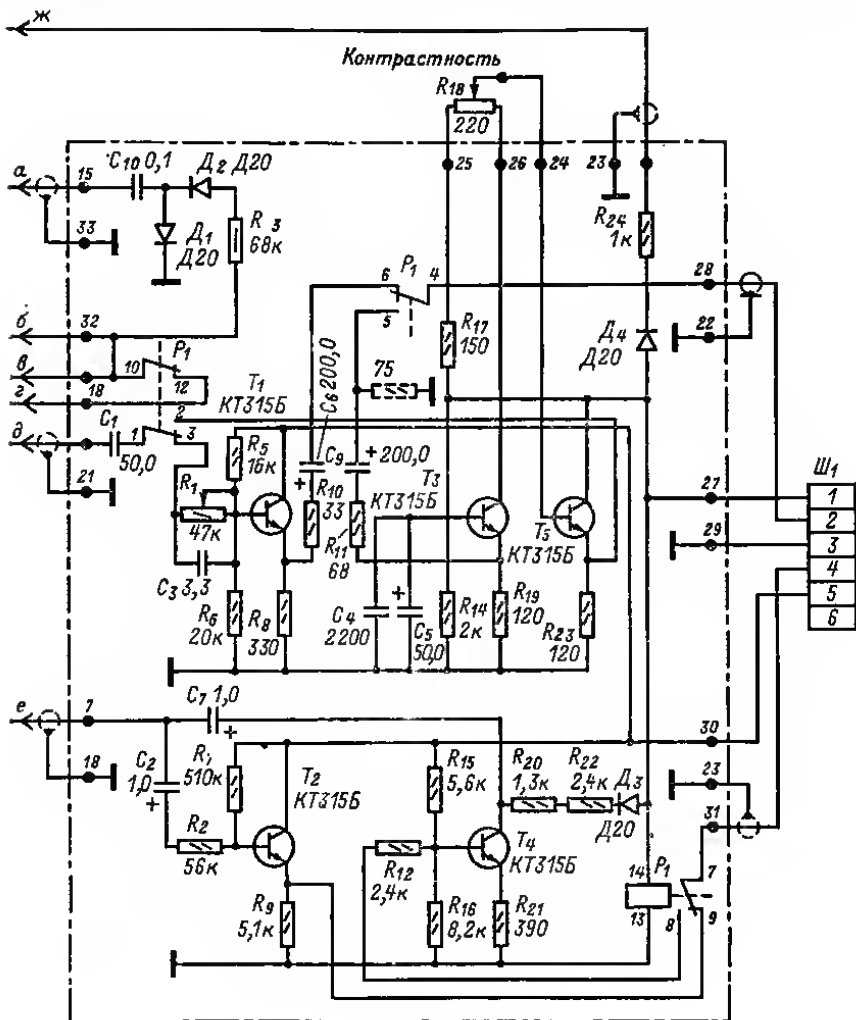


Рис. 6-30.

ности, обеспечивающую номинальный размах поднесущей цветности в записываемом цветном сигнале.

Применяют также высокочастотные адаптеры, подключаемые к антенным входам телевизоров. В этом случае переделка телевизора не нужна. Такой адаптер содержит высокочастотные модуляторы для звука и изображения, поэтому его схема значительно сложнее по конструкции и более трудна в настройке.



АППАРАТУРА ДЛЯ ЛЮБИТЕЛЬСКОЙ РАДИОСВЯЗИ

РАЗДЕЛ 7

СОДЕРЖАНИЕ

7-1. Общие сведения	391
7-2. Передатчики	392
7-3. Приемники для любительской радиосвязи	410
7-4. Трансиверы	413

7-1. ОБЩИЕ СВЕДЕНИЯ

Диапазоны частот для любительской радиосвязи

Любительским радиостанциям разрешена работа в следующих диапазонах частот:

КВ

80-метровом	3,5—3,65 МГц
40-метровом	7,0—7,1 МГц
20-метровом	14,0—14,35 МГц
15-метровом	21,0—21,45 МГц
10-метровом	28,0—29,7 МГц

УКВ

2-метровом	144—146 МГц
70-сантиметровом	430—440 МГц
23-сантиметровом	1,215—1,30 ГГц
5-сантиметровом	5,65—5,67 ГГц
3-сантиметровом	10,0—10,5 ГГц
1,5-сантиметровом	21,0—22,0 ГГц

Постройка передатчика и работа на нем допустимы только после получения разрешения органов Министерства связи, которое выдается по ходатайству комитета ДОСААФ или спортивного клуба при радиотехнической школе.

Виды работ и категории любительских радиостанций

При любительских связях применяются телеграфия незатухающими колебаниями; телефония с АМ; телефония с АМ на одной боковой полосе частот; телефония с ЧМ.

Коротковолновым станциям третьей категории разрешается передача телеграфом в диапазонах 80, 40, 10 м и всех УКВ диапазонах. При работе в диапазонах 80, 40 и 10 м мощность передатчика не должна быть более 10 Вт, а в УКВ диапазонах — 5 Вт. Работа телефоном с АМ разрешается в диапазоне 28,2—29,7 МГц, а с АМ и ЧМ — на всех УКВ диапазонах.

Коротковолновым станциям второй категории разрешается работа телеграфом в диапазонах 80, 40, 20, 10 м и всех УКВ диапазонах. При работе в диапазонах 80, 40, 20 и 10 м мощность передатчика не должна превышать 40 Вт, а в диапазонах УКВ — 5 Вт. Работа телефоном с АМ или на одной боковой полосе разрешается в диапазонах 3,6—3,65; 28,2—29,7 МГц и с АМ и ЧМ в УКВ диапазонах.

Радиостанциям второй категории коллективного пользования дополнительно разрешается работа телефоном с АМ или на одной боковой полосе в диапазонах 7,04—7,10 и 14,11—14,35 МГц.

Коротковолновым радиостанциям первой категории разрешается работа телеграфом во всех любительских КВ диапазонах при мощности передатчика не более 200 Вт и в УКВ диапазонах при мощности до 5 Вт, в также телефоном с АМ или на одной боковой полосе в диапазонах: 3,60—3,65 кГц и 7,04—7,10; 14,11—14,35; 21,15—21,45; 28,2—29,7 МГц и с ЧМ или АМ на УКВ.

Для УКВ любительских станций распределение мощности и видов работы по категориям такое же, как и для КВ станций.

7-2. ПЕРЕДАТЧИКИ

Параметры передатчиков

Выходная мощность — мощность полезного сигнала, отдаваемая передатчиком в фидер, питающий антенну. Выходную мощность передатчика можно определить с достаточной точностью, нагружая его на лампу накаливания и подобрав ее мощность так, чтобы она горела с полным накалом.

Подводимая мощность — мощность постоянного тока, поступающая от источника питания и выходному каскаду передатчика (указывается в разрешении на любительскую радиостанцию). При работе телеграфом подводимая мощность равна произведению напряжения источника питания анодной цепи выходного каскада передатчика на анодный ток этого каскада при нажатии на ключ.

При работе телефоном с АМ или ЧМ мощность, подводимая к выходному каскаду, определяется в отсутствие модулирующего сигнала.

При работе на одной боковой полосе различают среднее значение подводимой мощности и мощность, подводимую при пиках огибающей сигнала. Последняя измеряется как произведение напряжения источника питания анодной цепи выходного каскада на анодный ток этого каскада в момент передачи максимально возможной амплитуды синусоидального (однотонного) сигнала.

В однопольном телефонном передатчике без искусственного сжатия динамического диапазона излучаемого сигнала средняя мощность, подводимая к выходному каскаду, может быть принята равной половине мощности, подводимой на пиках огибающей. При применении устройств сжатия динамического диапазона средняя мощность возрастает и может быть близка к мощности на пиках огибающей.

Коэффициент полезного действия (к. п. д.) передатчика — отношение выходной мощности к мощности, потребляемой от источников питания. Любительские передатчики обычно имеют к. п. д. 20—50%.

Абсолютная стабильность частоты характеризуется величиной ухода частоты передатчика за определенное время; для любительского передатчика зв 15 мин работы она должна быть не более: при работе телеграфом — 1 кГц; при работе телефоном с АМ — 2 кГц; при работе на одной боковой полосе — 200 Гц.

Относительная стабильность частоты — отношение максимального ухода частоты к частоте, на которой работает передатчик. Работа радиолюбительских передатчиков с относительной стабильностью частоты хуже 0,02% за 15 мин работы запрещена.

Точность установки частоты — максимальная ошибка установки частоты передатчика по его шкале. Определяется конструкцией шкалы установки частоты передатчика и стабильностью его частоты. Для обеспечения выхода на связь на указанной корреспондентом частоте точность установки частоты должна быть не хуже 3 кГц.

Структурные схемы любительских передатчиков

Телеграфный передатчик на один диапазон (рис. 7-1, а). Задающий генератор (ЗГ) вырабатывает стабильные по частоте колебания ВЧ. Усилитель мощности (УМ) усиливает эти колебания и устраняет влияние изменения параметров витрины на частоту передатчика. Управление излучением (телеграфная манипуляция) осуществляется в усилителе мощности.

Передатчик для работы телеграфом на нескольких диапазонах (рис. 7-1, б). Задающий генератор работает в диапазоне частот наиболее низкочастотного из используемых любительских диапазонов или в диапазоне частот, в целое число раз меньших частот этого диапазона. Требуемые частоты на выходе передатчика получают с помощью умножителей (обычно удвоителей или утроителей) частоты. Например, передатчик, предназначенный для работы в 80, 40, 20, 15 и 10-метровом диапазоне, может иметь ЗГ, работающий в 80-метровом диапазоне. При работе в диапазоне 80 м умножение частоты не используется, при работе на 40 м применяется один удвоитель частоты, на 20 м — два удвоителя частоты, включенных последовательно, на 10 м — три удвоителя и на 15 м — включенные последовательно удвоитель и утроитель частоты. Лампа или транзистор ЗГ нередко одновременно осуществляют удвоение или утроение частоты.

Телефонный передатчик с АМ (рис. 7-2). Для телефонирования с АМ передатчик должен иметь модулятор (М). Модуляция осуществляется в мощном усилителе (выходном каскаде) передатчика (УМ).

Телефонный передатчик, работающий на одной боковой полосе частот (рис. 7-3, а). На выходе устройства формирования однополосного сигнала (УФОС) получается однополосный сигнал с фиксированной частотой. Задающий генератор, обеспечивающий перестройку передатчика, работает в диапазоне частот, зависящем от диапазона, в котором должен работать передатчик, и от частоты, на которой формируется однополосный сигнал. Один из возможных вариантов выбора частот устройства формирования однополосного сигнала и ЗГ: однопо-

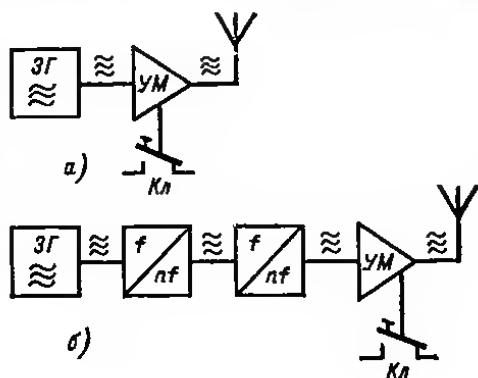
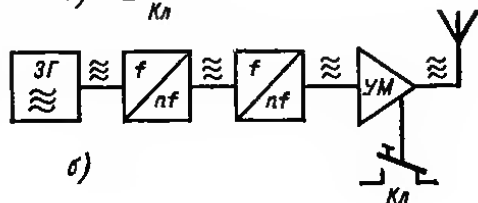


Рис. 7-1.



лосный сигнал формируется на частоте 5,25 МГц; ЗГ работает в 80-метровом диапазоне на частотах 8,75—8,90 МГц, в 40-метровом — 12,25—12,35 МГц, на 20 м — 8,75—9,1 МГц, в 15-метровом — 15,75—16,2 МГц и в 10-метровом — 22,75—24,45 МГц.

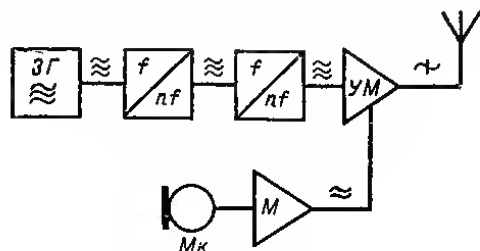


Рис. 7-2.

Передатчик по структурной схеме на рис. 7-3, а может быть выполнен при формировании однополосного сигнала на частотах не менее 2 МГц. При более низких частотах формирования сигнала необходимо использовать два преобразования частоты. Структурная схема такого передатчика приведена на рис. 7-3, б. Первый смеситель и перестраиваемый ЗГ обеспечивают

перенос сформированного однополосного сигнала в диапазон частот, лежащий выше частоты 2 МГц. Перестраиваемый фильтр, включенный на выходе первого смесителя, выделяет однополосный сигнал на частоте, равной сумме или разности частот формирования и ЗГ. Перенос этой частоты в любительские диапазоны осуществляется вторым смесителем и генератором фиксированных частот. Одним из часто используемых радиолюбителями вариантов выполнения передатчика по схеме на рис. 7-3, б является следующий: однополосный сигнал формируется на частоте 0,5 МГц;

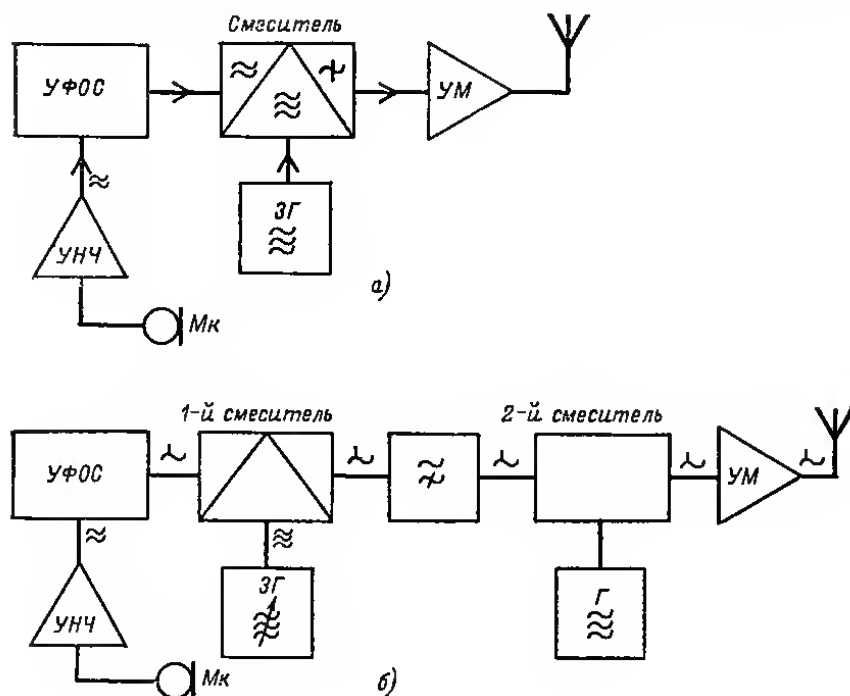


Рис. 7-3.

ЗГ работает в диапазоне частот 5,5—6 МГц; перестраиваемый фильтр выделяет суммарную частоту и работает в диапазоне 6—6,5 МГц. Генератор фиксированных частот в 80-метровом диапазоне работает на частоте 10 МГц, на 40 м — 13,5 МГц, на 20 м — 8 МГц, 15 м — 15 МГц; для перекрытия 10-метрового диапазона используются частоты 22,0; 22,5; 23,0; 23,5 МГц.

Задающие генераторы. Стабилизация частоты

Задающий генератор может работать на одной фиксированной частоте или перестраиваться в требуемом диапазоне частот. Основное требование, предъявляемое ко всякому ЗГ — стабильность частоты колебаний на его выходе.

Ламповый генератор с параметрической стабилизацией на фиксированную частоту (рис. 7-4). При указанных на схемах емкостях конденсаторов колебательного контура и катушке L_1 с приводимыми далее конструктивными данными на выходе генератора получаются колебания со стабильной частотой 0,5 МГц. По такой схеме можно выполнить генератор фиксированной (опорной) частоты передатчика, работающего на одной боковой полосе частот.

Катушка L_1 намотана на пластмассовом каркасе $\varnothing 10$ мм способом «универсаль» проводом ЛЭШО $7 \times 0,07$, ширина намотки 8, высота 3 мм, число витков 180.

Катушка L_2 намотана виал на каркасе $\varnothing 9$ мм с сердечником типа СР-1; длина намотки 15 мм; 150 витков ЛЭШО $21 \times 0,05$; длина намотки 15 мм. Катушка связи L_3 намотана на том же каркасе вплотную к заземленному концу катушки L_2 и содержит 15—20 витков ПЭВ-1 0,3.

Изменением емкости конденсатора C_2 можно регулировать частоту в некоторых пределах, что позволяет точно сопрячь частоту генератора с характеристикой фильтра. Серьезным недостатком ЗГ на лампе является наличие начального выбега частоты на величину около 0,01% и зависимость частоты от напряжения накала. Поэтому выполнять на лампах ЗГ, работающие на частотах выше 1 МГц, нецелесообразно.

Генератор с параметрической стабилизацией на полевом транзисторе для телефонного однополосного передатчика может быть построен по структурной схеме на рис. 7-3, б с выходными частотами, указанными в предыдущем параграфе. При работе передатчика в 20 и 80-метровом диапазонах выходной контур настраивается на основную частоту генератора (включается катушка L_4 с конденсатором C_{16} , см. рис. 7-5), а на 10, 15 и 40-метровых диапазонах — на вторую гармонику.

Каждый из конденсаторов, подключаемых к катушке L_1 переключателем Π_1 , состоит из двух конденсаторов постоянной емкости и подстроечника с воздушным диэлектриком, с помощью которого производится установка частоты начала диапазона. Каждая емкость C_1 , C_3 , C_5 , C_7 образована двумя конденсаторами: одним с нулевым, а другим с отрицательным ТКЕ. Соотношение емкостей этих конденсаторов зависит от типа катушки L_1 и ТКЕ конденсатора переменной емкости.

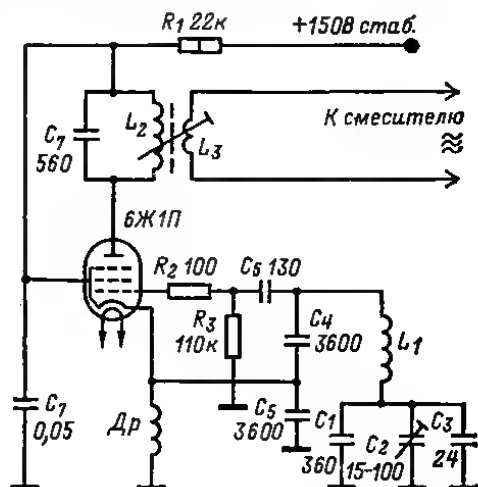


Рис. 7-4

Катушка L_1 намотана на керамическом каркасе $\varnothing 20$ мм посеребренным неизолированным проводом $\varnothing 0,8$ мм, длина намотки 11 мм, число витков 7, отвод от 2-го витка, считая от заземленного конца. (Конденсатор C_{12} ошибочно показан справа от L_1 ; он должен быть слева от L_1 .)

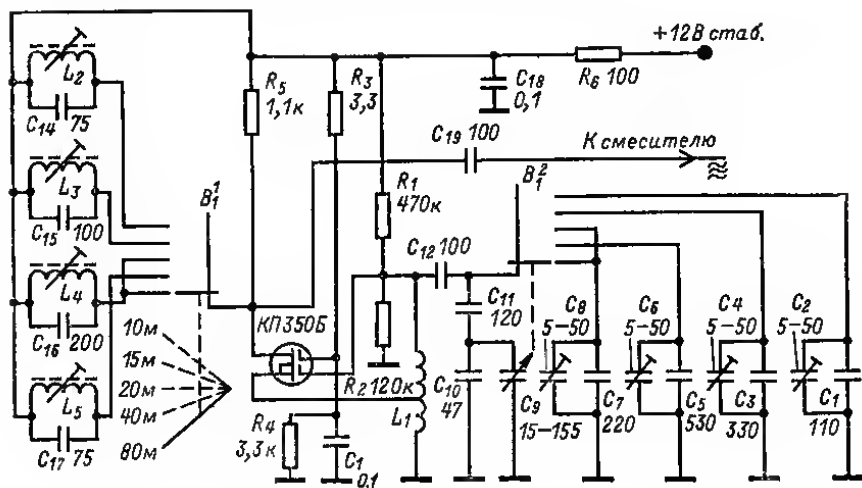


Рис. 7-5.

Катушки L_2 , L_3 , L_4 и L_5 намотаны проводом ПЭШО 0,44 на пластмассовых каркасах $\varnothing 8,8$ мм с сердечниками-подстроечниками СЦР-1; намотка однослойная виток к витку (катушка L_2 — 6 витков, L_3 — 10 витков, L_4 — 14 витков, L_5 — 12 витков).

При тщательном выполнении термокомпенсации уход частоты этого генератора на 10-метровом диапазоне не превышает 50 Гц за 1 ч работы, причем начальный выбег частоты практически отсутствует.

Задающий генератор на транзисторе КТ306А-В (рис. 7-6). С данными деталей, обозначенными на схеме, генератор работает в диапазоне частот 2—3 МГц. При других параметрах контура и элементов связи могут быть получены частоты до 20 МГц. Выбег частоты практически нет.

Катушка L_1 намотана на керамическом каркасе $\varnothing 10$ мм проводом ПЭВ-2 0,35, длина намотки 11 мм, число витков 28. Конденсатор C_1 — типа КТ-2-М700, C_2 — КТ-2-П100.

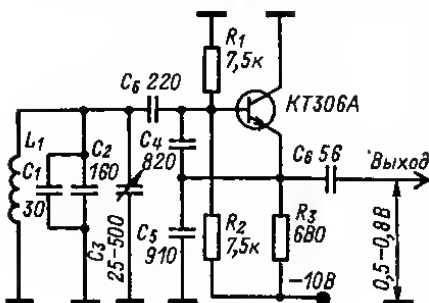


Рис. 7-6.

Конструирование задающих генераторов с параметрической стабилизацией. Особое внимание следует обращать на механическую жесткость конструкции. Монтаж желательно выполнять на фрезерованном или свинченном из толстых (4—5 мм) дюралевых пластин шасси. Детали колебательных контуров следует крепить жестко и располагать так, чтобы они не подвергались непосредственному нагреву лампами и другими деталями. Монтажные проводники, вхо-

дающие в контур, должны быть возможно более короткими и прямыми. Все заземляемые элементы контура должны быть присоединены к одной точке шасси.

Контур ЗГ должен быть защищен экраном (сплошным или в виде перегородки) от воздействия ВЧ полей последующих каскадов. В катушках нельзя использовать сердечники из альсифера, феррита и других ферромагнитных материалов, так как под воздействием случайных НЧ полей (от трансформатора питания, дросселя и т. д.) они меняют свои параметры, что может вызвать паразитную ЧМ.

Детали контура. Катушки ЗГ, работающих на частотах 0,5—1 МГц, наматывают проводом ЛЭШО в один слой или способом «универсаль» на пластмассовые или керамические каркасы \varnothing 9—12 мм и после намотки пропитывают полистиролом, растворенным в бензоле, или клеем БФ-2 и высушивают при температуре 80—100° С.

Для генераторов колебаний частоты 3—15 МГц лучшими являются керамические катушки с обмоткой, выполненной методом вжигания серебра. Удовлетворительные результаты получаются при использовании керамических и пластмассовых каркасов с канавками. Обмотка укладывается в канавку так, чтобы витки не касались друг друга. Используется голый посеребренный медный провод или провод ПЭВ-2 \varnothing 0,6—1,0 мм. При намотке следует туго натягивать провод, так чтобы он плотно прилегал к каркасу. По окончании намотки обмотку следует прокрасить полистироловым лаком или клеем БФ-2 и тщательно просушить при 80—100° С.

В контуре ЗГ необходимо применять конденсаторы с малым ТКЕ: переменные и подстроечные с воздушным диэлектриком, керамические конденсаторы постоянной емкости, окрашенные в голубой или серый цвет.

Питание задающего генератора. Питающие напряжения ЗГ с параметрической стабилизацией должны быть стабилизированы: нужно использовать минимально возможные анодные и экранирующие напряжения, обеспечивающие надежность генерации и необходимые выходные напряжения.

Для стабилизации напряжений на аноде и на экранирующей сетке могут быть использованы газоразрядные или кремниевые стабилизаторы с $U_{ст} = 70 \div 105$ В. При использовании транзисторов стабилизированное напряжение может быть получено при применении кремниевых стабилизаторов.

Задающие генераторы с кварцевой стабилизацией вырабатывают ВЧ колебания, соответствующие основной частоте примененного кварцевого резонатора или его гармоник со стабильностью, вполне достаточной для обеспечения любительских связей.

Генераторы с кварцевой стабилизацией имеют важные преимущества: в то время как при параметрической стабилизации конструкция генератора, выбор деталей и стабильность питающих напряжений имеют первостепенное значение, при стабилизации кварцем эти факторы практически не влияют на частоту колебаний, вырабатываемых генератором.

Генераторы опорной (несущей) частоты для телефонных передатчиков с фильтровым методом формирования однополосного сигнала по схемам на рис. 7-7 рассчитаны для работы на балансные модуляторы с диодами. Здесь применены кварцевые резонаторы на 0,5 МГц.

В генераторе по схеме рис. 7-7, а катушка L_1 состоит из 150 витков ЛЭШО $21 \times 0,05$, намотанных «виавал» на длине 15 мм каркаса \varnothing 9 мм с сердечником СПР-1. Катушка связи L_2 намотана проводом ПЭВ-1 0,3 вплотную к заземленному по высокой частоте концу катушки L_1 и содержит 15—20 витков.

В генераторе по схеме рис. 7-7, б катушки находятся в сердечнике СБ-12а и содержат: L_1 — 120 витков ПЭВ-2 0,1; L_2 — 7 витков ПЭЛШО 0,1; L_3 — 30 витков ПЭЛШО 0,1. Генератор, собранный по схеме рис. 7-7, б, устойчиво работает при использовании кварцевых резонаторов на основной частоте или на механических гармониках, т. е. на частотах, в 3 или 5 раз больших основной частоты резонатора.

На рис. 7-8 приведены схемы кварцевых генераторов, которые могут быть использованы в качестве генератора фиксированных частот для передатчика, выполненного по структурной схеме на рис. 7-3, 6.

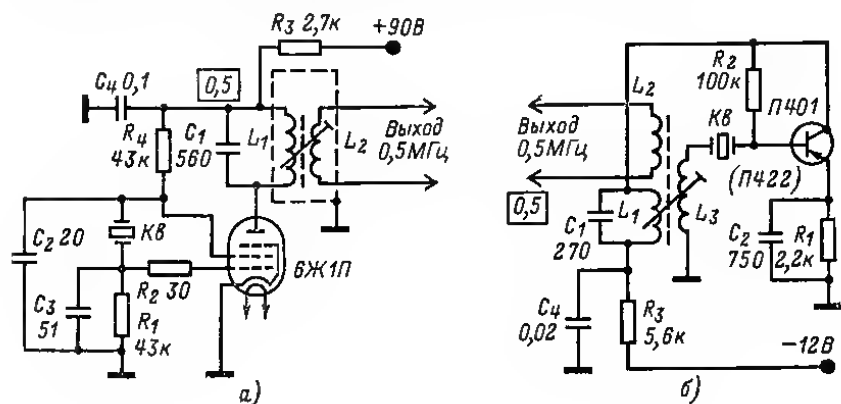


Рис. 7-7.

Ламповый генератор по схеме на рис. 7-8, а надежно работает с кварцевыми резонаторами на частоты 3,5—25 МГц. Анодный контур L_1C_1 настраивают на основную частоту кварца, или на его гармонику.

Транзисторный генератор по схеме на рис. 7-8, б предназначен для работы с кварцевыми резонаторами на частоты 2—15 МГц и обеспечивает получение

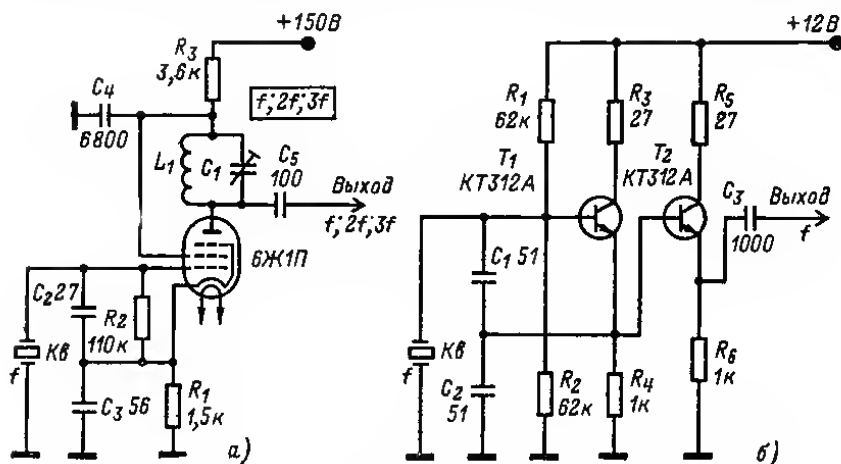


Рис. 7-8.

на выходе напряжения с частотой кварца. Этот генератор предназначен для работы на низкоомную нагрузку (например, диодный модулятор или смеситель).

Умножители частоты

Для умножения частоты применяют транзисторный или ламповый каскад (рис. 7-9), работающий на нелинейном участке характеристик; нагрузкой каскада служит контур L_1C_1 , настроенный на нужную гармонику.

Обычно используют удвоители и утроители частоты. Умножение частоты в большее число раз нецелесообразно вследствие малого к. п. д. каскада. На вход транзисторного умножителя частоты должно быть подано напряжение ВЧ

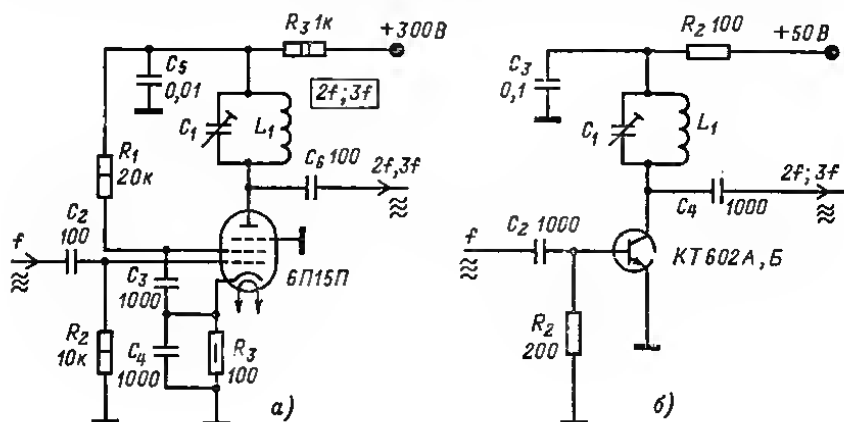


Рис. 7-9.

не менее 1—1,5 В. При эквивалентном сопротивлении контура L_1C_1 1 кОм выходное напряжение будет не менее 30 В. На вход лампового удвоителя частоты должно быть подано напряжение ВЧ не менее 15—20 В. При эквивалентном сопротивлении контура, настроенного на вторую гармонику, равном 5—8 кОм, на выходе каскада будет напряжение 100—120 В. При работе каскада в режиме утроения на его вход должно быть подано напряжение ВЧ не менее 25—30 В; при эквивалентном сопротивлении анодного контура, настроенного на третью гармонику частоты входного сигнала, 10—15 кОм получим выходное напряжение 70—100 В.

Преобразователи частоты

Преобразователи частоты используют для получения рабочих частот в передатчиках, работающих на одной боковой полосе. Такой преобразователь должен обеспечивать линейную зависимость амплитуды выходного сигнала от амплитуды входного однополосного сигнала.

Преобразователь частоты состоит из смесителя, генератора вспомогательной частоты и фильтра. Генераторы используют с кварцевой или параметрической стабилизацией частоты.

Смеситель на пентоде (рис. 7-10, а) обладает высокой линейностью амплитудной характеристики и большим входным сопротивлением. Подавление сигнала с частотой вспомогательного генератора и входного сигнала в преобразователе частоты обеспечивается фильтром, включенным на выходе смесителя.

Контур L_1C_1 в анодной цепи смесителя настраивается на выделяемую (разностную или суммарную) частоту; его эквивалентное сопротивление должно быть 5—10 кОм. При соотношении частот однополосного сигнала на входе смесителя

и вспомогательного генератора 1 : 10 (например: частоты однополосного сигнала 0,5 МГц, частота вспомогательного генератора 4,75 МГц). Общее число контуров, настроенных на выделяемую частоту, должно быть не менее двух.

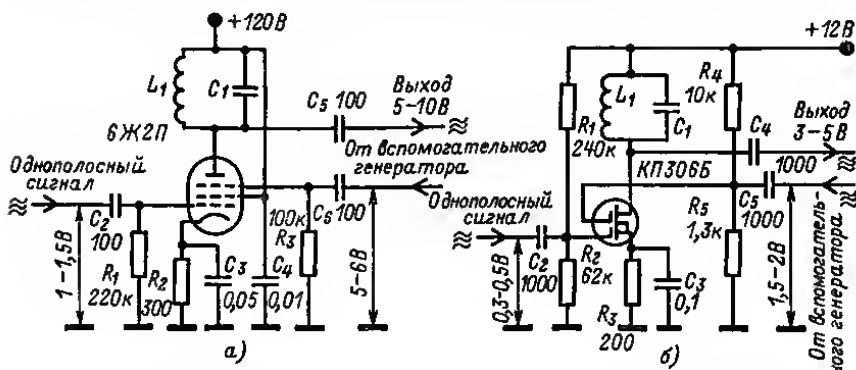


Рис. 7-10.

Не уступает по своим характеристикам смесителю на пентоде смеситель на полевом транзисторе с двумя затворами (рис. 7-10, б); благодаря большой крутизне характеристики полевого транзистора эквивалентное сопротивление контура L_1C_1 может быть снижено до 1—2 кОм.

Телеграфная манипуляция

Для передачи телеграфных сигналов необходимо осуществлять манипуляцию, т. е. управлять излучением передатчика с помощью телеграфного ключа. Ширина полосы частот, необходимая при максимальных скоростях передачи текста азбукой Морзе, используемых радиолюбителями (150—200 знаков в мин-

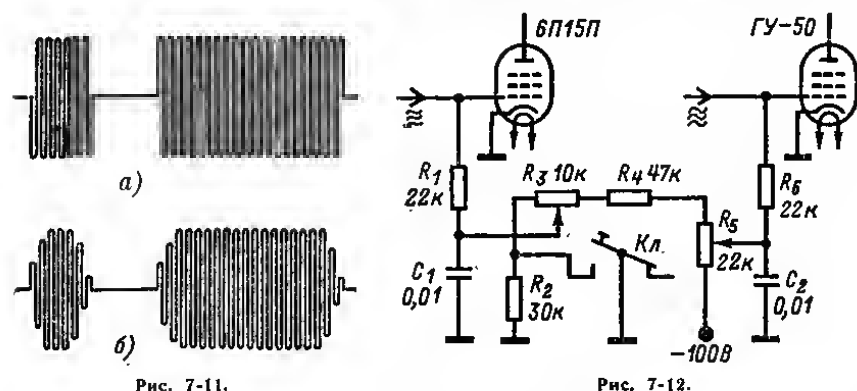
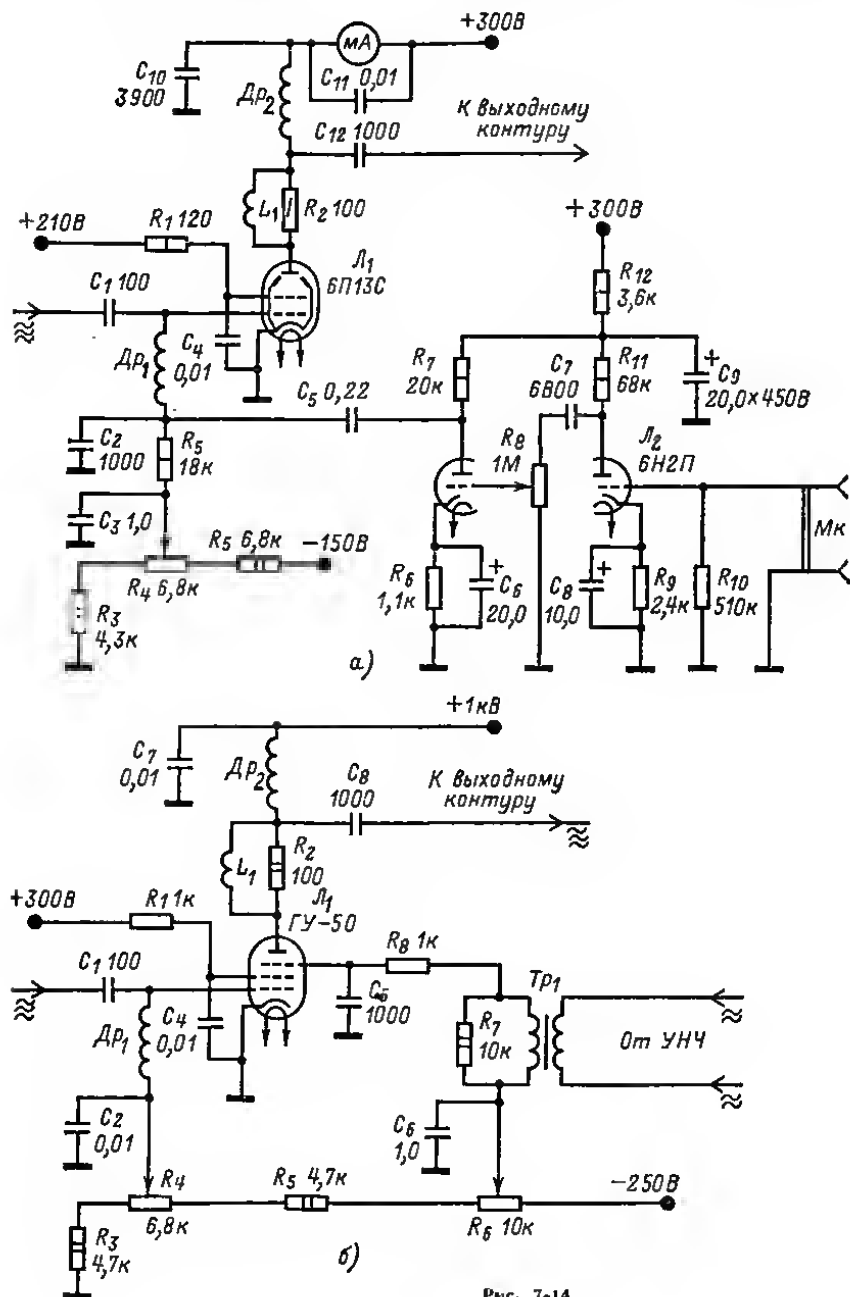


Рис. 7-11.

Рис. 7-12.

нуту), измеряется десятками герц. Однако если излучаемые колебания при манипуляции резко нарастают и спадают (рис. 7-11, а), то занимаемая телеграфным передатчиком полоса частот может быть во много раз шире. Это нежелательно, так как в широкой полосе вблизи рабочей частоты передатчика принимаются



На рис. 7-15 приведена схема транзисторного выходного каскада передатчика, в котором модуляция осуществляется по коллекторной цепи. При этом выходная мощность в телефонном режиме составляет от 50 до 100% мощности в телеграфном режиме. Для питания такого каскада для получения 100-процентной модуляции необходимо подать напряжение 20 В, сложенное с напряжением НЧ амплитудой 20 В. Ток потребления от этого источника напряжения до 0,5 А.

Частотная модуляция

Устройство по схеме на рис. 7-16 позволяет получить ЧМ сигнал в диапазоне 144—146 МГц. Частотная модуляция осуществляется за счет изменения емкости кремниевого стабилитрона Д810, включенного параллельно части контура $L_1C_1C_2$, настроенного на частоту 6 МГц. После умножения частоты на диапазоне 144 МГц девиация частоты составит около 12 кГц.

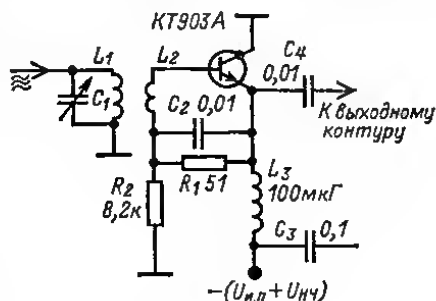


Рис. 7-15.

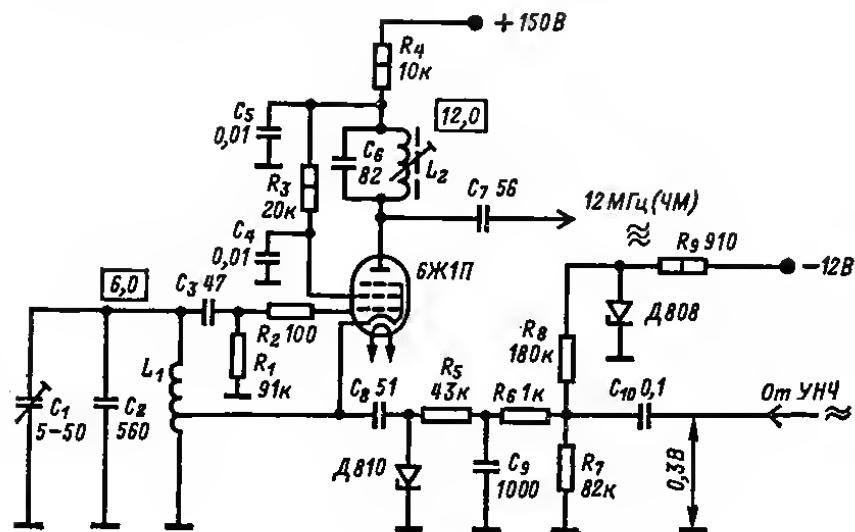


Рис. 7-16.

Катушка L_1 намотана на керамическом каркасе $\varnothing 20$ мм посеребренным проводом $\varnothing 0,8$ мм; длина намотки 11 мм, число витков 7, отвод от 2-го витка.

Катушка L_2 намотана виток к витку на пластмассовом каркасе $\varnothing 9$ мм; 12 витков ПЭШО 0,44. Анодный контур генератора L_2C_6 настраивается на вторую гармонику (12 МГц) сердечником СЦР-1 контурной катушки.

Формирование однополосного сигнала

При формировании однополосного сигнала из спектра АМ сигнала, состоящего из нижней боковой полосы несущей частоты и верхней боковой полосы (рис. 7-17, а), выделяют одну верхнюю (рис. 7-17, б) либо нижнюю боковую полосу.

Несущая частота подавляется в балансном модуляторе, а верхняя боковая полоса частот выделяется с помощью фильтра, обеспечивающего неискаженную передачу всего спектра используемой боковой полосы и достаточное подавление нижней боковой полосы. Однополосный сигнал формируется на частоте, определяемой параметрами фильтра.

В схеме на рис. 7-18, а балансный модулятор на двойном триоде 6Н3П работает при сравнительно высоких уровнях сигнала НЧ (2—2,5 В) и напряжения от генератора ВЧ (20—25 В). На выходе балансного модулятора включен электромеханический фильтр ЭМФ-500-9Д-3В

(средняя частота 0,5 МГц, полоса пропускания 3 иГц, выделяет верхнюю боковую полосу). Получаемый на выходе устройства однополосный сигнал с амплитудой 1 В достаточен для подачи на вход преобразователя частоты без применения дополнительного усилителя.

Трансформатор Tr_1 : магнитопровод Ш12 \times 20 без зазора; обмотка I — 1500 витков ПЭВ-1 0,1; обмотка II — 750 + 750 витков ПЭВ-1 0,1.

Устройство формирования однополосного сигнала по фильтровому методу, показанное на рис. 7-18, б, рассчитано на работу

с малыми уровнями сигналов (например, для работы с транзисторными УНЧ и генератором несущей частоты). Для использования этого устройства в передатчике с ламповым преобразователем частоты между его выходом и входом преобразователя частоты необходимо включить УПЧ на 0,5 МГц с коэффициентом усиления 10—15. L_1 является катушкой связи с генератором напряжения несущей частоты (например, L_8 в генераторе по схеме на рис. 7-7, б).

Чтобы получить сигнал нижней боковой полосы, несущая частота должна быть равной 503 иГц, при сохранении этой частоты равной 500 иГц должен быть применен электромеханический фильтр ЭМФ-500-9Д-3Н, выделяющий нижнюю боковую полосу.

Используя фильтровый метод формирования однополосного сигнала, можно обеспечить подавление несущей частоты на 50—60 дБ и второй боковой полосы на 40—50 дБ.

Усилитель мощности

Приступая к конструированию усилителя мощности по схеме на рис. 7-19, прежде всего нужно выбрать для него по табл. 7-1 тип лампы, исходя из требуемой выходной мощности $P_{\text{вых}}$ или подводимой к каскаду мощности.

Конденсатор связи с предыдущим каскадом C_1 подбирается в процессе настройки для получения требуемой амплитуды напряжения возбуждения; его емкость может быть 10—1000 пФ.

Сопротивление резистора R_1 не более 1 кОм; его можно заменить ВЧ дросселем. Источником сеточного смещения при работе с сеточными токами должен служить выпрямитель, нагруженный на сопротивление не более 1 кОм. При напряжении смещения более 100 В выпрямитель смещения будет потреблять значительную мощность, поэтому сопротивление нагрузки источника смещения целесообразно заменить газоразрядным стабилизатором, максимально допустимый ток через который $I_{\text{ст. макс}}$ должен быть больше сеточного тока лампы уси-

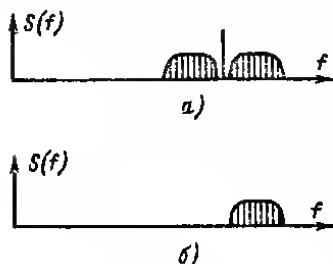


Рис. 7-17.

лителя мощности. При отсутствии сеточного тока через газоразрядный стабилитрон от источника смещения должен протекать ток, равный минимальному току стабилизации $I_{ст. мин.}$. Данные дросселя Dp для работы в любительских диапазонах 10, 15, 20, 40 и 80 м при напряжении питания анода не более 1 кВ и анодном токе до 300 мА: каркас из текстолита или керамики \varnothing 8 мм, намотка в один слой, 200 витков ПЭВ-1 0,24, длина намотки 55 мм.

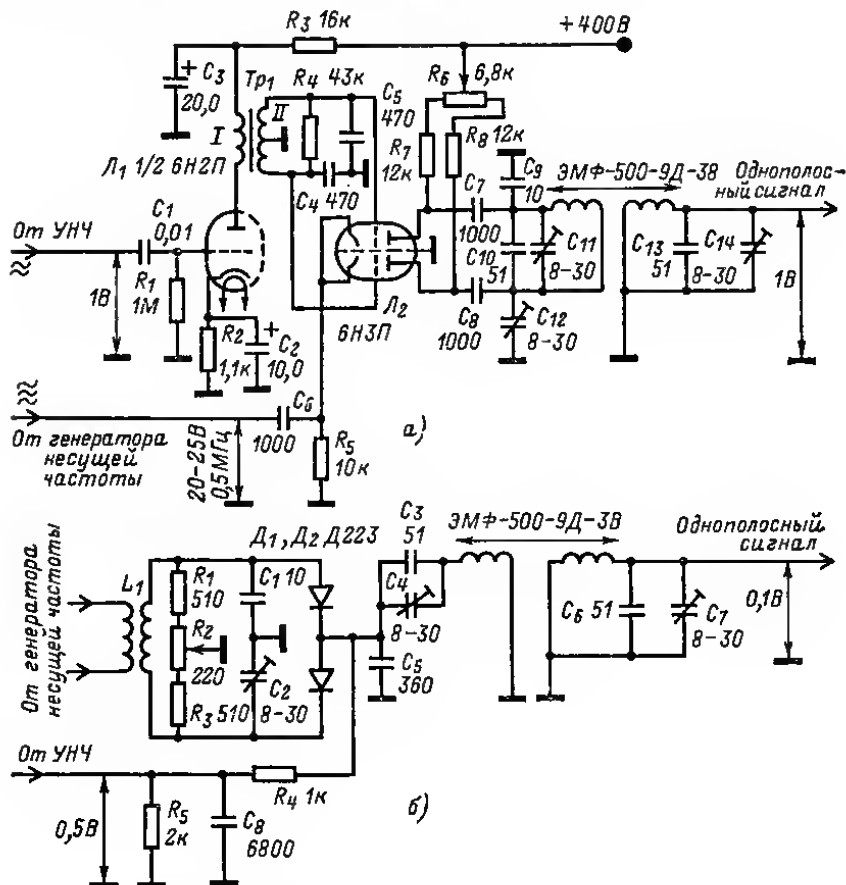


Рис. 7-18.

При более высоком напряжении питания анода можно использовать дроссель на 6-секционном текстолитовом или керамическом каркасе. Первая секция \varnothing 12 мм имеет длину 75 мм; вторая, четвертая и шестая секции \varnothing 28 мм длиной 12 мм; третья и пятая секции \varnothing 12 мм и длиной 10 мм; намотка проводом ПЭВ-1 0,31. В первой секции 160 витков, во второй 5, в третьей 20, в четвертой 15, в пятой 20 и в шестой 20 витков. С анодом лампы соединяется вывод, расположенный на первой секции.

Эквивалентное сопротивление выходного контура, нагруженного антенной, R_{0e} должно быть равно эквивалентному сопротивлению нагрузки лампы (см.

Таблица 7-1

Режимы работы ламп в усилителях мощности (рис. 7-1)

Тип лампы	$U_{a'}$ В	$U_{c2'}$ В	$U_{c1'}$ В	$U_{вхм'}$ В	$I_{a'}$ мА	$I_{c2'}$ мА	$I_{c1'}$ мА	$P_{c1'}$ Вт	$P_{вых'}$ Вт	$R_{oe'}$ кОм
6Ж11П	150	150	—4	4	25	6	0	0	2	2,5
6П15П	300	200	—12	12	30	6,5	0	0	5	4
6П13С	400	150	—18	18	90	9	0	0	22	2,3
ГУ-29*	500	200	—45	60	240	32	12	0,7	83	1,1
ГУ-50	1000	300	—80	100	120	15	5	0,5	90	4,75
Г-807	750	250	—45	60	100	6	3,5	0,2	50	4,2
ГУ-13	2000	350	—175	250	200	40	16	4	300	5
ГК-71	1500	300	—180	275	250	40	18	5	240	2,7

* Параллельное включение тетродов.

Таблица 7-2

Емкости выходного контура передатчика (рис. 7-19)

Сопротив- ление нагрузки каскада, Ом	Диапазон, м	Конден- саторы	Эквивалентное сопротивление контура R_{oe} , кОм							
			1	1,5	2	3	4	5	6	
			Емкости контура, пФ							
50	10	C_6	50	38	28	18	14	11	8	
		C_7	220	210	180	140	125	110	95	
	15	C_6	65	57	38	24	19	15	10	
		C_7	300	280	230	180	170	150	120	
	20	C_6	100	75	56	35	28	22	15	
		C_7	440	420	350	270	250	220	180	
	40	C_6	200	150	110	70	55	45	30	
		C_7	900	840	700	550	500	450	350	
	80	C_6	400	300	220	140	110	90	60	
		C_7	1800	1700	1400	1100	1000	900	700	
75	10	C_6	45	31	23	17	13	10	7	
		C_7	160	140	120	105	95	82	70	
	15	C_6	60	42	31	22	17	14	9	
		C_7	210	190	160	140	125	115	90	
	20	C_6	90	62	45	33	26	20	14	
		C_7	320	280	240	210	190	165	140	
	40	C_6	180	125	90	65	52	40	28	
		C_7	650	550	500	420	380	330	280	
	80	C_6	360	250	180	130	105	80	55	
		C_7	1300	1100	1000	850	760	600	550	

табл. 7-1). Величина R_{oe} определяет емкости выходного контура. При добротности нагруженного выходного контура равной 10, что обеспечивает его к. п. д. 90—95%, емкости контура должны соответствовать приведенным в табл. 7-2.

При настройке усилителя мощности, работающего на реальную антенну, входное сопротивление которой не равно волновому сопротивлению питающего антенну кабеля (50 или 75 Ом), оптимальная связь с антенной может быть получена при несильно отличном от указанного в табл. 7-2 значения C_7 . Поэтому максимальная емкость переменного конденсатора на выходе контура должна быть в 1,5—2 раза больше указанной в таблице. К емкости переменного конденсатора C_6 добавляется выходная емкость лампы. Поэтому на 10 и 14-метровом диапазонах иногда не удается реализовать полученное расчетом значение C_6 , что приводит к увеличению нагруженной добротности контура и, следовательно, снижению его к. п. д.

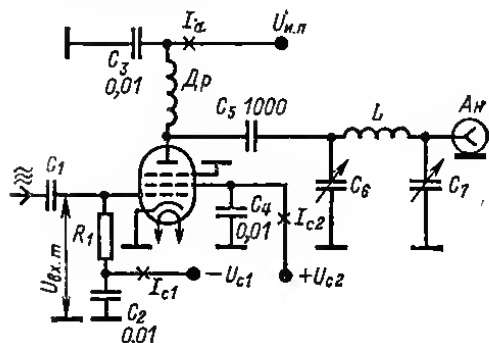


Рис. 7-19.

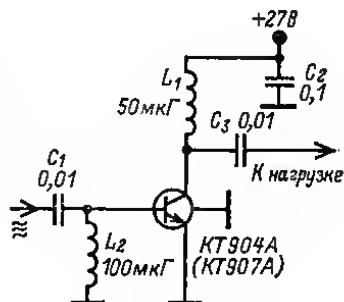


Рис. 7-20.

Индуктивность L должна обеспечивать настройку выходного контура на рабочую частоту при емкости

$$C = \frac{C_6 C_7}{C_6 + C_7}.$$

На рис. 7-20 приведена схема широкополосного транзисторного усилителя мощности, предназначенного для работы на частотах от 3,5 до 30 МГц. Усилитель потребляет от источника питания ток 0,3—0,4 А и отдает в нагрузку 50 Ом мощность 4—5 Вт.

Следует учитывать, что работа усилителя на нагрузку, отличающуюся от указанной более чем на $\pm 20\%$, недопустима: транзистор выйдет из строя (при уменьшении сопротивления — из-за перегрева транзистора, при увеличении — из-за пробоя коллекторного перехода).

Таким образом, усилитель по схеме рис. 7-20 может быть использован при работе передатчика на коаксиальный кабель с волновым сопротивлением 50 Ом или для возбуждения следующего каскада усиления мощности, причем его входное сопротивление должно быть близким к 50 Ом.

Паразитная генерация. Основной трудностью, которая встречается при налаживании усилителя мощности, является устранение паразитной генерации. В каскаде усилителя мощности может возникнуть три рода паразитных колебаний: 1) на частотах, очень низких по сравнению с рабочей частотой; 2) на рабочей частоте и 3) на частотах значительно более высоких, чем рабочая.

Паразитные колебания первого вида могут возникнуть при совпадении резонансных частот контуров, индуктивностями которых являются дроссели

в цепях сетки к анода лампы. Эти колебания легко устранить заменой одного из дросселей.

Нейтрализация проходной емкости лампы. Колебания на рабочей частоте возникают из-за наличия паразитных связей между контурами в сеточной и входной цепях лампы каскада. При хорошем экранировании этих контуров и отсутствии общих участков протекания контурных токов по шасси причиной генерации является проходная емкость лампы $C_{в.с.}$. Тогда в усилитель необходимо вводить цепь нейтрализации этой емкости. Удобная схема нейтрализации приведена на рис. 7-21; здесь L_2C_3 — ародный контур предыдущего каскада. Условие нейтрализации

$$C_{в}/C_{\phi} = C_{в.с.}/C_{с.к.}$$

где $C_{с.к.}$ — входная емкость лампы усилителя мощности.

Обычно емкость конденсатора $C_{\phi} = 100 \div 1000$ пФ; она должна быть такой, чтобы требуемое значение $C_{в}$ было в пределах 2—10 пФ (меньше значения увеличивают начальную емкость

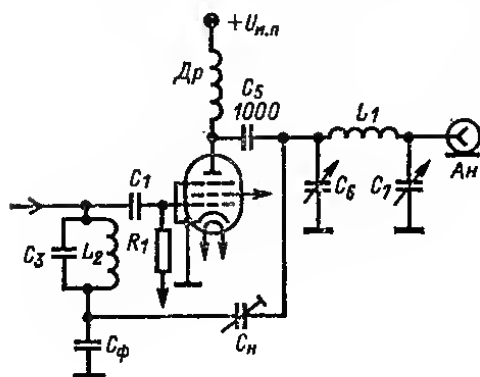


Рис. 7-21.

ния $C_{в}$ трудно реализовать, а большие заметко увеличивают начальную емкость входного контура).

Подавление самовозбуждения на частотах УКВ диапазона. Причиной возникновения самовозбуждения каскада на УКВ являются контуры, образуемые индуктивностями соединительных проводов к паразитным емкостям лампы.

Для предотвращения самовозбуждения на УКВ в каскад вводят резисторы R , шунтированные катушками L (рис. 7-22). Резисторы вносят в контуры, образованные соединительными проводниками и паразитными емкостями лампы, настолько больше затухания, что самовозбуждение каскада становится невозможным.

Катушки L «отключают» резисторы на рабочих частотах усилителя. Эти катушки выполняют в виде двух — четырех витков провода $\varnothing 0,8$ — 1,2 мм, намотанных на резисторах МЛТ-2. В большинстве случаев достаточно включить антипаразитный резистор только в анодную или только в сеточную цепь. В каскаде малой мощности достаточно включить антипаразитный резистор включением 10—30 Ом только в цепь сетки, не шунтируя его катушкой.

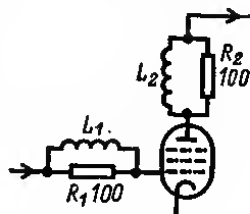


Рис. 7-22.

Линейные усилители мощности

При усилении однополосного сигнала необходимо сохранить линейную зависимость между входным и выходным сигналами, т. е. иметь усилитель с линейной амплитудной характеристикой. Получение такой характеристики зависит от типа лампы, правильного выбора ее режима, стабильности питающих напряжений, выбора схемы. Режимы работы отечественных ламп, наиболее пригодных для использования в линейных усилителях, приведены в табл. 7-3 и 7-4.

Практически схема выходного каскада средней мощности с применением автоматического смещения приведена на рис. 7-23. Напряжения, подаваемые на экранирующие сетки ламп, должны быть стабилизированы или подаваться от выпрямителей с малым внутренним сопротивлением.

Стабилизация смещения на управляющих сетках осуществляется стабилитроном в цепи катодов.

Выходной линейный усиленный каскад по схеме с заземленной сеткой. Типовая схема такого каскада дана на рис. 7-24. При использовании лампы ГК-71 его входное сопротивление около 200 Ом.

Данные дросселя в цепи накала при лампе ГК-71: на сердечник М700НМ-2-8 × 160 намотано 3—4 слоя лакоткани; обмотки намотаны одновременно сложением вдвое проводом ПЭВ-2 1,45—1,6 и занимают всю длину стержня. С учетом падения напряжения на дросселе обмотка накала трансформатора питания лампы ГК-71 должна давать напряжение 21 В.

Особенности электропитания передатчиков

Устройства питания ЗГ, умножителей, смесителей и каскадов предварительного усиления не отличаются от устройств питания приемников, УНЧ и т. д. Вместе с тем выпрямители, питающие предоконечные и выходные каскады передатчиков второй и первой категорий, имеют некоторые особенности. В зависимости от мощности передатчика и типа ламп, используемых в выходном каскаде, питающий их выпрямитель должен давать напряжение 500—2500 В при токе до 0,3 А.

Выпрямитель на напряжение более 600—700 В целесообразно выполнить по схеме с удвоением напряжения (см. рис. 9-7). Применяя выпрямитель по схеме на рис. 9-6 полным выпрямленным напряжением можно питать выходной каскад передатчика, а вдвое меньшее напряжение использовать для питания предоконечного каскада.

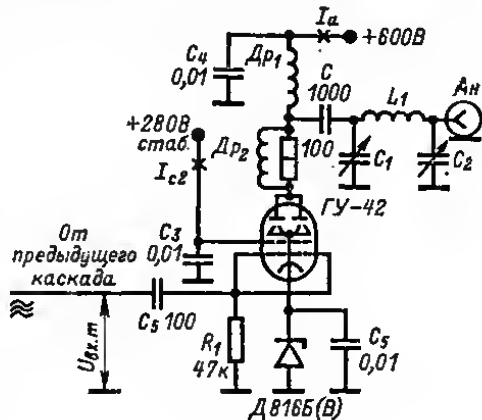


Рис. 7-23.

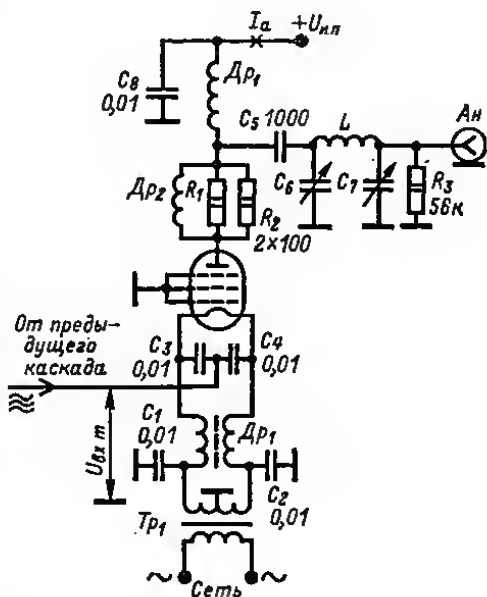


Рис. 7-24.

Таблица 7-3

Режимы работы ламп в линейных усилительных каскадах по схеме с заземленным катодом * (рис. 7-19, 7-24)

Тип лампы	U_a , В	U_{c2} , В	U_{c1} , В	$U_{вх.т}$, В	I_{a0} , мА	I_a , мА	I_{c2} , мА	I_{c1} , мА	P_{c1} , Вт	$P_{вх.т}$, Вт	R_{oe} , кОм
6Ж11П	150	150	—2,0	2	15	30	6	0	0	1,8	2
6П15П	300	150	—2,5	2,5	30	30	7	0	0	2,2	5
ГУ-42 **	600	250	—30	30	50	120	14	0	0	45	2,5
ГУ-29 **	500	200	—16	25	40	200	22	8	0,4	60	1
6П20С	500	200	—45	45	30	250	30	0	0	70	1
ГУ-50	1000	300	—50	50	30	120	15	0	0	75	5
ГУ-64	1200	400	—50	50	80	300	50	0	0	230	2,2
ГУ-13	2500	750	—95	118	18	180	28	5	0,2	325	8

* Напряжения питания указаны относительно катодов ламп; I_{a0} — ток в отсутствие возбуждения; I_a — ток при выходной мощности $P_{вх.т}$.

** Тетроды включены параллельно.

Таблица 7-4

Режимы работы ламп в линейных усилительных каскадах по схеме с заземленной сеткой (рис. 7-24)

Тип лампы	U_a , В	I_{a0} , мА	$U_{вх.т}$, В	$P_{вх.т}$, Вт	I_a , мА	$P_{вх.т}$, Вт	R_{oe} , кОм
ГУ-50	1200	15	60	9	125	95	6
Г-811	1500	23	85	14	155	170	6
ГК-71	2000	20	140	40	240	300	5,5
ГУ-13	2500	30	140	30	200	340	8

Выпрямитель и передатчик должны монтироваться в закрытых кожухах, исключающих возможность прикосновения к проводам и деталям, находящимся под высоким напряжением.

Конденсаторы фильтров высоковольтных выпрямителей должны быть зашунтированы сопротивлениями, обеспечивающими их разряд в течение 2—5 с после выключения передатчика.

В цепях первичных обмоток трансформаторов питания должны стоять плавкие предохранители или перегрузочные автоматы, быстро отключающие выпрямитель от сети при перегрузке.

7-3. ПРИЕМНИКИ ДЛЯ ЛЮБИТЕЛЬСКОЙ РАДИОСВЯЗИ

Основные параметры приемников

Сигналы дальних любительских радиостанций обычно очень слабы, а разница в их частотах может быть очень малой. Поэтому радиоприемники для любительской связи должны иметь значительно лучшие чувствительность и селективность по сравнению с приемниками для приема радиовещательных программ.

Практически приемники сигналов любительских КВ станций должны иметь чувствительность до 0,5—1 мкВ, а УКВ 0,1—0,5 мкВ. Избирательность таких приемников по зеркальному каналу должна быть не хуже 60—80 дБ, что можно обеспечить применением в приемниках двойного преобразования частоты.

Для приема телеграфных немодулированных сигналов в составе приемника (или в виде приставки) необходимо иметь дополнительный гетеродин, генерирующий колебания с частотой, близкой к промежуточной. Колебания эти подаются на детектор, и на его выходе можно получить биения со звуковой частотой.

Ширина полосы пропускания телеграфных сигналов может быть 100 Гц, однако, учитывая низкую стабильность частоты некоторых любительских станций, а также прием радиотелефонных сигналов, необходимо иметь возможность расширять полосу пропускания до 1—3 кГц.

Сужение полосы пропускания достигается применением ФСС, электромеханических или кварцевых фильтров.

Достаточно сильные сигналы любительских станций, работающих в 40-метровом диапазоне, удается принимать на имеющие такой диапазон радиовещательные приемники. Для приема телеграфных сигналов к радиовещательному приемнику нужно изготовить гетеродин-приставку на частоту 465 ± 2 кГц.

Гетеродины к радиовещательным приемникам для приема телеграфных сигналов

Простая схема гетеродина на транзисторе приведена на рис. 7-25. Катушка L_1 намотана на пластмассовом каркасе $\varnothing 8$ мм и состоит из двух секций шириной 5 мм, расстояние между секциями 33 мм. Каждая секция содержит 40 витков ЛЭШО $16 \times 0,09$. Выход гетеродина

подключается к незаземленному по высокой частоте концу нагруженного на детектор контура УПЧ. Подстроечным конденсатором C_1 устанавливают при среднем положении ротора конденсатора переменной емкости C_2 частоту гетеродина, равную промежуточной частоте приемника. Конденсатором C_2 устанавливают тон биений высотой около 1 кГц.

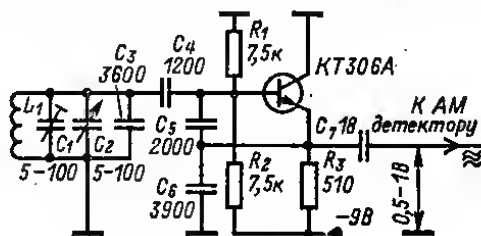


Рис. 7-25.

Гетеродин для лампового приемника, обеспечивающий прием телеграфных сигналов, может быть выполнен, например, по схеме на рис. 7-4. При этом катушка связи L_3 не нужна. Анод лампы 6Ж1П через конденсатор емкостью 1 пФ соединяют с контуром, нагруженным на детектор приемника.

Прием однополосных сигналов

Для приема однополосных сигналов может быть использован приемник с двойным преобразованием частоты. При этом подавленную в передатчике несущую частоту необходимо в приемнике восстановить, подавая на детектор от местного гетеродина напряжение с частотой, равной промежуточной. Для обеспечения неискаженного воспроизведения сигнала в приемнике должны быть приняты специальные меры. Стабильность частоты гетеродинов приемника при приеме однополосного сигнала должна быть такой, чтобы уход частоты преобразования в промежуточную частоту сигнала был не более 200 Гц за 15 мин работы. Такая стабильность частоты легко обеспечивается приемником с двойным преобразованием частоты, в котором частота первого гетеродина стабилизирована кварцем, а настройка приемника осуществляется изменением частоты второго гетеродина и первой промежуточной частоты. В этом случае уход частоты прием-

ника практически определяется только уходом частоты второго гетеродина, работающего на частотах 2—5 МГц. Требуемая стабильность частоты этого гетеродина $4 \cdot 10^{-6}$ — 10^{-4} может быть получена при использовании параметрической стабилизации (например, по схеме на рис. 7-6). Некоторые трудности вызывают сопряжение контуров усилителей ВЧ и первой ПЧ и приобретение комплекта кварцевых резонаторов, обеспечивающего работу на всех любительских диапазонах.

Можно также применить двойное преобразование частоты при фиксированной

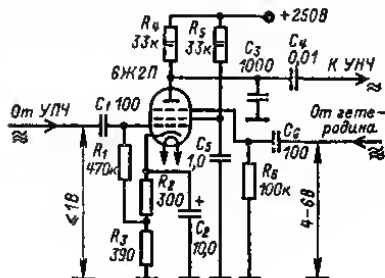


Рис. 7-26.

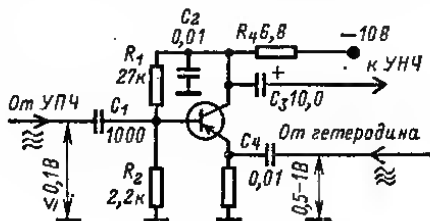


Рис. 7-27.

первой промежуточной частоте; в этом случае настройка приемника осуществляется изменением частоты первого гетеродина, сопряженной с настройкой контуров УВЧ. Требуемая относительная стабильность частоты первого гетеродина (10^{-5} при работе на 10-метровом диапазоне) может быть обеспечена при выполнении его, например, по схеме на рис. 7-5.

Приемники УКВ для приема однополосных сигналов должны иметь кварцевую стабилизацию частоты первого гетеродина.

Для реализации преимуществ однополосной радиосвязи приемник должен иметь полосу пропускания 2—3 кГц. Наилучшие результаты достигаются при применении в УПЧ электромагнитного фильтра.

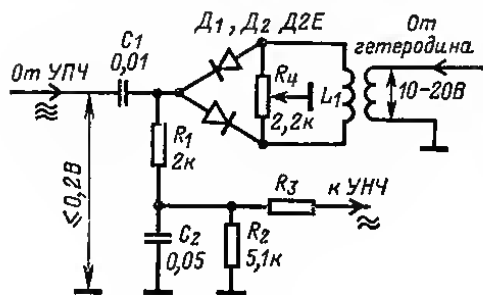


Рис. 7-28.

Для неискаженного приема однополосных сигналов необходимо использовать специальные схемы детектирования.

Детектор однополосного сигнала на пентоде (рис. 7-26). Однополосный сигнал разностной частоты выделяется в анодной цепи смесителя, выполненного на пентоде с двойным управлением. Конденсатор C_3 предотвращает проникание колебаний ВЧ сигналов на вход УНЧ.

Детектор однополосных сигналов для транзисторного приемника (рис. 7-27). Источником гетеродиного напряжения для этого детектора

может служить генератор по схеме на рис. 7-7, б. Напряжение от генератора в цепь эмиттера детектора подается с катушки связи L_2 , второй конец которой соединен с корпусом.

Детектор однополосных сигналов на полупроводниковых диодах (рис. 7-28). Источником гетеродиного сигнала может служить генератор по схеме на рис. 7-4, причем катушка L_1 в схеме детектора является катушкой L_3 в схеме генератора. Детектор имеет низкое входное сопротивление и напряжение на него должно сниматься с одной десятой части витков выходного контура УПЧ.

Устройства для измерения силы сигналов

Силу принимаемых радиосигналов в радиолюбительской практике принято оценивать в единицах S по 9-балльной системе. Сигнал силой S_9 создает на входе приемника напряжение 50 мкВ. Каждый меньший балл шкалы соответствует вдвое меньшему напряжению входного сигнала (меньше на 6 дБ). Сигнал с уровнем больше S_9 оценивают в децибеллах (например, $S_9 + 10$ дБ, $S_9 + 25$ дБ и т. д.).

Устройство, измеряющее силу сигналов в таких единицах, называется S -метром. Он работает от системы АРУ приемника и имеет на выходе стрелочный индикатор (микроамперметр, проградуированный непосредственно в единицах S).

S -метр по схеме, показанной на рис. 7-29, имеет шкалу от S_2 до $S_9 + 40$ дБ.

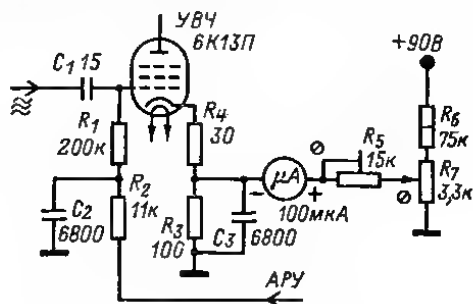


Рис. 7-29.

Напряже- ние ГСС мкВ	0,2	0,4	0,8	1,5	3	6	12	25	50	150	500	1500	5000
Деление S -метра	1	2	3	4	5	6	7	8	9	$9 \div 10$ дБ	$9 \div 20$ дБ	$9 \div 30$ дБ	$9 \div 40$ дБ

7-4. ТРАНСИВЕРЫ

Объединение приемника и передатчика в одной конструкции позволяет существенно уменьшить общее число деталей приемопередающей радиостанции, так как большая их часть будет работать как в тракте передачи, так и в тракте приема. Такая объединенная конструкция получила название «Трансвер».

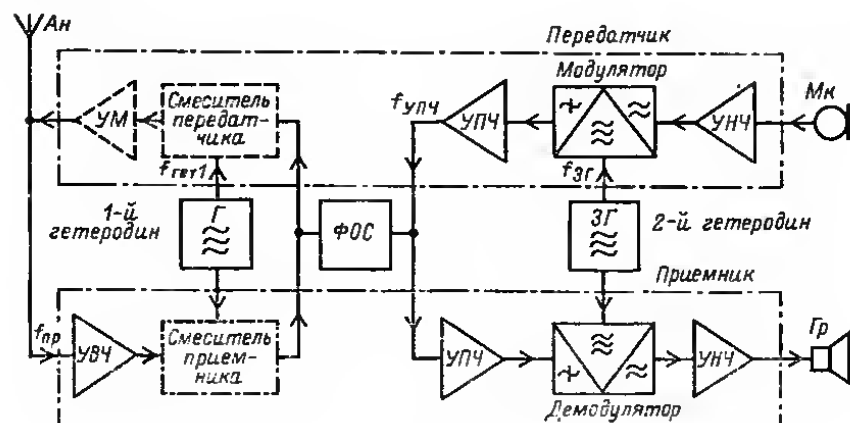
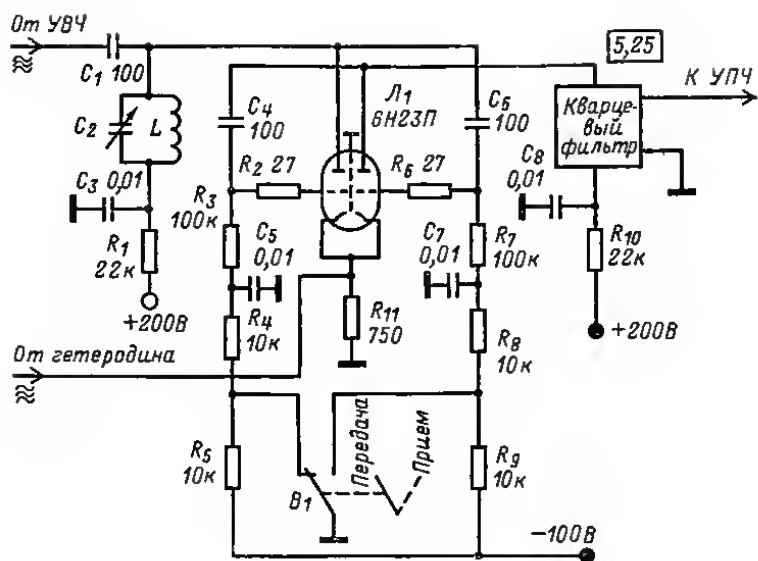
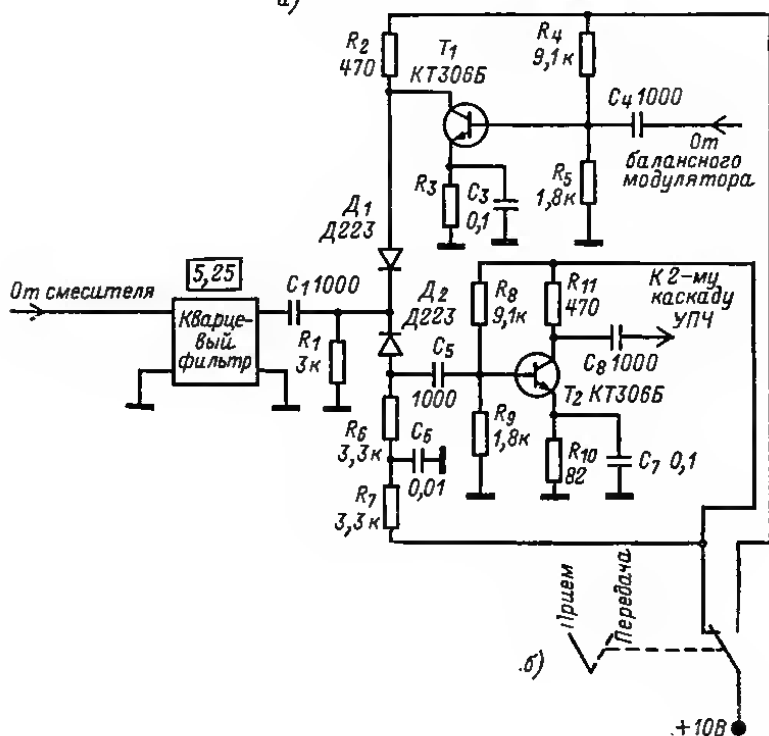


Рис. 7-30.



а)



б)

Рис. 7-31.

Большим преимуществом трансивера является легкость достижения автоматической настройки передатчика на частоту принимаемого сигнала.

Структурная схема трансивера приведена на рис. 7-30. При приеме работают: УВЧ, включенный на его выходе смеситель, УПЧ, детектор и УНЧ приемника. При передаче работает УНЧ передатчика, модулятор, УПЧ на его выходе, смеситель и усилитель мощности (УМ). При переходе на передачу выключаются элементы приемника, а при приеме выключаются элементы передатчика. Фильтр основной селекции (ФОС) используется в режиме как передачи, так и приема. Таким образом, при приеме трансивер представляет собой супергетеродинный приемник с одним преобразованием частоты и гетеродином для приема телеграфных и однополосных сигналов, а при передаче его схема аналогична структурной схеме передатчика на рис. 7-3, а.

Частота принимаемого сигнала в приемнике с одним преобразованием частоты

$$f_{\text{пр}} = f_{\text{гет1}} \pm f_{\text{УПЧ}}.$$

Частота сигнала излучаемого передатчиком по схеме яа рис. 7-3, а:

$$f_{\text{перед}} = f_{3\Gamma} + f_{\text{УФОС}}.$$

В трансивере 1-й гетеродин и 3Г — это одно и то же устройство ($f_{\text{гет1}} = f_{3\Gamma}$), частота формирования сигнала равна частоте УПЧ приемника, так как определяется центральной частотой ФОС ($f_{\text{УФОС}} = f_{\text{УПЧ}}$). Следовательно, частоты приема и передачи автоматически совпадают.

Все элементы трансивера идентичны аналогичным элементам автономных приемников и передатчиков и могут быть выполнены по схемам, приведенным в § 7-2 и 7-3.

Переключение с приема на передачу производится запирающим или снятием питания с неработающих элементов. Примеры схем управления приведены на рис. 7-31. На рис. 7-31, а приведена схема смесителей лампового трансивера, управляемых путем запираения ненужной части лампы отрицательным смещением по управляющей сетке. Левая (по схеме) половина двойного триода является смесителем передатчика, а правая — смесителем приемника.

На рис. 7-31, б приведена схема УПЧ транзисторного трансивера. Здесь управление происходит подачей питающего напряжения. В режиме передачи работает усилитель на транзисторе T_1 , диод D_1 открыт, а диод D_2 заперт, так что кварцевый фильтр подключен только к УПЧ передатчика. В режиме приема работает транзистор T_2 , диод D_1 закрыт, а диод D_2 открыт, так что кварцевый фильтр подключен только к УПЧ приемника.

В процессе проведения двусторонней радиосвязи на трансивере может возникнуть необходимость несколько изменить частоту приема, сохранив частоту передачи. Бывает необходимо и изменить частоту передачи, сохранив частоту приема. На рис. 7-32 приведена схема подстройки частоты первого гетеродина,

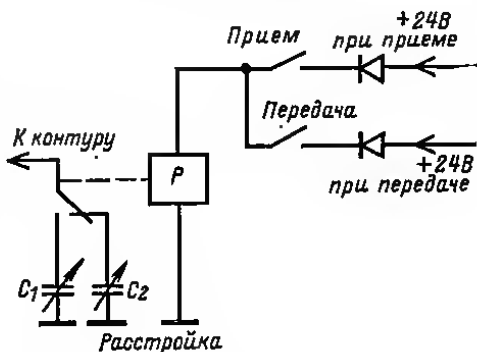


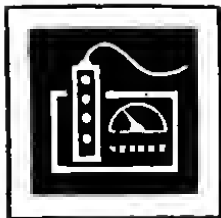
Рис. 7-32.

позволяющая реализовать эти варианты в транзисторном трансвере, схема управления которым приведена на рис. 7-31, б. Для управления независимой расстройкой трансвера служат два тумблера *Прием* и *Передача*. При установке тумблеров в разомкнутое положение частота, как при приеме, так и при передаче определяется подстроечным конденсатором C_1 .

При установке тумблера *Прием* в верхнее положение реле P срабатывает только при приеме, что позволяет изменить частоту настройки трансвера при приеме конденсатором C_2 , не изменяя частоту передачи.

При замыкании тумблера *Передача* конденсатором C_1 изменяется частота трансвера только при передаче.

При включении обоих тумблеров конденсатор C_2 управляет частотой трансвера как при приеме, так и при передаче.



ЭЛЕМЕНТЫ СИСТЕМ АВТОМАТИЧЕСКОГО УПРАВЛЕНИЯ

РАЗДЕЛ 8

СОДЕРЖАНИЕ

8-1.	Общие сведения	417
8-2.	Основные схемы электронных автоматических устройств	419
8-3.	Электронные реле	426
	Реле времени для фотопечати (426). Фотореле (428). Термореле (432) Реле уровня (434).	
8-4.	Дискретные устройства автоматики	437
	Кодовые замки (437). Электронный сторож (441). Устройства для автоматического переключения групп осветительных приборов (441).	

8-1. ОБЩИЕ СВЕДЕНИЯ

Автоматическими устройствами называются такие устройства, которые позволяют осуществлять операции измерения каких-либо величин или управления какими-либо объектами без вмешательства человека.

Автоматическое устройство в общем случае состоит из следующих основных элементов:

датчика — чувствительного элемента, воспринимающего измеряемую величину и преобразующего ее в электрический сигнал;

нормирующего преобразователя, преобразующего сигнал датчика в унифицированный выходной сигнал требуемой величины и формы;

программного устройства — элемента, вырабатывающего управляющий электрический сигнал заданной формы и уровня;

устройства сравнения — элемента, в котором происходит сравнение сигналов от датчика и от программного устройства;

усилителя мощности, позволяющего усилить сигнал до уровня, необходимого для приведения в действие исполнительного устройства и

самого исполнительного устройства — реле, клапан, двигатель и т. п.

Совокупность всех этих элементов и объекта регулирования образует систему автоматического регулирования.

Система, которая производит лишь автоматическое измерение какой-либо величины (температура, освещенность, перемещение и др.) и регистрирует эти показания, но не оказывает воздействия на процесс, называется автоматической измерительной системой или системой автоматического контроля, если измерения проводятся с целью проверки соответствия измеряемой величины установленным требованиям.

Система регулирования, которая осуществляет процесс управления исполнительным устройством на расстоянии, называется системой телеуправления.

На рис. 8-1 показаны структурные схемы контроля (рис. 8-1, а), автоматического регулирования (рис. 8-1, б) и телеуправления (рис. 8-1, в), где X — входная величина; Y — выходная величина; 1 — чувствительный элемент; 2 — нормирующий преобразователь; 3 — прибор индикации или сигнализации; 4 —

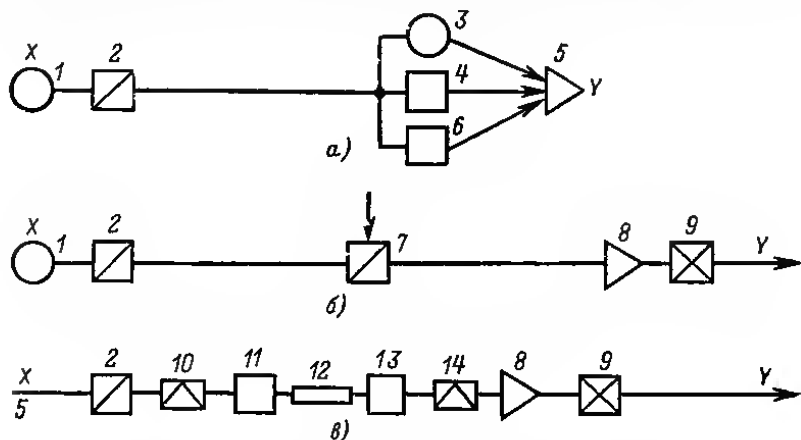


Рис. 8-1.

регистрирующий прибор; 5 — передача или прием сигнала человеком; 6 — устройство хранения информации (память); 7 — прибор для сравнения сигнала датчика с заданным сигналом; 8 — усилитель; 9 — исполнительное устройство; 10 — шифратор (модулятор); 11 — генератор; 12 — линия связи; 13 — приемник линии связи; 14 — дешифратор (демодулятор).

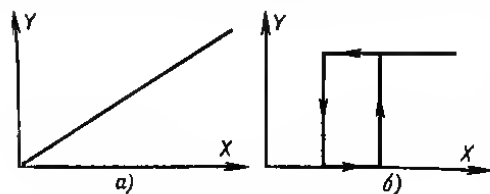


Рис. 8-2.

и каждому значению входного параметра соответствует определенное значение выходного (рис. 8-2, а).

Дискретные автоматические устройства делятся на импульсные и релейные. У импульсных автоматических устройств и входные и выходные сигналы представляют собой импульсы различной длительности, частоты или амплитуды. У релейных устройств непрерывному изменению входного параметра соответствует скачкообразное изменение выходного, которое появляется лишь при достижении входным параметром некоторого заранее заданного значения (рис. 8-2, б).

8-2. ОСНОВНЫЕ СХЕМЫ ЭЛЕКТРОННЫХ АВТОМАТИЧЕСКИХ УСТРОЙСТВ

Для усиления и преобразования сигнала датчика в величину, удобную для дальнейшей передачи или управления исполнительным органом, широкое распространение получили устройства импульсной техники.

В основе большинства импульсных устройств лежит транзисторный ключ — устройство, имеющее два состояния: открытое и закрытое.

На рис. 8-3, а показан наиболее распространенный ключ на транзисторе типа *p-n-p*, включенном по схеме с ОЭ.

Открытое состояние этого ключа характеризуется тем, что транзистор находится в режиме насыщения и через его коллектор протекает ток $I_K \approx U_{и.п.}/R_K$.

Это происходит при подаче между базой и эмиттером транзистора отрицательного (относительно эмиттера) сигнала $U_{ЭБ}$, обеспечивающего ток базы $I_B > I_K/h_{21Э}$.

Закрытое состояние ключа характеризуется тем, что ток эмиттера равен нулю. Такое состояние транзистор принимает при подаче на его базу положительного (относительно эмиттера) напряжения, т. е. $U_{ЭБ} > 0$. При этом ток базы $I_B \approx -I_{КБ0}$ (см. рис. 8-3, б).

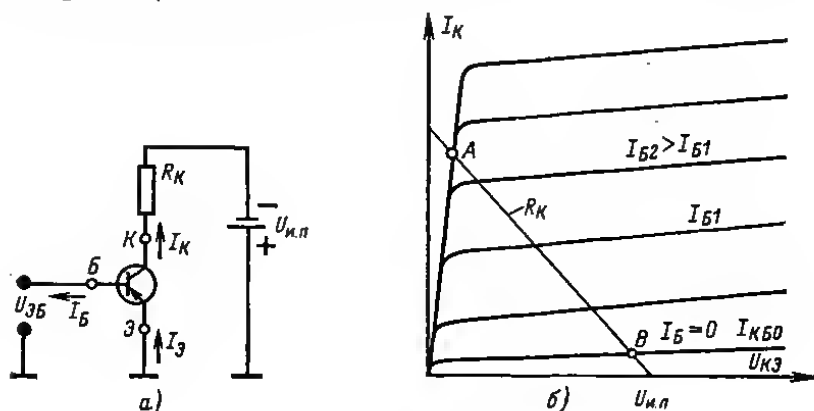


Рис. 8-3.

Эти два состояния транзистора — открытое (насыщенное) и закрытое — определяются соответственно точками *A* и *B* на семействе коллекторных характеристик.

Существует достаточно большое количество транзисторных ключей и способов их запирация. Наиболее распространенным является рассмотренный нами ключ, являющийся основой создания целого ряда импульсных устройств. Рассмотрим некоторые из них.

Симметричный триггер — устройство, имеющее два устойчивых состояния: в одном из них на выходе триггера имеется напряжение, практически равное напряжению источника питания, в другом — напряжение, близкое к нулю. Симметричный триггер широко используется в качестве делителя частоты или элемента памяти.

Триггер работает следующим образом. Допустим, открыт левый транзистор и находится в насыщенном состоянии, потенциал его коллектора близок к нулю ($U_{К1} \approx 0$) и через делитель $R_{Б2}-R_2$ на базу второго транзистора поступает положительный потенциал $+U_B$. Следовательно, правый транзистор находится в закрытом состоянии и потенциал его коллектора $U_K \approx -U_{и.п.}$. Поэтому база левого транзистора будет находиться под отрицательным смещением, что обеспечивает насыщение транзистора T_1 . Таким образом, устройство находится в одном из двух устойчивых состояний. При подаче на базу транзистора T_1 положительного (запирающего) входного сигнала через конденсатор $C_{р1}$ левый транзистор

запирается, напряжение U_{K1} становится отрицательным и, поступая на базу транзистора T_2 , переводит его в состояние насыщения. Триггер переходит во второе устойчивое состояние, из которого его можно вывести, подав на вход уже отрицательный сигнал.

На практике большое распространение получил триггер с автоматическим смещением (рис. 8-5, а). Главным достоинством этого триггера является наличие только одного источника питания и высокая стабильность работы.

Положительное напряжение смещения на базах транзисторов в этом триггере образуется за счет резистора R_3 , создающего на эмиттере отрицательный потенциал при протекании тока открытого транзистора. Конденсатор C_3 служит для устранения нежелательной отрицательной обратной связи, которая возникает при смене состояний триггера.

В рассмотренных случаях изменение состояния триггера (запуск) осуществляется подачей импульсов на базу одного транзистора (T_1). При этом полярность

управляющих импульсов должна чередоваться: положительный импульс запирает транзистор T_1 , а отрицательный — отпирает его. Однако запуск триггера может производиться и другими способами. Рассмотрим один из них, в котором входные импульсы подаются на базы транзисторов через общий вход. Схема такого триггера, который называется триггером с общим входом (или со счетным входом), показана на рис. 8-5, б. Для того чтобы перевести триггер из одного устойчивого состояния в другое, необходимо подать импульсы поло-

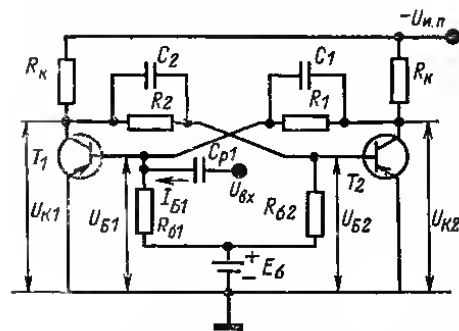


Рис. 8-4.

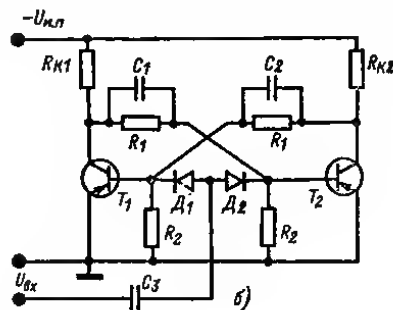
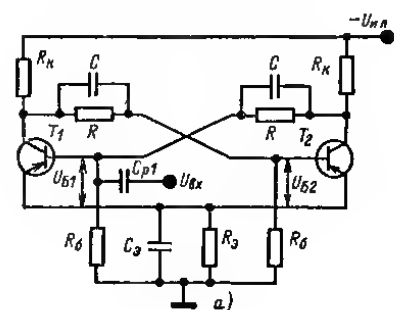


Рис. 8-5.

жительной полярности, которые пройдут на базу открытого транзистора и заперут его. Как правило, запуск осуществляют через диоды для развязки цепей управления.

Расчет симметричного триггера заключается в таком выборе всех его элементов, который обеспечивает получение необходимой амплитуды импульсов на выходе $U_{\text{вых}}$ и частоты переключения.

Пример. Рассчитать триггер с автоматическим смещением и с общим входом (рис. 8-5, а) при следующих данных: амплитуда выходных импульсов $U_{\text{вых}} \geq 13$ В;

частота переключения $f = 350$ кГц; максимальная окружающая температура $t = +40^\circ \text{C}$.

1. Рассчитываем напряжение источника коллекторного питания $U_{н.п}$ по формуле $U_{н.п} = 1,1 U_{вых} + U_{\text{э}}$, задаваясь, как обычно $U_{\text{э}} = 2 \div 3$ В.

$$U_{н.п} = 1,1 \cdot 13 + 2 \approx 15 \text{ В.}$$

2. Выбираем транзистор типа МП21Г, имеющий следующие параметры: $U_{КЭ\text{ макс}} = 30$ В; $I_{КБ\text{ макс}} = 0,12$ мА; $h_{21\text{ э}} = 20$; $f_{h21} = 1$ МГц.

3. Из условия, что ток коллектора открытого транзистора должен быть меньше допустимого, выбираем сопротивление $R_k = 2$ кОм.

4. Емкость конденсатора следует выбрать такой, чтобы за время опрокидывания триггера напряжение на нем практически осталось неизменным. Обычно выбирают $C = 200 \div 500$ пФ. Выбираем $C = 200$ пФ.

5. Находим $R_6 \leq \frac{1}{(2 \div 3) C f_{\text{макс}}} = \frac{1}{2 \cdot 200 \cdot 10^{-12} \cdot 350 \cdot 10^3} = 4,7$; принимаем $R_6 = 4,7$ кОм.

6. Рассчитываем сопротивление резистора R_3 :

$$R_3 \geq \frac{R_6 R_k I_{КБ\text{ макс}}}{U_{н.п} - R_6 I_{КБ\text{ макс}}} = \frac{4,7 \cdot 10^3 \cdot 2 \cdot 10^3 \cdot 0,12 \cdot 10^{-3}}{20 - 5,1 \cdot 10^3 \cdot 0,12 \cdot 10^{-3}} \approx 62;$$

принимаем $R_3 = 100$ Ом.

7. Находим сопротивления резисторов R :

$$R \leq \frac{h_{21\text{ э}} R_6 R_k [U_{н.п} - (R_3 + R_k) I_{КБ\text{ макс}}]}{U_{н.п} (R_6 + R_3) h_{21\text{ э}}} = \\ = \frac{20 \cdot 5,1 \cdot 10^3 \cdot 2 \cdot 10^3 (20 - 2,1 \cdot 0,12)}{20 (5,1 \cdot 10^3 + 20 \cdot 100)} = 28,2;$$

принимаем $R = 24$ кОм

8. Чтобы исключить отрицательную обратную связь, выбираем емкость эмиттерного конденсатора в пределах $1000 \div 5000$ пФ; $C = 1000$ пФ.

Триггер с эмиттерной связью. Кроме рассмотренного симметричного триггера широкое распространение получил триггер с эмиттерной связью (триггер Шмита). Этот триггер (рис. 8-6) также имеет два устойчивых состояния; он широко применяется в качестве преобразователя синусоидального или линейно изменяющегося напряжения в импульсы прямоугольной формы. Переход триггера из одного устойчивого состояния в другое происходит при $|U_{вх}| > |U_{\text{э}}|$.

Основные условия, при которых триггер будет иметь два устойчивых состояния, можно получить, исходя из основных свойств транзисторного ключа: 1) транзистор заперт, если $U_{\text{эб}} > 0$; 2) транзистор насыщен, если выполняется

$$\text{неравенство } I_B > \frac{I_K}{h_{21\text{ э}}}.$$

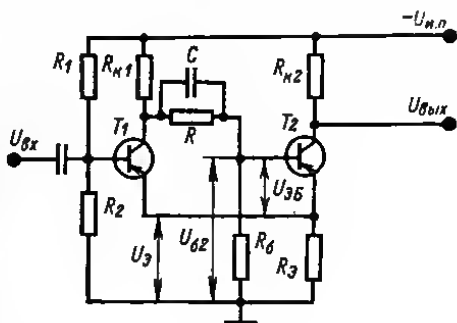


Рис. 8-6.

Используя эти условия, можно получить следующие основные расчетные уравнения:

$$R \leq h_{21\text{Э}} R_6 \frac{U_{\text{и.п}} R_{\text{к}2} - I_{\text{КБО макс}} R_{\text{к}1} (R_3 + R_{\text{к}2})}{U_{\text{и.п}} (R_6 + R_3 h_{21\text{Э}})};$$

$$R_2 > \frac{h_{21\text{Э}} R_3 R_{\text{к}1} U_{\text{и.п}}}{R_{\text{к}2} U_{\text{и.п}} + h_{21\text{Э}} R_{\text{к}1} (R_{\text{к}2} + R_3) I_{\text{КБО макс}}};$$

$$R_1 < \frac{h_{21\text{Э}} R_2 R_{\text{к}1}}{h_{21\text{Э}} R_3 + R_2}; \quad R_3 = \frac{U_{\text{и.п}} - U_{\text{макс}}}{U_{\text{макс}}}.$$

Значения R_6 и C определяются так же, как и для симметричного триггера.

Пример. Рассчитать триггер с эмиттерной связью при следующих данных:
 $U_{\text{вых}} \geq 17$ В; период запускающих импульсов с чередующейся полярностью
 $T = 5$ мкс; $t \leq 60^\circ$ С.

Расчет производят в следующем порядке.

1. $U_{\text{и.п}} = (1,1 + 1,2) U_{\text{вых}} + U_3 = 20$ В.
2. Выбираем тот же транзистор, что и в предыдущем примере (МП121Г).
3. Выбираем $R_{\text{к}2} = 2$ кОм; $R_{\text{к}1} = 5,1$ кОм; $C = 200$ пФ.
4. Находим

$$R_6 < \frac{T}{(2 \div 3)C} = \frac{5,1 \cdot 10^{-6}}{(2 \div 3) \cdot 200 \cdot 10^{-12}} = (8,3 \div 12,5) \cdot 10^3;$$

принимаем $R_6 = 10$ кОм.

5. Определяем

$$R_3 = \frac{U_{\text{и.п}} - U_{\text{вых}}}{U_{\text{вых}}} R_{\text{к}2} = \frac{20 - 17}{17} \cdot 2 \cdot 10^3 = 350;$$

принимаем $R_3 = 360$ Ом.

6. Находим

$$R \leq h_{21\text{Э}} R_6 \frac{U_{\text{и.п}} R_{\text{к}2} - I_{\text{КБО макс}} R_{\text{к}1} (R_3 + R_{\text{к}2})}{U_{\text{и.п}} (R_6 + R_3 h_{21\text{Э}})} =$$

$$= \frac{15 \cdot 10^3 \cdot (40 \cdot 10^3 - 0,6 \cdot 2,36 \cdot 10^3)}{20 (10^3 + 5,4 \cdot 10^3)} = 19,5 \cdot 10^3;$$

принимаем $R = 18$ кОм.

7. Рассчитываем

$$R_2 > \frac{h_{21\text{Э}} R_3 R_{\text{к}1} U_{\text{и.п}}}{R_{\text{к}2} U_{\text{и.п}} + h_{21\text{Э}} R_{\text{к}1} (R_{\text{к}2} + R_3) I_{\text{КБО макс}}} =$$

$$= \frac{15 \cdot 360 \cdot 5,1 \cdot 10^3 \cdot 20}{2 \cdot 10^3 \cdot 20 + 15 \cdot 5,1 \cdot 10^3 \cdot 2,36 \cdot 0,12} = 8,9 \cdot 10^3;$$

принимаем $R_2 = 9,1$ кОм.

8. Определяем

$$R_1 \leq \frac{h_{21\text{Э}} R_{\text{к}2} R_{\text{к}1}}{h_{21\text{Э}} R_3 + R_2} = \frac{15 \cdot 9,1 \cdot 10^3 \cdot 5,1 \cdot 10^3}{15 \cdot 360 + 9,1 \cdot 10^3} = 46,5 \cdot 10^3;$$

принимаем $R_1 = 43$ кОм.

Симметричный мультивибратор (рис. 8-7). Симметричный мультивибратор является типичным представителем группы устройств, вырабатывающих коле-

бания сложной формы (отличной от синусоиды), называемых релаксационными генераторами.

Генераторы релаксационных колебаний имеют накопитель энергии (чаще всего в виде конденсатора) и электронный ключ, переключение которого обусловлено запасом энергии в накопителе. Работает симметричный мультивибратор следующим образом.

Пусть в начальный момент транзистор T_1 открывается и переходит в насыщенное состояние. В этот момент все напряжение на конденсаторе C_1 , который при закрытом транзисторе T_1 и открытом транзисторе T_2 был заряжен до напряжения $U_C \approx U_{н.п.}$, оказывается приложенным положительным потенциалом к базе транзистора T_2 . Транзистор T_2 запирается. Конденсатор C_1 начинает разряжаться от напряжения $+U_{н.п.}$ (в точке a) за счет протекания тока разряда через резистор R_1 , поддерживая потенциал базы транзистора T_2 положительным, но убывающим по величине. В результате этого транзистор T_2 находится в режиме отсечки. Как только напряжение на базе транзистора T_2 станет равно нулю, транзистор T_2 откроется.

Одновременно с разрядом конденсатора C_1 происходит заряд конденсатора C_2 через резистор $R_{к2}$ до значения коллекторного напряжения транзистора T_2 ($U_{C2} \approx U_{к2} \approx -U_{н.п.}$). Как только транзистор T_2 откроется, положительный потенциал конденсатора C_2 в точке b будет подан на базу транзистора T_1 и закроет его. Далее процесс повторяется.

Постоянные времени цепей разряда конденсаторов C_1 и C_2 соответственно равны: $t_1 = 0,7 C_1 R_1$; $t_2 = 0,7 C_2 R_2$. Эти величины и определяют длительность импульсов t_1 на выходе мультивибратора t_1 , интервал между ними t_2 и частоту $1/t_2$.

Изменение или регулировку частоты колебаний мультивибратора проще всего осуществлять изменением сопротивления резистора $R = R_1 = R_2$.

Расчет симметричного мультивибратора с коллекторно-базовыми связями (рис. 8-7) производят следующим образом.

1. По заданной максимальной частоте генерации выбирают тип транзистора (исходя из условия $f_{h21Б} \geq 5f$), обеспечивающего форму выходных импульсов, близкую к прямоугольной.

2. Напряжение источника питания выбирают по заданному напряжению $U_{вык.}$:

$$U_{н.п.} \approx 1,2 U_{вык.}$$

3. Сопротивление резистора R_k вычисляют по соотношению

$$R_k \approx \frac{U_{н.п.}}{I_k}, \text{ где } I_k \leq I_{k \text{ доп.}}$$

обычно $R_k = 1 \div 3 \text{ кОм}$.

4. Сопротивление в цепи базы находят по условию

$$R_1 = R_2 \leq h_{21Э} R_k.$$

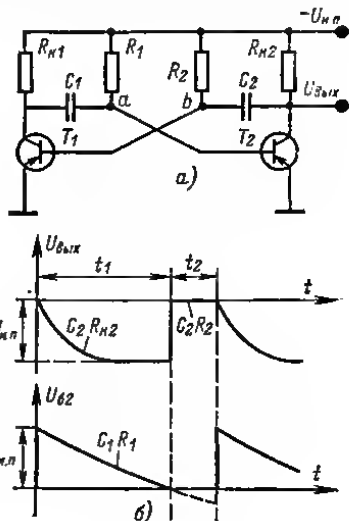


Рис. 8-7.

5. Емкости конденсаторов определяют из выражений

$$C_1 \approx \frac{t_1}{0,7R_1}; \quad C_2 \approx \frac{t_2}{0,7R_2}.$$

Ждущий мультивибратор с эмиттерной связью. Ждущий мультивибратор (одновибратор, кипп-реле) с эмиттерной связью (рис. 8-8, а) является ждущим генератором импульсов прямоугольной формы. При поступлении на его вход короткого запускающего импульса на выходе вырабатывается прямоугольный импульс, длительность которого определяется элементами цепи.

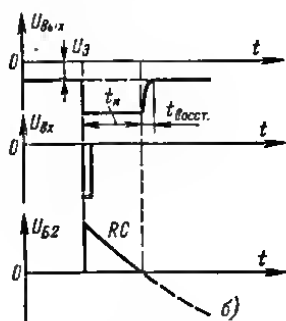
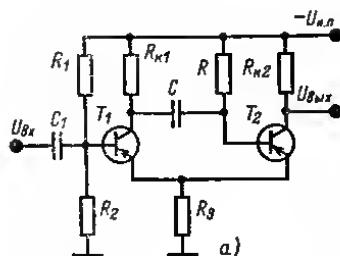


Рис. 8-8.

Ждущий мультивибратор характеризуется наличием одного устойчивого состояния (транзистор T_1 — закрыт, T_2 — открыт) и одного временно устойчивого (транзистор T_1 — открыт, T_2 — закрыт), вызванного подачей на вход отрицательного импульса. Длительность временно устойчивого состояния обычно много больше длительности входного импульса. Исходное устойчивое состояние обеспечивается таким выбором сопротивлений резисторов R_1 , R_2 , R_3 , что напряжение $U_{ЭБ}$ транзистора T_1 оказывается положительным.

При подаче короткого отрицательного импульса на вход (рис. 8-8, б) транзистор T_1 открывается и напряжение конденсатора C положительным полюсом оказывается приложенным к базе транзистора T_2 , что приводит к его запирающему. Транзистор T_2 остается закрытым до тех пор, пока напряжение на его базе не уменьшится (вследствие разряда конденсатора C по цепи RC) до $-U_{\beta}$.

Расчет ждущего мультивибратора с эмиттерной связью (рис. 8-8, а) производят в следующем порядке.

1. Определяют напряжение источника питания

$$U_{н.п.} = U_{в.х.} + R_3 I_{K2} = U_{в.х.} + (2 \div 3) B.$$

2. По заданной частоте следования импульсов и напряжению выбирают транзисторы с учетом условия

$$I_{K2} = (2 \div 3) I_{K1}.$$

3. Рассчитывают сопротивления резисторов R_3 , $R_{к1}$, $R_{к2}$ по формулам

$$R_3 \leq \frac{U_{н.п.} - U_{в.х.}}{I_{K2}}; \quad R_{к1} = \frac{U_{н.п.}}{I_{K1}} - R_3; \quad R_{к2} = \frac{U_{н.п.}}{I_{K2}} - R_3.$$

4. Рассчитывают сопротивления резисторов R_1 , R_2 по формулам

$$R_1 \geq \frac{h_{21} \beta I_{K2} (R_{к1} + R_3) - h_{21} U_{н.п.}}{h_{21} \beta I_{КБ0_{макс}} + I_{K2}}; \quad R_2 = \frac{h_{21} \beta R_1 R_3}{h_{21} \beta R_{к1} - R_1}.$$

значения U_c . После запираания транзистора конденсатор начинает разряжаться по цепи базовая обмотка трансформатора — резистор R — источник питания $U_{н.п.}$. Ток перезаряда создает на резисторе R падение напряжения (полярность его указана на рис. 8-9), и транзистор находится в запертом состоянии до момента, пока напряжение на базе не станет близким к нулю. После этого начинается процесс отпирания.

Временная диаграмма выходного напряжения блокинг-генератора приведена на рис. 8-9.

С достаточной для практики точностью период следования импульсов можно определить по формуле

$$T \approx T_n = RC \ln(1+n),$$

где n — отношение числа витков катушки в базовой цепи к числу витков катушки в коллекторной цепи.

8-3. ЭЛЕКТРОННЫЕ РЕЛЕ

Реле времени для фотопечати

Диапазон выдержки реле времени, схема которого показана на рис. 8-10, составляет 1—30 с. В качестве электромагнитного реле может быть использовано любое реле с током срабатывания до 60 мА.

При установке переключателя B в положение *Установка кадра* лампа увеличителя L_2 включена в сеть постоянно. Если же переключатель B установлен в положение *Рв*, при нажатии кнопки

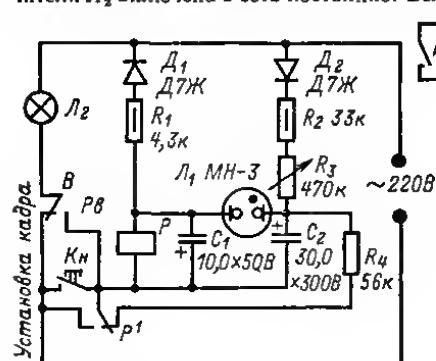


Рис. 8-10.

Кн₁ включается лампа увеличителя L_2 . При этом реле P срабатывает и его контакт P^1 шунтирует кнопку. Одновременно происходит заряд конденсатора C_2 через резисторы R_2 и R_3 , которым регулируется длительность выдержки. Когда напряжение на конденсаторе C_2 достигает потенциала зажигания лампы L_1 , она зажигается и через обмотку реле и лампу проходит ток разряда конденсатора C_2 . Так как он направлен против первоначального тока, удерживающего якорь реле, ток через обмотку реле уменьшается и реле отпускает якорь. Реле

времени вернется в исходное состояние, показанное на схеме. Конденсатор C_2 разрядится полностью через резистор R_4 .

Сопротивление резистора R_1 подбирают так, чтобы обеспечить надежное срабатывание реле. Ориентировочно его сопротивление в килоомах определяют по формуле

$$R_1 = \frac{U_c}{2,2I_p},$$

где U_c — напряжение сети, В; I_p — ток срабатывания реле, мА.

Реле времени на транзисторе (рис. 8-11). Для обработки цветных отпечатков реле обеспечивает время экспонирования от 0,5 до 150 с и время обработки отпечатков в растворах 3—5 мин.

При нажатии кнопки Kn выпрямитель включается в сеть и конденсатор C_1 почти мгновенно заряжается. Импульс тока через конденсатор C_2 и резистор R_2 подается на обмотку реле P , которое срабатывает и контактами P^2 блокирует кнопку, а контактами P^1 включает релаксационный генератор (R_{17} , C_4 , L_3). Отдельные вспышки неоновой лампы L_3 свидетельствуют о нормальной работе реле времени. В дальнейшем якорь реле удерживается в притянутом положении током, протекающим через резистор R_3 и обмотку реле.

Конденсатор C_3 заряжается от стабилизатора напряжения $L_2 R_{15}$. Изменяя сопротивление резисторов R_6 и R_7 , можно изменять время выдержки от 0,5 до 150 с. Когда напряжение на конденсаторе C_3 достигает напряжения зажигания неоновой лампы L_1 , лампа зажигается, на базу транзистора T_1 подается отрицательное смещение и транзистор открывается. Реле, шунтированное малым сопротивлением

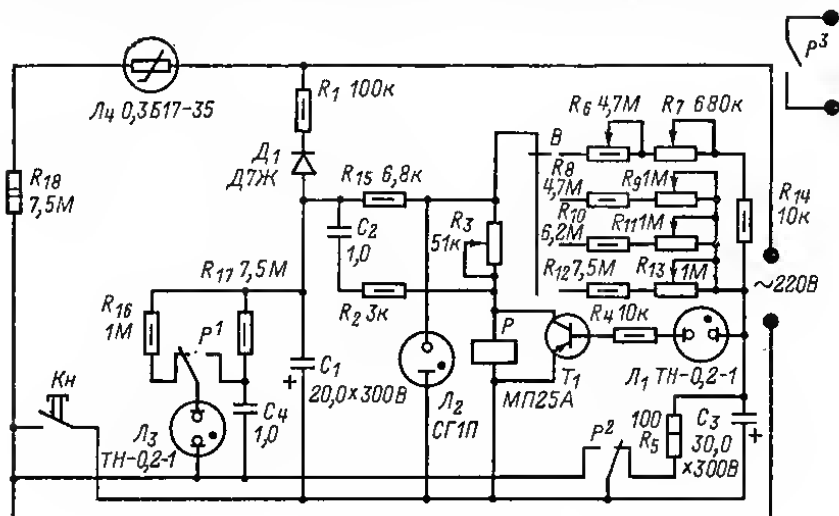


Рис. 8-11.

тивлением транзистора, отключает контактом P^2 и P^3 выпрямитель и лампу увеличителя от сети. Конденсатор C_3 быстро разряжается через резистор R_5 и реле времени готово к следующему циклу.

В устройстве можно использовать любой маломощный низкочастотный транзистор с возможно более высоким допустимым напряжением между коллектором и эмиттером. Сопротивления резисторов R_2 и R_3 подбирают в зависимости от типа примененного реле. При $R_3 = 51$ кОм ток срабатывания реле должен быть 2,5—3 мА. Об окончании выдержки сигнализирует лампа L_3 .

Питание прибора осуществляется от сети через бестрансформаторный однополупериодный выпрямитель $D_1 C_1$. Резистор R_1 ограничивает импульс тока при включении выпрямителя в сеть. Чтобы исключить влияние сетевого напряжения на длительность выдержек, напряжение, подаваемое на зарядную цепь реле времени, стабилизировано газонаполненным стабилитроном L_2 .

Так как с изменением температуры нити лампы увеличителя при колебаниях сетевого напряжения меняется и спектральный состав света, излучаемого лампой, напряжение накала ее должно быть стабилизировано. С этой целью в приборе применен бареттер L_4 типа 0,3Б17-35 (для лампы увеличителя мощностью 60 Вт).

Реле времени с туннельным диодом (рис. 8-12). В реле времени в качестве порогового элемента применен туннельный диод D_1 . При указанных на схеме

значениях сопротивления резистора R_1 и емкости конденсатора C_1 , которые образуют времязадающую цепь, обеспечивается задержка между моментом замыкания контактов выключателя B_1 и моментом срабатывания электромагнитного реле P_1 длительностью около 2,5 мс.

После включения питания конденсатор C_1 начинает заряжаться через резистор R_1 . По мере увеличения напряжения на этом конденсаторе увеличиваются напряжения на затворе полевого транзистора T_1 , ток его истока, падение напряжения на резисторе R_2 и ток эмиттера транзистора T_2 . В начале этого процесса напряжение на туннельном диоде и на базе транзистора T_3 малы, вследствие чего ток в обмотке реле P_1 , включенный в коллекторную цепь транзистора T_1 , также мал.

При некотором значении эмиттерного тока транзистора T_2 рабочая точка туннельного диода скачком перемещается на второй восходящий участок вольт-амперной характеристики; напряжение на нем и на базе транзистора T_3 резко возрастает. В результате транзистор T_3 открывается и электромагнитное реле P_1 срабатывает.

Конденсатор C_2 , шунтирующий туннельный диод, устраняет возможность его преждевременного переключения от

действия флуктуации питающего напряжения. Резистор R_4 ограничивает коллекторный ток транзистора T_3 на уровне тока срабатывания электромагнитного реле.

В описываемом устройстве использовано электромагнитное реле РЭС-10 (паспорт РС4. 524. 303. Сп). При использовании других реле может потребоваться изменение напряжения питания и сопротивления резистора R_4 . Во всех случаях максимально допустимый ток коллектора транзистора T_3 должен быть больше тока срабатывания электромагнитного реле.

В связи с тем что емкость электромагнитного конденсатора может существенно отличаться от обозначенного на нем номинального значения, требуемое время задержки устанавливается подбором сопротивления резистора R_1 .

Заменяв постоянный резистор R_1 переменным, можно менять выдержку времени.

Фотореле

Фотореле предназначаются для включения или отключения каких-либо устройств контроля, регулирования или сигнализации при изменении освещенности. Наиболее распространены фотореле, в которых в качестве чувствительных элементов применяются фоторезисторы.

Фотореле для автоматического включения и выключения освещения. Реле (рис. 8-13) включает освещение при освещенности менее 5 лк, выключает при освещенности более 10 лк.

Резистор R_2 служит для изменения порога срабатывания реле. В устройстве могут быть применены реле МКУ-48 ($I_{ср.аб} = 22$ мА, $R_{об.м} = 1900$ Ом).

Фотореле на транзисторах. Фотореле (рис. 8-14, а) срабатывает при освещении фотодиода ФД-2. При этом открываются транзисторы T_1 и T_2 , вызывая увеличение падения напряжения на резисторе R_2 . Когда напряжение достигает величины пробоя стабилитрона, он открывается и открывает транзистор T_3 , вызывая срабатывание реле P (типа РЭС-10, паспорт РС4.524.304.)

На рис. 8-14, б приведены схема фотореле с фоторезистором; его включение и выключение происходит практически при одной и той же освещенности. Фото-

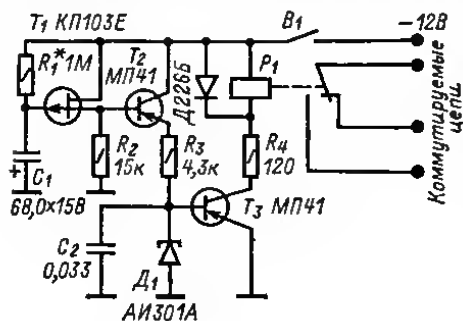


Рис. 8-12.

реле состоит из мультивибратора на транзисторах T_1 и T_2 , усилителя T_3 , выпрямителя D_2 , транзисторного ключа T_4 и блока питания. При малой освещенности сопротивление фоторезистора R_1 велико, положительная обратная связь с коллектора транзистора T_2 на базу T_1 мала и мультивибратор не работает. При увеличении освещенности фоторезистора его сопротивление уменьшается, что приводит к самовозбуждению мультивибратора.

Для исключения влияния каскада усиления на стабильность работы мультивибратора сигнал на базу транзистора T_3 подается с эмиттера транзистора T_2 . Нагрузкой транзистора T_3 является трансформатор Tr_1 , напряжение со вторичной обмотки которого (после выпрямления диодом D_2) используется для управления ключом T_4 , вызывая срабатывание реле (РЭС-10, паспорт РС4.524.302 или другое реле с током срабатывания 18-20 мА). В качестве трансформатора Tr_1 может быть использован согласующий трансформатор от любого переносного транзисторного приемника. Обмотка I имеет большое число витков.

Регулировка порога срабатывания осуществляется резистором R_2 .

На рис. 8-14, в приведена схема мощного фотореле на тиристоре. Фотореле состоит из трехкаскадного усилителя на транзисторах $T_1 - T_3$, ключа на симметричном тиристоре D_7 , исполнительного механизма P_1 и блока питания, включающего выпрямительный мост на диодах $D_3 - D_6$ и стабилитрон D_1 . Первые два каскада усилителя охвачены положительной обратной связью и образуют усилитель постоянного тока. Резистор R_1 позволяет регулировать порог срабатывания фотореле в диапазоне 25—800 лк.

Особенностью схемы является применение тиристора типа ВКДУС, способного коммутировать токи в сотни ампер. В качестве исполнительного механизма может быть использовано любое реле или другое коммутирующее устройство с током срабатывания 0,25—25 А. Трансформатор Tr_1 понижающий, с коэффициентом трансформации 40.

Транзисторное термостабилизированное фотореле (рис. 8-14, г). При затемнении фоторезисторе транзистор T_1 открыт за счет смещения, подаваемого на его базу через резистор R_2 . Остаточное напряжение на коллекторе транзистора T_1 , равное нескольким десяткам милливольт и подаваемое на базу транзистора T_2 , компенсируется запирающим потенциалом, который подается через резистор R_2 с плюсовой шины дополнительного источника питания. Следовательно, потенциал базы транзистора T_2 приблизительно равен потенциалу общей шины и транзистор полностью закрыт. Транзистор обратной проводимости включен на коллекторную нагрузку транзистора T_2 через резистор R_4 .

При освещении фоторезистора его сопротивление падает, что приводит к появлению плюсового потенциала на базе транзистора T_1 , и транзистор открывается, а потенциал на его коллекторе уменьшается. Это приводит к перераспределению потенциала на базе транзистора T_2 и транзистор открывается, открывая выходной транзистор T_3 .

В устройстве может быть применено реле любого типа с рабочим током не более 20 мА (например, типа РПМ с $I_{сраб} = 15$ мА и $R_{обм} = 300$ Ом).

Резистор R_2 желательно сделать составным в виде последовательно включенных переменного и постоянного резисторов, что позволит просто настраивать реле.

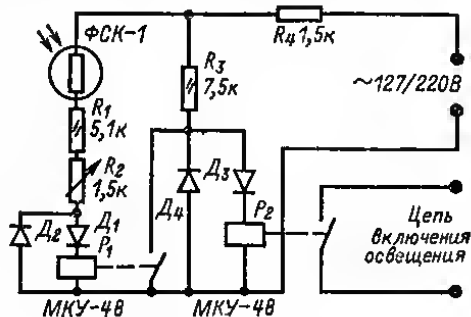


Рис. 8-13.

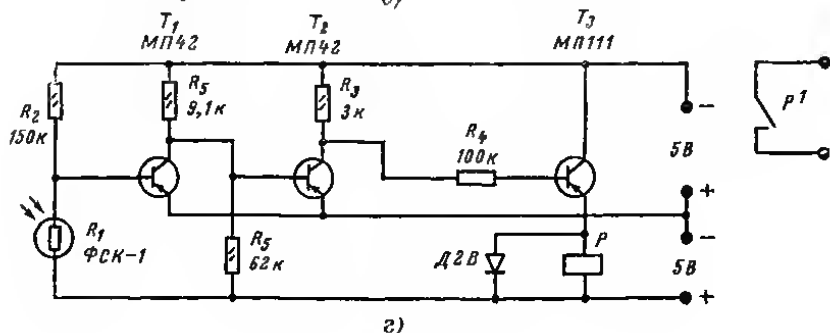
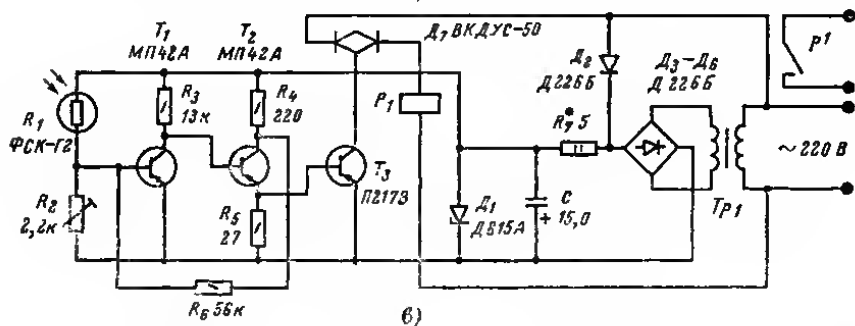
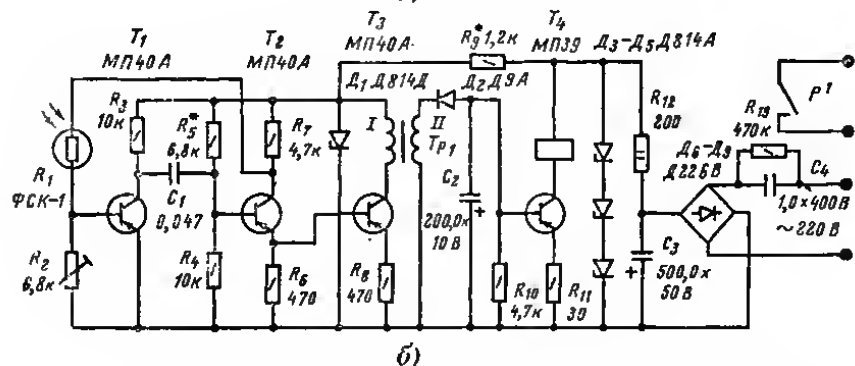
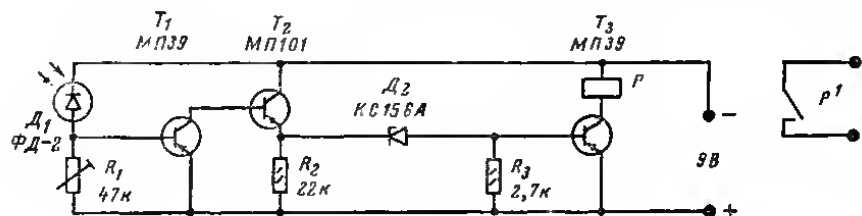


Рис. 8-14.

Настройка реле сводится к тому, чтобы транзистор T_1 вошел в насыщение (посредством изменения сопротивления резистора R_1) при затемненном фоторезисторе.

Фотореле со звуковой сигнализацией, (рис. 8-15) может быть использовано в тире, где мишени «поражают» лучом света, и для сигнализации проникновения света в затемненное помещение; устройство питается от двух батарей 3336Л.

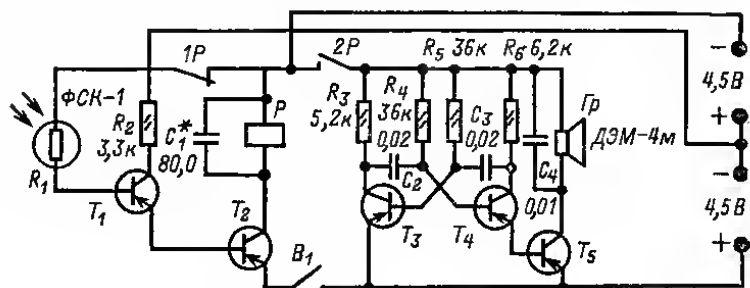


Рис. 8-15.

Фоторезистор ФСК-1, усилитель на транзисторах T_1 и T_2 и электромагнитное реле P образуют фотореле, а мультивибратор на транзисторах T_3 и T_4 и усилитель на транзисторе T_5 с громкоговорителем $Гр_1$ — звуковой генератор.

Когда фоторезистор не освещен, его сопротивление велико и транзистор T_2 — заперт. При освещении фоторезистора его сопротивление уменьшится и ток через обмотку реле увеличится. Реле P срабатывает, его контакты $1P$ разрывают

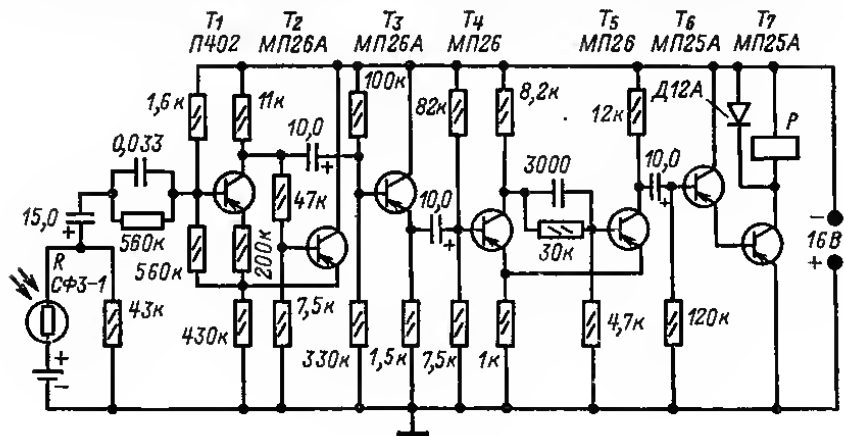


Рис. 8-16.

цепь питания фоторезистора, а контакты $2P$ включают питание звукового генератора, и в громкоговорителе, в качестве которого используется телефонный капсюль ДЭМ-4м (ДМШ-а) появляется звук. Длительность звука составляет доли секунды и зависит от емкости конденсатора C_1 , который после отключения фоторезистора разряжается через обмотку реле, затягивая отпускание его якоря. Как только конденсатор разрядится, контакты $2P$ разомкнут цепь питания

звукового генератора, а контакты $1P$ подключат и транзистор T_1 фоторезистор и цикл повторится.

В приборе можно использовать маломощные низкочастотные транзисторы типов МП39—МП42. Вместо фоторезистора ФСК-1 можно применить ФСК-2, ФСД-1. Наибольшая чувствительность прибора получается при использо-

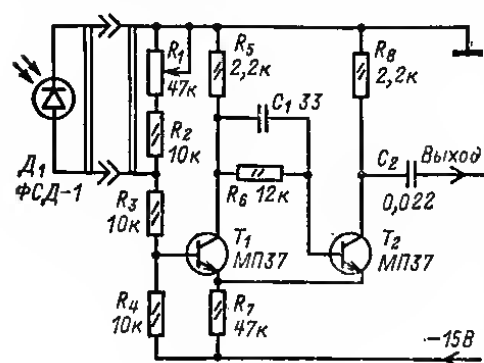


Рис. 8-17.

вании фоторезистора ФСД-1. Электромагнитное реле может быть любого типа с током срабатывания 10—12 мА (например, типа РКН с сопротивлением обмотки 400—800 Ом).

Широдиапазонное фотореле высокой чувствительности (рис. 8-16) имеет порог срабатывания $0,13 \div 0,3$ лк при длительности светового импульса не менее десятых долей миллисекунды.

Первый каскад — корректирующий каскад для фоторезисторов позволяет в 10^2 — 10^3 раз повысить быстродействие устройств с фоторезисторами.

Корректирующий каскад собран на транзисторах T_1 и T_2 .

Выходной сигнал снимается с коллектора транзистора T_1 . На транзисторе T_2 собран разделительный каскад, обеспечивающий согласование выходного сопротивления корректирующего каскада и триггера Шмитта (транзисторы T_3 и T_4).

Транзисторы T_6 и T_7 работают в ключевом режиме и предназначены для усиления мощности. Реле могут быть использованы типа МКУ-48 ($I_{ср\text{аб}} = 130$ мА).

Фотореле для автоматического выключения уличного освещения. На рис. 8-17 приведена принципиальная схема простого устройства, представляющего соединение триггера Шмитта на транзисторах T_1 и T_2 и фотодиода. Порог срабатывания триггера определяется освещенностью фотодиода и сопротивлением переменного резистора R_1 . Таким образом, путем подстройки переменного резистора можно регулировать порог срабатывания триггера.

Термореле

Реле поддерживают температуру помещения или какого-либо устройства в заданном диапазоне. В качестве датчиков температуры в них применяют контактные термометры, терморезисторы и другие термочувствительные элементы.

Термореле с контактным термометром (рис. 8-18). При разомкнутых контактах ртутного термометра PT транзистор T_1 открыт, напряжение на его коллекторе мало и на кремниевый диод, включенный в цепь эмиттера транзистора T_2 , через резистор R_8 подается отрицательное напряжение, значительно превышающее напряжение на коллекторе открытого транзистора T_1 . Разности между напряжениями на диоде D_2 и коллекторе транзистора T_1 смещает эмиттерный переход транзистора T_2 в обратном направлении и транзистор запирается.

При замыкании контактов ртутного термометра транзистор T_1 запирается и отрицательное напряжение на его коллекторе становится достаточным для отпирания транзистора T_2 . При этом срабатывает реле P_1 с током срабатывания 30—40 мА (МКУ-48).

Термореле на интегральных микросхемах. На рис. 8-19 приведена схема стабильного усилителя с релейным выходом, которая может быть использована для контроля температуры или других параметров с датчиками сопротивления

или напряжения постоянного тока, выходное напряжение которых составляет сотни милливольт.

На входе усилителя, соединенном с датчиком (например, термистором), включен предварительный запирающий фильтр, настроенный на основную гармонику помехи (50 Гц). Фильтр выполнен по схеме двойного Т-моста на элементах $R_1 - R_3$, $C_1 - C_3$. Усилитель-интегратор $У_1$ собран на интегральной микросхеме К1УТ401Б с конденсатором C_4 в цепи отрицательной обратной связи. Резистор R_4 , шунтирующий этот конденсатор, несколько ухудшает качество интегрирования, однако, поскольку сопротивление резистора R_4 значительно больше сопротивления конденсатора C_4 на частоте 50 Гц (около 3 кОм), такое ухудшение оказывается несущественным. С учетом ООС в каскаде $У_1$ и суммарного сопротивления резисторов $R_1 - R_2$ входное сопротивление по постоянному току такой системы получается около 100 кОм. На выходе $У_1$ включен пассивный фильтр нижних частот на элементах R_7 , C_5 .

Второй каскад $У_2$ выполнен также на микросхеме К1УТ401Б и работает в триггерном режиме благодаря цепи положительной обратной связи на элементах $R_6 - R_{11}$. Транзистор T (типа КТ312Б) служит для согласования каскада $У_2$ с релейной нагрузкой (реле P). Диоды D_1 и D_4 предназначены для ограничения уровней входных сигналов при их изменении в широком диапазоне (при больших расстройках измерительного моста). В функции цепи $D_3 R_8 R_9$ входит защита от обрыва цепи датчика сопротивления: при скачкообразном увеличении вход-

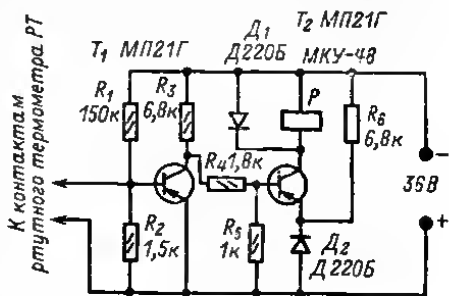


Рис. 8-18.

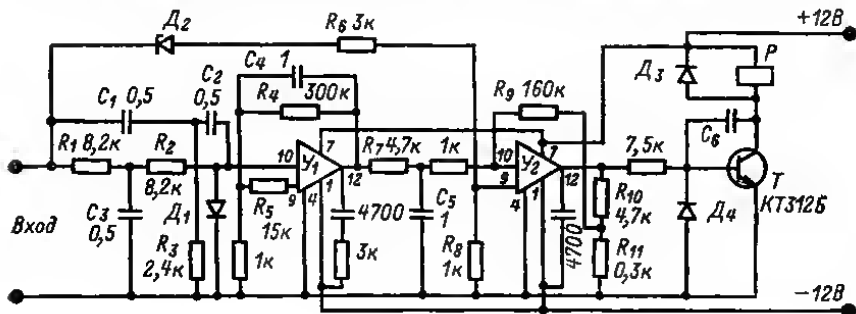


Рис. 8-19.

ного напряжения, вызванном обрывом цепи, пробивается стабилитрон D_2 и разность напряжений между амплитудой скачка и напряжением пробоя (стабилизации) D_2 через делитель $R_8 R_9$ прикладывается к инвертирующему входу $У_2$ (контакт 9), вызывая надежное запаривание основного канала (контакт 10).

Если необходимо сигнализировать обрыв цепи датчика, параллельно резистору R_8 подключают отдельный триггер с выходом на соответствующее сигнальное реле. При наладке сигнализатора подбирают элементы R_3 (настройка предварительного фильтра), R_5 (установка нуля) и R_9 (порог чувствительности). Регулировки этих элементов в процессе эксплуатации не требуются.

Диоды D_1 , D_3 и D_4 — типа ГД107А, D_2 — Д808.

Реле уровня

Электроконтактные реле уровня. Действие их основано на использовании электропроводимости жидкостей и сыпучих материалов. При достижении уровнем металлического электрода сопротивление между электродом и металлической стенкой сосуда резко изменяется. Это изменение сопротивления приводит к изменению в цепи электрод — стенка сосуда, подключенной к источнику э. д. с.

На рис. 8-20 изображен простой электроконтактный сигнализатор уровня. В момент достижения уровнем жидкости электрода Э ток в управляющей цепи

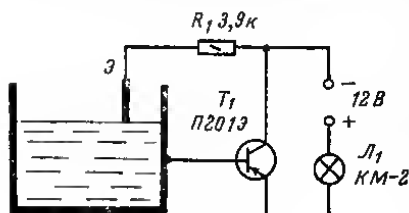


Рис. 8-20.

база — эмиттер достигает такой величины, что транзистор переходит в режим насыщения и лампа КМ-2 (12 В, 105 мА) зажигается, сигнализируя о наполнении емкости. Вместо лампы может быть использовано любое реле с током срабатывания $I_{ср\text{аб}} = 100$ мА. Контакты реле могут замыкать цепь привода исполнительного механизма, регулирующего уровень.

Триггерное реле уровня (рис. 8-21).

Питание его датчиков осуществляется переменным током. В нем при-

менен несимметричный триггер с эмиттерной связью на транзисторах T_1 и T_2 .

При уровне жидкости ниже электродов датчиков цепь переменного тока (составной частью которой является жидкость), разомкнута, транзистор T_2 открыт и ток его эмиттера создает падение напряжения на резисторе R_2 , поддерживающее транзистор T_1 в закрытом состоянии (первое устойчивое состояние триггера). Реле P_1 (типа КМ, $I_{ср\text{аб}} = 24$ мА) срабатывает, контакты P_1^2 замыкают цепь электродвигателя насоса, подающего жидкость в резервуар. Контакты P_1^1 размыкают цепь переменного тока нижнего датчика D_H .

В момент соприкосновения жидкости с электродом датчика верхнего уровня D_B его цепь переменного тока замыкается.

Выпрямленное диодами D_1 и D_2 напряжение подается на вход триггера. Он переходит во второе устойчивое состояние: транзистор T_1 открывается, а T_2 закрывается. Реле P_1 , отпуская якорь, замыкает контакты цепи нижнего датчика P_1^1 и размыкает контакты цепи управления P_1^2 . Электродвигатель насоса останавливается.

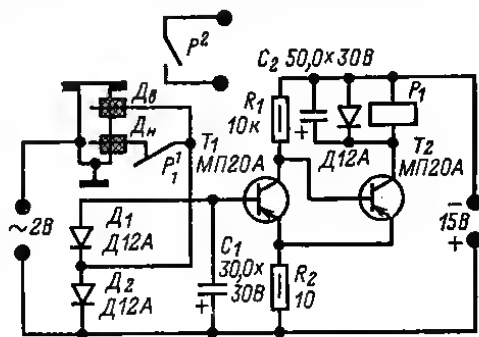


Рис. 8-21.

Реле уровня, основанное на измерении проводимости по переменному току (рис. 8-22). Если уровень жидкости не достигает электродов $Э_1$ и $Э_2$ выполняются условия самовозбуждения блокинг-генератора на транзисторе T_1 ; ток его коллектора протекает по резистору R_2 и повышает потенциал базы транзистора T_2 . Эмиттер транзистора T_2 имеет в это время более низкий потенциал за счет делителя R_3R_4 . Поэтому транзистор T_2 оказывается запертым, а реле P (типа РС-13, $I_{ср\text{аб}} = 37$ мА) обесточивается.

При замыкании электродов через жидкость генерация срывается, ток коллектора транзистора T_1 , протекающий через резистор R_2 , уменьшается, смещение

резисторы R_8 и R_9 находятся в жидкости, мост сбалансирован и реле P выключено. Как только уровень станет ниже термочувствительного элемента R_8 , его температура возрастет (сопротивление R_8 при этом уменьшается), мост разбалансируется и реле P сработает, включив сигнализацию и промежуточное реле привода насоса.

Сопротивление резистора R_1 подбирается в зависимости от среды, уровень которой регулируется, и от типа выбранного реле (например, можно применить реле РЭС-15, имеющее $R_{обм} = 160 \text{ Ом}$).

Реле уровня жидкостей с относительной диэлектрической проницаемостью $\epsilon = 2,0 \div 3,5$ (масло, дизельное топливо, бензин, керосин, скипидар и т. п.) в резервуарах открытого или закрытого типа при давлении до $2 \cdot 10^6 \text{ Па}$. Допустимая погрешность срабатывания не более $\pm 5 \text{ мм}$ относительно оси датчика.

В основу работы реле положено явление резкого увеличения емкости между трубками датчика в ϵ_2/ϵ_1 раз при заполнении их жидкостью через продольную прорезь во внешней трубке (ϵ_2 и ϵ_1 соответственно относительные диэлектрические проницаемости контролируемой жидкости и воздуха).

В качестве датчика уровня применен цилиндрический конденсатор (рис. 8-25), обкладками которого служат две коаксиально расположенные никелированные трубки, изолированные друг от друга гетинаксовой шайбой.

Внешняя трубка датчика соединена с корпусом резервуара, а внутренняя — с электронным блоком при помощи коаксиального кабеля.

Плечи моста электронного реле уровня состоят из емкости датчика $C_{дат.}$, соединенного последовательно с разделительным конденсатором C_5 , подстроечного конденсатора C_6 , включенного параллельно конденсатору C_6 , и участков 3—4 и 4—5 обмотки // трансформатора Tr_1 . Суммарная емкость конденсаторов C_6 и C_9 выбирается средней между максимальной и минимальной емкостями датчика, т. е. в диапазоне $C_{дат. мин} < C_6 + C_9 < C_{дат. макс.}$.

Если уровень контролируемой жидкости ниже уровня установки датчика, то емкость между трубками минимальна:

$$\frac{C_{дат. мин} C_5}{C_{дат. мин} + C_5} < C_6 + C_9.$$

Поэтому возникает обратная связь, и, следовательно, генерация. Транзистор T_3 открыт, его коллектор имеет нулевой потенциал, а транзистор T_4 закрыт, и обмотка реле P обесточена.

Если уровень контролируемой среды достигает уровня установки датчиков, то емкость между трубками

$$C_{дат. макс} = \frac{\epsilon_2 C_{дат. мин}}{\epsilon_1}.$$

Емкость последовательно соединенных $C_{дат. макс}$ и C_5 становится больше емкости параллельно включенных конденсаторов C_6 и C_9 , т. е.

$$\frac{C_{дат. макс} C_5}{C_{дат. макс} + C_5} > C_6 + C_9.$$

Поэтому возникает отрицательная обратная связь и происходит срыв генерации. Транзистор T_3 закрывается, его коллектор достигает отрицательного потен-

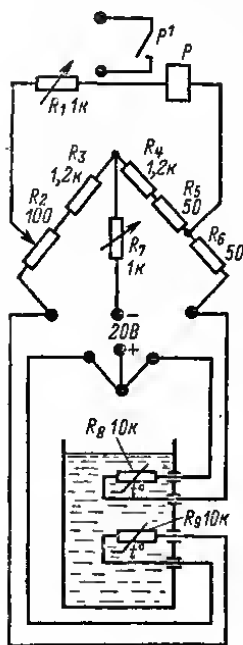


Рис. 8-24.

сигнала 10 В, а транзистор T_4 открывается. Реле P_1 (типа РЭС-10, $R_{обм} = 630 \text{ Ом}$; $I_{сраб} = 22 \text{ мА}$) срабатывает, сигнализируя о превышении уровня по сравнению с номинальным.

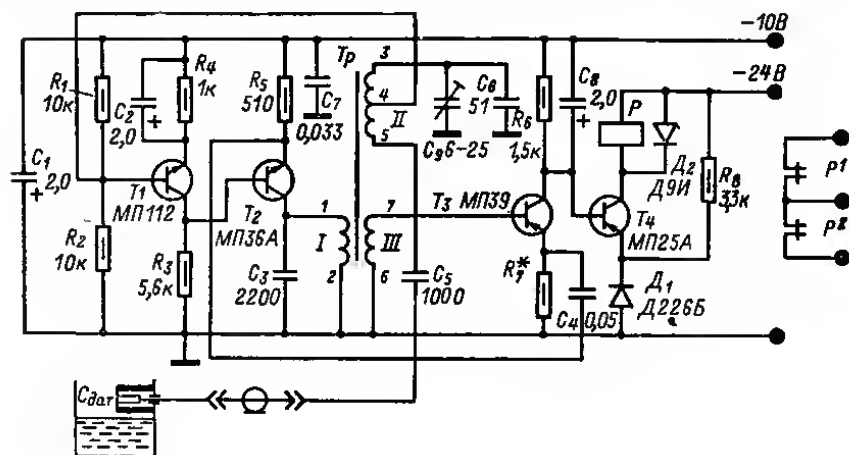


Рис. 8-25.

Трансформатор Tr выполнен на ферритовом кольце М2000НМ $14 \times 6 \times 6$. Обмотка I содержит 50 витков, $II - 80 + 80$ и $III - 25$ витков провода ПЭЛШО 0,88.

Диаметр внешней трубки цилиндрического конденсатора датчика уровня 26 мм, диаметр внутренней трубки 16 мм, длина трубок 120 мм, толщина 1 мм. Емкость датчика в воздухе $C_{дат. мин} = 45 \text{ пФ}$.

8-4. ДИСКРЕТНЫЕ УСТРОЙСТВА АВТОМАТИКИ

Кодовые замки

Основу кодовых замков составляют электромеханические или электронные контакты, управляющие электромагнитным исполнительным механизмом и включенные в единую схему таким образом, что на электромагнит подается управляющее напряжение лишь при условии замыкания определенных контактов и в заданной последовательности. Включение электромагнита приводит к перемещению его сердечника, связанного с механическим замком, и отпиранию замка.

Кодовый замок на электромагнитных реле (рис. 8-26) имеет кодирующее устройство, рассчитанное на последовательный и строго определенный порядок нажатия кнопок. При этом число возможных комбинаций кодирования составляет несколько тысяч. Пульт управления имеет 11 кнопок, а кодирующее устройство 4 реле ($P_1 - P_4$).

Кодирование замка осуществляется изменением включения вилки в гнезда $Г_{Н1,2} - Г_{Н7,8}$. Так, например, если в гнезда $Г_{Н1,2}$ вставить вилки кнопки 8, в гнезда $Г_{Н3,4}$ вилки кнопки 6, в гнезда $Г_{Н5,6}$ вилки кнопки 7, в гнезда $Г_{Н7,8}$ вилки кнопки 4, то код замка будет 8674.

Замок подключается к источнику питания выключателем B_1 . Реле P_1 срабатывает при одновременном нажатии кнопки $Звонок$ и кнопки, соответствующей первой цифре кода (кнопки 8) и самоблокируется контактами P_1^1 и P_1^2 . Обе кнопки

можно отпустить. Контакты P_1^3 подготовили реле P_2 к срабатыванию, которое произойдет при нажатии на кнопку 6. При этом кнопки кода 4 контакты реле P_4^2 включают электромагнит $\mathcal{E}M_1$ и замок откроется. При нажатии кнопки, не соответствующей коду, сработает реле P_3 и его контакты P_3^1 обесточат кодирующее реле — система приходит в исходное положение. После того как замок откроется, трансформатор Tr_1 отключится от сети нажатием кнопки Сброс 0.

Детали замка: трансформатор собран на сердечнике с площадью сечения керна $4,5-5 \text{ см}^2$; обмотка I — 1080 витков (для сети 127 В) плюс 800 витков (для сети 220 В) провода ПЭЛ 0,18; обмотка II — 220 витков провода ПЭЛ 0,51; реле P_1-P_5 — типа РЭС-10 (паспорт РС4.524.313П2).

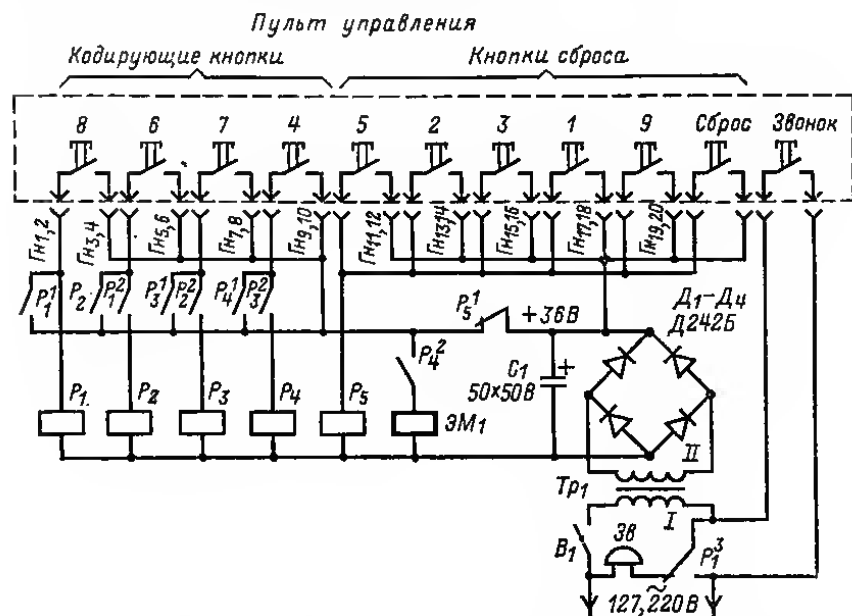


Рис. 8-26.

Кодовый замок на транзисторах. Кодовый замок (рис. 8-27) выполнен на трех транзисторных триггерах и двухкаскадном усилителе тока. Первый триггер образуют транзисторы T_1 и T_2 , второй — транзисторы T_4 и T_5 , третий — транзисторы T_6 и T_7 . В усилителе тока работают транзисторы T_8 и T_9 .

Управление замком производится десятью кнопками $K_{H1}-K_{H10}$.

В исходном состоянии транзисторы T_1 , T_4 и T_6 триггеров открыты и потенциал на их коллекторах равен нулю. При включении питания исходное состояние достигается за счет заряда конденсатора C_1 через резистор R_1 , обеспечивающего насыщение транзисторов T_1 , T_4 и T_6 .

Отпирание замка производится при правильной последовательности нажатия кнопок, подключенных к гнездам 1, 2, 3. В приведенной схеме код замка — 492. При нажатии кнопки K_{H4} на базу транзистора T_2 подается отрицательный потенциал, который приводит к его отпиранию, а диод D_1 и транзистор T_3 закрываются. Второй триггер перейдет в другое устойчивое состояние при нажатии следующей кнопки (K_{H9}), а затем и третий триггер — после нажатия кнопки K_{H2} . Как только транзистор T_6 закроется, откроются транзисторы T_8 и T_9 и включится

электромагнит ЭМ₁, связанный с защелкой замка — и замок откроется. Чтобы вернуть замок в исходное состояние, нужно разорвать цепь тока.

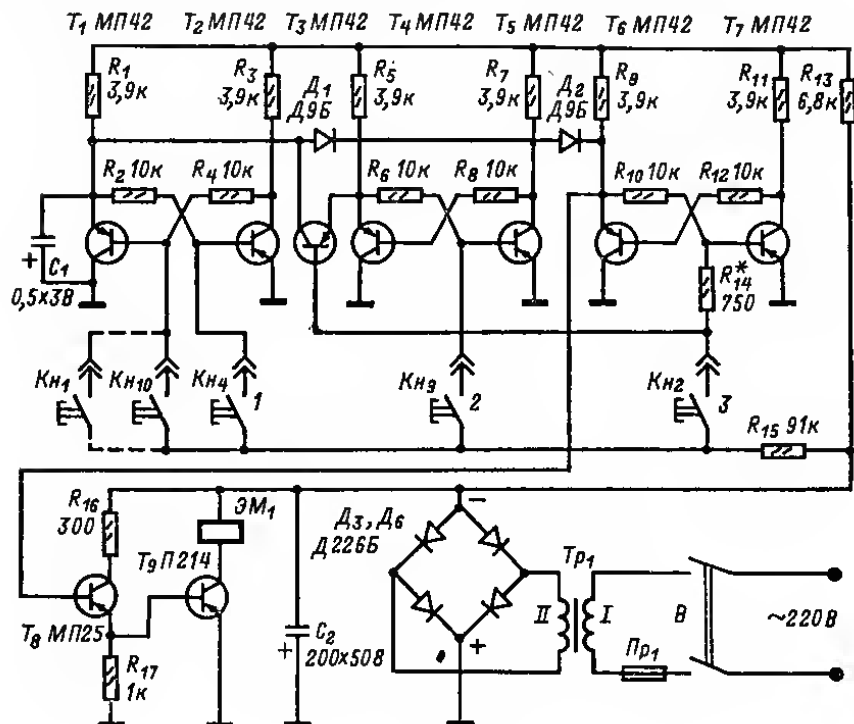


Рис. 8-27.

Для кодового замка можно использовать самодельный электромагнит, конструкция которого показана на рис. 8-28.

Питание электромагнита осуществляется от выпрямителя напряжением 24 В, рассчитанного на ток 0,3—0,5 А. Цифрами обозначены: 1 — ограничительная гайка; 2 — гильза каркаса (пластмасса); 3 — опорный вкладыш (дерево, пластмасса) пружины; 4 — обмотка (2500 витков провода ПЭЛ 0,31); 5 — пружина (сталь); 6 — направляющий стержень сердечника (сталь); 7 — сердечник; 8 — тяга (проволока толщиной 2 мм) для соединения с защелкой дверного замка.

Сердечник изготавливают из мягкой стали. Ход сердечника должен быть не менее 10 мм.

Трансформатор можно использовать тот же, что и в предыдущем устройстве.

Кодовый замок с емкостной памятью (рис. 8-29). Замок состоит из конденсаторов С₁—С₃, являющихся его памятью, транзистора Т₁, диодов Д₁—Д₄, электро-

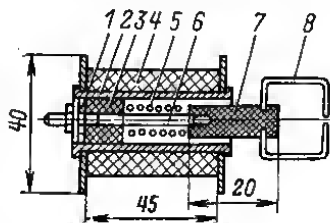


Рис. 8-28.

магнитного реле P_1 , кнопок $Kn_1 — Kn_7$, кодировочного узла, состоящего из штепсельных разъемов $Ш_1 — Ш_6$ и электромагнита $ЭМ_1$, сердечник которого механически связан с задвижкой дверного замка.

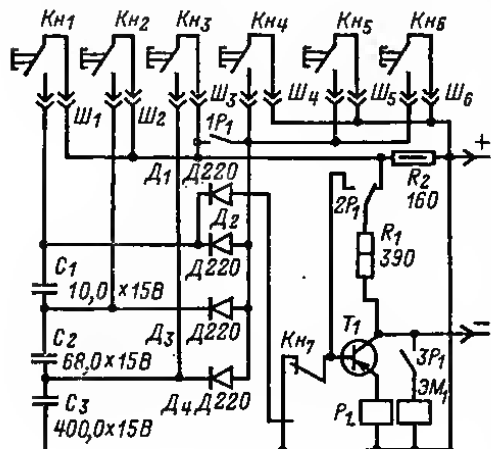


Рис. 8-29.

Код замка трехзначный. Первая цифра кода соответствует номеру кнопки, подключенной к гнездовой части штепсельного разъема $Ш_1$, вторая — кнопки, подключенной к гнездам разъема $Ш_2$, третья — кнопки, подключенной к гнездам разъема $Ш_3$. Чтобы открыть замок, кнопки должны быть нажаты в порядке установленного кода. Кнопки, подключенные к гнездам $Ш_4 — Ш_6$, являются не кодовыми и в случае нажатия любой из них замок не откроется.

На рис. 8-29 код замка 123. При нажатии первой кнопки Kn_1 конденсатор C_1 заряжается от напряжения, снимаемого с резистора R_2 (до 85% его значения). При нажатии кнопки Kn_2 до такого же напряжения заряжается конденсатор C_2 ; при нажатии кнопки Kn_3 конденсатор C_3 заряжается до полного напряжения, имеющегося на резисторе R_2 . Таким образом, суммарное напряжение на конденсаторах $C_1 — C_3$ после набора правильного кода будет составлять 27% напряжения, снимаемого с резистора R_2 и достаточного для срабатывания реле P_1 . При правильном нажатии лишь двух кнопок кода напряжение на конденсаторах скажется недостаточным для срабатывания реле. В случае нажатия любой другой кнопки ($Kn_4 — Kn_6$) конденсаторы тут же разрядятся через диоды $D_2 — D_4$ и устройство примет исходное состояние.

После правильного выбора кода необходимо нажать кнопку Kn_7 . При этом на базу транзистора T_1 будет подано напряжение отрицательной полярности, транзистор T_1 откроется и сработает реле P_1 . Контакты реле P_1 включают электромагнит, который отирует замок; контакты $2P_1$ подключают резистор R_1 к базе транзистора, а через контакты $1P_1$, резистор R_2 и диоды $D_2 — D_4$ конденсаторы $C_1 — C_3$ разрядятся. При отпуске кнопки Kn_7 база транзистора вновь соединится с плюсом источника питания, транзистор закроется и устройство примет исходное состояние.

В устройстве применено реле P_1 — типа РЭС-22 (паспорт РФ4.500.163). Питание замка осуществляется от выпрямителя с выходным напряжением 24 В и током 1—1,5 А.

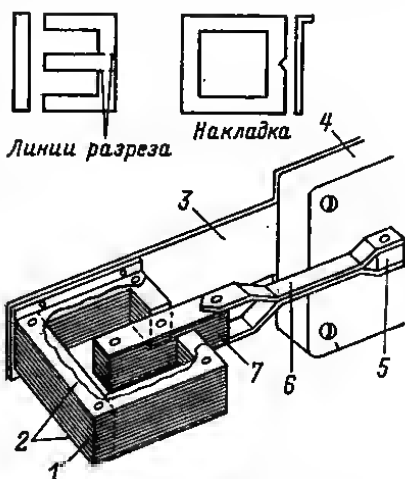


Рис. 8-30.

Электромагнит изготавливают из низкочастотного дросселя сглаживающего фильтра выпрямителя лампового приемника или телевизора. Сердечник разбирают и распиливают пластины по штриховым линиям согласно рис. 8-30. Среднюю часть набора пластин используют как якорь 7, а боковые ядра и набор замыкающих пластин — как магнитопровод 1 электромагнита. Части магнитопровода скрепляют вместе с помощью металлических накладок 2. Чтобы якорь свободно перемещался внутри каркаса обмотки в его наборе должно быть на 4—5 пластин меньше, чем в наборе магнитопровода.

Якорь электромагнита соединяют с ручкой защелки 5 дверного замка 4 тягой 6, сделанной из двух полос листовой стали толщиной 0,5—1 мм. Магнитопровод закрепляют на стальной пластине 3, подложенной под замок.

Налаживание электронной части кодового замка сводится к правильному подбору резистора R_2 , падение напряжения на котором должно обеспечить достаточный заряд конденсаторов.

Электронный сторож

Электронный сторож (рис. 8-31) представляет собой триггер Шмитта, вход которого соединен с петлей 1 из тонкого медного провода ПЭВ-1 0,09—0,12, которой огражден охраняемый участок. Выходной каскад собран на транзисторе П217А и допускает ток нагрузки до одного ампера (лампа L_1). При обрыве ограждающего провода транзистор T_1 открывается, что приводит к смене состояния триггера (транзисторы T_2 , T_3 и отпиранию транзистора T_4 ; лампа L_1 загорается).

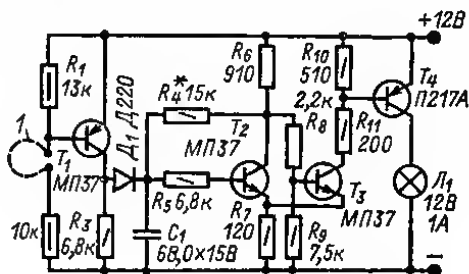


Рис. 8-31.

Устройства для автоматического переключения групп осветительных приборов

Примеры простейших устройств такого рода, предназначенных для переключения елочных гирлянд, приведены на рис. 8-32, 8-33.

На рис. 8-32, а показана схема переключателя на тиратронах типа МТХ-90. Устройство состоит из релаксационного генератора на тиратроне L_1 и двух триггеров (L_2 , L_3 и L_4 , L_5), являющихся делителями частоты.

При включении напряжения питания через резисторы R_1 и R_2 заряжается конденсатор C_1 и напряжение на управляющем электроде тиратрона L_1 увеличивается. Когда оно достигнет потенциала зажигания тиратрона, последний зажигается. Конденсатор C_1 разряжается через промежуток управляющий электрод — натод L_4 и резистор R_4 . После того как тиратрон погаснет, процесс повторится.

Остроконечные импульсы напряжения положительной полярности, снимаемые с резистора R_4 , подаются на управляющие электроды обоих тиратронов первого триггера (L_2 , L_3), в результате чего зажигается тиратрон L_2 (в исходном состоянии тиратрон L_2 горит, а L_3 погашен). Конденсатор C_4 начинает разряжаться. Напряжение на нем, а следовательно, и на аноде тиратрона L_2 уменьшается. Тиратрон L_2 гаснет, а реле P_1 отпускает. Полярность напряжения на конденсаторе C_4 изменяется на противоположную. Тиратрон L_3 горит до поступления на вход триггера следующего положительного импульса с релаксационного генератора. Этот импульс возвращает триггер в исходное состояние.

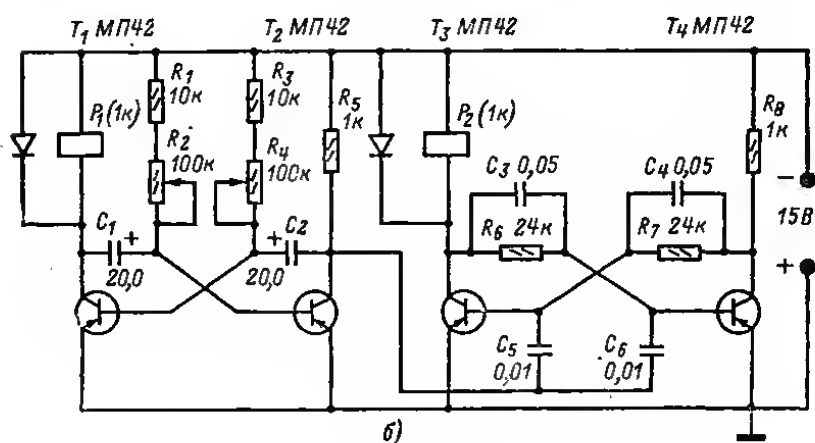
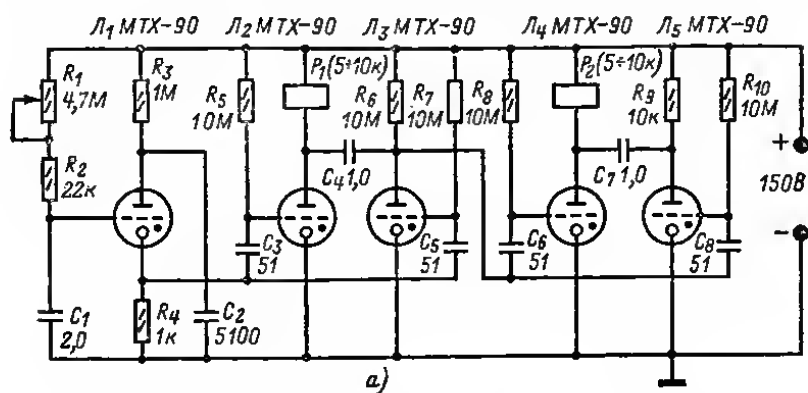


Рис. 8-32.

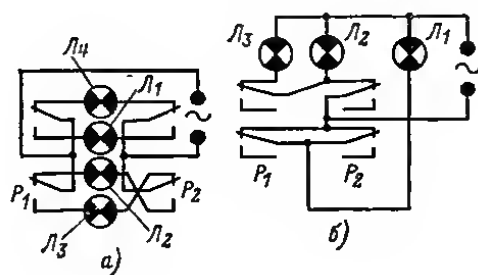
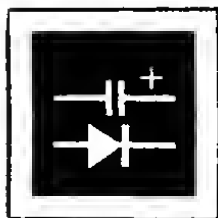


Рис. 8-33.

Триггер на тиратронах L_4 и L_5 работает аналогично, только он запускается положительными импульсами, поступающими из анодной цепи тиратрона L_3 . Поскольку частота положительных импульсов на входе триггера L_4 , L_5 в два раза меньше, чем на входе триггера L_2 , L_3 , то реле P_2 срабатывает через один такт работы реле P_1 .

В описанном устройстве необходимо применять реле с током срабатывания не более 15—20 мА и двумя группами переключающих контактов.

На рис. 8-32, б показана схема аналогичного устройства на транзисторах. Частоту переключений можно изменять в пределах от 0,2 до 10 с в первом случае с помощью резистора R_1 , во втором — R_2 , R_4 . Схемы возможных способов подключения елочных гирлянд показаны на рис. 8-33, а, б.



ЭЛЕКТРОПИТАНИЕ РЭА

РАЗДЕЛ 9

СОДЕРЖАНИЕ

9-1. Химические источники тока	444
Параметры гальванических элементов и батарей (444). Параметры аккумуляторов (448)	
9-2. Полупроводниковые выпрямители	449
Выбор схемы выпрямителя (449). Расчет выпрямителей (452)	
9-3. Трансформаторы питания	455
Схемы трансформаторов (455). Расчет трансформаторов питания (456)	
9-4. Статические преобразователи напряжения	457
Выбор схемы преобразователя и конструкции магнитопровода трансформатора (457). Расчет преобразователя напряжения (459)	
9-5. Сглаживающие фильтры	461
Выбор типа фильтра (461). Параметры сглаживающих фильтров (463). Расчет RC- и LC-звеньев фильтров (463). Расчет звена фильтра с полупроводниковым диодом (464).	
9-6. Стабилизаторы напряжения	464
Применение стабилизаторов различных типов (464). Параметры стабилизаторов напряжения (465). Параметрические стабилизаторы напряжения на стабилитронах и стабилаторах (465). Транзисторные стабилизаторы напряжения (468)	

9-1. ХИМИЧЕСКИЕ ИСТОЧНИКИ ТОКА

Параметры гальванических элементов и батарей

Начальное напряжение $U_{\text{нач}}$ — разность потенциалов между выводами (закжимами) свеженegotовленного, не бывшего в употреблении элемента (батарей) при нагрузке его на внешнюю цепь, обладающую сопротивлением R_n , установленным ГОСТ или ТУ на данный тип элемента или батарей (см. табл. 9-1 и 9-2). При увеличении сопротивления внешней цепи (уменьшении разрядного тока) начальное напряжение элемента (батарей) увеличивается, а при уменьшении сопротивления (увеличении разрядного тока) уменьшается.

Гальванические элементы и батареи считают свеженegotовленными в течение 30 сут после их выпуска с завода-изготовителя (год и месяц изготовления обозначен на каждом изделии).

Начальная э. д. с. $E_{\text{нач}}$ — разность потенциалов между выводами (закжимами) свеженegotовленного, не подвергавшегося разряду элемента (батарей) в отсутствие нагрузки.

Для марганцево-цинкового элемента $E_{\text{нач}} \approx 1,6$ В, для ртутно-цинкового — 1,35 В.

Продолжительность работы $t_{\text{раб}}$ — время, в течение которого напряжение элемента (батарей), разряжаемого на внешнюю цепь с заданным сопротивлением R_n , уменьшается до некоторого значения $U_{\text{кон}}$, называемого *конечным напряже-*

Наименование	$U_{\text{нач}}$, В	$t_{\text{хран}}$, мес	Номинальный непрерывный режим разряда				Номинальный прерывистый режим разряда				Размеры, мм, не более	Масса, г, не более
			$R_{\text{н}}$, Ом	$U_{\text{кон}}$, В	$t_{\text{раб}}$, ч		$R_{\text{н}}$, Ом	$U_{\text{кон}}$, В	$t_{\text{раб}}$, ч			
					свеже-изгот.	в конце срока хранения			свеже-изгот.	в конце срока хранения		
Элементы цилиндрические												
286 (R03)	1,48	3	200	1,0	20	16	300	0,90	72	48	$\varnothing 10 \times 44$	10
314 (R4)	1,52	6	200	1,0	38	30	300	0,90	75	60	$\varnothing 14 \times 38$	15
316 (R6)	1,52	9	200	1,0	60	48	300	0,90	180	100	$\varnothing 14 \times 50$	20
316 ВЦ «Сапфир» (R6)	1,35		—	—	—	—	75	0,90	200	—	$\varnothing 14 \times 50$	20
332 (R10) (1,3 ФМЦ-0,25)	1,40	6	20	0,85	6	4,8	5	0,75	1,6	1,3	$\varnothing 22 \times 37$	30
336 (R12)	1,40	6	20	0,85	10	7,0	5	0,75	6,5	2,8	$\varnothing 20 \times 58$	45
343 (R14)	1,55	18	20	0,85	12	9,0	5	0,75	5,0	3,3	$\varnothing 26 \times 49$	52
373 (R20) «Марс»	1,55	18	20	0,85	40	28	5	0,75	18,0	11,5	$\varnothing 34 \times 61$	115
374 (R22)	1,55	18	20	0,85	50	35	5	0,75	21,5	12,0	$\varnothing 34 \times 73$	130
376 (R25)	1,55	18	20	0,85	65	45,5	5	0,75	28,0	18,5	$\varnothing 34 \times 91$	165
425	1,48	15	20	0,85	144	100	5	0,75	—	—	$\varnothing 40 \times 100$	235
465	1,50	18	20	0,85	495	340	5	0,75	—	—	$\varnothing 51 \times 125$	500

Продолжение табл. 9-1

Наименование	$U_{\text{нач}},$ В	$t_{\text{хран}},$ мес	Номинальный непрерывный режим разряда				Номинальный прерывистый режим разряда				Размеры, мм, не более	Масса, г, не более
			$R_{\text{н}}, \text{Ом}$	$U_{\text{кон}},$ В	$t_{\text{раб}}, \text{ч}$		$R_{\text{н}}, \text{Ом}$	$U_{\text{кон}},$ В	$t_{\text{раб}}, \text{ч}$			
					свеже-изгот.	в конце срока хранения			свеже-изгот.	в конце срока хранения		
Элементы прямоугольные												
045 (1,35 ТВМЦ-50)	1,30	15	10	0,70	520	300	—	—	—	—	57×57×132	600
076 (1,30 ТВМЦ-150)	1,30	15	5,0	0,70	750	500	—	—	—	—	82×82×176	1700
145Л (2С-Л-9)	1,45	12	20	0,85	160	130	—	—	—	—	42×42×102	300
145У (1,6 ПМЦ-У-8)	1,60	18	20	0,85	160	130	—	—	—	—	42×42×102	300
165Л (3С-Л-30)	1,50	21	20	0,85	550	400	—	—	—	—	57×57×132	700
165У (3С-У-30)	1,66	21	20	0,85	550	400	—	—	—	—	57×57×132	700
Батареи												
3336Л (3Р12) (КБС-Л-0,50)	3,7	6	10	2,0	2,0	1,3	15	2,25	3,5	2,8	63×22×67	150
3336У (3Р12) (КБС-У-0,70)	4,1	6	10	2,0	3,0	2,0	15	2,25	3,5	2,8	63×22×49	150
«Рубин-1»	4,1	9	—	—	—	—	100	—	180	—	62×21×63	150
«Рубин-2»	4,0	9	—	—	—	—	15	—	20	—	62×21×63	150
«Крона ВЦ»	9,0	6	—	—	—	—	300	—	80	—	16×26×48,5	40

нием. Напряжение $U_{\text{кон}}$ при заданном сопротивлении $R_{\text{н}}$ и режим разряда — непрерывный или прерывистый — регламентирует ГОСТ или ТУ на элемент (батарею) каждого данного типа.

Таблица 9-2

Сухие ртутно-цинковые элементы

Наименование	$U_{\text{нач}}, \text{В}$	$t_{\text{хран}}, \text{мес}$	Испытательный режим непрерывного разряда			Размеры, мм, не более	Масса, г, не более
			$R_{\text{н}}, \text{Ом}$	$t_{\text{раб}}, \text{ч}^*$			
				при 20—50 °С	при 0 °С		
РЦ53	1,25	12	120	24	8	∅ 15,6×6,3	4,6
РЦ55	1,22	30	120	50	15	∅ 15,6×12,5	9,5
РЦ63	1,25	18	60	27	12	∅ 21×7,4	10
РЦ65	1,22	30	60	53	15	∅ 21×13	18
РЦ73	1,25	18	40	32	12	∅ 25×8,4	17
РЦ75	1,22	30	40	55	15	∅ 25×13	27
РЦ82Т	1,25	18	25	35	12	∅ 30×9,0	30
РЦ83	1,25	18	25	35	12	∅ 30×9,0	28
РЦ85	1,22	30	25	55	15	∅ 30×14	39
РЦ85У	1,22	18	25	55	—	∅ 30×14	39

* Указано значение $t_{\text{раб}}$ при $t_{\text{окр}} = 20 \div 50^\circ\text{C}$ (для РЦ82Т — до 70°C) при разряде до $U_{\text{кон}} = 1 \text{ В}$ и при $t_{\text{окр}} = 0^\circ\text{C}$ до $U_{\text{кон}} = 0,9 \text{ В}$. Приведенные значения $t_{\text{раб}}$ гарантируются в течение 12 мес со времени изготовления элементов (для элементов РЦ53 в течение 6 мес). В конце указанного в таблице гарантийного срока хранения $t_{\text{хран}}$ (12, 18 или 30 мес) $t_{\text{раб}}$ уменьшается не более чем на 10%.

При разряде элемента (батареи) на внешнюю цепь с меньшим сопротивлением (большим током) продолжительность его работы уменьшается.

Номинальный режим разряда определяется разрядным сопротивлением (током) и конечным напряжением.

На рис. 9-1 приведены разрядные кривые для элемента 373. Сплошные линии соответствуют непрерывному разряду, а штриховые — прерывистому (при испытаниях по 4 ч в сутки).

Гарантийный срок хранения $t_{\text{хран}}$ — время со дня выпуска элемента (батареи) заводом, в течение которого элемент (батарея), находясь в бездействующем состоянии, может проработать определенное время. Месяц, обозначенный на изделии, при исчислении гарантийного срока не учитывается.

Теплостойкость и холодостойкость элементов и батарей. Верхний предел рабочей температуры окружающей среды $t_{\text{окр}}$ для гальванических элементов ограничен. Указанная в табл. 9-2 и 9-3 продолжительность работы $t_{\text{раб}}$ цилиндриче-

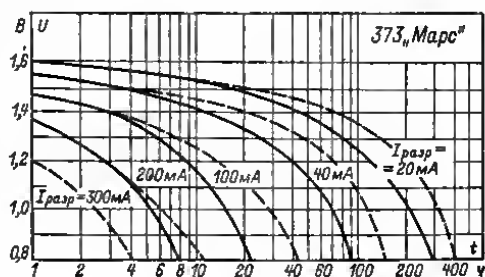


Рис. 9-1.

ских марганцево-цинковых элементов всех типов и прямоугольных элементов 145Л, 145У, 165Л, 165У гарантируется при $t_{\text{окр}} = 15 \div 60^\circ \text{C}$, элементов 045, 046 при $t_{\text{окр}} = 10 \div 40^\circ \text{C}$, батарей 3336Л и ртутно-цинковых элементов всех типов при $t_{\text{окр}} = 0 \div 50^\circ \text{C}$ (РЦ82Т — до 70°C), батарей 3336Х — до 40°C .

При пониженной температуре гальванические элементы и батареи разряжаются до $U_{\text{кон}}$ быстрее, чем при нормальной. Гарантируемая продолжительность работы цилиндрических марганцево-цинковых элементов всех типов при $t_{\text{окр}} = -40^\circ \text{C}$ снижается не более чем в 10 раз, элементов 145У — в 2,6 раз и элементов 165У — в 5 раз. Гарантируемая продолжительность работы элементов 145Л и 165Л при температуре минус 17°C уменьшается в 2,6 и 5 раз соответственно. Продолжительность работы батарей 3336Л при температуре минус 10°C и 3336Х при минус 20°C в 3—4 раза меньше, чем в нормальных условиях. Для элементов и батарей остальных типов продолжительность работы при низких температурах не оговорена.

Параметры аккумуляторов

Номинальное напряжение — напряжение на зажимах свежезаряженного аккумулятора в начале его разряда током, значение которого устанавливается ГОСТ или ТУ.

Номинальное напряжение каждого элемента малогабаритных никель-кадмиевых аккумуляторов равно 1,25 В и гарантируется в течение первых 5 мин разряда.

Таблица 9-3

Малогабаритные никель-кадмиевые аккумуляторные элементы и батареи

Тип элемента	$C_{\text{ном}}$ А·ч	$I_{\text{макс. разр.}}$ мА	Номинальный режим заряда		Размеры, мм, не более	Масса, г, не более
			$I_{\text{ном. з.}}$ мА	$t_{\text{з.}}$ ч		
Дисковые						
Д-0,06	0,06	12	6	15	$\varnothing 15,7 \times 6,5$	4
Д-0,1	0,10	20	12	15	$\varnothing 20 \times 7,0$	7
Д-0,25	0,25	130	20	19	$\varnothing 27 \times 10$	14
Цилиндрические						
ЦНК-0,2	0,20	40	20	15	$\varnothing 14 \times 25$	13
ЦНК-0,45	0,45	90	45	15	$\varnothing 14 \times 50$	25
ЦНК-0,85	0,85	170	85	15	$\varnothing 14 \times 91$	47
ЮНКГ-1,5	1,5	450	160	10	$150 \times 85 \times 62$	1500

Примечания: 1. Указанные в таблице $C_{\text{ном}}$ соответствуют режиму разряда при $t = 15 \div 35^\circ \text{C}$ в течение 10 ч током, численно равным 0,1 номинальной емкости, до конечного напряжения 1 В на элемент. Если аккумулятор разряжать при $t = -10^\circ \text{C}$, емкость может снизиться до 60% от ее номинального значения при $t = 20^\circ \text{C}$.

2. Допускается уменьшение зарядного тока на 50% при условии соответствующего увеличения продолжительности заряда.

3. Допускается увеличение времени заряда на 50%.

4. При разряде элемента Д-0,1 током более 15 мА емкость его может снизиться до 0,03 А·ч. Допускаются мгновенные значения разрядного тока до 60 мА.

5. Для элемента Д-0,25 указано предельно допустимое значение разрядного тока при разряде в течение 1 ч до конечного напряжения 0,7 В. Допускается начальный ток 175 мА, уменьшающийся до 90 мА в конце разряда.

Номинальная емкость аккумулятора $C_{ном}$ — количество электричества, которое отдает полностью заряженный аккумулятор при разряде его номинальным током до обусловленного ГОСТ или ТУ конечного разрядного напряжения; измеряется в ампер-часах [А·ч].

Номинальный разрядный ток $I_{разр}$ — указанное в ГОСТ или ТУ значение тока, при разряде которым при нормальной температуре ($t_{окр} = 20^\circ \text{C}$) определяют емкость аккумулятора. Для большинства аккумуляторов номинальный разрядный ток в амперах численно равен 0,1 значения номинальной емкости, выраженной в ампер-часах.

Если разряд аккумулятора производить с большими перерывами, то его фактическая емкость будет меньше номинальной, даже если разрядный ток равен номинальному или меньше его. Последнее объясняется саморазрядом аккумулятора в интервалах между подключениями к нему нагрузки.

Конечное разрядное напряжение $U_{кон}$ — напряжение на зажимах аккумулятора, при достижении которого дальнейший разряд должен быть прекращен. Невыполнение этого условия приводит к снижению емкости аккумулятора при последующих циклах заряд-разряд.

Стандартный режим заряда определяется указанным в ГОСТ или ТУ значением зарядного тока I_3 и продолжительностью заряда t_3 ; после такого заряда исправный аккумулятор накапливает количество электричества, соответствующее его номинальной емкости. Основные параметры аккумуляторных элементов и батарей сведены в табл. 9-3, 9-4.

Таблица 9-4

Малогабаритные никель-кадмиевые аккумуляторные батареи

Тип батарей	$C_{ном}$ А·ч	Номинальный режим разряда		Номинальный режим заряда		Размеры, мм, не более	Масса, г, не более
		$I_{разр}$ мА	$U_{кон}$ В	I_3 мА	$U_{кон.з}$ В		
7Д-0,1	0,10	10—20	7,0	10	8,5—11,0	∅ 24 × 62	55
10Д-0,25	0,25	25—50	10,0	20	12,0—15,7	∅ 82 × 109 × 10	200
3ЦНК-0,2	0,20	20—40	3,0	20	3,6—4,8	∅ 16 × 74	40
11ЦНК-0,45	0,45	45—90	11,0	45	13,0—17,5	∅ 39 × 57 × 112	350

Примечания: 1. Число в начале обозначения типа батарей указывает количество последовательно соединенных элементов, а число в конце обозначения — ее номинальную емкость [А·ч].

2. Напряжение в конце заряда указано ориентировочно (не является контрольным параметром при заряде). Нормальное время заряда для батарей 10Д-0,25, разряженной до конечного напряжения, равно 19 ч; для батарей остальных типов — 15 ч. Если на заряд ставится частично разряженная батарея, продолжительность заряда должна быть такой, чтобы она получила количество электричества, равное 120—150% заряда, отданного батареей при предыдущем разряде.

9-2. ПОЛУПРОВОДНИКОВЫЕ ВЫПРЯМИТЕЛИ

Выбор схемы выпрямителя

В устройствах питания РЭА от электросетей переменного тока и в транзисторных статических преобразователях напряжения применяют преимущественно выпрямители на полупроводниковых диодах, к которым непосредственно подключают конденсаторы, используемые в качестве накопителей электрической энергии.

Однофазный выпрямитель (рис. 9-2) целесообразно применять, если выпрямленный ток не превышает нескольких миллиампер, например для питания анодов электронно-лучевых трубок или для создания отрицательного смещения на управляющих сетках электронных ламп; при больших мощностях к. п. д. его неудовлетворителен.

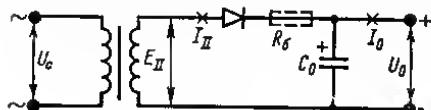


Рис. 9-2.

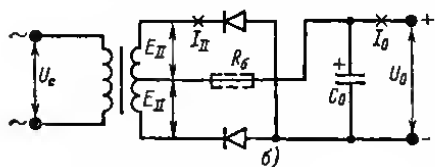
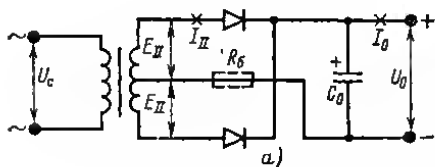


Рис. 9-3.

Двухполупериодные выпрямители. Для получения выпрямленного тока более 10 мА применяют двухполупериодные выпрямители, выполненные по двухфазной (рис. 9-3) или по мостовой однофазной схеме (рис. 9-4). Основное преимущество этих выпрямителей по сравнению с выпрямителями по схеме на рис. 9-2 — большая частота пульсаций, что позволяет уменьшить емкость конденсатора C_0 и габариты трансформатора питания.

Для выпрямителя, питающего транзисторную аппаратуру, потребляющую выпрямленный ток мощностью не более 25—30 Вт, можно выбрать любую из этих двух схем. Преимущество мостовой схемы в том, что вторичная обмотка трансформатора питания имеет вдвое

меньшее число витков, чем в случае двухфазной схемы, но при этом число диодов равно четырем. Для двухфазной схемы понадобится только два диода, однако придется увеличить вдвое число витков вторичной обмотки трансформатора.

Если же требуется большая мощность выпрямленного тока, целесообразно применять выпрямитель по мостовой схеме (она широко известна под названием схемы Греча), т. к. при такой же мощности выпрямленного тока меньше размеры трансформатора.

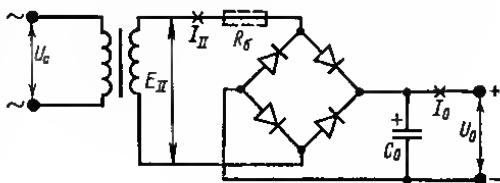


Рис. 9-4.

В выпрямителях по мостовой однофазной схеме используют выпрямительные столбы серий КЦ401—КЦ407 из кремниевых диодов (см. § 12-12). Столбы включают в выпрямитель согласно имеющимся на них обозначениям.

Выпрямители на два выходных напряжения. При наличии вывода от средней точки вторичной обмотки трансформатора питания от выпрямителя по мостовой схеме можно получить дополнительно выпрямленное напряжение U'_0 (рис. 9-5) с такой же полярностью, как и основное, но в два раза меньше. В создании основного выпрямленного напряжения участвуют все четыре плеча моста, а дополни-

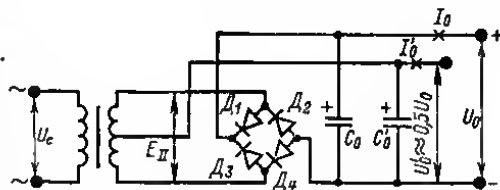


Рис. 9-5.

тельное напряжение получают от двухфазного выпрямителя, в котором работают только два плеча моста (диоды D_1 и D_3).

Для получения двух напряжений одинаковой полярности относительно общего провода применяют также схему, представленную на рис. 9-6, а, содержащую два мостовых выпрямителя, выходы которых соединены последовательно.

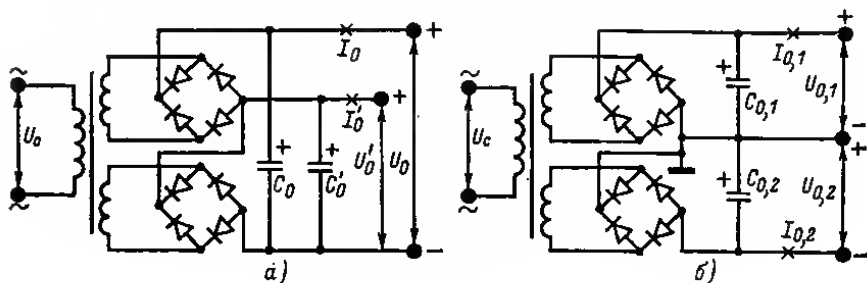


Рис. 9-6.

На рис. 9-6, б приведена схема выпрямителя с двумя однофазными мостами, с помощью которой можно получить два напряжения различной полярности относительно общего провода. Такое устройство применяют в ламповых передатчиках: один мост выпрямляет напряжение для питания цепей анодов и экранирующих секток, а другой — для смещения на управляющие сетки.

Выпрямители с удвоением напряжения (рис. 9-7) выгодны тем, что с их помощью можно получать выпрямленные напряжения, значения которых существенно больше действующего значения переменного напряжения на вторичной обмотке трансформатора питания. От выпрямителя по схеме на рис. 9-7, а можно получить без применения делителей напряжения два напряжения, причем $U'_0 \approx 0,5 U_0$.

Балластные резисторы. При заряде конденсаторов для ограничения anomalно больших импульсов токов через диоды последовательно с диодами иногда включают балластные резисторы R_6 (см. рис. 9-2—9-4). Балластные резисторы можно использовать и для уменьшения выпрямленного напряжения.

Шунтирование диодов резисторами. При выпрямленном напряжении в несколько сотен вольт иногда приходится составлять каждое плечо выпрямительной цепи из двух или большего числа последовательно соединенных диодов. Такая цепь имеет большее допустимое обратное напряжение. Равномерное распределение обратного напряжения между диодами цепочки можно получить только при подключении параллельно каждому из диодов резисторов с одинаковыми сопротивлениями. При невыполнении этого требования диоды могут быть пробиты.

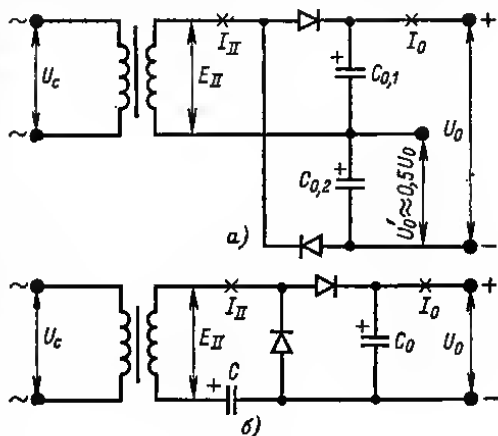


Рис. 9-7.

Особенности применения конденсаторов в высоковольтных выпрямителях. В выпрямителях с выходными напряжениями более 400 В, предназначенных, например, для питания передатчиков, применяют металлобумажные и бумажные конденсаторы либо включают последовательно по два или более электролитических конденсатора (электролитические конденсаторы с номинальными напряжениями выше 450 В не изготавливают). В последнем случае необходимо обеспечить равномерное распределение постоянного напряжения между конденсаторами, шунтируя каждый из них резисторами с одинаковыми сопротивлениями (см. формулу на стр. 455).

Расчет выпрямителей

При конструировании выпрямителя для питания РЭА, требующей напряжения нескольких значений, но одной полярности, выпрямитель часто рассчитывают на большее из требуемых напряжений, а каждое из меньших получают путем гашения части выпрямленного напряжения на последовательных резисторах RC -фильтра.

Исходные данные для расчета: 1) постоянная составляющая выпрямленного тока I_0 , равная сумме токов, потребляемых всеми нагрузками (каскадами питаемого устройства); 2) требуемые напряжения питания нагрузки; 3) допустимый коэффициент пульсации v_0 и напряжения на конденсаторе C_0 (в схеме на рис. 9-7, а — на последовательно соединенных конденсаторах), т. е. отношение амплитуды переменной составляющей выпрямленного напряжения к его постоянной составляющей U_0 . Практически при расчете выпрямителя с выходным напряжением меньше 50 В целесообразно принимать $v_0 < 0,05$, при напряжении 50—150 В $v_0 \leq 0,04$ и при 150—300 В $v_0 \leq 0,02$.

Порядок расчета:

1. Выбор значения выпрямленного напряжения U_0 по известному напряжению на нагрузке выпрямителя U_n (напряжении питания РЭА) можно проводить на основе следующих рекомендаций. Если часть нагрузки выпрямителя, требующая наибольшего напряжения (например, коллекторная или анодная цепь оконечного каскада усилителя, приемника, передатчика), будет получать напряжение питания непосредственно с конденсатора C_0 (рис. 9-3 — 9-5), U_n принимают равным U_0 ; если же эта часть нагрузки будет подсоединена к выпрямителю через ячейку сглаживающего фильтра RC -типа (рис. 9-15, а), то следует принимать $U_0 = (1,1 \div 1,25) U_n$, а при питании через ячейку фильтра LC -типа $U_0 = (1,03 \div 1,1) U_n$.

2. Выбор типа диодов производят исходя из следующих соображений: обратное напряжение на каждом из диодов не должно превышать максимально допустимого значения даже при наибольшем значении напряжения питающей электросети и при наибольшем выпрямленном напряжении, которое получается при отключении нагрузки от выпрямителя; для выпрямителей по схемам на рис. 9-2, 9-3 и 9-7, б это условие выполняется, если $U_{обр.и. макс} \geq 3,4 U_0$, и для выпрямителей по схемам на рис. 9-4, 9-5 и 9-7, а, когда $U_{обр.и. макс} \geq 1,7 U_0$.

При отсутствии диодов, удовлетворяющих этим условиям, в каждое плечо выпрямителя включают последовательно m диодов.

Для выпрямителей по схемам на рис. 9-2, 9-3 и 9-7, б

$$m = 4U_0/U_{обр.и. макс}$$

и для выпрямителей по схемам на рис. 9-4 и 9-7, а

$$m = 2U_0/U_{обр.и. макс}$$

Вместе с тем диоды в выпрямителях по схемам на рис. 9-2, 9-7 должны удовлетворять условию $I_{вп. ср. макс} \geq 1,6 I_0$, в выпрямителях по схемам на рис. 9-3 и 9-4 $I_{вп. ср. макс} \geq 0,8 I_0$, а в выпрямителе по схеме на рис. 9-5 диоды D_2 и D_4 $I_{вп. ср. макс} \geq 0,8 (I_0 + I_0')$.

Значения параметров $U_{обр.и. макс}$ и $I_{вп. ср. макс}$ для диодов различных типов приведены в табл. 12-53 и 12-54.

3. Прямое сопротивление диода в омах определяют по формуле

$$r_d \approx U/I_0,$$

где U — падение напряжения на диоде, равное 0,15 В для выпрямителей, выполненных по схемам на рис. 9-2 и 9-7 при использовании в них германиевых диодов, и 0,25 В при использовании кремниевых диодов; для выпрямителей, выполненных по схемам на рис. 9-3 и 9-4 при использовании германиевых диодов $U = 0,3$ В и при использовании кремниевых диодов $U = 0,5$ В; ток, подставляемый в последнюю формулу, должен быть выражен в амперах. Сопротивления и мощности рассеяния резисторов, шунтирующих последовательно включенные диоды, можно найти в табл. 9-5.

4. Вычислив значения мощности тока на входе сглаживающего фильтра $P_0 = U_0 I_0$ и сопротивление нагрузки выпрямителя $R_0 = U_0/I_0$, находят приведенное сопротивление трансформатора r_t по формуле (1а) из табл. 9-6, если трансформа-

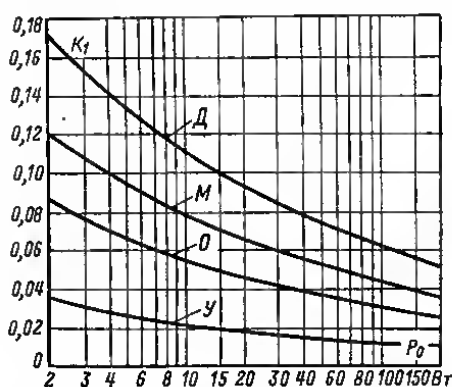


Рис. 9-8.

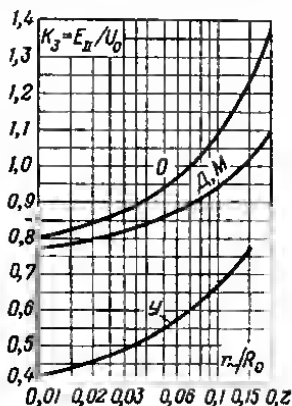


Рис. 9-9.

тор двухобмоточный или по формуле (1б), если на трансформаторе должны быть дополнительные обмотки, с которых будет сниматься суммарная мощность переменного тока P_{Σ} .

5. Сопротивление цепи диодов переменному току вычисляют по формуле (2) из табл. 9-6.

6. По отношению r/R_0 с помощью графика на рис. 9-9 находят вспомогательный коэффициент K_3 и определяют по формуле (3) э. д. с. вторичной обмотки трансформатора E_{II} .

7. Действующее значение тока вторичной обмотки трансформатора определяют по формуле (4); для выпрямителя по схеме на рис. 9-5 значение I_{II} равно сумме токов, вычисленных по формулам (4) для схем выпрямителей на рис. 9-3 и 9-4 с подстановкой в них значений выпрямленных токов соответствующих выходных цепей выпрямителя.

8. Номинальное напряжение электролитического конденсатора C_0 должно быть не менее вычисленного по формуле (5). При использовании конденсаторов К50-7 с $U_{ном} \leq 400$ В принимаем в этой формуле коэффициент 1,3, а при использовании конденсаторов всех других типов и номинальных напряжений — 1,5. Если $E_{II} \geq 300 \div 350$ В (соответственно для выпрямителя без удвоения напряжения $U_0 \geq 350 \div 400$ В и для выпрямителя с удвоением напряжения $U_0 \geq 700 \div 800$ В), то следует применить металлобумажный или бумажный кон-

Таблица 9-5

Параметры резисторов для шунтирования диодов*

Тип диода	Номинальная мощность резистора, Вт	Сопротивление резистора, кОм	Тип диода	Номинальная мощность резистора, Вт	Сопротивление резистора, кОм
Д7Е	0,25	68	Д226В	0,25	68
Д7Ж	0,25	82	Д226Г	0,25	47
Д229В	0,25	68	Д226Д	0,125	27
Д229Г	0,25	120	КД103А, —Б	0,25	680
Д229Д	0,5	180	КД105А	0,25	270
Д229Е	0,5	270	КД105Б	0,5	470
Д226Б	0,25	82			

* При $t_{\text{окр}} \leq 50^\circ\text{C}$ для диодов Д7А—Д7Ж и Д226Б—Д226Д, при $t_{\text{окр}} \leq 85^\circ\text{C}$ — для диодов остальных типов.

Таблица 9-6

К расчету выпрямителей на полупроводниковых диодах

Параметр	Соотношения для схем по рис.				Номер формулы
	9-2	9-3	9-4	9-7	
$r_{\text{т}}, \text{Ом}$	$\frac{K_1 R_0}{0,5 K_1 R_0 \left(1 + \frac{K_2 P_0}{K_2 P_0 + P_-} \right)}$				(1а) (1б)
K_1	Согласно номограмме на рис. 9-8*				
K_2	2,3	1,1	1,6	1,6	
$r, \text{Ом}$	$m r_{\text{д}} + r_{\text{т}} + R_0$		$2 m r_{\text{д}} + r_{\text{т}} + R_0$	$m r_{\text{д}} + r_{\text{т}} + R_0$	(2)
$E_{\text{II}}, \text{В}$	$\frac{K_3 U_0}{(K_3 \text{ согласно номограмме на рис. 9-9}^*)}$				(3)
$I_{\text{II}}, \text{А}$	$2,3 I_0 / K_3$	$1,1 I_0 / K_3$	$1,6 I_0 / K_3$	$1,6 I_0 / K_3$	(4)
$U_{\text{ном}}, \text{В},$ не менее	$(1,3 \div 1,5) E_{\text{II}}$				(5)
n не менее	$(1,3 \div 1,5) E_{\text{II}} / U_{\text{ном}}$				(6)
$C_0, \text{мкФ},$ не менее	$\frac{7500 n}{R_0 v_0}$	$\frac{3200}{R_0 v_0}$	$\frac{3200 n}{R_0 v_0}$	$\frac{15\,000 n}{R_0 v_0}$	(7)

* Кривые Д, М на рис. 9-8, 9-9 относятся к двухфазному и мостовому однофазному, О — к однофазному выпрямителю, У — к выпрямителю с удвоением напряжения.

денсатор с $U_{\text{ном}} \geq 1,4 E_{II}$, так как электролитические конденсаторы на напряжение более 400—450 В не выпускают. В этих случаях возможно также применить несколько последовательно включенных электролитических конденсаторов, число которых n определяется формулой (6). В последнем случае каждый конденсатор нужно шунтировать резистором, сопротивление которого в килоомах определяют по формуле

$$R = (3000 \div 4000) / C_{\text{ном}},$$

где $C_{\text{ном}}$ — в микрофарадах.

Выбираем резистор с ближайшим номинальным сопротивлением.

9. Чтобы коэффициент пульсаций напряжения на конденсаторе C_0 не превышал значения v_0 , он должен иметь емкость не менее вычисленной по формуле (7).

9-3. ТРАНСФОРМАТОРЫ ПИТАНИЯ

Схемы трансформаторов

Первичные обмотки трансформаторов питания, предназначенных для включения в электросеть с различными напряжениями, выполняют из нескольких секций, которые соединяют между собой последовательно или параллельно в зависимости от напряжения электросети и схемы трансформатора.

Переключатель секций первичной обмотки часто выполняют в виде октальной ламповой панели, к гнездам которой подпаивают выводы от секций, и съемной ко-

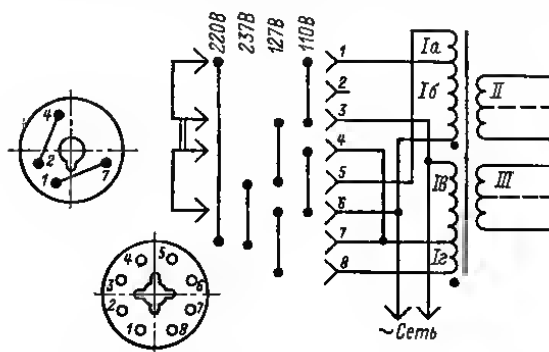


Рис. 9-10.

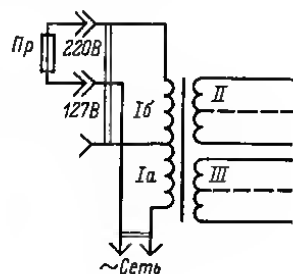


Рис. 9-11.

лодки, подобной цоколю электроинной лампы, с четырьмя попарно соединенными между собой штырьками. Вставляя колодку в панель в различных положениях, получают необходимые комбинации соединений секций первичной обмотки (рис. 9-10). Переключение секций первичной обмотки по схеме из рис. 9-11 осуществляют переставкой плавкого предохранителя $Пр$ из одного держателя в другой (либо однополюсным переключателем).

Для ослабления помех, которые могут проникнуть из электросети в питаемую РЭА, вторичные обмотки отделяют от первичных экраном, который уменьшает емкость между обмотками. Экран чаще всего выполняют в виде одного слоя изоляции из изолированного провода диаметром 0,2—0,5 мм, один из его концов соединяют с корпусом (шасси) выпрямителя.

Конструкции обмоток и каркасов для них описаны в § 12-7.

Расчет трансформаторов питания

При расчете трансформатора выбирают размеры магнитопровода, диаметры проводов для намотки и определяют числа витков каждой из обмоток. Изменением размеров окна и сечения магнитопровода можно получить ряд вариантов конструкции одного и того же трансформатора. В радиолюбительских условиях при расчете трансформатора зачастую приходится исходить из наличия имеющегося магнитопровода или пластин для его сборки.

Коэффициент полезного действия трансформатора η_T — отношение суммы электрических мощностей, снимаемых со всех вторичных обмоток трансформатора, к мощности, поступающей на него из сети. Трансформаторы питания с магнитопроводами из обычной трансформаторной стали (см. § 12-7) при полной нагрузке имеют следующие ориентировочные значения к.п.д.:

Трансформируемая мощность, В · А	К. п. д.
10—20	0,65—0,75
20—50	0,70—0,80
50—100	0,75—0,85
100—200	0,82—0,88
200—500	0,85—0,90
500—1000	0,90—0,95

Типовая мощность трансформатора P_T равна полусумме полных мощностей всех обмоток трансформатора; выражается она в вольт-амперах. Значения типовых мощностей P_T , приведенные в табл. 12-29 и 12-30, 12-31, соответствуют частоте питающего тока 50 Гц и указанным в этих же строках таблиц плотностям тока J , при которых температура перегрева обмоток не превышает 55° С.

Порядок расчета:

1. Определяют типовую мощность трансформатора [В · А]:

$$P_T = K_4 E_{II} I_{II} / \eta_T$$

и мощность, потребляемую от электросети при полной расчетной нагрузке выпрямителя:

$$P_c = K_5 E_{II} I_{II} / \eta_T.$$

Для выпрямителя по двухфазной схеме (рис. 9-3) $K_4 = 1,7$ и $K_5 = 1,4$, а для выпрямителей по всем другим приведенным схемам $K_4 = K_5 = 1$.

Если трансформатор должен иметь дополнительные обмотки, используемые в качестве вторичных источников переменного тока, от которых потребляется мощность P_{\sim} , значения P_T и P_c нужно увеличить на P_{\sim} / η_T .

2. Выбрав по табл. 12-29, 12-30 или 12-31 магнитопровод с типовой мощностью не менее вычисленной, находим по этим таблицам значения э. д. с. $E^{(1)}$ на 1 В и среднюю плотность тока в обмотках J .

3. Число витков секций первичной обмотки трансформатора по схеме на рис. 9-10

$$w_{Ia} = w_{I\Gamma} = 17 / E^{(1)}; \quad w_{I6} = w_{Ib} = 110 / E^{(1)};$$

расчетное значение тока во всех секциях

$$I_{Ia} = I_{I6} = I_{Ia} = I_{I\Gamma} = P_c / 220.$$

Число витков секций первичной обмотки трансформатора по схеме на рис. 9-11

$$w_{Ia} = 127 / E^{(1)}; \quad w_{I6} = 93 / E^{(1)}$$

и расчетные токи в секциях

$$I_{Ia} = P_c / 127; \quad I_{I6} = P_c / 220.$$

4. Число витков обмотки, работающей на выпрямитель,

$$\omega_{11} = E_{11}/E^{\omega}$$

и число витков обмоток, используемых в качестве вторичных источников переменного тока,

$$\omega_n = \frac{U_n (1 + \Delta U_T)}{E^{(1)}},$$

где U_n — действующее значение напряжения на данной обмотке; ΔU_T — относительное падение напряжения на обмотках (см. табл. 12-29 — 12-31).

5. По известным токам в обмотках и взятой из соответствующей таблицы плотности тока J_{cp} с помощью номограммы на рис. 12-39 определяем диаметры проводов обмоток. При этом, если первичная обмотка расположена внутри, рекомендуется на 30% снижать J_{cp} , соответственно увеличивая ее значение для внешних обмоток.

9-4. СТАТИЧЕСКИЕ ПРЕОБРАЗОВАТЕЛИ НАПЯЖЕНИЯ

Выбор схемы преобразователя и конструкции магнитопровода трансформатора

Статические преобразователи — устройства, осуществляющие преобразование постоянного напряжения одной величины в переменное или постоянное напряжение другой величины без использования каких-либо подвижных частей. Здесь даются сведения по наиболее доступным для радиолюбителей преобразователям на транзисторах. С помощью преобразователей от батарей или иных источников постоянного тока низкого напряжения (1,5—30 В) получают переменные несинусоидальные напряжения с большими амплитудами. Выпрямив такое напряжение, получают более высокие постоянные напряжения.

В простейшем преобразователе переменное напряжение вырабатывает релаксационный транзисторный автогенератор с трансформаторной обратной связью, выпрямление осуществляется полупроводниковым диодом (диодами), а уменьшение пульсаций выпрямленного напряжения — сглаживающим фильтром. Транзисторы переключаются из состояния «заперт» в состояние «отперт» и обратно с частотой от нескольких сотен до тысяч герц.

Коэффициент полезного действия транзисторного преобразователя при напряжении батарей 4—10 В равен 0,6—0,7, а при напряжении 12—30 В достигает 0,75—0,9.

Преобразователь с одноктактным автогенератором применяют для повышения напряжения постоянного тока мощностью 1—2 Вт. В зависимости от полярности включения выпрямительного диода D конденсатор C_0 заряжается, когда транзистор отперт, либо когда он заперт. Первый режим (включение диода в полярности, показанной на рис. 9-12, а, б) выгоднее, так как при прочих равных условиях позволяет получить примерно вдвое большую мощность, чем при включении диода в противоположной полярности.

С делителя напряжения $R_1 R_2$ на базу транзистора подается начальное смещение, облегчающее установление режима автогенерации при включении питания.

Преобразователи с двухтактным автогенератором (рис. 9-13 и 9-14) применяют при мощностях порядка десятков ватт. В них используют транзисторы большой мощности на теплоотводах. Напряжение, получаемое на обмотке II , преобразуется в пульсирующее напряжение выпрямителем, выполненным по однофазной мостовой схеме.

Трансформатор преобразователя с двухтактным автогенератором имеет меньший размер, чем трансформатор в одноктактном генераторе. Однако при входном напряжении ниже 5 В и мощности менее 10 Вт одноктактный генератор, как содер-

жащий один транзистор, предпочтительнее. При напряжениях $U_0 \geq 1$ кВ и малых токах одноконтные автогенераторы также более целесообразны.

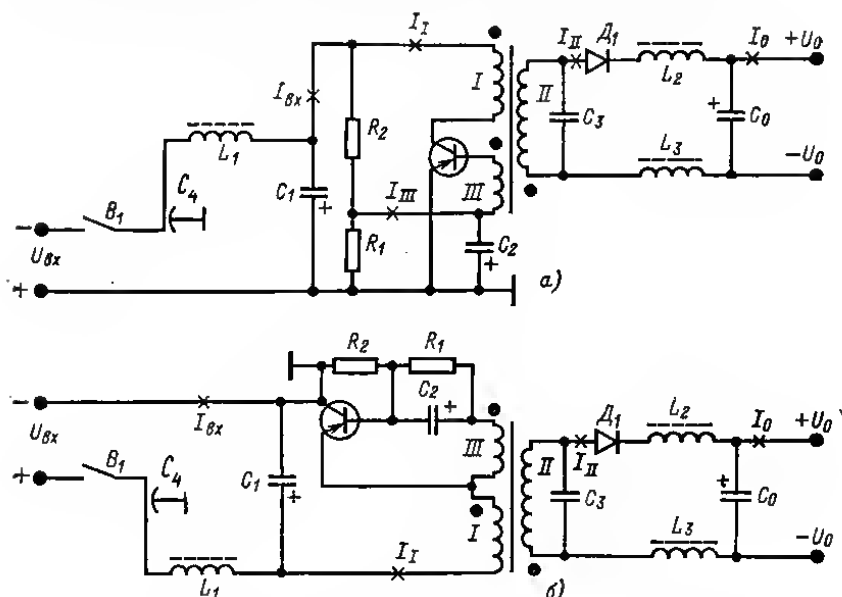


Рис. 9-12.

При напряжении батарей до 12—15 В как одноконтные, так и двухконтные автогенераторы целесообразно выполнять по схеме с ОК (рис. 9-12, б и 9-14).

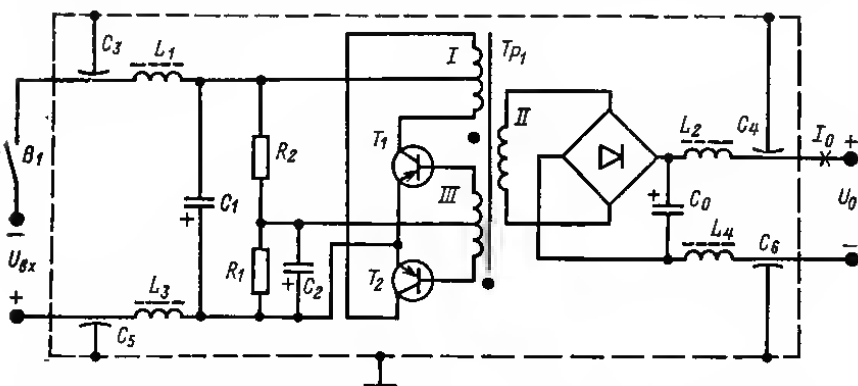


Рис. 9-13.

Преобразователь с двухконтным автогенератором по схеме на рис. 9-14 более удобен, так как коллекторы транзисторов соединены между собой и их можно монтировать на общем радиаторе (шасси), не изолируя один от другого и от радиатора.

При большом напряжении батареи имеют преимущество двухтактные автогенераторы по схеме с ОЭ (рис. 9-13).

Вследствие несинусоидальности токов в цепях преобразователей создаются помехи радиопомеху в широком спектре частот (до 30 МГц). Помехи эти устраняют экранированием преобразователей и включением в их входные и выходные цепи фильтров, состоящих из высокочастотных дросселей L_1, L_2, L_3 индуктивностью по 40—60 мкГ и конденсаторов, имеющих малую внутреннюю индуктивность. Наиболее желательно применение проходных керамических конденсаторов (см. § 12-5). Соединительные провода следует выполнять возможно короче.

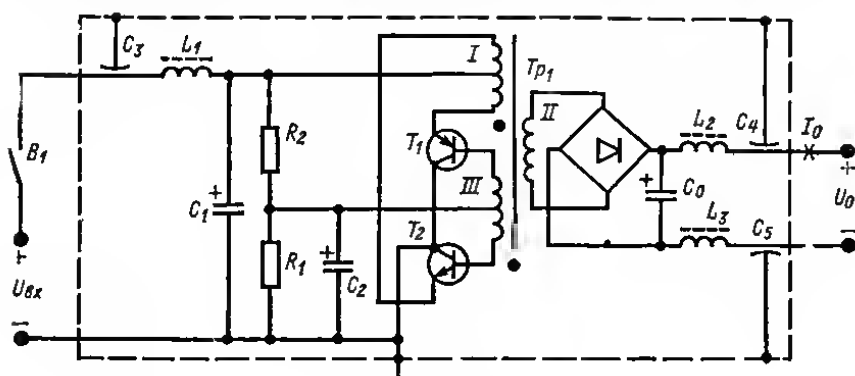


Рис. 9-14.

Магнитопроводы из электротехнических сталей применяют при частоте переключения $f \leq 1$ кГц. При этом допускают $B_m = 0,6 \div 0,8$ Т для набортного магнитопровода и 0,9—1 Т для витого.

При ферритовом магнитопроводе частоту переключений можно повысить до нескольких кГц и тем самым уменьшить размеры трансформаторов и емкости конденсаторов в сглаживающем фильтре. Для магнитопроводов из ферритов марок 2000НМ, 3000НМ принимают $B_m = 0,2 \div 0,3$ Т.

Порядок намотки трансформатора следующий: первой наматывают обмотку I, поверх ее обмотку III и наконец обмотку II. В преобразователях с двухтактными автогенераторами для уменьшения рассеяния магнитного потока половины обмотки I наматывают одновременно двумя проводами. Средняя точка обмотки I образуется соединением начала одного провода с концом другого. Подобным же образом наматывают и обмотку III.

Расчет преобразователя напряжения

Исходные данные для расчета: 1) постоянная составляющая полного тока нагрузки преобразователя I_0 ; 2) постоянная составляющая напряжения U_0 на конденсаторе C_0 ; если в преобразователь предполагается добавить сглаживающий фильтр (см. § 9-5), то U_0 выбирают с учетом падения напряжения на этом фильтре; 3) допустимый коэффициент пульсации ν_0 напряжения на конденсаторе C_0 (с учетом сглаживающего действия фильтра); 4) напряжение первичного источника питания (батареи) $U_{вх}$. Кроме того, нужно ориентировочно выбрать частоту переключения f , исходя из того, каков будет материал магнитопровода трансформатора.

Действующие напряжения обмоток оказываются равными амплитудным значениям, так как переменное напряжение на обмотке трансформатора преобразователя с двухтактным автогенератором практически имеет прямоугольную форму. Поскольку прямое сопротивление полупроводниковых диодов невелико, то при U_0

Таблица 9-7

К расчету транзисторных статических преобразователей напряжения

Параметр и единица измерения	Расчетные соотношения		Номер фор- мулы
	Генератор одноктактный, выпрямитель однофазный	Генератор двухтактный, выпрямитель по мостовой схеме	
$I_{Кн}, A$	$\frac{2,5U_0I_0}{(U_{вх}-U_{КЭ\text{ нас}})\eta_T}$	$\frac{U_0I_0}{(U_{вх}-U_{КЭ\text{ нас}})\eta_T}$	(1)
$I_{Бн}, A$	$1,5I_{Кн}/h_{21Э}$		(2)
$P_{ср}, Вт$	$I_{Кн}(U_{КЭ\text{ нас}}+U_{вх}/10)$	$0,5I_{Кн}(U_{КЭ\text{ нас}}+U_{вх}/10)$	(3)
$S, \text{см}^2, \text{ не менее}$	$15\sqrt{\frac{U_0I_0}{fB_m}}$	$10\sqrt{\frac{U_0I_0}{fB_m}}$	(4)
ω_I	$\frac{3000U_{вх}-U_{КЭ\text{ нас}}}{fB_mS}$	$\frac{2500U_{вх}-U_{КЭ\text{ нас}}}{fB_mS}$	(5)
ω_{II}	$\frac{1,1\omega_I U_0}{U_{вх}-U_{КЭ\text{ нас}}}$	$\frac{1,1\omega_I U_0}{U_{вх}-U_{КЭ\text{ нас}}}$	(6)
$\omega_{III\text{ ОЭ}}$	$\frac{(2 \div 4)(U_{БЭн}\omega_I)}{U_{вх}-U_{КЭ\text{ нас}}}$		(7а)
$\omega_{III\text{ ОК}}$	$\frac{(2 \div 4)(U_{БЭн}+U_{вх})\omega_I}{U_{вх}-U_{КЭ\text{ нас}}}$		(7б)
$I_I \approx I_{вх}, A$	$0,6I_{Кн}$	$0,7I_{Кн}$	(8)
I_{II}, A	I_0	$0,5I_0$	(9)
I_{III}, A	$0,6I_{Бн}$	$0,7I_{Бн}$	(10)
$C_0, \text{мкФ}, \text{ не менее}$	$\frac{2 \cdot 10^5 I_0}{fU_0v_0}$	$\frac{2 \cdot 10^4 I_0}{fU_0v_0}$	(11)
$C_1, C_2, \text{мкФ}, \text{ не менее}$	$\frac{I_{вх}10^6}{fU_{вх}}$		(12)
$C_3, \text{пФ}$	$\frac{53 \cdot 10^9 I_{Кн}\omega_I^2}{(U_{вх}-U_{КЭ\text{ нас}})\omega_{II}^2}$	—	(13)
$R_1, \text{Ом}$	$\frac{(3 \div 5)U_{БЭн}}{I_{Бн}}$		(14)
$R_2, \text{Ом}$	$\left(\frac{U_{вх}}{U_{БЭн}}-1\right)R_1$		(15)

в несколько десятков или сотен вольт падением напряжения на диодах при расчете можно пренебречь и считать, что практически напряжение $U_0 \approx U_{IIH}$.

Расчет преобразователя выполняют в следующем порядке:

1) определяют ток коллектора каждого транзистора в импульсе и значение средней рассеиваемой на нем мощности по формулам (1) и (3) из табл. 9-7 (произведение I_K и $U_{вх}/10$ учитывает потери мощности на транзисторе при переключении для всех практических случаев с достаточным запасом);

2) выбирают транзистор, удовлетворяющий условиям

$$U_{КБ\text{ макс}} \geq 2,5U_{вх}; I_{К\text{ макс}} \geq 2I_{Кн}; P_{К\text{ макс}} \geq P_{ср} \text{ (см. § 12-4);}$$

3) взяв минимальный статистический коэффициент передачи тока $\beta_{21\Delta}$ для выбранного транзистора, по формуле (2) определяют амплитуду импульса тока в цепи базы транзистора; она должна быть не больше максимально допустимого тока транзистора $I_{Б\text{ макс}}$. В формулы (1), (3) и последующие можно подставлять следующие значения напряжения насыщения коллектора: для германиевых сплавных транзисторов $U_{КЭ\text{ нас}} = 0,4 \div 0,5$ В, для германиевых сплавно-диффузионных $U_{КЭ\text{ нас}} = 0,6 \div 0,7$ В, для германиевых конверсионных до 2 В и для кремниевых, изготовленных с применением диффузионной или планарной технологии, $U_{КЭ\text{ нас}} = 2 \div 5$ В, если иные значения $U_{КЭ\text{ нас}}$ не указаны в соответствующих таблицах § 12-14;

4) сечение магнитопровода трансформатора определяют по формуле (4) из табл. 9-7, а числа витков его обмоток по формулам (5)–(7). При расчете двухтактного генератора формулы (5), (7а), (7б) дают числа витков половин обмоток;

5) диаметры проводов обмоток трансформатора находят, исходя из токов, вычисленных по формулам (8)–(10);

6) необходимую емкость конденсатора C_0 определяют по формуле (11), принимая для электролитического конденсатора в преобразователе с однократным автогенератором $v_0 \leq 2,5/f$, где частота переключения в герцах, а для бумажного или металлобумажного $v_0 \leq 0,05$ при $f \leq 1$ кГц и $v_0 \leq 0,02$ при $f > 1$ кГц; для преобразователя с двухтактным автогенератором допустимые значения v_0 уменьшаются вдвое;

7) определяют емкости конденсаторов C_1, C_2, C_3 и сопротивления резисторов R_1, R_2 по формулам (12)–(15);

8) расчет теплоотводящего радиатора для транзисторов производят, руководствуясь рекомендациями § 11-00.

Поскольку радиолюбителю известны только ориентировочные значения магнитных характеристик магнитопровода трансформатора, а частота колебаний автогенератора сильно зависит от них, рекомендуется измерить частоту изготовленного преобразователя и в формулы (11) и (12) подставить фактическое значение. Дальнейшее снижение пульсаций выпрямленного напряжения осуществляют как обычно сглаживающим RC- или LC-фильтром (на рис. 9-12–9-14 не показаны).

9-5. СГЛАЖИВАЮЩИЕ ФИЛЬТРЫ

Выбор типа фильтра

Простейший однозвенный сглаживающий фильтр типа RC (рис. 9-15, а) или LC (рис. 9-15, б) применяют, когда весь выпрямленный ток должен иметь одну степень фильтрации.

Для питания многокаскадного усилителя, радиоприемника или передатчика требуются различные напряжения с различными коэффициентами пульсации $v_{доп}$ (табл. 9-8). Коллекторная (анодная) цепь выходного каскада обычно потребляет большую часть выпрямленного тока при наибольшем значении напряжения. Пульсации напряжения питания выходного каскада могут быть относительно

велики, так как возникающее в этом каскаде напряжение фона дальнейшему усилению не подвергается. Напряжение для питания коллекторной (анодной) цепи двухтактного оконечного каскада УНЧ можно снимать непосредственно с конденсатора (конденсаторов) C_0 (рис. 9-2—9-6) выпрямителя, если его емкость такова, что обеспечивает допустимые для такого каскада пульсации (см. табл. 9-8).

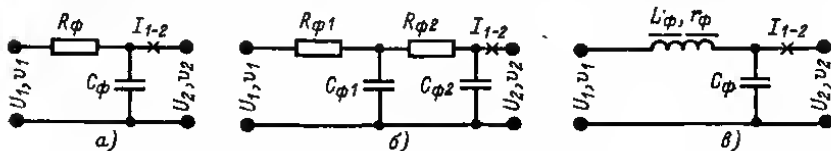


Рис. 9-15.

Входной и промежуточные каскады усилителя требуют меньших напряжений и потребляют меньшие токи питания. Первый каскад УНЧ и передатчика требует напряжения питания с тем меньшими пульсациями, чем больше усиление всех последующих каскадов, так как возникающее в первом каскаде напряжение фона усиливается всеми последующими каскадами. Для промежуточных каскадов допустимы напряжения питания с большими пульсациями, чем для первого каскада, но меньшими, чем для оконечного.

Пульсации напряжения питания могут создать паразитную амплитудную модуляцию в резонансных усилителях передатчиков.

Таблица 9-8

Допустимые коэффициенты пульсации напряжений питания $v_{\text{доп}}$

Назначение каскадов	$v_{\text{доп}}^*$
<i>Приемно-усилительные устройства**</i>	
Каскады УВЧ и УПЧ, преобразователи частоты, промежуточные каскады УНЧ	$10^{-5}—10^{-3}$
Входные каскады УНЧ приемников и электрофонов	$10^{-6}—10^{-4}$
Входные каскады УНЧ магнитофонов	$10^{-7}—10^{-6}$
Однотактные оконечные каскады УНЧ в режиме А и двухтактные в режимах В и АВ:	
а) анодные или коллекторные цепи	$5 \cdot 10^{-2}—2 \cdot 10^{-3}$
б) цепи экранирующих сеток	$10^{-4}—10^{-3}$
Двухтактные оконечные каскады УНЧ в режиме А	$5 \cdot 10^{-3}—5 \cdot 10^{-2}$
<i>Передатчики***</i>	
Задающие генераторы	$10^{-6}—10^{-5}$
Промежуточные каскады УВЧ, умножения частоты и модуляторы	$10^{-4}—5 \cdot 10^{-3}$
Мощные усилительные линейные каскады	$5 \cdot 10^{-4}—5 \cdot 10^{-3}$

* Пульсацию выпрямленного напряжения с численным значением коэффициента пульсации выше 10^{-2} считают большой, от 10^{-3} до 10^{-2} — средней и менее 10^{-3} — малой (ГОСТ 19157-73).

** Меньшие значения $v_{\text{доп}}$ соответствуют устройствам с более высокими качественными показателями.

*** Меньшие значения $v_{\text{доп}}$ относятся к работе передатчиков в телефонном режиме.

По этим причинам сглаживающий фильтр выпрямителя многокаскадного устройства делают многозвенным, питая первый каскад (или несколько каскадов) через все его звенья и подавая напряжения на остальные каскады с промежуточных конденсаторов фильтра.

Если суммарный выпрямленный ток (исключая ток нагрузки, подключенной к конденсатору выпрямителя) не превышает 0,1 А, то фильтр целесообразно составлять полностью из RC -звеньев. При этом для уменьшения потерь мощности в фильтре и улучшения развязки между каскадами ВЧ и НЧ части приемников и радиол целесообразно питать через самостоятельные цепи из RC -звеньев. Средняя мощность, отбираемая от выпрямителя оконечным каскадом УНЧ, работающим в режиме АВ, и модулируемым каскадом передатчика, зависит соответственно от уровня усиливаемого сигнала и глубины модуляции. По этой причине напряжения питания каскада колеблется («дышит»), следя за уровнем сигнала. Для уменьшения колебаний питающих напряжений каскадов предварительного усиления их целесообразно питать через диодно-емкостный фильтр (см. рис. 9-16), диод которого препятствует разряду конденсатора C_2 на коллекторную (анодную) цепь оконечного каскада, потребляющую ток I_1 , в моменты снижения напряжения на конденсаторе C_1 .

Параметры сглаживающих фильтров

Падение напряжения на фильтре или звене фильтра равно разности постоянных составляющих напряжений на его входе и выходе ($U_1 - U_2$). Для фильтра, состоящего из ряда последовательно включенных звеньев, падение напряжения на фильтре равно сумме падений напряжения на каждом из звеньев.

Коэффициент пульсации напряжения ν — отношение амплитуды первой гармоники переменной составляющей пульсирующего напряжения к его постоянной составляющей U .

Коэффициент сглаживания пульсаций фильтром или звеном s — величина, характеризующая уменьшение фильтром (звеном) коэффициента пульсации.

Коэффициент сглаживания одного звена

$$s = \frac{v_1 U_2}{v_2 U_1}, \quad (9-1)$$

где v_1 и U_1 — параметры на входе звена, а v_2 и U_2 — на его выходе.

Коэффициент сглаживания фильтра, состоящего из последовательно включенных звеньев, равен произведению коэффициентов сглаживания всех звеньев.

Расчет RC - и LC -звеньев фильтров

Расчет сглаживающего фильтра сводится к вычислению сопротивления резистора R_Φ (либо индуктивности L_Φ) и емкости конденсатора C_Φ каждого из его звеньев (рис. 9-15), обеспечивающих необходимое ослабление пульсаций фильтром; начинать расчет удобно с первого от входа фильтра звена, для которого принимают $U_1 = U_0$ и $v_1 = v_0$. Постоянную составляющую напряжения и коэффициент пульсации на входе каждого последующего звена принимают равными постоянной составляющей напряжения U_2 и коэффициенту пульсации v_2 на выходе предыдущего звена. Значения $v_2 \leq v_{\text{доп}}$ можно взять из табл. 9-8.

Частота пульсаций выходного напряжения f_n однофазного выпрямителя (рис. 9-2), цепи удвоения (рис. 9-7) и преобразователя напряжения с однопольным генератором (рис. 9-12) равна частоте тока в электросети или частоте генерируемых преобразователем колебаний соответственно. Выходное напряжение всех остальных устройств, приводимых в § 9-2 и 9-4, пульсирует с частотой в 2 раза большей.

В приводимые далее формулы надо подставлять сопротивления в омах, емкости в микрофарадах, индуктивности в генри, токи в амперах, напряжения в вольтах. Те же размерности имеют и соответствующие результаты расчетов.

Порядок расчета:

- 1) Сопротивление резистора R_Φ при заданной постоянной составляющей тока I_{1-2}

$$R_\Phi = (U_1 - U_2) / I_{1-2}.$$

Падение постоянного напряжения на сопротивлении r_Φ обмотки дросселя фильтра

$$U_1 - U_2 = r_\Phi I_{1-2}.$$

Допускаемая мощность рассеяния резистора должна быть не менее

$$P_{\text{рас}} = I_{1-2}^2 R_\Phi.$$

В случае RC -звена для дальнейшего расчета принимают ближайшее номинальное сопротивление резистора.

- 2) Емкость конденсатора RC -звена

$$C_\Phi \geq \frac{200 \cdot 10^3 s}{R_\Phi f_n}.$$

Если емкость конденсатора C_Φ получается настолько большой, что ее удобнее реализовать как параллельное соединение двух конденсаторов, вместо одного звена лучше применить два RC -звена (рис. 9-15, б). Сопротивления каждого резистора: $R_{\Phi 1} \approx R_{\Phi 2} \approx 0,5 R_\Phi$, а емкости конденсаторов

$$C_{\Phi 1} = C_{\Phi 2} \geq \frac{200 \cdot 10^3 \sqrt{s}}{(R_{\Phi 1} + R_{\Phi 2}) f_n}.$$

При расчете LC -звена (рис. 9-15, в) можно задаться индуктивностью дросселя L_Φ , если предполагается использовать готовый дроссель — см. табл. 12-34.

При этом емкость конденсатора

$$C_\Phi \geq \frac{30 \cdot 10^3 s}{L_\Phi f_n^2}.$$

Номинальное напряжение на конденсаторе C_Φ во всех случаях должно быть не менее $1,2 U_2$.

Расчет звена фильтра с полупроводниковым диодом

Падение постоянной составляющей выпрямленного напряжения на звене сглаживающего фильтра с полупроводниковым диодом (рис. 9-16) не превышает

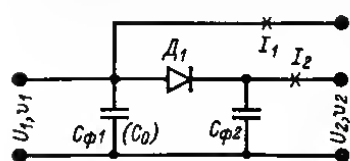


Рис. 9-16.

1 В. Максимально допустимое значение выпрямленного тока диода $I_{\text{вп. ср. макс}}$ должно быть в 2—3 раза больше тока нагрузки I_2 . Если $I_2 \ll I_1$, то емкость конденсатора C_2 , при которой коэффициент пульсации напряжения v_2 не превышает заданного значения, можно определить по формуле

$$C_2 \geq \frac{500 I_2}{v_2 U_2 f_n} - C_1.$$

Здесь ток I_2 — в миллиамперах, а C_1 и C_2 — в микрофарадах.

9-6. СТАБИЛИЗАТОРЫ НАПЯЖЕНИЯ

Применение стабилизаторов различных типов

Стабильность питающего напряжения можно улучшить, применяя стабилизатор переменного напряжения (например, феррорезонансный) либо стабилизатор постоянного (выпрямленного) напряжения на полупроводниковых и газоразрядных стабилизаторах или на транзисторах.

Стабилизатор переменного напряжения улучшает стабильность всех выходных напряжений вторичного источника питания.

Стабилизаторы постоянного напряжения при питании РЭА от электросети, уменьшая колебания постоянных напряжений, вместе с тем сглаживают пульсации выпрямленных напряжений. На кремниевых стабилитронах можно построить стабилизатор с выходным напряжением от нескольких вольт до нескольких сотен вольт. Их используют для стабилизации питающих напряжений как транзисторной, так и ламповой РЭА. При высоких требованиях к стабильности выходного напряжения и больших токах нагрузки применяют транзисторные стабилизаторы, которые обладают более высоким к. п. д., меньшим выходным сопротивлением.

Параметры стабилизаторов напряжения

Выходной ток $I_{\text{вых}}$ — ток, потребляемый нагрузкой с выхода стабилизатора. Стабилизатор может быть рассчитан на постоянную ($I_{\text{вых}} = \text{const}$) либо на переменную нагрузку; в последнем случае параметрами стабилизатора являются максимальный $I_{\text{вых. макс}}$ и минимальный $I_{\text{вых. мин}}$ токи нагрузки (в частном случае $I_{\text{вых. мин}} = 0$).

Входные напряжения стабилизатора: номинальное $U_{\text{вх}}$, максимальное $U_{\text{вх. макс}}$ и минимальное $U_{\text{вх. мин}}$ значения напряжения, поступающего на вход стабилизатора от источника питания.

Часто изменения входного напряжения стабилизатора характеризуют относительными отклонениями в сторону увеличения $\delta_{\text{в}}$ и в сторону уменьшения $\delta_{\text{н}}$; отклонения эти обычно выражают в виде десятичных дробей. При этом

$$U_{\text{вх. макс}} = U_{\text{вх}} (1 + \delta_{\text{в}}); \quad U_{\text{вх. мин}} = U_{\text{вх}} (1 - \delta_{\text{н}});$$

соответственно

$$\delta_{\text{в}} = U_{\text{вх. макс}}/U_{\text{вх}} - 1; \quad \delta_{\text{н}} = 1 - U_{\text{вх. мин}}/U_{\text{вх}}.$$

Выходное напряжение $U_{\text{вых}}$ — напряжение на нагрузке стабилизатора.

Коэффициент стабилизации напряжения $K_{\text{ст}}$ показывает, во сколько раз относительное изменение напряжения на нагрузке стабилизатора меньше относительного изменения напряжения на его входе при неизменном токе нагрузки, т. е.

$$K_{\text{ст}} = \frac{\Delta U_{\text{вх}}/U_{\text{вх}}}{\Delta U_{\text{вых}}/U_{\text{вых}}}. \quad (9-2)$$

Выходное дифференциальное сопротивление стабилизатора — $r_{\text{вых}}$ определяет степень постоянства выходного напряжения стабилизатора при изменениях тока нагрузки; оно равно отношению уменьшения (увеличения) напряжения на выходе стабилизатора, и вызвавшему это изменение увеличению (уменьшению) тока нагрузки, т. е.

$$r_{\text{вых}} = -\Delta U_{\text{вых}}/\Delta I_{\text{вых}}. \quad (9-3)$$

Так как $\Delta U_{\text{вых}}$ и $\Delta I_{\text{вых}}$ по смыслу имеют разные знаки, то для получения положительного значения $r_{\text{вых}}$ перед их отношением поставлен знак минус.

К. п. д. стабилизатора η — отношение мощности, потребляемой нагрузкой стабилизатора, к мощности, поступающей на его вход от источника питания, т. е.

$$\eta = U_{\text{вых}} I_{\text{вых}} / (U_{\text{вх}} I_{\text{вх}}).$$

Параметрические стабилизаторы напряжения на стабилитронах и стабилитронах

Простейший стабилизатор постоянного напряжения представляет собой делитель напряжения, состоящий из резистора и элемента с нелинейной вольт-амперной характеристикой. В качестве последнего используют кремниевый стабилитрон (рис. 9-17, а), стабилитрон (рис. 9-17, б) или газоразрядный стабилитрон

(рис. 9-17, в). Такие стабилизаторы называют параметрическими, так как действие их основано на изменении под действием входного напряжения такого параметра нелинейного элемента, как сопротивление постоянному току.

Вместо стабилитрона можно использовать кремниевые выпрямительные диоды в прямом включении, если требуется стабильное напряжение 0,7—1,0 В. Иногда несколько диодов соединяют последовательно и получают стабилизированное напряжение больше 1 В.

Выходное напряжение стабилизатора $U_{\text{вых}}$ равно напряжению стабилизации (см. § 12-12) примененного стабилитрона (стабилитора). Поэтому нельзя получить напряжение $U_{\text{вых}}$ с любым желаемым значением; его приходится выбирать в пределах величин, обеспечиваемых тем или иным доступным для применения типом стабилитрона.

Например, если нужно иметь $U_{\text{вых}} = 9$ В, то приходится применять стабилитрон Д809 (или Д814Б), напряжение стабилизации которого 8—9,5 В, либо стабилитрон Д810 (Д814В), для которого $U_{\text{ст}} = 9 + 10,5$ В. Для получения $U_{\text{вых}}$ большей величины стабилитроны соединяют последовательно.

Параллельное соединение стабилитронов (стабилиторов) не применяют, так как вследствие различия их напряжений стабилизации ток распределится между ними неравномерно (стабилитрон с несколько меньшим напряжением стабилизации всегда будет сильно перегружен током).

Благодаря тому, что стабилизатор реагирует на быстрые изменения подводимого напряжения, он сглаживает пульсации напряжения. Коэффициент сглаживания пульсаций близок по величине к коэффициенту стабилизации.

Выходное напряжение стабилизатора, выполненного на наиболее распространенных в радиолюбительской практике стабилитронах с $U_{\text{ст}} > 8$ В обычно с увеличением температуры

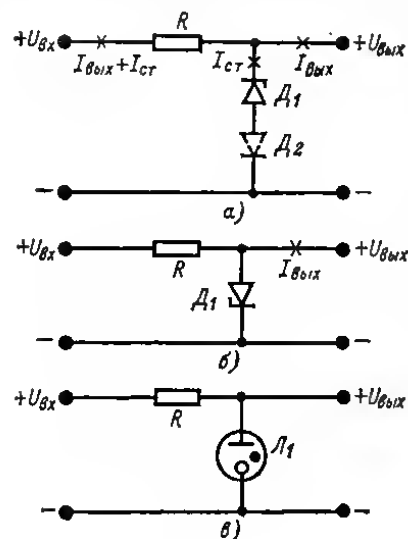


Рис. 9-17.

возрастает на 0,05—0,1% /°C (если применены мощные стабилитроны до 0,2% /°C). При использовании стабилитронов с $U_{\text{ст}} = (4 \div 6)$ В $U_{\text{вых}}$ может изменяться незначительно как в сторону увеличения, так и в сторону уменьшения (зависит от данного экземпляра стабилитрона), а при $U_{\text{ст}} < 4$ В увеличение температуры вызывает снижение $U_{\text{вых}}$ на величину порядка сотых долей процента на градус. Напряжение стабилизации стабилитронов уменьшается при увеличении температуры примерно на 2 мВ /°C.

Влияние температуры на напряжение стабилизации можно уменьшить, включив последовательно с кремниевым стабилитроном дополнительный диод (диоды) при прямом включении $p-n$ перехода. Поскольку падение напряжения на $p-n$ переходе с прямым включением с ростом температуры уменьшается, общее напряжение на участке стабилитрон—диод меньше зависит от температуры, чем у каждого из них в отдельности. Однако при этом несколько уменьшается $K_{\text{ст}}$ и увеличивается $r_{\text{вых}}$.

Расчет параметрического стабилизатора напряжения на кремниевом стабилитроне или стабилиторе. Целью расчета является получение сопротивления и рассеиваемой мощности резистора R и определение параметров стабилизатора: коэффициента стабилизации и выходного сопротивления.

Исходные данные: 1) выходное напряжение $U_{\text{вых}}$; 2) значения выходного тока $I_{\text{вых. мин}}$ и $I_{\text{вых. макс}}$; наибольшие ожидаемые отклонения $\delta_{\text{н}}$ и $\delta_{\text{в}}$ напряжения первичного источника от его номинального значения. Если выпрямитель, создающий напряжение $U_0 = U_{\text{вх}}$, работает от электросети и $I_{\text{вых}} = \text{const}$, то принимают $\delta_{\text{в}} = \delta_{\text{н}} = 0,05$ (ГОСТ 13109-67). Часто при большой нагрузке снижение напряжения в некоторых местных сетях бывает более значительным. Поэтому перед расчетом стабилизатора следует определить значение $\delta_{\text{н}}$, фактически имеющее место в электросети, от которой будет работать РЭА и учесть изменение U_0 при изменении I_0 .

Входное напряжение $U_{\text{вх}}$ нужно вычислить, если выпрямитель проектируется одновременно со стабилизатором, либо этот показатель может быть заданной величиной, если проектируется стабилизатор к имеющемуся выпрямителю.

Сначала выбирают стабилитрон (стабистор), напряжение стабилизации которого $U_{\text{ст}}$ возможно ближе к требуемому значению $U_{\text{вых}}$, вместе с тем он удовлетворяет условию:

$$I_{\text{ст. макс}} > 1,3 \left[\frac{1 + \delta_{\text{в}}}{1 - \delta_{\text{н}}} I_{\text{ст. мин}} + I_{\text{вых. макс}} - I_{\text{вых. мин}} \right]. \quad (9-4)$$

Если последнее условие не выполняется, следует применить стабилитрон (стабистор) с большим максимально допустимым током $I_{\text{ст. макс}}$ (см. табл. 12-46).

При необходимости иметь значительное $U_{\text{вых}}$ можно включить последовательно два или большее число стабилитронов, при этом

$$U_{\text{вых}} = U_{\text{ст1}} + U_{\text{ст2}} + \dots + U_{\text{стm}}.$$

Номинальное входное напряжение определяют по формуле

$$U_{\text{вх}} = U_{\text{вых}} \frac{(0,8I_{\text{ст. макс}} + I_{\text{вых. мин}}) -}{(0,8I_{\text{ст. макс}} + I_{\text{вых. мин}})(1 - \delta_{\text{н}}) -} \rightarrow \\ \rightarrow \frac{-(I_{\text{вых. макс}} + I_{\text{ст. мин}})}{-(I_{\text{вых. макс}} + I_{\text{ст. мин}})(1 + \delta_{\text{в}})}; \quad (9-5)$$

сопротивление резистора

$$R = \frac{U_{\text{вх}}(\delta_{\text{в}} + \delta_{\text{н}})}{(0,8I_{\text{ст. макс}} + I_{\text{вых. мин}}) - (I_{\text{вых. макс}} + I_{\text{ст. мин}})}. \quad (9-6)$$

Максимальная рассеиваемая на резисторе мощность

$$P = [U_{\text{вх}}(1 + \delta_{\text{в}}) - U_{\text{вых}}](I_{\text{ст. макс}} + I_{\text{вых. мин}}). \quad (9-7)$$

Выбирают резистор с ближайшей большей мощностью рассеяния, ближайшим номинальным сопротивлением и допуском не более $\pm 10\%$.

Если в последние формулы значение токов подставить в миллиамперах, то значение R получится в килоомах, а P — в милливаттах.

Коэффициент стабилизации напряжения

$$K_{\text{ст}} = \frac{RU_{\text{вых}}}{r_{\text{ст}}U_{\text{вх}}}, \quad (9-8)$$

где $r_{\text{ст}}$ — динамическое сопротивление стабилитрона [Ом] при данном токе через него (см. § 12-12).

Выходное сопротивление стабилизатора $r_{\text{вых}} \approx r_{\text{ст}}$. При последовательном включении m стабилитронов при вычислении $r_{\text{вых}}$ и $K_{\text{ст}}$ за $r_{\text{ст}}$ принимают $r_{\text{ст1}} + r_{\text{ст2}} + \dots + r_{\text{стm}}$.

Расчет стабилизатора на газоразрядном стабилитроне производится по тем же формулам, что и стабилизатора на кремниевом стабилитроне.

Динамическое сопротивление газоразрядного стабилитрона находят по формуле

$$r_{ст} = \frac{\Delta U_{ст}}{I_{ст. макс} - I_{ст. мин}},$$

где $\Delta U_{ст}$, $I_{ст. макс}$ и $I_{ст. мин}$ берут из табл. 12-46; чтобы получить r_d в омах, токи стабилизации следует выразить в амперах.

Дополнительно при расчете стабилизатора нужно проверить выполнение неравенства

$$U_{в. разр} \geq \frac{U_{вх} U_{вых} (1 - \delta_n)}{U_{вых} + R I_{вых. макс}},$$

где $U_{в. разр}$ — напряжение возникновения разряда в стабилитроне (см. табл. 12-46).

Если последнее условие не выполняется, необходимо увеличить $U_{вх}$.

Транзисторные стабилизаторы напряжения

Простейший транзисторный стабилизатор напряжения содержит параметрический стабилизатор на кремниевом стабилитроне и дополнительно транзистор, обычно средней или большой мощности, называемый в данном случае регулирующим (рис. 9-18, а, б).

Применение мощного транзистора позволяет получить гораздо больший выходной ток, чем от параметрического стабилизатора с таким же стабилитроном.

Коэффициент стабилизации напряжения $K_{ст}$ транзисторных стабилизаторов напряжения по схемам на рис. 9-18, а, б определяется параметрами цепи $РД$

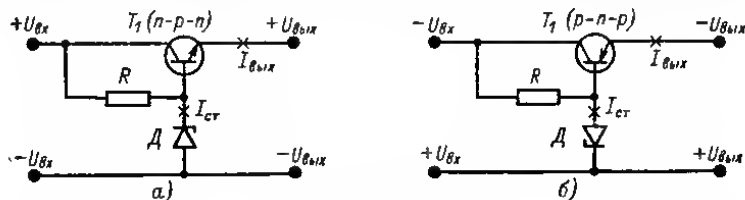


Рис. 9-18.

и не превышает значения $K_{ст}$ стабилизатора по схеме на рис. 9-17, а; выходное сопротивление стабилизаторов по схемам на рис. 9-18, а, б порядка десятых долей ома.

Напряжение на выходе транзисторного параметрического стабилизатора

$$U_{вых} = U_{ст} - U_{БЭ}. \quad (9-9)$$

Падение напряжения между эмиттером и базой германиевого транзистора $U_{БЭ} = 0,3 \div 0,5$ В и кремниевого $0,6 \div 0,8$ В.

Отличаясь предельной простотой, стабилизаторы по схемам на рис. 9-18 обладают существенным недостатком: даже при кратковременном коротком замыкании выхода регулирующий транзистор перегружается и выходит из строя. По указанной причине, а также учитывая низкое значение $K_{ст}$ и относительно большое $r_{вых}$, стабилизатор по схеме на рис. 9-18 целесообразно выполнять лишь в случаях, когда не требуется высокая стабильность выходного напряжения и исключена возможность перегрузки или случайного короткого замыкания выхода.

Стабилизаторы с двумя транзисторами различной структуры (рис. 9-19) имеют примерно на порядок более высокие значения $K_{ст}$ и на порядок меньше значения $r_{вых}$, чем стабилизаторы на рис. 9-18. Вместе с тем стабилизаторы по схе-

мам на рис. 9-19 можно сделать нечувствительными к коротким замыканиям и перегрузкам, добавив диод и резистор, обозначенные на схеме штриховыми линиями.

Транзистор T_1 можно монтировать на радиаторе без изоляционных прокладок, если в стабилизаторе по схеме на рис. 9-19, а с корпусом устройства соединен положительный полюс стабилизированного напряжения, а в устройстве по схеме на рис. 9-19, б — отрицательный полюс.

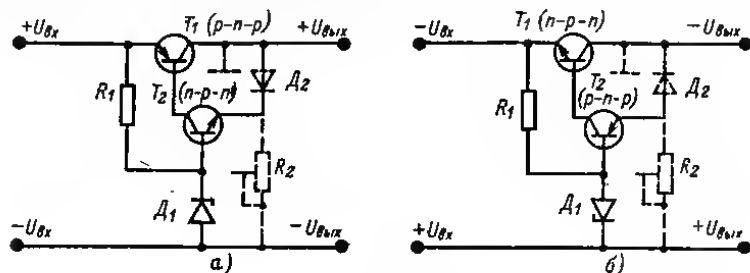


Рис. 9-19.

Пр и м е р. Стабилитрон Д814В (Д810), транзисторы: T_1 — П214, T_2 — МП38А (рис. 9-19, а) или T_1 — П702, T_2 — МП40 (рис. 9-19, б); $R_1 = 560$ Ом, $U_{вх} = 18$ В, $\delta_{в} = 0,05$, $\delta_{н} = 0,20$, $K_{ст} \approx 10$, $r_{вых} \approx 0,04$ Ом.

Транзисторный стабилизатор напряжения с цепью обратной связи. Выходное напряжение такого стабилизатора, который более известен в технической литературе под названием «компенсационный стабилизатор», может заметно отличаться от напряжения $U_{ст}$ стабилитрона, при этом значение $U_{вых}$ можно точно устанавливать и в некоторых пределах изменять.

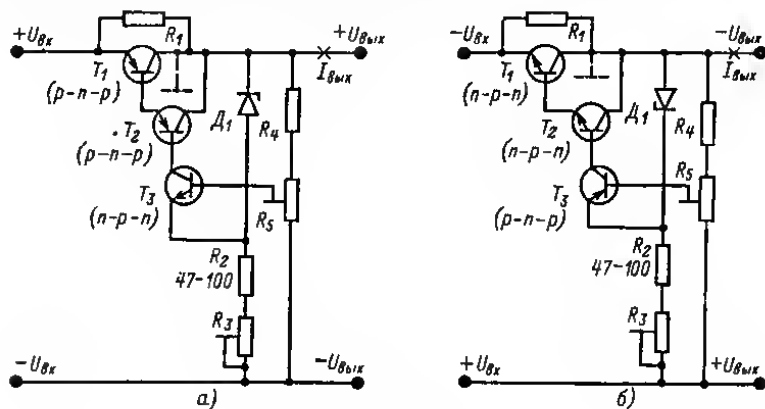


Рис. 9-20.

На рис. 9-20 показаны два варианта распространенной схемы стабилизатора напряжения с обратной связью и составным регулирующим транзистором $T_1 T_2$. В цепи обратной связи имеется усилитель на транзисторе T_3 , имеющем структуру, обратную структуре тех транзисторов, которые образуют составной транзистор.

Стабилитрон используется одновременно в качестве диода защиты стабилизатора от перегрузок и в качестве источника опорного напряжения, с которым сравнивается выходное напряжение стабилизатора. Получаемый в результате сравне-

няя сигнал рассогласования управляет токами транзисторов T_1 , T_2 и T_3 таким образом, что выходное напряжение поддерживается практически неизменным при изменении как входного напряжения, так и тока нагрузки.

Требуемое выходное напряжение устанавливают с помощью переменного резистора R_5 , входящего в делитель выходного напряжения R_4R_5 , а порог срабатывания защиты — с помощью переменного резистора R_3 .

Выбор транзисторов. В момент включения питания на стабилизаторы по всем приводимым в этом параграфе схемам через регулирующий транзистор T_1 проходит значительный импульс тока на заряд конденсаторов в питаемом устройстве, поэтому максимально допустимый ток для этого транзистора $I_{K \text{ макс}}$ должен быть в 5—10 раз больше заданного значения максимального тока нагрузки $I_{\text{вых. макс}}$. Максимально допустимый ток транзистора T_2 в стабилизаторах по схемам рис. 9-19 и 9-20 может быть в $h_{21Э}(T_1)$ раз меньше, чем для транзистора T_1 , а максималь-

но допустимое напряжение $U_{KЭ \text{ макс}}$ транзисторов T_1 и T_2 должно быть не менее максимального значения входного напряжения стабилизатора (при питании от выпрямителя $U_{KЭ \text{ макс}}$ должно быть по крайней мере в 1,5 раза больше действующего напряжения вторичной обмотки трансформатора питания при наибольшем напряжении в электросети). Выполнение последнего условия исключает возможность пробоя транзисторов при перегрузках и коротких замыканиях выхода стабилизатора.

В необходимых случаях для повышения допустимого напряжения вместо T_1 включают последовательно два одиночных

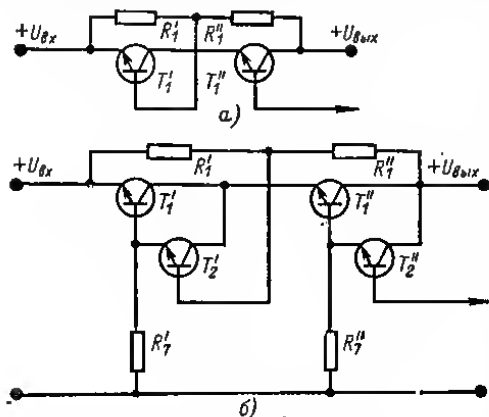


Рис. 9-21.

(рис. 9-21, а) или вместо транзисторов T_1 и T_2 — два составных регулирующих транзистора (рис. 9-21, б).

Транзистор усилителя цепи обратной связи T_3 в рассматриваемом стабилизаторе напряжения при $U_{\text{вых}} \leq 40$ В и $I_{\text{вых}} \leq 5$ А может быть маломощным, практически любого типа (например, МП38 и т. п.).

Выбор стабилитрона. Стабилитрон для устройств по схемам на рис. 9-18 и 9-19 выбирают с напряжением стабилизации $U_{\text{ст}} \approx U_{\text{вых}}$ и при этом его ток стабилизации должен быть не менее вычисленного по формуле (9-4), в которой при расчете стабилизатора по схеме на рис. 9-18 $I_{\text{вых. макс}}$ заменяют на $I_{\text{вых. макс}}/h_{21Э}(T_1)$, а при расчете стабилизатора по схеме на рис. 9-19 — значением $I_{\text{вых. макс}}/(h_{21Э}(T_1)h_{21Э}(T_2))$.

В устройствах по схемам на рис. 9-20 можно использовать стабилитрон с напряжением стабилизации $U_{\text{ст}} = nU_{\text{вых}}$, принимая $n = 0,6 \div 0,9$.

Если нужно иметь $U_{\text{вых}}$ значительно большей величины, чем $U_{\text{ст}}$ имеющихся стабилитронов, так же как и в диодном стабилизаторе, применяют последовательное соединение нескольких стабилитронов. Для температурной компенсации последовательно с основным стабилитроном (стабилитронами) вводят диод с прямым включением р-п перехода.

Расчет стабилизаторов. Исходными данными для расчета являются: 1) напряжение на выходе стабилизатора $U_{\text{вых}}$; 2) значения тока нагрузки $I_{\text{вых. мин}}$ и $I_{\text{вых. макс}}$; 3) наибольшие ожидаемые отклонения δ_n и δ_v напряжения источника питания от его номинального значения; 4) при питании от выпрямителя коэффи-

циент пульсаций v_0 напряжения, поступающего на вход стабилизатора; обычно принимают $v_0 \leq 0,02 \div 0,05$.

Целью расчета является определение номинального напряжения на входе стабилизатора $U_{вх}$ (при питании от выпрямителя $U_{вх} = U_0$ — см. § 9-2) и сопротивлений резисторов, входящих в схему стабилизатора.

Порядок расчета:

1) определяют номинальное входное напряжение по формуле (независимо от того, по какой схеме выполнен стабилизатор):

$$U_{вх} = \frac{U_{вых} + (2 \div 3) U_{КЭ нас(T1)}}{1 - \delta_u}; \quad (9-10)$$

2) для стабилизаторов по схемам на рис. 9-18 определяют сопротивление резистора R по формуле

$$R = 0,5 \left[\frac{U_{вх} (1 + \delta_u) - U_{вых}}{0,8 I_{ст. макс} h_{21Э} + I_{вых. мин}} h_{21Э} + \frac{U_{вх} (1 - \delta_u) - U_{вых}}{I_{вых. макс} + I_{ст. мин} h_{21Э}} h_{21Э} \right], \quad (9-11)$$

а рассеиваемую на нем мощность — по формуле (9-7), подставляя в нее вместо значений $I_{вых. макс}$ и $I_{вых. мин}$ значения $I_{вых. макс} / h_{21Э}$ и $I_{вых. мин} / h_{21Э}$ соответственно. Если конкретные значения $h_{21Э}$ намеченного к применению транзистора неизвестны, берут наименьшее его значение из соответствующей таблицы разд. 12-14.

При расчете стабилизатора по схеме на рис. 9-19 пользуются формулами (9-6) и (9-7), заменяя в них значения $I_{вых. макс}$ и $I_{вых. мин}$ значениями $I_{вых. макс} / (h_{21Э(T1)} \cdot h_{21Э(T2)})$ и $I_{вых. мин} / (h_{21Э(T1)} \cdot h_{21Э(T2)})$ соответственно.

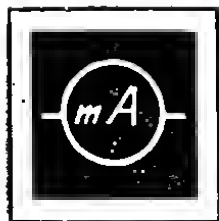
Сопротивления резисторов стабилизатора по схеме на рис. 9-20 определяют по формулам

$$\left. \begin{aligned} R_1 &= (10 \div 20) (U_{вх} - U_{вых}) / I_{вых}; \\ R_2 &= (1 - n) U_{вых} / I_{ст. мин}; \\ R_3 &= 50 n U_{вых} / I_{вых. макс}; \\ R_4 &= 100 (1 - n) U_{вых} / I_{вых. макс}. \end{aligned} \right\} \quad (9-12)$$

Каждый из резисторов R'_1 , R''_1 в схеме на рис. 9-21 должен иметь сопротивление, вдвое меньшее вычисленного по приведенной формуле для R_1 .

Сопротивления резисторов, полученные в результате вычисления по приведенным формулам, будут выражены в омах, если токи подставить в амперах, а напряжения — в вольтах: соответственно результат расчета получается в килоомах, если токи выражены в миллиамперах.

Рассеиваемые на резисторах мощности в ваттах равны произведению падения напряжения в вольтах на ток в амперах.



ИЗМЕРИТЕЛЬНЫЕ ПРИБОРЫ И РАДИОЛЮБИТЕЛЬСКИЕ ИЗМЕРЕНИЯ

РАЗДЕЛ 10

СОДЕРЖАНИЕ

10-1. Общие сведения	472
10-2. Измерение напряжений и токов	477
10-3. Измерение сопротивлений, емкостей и индуктивностей	484
10-4. Комбинированные электрорадиоизмерительные приборы	490
10-5. Измерение параметров полупроводниковых приборов.	496
10-6. Измерение частоты и длины волны	501
10-7. Измерительные генераторы	506

10-1. ОБЩИЕ СВЕДЕНИЯ

Классификация электрорадиоизмерительных приборов

Приборы, предназначенные для измерения электрических величин и параметров компонентов электрических и радиотехнических цепей, называют **э л е к т р о р а д и о и з м е р и т е л ь н ы м и п р и б о р а м и**. По структуре построения, т. е. способу включения отдельных преобразователей, и получения результата, измерения приборы принято делить на три вида: *прямого преобразования* (или *непосредственной оценки*), *сравнения* и *смешанного преобразования* (сочетание первых двух видов).

В приборах прямого преобразования измеряемая величина непосредственно или через промежуточный преобразователь воздействует на отсчетное устройство прибора. Эти приборы сравнительно просты, но не позволяют производить измерения с высокой точностью. В приборах сравнения производится непосредственное сравнение измеряемой величины (или ее преобразованного значения) с величиной известной (мерой), что дает возможность выполнить измерение с большой точностью.

Все электрорадиоизмерительные приборы подразделяются на *аналоговые*, показания которых являются непрерывной функцией изменений измеряемой вели-

чны, и *цифровые*, в которых автоматически вырабатываются дискретные сигналы измерительной информации и показания которых представляются в цифровой форме.

К аналоговым приборам относятся электромеханические приборы магнитоэлектрической, электромагнитной, электродинамической, ферродинамической, индукционной и электростатической систем, а также стрелочные электронные приборы прямого преобразования, на выходе которых использованы стрелочные измерители.

В аналоговых приборах в качестве оконечного измерителя наиболее часто применяют измерители магнитоэлектрической системы, так как они имеют высокую чувствительность, точность и небольшие габаритные размеры. Характеристики некоторых измерителей магнитоэлектрической системы приведены в табл. 10-1. Их непосредственное применение, а также применение электромеханических вольтметров и амперметров, имеющих такие измерители, возможно в цепях постоянного или пульсирующего тока, если необходимо измерить постоянную составляющую тока или напряжения.

Таблица 10-1

Измерительные приборы магнитоэлектрические (микроамперметры)

Тип	Класс точности	Ток полного отклонения, мкА	Габариты, мм
M93, M94	1; 1,5	50, 100, 150, 200, 300, 500, 1000	120 × 105 × 64
M96	1,5	300	127 × 107 × 65
M1131	4,0	200, 500	30 × 30 × 50
M1360	2,5	50, 100, 200, 500	60 × 60 × 70
M1400	1,5	50, 100, 200, 500	80 × 80 × 70
M1690	1,0	50, 100, 200, 500	120 × 105 × 75
M1692	0,5; 1,0	20, 50, 100, 200, 500, 1000	120 × 105 × 75
M4204	1,5; 2,5	10, 20, 30, 50, 100, 200, 300, 500, 1000	80 × 80 × 49
M4205; M4208	1,5; 2,5	10, 20, 30, 50, 100, 200, 300, 500, 1000	60 × 60 × 49
M4206; M4209	2,5; 4,0	10, 20, 30, 50, 100, 200, 300, 500, 1000	40 × 40 × 49

Приборы электромагнитной, электродинамической, ферродинамической и электростатической систем менее пригодны для радиоизмерений; угол поворота их указателей пропорционален среднеквадратическому значению измеряемого тока или напряжения при любой форме (если спектральные составляющие измеряемого сигнала не выходят за границы рабочей области частот прибора). Приборы этих систем имеют открытый вход, т. е. они реагируют и на постоянную составляющую сигнала.

Приборы электромагнитной, электродинамической и ферродинамической систем можно использовать непосредственно для измерений токов и напряжений в диапазоне частот от нуля (постоянное напряжение) и примерно до 2 кГц. Приборы электростатической системы применяют в основном в киловольтметрах для измерения постоянных и переменных напряжений частотой до нескольких мегагерц. Их также можно использовать для измерения электрических зарядов, например, на электретах. Расширение пределов измерения по заряду при этом достигается включением параллельно входу вольтметра добавочных конденсаторов.

Для измерений в цепях переменного тока от самых низких до высоких частот используют измерители магнитоэлектрической системы, объединенные конструк-

тивно с выпрямителями (детекторами) на полупроводниковых или электровакуумных приборах либо с термопарами, преобразующими переменный ток в пульсирующий или постоянный. В зависимости от типа примененного преобразователя такие измерительные приборы называют соответственно приборами *выпрямительной* и *термоэлектрической* систем.

Для радионизмерений чаще всего используют аналоговые *электронные* приборы, состоящие из входного измерительного преобразователя, промежуточных транзисторных или ламповых преобразователей (например, усилителей) и окончного измерителя, как правило, магнитоэлектрической системы. Они отличаются высокой чувствительностью, большим входным сопротивлением, широкой рабочей областью частот и большой универсальностью использования.

Терминология и характеристики электроизмерительных приборов

Средство измерений — устройство, используемое при измерениях и имеющее нормированные метрологические характеристики.

Эталон — средство измерений наивысшей метрологической точности, предназначенное для воспроизведения и хранения единиц измерения.

Образцовое средство измерений — мера, измерительный прибор или измерительный преобразователь, служащий для поверки по нему других средств измерений и утвержденный в качестве образцового.

Образцовые меры и образцовые измерительные приборы должны иметь погрешности не менее чем в 3—5 раз меньшие, чем погрешность поверяемых с их помощью рабочих мер и измерительных приборов.

Рабочее средство измерений — средство измерений, применяемое для измерений, не связанных с поверкой средств измерений.

Измеритель — совокупность измерительного механизма и отсчетного устройства.

Шкала — часть отсчетного устройства измерителя, представляющая собой совокупность числовых отметок или других символов, соответствующих ряду последовательных значений измеряемой величины.

Отметка шкалы — знак на шкале, соответствующий некоторому значению измеряемой величины.

Числовая отметка шкалы — отметка шкалы, у которой проставлено число отсчета.

Нулевая отметка — числовая отметка, на которую устанавливается указатель измерителя при нулевом значении измеряемой величины. Шкала с нулевой отметкой, расположенной в начале или в конце шкалы, называется *односторонней шкалой*; с нулевой отметкой в середине шкалы — *двусторонней шкалой*.

Начальная отметка для приборов с односторонней шкалой — то же, что нулевая отметка. Для приборов с двусторонней шкалой начальная отметка соответствует наибольшему отрицательному значению измеряемой величины.

Конечная отметка — отметка, соответствующая наибольшему значению измеряемой величины по данной шкале. В приборах с двусторонней шкалой конечной называют отметку, соответствующую наибольшему положительному значению измеряемой величины.

Длина шкалы — расстояние между начальной и конечной отметками, отсчитанное по дуге; измеряется в миллиметрах.

Деление шкалы — промежуток между двумя соседними отметками шкалы. В зависимости от того, в каких единицах выражен этот промежуток, различают: а) цену деления, если промежуток выражен в единицах измеряемой величины, например в вольтах, милливольтах; б) длину деления, если промежуток выражен в единицах длины, например в миллиметрах. Шкалу с делениями постоянной длины и постоянной ценой деления называют *равномерной*.

Начальное значение шкалы — наименьшее значение измеряемой величины, указанное на шкале.

Конечное значение шкалы — наибольшее значение измеряемой величины, указанное на шкале.

Отсчет — число, отсчитанное по отсчетному устройству прибора. В аналоговых приборах — это число, соответствующее делению шкалы, на котором остановился указатель отсчетного устройства прибора; в цифровых приборах — это число, наблюдаемое в виде цифр.

Показание — значение измеряемой величины, соответствующее отсчету и выраженное в принятых единицах этой величины. Отсчет и показание прибора иногда совпадают, как, например, у однодиапазонного прибора, шкала которого градуирована в единицах измеряемой величины.

Диапазон показаний — область значений шкалы, ограниченная конечным и начальным значениями шкалы.

Диапазон измерений — область значений измеряемой величины, для которой нормированы допускаемые погрешности прибора.

Рабочая область частот — полоса частот, в пределах которой дополнительные частотные погрешности прибора не превышают значения, указанного в паспорте прибора.

Абсолютная погрешность измерительного прибора

$$\Delta A = A - A_0;$$

относительная погрешность измерительного прибора

$$\delta A = (A - A_0)/A_0 = \Delta A/A_0;$$

приведенная погрешность измерительного прибора

$$\delta_L = \Delta A/L,$$

где A — показание прибора; A_0 — истинное значение измеряемой величины; L — нормирующее значение, равное конечному значению шкалы, арифметической сумме конечных значений шкалы или диапазону показаний прибора с односторонней, двусторонней или безнулевой шкалой соответственно.

Класс точности прибора определяется максимальным допустимым значением основной приведенной погрешности прибора, выраженной в процентах, т. е. погрешности прибора в нормальных условиях эксплуатации.

Дополнительные погрешности возникают при измерениях в условиях, отличных от нормальных (например, температурная погрешность, частотная погрешность и т. п.).

Электрорадиоизмерительные аналоговые приборы могут иметь следующие классы точности: 0,05; 0,1; 0,2; 0,5; 1,0; 1,5; 2,5; 4,0; 6,0 и 10. Для радиолюбительских измерений вполне пригодны приборы классов 1,5—4,0, а иногда и классов 6,0 и 10.

Интервал, в котором находится действительное значение измеряемой величины A_0 , определяется по формуле

$$A_0 = A \pm 0,01LK_n,$$

где K_n — число, обозначающее класс точности прибора.

Входное сопротивление прибора — сопротивление прибора со стороны его входных зажимов. Этот параметр имеет существенное значение, так как чем больше входное сопротивление, тем меньше влияние оказывает прибор на источник измеряемого сигнала; он регламентируется для вольтметров, осциллографов и других приборов, подключаемых к цепям с высоким сопротивлением.

Для приборов, измеряющих переменное напряжение, входное сопротивление — величина комплексная, эквивалентная чаще всего параллельному соединению активной $R_{вх}$ и емкостной $C_{вх}$ составляющих. Чем больше $R_{вх}$ и чем меньше $C_{вх}$, тем меньше влияет подключенный прибор на режим работы измеряемого объекта и тем точнее (при прочих равных условиях) результат измерения. Если входное сопротивление измерительного прибора $Z_{вх}$ в 20—50 раз больше, то его влиянием на режим работы измеряемого объекта часто практически можно пренебречь.

Таблица 10-2

Условные обозначения на электроизмерительных приборах

Магнитоэлектрический прибор с подвижной рамкой		Индукционный прибор (например, счетчик электрической энергии)	
Прибор выпрямительной системы (магнитоэлектрический измеритель + выпрямитель)		Прибор (например, магнитоэлектрический) с магнитным экраном	
Электронный прибор		Прибор (например, электростатический), защищенный от внешних электрических полей	
Термоэлектрический прибор (магнитоэлектрический измеритель + изолированный термопреобразователь)		Прибор для измерения в цепях постоянного тока	
		Прибор для измерения в цепях переменного тока	
		Прибор для измерения в цепях постоянного и переменного токов	
То же с неизолрированным термопреобразователем		Класс точности прибора (например, 1,5)	1,5
Электромагнитный прибор		Измерительная цепь прибора выдерживает по отношению к корпусу напряжение 2 кВ	
		Рабочее положение шкалы прибора — горизонтальное	
Электродинамический прибор		Рабочее положение шкалы прибора — вертикальное	
Ферродинамический прибор		Осторожно! Измерительная цепь прибора под высоким напряжением; ее изоляция ниже нормы (знак красного цвета)	
Электростатический прибор (киловольтметр)		Внимание! При работе с прибором руководствоваться указаниями в его паспорте или описании	
Вибрационный язычковый прибор (частотомер)		Знаки полярности у зажимов при включении в цепь постоянного тока	- +
		Знак у общего зажима комбинированного прибора	*

Активная составляющая входного сопротивления электромеханических вольтметров нередко выражается в омах на вольт [Ом/В] или в килоомах на вольт [кОм/В]. При этом входное сопротивление прибора можно определить умножением указанного параметра на конечное значение шкалы соответствующего диапазона показаний вольтметра.

Входная емкость прибора $C_{вх}$, подключаемого при измерениях к резонансной цепи, может вызвать существенную расстройку этой цепи. Расстройкой практически можно пренебречь только в случаях, когда $C_{вх}$ измерительного прибора не менее чем в несколько сотен раз меньше общей емкости резонансной цепи, к которой подключается прибор.

Входная емкость измерительного прибора может быть уменьшена включением последовательно в его входную цепь конденсатора малой емкости (обычно 2—5 пФ). Действительное значение напряжения на резонансной системе в этом случае может быть вычислено по показанию A измерительного прибора (вольтметра, осциллографа) по формуле

$$U = A (z_k + z_{вх}) / z_{вх},$$

где z_k и $z_{вх}$ — соответственно модули полных сопротивлений подключаемого конденсатора и входа прибора.

Если конденсатор (КД, КТ, КСО и т. п.) обладает малыми потерями, то

$$U = A \left(1 + \frac{1 + 2\pi f C_{вх} R_{вх}}{2\pi f C_k R_{вх}} \right) \approx A (1 + C_{вх} / C_k),$$

где f — частота измеряемого напряжения, МГц; $C_{вх}$ — входная емкость измерительного прибора, пФ; $R_{вх}$ — активная составляющая входного сопротивления прибора, МОм; C_k — емкость подключаемого конденсатора, пФ.

Условные обозначения из приборов

На приборах со стрелочными измерителями нанесены обозначения, которые дают краткую техническую характеристику приборов (табл. 10-2). Условное обозначение измерительного механизма прибора содержит одну из следующих букв: М — магнитоэлектрическая система, Э — электромагнитная система, Д — электродинамическая или ферродинамическая система, С — электростатическая система. Число после буквы обозначает номер типа прибора. Например, М94 обозначает прибор магнитоэлектрической системы типа 94.

10-2. ИЗМЕРЕНИЕ НАПРЯЖЕНИЙ И ТОКОВ

Общие сведения

Простейший аналоговый вольтметр для измерения напряжений постоянного тока состоит из стрелочного измерителя магнитоэлектрической системы И и последовательно включенных с ним добавочных резисторов R_d , предназначенных для расширения пределов измерения (рис. 10-1).

Входное сопротивление вольтметра, выраженное в килоомах,

$$R_{вх} = U_{пред} / I_{пред},$$

где $U_{пред}$ — выбранный верхний предел измерения вольтметра, В; $I_{пред}$ — ток предельного отклонения указателя измерителя, мА.

Более высоким входным сопротивлением обладает электронный аналоговый вольтметр постоянного тока с УПТ, включаемым между входными зажимами и измерителем прибора. Входное сопротивление такого вольтметра определяется входным сопротивлением УПТ и сопротивлением утечки входной цепи и может достигать нескольких десятков мегаом.

Измерять напряжения переменного тока частотой до 1—1,5 кГц можно электро-механическими вольтметрами электромагнитной, электродинамической или ферродинамической систем, выполненными по схеме на рис. 10-1.

При измерениях в высокоомных цепях сигналов с частотами до нескольких мегагерц пригодны вольтметры электростатической системы.

В радиолюбительской практике для измерения напряжений переменного тока применяют стрелочные вольтметры выпрямительной системы (частотный диапазон до нескольких десятков кило-

герц) с однополупериодным (рис. 10-2, а) и мостовым (рис. 10-2, б) выпрямителями и стрелочные электронные вольтметры (частотный диапазон — до нескольких сотен мегагерц).

Сопротивления добавочных резисторов вольтметров, выполненных по схеме на рис. 10-1, а, вычисляют по формуле

$$R_{дi} = (U_{предi} - I_{пред} r_{и}) / I_{пред},$$

а вольтметров, собранных по схеме рис. 10-1, б, — по формулам

$$\begin{aligned} R_{д1} &= (U_{пред1} - I_{пред} r_{и}) / I_{пред}; \\ R_{д2} &= [(U_{пред2} - I_{пред} r_{и}) / I_{пред}] - R_{д1}; \\ R_{д3} &= [(U_{пред3} - I_{пред} r_{и}) / I_{пред}] - (R_{д1} + R_{д2}), \end{aligned}$$

где $U_{предi}$ — i -й верхний предел измерения вольтметра; $R_{дi}$ — сопротивление добавочного резистора соответствующего предела измерения; $I_{пред}$ — ток предельного отклонения указателя измерителя; $r_{и}$ — сопротивление рамки измерителя (все величины — в основных единицах СИ).

Сопротивления добавочных резисторов выпрямительных вольтметров, выполненных по схеме рис. 10-2, а, вычисляют по формуле

$$R_{дi} = (0,45 U_{предi} / I_{пред}) - (r_{и} + r_{д.пр}),$$

а вольтметров по схеме на рис. 10-2, б — по формуле

$$R_{дi} = (0,9 U_{предi} / I_{пред}) - (r_{и} + 2r_{д.пр}),$$

где $U_{предi}$ — i -й верхний предел измерения вольтметра (среднеквадратическое значение); $I_{пред}$ — ток предельного отклонения указателя измерителя; $r_{д.пр}$ — сопротивление диода в прямом направлении.

Шкалы вольтметров выпрямительной системы градуируются в среднеквадратических значениях синусоидального напряжения.

Электронные аналоговые вольтметры переменного тока выполняют с детектором (выпрямителем) на входе или выходе прибора. Вольтметры с детектором на выходе содержат входной делитель напряжения, усилитель переменного напряжения и детектор, нагруженный на измеритель магнитоэлектрической системы. Вольтметры с такой структурой могут измерять напряжения от нескольких милливольт до нескольких киловольт в частотном диапазоне до 1—10 МГц.

В некоторых вольтметрах для расширения рабочей области частот детектор располагают непосредственно после входных зажимов. Далее включают УПТ,

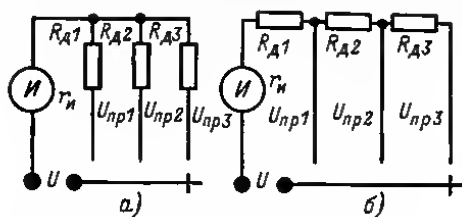


Рис. 10-1.

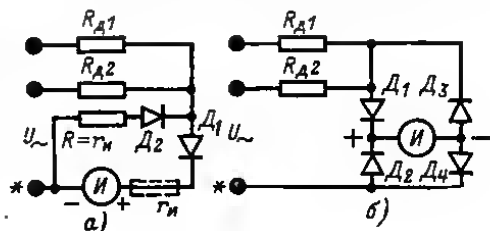


Рис. 10-2.

к выходу которого подсоединяют измеритель магнитоэлектрической системы с набором добавочных резисторов и шунтов для расширения пределов измерения напряжения. Диапазон измерения таких вольтметров — от долей вольта до нескольких киловольт.

Активная составляющая входного сопротивления электронных вольтметров в зависимости от частоты лежит в пределах от десятков мегаом на звуковых частотах до десятков килоом на метровых и дециметровых волнах, а входная емкость не превышает обычно 10 пФ.

Вольтметры с УПТ позволяют также измерять и постоянные напряжения. Структурная схема такого вольтметра показана на рис. 10-3.

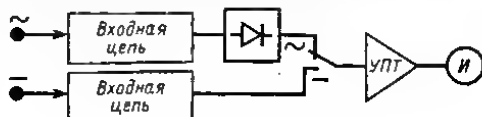


Рис. 10-3.

Различают вольтметры с открытым и закрытым входом.

Входная цепь вольтметра с закрытым входом имеет разделительный элемент (конденсатор или трансформатор) и поэтому не реагирует на постоянную составляющую измеряемого напряжения, т. е. он «закрыт» для постоянной составляющей. Вольтметры с закрытым входом удобны для измерения переменных составляющих, например, на коллекторных и анодных нагрузках усилительных каскадов, генераторов и т. п. Вольтметры с открытым входом разделительных элементов не имеют и поэтому применяются для измерения сигналов, содержащих и постоянную составляющую.

В зависимости от типа детектора электронные вольтметры разделяют на квадратичные, пиковые и вольтметры средневыпрямленного значения.

Промышленные аналоговые вольтметры градуированы в среднеквадратических значениях синусоидального напряжения. Исключение представляют вольтметры, предназначенные для измерения импульсных напряжений, градуировка которых производится в пиковых значениях напряжения. Для правильной оценки результатов измерения нужно знать тип примененного в вольтметре детектора, схему входа и характер градуировки шкалы вольтметра.

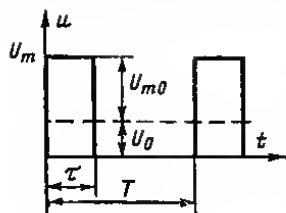


Рис. 10-4.

Пример. Требуется измерить напряжение, имеющее форму периодической последовательности однополярных прямоугольных импульсов (рис. 10-4), и определить ожидаемые показания вольтметров типа В4-2, ВК7-9 и ВЗ-10А, если высота импульсов $U_m = 20$ В при скважности $Q = T/\tau = 10$.

Решение. Вольтметры В4-2 и ВК7-9 (с закрытым входом) не реагируют на постоянную составляющую U_0 измеряемого напряжения, которая для рассматриваемого случая определится следующим образом:

$$U_0 = \frac{1}{T} \int_0^T u(t) dt = U_m / Q = 20 / 10 = 2 \text{ В},$$

поэтому при пиковом детекторе показания вольтметров пропорциональны пиковому отклонению вверх измеряемого напряжения над постоянной составляющей, т. е. значению U_{m0} .

Поскольку шкала вольтметра В4-2 градуирована в пиковых значениях измеряемого напряжения, то его показание

$$A_1 = U_{m0} = U_m - U_0 = 18 \text{ В}.$$

Вольтметр типа ВК7-9 должен показать значение

$$A_2 = U_{m0}/\sqrt{2} = 12,7 \text{ В},$$

так как его шкала градуирована в среднеквадратических значениях синусоидального напряжения.

Вольтметр типа ВЗ-10А на пределах измерения выше 0,3 В имеет открытый вход, детектор средневыпрямленного значения и шкалу, градуированную в среднеквадратических значениях синусоидального напряжения. Так как средневыпрямленное значение

$$U_{\text{ср. в}} = \frac{1}{T} \int_0^T |u(t)| dt,$$

то при измерении однополярных импульсов оно совпадает с $U_0 = 2$. Поскольку при градуировке оцифровка шкалы вольтметра ВЗ-10А увеличена в 1,11 раза

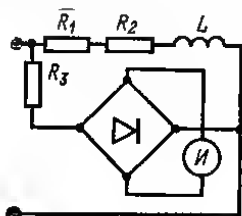


Рис. 10-5.

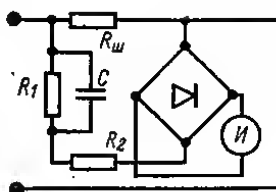


Рис. 10-6.

относительно средневыпрямленного значения калибрующего синусоидального напряжения, его показания должны быть равны $A_3 = 1,11 U_{\text{ср. в}} = 1,11 \cdot 2 = 2,22 \text{ В}$.

Для измерения тока применяют амперметры, миллиамперметры и микроамперметры, которые включаются в разрыв цепи, где необходимо измерить ток. В амперметрах применяют такие же измерительные механизмы, что и в вольтметрах. Поэтому широко распространены комбинированные приборы — ампервольтметры, используемые как вольтметры и как амперметры. Для измерения токов с частотами до нескольких мегагерц применяют измерители магнитоэлектрической системы с термоэлектрическими преобразователями. Характер шкал таких амперметров квадратичный. Для измерения токов промышленной частоты (50 Гц) используют измерители электромагнитной системы. Для измерения токов звуковых и ультразвуковых частот пригодны измерители магнитоэлектрической системы с выпрямителями на полупроводниковых диодах (рис. 10-5, 10-6).

Схема, изображенная на рис. 10-5, используется для измерения малых токов. Резисторы R_1 и R_3 , служащие для компенсации температурных погрешностей, должны быть выполнены из меди, а R_2 — из манганина. В схеме для измерения больших токов (рис. 10-6) резисторы R_1 и R_2 также выполняются из меди, а резистор $R_{\text{ш}}$ — из манганина. Катушка индуктивности L и конденсатор C необходимы для устранения частотных погрешностей.

В амперметрах для расширения пределов измерения используются шунты — резисторы, подключаемые параллельно рамке (катушке) измерительного механизма. Сопротивления шунтов, включаемых по схеме на рис. 10-7, а, рассчитывают по формуле

$$R_{\text{ш}i} = r_{\text{и}} [I_{\text{пред}i} / (I_{\text{пред}} - I_{\text{пред}i})] = r_{\text{и}} (n_i - 1),$$

где $I_{\text{пред}}$ — ток предельного отклонения указателя при отключенном шунте; $I_{\text{пред}i}$ — рассчитываемый i -предел измерений; $n_i = I_{\text{пред}i} / I_{\text{пред}}$ — коэффициент расширения i -го предела измерения.

Многопредельный универсальный шунт (рис. 10-7, б) рассчитывают на основании формулы

$$n_i = I_{\text{пред}i} / I_{\text{пред}} = (R_{\text{ш}i} + r_{\text{и}} + R_{\text{д}i}) / R_{\text{ш}i} = R / R_{\text{ш}i},$$

где $R_{\text{ш}i}$ — суммарное сопротивление резисторов, включенных непосредственно между входными зажимами амперметров на i -м верхнем пределе измерения; $R_{\text{д}i}$ — суммарное сопротивление резисторов, включенных последовательно с рамкой (катушкой) измерителя на i -м пределе измерения; R — общее сопротивление контура «измеритель — резисторы».

Для схемы, изображенной на рис. 10-7, б: на первом пределе измерения $R_{\text{ш}1} = R_1 + R_2 + R_3$, $R_{\text{д}1} = 0$; на втором пределе измерения $R_{\text{ш}2} = R_2 + R_3$, $R_{\text{д}2} = R_1$; на третьем пределе измерения $R_{\text{ш}3} = R_3$, $R_{\text{д}3} = R_2 + R_1$.

При наличии многопредельного универсального шунта пределы измерения тока можно изменять без обрыва контролируемой цепи. Пределы измерения амперметров с простыми шунтами (рис. 10-7, а) можно изменять лишь после выключения тока в измеряемой цепи (или при наличии безобрывного переключателя пределов), так как в противном случае возможны многократная перегрузка измерителя и перегорание его рамки (катушки) или токоподводящих пружин.

Рассмотренные шунты называются индивидуальными, поскольку они рассчитаны на применение с конкретными измерителями. Они могут быть внутренними (помещаемыми внутри корпуса прибора) и наружными, монтируемыми вне корпуса прибора.

Промышленные приборы с индивидуальными шунтами не изготавливаются, а выпускаются с взаимозаменяемыми *калиброванными* шунтами, пригодными для подключения к любому измерителю с номинальным падением напряжения на его зажимах (при котором указатель отклоняется до конечного значения шкалы), равным номинальному падению напряжения на шунте. Калиброванные шунты изготавливаются с номинальным падением напряжения 60 или 75 мВ, которое указывается на шунте или в паспорте, например «75 мВ 500 А».

Приборы для измерений напряжений и токов

Основные технические характеристики некоторых электронных вольтметров, выпускаемых отечественной промышленностью, приведены в табл. 10-3—10-5.

Таблица 10-3

Электронные аналоговые вольтметры

Тип вольтметра	Конечные значения шкал	Класс точности	Рабочая область частот	$R_{\text{вх}}$	$C_{\text{вх}}$
В2-25	3; 10; 30; 100; 300; 1000 мкВ	6,0—1,5	Постоянный ток	10—300 МОм	—
В3-44	3; 10; 30; 100; 300; 1000 мВ	1,0	20 Гц — 20 кГц	20 кОм	60 пФ
	10; 30; 100; 300 мВ	2,5			
В3-42	1; 3; 10; 30; 100; 300 В	5,0—20,0; 4,0—10,0	10 Гц — 5 МГц	2,5—5 МОм	15—30 пФ
	100; 300 мкВ;				
	1; 3; 10; 30; 100; 300 мВ; 300 В (с делителем)				

Таблица 10-4

Импульсные аналоговые вольтметры

Тип вольтметра	Диапазон измерения	Класс точности	Длительность импульса	Частота повторения импульсов	Скважность импульсов	$R_{вх}$	$C_{вх}$
В4-12	1—1000 мВ; 100 В	4,0—10,0	0,1—300 мкс	50 Гц—100 кГц	2—200 000	1 МОм	10 пФ
В4-14	(с делителем) 0,01—100 В	4,0—10,0	3 нс—100 мкс	25 Гц—50 МГц	—	≥ 3 кОм	≤ 12 пФ

Радиолюбительские вольтметры на транзисторах. Радиолюбительский универсальный вольтметр (рис. 10-8) имеет конечные значения шкал 1, 10, 50, 250 и 500 В. Основная погрешность не превышает 5%. Рабочая область частот 5 Гц — 25 кГц. Входное сопротивление $R_{вх}$ при измерении напряжения постоянного тока составляет 100 кОм/В и при измерении напряжения переменного тока — 30 кОм/В,

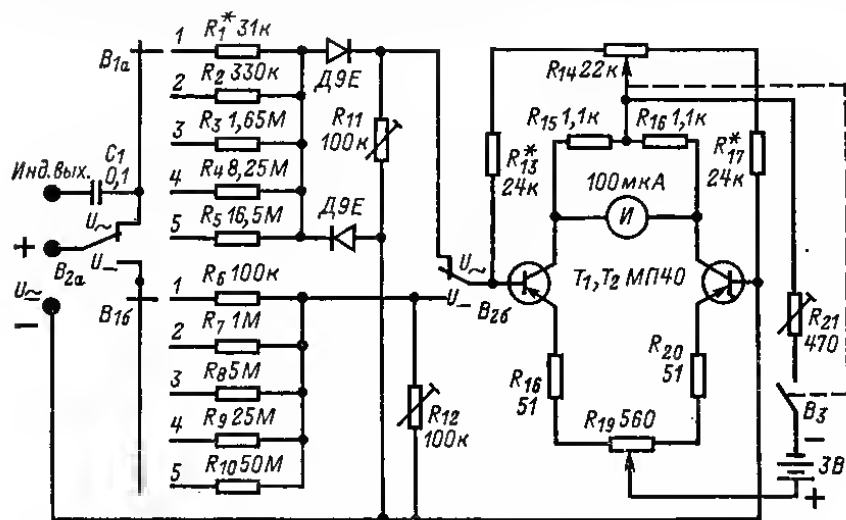


Рис. 10-8.

если транзисторы имеют коэффициент передачи тока 30 и обратный ток коллектора менее 1,5 мкА. Отсчетное устройство — измеритель М265 с током предельного отклонения $I_{пред} = 100$ мкА. В приборе предусмотрен отдельный вход *Инд. вых.*, при подключении которого к контролируемой цепи можно измерять переменную составляющую пульсирующего напряжения. Установка нуля вольтметра производится потенциометром R_{14} .

На рис. 10-9 приведена схема вольтметра постоянного тока с УПТ на полевом транзисторе. Транзисторы R_5 — R_8 образуют мост, в диагональ которого включен измеритель магнитоэлектрической системы $И$, имеющий ток предельного отклонения 100 мкА и сопротивление рамки 1870 Ом. Входное сопротивление вольтметра практически определяется сопротивлением входного дели-

теля напряжения и сопротивлением утечек и равно нескольким мегаомам. Конечные значения сигнал вольтметра составляют 1,5 и 20 В. Установку нуля произво-

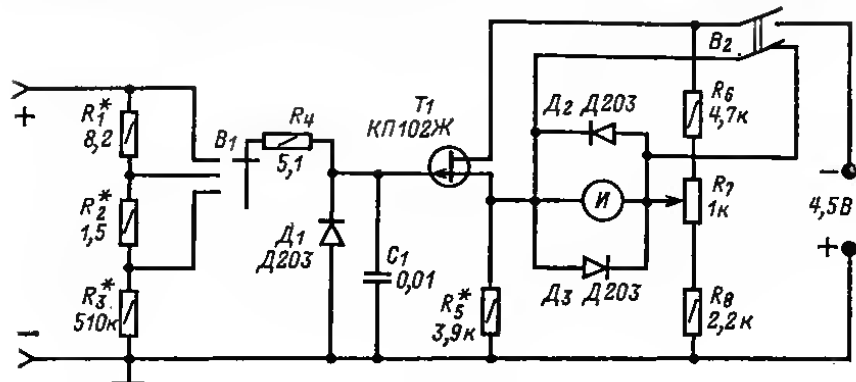


Рис. 10-9.

дят переменным резистором R_7 . Диод D_1 предохраняет транзистор от подачи на его затвор отрицательного (относительно корпуса) напряжения, а диоды D_2 и D_3 предохраняют от перегрузок измеритель И, элентрическое арретирование которого производится замыканием рамки переключателем B_2 при выключении питания.

Для измерения напряжений переменного тока к УПТ нужно подключить пиковый детектор (рис. 10-10) и делитель напряжения. Элементы такого детектора с закрытым входом подбираются в зависимости от типа УПТ и предполагаемой рабочей области частот. При этом должно быть выполнено условие $f_n R_1 C_1 > (10-100)$, где f_n — низшая частота рабочей области частот вольтметра. Обычно для работы в области частот от 20 Гц до нескольких десятков мегагерц берут конденсатор C_1 с малыми потерями и емкостью, равной $(10-30) 10^3$ пФ, а резистор R_1 — сопротивлением в несколько десятков мегаом.

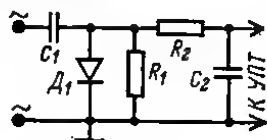


Рис. 10-10.

Таблица 10-5

Цифровые вольтметры

Тип вольтметра	Диапазон измерения	Погрешность измерения *	Рабочая область частот	$R_{вх}$	$C_{вх}$
ВК2-20	2 мВ — 200 В 0,2 мкА — 2 А	$\leq \pm(0,3 + 0,1 U_{пред}/U_x)\%$	Постоянный ток	1—100 МОм	—
В4-13	$U_{имп} : 0,1-150$ В	$\pm (0,005 U_x + 0,02)$ В	10 Гц — 1 МГц	50; 75; 150; 1000 Ом	—
	$U_{\sim} : 0,1-130$ В	$\pm (0,005 U_x + 0,02)$ В	10 Гц — 100 кГц	1 МОм	35 пФ
	$U_{=} : 0,1-150$ В	$\pm (0,005 U_x + 0,02)$ В	Постоянный ток	1 МОм	—

* U_x — значение измеряемой величины; $U_{пред}$ — конечное значение диапазона показаний.

Элементы R_2 и C_2 выполняют роль фильтра. Диод D_1 должен быть высокочастотным с небольшой емкостью перехода и обратным напряжением более $2U_m$, где U_m — максимальное значение измеряемого напряжения. Пиковый детектор выполняется обычно в виде выносного пробника.

10-3. ИЗМЕРЕНИЕ СОПРОТИВЛЕНИЙ, ЕМКОСТЕЙ И ИНДУКТИВНОСТЕЙ

Методы измерения сопротивлений

Для измерения сопротивлений наиболее распространены метод непосредственной оценки при помощи омметров, характеризуемый простотой отсчета и широкими пределами измерений, и метод сравнения (мостовой), обеспечивающий малую погрешность измерений.

Электромеханические омметры постоянного тока разделяются на две основные группы: с последовательной схемой (рис. 10-11, а) для измерения средних и больших

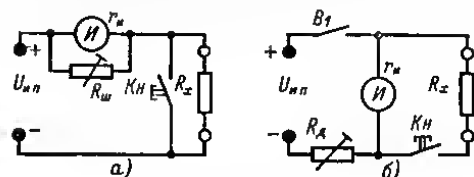


Рис. 10-11.

сопротивлений (1 Ом и выше) и с параллельной схемой для измерения малых сопротивлений (рис. 10-11, б). В качестве отсчетного устройства омметры имеют измеритель магнитоэлектрической системы с током предельного отклонения $50\text{—}100\text{ мкА}$. Шкалы омметров с последовательной схемой имеют нулевую отметку справа (указатель измерителя устанавливается на эту отметку при замкнутой кнопке Kn) и отметку ∞ — слева. Омметры с параллельной схемой имеют нулевую отметку слева, а отметку ∞ — справа. Переменный резистор R_w служит для установки нуля омметра (при замкнутой кнопке Kn), а резистор R_A — для установки отметки ∞ (при разомкнутой кнопке Kn). Омметр градуируют по образцовым резисторам. Обычно погрешность омметров составляет $4\text{—}10\%$; на начальном и конечном участках шкалы погрешности значительно возрастают.

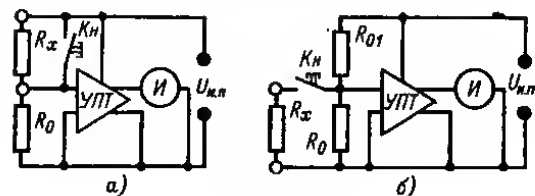


Рис. 10-12.

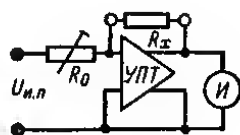


Рис. 10-13.

Электронные омметры строят на базе УПТ. Они представляют собой по сути электронные вольтметры постоянного тока, на входы которых подается напряжение, снимаемое с делителя напряжения, образуемого измеряемым R_x и образцовым R_0 резисторами (рис. 10-12). Возможные изменения напряжения питания $U_{н.п.}$ компенсируются изменением коэффициента усиления УПТ при установке нулевой отметки (рис. 9-12, а — нуль справа) или отметки ∞ (рис. 10-12, б — ∞ справа).

Основным недостатком омметров, схемы которых показаны на рис. 9-11 и 9-12, является неравномерность шкалы. На базе УПТ можно построить электронный омметр с линейной (равномерной) шкалой, если включить образцовый R_0 и изме-

режимы R_x резисторы, как показано на рис. 10-13. Напряжение на выходе УИТ здесь линейно зависит от измеряемого сопротивления: $|U_{\text{вых}}| = (U_{\text{и.п}}/R_0) R_x$.

Коррекция показаний омметра при изменении напряжения питания $U_{\text{и.п}}$ осуществляется изменением сопротивления образцового резистора R_0 . Переключение пределов измерения может осуществляться ступенчатым переключением номинальных значений $U_{\text{и.п}}$ или R_0 .

Омметр с равномерной шкалой (рис. 10-14). Последовательно с источником питания $U_{\text{и.п}}$ включены образцовый R_0 и измеряемый R_x резисторы. Если с помощью измерителя I с включенным последовательно установочным резистором R_y измерить падение напряжения на образцовом U_0 и измеряемом U_x резисторах, то искомое сопротивление

$$R_x = R_0 U_x / U_0.$$

Следовательно, R_x линейно зависит от сопротивления резистора R_0 и отношения U_x/U_0 . Чтобы ускорить получение искомой величины R_x , можно установить переключатель в положение *Калибровка* и регулировкой резистора R_y добиться отклонения стрелки измерителя I на всю шкалу; конечную отметку шкалы обозначить единицей. Остальные деления шкалы при этом будут соответствовать долям от сопротивления резистора R_0 . Теперь для измерения R_x достаточно переключатель B поставить в положение *Измерение* и определить, какую долю от R_0 составляет R_x . Если при установке переключателя B в положение *Измерение* стрелка прибора уйдет за шкалу, то следует подобрать образцовый резистор R_0 с большим сопротивлением и повторить операции измерения. Если омметр многопредельный, то вместо одного образцового резистора R_0 берут несколько переключаемых резисторов (по числу пределов измерения), которые для удобства выбирают из ряда 1, 10, 100 и т. д. Общее сопротивление измерителя I и резистора R_y должно быть много больше сопротивления резисторов R_x и R_0 .

Мостовые методы позволяют осуществлять наиболее точные измерения сопротивлений. Три плеча моста (рис. 10-15) образуют образцовые комплексные со-

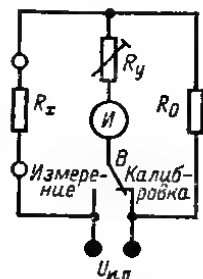


Рис. 10-14.

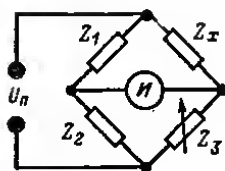


Рис. 10-15.

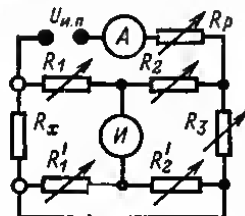


Рис. 10-16.

противления Z_1 , Z_2 и Z_3 (конденсаторы, катушки индуктивности), а четвертое — измеряемое сопротивление Z_x . Баланс добиваются изменением одного или нескольких образцовых сопротивлений. При измерении активных сопротивлений мост питается постоянным напряжением $U_{\text{и.п.}}$, в качестве индикатора баланса используется гальванометр маг-

нетрической системы, а плечи моста образуются активными резисторами. При этом

$$R_x = R_1 R_3 / R_2.$$

При питании моста переменным напряжением индикатором баланса могут служить головной телефон или милливольтметр переменного тока.

Для измерения активных сопротивлений $R_x < 1 \text{ Ом}$ на постоянном токе применяют двойной мост (рис. 10-16). Баланс моста получают изменением сопротивлений образцовых резисторов R_1 , R_1' , R_2 , R_2' и R_3 . При точном выполнении условий $R_1 = R_1'$ и $R_3 = R_2'$ сопротивление резистора

$$R_x = (R_1/R_2) R_3.$$

Для повышения чувствительности мост питают от мощного источника тока (обычно аккумулятора). Рабочий ток контролируют амперметром.

Измерение сопротивлений методом вольтметра (рис. 10-17). Для определения сопротивления резистора R_x вольтметром измеряют падения напряжений U_0 и U_x на образцовом R_0 и измеряемом R_x резисторах.

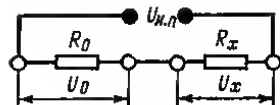


Рис. 10-17.

Тогда

$$R_x = (U_x/U_0) R_0.$$

Необходимое напряжение источника питания вычисляется по закону Ома с учетом сопротивления резистора R_0 , предела измерения вольтметра и предполагаемого сопротивления резистора R_x .

Наивысшая точность измерения может быть получена, если $R_0 \approx R_x$. Точность измерения сопротивления зависит также от класса точности вольтметра и образцового резистора. Необходимо соблюдение условий $R_{вх} \gg R_0$; $R_{вх} \gg R_x$, так как погрешность измерения уменьшается с увеличением входного сопротивления вольтметра $R_{вх}$.

Таблица 10-6

Омметры

Тип омметра	Диапазон измерений	Основная погрешность, %
M127	0—2 МОм	$\pm 1,5$
M372	0,1—50 Ом	$\pm 1,5$
M503	200 Ом—100 МОм	$\pm 1,0$
E6-5	1 Ом—9999 кОм	$\pm 1\%$ ± 1 ед. счета
E6-15	0,0001—100 Ом	$\pm 1,5$
E6-16	2 Ом—200 МОм	$\pm 1,5$
EK6-11	30 МОм—1000 ГОм	$\pm 10,0$

Электромеханические цифровые омметры выполняют в виде автоматических мостов либо цифровых вольтметров с автоматически перестраиваемой цепочкой образцовых резисторов. Большим быстродействием обладают электронные омметры, использующие время-импульсные методы. Цифровые вольтметры и омметры имеют много общих схемных узлов, что позволяет создавать комбинированные цифровые приборы — вольтометры.

Основные характеристики некоторых омметров промышленного производства даны в табл. 10-6.

Любительские конструкции измерителей сопротивлений

В любительской практике омметры, выполненные по схемам, изображенным на рис. 9-11, 9-12, обычно используются в составе комбинированных измерительных приборов, например ампервольтметров. Популярностью у радиолюбителей пользуются простейшие мостовые измерители и омметры с равномерной шкалой.

Простейший мостовой измеритель сопротивлений (рис. 10-18) питается от RC-генератора (R_5 , C_1 , Tr , L_1), вырабатывающего сигнал с частотой 1 кГц. В качестве образцовых резисторов R_1 , R_2 и R_3 , включаемых в одно из плеч моста, рекомендуется применять резисторы повышенной стабильности типа УЛИ, БЛП или МГП с допускаемым отклонением сопротивлений от номинальных значений не более $\pm 1\%$. Балансировка моста производится переключением этих резисторов и регулировкой потенциометра R_4 . Потенциометр снабжен шкалой, которая инане-

сена на диск, укрепленный на оси потенциометра. Индикатором баланса служат головные телефоны. В приборе можно применить малогабаритный трансформатор с отношением числа витков в обмотках от 1 : 1 до 1 : 10. Прибор позволяет измерять сопротивления от 10 Ом до 10 МОм с погрешностью не хуже 10—15%.

Омметр с равномерной шкалой (рис. 10-19). Принцип работы прибора на диапазоне 1—8 поясняет рис. 10-14. Омметр состоит из набора источников постоянного тока (батарея, преобразователь на транзисторах T_1, T_2 и диодах $D_1—D_{12}$), измерителя магнитоэлектрической системы μA с током предельного отклонения 100 мкА и сопротивлением рамки 500 Ом, переключателя пределов измерения B_2 , набора образцовых резисторов $R_7—R_{18}$ и переключателя B_3 *Калибровка—Измерение*. Роль установочного резистора R_7 (см. рис. 10-14) выполняют проволоочные резисторы R_3 и R_4 . На девятом диапазоне омметр работает по последовательной схеме (см. рис. 10-11, а). При этом подготовку прибора к измерению и процесс измерения производят в положении переключателя B_3 *Калибровка*. При подготовке к измерению зажимы R_x замыкают как коротко (нуль справа) и резисторами R_3, R_4 устанавливают нуль по второй (неравномерной) шкале омметра. На диапазонах 1—8 можно измерять сопротивления от 0 до 10 МОм с погрешностью в конце шкалы менее 1%. На диапазоне 9 (предел 500 МОм) погрешность показаний неравномерной шкалы не превышает 10%. При калибровке прибора образцовые резисторы подбирают с погрешностью менее 1%. Выпрямитель, собранный на диодах $D_9—D_{12}$,

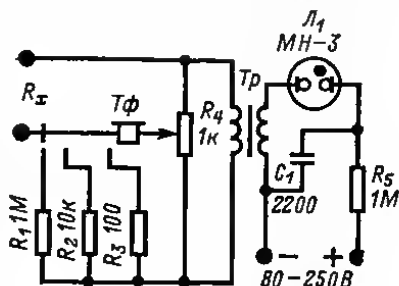


Рис. 10-18.

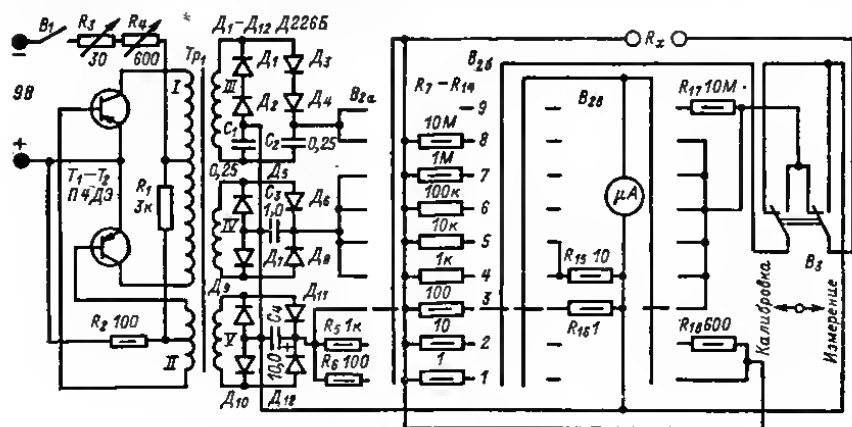


Рис. 10-19.

должен давать напряжение 10 В, выпрямитель на диодах $D_5—D_8$ — 100 В, а на диодах $D_1—D_4$ — 1000 В. Магнитопровод трансформатора Ш16×12 выполнен из пластины пермаллоя 50Н. Обмотка I содержит 59×2 витков провода ПЭЛ 0,37; обмотка II — 60×2 витков провода ПЭЛ 0,16; обмотка III — 8000 витков провода ПЭЛ 0,09; обмотка IV — 1500 витков провода ПЭЛ 0,12; обмотка V — 150 витков провода ПЭЛ 0,16.

Методы измерения емкостей и индуктивностей

Мостовой метод измерения емкости и индуктивности (см. рис. 10-15) применяют для измерения емкостей от нескольких сотен пикофард до нескольких десятков микрофард и больших индуктивностей. При этом определяют комплексное сопротивление $Z_x = Z_1 Z_3 / Z_2$ и вычисляют измеряемую емкость

$$C_x \approx 160\,000 / f z_x$$

или индуктивность (при малом активном сопротивлении обмотки катушки)

$$L_x \approx 160 z_x / f,$$

где z_x — модуль комплексного сопротивления, кОм; f — частота питающего мост напряжения, кГц; C_x — измеряемая емкость, пФ; L_x — измеряемая индуктивность, мГ.

Мост питают переменным напряжением частотой 500—1000 Гц.

Емкости до 5000 пФ и индуктивности до 100 мГ обычно измеряют резонансным или генераторным методом.

Резонансный метод измерения емкости (рис. 10-20). Изме-

ряемый конденсатор C_x подключают параллельно образцовому конденсатору переменной емкости C_0 , а к зажимам L_x подключают катушку индуктивности. Таким образом создается последовательный колебательный контур, который питается от ГВЧ через емкостный делитель напряжения $C_1 C_2$. Необходимые индуктивность катушки L_x или диапазон частот ГВЧ вычисляют по формулам

$$L_x = 25\,300 / [(C_0 + C_x + C_{вх2} + C_m) f^2];$$

$$f_{мин} = \sqrt{25\,300 / [L_x (C_{0. макс} + C_x + C_{вх2} + C_m)]};$$

$$f_{макс} = \sqrt{25\,300 / [L_x (C_{0. мин} + C_x + C_{вх2} + C_m)]},$$

где $C_{0. макс}$ и $C_{0. мин}$ — максимальная и минимальная емкости образцового конденсатора, пФ; C_x — предполагаемое значение измеряемой емкости, пФ; $C_{вх2}$ — входная емкость электронного вольтметра V_2 , пФ; C_m — емкость монтажа контура, пФ.

Для уменьшения погрешностей измерения необходимо соблюдение условия

$$C_2 \gg (C_{0. макс} + C_x + C_{вх2} + C_m).$$

Возможны две методики измерения.

1. При минимальной емкости образцового конденсатора $C_{0. мин}$ изменяют частоту генератора до получения резонанса контура (показания электронного вольтметра V_2 должны быть максимальными). При этом полная емкость контура

$$C_K = 25\,300 / f^2 L_x$$

и

$$C_x = C_K - (C_0 + C_{вх2} + C_m),$$

где f — частота генератора, при которой наступил резонанс, МГц; L — индуктивность контура, мкГ; C_K , C_x , C_0 , $C_{вх2}$, C_m — емкости, пФ.

2. При максимальной емкости $C_{0. макс}$ и невключенном конденсаторе C_x перестройкой частоты генератора добиваются резонанса. Затем подключают измеряемый конденсатор C_x и, не изменяя частоты генератора, перестройкой емкости

конденсатора C_0 снова добиваются резонанса контура. Емкость измеряемого конденсатора

$$C_x = C_{0, \text{ макс}} - C_{01},$$

где C_{01} — емкость образцового конденсатора C_0 при подключенном конденсаторе C_x .

Расширение пределов измерения при этой методике осуществляется параллельным или последовательным подключением к конденсатору C_0 дополнительных образцовых конденсаторов.

Резонансный метод измерения индуктивности. Измеряемую катушку подключают к зажимам L_x (рис. 10-20). Возможны две методики измерения.

1. При произвольной емкости конденсатора C_0 перестройкой частоты генератора добиваются резонанса контура и вычисляют индуктивность катушки по формуле

$$L_x = 25\,300 / [(C_0 + C_{\text{вх2}} + C_m) f^2].$$

2. При некоторой фиксированной частоте генератора f изменяют емкость конденсатора C_0 до наступления резонанса; L_x вычисляют по той же формуле.

Генераторный метод измерения емкости и индуктивности (рис. 10-21). При отключенной измеряемой реактивности (C_x или L_x) подстроечным конденсатором C_n приводят к одному значению частоты генераторов ВЧ-1 и ВЧ-2. Равенство частот определяют по нулевым бинам. В качестве индикатора нулевых бинам могут быть использованы головные телефоны.

Измеряемый конденсатор C_x подключают параллельно конденсатору C_n колебательного контура генератора ВЧ-2. Затем емкость конденсатора C_1 изменяют на величину ΔC_1 до получения нулевых бинам. Если $L_1 = L_2$, то $C_x = \Delta C_1$.

Для измерения индуктивности после подготовки прибора к работе перемычку снимают и подключают измеряемую катушку L_x . Затем увеличением емкости конденсатора C_1 на величину ΔC_1 снова добиваются нулевых бинам. Так как при этом $L_x = (L_1/C_2) \Delta C_1$, значения L_x можно отсчитывать по шкале конденсатора C_1 .

Измерение емкости электролитических конденсаторов. Измерение производят низкочастотным измерителем емкостей (например, мостом типа Е12-2). Электролитический конденсатор C_x подключают к измерителю емкости по схеме, изображенной на рис. 10-22. Разделительный конденсатор C_p (бумажный или металлобумажный) должен иметь большую емкость и сопротивление постоянному току. Для уменьшения погрешности измерения нужно, чтобы выполнялись условия

$$C_p \geq 0,1 C_x; \quad R \geq 3200 / f C_x; \quad U_{\text{ном}} > (U + U_{\text{мн}}),$$

где R — сопротивление развязывающего резистора, кОм; f — частота напряжения, возникающего на измеряемом конденсаторе C_x при подключении его к изме-

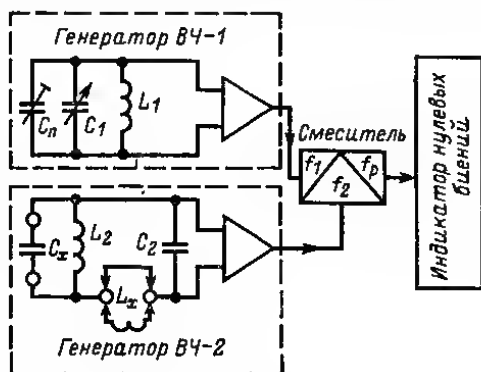


Рис. 10-21.

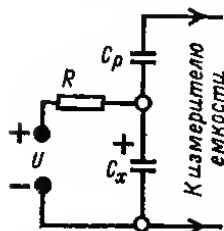


Рис. 10-22.

рителю емкости, Гц; C_x — емкость измеряемого конденсатора, мкФ; $U_{C_{ном}}$ — номинальное напряжение электролитического конденсатора, В; $U_{мп}$ — амплитуда переменной составляющей напряжения на измеряемом конденсаторе, В.

Измеряемая емкость

$$C_x = C_p C_n / (C_p - C_n),$$

где C_n — показание измерителя емкости.

Основные технические характеристики приборов для измерения индуктивностей и емкостей приведены в табл. 10-7.

Таблица 10-7

Приборы для измерения индуктивностей и емкостей

Тип прибора	Диапазон измерений	Основная погрешность
E3-3	$L: 0,01-1000 \text{ Г}$	$\pm 3 \%$
E7-4	$L: 10 \text{ мкГ}-100 \text{ Г}$	$\pm 3 \%$
	$C: 10 \text{ пФ}-100 \text{ мкФ}$	$\pm 3 \%$
E7-5A	$L: 0,05 \text{ мкГ}-100 \text{ мГ}$	$\pm 2,5 \%$
	$C: 1-5000 \text{ пФ}$	$\pm 5 \%$
E8-5	$C: 10 \text{ пФ}-10 \text{ мкФ}$	$\pm (0,001C + 0,5 \text{ пФ} + 1 \text{ ед. сч.})$ $\pm (0,002C + 1 \text{ ед. сч.})$

Среди радиолюбителей наибольшей популярностью пользуются измерители L и C мостового типа с простейшими индикаторами баланса — головными телефонами. Прибор для измерения емкостей или индуктивностей может быть построен по схеме, аналогичной изображенной на рис. 10-18, при замене резисторов конденсаторами или катушками.

10-4. КОМБИНИРОВАННЫЕ ЭЛЕКТРОРАДИОИЗМЕРИТЕЛЬНЫЕ ПРИБОРЫ

Электромеханические ампервольтметры

В большинстве электромеханических вольтметров, амперметров и омметров применяются высокочувствительные измерители магнитоэлектрической системы. Поэтому целесообразно использовать один такой измеритель в единой конструкции для измерения напряжений, токов и сопротивлений. Такие комбинированные приборы получили название ампервольтметров (табл. 10-8). Часто их называют также авометрами и тестерами.

На рис. 10-23 в качестве примера приведена схема авометра типа Ц4325; его измеритель имеет ток предельного отклонения 24 мкА. Стабилитроны D_1 и D_2 предохраняют измеритель от перегрузок.

Радиотестеры

Электронные вольтметры и омметры имеют общий узел — УПТ (см. рис. 10-3, 10-12), поэтому экономически выгодно создание комбинированных электронных приборов вольтметров. На базе вольтметра с УПТ может быть также создан комбинированный прибор (радиотестер) для измерения напряжений, сопротивлений, емкостей и индуктивностей. Рассмотрим радиотестер ВК7-3, схема которого представлена на рис. 10-24. При измерении сопротивлений здесь используется цепь, подобная изображенной на рис. 10-12, б. Аналогичная цепь приме-

Таблица 10-8

Ампервольтметры

Характеристика прибора	Тип прибора				
	Ц156	Ц157	Ц1430	Ц14312	Ц14325
напряжение постоянное $U_{=}$, В	0,075; 0,3; 1,5; 7,5; 15; 60; 150; 300; 600	0,075; 3; 7,5; 15; 30; 150; 300; 600	0,75; 3; 6; 15; 60; 150; 300; 600	0,075; 0,3; 7,5; 30; 60; 150; 300; 600; 900	0,6; 1,2; 3; 6; 12; 30; 60; 120; 600
напряжение переменное U_{\sim} , В	0,3; 1,5; 7,5; 15; 60; 150	3; 7,5; 15; 30; 150; 300; 600	3; 6; 15; 60; 150; 300; 600	0,3; 1,5; 7,5; 30; 60; 150; 300; 600; 900	3; 6; 15; 30; 60; 150; 300; 600
ток постоянный $I_{=}$, мА	0,3; 1,5; 6; 15; 60; 150; 600; 1500; 6000	0,15; 3; 15; 60; 300; 1500	—	0,3; 1,5; 6; 15; 60; 150; 600; 1500; 6000	0,03; 0,6; 0,3; 1,2; 6; 30; 120; 600; 3000
ток переменный I_{\sim} , мА	1,5; 6; 15; 60; 150; 600; 1500; 6000	3; 15; 60; 300; 1500	—	1,5; 6; 15; 60; 150; 600; 1500; 6000	0,3; 1,5; 6; 30; 150; 600; 3000
сопротивление постоянному току, кОм	3; 30; 300; 3000	3; 30; 300; 3000	3; 30; 300; 3000	0,2; 3; 30; 300; 3000	0,5; 5; 50; 500; 5000

Конечное
значение
шкал

Продолжение табл. 10-8

Характеристика прибора	Тип прибора					
	Ц56	Ц57	Ц430	Ц4312	Ц4325	Ц4341
$I_{\text{кво}}, I_{\text{эво}}, I_{\text{кэр}},$ мкА	—	—	—	—	—	60
Конечное значение шкал	—	—	—	—	—	70—350
$h_{21Э}$	—	—	—	—	—	1,0
емкость, мкФ	—	0,3	—	—	—	—
Рабочая область частот, Гц	45—10 000	45—1000	60—10 000	45—10 000	45—20 000	45—15 000
Основная приведенная погреш- ность, %, при измерении: U_{\sim} U_{\sim} $I_{\sim}, I_{\text{кво}}, I_{\text{эво}}, I_{\text{кэр}}$ I R $h_{21Э}$	$\pm 1,0$ $\pm 1,5$ $\pm 1,0$ $\pm 1,5$ $\pm 1,0$ —	$\pm 1,5$ $\pm 2,5$ $\pm 1,5$ $\pm 2,5$ $\pm 1,5$ —	$\pm 2,5$ $\pm 2,5$ — — $\pm 2,5$ —	$\pm 1,0$ $\pm 1,5$ $\pm 1,0$ $\pm 1,5$ $\pm 1,0$ —	$\pm 2,5$ $\pm 4,0$ $\pm 2,5$ $\pm 4,0$ $\pm 2,5$ —	$\pm 2,5$ $\pm 4,0$ $\pm 2,5$ $\pm 4,0$ $\pm 2,5$ $\pm 5,0$
Входное сопротивление, кОм/В, при измерении U_{\sim} U_{\sim}	3,3 —	6,7 —	8 —	0,67 0,67	20 4	20 2

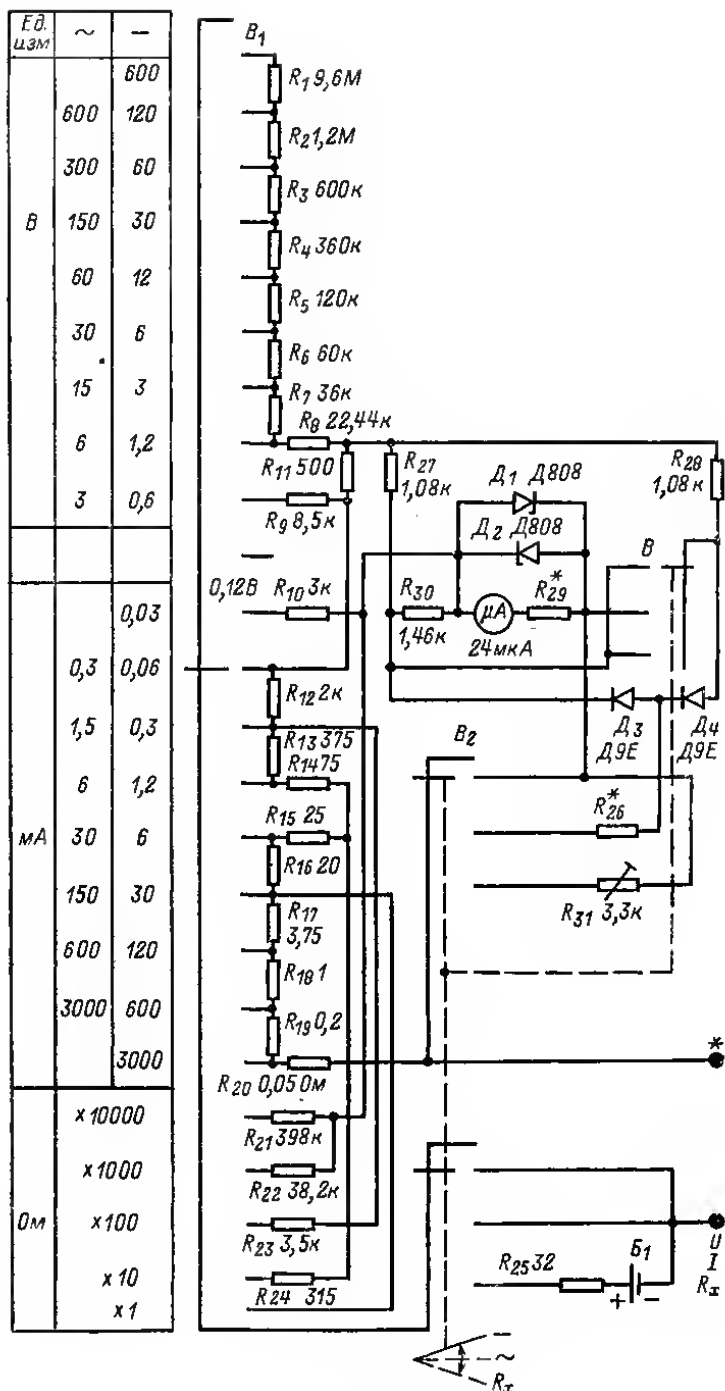


Рис. 10-23.

неи и при измерении емкостей и индуктивностей, но при этом цепь образцовый резистор R_0 — измеряемая реактивность (C_x или L_x) питается переменным напряжением от силового трансформатора прибора.

Напряжение на измеряемой реактивности пропорционально модулю комплексного сопротивления этой реактивности:

$$U_{вх} = [U_0 / (R_0 + z_x)] z_x.$$

Следовательно, шкалы измерителя магнитоэлектрической системы $И$ можно проградуировать (по образцовым конденсаторам и катушкам индуктивности) в единицах измерения C_x и L_x .

При активном сопротивлении обмотки катушки индуктивности, измеряемая индуктивность более точно может быть вычислена по формуле

$$L_x = V \left(\frac{U_{вх}}{U_0 - U_{вх}} \frac{R_0}{2\pi f} \right)^2 - \left(\frac{R_x}{2\pi f} \right)^2.$$

Характеристики некоторых комбинированных электронных измерительных приборов промышленного производства приведены в табл. 10-9.

Измеритель RLC «Спутник радиолюбителя»

В промышленный комплект измерительных приборов «Спутник радиолюбителя» входят: измеритель RLC, звуковой генератор и блок питания. Габаритные размеры каждого блока комплекта — $220 \times 140 \times 110$ мм. Схемные решения блоков весьма просты, и приборы легко могут быть повторены радиолюбителями.

Измеритель RLC собран по мостовой схеме (рис. 10-25) и питается от внешнего источника (генератора) напряжением 0,5—0,7 В, частотой 1—5 кГц. Он позволяет измерять индуктивности от 20 до 500 мГ, емкости — от 20 пФ до 0,05 мкФ и сопротивления — от 20 Ом до 500 кОм. Погрешность измерения не превышает $\pm 20\%$. Балансировка моста осуществляется потенциометром R_4 , снабженным шкалой. Искомая величина равна произведению показания по шкале потенциометров R_4 на номинал образцового элемента плеча моста. В цепь питания моста включен усилитель, выполненный на транзисторе T_1 . Он повышает чувствительность измерителя и уменьшает воздействие моста на внешний генератор, подключаемый к гнездам *Вход*.

При повторении измерителя сопротивления резисторов, емкости конденсаторов и индуктивность катушки не должны отличаться от номиналов, указанных на схеме, более чем на $\pm 5\%$.

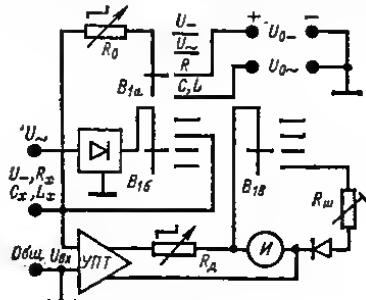


Рис. 10-24.

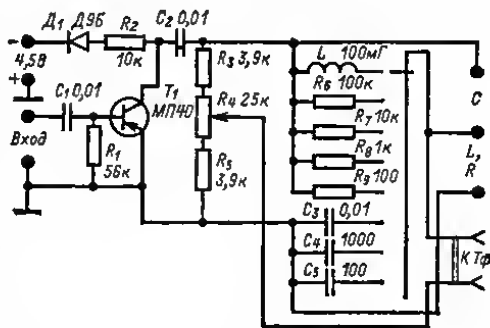


Рис. 10-25.

Таблица 10-9

Комбинированные электронные приборы (радиотестеры)

Тип прибора	Диапазон измерений	Погрешность измерения, %	Рабочая область частот	$R_{вх}$	$C_{вх}$
ВК2-17	$U_{\sim}: 1 \text{ мВ} - 1000 \text{ В}$ $R: 10 \text{ Ом} - 2 \text{ МОм}$	$\pm (0,15 + 0,05 U_{пред}/U_x)$ $\pm (0,2 + 0,05 U_{пред}/U_x)$	Постоянный ток	0,18—10,05 МОм	—
В7-15	$U_{\sim}: 30 \text{ мВ} - 1 \text{ кВ}$ $U_{\sim}: 200 \text{ мВ} - 1 \text{ кВ}$ $R: 10 \text{ Ом} - 1000 \text{ МОм}$	$\pm 2,5$ $\pm (2,5 - 10,0)$ $\pm 2,5; \pm 4,0$	Постоянный ток 20 Гц—700 МГц Постоянный ток	15 МОм 3 МОм—50 кОм —	— 4—1,8 пФ —
В7-16	$U_{\sim}: 1 - 1000 \text{ В}$ $U_{\sim}: 1 - 1000 \text{ В}$ $R: 1 \text{ кОм} - 10 \text{ МОм}$	$\pm (0,05 + 0,05 U_{пред}/U_x)$ $\pm (0,5 + 0,02 U_{пред}/U_x)$ $\pm (0,2 + 0,02 R_{пред}/R_x)$	Постоянный ток 20 Гц—100 кГц Постоянный ток	10 МОм 1 МОм —	— — —
В7-17	$U_{\sim}: 3 \text{ мВ} - 300 \text{ В}$ $U_{\sim}: 200 \text{ мВ} - 300 \text{ В}$ $R: 10 \text{ Ом} - 1000 \text{ МОм}$	$\pm (2,5 - 4)$ $\pm (4 - 25)$ $\pm 2,5$	Постоянный ток 20 Гц—1000 МГц Постоянный ток	30 МОм 75 кОм—5 МОм —	— 20 пФ; 1,5 пФ —

* U_x, R_x — значения измеряемой величины; $U_{пред}, R_{пред}$ — конечное значение диапазона показаний.

10-5. ИЗМЕРЕНИЕ ПАРАМЕТРОВ ПОЛУПРОВОДНИКОВЫХ ПРИБОРОВ

Проверка диодов

В радиолюбительских условиях испытание диодов сводится к проверке их на обрыв и к измерению прямых $I_{пр}$ и обратных $I_{обр}$ токов по схемам, приведенным на рис. 10-26. Результаты измерения зависят от приложенных к диодам напряжений (см. соответствующие таблицы § 11-4). При выборе микроамперметра и шунтирующего резистора $R_{ш}$ исходят из того, что для большинства универсальных диодов $U_{пр} = 1 \div 2$ В, $I_{пр}$ может быть от единиц до сотен миллиампер, а $I_{обр}$ — от долей до нескольких сотен микроампер. Для

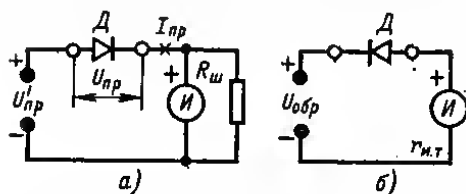


Рис. 10-26.

выпрямительных диодов $U_{пр} = 0,5 \div 1$ В, $I_{пр}$ достигает нескольких сотен миллиампер, а $I_{обр}$ — нескольких микроампер.

Для уменьшения погрешности измерения прямого и обратного токов необходимо выполнение условий

$$U'_{пр} = U_{пр} + I_{пр} r_{и.т}; \quad U_{обр} = U_{пр} + I_{обр} r_{и.т},$$

где $r_{и.т}$ — сопротивление измерителя тока.

Измерение параметров биполярных транзисторов

При проверке биполярных транзисторов радиолюбители обычно ограничиваются измерением обратного тока коллектора $I_{КБО}$ (схема измерения приведена на рис. 10-27, а) или обратного тока коллектор—эмиттер $I_{КЭО}$ или $I_{КЭР}$ (рис. 10-27, б) и одного из коэффициентов передачи тока.

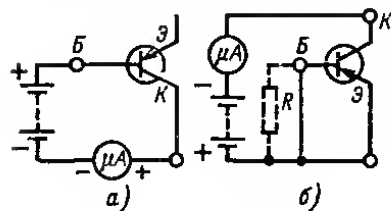


Рис. 10-27.

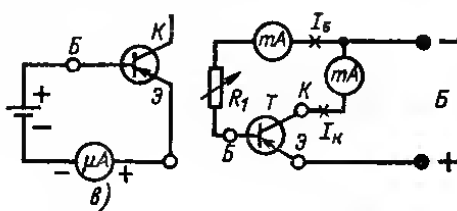


Рис. 10-28.

При измерении $I_{КЭР}$ между эмиттером и базой транзистора включают резистор R , если это предусмотрено условиями измерения. Полезно измерить обратный ток эмиттера $I_{ЭБО}$ (рис. 10-27, в). Однако при такой проверке высокочастотных и других транзисторов с диффузионным эмиттерным переходом необходимо проявлять особую осторожность: даже небольшое превышение напряжения на этом переходе над допустимым может привести к выходу транзистора из строя. Режимы измерения упомянутых параметров транзисторов приведены в таблицах § 11-5.

Коэффициент передачи тока транзистора в режиме малого сигнала $h_{21э}$ можно измерить с помощью устройства, выполненного по схеме на рис. 10-28.

Для этого, изменяя сопротивление резистора R_1 , устанавливают указанный в соответствующей таблице § 11-5 ток I_{K1} и записывают значение тока I_{B1} . Затем с помощью резистора R_1 несколько увеличивают эти токи, записывают их новые значения I_{K2} , I_{B2} и вычисляют коэффициент передачи тока по формуле

$$h_{21э} = \frac{I_{K2} - I_{K1}}{I_{B2} - I_{B1}}.$$

Для уменьшения погрешности измерения нужно брать источник тока с малым внутренним сопротивлением.

Статический коэффициент передачи тока

$$h_{21э} = \frac{I_K - I_{КБ0}}{I_B + I_{КБ0}} \approx \frac{I_K}{I_B},$$

так как обычно $I_{КБ0} \ll I_K$, $I_{КБ0} \ll I_B$.

Статический коэффициент передачи тока $h_{21э}$ можно измерить с помощью цепи по схеме рис. 10-29, где $R_1 \gg r_{БЭ}$ и $R_2 \gg r_{БЭ}$ ($r_{БЭ}$ — сопротивление участка база — эмиттер транзистора). Так как $I_B \approx U_{н.п}/R_2 = \text{const}$, то

$$h_{21э} \approx (R_2/U_{н.п}) I_K = K I_K,$$

где K — постоянный множитель; $U_{н.п}$ — напряжение источника питания.

Резистор R_2 должен иметь сопротивление

$$R_2 = h_{21э \text{ пред}} U_{н.п} / I_{\text{пред}},$$

где $I_{\text{пред}}$ — ток предельного отклонения миллиамперметра; $h_{21э \text{ пред}}$ — рассчитываемый предел измерения статического коэффициента передачи тока.

Испытатель диодов и биполярных транзисторов (рис. 10-30) позволяет измерять $I_{КБ0}$, $I_{ЭБ0}$, $I_{КЭR}$ и $h_{21э}$ биполярных транзисторов структуры $p-n-p$ и $n-p-n$, проверять их «на генерацию» на низкой частоте, а также измерять $I_{пр}$ и $I_{обр}$ диодов (при напряжении 4 В). Прибор также может служить источником низкочастотного напряжения.

При указанных в схеме номиналах элементов можно измерять неуправляемые токи транзисторов $I_{КБ0}$, $I_{ЭБ0}$, $I_{КЭR}$ и обратные токи диодов до 200 мкА, прямые токи диодов — до 20 мА и коэффициент $h_{21э}$ — до 200. Микроамперметр прибора имеет $I_{\text{пред}} = 200$ мкА, $r_{и} = 650$ Ом. При другом значении $r_{и}$ или при необходимости расширить пределы измерения $h_{21э}$ транзисторов или $I_{пр}$ диодов нужно изменить сопротивление шунтирующего резистора R_2 .

Магнитопровод трансформатора Tr_1 Ш9×10; обмотка I содержит 100 + 20 витков провода ПЭЛ 0,25; обмотка II — 1600 витков провода ПЭЛ 0,08.

Режим проверки устанавливается с помощью переключателя B_4 . Положение $\ll = \gg$ соответствует режиму постоянного тока (измерение $I_{КБ0}$, $I_{ЭБ0}$, $I_{КЭR}$ транзисторов и $I_{пр}$, $I_{обр}$ диодов), а положение $\ll \sim \gg$ при замкнутом выключателе B_5 — низкочастотному генераторному режиму.

Испытываемый диод подключают к зажимам $Э$ и $К$ в соответствующей полярности. Для измерения прямого тока диода выключатель B_3 должен быть замкнут, а при измерении обратного тока — разомкнут.

Для измерения токов $I_{КБ0}$, $I_{ЭБ0}$, $I_{КЭR}$ транзистор подключают к прибору в соответствии со схемами, изображенными на рис. 10-27. При испытании транзисторов структуры $p-n-p$ переключатели B_1 и B_2 (см. рис. 10-30) должны находиться

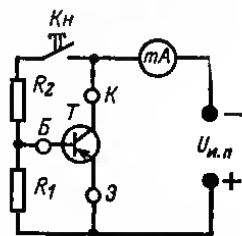


Рис. 10-29.

в нижнем (по схеме) положении, а при испытании транзисторов структуры *п-р-п* в верхнем.

Статический коэффициент передачи тока $h_{21Э}$ измеряют при подключении транзистора по схеме рис. 10-29 при замкнутом переключателе B_3 (см. рис. 10-30). При этом резистор R_3 шунтирует микроамперметр, что расширяет его предел измерения до 20 мА. Так как сопротивление резистора $R_2 = 39 \text{ кОм}$, то для всех испытываемых транзисторов $I_B \approx 0,1 \text{ мА}$ и верхняя предельная отметка шкалы измерителя соответствует значению $h_{21Э} = 200$.

Для испытания транзистора «на генерацию» на низкой частоте переключатель B_4 необходимо поставить в положение $\langle \sim \rangle$ и замкнуть выключатель B_6 (пере-

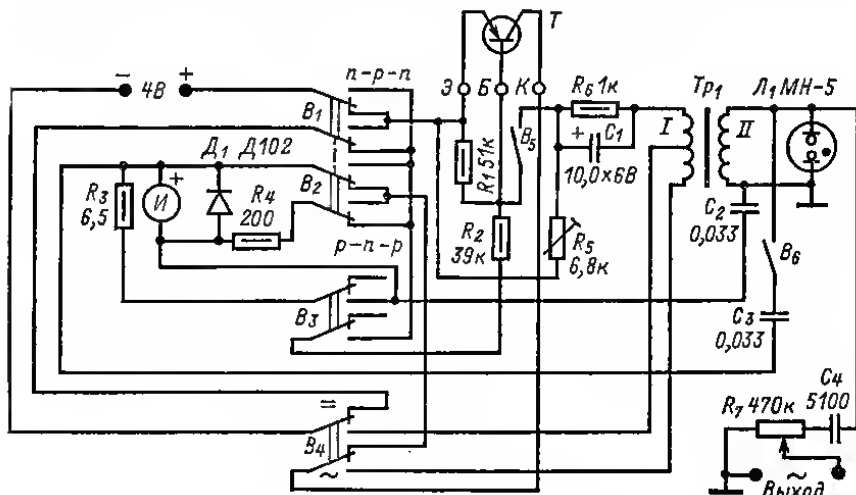


Рис. 10-30.

ключатель B_3 должен быть разомкнут). При этом образуется генератор НЧ с автотрансформаторной связью. Генерации добиваются при малом сопротивлении резистора R_5 . Индикаторами генерируемого напряжения являются неоновая лампа L_1 и микроамперметр, шунтированный диодом (при замкнутом выключателе B_6). Регулировкой сопротивления резистора R_5 можно ориентировочно оценить коллекторный ток транзистора в генераторном режиме и сравнить однотипные транзисторы по этому параметру (большее сопротивление резистора R_5 , при котором происходит срыв генерации, соответствует меньший коллекторный ток).

Для получения от прибора напряжения НЧ к нему необходимо подключить заведомо исправный транзистор со статическим коэффициентом передачи тока $h_{21Э} = 30 \div 40$. При этом на выходе можно получить богатое гармониками напряжение до 30 В (выключатель B_6 разомкнут) или близкое к синусоидальному напряжению до 15 В (выключатель B_6 замкнут).

Измерение параметров полевых транзисторов

Основными параметрами полевых транзисторов, измеряемыми в любительских условиях, являются начальный ток стока $I_{C_{нач}}$, напряжение отсечки $U_{зиотс}$ и крутизна вольт-амперной характеристики S .

Параметры полевого транзистора с *р-п* переходом и каналом *р-типа* могут быть определены с помощью установки, схема которой приведена на рис. 10-31.

При измерении параметров полевого транзистора с p - n переходом и каналом n -типа полярности источников питания $U_{и.п1}$ и $U_{и.п2}$ и измерительных приборов нужно поменять на обратные. Диапазоны показаний измерительных приборов выбираются в соответствии с ожидаемыми токами и напряжениями.

Крутизна характеристики S определяется как отношение изменения тока стока ΔI_C (мА) к вызвавшему его изменению напряжения между затвором и истоком $\Delta U_{ЗИ}$ (В):

$$S = \Delta I_C / \Delta U_{ЗИ}.$$

Крутизна S зависит от напряжения затвор — исток $U_{ЗИ}$ и имеет максимальное значение S_{\max} при $U_{ЗИ} = 0$ (при этом ток стока максимален и равен $I_{C\text{нач}}$).

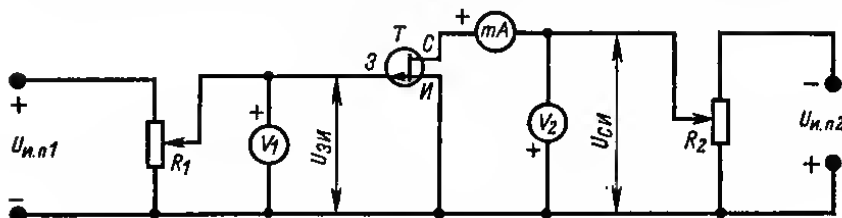


Рис. 10-31.

Напряжение затвор — исток $U_{ЗИ}$, при котором ток стока достигает наименьшего значения (близкого к нулю), называется напряжением отсечки $U_{ЗИ\text{отс}}$.

Если известны или измерены значения $I_{C\text{нач}}$ и $U_{ЗИ\text{отс}}$, то крутизну S можно также приблизительно оценить по формулам

$$S_{\max} \approx (0,4 \div 0,5) I_{C\text{нач}} \quad \text{или} \quad S \approx S_{\max} (1 - \sqrt[3]{U_{ЗИ}/U_{ЗИ\text{отс}}}),$$

где $U_{ЗИ}$, $U_{ЗИ\text{отс}}$ выражаются в вольтах, S и S_{\max} — в миллиамперах на вольт и $I_{C\text{нач}}$ — в миллиамперах.

Проверка тириستоров

В радиолюбительских условиях проверяют обычно такие параметры тиристоров (см. § 11-4), как напряжение включения $U_{вкл}$, ток закрытого тиристора $I_{зкр}$, обратное напряжение пробоя $U_{проб}$ и управляемость тиристора. Определить эти параметры можно на установке, схема которой приведена на рис. 10-32. Источник постоянного напряжения $U_{и.п}$ должен позволять изменять напряжение от нуля до значений, несколько большего напряжения $U_{вкл}$, иметь малое выходное сопротивление и быть достаточно мощным. Сопротивления резисторов R_1 и R_2 выбираются из условий

$$(U_{вкл}/I_{откр. \max}) \leq R_1 < (U_{вкл}/I_{уд});$$

$$R_2 \leq (U_{г}/I_{г.от}) - (R_{г} + R_{и}) \approx U_{г}/I_{г.от},$$

где $R_{г}$ — сопротивление участка управляющий электрод — катод тиристора; $R_{и}$ — внутреннее сопротивление источника управляющего напряжения $U_{г}$;

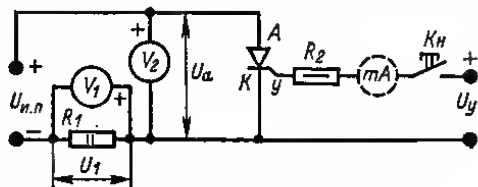


Рис. 10-32.

$I_{уд}$ — удерживающий ток тиристора; $I_{у.от}$ — отпирающий ток управляющего электрода тиристора.

В установке желательно применить электронные вольтметры с высоким входным сопротивлением (например, В7-15). Конечные значения шкал вольтметров выбирают соответственно из условий $U_1 \geq R_1 I_{зкр. макс}$ и $U_a \geq U_{вкл}$ или $U_a \geq U_{проб}$, если $U_{проб} > U_{вкл}$.

Методика проверки тиристора сводится к следующему. Вычисляют показание вольтметра V_1 , соответствующее максимально допустимому току закрытого тиристора, по формуле

$$U_{1 доп} = (I_{зкр. макс} + U_{пр. зкр макс} / R_{вх}) R_1,$$

где $U_{1 доп}$ — допустимое максимальное показание вольтметра V_1 ; $I_{зкр. макс}$ — максимально допустимый ток закрытого тиристора; $U_{пр. зкр макс}$ — максимально допустимое прямое напряжение на закрытом тиристоре) соответствующее максимально допустимому току закрытого тиристора); $R_{вх}$ — входное сопротивление вольтметра V_2 .

Затем при разомкнутой цепи управления тиристора на него подают в прямом направлении напряжение $U_a = U_{пр. зкр. макс}$. Если показание вольтметра V_1 при этом больше величины $U_{1 доп}$, тиристор бракуется. Если же показания вольтметра меньше этой величины, проверку продолжают, давая небольшие приращения напряжению U_a и записывая показания вольтметров. При достижении вольтметром V_1 показания $U_{1 доп}$ дальнейшее повышение напряжения U_a можно прекратить, записав действительное значение напряжения $U_{пр. зкр макс}$.

Часто токи закрытых тиристоров не превышают допустимого паспортного значения почти на всем участке AO (см. рис. 11-16) вольт-амперной характеристики, что позволяет определять напряжения включения тиристоров при быстром выполнении измерений. Когда напряжение U_a достигнет значения $U_{вкл}$, тиристор включится. Включение тиристора характеризуется резким снижением напряжения на нем, в связи с чем стрелка вольтметра резко уходит к нулю. После включения тиристора необходимо сразу же снизить до нуля напряжение источника $U_{и.п}$, иначе перегорит резистор R_1 и тиристор может выйти из строя. Найденное таким образом значение $U_{вкл}$ сравнивают с паспортным значением и делают заключение о пригодности использования тиристора в проектируемом устройстве.

Действительный ток закрытого тиристора может быть вычислен по формуле

$$I_{зкр} = U_1 / R_1 - U_a / R_{вх}.$$

Для проверки управляемости тиристора на него подают в прямом направлении напряжение U_a , равное напряжению, при котором будет работать тиристор в конструируемом устройстве (но не большее значения $U_{пр. зкр макс}$), и затем замыкают кнопку Kn . При исправном тиристоре показание вольтметра V_2 резко упадет (тиристор включится). После включения тиристора напряжение источника $U_{и.п}$ необходимо быстро снизить до нуля. Если же включение тиристора не произошло, несколько увеличивают отпирающее напряжение U_y или уменьшают сопротивление резистора R_2 ; включение может произойти при несколько большем токе отпирающего. Целесообразно при этом в цепь управляющего электрода тиристора включить миллиамперметр.

Обратное напряжение пробоя тиристора $U_{проб}$ определяют аналогично напряжению включения, но при обратных полярностях источника постоянного напряжения и вольтметров. Кнопка Kn при этом должна быть разомкнута.

Проверку динисторов на напряжения $U_{вкл}$ и $U_{проб}$ можно производить также на установке, схема которой представлена на рис. 10-32, по изложенной выше методике.

В описываемой установке токи закрытых тиристоров и динисторов можно измерять и непосредственно миллиамперметром с верхним пределом измерения 3—5 мА, включаемым последовательно с резистором R_1 , однако при этом ни

в коем случае нельзя допускать включения тиристоров, так как это может привести к сгоранию миллиамперметра.

При проверке тиристоров нужно быть очень внимательным и помнить, что высокое напряжение, создаваемое на тиристоре (1 кВ и выше), опасно для жизни.

Для проверки исправности тиристоров КУ202Н или КУ201Л и им подобных можно взять источник постоянного напряжения типа ИСН-1, вольтметры В7-15, резисторы $R_1 = 3 \div 5$ кОм, $R_2 = 100 \div 200$ Ом, источник управляющего напряжения $U_y = 3 \div 5$ В. Для измерения отпирающего тока можно применить миллиамперметр с верхним пределом измерения до 300 мА. При необходимости измерения отпирающего напряжения $U_{y.от}$ можно воспользоваться вольтметром V_1 .

10-6. ИЗМЕРЕНИЕ ЧАСТОТЫ И ДЛИНЫ ВОЛНЫ

Методы измерения частоты и длины волны

Конденсаторный метод. Принцип измерения частоты этим методом иллюстрируется рис. 10-33. Конденсатор C периодически подключается переключателем B к источнику напряжения $U_{и.п}$ и заряжается через него. Разряд конденсатора происходит через измеритель I магнитоэлектрической системы. Если переключение конденсатора C осуществлять с измеряемой частотой $f_{и}$ и обеспечить постоянство напряжений, до которых заряжается (U_1) и разряжается (U_2) конденсатор, то через измеритель будет протекать ток разряда, среднее значение которого

$$I_0 = C f_{и} (U_1 - U_2).$$

Этот метод использован в конденсаторном частотомере (рис. 10-34), где роль переключателя выполняет транзистор T_1 , который в отрицательные полупериоды измеряемого сигнала открыт и подключает один из конденсаторов $C_2 - C_5$ к батарее. При этом конденсатор заряжается по цепи: плюс батареи — эмиттер-коллектор транзистора — конденсатор — открытый диод D_1 — минус батареи. В течение положительного полупериода сигнала транзистор закрыт и конденсатор разряжается по цепи: левая (по схеме) обкладка конденсатора — резистор R_3 — измеритель I — открытый диод D_2 — правая обкладка конденсатора. Так как постоянные времени цепей заряда и разряда конденсатора много меньше полупериода исследуемого сигнала, среднее значение тока, протекающего через измеритель, $I_0 = C_{2-5} U f_{и}$, где U — напряжение батареи. Следовательно, показания измерителя I пропорциональны измеряемой частоте и шкала частотомера линейна. Для устранения погрешности, возникающей при изменении уровня входного сигнала, напряжение измеряемой частоты должно быть не менее 0,5 В.

В частотомере применен измеритель с током предельного отклонения 50 мкА. Диапазон измеряемых частот 0—100 кГц разбит на поддиапазоны с верхними пределами 0,1; 1; 10; 100 кГц. Для повышения точности измерения необходима предварительная калибровка прибора реостатом R_4 на предельных частотах поддиапазонов (с помощью внешнего измерительного генератора), а также использование в приборе конденсаторов с малыми отклонениями номиналов от указанных на схеме.

Гетеродинный метод. Этот метод измерения основан на сравнении измеряемой частоты $f_{и}$ с точно известной частотой образцового генератора $f_{г}$. О равенстве частот судят по нулевым биениям, т. е. по пропаданию звука в телефонендикаторе или по показаниям вольтметра — индикатора нулевых биений.

В состав гетеродинного частотомера обычно входят перестраиваемый малоомощный генератор (гетеродин), смеситель и индикатор нуле-

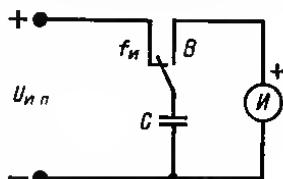


Рис. 10-33.

Осциллографический метод применяют для измерения частот синусоидальных и импульсных напряжений до 100 кГц. Для измерения частот синусоидальных сигналов удобен метод интерференционных фигур (фигур Лиссажу). Для измерения частоты необходимы образцовый генератор и осциллограф (рис. 10-36). Частоту f_0 образцового генератора Γ изменяют до получения устойчивого изображения фигуры Лиссажу (например, изображенной на рис. 10-37). Устойчивое изображение наблюдается при определенных отношениях

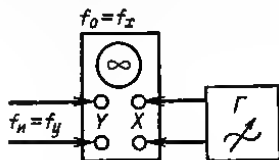


Рис. 10-36.

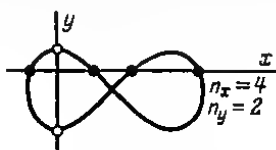


Рис. 10-37.

частот, для нахождения которых поступают следующим образом. Через изображение полученной фигуры мысленно проводят две линии — горизонтальную x и вертикальную y , не проходящие через узлы фигуры (рис. 10-37). Отношение числа пересечений фигуры с горизонтальной линией n_x к числу пересечений с вертикальной линией n_y равно отношению периодов напряжений, подаваемых на соответствующие входы осциллографа ($n_x/n_y = T_x/T_y$), или обратно отношению частот этих напряжений ($n_x/n_y = f_y/f_x$). Метод применим при отношении частот, меньшем 5.

Метод разрывов. Для измерения частоты по этому методу кроме образцового генератора Γ необходим фазорасщепитель Φ (рис. 10-38) — устройство, на выходе которого получают два напряжения одной частоты, взаимно сдвинутые по фазе на 90° . Эти напряжения обеспечивают круговую развертку луча электронно-лучевой трубки осциллографа. Осциллограф должен иметь вход, соединенный непосредственно или через усилитель с управляющим электродом электронно-лучевой трубки осциллографа (вход Z). Напряжение, частота f_n которого должна быть измерена, подают на этот вход. Измерение f_n сводится к процессу перестройки частоты образцового генератора f_0 до получения устойчивого изображения окружности (или эллипса) с чередующимися светлыми и темными дугами. Подсчитав число разрывов n , вычисляют измеряемую частоту: $f_n = n f_0$. На рис. 10-38 для примера показано изображение, соответствующее $n = 4$. Для исключения ошибки неоднозначности необходимо отрегулировать осциллограф так, чтобы под действием исследуемого импульсного напряжения происходило «гашение» изображения (часть окружности получалась темной). При измерении этим методом частоты синусоидального напряжения следует получить устойчивые фигуры с примерно равными светлыми и темными дугами.

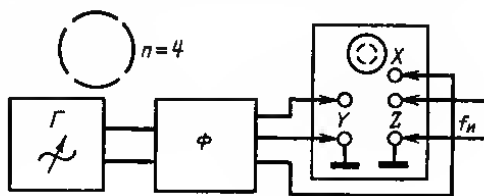


Рис. 10-38.

Метод разрывов позволяет уверенно измерять частоты в 10—15 раз больше, чем максимальная частота образцового генератора ($n \leq 10 \div 15$).

Резонансный метод. Во всем диапазоне радиочастот для измерения частоты широко используют резонансные свойства электрических цепей.

Резонансные частотомеры (или волномеры) состоят из колебательной цепи, настраиваемой в резонанс на измеряемую частоту f_n , и индикатора резонанса (рис. 10-39).

В резонансном волномере к исследуемому источнику сигналов (например, к контуру генератора) приближают катушку индуктивности колебательного контура волномера или соединяют его через конденсатор небольшой емкости C_c . Контур волномера настраивают в резонанс изменением емкости образцового конденсатора C . Момент резонанса определяют по максимальному показанию электронного вольтметра переменного тока V с большим входным сопротивлением и малой входной емкостью. При известной индуктивности катушки L частота исследуемого источника сигнала

$$f_n = 159/\sqrt{LC},$$

где f_n выражена в мегагерцах, L — в микрогенри, C — в пикофарадах.

Прибор обычно снабжают градуировочными графиками $f_n = F(C)$ или таблицами, которые изготавливают при градуировке.

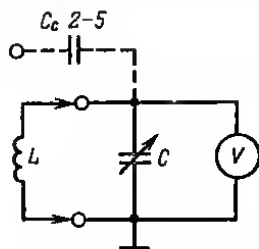


Рис. 10-39.

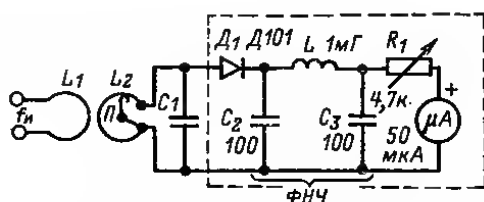


Рис. 10-40.

Резонансный волномер диапазона УКВ представлен на рис. 10-40. Индуктивность контура L_2 представляет собой кольцо или шлейф из толстого медного провода. Резонансная частота контура определяется размерами кольца и положением ползунка P , а также емкостью конденсатора C_1 . Диод D_1 , ФНЧ (C_2C_3L), резистор R_1 и микроамперметр магнитоэлектрической системы образуют индикатор резонанса; катушка L_1 — виток связи.

Возможны иные конструкции резонансного контура волномера диапазона УКВ. Например, изменение индуктивности контура можно производить введением в катушку индуктивности диамагнитного сердечника или осуществлять его перестройку переменным конденсатором малой емкости при постоянной индуктивности контура.

В диапазоне УКВ для измерения длины волны применяют также двухпроводные и коаксиальные измерительные линии, разомкнутые или короткозамкнутые на одном конце. Энергия сигнала, длина волны которого измеряется, подводится к другому концу линии.

Разомкнутая (или замкнутая) линия характеризуется тем, что в ней устоявливаются стоячие волны напряжений и тока. Расстояние между ближайшими минимумами (или максимумами) напряжения и тока равно половине ($\lambda/2$) сигнала, подведенного к линии. Места расположения этих минимумов (или максимумов) находят при помощи перемещаемых вдоль линии простейших выпрямительных вольтметров (аналогичных вольтметру, изображенному на рис. 10-40), которые имеют с измерительной линией индуктивную или емкостную связь.

Частотомеры промышленного изготовления

В промышленных частотомерах кроме перечисленных методов широко распространены электронно-счетные методы измерения частоты (ЭСЧ). Основные технические характеристики некоторых частотомеров промышленного изготовления приведены в табл. 10-10.

Таблица 10-10

Частотомеры

Тип частотомера	Диапазон измерений	Погрешность измерения	Чувствительность (напряжение или мощность на входе)	Метод измерения
ЧЗ-1	10 Гц — 200 кГц	$\pm 2\%$	4—200 В	Конденсаторный
ЧЗ-7	10 Гц — 500 кГц	$\pm 2\%$	0,1—300 В	Конденсаторный
Ч4-1	0,125—20 МГц	≤ 400 Гц	1 В	Гетеродинный
Ч4-9	20 МГц — 1 ГГц	$\pm 5 \cdot 10^{-6}$	0,05 В	Гетеродинный
Ч2-1А	0,8—12 МГц	$\pm 0,25\%$	1 мВт	Резонансный
Ч2-2	40—180 МГц	$\pm 0,5\%$	0,8 мВт	Резонансный
ЧЗ-41	10 Гц — 200 МГц	$\pm 5 \cdot 10^{-9} \pm 1$ ед. сч.	0,1—20 В	Электронно-счетный

Гетеродинные индикаторы резонанса

Гетеродинные индикаторы резонанса (ГИР) широко применяются в радиолюбительской практике при налаживании радиоприемных и радиопередающих устройств. Их можно использовать как маломощный источник сигналов, часто тоном, индикатор напряженности поля, измеритель емкостей и индуктивностей. Основой ГИР является маломощный генератор радиочастот, объединенный конструктивно с чувствительным вольтметром переменного тока или измерителем тока магнитоэлектрической системы. Иногда ГИР входят в сложные комбинированные измерительные приборы.

Схема транзисторного ГИР на диапазоне ВЧ 4—30 МГц представлена на рис. 10-41. Катушка индуктивности L_1 выполнена в каркасе \varnothing 5 мм и содержит 5 + 15 витков, намотанных в один слой проводом ПЭЛ 0,29. Внутри каркаса введен сердечник М600НН диаметром 2,8 и длиной 12 мм. Конденсатор C_1 — двухсекционный фирмы «Тесла», секции соединены параллельно. Для расширения диапазона измерений можно изготовить несколько сменных катушек индуктивности.

Наличие колебаний в контуре и их относительную амплитуду определяют простейшим вольтметром переменного тока, в который входят диод D_1 , микроамперметр μA и резистор R_1 . Вольтметр подключен к контуру через конденсатор малой емкости C_3 . Чувствительность вольтметра регулируется переменным резистором R_1 .

Измерение собственной частоты колебательного контура. Перед началом измерения замыкают цепь питания транзистора, и ГИР переводят в режим непрерывной генерации. Катушка ГИР, жестко укрепленная на его корпусе, индуктивно связана с исследуемым контуром. Изменением емкости конденсатора C_1 настраивают контур ГИР на резонансную частоту $f_{рез}$. Момент резонанса опреде-

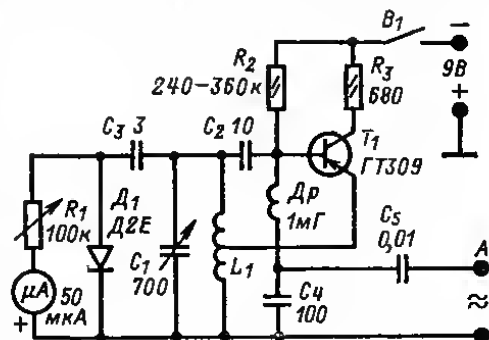


Рис. 10-41.

ляют по резкому уменьшению показаний вольтметра, вызванному отсосом энергии из контура ГИР исследуемым контуром. Для повышения точности измерений связь с контуром ГИР должна быть минимально возможной. Частота собственных колебаний исследуемого контура определяется по шкале отсчетного устройства конденсатора C_1 .

Измерение индуктивности L_x . Собирают колебательный контур из измеряемой катушки индуктивности и конденсатора известной емкости C_0 . Используя ГИР, определяют собственную частоту колебаний этого контура $f_{рез}$. Искомая индуктивность

$$L_x = 25\,300 / C_0 f_{рез}^2,$$

где L_x выражена в микрогенри, C_0 — в пикофарадах и $f_{рез}$ — в мегагерцах.

Измерение емкости C_x . Для измерения необходимо иметь катушки известных индуктивностей L_0 . Измерение производят аналогично измерению L_x , а емкость вычисляют по формуле

$$C_x = 25\,300 / L_0 f_{рез}^2.$$

Гетеродинный индикатор резонанса можно использовать как сигнал-генератор при настройке радиоприемников и телевизоров. Для получения АМ сигналов на вход А ГИР следует подать небольшое (примерно 0,5 В) напряжение от звукового генератора или низковольтного источника промышленной частоты.

Гетеродинный индикатор резонанса при выключенном коллекторном напряжении применяют также как резонансный волимер или индикатор электромагнитного поля для налаживания радиопередатчиков или его антенно-фидерных цепей.

10-7. ИЗМЕРИТЕЛЬНЫЕ ГЕНЕРАТОРЫ

Генераторы низких частот

Измерительными генераторами (ИГ) называют устройства, вырабатывающие испытательные электрические сигналы различной частоты, амплитуды и формы. В диапазоне НЧ (20 Гц — 20 кГц) наибольшее применение находят ИГ синусоидальных сигналов, которые в зависимости от типа задающего генератора подразделяются на LC- и RC-генераторы и генераторы на бипенях.

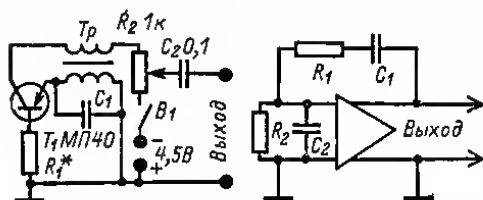


Рис. 10-42.

Рис. 10-43.

LC-генератор представляет собой самовозбуждающееся устройство с колебательным контуром, состоящим из катушки индуктивности и конденсатора. Частота собственных колебаний контура f [Гц] определяется индуктивностью L [Г] и емкостью C [мкФ]:

$$f = 159 / \sqrt{LC}.$$

Для получения НЧ сигналов необходимо использовать большие индуктивности и емкости, что затрудняет создание малогабаритного генератора, перестраиваемого в диапазоне частот. Поэтому LC-генераторы обычно выполняют на одну или несколько фиксированных частот, которые устанавливаются переключением конденсаторов контура.

Простой задающий LC-генератор низкой частоты (рис. 10-42). Частота генератора зависит от параметров трансформатора T_1 и емкости конденсатора C_1 . Форма сигнала регулируется подбором сопротивления резистора R_1 . Переменный резистор R_2 выполняет роль регулятора выходного напряжения.

RC-генераторы нашли наибольшее применение, поскольку имеют достаточно хорошую стабильность, небольшой коэффициент гармоник и просты по устройству. Основой RC-генератора является усилитель, охваченный ПОС через фазосдвигающую цепь, обеспечивающую генерацию сигнала синусоидальной формы. Установку необходимой частоты выходного сигнала осуществляют изменением сопротивлений резисторов или емкостей конденсаторов, входящих в фазосдвигающую цепь.

Частота генератора с двухкаскадным усилителем (рис. 10-43) определяется из выражения

$$f = 159 / \sqrt{R_1 R_2 C_1 C_2},$$

где f выражена в кГц; R_1, R_2 — в киломах; $C_1 C_2$ — в микрофарадах.

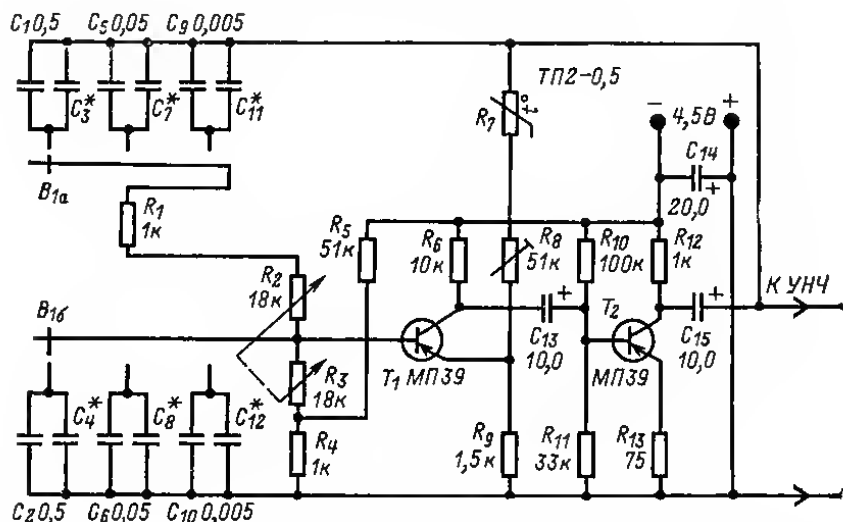


Рис. 10-44.

Если сопротивления резисторов и емкости конденсаторов фазосдвигающей цепи равны между собой, т. е. если $R_1 = R_2 = R$ и $C_1 = C_2 = C$, то

$$f = 159 / RC.$$

В этом случае коэффициент усиления усилителя по напряжению при разомкнутой цепи ПОС должен быть равен 3. Поскольку двухкаскадные резисторно-конденсаторные усилители имеют значительно большее усиление, представляется возможным введением в такой генератор ООС (автоматически регулируемой), что способствует получению сигналов более стабильных по амплитуде и лучших по форме.

RC-генератор с диапазоном частот 20 Гц — 20 кГц (рис. 10-44). Терморезистор R_7 и резисторы R_8, R_9 образуют цепь ООС, которая автоматически поддерживает выходное напряжение генератора на выбранном уровне. Синусоидальная форма этого напряжения устанавливается подстроечным резистором R_6 . Емкости конденсаторов $C_3^*, C_4^*, C_7^*, C_8^*, C_{11}^*, C_{12}^*$ подбирают при подгонке поддиапазонов частот генератора к единой для всех поддиапазонов шкале прибора. Шкалу (или указатель шкалы) укрепляют на оси спаренного перемещенного резистора R_2, R_3 , которым производится плавная перестройка частоты генерируемых сигналов.

Однокаскадный RC -генератор с параметрами, указанными на рис. 10-45, вырабатывает сигналы частотой 1000 Гц. Изменение частоты в пределах 850—1100 Гц производится подстроечным резистором R_4 . Резистор R_6 подбирают при настройке генератора. Его сопротивление зависит от типа примененного трансформатора Tr . Усилитель однокаскадного генератора должен иметь коэффициент усиления по напряжению $K \geq 19$ при показанной четырехзвенной фазосдвигающей цепи и $K \geq 29$ при аналогичной трехзвенной цепи.

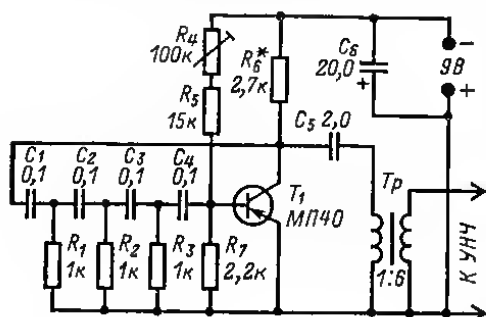


Рис. 10-45.

Если $R_1 = R_2 = R_3 = R_7 = R$ и $C_1 = C_2 = C_3 = C_4 = C$ частота генерируемых сигналов в генераторе с трехзвенной цепью

$$f \approx 65/RC,$$

а в генераторе с четырехзвенной цепью

$$f \approx 133/RC,$$

где f выражена в герцах, R — в киломах и C — в микрофарадах.

Измерительный генератор комплекта измерительных приборов «Спутник радиолюбителя» (рис. 10-46). Генератор выполнен по схеме, аналогичной рис. 10-43, и дает восемь фиксированных частот: 100, 400 Гц; 1; 3; 5; 8; 10 и 15 кГц с погрешностью, не превышающей $\pm 20\%$. Выходные напряжения: регу-

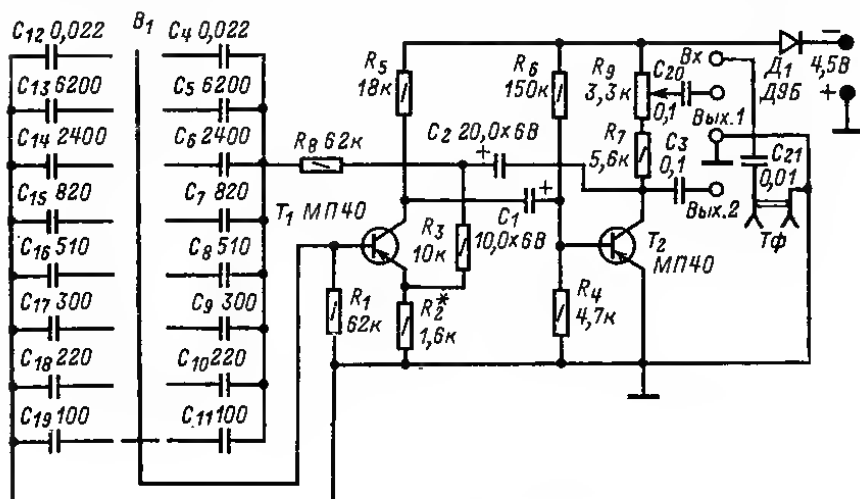


Рис. 10-46.

лируемое на зажимах *Вых.1* не более 0,25 В (при нагрузке 3200 Ом); нерегулируемое на зажимах *Вых.2* 0,7 В. Гнезда *Вх* и *Тф* позволяют использовать генератор как пробник при проверке целостности электрических цепей. При необходимости иметь плавную перестройку частоты резисторы R_8 и R_1 нужно заменить спаренным переменным резистором (см. рис. 10-44).

Измерительный ГНЧ на биениях (рис. 10-47). Сигнал НЧ в этом генераторе получают путем выделения смесителем и ФНЧ сигнала разностной частоты двух близких по частоте (около 200 кГц) ВЧ генераторов F_1 и F_2 . Основные достоинства генераторов на биениях — высокая стабильность частоты сигнала к возможности очень тонкой ее перестройки.

Генераторы высоких частот

Измерительные ВЧ генераторы являются маломощными источниками незатухающих и модулируемых электрических сигналов. Задающие генераторы этих приборов выполняют с колебательными LC-контурами. В приборах диапазона УКВ в качестве колебательных контуров применяют отрезки длинных линий (см. § 1-2). Погрешность по частоте измерительных генераторов достигает $\pm 1-2\%$.

Простой ГВЧ на транзисторах (рис. 10-48). Генератор может работать в режиме незатухающих колебаний (выключатель B_2 разомкнут) или с амплитудной модуляцией (выключатель B_2 замкнут). Частота сигнала ВЧ определяется параметрами элементов колебательных контуров, а частота модулирующего напряжения (обычно 400 или 1000 Гц) — параметрами трансформатора Tr и конденсатора C_3 .

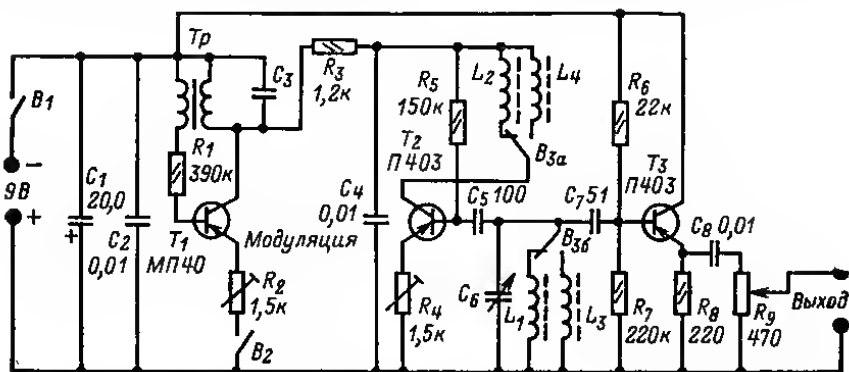


Рис. 10-48.

Генераторы ВЧ, стабилизированные кварцами, более стабильны по частоте. Частота колебаний таких генераторов в основном определяется параметрами применяемых кварцевых резонаторов. С целью получения сетки фиксированных частот нередко используют гармоники основной частоты резонатора. Кварцевые резонаторы широко применяют в кварцевых калибраторах (КК) или опорных кварцевых генераторах, т. е. в приборах, предназначенных для проверки градуировки радиопередатчиков и радиоприемных устройств в ряде опорных точек их шкалы.

Для проверки и градуировки шкалы частот радиопередатчиков используют метод нулевых биений. При проверке радиоприемников кварцевый калибратор используют как генератор сигналов фиксированной частоты. Если проверяемый приемник не имеет второго, телеграфного гетеродина, о настройке судят по элек-

троинно-световому индикатору или предусматривают в КК амплитудную модуляцию ВЧ сигналов. Структурная схема кварцевого калибратора дана на рис. 10-49.

Простой кварцевый калибратор (рис. 10-50). Генератор на транзисторе T_1 с кварцевым резонатором $Kв$ создает колебания с частотой 100 кГц. Колебательный контур в цепи коллектора

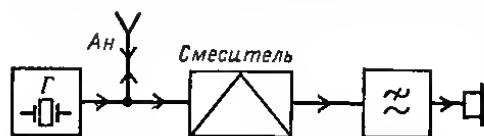


Рис. 10-49.

настраивают на эту частоту сердечником катушки L_2 . Искажение формы колебаний для получения большого числа (до 60—80) гармоник осуществляют подбором сопротивления резистора R_1 . Роль смесителя выполняет диод D_1 . На транзисторе T_2 выполнен усилитель напряжения биеений.

Зажим (или коаксиальное гнездо) $Ан$ служит для подключения элемента связи КК с проверяемым радиопередатчиком или радиоприемником. Для повышения точности измерения связь кварцевого калибратора с проверяемым передатчиком должна быть минимальной.

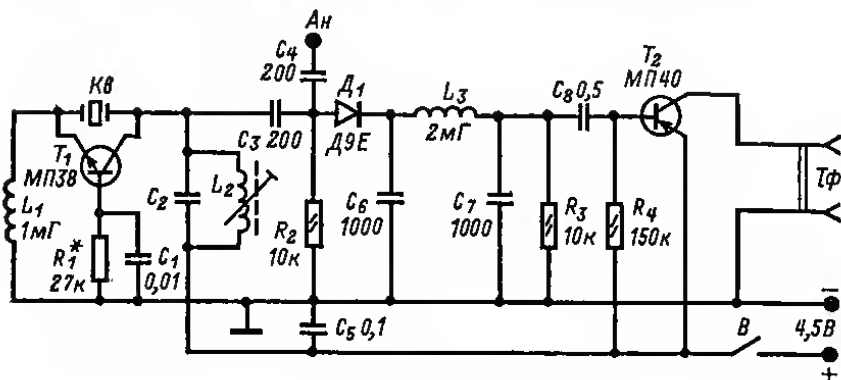


Рис. 10-50.

Основные технические характеристики некоторых измерительных генераторов синусоидальных сигналов и кварцевых калибраторов промышленного изготовления приведены в табл. 10-11.

Генератор полос для настройки телевизоров

Качество работы телевизионного приемника в значительной мере определяется нелинейностью разверток приемника по горизонтали и вертикали. Для определения коэффициента нелинейности разверток может быть использована испытательная таблица ТИТ-0249, которая передается телевизионными передатчиками перед началом работы студий телевидения. Для определения этих коэффициентов следует измерить стороны прямоугольников таблицы Б2 и Б7 по горизонтали (размеры Γ) и Б2, Д2 по вертикали (размеры B), а затем произвести вычисления по формулам

$$p_{\Gamma} = 200 (\Gamma_{\max} - \Gamma_{\min}) / (\Gamma_{\max} + \Gamma_{\min});$$

$$p_B = 200 (B_{\max} - B_{\min}) / (B_{\max} + B_{\min}),$$

где p_{Γ} и p_B — коэффициенты нелинейности разверток соответственно по горизонтали и вертикали, выраженные в процентах.

Таблица 10-11

Измерительные генераторы и кварцевые калибраторы

Тип прибора	Диапазон частот	Среднеквадратическое значение выходного напряжения или мощность	Основная погрешность по частоте	Тип задающего генератора
ГЗ-104 *	20 Гц—40 кГц	1,5 Вт	$\pm (0,01f + 2)$ Гц	На биениях
ГЗ-105 **	10 Гц—2 МГц	1 В	$\pm 5 \cdot 10^{-7}f$	Кварцевый
ГЗ-106 ***	20 Гц—200 кГц	5 В	$\pm (0,03f + 0,3)$ Гц	RC
Г4-102	0,1—50 МГц	0,5 В	$\pm (250 \cdot 10^{-6}f + 50)$ Гц	LC
Г4-107	12,5—400 МГц	1 В	$\pm 0,01f$	LC
Ч2-5	0,1; 1; 2,5; 10; 100 кГц; 1 МГц	1 В	$\pm 5 \cdot 10^{-7}f$	Кварцевый
Ч4-1	0,125—20 МГц (0,125 н МГц)	—	$\pm 0,02\%$	Кварцевый калибратор

- * Коэффициент гармоник не более 1,5%.
 ** Коэффициент гармоник не более 2%.
 *** Коэффициент гармоник не более 1%.

Однако из-за кратковременности передачи таблицы использование ее для настройки телевизора не всегда возможно. Поэтому для подобных целей целесообразно изготовить генератор полос, т. е. генератор прямоугольных видео- или радиопульсов, частота следования которых в целое число раз (n) выше частоты

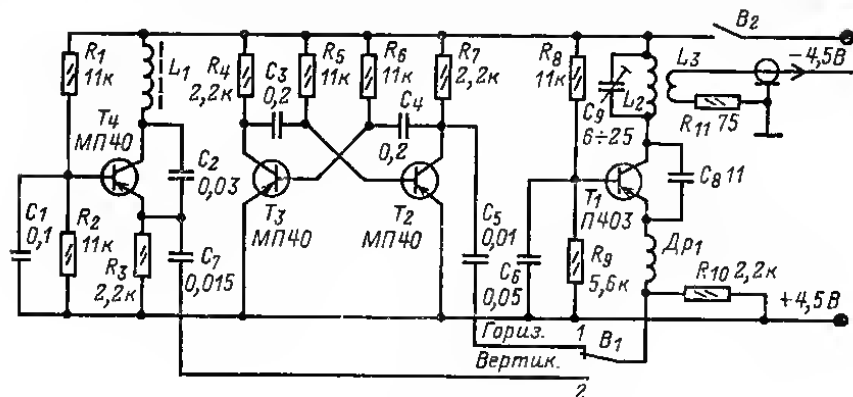


Рис. 10-51.

строчной (для генератора вертикальных полос) или кадровой (для генератора горизонтальных полос) развертки. Выход генератора видеопульсов подключают ко входу видеосуслителя, а выход генератора радиопульсов — к входу настраиваемого телевизора. Таким образом, в конечном счете испытательные сигналы поступают на входы генераторов строчной и кадровой разверток и на модулирующий электрод (или катод) электрононо-лучевой трубки, вызывая на ее экране чередующиеся светлые и темные полосы. При скважности импульсов,

равной 2, на экране кинескопа возникают светлые и темные полосы одинаковой толщины (при большой скважности импульсов светлые или темные полосы могут превращаться в линии). Синхронизацию частоты строчного и кадрового генераторов осуществляют ручками *Частота строк* и *Частота кадров* по импульсам генератора полос. При устойчивой синхронизации на экране телевизора должно наблюдаться n светлых (или темных) полос (или линий).

Простой транзисторный генератор полос (рис. 10-51) содержит генератор на транзисторе T_1 , работающий на несущей частоте сигнала изображения одного из телевизионных каналов; генератор-модулятор горизонтальных полос, работающий на частоте 400 Гц (симметричный мультивибратор на транзисторах T_2 и T_3); генератор-модулятор вертикальных полос, работающий на частоте 156 кГц (LC-генератор на транзисторе T_4).

Выход прибора соединяют с антенным гнездом телевизора отрезком коаксиального кабеля. При этом на вход телевизора поступают радиопульсы, несущая частота которых, определяемая параметрами элементов контура C_3L_2 , соответствует частоте сигнала изображения одного из телевизионных каналов; телевизор должен быть включен на этом канале.

Переключатель генератора полос B_1 устанавливают в положение *Гориз.* и ручкой телевизора *Частота кадров* добиваются устойчивого изображения восьми горизонтальных полос ($n = 8$; $f_{\text{кадр}} = 50$ Гц). При линейной кадровой развертке расстояние между полосами должно быть одинаковым. Для проверки линейности по строкам переключатель B_1 переводят в положение *Вертик.* и ручкой телевизора *Частота строк* добиваются устойчивого изображения десяти вертикальных полос ($n = 10$; $f_{\text{стр}} = 15,6$ кГц). При линейности строчной развертки расстояние между соседними полосами должно быть одинаковым.

При наличии измерительного генератора УКВ диапазона (например, Г4-17) и генератора ГНЧ с диапазоном до 200 кГц (например, ГЗ-33) может быть создан генератор полос, аналогичный изображенному на рис. 10-51. Для этого генератор УКВ переводят в режим внешней амплитудной (или импульсной) модуляции с несущей, равной частоте сигнала изображения одного из телевизионных каналов, а в качестве внешнего модулятора применяют ГНЧ. Частоту модулирующего напряжения выбирают из условия $f_m = n f_p$, где f_p — частота развертки телевизора (по горизонтали или вертикали); n — желаемое число темных (светлых) полос по горизонтали или вертикали соответственно.



ОСНОВЫ КОНСТРУИРОВАНИЯ И МОНТАЖ РЭА

РАЗДЕЛ

11

СОДЕРЖАНИЕ

11-1. Компоновка элементов РЭА	513
Предварительный анализ работы устройства (513). Группировка элементов и компоновочная модель (514). Выбор типа электромагнитных соединений (517). Особенности компоновки органов управления и индикаторов (518).	
11-2. Приемы выполнения компоновочных работ	519
Графическая компоновка (519). Аппликационная и модельная компоновка (519). Натурная компоновка (519).	
11-3. Конструирование печатных плат	530
11-4. Простейшие конструкторские расчеты	531
Расчет установочных параметров элементов (531). Оценка тепловых режимов (532). Расчет радиаторов для полупроводниковых приборов (533). Конструкции радиаторов (533). Конструкции уплотнений (534). Оценка паразитных связей. Конструкции экранов (534). Примеры конструкторских расчетов (536).	
11-5. Электромонтажные соединения и монтаж элементов	536
Области использования различных электромагнитных соединений (536). Проволочный монтаж (537). Печатный монтаж (539). Монтаж элементов РЭА (540).	
11-6. Элементы конструкций	541
Футляры и кожухи (541). Декоративные покрытия (542). Шкафы и шкафы для устройств (543).	

11-1. КОМПОНОВКА ЭЛЕМЕНТОВ РЭА

Предварительный анализ работы устройства

Принципиальная электрическая схема дает представление только о принципе работы устройства, но не о его конструкции. Множество же сложных взаимных связей между элементами, определяемых размещением их в пространстве или на плоскости, показать на принципиальной схеме нельзя. Размещение элементов принято называть компоновкой (от латинского *componere* — складывать).

Наиболее распространенной ошибкой начинающего радиолюбителя-конструктора является то, что при компоновке элементов он стремится получить как можно меньшие габариты устройства, пренебрегает возможными паразитными взаимосвязями между элементами различных каскадов, располагая элементы без учета принципа их работы. Чтобы не допустить таких ошибок, необходимо прежде всего тщательно рассмотреть возможные варианты компоновки элементов.

Наиболее трудно выполнить компоновку усилителей (особенно высокочастотных), проще всего — источников питания. При этом необходимо помнить следующее:

1. Компоновка усилителя тем сложнее, чем выше его коэффициент усиления и рабочая частота, чем шире полоса частот, чем больше в нем каскадов и диапазонов.

2. Компоновка генератора (гетеродина приемника, измерительного генератора, передатчика и т. п.) тем сложнее, чем выше частота, на которой он работает, чем больше число частотных поддиапазонов, чем выше требуемая стабильность частоты и мощность.

3. Компоновка устройств питания достаточно проста для транзисторной аппаратуры. Для ламповой аппаратуры она тем сложнее, чем выше должна быть стабильность выходных напряжений или токов, чем больше напряжение или ток нагрузки, чем больше число выходов. Изменение компоновки (перекомпоновка) источников питания почти не сказывается на их работе, в генераторах заметна неудачная компоновка, а в усилителях может оказаться причиной полного нарушения их нормальной работы. Часто причинами таких нарушений в УВЧ может быть всего лишь некоторое увеличение длины проводника, его недостаточная экранировка и другие незначительные, на первый взгляд, изменения в компоновке элементов.

При компоновке элементов нового или перекомпоновке элементов проверенного в работе устройства (прибора) необходимо проанализировать задачу в такой последовательности:

1. Исходя из назначения устройства (усилитель, генератор, источник питания), оценить ожидаемую сложность компоновки элементов.

2. Продумать необходимость применения экранов и развязывающих фильтров между каскадами и предусмотреть место для их установки.

3. Оценить особенности монтажа элементов и регулировки устройства как по частям, так и в целом, обеспечивающих нормальную эксплуатацию устройства.

4. Предусмотреть все механические крепления и места под винты и гайки, заклепки и т. д.

5. Выполнить эскиз компоновки элементов устройства с органами управления и индикаторами.

На основе такого анализа получится несколько эскизных вариантов компоновки элементов и конструкции в целом, которые позволят наметить пути рационального конструирования и избежать многих ошибок.

Группировка элементов и компоновочная модель

После того как определены основные показатели намеченной к конструированию РЭА и разработана или выбрана ее принципиальная схема, надо продумать: целесообразно ли выполнить устройство на одной монтажной панели или разделить РЭА на блоки, функциональные части, функциональные группы.

Отметим особенности компоновки РВ и ТВ приемников, поскольку они являются наиболее распространенными объектами радиолобительского творчества.

Современное стационарное устройство для приема радиовещательных передач обычно состоит из следующих функциональных частей: настроечного блока, в состав которого входят преобразователи частоты, УПЧ с системой АРУ, детекторы, а при необходимости еще и УВЧ (см. разд. 2); УНЧ (см. § 4-2); блок питания (трансформатор, выпрямитель, сглаживающий фильтр, стабилизатор — см. разд. 9). Каскады предварительного усиления УНЧ нередко выделяют в самостоятельный конструктивный узел.

В случае стереофонического устройства добавляется стереодекодер и второй УНЧ, причем оба УНЧ бывают целесообразным компоновать в единую конструкцию вместе с коммутатором видов работы. Все перечисленные части вместе с устройством для проигрывания грампластинок, если конструируется радиолы, размещают в общем футляре. Головки громкоговорителей стереофонической системы располагают в двух отдельных футлярах (см. § 4-5). В последнее время намечается тенденция выполнять в отдельном футляре и громкоговоритель монофонического радиоприемника.

Если конструируется магнитола или магнитофон при имеющемся радиоприемном устройстве, целесообразно предусмотреть использование последних каскадов УНЧ приемника и громкоговорителя (громкоговорителей) также для воспроизведения записей с магнитной ленты.

Высоочастотные части и УНЧ переносных радиовещательных приемников и приемников для радиоспорта обычно компонуют вместе.

Для телевизионного приемника (см. разд. 3) компонуют отдельно блонии УПЧИ, УПЧЗ, усилителя видеосигналов и детекторов; блок разверток и синхронизации; УНЧ, блон пита-

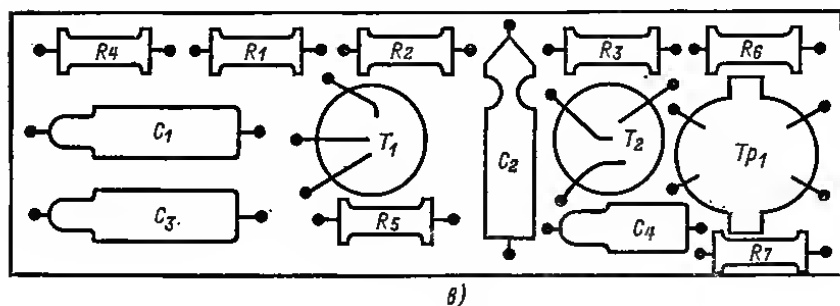
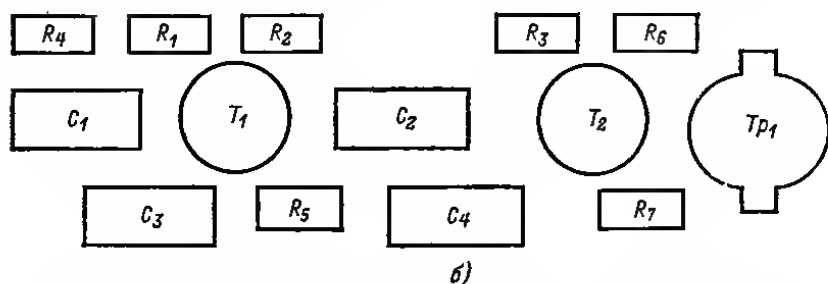
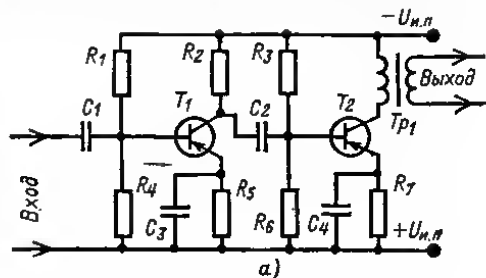


Рис. 11-1.

ния, а для цветного телевизора, кроме того, блон цветности. Заниматься конструированием и изготовлением селекторов телевизионных каналов в настоящее время нецелесообразно, так как это очень трудоская работа, а они имеются в продаже и по сравнению с общей стоимостью телевизора цена их невелика.

Компоновку элементов РЭА или ее частей и блонев реномендуется выполнять в такой последовательности: перечертить принципиальную схему устройства (блока, функциональной части, функциональной группы) с учетом рациональной компоновки, сгруппировать пассивные элементы вокруг соответствующих активных элементов (транзисторов, электронных ламп), учитывая их особые компоновочные характеристики (например, расположение только верти-

кальное или горизонтальное, только сверху или только снизу платы и т. д.), и, наконец, составить окончательный вариант принципиальной схемы устройства (блока, функциональной части) для компоновки.

На рис. 11-1, а показана схема двухкаскадного УНЧ на транзисторах, в том виде, как ее обычно вычерчивают. На ее основе нетрудно сгруппировать элементы, составив схему их группировки (рис. 11-1, б). С учетом компоновочных характе-

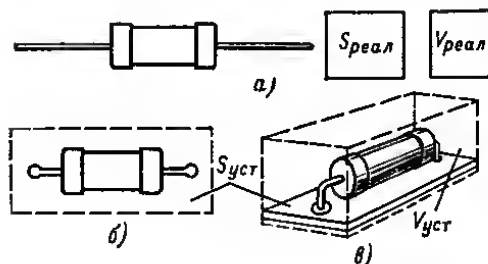


Рис. 11-2.

ристик элементов, учитывая их установку в РЭА, и возможного введения развязывающих фильтров можно составить компоновочный эскиз (рис. 11-1, в), который и послужит основой для разработки конструкции устройства в целом.

Из компоновочного эскиза видно, что между размерами элементов и размерами монтажной платы (или устройства) существует заметная разница. Увеличение размеров РЭА по сравнению с размерами составляющих ее элементов зависит

от многих причин, главнейшими из которых являются электрические, магнитные и тепловые поля вокруг работающих элементов, которые могут быть причиной паразитных связей, нарушающих нормальную работу устройства, и необходимость дополнительного пространства в конструкции для механических и электрических соединений элементов, для размещения органов управления и индикаторов (осей и ручек управления, шкал, индикаторных лампочек). Поэтому для компоновки следует использовать не геометрические модели элементов, размеры которых равны размерам элементов, а модели в виде их установочных объемов или площадей.

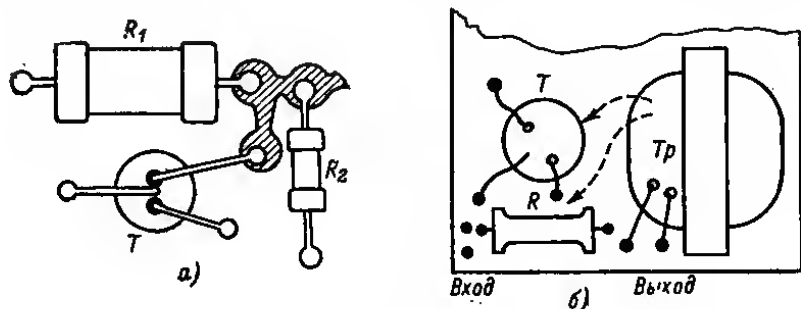


Рис. 11-3.

На рис. 11-2, а показан резистор, а рядом с ним в виде прямоугольников его реальные площадь $S_{\text{реал}}$ и объем $V_{\text{реал}}$. Рассчитанные с учетом требований монтажа и нагрева резистора установочная площадь (рис. 11-2, б) и установочный объем $V_{\text{уст}}$ (рис. 11-2, в) оказываются значительно большими. Если этого не учесть при компоновке элементов, то их нормальная работа может нарушиться. Например, размещение резистора МЛТ-2 (R_1 на рис. 11-3, а) рядом с резистором ВС-0,125 (R_2) и транзистором T создает условия для сильного перегрева последних, а это может стать причиной нарушения нормальной работы устройства и даже выхода транзистора T и резистора R_2 из строя.

Нельзя также располагать рядом элементы входных и выходных цепей. Так, если в усилителе по схеме рис. 11-1 на плате рядом окажутся трансформатор Tr с резистором R первого каскада, это может привести к самовозбуждению усилителя, устранить которое будет трудно.

Если радиолюбитель-конструктор уже имеет опыт по сборке и налаживанию аппаратуры, то приближенно установочные площади или объемы элементов можно определить, разделив соответственно общую площадь печатной платы или занимаемый ею объем на число элементов ранее выполненных им конструкций. Такие данные послужат хорошей основой для обоснованных компоновочных расчетов новых конструкций.

Выбор типа электромонтажных соединений

В радиолюбительской практике наиболее широко используются печатный, проволочный навесной и проволочный жгутовый монтаж.

Печатный монтаж можно использовать во всех радиолюбительских конструкциях, кроме мощных каскадов передатчиков и блоков развертки телевизоров и осциллографов. Преимущества печатного монтажа — сравнительно малый объем и жесткая фиксация мест соединений — гарантируют хорошую повторяемость параметров и качество работы конструкций, собранных на одинаковых печатных платах. Однако из-за того, что при печатном монтаже элементы имеют одно общее основание (рис. 11-4, а), значительного выигрыша в размерах конструкции получить не удастся.

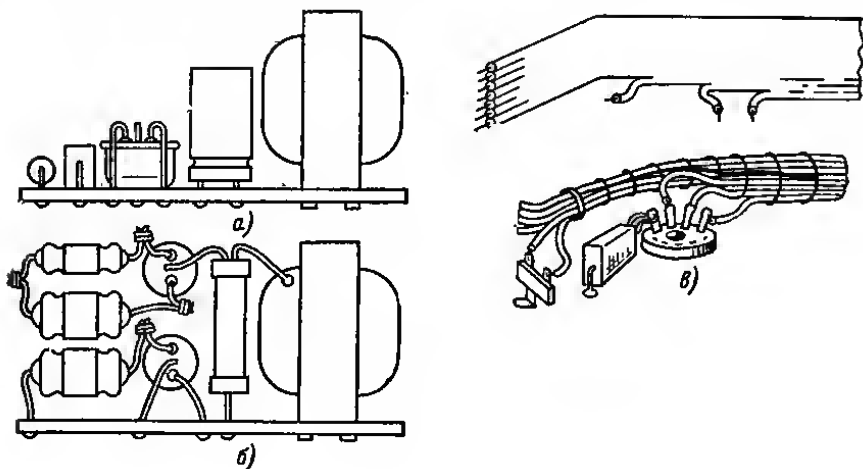


Рис. 11-4.

Проволочный навесной монтаж позволяет получить трехмерную (объемную) конструкцию соединений, что дает возможность уменьшить габариты РЭА в целом, однако он весьма сложен в исполнении (особенно при очень плотной компоновке). Такой монтаж целесообразно применять в каскадах передатчиков, телевизоров и осциллографов, где элементы работают под напряжением более 1 кВ. Характерные варианты этих монтажных соединений показаны на рис. 11-4, б.

Проволочный жгутовый монтаж с использованием одно- или многожильных проволочных жгутов (рис. 11-4, в) применяют для межблочных соединений и в блоках питания, где влияние паразитных связей между различными проводниками на работу устройства незначительно.

Особенности компоновки органов управления и индикаторов

Рациональная компоновка элементов и учет влияния монтажных соединений позволяют решить только часть задачи конструирования. РЭА в целом обязательно имеет органы управления и индикаторные устройства, которые определяют «внешнюю компоновку». При решении компоновочных задач необходимо учитывать правила «внешней компоновки», ибо как бы хорошо ни были скомпонованы элементы, но если шкала расположена с одной стороны приемника (например, спереди), а ручка настройки — с другой (например, сзади), то работать с таким аппаратом будет неудобно и трудно.

Основные правила рациональной внешней компоновки:

1. Органы управления РЭА (переключатели, ручки настройки и регулировки) и связанные с ними электрически или механически индикаторы (например, шкалы) должны иметь такое относительное расположение, чтобы при управлении устройством руки оператора не загромождали индикаторы. Исходя из этого соображения ручку настройки радиоприемника располагают, как правило, правее шкалы или же под ней.

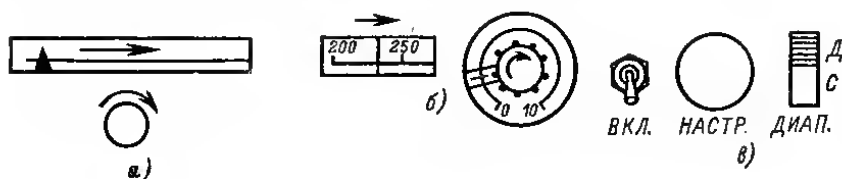


Рис. 11-5.

Регулятор громкости целесообразно установить слева; при этом, настраиваясь на частоту передающей радиостанции правой рукой, можно одновременно устанавливать желательный уровень громкости левой рукой. Это особенно удобно в приемниках, используемых для радиоспорта и для связи.

Однако в малогабаритных (карманных) радиоприемниках регулятор громкости целесообразнее расположить вместе с ручкой настройки на правой боковой стенке корпуса, тогда этими органами управления будет удобно оперировать, взяв приемник левой рукой.

Местоположение остальных органов управления приемником, которыми приходится пользоваться относительно редко (переключатели диапазонов, регуляторы тембра и др.) имеет меньшее значение.

На передней стенке телевизионного приемника, под экраном или справа от него, располагают переключатель селектора телевизионных каналов, ручки регуляторов яркости изображения и громкости звуковоспроизведения, регуляторы цветовой насыщенности (в телевизоре с цветным изображением), а также ручку подстройки частоты гетеродина, если таковая не обеспечивается автоматически. Поскольку остальными органами управления — регулятором размера го вертикали, ручками переменных резисторов установки частоты строк и частоты кадров — приходится пользоваться не часто, их размещают сзади. Кстати, это позволяет улучшить конструкцию телевизора в эстетическом отношении.

2. Наиболее рациональные конструкции шкал — круглые и линейные горизонтальные (линейные вертикальные дают меньшую точность отсчета показаний).

3. Вращение ручек управления должно соответствовать направлению движения стрелки прибора или указателя настройки (рис. 11-5, а).

4. «Нуль» шкалы должен быть слева или внизу, увеличение показаний на шкале должно происходить по часовой стрелке или слева направо (рис. 11-5, б).

5. Для разных операций управления (включение, настройка, переключение и т. п.) желательно использовать разные по характеру движения регуляторы (рис. 11-5, в).

6. Для устройств точной настройки следует применять ручки диаметром 40—80 мм, для вспомогательных — не менее 10 мм.

11-2. ПРИЕМЫ ВЫПОЛНЕНИЯ КОМПОНОВОЧНЫХ РАБОТ

Графическая компоновка

Графическую компоновку обычно выполняют на масштабно-координатной (миллиметровой) бумаге простым или цветными карандашами. Это очень удобно при составлении эскизов монтажных соединений и при самом монтаже. В последнем случае на специально перечерченной схеме цветным карандашом отмечают уже припаянные элементы и проводники, что позволяет практически полностью избежать ошибок при выполнении монтажных работ.

Аппликационная и модельная компоновка

В радиолюбительской практике целесообразна аппликационная компоновка. Аппликации наиболее распространенных элементов приведены на рис. 11-6 (в масштабе 1 : 1).

Выбрав примерные размеры монтажной платы и вычертив ее контуры на листе миллиметровой или чертежной бумаги в масштабе имеющихся аппликаций, можно приступать к компоновке, раскладывая аппликации в соответствии с выбранной группировкой элементов (см. рис. 11-1). Так как размеры аппликаций соответствуют установочным размерам элементов, то их допускается располагать вплотную друг к другу. При печатном монтаже монтажные точки для выводов элементов должны располагаться в узлах координатной сетки с шагом 2,5 мм. Это особенно важно при компоновке устройств с применением интегральных микросхем, выводы которых часто расположены именно на таком расстоянии друг от друга. Добившись требуемого расположения элементов, аппликации закрепляют резиновым клеем (он прозрачен и позволяет использовать одну и ту же аппликацию несколько раз). Затем на полученный компоновочный макет накладывают лист кальки и переносят на него контуры элементов и контактные площадки. Наложив на полученный эскиз второй лист кальки или отогнув часть первого листа, переносят на него все контактные площадки. На обратной стороне второго листа изображение контактных площадок и деталей будет видно как бы с другой стороны платы (рис. 11-7). На этом листе цветным карандашом или фломастером чертят соединительные проводники, т. е. составляют схему соединений. Таким же способом можно выполнить и компоновку органов управления и индикаторных устройств. Применение кальки значительно упрощает компоновку, так как дает возможность видеть сразу обе стороны монтажной платы, а это позволяет легко осуществить (при необходимости) перекомпоновку деталей.

Модельная компоновка наиболее наглядна, но и наиболее сложна. Для нее требуются модели элементов, изготовить которые в радиолюбительских условиях затруднительно. Поэтому модели целесообразно использовать только для приблизительной компоновки крупных элементов устройства в целом (приемника, радиолы и т. п.). Модели крупных элементов можно склеить из бумаги или выпилить из пенопласта.

Натурная компоновка

Натурную компоновку радиолюбитель-конструктор выполняет обычно в виде макета, с помощью которого проверяется работоспособность устройства (прибора). При переходе от макета к окончательной конструкции необходимо соблюдать следующие правила:

1. Макет должен иметь примерно такие же размеры и форму, что и окончательный вариант конструкции.

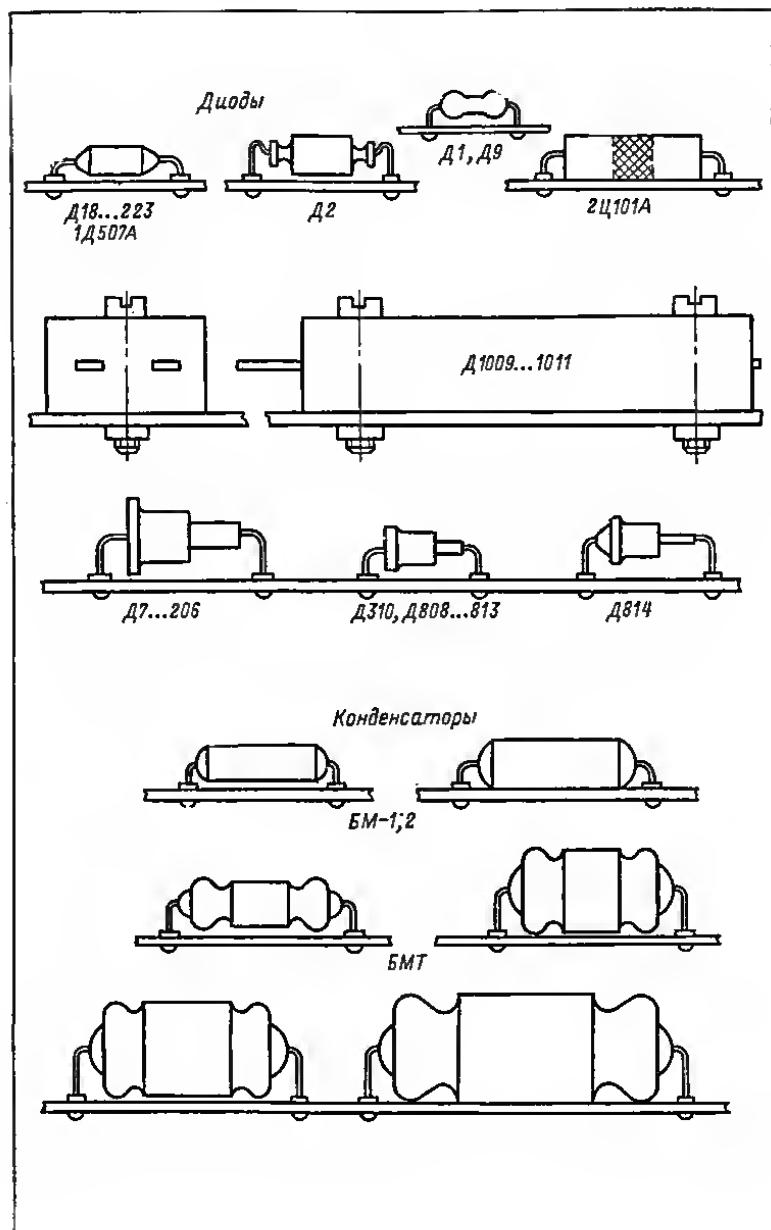


Рис. 11-6.

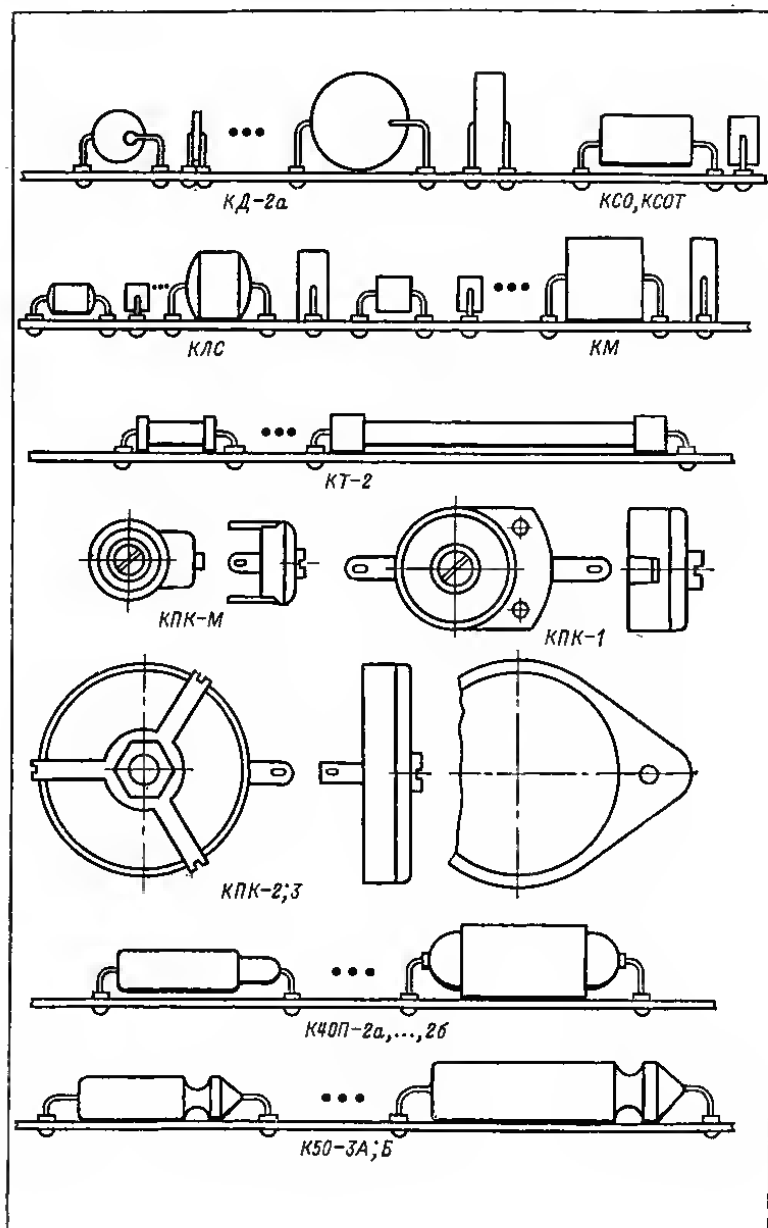


Рис. 11-6.

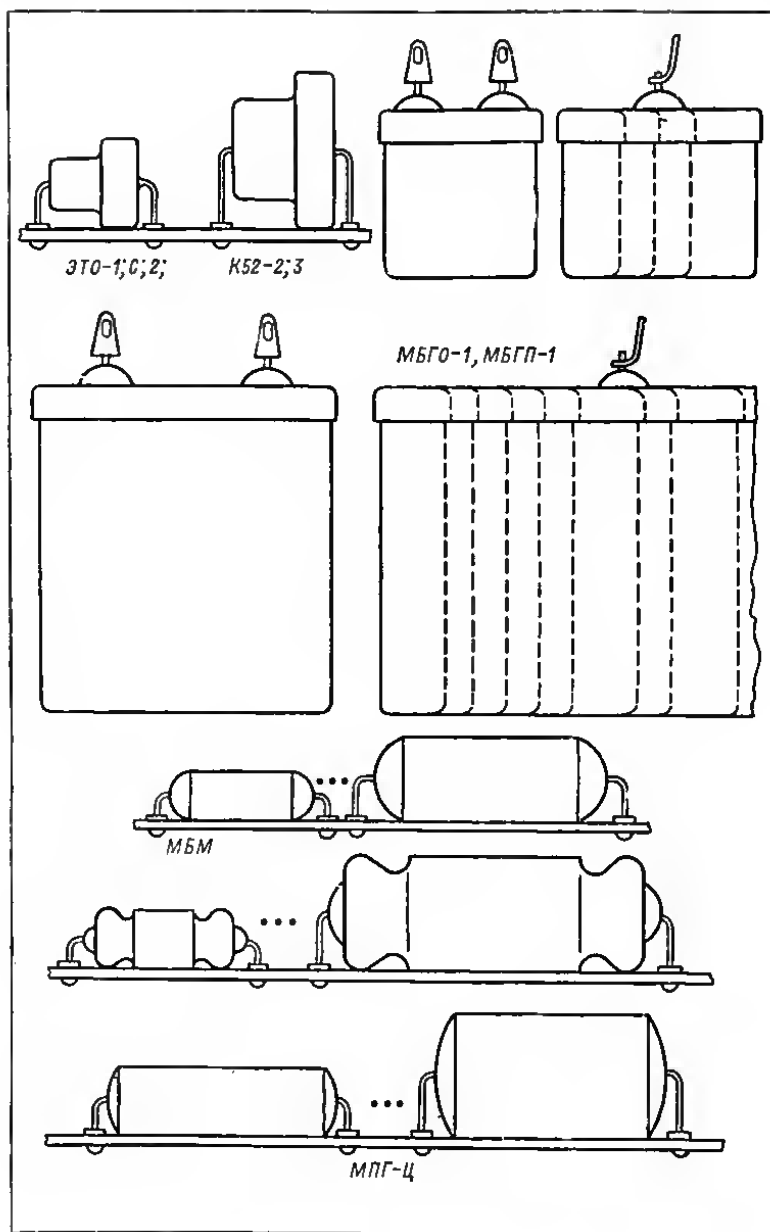


Рис. 11-6.

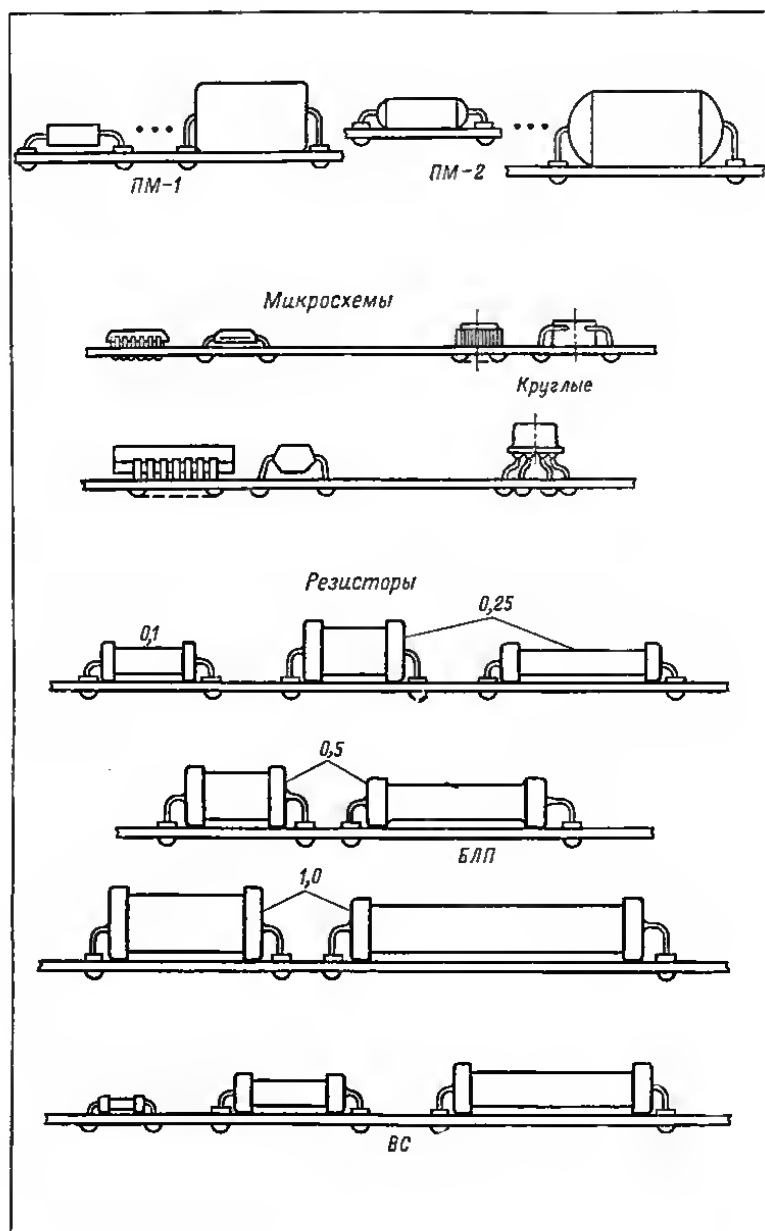


Рис. 11-6.

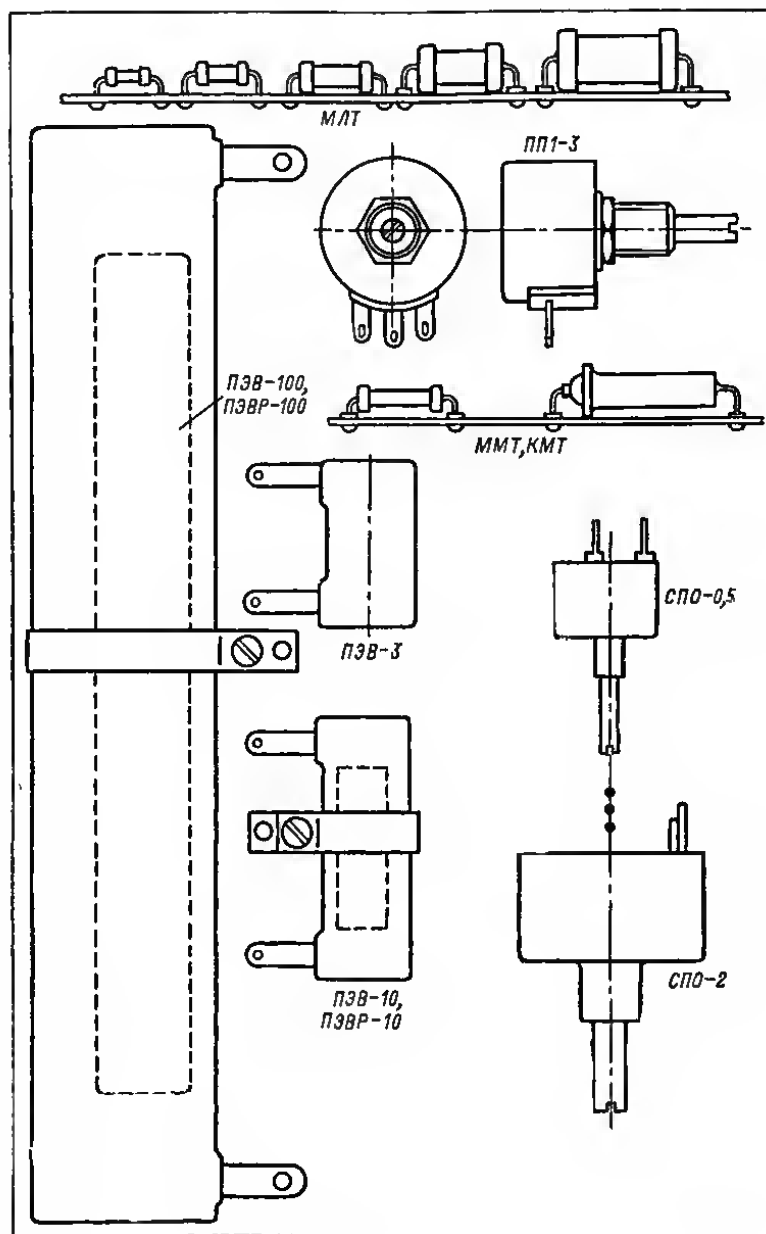


Рис. 11-8.

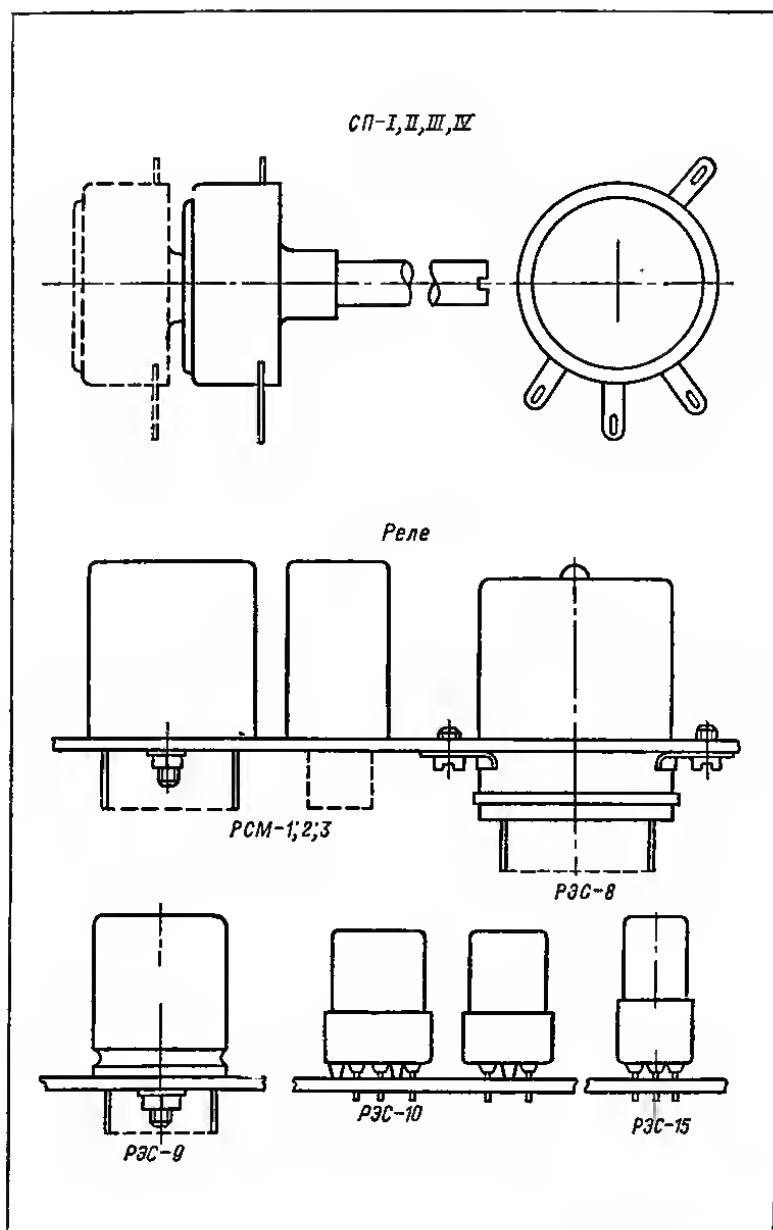


Рис. 11-6.

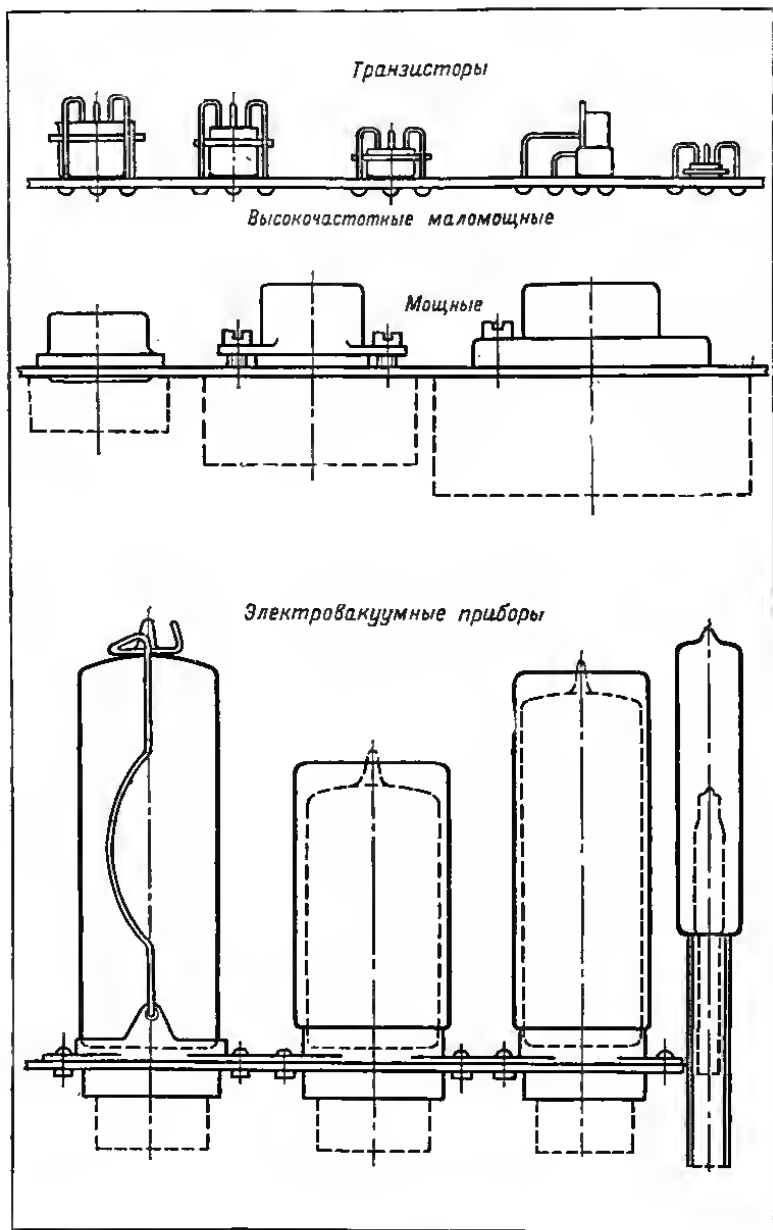


Рис. 11-б.

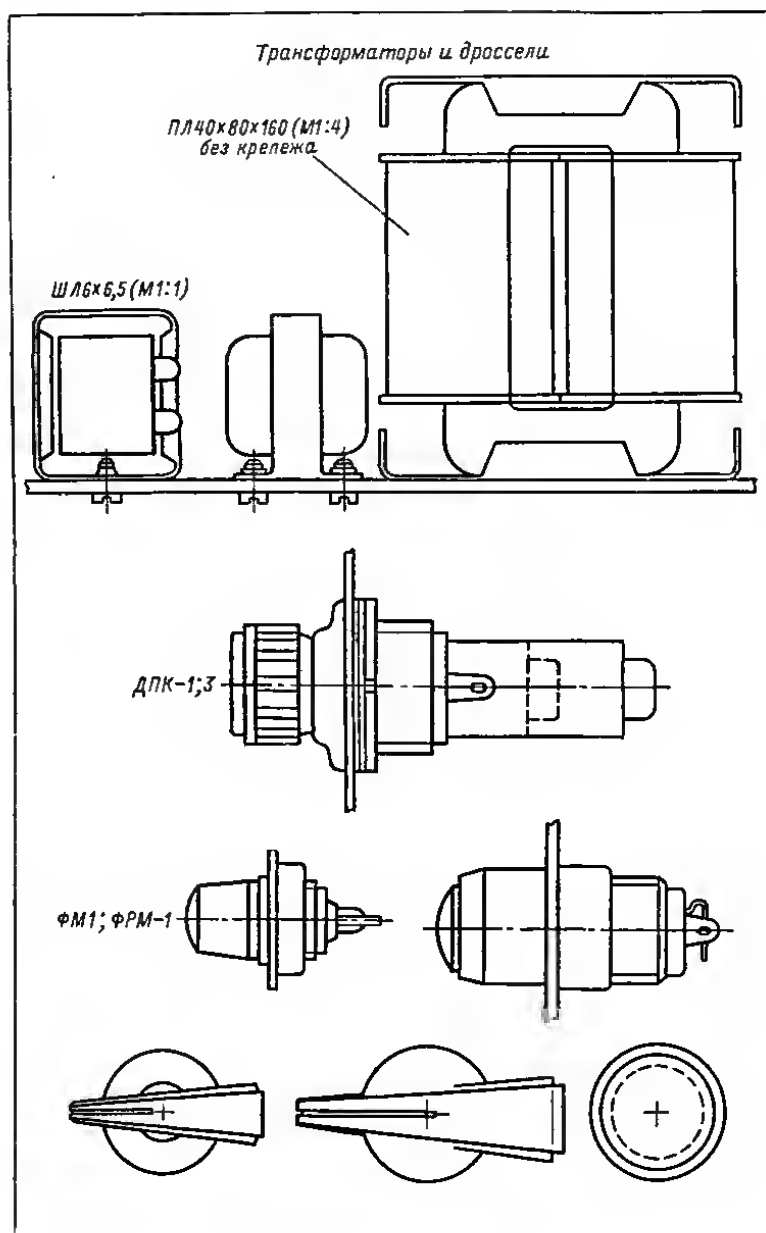
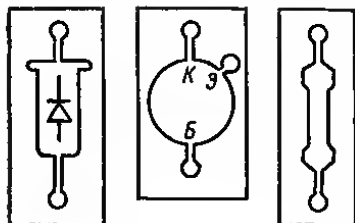


Рис. 11-6.

2. Расположение основных элементов (особенно в высокочастотных каскадах) на макете и в конструкции должно быть одинаковым.

3. При выборе компоновки более плотной, чем на макете, обязательно надо предусмотреть место для стабилизирующих элементов (экранов, развязывающих фильтров, радиаторов и т. д.).



4. Рисунок монтажных соединений на макете и в конструкции должен быть одинаковым.

5. Должны быть учтены расположение, форма и размеры всех органов управления, индикаторов, а в переносных конструкциях и отсека питания, а также особенности работы используемых гальванических или аккумуляторных батарей, их смены и т. д.

6. Необходимо продумать особенности эксплуатации устройства (удобства ее переноски и установки при эксплуатации, защиты от пыли и влаги и т. п.).

Универсальная монтажная плата. Большие возможности для макетирования устройств дает применение универсальных печатных плат (УПП). Их можно использовать для макетирования устройств и их частей с различной компоновкой элементов, если соблюдено условие равенства (или превышения) числа контактных линий (проводников) на УПП и числа соединений на схеме. Существо метода (его разработал и предложил П. П. Кувырков) рассмотрим на примере компоновки однокаскадного усилителя (рис. 11-8, а).

На схеме усилителя 7 точек соединений. Если эти точки схематически изобразить в виде вершин правильного семиугольника, то сами элементы можно

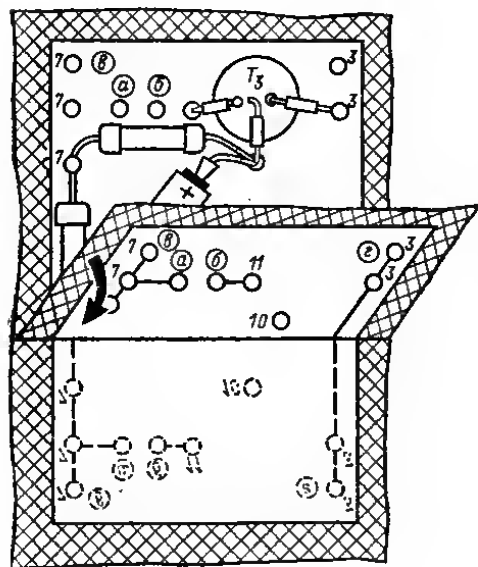


Рис. 11-7.

представить в виде сторон или диагоналей этой фигуры. В математике такие фигуры называют «графами». Если показать все возможные соединения между вершинами графа, то получится чертеж рис. 11-8, б, на котором толстыми линиями показан реализованный граф соединений. Таким образом, если мы сможем создать полный граф соединений схемы на плате, то компоновка сведется только к расположению элементов на существующих проводниках. Конечно, часть проводников может быть и не использована, но это и есть «плата» за универсальность УПП. Простейший вариант рисунка соединений УПП показан на рис. 11-8, в. Недостаток такой платы в том, что она имеет трехугольную форму. Четырехугольная плата выполняется несколько иначе (рис. 11-8, г). В обоих случаях проводники имеют в плане Г-образную форму и располагаются с двух

сторон платы (сплошная линия — наружная сторона платы, в пунктирная — обратная).

Компоновку элементов на УПП выполняют в такой последовательности. Вначале нумеруют точки соединений так, чтобы номера выводов элементов (особенно транзисторов) следовали друг за другом. Затем нумеруют проводники УПП, после чего компонуют элементы так, чтобы номера их выводов совпали с номерами проводников УПП.

При необходимости расположить элементы иначе (например, какие-либо элементы надо разнести дальше друг от друга) их выводам присваивают номера, максимально отличающиеся друг от друга. В этом случае элементы окажутся

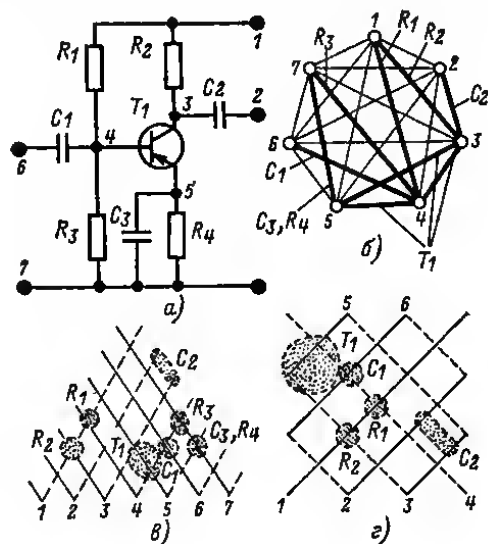


Рис. 11-8.

расположенными в разных углах или частях УПП. Если выводы какого-либо элемента имеют номера, следующие друг за другом, то его можно перемещать вдоль проводников по всей их длине. Если же номера выводов отличаются на много, то элемент можно расположить только на пересечении соответствующих проводников.

Изменяя нумерацию монтажных точек, можно получить различные варианты компоновки, число которых равно числу сочетаний из числа монтажных точек по 2. Так, например, при семи монтажных точках в устройстве число вариантов равно 21, при десяти — 45, при двадцати — 190 и т. д. Подбором нумерации можно выбрать такое расположение элементов, при котором обеспечиваются наилучшие условия их работы.

На рис. 11-9 приведен чертеж универсальной печатной платы, пригодной для любительских целей, и в качестве примера показаны два варианта компоновки усилительного каскада, схема которого приведена на рис. 11-8, а. Плату изготавливают из двустороннего фольгированного гетинакса или текстолита толщиной 1,5—2 мм. При отсутствии такого материала на обычный гетинакс или текстолит можно наклеить проводники, вырезанные из медной или латунной фольги (см. § 11-5).

Чтобы было возможно многократное использование платы, во все монтажные точки следует вставить пустотелые пистоны и тщательно пропаять места их соединения с проводниками.

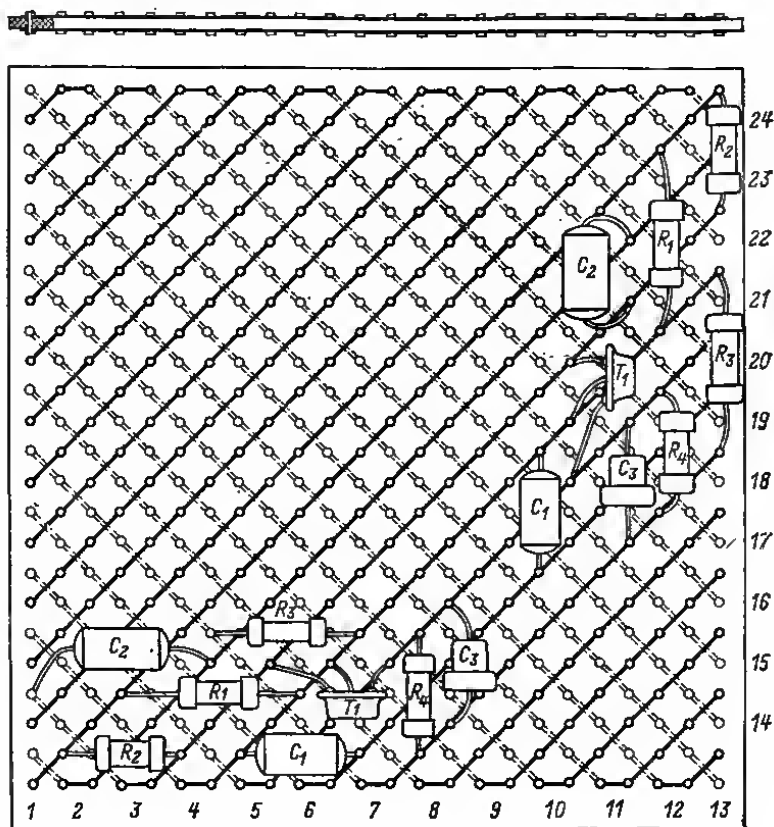


Рис. 11-9.

11-3. КОНСТРУИРОВАНИЕ ПЕЧАТНЫХ ПЛАТ

Чаще для каждого функционального узла, функциональной части РЭА или для малогабаритной РЭА разрабатывают специальную печатную плату, основой которой является гетинакс или стеклотекстолит, облицованный медной фольгой с одной стороны (реже с двух сторон).

Оригинальный рисунок печатных проводников выполняют на координатной сетке, образуемой пересекающимися под прямым углом рядами параллельных линий. Для печатных плат промышленной РЭА принят стандартный шаг координатной сетки (расстояние между соседними параллельными линиями), равный 2,5 мм. В любительских конструкциях рекомендуется принимать такой же шаг либо шаг размером 5 мм. В узлах координатной сетки, т. е. на пересечениях ее линий, располагают «контактные площадки». В отверстия, просверленные в центрах

контактных площадок, будут впаиваться выводы элементов. (В некоторых случаях, например при малых расстояниях между выводами какого-либо элемента схемы, контактные площадки приходится делать и на линиях между узлами.)

Электронная промышленность выпускает ряд типов элементов с расстояниями между осями выводов, равными стандартному шагу печатного монтажа 2,5 мм, с расстояниями, кратными по отношению к этому размеру: 5,0; 7,5 мм

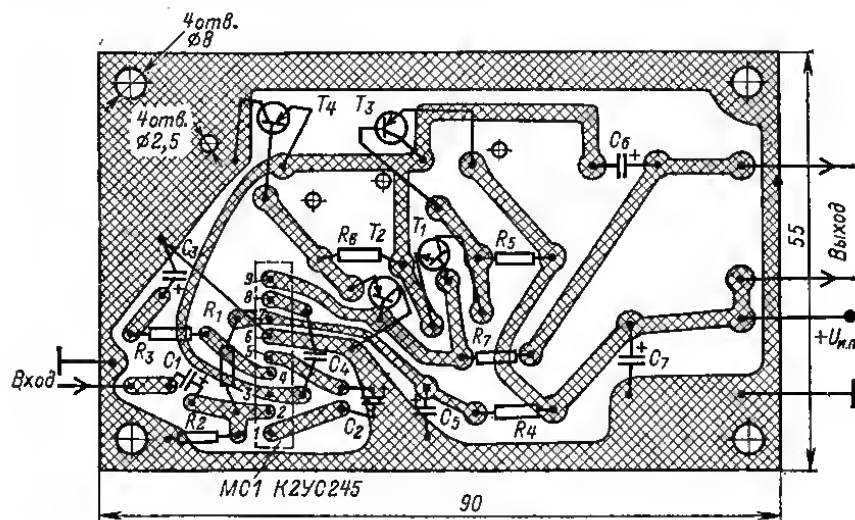


Рис. 11-10.

и т. д. или 1,25 мм. К числу таких элементов относятся, например, электролитические конденсаторы К50-6, керамические подстроечные конденсаторы КПК-МП, транзисторы серий ГТ322, КТ306, КТ312, КТ315, КТ316, КТ325, КТ326, микросхемы серий К224, К237 и др.

Расстояния между выводами других элементов с гибкими проводочными выводами (например, резисторов ВС, МЛТ, конденсаторов КД, КТ, БМ, МБМ, КМ) легко привести к размеру, кратному шагу координатной сетки 2,5 или 5 мм, соответствующей формовке (изгибам) выводов.

На рис. 11-10 показан пример компоновки на печатной плате УНЧ, в котором использована микросхема К2УС245. Здесь позиционные обозначения элементов усилителя соответствуют его принципиальной схеме, приведенной на рис. 4-12, а.

11-4. ПРОСТЕЙШИЕ КОНСТРУКТОРСКИЕ РАСЧЕТЫ

Расчет установочных параметров элементов

Установочный объем $V_{уст}$ элемента определяют исходя из максимальных (с учетом монтажа) размеров по ширине B , длине L и высоте H . Произведение этих величин с коэффициентом запаса 1,5 определяет установочный объем большинства элементов (кроме полупроводниковых и электровакуумных приборов, резисторов с большой мощностью рассеяния и элементов, работающих при высоких напряжениях)

$$V_{уст} = 1,5BLH.$$

Сумма установочных объемов элементов меньше полного объема устройства.

На практике обычно пользуются отношением суммы установочных объемов элементов к общему объему устройства. Для таких радиолюбительских конструкций, как блоки питания или радиоприемники, это отношение составляет 0,3—0,6, а для передающих устройств 0,2 — 0,3.

При компоновке элементов на плоских печатных платах оперируют понятием *установочной площади элемента*, которую для большинства элементов вычисляют по формуле

$$S_{\text{уст}} = 1,25BL.$$

При определении полной площади платы вводят коэффициент ее увеличения, равный 2 — 3 (другими словами, полная площадь будет в два-три раза больше суммы установочных площадей всех элементов).

Оценка тепловых режимов

Детали РЭА могут нагреваться как за счет внешних источников тепла (солнечная или тепловая радиация, повышение температуры окружающей среды), так и внутренних (резисторы с большой мощностью рассеивания, мощные транзисторы и диоды, трансформаторы питания и лампы). Повышение температуры влияет на электрические параметры устройства (ухудшается качество работы, «уходит» настройка на радиостанцию, повышается энергопотребление, выходят из строя отдельные элементы и т. п.) и на работу различных его механизмов (верньерно-шкальных, лентопотяжных и т. п.), что проявляется в заедании осей, детонации звука и т. д.

Довольно часто причиной нарушения нормальной работы является неправильное расположение элементов устройства при компоновке. Так, если в передатчике рядом должны быть расположены мощная генераторная лампа и кварцевый резонатор, то их надо разделить тепловым экраном, исключающим перегрев кварца. В этом случае конвективные потоки тепла от лампы 1 (рис. 11-11) не попадут на кварцевый резонатор 2. Полированная поверхность металлического экрана 3 отражает большую часть лучистых потоков тепла. Для дальнейшего разделения использован теплоизоляционный экран 4, изолирующий кронштейн 5 от металлического экрана 3.

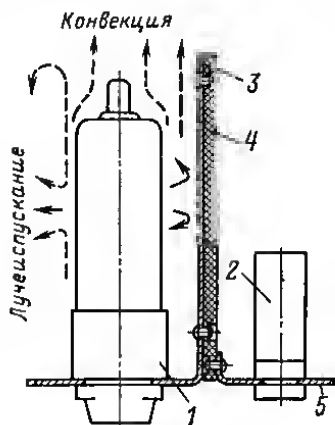


Рис. 11-11.

Этот пример указывает на то, что при компоновке элементов следует быть весьма внимательным к тепловым потокам в устройстве. Расчеты тепловых режимов РЭА весьма сложны и, как правило, недоступны радиолюбителю-конструктору. Поэтому следует внимательно анализировать конструкцию, чтобы правильно оценить качественную картину процессов теплообмена. Для грубой оценки можно ограничиться вычислением среднего значения потока тепловой энергии с единицы поверхности футляра. Поскольку к. п. д. РЭА обычно намного меньше единицы, то для такой оценки можно пользоваться отношением мощности, потребляемой от источника питания, к поверхности футляра. Это отношение должно быть около 0,02 Вт/см² для конструкций в металлическом корпусе и около 0,01 Вт/см² — в пластмассовом или деревянном корпусах.

Расчет радиаторов для полупроводниковых приборов

Для обеспечения нормального режима работы мощных полупроводниковых приборов используют радиаторы различной конструкции, которые увеличивают эффективность теплоотвода, понижают температуру приборов, увеличивают надежность и срок их службы.

Для расчетов радиаторов необходимо знать целый ряд параметров, определяющих так называемые тепловые сопротивления отдельных участков системы «полупроводниковый прибор — радиатор». К ним относятся тепловые сопротивления «коллекторный переход — корпус транзистора», «корпус транзистора — радиатор» (см. § 12-4) и «радиатор — окружающая среда».

Тепловое сопротивление «коллекторный переход — корпус транзистора (диода)» определяется конструкцией самого прибора и, естественно, не может быть изменено. Для уменьшения теплового сопротивления «корпус транзистора (диода) — радиатор» поверхность последнего в месте крепления полупроводникового прибора необходимо отшлифовать, проложить между ними тонкую свинцовую прокладку или смазать соприкасающиеся плоскости транзистора и радиатора невысыхающим маслом (например, силиконовым). Если корпус транзистора или диода необходимо изолировать от радиатора, то лучше изолировать весь радиатор от шасси.

Для изготовления в любительских условиях наиболее подходят радиаторы в виде прямой или изогнутой пластины. Расчет таких радиаторов несложен и может быть выполнен по графику, показанному на рис. 11-12. Зная рассеиваемую полупроводниковым прибором мощность P (Вт) и допустимую температуру перегрева Δt (в пределах $10 - 70^\circ\text{C}$) определяют площадь поверхности радиатора в виде пластины; ее толщина должна быть $2 - 4$ мм. Следует учесть, что при введении слюдяной прокладки эффективность радиатора уменьшается на $20 - 50\%$, в это требует соответствующего увеличения его поверхности.

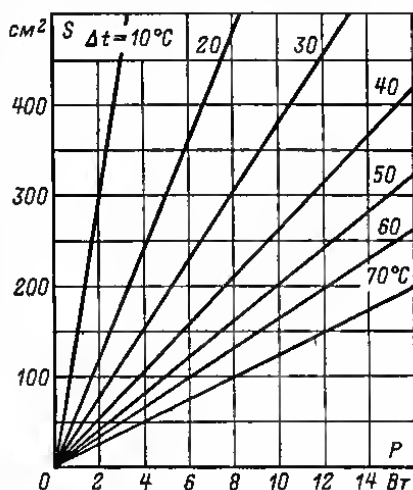


Рис. 11-12.

Конструкция радиаторов

Для изготовления радиаторов радиолюбителям наиболее доступен листовой алюминий или его сплавы. Использование для этой цели меди и ее сплавов нецелесообразно, хотя и несколько увеличивает эффективность радиаторов. Дело в том, что радиаторы из этих материалов втрое тяжелее, к тому же медь очень вязка и поэтому ее плохо обрабатывать резанием.

Простейший радиатор представляет собой пластину (рис. 11-13, а). Для уменьшения теплового сопротивления между корпусом полупроводникового прибора и радиатором достаточно зачистить место установки полупроводникового прибора наждачной бумагой. Такой радиатор необходимо располагать вертикально (рис. 11-13, б), так как при этом почти вдвое увеличивается его эффективность. Если коллектор мощного транзистора должен быть соединен с металлической монтажной платой, ее можно использовать в качестве радиатора. Место установки

диода или транзистора на радиаторе П-образной формы (рис. 11-13, б) необходимо обработать торцевой фрезой, чтобы получился ровный плоский участок необходимых размеров.

Основной недостаток самодельного ребристого радиатора (рис. 11-13, в) — большое тепловое сопротивление в местах прилегания отдельных пластин (на рисунке эти места выделены жирными линиями), вследствие чего часть поверхности пластин используется неэффективно. От этого недостатка свободны радиаторы, изготовленные из целого куска материала, например, фрезерованием (рис. 11-13, г).

Недопустимо для всех выводов транзистора средней или большой мощности делать в радиаторе общую прорезь. Отверстия в радиаторе, через которые проходят выводы электродов полупроводниковых приборов и винты, крепящие их накладные фланцы, должны быть возможно меньшего диаметра. Исключением из этого правила является крепление транзистора

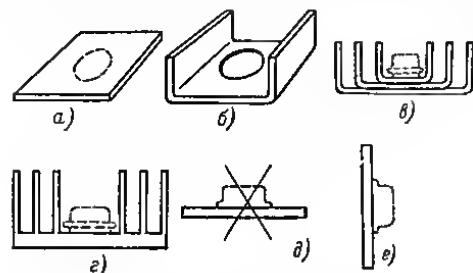


Рис. 11-13.

ров серии ГТ403, которые накладными фланцами не комплектуются: отверстие в радиаторе должно иметь диаметр, при котором обеспечивается тугая посадка цилиндрической части корпуса транзистора в его отверстие.

Для эффективного отвода тепла к радиатору должен быть открыт доступ воздуха, поэтому всегда следует стремиться к тому, чтобы радиаторы были расположены вне корпуса устройства, например на его задней стенке. Горизонтальное расположение пластинчатого радиатора (рис. 11-13, д) является менее целесообразным, чем вертикальное (рис. 11-13, е).

Конструкции уплотнений

Уплотнения применяются для защиты РЭА от проникновения влаги и пыли. Уплотнительные прокладки (чаще всего резиновые) используют для герметизации мест стыка кожухов с крышками и вводов кабелей. Так, уплотнительная прокладка из резинового шнура (рис. 11-14, а) обеспечивает герметичность устройства при погружении его в воду на глубину до 2 м. Для герметизации мест вывода осей регулировочных элементов (осей переменных резисторов, валков настройки и т. п.) применяют набор фетровых шайб толщиной 3—10 мм (рис. 11-14, б), пропитанных жидкими смазочными материалами.

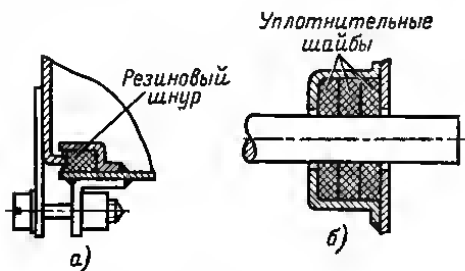


Рис. 11-14.

Оценка паразитных связей. Конструкции экранов

При конструировании РЭА важно учесть паразитные электрические связи, которые могут возникнуть между элементами устройства. Расчет этих связей очень сложен, поэтому остановимся только на некоторых конкретных рекомендациях по борьбе с ними.

Наиболее целесообразным способом защиты от паразитных взаимодействий является рациональная компоновка элементов устройства. Однако даже в этом случае приходится использовать развязывающие фильтры и экраны.

Развязывающие фильтры, как известно, представляют собой соединение резистора или катушки индуктивности с конденсатором (рис. 11-15, а). Для развязки каскадов высокой и промежуточной частоты сопротивление резистора фильтра R может быть от 100 Ом до 10 кОм, а емкость конденсатора C — от 0,05 мкФ до 4300 пФ. В развязывающих фильтрах низкочастотных устройств используют резисторы сопротивлением от 50 Ом до 1 кОм и конденсаторы емкостью от 100 до 3 мкФ.

Для экранирования электрического поля (это — чаще всего паразитные емкостные связи, зависящие от расстояния между элементами) применяют металлические перегородки, проводники или кожухи, электрически соединенные с общим проводом устройства (рис. 11-15, б). Экраны изготавливают из листовой меди, латуни или алюминиевых сплавов толщиной от 0,3—0,5 до 1 мм (большую толщину выбирают не для повышения эффекта экранирования, а для того, чтобы обеспечить необходимую механическую прочность экрана).

Экранирование магнитного поля (его источники — трансформаторы низкой частоты, трансформаторы питания) выполняется с помощью замкнутых экранов, изготовленных из материалов с высокой магнитной проницаемостью (специальные стали, пермаллой). Магнитные головки магнитофонов защищают от внешних электромагнитных полей многослойными экранами (пермаллой, латунь, пермаллой).

Экраны катушек при плотной компоновке элементов целесообразно делать квадратного сечения. Размеры экрана следует выбирать так, чтобы они были примерно вдвое больше соответствующих размеров катушки (рис. 11-15, в—2), а ее расположение в экране должно быть таким, как показано на рис. 11-15, в—3.

Экранирование проводов следует применять только в крайнем случае, так как они обладают сравнительно большой емкостью, а это в ряде случаев нежелательно. Кроме того, экранированные провода громоздки и требуют защиты от соединений оплетки с другими деталями и экранами, для чего приходится применять изоляционные оболочки. Необходимо экранировать провода от звукоусилителей, записывающих и воспроизводящих магнитных головок и кабели микрофонов.

Экранированным проводом или кабелем часто соединяют антенный разъем или гнезда с входным устройством телевизора или высокочувствительного радиоприемника. Соединять экранирующие оплетки с общим проводом (шасси) устройства следует так, как показано на рис. 11-15, г.

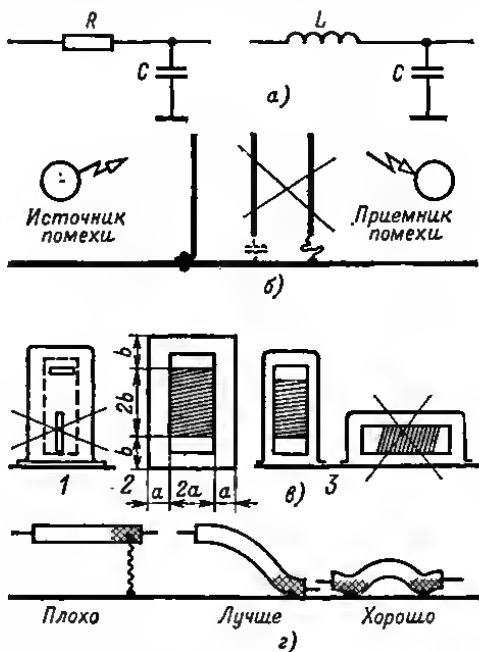


Рис. 11-15.

Примеры конструкторских расчетов

Расчет установочной площади интегральной микросхемы. Ширина и длина корпуса микросхемы — 12 мм. Установочная площадь $S_{\text{уст}} = 1,25 \text{ ВН} = 1,25 \times 1,2 \cdot 1,2 = 1,8 \text{ см}^2$. С учетом коэффициента использования площади печатной платы (2—3) установочная площадь равна 3,6—5,4 см^2 .

Расчет установочного объема элемента. Размеры резистора МЛТ-1 (с учетом монтажа): ширина (с зазором) — 7, длина — 20, высота (с учетом толщины платы и пайки) — 9 мм. Установочный объем $V_{\text{уст}} = 1,5 \text{ ВЛН} = 1,5 \cdot 0,7 \cdot 2 \cdot 0,9 = 1,89 \text{ см}^3$. Этот установочный объем можно использовать при компоновочных расчетах только при нагрузке резистора, не превышающей 0,1—0,2 номинальной. Для конденсаторов и остальных элементов определение таким способом установочные объемы вполне пригодны для практических целей.

Расчет коэффициента использования объема. Сумма установочных объемов элементов равна 560 см^3 , общий объем устройства — 1580 см^3 . Коэффициент использования объема равен $560 : 1580 = 0,354$.

Сумма установочных объемов элементов приемника — 275 см^3 . Приняв коэффициент использования объема равным 1/3, получаем, что общий объем приемника должен быть не менее 825 см^3 . При использовании в приемнике динамической головки диаметром 60 мм и магнитной антенны с сердечником длиной 120 мм толщина приемника (без учета толщины стенок футляра) должна быть равна: $825 : (6 \times 12) = 11,4 \text{ см}$ (114 мм). Из сравнения полученных размеров с размерами деталей, определяющих габариты приемника, видно, что приемник в этих размерах выполнить вполне возможно.

Расчет удельной тепловой плотности. Измерительный генератор в металлическом корпусе потребляет от сети 10 Вт. Площадь поверхности корпуса (без учета площади основания) равна 832 см^2 . Удельная плотность $10 : 832 = 0,012 \text{ Вт/см}^2$. Полученная величина меньше допустимой (0,02 Вт/см^2), что гарантирует нормальную работу прибора. Если бы генератор был не в металлическом, а в деревянном или пластмассовом футляре, то для обеспечения нормального теплового режима его работы пришлось бы либо увеличить поверхность футляра (т. е. его объем), либо сделать в нем вентиляционные отверстия, либо, наконец, поставить радиаторы на все приборы с большой мощностью рассеяния.

Расчет радиатора. Транзистор должен нормально работать при температуре окружающей среды до 40°C. Допустимая температура его коллекторного перехода не должна превышать 85°C (т. е. перегрев не должен быть выше 45°C). При рассеиваемой мощности 5 Вт и перегреве 50°C (с запасом 5°C) по графику на рис. 11-12 находим: $S = 100 \text{ см}^2$.

11-5. ЭЛЕКТРОМОНТАЖНЫЕ СОЕДИНЕНИЯ И МОНТАЖ ЭЛЕМЕНТОВ

Области использования различных электромонтажных соединений

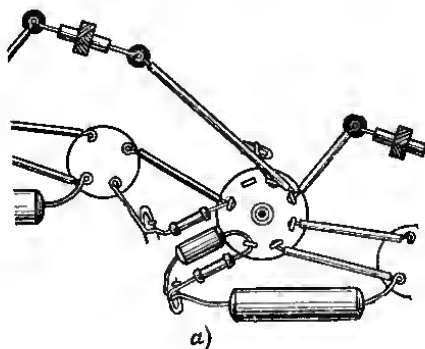
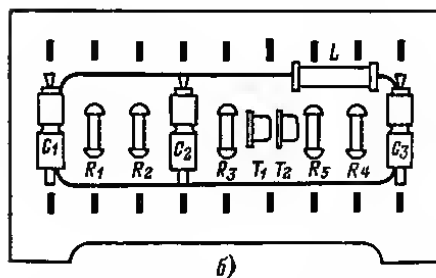
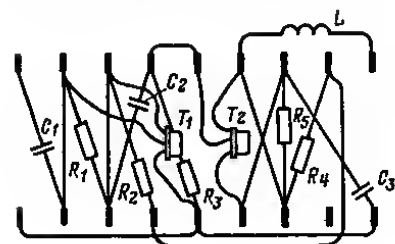
Основой электромонтажных соединений являются проводники из металлов или сплавов с малым сопротивлением, которые соединяют друг с другом способами, обеспечивающими минимальное переходное сопротивление. В радиолюбительской практике наибольшее распространение получили медные одно- или многожильные провода в изоляции (или без нее) и плоские ленточные проводники, которые получают в результате травления фольгированного материала.

Для соединения проводников друг с другом используют пайку, штепсельные разъемы и всевозможные зажимные устройства (зажимы, винты). Основным способом соединений в РЭА — пайка. Другие виды соединений используются только как вспомогательные и при малом их количестве.

Проволочный монтаж

Для проволочного навесного монтажа используют медный посеребренный или луженый провод диаметром 0,6—1,5 мм. Так как при навесном монтаже провода находятся на сравнительно большом расстоянии друг от друга (2—10 мм), то обычно нет необходимости защищать их от соединений друг с другом. Исключение составляют длинные перекрещивающиеся провода, которые необходимо изолировать друг от друга изоляционными трубочками. Для надежности соединения — как механической, так и электрической (удельное сопротивление припоя в 10 раз выше сопротивления меди — проводники рекомендуется предварительно закреплять (рис. 11-16, а).

Одножильный провод используют и при монтаже на платах с монтажными пистонами и лепест-



Направление вязки

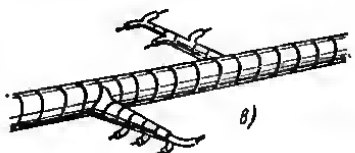
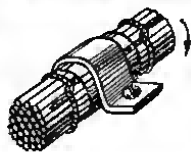


Рис. 11-16.

ками (рис. 11-16, б). При пересечении проводников на них необходимо надеть изоляционные трубки. Лучше всего использовать трубки из ткани, пропитанной электроизоляционным лаком, так как они более стойки к воздействию температуры (например, при пайке). Пластмассовые трубки из поливинилхлорида, полиэтилена при пайке могут оплавиться, из-за чего возникнут замыкания.

Жгутовой монтаж выполняют гибким многожильным проводом с одно- или двухслойной нитяной оплеткой (из шелковой или синтетической нити) или пластмассовой оболочкой. Для того чтобы жгут сохранял круглую форму,

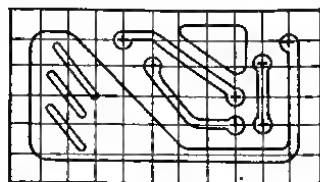
Последовательность операций заделки многожильного провода под зажим из винт показана на рис. 11-18, а. Для предотвращения разлохмачивания оплетку из ниток оклетневывают (рис. 11-18, б). Концы металлической оплетки экранированного провода защищают от разлохмачивания пропайкой проволоочных манжет или самой оплетки (рис. 11-18, в).

Печатный монтаж

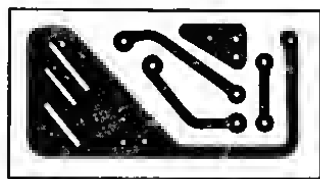
Контуры печатных проводников с оригинала (см. § 11-3) переносят с помощью копировальной бумаги на поверхность платы соответствующего размера, изготовленной из фольгированного гетинакса или стеклотекстолита (рис. 11-19, а). При этом нужно быть очень внимательным, чтобы по ошибке не получить на плате зеркальное изображение проводников. Проводники требуемой конфигурации получают путем химического травления или вырезают их контуры механическим способом.

Способ химического травления. Участки фольги, которые на полученном рисунке должны остаться в виде проводников, покрывают нитролаком, цапонлаком или клеем БФ, подкрашенным несколькими каплями чернил (рис. 11-19, б). После высыхания краски рисунок проверяют на соответствие чертежу проводников и при необходимости счищают все подтеки краски скальпелем. Затем помещают плату в раствор хлорного железа плотностью 1,3 (в стакан емкостью 200 см³ кладут 150 г хлорного железа и заливают до краев водой). Само травление лучше вести в фотоковете подходящего размера, помещивая раствор стеклянной палочкой или покачивая кювету. При нормальной комнатной температуре процесс травления медной фольги заканчивается примерно через 1 ч, а при температуре раствора 40—50°C — через 10—15 минут. Готовую плату (рис. 11-19, в) тщательно промывают сначала в холодной, а затем в горячей воде, быстро сушат (например, с помощью фена) и сразу же покрывают жидким каннфольным лаком (раствором каннфоль в спирту.) В таком виде проводники платы длительное время сохраняют способность к легкой пайке.

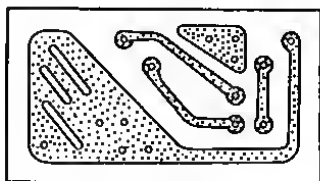
Механический способ. По линиям, ограничивающим поверхность фольгированного материала, с которых необходимо удалить фольгу, с помощью фрезы зубоорубочного бора, зажатого в патрон, укрепленный на валу быстроходного электродвигателя (рис. 11-19, з), «сфрезеровывают» фольгу на глубину несколько большую, чем ее толщина. Эту же работу можно выполнить и с помощью резака, изготовленного из обломка ножовочного полотна (рис. 11-19, д). Поверхность готовой платы



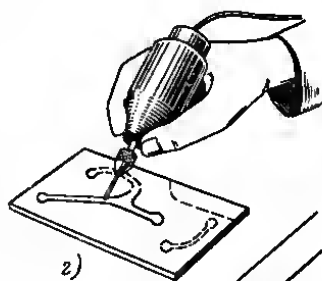
а)



б)



в)



з)

д)

Рис. 11-19.

до установки деталей тщательно очищают от металлических стружек и пыли и также покрывают канифольным лаком. Следует учесть, что из-за нарушения поверхности изоляционного материала качество изготовленной механическим способом платы хуже, чем при применении метода травления фольги. Тонкий фольгированный гетинакс для получения проводников механическим способом не пригоден.

В центрах контактных площадок просверливают отверстия диаметром несколько больше, чем диаметр выводов применяемых элементов (радиодеталей).

Фольгированный материал для печатных плат можно изготовить и в домашних условиях. Основой может служить гетинакс, текстолит, стеклотекстолит толщиной 1—2 мм, фольгу можно взять медную или латунную толщиной примерно 0,05—0,06 мм. Зачистив материал основы и одну сторону фольги мелкозернистой наждачной бумагой, их промывают в растворе соды, ацетоне или эфире (можно просто тщательно протереть их поверхности марлевым тампоном с обезжиривающим составом) и покрывают тонким слоем клея БФ-2 или БФ-4. После того как этот слой слегка подсохнет, наносят на основу и фольгу второй слой клея, помещают их под пресс и сушат в течение 48 ч при комнатной температуре или 3—4 ч при температуре 100°C.

Монтаж элементов РЭА

На печатных платах с односторонним фольгированием транзисторы, полупроводниковые диоды, резисторы и конденсаторы размещают со стороны, свободной от фольги, пропускают их выводы сквозь отверстия в контактных площадках и припаивают выводы к печатным проводникам.

При монтаже полупроводниковых диодов, транзисторов, микросхем, резисторов, конденсаторов, переключателей, реле, ламповых панелей и разъемов следует руководствоваться правилами их монтажа, выполнение которых гарантирует нормальную работу этих элементов.

Эти правила следующие.

1. Так как современные элементы имеют малые размеры, а некоторые и сложное устройство, все электромонтажные операции надо выполнять тщательно и аккуратно.

2. Перед пайкой можно производить формовку только выводов, выполненных из тонкого материала. При этом выводы допустимо изгибать на расстоянии не менее 5—8 мм от корпуса или вершины стеклянного проходного изолятора (рис. 11-20, а), а радиус изгиба должен быть по крайней мере в 3 раза больше диаметра вывода (рис. 11-20, б).

3. Пайку выводов обычных радиоэлементов, в том числе биполярных транзисторов, можно производить с применением стандартного паяльника мощностью 40 Вт, рассчитанного на непосредственное включение в электросеть напряжением 220 или 127 В. При монтаже РЭА с полевыми транзисторами и микросхемами следует применять низковольтный паяльник с регулируемой температурой нагрева. Включают такой паяльник через понижающий трансформатор, заземляя его вторичную обмотку. Применение автотрансформатора недопустимо!

Процесс пайки должен быть кратковременным — не более 3—8 с. Повторную пайку того же соединения (при необходимости) можно производить не ранее чем через 3—4 мин.

Выводы элементов во время пайки необходимо держать плоскогубцами (рис. 11-20, в) или использовать другой какой-либо теплоотвод, иначе возможен перегрев элементов (наиболее чувствительны к перегреву полупроводниковые приборы и микросхемы), что может привести к необратимому ухудшению их параметров.

4. Поскольку полевые транзисторы и МС могут быть повреждены электрическими зарядами небольшого потенциала, при монтаже этих полупроводниковых приборов необходимо принимать следующие дополнительные меры защиты:

а) работу производить на столе, поверхность которого покрыта хлопчатобумажным материалом или антистатическим линолеумом;

б) применять деревянные стулья с матерчатой (не синтетической!) обивкой и электропроводящие настилы под ногами; носить обувь на кожаной подошве и одежду из хлопчатобумажной ткани;

в) заземлять надежно рабочий инструмент (жало паяльника, пинцет и т. п.) и корпус (общую шину) монтируемого устройства, панели;

г) исключать возможность соприкосновения выводов полевых транзисторов и МС с предметами, для которых свойственна возможность сильной электризации, например с предметами, изготовленными из синтетических материалов.

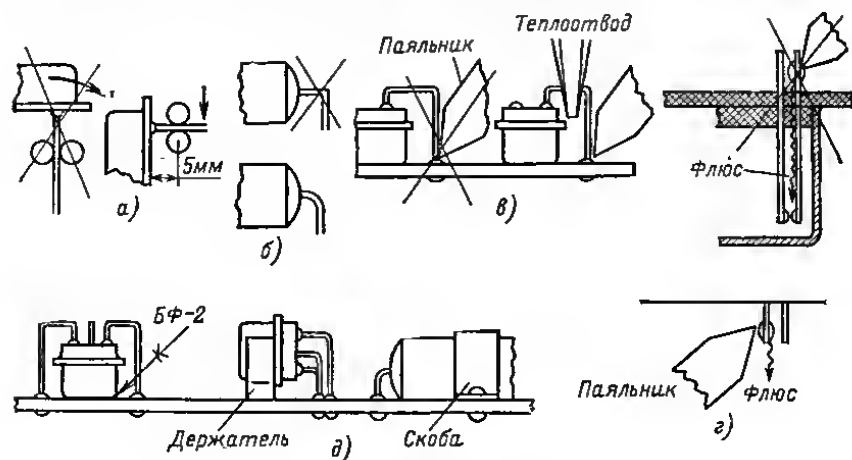


Рис. 11-20.

5. Пайку выводов переключателей и реле следует вести так, чтобы в контакты не попали расплавленный флюс и припой (рис. 11-20, г), которые могут нарушить нормальную работу этих элементов.

6. При подпайивании проводников к контактам ламповых панелей или разъемов необходимо в панели вставлять радиолампы, а в разъемы — их ответные части; это уменьшает вероятность затекания в контакты расплавленного припоя и флюса.

7. Для закрепления деталей (кроме малогабаритных) на плате следует пользоваться клеем, специальными держателями и скобами (рис. 11-20, д).

8. Особенности монтажа интегральных микросхем приведены в § 12-1.

11-6. ЭЛЕМЕНТЫ КОНСТРУКЦИЙ

Футляры и кожухи

Футляр и кожух — неотъемлемые части радиоустройств. Их назначение состоит в том, чтобы защитить радиодетали и монтаж от внешних механических и климатических воздействий, обеспечить необходимые акустические и эстетические показатели, удобство эксплуатации.

Футляры изготавливают из дерева, пластмассы или папье-маше, кожуха — из металла. Последние обладают повышенной механической прочностью и защищают конструкцию от электрических помех. Чаще всего металлические кожуха используют в измерительных приборах.

Футляры для малогабаритных радиоприемников могут иметь рамочную конструкцию (рис. 11-21), основой которой является рамка из деревянных планок

толщиной 3—5 мм, а передняя и задняя стенки изготовлены из тонкой фанеры. Углы рамки можно связать в шип (рис. 11-21, а), соединить с помощью металлических угольников (рис. 11-21, б) или шурупов (11-21, в). Вариант соединения, показанный на рис. 11-21, б, рекомендуется в том случае, если футляр необходимо покрыть лаком.

Для легких малогабаритных устройств футляр можно изготовить из папье-маше. Для этого из куска дерева или пенопласта изготавливают модель футляра,

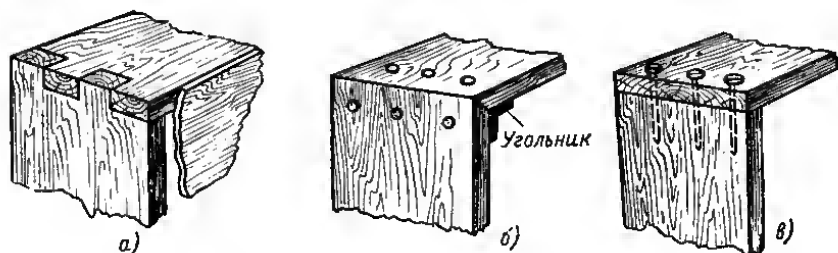


Рис. 11-21.

покрывают ее воском и последовательно оклеивают влажными листами газетной бумаги с жидким столярным клеем, давая каждому двум-трем слоям просохнуть. После окончательной сушки в течение двух-трех суток футляр грунтуют, окрашивают, аккуратно распиливают, еще раз окрашивают и полируют.

Кожуха изготавливают из листовых (толщиной 0,5—1,5 мм), алюминиевых и медных сплавов (латуни) и жести. Пайка алюминия и его сплавов в домашних условиях затруднена, поэтому детали кожных из этих материалов соединяют заклепками или винтами. Латунь и жечь легко паяются, что значительно упрощает изготовление кожных.

Декоративные покрытия

Деревянные поверхности отделывают различными способами: окрашивают, лакируют, оклеивают декоративными пленками. До окрашивания футляр необходимо хорошо просушить, аккуратно замазать все щели и неровности поверхности шпатлевкой (лучше использовать нитрошпатлевку, которая быстро сохнет и хорошо шлифуется). После этого футляр покрывают вначале двумя-тремя слоями грунта, а затем — тремя—пятью слоями нитроэмали. Очень удобно пользоваться грунтами и эмалями в аэрозольной упаковке рижского химического завода «Аэрозоль». В аэрозольной упаковке выпускается грунт марки 147 и нитроцеллюлозные эмали разного цвета. Можно использовать и нитроэмали для кожи. После окраски поверхность футляра полируют.

При лакировке требуется очень тщательная подготовка поверхности: заделка пороков древесины с учетом ее рисунка, неоднократная шлифовка предварительно смоченной поверхности вдоль и поперек волокон (для удаления ворса) и сушка. После этого с помощью пульверизатора наносят мебельный лак НМЦ (светлый или темный).

Используя самоклеящуюся декоративную отделочную пленку марки ПДСО-12, можно без особых затрат труда и времени получить сравнительно высокое качество отделки. Пленка хорошо приклеивается к древесине, металлу, древесностружечной плите и другим материалам. Прочность приклеивания тем выше, чем меньше воздушных пор под пленкой.

Для отделки больших поверхностей можно использовать декоративный бумажно-слоистый пластик (ГОСТ 9590-61), на поверхности которого нанесен рисунок, имитирующий ценные породы древесины, малахита, мрамора и т. п.

Шкалы и приводные устройства

Шкала радиоприемника или измерительного прибора должна обеспечивать оператору удобство в работе и иметь определенную эстетическую ценность, так как она обычно является одним из композиционных центров внешнего вида изделия. Неотъемлемым элементом шкалы является ее приводное устройство.

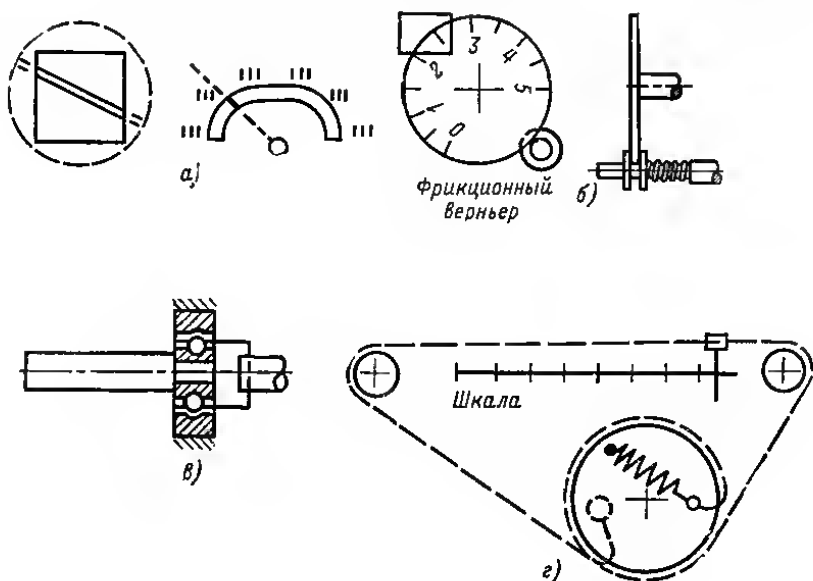
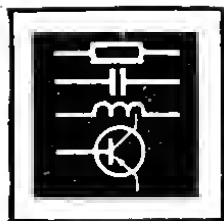


Рис. 11-22.

Характерные конструкции шкал и приводных устройств показаны на рис. 11-22, а, б и г. Круглая шкала может быть выполнена в виде плоского диска, к которому прижимается осью, так называемый фрикционный верньер. Если диск тонкий, то на оси верньера ставят подпружиненную шайбу (рис. 11-22, б). Малогабаритный верньер, обеспечивающий передаточное число около 3, можно изготовить из шарикоподшипника (рис. 11-22, в).

Верньерный механизм может быть выполнен на основе фрикционных и зубчатых передач (например, от механизмов старых часов) или передачи с гибкой нитью (тросиком) — рис. 11-22, г. Тросиком может служить металлическая струна от балалайки или мандолины, жильная струна скрипки, многожильная капроновая, хлопчатобумажная или шелковая леска. Для повышения трения между валиком настройки и тросиком можно использовать толченную канифоль. Обязательным элементом передач с гибкой нитью является пружина, натяжением которой выбирается люфт механизма.

В радиолюбительских условиях наиболее доступен фотографический способ изготовления шкал. В этом случае оригинал шкалы вычерчивают в большом масштабе, надписи и цифры — наклеивают (их можно вырезать из старых газет, журналов, проспектов). После уменьшения до натуральной величины получается очень четкая шкала.



КОМПОНЕНТЫ И ЭЛЕМЕНТЫ РЭА

РАЗДЕЛ 12

СОДЕРЖАНИЕ

12-1. Постоянные резисторы	545
Параметры постоянных резисторов (545). Постоянные непроволочные резисторы (547). Проволочные эмалированные резисторы (551).	
12-2. Переменные резисторы	551
Классификация переменных резисторов (551). Параметры переменных резисторов (553). Номенклатура непроволочных переменных резисторов (555).	
12-3. Терморезисторы	555
12-4. Варисторы	558
12-5. Конденсаторы постоянной емкости	559
Параметры конденсаторов (559). Керамические конденсаторы постоянной емкости (563). Конденсаторы с бумажным диэлектриком (570). Металлобумажные конденсаторы (573). Пленочные конденсаторы (574). Металлопленочные конденсаторы (575). Электролитические конденсаторы (576).	
12-6. Подстроечные конденсаторы	578
12-7. Магнитные сердечники, магнитопроводы, дроссели и трансформаторы	579
Терминология и основные параметры магнитных материалов (579). Ферритовые сердечники (580). Сердечники из магнитодиэлектриков (585). Магнитопроводы низкочастотных трансформаторов и дросселей (587). Обмотки трансформаторов и дросселей (591).	
12-8. Приемно-усилительные и малоомные генераторные лампы	596
Конструктивные виды ламп (596). Максимально допускаемые эксплуатационные значения параметров ламп (596). Основные параметры ламп с управляющими сетками (604). Эксплуатация ламп (605).	
12-9. Кинескопы	619
Параметры кинескопов и их цоколевка (619). Эксплуатация кинескопов (619).	
12-10. Ионные приборы	622
Стабилитроны (622). Эксплуатация стабилитронов (624). Тиратроны тлеющего разряда (624). Индикаторы тлеющего разряда (628).	
12-11. Миниатюрные лампы накаливания	632
12-12. Полупроводниковые диоды	634
Выпрямительные диоды (634). Выпрямительные блоки и столбы (638). Высоко-частотные (универсальные) и импульсные диоды (638). Варикапы (644). Туннельные и обращенные диоды (647). Стабилитроны и стабилитроны (650). Светодиоды (654).	
12-13. Тиристоры	654
12-14. Транзисторы	658
Классификация транзисторов (658). Предельно допускаемые эксплуатационные значения параметров транзисторов (659). Параметры постоянного тока (663). Параметры в режиме большого сигнала (664). Параметры в режиме малого сигнала (664). Частотные параметры (666).	
12-15. Фоторезисторы и фотозлементы	690
Фоторезисторы (690). Фотозлементы (693).	
12-16. Интегральные микросхемы	693
Терминология (693). Условные обозначения серий и типов микросхем (695). Конструкция интегральных микросхем и их монтаж (695). Электрические параметры (699). Обозначения компонентов на схемах включения МС (701). Микросхемы для РВ и ТВ приемников (702). Микросхемы для ТВ приемников (706). Микросхемы для магнитофонов (710). Операционные усилители (712). Разные микросхемы и микросборки (713).	

12-1. ПОСТОЯННЫЕ РЕЗИСТОРЫ

Параметры постоянных резисторов

Номинальная мощность рассеяния $P_{ном}$ — мощность, которую резистор может длительное время рассеивать без недопустимо большого перегрева, приводящего к необратимым изменениям сопротивления, при условии, что $t_{окр}$ не превышает установленного значения (зависит от конструкции резистора). Если резистор должен работать при более высоких температурах, допускаемая мощность рассеяния снижается (см. рис. 12-1, а, б).

Значение $P_{ном}$ в ваттах указывает число, входящее в обозначение резистора. Например, для резистора ВС-0,125 (старое название УЛМ) $P_{ном} = 0,125$ Вт, для МЛТ-2 — 2 Вт. Чем больше $P_{ном}$, тем больше размеры резистора. На корпусах непроволочных резисторов номинальную мощность рассеяния маркируют при $P_{ном} \geq 2$ Вт; номинальные мощности рассеяния малогабаритных непроволочных резисторов можно определить по табл. 12-2—12-4.

Номинальное сопротивление $R_{ном}$ — это сопротивление, обозначенное на резисторе. Фактическое сопротивление резистора может отличаться от обозначенного на величину, не превышающую допускаемого отклонения.

Ряды номинальных сопротивлений резисторов широкого применения приведены в табл. 12-1; номинальные сопротивления резисторов повышенной точности (УЛН, С1-8, С2-8 и др.) вычисляют по формуле

$$R_{ном} = \sqrt[m]{10^n},$$

где $m = 48, 96$ или 192 (номер ряда); n — целое положительное число от 1 до m . Полученные таким образом ряды продлевают в сторону больших и меньших значений путем умножения или деления вычисленных по формуле значений на 10, 100, 1000 и т. д., округляя результат до третьей значащей цифры (если по расчету получается большее количество значащих цифр).

На резисторах относительно больших размеров номинальные сопротивления маркируют, применяя общепринятые сокращенные обозначения единиц, и указывают возможное отклонение от номинала в процентах, например $1,2 \text{ кОм} \pm 10\%$. На малогабаритных резисторах номинальные сопротивления маркируют с помощью следующего кода:

1) единицу ом обозначают буквой Е, килоом — буквой к, мегаом — буквой М, гигаом (1 тыс. МОм) буквой Г и тергом (1 млн. МОм) буквой Т. При этом сопротивления от 100 до 910 Ом выражают в сотых долях килоома, а сопротивления от 100 до 910 тыс. Ом в сотых долях мегаома;

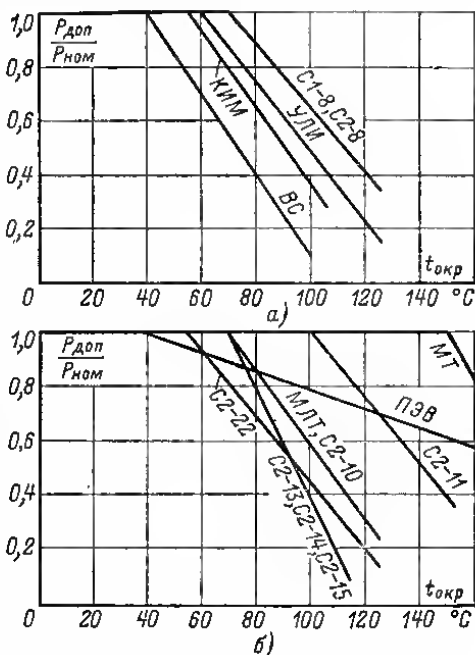


Рис. 12-1.

Таблица 12-1

Ряды номинальных сопротивлений резисторов широкого применения

Ом, килоомы, мегаомы			Ом, килоомы, мегаомы			Ом, килоомы, мегаомы		
Ряд Е6	Ряд Е12	Ряд Е24	Ряд Е6	Ряд Е12	Ряд Е24	Ряд Е6	Ряд Е12	Ряд Е24
1,0	1,0	1,0	10	10	10	100	100	100
		1,1			11			110
		1,2		12	12		120	120
1,5	1,2	1,3			13			130
		1,5		15	15	150	150	150
	1,5	1,6			16			160
		1,8		18	18		180	180
	1,8	2,0			20			200
2,2	2,2	2,2	22	22	22	220	220	220
		2,4			24			240
		2,7		27	27		270	270
	2,7	3,0			30			300
3,3	3,3	3,3	33	33	33	330	330	330
		3,6			36			360
		3,9		39	39		390	390
	3,9	4,3			43			430
4,7	4,7	4,7	47	47	47	470	470	470
		5,1			51			510
		5,6		56	56		560	560
	5,6	6,2			62			620
6,8	6,8	6,8	68	68	68	680	680	680
		7,5			75			750
		8,2		82	82		820	820
	8,2	9,1			91			910
Соответствующие данному ряду допускаемые отклонения от номинального сопротивления, %			Соответствующие данному ряду допускаемые отклонения от номинального сопротивления, %			Соответствующие данному ряду допускаемые отклонения от номинального сопротивления, %		
±20	±10	±5	±20	±10	±5	±20	±10	±5

2) если сопротивление выражается целым числом, то обозначение единицы ставят после этого числа, а если сопротивление выражается целым числом с десятичной дробью, то целое число ставится впереди буквы, обозначающей единицу, а дробь — после буквы (буква заменяет запятую). Например, сопротивление 47 Ом обозначают 47Е, 4,7 кОм — 4 К7, 47 кОм — 47 к, 4,7 МОм — 4М7;

3) когда же сопротивление выражается десятичной дробью, меньшей единицы, буквенное обозначение единицы измерения располагается перед числом, а нуль и запятая из маркировки исключаются. Например, сопротивление 470 Ом = 0,47 кОм обозначают К47, а 470 кОм = 0,47 МОм — М47.

На малогабаритных резисторах допускаемое отклонение наносится после обозначения номинального сопротивления следующими буквами:

Допуск, % ±0,1 ±0,2 ±0,5 ±1 ±2 ±5 ±10 ±20
 Маркировка Ж У Д Р Л И С В

Для обеспечения требуемого режима транзисторных или ламповых каскадов в них следует применять резисторы с отклонением сопротивления от номинального значения ±10% и лишь в отдельных случаях допускается применение резисторов с отклонением ±20%.

Максимальное напряжение $U_{\text{макс}}$ — наибольшее постоянное напряжение или действующее значение напряжения переменного тока, которое допустимо прикладывать к выводам резистора, сопротивление которого $R_{\text{ном}} \geq U_{\text{макс}}^2 / P_{\text{ном}}$. Для резисторов с меньшим номинальным сопротивлением допустимое напряжение

$$U = \sqrt{R_{\text{ном}} P_{\text{ном}}}.$$

Температурный коэффициент сопротивления (ТКС) — характеризует относительное изменение сопротивления резистора при изменении температуры на 1°C . Если при увеличении температуры сопротивление увеличивается (при уменьшении уменьшается) — ТКС резистора положительный; если же при увеличении (уменьшении) температуры сопротивление уменьшается (увеличивается) — ТКС отрицательный, перед его численным значением ставят знак минус. Непроволочные постоянные резисторы широкого применения имеют ТКС в пределах $0,03—0,12\%/^\circ\text{C}$, а резисторы повышенной точности (БЛП, МГП, С2-15 и др.) — не более $0,01—0,02\%/^\circ\text{C}$, при этом ТКС углеродистых и бороуглеродистых резисторов, как правило, отрицательный. ТКС проволочных резисторов ПЭ, ПЭВ и ПЭВТ не нормируется.

Шумы резистора оценивают по значению возникающей на его выводах переменной э. д. с. шумов, отнесенной к 1 В приложенного к резистору напряжения постоянного тока. Э. д. с. шумов принято измерять в полосе частот $50\text{ Гц}—5\text{ кГц}$ при рассеянии резистором номинальной мощности. Углеродистые, металлопленочные и металлоионные резисторы разделяют по величине э. д. с. шумов на группы: А — с э. д. с. шумов не более 1 мкВ/В и Б — до 5 мкВ/В . Э. д. с. шумов объемных резисторов больше.

Постоянные непроволочные резисторы

Металлопленочные резисторы. Основой такого резистора является керамическая цилиндрическая трубка, на которую нанесен слой специального сплава толщиной $0,1\text{ мкм}$ (рис. 12-2, табл. 12-2).

Углеродистые пленочные резисторы. Основой углеродистого пленочного резистора является керамический стержень круглого сечения. На его поверхность нанесен слой углерода. При той же допустимой мощности рассеяния размеры углеродистых резисторов больше, чем металлопленочных, и у них ниже максимальная рабочая температура (табл. 12-2, 12-3).

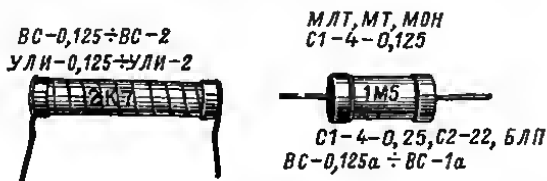


Рис. 12-2.

Бороуглеродистые пленочные резисторы. Они отличаются от углеродистых наличием примеси бора в углероде, что уменьшает зависимость сопротивления от температуры (табл. 12-2, 12-3).

Металлоокисные резисторы (МОН). В качестве электропроводящего слоя в них используется окись металла, чаще всего двуокись олова, нанесенная на поверхность керамического стержня. Металлоокисные резисторы отличаются большим постоянством параметров при воздействии переменных факторов внешней среды по сравнению с металлопленочными (изменение температуры и т. п.).

Контажные выводы большинства пленочных резисторов проволочные, торцевые. Они приварены к металлическим колпачкам, которые впрессованы на конце керамических стержней и трубок. Резисторы ВС, УЛИ и БЛП

Таблица 12-2

Постоянные пленочные резисторы

Тип резистора	$D \times L$, мм, не более	$R_{ном}$	$U_{макс}$, В
<i>Углеродистые</i>			
BC-0,125	2,5×7,0	10 Ом—1 МОм	150
BC-0,25	5,5×17	27 Ом—2 МОм	350
BC-0,5	5,5×27	27 Ом—10 МОм	500
BC-1	7,6×30	27 Ом—10 МОм	700
BC-2	10×48	27 Ом—10 МОм	1000
BC-0,125a	2,4×7,3	10 Ом—1,0 МОм	100
BC-0,25a	5,5×16	27 Ом—5,1 МОм	350
BC-0,5	5,5×26	27 Ом—10 МОм	500
BC-1	7,4×30	47 Ом—10 МОм	700
C1-4-0,125	2,4×7,3	10 Ом—2 МОм	250
C1-4-0,25	3,9×10	10 Ом—10 МОм	350

Металлоокисные и металлопленочные

МОН-0,5	4×10	1,0—100 Ом	7,0
МОН-1	6,5×13	1,0—100 Ом	10
МОН-2	8,5×18	1,0—100 Ом	15
МЛТ-0,125	2×6	51 Ом—2,2 МОм	200
МЛТ-0,25	3×7	51 Ом—3 МОм	250
МЛТ-0,5	4,2×11	100 Ом—5,1 МОм	350
МЛТ-1	6,6×13	100 Ом—10 МОм	500
МЛТ-2	8,6×18	100 Ом—10 МОм	750
МТ-0,125	2×7	100 Ом—1,1 МОм	200
МТ-0,25	2,7×8	100 Ом—2 МОм	200
МТ-0,5	4,2×11	100 Ом—5,1 МОм	350
МТ-1	6,6×18	100 Ом—10 МОм	500
МТ-2	8,6×28	100 Ом—10 МОм	700
МУН-0,5	4,2×11	24—200 Ом	10
МУН-1	6,6×13	24—200 Ом	14
МУН-2	8,6×18	24—200 Ом	20
C2-22-0,125	3×7	24 Ом—2,2 МОм	200
C2-22-0,25	4×11	24 Ом—5,1 МОм	250

Примечания 1. Число в обозначении типа резистора указывает значение $R_{ном}$ (Вт); для BC при $t_{окр} \leq 40^\circ\text{C}$; для BC-0,125a, C1-4-0,125, C1-4-0,25, МЛТ, МОН при $t_{окр} \leq 70^\circ\text{C}$; для C2-22-0,125, C2-22-0,25 при $t_{окр} \leq 55^\circ\text{C}$.

2. Резисторы BC, МЛТ, МТ, C2-22, МУН выпускаются с допускаемым отклонением от номинального сопротивления ± 5 , ± 10 и $\pm 20\%$, а резисторы C1-4 — с допускаемым отклонением $\pm 2\%$ (до 1 МОм), ± 5 и $\pm 10\%$.

3. Для резисторов BC-0,125a с государственным Знаком качества максимальное значение напряжения $U_{макс} = 200$ В.

изготавливают также с ленточными выводами, составляющими единое целое с металлическими хомутиками, охватывающими концы стержня. Стержень (трубка) вместе с колпачками (хомутиками) покрыты влагостойкой эмалью.

Токопроводящие элементы углеродистых и металлопленочных резисторов некоторых типов заключены в оболочку из пластмассы; выводы проволоочные.

Резисторы, предназначенные для работы на СВЧ (например, МУН), защитного покрытия или оболочки не имеют.

Объемные резисторы. Токопроводящий элемент объемного постоянного непроволочного резистора представляет собой стержень 1 (рис. 12-3, табл. 12-4);

изготовленный из сажи, корундового порошка и стекломалла (связующее вещество). Он подвергнут термической обработке (при которой все компоненты спекаются) и заключен в изоляционную стеклокерамическую оболочку прямоугольного сечения 3 (2 — проволоочные выводы, 4 — защитное покрытие).



Рис. 12-3.

Таблица 12-3

Постоянные пленочные резисторы повышенной точности

Тип резистора	$D \times l$, мм, не более	$R_{ном}$	$U_{макс},$ В
<i>Углеродистые и бороуглеродистые</i>			
УЛИ-0,125	$5,4 \times 16$	1 Ом — 459 кОм	200
УЛИ-0,25	$7,2 \times 16$	1 — 9,76 Ом	1,5
	$5,4 \times 26$	10 Ом — 1 МОм	350
УЛИ-0,5	10×17	0,75 — 9,76 Ом	2,2
	$7,2 \times 30$	10 Ом — 1 МОм	500
УЛИ-1	12×26	1 — 9,76 Ом	3,0
	10×47	10 Ом — 1 МОм	700
БЛП-0,1	$6,0 \times 16$	1 Ом — 100 кОм	100
БЛП-0,25	$7,5 \times 15$	1 — 20 Ом	2,2
БЛП-0,25	6×26	20,3 Ом — 100 кОм	150
БЛП-0,5	10×17	1 — 20 Ом	30
БЛП-0,5	$7,5 \times 30$	20,3 Ом — 100 кОм	220
БЛП-1	12×25	1 — 20 Ом	4,5
БЛП-1	10×47	20,3 Ом — 100 кОм	300
С1-8-0,25	$6,3 \times 13,2$	10 Ом — 10 кОм	250
С1-8-0,5	$6,3 \times 17,7$	10 Ом — 10 кОм	350
С1-8-1,0	$11,0 \times 30,3$	10 Ом — 10 кОм	500
<i>Металлопленочные</i>			
МГП-0,5	14×30	100 кОм — 5,1 МОм	400
С2-8-0,25	$6,3 \times 13,2$	10,2 кОм — 5,11 МОм	250
С2-8-0,5	$6,3 \times 17,7$	10,2 кОм — 5,11 МОм	350
С2-8-1,0	$11,0 \times 30,3$	10,2 кОм — 10 МОм	500

Примечания: 1. Число в обозначении типа резистора указывает значение $R_{макс}$ для УЛИ при $t_{окр} \leq 60^\circ\text{C}$; для БЛП, С1-8, С2-8 при $t_{окр} \leq 70^\circ\text{C}$; для МГП при $t_{окр} \leq 55^\circ\text{C}$.

2. Резисторы выпускают со следующими допускаемыми отклонениями от номинального сопротивления: УЛИ — ± 1 ; ± 2 ; $\pm 3\%$; МГП — $\pm 0,5$; $\pm 1\%$; С1-8 и С2-8 — ± 1 ; $\pm 2\%$.

Таблица 12-4

Постоянные непроволочные объемные резисторы

Тип резистора	Размеры корпуса, мм, не более	$R_{\text{ном}}$	$U_{\text{макс}}$, В
ТВО-0,125	8×1,4×2,5	3 Ом—100 кОм	100
ТВО-0,25	13×2,2×3,7	3 Ом—510 кОм	300
ТВО-0,5	19×2,2×3,7	10 Ом—1 МОм	400
ТВО-1	30×4,0×5,0	10 Ом—1 МОм	500
ТВО-2	37×5,0×6,0	10 Ом—1 МОм	750
ТВО-5	77×10×12	27 Ом—1 МОм	1500
ТВО-10	112×11×15	27 Ом—1 МОм	3000
ТВО-20	112×20×26	24 Ом—100 кОм	1400

Примечания: 1. Число в обозначении типа резистора указывает значение $R_{\text{ном}}$ при $t_{\text{окр}} \leq 85^\circ\text{C}$.

2. Допускаемое отклонение сопротивлений от номинала составляет ± 5 ; ± 10 и $\pm 20\%$.

Таблица 12-5

Проволочные эмалированные резисторы

Тип резистора	$D \times l$, мм, не более	$R_{\text{ном}}$	Тип резистора	$D \times l$, мм, не более	$R_{\text{ном}}$
<i>Постоянные резисторы с гибкими выводами</i>			ПЭВ-40	23×89	18 Ом—51 кОм
ПЭ-7,5	14×42	3,0 Ом—5,1 кОм	ПЭВ-50	32×93	18 Ом—51 кОм
ПЭ-15	16×52	3,0 Ом—5,1 кОм	ПЭВ-75	32×143	47 Ом—56 кОм
ПЭ-20	20×52	2,4 Ом—5,1 кОм	ПЭВ-100	34×174	47 Ом—56 кОм
ПЭ-25	25×52	4,7 Ом—5,6 кОм	ПЭВТ-3	16×27	43 Ом—1,3 кОм
ПЭ-50	25×93	1,0 Ом—16 кОм	ПЭВТ-10	16×43	10 Ом—3 кОм
ПЭ-75	25×164	1,0 Ом—30 кОм	ПЭВТ-25	23×52	15 Ом—7,5 кОм
ПЭ-150	33×219	1,0 Ом—51 кОм	ПЭВТ-50	32×93	20 Ом—20 кОм
<i>Постоянные резисторы с жесткими выводами</i>			ПЭВТ-75	32×144	20 Ом—27 кОм
ПЭВ-3	16×27	3,0—510 Ом	ПЭВТ-100	32×175	20 Ом—43 кОм
ПЭВ-7,5	16×37	1,0 Ом—3,3 кОм	<i>Регулируемые резисторы с жесткими выводами</i>		
ПЭВ-10	16×43	1,8 Ом—10 кОм	ПЭВР-10	16×43	3,0—220 Ом
ПЭВ-15	19×47	3,9 Ом—15 кОм	ПЭВР-15	19×47	5,1—220 Ом
ПЭВ-20	19×52	4,7 Ом—20 кОм	ПЭВР-20	19×52	10—430 Ом
ПЭВ-25	23×52	10 Ом—24 кОм	ПЭВР-25	23×52	10—510 Ом
ПЭВ-30	23×73	10 Ом—30 кОм	ПЭВР-30	23×73	15 Ом—1 кОм
			ПЭВР-50	32×93	22 Ом—1,5 кОм
			ПЭВР-100	32×174	47 Ом—2,7 кОм

Примечания: 1. Число в обозначении типа резистора указывает значение $R_{\text{ном}}$ для ПЭ, ПЭВ, ПЭВР при $t_{\text{окр}} \leq 40^\circ\text{C}$, для ПЭВТ при $t_{\text{окр}} \leq 300^\circ\text{C}$.

2. Допускаемое отклонение сопротивления не более ± 5 или $\pm 10\%$.

Проволочные эмалированные резисторы

Проволочный эмалированный резистор представляет собой керамическую трубку 1 (рис. 12-4, табл. 12-5), на которую намотана неизолированная проволока высокого удельного сопротивления. Для изготовления низкоомных резисторов применяют проволоку из константана (сплав меди с никелем), а для изготовления высокоомных — нихром. Обмотка покрыта теплоустойчивой неорганической стеклоэмалью 2, которая изолирует друг от друга витки обмотки и защищает ее от влаги, механических повреждений и загрязнения. Выводы обмоток — металлические пластинки 4 для подпайки внешних проводников (латунные у резисторов ПЭВ, из нержавеющей стали у резисторов ПЭВТ) или гибкие жгуты, свитые из толстых медных проволок 3 (у резисторов ПЭ).

Проволочный эмалированный регулируемый резистор (ПЭВ-Р) отличается от постоянного эмалированного резистора с пластинчатыми выводами наличием дополнительной детали — охватывающего корпус латунного хомутка 5, который может перемещаться вдоль корпуса резистора.

12-2. ПЕРЕМЕННЫЕ РЕЗИСТОРЫ

Классификация переменных резисторов

Регулировочные переменные резисторы

применяют для изменения напряжения, тока или других параметров РЭА в процессе ее эксплуатации, например для регулирования усиления (громкости), тембра. Для удобства выполнения этих операций ось регулировочных резисторов снабжают ручками управления.

Подстроечные переменные резисторы используют для установив режимов аппаратуры при ее производстве, наладке и после ремонта.

Их оси оканчиваются шпильками; сопротивление изменяется с помощью отвертки.

Переменные пленочные резисторы выпускают в следующих конструктивных вариантах:

регулируемые с одним или двумя отводами от токопроводящего элемента или без отводов. Резисторы с отводами применяют в тонкокомпенсированных регуляторах громкости, к отводам подключают RC-цепочки;

регулируемые с двухполюсным выключателем, приводимым в действие той же ручкой, с помощью которой изменяют сопротивление. Выключатель срабатывает в начале угла поворота оси; его используют для включения питания РЭА;

подстроечные резисторы с устройством стопорения оси в выбранном положении. Такое устройство исключает возможность случайного изменения во время эксплуатации установленного сопротивления резистора.

Сдвоенный резистор — два конструктивно объединенных переменных резистора с общей осью (но каждый из них может иметь самостоятельную ось). Если оси расположены коаксиально, каждая ось имеет отдельную ручку управления. Некоторые сдвоенные резисторы с двумя осями конструктивно объединены с выключателями питания. Резисторы, предназначенные для тонкокомпенсированной регулировки громкости, имеют отводы от токопроводящего элемента.

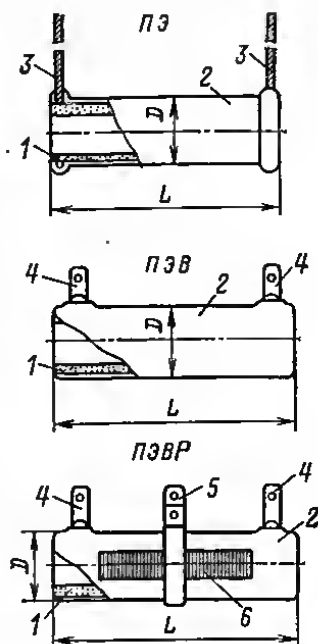


Рис. 12-4.

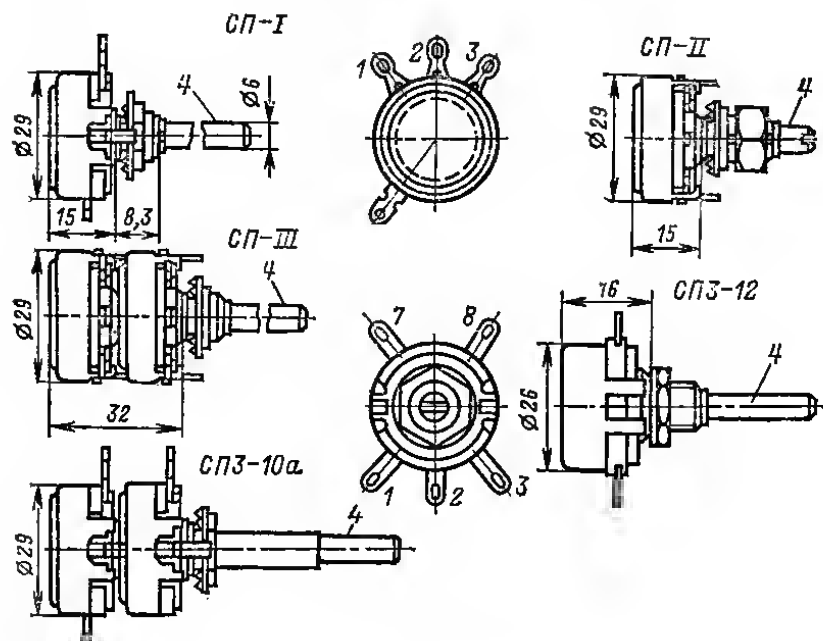


Рис. 12-5.

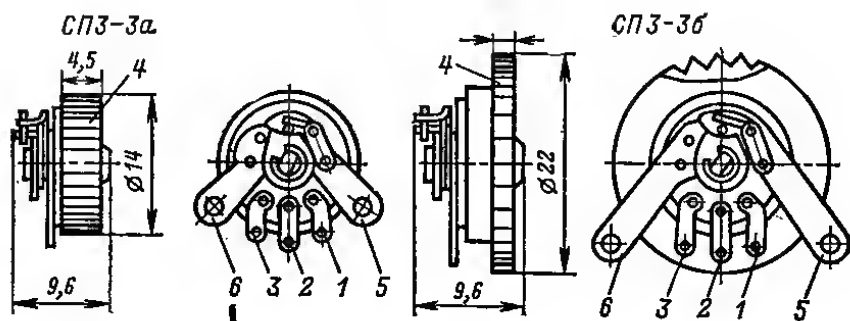


Рис. 12-6.

Наиболее распространенные регулируемые резисторы показаны на рис. 12-5 и 12-6, а подстроечные — на рис. 12-7. На этих рисунках 1, 3 — выходы начала и конца токопроводящего элемента; 2 — вывод от подвижной контактной щетки; 4 — конец оси подвижной системы или ручка управления; 5, 6 — выходы выключателя.

Параметры переменных резисторов

Функциональная характеристика — зависимость введенного сопротивления переменного резистора от положения его подвижной части (оси, ручки) приведена на рис. 12-8, где R_n — сопротивление между крайними выводами резистора (пол-

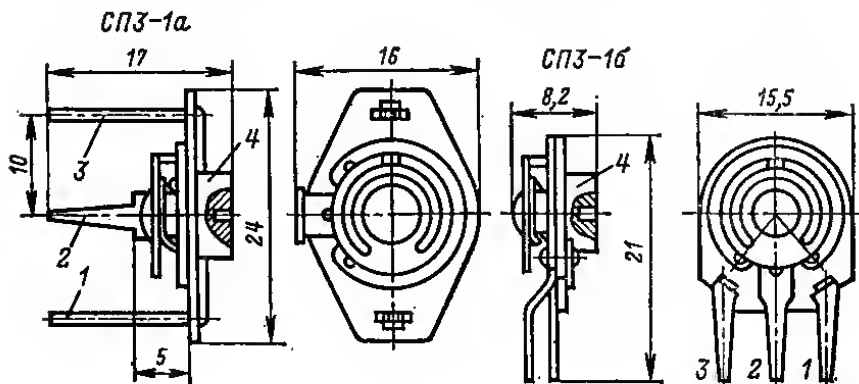


Рис. 12-7.

ное активное сопротивление токопроводящего элемента); α_n — полный угол поворота подвижной части (оси) резистора (у резисторов различных типов и конструкций этот угол составляет 220—295°); R — сопротивление резистора между левым и средним выводами; α — угол поворота оси от начального положения, соответствующий этому сопротивлению.

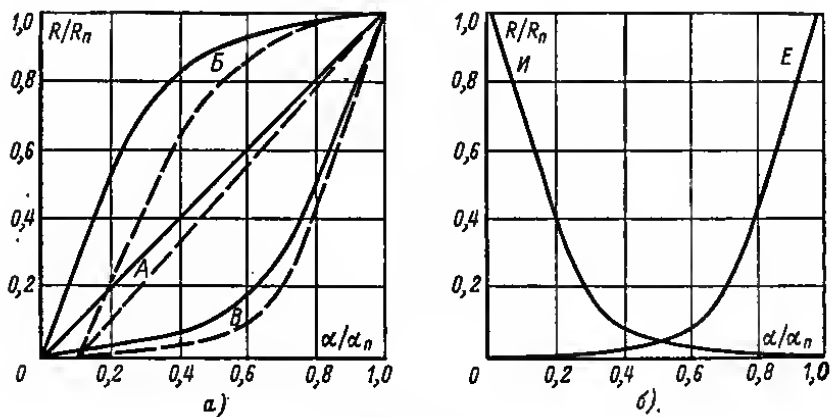


Рис. 12-8.

Переменные резисторы выпускают с функциональными характеристиками следующих видов:

А — сопротивление между средним и любым из крайних выводов резистора изменяется линейно, т. е. пропорционально углу поворота оси (рис. 12-8, а);

Б — сопротивление между средним и левым выводом при вращении оси по часовой стрелке (вид со стороны выступающего конца оси, контактные выводы винту) изменяется по логарифмическому закону — вначале относительно резко и далее медленнее;

В — сопротивление между средним и левым выводом при вращении оси по часовой стрелке изменяется по обратнологарифмическому закону (показательная кривая) — вначале медленно и далее быстрее (рис. 12-8, а);

Е — в пределах первой половины полного угла поворота оси введенное сопротивление изменяется незначительно и далее резко увеличивается (рис. 12-8, б);

И — в пределах первой половины полного угла поворота оси введенное сопротивление резко уменьшается, а при дальнейшем повороте оси изменяется незначительно (рис. 12-8, б).

Подстроечные пленочные и объемные резисторы изготавливают только с функциональной характеристикой вида А. Регулировочные пленочные резисторы могут иметь функциональную характеристику любого вида. Однако с функциональными характеристиками видов Е и И изготавливают только композиционные двоянные регулировочные резисторы с общей осью, причем один из резисторов имеет характеристику вида Е, а другой — вида И. Их применяют в регуляторах стереобаланса двухканальных стереофонических устройств; один из них включают в левый, другой — в правый канал.

Штриховыми линиями на рис. 12-8, а выполнены функциональные характеристики регулировочных резисторов, конструктивно объединенных с выключателями.

Номинальное сопротивление $R_{\text{ном}}$ — обозначенное на резисторе сопротивление; измеряется между крайними выводами (от положения подвижной системы не зависит).

Переменные неперелочные резисторы широкого применения изготавливают с номинальными сопротивлениями по ряду Е6 (табл. 12-1) от 470 Ом до 4,7 МОм.

Композиционные резисторы СПЗ-4 с функциональной характеристикой вида А, кроме того, изготавливаются с номинальными сопротивлениями 220 и 330 Ом, а объемные СПО — 47, 68, 100, 140, 220 и 330 Ом. Резисторы с функциональными характеристиками видов Б и В выпускают только с номинальными сопротивлениями от 4,7 кОм до 2,2 МОм.

Двоянные резисторы типа СПЗ-7а с функциональными характеристиками вида Е/И изготавливают с номиналами 470 и 680 кОм, 1,0 и 2,2 МОм, а СПЗ-12 с такими же характеристиками — с номиналами 100 и 470 кОм, 1,0 и 2,2 МОм.

Для маркировки значения $R_{\text{ном}}$ применяют такие же кодовые обозначения, как и для постоянных резисторов (см. § 12-1). Фактическое сопротивление неперелочного резистора с $R_{\text{ном}} \leq 220$ кОм может отличаться от обозначенного на $\pm 20\%$, с большим значением $R_{\text{ном}}$ до $\pm 30\%$, а перелочных до ± 5 или $\pm 10\%$.

Допустимое отклонение сопротивления на переменных неперелочных резисторах обычно не маркируют. Буква после обозначения $R_{\text{ном}}$ указывает вид функциональной характеристики резистора. На подстроечных малогабаритных резисторах в СПО вид функциональной характеристики не маркирован.

Номинальная мощность рассеяния $P_{\text{ном}}$ (определение этого параметра см. § 12-1). Значения $P_{\text{ном}}$ пленочных переменных резисторов с функциональной характеристикой вида А не превышает 1 Вт, а с функциональными характеристиками других видов 0,5 Вт (для резисторов СПЗ-3 — 25 мВт). Объемные резисторы изготавливают с номинальными мощностями рассеяния 0,15—2 Вт.

Для большинства пленочных резисторов $t_{\text{окр. макс}} \leq 70^\circ\text{C}$, для объемных СПО оно равно 125°C ; однако пленочные резисторы работают надежно при $P_{\text{ном}}$, если $t_{\text{окр}} \leq 25 + 40^\circ\text{C}$, и объемные СПО, когда $t_{\text{окр}} \leq 85^\circ\text{C}$.

Температурный коэффициент сопротивления (пояснение термина дано в § 12-1) неперелочных переменных резисторов обычно находится в пределах от $\pm 0,1$ до $\pm 0,2\%/^\circ\text{C}$, при этом ТКС объемных резисторов имеет только отрицательное значение.

Номенклатура непроволочных переменных резисторов

Нспроволочные переменные резисторы применяют для регулировки напряжений или токов в аппаратуре. В местах, где имеется повышенное выделение тепла, следует устанавливать резисторы с номинальной мощностью рассеяния, превышающей в два раза реальную.

В регуляторах громкости и тембра УНЧ возможно использование этих резисторов с любой мощностью рассеяния, причем для регулировки усиления следует применять резисторы с функциональной характеристикой вида В, а для регулировки тембра — с характеристикой вида А.

Отечественная промышленность выпускает пленочные переменные резисторы следующих типов.

Одноичные переменные и подстроечные экранированные: ВК, ВКУ-1, ВКУ-2 (\varnothing 34 мм); СП-1, СП-11, СП-V (\varnothing 29 мм); СПЗ-12 (\varnothing 26 мм); СПЗ-4а, СПЗ-4б, СПЗ-9а, СПЗ-9б, СП-0,4 (\varnothing 16 мм); СПЗ-6 и СПЗ-6а (\varnothing 12 мм). Резисторы СП-11, СПЗ-3б и СПЗ-9б имеют стопоры осей. Резисторы СПЗ-2б, СПЗ-4б, СПЗ-6 и СПЗ-6а рассчитаны на печатный монтаж, остальные — на навесной. Резисторы ВКУ-1 и ВКУ-2, предназначенные для использования в регуляторах громкости, имеют соответственно один и два отвода для подключения RC-цепей частотной коррекции.

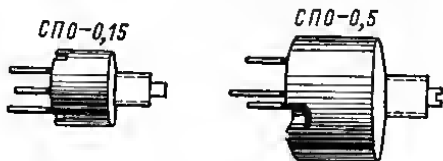


Рис. 12-9.

Одноичные переменные экранированные с двухполюсными выключателями: ТКД (\varnothing 34 мм); СПЗ-10б (\varnothing 29 мм); СПЗ-4в и СПЗ-4г (\varnothing 16 мм). Последний предназначен для печатного монтажа.

Одноичные подстроечные неэкранированные СПЗ-1а и СПЗ-1б рассчитаны на монтаж на печатных платах.

Одноичные переменные неэкранированные малогабаритные с выключателями: СПЗ-3а (\varnothing 14 мм); СПЗ-3б, СПЗ-3в (\varnothing 22 мм). Последний предназначен для печатного монтажа. Выключатели рассчитаны на ток до 0,15 А при напряжении не свыше 50 В.

Сдвоенные переменные экранированные: СНК — 34 мм; СП-III, СП-IV, СПЗ-10а (\varnothing 29 мм); СПЗ-7 (\varnothing 26 мм); СПЗ-4д (\varnothing 16 мм). Резистор СП-IV снабжен стопором оси. Управление каждым из резисторов, входящих в СНК и СПЗ-10а, независимое.

Сдвоенные переменные экранированные с двухполюсными выключателями: СНВКД и СПЗ-8 (\varnothing 34 мм), СПЗ-10в (\varnothing 29 мм); входящий в изделие СПЗ-8 резистор с функциональной характеристикой вида В имеет отвод для подключения цепи тонкомпенсации.

Наиболее распространенные объемные переменные резисторы (рис. 12-9) СПО-0,15 (\varnothing 10 мм), СПО-0,5 (\varnothing 16 мм), СПО-1 (\varnothing 21 мм), СПО-2 (\varnothing 28 мм).

12-3. ТЕРМОРЕЗИСТОРЫ

Терморезисторами называют непроволочные объемные резисторы, сопротивление которых значительно зависит от температуры. Они имеют форму стержней, пластинок, дисков, шайб (рис. 12-10) или бусинок (рис. 12-11). Наибольшее распространение имеют терморезисторы с отрицательным ТКС, изготовленные из смесей оксидов кобальта, меди и марганца (типы СТ1, СТ3, ММТ, КМТ). Кроме того, выпускаются позисторы — терморезисторы, обладающие в ограниченном диапазоне температур положительным ТКС (типы СТ5, СТ6); последние изготовлены на основе титаната бария.

Терморезисторы с отрицательными ТКС используют для температурной стабилизации электрических цепей и контуров, в частности для стабилизации режи-

мов транзисторных каскадов, для температурной компенсации электроизмерительных приборов, в устройствах измерения и регулирования температуры и в устройствах автоматики и контроля.

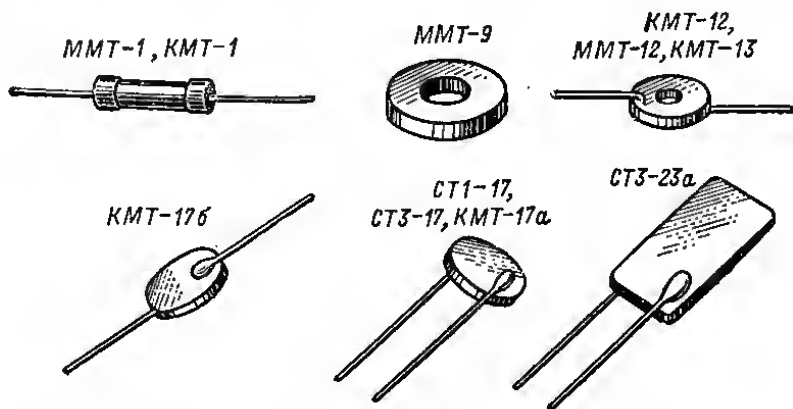


Рис. 12-10.

Позисторы обычно используют в термостатах кварцевых резонаторов. При этом они выполняют роль регуляторов температуры или нагревательных элементов. Наряду с терморезисторами, обладающими отрицательными ТКС, позисторы также используют для температурной стабилизации режимов транзисторов; их включают в эмиттерные цепи транзисторов.

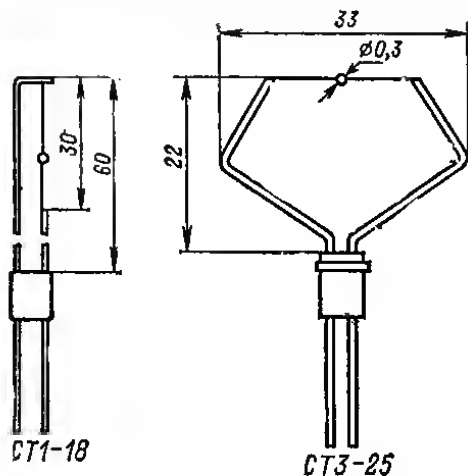


Рис. 12-11.

Номинальное сопротивление $R_{ном}$ обозначается на терморезисторах с отрицательными ТКС (см. табл. 12-6). Измеряют номинальное сопротивление при температуре окружающей среды $20 \pm 1^\circ\text{C}$ и при минимальной мощности рассеивания. Для отдельных типов терморезисторов, предназначенных для измерения высоких температур, номинальное сопротивление нормируется при температуре 150°C . Максимально допустимое отклонение от номинала терморезисторов с отрицательным ТКС составляет ± 10 или $\pm 20\%$.

На позисторах (терморезисторы с положительным ТКС в определенном диапазоне температур) номинальные сопротивления не маркируют. При

одной и той же температуре сопротивления позисторов одного и того же типа-номинала могут значительно различаться.

Минимальная мощность рассеивания $P_{мин}$ — значение рассеиваемой электрической мощности на терморезисторе при $20 \pm 1^\circ\text{C}$; при этом сопротивление изменяется не более чем на 1% .

Таблица 12-6

Полупроводниковые терморезисторы

Тип терморезистора (конструктивный вид)	Размеры корпуса, мм, не более	$R_{ном}$	$t_{окр. мин.}$, °C	$t_{окр. макс.}$, °C	$P_{макс.}$ мВт		Φ , мВт/°C	т. с. не более	численное значение ТКС, %/°C
					при 20 °C	при $t_{окр. макс.}$			
Терморезисторы с отрицательным ТКС									
KMT-1 (С)	3,0×13	22 ком — 1,0 мом	-60	180	1000	0,3	1,0	5,0	4,2—8,4
KMT-11 (С)	1,0×3,5	100 ком — 3,0 мом	0	120	—	—	—	10	4,2—8,4
KMT-12 (К)	17×3,0	100 ком — 10 ком	-40	125	—	0,3	—	7,0	4,2—8,4
KMT-17 (ДВ)	5,0×25	330 ом — 22 ком	-60	155	6000	0,2	0,5	10	30
MMT-1 (С)	3,0×13	1,0 — 220 ном	-60	125	100	0,4	1,3	5,0	2,4—5,0
MMT-6 (С)	0,8×8,0	10 — 10 ном	-60	120	—	0,5	—	1,7	2,4—5,0
MMT-9 (К)	0,9×3,0	10 ом — 4,7 ком	-60	125	—	2,0	10	35	2,4—5,0
MMT-12 (КВ)	17×3,0	4,7 ом — 1,0 ком	-60	120	—	0,3	2,0	7,0	2,4—4,0
MMT-13 (КВ)	10×3,5	10 ом — 2,2 ком	-60	125	—	0,2	1,0	—	2,4—5,0
STI-17 (ДВ)	5,0×25	330 ом — 22 ком	-60	100	—	0,2	0,5	10	4,2—7,0
STI-18 (Б)	60×4×2,5	1,5; 2,2; 22; 33 ком; 1,5; 2,2 мом	-90	125	45	0,03	—	0,2	2,5
ST3-18 (Б)	60×4×2,5	680 ом; 1,0—3,3 ком	-90	125	15	0,02	—	0,18	2,5—4,1
ST3-23 (П)	16×8,0×3,0	2,2—4,7 ом	0	125	8,0	2,0	10	9,0	3,1—3,7
ST3-25 (Б)	33×33	1,5; 2,2; 3,3 ком	-100	125	—	0,01	—	0,08	3,0—3,75

Позисторы

ST5-1 (ДВ)	5,0×2,5	20 — 150 ом	+100	200	1600	—	—	9,0	20
ST6-1A (ДВ)	5,0×2,5	40 — 400 ом	+40	155	1000	—	—	9,0	20
ST6-1B (ДВ)	5,0×2,5	100 — 700 ом	+20	125	800	—	—	9,0	20
ST6-2B (ДВ)	20×1,5	10 — 100 ом	0	125	1300	—	—	14	20
ST6-3B (ДВ)	20×2,0	1 — 10 ком	+10	125	200	—	—	0,25	5,0
ST6-4B (ДВ)	7,0×5,0	100 — 400 ом	+20	125	800	—	—	9,0	40
ST6-4B (ДВ)	7,0×5,0	500 ом — 3,0 ком	0	125	800	—	—	9,0	10
ST6-4Г (ДВ)	7,0×5,0	100 ом — 10 ком	-20	125	800	—	—	9,0	40

Примечания: 1. Конструктивный вид терморезисторов: Б — бусинный, Д — дисковый без выводов, ДВ — дисковый с проволочными выводами, К — кольцевой без выводов, КВ — кольцевой с проволочными выводами, П — прямоугольный, С — стержневой.
 2. Номинальные сопротивления $R_{ном}$ указаны для $t_{окр} = 20 \pm 1$ °C (для STI-18 при 180 °C). Допускаемые отклонения от $R_{ном}$ при $t_{окр} = 20 \pm 1$ °C: для KMT-12 и MMT-12 — не более $\pm 30\%$; для MMT-9, KMT-17, STI-17, ST3-17 и ST3-23 — не более ± 10 или $\pm 20\%$; для остальных терморезисторов с отрицательным ТКС — не более $\pm 20\%$. Сопротивление позистора каждого данного образца может находиться в пределах значений, указанных в таблице для данного типа.
 3. Кратность изменения сопротивления позисторов — отношение максимального сопротивления к минимальному в области температур, соответствующих положительным ТКС: для ST5-1, ST6-1A, ST6-4B, ST6-5B — не менее 10; для ST6-1B, ST6-2B, ST6-3B, ST6-4B — не менее 10.

Максимальная мощность рассеяния $P_{\text{макс}}$ — значение мощности тока, разогревающего терморезистор, находящийся при $t_{\text{окр}} = 20 \pm 1^\circ\text{C}$, до максимально допускаемой для него температуры.

При известном значении максимальной мощности рассеяния $P_{\text{макс1}}$ для некоторой температуры t_1 допускаемое значение мощности рассеяния для другой, более высокой температуры t_2 можно определить по формуле

$$P_{\text{макс2}} = P_{\text{макс1}} - (t_2 - t_1) \Phi,$$

где Φ — коэффициент рассеяния.

Максимально допускаемая температура окружающей среды $t_{\text{окр.макс}}$ одновременно является и максимально допускаемой температурой нагрева терморезистора.

Минимальная рабочая температура $t_{\text{окр.мин}}$. Для терморезисторов с отрицательным ТКС — это наиболее низкая температура, при которой гарантируется их работоспособность. Для позисторов в графе $t_{\text{окр.мин}}$ (табл. 12-6) указано значение температуры, ниже которой ТКС может принять отрицательное значение.

Тепловая постоянная времени терморезистора τ — время, в течение которого температура тела терморезистора снижается в e раз ($e \approx 2,7$ — основание натуральных логарифмов), т. е. на 63°C , после переноса терморезистора из среды с $t_{\text{окр}} = 120^\circ\text{C}$ в среду с $t_{\text{окр}} = 20^\circ\text{C}$.

12-4. ВАРИСТОРЫ

В а р и с т о р а м и (рис. 12-12) называют непроволочные резисторы объемного типа, вольт-амперная характеристика которых представляет собой кривую, близкую по форме к многостепенной параболе (электрическое сопротивление варистора быстро уменьшается при увеличении приложенного к нему напряжения).

Так как вольт-амперные характеристики варисторов для напряжений различной полярности симметричны, варисторы применимы в цепях постоянного тока, в цепях переменного тока с частотами до нескольких килогерц и в цепях с импульсными токами.

Нелинейные свойства варисторов позволяют применять их в стабилизаторах и ограничителях напряжения, в частности, в устройствах стабилизации высоковольтных источников напряжения телевизоров, для стабилизации токов в отклоняющих катушках кинескопов, в системах размагничивания цветных кинескопов и в системах автоматического регулирования.

Варисторы имеют форму дисков или стержней, изготовленных из кристаллов карбида кремния со связующим веществом.

Номинальное классификационное напряжение $U_{\text{кл}}$ — постоянное напряжение, при подаче которого на варистор через него проходит ток заданной величины $I_{\text{кл}}$, который также называют классификационным (см. табл. 12-7, 12-8). Фактическое напряжение $U_{\text{кл}}$ может отличаться от номинального на ± 10 или $\pm 20\%$.

Максимально допускаемое импульсное напряжение $U_{\text{и.макс}}$ для дисковых варисторов различных номиналов превышает значение $U_{\text{кл}}$ в 3—4,5 раза, а для стержневых в 1,3—2 раза при условии, что среднее значение рассеиваемой мощности на варисторе не превышает номинального значения.

Коэффициент нелинейности варистора β — отношение сопротивления варистора постоянному току к его сопротивлению переменному току.

Номинальная мощность рассеяния $P_{\text{ном}}$ определяется, как и для обычных резисторов, как произведение тока через варистор на приложенное к нему напря-

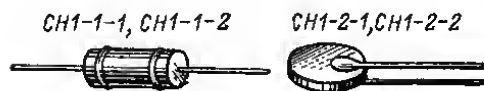


Рис. 12-12.

жение (в импульсном режиме берут средние значения тока и напряжения); указанные в табл. 12-7 и 12-8 значения $P_{\text{ном}}$ допускаются при температуре окружающей среды $t_{\text{окр}}$ не выше обозначенной в примечаниях к этим таблицам.

Таблица 12-7

Параметры стержневых варисторов

$U_{\text{кл}}, \text{ В}$	$U_{\text{и. макс}}, \text{ кВ}$	β не менее	$U_{\text{кл}}, \text{ В}$	$U_{\text{и. макс}}, \text{ кВ}$	β не менее	$U_{\text{кл}}, \text{ В}$	$U_{\text{и. макс}}, \text{ кВ}$	β не менее
СН1-1-1 ($\varnothing 9 \times 19$ мм), $P_{\text{ном}} = 1 \text{ Вт}$, $I_{\text{кл}} = 10 \text{ мА}$			1300	1,7	4,5	СН1-6 ($\varnothing 35 \times 9$ мм), $P_{\text{ном}} = 2,5 \text{ Вт}$, $I_{\text{кл}} = 20 \text{ мА}$		
			1500	2,0	4,5	33	0,15	4,0
560	1,2	3,5	СН1-1-2 ($\varnothing 7 \times 16$ мм), $P_{\text{ном}} = 0,8 \text{ Вт}$, $I_{\text{кл}} = 10 \text{ мА}$			СН1-8 ($\varnothing 13 \times 120$), $P_{\text{ном}} = 2,0 \text{ Вт}$, $I_{\text{кл}} = 50 \text{ мкА}$		
680	1,3	4,0						
820	1,4	4,0	560	1,2	3,5			
1000	1,5	4,0	680	1,3	4,0	20 000	30	6,0
1200	1,6	4,0	1300	1,7	4,5	25 000	30	6,0

Примечание. Указанные значения $P_{\text{ном}}$ допустимы до следующих значений $t_{\text{окр}}$: 70 °С — для СН1-1-1 и СН1-1-2; 75 °С — для СН1-6.

Таблица 12-8

Параметры дисковых варисторов

$U_{\text{кл}}, \text{ В}$	$U_{\text{и. макс}}, \text{ В}$	β не менее	$U_{\text{кл}}, \text{ В}$	$U_{\text{и. макс}}, \text{ В}$	β не менее	$U_{\text{кл}}, \text{ В}$	$U_{\text{и. макс}}, \text{ В}$	β не менее
СН1-2-1 ($\varnothing 16 \times 8$ мм), $P_{\text{ном}} = 1 \text{ Вт}$, $I_{\text{кл}} = 3 \text{ мА}$			СН1-2-2 ($\varnothing 12 \times 7$ мм), $P_{\text{ном}} = 1 \text{ Вт}$, $I_{\text{кл}} = 3 \text{ мА}$			82	200	3,5
						100	230	3,5
56	180	3,5	15	60	3,0	СН1-10 ($\varnothing 40 \times 10$ мм), $P_{\text{ном}} = 3 \text{ Вт}$, $I_{\text{кл}} = 10 \text{ мА}$		
68	210	3,5	18	70	3,0			
82	250	3,5	22	80	3,0	15	75	3,2
100	300	3,5	27	90	3,0	18	90	3,2
120	360	3,5	33	95	3,0	22	110	3,2
150	450	3,5	39	110	3,0	27	135	3,2
180	550	3,5	47	120	3,5	33	165	3,2
220	650	3,5	56	150	3,5	39	195	3,2
270	800	3,5	68	170	3,5	47	235	3,2

Примечание. Указанные значения $P_{\text{ном}}$ для варисторов СН1-2-1 и СН1-2-2 допустимы при $t_{\text{окр}} \leq 60^\circ\text{С}$.

12-5. КОНДЕНСАТОРЫ ПОСТОЯННОЙ ЕМКОСТИ

Параметры конденсаторов

Номинальная емкость $C_{\text{ном}}$ — емкость, обозначенная на конденсаторе. Конденсаторы постоянной емкости широкого применения выпускают с номинальными емкостями, указанными в табл. 12-9; номинальные емкости бумажных, металлобумажных и пленочных конденсаторов некоторых старых типов, а также элект-

политических конденсаторов с алюминиевыми анодами не соответствуют указанным в табл. 12-9.

Фактическая емкость конденсатора может отличаться от обозначенной на нем на величину, не превышающую допускаемого отклонения (см. далее).

Номинальную емкость маркируют на конденсаторе полностью (может быть ие обозначена единица «пФ») или же с использованием следующего кода (для миниатюрных конденсаторов):

1. Емкости менее 100 пФ выражают в пикофарадах; для обозначения этой единицы измерения используют букву П.

2. Емкости от 100 до 9100 пФ выражают в долях нанофарады, а от 0,01 до 0,091 мкФ — в нанофарадах; для обозначения нанофарады применяют букву Н.

3. Емкости от 0,1 мкФ и выше выражают в микрофарадах; для обозначения этой единицы применяют букву М.

4. Если номинальная емкость выражается целым числом, то обозначение единицы измерения ставят после этого числа. Например, емкость 15 пФ обозначают 15П, а емкость 0,015 мкФ = 15 нФ обозначают 15Н.

5. Если номинальная емкость выражается десятичной дробью, меньшей единицы, то нуль целых и запятая из маркировки исключаются, а буквенное обозначение единицы измерения располагается перед числом. Например, емкость 150 пФ = 0,15 нФ обозначают Н15, а емкость 0,15 мкФ обозначают М15.

6. Если номинальная емкость выражается целым числом с десятичной дробью, то целое число ставят впереди, а десятичную дробь после буквы, т. е. буква, обозначающая единицу измерения, заменяет запятую. Например, емкость 1,5 пФ обозначают П5, а емкость 1500 пФ = 1,5 нФ обозначают Н5.

Допускаемое отклонение от номинальной емкости в нормальных условиях маркируется после обозначения номинальной емкости цифрами в процентах, пикофарадах или по коду согласно табл. 12-10.

Таблица 12-10

Кодирование допускаемых отклонений от номинальных емкостей конденсаторов

Допускаемое отклонение, %	Код	Допускаемое отклонение, %	Код	Допускаемое отклонение, %	Код
+100	Ю	+50	Б	± 5	И
-10		-20		± 2	Л
+100	Я	+50	Э	± 1	Р
-0		-10		± 0,5	Д
+80	А	± 30	Ф	± 0,2	У
-20		± 20	В	± 0,1	Ж
		± 10	С		

Примечание. На конденсаторах с $C_{ном} \leq 10$ пФ допускаемое отклонение $\pm 0,4$ пФ кодируется буквой Х.

Температурный коэффициент емкости (ТКЕ) — параметр, характеризующий относительное изменение емкости конденсатора под влиянием изменений температуры. Выражается в миллионных долях на градус ($10^{-6}/^{\circ}\text{C}$). ТКЕ может принимать положительные или отрицательные значения. Если с ростом температуры емкость конденсатора увеличивается, то ТКЕ положителен, и наоборот. Нормируется ТКЕ лишь керамических, стеклокерамических, слюдяных и стекломалеваых конденсаторов, которые обычно используют в резонансных контурах и других ВЧ цепях, где необходима стабильность емкости или заданная закономерность ее

изменения при изменениях температуры. Для всех других типов конденсаторов указывают относительное изменение емкости в диапазоне рабочих температур.

Номинальное напряжение $U_{\text{ном}}$ — максимально допустимое постоянное напряжение или сумма постоянной составляющей и амплитуды переменной составляющей напряжения (или однополярного импульсного напряжения), при котором конденсатор может надежно и длительно работать (в основном в цепях постоянного или пульсирующего тока). При работе конденсатора в цепи переменного тока предельно допустимое действующее значение переменного напряжения должно быть меньше $U_{\text{ном}}$.

Для конденсатора, рассчитанного специально для работы в цепи переменного тока (МБГЧ-1, СМ), номинальным напряжением является максимально допускаемое действующее значение переменного напряжения частотой 50 Гц. При использовании конденсатора в цепях с токами большей частоты допускаемое напряжение снижается.

Если значение $U_{\text{ном}}$ на конденсаторе не обозначено, его находят по справочной таблице.

Сопротивление изоляции $R_{\text{из}}$ — параметр, характеризующий качество диэлектрика конденсатора и, следовательно, ток утечки через него. Измеряют сопротивление изоляции, прикладывая постоянное напряжение между выводами электродов конденсатора (обычно 100 В, если номинальное напряжение конденсатора выше этого значения). Исправный конденсатор в нормальных условиях имеет сопротивление изоляции порядка сотен мегаом или гигаом.

Для электролитических конденсаторов вместо сопротивления изоляции указывают предельный ток утечки при номинальном напряжении.

Потери энергии в конденсаторе, работающем в цепи переменного тока, характеризуют тангенсом угла δ , который является дополнением до 90° к углу сдвига фаз φ между действующими значениями напряжения U на конденсаторе и проходящим через него током I , т. е. $\delta = 90^\circ - \varphi$ (рис. 12-13).

Величина, обратная тангенсу угла потерь, называется добротностью конденсатора (Q).

Реактивная мощность P_q — параметр, регламентируемый для керамических, слюдяных и стеклоэмалевых конденсаторов, используемых в ВЧ цепях. Этот параметр используют при расчете ВЧ контуров передатчиков.

Так как потери в конденсаторах этих видов невелики, т. е. $\varphi \rightarrow 90^\circ$ и $\cos \varphi \rightarrow 1$, то практически

$$P_q = UI. \quad (12-1)$$

Для каждого конструктивного вида конденсатора нормируется номинальное (предельное) значение реактивной мощности, которое недопустимо превышать. При данном виде диэлектрика номинальное значение P_q зависит от размеров конденсатора и его конструктивных особенностей (см. табл. 12-13). Действующее значение переменного напряжения U [В] с частотой f [Гц] на конденсаторе емкостью C [пФ], при котором реактивная мощность достигает $P_{q \text{ макс}}$ [В·А], определяется по формуле

$$U = 400 \cdot 10^3 \sqrt{\frac{P_{q \text{ макс}}}{fC}}. \quad (12-2)$$

Потери мощности переменного тока в диэлектрике конденсатора

$$P_a = P_q \operatorname{tg} \delta.$$

Таблица 12-11

Маркировка ТКЕ конденсаторов с диэлектриком из ВЧ керамики

Цвет окраски		Условное обозначение группы по ТКЕ	ТКЕ в интервале температур 20—85 °С
корпуса	точки на корпусе		
Синий	—	П100	$+100 \pm 30 \cdot 10^{-6}$
Серый	—	П33	$+33 \pm 30 \cdot 10^{-6}$
Голубой	—	M47	$-47 \pm 30 \cdot 10^{-6}$
	Красный	M75	$-75 \pm 30 \cdot 10^{-6}$
	Желтый	M220	$-220 \pm 40 \cdot 10^{-6}$
	Зеленый	M330	$-330 \pm 60 \cdot 10^{-6}$
Красный	Синий	M470	$-470 \pm 90 \cdot 10^{-6}$
	—	M700	$-700 \pm 100 \cdot 10^{-6}$
	—	M750	$-750 \pm 100 \cdot 10^{-6}$
	—	M1300	$-1300 \pm 200 \cdot 10^{-6}$
Зеленый	—	M1500	$-1500 \pm 200 \cdot 10^{-6}$
	Желтый или серый	M2200	$-2200^{+60}_{-80} \cdot 10^{-6}$

Керамические конденсаторы постоянной емкости

Виды и свойства конденсаторной керамики. Конденсаторная керамика делится на высокочастотную (ткконд, термоконд и др.), которая обладает малыми диэлектрическими потерями в электрических полях радиочастоты (на частотах нескольких мегагерц $\operatorname{tg} \delta \leq 0,002$) и диэлектрической проницаемостью в пределах 12—1500, и низкочастотную (сегнетокерамкку), для которой характерны высокие значения диэлектрической проницаемости — 1000—8000. Однако в НЧ керамике больше диэлектрические потери: на частотах порядка килогерц $\operatorname{tg} \delta \leq 0,04$ и возрастает с повышением частоты.

От вида и группы примененной керамики зависит температурная стабильность емкости керамических конденсаторов. Конденсаторы с диэлектриком из ВЧ керамики разделяются на группы по значениям ТКЕ, а конденсаторы из НЧ керамики — по относительному изменению емкости в рабочем диапазоне температур.

Каждой группе присвоено условное обозначение. Буква в обозначении групп конденсаторов из ВЧ керамики указывает знак ТКЕ: П — положительный, М — отрицательный, а число — среднее значение ТКЕ $\times 10^{-6}$ на частотах порядка мегагерц (табл. 12-11).

Таблица 12-12

Маркировка конденсаторов с диэлектриком из НЧ керамики

Цвет точки на оранжевом корпусе	Условное обозначение группы	Изменение емкости в диапазоне температур от -60 до $+85$ °С/%, не более
Зеленый	H30	± 30
Синий	H50	± 50
Белый	H70	-70
	H90	-90

Условное обозначение конденсаторов из НЧ керамики состоит из буквы Н («низкочастотная») и числа, указывающего, на сколько процентов может уменьшиться емкость конденсатора в установленном рабочем диапазоне температур по сравнению с емкостью, измеренной при $t_{\text{окр}} = 20 \pm 5^\circ \text{C}$ (табл. 12-12).

Конденсаторы с малыми значениями ТКЕ (группы П33, М47, М75) называют термостабильными, а конденсаторы с большими отрицательными значениями ТКЕ (М750) — термокомпенсирующими: применение последних в резонансных контурах позволяет улучшить стабильность их настройки в условиях изменяющейся температуры.

Конденсаторы из НЧ керамики, а также из ВЧ керамики группы М1500 применяют в качестве блокировочных и разделительных.

Группу ТКЕ или допускаемое изменение емкости в диапазоне рабочих температур чаще всего маркируют окраской корпуса конденсатора и цветными метками согласно табл. 12-11 и 12-12.

Приведенные на рис. 12-14 кривые иллюстрируют относительное изменение емкости $C_t/C_r = 20^\circ \text{C}$ керамических конденсаторов с различными значениями ТКЕ при изменении температуры.

Таблица 12-13

**Номинальные реактивные мощности конденсаторов
с диэлектриком из высокочастотной керамики**

Тип конденсатора	Размеры корпуса, мм	$P_{q'}$ вар	Тип конденсатора	Размеры корпуса, мм	$P_{q'}$ вар	Тип конденсатора	Размеры корпуса, мм	$P_{q'}$ вар
КД-1	$\varnothing 4,5$	20	КТ-3	$\varnothing 10 \times 12$	300	КЛГ-1, КЛГ-2, КЛГ-3	$4 \times 5 \times 4$	100
	$\varnothing 5,5$	30		$\varnothing 10 \times 20$	400		$6 \times 5 \times 4$	120
	$\varnothing 6,5$	40		$\varnothing 10 \times 30$	600		$8 \times 5 \times 4$	150
КД-2, КДУ	$\varnothing 6,5$	20		$\varnothing 10 \times 40$	800		$10 \times 5 \times 4$	150
	$\varnothing 8,5$	40		$\varnothing 10 \times 50$	1000	КЛС-1, КЛС-2, КЛС-3	$4 \times 5 \times 4$	75
	$\varnothing 10$	60		$\varnothing 10 \times 60$	1200		$5 \times 6 \times 4$	100
	$\varnothing 12,5$	80					$6 \times 6 \times 4$	125
	$\varnothing 16,5$	100					$6 \times 9 \times 4$	150
КДО-1, КДО-2	$\varnothing 10$	75					$6 \times 11 \times 4$	175
	$\varnothing 12$	75	КО-1 КО-2	$\varnothing 7 \times 12$ $\varnothing 8 \times 15$	50 75	КМ-4, КМ-5	$5 \times 4 \times 6$	10
КТ-1	$\varnothing 3 \times 10$	20	КТП-1	$\varnothing 7 \times 12$	30		$7 \times 6 \times 4$	10
	$\varnothing 3 \times 12$	30		$\varnothing 7 \times 16$	40		$9 \times 8 \times 4$	20
	$\varnothing 3 \times 16$	40	КТП-2	$\varnothing 8 \times 16$	50		$11 \times 10 \times 4$	30
	$\varnothing 3 \times 20$	50		$\varnothing 8 \times 20$	60		$13 \times 12 \times 4$	40
						КМ-6	$6 \times 6 \times 6$	10
КТ-2	$\varnothing 5 \times 12$	50	КТП-3	$\varnothing 10 \times 20$	60		$7 \times 7 \times 6$	10
	$\varnothing 5 \times 16$	50		$\varnothing 10 \times 28$	70		$9 \times 9 \times 6$	20
	$\varnothing 5 \times 20$	75	К10-7В				$11 \times 11 \times 6$	30
	$\varnothing 5 \times 25$	75					$13 \times 13 \times 6$	40
	$\varnothing 5 \times 30$	100					$4 \times 4 \times 4$	20
	$\varnothing 5 \times 40$	125					$6 \times 6 \times 4$	40
	$\varnothing 5 \times 50$	150					$8 \times 8 \times 4$	60
							$10 \times 10 \times 4$	80
							$12 \times 12 \times 4$	100

Для некоторых типов керамических конденсаторов применяют иные способы маркировки:

1. Указанным в табл. 12-11 и 12-12 цветом для маркировочной точки окрашивается одна сторона корпуса (конденсаторы КЛГ).

2. Группа ТКЕ или допускаемое изменение емкости при изменении температуры обозначается двумя цветными точками или полосками; одна из них

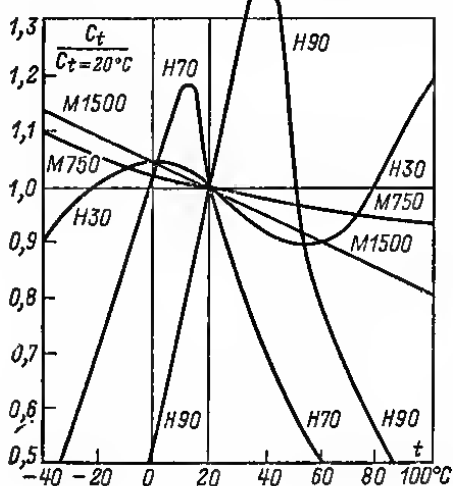
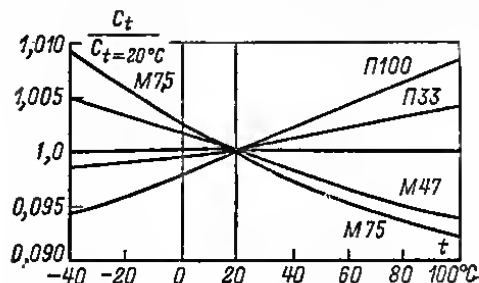


Рис. 12-14.

имеет цвет, указанный в первой графе табл. 12-11, или оранжевый на конденсаторах групп Н30-Н90, а расположенная рядом точка или более узкая полоска имеет цвет, указанный в табл. 12-11 и 12-12 для маркировочной точки. В последнем случае конденсатор может быть окрашен в любой цвет, за исключением указанных в таблицах.

3. Группа ТКЕ или допускаемое изменение емкости в диапазоне рабочих температур маркируется буквой и числом согласно таблицам.

Конструктивные виды керамических конденсаторов. Наибольшее распространение в РЭА имеют керамические конденсаторы следующих видов.

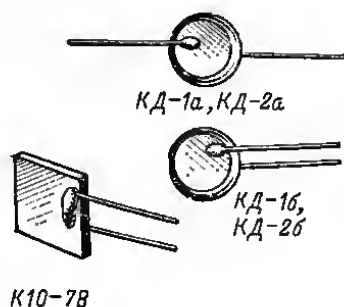


Рис. 12-15.

Дисковые. Электроды нанесены на поверхности круглой керамической пластинки. К ним припаяны выводы из медной посеребренной проволоки (конденсаторы КД — см. рис. 12-15, табл. 12-14). Конденсаторы КДУ имеют лепестковые выводы. Индуктивность таких выводов меньше, чем проволоочных. Это позволяет использовать конденсаторы КДУ на частотах до 500 МГц.

Дисковые опорные (табл. 12-16). Отличаются от обычных дисковых тем, что один из электродов всей своей поверхностью припаян к плоской головке болта, а вывод от второго электрода выполнен в виде контактного лепестка (рис. 12-16). С помощью болта с гайкой конденсатор крепят в отверстие монтажной панели; болт обеспечивает электрический контакт между припаянным к нему электродом и шасси. Поэтому опорные конденсаторы целесообразно применять в тех случаях, когда один из электродов должен быть заземлен.

Прямоугольные (К10-7В). Отличаются от дисковых тем, что электроды нанесены на поверхность квадратной керамической пластинки (см. рис. 12-15, табл. 12-15); $C_{\text{ном}} = 15 \div 1000$ пФ (ВЧ), 680 пФ \div 0,047 мкФ (НЧ).

Таблица 12-14

Параметры дисковых керамических конденсаторов

Группа ТКЕ	КД-1 (\varnothing 4,5—6,5 мм)		КД-2 (\varnothing 6,5—8,5 мм)		КДУ (\varnothing 8,5—16,5 мм)	
	$U_{\text{ном}}, \text{В}$	$C_{\text{ном}}, \text{пФ}$	$U_{\text{ном}}, \text{В}$	$C_{\text{ном}}, \text{пФ}$	$U_{\text{ном}}, \text{В}$	$C_{\text{ном}}, \text{пФ}$
П100	250	1,0—7,5	500	1,0—12	500	1,0—2,2
П33		1,0—10		1,0—30		1,0—27
М47		1,0—15		1,0—43		3,3—27
М75		1,0—39		1,0—68		—
М700		10—56		3,3—150		27—47
М1300		18—130		15—270		—
Н70	160	680—2200	300	680—6800	—	—

Примечания: 1. Указанные в таблице значения $U_{\text{ном}}$ допустимы для конденсаторов при $t_{\text{окр}} \leq 85^\circ\text{C}$.

2. Конденсаторы КД-1, КД-2 группы Н70 изготавливают с отклонением от номинальной емкости не более $\pm 30\%$; конденсаторы КД-1 остальных групп — не более $\pm 5\%$; $\pm 10\%$; $\pm 20\%$; конденсаторы КД-2 этих же групп — не более $\pm 2\%$; конденсаторы КДУ — только $\pm 10\%$ и $\pm 20\%$.

Таблица 12-15

Параметры дисковых опорных керамических конденсаторов

Группа ТКЕ	$C_{\text{ном}}, \text{пФ}$	
	КДО-1 (\varnothing 10,4 мм)	КДО-2 (\varnothing 12,7 мм)
П100	3,3; 4,7	6,8
М47	10; 15	22
М750	33	47
М1500	68	100
Н70	1500	2200

Примечания: 1. Допускаемое отклонение от номинальной емкости для конденсаторов группы Н70 не более $\pm 30\%$, для конденсаторов остальных групп $\pm 20\%$.

2. Для конденсаторов группы Н70 $U_{\text{ном}} = 400$ В, для остальных групп — 500 В; $t_{\text{окр, макс}} = 85^\circ\text{C}$.

3. Резьба М4.

Клиновидные. Электроды нанесены на поверхность клиновидной керамической пластинки (конденсатор К10У-2). Проволочных выводов и защит-

ного покрытия нет. Конденсаторы предназначены для монтажа на печатных платах; их вставляют в прорези плат, плоские проводники которых непосредственно спаявают с электродами конденсаторов.

Таблица 12-16

Параметры керамических пластинчатых квадратных конденсаторов К10-7В

Группа ТКЕ	Площадь пластинки, мм, не более	$C_{\text{ном}}$, пФ	Площадь пластинки, мм, не более	$C_{\text{ном}}$, пФ
П33	5×5 7×7 9×9	15—20 22—43 47—82	11×11 13×13	91—120 130—180
М47; М75	5×5 7×7 9×9	22—36 39—75 82—130	11×11 13×13	150—200 220—270
М750	5×5 7×7 9×9	47—56 62—130 150—240	11×11 13×13	270—430 470—680
М1500	5×5 7×7 9×9	68—100 110—220 240—390	11×11 13×13	430—680 750—1000
Н30	10×10	680—3300	10×10	4700, 6800 пФ, 0,01 мкФ
Н70	10×10	1500—6800 пФ, 0,01 мкФ	10×10	0,015 и 0,022 мкФ
Н90	10×10	330—6800 пФ, 0,01 мкФ	10×10	0,015—0,047 мкФ

Примечания: 1. Номинальное напряжение конденсаторов $U_{\text{ном}} = 50$ В.

2. Конденсаторы групп П33, М47, М75, М750, М1500 выпускают с допускаемым отклонением ± 5 ; ± 10 и $\pm 20\%$, конденсаторы группы Н30 — $\pm 50\%$ и Н70, Н90 — $\pm 80\%$. На конденсаторах групп Н30, Н70 и Н90 допускаемое отклонение емкости не маркируется.

Трубочатые. Основой конденсаторов является керамическая трубка (рис. 12-17, табл. 12-17). Electroды нанесены на ее внешнюю и внутреннюю поверхности. Контактные выводы проволоочные (у конденсаторов КТ-1, КТ-2а, КТ-2б) или ленточные (у КТ-2в, КТ-3в). Конденсатор покрыт эмалью.

При монтаже трубчатых конденсаторов к шасси прибора подключают его внешний электрод. Если конструкция конденсатора не позволяет отличить по внешнему виду указанный электрод, около него имеется метка.

Трубчатые опорные. Один конец керамической трубки с нанесенными на нее электродами впаян в металлическую втулку с внешней резьбой. С помощью втулки и гайки конденсатор устанавливают в отверстие монтажной панели. Через втулку обеспечивается надежный контакт внешнего электрода с монтажной панелью. Выводом от внутреннего электрода является



Рис. 12-16.

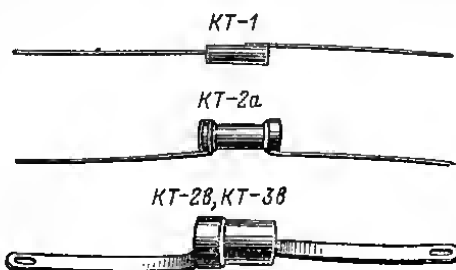


Рис. 12-17.

стержень диаметром 1,2 мм или контактный лепесток с отверстием для припайки внешнего проводника (рис. 12-18, а, табл. 12-18). Назначение трубчатого опорного конденсатора такое же, как и дискового опорного.

Таблица 12-17

Параметры трубчатых керамических конденсаторов

Группа ТКЕ	КТ-1 (Ø 3 мм)		КТ-2 (Ø 7 мм)		КТ-3 (Ø 10 мм)	
	$U_{\text{ном}}, \text{В}$	$C_{\text{ном}}, \text{пФ}$	$U_{\text{ном}}, \text{В}$	$C_{\text{ном}}, \text{пФ}$	$U_{\text{ном}}, \text{В}$	$C_{\text{ном}}, \text{пФ}$
П100	250	1,0—30	500	2,2—100	750	2,2—110
П33		1,0—62		2,2—180		2,2—150
М47		1,0—73		2,2—240		2,2—240
М75		1,0—130		2,2—360		—
М700		2,2—270		2,2—910		2,2—1000
М1500		15—560		15—2200		—
Н70	160	680—10 000	300	680 пФ — 0,033 мкФ	—	—

Примечания: 1. Указанные значения $U_{\text{ном}}$ допустимы при $t_{\text{окр}} \leq 85^\circ \text{C}$.
2. Конденсаторы КТ-1 — КТ-3 изготовляют с допускаемым отклонением от номинальной емкости $\pm 5\%$; $\pm 10\%$ или $\pm 20\%$; конденсаторы КТ-2 и КТ-3, кроме того, выпускают с отклонением $\pm 2\%$.

Проходные керамические конденсаторы К10П-4, КТП-1, КТП-2, КТП-3 (рис. 12-18, б) представляют собой конструктивную разновидность трубчатых. Трубку охватывает металлическая втулка. Если втулка имеет резьбу, конденсатор крепится в отверстии шасси (экрана) с помощью гайки. Если резьбы нет, он укрепляется тугой посадкой втулки в отверстие шасси (экрана) и пайкой к нему. Через втулку осуществляется надежный электрический контакт внешнего электрода конденсатора с экраном.

По оси керамической трубки проходит насквозь припаянный к внутреннему электроду стержень. Концы последнего выступают из трубки.

Таблица 12-18

Параметры трубчатых опорных керамических конденсаторов

Группа ТКЕ	$C_{\text{ном. пФ}}$	
	КО-1 ($\varnothing 7 \times 12$, М5)	КО-2 ($\varnothing 8 \times 15$, М6)
П100	6,8	10
М47	15	22
М75	33	47
М750	68	100
М1500	22—150	220; 330
Н70	1000—2200	3300; 4700

Примечание. Допускаемое отклонение от номинальной емкости для конденсаторов группы Н70 не более $\pm 20\%$, для конденсаторов остальных групп $\pm 20\%$. Для конденсаторов группы Н70 $U_{\text{ном}} = 400$ В, для остальных 500 В; $t_{\text{окр. макс}} = 85^\circ\text{C}$.

Таблица 12-19

Параметры монолитных керамических конденсаторов

Группа ТКЕ	КМ-4		КМ-5		КМ-6	
	$U_{\text{ном. В}} (t_{\text{окр. макс}})$	$C_{\text{ном. пФ}}$	$U_{\text{ном. В}} (t_{\text{окр. макс}})$	$C_{\text{ном. пФ}}$	$U_{\text{ном. В}} (t_{\text{окр. макс}})$	$C_{\text{ном. пФ}}$
П33 М47 М75 М750 М1500	250 (125° C)	16—510 27—510 47—1000 68—1800 150—3600	160 (125° C)	16—680 27—680 47—1300 68—2700 150—5600	25 (155° C)	120—2200 120—2200 180—2700 470—8200 820—6800 0,01—0,015 мкФ
Н30	160 (125° C)	1500—6800; 0,01—0,047 мкФ	100 (125° C)	1500—6800; 0,01—0,068 мкФ	—	—
Н30	250 (125° C)	КМ-3 680 пФ— 0,022 мкФ	—	—	25 (155° C)	0,01—0,15 мкФ
			50 (85° C)	0,015—0,15 мкФ	25 (85° C)	0,022—1,0 мкФ

Примечание. Конденсаторы выпускаются с допускаемым отклонением от номинальной емкости $\pm 5\%$; $\pm 10\%$ и $\pm 20\%$.

Через стержень подают питание на заключенные в экран ВЧ каскады, обеспечивая таким образом эффективную их защиту от помех, которые могут проникнуть по цепям питания.

Монолитные (рис. 12-19, табл. 12-19). Представляют собой призмы прямоугольного сечения, образованные тонкими слоями металла (электроды),

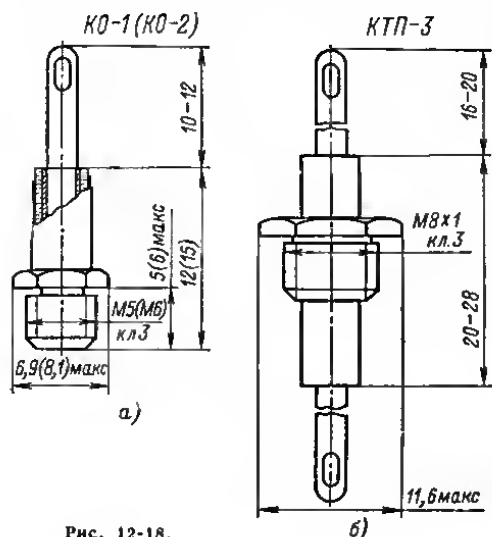


Рис. 12-18.

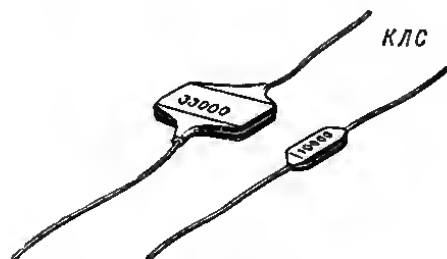


Рис. 12-19.

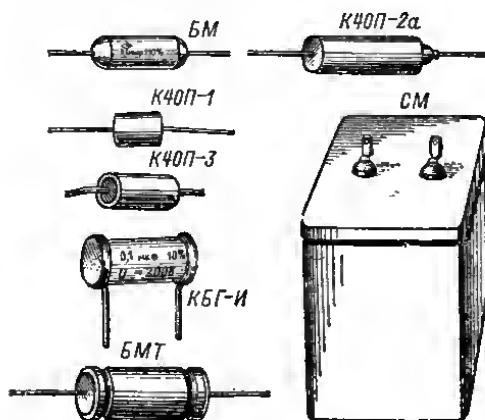


Рис. 12-20.

чередующимися со слоями керамики толщиной 0,12—0,25 мм (диэлектрик). Все слои спечены между собой при высокой температуре. Выводы проволоочные; снаружи конденсатор покрыт эмалью.

Литые секционные (табл. 12-20). Корпус конденсатора — прямоугольная призма из керамики. Прорезы прямоугольного сечения шириной 0,1—0,2 мм разделяют призму на ряд пластинок толщиной 0,14—0,5 мм. На поверхности пластины методом вжигания при высокой температуре нанесены слои серебра — электроды конденсатора. Серебряные слои в четных прорезах соединены между собой таким же слоем на одном из торцов корпуса, а слои в нечетных прорезах — на другом торце. Выводы изготовлены из медной посеребренной проволоки.

Конденсаторы с бумажным диэлектриком

Конденсаторы БМ (рис. 12-20, табл. 12-21, 12-22). Цилиндрическая секция заключена в металлическую трубку диаметром 5—7,5 и длиной 17—24 мм (в зависимости от номинального напряжения и емкости конденсатора). Проволоочные выводы от электродов выходят наружу через торцы трубок, залитых эпоксидным компаундом.

Конденсаторы БМ-1 в цепях с напряжениями менее 10 В применять не рекомендуется. Максимальная окружающая температура $t_{\text{окр. макс}} = 70^\circ \text{C}$.

Конденсаторы БМТ — малогабаритные теплостойкие ($t_{\text{окр. макс}} = 100^\circ \text{C}$). Цилиндрическая секция заключена в металлическую трубку диаметром 6—16 и длиной 24—45 мм. Проволоочные выводы выходят через резиновые торцевые изоляторы.

Конденсаторы К40П-1. Цилиндрическая секция опресована пластмассой. Проволооч-

Таблица 12.2)

Параметры и маркировка литых секционных керамических конденсаторов

Группа ТКЕ	Тип кон- денсатора (маркиро- вочный знак)	$U_{ном'}$ В ($t_{окр. макс}$)	$C_{ном'}$ пФ	Тип конден- сатора (маркировоч- ный знак)	$U_{ном'}$ В ($t_{окр. макс}$)	$C_{ном'}$ пФ	Тип кон- денсатора (маркиро- вочный знак)	$U_{ном'}$ В ($t_{окр. макс}$)	$C_{ном'}$ пФ
M47		—	—		160 (155 °C)	18—330		250 (155 °C)	18—270
M75 M700	КЛГ-1 (зеленая точка)	—	—	КЛГ-2 (флюотовая точка)	160 (125 °C)	20—330 51—1000	КЛГ-3 (желтая точка)	250 (125 °C)	20—270 51—680
M1300		—	—		160 (85 °C)	390—2000		250 (100 °C)	160—1000
H30		—	—		160 (85 °C)	2200—0,01 мкФ		—	1000—4700
H70		70 (85 °C)	0,01—0,033 мкФ		160 (85 °C)	4700—0,022 мкФ		—	—
M47, M75 M750, M1500		70 (85 °C)	30—300 380—3000	КЛС-2 (коричневая полоска)	125 (85 °C)	18—160 91—150	КЛС-3 (черная полоска)	200 (85 °C)	82—91 15—820
H30	КЛС-1	50 (85 °C)	1500—0,01 мкФ		100 (85 °C)	100—6800		160 (85 °C)	680—3300
H50	(бежевая полоска)	70 (85 °C)	1500—0,01 мкФ		125 (85 °C)	680—3300		—	—
H70		35 (85 °C)	4700—0,033 мкФ		—	—		—	—
H90			4700—0,1 мкФ		—	—		—	—

ные выводы выходят из торцов корпуса, имеющего диаметр 7—13 и длину 25—45 мм; $t_{\text{окр. макс}} = 70^\circ \text{C}$.

Конденсаторы К40П-2 — герметичные, в металлическом трубчатом корпусе. В конденсаторах К40П-2а с корпусом соединены один из электродов, а в конденсаторах К40П-2б от корпуса изолированы оба электрода. Изолированные проволочные выводы выходят из корпусов через стеклянные изоляторы. Диаметры корпусов конденсаторов К40П составляют 26 или 11, длина 24—29 мм; $t_{\text{окр. макс}} = 85^\circ \text{C}$.

Конденсаторы СМ используют в феррорезонансных стабилизаторах напряжения. Секции заключены в металлический корпус размером $95 \times 80 \times 115$ мм. Контактные лепестки расположены на стеклянных выводных изоляторах. Номинальное эффективное переменное напряжение 650 В при частоте 50 Гц. Номинальная емкость $C_{\text{ном}} = 5$ или $3,5$ мкФ; отклонение от номинальной емкости ± 10 или $\pm 20\%$; $t_{\text{окр. макс}} = 60^\circ \text{C}$.

Таблица 12-21

Параметры бумажных конденсаторов в цилиндрических корпусах

$U_{\text{ном}}$, В	$C_{\text{ном}}$		
	БМ	К40П-1	К40П-2
150	0,033; 0,047 мкФ	—	—
200	3300—6800 пФ	—	—
200	0,01—0,022 мкФ	—	—
300	470—2200 пФ	—	—
	БМТ		
400	4700—6800 пФ	3900—6800 пФ	1000—6800 пФ
400	0,01—0,22 мкФ	0,01—0,18 мкФ	0,01—0,047 мкФ
600	1000—6800 пФ	470—6800 пФ	—
600	0,01—0,22 мкФ	0,01—0,18 мкФ	—

Примечания: 1. В таблице указаны значения постоянного напряжения $U_{\text{исп}} = 2U_{\text{ном}}$.

2. Отклонение от номинальной емкости конденсаторов БМ не более ± 10 и $\pm 20\%$, для конденсаторов остальных типов не более ± 5 ; ± 10 и $\pm 20\%$.

Таблица 12-22

Предельно допустимые переменные напряжения для конденсаторов с бумажным диэлектриком

Номинальное напряжение постоянного тока, В	Действующие значения напряжения переменного тока, В				
	При частоте 50 Гц		При частоте 500 Гц		
	Для БМ и БМТ 0,063—0,25 мкФ; К40П-1	Для БМТ до 0,05 мкФ; К40П-2	Для БМ и БМТ 0,063—0,25 мкФ; К40П-1	Для БМТ до 0,05 мкФ	Для К40П-2
150	100	—	60	—	—
200	150	160	75	—	100
300	230	—	120	—	—
400	200	250	100	150	125
600	250	300	125	175	150

Металлобумажные конденсаторы

Металлобумажные конденсаторы имеют значительно меньшие объемы, чем бумажные таких же номинальных емкостей и напряжений (рис. 12-21).

Особенность металлобумажных конденсаторов заключается в том, что они самовосстанавливаются при возникновении электрического пробоя диэлектрика; через место пробоя возникает разрядный ток, мгновенно расплавляющий металлизацию вокруг этого места. В результате на бумаге вокруг места пробоя не остается металлического слоя; оно оказывается изолированным от электродов, и разряд прекращается.

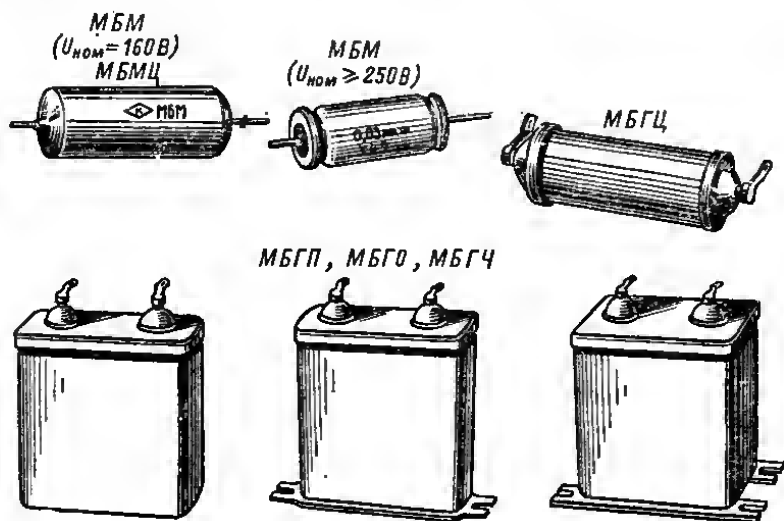


Рис. 12-21.

Для металлобумажных конденсаторов $t_{\text{окр. макс}} = 70^\circ \text{C}$ (для MBGO — до 60°C).

Применяют металлобумажные конденсаторы в фильтрах выпрямителей с выходным напряжением более 400 В (например, в выпрямителях передатчиков), а также при частотах пульсации выпрямленного напряжения в несколько килогерц.

Конденсаторы MBM и MBMP выпускаются с $U_{\text{ном}} = 160, 200$ и 400 В (табл. 12-23). Секции заключены в цилиндрические металлические трубки диаметром 6—18 и длиной 22—60 мм. Торцы трубок залиты эпоксидным компаундом, через который выходят наружу проволочные выводы от электродов. У конденсаторов MBM с большими номинальными напряжениями проволочные выводы выходят через торцевые резиновые изоляторы; диаметры корпусов этих конденсаторов 9—20 и длина 25—51 мм.

Конденсаторы MBM и MBMC можно включать в цепи переменного тока с напряжениями, не превышающими следующих, действующих значений при частотах до 1 кГц:

Номинальное постоянное напряжение, В	200	250	400—750	1000; 1500
Предельное переменное напряжение, В	50	60	100	150

Таблица 12-23

Параметры металлобумажных конденсаторов

$U_{ном},$ В	$C_{ном},$ мкФ				
	МБМ, МБМЦ	МБГЦ	МБГП	МБГО	МБГЧ
160	—	—	1—30	2—30	—
200	0,25—1,0	0,25—1,0	0,5—25	—	—
250	0,05—1,0	—	1—10	—	0,5—10
300	—	—	—	1—30	—
380	—	—	—	—	1,0
400	0,05—1,0	0,1—0,5	0,25—10	1—20	—
500	0,025—0,5	—	—	0,5—20	0,5—4
600	—	0,025—0,25	0,1—10	0,25—10	—
750	0,01—0,25	—	—	—	0,25—2,0
1000	0,01—0,1	—	0,5—10	—	0,25—1,0
1500	0,0051—0,1	—	0,25—10	—	—

Примечания: 1. Для конденсаторов МБГЧ $U_{ном}$ — это действующее значение переменного напряжения частотой 50 Гц и для конденсаторов остальных типов — значение постоянного напряжения. Для конденсаторов МБГО $U_{исп} = U_{ном}$, для МБГЧ $U_{исп} = 1,4 U_{ном}$ и для конденсаторов остальных типов $U_{исп} = 1,5 U_{ном}$.

2. Отклонение емкости конденсаторов от номинальной не более ± 10 или $\pm 20\%$ (конденсаторы МБГЦ и МБГП, кроме того, изготавливают с допуском не более $\pm 5\%$).

3. Конденсаторы МБМ выпускают с $U_{ном} = 250, 500, 750, 1000$ и 1500 В, а МБМЦ — с $U_{ном} = 200$ и 400 В.

Конденсаторы МБГЦ имеют металлический корпус диаметром 11—19 и длиной 37—51 мм. Одна из обкладок конденсатора МБГЦ-1 соединена с корпусом, а вывод другой обкладки изолирован от него; у конденсатора МБГЦ-2 обе обкладки изолированы от корпуса. Изолированные выводы выходят из корпуса через стеклянные изоляторы, впаиваемые в его торцы. На изоляторах имеются контактные лепестки для включения в схему пайкой.

Конденсаторы МБГП — герметичные в прямоугольном корпусе и МБГО — герметичные с однослойным диэлектриком имеют по одной или по несколько соединенных параллельно секций, заключенных в металлические корпуса прямоугольного сечения. Выводы обкладок проходят через стеклянные изоляторы на верхней крышке корпуса. На изоляторах имеются контактные лепестки для включения конденсаторов в схему пайкой.

Размеры корпусов конденсаторов МБГП: длина 31—72, ширина 11—110 и высота 25—118 мм. Размеры корпусов конденсаторов МБГО следующие: длина 31 или 46, ширина 11—77 и высота 25 или 50 мм.

Конденсаторы МБГЧ рассчитаны для применения в цепях переменного тока. Конструктивно они подобны конденсаторам МБГП. Секции соединены последовательно. Размеры корпусов: длина 31, 46 или 72, ширина 11—62 и высота 26—118 мм.

При $f > 50$ Гц допускаемые напряжения снижаются по сравнению с указанными в табл. 12-23 до следующих значений: при 100 Гц — до $0,75 U_{ном}$, при 500 Гц — до $0,5 U_{ном}$, при 1 кГц — до $0,2 U_{ном}$ и при 2 кГц — до $0,1 U_{ном}$.

Пленочные конденсаторы

Электродами пленочного конденсатора являются ленты из алюминиевой фольги, а диэлектриком — находящиеся между ними ленты из полистирольной пленки (стирофлекс), полиэтилентерефталата (лавсан) или фторопласта-4. Ленты свернуты вместе в рулон, образуя конденсаторную секцию.

Конденсаторы ПО и ПМ-1 — полистирольные бескорпусные, цилиндрической формы; проволочные выводы выходят из торцов.

Параметры конденсаторов ПО: $U_{\text{ном}} = 300$ В, $0,015\text{--}0,033$ мкФ и $U_{\text{ном}} = 500$ В, $C_{\text{ном}} = 15$ пФ ÷ $0,012$ мкФ. Диаметр 12—24, длина 27—49 мм; $t_{\text{окр. макс}} = 50^\circ\text{C}$.

Параметры конденсаторов ПМ-1: $U_{\text{ном}} = 70$ В, $C_{\text{ном}} = 100 \div 1000$ пФ. Диаметр 3—10, длина 8—18 мм; $t_{\text{окр. макс}} = 70^\circ\text{C}$.

Параметры конденсаторов ПМ-Г: $U_{\text{ном}} = 70$ В, $C_{\text{ном}} = 100 \div 1000$ пФ. Диаметр 3—10, длина 8—18 мм; $t_{\text{окр. макс}} = 70^\circ\text{C}$.

Высоковольтные конденсаторы ПОВ и К70-3 — полистирольные бескорпусные с проволочными выводами. Используются в качестве конденсаторов фильтров анодного напряжения кинескопов (в телевизорах); $t_{\text{окр. макс}} = 55^\circ\text{C}$.

Конденсаторы ПОВ (рис. 12-22) изготавливают со следующими параметрами: $U_{\text{ном}} = 20$ кВ, $C_{\text{ном}} = 120$ пФ; $U_{\text{ном}} = 10$ и 16 кВ, $C_{\text{ном}} = 390$ пФ; 11—21, длина 34—40 мм.



Рис. 12-22.

Конденсаторы К70-3 изготавливают со следующими параметрами: $U_{\text{ном}} = 16$ кВ, $C_{\text{ном}} = 150$ пФ ($\varnothing 15 \times 23$ мм) и 390 пФ ($\varnothing 10 \times 78$ мм).

Конденсаторы ПМ-2 и МПО — полистирольные, в металлических корпусах в виде цилиндрической трубки. Из ее торцов, залитых эпоксидным компаундом, выходят проволочные выводы.

Конденсаторы ПМ-2 изготавливают со следующими параметрами: $U_{\text{ном}} = 70$ В, $C_{\text{ном}} = 100 \div 1000$ пФ; диаметр корпуса 4—12, длина 14—24 мм; $t_{\text{окр. макс}} = 60^\circ\text{C}$.

Конденсаторы МПО изготавливают с параметрами $U_{\text{ном}} = 200$ В при $C_{\text{ном}} = 0,25$ и $0,5$ мкФ; $U_{\text{ном}} = 400$ В при $C_{\text{ном}} = 3000$ пФ ÷ $0,25$ мкФ; $U_{\text{ном}} = 600$ В при $C_{\text{ном}} = 1000$ пФ ÷ $0,1$ мкФ; $t_{\text{окр. макс}} = 60^\circ\text{C}$.

Конденсаторы К74-5 с диэлектриком из полиэтилентерефталата выполнены в прямоугольных алюминиевых корпусах. Параметры конденсаторов: $U_{\text{ном}} = 50$ В, $C_{\text{ном}} = 1000$ пФ ÷ $0,22$ мкФ; длина корпуса 5—16, ширина 2,5—10 и высота 13 мм. Выводы проволочные, параллельные

Металлопленочные конденсаторы

Электроды металлопленочного конденсатора являются тонкие слои металла, нанесенные с двух сторон на поверхность полиэтилентерефталатной пленки.

Работоспособность металлопленочного конденсатора восстанавливается после электрического пробоя пленки так же, как и в металlobумажном конденсаторе.

Конденсаторы К73П-2 выпускают в цилиндрических и прямоугольных корпусах, аналогичных корпусам конденсаторов МБГП (рис. 12-23).

Параметры конденсаторов К73П-2 в цилиндрических корпусах: $U_{\text{ном}} = 400$ В, $C_{\text{ном}} = 2200$ пФ ÷ $0,68$ мкФ; $U_{\text{ном}} = 630$ В, $C_{\text{ном}} = 1000$ пФ ÷ $0,47$ мкФ; $U_{\text{ном}} = 1$ кВ, $C_{\text{ном}} = 4700$ пФ ÷ $0,33$ мкФ; диаметр корпуса 6—24 и длина 20—52 мм.

Параметры конденсаторов К73П-2 в прямоугольных корпусах: $U_{\text{ном}} = 400$ В, $C_{\text{ном}} = 0,5 \div 15$ мкФ; $U_{\text{ном}} = 630$ В, $C_{\text{ном}} = 0,25\text{--}10$ мкФ; $U_{\text{ном}} = 1$ кВ,

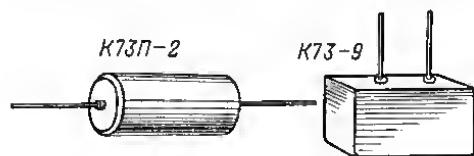


Рис. 12-23.

$C_{\text{ном}} = 0,5 \div 10$ мкФ; длина корпуса 31, 46 или 86 мм, ширина 16—81, высота 25—140 мм; $t_{\text{окр. макс}} = 125^\circ \text{C}$.

Конденсаторы К73П-4 имеют прямоугольные корпуса, аналогичные корпусам конденсаторов МБГП. Параметры конденсаторов: $U_{\text{ном}} = 250$ В и $C_{\text{ном}} = 0,5 \div 15$ мкФ; длина корпуса 31 или 46 мм, ширина от 16 до 86 мм и высота 25 или 50 мм; $t_{\text{окр. макс}} = 70^\circ \text{C}$.

Конденсаторы К73-9 (см. рис. 12-23) предназначаются для монтажа на печатных платах. Параметры конденсаторов: $U_{\text{ном}} = 100$ В, $C_{\text{ном}} = 100$ пФ \div 0,22 мкФ.

Электролитические конденсаторы

Электролитические конденсаторы разделяются на полярные, работающие только в цепях с постоянным или пульсирующим напряжением, и неполярные, предназначенные для работы в цепях переменного тока.

Выпускаются электролитические конденсаторы на номинальные напряжения постоянного тока 3—450 В с номинальными емкостями 1—4000 мкФ. При температуре $15\text{—}25^\circ \text{C}$ возможно отклонение от номинального значения емкости от +80 до -20% .

Преимущество электролитических конденсаторов перед конденсаторами с другими диэлектриками — большие удельные емкости, недостатки — значительное уменьшение емкости при пониженных температурах и существенное увеличение тока утечки через диэлектрик при повышенных температурах.

Применяют электролитические конденсаторы чаще всего в фильтрах выпрямителей с выходным напряжением до 400 В. При этом конденсаторы следует включать так, чтобы изолированный вывод имел положительный потенциал по отношению к его корпусу.

Минимальная температура, при которой сухой электролитический конденсатор считают работоспособным, это температура, при которой его емкость снижается не более чем в 2 раза по сравнению с емкостью, измеренной при температуре 25°C . Эта температура имеет следующие значения: для конденсаторов К50-6 и К50-7 — минус 10°C ; для конденсаторов К50-3 и К50-3Б — минус 40°C ; для конденсаторов К50-3А — минус 60°C .

Максимальная рабочая температура окружающей среды равна 70°C для конденсаторов К50-3, К50-3А, К50-6 и К50-7 при работе под напряжением не более номинального; 85°C — для конденсаторов К50-3А при напряжении не более номинального, для конденсаторов К50-6 при напряжении не более половины номинального и для конденсаторов К50-7 при напряжении не более $\frac{2}{3}$ номинального значения. С повышением температуры емкость и ток утечки увеличиваются.

Особенности эксплуатации. Электролитический полярный конденсатор работоспособен при условии, что его положительный электрод имеет постоянный положительный потенциал по отношению к отрицательному. Включение конденсатора с обратной полярностью ведет к его пробое (исключение составляют неполярные конденсаторы).

При пребывании конденсатора без напряжения пропитывающая бумагу жидкость растворяет слой окиси на алюминии, снижая его диэлектрические свойства. Поэтому в момент подачи напряжения на конденсатор его ток утечки очень велик. Под действием напряжения слой окиси «формируется», ток утечки уменьшается и через несколько минут стабилизируется.

Со временем диэлектрические свойства окиси ухудшаются вследствие частичного испарения пропитывающей жидкости, что ведет к необратимому уменьшению емкости конденсатора. При повышенной температуре этот процесс ускоряется. Через 5000—10 000 ч работы можно ожидать снижения емкости отдельных конденсаторов примерно на 30%.

Конденсаторы К50-6 выполнены в корпусе в виде алюминиевого тонкостенного стакана с крышкой из изоляционного материала (рис. 12-24 и 12-25). Конденсаторы имеют изолированные лепестковые или проволочные выводы от

обоих электродов. Крепление конденсаторов на монтажных панелях осуществляется скобами или хомутами.

Конденсаторы К50-7. Корпус — алюминиевый стакан. Его пластмассовая крышка составляет одно целое со втулкой с резьбой. С помощью гайки, навинчиваемой на пластмассовую втулку, конденсатор крепят в отверстии монтажной панели (гайка штампована из листовой стали). Положительный электрод выведен к контактному лепестку на крышке, отрицательный соединен с корпусом. Особенности конденсаторов К50-7: а) допустимо кратковременно повышать напря-

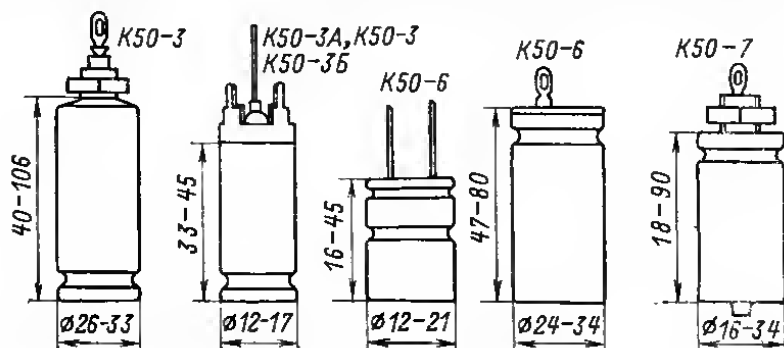


Рис. 12-24.

жение до значения $1,15 U_{ном}$; б) в дне корпуса имеется предохранительный клапан, обеспечивающий выход газов из конденсатора в случае недопустимого повышения их давления.

Конденсаторы К50-3, К50-3А и К50-3Б выпускают в трех конструктивных вариантах: а) с резьбой для крепления в отверстиях монтажной панели, вывод положительного электрода — лепесток; б) с отгибающимися лапками для крепления при печатном монтаже, вывод положительного электрода проволоочный, $U_{ном} \leq 160$ В; в) малогабаритные для навесного монтажа, выводы электродов проволоочные, $U_{ном} \leq 100$ В. Положительный электрод изолирован от корпуса, отрицательный соединен с корпусом.

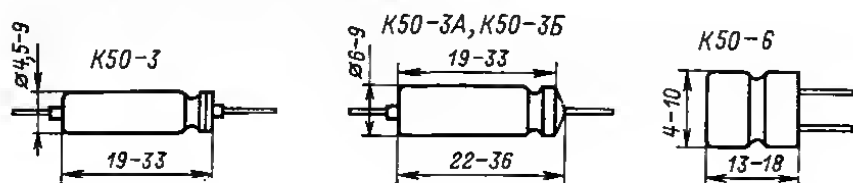


Рис. 12-25.

Конденсаторы ЭТО-1 и ЭТО-2 — электролитические танталовые, с объемно-пористыми анодами. Корпус 1 (рис. 12-26) грибовидный, наполнен жидким кислотным электролитом 2. Положительный электрод 3 — цилиндр, спрессованный из зерен тантала и подвергнутый обжигу, во время которого зерна спекаются между собой. Диэлектрик — тонкая пленка окиси тантала на поверхностях зерен. Вывод от положительного электрода — контактный лепесток 4, изолированный от корпуса прокладкой из резины 5 и диском из стекло-текстолита 6. Отрицательным электродом конденсатора является и наполняющий его электролит, а его выводом корпус конденсатора.

Конденсаторы ЭТО-1 выпускают со следующими номинальными напряжениями и емкостями: 6 В, 80 мкФ; 15 В, 50 мкФ; 25 В, 30 мкФ; 50 В, 20 мкФ; 70 В, 15 мкФ; 90 В, 10 мкФ. Диаметр корпуса 14, высота 10 мм.

Конденсаторы ЭТО-2 имеют номинальные напряжения и емкости: 6 В, 1000 мкФ; 15 В, 400 мкФ; 25 В, 300 мкФ; 50 В, 200 мкФ; 70 В, 150 мкФ; 90 В, 100 мкФ. Диаметр корпуса 24, высота 14 мм.

12-6. ПОДСТРОЕЧНЫЕ КОНДЕНСАТОРЫ

Для подгонки параметров колебательных контуров под нужную частоту (диапазон частот) применяют преимущественно керамические подстроечные конденсаторы.

Подстроечный конденсатор (рис. 12-27) состоит из керамического основания (статора) и подвижного керамического диска (ротора). Последний прикреплен к основанию на оси и может вращаться с помощью отвертки или специального ключа. Одна из плоскостей ротора прилегает к поверхности статора; обе эти поверхности шлифованы. На шлифованную поверхность статора нанесен серебряный электрод. Другой электрод нанесен на внешнюю поверхность ротора.

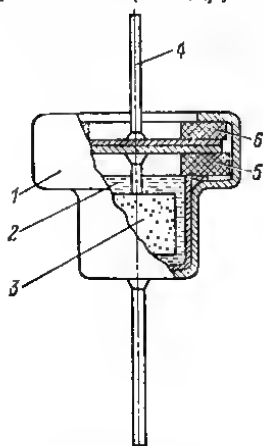


Рис. 12-26.

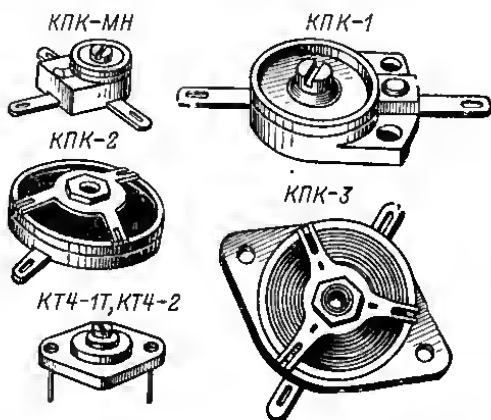


Рис. 12-27.

Электроды имеют форму секторов. Диэлектриком служит материал ротора. Вращая ротор, изменяют взаимное положение электродов и, следовательно, емкость между ними.

Конденсаторы КПК-МН (для навесного монтажа) и КПК-МП (для печатного монтажа) имеют одинаковую конструкцию и отличаются только формой лепестковых выводов. Диаметр роторов 11 мм. Выпускаются эти конденсаторы с пределами изменения емкости: 4—15, 5—20, 6—25 и 8—30 пФ.

Конденсаторы КТ4-1Т и КТ4-2 имеют проволочные выводы и рассчитаны для пайки на платах с печатным монтажом. Диаметры роторов 9 мм. Пределы изменения емкости: 3—20 или 4—15 пФ.

Конденсаторы КПК-1 имеют лепестковые выводы; диаметр роторов 18 мм. Пределы изменения емкости: 2—7, 4—15, 6—25 и 8—30 пФ.

Конденсаторы КПК-2 и КПК-3. Диаметр роторов 33 мм. Емкости изменяются в пределах 6—60, 10—100 и 25—150 пФ.

При монтаже подстроечных конденсаторов их роторы должны соединяться с корпусом РЭА. С течением времени емкости этих конденсаторов несколько изме-

няются, главным образом вследствие микроскопических изменений воздушных зазоров между статором и ротором. Чтобы эти изменения были меньше, после окончания монтажа и регулировки аппаратуры торцы подстроечных конденсаторов нужно покрыть лаком.

12-7. МАГНИТНЫЕ СЕРДЕЧНИКИ, МАГНИТОПРОВОДЫ, ДРОССЕЛИ И ТРАНСФОРМАТОРЫ

Терминология и основные параметры магнитных материалов

Магнитомягкий материал — магнетик с коэрцитивной силой не более 0,8 А/м.

Магнитотвердый материал — магнетик с коэрцитивной силой более 4 кА/м.

Коэрцитивная сила — напряженность магнитного поля, обратного по направлению намагничивающему полю, необходимая для того, чтобы довести до нулевого значения остаточную намагниченность материала, предварительно намагниченного до насыщения.

Магнитная проницаемость материала μ — отношение напряженности магнитного поля, создаваемого электрическим током, протекающим по виткам обмотки, расположенной на кольцевом сердечнике из данного материала без немагнитных зазоров, к напряженности магнитного поля, создаваемого током такой же силы в отсутствие сердечника.

Начальная магнитная проницаемость $\mu_{нач}$ — магнитная проницаемость, которую материал имеет в слабом магнитном поле (напряженность не более 0,08 А/м, т. е. 0,001 Э). Практически такие условия имеют место, например, в ВЧ контурах приемной аппаратуры.

Эффективная магнитная проницаемость сердечника (магнитная проницаемость формы) $\mu_{эфф}$ — отношение индуктивности катушки с данным сердечником при слабом магнитном поле к ее индуктивности в отсутствие сердечника. Для кольцевого сердечника при малой напряженности магнитного поля $\mu_{эфф} \approx \mu_{нач}$; для сердечников других видов $\mu_{эфф} < \mu_{нач}$ и зависит от формы сердечника и размещения на нем катушки. В случае стержневого сердечника $\mu_{эфф}$ зависит от положения его по отношению к катушке; в случае броневое сердечника с подстроечником изменяется при изменении положения подстроечника.

В справочниках приводят значения $\mu_{эфф}$, измеренные при определенных (образцовых) катушках.

Критическая частота $f_{кр}$ — частота, при которой значение тангенса угла потерь материала достигает 0,1 (или 0,02), что соответствует снижению добротности сердечника до значения 10 (или 50). Потери в магнитном материале увеличиваются с повышением частоты. Определяют тангенс угла потерь (добротность), измеряя на различных частотах реактивное сопротивление и сопротивление потерь образцовой катушки с кольцевым сердечником. Поскольку на ВЧ потери на сопротивлении обмотки значительно меньше потерь в магнитном материале, считают, что полученная при измерении величина потерь полностью относится к сердечнику.

Максимальная магнитная индукция B_m . Магнитной индукцией называют плотность магнитного потока в данной точке магнитного поля (единица измерения тесла или гаусс, причем 1 Гс = 10^{-4} Т). Считая, что магнитный поток Φ [Вб] равномерно распределен по сечению магнитопровода (сердечника) S [м²], магнитная индукция в теслах составит: $B = \Phi/S$. (При изменении магнитного потока на 1 Вб в течение 1 с в электрической цепи индуцируется э. д. с. величиной 1 В.)

При расчетах магнитопроводов, работающих в режиме сильных магнитных полей, задаются максимальным значением магнитной индукции B_m , допустимым для применяемого магнитного материала; при большем значении магнитной индукции наступает насыщение материала — его магнитная проницаемость начинает уменьшаться.

Ферритовые сердечники

Ферритами называют ферромагнетики на основе двойных окислов железа и одновалентных или двухвалентных металлов: никеля, цинка, марганца, лития, бария и др. Ферриты имеют кристаллическую структуру и относятся к числу полупроводников с электронной электропроводностью.

По своим свойствам, которые определяют области применения ферритов, они делятся на магнитомягкие, с прямоугольной петлей гистерезиса, магнито-стрикционные и магнитотвердые (ферриты бария) — ферроксиды.

Сердечники из ферритов с прямоугольной петлей гистерезиса применяют в элементах памяти логических схем, магнито-стрикционные — в генераторах звуковых и ультразвуковых колебаний и в электромеханических фильтрах, а магнитотвердые — для изготовления постоянных магнитов громкоговорителей и других приборов.

Радиолюбители-конструкторы в своей практической деятельности имеют дело почти исключительно с сердечниками из магнитомягких ферритов, применяя их в ВЧ катушках, дросселях и трансформаторах, в магнитных антеннах, в трансформаторах строчной развертки и отклоняющих системах телевизоров, в трансформаторах преобразователей постоянного напряжения.

Обозначение марки феррита состоит из букв и одного-двух чисел. В обозначении марки магнитомягкого феррита, предназначенного для применения на частотах выше 5 МГц, имеются буквы ВЧ (высокочастотный), а в предназначенных для работы на более низких частотах — буква Н (низкочастотный). Вторая буква Н или М означает никель-цинковый или марганец-цинковый феррит соответственно. Дополнительно в обозначении марки может быть буква С — феррит для работы в сильных магнитных полях (где магнитная индукция более 0,05—0,1 Т, например, в выходных трансформаторах строчной развертки телевизоров) или буква И — специальный феррит для работы в импульсных магнитных полях. Отсутствие третьей, дополнительной буквы указывает на то, что феррит предназначен для работы в слабых синусоидальных полях, например в катушках индуктивности резонансных контуров радиоприемников.

Число впереди букв указывает среднее значение начальной магнитной проницаемости феррита. После букв может стоять (не обязательно) число или буква для обозначения феррита по некоторым свойствам.

Условное обозначение сердечника из магнитомягкого феррита складывается из следующих элементов: 1) буквы М, означающей изделие из феррита; 2) марки материала, из которого оно изготовлено; 3) сокращенного обозначения конструктивного вида сердечника. Последнее состоит из следующих букв и цифр:

Б — броневого (из двух чашек и подстроечника); число после буквы указывает округленно внешний диаметр чашки.

Г — Г-образный (для телевизионной аппаратуры); числа после буквы указывают последовательно длину, ширину и толщину изделия.

Д — двухотверстный; числа после буквы указывают длину, ширину и толщину изделия.

К — кольцевой; числа последовательно указывают внешний диаметр, внутренний диаметр и высоту кольца.

ОС — кольцевой, типа «колокольчик» (для отклоняющих систем кинескопов); число после букв является условным обозначением типоразмера сердечника.

ПК — П-образный с «ножками» круглого сечения; первое число обозначает ширину окна, второе — диаметр ножек. Из двух сердечников типа ПК собирают замкнутый магнитопровод трансформатора строчной развертки телевизора.

ПП — то же с ножками прямоугольного сечения; первое число указывает ширину окна, второе — ширину ножки, третье — высоту сердечника (исключение: первое число «53» в обозначении сердечника для ТВС кинескопа с отклонением луча 70° указывает ширину сердечника).

СС — стержень цилиндрический, диаметр до 3,5 мм; первое число указывает диаметр, второе — длину сердечника.

Так же, но без букв СС, обозначают цилиндрические стержни диаметром 8 и 10 мм для магнитных антенн радиоприемников.

Числа в обозначениях пластинчатых сердечников для магнитных антенн указывают последовательно: ширину, толщину и длину пластины; буквы отсутствуют:

Ш — Ш-образный; числа обозначают ширину и толщину средней ножки.

З — замкнутый, О-образный; числа последовательно указывают полную высоту сердечника, высоту окна, ширину сердечника и ширину окна.

Стержневые ферритовые сердечники (рис. 12-28, а, б) применяют в качестве элементов подстройки цилиндрических малогабаритных катушек индуктивности (см. § 1-2), а также в ВЧ дросселях. Наибольшее распространение имеют сердечники с размерами $d \times l = 2,8 \times 12$ и $2,8 \times 14$ мм.

Кроме того, изготавливают сердечники с размерами $d \times l = 1,2 \times 10$, $3,5 \times 13$, $3,5 \times 20$ и $3,5 \times 30$ мм (сердечники $\varnothing 3,5$ мм выполняют только из феррита 600НН).

Сердечники из феррита 100НН предназначены для работы в контурах, настраиваемых на частоты до 40 МГц, а из феррита 600НН — на частоты до 2 МГц.

Сердечники из феррита 600НН целесообразно применять в ВЧ дросселях, предназначенных для работы в широком диапазоне частот. Поскольку с увеличением частоты их магнитная проницаемость (и, следовательно, индуктивность) уменьшается, исключаются резонансные явления.

Кольцевые ферритовые сердечники изготавливают с размерами $d \times d_1 \times h$ (рис. 12-28, в) от $3 \times 2 \times 15$ до $125 \times 80 \times 12$ мм.

Максимальные рабочие частоты кольцевых сердечников из ферритов различных марок:

2000НН	200 кГц
1000НН, 1000НН-3	300 кГц
600НН, 600НН-8	1 МГц
400НН-4	2 МГц
100НН1-2	4 МГц
100НН3, 150НН1-2, 200НН-2, 1500НН1-2,	
90ВЧ1	30 МГц
1000НН4	40 МГц
60НН-2, 55НН1, 50ВЧ2-14	50 МГц
35НН-2	120 МГц

В радиолюбительской практике нередко приходится применять кольцевые сердечники, магнитная проницаемость которых неизвестна. Ее можно определить следующим образом. Наматывают равномерно по всей длине кольца пробную катушку, содержащую $w_{\text{пр}}$ витков, измеряют ее индуктивность и вычисляют магнитную проницаемость сердечника по формуле

$$\mu = \frac{2500L_{\text{пр}}(d + d_1)}{w_{\text{пр}}^2 h (d - d_1)}, \quad (12.3)$$

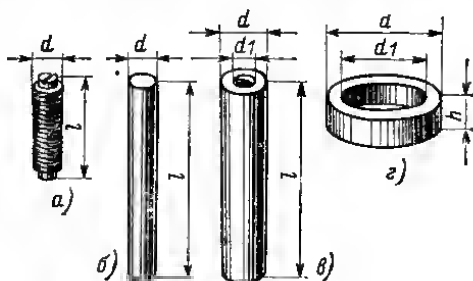


Рис. 12-28.

где $L_{пр}$ — полученная путем измерения индуктивность катушки, мкГ; d, d_1 и h — размеры сердечника согласно рис. 12-28, з, мм.

Расчет катушек на кольцевых сердечниках см. § 1-2.

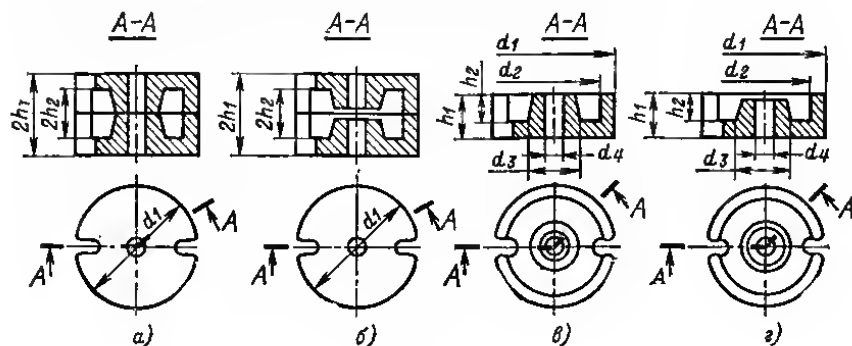


Рис. 12-29.

Броневые ферритовые сердечники (рис. 12-29, а) или без зазора

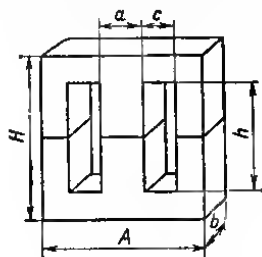


Рис. 12-30.

Броневой сердечник с зазором (рис. 12-29, б) собирают из двух чашек (рис. 12-29, в) и элемента подстройки. Последний может быть стержневым (тип ПС), трубчатым (тип ПТ) или резьбовым (тип ПР). Изменяя положение элемента подстройки, регулируют индуктивность катушки. В табл. 12-24 указаны размеры чашек и возможные для их комплектации типоразмеры сердечников.

Числа, входящие в обозначения сердечников, указывают следующие их номинальные размеры в миллиметрах:

первое число в обозначении стержневого сердечника ПТ указывает его диаметр, второе — длину;

первое число в обозначении трубчатого сердечника ПС указывает его внешний диаметр, второе — внутренний диаметр, третье — длину;

первое число в обозначении резьбового подстроечника ПР указывает его внешний диаметр по вершинам резьбы, второе — шаг резьбы, третье — длину.

Максимальные рабочие частоты броневых сердечников из ферритов различных марок:

700НМ, 700НМ9	3,0 МГц
1000НМ3, 1500НМ3	1,5 МГц
1500НМ1-6, 1500НМ2-6, 1500НМ3, 1500НМ3-2,	
2000НМ-15, 2000НМ-16	1,0 МГц
2000НМ1	0,6 МГц
20ВЧ2	70 МГц
30ВЧ2	100 МГц
50ВЧ2	50 МГц

Расчет катушек с броневыми сердечниками см. § 1-2.

Ш-образные ферритовые сердечники. Сердечник состоит из двух Ш-образных частей со шлифованными поверхностями стыка (рис. 12-30). В табл. 12-25 указаны номинальные геометрические размеры сердечников (ГОСТ 18614-73), эффективная длина пути магнитной линии l_m и эффективная магнитная проница-

Таблица 12-24

Броневые ферритовые сердечники

Тип сердечника	Номинальные размеры, мм, по рис. 12-29						Тип подстроечника
	d_1	d_2	d_3	d_4	h_1	h_2	
Б6	6,6	5,0	2,8	1,0	2,7	1,8	ПС 0,5 × 5,0
Б9	9,3	7,5	3,9	2,0	2,7	1,8	ПС 0,5 × 5,0; ПС 0,8 × 5,0
Б11	11,3	9,0	4,7	2,0	3,3	2,2	ПС 0,8 × 5,0; ПС 1 × 6
Б14	14,4	11,6	6,0	3,0	4,2	2,8	ПС 1,8 × 8; ПС 2,2 × 8; ПТ 2,2 × 0,8 × 8; ПР 2,2 × 0,45 × 8
Б18	18,4	14,9	7,6	3,0	5,3	3,6	ПС 1,8 × 10; ПС 2,2 × 10; ПТ 2,2 × 0,8 × 10; ПР 2,2 × 0,45 × 10
Б22	22,0	17,9	9,4	4,4	6,8	4,6	ПС 3,2 × 11; ПС 3,5 × 13; ПТ 3,5 × 1,2 × 13; ПР 3,5 × 0,6 × 12; ПР 4 × 0,5 × 12
Б26	26,0	21,2	11,5	5,4	8,1	5,5	ПС 3,9 × 15; ПС 4,5 × 15; ПТ 4,5 × 1,5 × 16; ПР 5 × 0,5 × 15
Б30	30,5	25,0	13,5	5,4	9,5	6,5	ПС 4,2 × 17; ПС 4,5 × 17; ПТ 4,5 × 1,5 × 18; ПР 4,5 × 0,5 × 18; ПР 5 × 0,5 × 21

Таблица 12-25

Ферритовые Ш-образные сердечники без зазора

Типоразмер*	Размеры, мм, по рис. 12-30				l_m , см	Эффективная магнитная проницаемость $\mu_{\text{эфф}}$ сердечников из ферритов марки			
	A	H	c	h		600НН	700НМ	2000НМ	4000НМ
Ш2,5 × 2,5	10	10	2,0	6,4	2,2	525	595	1025	1380
Ш3 × 3	12	12	2,5	8,0	2,6	545	630	1130	1575
Ш4 × 4	16	16	3,2	10,4	3,5	555	640	1260	1840
Ш5 × 5	20	20	4,0	13	4,3	565	645	1345	2020
Ш6 × 6	24	24	5,0	16	5,3	575	660	1445	2260
Ш7 × 7	30	30	6,0	19	6,3	580	—	1520	2440
Ш8 × 8	32	32	7,5	23	7,5	585	—	1575	2600
Ш12 × 15	42	42	9,0	30	9,7	590	—	1655	—
Ш20 × 28	65	65	12	44	14,4	590	—	1755	—

* Первое число в обозначении типоразмера сердечника указывает ширину среднего стержня a , второе — толщину сердечника b в миллиметрах.

мость $\mu_{эф}$ сердечников из ферритов различных марок. Сердечники предназначены для работы в диапазоне частот от 1 до 100 кГц и применяются в трансформаторах статических преобразователей постоянного напряжения, строчной развертки телевизоров и др.

Таблица 12-26

П-образные ферритовые сердечники

Типоразмер	Размеры, мм, по рис. 12-31					Типоразмер	Размеры, мм, по рис. 12-31				
	$\frac{B}{D}$	A	H	l	h		$\frac{B}{D}$	A	H	l	h
П110	15	54	66	30	40	ПК 38×14	14	64	60	38	38
П110П	15	54	58	30	32	ПК 40×16	16	70	64	40	40
П110А	16	67	66	41	40	ПК 40×18	18	76	72	40	40
ПК 26×13	13	50	40	26	22	ПК 48×20	20	86	96	48	56
ПК 30×16	16	60	68	30	40	ПП 53×15×15	15	53	66	23	38

П-образные ферритовые сердечники для выходных трансформаторов строчной развертки телевизоров (табл. 12-26). Сердечник состоит из двух частей, имеющих форму буквы П, со шлифованными поверхностями стыка. Сердечники типа П (с закругленным сечением ножек — рис. 12-31) изготовляют из ферритов марки 2500НМ и 2500НМС, сердечники типа ПК (с ножками круглого сечения — рис. 12-31) из ферритов марок 2500НМС, 3000НМС и 4000НМС, сердечники типа ПП (с ножками прямоугольного сечения — рис. 12-32) из феррита марки 600НН. Последние применяют только в ТВС телевизоров на кинескопах с отклонением луча 70°.

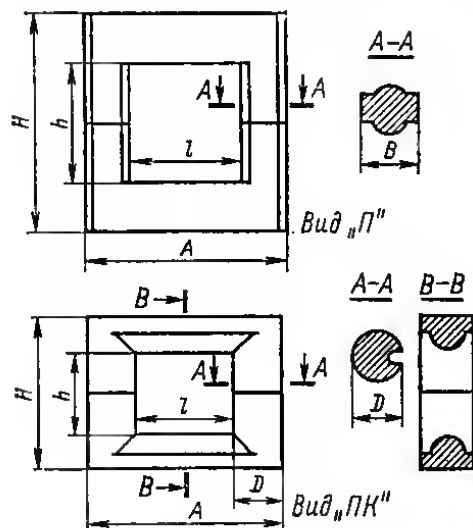


Рис. 12-31.

Магнитная проницаемость замкнутого П-образного сердечника без зазора на частоте 16 кГц имеет величину не менее числа, входящего в марку феррита, при магнитной индукции $B = 0,2$ Т для сердечников из ферритов марок 2500НМ и 2500НМС, и при $B = 0,1$ Т для сердечников из ферритов марок 3000НМС и 4000НМС, что дает возможность получить требуемое напряжение на анодах кинескопов при малой потребляемой мощности.

Сердечники типоразмеров П110, П110П и П110А из феррита марки 2000НМ выполнение указанного условия не обеспечивают, поэтому применение их в ТВС не рекомендуется.

Крепление изделий из ферритов. Изделия из ферритов можно приклеивать к металлическим поверхностям и склеивать между собой с помощью клея БФ-4

или эпоксидного пластифицированного клея. Последний состоит из 100 мас. ч. эпоксидной смолы ЭД-5, 20 мас. ч. эпоксидной смолы ДЭГ-1, 20 мас. ч. полиэтилена и 20 мас. ч. полиамина. Если РЭА предназначается для работы в условиях воздействия длительной повышенной влажности и значительных механических нагрузок, следует применять клей марки К400 (на эпоксидно-полиамидно-кремний-органической основе).

Для увеличения адгезии клея и склеиваемым поверхностям последние необходимо сделать шероховатыми, например, притиркой на стальной плите с применением карборундового зерна, и обезжирить промывкой ацетоном или смесью ацетона со спиртом (применение бензина не рекомендуется, так как он содержит больше смолистых веществ и более токсичен).

Надежное клеевое соединение можно получить при толщине клевого шва 0,1—0,2 мм. Полимеризацию соединения феррита с алюминием или латунью с помощью клея БФ-4 производят при комнатной температуре в течение 6 ч; при температуре 60—70° С достаточно 2 ч. Эпоксидный пластифицированный клей полимеризуется при комнатной температуре в течение 24 ч и при температуре 100° С в течение 2 ч. После горячей полимеризации изделия необходимо охлаждать медленно (20—30° С/ч).

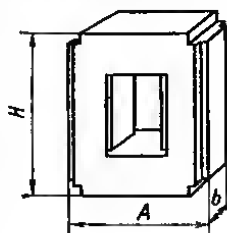


Рис. 12-32.

Сердечники из магнитодиэлектриков

Сердечники из магнитодиэлектриков, применяемые в ВЧ катушках и трансформаторах, представляют собой изделия пластмассового типа, изготовленные из порошкообразного ферромагнитного материала — альсифера, карбонильного железа или магнетита с изоляционным связующим материалом — полистиролом, бакелитовыми смолами или стеароэмалью. Соответственно сердечники называются альсиферовыми, карбонильными и магнетитовыми.

А л ь с и ф е р — сплав, содержащий около 7,5% алюминия, 9% кремния, остальное железо.

К а р б о н и л ь н о е ж е л е з о — высокодисперсный порошок, состоящий в основном из частиц сферической формы размером 1,5—3,5 мкм слоистой («луковичной») структуры. Последняя обеспечивает меньшую удельную проводимость по сравнению с обычным чистым железом. В карбонильном железе массовая доля железа составляет 97,2—98,8, углерода 0,6—1,2, кислорода 0,8—1,2, азота 0,5—1%.

М а г н е т и т — это магнитный железняк (минерал).

Таблица 12-27

Карбонильные цилиндрические сердечники

Типоразмер	СЦР-1	СЦР-2	СЦР-3	СЦР-4	СЦР-5	СЦР-6	СЦР-7
Длина l , мм	10	19	10	19	10	19	10
Резьба	1М6×0,75	1М6×0,75	1М7×0,75	1М7×0,75	1М8×1	1М8×1	1М9×1

Продолжение табл. 12-27

Типоразмер	СЦР-8	СЦШ-1	СЦШ-2	СЦГ-1	СЦГ-2	СЦТ-1	СЦТ-2
Длина l , мм	19	10	19	10	19	10	19
Диаметр d , мм (резьба)	1М9×1	9,3	9,3	9,3	9,3	9,3	9,3
Диаметр d_1 , мм	—	—	—	—	—	3,2	3,2

Таблица 12-28

Карбонильные броневые сердечники

Типоразмер	СБ-6а	СБ-9а	СБ-12а	СБ-12б	СБ-18а	СБ-23-11а	СБ-23б	СБ-23-17а	СБ-28а	СБ-34а
------------	-------	-------	--------	--------	--------	-----------	--------	-----------	--------	--------

Размеры сердечников и составляющих их чашек (рис. 12-33)

d , мм	6,5	9,6	12,3	18	23,0	23	28	34,0
d_1 , мм	4,9	7,5	10,0	14	18,5	18	22	27,0
d_2 , мм	3,0	4,6	6,0	9	10,0	11	13	13,5
d_3 , мм (резьба)	M2	M3	M4	M5	1M7×0,75	1M7×0,75	1M8×1	
h , мм, не более	3,2	3,8	5,3	7,4	5,7	8,7	11,7	14,2
h_1 , мм, не менее	2,0	2,1	4,1	5,7	3,1	6,0	8,5	10,2

Размеры подстроечников (рис. 12-29, а)

Резьба	M2	M3	M4	M5	1M7×0,75	1M7×0,75	1M8×1
l , мм	7,5	8,0	11,5	13,5	13,0	19,0	25,0

Эффективная магнитная проницаемость в отсутствие подстроечника

$\mu_{\text{эфф}}$, не менее	1,7	1,7	3,0	1,7	2,8	1,8	3,4	3,7	3,4
-------------------------------	-----	-----	-----	-----	-----	-----	-----	-----	-----

Карбонильные цилиндрические подстроечные сердечники типа СЦР с резьбой (рис. 12-28, а, табл. 12-27) помещают внутрь каркасов катушек, на внутренней

поверхности которых имеется резьба. Вращением сердечника изменяют его объем внутри катушки и тем самым изменяют индуктивность. При сердечнике, полностью введенном в катушку, $\mu_{\text{эфф}} \approx 1,6$ (измеряется на частоте 15 МГц).

Карбонильные цилиндрические подстроечные сердечники гладкие. Сердечники типа СЦГ вставляют внутрь катушек (или катушки наматывают на них, когда требуется постоянная индуктивность). Карбонильные сердечники такой же формы, но с впрыснутыми в них латунными шпильками с резьбой — тип СЦШ — используют в качестве подстроечников.

Когда сердечник СЦГ или СЦШ полностью введен в катушку, то $\mu_{\text{эфф}} \approx 1,9$ (измеряется на частоте 6 МГц).

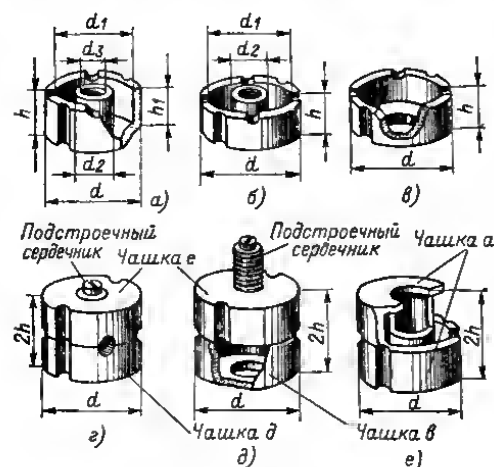


Рис. 12-33.

Броневые сердечники (табл. 12-28). Карбонильный броневой сердечник (рис. 12-33, а—е) состоит из двух чашек, в одну из которых ввинчивается под-

строечник из карбонильного железа; сердечник с замкнутой магнитной цепью (рис. 12-33, *г*) имеет в обозначении букву «а», а с незамкнутой (рис. 12-33, *д*) — букву «б».

Магнитопроводы низкочастотных трансформаторов и дросселей

Материалы для магнитопроводов. Пластины для сборки магнитопроводов НЧ трансформаторов и дросселей (рис. 12-34, *а—г*, 12-35, *а—г*, табл. 12-29) штампуют из листовой электротехнической стали. Магнитопроводы трансформаторов питания собирают из пластин из стали марок Э41, Э42 толщиной 0,35—0,5 мм, а трансформаторов УНЧ — из стали марок Э42, Э43, Э310—Э330 толщиной 0,2—0,35 мм.

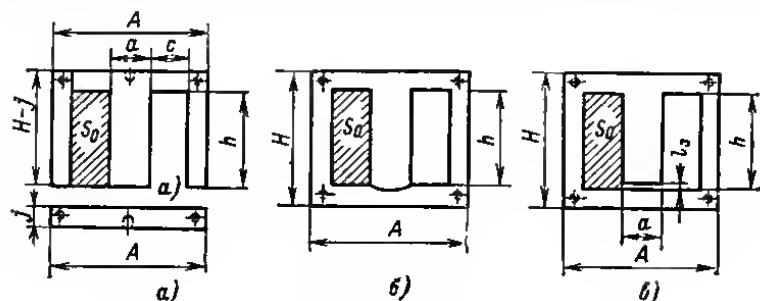


Рис. 12-34.

Витые магнитопроводы (рис. 12-36, *а—г*, табл. 12-30 и 12-31) изготавливают из ленточной электротехнической стали марок Э310—Э330 преимущественно толщиной 0,2 мм. Для снижения магнитных потерь в стали содержится присадка кремния, средний процент которого указывает первая цифра в обозначении марки стали. Чем больше второе число в обозначении, тем меньше потери в стали. Нуль в конце обозначения указывает, что это холоднокатаная сталь.

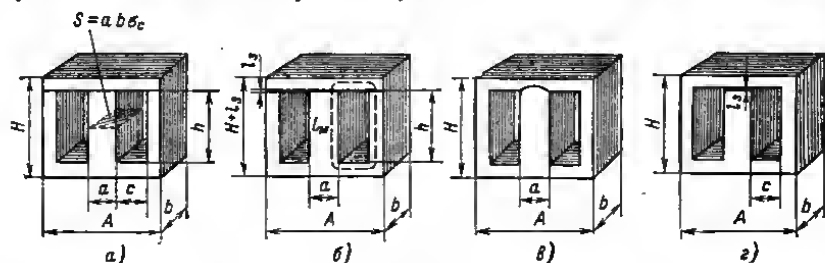


Рис. 12-35.

Магнитопроводы НЧ трансформаторов, работающих при слабых магнитных полях, изготавливают из листовых пермаллоев. Это позволяет уменьшить размеры трансформаторов. Пермаллои представляют собой сплавы никеля и железа с примесью других химических элементов. Число в обозначении марки пермаллоя указывает процент содержания в нем никеля, буква Н обозначает никель, а следующие буквы — примеси: М — молибден, Х — хром, С — кремний, А — алюминий. Например, пермаллой марки 79НМ содержит 79% никеля, примесь молибдена, остальное — железо.

Таблица 12-29

Магнитопроводы из Ш-образных пластин

Типоразмеры	Размеры, мм, по рис 12-33				S, см ²	l _м , см	l _в , см	J _{ср} , А/мм ²	P _т , В·А	E ⁽¹⁾ , В	ΔU _т
	A	H	c	h							
Ш2×2,5	8	7,0	2,0	5,0	0,04	1,7	1,5				
Ш2×4	8	7,0	2,0	5,0	0,06	1,7	1,9				
Ш2,5×3,2	10	9,0	2,5	6,2	0,06	2,1	1,9				
Ш2,5×5	10	9,0	2,5	6,2	0,11	2,1	2,2				
Ш3×4	12	10,5	3,0	7,5	0,10	2,7	2,3				
Ш3×6,3	12	10,5	3,0	7,5	0,16	2,7	2,8				
Ш4×5	16	14	4,0	10	0,17	3,4	3,0				
Ш4×8	16	14	4,0	10	0,27	3,4	3,7				
Ш5×6,3	20	18	5,0	12,5	0,27	4,3	3,8				
Ш5×10	20	18	5,0	12,5	0,42	4,3	4,5				
Ш6×8	24	21	6,0	15	0,41	5,1	4,7	6,0			
Ш6×12,5	24	21	6,0	15	0,64	5,1	5,6	5,0			
Ш7×7*	30	30	6,5	20	0,42	6,9	4,7	5,6			
Ш7×10*	30	30	6,5	20	0,60	6,9	5,3	5,4			
Ш7×14*	30	30	6,5	20	0,84	6,9	6,1	5,1			
Ш8×10	32	28	8,0	20	0,67	6,8	6,0	5,2			
Ш8×16	32	28	8,0	20	1,10	6,8	7,1	4,6			
Ш9×9	36	32	9,0	22	0,69	7,7	6,3	5,2			
Ш9×13	36	32	9,0	22	0,92	7,7	7,1	4,6			
Ш10×10	40	35	10	25	0,90	8,5	6,9	4,8			
Ш10×12,5	40	35	10	25	1,1	8,5	7,4	4,6			
Ш10×16	40	35	10	25	1,4	8,5	8,1	4,4			
Ш10×20	40	35	10	25	1,8	8,5	9,0	4,1			
УШ10×10	36	31	6,5	18	0,9	5,7	5,8	5,0			
УШ10×15	36	31	6,5	18	1,3	5,7	6,8	4,5			
УШ10×20	36	31	6,5	18	1,8	5,7	7,8	4,0			
Ш12×12	36	30	6,0	18	1,3	6,7	6,5	5,2			
Ш12×12	42	42	9,0	30	1,3	9,7	7,5	5,0			
Ш12×12	48	30	12	18	1,3	7,6	8,5	4,5	3	0,027	0,31
Ш12×12	48	42	12	30	1,3	10,3	8,5	4,2	5	0,028	0,29
Ш12×16	42	42	9,0	30	1,7	9,7	8,3	4,2	3,5	0,045	0,17
Ш12×16	48	30	12	18	1,7	7,6	9,3	4,3	4	0,035	0,26
Ш12×16	48	42	12	30	1,7	10,3	9,3	4,0	4,5	0,035	0,24
Ш12×20	48	30	12	18	2,2	7,6	10	4,1	5	0,045	0,20
Ш12×20	48	42	12	30	2,2	10,3	10	3,9	8	0,044	0,19
Ш12×25	48	30	12	18	2,7	7,6	11	4,0	6	0,054	0,18
Ш12×25	48	42	12	30	2,7	10,3	11	3,7	10	0,054	0,17
Ш12×32	48	30	12	18	3,5	7,6	13	3,7	7	0,070	0,15
Ш12×32	48	42	12	30	3,5	10,3	13	3,3	11	0,085	0,15
УШ12×12	44	38	8,0	22	1,3	6,7	7,0	4,3	3	0,034	0,19
УШ12×18	44	38	8,0	22	1,9	6,7	8,2	4,1	5	0,051	0,15
УШ12×24	44	38	8,0	22	2,6	6,7	9,4	3,8	7	0,069	0,12
Ш16×20	64	40	16	24	2,9	10,5	12	3,8	11	0,057	0,18
Ш16×20	64	56	16	40	2,9	14	12	3,5	18	0,056	0,17
Ш16×24	48	40	8,0	24	3,5	9,0	10	4,2	7,0	0,083	0,15
Ш16×25	64	40	16	24	3,6	10,5	13	3,6	12	0,069	0,15

Продолжение табл. 12-29

Типоразмеры	Размеры, мм, по рис. 12-35				S , см ²	l_m , см	l_v , см	j_{cp} , А/мм ²	P_T , В·А	$E^{(1)}$, В	ΔU_T
	A	H	c	h							
Ш16×25	64	56	16	40	3,6	14	13	3,4	22	0,068	0,14
Ш16×32	48	40	8,0	24	4,6	9,0	12	4,1	9,0	0,11	0,13
Ш16×32	64	40	16	24	4,6	10,5	14	3,5	15	0,088	0,13
Ш16×32	64	56	16	40	4,6	14,0	14	3,2	27	0,088	0,13
Ш16×40	64	40	16	24	5,8	10,5	16	3,3	18	0,11	0,11
Ш16×40	64	56	16	40	5,8	14,0	16	3,0	32	0,11	0,10
УШ16×24	56	48	10	28	3,5	9,0	11	4,0	8,0	0,12	0,11
Ш18×18	54	45	9,0	27	2,9	10,0	20	4,0	7,0	0,067	0,22
Ш18×27	54	45	9,0	27	4,4	10,0	12	3,5	13	0,09	0,13
Ш18×36	54	45	9,0	27	5,8	10,0	13	3,0	17	0,12	0,11
Ш19×38	75	68	17	46	6,5	14,3	15	2,8	15	0,11	0,16
УШ19×19	67	58	12	33	3,2	10,6	11	3,7	12	0,085	0,17
УШ19×28	67	58	12	33	4,9	10,6	13	3,5	17	0,11	0,11
УШ19×38	67	58	12	33	6,5	10,6	15	3,2	22	0,19	0,11
Ш20×20	60	50	10	30	3,6	12,0	11	3,5	11	0,19	0,18
Ш20×20	80	50	20	30	3,6	13,0	14	3,5	18	0,08	0,20

Примечания. 1. Первое число в обозначении типоразмера магнитопровода указывает ширину его среднего стержня a , второе — толщину магнитопровода b , мм (см рис. 12-35).

2. Типоразмеры магнитопроводов из пластины, показанных на рис. 12-35, б, в, отмечены звездочками.

3. В таблице приняты следующие обозначения: l_m — длина пути средней магнитной силовой линии; l_v — средняя длина витка; j_{cp} — средняя плотность тока, соответствующая температуре перегрева обмотки $t_n = 55^\circ\text{C}$; P_T — типовая мощность трансформатора при $f = 50$ Гц и $t_n = 55^\circ\text{C}$; $E^{(1)}$ — э. д. с. на один виток обмотки; ΔU_T — относительное падение напряжения на трансформаторе.

Магнитопроводы из пермаллоя недопустимо сильно стягивать и подвергать механическим напряжениям, так как это может резко ухудшить их магнитные характеристики.

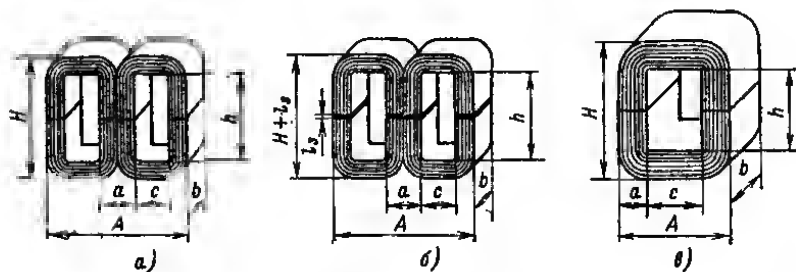


Рис. 12-36.

Площадь сечения магнитопровода. Вследствие наличия изоляции между пластинами или слоями ленты, а также невозможности совершенно плотной укладки пластины или намотки ленты полезная площадь сечения стали магнитопровода S меньше произведения $a \times b$ (рис. 12-35). Отношение S/ab называют

коэффициентом заполнения; его обозначают σ . В табл. 12-29 указаны площади сечения магнитопроводов S , выполненных из пластин, не покрытых лаком и не оклеенных бумагой: толщиной 0,35 мм для магнитопроводов Ш12 \times 12 и больших типоразмеров (при этом $\sigma \approx 0,9$) и толщиной 0,2 мм для магнитопроводов меньших типоразмеров (при этом $\sigma = 0,8 + 0,85$). Если пластины деформированы, то σ меньше. Для витых магнитопроводов $\sigma \approx 0,9$.

Таблица 12-30

Магнитопроводы витые Ш-образные

Типоразмер	Размеры, мм, по рис. 12-36, а, б				S , см ²	l , см	l_v , см	J_{cp} , А/мм ²	P_T , В·А	$E^{(1)}$, В	ΔU_T
	A	H	c	h							
ШЛМ 8 \times 6,5	26	21	5,0	13	0,43	5,1	4,5				
ШЛМ 8 \times 8	26	21	5,0	13	0,54	5,1	4,8				
ШЛМ 8 \times 10	26	21	5,0	13	0,70	5,1	5,2				
ШЛМ 8 \times 12,5	26	21	5,0	13	0,95	5,1	5,7				
ШЛМ 8 \times 16	26	21	5,0	13	1,2	5,1	5,8				
ШЛМ 10 \times 8	32	28	6,0	18	0,65	6,4	5,5				
ШЛМ 10 \times 10	32	28	6,0	18	0,85	6,4	5,9				
ШЛМ 10 \times 12,5	32	28	6,0	18	1,1	6,4	6,4				
ШЛМ 18 \times 16	32	28	6,0	18	1,5	6,4	7,1				
ШЛМ 10 \times 20	32	28	6,0	18	1,9	6,4	7,9				
ШЛМ 12 \times 10	40	35	8,0	23	0,98	8,1	7,0				
ШЛМ 12 \times 12,5	40	35	8,0	23	1,3	8,1	7,5				
ШЛМ 12 \times 16	40	35	8,0	23	1,7	8,1	8,2				
ШЛМ 12 \times 20	40	35	8,0	23	2,3	8,1	9,0				
ШЛМ 12 \times 25	40	35	8,0	23	2,8	8,1	10,0				
ШЛМ 16 \times 16	52	42	9,9	26	2,3	9,7	9,6	8,1	14	0,10	0,22
ШЛМ 16 \times 20	52	42	9,9	26	3,0	9,7	10,4	7,0	18	0,13	0,20
ШЛМ 16 \times 25	52	42	9,9	26	3,8	9,7	11,4	6,2	22	0,16	0,18
ШЛМ 16 \times 32	52	42	9,9	26	4,8	9,7	12,8	5,3	25	0,20	0,16
ШЛМ 20 \times 20	64	56	12	36	3,6	12,7	11,8	9,0	30	0,13	0,25
ШЛМ 20 \times 25	64	56	12	36	4,7	12,7	12,8	7,5	35	0,16	0,22
ШЛМ 20 \times 32	64	56	12	36	6,1	12,7	14,2	6,0	40	0,20	0,18
ШЛМ 20 \times 40	64	56	12	45	7,6	12,7	15,8	5,0	50	0,26	0,15
ШЛМ 25 \times 25	80	70	15	45	5,6	15,9	14,7	4,7	60	0,16	0,14
ШЛМ 25 \times 32	80	70	15	45	7,4	15,9	16,1	4,6	70	0,20	0,11
ШЛМ 25 \times 40	80	70	15	45	9,5	15,9	17,7	4,0	85	0,26	0,095
ШЛМ 25 \times 50	80	70	15	45	12,0	15,9	19,7	3,8	110	0,32	0,083

Примечания. Первое число в обозначении типоразмера магнитопровода указывает ширину его среднего стержня a , второе — ширину ленты b [мм], из которой изготовлен магнитопровод; J_{cp} — средняя плотность тока в витках, при которой температура перегрева $t_n \leq 55^\circ\text{C}$; P_T — таповая мощность трансформатора при $f = 50$ Гц и $t_n \leq 55^\circ\text{C}$; $E^{(1)}$ — э. д. с. на один виток обмотки при $f = 50$ Гц; ΔU_T — относительное падение напряжения на трансформаторе.

Выбор магнитопровода. Рекомендуется применять магнитопроводы, у которых $b/a \approx 1 + 2$ (например: Ш25 \times 40, УШ30 \times 60). При больших отношениях b/a затрудняется плотная намотка обмоток, поскольку со сторон большего размера витки ложатся недостаточно плотно, вспучиваются.

Таблица 12-31

Магнитопроводы витые П-образные

Типоразмер	Размеры, мм, по рис. 12-36, в			S, см ²	l, см	l _в , см	J _{ср} , А/мм ²	P _т , В·А	E ⁽¹⁾ , В	$\Delta U_{т}$
	A	H	c							
ПЛМ 22×32-28	63	72	19	6,4	16,0	16,8	5,8	50	0,225	0,17
ПЛМ 22×32-36	63	80	19	6,4	18,0	16,8	4,7	70	0,225	0,15
ПЛМ 22×32-46	63	90	19	6,4	20,0	16,8	4,1	90	0,225	0,14
ПЛМ 22×32-58	63	102	19	6,4	22,0	16,8	3,1	110	0,225	0,12
ПЛМ 27×40-36	78	90	24	9,7	20,0	21,0	5,3	135	0,344	0,13
ПЛМ 27×40-46	78	100	24	9,7	22,8	21,0	4,6	160	0,344	0,11
ПЛМ 27×40-58	78	112	24	9,7	25,0	21,0	3,8	200	0,344	0,10
ПЛМ 27×40-73	78	137	24	9,7	28,0	21,0	3,2	270	0,344	0,09
ПЛМ 34×50-46	98	114	30	15,5	26,0	26,2	4,8	390	0,585	0,088
ПЛМ 34×50-58	98	126	30	15,5	28,0	26,2	4,1	450	0,585	0,073
ПЛМ 34×50-73	98	147	30	15,5	30,5	26,2	3,3	550	0,585	0,06
ПЛМ 34×50-90	98	158	30	15,5	33,0	26,2	3,0	680	0,585	0,05

Примечания: 1. Числа в обозначении типоразмера магнитопровода указывают: первое — ширину его стержня *a*, третье — ширину ленты *b*, из которой изготовлен магнитопровод, второе — высоту окна *h* (все размеры в миллиметрах).

2. Обозначения: $P_{т}$, $E^{(1)}$, $\Delta U_{т}$ — см. примечание к табл. 12-30.

Обмотки трансформаторов и дросселей

Низочастотные трансформаторы, трансформаторы питания и дроссели сглаживающих фильтров радиолюбители наматывают обычно на каркасах из изоляционного материала. При наличии опыта можно осуществлять бескаркасную намотку.

Каркасы изготовляют из гетинакса, текстолита или плотного картона, склеивая их части клеем БФ, нитрондеем или густым шеллачным лаком. Не рекомендуется применять столярный и канцелярский клеи, так как они неустойчивы. Картонные части каркаса по окончании его изготовления покрывают лаком или ндеем БФ.

Толщина стенок каркасов при напряжениях обмоток до 2 кВ определяется их механической прочностью; практически достаточно иметь толщину 1—1,5 мм. При напряжениях до 3 кВ толщину следует увеличить до 2—2,5 мм и до 5 кВ при напряжениях до 3—4 мм.

Ширина окна каркаса должна быть примерно на 1 мм больше размера *a* магнитопровода. Высоту окна каркаса следует брать на 1,5—2 мм больше размера *b* магнитопровода, иначе при сборке трудно будет вложить в окно каркаса требуемое количество пластин. Такие же размеры должна иметь гильза из изоляционного материала при бескаркасной намотке трансформатора или дросселя.

Ш-образный магнитопровод должен иметь высоту щечек каркаса примерно на 1 мм меньше ширины окна *c*, а стержневой магнитопровод — на 1—1,5 мм меньше половины ширины его окна. В случае магнитопровода из пластин по рис. 12-34, *a* или витого разрезного магнитопровода длину каркаса следует брать на 1 мм меньше высоты окна магнитопровода. При использовании магнитопровода из пластин по рис. 12-34, *б*, *в* высота каркаса должна быть на 3—8 мм меньше высоты окна магнитопровода, иначе пластины при сборке не будут в него входить. Упорочение каркаса должно быть тем больше, чем больше размеры магнитопровода.

Плотность тока в обмотке. Чем больше плотность тока в обмотке J [А/мм²] и чем меньше поверхность обмотки, с которой обеспечивается отдача тепла в окружающую среду, тем больше перегрев трансформатора (дросселя) — превышение температуры его обмотки над температурой среды. Перегрев трансформатора (дросселя) большего размера на данное число градусов получается при меньшем значении плотности тока. При температуре окружающей среды $t_{окр}$ и температуре перегрева обмотки t_n она нагреется до температуры

$$t_{обм} = t_{окр} + t_n. \quad (12-4)$$

При указанных в табл. 12-29—12-31 средних значениях плотности тока $J_{ср}$ перегрев обмотки $t_n \approx 55^\circ \text{C}$. Для уменьшения перегрева плотность тока нужно снижать.

Для трансформаторов питания и дросселей фильтров, обмотки которых выполнены из провода ПЭЛ или провода в шелиевой или хлопчатобумажной изоляции при бескаркасной намотке, а также когда намотка произведена на каркасах из слоистых пластинов (типа гетинакса и текстолита) или из карбона из пропитанных картона, бумаги и фанеры, допустим нагрев до температуры 90°C (и одновременно до 105°C).

Если обмотки выполнены проводом ПЭВ, то допускается нагрев до 105°C (и одновременно до 125°C). При использовании в конструкции непроводящего материала предельно допустимая температура длительного нагрева снижается до 80°C .

Температуру перегрева обмотки сопротивлением R [Ом] при прохождении по ней тока I [А] можно определить по формуле

$$t_n \approx 550 R I^2 / S_{охл}. \quad (12-5)$$

Необходимо для подстановки в эту формулу значение эффективной поверхности охлаждения обмотки вычисляют по формуле

$$S_{охл} = 2c_k(2a + \pi c_k) + 2h_k(a + \pi c_k), \quad (12-6)$$

где a — ширина стержня магнитопровода (см. рис. 12-35 и 12-36); c_k — толщина намотки (рис. 12-37, а, б); h_k — длина слоя намотки.

Площадь $S_{охл}$ получается в квадратных сантиметрах, если a , c_k и h_k выразить в сантиметрах.

Поскольку теплотдача от внутренней обмотки трансформатора затруднена, плотность тока в ней должна составлять $0,7 J_{ср}$, указанного в таблице для магнитопровода данного типоразмера. Плотность тока во внешних обмотках, условия охлаждения которых лучше, может быть соответственно больше значения $J_{ср}$.

Выбор обмоточного провода. Обмотки трансформаторов питания, дросселей сглаживающих фильтров и НЧ трансформаторов наматывают проводами в эмалированной изоляции. Применения проводов в шелиевой, капроновой и хлопчатобумажной изоляции избегают, поскольку они имеют значительные внешние диаметры и поэтому габариты трансформаторов и дросселей получаются существенно большими.

Необходимый диаметр провода обмотки d [мм] определяют по значению тока в ней I [А] и допустимой плотности тока J [А/мм²] по формуле

$$d = 1,13 \sqrt{\frac{I}{J}} \quad (12-7)$$

или по номограмме на рис. 12-38. Если провода с диаметром, полученным по расчету, не имеется, применяют провод с ближайшим большим стандартным диаметром (табл. 12-32). Когда же по расчету получается $d < 0,05$ мм, то из соображений механической прочности провода применяют провод $\varnothing 0,06-0,08$ мм.

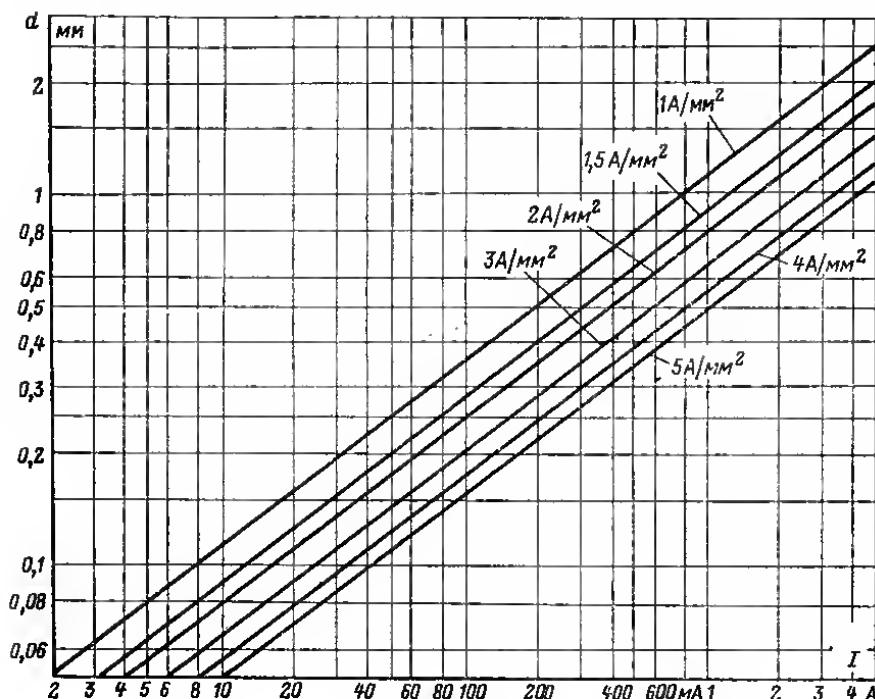


Рис. 12-38.

Толщину c_k [мм], которую займет обмотка из провода с диаметром проводящей жилы d [мм] при числе витков w , намотанных рядами на каркасе с размером h_k между щечками (рис. 12-37), можно определить по формуле

$$c_k = \frac{0,8 d^2 w}{\beta_0 h_k} + n l_n, \quad (12-8)$$

где β_0 — коэффициент заполнения каркаса медью, определяемый по номограмме на рис. 12-39; n — количество междуслойных прокладок; l_n — толщина каждой прокладки, мм.

Число витков из провода с диаметром медной жилы d [мм], размещающееся на каркасе, имеющем размер h_k [мм] между щечками (рис. 12-37), при известной n прокладок толщиной по l_n [мм], можно определить по формуле

$$w = 1,25 \beta_0 h_k (c_k - n l_n) / d^2, \quad (12-10)$$

где c_k — толщина намотки, мм.

Таблица 12-32

Наиболее распространенные обмоточные провода

Диаметр медной жилы d , мм	Диаметр провода в изоляции $d_{из}$, мм					
	ПЭ	ПЭВ-1	ПЭВ-2	ПЭЛШО, ПЭЛШКО	ПЭЛБО, ПЭЛКО	ПБД
0,05; 0,06; 0,07; 0,08; 0,09	$d+0,015$	$d+0,025$	$d+0,03$	$d+0,07$	—	—
0,10; 0,11; 0,12; 0,13; 0,14	$d+0,020$	$d+0,025$	$d+0,03$	$d+0,075$	—	—
0,15; 0,16; 0,17; 0,18; 0,19	$d+0,020$	$d+0,030$	$d+0,04$	$d+0,075$	—	—
0,20; 0,21	$d+0,025$	$d+0,03$	$d+0,04$	$d+0,09$	$d+0,125$	$d+0,19$
0,23; 0,25	$d+0,025$	$d+0,04$	$d+0,05$	$d+0,09$	$d+0,125$	$d+0,19$
0,27; 0,29	$d+0,04$	$d+0,04$	$d+0,05$	$d+0,105$	$d+0,155$	$d+0,22$
0,31; 0,33; 0,35	$d+0,04$	$d+0,04$	$d+0,06$	$d+0,11$	$d+0,16$	$d+0,22$
0,38; 0,41	$d+0,04$	$d+0,04$	$d+0,06$	$d+0,11$	$d+0,17$	$d+0,22$
0,44; 0,47; 0,49	$d+0,05$	$d+0,04$	$d+0,06$	$d+0,11$	$d+0,17$	$d+0,22$
0,51; 0,53; 0,55; 0,57; 0,59	$d+0,05$	$d+0,05$	$d+0,07$	$d+0,12$	$d+0,17$	$d+0,22$
0,62	$d+0,05$	$d+0,05$	$d+0,07$	$d+0,12$	$d+0,17$	$d+0,22$
0,64; 0,67; 0,69	$d+0,05$	$d+0,05$	$d+0,08$	$d+0,12$	$d+0,17$	$d+0,22$
0,72	$d+0,06$	$d+0,05$	$d+0,08$	$d+0,13$	$d+0,18$	$d+0,22$
0,74; 0,77; 0,80; 0,83; 0,86	$d+0,06$	$d+0,06$	$d+0,09$	$d+0,13$	$d+0,18$	$d+0,22$
0,90; 0,93; 0,96	$d+0,06$	$d+0,06$	$d+0,09$	$d+0,13$	$d+0,18$	$d+0,22$
1,0	$d+0,07$	$d+0,08$	$d+0,11$	$d+0,14$	$d+0,21$	$d+0,27$
1,04; 1,08; 1,12; 1,16; 1,2	$d+0,08$	$d+0,08$	$d+0,11$	$d+0,14$	$d+0,21$	$d+0,27$
1,25; 1,3; 1,35; 1,4; 1,45	$d+0,08$	$d+0,08$	$d+0,11$	$d+0,14$	$d+0,21$	$d+0,27$
1,5; 1,56	$d+0,08$	$d+0,08$	$d+0,11$	$d+0,16$	$d+0,21$	$d+0,27$
1,62; 1,68; 1,74	$d+0,09$	$d+0,08$	$d+0,11$	$d+0,16$	$d+0,21$	$d+0,27$
1,81; 1,88; 1,95	$d+0,09$	$d+0,09$	$d+0,12$	$d+0,16$	$d+0,21$	$d+0,27$
2,02	$d+0,10$	$d+0,09$	$d+0,12$	$d+0,16$	$d+0,21$	$d+0,27$
2,1	$d+0,10$	$d+0,10$	$d+0,13$	$d+0,16$	$d+0,21$	$d+0,27$
2,26; 2,44	$d+0,10$	$d+0,10$	$d+0,13$	—	—	$d+0,33$
2,63; 2,83; 3,05; 3,28; 3,53	—	—	—	—	—	$d+0,33$

Таблица 12-33

Междубмоточная и покрывная изоляция

Действующее напряжение обмотки, В	Количество слоев изоляции	Минимальная толщина бумаги или ткани, мм	Действующее напряжение обмотки, В	Количество слоев изоляции	Минимальная толщина бумаги или ткани, мм
< 250	2	0,06	2251—3000	5	0,2
250—750	2	0,1	3001—3500	6	0,2
751—1250	3	0,15	3501—5000	8	0,2
1251—2250	4	0,2			

Изоляционные прокладки. В качестве изоляционных прокладок между обмотками трансформатора и в качестве покровной изоляции верхнего слоя витков используют пропитанную лаком электротехническую ткань типа «кембрик», кабельную бумагу либо бумагу, пропитанную церезином, воском или лаком. Количество слоев изоляции и ее толщина зависят от напряжения обмотки (см. табл. 12-33). Обмотки необходимо разделять на части прокладками из пропитанной бумаги. При напряжении обмотки до 20 В рекомендуется делать прокладки через каждые три ряда провода, а при больших напряжениях — через каждый ряд провода; если напряжение превышает 50 В, прокладки должны быть двухслойными. Рекомендуются прокладки следующей толщины:

Диаметр провода, мм	Толщина прокладки, мм
0,2	0,03—0,05
0,21—1,0	0,06—0,08
1,04—1,74	0,1—0,2
1,81—2,2	0,2—0,3
2,2	0,2 (два слоя)

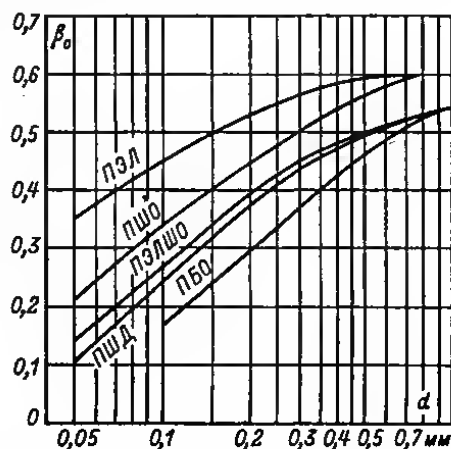


Рис. 12-39.

Стандартные дроссели. Их параметры и размеры приведены в табл. 12-34.

Таблица 12-34

**Дроссели для сглаживающих фильтров,
выпускаемые с государственным Знаком качества**

Тип дросселя	L, Г, не менее	Условия измерения		r, Ом	Размеры, мм
		I, А	U, В		
Д-1-К	2,0	0,15	6,0	72 ± 11	60×37×51
ДР-0,4-0,34	0,4	0,34	4,2	18 ± 2,7	47×42×41
ДР-1,2-0,16	1,2	0,16	10,6	60 ± 9,0	53×41×45
ДР-2ЛМ-К					62×54×55
Выводы 1—2	2,3	0,21	10,0	67 ± 10	
Выводы 3—4	0,6	0,065	10,0	67 ± 10	
ДР-2,5-0,38	2,5	0,38	7,7	40 ± 6,0	82×62×71
ДР-5-0,08	5,0	0,08	14,0	260 ± 40	47×42×41

Примечания: 1. В графе «Условия измерения» указаны постоянный ток обмотки и действующее значение переменной составляющей напряжения на обмотке частотой 50 или 100 Гц, при этом значение постоянного тока является предельно допустимым в режиме длительной работы.

2. Высоты дросселей указаны без отгибающихся лапок для крепления.

3. Дроссели Д-1-К и ДР-2ЛМ выполнены на магнитопроводах из ленты, остальные — на магнитопроводах из пластин.

12-8. ПРИЕМНО-УСИЛИТЕЛЬНЫЕ И МАЛОМОЩНЫЕ ГЕНЕРАТОРНЫЕ ЛАМПЫ

Конструктивные виды ламп

Конструктивный вид приемно-усилительных ламп указывает вторая буква (четвертый элемент) в ее обозначении.

С — в стеклянном баллоне, \varnothing 22,5 мм;

К — в керамической оболочке;

П — стеклянная миниатюрная (пальчиковая), \varnothing 19 и 22,5 мм;

Г — стеклянная сверхминиатюрная, \varnothing 10,2 мм;

Б — стеклянная сверхминиатюрная, \varnothing 10,2 мм;

А — стеклянная сверхминиатюрная, \varnothing до 8 мм;

Р — стеклянная сверхминиатюрная, \varnothing до 5 мм;

Л — с замком в ключе цоколя;

Д — с дисковыми впаями («маячковая», «карандашная»);

Н — металлокерамическая, нувистор.

Лампы, отличающиеся повышенной надежностью и механической прочностью, имеют в конце обозначения букву В, лампы с долговечностью 10 000 ч и более — букву Д, с долговечностью 5000 ч и более — букву Е, лампы для работы в импульсном режиме — букву И. Мало мощные кенотроны и диоды также принято относить к числу приемно-усилительных ламп.

В табл. 12-35 приняты следующие сокращенные обозначения электродов приемно-усилительных ламп: а — анод, к — катод, л — лучеобразующие пластины лучевого тетрода, н — нить накала, подогреватель в лампе с катодом косвенного накала, с — сетка, э — экран внутри баллона, ф — флуоресцирующий экран, х — штырек отсутствует, «—» — с данным штырьком электрод не соединен.

Для ламп, объединяющих два диода или триода, а также для многосеточных ламп к буквам а, к, с добавляется цифра, указывающая порядковый номер электрода, например, к2 — катод второго триода, с2 (для двойного триода) — сетка второго триода, с2 (для пентода и тетрода) — вторая (экранирующая) сетка. Для комбинированных ламп к буквам а, к, с добавляется вторая буква: г — гептод, п — пентод, т — триод, д — диод (например, аг — анод гептода в триод-гептоде, сп1 — управляющая сетка пентодной части триод-пентода).

Схемы расположения штырьков приемно-усилительных ламп широкого применения приведены на рис. 12-40, 12-41.

Максимально допускаемые эксплуатационные значения параметров ламп

Максимально допускаемые эксплуатационные значения параметров ламп определяют электрические и тепловые режимы их работы, превышение которых может привести к необратимому изменению параметров ламп и быстрому выходу ламп из строя вследствие потери эмиссии катода, перегорания подогревателя (нити накала), междueleктродного электрического пробоя или перегрева электродов, в первую очередь анода и экранирующей сетки. Кроме того, если лампы работают при максимально допускаемых напряжениях и токах, понижается долговечность аппаратуры, особенно при таких режимах, когда два (или более) параметра достигают своего максимального допускаемого значения.

Максимально допускаемый анодный или катодный ток $I_{a, \text{макс}}$, $I_{k, \text{макс}}$. Для ламп, предназначенных для работы в импульсном режиме (например, в генераторах строчной развертки телевизоров), помимо среднего допускаемого тока катода (постоянная составляющая) указывается его максимальное импульсное значение $I_{k, \text{и. макс.}}$.

Максимально допускаемое постоянное напряжение на аноде $U_{a, \text{макс}}$.

Продолжение табл. 12-35

Тип лампы	Схема расположения штырьков по рис. 12-40, 12-41	Порядок соединения электродов со штырьками									
		1	2	3	4	5	6	7	8	9, (10), [11], [12]	
6Ж23П	РШ8	к	с1	к	н	н	а1	с3	а2	с2	
6Ж32П	РШ8	с2	э	к, с3, а	н	а	а	э	с3	с1	
6Ж38П	РШ4	с1	к	н	н	а	с2	с3	х	х	
6Ж40П	РШ4	с1	к	н	н	а	с2	с3	х	х	
6Ж43П	РШ8	к	с1	к	н	н	а1	с3	а2	с2	
6Ж49П-Д	РШ8	к	с1	к	н	н	—	а	с3	с2	
6Ж50П	РШ8	к	с1	к	н	н	—	а	с3	с2	
6Ж51П	РШ8	к	с1	к	н	н	э	а	с3	с2	
6Ж52П	РШ8	к	с1	к	н	н	—	а	с3	с2	
6Ж53П	РШ4	с1	к, с3	н	н	а	с2	к	х	х	
6Ж63П	РШ4	с2, с4	к, с3	к, с5, э	н	а	аг	с3	х	х	
6И1П	РШ8	с1	к	н	н	а	с2	к, э	х	х	
6К1П	РШ4	с1	с3, э	н	н	а	с2	с3	х	х	
6К4П	РШ4	с1	к	н	н	а	с2	с3	х	х	
6К8П	РШ4	с1	к	н	н	а	с2	с3	х	х	
6К13П	РШ8	к	с1	к	н	н	э	а	с2	с3	
6Н1П	РШ8	а1	с1	к1	н	н	а2	с2	к2	э	
6Н2П	РШ8	а1	с1	к1	н	н	а2	с2	к2	э	
6Н3П	РШ8	н	к	с1	а1	н	а2	с2	к2	э	
6Н4П	РШ8	а1	с1	к1	н	н	а2	с2	к2	э	
6Н5П	РШ8	а1	с1	к1	н	н	а2	с2	к2	э	
6Н6П	РШ8	а1	с1	к1	н	н	а2	с2	к2	э	
6Н14П	РШ8	к1	с1, э	а1	н	н	с2	к2	к2	а2	
6Н15П	РШ4	а2	а1	а1	с1	с1	с2	к	х	х	
6Н16Б	Без цоколя	а2	к1	к1	н	а1	к2	с2	н	х	
6Н17Б	Без цоколя	а2	к1	к1	н	а1	к2	с2	н	х	
6Н18Б	Без цоколя	а2	к1	к1	н	а1	к2	с2	н	х	
6Н19П	РШ8	н	с1	с21	а1	к	а2	с22	сх2	н	

Продолжение табл. 12-35

Тип лампы	Схема расположения штырьков по рис. 12-40, 12-41	Порядок соединения электродов со штырьками									
		1	2	3	4	5	6	7	8	9, (10), (11), (12)	
6Н21Б	Без цоколя	к1	э	с1	а1	н	к2	—	с2	а2, (ш) э	
6Н23П	РШ8	а1	с1, э	к1	н	н	а2	с2	к2	а2	
6Н24П	РШ8	к1	с1	а1	н	н	с2	к2	к2	э	
6Н27П	РШ8	а1	с2	к2	н	н	а1	с1	к1	с2	
6Н31П	РШ8	а	с2	к, л	н	н	а	с1	к, л	х	
6П3П	РШ5-1	х	н	а	н	н	х	н	к, л	х	
6П6С	РШ5-1	х	н	а	н	н	х	н	к, л	х	
6П7С	РШ5-1	х	н	а	н	н	х	н	к, л	х	
6П13С ¹	РШ5-1	х	н	а	н	н	х	н	к, л	х	
6П14П	РШ8	—	с1	к, л	х	н	—	а	с2	с2	
6П15П	РШ8	с3, э	с1	к, л	х	н	с3, э	а	—	с2	
6П18П	РШ8	с3, э	с1	к, л	х	н	с3, э	а	—	с2	
6П20С ¹	РШ5-1	с2	н	к, л	с1	н	к, л	а	с2	с2	
6П21С ¹	РШ5-1	л	с2	к, л	л	н	л	а	с2	с2	
6П23П	РШ5-1	л	с2	к, л	л	н	л	а	с2	с2	
6П27С	РШ5-1	х	н	а	с2	н	х	н	к, л	х	
6П31С	РШ5-1	х	н	а	с2	н	х	н	к, л	х	
6П33П	РШ8	с1	с1	к, л	н	н	с2	а	—	с2	
6П36С ¹	РШ24	с1	с1	к, л	н	н	с2	а	—	с2	
6П38П	РШ8	к	с1	к	н	н	—	а	с3	к	
6П39С	РШ24	а	с3	к	н	н	—	а	с3	к	
6П41С	РШ24	с2	с1	к, э	н	н	с1	а	с1	к	
6П42С ¹	РШ24	с1	с1	к, л	н	н	с2	а	—	с2	
6П43П-Е	РШ8	—	с1	к, л	н	н	—	а	—	с2	
6П44С	РШ24	с1	с1	к, л	н	н	с2	а	—	с2	
6П45С	РШ24	с1	с1	к, л	н	н	с2	а	—	с2	

Продолжение табл. 12-35

Тип лампы	Схема расположения штырьков по рис. 12-40, 12-41	Порядок соединения электродов со штырьками								
		1	2	3	4	5	6	7	8	9. (10), (11), (12)
6P2П	Без покола	с1	к, л	с12	н	н	а1	с2	а2	—
6P3С-1	РШ6	с11	с2	к, л	н	с12	н	к	н	х
6P4П	РШ25	с12	к, с32	с22	а2	н	н	к, с31	с11	с21, (а1)
6P5П	РШ8	с21	с11	а1	н	н	с12	к, э	а2	с22
6С1П	РШ4	а	к	н	н	а	с	к	х	х
6С2Б	Без покола	а	к	н	н	а	х	х	х	х
6С3Б	»,	а	н	и	с	к	х	х	х	х
6С3П	РШ8	с	с	к	н	н	к	к	х	а
6С4П	РШ8	с, э	с, э	к	н	н	к	с, э	с, э	а
6С7Б	Без покола	а	н	н	с	к	х	х	х	х
6С15П	РШ8	а	с	к	н	н	к	а	с	к
6С19П	РШ8	а	с	а	н	н	а	с	а	к
6С13Д	Оформление стеклянное с дисковыми выводами катода и сетки									
6С17С-К	Оформление металлокерамическое с цилиндрическими выводами									
6С36К	Оформление металлическое с дисковыми выводами сетки и цилиндрическими выводами анода, катода и подогревателя									
6С40П	РШ8	к, э	—	—	н	н	—	—	—	с
6С45П-Е	РШ8	к	с	к	н	н	к	а	с	к
6С44Д	Оформление стекляннометаллическое с цилиндрическими выводами анода и катода и дисковым выводом сетки									
6С51Н	РШ39	х	а	х	с	х	х	х	к	х, (н), {—}, {н}
6С52Н	РШ39	—	а	—	с	—	х	—	к	{—}, {н}
6С53Н	РШ39	н	н	к	а	н	х	х	х	х
6С56П	РШ8	а	с	а	н	с	а	с	а	х
6С58П	РШ8	к	с	к	н	н	—	а	х	а
6С59П	РШ8	с	с	к	н	н	х	с	с	а

Продолжение табл. 12-35

Тип лампы	Схема расположения штырьков по рис. 12-40, 12-41	Порядок соединения электродов со штырьками									
		1	2	3	4	5	6	7	8	9, (10), [11], {12}	
6Ф1П	РШ8	ат	сп1	сп2	н	н	ап	кп	кт	ст	
6Ф3П	РШ8	ст	кп, эл	сп2	н	н	ап	сп3	кт	ат	
6Ф4П	РШ8	ст	ат	кт	н	н	ап	кп	сп1	сп2	
6Ф5П	РШ8	ат	ст	кт	н	н	ап	сп2	кп, л.	сп1	
6Ф12П	РШ8	ст	кт	ал	н	н	сп1	кп, э	сп2	ат	
6Ц13П	РШ8	—	—	а	н, к	н, к	—	—	—	—	
6Ц17С	РШ5-1	а	—	—	а	а	—	н	н	×	
6Ц19П ²	РШ8	н	а	—	н	а	—	а	—	—	
6Э5П	РШ8	н	а	—	к	с2	н	—	с1	к	
6Э6П-Е	РШ8	к	с1	к	н	н	к	—	—	с2	
6Э12Н ¹	РШ39	—	с2	—	—	—	—	—	к	(н), {х}, {н}	
6Э13Н ¹	РШ39	—	с2	—	—	—	—	—	к	(н), {х}, {н}	
6Э14Н ¹	РШ39	—	с2	—	—	—	—	—	к	(н), {х}, {н}	
9Ф8П	РШ8	ат	сп1	сп2	н	н	ап	кп, э	кт, ст	×	
15Ф4П	РШ8	ст	ат	кт	н	н	ап	кп, э, с3	сп1	сп2	
16Ф3П	РШ8	ст	кп, л	сп1	н	н	ап	э, с3	кт	ат	
18Ф5П	РШ8	ат	ст	кт	н	н	ап	с2	кп	сп2, сп1	

1 Анод выведен к колпачку на баллоне.

2 Катод выведен к колпачку на баллоне.

3 Индикаторная сетка.

4 Лучеобразующие пластины соединены со средней точкой нити накала.

Максимально допускаемая мощность, выделяемая на аноде и на экранирующей сетке, $P_{a, \text{макс}}$, $P_{с2, \text{макс}}$.

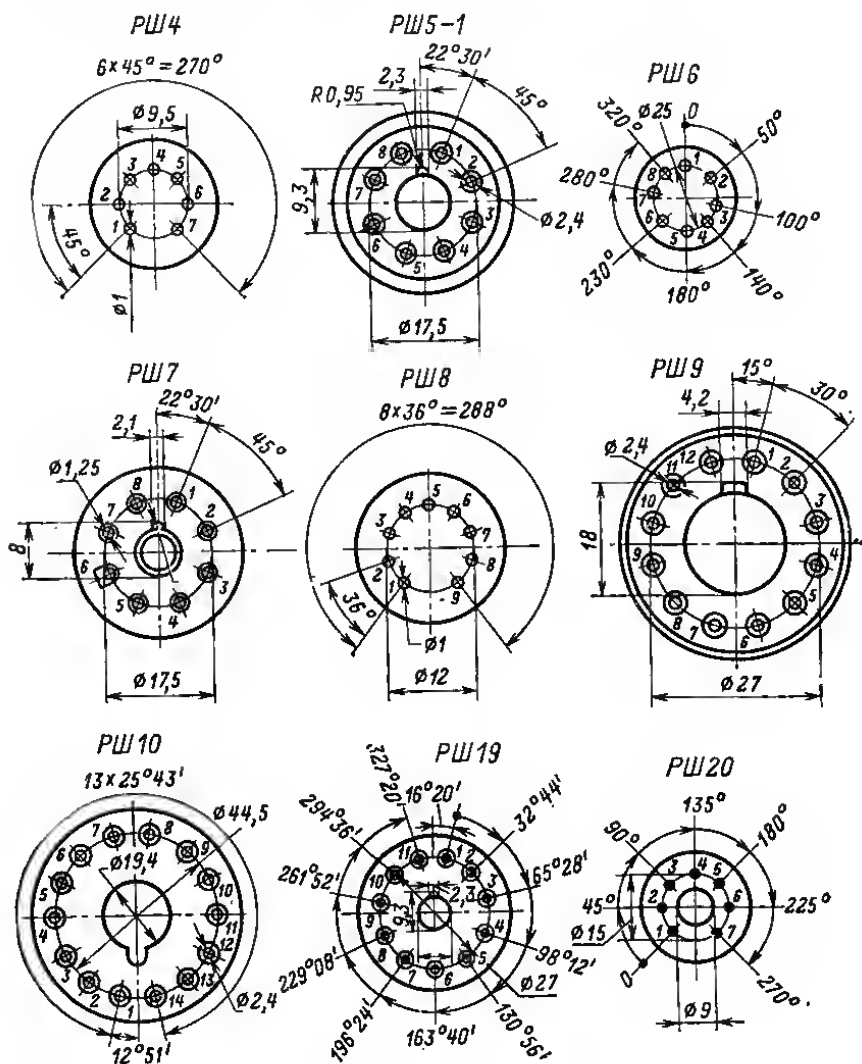


Рис. 12-40.

Максимально допускаемое сопротивление в цепи управляющей сетки R_c . Этот параметр указывается для отдельных типов ламп. Превышение значения R_c может привести к нарушению работы лампы и выходу ее из строя.

Максимально допускаемый анодный ток диода в импульсе $I_{\text{вп. макс}}$ ограничивается эмиссией катода, при которой перегрев катода током лампы не опасен (табл. 12-36 и 12-37).

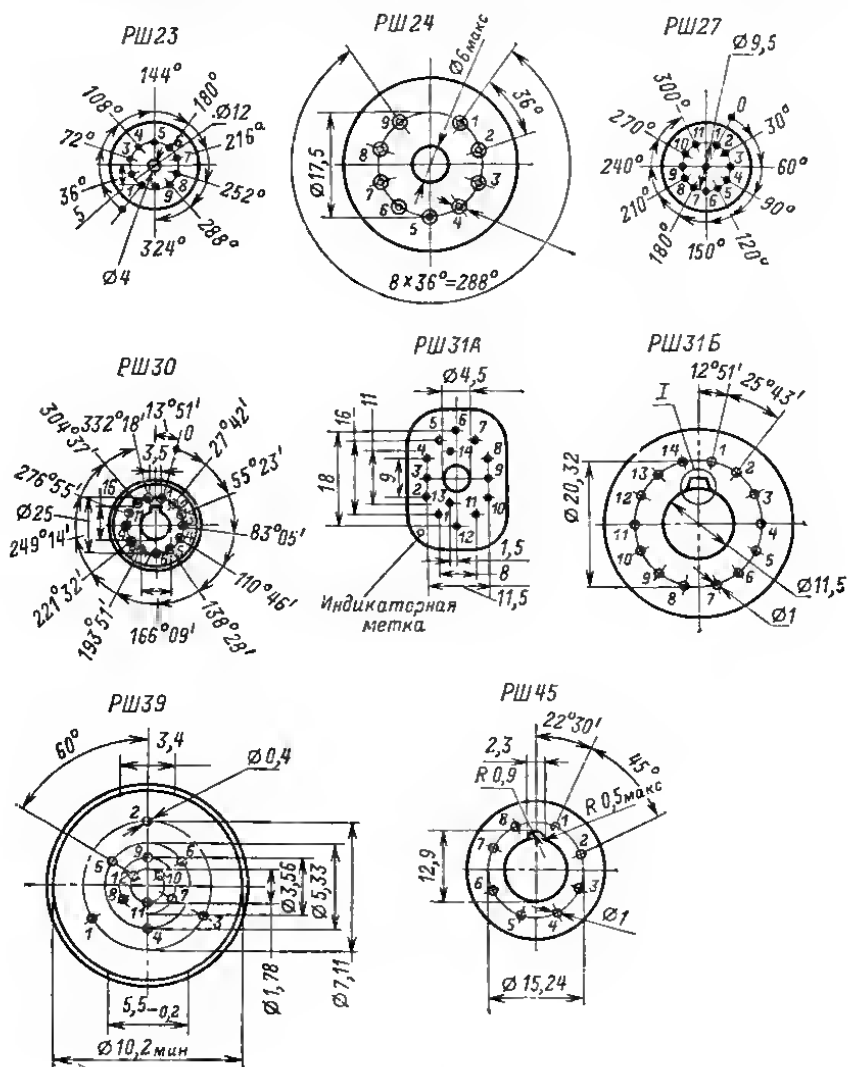


Рис. 12-41.

Максимально допускаемый выпрямленный ток диода $I_{\text{вп. ср. макс}}$ ограничивается мощностью потерь на аноде или эмиссией катода.

Максимально допускаемое импульсное значение обратного напряжения диода $U_{\text{обр. и. макс}}$ — наибольшее напряжение на аноде во время отрицательного полу-

периода подводного напряжения, при котором не возникает пробоя внутри диода или между штырьками его цоколя.

Таблица 12-36

Диоды

Тип лампы	$U_{н, В}$	$I_{н, А}$	$U_{обр. к. макс, В}$	$I_{вп. ср. макс, мА}$	$I_{вп. макс, мА}$	$C_{а. к. лФ, не более}$	$D, мм, не более$	$h, мм, не более$
-----------	------------	------------	-----------------------	------------------------	--------------------	--------------------------	-------------------	-------------------

Диоды с одним анодом

2Д2С	1,5	1,5	200	—	40	0,8	32	45,5
6Д3Д	6,3	0,77	200	27	150	3,0	33	50
6Д10Д	6,3	0,75	100	10	30	3,5	20	40
6Д16Д	6,3	0,24	450	—	2000 *	2,0	7,5	29
6Д15Д	6,3	0,33	200	8	750 *	1,5	20	36

Демпферные диоды

6Д14П	6,3	1,1	5600	150	600	10	22,5	75
6Ц17С	6,3	1,8	4500	215	1200	11	33	100
6Ц19П	6,3	1,1	4500	120	450	8,0	22,5	75
6Д22С	6,3	1,9	6000	300	1000	13,5	30	100

* В импульсе.

Таблица 12-37

Кенотроны с одним анодом *

Тип лампы	$U_{н, В}$	$I_{н, А}$	$R_L, Ом$	$U_{обр. и. макс, кВ}$	$I_{вп. макс, мА}$	$I_{вп. ср. макс, мА}$	$D, мм, не более$	$h, мм, не более$
-----------	------------	------------	-----------	------------------------	--------------------	------------------------	-------------------	-------------------

1Ц1С	0,7	0,19	7500	15	5,0	0,5	33	90
1Ц7С	1,25	0,2	14 000	30	17	2,0	33	105
1Ц11П	1,2	0,2	20 000	20	2,0	0,3	19	60
1Ц20Б	1,0	0,25	—	10	1,0	0,3	10,2	86
1Ц21П	1,4	0,69	—	25	40	0,6	22,5	80
3Ц16С	3,15	0,21	—	35	80	1,1	33	105
3Ц18П	3,15	0,21	15 000	25	15	1,5	19	65
3Ц22С	3,15	0,4	—	36	—	2,0	30	90

* Лампы для преобразования импульсного напряжения обратного хода строчной развертки телевизоров в постоянное высокое анодное напряжение кинескопов.

Основные параметры ламп с управляющими сетками

Средние значения электрических параметров приемно-усилительных ламп с сетками и некоторых маломощных генераторных ламп, соответствующие номинальным режимам их работы, указаны в табл. 12-38—12-42. Номинальное напряжение накала ламп с цифрой 1 в начале обозначения — $U_k = 1,2 В$, ламп с цифрой 2 — $2,2 В$, ламп с обозначением, начинающимся с цифры 6— $6,3 В$ и с числа

12—12,6 В. Параметры ламп зависят от конструктивных размеров электродов и от напряжений на электродах, поскольку характеристики ламп нелинейны. В справочнике приводятся средние значения S , R_i и μ для номинального режима работы ламп. Такие значения параметров названы номинальными.

Крутизна характеристики S показывает, на сколько миллиампер изменится анодный ток I_a при изменении напряжения управляющей сетки U_{c1} на 1 В при неизменных напряжениях на остальных электродах лампы.

Внутреннее сопротивление R_i (сопротивление лампы переменному току) — отношение приращения анодного напряжения к вызываемому им приращению анодного тока I_a при неизменных напряжениях на остальных электродах лампы.

Коэффициент усиления μ показывает, на сколько вольт нужно изменить анодное напряжение, чтобы при изменении напряжения на управляющей сетке на 1 В анодный ток остался неизменным.

Крутизна преобразования $S_{пр}$ — параметр частотопреобразовательных ламп — отношение переменной составляющей анодного тока промежуточной частоты к переменной напряженности на сигнальной сетке при заданном напряжении на гетеродинной сетке и неизменных напряжениях на остальных электродах.

Обычно $S_{пр} = (0,25 \div 0,35) S$; она возрастает в некоторых пределах при увеличении напряжения гетеродина.

Входная емкость $C_{вх}$ — емкость управляющей сетки по отношению к электродам, на которых в рабочем режиме лампы нет переменных потенциалов частоты напряжения, приложенного к цепи управляющей сетки. Для триода $C_{вх}$ — емкость между сеткой и катодом; для пентода она равна емкости между первой (управляющей) сеткой и катодом, соединенным со второй и третьей сетками. Входная емкость гектода равна емкости между его сигнальной сеткой и катодом, соединенным со всем пятью сетками.

Выходная емкость $C_{вых}$ — емкость между анодом и другими электродами, на которых в рабочем режиме лампы нет переменных потенциалов той же частоты, какую имеет переменное напряжение на сопротивлении нагрузки лампы. Выходная емкость триода — емкость между анодом и катодом. Для пентода она равна емкости между анодом и катодом, соединенным со второй и третьей сетками. Для гектода $C_{вых}$ равна емкости между его анодом и катодом, соединенными со всеми пятью сетками.

Усилению лампы на высоких частотах тем больше, чем меньше сумма $C_{вх} + C_{вых}$ и чем больше S .

Проподная емкость $C_{прох}$ — емкость между анодом и управляющей сеткой лампы.

Отношение крутизны характеристики лампы к проводимости ее проходной емкости служит показателем устойчивости усиления.

Коэффициент широкополосности — отношение $S/(C_{вх} + C_{вых})$.

Эквивалентное сопротивление внутриламповых шумов $R_{ш}$ — сопротивление резистора, на концах которого при температуре 25°С вследствие собственных тепловых колебаний электронов возникает напряжение шумов, которое, будучи приложенным между управляющей сеткой и катодом идеальной бесшумной лампы, вызывает в ее анодной цепи такой же ток шумов, какой создается в реальной лампе.

Для триода $R_{ш} = 3/S$; для пентода $R_{ш} = \frac{3}{S} + \frac{20I_a I_{c2}}{S^2(I_a + I_{c2})}$.

Здесь токи I_a и I_{c2} выражены в миллиамперах, крутизна S — в миллиамперах на вольт и сопротивление $R_{ш}$ — в килоомах. Величина $R_{ш}$ имеет значение при выборе лампы для первых каскадов усилителей.

Эксплуатация ламп

Для обеспечения надежности и долговечности электронных ламп нельзя превышать максимально допускаемые значения токов, напряжений и мощностей, температуры и других эксплуатационных параметров (табл. 12-38—12-42).

Триоды

Тип лампы	Номинальные электрические режимы и параметры						
	$I_{\text{н}}, \text{А}$	$U_{\text{а}}, \text{В}$	$U_{\text{с}}, \text{В}$ ($R_{\text{к}}, \text{Ом}$)	$I_{\text{а}}, \text{мА}$	$S, \text{мА/В}$	μ	$R_{\text{п}}, \text{кОм}$

Триоды

6С1П	0,15	250	—7	6,1	2,35	27,2	11,6
6С2Б	0,25	150	(100)	11,5	11	50	—
6С2П	0,4	150	(100)	14	11,5	48	—
6С3Б	0,15	250	(1500)	8,5	2,2	14	—
6С3П	0,30	150	(100)	16	19,5	50	—
6С4П	0,30	150	(100)	16	19,5	50	—
6С6Б	0,20	120	—2	9	5,0	25	5
6С7Б	0,20	250	—2	4,5	4,0	65	16,5
6С15П	0,44	150	(30)	40	45	52	1,24
6С19П	1,0	110	—7,0	95	7,5	—	0,42
6С27Б-К	0,2	250	(400)	4,5	4,2	70	—
6С28Б	0,3	90	(82)	11	17	40	—
6С29Б	0,31	90	(82)	11	17	40	—
6С31Б	0,22	50	0	40	18	17	—
6С32Б	0,165	200	(285)	3,5	3,5	100	—
6С34А	0,127	100	(120)	8,5	4,6	25	—
6С35А	0,127	200	(380)	3	4,0	70	—
6С40П	0,17	20 000	—[10,5 ÷ 17,5]	0,3	0,2	1000	—
6С46Н-В	0,5	42	—1	60	20	7	—
6С51Н-В	0,13	80	(130)	10	11	30	—
6С52Н-В	0,13	120	(130)	8	10	60	—
6С53Н	0,13	120	(68)	9	11	75	—
6С56П	1,0	110	—7,0	95	8,5	—	0,35
6С58П	0,3	150	(51)	27	36	64	—
6С59П	0,3	150	(51)	27	36	62	—
6С62Н	0,13	120	—	0,4	1,7	—	—

Таблица 12-38

Максимально допускаемые эксплуатационные значения параметров				Емкость, пФ, не более			Размеры, мм, не более	
R_c , МОм, не более	$U_{a. макс.}$ В	$I_{a. макс.}$ ($I_{k. макс.}$), мА	$P_{a. макс.}$ Вт	$C_{вх}$	$C_{вых}$	$C_{прох}$	D	h
—	275	—	1,8	1,8	1,4	1,7	19	49
1	250	40	2,5	9,0	6,0	0,25	10,3	43
0,25	165	25	2,5	6,6	4,8	0,24	19	58
0,75	300	12	2,5	3,7	5,4	3,2	10,2	40
1,0	160	35	3,0	7,4	1,7	2,2	22,5	56,5
1,0	160	35	3,0	13	4,2	0,17	22,5	56,5
1	250	14	1,4	3,95	4,4	1,42	10,2	36
1	300	7	1,45	4,2	4,3	1,0	10,2	30
0,15	150	52	7,8	13	2,1	5,0	22,5	60
0,5	350**	(140)	11*	8,0	4,0	10	22,5	72
1	300	7	1,45	4,2	4,3	1,0	10,2	36
0,1	120	(35)	1,3	6	3,1	3	10,2	48
1	120	35	2,4	12	5,4	0,35	10,2	48
1	100	60	2,5	5	1,5	4,8	10,2	44
2	250	(10)	1,5	3,5	1	1,2	10,2	31
1	200	15	1,1	2,6	3,2	1,6	7,2	41
1	300	7	0,9	2,8	3,3	1,7	7,2	41
1	20 000	(0,5)	6,0	2,5	0,5	0,05	22,5	76
0,25	250	100	4,5	6,0	1,8	7,5	13	51
1,0	350	15	1,2	5,0	2,8	2,4	11	20,3
—	330	15	1,2	5,0	2,8	1,0	11	20,3
1	330	(15)	1,5	4,2	1,5	0,07	11	20
0,5	350	—	7	2,5	1,5	17	22,5	76
—	330	(45)	5,7	7,5	1,15	2	22,5	56,5
—	330	(45)	5,7	12,3	2,5	0,26	22,5	56,5
10	250	(15)	1,2	3,5	3,1	1,6	11	50,3

Тип лампы	Номинальные электрические режимы и параметры						
	$I_{а'}$ А	$U_{а'}$ В	$U_{с',B}$ ($R_{к'}$, Ом)	$I_{а'}$ мА	S , мА/В	μ	R_p кОм
<i>Двойные</i>							
6Н1П	0,60	250	(600)	7,5	4,5	35	11
6Н2П	0,34	250	—1,5	1,8	2,25	98	50
6Н3П	0,35	150	2,0 (240)	8,5	5,9	36	6,25
6Н4П	0,30	250	—4,0	3,0	1,75	41	21,6
6Н5П	0,60	200	(600)	9,75	4,2	27	—
6Н6П	0,75	120	—2,0	30	11	20	1,8
6Н12С	0,90	180	—7,0	23	6,4	17	—
6Н13С	2,5	90	—30	80	5,5	—	0,46
6Н14П	0,35	90	—1,5	10,5	6,8	25	—
6Н15П	0,45	100	(50)	9	5,6	38	—
6Н16Б	0,4	100	(325)	6,3	5,0	25	—
6Н17Б	0,4	200	(325)	3,3	3,8	75	—
6Н18Б	0,33	100	(325)	6,3	5,0	23	—
6Н19П	0,65	150	(50)	14,5	13,5	70	—
6Н21Б	0,40	200	(330)	3,5	3,8	90	—
6Н23П	0,30	100	9,0	15	12,7	34	—
6Н24П	0,30	90	9,0	15	12,5	34	—
6Н27П	0,33	6,3	0	0,9	2,8	13	—
		12,6	0	2,5	4,9	15	—
		25	0	8,0	18,0	16	—
6Н31П	0,31	90	(91)	17	12	31	—

* При $U_{а'} > 200$ В допускается $P_{а, макс} \leq 7$ Вт.

** При $P_{а'} < 5$ Вт допускается $U_{а, макс} \leq 450$ В.

*** Первое значение $S_{вых}$ и $S_{прох}$ — для первого триода, второе — для второго; $I_{к, макс}$, $I_{а, макс}$, $P_{а, макс}$ относятся к каждому из двойных триодов.

Продолжение табл. 12-38

Максимально допускаемые испытательные значения параметров				Емкость, пФ, не более			Размеры, мм, не более	
$R_{сг}$, МОм, не более	$U_{а. макс}$, В	$I_{а. макс}$ ($I_{к. макс}$), мА	$P_{а. макс}$, Вт	$C_{вх}$	$C_{вых}$	$C_{прок}$	D	h

триоды***

1	300	(25)	2,2	4,2	2,1; 2,3	2,7	22,5	57
0,5	300	(10)	1,0	2,7	3,0	0,7	22,5	57
1	300	(18)	1,5	3,0	1,6	1,6	22,5	60
1	300	(8)	1,0	1,9	1,75	1,6	22,5	58
1	300	(25)	2,2	3,8	2,2; 2,5	2,6	22,5	57
1	300	(45)	4,0	5,1	1,9; 2,1	3,5	22,5	72
—	300	(34)	4,2	—	—	—	33	85
1	250	(130)	13	8,0	3,0	10	52	140
1	300	—	1,5	5,7; 3,1	3,3; 1,4	0,25; 1,8	22,5	56,5
0,1	330	—	1,6	3,0	0,65; 0,55	1,8	19	57
1	200	(14)	0,9	3,4	3,2	2,0	10,2	41
1	250	(10)	0,9	3,8	2,2	2,1	10,2	41
1	200	(12)	0,9	3,4	1,9	2,0	10,2	41
—	200	(50)	2,0	4,3	1,5	4,0	22,5	60
2	250	(10)	1,0	3,5	0,85	1,4	10,2	40
1	300	(20)	1,8	4,5	2,45; 2,25	1,85	22,5	60
1	300	(20)	1,8	4,8; 7,6	2,4; 3,75	1,4; 0,35	22,5	57
1	} 30	} (20)	} 0,6	} 3,6	} 2,1; 2,4	} 1,6	} 22,5	} 56,5
1								
1	550	(22)	2	—	—	—	22,5	51

если приводится одно значение, значит оно относится к каждому из двойных триодов.

Пентоды и

Тип лампы	Номинальные электрические режимы и параметры							
	$I_{\text{н}}, \text{А}$	$U_{\text{а}}, \text{В}$	$U_{\text{с}}, \text{В}$	$U_{\text{сг}}, \text{В}$ ($R_{\text{к}}, \text{Ом}$)	$I_{\text{а}}, \text{мА}$	$I_{\text{сг}}, \text{мА}$	$S, \text{мА/В}$	$R_{\text{г}}, \text{кОм}$

Пентоды с короткой

6Ж1П	0,170	120	120	(200)	7,35	3,0	5,2	300
6Ж2П	0,17	120	120	(200)	6,0	5,0	4,5	130
6Ж3П	0,30	250	150	(200)	7,0	2,0	5,0	800
6Ж4П	0,30	250	150	(68)	11	4,5	5,7	200
6Ж5П	0,45	300	120	—2	10	3,5	9,0	240
6Ж9П	0,30	150	150	(80)	15	4,5	17,5	150
6Ж10П	0,30	200	100	(82)	6,5	5,5	10	100
6Ж11П	0,44	150	150	(50)	25	7,5	28	36
6Ж23П	0,44	150	150	(50)	13,5	6,0	15	36
6Ж32П	0,20	250	140	—2	3,0	0,8	2,0	2500
6Ж38П	0,19	150	100	(82)	12	3,5	10,6	360
6Ж40П	0,30	12,6	6,3	—	1,85	0,5	2,1	100
6Ж43П	0,48	150	150	(50)	29	6,5	29	36
6Ж49П-Д	0,30	150	150	(80)	15	2,45	17,5	100
6Ж50П	0,30	150	150	(43)	25	4,0	35	90
6Ж51П	0,3	200	200	(200)	8,0	3,5	15,5	—
6Ж52П	0,33	100	150	(24)	41	8,0	55,0	—
6Ж53П	0,16	150	150	(68)	13,0	2,2	19	—

Пентоды перемен

6К1П	0,15	250	100	—3	6,6	2,7	1,8	450
6К4П	0,30	250	100	(68)	10	5,5	4,4	850
6К4П-В	0,3	250	100	(68)	10	5,5	4,4	850
6К8П	0,30	12,6	3,2	—	0,9	0,25	1,1	190
	0,30	25	6,3	—	2,75	0,75	2,1	75
6К13П	0,30	200	90	(120)	12	4,5	12,5	500

 $T_{\text{ст}}$

6Э5П	0,6	150	150	(30)	43	14	30,5	8
6Э5П-И	0,7	150	150	(30)	35	18	24	14
6Э6П-Е	0,6	150	150	(30)	44	10	30,5	15
6Э12Н	0,14	120	50	(68)	10	3,6	9,5	—
6Э13Н	0,14	27	27	(68)	7	3,6	8,5	—
6Э14Н	0,14	27	27	(68)	7	3,6	8,5	—

Таблица 12-39

тетроды

Максимально допускаемые эксплуатационные значения параметров					Емкость, пФ, не более			Размеры, мм, не более	
$I_{к, макс}$, мА	$U_{а, макс}$, В	R_c , МОм, не более	$P_{г, макс}$, Вт	$P_{с2, макс}$, Вт	$C_{вх}$	$C_{вых}$	$C_{прот}$	D	h

характеристикой

20	200	1,0	1,8	0,55	4,7	2,8	0,03	19,0	41
20	200	1,0	1,0	0,65	4,7	2,8	0,0035	19,0	41
20	330	0,1	2,5	0,55	7,4	1,9	0,005	19,0	53
20,5	300	0,47	3,5	0,9	7,2	7,2	0,0035	19,0	55
20	300	1,0	3,6	0,5	10	2,6	0,03	19,0	53
35	250	1,0	3,0	0,75	9,5	3,5	0,03	22,5	41
35	250	1,0	3,0	0,75	10	4,8	0,02	22,5	41
40	150	0,3	4,9	1,15	15,6	3,95	0,1	22,5	60
40	150	0,3	2,45	1,15	15,5	3,5	0,075	22,5	57
6	300	3	1,0	0,2	4,0	5,5	0,05	22,5	57
25	300	1	3,0	0,5	5,8	4,0	0,02	19,0	57
15	30	2,2	0,5	0,5	7,9	4,9	0,025	19,0	57
46	150	0,3	3,1	1,35	15,5	3,45	0,075	22,5	50
22	150	0,5	2,85	0,45	9,0	3,1	0,03	22,5	57
45	350	$(50 + 1800R_k)$ кОм	5,3	0,9	12,0	2,8	0,06	22,5	56,5
25	550	$(500 + 2500R_k)$ кОм	2,5	1,0	11,5	3,3	0,005	22,5	62
60	250	0,5	7,5	1,2	13,5	1,8	0,05	22,5	57
24	400	—	3,5	0,4	6,6	1,7	—	19,0	48

ной крутизны

—	275	—	1,8	0,33	4,1	3,9	0,01	19,0	42
20	300	0,5	3,0	0,6	7,2	7,8	0,0045	19,0	48
20	300	0,5	3,0	0,6	6	6,3	0,0035	19,0	62
15	30	10	0,5	0,5	6,7	4,1	0,025	19,0	57
15	30	10	—	—	—	—	—	—	—
20	550	1,0	2,5	0,65	11,7	3,9	0,006	22,5	62

роды

100	250	0,5	8,3	2,3	17	2,8	0,065	22,5	72
100	250	0,5	—	2	17	2,8	0,075	22,5	57
70	250	0,5	8,25	2,1	17	6,8	0,075	22,5	67
20	330	1,0	2,2	0,2	7,0	1,5	0,017	11	25,3
15	300	1,0	2	0,2	7,0	1,9	0,025	11	25,8
15	300	1,0	2	0,2	7,0	1,9	0,025	11	25,8

Тип лампы	Номинальные электрические режимы и параметры							
	I_{B}, A	U_{A}, B	U_{C}, B	U_{C1}, B ($R_{\text{K}}, \text{Ом}$)	I_{A}, mA	I_{C2}, mA	$S, \text{mA/B}$	$R_{\text{T}}, \text{кОм}$

Тетроды со

6В1П	0,4	250	250	(200)	26	3,5	28	—
6В2П	1,6	600	300	—25	2000 ¹	—	300 ¹	—
6В3С	0,85	700	400	—25	2000 ¹	—	300 ¹	—

Выходные лучевые

6П7С	0,9	250	250	—14,5	45	72	5,9	32
6П13С ²	1,3	200	200	—19	[220]	[120]	9,5	25
6П14П	0,76	250	250	(120)	48	5,0	11,3	30
6П15П	0,76	300	150	(75)	30	4,5	15	100
6П18П	0,76	180	180	(110)	53	8,0	11	22
6П20С ²	2,5	175	175	—30	90	10	8,5	7,0
6П21С ³	0,7	600	200	—16	36	1,5	4,0	—
6П23П ³	0,75	300	200	—16	40	5,0	4,5	44
6П27С	1,5	250	265	—13,5	100	15	10	15
6П31С ²	1,3	100	100	—9,0	80	8,5	12,5	4,0
6П33П	0,9	170	170	—12,5	70	6,5	10	25
6П36С ²	2,0	100	100	—7,0	120	—	14	4,5
6П38П	0,45	150	150	0	50	8,0	65	30
6П39С	0,6	125	125	(51)	50	6,0	45	18
6П41С	1,1	190	190	(300)	66	2,7	8,4	12
6П42С ²	2,1	75	150	—60	[700]	[120]	—	1,5
6П43П-Е	0,625	185	185	(340)	45	2,7	7,5	—
6П44С ²	1,35	50	200	—10	100	37	—	—
6П45С ²	2,5	50	175	—10	[800]	[150]	—	2,5

Двойные лучевые

6Р3С-1	2,1	350	200	—22	47,5	—	—	—
		350	200	—100	47,5	—	—	—
6Р4П	0,84	180	180	[75]	30	7,0	21	—
	0,84	200	150	[130]	10	2,8	8,5	—
6Р5П	0,55	250	250	—9	24	4,5	6	—

Продолжение табл. 12-39

Максимально допускаемые эксплуатационные значения параметров					Емкость, пФ, не более			Размеры, мм, не более	
$I_{\text{к. макс.}}$ мА	$U_{\text{а. макс.}}$ В	$R_{\text{с.}}$ МОм, не более	$P_{\text{в. макс.}}$ Вт	$P_{\text{с2 макс.}}$ Вт	$C_{\text{вх}}$	$C_{\text{вых}}$	$C_{\text{проз}}$	D	h

вторичной эмиссией

20	550	—	4,5	0,8	10,2	5,4	0,008	22,5	72
—	600	—	3	1	32	20	0,2	22,5	67
—	700	—	5	1,5	17	17	0,2	24,5	70

тетроды и пентоды

100	500	1,0	200	3,0	11,5	6,0	0,7	53	146
[400]	450	—	14	4,0	20	7,5	0,9	33	110
	[8000]								
65	300 ⁺	1,0	14	2,2	13,5	10	0,4	22,5	78,5
90	330	1,0	12	1,5	15,5	8,5	0,07	22,5	78,5
75	250	1,0	12	2,5	11,5	6,0	0,2	22,5	78,5
200	450	—	27	3,6	22,5	10	0,8	52	140
	[6000]								
100	600	—	18	3,5	8,2	6,5	0,15	37	90
100	350	—	11	3,0	8,3	5,0	0,1	22,5	75
150	800	0,25	27,5	8,0	15	11	1,0	39	110
[600]	300	—	107	4,5	218	10	1,3	34	103
	[7000]								
100	250	1,0	12	1,75	12	7	1,0	22,5	80
250	250	0,5 ⁺	12	5,0	36	21	1,0	40	115
	[7000]								
90	200	(25 + 1800R _к) КОм	10,5	1,8	25	4,4	0,75	22,5	67
75	400	—	7	1,5	18	4,0	0,11	30	71
100	400	—	14	3,0	23	10,5	5,5	30	95
310	250	2,2	24	4,5	25	4,4	0,75	22,5	67
	[7000]								
75	300	2,2	12	2,0	1,3	9,0	0,7	22,5	78,5
	[2500]								
250	250	0,51	21	6,0	22	9,0	1,5	30,2	103
	[7000]								
500	700	2,2	35	5,5	55	20	1,5	46	12,4
	[8000]								

тетроды и пентоды

—	250	600	—	20	7,0	16	8,0	0,3	40	100
—	—	—	—	—	—	—	—	—	—	—
—	16	250	0,5	7,3	2,5	13	7,0	0,1	22,5	78,5
—	60	250	1,0	2,8	0,65	10	11	0,4	22,5	78,5
—	40	300	1,2	8,0	3,5	—	—	—	22,5	78,5

Тип лампы	Номинальные электрические режимы и параметры							
	I_{H^*} , А	U_a , В	U_{c^*} , В	U_{c1^*} , В (R_k , Ом)	I_a , мА	I_{c2^*} , мА	S , мА/В	R_f , кОм
Триод-								
6Ф1П	0,42	100	—	—2	13	—	5	—
		170	170	—2	10	4,5	6,2	400
6Ф3П	0,81	170	—	1,5	2,5	—	2,5	—
		170	170	11,5	41	14	7	15
6Ф4П	0,72	200	—	(600)	3,0	—	4	—
		170	170	(100)	18	3,2	10,4	130
6Ф5П	0,93	100	—	(160)	5,2	—	7	—
		185	185	(340)	41	2,7	7,5	23
6Ф12П	0,33	150	150	—(68)	12,5	—	19	—
		150	150	—	13	2,2	19	—
9Ф8П	0,3	100	—	—2	14	—	5	—
		170	170	—2	10	4,5	6,2	400
15Ф4П	0,3	200	—	—	3	—	4	—
		200	200	—	18	3	10,4	110
16Ф3П	0,3	170	—	—1,5	2,5	—	2,5	—
		170	170	—11,5	41	14	7	15
18Ф5П	0,3	100	—	(160)	5	—	5,5	—
		185	185	(340)	45	2,7	7,5	—

* В импульсе.

* Лампы для выходных каскадов строчной развертки телевизоров. Для них в квадрат на аноде.

* Лампы для ВЧ каскадов усиления мощности.

* При $P_a \leq 8$ Вт допустимо $U_{a, \text{макс}} = 400$ В.

* В схемах строчной развертки допускается $R_{c1} = 2,2$ МОм.

* При автоматическом смещении.

* В первых строчках для каждой лампы приведены параметры триода, во вторых —

Частотопреобразов

Тип лампы	Номинальные электрические режимы и параметры						
	I_{H^*} , А	U_a , В	U_{c2+4^*} , В	U_{c1^*} , В (R_k , Ом)	I_a , мА	I_{c2+4^*} , мА	$S_{пр}$, мА/В, не менее
1А2П	0,03	60	45	0	0,7	1,1	0,20
6А2П	0,3	250	100	—1,5	3,0	7	0,3
6А4П	0,44	200	100	—10	34	32	—
6И1П	0,3	100	—	—2	6,8	—	—
	0,3	250	100	—2	3,8	6,5	0,77

Примечания: 1. Для лампы 6А2П приведены значения I_a в режиме самовоз

2. Указанные значения I_{c2+4} и $P_{c2+4 \text{ макс}}$ относятся к соединенным вместе второй и

3. Для лампы 6И1П в верхней строчке указаны параметры триодной части, в ниж

4. Входной сигнал подается на третью сетку ламп 1А2П, 6А2П и на первую сетку

Продолжение табл. 12-39

Максимально допускаемые эксплуатационные значения параметров					Емкость, пФ, не более			Размеры, мм, не более	
$I_{к. макс.}$ мА	$U_{а. макс.}$ В	$R_{с1}$, МОм, не более	$P_{а. макс.}$ Вт	$P_{с2 макс.}$ Вт	$C_{вх}$	$C_{вых}$	$C_{прох}$	D	h
<i>пентоды?</i>									
20	14	250	0,5	1,5	—	3	0,5	1,8	22,5 60
—	14	250	1,0	2,5	0,7	5,5	3,4	0,025	22,5 60
75	15	250	3 ^а	1	—	2,2	0,4	3,7	22,5 77
—	—	—	—	—	—	9,3	8,5	0,3	22,5 77
65	60	275	1 ^а	8	2,5	4	0,6	2,7	22,5 72
—	12	250	1,0	1	—	8,7	4,0	0,1	22,5 72
70	40	250	1,0	4	1,7	3,5	0,25	1,8	22,5 79
—	15	250	3,3 ^а	0,5	—	11,7	8,8	0,7	22,5 79
100	22	250	—	3,5	—	4	0,34	2,0	22,5 57
—	22	300	—	5	0,4	8,2	2,4	0,02	22,5 57
20	14	250	0,5	1,5	—	3	0,3	1,8	22,5 57
—	14	250	1,0	2,5	0,7	5,5	3,2	0,025	22,5 57
65	12	250	36	1	—	4,6	2,7	3,2	22,5 67
—	40	250	2 ^а	4	1,7	10,4	5,0	0,1	22,5 67
75	15	250	3 ^а	1	—	2,2	0,4	3,7	22,5 78,5
—	60	275	1 ^а	8	2,5	9,3	8,5	0,3	22,5 78,5
50	15	250	3,3 ^а	0,7	—	—	—	—	22,5 78,5
—	75	300	2,2 ^а	9	2	—	—	—	22,5 78,5

ратных скобках указаны импульсные значения токов и обратных импульсных напряже-

пентады.

Таблица 12-40

тельные лампы

Максимально допускаемые эксплуатационные значения параметров					Емкость, пФ, не более			Размеры, мм, не более	
$I_{к. макс.}$ мА	$U_{а. макс.}$ В	$R_{с1 макс.}$ МОм, не более	$P_{а. макс.}$ Вт	$P_{с2+1 макс.}$ Вт	$C_{вх}$	$C_{вых}$	$C_{прох}$	D	h
3	90	1,0	0,3	—	5,1	6,3	0,6	19	50
14	330	—	1,1	1,1	7,5	10,5	0,35	19	57
20	250	0,5	2	0,5; 1,5	10,5	2,8	0,35	22,5	60
6,5	250	0,5	0,8	—	3,2	2,3	1,2	22,5	78
12,5	300	3	1,7	1,0	6,1	8,8	0,006	—	—

буждения ее гетеродинной части при $R_{с1} = 22$ кОм и для лампы 1А2П при $R_{с1} = 51$ кОм, четвертой сеткам.

ней — гентодной.

гептодной части лампы 6Н1П.

Генераторные лампы и некоторые усилы

Тип лампы	Номинальные электрические режимы и параметры						
	$U_{н}^*$ В	$I_{н}^*$ А	U_{a}^* В	U_{ca}^* В	U_{ct}^* Ом	I_{a}^* мА	S^* мА/В, не менее
10Ж1Л	10,0	0,09	150	75	—2,1	2,35	1,65
6Р2П	6,3	0,6	200	200	—16	20	2,5
2П29Л	2,2	0,12	160	120	—	—	1,9
2С14Б	2,2	0,06	90	—	—3,0	3,6	1,8
4Ж1Л	4,2	0,23	150	75	—5,0	—	1,5
4П1Л	4,2	0,3	150	150	—12	—	6,0
6Н16Б	6,3	0,37	100	—	(325)	6,3	5,0
6Н18Б	6,3	0,33	100	—	—	6,3	5,0
ГУ-13	10,0	5,1	2000	400	—	50	—
ГУ-15	4,4	0,68	220	200	—14	50	4,7
ГУ-17	6,3	0,8	200	200	—10	20	2,45
ГУ-18	6,3	1,2	250	200	—	35	22
ГУ-19	6,3	2,0	350	250	—17	40	45
ГУ-29	6,3	2,25	250	175	—17	40	45
ГУ-32	6,3	1,60	350	250	—10	19	—
ГУ-42	6,3	2,0	600	250	—17	40	4,5
ГУ-50	12,6	0,70	800	250	—40	50	4,0
ГС-4В	6,3	0,47	200	—	—	30	18
ГС-6В	6,3	0,9	250	—	—	30	22
ГС-11	6,3	0,29	175	—	—0,75	10	9,0
ГС-13	6,3	0,49	250	—	—1,8	30	18
ГС-14	6,3	0,73	350	—	—2,2	30	20
ГУ-63	6,3	0,69	150	250	—16	—	2,8
ГУ-64	6,3	3,15	300	300	—	250	11,5
ГК-71*	20,0	2,7	1500	400	—50	250	4,2

Генераторные триоды

2С49Д	2,4	0,48	250	—	—1,0	20	6,0
6С13Д	6,3	0,78	300	—	(200)	21	5,2
6С17К-В	6,3	0,3	175	—	— [0,2 ÷ 1,3]	10	14
6С36К	6,3	0,32	250	—	— [0,2 ÷ 1,5]	10	12
6С44Д	6,3	0,33	250	—	—4,0	26	6,0
6С50Д	6,3	0,37	250	—	—4,0	22	6,0
6С53Н-В	6,3	0,13	120	—	(68)	9,0	12

* $U_{ca} = 50$ В; у остальных ламп с защитной сеткой последняя соединена с катодом

** Среднее значение (постоянная составляющая) анодного тока в импульсном режиме.

*** При наличии радиатора.

Таблица 12-41

тельные лампы в генераторном режиме

Максимально допускаемые эксплуатационные значения параметров						Емкость, пФ, не более			Размеры, мм, не более	
$U_{a, \text{ макс.}}$, В	$I_{k, \text{ макс.}}$, мА	$P_{a, \text{ макс.}}$, Вт	$P_{с1, \text{ макс.}}$, Вт	$P_{с2, \text{ макс.}}$, Вт	$I_{\text{прек.}}$, МГц	$C_{вх}$	$C_{вых}$	$C_{прох}$	D	h
300	11	2,0	—	0,7	200	3,7	4,0	0,007	30	69
350	300	6,5	0,25	3,0	300	4,5	2,0	0,1	22,5	69
—	20	2,0	—	0,7	120	4,3	5,5	0,6	32	61
250	5	0,75	—	—	—	2,1	2,8	2,0	10,2	50
—	7	2,0	—	0,7	200	4,0	4,2	0,07	32	69
—	50	7,5	—	1,5	100	8,5	9,4	1,0	32	75
350	14	0,2	0,1	—	440	2,7	1,7	1,5	10,2	41
200	—	0,9	0,1	22	440	2,6	1,4	1,4	10,2	43
2000	—	100	—	22	30	19,5	17,5	0,25	65	191
400	85	15	0,4	4,0	60	12	14,5	0,16	45,3	93,5
400	100	12	0,5	3,0	250	7,8	3,2	0,1	22,5	80
600	130	27	1,0	4,0	600	8,4	3,2	0,6	40	85
750	280	40	1,0	7,0	500	12	4,0	0,08	40	100
750	280	40	2,0	6,0	500	12	4,0	0,08	40	100
500	100	15	—	5,0	200	9,4	4,8	0,5	61	88
750	700	50	2,0	6,0	60	11	5,0	0,05	41	100
1000	230	40	1,0	5,0	120	15	10,3	0,1	45,3	93,5
350	65	15	0,4	—	5000	3,8	0,04	2,1	23,4	31,3
450	100	28	0,5	—	5000	5,5	2,4	0,06	25,5	37
175	10	1,5	0,1	—	4000	3,5	0,015	1,6	15,4	25,1
300	65	13	0,4	—	4000	3,8	0,04	2,1	23,4	31,3
400	100	88	0,5	—	4000	5,5	0,06	2,3	25,5	37
700	50	13	0,5	3,0	200	8,3	1,9	0,1	30,5	6,5
200	320	100	1,0	15	175	23	14	0,5	66	127
1500	—	125	—	25	20	22	24	0,15	68	195

диапазонов ДЦВ и СМВ

300	50**	4,0***	0,8	—	500	3,3	0,1	2,0	20,7	48,5
350	35	9,0	0,1	—	3600	3,1	0,03	1,6	21,7	48,0
200	11	2,0	0,1	—	6000	4,0	0,015	1,8	13,5	25,7
300	10	3,0	0,1	—	10300	3,6	0,02	2,4	15,4	28,7
300	80	8,0	—	—	3000	4,0	0,1	2,1	20,7	48,5
1500	—	8,0	0,5	—	—	4,5	0,12	2,3	15,0	48,5
120	15	1,2	—	—	—	5,0	2,0	0,05	11,0	25,8

Электроинно-световые

Тип лампы	Номинальные электрические режимы и параметры								
	$U_{н}^*$, В	$I_{н}^*$, А	$U_{а}^*$, В	$U_{кр}^*$, В	$U_{с}^*$, В	$I_{а}^*$, мА	$I_{кр}^*$, мА	S , мА/В	μ
1Е4А-В	1,0	0,025	150	—	—0,25	1,5	—	—	—
6Е1П	6,3	0,3	100	250	—2,0	2,0	4,0	0,5	24
6Е2П	6,3	0,58	150	250	—4,0	1,55	2,5	1,4	30
6Е3П	6,3	0,23	250	250	0	0,35	—	—	—

* $U_{кр}$, $I_{кр}$ — напряжение и ток кратера.

Работа при напряжении накала на 5—10% выше номинального увеличивает вероятность перегорания и обрыва подогревателей в лампах с катодами косвенного накала и приводит к преждевременному выходу из строя ламп с катодами прямого накала. При напряжении накала на 10—15% ниже номинального уменьшаются токи электродов и крутизна характеристики, повышается интенсивность отравления катода остаточными газами.

Во избежание пробоя и короткого замыкания катода с подогревателем напряжение между ними должно быть малым. Не рекомендуется последовательное соединение подогревателей (нитей накала) ламп, так как это может привести к их перегреву, и короткому замыканию между катодом и подогревателем и к ухудшению параметров ламп.

Сопротивление резистора в цепи управляющей сетки не должно превышать указанного в таблице максимально допускаемого значения R_c для данного типа лампы. При использовании ламп с большой крутизной необходимо применять автоматическое смещение. Превышение $U_{а. макс}$ может привести к междуэлектродному пробоя, разрушению оксидного слоя катода, а превышение максимально допускаемых мощностей — к ухудшению вакуума и уменьшению эффективности катода.

Нельзя эксплуатировать лампы, когда одновременно достигаются два максимально допускаемых значения. Особенно опасны сочетания следующих режимов: максимальное напряжение накала при малом токе катода или при наибольшем напряжении между катодом и подогревателем;

пониженное напряжение накала с большим током катода;

максимально допускаемая мощность, выделяемая на электродах, с большим сопротивлением в цепи управляющей сетки;

наибольшая температура баллона при наибольших напряжениях на электродах и малом токе катода;

наибольшая температура баллона с наибольшими мощностями, выделяемыми на электродах, и большим сопротивлением резистора в цепи управляющей сетки.

Приемо-усилительные и генераторные лампы малой и средней мощности устойчиво работают при температуре окружающей среды $-60 \div +70^\circ \text{C}$ и повышенной относительной влажности окружающего воздуха до 38% при 20°C .

Для ламп, требующих применения ламповых панелей, вертикальное положение следует предпочитать любому другому. Между местом пайки выводов сверхминиатюрных ламп и их баллоном нужно обеспечить теплоотвод, зажимая вывод плоскогубцами. Изгиб выводов разрешается делать не ближе 5 мм от стекла баллона. При пайке не следует пользоваться кислотосодержащими флюсами; лучшим флюсом является спиртовой раствор канифоли.

Таблица 12-42

индикаторы

Максимально допускаемые эксплуатационные значения параметров					Размеры, мм, не более	
$U_{a. макс.}$, В	$U_{кр. макс.}$, В	$U_{кр. мин.}$, В	R_c , МОм, не более	$P_{a. макс.}$, Вт	D	h
250	—	—	0,5	0,225	7,2	36
250	250	150	3,0	0,2	22,5	72,5
250	250	150	0,5	0,4	22,5	72
300	300	—	3,0	0,5	22,5	72

12-9. КИНЕСКОПЫ

Параметры кинескопов и их цоколевка

Условное обозначение кинескопа состоит из букв ЛК и цифр. Число в начале обозначения указывает диаметр или размер диагонали экрана кинескопа в сантиметрах, а буква в конце обозначения — характер свечения его экрана: Б — кинескоп с белым свечением, Ц — кинескоп для приемника цветного телевидения.

В табл. 12-43 U_a — постоянное напряжение на аноде (на аквадаге), U_y , U_f — постоянные напряжения на ускоряющем и на фокусирующем электродах относительно катода; $U_{м. зап.}$ — запирающее напряжение на модуляторе (отрицательное напряжение, при котором прекращается свечение экрана); U_m — модулирующее напряжение; $I_{д. макс.}$ — максимально допускаемый ток луча.

В табл. 12-44 приведены параметры экранов и цоколевка кинескопов.

Размер растра — часть экрана, на которой изображение получается без видимых искажений.

Разрешающая способность линий выражается максимальным количеством различимых глазом строк, укладываемых на нормальной высоте кадра.

Яркость — сила света, испускаемого 1 м² экрана в направлении, перпендикулярном к его поверхности, кд/м².

Приняты следующие условные обозначения выводов электродов кинескопов: к — катод, м — модулятор, н — подогреватель, у — ускоряющий электрод электронного прожектора, ф — фокусирующий электрод, х — штырек отсутствует, «—» — свободный штырек.

Электродам электронных прожекторов цветного кинескопа присвоены дополнительные индексы: Г — зеленый, В — синий, R — красный. Схемы расположения штырьков кинескопов приведены на рис. 12-40, 12-41.

Эксплуатация кинескопов

При эксплуатации кинескопов нельзя превышать максимально допускаемые значения питающих напряжений. Повышенное напряжение накала сокращает долговечность подогревателя и катода. При повышенном напряжении ускоряющего электрода уменьшается рабочая поверхность катода, увеличивается удельная эмиссия, усиливается бомбардировка поверхности катода положительными ионами остаточных газов, сокращается срок службы кинескопа.

При значительном повышении напряжений на электродах возникает паразитная эмиссия с электродов, вызывающая паразитное свечение экрана; возможен пробой между электродами.

Таблица 12-43

Параметры экранов и поколенка кинескопов

Тип кинескопа	Размер раstra, мм	Разрешающая способность, л/см	Яркость*, кд/м² (при токе луча, не более)	Угол отклонения луча, град.	Тип поколенка	Порядок соединения электродов со штырьками													
						1	2	3	4	5	6	7	8	9	10	11	12	13	14
6ЛК1Б	36×48	550	4000(150)	70	—	и	н	к(Р)	к	м	н	х	х	х	х	х	х	х	х
11ЛК1Б	67×84	600	—260(40)	55	РШ4	у	ф	ф	м	н	х	м	х	х	х	х	х	х	х
16ЛК1Б	98×116	600	100	70	РШ4	у	ф	ф	м	н	х	м	х	х	х	х	х	х	х
23ЛК9Б	135×180	600	150(21)	90	РШ20	м	к	к	н	у	у	ф	х	х	х	х	х	х	х
23ЛК13Б	217×288	600	225(100)	90	РШ20	м	к	к	н	у	у	ф	х	х	х	х	х	х	х
31ЛК3Б	250×320	600	150(180)	110	РШ20	м	к	к	н	у	у	ф	х	х	х	х	х	х	х
35ЛК7Б	217×288	600	100(100)	70	РШ5-1	н	к(Р)	м(Р)	у(Р)	у(Г)	к(Г)	м(Г)	х	х	х	х	х	х	х
40ЛК4Ц	242×308	450	80(660)	90	РШ31Б	н	к(Р)	м(Р)	у(Р)	у(Г)	к(Г)	м(Г)	х	х	х	х	х	х	х
40ЛК6Б	270×360	600	120(150)	70	РШ45	х	к	к	н	у	у	ф	х	х	х	х	х	х	х
43ЛК11Б	297×375	600	100	110	—	х	к	к	н	у	у	ф	х	х	х	х	х	х	х
47ЛК2Б	305×385	600	100(180)	110	РШ45	н	к(Р)	м(Р)	у(Р)	у(Г)	к(Г)	м(Г)	х	х	х	х	х	х	х
47ЛК3Ц	290×370	450	60(950)	90	РШ31Б	н	к(Р)	м(Р)	у(Р)	у(Г)	к(Г)	м(Г)	х	х	х	х	х	х	х
50ЛК1Б	385×470	600	140(350)	110	РШ45	н	к(Р)	м(Р)	у(Р)	у(Г)	к(Г)	м(Г)	х	х	х	х	х	х	х
53ЛК2Б	340×480	600	40(18)	110	РШ9	н	к(Р)	м(Р)	у(Р)	у(Г)	к(Г)	м(Г)	х	х	х	х	х	х	х
53ЛК6Б	382×484	600	40(16)	110	РШ5-1	х	к	к	н	у	у	ф	х	х	х	х	х	х	х
69ЛК2Б	385×470	600	120(350)	110	РШ45	н	к(Р)	м(Р)	у(Р)	у(Г)	к(Г)	м(Г)	х	х	х	х	х	х	х
69ЛК3Б	385×489	600	120	110	РШ45	н	к(Р)	м(Р)	у(Р)	у(Г)	к(Г)	м(Г)	х	х	х	х	х	х	х
69ЛК3Ц	380×480	600	90(1000)	90	РШ10	н	к(Р)	м(Р)	у(Р)	у(Г)	к(Г)	м(Г)	х	х	х	х	х	х	х
61ЛК1Б	375×480	600	150(350)	110	РШ45	н	к(Р)	м(Р)	у(Р)	у(Г)	к(Г)	м(Г)	х	х	х	х	х	х	х
61ЛК3Ц	482×362	600	110(500)	90	РШ31Б	н	к(Р)	м(Р)	у(Р)	у(Г)	к(Г)	м(Г)	х	х	х	х	х	х	х
65ЛК1Б	416×530	600	200(450)	110	РШ45	н	к(Р)	м(Р)	у(Р)	у(Г)	к(Г)	м(Г)	х	х	х	х	х	х	х
67ЛК1Б	402×535	600	200(450)	110	РШ45	н	к(Р)	м(Р)	у(Р)	у(Г)	к(Г)	м(Г)	х	х	х	х	х	х	х

* В центре экрана.

Таблица 12.44

Параметры кинескопов

Тип кинескопа	Номинальный электрический режим *					Максимально допускаемые эксплуатационные значения параметров				Диаметр горловины, мм, не более ***
	I_n , А	U_a , кВ	U_{ϕ} , В	U_y , В	$U_{m.зат}$, В	U_m , В	$U_{a.макс}$, кВ	$U_{\phi.макс}$, В	$U_{y.макс}$, В	$I_{a.макс}$, мА
6ЛК1Б	0,3	25	—	—	95—35	55	27,5	—	—	200
11ЛК1Б	0,3	9	0—500	300	15—35	15	11	600	400	50
16ЛК1Б	0,3	9	0—450	300	10—40	15	11	600	400	60
23ЛК9Б	0,065	9	0—250	300	25 ± 10	15	11	500	350	—
23ЛК13Б	0,065	11	0—300	100	45	25	13	500	140	150
31ЛК3Б	0,065	11	0—350	250	60—80	35	13	500	350	300
35ЛК7Б	0,6	12	—100 ÷ +425	300	30—90	25	15	1000	500	150
40ЛК4Ц	0,9	20	3300—4100	—	68—132	—	23	5000	—	700
40ЛК6Б	0,3	12	—100 ÷ +425	300	30—90	25	15	100	500	150
43ЛК11Б	0,6	14	0—400	300	30—80	25	16	1100	550	—
47ЛК2Б	0,3	16	0—400	400	30—80	32	20	1000	550	300
50ЛК1Б	0,3	16	0—400	400	30—80	32	20	1100	550	350
53ЛК2Б	0,6	16	—100 ÷ +425	300	30—90	30	18	1000	500	150
53ЛК6Б	0,6	16	—100 ÷ +425	300	30—80	30	18	1000	500	150
59ЛК2Б	0,3	16	0—400	400	30—80	44	20	1100	550	350
59ЛК3Б	0,3	16	0—400	400	30—80	44	18	1100	550	350
59ЛК3Ц	0,3	25	4500—5500	400	100—190	—	27,5	6000	1000	—
61ЛК1Б	0,3	16	0—400	400	40—77	44	20	1000	700	350
61ЛК3Ц	0,9	20	3000	200	110—190	75	27,5	6000	1000	1000
65ЛК1Б	0,3	20	0—400	400	40—90	5	23	1100	550	300
67ЛК1Б	0,3	15	0—400	400	40—90	55	23	1100	550	350

* Номинальное напряжение накала кинескопов 6ЛК1Б, 11ЛК1Б, 16ЛК1Б — 1,25 В, кинескопа 23ЛК9Б — 12 В и остальных — 6,3 В

** Отрицательные значения напряжений

*** Для кинескопов с прямоугольным экраном три числа выражают ширину, высоту и длину соответственно, для кинескопов с круглым экраном первое число — диаметр, второе — длина

При перекале катода и при повышенном напряжении ускоряющего электрода люминофор разрушается под действием бомбардировки его отрицательными ионами (быстрее появляется ионное пятно). Недопустимы даже кратковременные импульсы напряжений, превышающие максимально допускаемые значения, так как это может привести к разрушению покрытия катода, подогревателя или вывода катода, а также ухудшению вакуума.

При недокале кинескопа и большом катодном токе возможны местные перегревы участка катода, приводящие к потере эмиссии. При понижении напряжения ускоряющего электрода облегчается режим работы выходной лампы строчной развертки, но значительно снижается яркость экрана. Поэтому для обеспечения достаточной яркости приходится увеличивать ток луча, что резко сокращает срок службы кинескопа. Напряжение между катодом и подогревателем с полярностью «минус» на катоде не должно превышать 125 В; обратная полярность недопустима.

Нельзя подавать на модулятор трубки положительные по отношению к катоду напряжения, так как при этом увеличивается ток утечки и уменьшается электрическая прочность промежутка катод — подогреватель.

12-10. ИОННЫЕ ПРИБОРЫ

Стабилитроны

Стабилитроны тлеющего разряда (табл. 12-45, 12-46) применяются для стабилизации напряжения на нагрузке, а также в качестве элементов связи УПТ, для повышения коэффициента усиления, в релаксационных генераторах, в реле времени и генераторах шумового напряжения.

Таблица 12-45

Порядок соединения электродов стабилитронов со штырьками

Тип лампы	Схема расположения штырьков по рис. 12-40 или 12-42	Порядок соединения электродов со штырьками							
		1	2	3	4	5	6	7	8
СГ1П	РШ4 (рис. 12-40)	а	к	—	к	а	—	к	×
СГ2П	РШ4 (рис. 12-40)	а	к	—	к	а	—	к	×
СГ5Б	Без цоколя	к	а	к	×	×	×	×	×
СГ13П	РШ4 (рис. 12-40)	а	к	—	к	а	—	к	×
СГ15П-2	РШ4 (рис. 12-40)	а	к	—	к	а	—	к	×
СГ16П	РШ4 (рис. 12-40)	а	к	—	к	а	—	к	×
СГ17С *	Рис. 12-42	а	к	×	×	×	×	×	×
СГ18С *	Рис. 12-42	а	к	×	×	×	×	×	×
СГ19С *	Рис. 12-42	а	к	×	×	×	×	×	×
СГ20Г	Без цоколя	к	а	к	×	×	×	×	×
СГ201С	РШ5 (рис. 12-40)	—	к	а	—	а	а	к	к
СГ202Б	Без цоколя	к	а	к	×	×	×	×	×
СГ203К	Рис. 12-42	а	к	×	×	×	×	×	×
СГ204К	Рис. 12-42	а	к	к	×	×	×	×	×
СГ206А	Без цоколя	а	к	×	×	×	×	×	×
СГ301С-1	Рис. 12-42	к	а	к	×	×	×	×	×
СГ302С-1	Рис. 12-42	к	а	к	×	×	×	×	×
СГ303С-1	Рис. 12-42	к	а	к	×	×	×	×	×
СГ312А	Рис. 12-42	а	к	×	×	×	×	×	×

* Вывод от вспомогательного анода на боковой стенке баллона.

Таблица 12-46

Стабилитроны

Тип лампы	$U_{в. разр},$ В	$U_{ст},$ В	$I_{ст. мин},$ мА	$I_{ст. макс},$ мА	$\Delta U_{ст},$ В	Размеры, мм, не более	
						D	h
Стабилитроны тлеющего разряда							
СГ1П	175	143—155	5,0	30	3,5	19,0	35
СГ2П	150	104—112	5,0	30	2,5	19,0	35
СГ5Б	180	141—157	5,0	10	4,0	10,2	36
СГ13П	175	143—155	5,0	30	3,5	19	65
СГ15П-2	150	104—112	5,0	30	3,0	19	65
СГ16П	150	80—86	5,0	30	3,0	19	65
СГ17С	1350	850—950	10	60.	50 *	50	195
СГ18С	1500	950—1050	10	60	55	50	195
СГ19С	1650	1050—1150	10	60	72	30	195
СГ20Г	135	85—91	4,0	15	2,5	12	85
СГ201С	150	86—92	4,0	15	2,5	33	64
СГ202Б	135	81—86	1,5	5	4,5	10	40
СГ203К	150	79—86	1,0	10	2,0	10	27
СГ204К	220	160—168,5	1,0	15	4,0	19	30
СГ205Б	135	81—84	9	11	0,5	10,2	85
Стабилитроны коронного разряда							
СГ206А	300	165—145	0,5	1,5	20	7,2	37
СГ301С-1	430	380—400	0,003	0,1	14	13	67
СГ302С-1	970	880—920	0,003	0,1	30	13	67
СГ303С-1	1320	1220—1280	0,01	0,1	30	13	67
СГ312А	430	380—400	0,003	0,05	7	6,5	65

* При изменении $I_{ст}$ в диапазоне 20—60 мА.

Стабилитроны коронного разряда используют в устройствах стабилизации напряжения при малом потреблении тока, например для стабилизации питающих напряжений электронно-лучевых трубок, фотоэлектронных умножителей и т. д.

Маркировка стабилитронов состоит из трех элементов: первый — буквы СГ (стабилитрон газовый); второй — число, указывающее порядковый номер прибора; третий — буква, характеризующая конструктивное оформление лампы.

Порядок соединения электродов стабилитронов со штырьками приведен в табл. 12-45, а схемы расположения штырьков — на рис. 12-40, 12-42.

Основные параметры стабилитронов (табл. 12-46).

Напряжение возникновения разряда $U_{в. разр}$ — минимальное напряжение между электродами, достаточное для начала электронического разряда в приборе. Оно несомненно превышает напряжение стабилизации и определяет минимальное напряжение источника питания в схеме.

Напряжение стабилизации $U_{ст}$ — напряжение между анодом и катодом в диапазоне рабочих тонов (значения напряжения, поддерживаемого стабилитроном).

Изменение напряжения стабилизации при изменении тока в рабочем диапазоне $\Delta U_{ст}$ — разность между наибольшим и наименьшим напряжениями стабилизации при изменении тока через стабилитрон от $I_{ст. мин}$ до $I_{ст. макс}$.

Максимальное и минимальное значения тока стабилизации (ток через стабилитрон) $I_{ст. макс}$, $I_{ст. мин}$ — значения тока, между которыми эффективность работы стабилитрона достаточна.

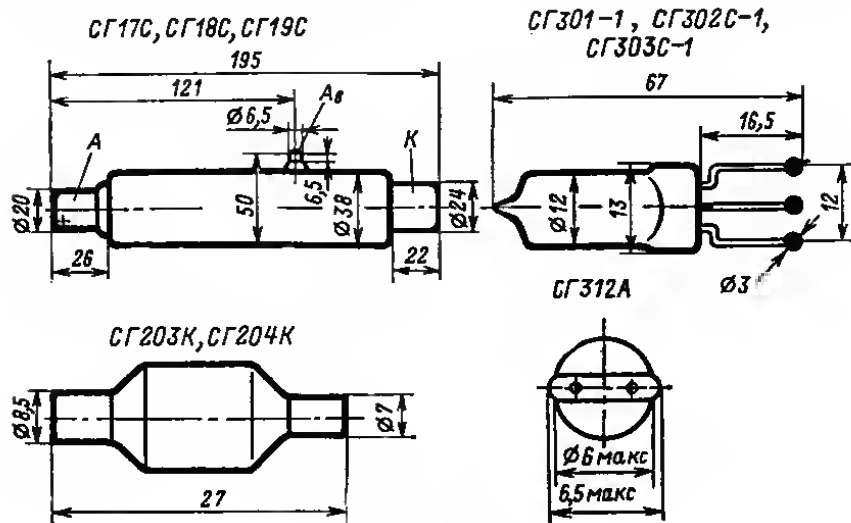


Рис. 12-42.

Эксплуатация стабилитронов

Для надежного возникновения разряда необходимо, чтобы напряжение источника питания составляло $(1,2—1,3) U_{в.р.}$.

На электроды стабилитрона нельзя подавать переменное напряжение или напряжение обратной полярности (на анод — минус). Ток через стабилитрон должен быть в пределах указанного в таблице рабочего диапазона токов, причем рабочую точку желательно выбирать в середине этого диапазона.

Не следует включать стабилитроны параллельно, так как из-за разброса их параметров разряд может возникать только у одного стабилитрона и его ток может превысить максимально допустимое значение.

Не рекомендуется включать конденсатор емкостью более 0,1 мкФ между анодом и катодом стабилитрона тлеющего разряда, так как это может привести к релаксационным колебаниям.

Чтобы предотвратить переход ионного разряда в тлеющий, следует включать между анодом и катодом стабилитрона коронного разряда конденсатор емкостью менее 0,1 мкФ.

Тиратроны тлеющего разряда

Тиратроны тлеющего разряда (ТТР) имеют накаленный катод, ввод и одну или несколько сеток для управления моментом возникновения разряда. Они используются в устройствах автоматики и телемеханики, в счетно-решающих устройствах, измерительной и другой РЭА.

Обозначение тиратронов тлеющего разряда состоит из трех элементов: первый элемент — буквы ТХ (тиратрон с холодным катодом), второй элемент — цифра, обозначающая порядковый номер прибора, третий элемент — буквы в конце обозначения, определяющая конструкцию баллона (см. табл. 12-47).

Таблица 12-47

Порядок соединения электродов тиратронов тлеющего разряда со штырьками

Тип лампы	Порядок соединения электродов со штырьками***							
	1	2	3	4	5	6	7	8
ТХ2*	—	к	—	п	—	н	н	х
ТХ3Б	а	с2	с1	к	х	х	х	х
ТХ4Б	а	с2	с1	к	х	х	х	х
ТХ5Б	а	с	н	х	х	х	х	х
ТХ6Г	а2	с1	с3	—	н	с4	с2	а1
ТХ7Г	а	с1	н	—	с2	с3	х	х
ТХ8Г	а	с3	к	—	с1	с2	х	х
ТХ9Г	а	с4	с3	к	—	с1	с2	х
ТХ11Г**	а	—	с2	н	х	х	х	х
ТХ12Г	а	с1	с0	к	с3	с2	х	х
ТХ13Г	а	—	к	с2	с1	х	х	х
ТХ16Б	а	с2	пк	с1	к	х	х	х
ТХ17А	а	с1	пк	с2	к	х	х	х
ТХ18А	а	с	к	х	х	х	х	х
ТХ19А	а	с	к	х	х	х	х	х
ТХ11Г	а	с3	к	с1	с2	х	х	х
ТХ12С	—	н	—	с2	—	с2	—	а
МТХ90	н	а	с	х	х	х	х	х

* Анод выведен к колпачку баллона.

** Управляющая сетка выведена к колпачку баллона.

*** Тиратрон ТХ2 имеет доколь РШ4, тиратрон ТХ12С — РШ5-1 (рис. 12-40).
Остальные тиратроны бесцокольные.

ТТР могут находиться в двух устойчивых состояниях: непроводящем и проводящем — и в двух переходных. В непроводящем состоянии (ТТР заперт) анодный ток отсутствует и существует разряд между катодом и сеткой подготовительного разряда (исключение составляют выпрямительный и элентрометрический тиратроны, работающие без подготовительного разряда). В проводящем состоянии (ТТР открыт) через тиратрон протекает анодный ток.

По способу управления переходом от непроводящего состояния к проводящему ТТР разделяют на тиратроны с токовым и электростатическим управлением.

В ТТР с электростатическим управлением (ТХ3Б, ТХ6Г, ТХ8Г, ТХ9Г, ТХ12Г, ТХ13Г) для создания подготовительного разряда используется первая сетка. В ее цепи протекает ток, определяемый последовательно включенным резистором и облегчающей возникновение разряда в анодной цепи. На вторую сетку подаются положительное напряжение, недостаточное для возникновения разряда, и управляющий положительный импульс достаточной амплитуды и длительности для отпирания тиратрона.

Отпирание ТТР с токовым управлением производится изменением сеточного тона: отпирающий импульс подается на ту же сетку, которая служит для создания подготовительного разряда (тиратроны ТХ4Б в триодном включении, ТХ5Б, ТХ11Г, МТХ90). Эти тиратроны имеют высокую чувствительность к импульсным входным сигналам.

Основные параметры ТТР (табл. 12-48).

Таблица 12-48

Тиатроны глеющего разряда

Тип тиатрона	$U_{в. разр.}$ В	$U_a, В$	$U_{с.к.}$ В	$\tau_{зап.}$ с	$U_{в. мин.}$ В	$\tau_{упр.}$ мкс	$I_{полн.}$ мА	$t_{вос.}$ мкс	$I_{a. макс.}$ мА	$I_{a. ср.}$ мА	$U_{a. макс.}$ В	Размеры, мм, не более	
												D	h
MTX90	120	65	85	—	25	10	3	≤ 800	4,0	2	200	12	42
TX2	425	125	—	—	—	—	—	—	100	12	—	19	51*
TX3Б	175	110	85	—	40	10	50	20—150	7	3,5	190	10,2	40*
TX4Б	180	120	90	1	10	10	10	10—100	7,0	3,5	225	10,2	40*
TX5Б	175	150	140	—	1,2	10	15	100—150	1,5	0,25	270	7,2	25*
TX6Г	285	140	130	10	120	10	50	80—100	2	1	300	13	50*
TX7Г	285	140	130	10	120	20	60—85	40—200	2,0	1,0	300	13	40*
TX8Г	285	140	130	10	100	10	100	50—200	400	8	300	13	40*
TX9Г	285	140	120	10	100	35	100	60—200	400	8,0	300	13	40*
TX11Г	200	125	—	7	35	—	—	—	10	—	230	13	60*
TX12Г	250	160	150	10	60	10	50	≤ 350	100	10	300	13	50*
TX13Г	180	120	105	1	50	3	50	≤ 5	5,0	1	220	13	40*
TX16Б	180	142	—	—	4,4	50	450	≤ 300	5	1,0	260	7,2	40*
TX17А	260	160	—	—	—0,5	—	600	≤ 200	5,0	1	260	8	46*
TX18А	175	62	82	—	10	—	5	≤ 400	—	0,5	2,25	7,7	38*
TX19А**	280(60)	150	145	—	2,5	100	40	≤ 800	5,0	1	265(53)	8,0	46*
TX12С***	180	140	150	—	—	200	—	—	200 000	50	300	33	72
TX11Г***	205	—	—	—	90	30	—	—	60 000	—	275	13	45*

* Без выводов. Длина выводов 35—40 мм.

** Для TX19А в скобках дано напряжение на первом аноде: здесь $U_{с.к.}$ — напряжение между первой сеткой и подкатодом.

*** Даны импульсные характеристики.

Напряжение возникновения разряда (промежутка анод — катод) $U_{в.разр}$ — напряжение анода, необходимое для возникновения тлеющего разряда.

Напряжение возникновения подготовительного разряда $U_{с.к}$ — напряжение сетки, необходимое для возникновения тлеющего разряда в промежутке сетки — катод.

Время запаздывания возникновения подготовительного разряда $t_{зап}$ — время с момента подачи установленного напряжения в цепь подготовительного разряда до возникновения тлеющего разряда в промежутке сетка — катод.

Сеточный ток возникновения разряда $I_{подг}$ — ток в цепи управляющей сетки, при котором возникает разряд между анодом и катодом (при заданном напряжении анода).

Напряжение входного сигнала (импульс) — $U_{вх.имп}$ амплитуда импульса, необходимого для возникновения тлеющего разряда в промежутке анод — катод (при установленном режиме включения прибора).

Длительность входного импульса $t_{упр}$ — время, необходимое для возникновения самостоятельного разряда в промежутке анод — катод.

Время восстановления электрической прочности $t_{вос}$ — минимальное время после прекращения тока анода, по истечении которого и тиратрону можно приложить анодное напряжение, не вызывающее возникновения разряда в приборе при отсутствии входных сигналов.

Проводящее состояние ТТР характеризуется падением напряжения между анодом и катодом при рабочем анодном токе U_a , падением напряжения между сеткой подготовительного разряда и катодом $U_{с.к}$, наибольшим значением анодного $I_{a.т.макс}$ и среднего анодного тока $I_{a.ср}$.

Эксплуатация ТТР. Рекомендуется следующий порядок подачи питающих напряжений: сначала следует подать напряжения на управляющие сетки, затем на сетку подготовительного разряда, а после этого анодное напряжение. Гашение разряда в ТТР можно осуществить, снижая рабочее напряжение между его анодом и катодом ниже напряжения U_a . Во избежание случайных зажиганий ТТР нельзя даже временно отключать источник напряжения смещения от управляющей сетки и понижать это напряжение смещения ниже величины $U_{с.к}$, указанной в табл. 12-48.

Если ТТР с электростатическим управлением управляется импульсами через RC-цепочку, емкость ее конденсатора должна быть настолько большой, чтобы амплитуда и длительность сигнала на выходе цепочки были достаточными для возникновения разряда в тиратроне и при этом длительность импульса должна быть настолько малой, чтобы к моменту окончания действия гасящего импульса напряжение на сетке ТТР успело восстановиться до величины, близкой к напряжению смещения.

Чтобы в процессе гашения в промежутке сетки — катод не возникли импульсы тока, способные привести к ложному зажиганию тиратрона, следует уменьшить емкость конденсатора в сеточной цепи либо включить последовательно с конденсатором резистор.

Во избежание релаксационных колебаний, наводок и помех следует уменьшать емкости и индуктивности монтажа. В частности, ограничительный резистор в цепи сетки подготовительного разряда следует подключать непосредственно к выводу сетки.

При кратковременном включении аппаратуры не рекомендуется снимать подготовительный разряд и отключать напряжения смещений управляющих сеток и цепи подготовительного разряда. С целью повышения надежности работы тиратронов после длительного перерыва в работе рекомендуется производить в течение нескольких десятков секунд их тренировку в рабочем режиме.

Характерными признаками неисправности ТТР являются молочно-белый цвет газопоглотителя на стенках баллона и отсутствие свечения катода тиратрона при включенном напряжении подготовительного разряда.

Пайка выводов ТТР должна производиться на расстоянии не менее 5 мм от места соединения выводов с ножкой.

Индикаторы тлеющего разряда

Индикаторы тлеющего разряда применяют для преобразования электрического сигнала в световой, для визуального представления выходных данных устройств дискретного действия, в качестве указателей напряжения, в триггерных схемах, в схемах запоминания, причем некоторые из них можно использовать и для работы с транзисторными схемами (например, ИН-6). Индикаторы потребляют малые мощности, имеют малую кинергичность, просты по конструкции. Яркость свечения, достаточная для целей индикации (десяток — сотня кандел), достигается обычно при токах, не превышающих нескольких миллиампер, рабочее напряжение составляет несколько десятков вольт.

Простейший ионный индикатор — неоновая лампа (рис. 12-43) состоит из баллона, наполненного неоном, с двумя впаянными в него электродами. Свечение прибора — оранжево-красное. Если между электродами лампы приложить напряжение, равное напряжению возникновения разряда $U_{в. разр.}$, то происходит разряд и в цепи скачком возникает ток. Для ограничения тока через лампу последовательно с ней всегда включается ограничительный резистор R , не допускающий перехода тлеющего разряда в дуговой. Его сопротивление рассчитывают по формуле:

$$R = (U_{и. п} - U_{в. разр.}) / I_{\max},$$

где $U_{и. п}$ — напряжение источника питания; $U_{в. разр.}$ — напряжение между электродами лампы; I_{\max} — максимально допустимый ток через лампу.

Неоновые лампы обозначаются следующим образом. Первый элемент обозначения две буквы — Т (тлеющего разряда), Н — неоновая. Первое число после букв соответствует наибольшему значению тока в миллиамперах, последующая цифра (через дефис) — порядковому номеру разработки.

Встречаются ранее принятые обозначения, не соответствующие современным: М — миниатюрная; ТМ — точечная модуляторная; ВМ — волномерная; И — индикаторная; В — для вольтскопов; УВ — указатель высокого напряжения. Цифры соответствуют порядковому номеру разработки.

Работу неоновой лампы определяют параметры: $U_{в. разр.}$ — напряжение возникновения разряда; $I_{\text{раб.}}$ — рабочий ток (см. табл. 12-49).

Таблица 12-49

Неоновые лампы

Тип лампы	$U_{в. разр.}$, В, не более	$I_{\text{раб.}}$, мА, не более	Размеры, мм, не более		Тип лампы	$U_{в. разр.}$, В, не более	$I_{\text{раб.}}$, мА, не более	Размеры, мм, не более	
			D	h				D	h
ТН-0,95	80	1,0	15,5	44,0	ТН-0,9	200	0,9	15,5	45,0
ТН-30	82	30	56,0	94,0	ТМН-2	200	15	30,5	77,0
ТН-30-3	82	30	56,0	94,0	ТНУВ	550	—	10,2	72,0
ТН-0,2-2	85	0,25	9,5	34,5	МН-4	30	2,0	16,0	37,0
ТН-0,2-1	85	0,25	9,5	34,5	МН-3	65	1,0	15,0	44,0
ТН-0,5	90	0,5	15,5	45,0	МН-11	85	5,0	14,5	42,0
ТН-30-2М	105	30	56,0	94,0	МН-7	87	2,0	15,0	40,0
ТН-0,8	110	0,8	8,0	32,0	МН-6	90	0,8	6,8	28,0
ТН-0,25	120	0,25	9,5	34,5	МН-15	235	0,45	9,5	38,0
ТН-1	140	1,0	13,7	26,0	ВМН-1	126	—	7,0	37,0
ТН-0,15	150	0,15	3,0	20,0	ВМН-2	160	2,0	10,2	51,0
ТН-0,3	150	0,3	9,5	34,5	ВН-1	—	—	4,5	44,0
ТН-20	150	20	56,0	94,0	ВН-2	—	—	4,5	44,0
ТН-0,31	170	0,3	9,5	34,5					

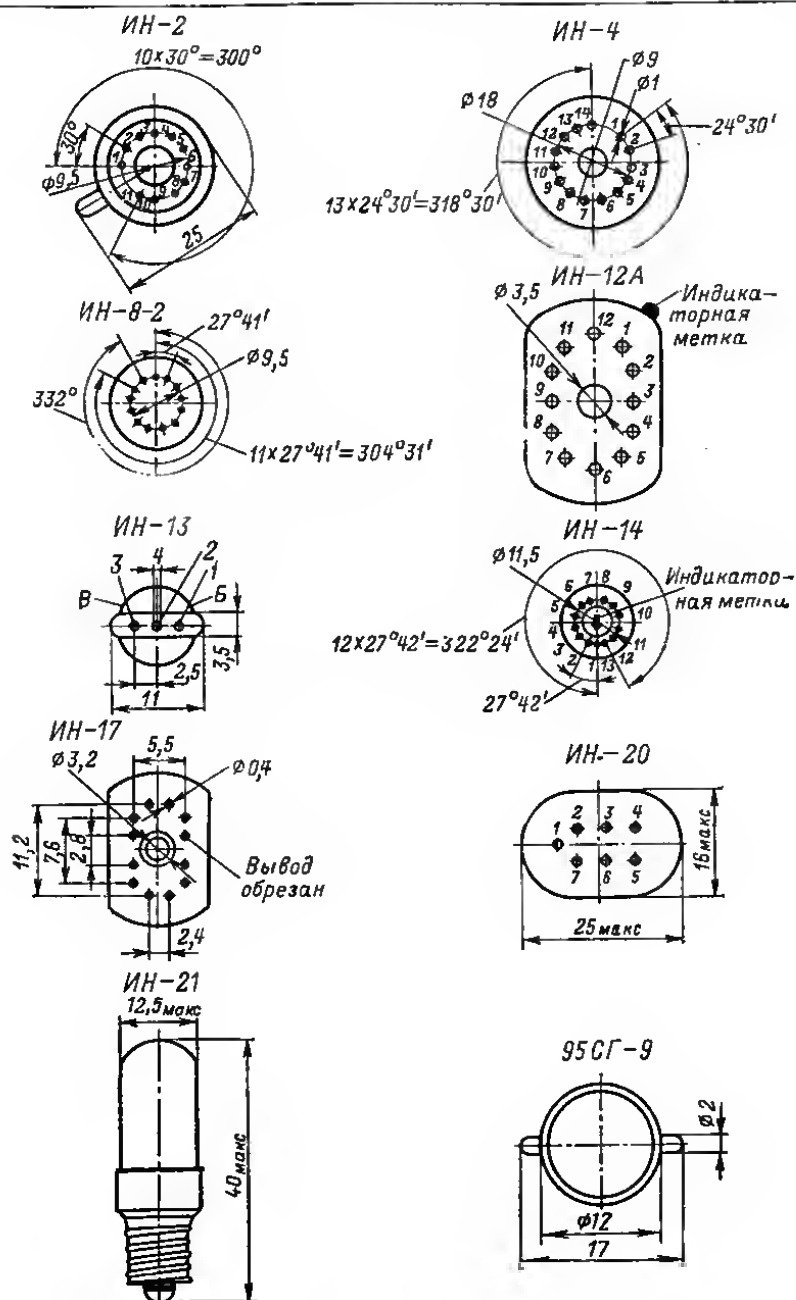


Рис. 12-49.

Таблица 12-50

Порядок соединения электродов знаковых индикаторных ламп с выводами

Тип лампы		Цоколь	Порядок соединения электродов с выводами													
1	2	3	4	5	6	7	8	9	10	11	12	13	14			
ИН-1	1	2	3	4	5	6	7	8	9	10	11	12	13	14		
ИН-2	1	2	3	4	5	6	7	8	9	10	11	12	13	14		
ИН-3	1	2	3	4	5	6	7	8	9	10	11	12	13	14		
ИН-3А	1	2	3	4	5	6	7	8	9	10	11	12	13	14		
ИН-4	1	2	3	4	5	6	7	8	9	10	11	12	13	14		
ИН-5А	1	2	3	4	5	6	7	8	9	10	11	12	13	14		
ИН-5Б	1	2	3	4	5	6	7	8	9	10	11	12	13	14		
ИН-6	1	2	3	4	5	6	7	8	9	10	11	12	13	14		
ИН-7	1	2	3	4	5	6	7	8	9	10	11	12	13	14		
ИН-7А	1	2	3	4	5	6	7	8	9	10	11	12	13	14		
ИН-7Б	1	2	3	4	5	6	7	8	9	10	11	12	13	14		
ИН-8	1	2	3	4	5	6	7	8	9	10	11	12	13	14		
ИН-8-2	1	2	3	4	5	6	7	8	9	10	11	12	13	14		
ИН-12А	1	2	3	4	5	6	7	8	9	10	11	12	13	14		
ИН-12Б	1	2	3	4	5	6	7	8	9	10	11	12	13	14		
ИН-13	1	2	3	4	5	6	7	8	9	10	11	12	13	14		
ИН-14	1	2	3	4	5	6	7	8	9	10	11	12	13	14		
ИН-15А	1	2	3	4	5	6	7	8	9	10	11	12	13	14		
ИН-15Б	1	2	3	4	5	6	7	8	9	10	11	12	13	14		
ИН-16	1	2	3	4	5	6	7	8	9	10	11	12	13	14		
ИН-17	1	2	3	4	5	6	7	8	9	10	11	12	13	14		
ИН-18	1	2	3	4	5	6	7	8	9	10	11	12	13	14		
ИН-19А	1	2	3	4	5	6	7	8	9	10	11	12	13	14		
ИН-19Б	1	2	3	4	5	6	7	8	9	10	11	12	13	14		
ИН-19В	1	2	3	4	5	6	7	8	9	10	11	12	13	14		
ИН-20	1	2	3	4	5	6	7	8	9	10	11	12	13	14		
ИНС-1	1	2	3	4	5	6	7	8	9	10	11	12	13	14		
ИНВ-1	1	2	3	4	5	6	7	8	9	10	11	12	13	14		
ИФ-1	1	2	3	4	5	6	7	8	9	10	11	12	13	14		
ТИИ-1,5Д	1	2	3	4	5	6	7	8	9	10	11	12	13	14		
95СТ-9	1	2	3	4	5	6	7	8	9	10	11	12	13	14		

Примечания: вн — вспомогательный катод; ин — индикаторный катод; энт — запятая; тчи — точная; ап — анод последний.

Таблица 12-51

Параметры знаковых индикаторных ламп

Тип прибора	Индукцируемые знаки	$U_{и.п.}$ В	$U_{в.разр.}$ В	$I_{раб.}$ мА	Размеры, мм, не более	
					h	D
ИН-1	0; 1; 2; ...; 9	200	200	2,5—3,0	66	30,5
ИН-2	0; 1; 2; ...; 9	200	200	1,5—2,0	35,5	17
ИН-3	—	200	85	0,2	27	7,3
ИН-3А	—	—	190	≤ 2	32	8
ИН-4	0; 1; 2; ...; 9	200	170	2,5—3,0	46	31
ИН-5А	X; x; a; O; Z	200	200	1,5	35	19
ИН-5Б	B; O; Y; y; S	200	200	1,5	35	19
ИН-6	—	200	140	1	37	10
ИН-7	+, —; ∞; K; M; V; n; Ω; m; A	180	170	4,0	46	31
ИН-7А	+, —; Π; K; M; %; μ; m	200	170	≤ 4	46	31
ИН-7Б	S; Hz; V; Ω	200	170	4	46	31
ИН-8	0; 1; 2; ...; 9	200	170	2,5—3,5	55	17
ИН-8-2	0; 1; 2; ...; 9 и запя- тая	200	170	0,3—3,5	55	17
ИН-12А	0; 1; 2; ...; 9	200	170	2,5—3	35	31×21
ИН-12Б	0; 1; 2; ...; 9 и запя- тая	200	170	2,5—3	35	31×21
ИН-13	—	—	170	0,3—0,5	160	10
ИН-14	0; 1; 2; ...; 9 и две запятые	200	170	0,3—4,3	54,5	19
ИН-15А	μ; P; —; +; m; K; M; Π; %; n	200	170	2,5—3,0	28	21×31
ИН-15Б	W; F; Hz; H; V; S; Ω; A	200	170	0,3—0,5	28	21×31
ИН-16	0; 1; 2; ...; 9 и две запятые	—	170	2,5—3,5	41,5	12,5
ИН-17	0; 1; 2; ...; 9	200	170	1,5	20	14×22
ИН-18	0; 1; 2; ...; 9	200	170	6—8	75	30
ИН-19А	K; μ; °C; %; M; P; m, n	200	170	2,5	52	18
ИН-19Б	H; A; Ω; z; S; F; T; V	200	170	$\leq 2,5$	52	18
ИН-19В	—; +; A/B; %; ∞; Π; dB; <	200	170	2,5	52	18
ИН-20	—	400	400	1,5—2,4	190	16
ИН-21	—	110	110	0,5—1	40	12,5
ИНС-1	—	—	65—85	0,5—1	30	7,2
95СГ-9	—	—	95	3	38	12
ИВ-1	Точка, тире	—	20—25	40—50	36	10,75
ИФ-1	—	198—242	—	2	40	29
ТНИ-1,5Д	—	160	150	1	33	10,7

Выпускаются индикаторные приборы, в которых представление светового сигнала осуществляется в знаковой форме в виде цифровых, буквенных или каких-либо других символов (порядок соединения электродов знаковых индикаторов с выводами приведен в табл. 12-50).

В многокатодных индикаторах серии ИН анод изготавливается в виде сетчатого диска, а катоды имеют вид цифр, букв или других знаков, расположенных друг за другом. При подаче отрицательного импульса на выбранный катод возникает тлеющий разряд между анодом и этим катодом. Если подать теперь импульс на другой катод, а с предыдущего снять, то свечение возникает на новом катоде.

При эксплуатации знаковых индикаторов рабочий ток не должен выходить за пределы, указанные в справочнике. Для нормальной работы этих приборов необходимо создать начальную ионизацию, снижающую время запаздывания возникновения разряда. Она обычно создается внешним освещением. В темноте время запаздывания доходит до 1 с. Параметры знаковых индикаторов приведены в табл. 12-51.

Напряжение возникновения разряда $U_{в.разр}$ — минимальное напряжение между анодом и катодом, при котором возникает тлеющий разряд. Поскольку в анодную цепь индикаторов всегда включается ограничительный резистор, то напряжение источника анодного питания должно несколько превышать напряжение возникновения разряда.

Рабочий ток $I_{раб}$ — ток в цепи анода прибора.

12-11. МИНИАТЮРНЫЕ ЛАМПЫ НАКАЛИВАНИЯ

Миниатюрные лампы накаливания применяют для освещения шкал электроизмерительных и радиотехнических приборов, сигнализации, в различных пультах управления, оптических устройствах и приборах и т. д. (рис. 12-44). Специальные лампы накаливания имеют стабильные световые и электрические параметры,

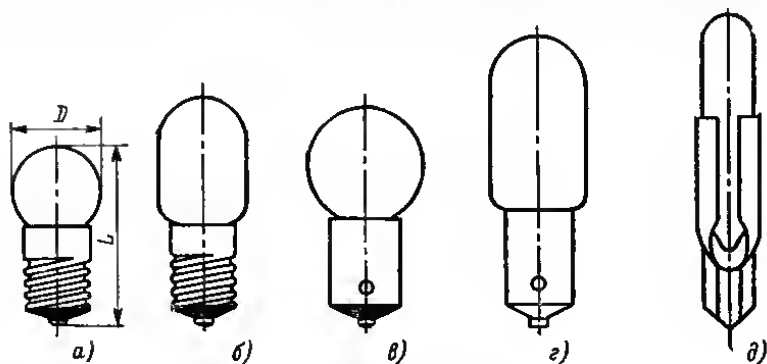


Рис. 12-44.

к ним предъявляются такие требования, как вибростойкость и ударопрочность, тепло- и холодоустойчивость.

В табл. 12-52 приведены номинальные значения параметров: *номинальное напряжение $U_{ном}$* , *номинальный ток $I_{ном}$* , *номинальная мощность $P_{ном}$* и *номинальный световой поток $\Phi_{ном}$* , т. е. такие значения параметров, при которых лампы должны нормально работать.

Номинальная мощность $P_{ном}$ — количество электрической энергии, потребляемое лампой в единицу времени.

Номинальный световой поток $\Phi_{ном}$ — мощность светового излучения.

В первой графе в скобках указаны прежние обозначения ламп.

Таблица 12-52

Миниатюрные лампы накаливания

Тип лампы	$U_{\text{ном}}$ В	$I_{\text{ном}}$ ($I_{\text{макс}}$), А	$P_{\text{ном}}$ ($P_{\text{макс}}$), Вт	$\Phi_{\text{ном}}$ ($\Phi_{\text{мин}}$), лм	Общий вид на рис. 12-44	Размеры, мм, не более	
						D	L
Общего применения							
MH 1-0,068 (Mh-1)	1,0	0,068 (0,075)	—	—	a	12	24
MH 1,25-0,25	1,25	0,25 (0,28)	—	0,6	a	12	24
MH 2,3-1,25 (Mh-25)	2,3	1,25 (1,35)	—	21,0 (16,0)	a	16	30
MH 2,5-0,068 (Mh-2)	2,5	0,068 (0,075)	—	—	a	12	24
MH 2,5-0,15 (Mh-3)	2,5	0,15 (0,16)	—	2,3 (1,6)	e	12	24
MH 2,5-0,29 (Mh-4)	2,5	0,29 (0,33)	—	4,0 (3,0)	e	16	30
MH 2,5-0,4 (Mh-5)	2,5	0,40 (0,45)	—	9,0 (7,5)	a	12	24
MH 2,5-0,54 (Mh-7)	2,5	0,54 (0,60)	—	7,0 (5,3)	a	16	30
MH 2,5-0,72 (Mh-11)	2,5	0,72 (0,80)	—	12,0 (10,0)	a	16	30
MH 3-0,14 (Mh-12)	3,0	0,14 (0,16)	—	3,7 (3,0)	a	12	24
MH 3,5-0,14 (Mh-30)	3,5	0,15 (0,16)	—	3,7 (3,0)	a	12	24
MH 3,5-0,26 (Mh-13)	3,5	0,26 (0,28)	—	7,5 (6,2)	a	12	24
MH 6,3-0,3	6,3	0,3 (0,34)	—	8,5 (6,5)	a	12	24
MH 6,5-0,34 (A-58)	6,5	0,34 (0,37)	—	17,6 (14,0)	a	12	24
MH 13,5-0,16	13,5	0,16 (0,18)	—	(12,0)	a	12	24
MH 18-0,1 (Mh-23)	18,0	0,10 (0,12)	—	12,0 (8,0)	b	11	31
MH 26-0,12-1	26,0	0,12 (0,15)	—	(10,0)	a	12	24
MM-32	6,0	—	3,0 (3,3)	21,5 (18,0)	e	16	29
MM-31	6,0	—	6,0 (6,6)	60,0 (51,0)	e	20	33
Автомобильные							
A6-1*	7,5	—	1,8 (2,0)	12,6 (10,0)	e	12	24
A6-2*	7,0	—	3,5 (3,9)	25,1 (21,0)	e	15	29
A12-1*	14,5	—	2,1 (2,4)	12,6 (10,0)	e	12	24
A12-1,5*	14,5	—	3,1 (3,6)	18,9 (15,0)	e	15	29
A24-1*	28,0	—	2,5 (2,8)	12,6 (10,0)	z	11	30
Самолетные							
CM34	6,0—8,0	0,25 (0,28)	—	—	z	11	30
MH 13,5-0,16	13,5	0,16 (0,18)	—	12,0 (9,0)	a	12	24
CM33	24,0	0,17 (0,19)	—	—	—	—	—
MH26-0,12	26,0	—	0,12 (0,15)	12,0 (10,0)	e	11	28
MH26-0,12-1	26,0	—	0,12 (0,15)	11,0 (9,0)	a	12	24
Коммутаторные*							
KM 6-60 (KM1)	6,0	0,060 (0,065)	—	0,40 (0,35)	d	7,5	46
KM 12-90 (KM2)	12,0	0,090 (0,095)	—	0,55 (0,50)	d	7,5	46
KM 24-35 (KM24-II)	24,0	0,035 (0,040)	—	0,90 (0,85)	d	7,5	46
KM 24-90 (KM3)	24,0	0,090 (0,095)	—	1,75 (1,50)	d	7,5	46
KM 48-50 (KM4)	48,0	0,050 (0,060)	—	2,90 (2,50)	d	7,5	46
KM 60-55 (KM5)	60,0	0,055 (0,060)	—	5,70 (5,10)	d	7,5	46

* Второе число в обозначении лампы указывает номинальную силу света в канделах.

12-12. ПОЛУПРОВОДНИКОВЫЕ ДИОДЫ *

Выпрямительные диоды

Выпрямительные диоды используют для выпрямления переменных токов частотой 50 Гц—50 кГц. Основные параметры выпрямительных диодов (табл. 12-53 и 12-54) соответствуют их работе в однополупериодном выпрямителе с активной нагрузкой (без сглаживающего пульсацион конденсатора). Габаритные чертежи диодов даны на рис. 12-45, 12-46 и 12-47.

Таблица 12-53

Выпрямительные диоды и сборки малой мощности

Тип диода	$U_{обр. н. макс.}$ В	$I_{ан. ср. макс.}$ А	$U_{пр. ср.}$ (при $I_{ан. ср.}$ мА) не бо- лее В	$I_{обр. ср.}$ (при $U_{обр. макс.}$ $t_{окр.} = 25^\circ\text{C}$), мкА, не более	$I_{обр. ср.}$ (при $U_{обр. макс.}$ В; $t_{окр.}^\circ\text{C}$), мкА, не более	$I_{макс.}$ кГц
Д7А	30	0,3	0,5 (300)	100	1000 (30; 70)	0,5
Д7Б	60	0,3	0,5 (300)	100	1000 (60; 70)	0,5
Д7В	90	0,3	0,5 (300)	100	1000 (90; 70)	0,5
Д7Г	125	0,3	0,5 (300)	100	1000 (125; 70)	0,5
Д7Д	190	0,3	0,5 (300)	100	1000 (190; 70)	0,5
Д7Е	220	0,3	0,5 (300)	100	1000 (220; 70)	0,5
Д7Ж	250	0,3	0,5 (300)	100	1000 (250; 70)	0,5
Д226Б	400	0,3	1,0 (300)	100	300 (300; 80)	1,0
Д226В	300	0,3	1,0 (300)	100	300 (200; 80)	1,0
Д226Г	200	0,3	1,0 (300)	100	300 (150; 80)	1,0
Д226Д	100	0,3	1,0 (300)	100	300 (70; 80)	1,0
КД102А	250	0,1	1,0 (50)	0,1	50 (250; 100)	4,0
КД102Б	300	0,1	1,0 (50)	1,0	75 (300; 100)	4,0
КД103А	50	0,1	1,0 (100)	1,0	10 (50; 100)	10,0
КД103Б	50	0,1	1,2 (100)	1,0	10 (50; 100)	10,0
КД104А	300	0,01	1,0 (10)	3,0	100 (30; 70)	20
КД105Б	400	0,3	1,0 (300)	100	300 (300; 85)	1,0
КД105В	600	0,3	1,0 (300)	100	300 (450; 85)	1,0
КД105Г	800	0,3	1,0 (300)	100	300 (600; 85)	1,0
КД109А	100	0,3	1,0 (300)	100	300 (70; 85)	10
КД109Б	300	0,3	1,0 (300)	100	300 (200; 35)	10
КД109В	600	0,3	1,0 (300)	100	300 (400; 85)	10
КДС111А	300	0,2	1,2 (100)	3,0	50 (300; 85)	20
КДС111Б	300	0,2	1,2 (100)	3,0	50 (300; 85)	20
КДС111В	300	0,2	1,2 (100)	3,0	50 (300; 85)	20

Примечание. Значения максимального обратного напряжения для диодов Д7А—Д7Ж и Д226Б—Д226Д допустимы при $t_{окр} \leq 50^\circ\text{C}$.

Среднее прямое напряжение $U_{пр. ср}$ — среднее за период прямое напряжение на диоде при протекании через него максимально допускаемого выпрямленного тока.

* Обозначения параметров выпрямительных и универсальных диодов даны по ГОСТ 20004-74, варикапов — по ГОСТ 20005-74, туннельных диодов — по ГОСТ 18216-72 и стабилитронов — ГОСТ 18994-73.

Таблица 12-54

Выпрямительные диоды средней мощности

Тип диода	$U_{обр. н. макс.}$ В	$I_{пр. ср. макс.}$ А	$U_{пр. ср. (при I_{пр. ср. А}, не более}$ В	$I_{обр. ср. (при U_{обр. макс. окр. = 25^\circ C}, не более}$ мА	$I_{обр. ср. макс. (при U_{обр. макс. окр. = 25^\circ C})}$ мА	$I_{пр. н. макс.}$ А	$I_{ макс.}$ кА
КД202А	50	5,0	0,9 (3,5)	0,8	0,8 (50; 120)	9,0	1,2
КД202Б	50	3,5	0,9 (5)	0,8	0,8 (50; 120)	9,0	1,2
КД202В	100	5,0	0,9 (3,5)	0,8	0,8 (100; 120)	9,0	1,2
КД202Г	100	3,5	0,9 (5)	0,8	0,8 (100; 120)	9,0	1,2
КД202Д	200	5,0	0,9 (3,5)	0,8	0,8 (200; 120)	9,0	1,2
КД202Е	200	3,5	0,9 (5)	0,8	0,8 (200; 120)	9,0	1,2
КД202Ж	300	5,0	0,9 (3,5)	0,8	0,8 (300; 120)	9,0	1,2
КД202И	300	3,5	0,9 (5)	0,8	0,8 (300; 120)	9,0	1,2
КД202К	400	5,0	0,9 (3,5)	0,8	0,8 (400; 120)	9,0	1,2
КД202Л	400	3,5	0,9 (5)	0,8	0,8 (400; 120)	9,0	1,2
КД202М	500	5,0	0,9 (3,5)	0,8	0,8 (500; 120)	9,0	1,2
КД202Н	500	3,5	0,9 (5)	0,8	0,8 (500; 120)	9,0	1,2
КД202Р	600	5,0	0,9 (3,5)	0,8	0,8 (600; 120)	9,0	1,2
КД202С	600	3,5	0,9 (5)	0,8	0,8 (600; 120)	9,0	1,2
КД203А	600	10	1,0 (10)	1,5	1,5 (600; 100)	30	1,0
КД203Б	800	10	1,0 (10)	1,5	1,5 (800; 100)	30	1,0
КД203В	800	10	1,0 (10)	1,5	1,5 (800; 100)	30	1,0
КД203Г	1000	10	1,0 (10)	1,5	1,5 (1000; 100)	30	1,0
КД203Д	1000	10	1,0 (10)	1,5	1,5 (1000; 100)	30	1,0
КД204А	400	0,3	1,4 (0,6)	0,15	2 (400; 85)	—	50
КД204Б	200	0,35	1,4 (0,6)	0,1	1 (200; 85)	—	1,0
КД204В	50	0,6	1,4 (0,6)	0,05	0,5 (500; 85)	—	50
КД205А	500	0,5	1 (0,5)	0,1	0,2 (500; 85)	—	50
КД205Б	400	0,5	1 (0,5)	0,1	0,2 (400; 85)	—	1,0
КД205В	300	0,5	1 (0,5)	0,1	0,2 (300; 85)	—	50
КД205Г	200	0,5	1 (0,5)	0,1	0,2 (200; 85)	—	5—15
КД205Д	100	0,5	1 (0,5)	0,1	0,2 (100; 85)	—	5—15
КД205Е	500	0,3	1 (0,3)	0,1	0,2 (500; 85)	—	5—15
КД205Ж	600	0,5	1 (0,3)	0,1	0,2 (600; 85)	—	5—15
КД205И	700	0,3	1 (0,3)	0,1	0,2 (700; 85)	—	5—15
КД205К	100	0,7	1 (0,3)	0,1	0,2 (100; 85)	—	5—15
КД205Л	200	0,7	1 (0,3)	0,1	0,2 (200; 85)	—	5—15
КД206А	400	10	1,2 (10)	0,7	1,5 (400; 125)	—	1,0
КД206Б	500	10	1,2 (10)	0,7	1,5 (500; 125)	—	1,0
КД206В	600	10	1,2 (10)	0,7	1,5 (600; 125)	—	1,0
КД208А	100	1,5	1,0 (1)	0,1	1,0 (100; 85)	—	1,0
КД209А	400	0,7	1 (0,7)	0,1	0,3 (400; 85)	15	1,0
КД209Б	600	0,7	1 (0,7)	0,1	0,3 (600; 85)	15	1,0
КД209В	800	0,5	1 (0,5)	0,1	0,3 (800; 85)	15	1,0

Примечания: 1. Значение параметра $I_{пр. н. макс}$ дано при $\tau_n = 1,5$ мкс для КД202А — КД202Р и КД203А — КД203Г.

2. Максимальный прямой импульсный ток 15А при $\tau_n = 0,02$ мкс для КД209А — КД209В.

Средний обратный ток $I_{обр.ср}$ — средний за период обратный ток. Измеряется при максимальном обратном напряжении. При повышении температуры на каждые 10°C обратный ток германиевых диодов увеличивается в 1,5—2 раза, кремниевых — до 2,5 раз.

Максимально допускаемое обратное напряжение $U_{обр.и.макс}$ — наибольшее постоянное или импульсное обратное напряжение, при котором диод может длительно и надежно работать.

Максимально допускаемый выпрямленный ток $I_{вп.ср.макс}$ — средний за период ток через диод (постоянная составляющая), при котором обеспечивается его надежная, длительная работа. Если на входе сглаживающего фильтра стоит конденсатор, то в момент включения выпрямителя в сеть через диод проходят значительные импульсы тока, пока этот конденсатор заряжается. По этой причине для выпрямительных диодов, блоков и столбов, как правило, дается максимальное

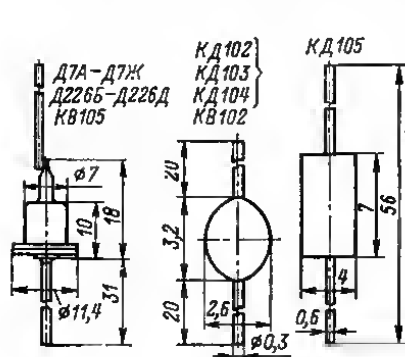


Рис. 12-45.

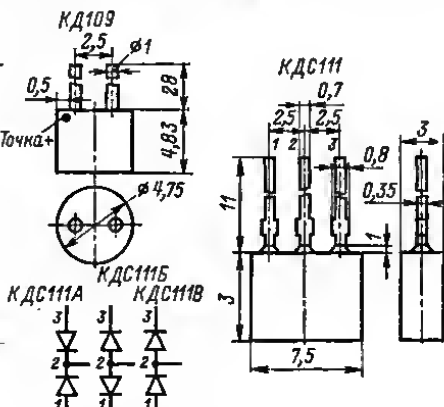


Рис. 12-46.

значение перегрузочного тока $I_{пр.и.макс}$, действующего в течение переходных процессов после включения выпрямителя (несколько миллисекунд).

Превышение $U_{обр.и.макс}$ и $I_{вп.ср.макс}$ ведет к резкому сокращению срока службы или повреждению (пробою) диода.

Максимальная частота $f_{макс}$ — наибольшая частота подводимого напряжения, при которой выпрямитель на данном диоде работает достаточно эффективно, а нагрев самого диода не превышает допустимую величину.

Диоды, имеющие корпус с винтом, необходимо крепить на теплоотводящих радиаторах (например, металлических пластинах). На рис. 12-48 дана зависимость площади радиатора-пластины от мощности, которая рассеивается в диоде. Мощность, рассеиваемая в выпрямительном диоде,

$$P = U_{пр.ср} I_{вп.ср}$$

где $I_{вп.ср}$ — выпрямленный диодом ток.

Рассчитанные по графику радиаторы обеспечивают перепад температуры между металлическим корпусом полупроводникового прибора и окружающей средой, составляющий 25°C . Следовательно, германиевые приборы с такими радиаторами могут работать при температуре окружающей среды до 50°C , а кремниевые — до 100°C . Указанный график пригоден для расчета радиатора для транзистора. В этом случае за исходную берется мощность, рассеиваемая на коллекторе транзистора.

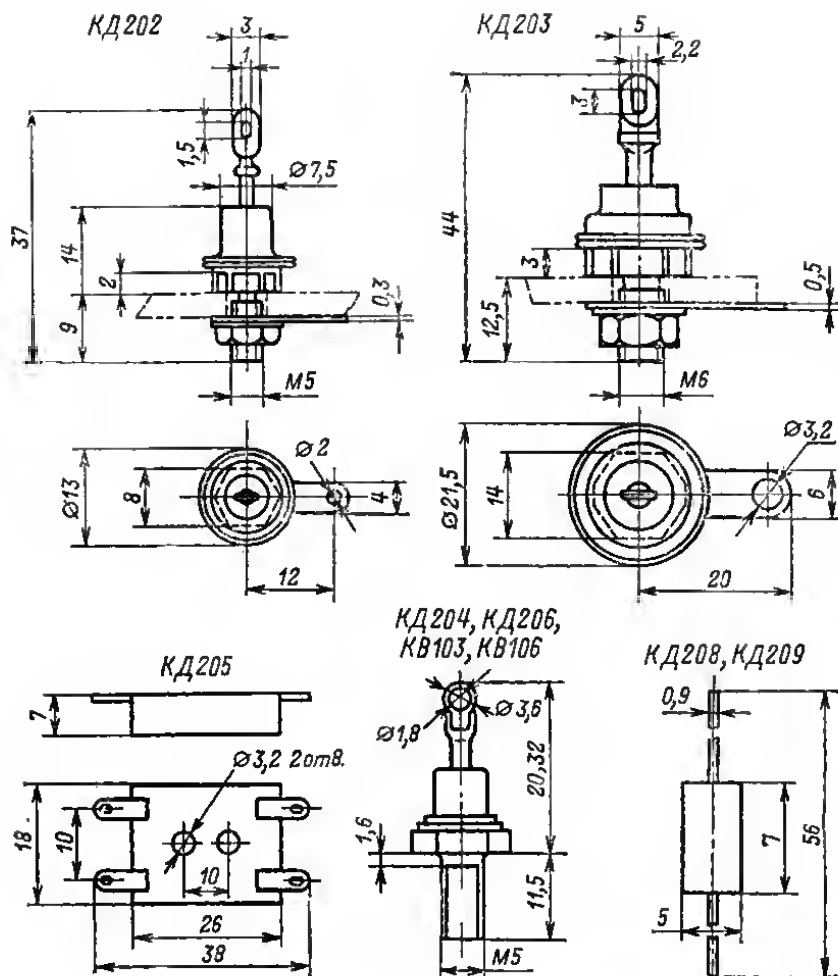


Рис. 12-47.

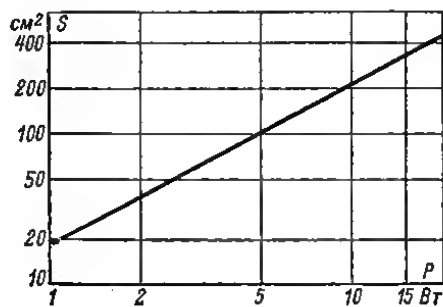


Рис. 12-48.

Выпрямительные блоки и столбы

Свойства выпрямительных блоков и столбов определяются такими же параметрами, как и отдельного диода (табл. 12-55—12-58, рис. 12-49—12-52). Для блока, содержащего несколько плеч, даются параметры: $I_{\text{вп. ср. макс.}}$, $U_{\text{обр. и макс.}}$, $U_{\text{пр. ср.}}$, $I_{\text{обр. ср.}}$ для каждого плеча. Для блока по однофазной мостовой схеме, кроме того, даются следующие параметры.

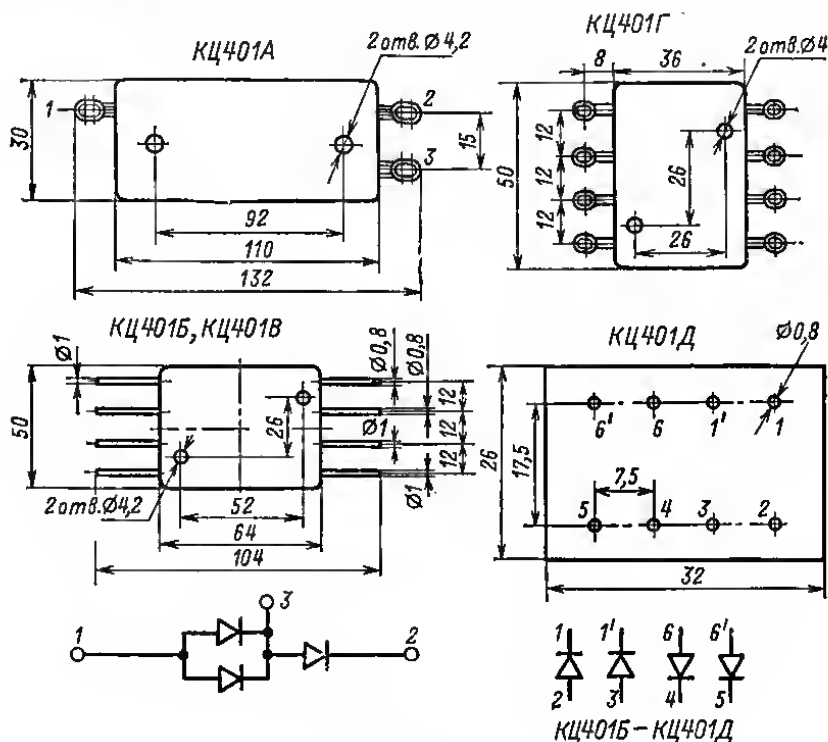


Рис. 12-49.

Ток холостого хода $I_{\text{х.х}}$ — среднее значение (постоянная составляющая) тока на входе моста, работающего без нагрузки.

Напряжение короткого замыкания $U_{\text{к.з}}$ — среднее значение (постоянная составляющая) напряжения на входе короткозамкнутого по выходу моста при протекании на выходе максимально допустимого выпрямленного тока.

Параметры $I_{\text{х.х}}$ и $U_{\text{к.з}}$ характеризуют симметрию моста; чем больше $I_{\text{х.х}}$ и $U_{\text{к.з}}$, тем больше нагрузок со стороны моста на трансформатор питания и больше пульсации на выходе выпрямителя.

Высокочастотные (универсальные) и импульсные диоды

Высокочастотные (универсальные) диоды используют для выпрямления токов, модуляции и детектирования сигналов с частотой до нескольких сотен мегагерц.

Импульсные диоды используют в качестве ключевых элементов при импульсах микросекундной и наносекундной длительности.

Таблица 12-55

Выпрямительные блоки малой мощности

Тип прибора	Схема соединения	$U_{обр. н. макс.}$ В	$I_{вп. ср. макс.}$ А	$U_{пр. ср. В.}$ не более	$I_{обр. при U_{обр. макс.} (t_{окр. 25^{\circ}C})}$ мкА, не более	$I_{обр. при U_{обр. макс.} (t_{окр. 25^{\circ}C})}$ мкА, не более
КЦ401А	«Удвоитель» напряжения	500*	0,4	2,5	300 (85)	50
КЦ401Б	Мост	500	0,25	2,5	100 (60)	100
	«Удвоитель» напряжения	500*	0,2	2,5	100 (60)	100
КЦ401В	Мост	400	0,25	2,5	100 (60)	100
	«Удвоитель» напряжения	400*	0,2	2,5	100 (60)	100
КЦ401Г	Мост	500	0,5	2,5	300 (85)	50
	«Удвоитель» напряжения	500*	0,5	2,5	300 (85)	50
КЦ401Д	Мост	500	0,4	2,5	300 (85)	50
	«Удвоитель» напряжения	500*	0,4	2,5	300 (85)	50

* Значения напряжения для одного плеча выпрямителя по схеме с удвоением напряжения.

Таблица 12-56

Выпрямительные блоки средней мощности

Тип прибора	$U_{обр. н. макс.}$ В	$I_{вп. ср. макс.}$ А	$I_{х. з.}$ (при $U_{обр. макс.}$), мкА, не более	$U_{к. з.}$ (при $I_{вп. макс.}$), В, не более
-------------	--------------------------	--------------------------	---	--

Однофазный мост

КЦ402А	600	1,0	125	4
КЦ402Б	500	1,0	125	4
КЦ402В	400	1,0	125	4
КЦ402Г	300	1,0	125	4
КЦ402Д	200	1,0	125	4
КЦ402Е	100	1,0	125	4
КЦ402Ж	600	0,6	125	4
КЦ402И	500	0,6	125	4

Два электрически не соединенных между собой однофазных моста

КЦ403А	600	1,0	125	4
КЦ403Б	500	1,0	125	4
КЦ403В	400	1,0	125	4
КЦ403Г	300	1,0	125	4
КЦ403Д	200	1,0	125	4
КЦ403Е	100	1,0	125	4
КЦ403Ж	600	0,6	125	4
КЦ403И	500	0,6	125	4

Продолжение табл. 12-56

Тип прибора	$U_{обр. н. макс.}$ В	$I_{вп. ср. макс.}$ А	$I_{х. х}$ (при $U_{обр. макс.}$), мкА, не более	$U_{к. з}$ (при $I_{вп. макс.}$), В, не более
-------------	--------------------------	--------------------------	---	--

Для электрически не соединенных между собой однофазных мостов с держателями предохранителей типа ПМ

КЦ404А	600	1,0	125	4
КЦ404Б	500	1,0	125	4
КЦ404В	400	1,0	125	4
КЦ404Г	300	1,0	125	4
КЦ404Д	200	1,0	125	4
КЦ404Е	100	1,0	125	4
КЦ404Ж	600	1,0	125	4
КЦ404И	500	0,6	125	4

Однофазный мост

КЦ405А	600	1,0	125	4,0
КЦ405Б	500	1,0	125	4
КЦ405В	400	1,0	125	4
КЦ405Г	300	1,0	125	4
КЦ405Д	200	1,0	125	4
КЦ405Е	100	1,0	125	4
КЦ405Ж	600	0,6	125	4
КЦ405И	500	0,6	125	4,0

Однофазный мост

КЦ407А	300	0,5	5	2,5
--------	-----	-----	---	-----

Примечания: 1. Максимальная частота подводимого переменного напряжения: 20 кГц для КЦ407А, 15 кГц для блоков остальных типов.

2. $U_{к. з}$ дано при $I_{к. з} = 200$ мА.

Таблица 12-57

Выпрямительные высоковольтные кремневые столбы

Тип прибора	$U_{обр. макс.}$ кВ	$I_{вп. ср. макс.}$ А	$U_{пр. ср.}$ В, не более	$I_{обр.}$ мкА, не более (при $t_{окр.}$ °С)		
				25 °С	85 °С	100 °С
КЦ105А	2,0	0,1	3,5	100	200	—
КЦ105Б	4,0	0,1	3,5	100	200	—
КЦ105В	6,0	0,1	7,0	100	200	—
КЦ105Г	7,0	0,075	7,0	100	200	—
КЦ105Д	8,5	0,05	7,0	100	200	—
КЦ106А	4,0	0,01	25	10	30	—
КЦ106Б	6,0	0,01	25	10	30	—
КЦ106В	8,0	0,01	25	10	30	—
КЦ106Г	10,0	0,01	25	10	30	—
КЦ106Д	2,0	0,01	25	10	30	—

Продолжение табл. 12-57

Тип прибора	$U_{обр. макс.}$ кВ	$I_{вп. ср. макс.}$ А	$U_{пр. ср.}$ В, не более	$I_{обр.}$ мкА, не более (при $t_{окр.}$ °С)		
				25 °С	55 °С	100 °С
КЦ201А	2,0	0,5	3,0	100	—	250
КЦ201Б	4,0	0,5	3,0	100	—	250
КЦ201В	6,0	0,5	6,0	100	—	250
КЦ201Г	8,0	0,5	6,0	100	—	250
КЦ201Д	10,0	0,5	6,0	100	—	250
КЦ201Е	15,0	0,5	10,0	100	—	250

Примечания: 1. Значения $U_{пр. ср.}$ даны при $I_{вп. ср. макс.}$ 2. Значения $I_{обр.}$ даны при $U_{обр. макс.}$ 3. Максимальный прямой импульсный ток 1 А при $t_{и} = 50$ мкс для КЦ106А—КЦ106Д.

4. Максимальная частота подводимого переменного напряжения 20 кГц для КЦ106А—КЦ106Д, 1 кГц для столбов остальных типов.

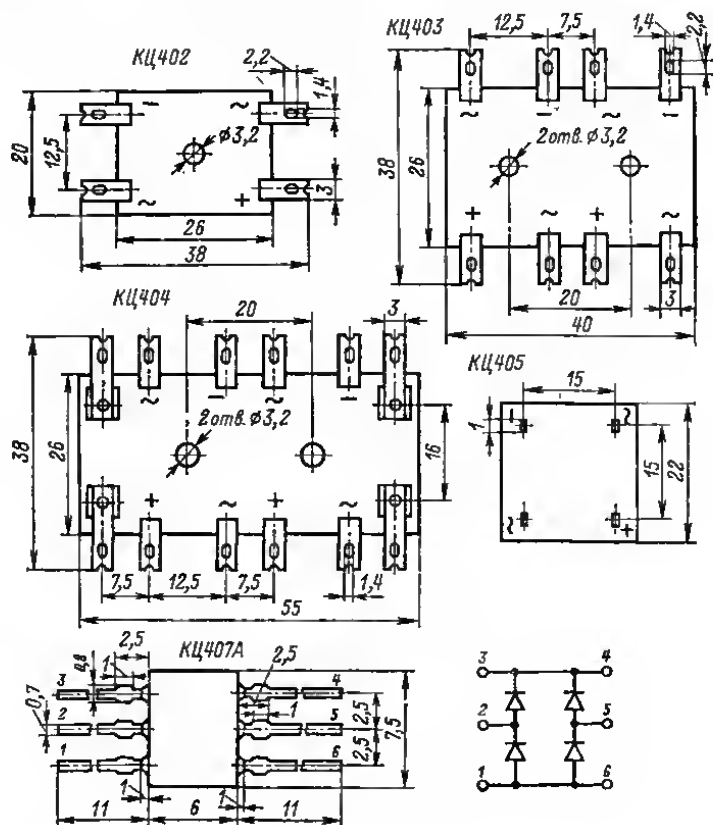


Рис. 12-50.

Таблица 12-58

Высоковольтные выпрямительные селеновые столбы

Тип прибора	$U_{\text{обр. макс.}}$ кВ	$i_{\text{вп. ср. макс.}}$ мА	Длина столба L , мм, не более
3ГЕ130АФ	3,0	0,06	—
3ГЕ220АФ	5,0	0,06	135
5ГЕ40АФ	1,0	1,2	100
5ГЕ60АФ	1,5	1,2	106
5ГЕ80АФ	2,0	1,2	112
5ГЕ100АФ	2,5	1,2	120
5ГЕ140АФ	3,5	1,2	130
5ГЕ200АФ	5,0	1,2	150
5ГЕ600АФ	15,0	1,2	180

* Максимально допускаемое значение выпрямленного тока при использовании столба в однополупериодном выпрямителе с активной нагрузкой

Столбы, обозначение которых начинается с цифры 3, имеют \varnothing 4 мм, а с цифры 5 — \varnothing 6 мм (5ГЕ600АФ имеет диаметр 8 мм)

Габаритные чертежи столбов даны на рис. 12-52,

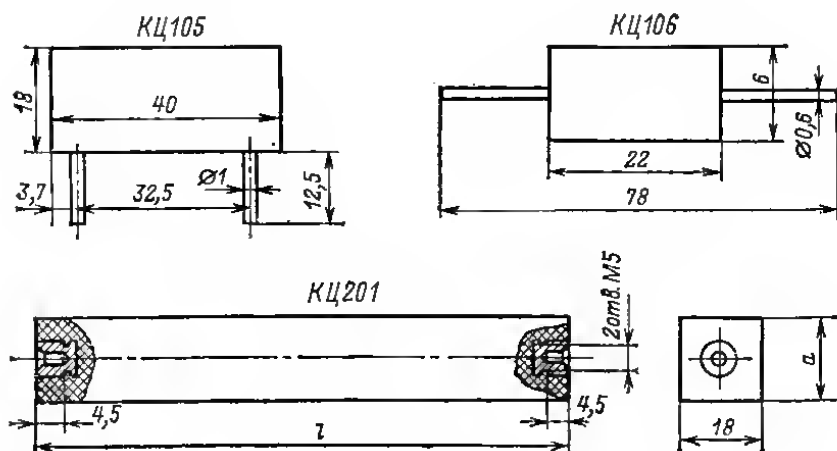


Рис. 12-51.

Тип днода	l , мм	a , мм
КЦ201А, КЦ201Б	58	19
КЦ201В, КЦ201Г, КЦ201Д	100	19
КЦ201Е	100	25

Максимально допускаемые обратные напряжения $U_{обр. макс.}$, $U_{обр. и. макс.}$ — постоянное и амплитудное обратные напряжения, превышение которых резко сокращает долговечность диода или приводит к немедленному повреждению его. При повышении температуры обратное напряжение, как правило, снижается.

Постоянное прямое напряжение $U_{пр}$ — падение напряжения на диоде при протекании через него постоянного прямого тока $I_{пр}$, заданного ГОСТ или ТУ.

Импульсное прямое напряжение $U_{пр. и}$ — максимальное падение напряжения на диоде при заданной величине импульса прямого тока. Для большинства импульсных диодов $U_{пр. и}$ измеряется при импульсном токе 50 мА.

Постоянный обратный ток $I_{обр}$ — ток через диод при постоянном обратном напряжении на нем. Значение $I_{обр}$ измеряется, как правило, при максимальном обратном напряжении $U_{обр. макс.}$. Ток $I_{обр}$ является одним из важнейших показателей качества диода. Чем меньше обратный ток, тем лучше диод. Для каждого типа диода установлено наибольшее значение обратного тока, при превышении которого диод считается некондиционным.

Емкость диода C_d — емкость между выводами диода при заданном напряжении. При обратном напряжении 5–10 В точечные диоды имеют $C_d < 1$ пФ, мезодиоды — около 3 пФ, микросплавные — 10–20 пФ. При увеличении обратного напряжения емкость диодов уменьшается.

Максимальная рабочая частота — предельная частота, на которой выпрямленный диодом ток не меньше заданного значения. Выпрямленный ток измеряется в схеме однополупериодного выпрямителя с емкостной нагрузкой.

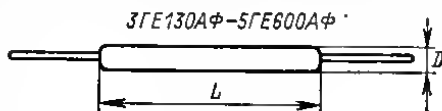


Рис. 12-52.

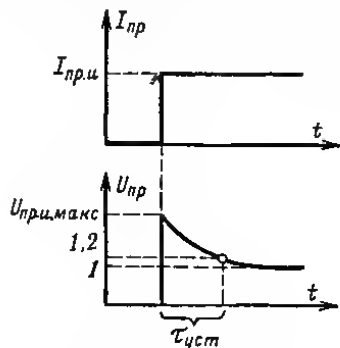


Рис. 12-53.

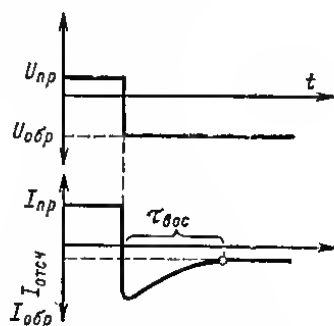


Рис. 12-54.

При коротких импульсах необходимо учитывать инерционность включения и выключения диодов.

Время установления прямого напряжения $\tau_{уст}$ — интервал времени от начала импульса прямого тока до момента, когда напряжение на диоде упадет до 1,2 установившегося значения прямого напряжения (рис. 12-53).

Время восстановления обратного сопротивления $\tau_{вос}$. Если на диод, через который протекал прямой ток, подать обратное напряжение, то диод запирается не мгновенно; возникает импульс обратного тока, превышающий его установившееся значение (рис. 12-54). Этот импульс обусловлен рассасыванием накопившегося в базе диода заряда — заряда переключения $Q_{пер}$. Приближенно $Q_{пер} \approx \tau_{вос} I_{обр. и}$, где $I_{обр. и}$ — импульс обратного тока, возникающий при запираании диода и обусловленный сопротивлением источника запирающего напряжения.

Интервал времени от момента, когда ток через диод равен нулю, до момента, когда обратный ток уменьшается до заданного уровня отсчета $I_{отсч}$, называется временем восстановления обратного сопротивления диода

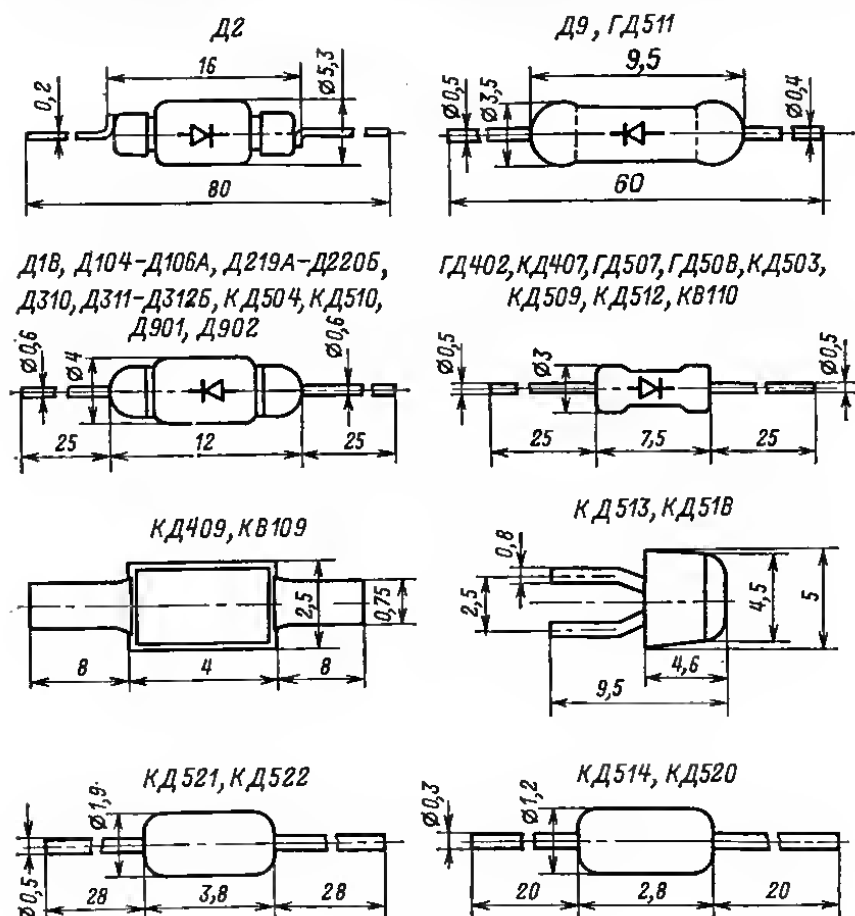


Рис. 12-55.

Основные параметры высокочастотных и импульсных диодов и их маркировка представлены в табл. 12-59, 12-60. Габаритные чертежи — на рис. 12-55.

Варикапы

В а р и к а п (другое широко распространенное название — **варактор**) — диод, обычно используемый в качестве конденсатора переменной емкости; изменение емкости осуществляется изменением подаваемого на варикап постоянного обратного напряжения. Отрицательный полюс управляющего напряжения должен быть включен на вывод варикапа, обозначенный знаком + (рис. 12-56).

Таблица 12-59

Высокочастотные (универсальные) диоды

Тип диода	$U_{обр. макс.}$ В	$I_{пр. макс.}$ $I_{пр. н макс.}$ мА	$I_{обр. (при U_{обр. В}).}$ мА, не более	$U_{пр. (при I_{пр. мА}).}$ В, не более	$C_d (при U_{обр. В},$ пФ, не более
-----------	-----------------------	--	--	--	--

Германиевые

ГД402А	15	30; 100*	100 (10)	—	0,8 (5)
ГД402Б	15	30; 100*	100 (10)	—	0,8 (5)
Д2Б	10	16; 50*	100 (10)	1,0 (5,0)	—
Д2В	30	25; 78*	250 (30)	1,0 (9,0)	—
Д2Г	50	16; 50*	250 (50)	1,0 (2,0)	—
Д2Д	50	16; 50*	250 (50)	1,0 (4,5)	—
Д2Е	100	16; 50*	250 (100)	1,0 (4,5)	—
Д2Ж	150	16; 50*	250 (150)	1,0 (2,0)	—
Д2И	100	8; 25*	250 (100)	1,0 (2,0)	—
Д9Б	10	40; 125*	250 (10)	1,0 (90)	—
Д9В	30	20; 62*	250 (30)	1,0 (10)	—
Д9Г	30	30; 98*	250 (30)	1,0 (30)	—
Д9Д	30	30; 98*	250 (30)	1,0 (60)	—
Д9Е	50	20; 62*	250 (50)	1,0 (10)	—
Д9Ж	100	15; 48*	250 (100)	1,0 (30)	—
Д9И	30	30; 98*	120 (30)	1,0 (30)	—
Д9К	30	30; 98*	60 (30)	1,0 (60)	—
Д9Л	100	15; 48*	250 (100)	1,0 (30)	—

Кремниевые

Д104	75	30	5,0 (50)	2,0 (5,0)	0,7 (1)
Д104А	75	30	5,0 (50)	2,0 (5,0)	0,7 (1)
Д105	50	30	5,0 (50)	2,0 (2,0)	0,7 (1)
Д105А	50	30	5,0 (50)	1,0 (1)	0,7 (1)
Д106	30	30	5,0 (50)	2,0 (2)	0,7 (1)
Д106А	30	30	5,0 (50)	1,0 (1,0)	0,7 (1)
КД407А	24	50; 500*	0,5 (24)	1,0 (50)	5,0 (1)
КД409А	24	50; 500*	0,5 (24)	1,0 (50)	15 (1)

Примечание. Цветная маркировка диодов серии Д9: Д9Б — красная точка; Д9В — оранжевая; Д9Г — желтая; Д9Д — белая; Д9Е — голубая; Д9Ж — зеленая и голубая; Д9И — две желтые точки; Д9К — две белые; Д9Л — две зеленые точки.

Таблица 12-60

Импульсные диоды

Тип диода	$U_{обр. макс.}$ $U_{обр. н. макс.}$ В	$U_{пр}$ (при $I_{пр. макс.}$, В, не более	$I_{пр. макс.}$ $I_{пр. н. макс.}$ мА	$I_{обр}$ (при $U_{обр. макс.}$, мкА, не более	S_d (при $U_{обр. макс.}$, пФ, не более	$\tau_{вос. нс. не}$ более, $\tau_{пер}$ (при $I_{пр}$) нК, не более
Д18	20	1 (20)	50*	50	0,5 (3)	100 (50; 10)
Д219А	70	1 (50)	500*	1	15 (5)	500 (30; 30)
Д220	50	1,5 (50)	500*	1	15 (5)	500 (30; 30)
Д220А	70	1,5 (50)	500*	1	15 (5)	500 (30; 30)
Д220Б	100	1,5 (50)	500*	1	15 (5)	500 (30; 30)
Д310	20	0,55 (500)	800*	20	15 (20)	300 (500; 20)
Д311	30	0,4 (10)	500*	100	1,5 (5)	50 (50; 10)
Д311А	30	0,4 (10)	600*	100	3 (5)	50 (50; 10)
Д311Б	30	0,5 (10)	250*	100	2 (5)	50 (50; 10)
Д312	100	0,5 (10)	500*	100	3 (5)	500 (50; 10)
Д312А	75	0,5 (10)	500*	100	3 (5)	500 (50; 10)
Д312Б	100	0,5 (10)	500*	100	3	700 (50; 10)
АД516А	10	—	2; 30*	2	0,5 (0)	5* (5; 10)
АД516Б	10	—	2; 30*	2	0,35 (0)	5* (5; 10)
ГД507А	20	0,5 (5)	16; 100*	50	0,8 (5)	100 (20; 10)
ГД508А	8	0,7 (10)	10; 30*	60	0,75 (0,5)	20 (10; 5)
ГД508Б	8	0,65 (10)	10; 30*	100	0,75 (0,5)	20 (10; 5)
ГД511А	12	0,6 (5)	15; 50*	50	1,0 (5)	100* (10; 10)
ГД511Б	12	0,6 (5)	15; 50*	100	1,0 (5)	40* (10; 10)
ГД511В	12	0,6 (5)	15; 50*	200	1 (5)	100* (10; 10)
КД503А	30	1,0 (10)	20; 200*	10	5 (0—0,05)	10 (10; 10)
КД503Б	30	1,2 (10)	20; 200*	10	2,5 (0—0,05)	10 (10; 10)
КД503В	10	1,3 (10)	10; 200*	1	6 (0—0,05)	50 (10; 10)
КД504А	40	1,2 (100)	240; 240*	2	25 (5)	15* (300; 30)
КД509А	50; 70*	1,1 (100)	100; 1500*	5	4 (0—0,05)	400* (50; 10)
КД510А	50; 70*	1,1 (200)	200; 1500*	5	4 (0—0,05)	400* (50; 10)
КД512А	15	1,0 (10)	20; 200*	5	1 (5)	1 (10; 10)
КД513А	50; 70*	1,1 (100)	100; 1500*	5	4 (0)	400* (50; 10)
КД514А	10	1 (10)	10; 50*	5	0,9 (0)	—
КД520А	15	1 (20)	20; 50*	1	3 (5)	4 (10; 10)
КД521А	75; 80*	1 (50)	50; 500*	1	10 (0)	4 (10; 10)
КД521Б	60; 65*	1 (50)	50; 500*	1	10 (0)	4 (10; 10)
КД521В	50; 55*	1 (50)	50; 500*	1,0	10 (0)	4 (10; 10)
КД521Г	30; 35*	1,0 (50)	50; 500*	1	10 (0)	4 (10; 10)
КД521Д	12	1 (50)	50; 500*	1	10 (0)	4 (10; 10)
КД522А	30; 40*	1,1 (100)	100; 1500*	2,0	4 (0—0,05)	400* (50; 10)
КД522Б	50; 60*	1,1 (100)	100; 1500*	5	4 (0—0,05)	400* (50; 10)

Примечание. Значения максимального прямого тока $I_{пр. макс}$ и максимального импульсного прямого тока $I_{пр. н. макс}$ даны при длительности импульса $\tau_n = 1$ мкс для диодов ГД511А — ГД511В и $\tau_n = 10$ мкс для диодов остальных типов. Цветная маркировка диодов: КД522А — 2 кольца на корпусе, КД522Б — три кольца.

Варикапы характеризуют максимально допусаемым обратным напряжением $U_{обр. макс.}$, постоянным обратным током $I_{обр.}$, который измеряют при напряжении $U_{обр. макс.}$, а также следующими специфическими для варикапов параметрами (табл. 12-61).

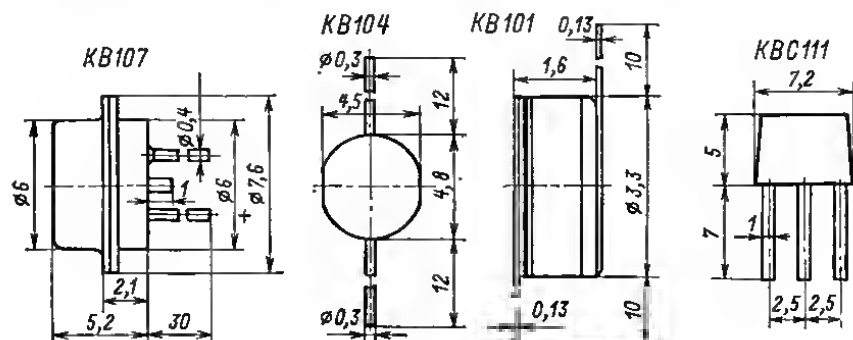


Рис. 12-56.

Номинальная емкость $C_{ном}$ — емкость при заданном обратном напряжении смещения.

Коэффициент перекрытия по емкости K_C — отношение номинальной емкости варикапа к его емкости при $U_{обр. макс.}$; для варикапов различных типов $K_C = 2,5 \div 4$.

Добротность варикапа Q_v как подстроечного конденсатора равна отношению его емкостного сопротивления к эквивалентному последовательному сопротивлению потерь.

Туннельные и обращенные диоды

У туннельных диодов на вольт-амперных характеристиках (рис. 12-57) имеется участок с отрицательным дифференциальным сопротивлением. Наличие такого

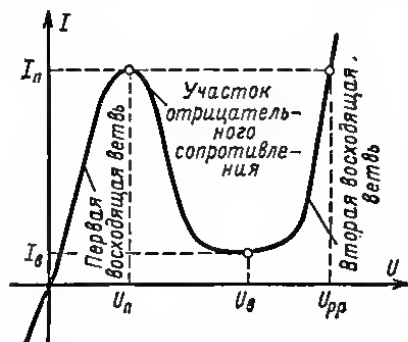


Рис. 12-57.

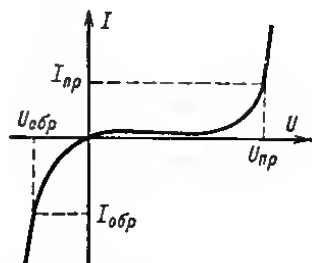


Рис. 12-58.

участка позволяет использовать туннельные диоды в усилителях, генераторах синусоидальных и релаксационных колебаний и переключающих устройствах на частотах до сотен и тысяч мегагерц.

Таблица 12-61

Варикапы

Тип варикапа	$C_{\text{ном}}^*,$ пФ	$U_{\text{обр. макс.}}$ В	$Q_n^{**},$ не менее	$I_{\text{обр}}$ (при $U_{\text{обр. макс.}}$ $t_{\text{окр}} = 25^\circ\text{C}$), мкА, не более
Д901А	22—32	80	25	1,0
Д901Б	22—32	45	30	1,0
Д901В	28—38	80	25	1,0
Д901Г	28—38	45	30	1,0
Д901Д	34—44	80	25	1,0
Д901Е	34—44	45	30	1,0
Д902	6—12	25	30	—
КВ101А	160—240	4	12	1,0
КВ102А	14—23	45	40	1,0
КВ102Б	19—30	45	40	1,0
КВ102В	25—40	45	40	1,0
КВ102Г	19—30	45	100	1,0
КВ102Д	19—30	80	40	1,0
КВ103А	18—32	80	50	10
КВ103Б	28—38	80	40	10
КВ104А	90—120	45	100	5,0
КВ104Б	106—144	45	100	5,0
КВ104В	128—192	45	100	5,0
КВ104Г	95—143	80	100	5,0
КВ104Д	128—192	80	100	5,0
КВ104Е	95—143	45	150	5,0
КВ105А	400—600	90	500	50
КВ105Б	400—600	50	500	50
КВ106А	20—50	120	40	20
КВ106Б	15—35	90	60	20
КВ107А	10—40	5,5—16	20	100
КВ107Б	10—40	5,5—16	20	100
КВ107В	30—65	13—31	20	100
КВ107Г	30—65	13—31	20	100
КВ109А***	2,3—2,8	25	300	0,5
КВ109Б***	2,0—2,3	25	300	0,5
КВ109В***	8,0—17	25	160	0,5
КВ109Г***	8,0—17	25	160	0,5
КВ110А	12—18	45	300	1,0
КВ110Б	14—21	45	300	1,0
КВ110В	17—26	45	300	1,0
КВ110Г	12—18	45	150	1,0
КВ110Д	14—21	45	150	1,0
КВ110Е	17—26	45	150	1,0
КВС111А	≤ 33	30	200	1,0
КВС111Б	≤ 33	30	150	1,0

* При $U_{\text{обр}} = 0,8$ В для КВ101А; $U_{\text{обр}} = 25$ В для КВ109А и КВ109Б; $U_{\text{обр}} = 3$ В для КВ109В и КВ109Г и $U_{\text{обр}} = 4$ В для варикапов остальных типов

** При $f = 1$ МГц для КВ105А, КВ105Б; $f = 10$ МГц для КВ104А — КВ104Е; КВ107А — КВ107Г и $f = 50$ МГц для варикапов остальных типов и при температуре 25°C .

*** Варикапы КВ109А — КВ109Г предназначены для использования в резонаторах диапазона ДМВ (см. § 1-3).

Параметрами туннельных диодов являются следующие. (см. рис. 12-57 и табл. 12-62).

Таблица 12-62

Туннельные диоды

Тип диода	I_p , мА	U_p , мВ	I_p/I_v не менее	U_{pp} , мВ	$I_{пр. макс}$, мА	C_d , пф
ГИ103А	1,3—1,7	74	4	—	1,5	1,0—2,1
ГИ103Б	1,3—1,7	74	4	—	1,5	0,8—1,6
ГИ103В	1,3—1,7	74	4	—	1,5	0,7—1,3
ГИ103Г	1,3—2,1	74	4	—	1,5	1,0—3,2
ГИ304А	4,5—5,1	75	5	420	10,0	≤ 20
ГИ304Б	4,9—5,5	75	5	420	10,0	≤ 20
ГИ305А	9,1—10,1	85	5	430	10,0	≤ 30
ГИ305Б	9,8—11,0	85	5	430	20,0	≤ 30
ГИ307А	1,8—2,2	—	7	400	4,0	≤ 20

Пиковый ток I_p и напряжений, соответствующие максимуму

Ток впадины I_v и напряжение впадины U_v — прямой ток и напряжение в точке минимума вольт-амперной характеристики.

Напряжение раствора U_{pp} — прямое напряжение, большее напряжения впадины, при котором ток равен пиковому.

Емкость диода C_d — емкость между выводами диода при заданном напряжении (обычно при напряжении U_v).

Предельный режим работы туннельного диода характеризуется максимально допустимым постоянным $I_{пр. макс}$ или импульсным $I_{пр. и. макс}$ прямым током.

Особенностью вольт-амперной характеристики обращенного диода (рис. 12-58) является то, что при малых напряжениях (до нескольких десятков милливольт) проводимость диода в обратном направлении много больше, чем в прямом. Поэтому диоды и получили название обращенных, так как в качестве проводящей в них используется обратная ветвь вольт-амперной характеристики. Обращенные диоды используются для выпрямления малых переменных напряжений и детектирования сигналов с частотой до нескольких сотен мегагерц. Параметрами обращенных диодов являются: прямое $U_{пр}$ и обратное $U_{обр}$ напряжения при заданных значениях тока; прямой $I_{пр. макс}$ и обратный $I_{обр. макс}$ максимально допустимые токи и емкость диода C_d (табл. 12-63).

Габаритные чертежи туннельных и обращенных диодов даны на рис. 12-59.

пика U_p — прямой ток и вольт-амперной характеристики.

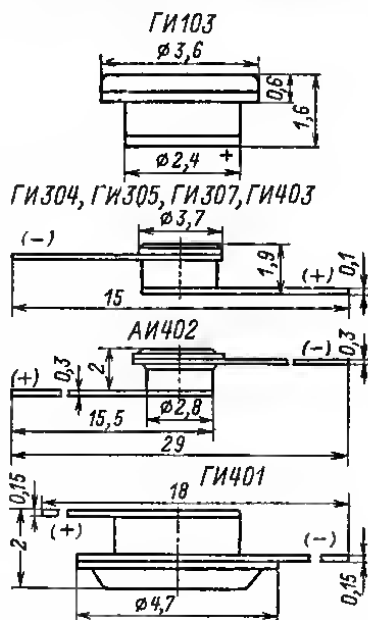


Рис. 12-59.

Таблица 12-63

Обращенные диоды

Тип диода	$U_{пр}$ (при $I_{пр}$, мА) мВ, не менее	$U_{обр}$ (при $I_{обр}$, мА), мВ, не более	$I_{пр-макс}$ мА	$I_{обр-макс}$ мА	C_d , пФ не более
АИ402Б	600 (0,1)	250 (1,0)	0,05	1,0	4,0
АИ402Г	600 (0,1)	250 (1,0)	0,05	1,0	8,0
АИ402Е	600 (0,2)	250 (2,0)	0,05	2,0	8,0
АИ402И	600 (0,4)	250 (4,0)	0,05	4,0	10,0
ГИ401А	330 (0,1)	90 (1,0)	0,30	4,0	2,5
ГИ401Б	330 (0,1)	90 (1,0)	0,50	5,6	5,0
ГИ403А*	350 (0,1)	120 (3,0)	10*	10*	8,0

*Для диода ГИ403А указаны максимально допускаемые импульсные значения обратного тока и прямого тока при длительности импульса $\tau_H = 10$ мкс.

Стабилитроны и стабисторы

Стабилитроны (рис. 12-60) и стабисторы предназначены для стабилизации напряжения на нагрузке при изменении питающего напряжения в широких пределах. Рабочая точка стабилитрона находится на участке пробоя обратной ветви вольт-амперной характеристики. Рабочая точка стабистора находится на прямой ветви вольт-амперной характеристики. Его работа основана на том, что при изменении прямого тока прямое напряжение на диоде меняется незначительно. Полярность подаваемого напряжения на стабилитрон должна быть такой, чтобы к аноду присоединялся отрицательный полюс. У стабистора к аноду присоединяется положительный полюс подаваемого напряжения.

Стабилитроны средней и большой мощности, имеющие в обозначении букву П (например, Д815АП), предназначены для применения в устройствах, где с монтажным металлическим шасси должен соединяться отрицательный полюс стабилизированного напряжения. Стабилитроны с такими же параметрами без дополнительной буквы в обозначении (например, Д815А) предназначены для устройств, где «заземляется» положительный полюс напряжения.

Основные параметры стабилитронов и стабисторов представлены в табл. 12-64, 12-65.

Напряжение стабилизации $U_{ст}$ — напряжение между выводами стабилитрона (стабистора) в рабочем режиме.

Ток стабилизации $I_{ст}$ — ток через стабилитрон, стабистор. (Не путать с током, который идет от стабилизатора в нагрузку!).

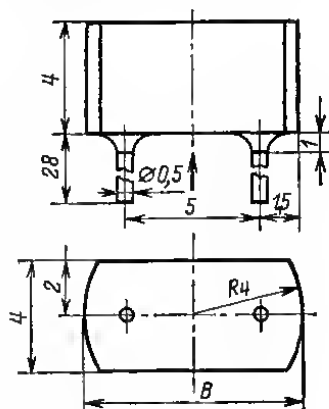
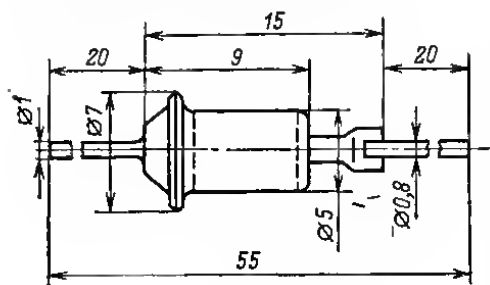
Минимальный ток стабилизации $I_{ст.мин}$ стабилитрона — наименьшее значение тока стабилизации, при котором режим пробоя устойчив. Для стабистора $I_{ст.мин}$ представляет собой значение прямого тока, ниже которого крутизна вольт-амперной характеристики резко уменьшается и соответственно дифференциальное сопротивление существенно увеличивается по сравнению с его значением на рабочем участке.

Максимально допускаемый ток стабилизации $I_{ст.макс}$ — наибольшее значение тока стабилизации, при котором нагрев стабилитрона (стабистора) не выходит за допустимые пределы.

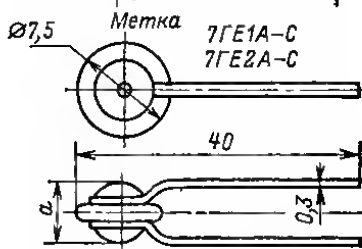
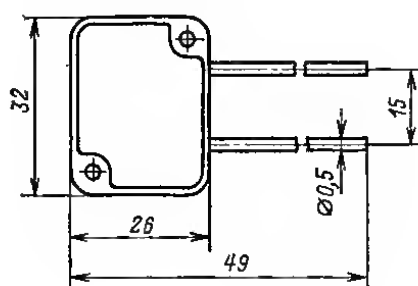
Дифференциальное сопротивление $r_{ст}$ — отношение приращения напряжения стабилизации к вызывающему его приращению тока стабилизации: $r_{ст} = \Delta U_{ст} / \Delta I_{ст}$.

Д80В—Д813; КС133А;
КС139А; КС147А; КС156А;
КС168А; КС191(М-Р);
КС196(А-Г); КС433А;
КС439А; КС447А; КС456А; КС468А;
КС482А; КС510А; КС512А; КС515А;
КС518А; КС520А; КС522А; КС527А

КС162А; КС168В; КС170А;
КС175А; КС182А; КС191А;
КС210Б; КС213Б; КС531Б;
КС533А; КС547В; КС568В;
КС596В



КС211Б—КС211Д



	а, мм	Метка
7ГЕ1А-С	3	Желтая
7ГЕ2А-С	4	Синяя

Д815А—Д817ГП; КС620А; КС630А;
КС650А; КС680А

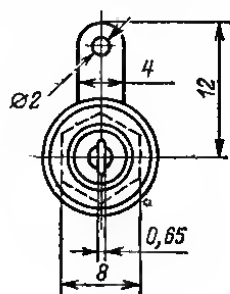
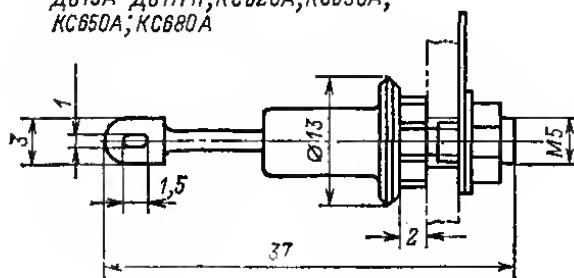


Рис. 12-60.

Таблица 12-64

Стабилитроны и стабилитроны малой мощности

Тип стабилитрона	$U_{ст} \pm \Delta U_{ст}$, В	$r_{ст}$ (при $I_{ст}$, мА), Ом, не более	$I_{ст. макс.}$ мА
Д808	$7,75 \pm 0,75$	6 (5)	33
Д809	$8,75 \pm 0,75$	10 (5)	29
Д810	$9,75 \pm 0,75$	12 (5)	26
Д811	$11 \pm 1,0$	15 (5)	23
Д813	$12,75 \pm 1,25$	18 (5)	20
КС133А	$3,3 \pm 0,3$	65 (10)	81
КС139А	$3,9 \pm 0,4$	60 (10)	70
КС147А	$4,7 \pm 0,5$	56 (10)	58
КС156А	$5,6 \pm 0,6$	46 (10)	55
КС162А	$6,2 \pm 0,4$	35 (10)	22
КС168А	$6,8 \pm 0,7$	28 (10)	45
КС168В	$6,8 \pm 0,5$	28 (10)	20
КС170А	$7,0 \pm 0,35$	20 (10)	20
КС175А	$7,5 \pm 0,5$	16 (5)	18
КС182А	$8,2 \pm 0,6$	14 (5)	17
КС191А	$9,1 \pm 0,6$	18 (5)	15
КС191М — КС191Р	$9,1 \pm 0,5$	18 (10)	15
КС196А — КС196Г	$9,6 \pm 0,5$	18 (10)	20
КС210Б	$10 \pm 0,7$	22 (5)	14
КС211Б	$11 \pm 1,5$	15 (10)	33
КС211В	$11-1,5$	15 (10)	33
КС211Г	$11 \pm 1,0$	15 (10)	33
КС211Д	$11 \pm 1,0$	15 (5)	33
КС213Б	$13 \pm 0,9$	25 (5)	10

Селеновые стабилитроны

7ГЕ1А — 7ГЕ1С	0,65—0,79	50 (1)	10
7ГЕ2А — 7ГЕ2С	1,3—1,6	100 (1)	10

* При $I_{ст} = 5$ мА — для КС175А, КС168А, КС191А, КС210Б, КС213Б; при $I_{ст} = 10$ мА — для остальных типов приборов.

Примечание. Минимальный ток стабилизации $I_{ст. мин} = 5$ мА для КС211Б — КС211Д; $I_{ст. мин} = 3$ мА для остальных типов приборов.

Таблица 12-65

Стабилитроны средней и большой мощности

Тип стабилитрона	$U_{ст}$, В (при $I_{ст}$, мА)	$r_{ст}$ (при $I_{ст}$, мА), Ом, не более	$I_{ст. макс.}$ мА	$I_{ст. мин.}$ мА
Д815А	5,6 (1000)	0,9 (1000)	1400	50
Д815Б	6,8 (1000)	1,2 (1000)	1150	50
Д815В	8,2 (1000)	1,5 (1000)	950	50

Продолжение табл. 12-65

Тип стаби- лизатора	U_{CT} , В (при I_{CT} , мА)	r_{CT} (при I_{CT} , мА), Ом, не более	$I_{CT, макс}$, мА	$I_{CT, мин}$, мА
Д815Г	10 (500)	2,7 (500)	800	25
Д815Д	12 (500)	3,0 (500)	650	25
Д815Е	15 (500)	3,8 (500)	550	25
Д815Ж	18 (500)	4,5 (500)	450	25
Д816А	22 (150)	10 (150)	230	10
Д816Б	27 (170)	12 (150)	180	10
Д816В	33 (150)	15 (150)	150	10
Д816Г	39 (150)	18 (150)	130	10
Д816Д	47 (150)	22 (150)	110	10
Д817А	56 (50)	52 (50)	90	5,0
Д817Б	68 (50)	60 (50)	75	5,0
Д817В	82 (50)	67 (50)	60	5,0
Д817Г	100 (50)	75 (50)	50	5,0
КС433А	3,3 (30)	25 (30)	191	3,0
КС439А	3,9 (30)	25 (30)	176	3,0
КС447А	4,7 (30)	18 (30)	159	3,0
КС456А	5,6 (30)	12 (30)	139	3,0
КС468А	6,8 (30)	5 (30)	119	3,0
КС482А	8,2 (5)	25 (5)	96	1,0
КС510А	10 (5)	25 (5)	79	1,0
КС512А	12 (5)	25 (5)	67	1,0
КС515А	15 (5)	25 (5)	53	1,0
КС518А	18 (5)	25 (5)	45	1,0
КС520В	20 (5)	120 (5)	22	1,0
КС522А	22 (5)	25 (5)	37	1,0
КС527А	27 (5)	40 (5)	30	1,0
КС531В	31 (10)	50 (10)	15	3,0
КС533А	33 (10)	40 (10)	17	3,0
КС547В	47 (5)	280 (5)	10	3,0
КС568В	68 (5)	400 (5)	10	3,0
КС596В	96 (5)	560 (5)	7	3,0
КС620А	120 (15)	150 (50)	42	5,0
КС630А	130 (15)	180 (50)	38	5,0
КС650А	150 (15)	270 (30)	33	2,5
КС680А	180 (15)	330 (30)	28	2,5

Примечание. Разброс напряжения стабилизации не более $\pm 15\%$.

Таблица 12-66

Светодиоды

Тип диода (цвет свечения*)	$I_{пр}$, мА	$U_{пр}$, В, не более	B , кд/м ² , не менее	$P_{изл.}$, мВт, не менее
АЛ102А (К)	5	3,2	5	—
АЛ102Б (К)	20	4,5	40	—
АЛ102В (З)	20	4,5	20	—
АЛ102Г (К)	10	3,0	10	—
АЛ103А (И)	50	1,6	—	1,0
АЛ103Б (И)	50	1,6	—	0,6
АЛ106А (И)	100	1,7	—	0,2
АЛ106Б (И)	100	1,7	—	0,4
АЛ106В (И)	100	1,7	—	0,6
АЛ107А (И)	100	2,0	—	6,0
АЛ107В (И)	100	2,0	—	10,0

* Сокращенные обозначения цвета свечения: З — зеленый; И — инфракрасный; К — красный; диоды из карбида кремния, содержащие в обозначении буквы КЛ, имеют желтое свечение.

Светодиоды

Светодиоды (рис. 12-61) — специальные полупроводниковые диоды, излучающие свет при прохождении через них тока в прямом направлении. Яркость свечения светодиодов изменяется от долей до сотен кандел на квадратный метр при изменении прямого тока от единиц до десятков миллиампер.

Применяют светодиоды в РЭА в качестве индикаторов (например, индикаторов настройки приемников), в визуальных фотометрах и фотоэкспонометрах.

Основными параметрами светодиодов являются: яркость свечения B при данном прямом токе $I_{пр}$ и прямом напряжении $U_{пр}$ (табл. 12-66) или мощность излучения $P_{изл.}$.

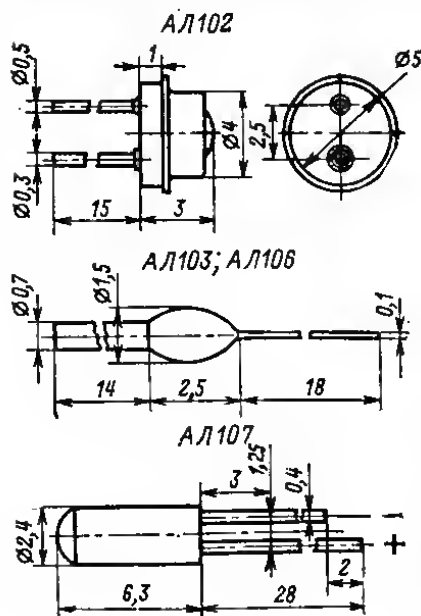


Рис. 12-61.

12-13. ТИРИСТОРЫ

Тиристоры (рис. 12-62) используют для включения и выключения тока через реле, электродвигатели, лампы накаливания, создания мощных импульсов тока за счет разряда конденсаторов, а также управления током через другие силовые нагрузки. Тиристор является ключевым элементом. Через тиристор, находящийся в выключенном состоянии, проходит незначительный ток утечки. Когда тиристор включен и находится в проводящем состоянии, то при протекании значи-

тельного тока (достигающего иногда десятков и сотен ампер) остаточное напряжение на нем мало и не превышает десятых долей — единиц вольт.

Тиристоры подразделяются на диодные (динисторы), триодные (триинисторы), запираемые тиристоры и симметричные тиристоры (снмисторы).

Диодные тиристоры включаются в проводящее состояние при подаче на них напряжения, большего «напряжения включения». Диодный тиристор остается в проводящем состоянии до тех пор, пока ток через него не уменьшится до уровня «тока выключения» или не снят анодное напряжение.

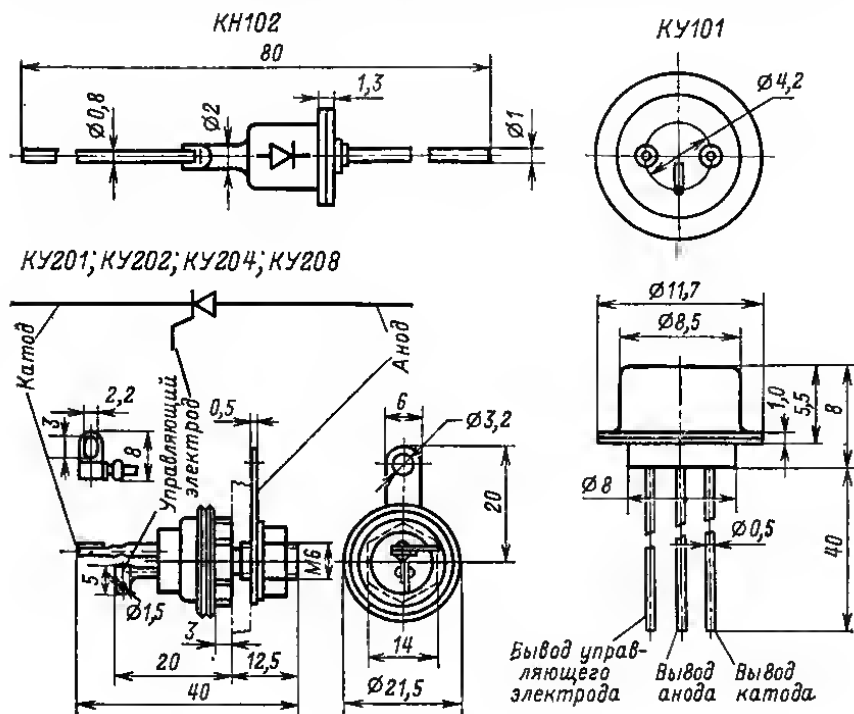


Рис. 12-62.

Триодный тиристор имеет управляющий электрод. При подаче прямого тока (относительно катода на управляющем электроде при этом положительное напряжение) напряжение включения тиристора уменьшается. При управляющем токе, равном «току спрямления», тиристор включается и остается во включенном состоянии и после снятия управляющего тока. Выключить триодный тиристор, как и динистор, можно путем уменьшения анодного тока или снятия анодного напряжения.

Запираемые тиристоры могут выключаться не только путем уменьшения анодного тока, но и при подаче в управляющий электрод запирающего тока.

Симметричные тиристоры могут включаться при подаче управляющего импульса не только при прямом, но и при обратном напряжении на аноде. Поэтому такие тиристоры могут работать в цепях управления переменным током.

Максимальное допустимое постоянное прямое напряжение $U_{пр.зкр.макс}$ — максимальное значение постоянного прямого напряжения при котором тиристор находится в закрытом состоянии.

Ток в закрытом состоянии $I_{зкр}$ — анодный ток при определенном напряжении в закрытом состоянии при определенном режиме в цепи управляющего электрода тиристора.

Обратный ток $I_{обр}$ — анодный ток при определенном обратном напряжении на тиристоре.

Напряжение включения $U_{вкл}$ — прямое напряжение в точке включения тиристора.

Постоянный запирающий ток управляющего электрода $I_{у.от}$ — минимальное значение постоянного тока управляющего электрода, которое обеспечивает переключение тиристора из закрытого состояния в открытое.

Напряжение в открытом состоянии $U_{откр}$ — напряжение на тиристоре при определенном токе в открытом состоянии.

Импульсный запирающий ток управляющего электрода $I_{у.з.п}$ — минимальное значение амплитуды импульса обратного тока управляющего электрода, которое обеспечивает переключение тиристора из открытого состояния в закрытое.

Импульсное запирающее напряжение на управляющем электроде, $U_{у.з.п}$ — значение амплитуды импульса напряжения на управляющем электроде, соответствующее импульсному запирающему току управляющего электрода.

Удерживающий ток $I_{уд}$ — минимальный анодный ток, который необходим для поддержания тиристора в открытом состоянии.

Ток выключения $I_{вык}$ — ток анода, при котором тиристор выключается.

Время включения $t_{вкл}$ и время выключения $t_{выкл}$ — характеризуют быстродействие тиристора

Предельный режим работы тиристора характеризуется следующими параметрами:

Максимально допустимый постоянный (импульсный) ток в открытом состоянии — $I_{откр.макс}$ ($I_{откр.и.макс}$) — предельное допустимое значение тока анода.

Максимально допустимый постоянный запираемый ток $I_{з.макс}$ — наибольшее значение анодного тока, с которого допускается запираение тиристора по управляющему электроду.

Таблица 12-67

Диодные тиристоры

Тип прибора	$I_{откр.ср.макс}$ мА	$I_{зкр}$, не более мкА	$I_{обр}$, мА, не более	$U_{вкл}$, В	$U_{откр.макс}$, В	$I_{откр.и.макс}$ (при $I_{пр} = 200$ мА, $\tau_H = 10$ мс), А
КН102А	200	100	0,5	20	10	2,0
КН102Б	200	100	0,5	28	10	2,0
КН102В	200	100	0,5	40	10	2,0
КН102Г	200	100	0,5	56	10	2,0
КН102Д	200	100	0,5	80	10	2,0
КН102Ж	200	100	0,5	120	10	2,0
КН102И	200	100	0,5	150	10	2,0

Примечания: 1. Напряжение в открытом состоянии 1,5 В

2. Удерживающий ток 0,1 мА при $t_{откр} = 70^\circ \text{C}$.

3. Время выключения 40 мкс при анодном токе 1 А и $\tau_H = 10$ мкс.

Триодные тиристоры

Таблица 12-68

Тип прибора	$I_{откр. ср. макс.}$ А	$U_{пр. зкр. макс.}$ В	$I_{зкр.}$ мА, не более	$I_{у. от.}$ мА, не более	$I_{откр. н. макс.}$ А	$U_{обр. макс.}$ В
КУ101А	0,075	50	0,3	7,5	1,0	10
КУ101Б	0,075	50	0,3	7,5	1,0	50
КУ101Г	0,075	80	0,3	7,5	1,0	80
КУ101Е	0,075	150	0,3	7,5	1,0	150
КУ201А	2,0	25	5,0	100	10	Не оговорено
КУ201Б	2,0	25	5,0	100	10	25
КУ201В	2,0	50	5,0	100	10	Не оговорено
КУ201Г	2,0	50	5,0	100	10	50
КУ201Д	2,0	100	5,0	100	10	Не оговорено
КУ201Е	2,0	100	5,0	100	10	100
КУ201Ж	2,0	200	5,0	100	10	Не оговорено
КУ201И	2,0	200	5,0	100	10	200
КУ201К	2,0	300	5,0	100	10	Не оговорено
КУ201Л	2,0	300	5,0	100	10	300
КУ202А	10	25	10	100	30	Не оговорено
КУ202Б	10	25	10	100	30	25
КУ202В	10	50	10	100	30	Не оговорено
КУ202Г	10	50	10	100	30	50
КУ202Д	10	100	10	100	30	Не оговорено
КУ202Е	10	100	10	100	30	100
КУ202Ж	10	200	10	100	30	Не оговорено
КУ202И	10	200	10	100	30	200
КУ202К	10	300	10	100	30	Не оговорено
КУ202Л	10	300	10	100	30	300
КУ202М	10	400	10	100	30	Не оговорено
КУ202Н	10	400	10	100	30	400

Примечания: 1. Напряжение на управляющем электроде 0,3—2 В при $I_{зкр.} = 10$ мА для КУ103А—КУ103В.

2. Максимальное обратное напряжение на управляющем электроде 2 В для КУ101А—КУ101Е, КУ103А—КУ103В, КУ210А—КУ210В.

3. Время включения не более 2 мкс для КУ101А—КУ101Е, 10 мкс для КУ201А—КУ201Л и КУ202А—КУ202Н.

4. Время выключения не более 35 мкс для КУ101А—КУ101Е, 100 мкс для КУ201А—КУ201Л, 150 мкс для КУ202А—КУ202Н.

Запираемые триодные тиристоры

Таблица 12-69

Тип прибора	$I_{з. зап.}$ А, не более	$U_{пр. зкр. макс.}$ В	$I_{зкр.}$ мА, не более	$I_{у. от.}$ мА, не более	$I_{у. з. н.}$ мА, не более	$U_{у. з. н.}$ В, не более	$U_{у. з. н.}$ В, не более	$I_{откр. макс.}$ А
КУ204А	2,0	50	5,0	150	400	5,0	36	2,0
КУ204Б	2,0	100	5,0	150	400	5,0	36	2,0
КУ204В	2,0	200	5,0	150	400	5,0	36	2,0

Примечания: 1. Напряжение в открытом состоянии не более 3,2 В.

2. Длительность запирающего импульса 120 мкс.

Максимально допускаемое постоянное обратное напряжение $U_{обр. макс}$ — предельно допускаемое обратное напряжение на тиристоре (на аноде отрицательный полюс напряжения). Для тиристоров некоторых типов значение $U_{обр. макс}$ не огорожено и подача обратного напряжения на эти тиристоры не допускается.

Параметры тиристоров даны в табл. 12-67—12-70.

Таблица 12-70

Симметричные триодные тиристоры

Тип прибора	$I_{акр.}$ мА, не более	$I_{выкл.}$ мА, не более	$I_{у.от.}$ мА, не более	$U_{у.от.}$ В, не более	$U_{обр. макс.}$ В
КУ208А	5,0	150	250	7,0	100
КУ208Б	5,0	150	250	7,0	200
КУ208В	5,0	150	250	7,0	300
КУ208Г	5,0	150	250	7,0	400

Примечания: 1. Время включения ≤ 10 мкс; время выключения ≤ 150 мкс.

2. Предельная частота подводимого переменного напряжения 400 Гц.

3. Амплитуда тока в нагрузке 30 А при температуре корпуса от -55 до $+50^\circ\text{C}$ и 15 А при температуре корпуса 70°C .

12-14. ТРАНЗИСТОРЫ*

Классификация транзисторов

По мощности транзисторы классифицируются как маломощные (рассеиваемая мощность $P_{макс} < 0,3$ Вт), средней мощности ($0,3 \text{ Вт} < P_{макс} < 1,5$ Вт) и большой мощности ($P_{макс} > 1,5$ Вт). По частоте — низкочастотные (предельная частота $f < 3$ МГц), среднечастотные ($3 \text{ МГц} < f < 30$ МГц), высокочастотные ($30 \text{ МГц} < f < 300$ МГц) и СВЧ ($f > 300$ МГц).

По принципу действия транзисторы делятся на биполярные (структуры $p-p-p$, $n-p-n$), однопереходные и полсвые (содержащие канал и управляющий переход или изолированный затвор).

Разновидностью биполярных являются лавинные транзисторы, рабочий участок характеристики которых находится в области лавинного пробоя коллекторного перехода. Лавинообразное нарастание коллекторного тока происходит в течение нескольких наносекунд. Лавинные транзисторы предназначены для генерирования мощных импульсов наносекундного диапазона.

Однопереходные транзисторы предназначены для работы в генераторах периодических (с частотой до 100 кГц) или однократных импульсов; в частности, с их помощью можно получать управляющие импульсы для включения тиристоров. Сопротивление между выводами баз однопереходных транзисторов зависит от тока управляющего эмиттерного перехода. На входной вольт-амперной характеристике однопереходных транзисторов имеется участок с отрицательным дифференциаль-

* Обозначения параметров биполярных транзисторов даны в этом параграфе справочника по ГОСТ 20003-74 в полых — по ГОСТ 19095-73; при этом нужно иметь в виду, что строчные буквы в индексах применены в обозначениях параметров транзисторов в режиме малого сигнала, в прописные — в обозначениях параметров, соответствующих режиму большого сигнала в режиме постоянного тока. Наряду со стандартными обозначениями в скобках приведены другие обозначения параметров, встречающиеся в научно-технической литературе. Если нет специального указания, приводимые в таблицах значения электрических параметров соответствуют нормальной температуре окружающей среды; $t_{окр} = 20^\circ\text{C}$.

ным сопротивлением. При некотором напряжении на эмиттере происходят отпирание транзистора и быстрое нарастание тона через базу.

Двухэмиттерные модуляторные транзисторы содержат в одном корпусе две транзисторные структуры, соединенные для преобразования слабых постоянных напряжений от различных датчиков (например, термопары) в переменное напряжение для последующего усиления и регистрации.

На габаритных чертежах транзисторов приняты следующие обозначения выводов электродов: *б* — база, *к* — коллектор, *э* — эмиттер; *з* — затвор, *и* — исток, *с* — сток. Буквой *т* обозначены маркировочные точки на корпусах транзисторов, обозначающие эмиттер, и буквой *ф* — фланцы для крепления транзисторов к тепловодам.

Предельно допускаемые эксплуатационные значения параметров транзисторов

Предельные электрические и тепловые режимы работы транзисторов характеризуются максимально допускаемыми напряжениями между элементами, тонами через них, а также рассеиваемой в приборе мощностью при данной температуре корпуса или окружающей среды. Превышение указанных максимально допускаемых значений нагрузок приводит к резкому сокращению долговечности транзисторов, необратимому ухудшению параметров, а иногда и к немедленному отказу прибора. Следует также помнить, что аппарата недостаточно надежна, если транзисторы работают при максимально допускаемых напряжениях, тонах, мощности, особенно, когда эти максимальные нагрузки действуют одновременно. Для того чтобы устройство на транзисторах действовало безотказно длительное время, при конструировании схем нужно выбирать типы транзисторов и их рабочие режимы так, чтобы напряжения, токи и мощность не превышали 0,7—0,8 их максимально допустимых значений. Совмещение максимальных нагрузок (например, тона и напряжения на коллекторе, тока и мощности) недопустимо ни в каких случаях.

Максимально допускаемая рассеиваемая мощность коллектора $P_{к. макс}$ — наибольшая мощность, рассеиваемая в транзисторе при температуре окружающей среды $t_{окр}$ или корпуса $t_{кор}$. При работе транзистора в усилителе в режиме А или в стабилизаторе напряжения значение $P_{к. макс}$ определяется как произведение постоянного напряжения между коллектором и эмиттером на постоянный ток коллектора (в режиме А — ток покоя). Если транзистор работает в режиме переключения, то, кроме мощности, рассеиваемой в коллекторном переходе, добавляется мощность, рассеиваемая в базе, равная произведению напряжения между базой и эмиттером на ток базы. Для транзисторов отдельных типов установлена максимальная мощность, рассеиваемая при заданной длительности импульса. При повышении температуры среды или корпуса эта мощность должна снижаться. Значение $P_{макс}$, допускаемое при заданной температуре корпуса $t_{кор}$ или окружающей среды $t_{окр}$, определяют по формулам

$$P_{макс}(t_{кор}) = (t_{пер. макс} - t_{кор}) / R_{пер-кор}$$

$$P_{макс}(t_{окр}) = (t_{пер. макс} - t_{окр}) / R_{пер-окр}$$

где $t_{пер. макс}$ — максимально допускаемая температура р-п перехода; $R_{пер-кор}$ — тепловое сопротивление переход — корпус; $R_{пер-окр}$ — тепловое сопротивление переход — окружающая среда.

В табл. 12-71 и 12-72 приведены значения тепловых сопротивлений и рассеиваемых мощностей для транзисторов ($P_{макс}$ — рассеиваемая мощность при монтаже на тепловоде).

Таблица 12-71

Тепловые параметры транзисторов малой мощности

Тип транзистора	$P_{\text{макс}}$, мВт (при $t_{\text{окр}}$, °C)	$R_{\text{пер-окр}}$, °C/мВт, не более	$t_{\text{пер, макс}}$, °C	Рабочий диапазон температуры $t_{\text{окр}}$, °C
МП20, МП21	150 (20)	0,33	85	-55—+60
МП25, МП26	200 (20)	0,20	75	-55—+60
МП37, МП38	150 (55)	0,20	85	-50—+60
МП39-МП41	150 (55)	0,20	85	-60—+70
МП42	200 (45)	0,20	85	-60—+70
МП111-МП113	150 (70)	0,33	120	-55—+100
МП114-МП116	150 (70)	0,33	120	-55—+100
П401-П403	100 (20)	0,6	85	-50—+60
П416	100 (20)	0,4	85	-55—+60
П422, П423	100 (20)	0,6	70	-25—+55
ГТ108А-ГТ108Г	75 (20)	0,8	80	-40—+55
ГТ109А-ГТ109И	30 (20)	1,8	80	-30—+55
ГТ115А-ГТ115Д	50 (45)	0,8	80	-20—+45
ГТ305А-ГТ305В	75 (20)	0,8	85	-60—+60
ГТ308А-ГТ308В	150 (20); 360 (20)*	0,25	85	-60—+70
ГТ309А-ГТ309Е	50 (20)	0,5	70	-40—+55
ГТ310А-ГТ310Е	20 (20)	2,0	75	-40—+55
ГТ311Е, Ж, И	150 (20)	0,35	70	-40—+60
ГТ313А-ГТ313В	100 (20)	0,40	85	-40—+55
ГТ320А-ГТ320В	200 (20); 1000 (20)*	0,225	90	-55—+70
ГТ321А-ГТ321Е	160 (20); 20 000 (20)*	0,25	80	-60—+60
ГТ322А-ГТ322В	50 (20)	0,70	60	-40—+55
ГТ328А-ГТ328В	50 (20)	—	80	-40—+55
ГТ329А-ГТ329Г	20 (20)	—	80	-40—+60
ГТ330Д, Ж, И	50 (20)	1,0	80	-40—+55
ГТ338А-ГТ338В	100 (20)	—	80	-40—+55
ГТ341А-ГТ341В	35 (20)	0,8	80	-40—+60
ГТ346А, Б	40 (20)	—	85	-40—+55
ГТ362А, Б	40 (20)	2,0	80	-40—+55
КТ104А-КТ104Г	150 (20)	0,6	150	-60—+100
КТ117А-КТ117Г	300 (35)	0,33	120	-60—+125
КТ118А-КТ118В	100 (110)	0,4	150	-60—+125
КТ201А-КТ201В	150 (20)	0,6	150	-55—+100
КТ202А-КТ202В	15 (20)	—	150	-60—+85
КТ203А-КТ203Д КТ301	150 (20); 60 (125)*	0,6	150	-60—+125
КТ301А-КТ301Ж	150 (20)	0,6	120	-55—+85
КТ306А-КТ306Д	150 (20)	0,6	125	-60—+125
КТ315А-КТ315Е	150 (20)	0,67	120	-60—+100
КТ316А-КТ316Д	150 (20)	0,6	125	-60—+125
КТ325А-КТ325В	225 (20)	0,6	125	-60—+125
КТ326А-КТ326Б	200 (20)	0,6	150	-60—+125
КТ337А-КТ337В	150 (60)	0,6	150	-40—+85
КТ339А-КТ339Д	250 (55)	—	120	-40—+85
КТ340А-КТ340Г	150 (20)	—	120	-10—+85

Продолжение табл. 12-71

Тип транзистора	$P_{\text{макс}}$, мВт (при $t_{\text{окр}}$, °C)	$R_{\text{пер-окр}}$, °C/мВт, не более	$t_{\text{пер, макс}}$, °C	Рабочий диапазон температуры $t_{\text{окр}}$, °C
КТ342А-КТ342Г	250 (25)	0,5	150	-60 — +125
КТ343А-КТ343Г	150 (20)	0,5	150	-10 — +85
КТ345А-КТ345В	100 (20); 300 (20)*	1,1	150	-40 — +85
КТ347А-КТ347В	150 (55)	—	150	-40 — +85
КТ349А-КТ349В	200 (20)	0,6	150	-40 — +85
КТ350А	200 (30)	0,6	150	-40 — +85
КТ351А, Б	200 (30)	0,6	150	-40 — +85
КТ352А, Б	200 (20)	0,6	150	-40 — +85
КТ355А	225 (20)	0,7	150	-55 — +125
КТ357А-КТ357Г	100 (20)	0,7	120	-40 — +85
КТ358А-КТ358В	100 (20); 200 (20)*	0,7	120	-40 — +85
КТ361А-КТ361Е	150 (20)	0,67	120	-60 — +100
КТ363А, Б	150 (45)	0,7	150	-40 — +85
КТ373А-КТ373Г	150 (55)	0,6	150	-40 — +85
КП301Б	200 (25)	—	—	-55 — +70
КП302А-КП302В	300 (20)	—	—	-55 — +100
КП303А-КП303И	200 (20)	—	—	-60 — +125
КП304А	200 (55)	—	—	-60 — +125
КП305Д-КП305И	150 (20)	—	—	-60 — +125
КП306А-КП306В	150 (35)	—	—	-60 — +125
КП350А-КП350В	200 (25)	—	—	-55 — +70

* Второе значение мощности — импульсное.

Таблица 12-72

Тепловые параметры биполярных транзисторов средней и большой мощности

Тип транзистора	$P_{\text{макс}}$, Вт (при $t_{\text{окр}}$, °C)	$P_{\text{T макс}}$, Вт (при $t_{\text{кор}}$, °C)	$R_{\text{пер-кор}}$, °C/Вт ($R_{\text{пер-окр}}$)	$t_{\text{пер, макс}}$, °C	Рабочий диапазон температуры $t_{\text{окр}}$, °C
П201-П203	1,0 (20)	10 (40)	3,5	85	-55 — +60
П210Б, В	—	45 (25)	1,0	85	-55 — +60
П213-П215	—	10 (45)	4,0	85	-60 — +70
П216, П217	—	30 (25)	2,0	85	-60 — +70
П302-П306	1,0 (20)	7,0 (50)	10 (100)	120	-60 — +120
П701, П701А, Б	—	10 (50)	10 (85)	150	-55 — +100
ГТ402А-ГТ402Г	0,6 (25)	—	50 (100)	85	-40 — +55
ГТ403А-ГТ403Ю	0,6 (25)	—	15 (100)	85	-55 — +70
ГТ404А-ГТ404Г	0,6 (25)	2,0 (55)	100 (150)	85	-40 — +55
ГТ405А-ГТ405Г	0,6 (25)	—	(100)	85	-40 — +55
ГТ701А	—	25 (55); 8,3 (75)	1,2	85	-55 — +70
ГТ703А-ГТ703Д	1,6 (25)	15 (40)	3,0 (30)	85	-40 — +55
ГТ806А-ГТ806Д	2 (25)	30 (25)	2,0	85	-55 — +55

Продолжение табл. 12-72

Тип транзистора	$P_{\text{макс}}^{\text{к}} \text{ Вт}$ (при $t_{\text{окр}}^{\text{к}}$, °C)	$P_{\text{макс}}^{\text{т}} \text{ Вт}$ (при $t_{\text{кор}}^{\text{т}}$, °C)	$R_{\text{пер-кор}}^{\text{к}} \text{ °C/Вт}$ ($R_{\text{пер-окр}}^{\text{к}}$)	$t_{\text{пер-макс}}^{\text{к}} \text{ °C}$	Рабочий диапазон температуры $t_{\text{окр}}^{\text{к}}$, °C
ГТ810А	0,75 (27)	15 (27)	2,5 (50)	85	—55 — +55
ГТ905А, ГТ905Б	1,2 (25)	6,0 (30)	9,0 (50)	85	—55 — +60
КТ601А	0,25 (55)	—	—	125	—40 — +55
КТ602А-КТ602Г	0,85 (25)	2,8 (25)	45 (150)	125	—40 — +85
КТ603А-КТ603Е	0,5 (50)	—	(200)	125	—40 — +85
КТ604А, Б	0,8 (25)	3,0 (25)	40 (150)	125	—25 — +100
КТ606А, Б	2,5 (40)	—	44	125	—40 — +85
КТ608А, Б	0,5 (20)	—	(200)	125	—40 — +85
КТ610А, Б	—	1,5 (50); 1,0 (85)	—	150	—40 — +85
КТ611А-КТ611Г	0,8 (25)	3,0 (25)	40 (150)	150	—25 — +100
КТ616А, Б	0,3 (25); 0,25 (85)	—	(260)	150	—40 — +85
КТ617А	0,5 (25); 0,3 (85)	—	(215)	150	—40 — +85
КТ618А	0,5 (25); 0,3 (85)	—	(200)	150	—40 — +85
КТ704А-КТ704В	—	15 (50)	5,0	125	—40 — +100
КТ801А, КТ801Б	—	5 (55)	20	150	—40 — +85
КТ802А	—	50 (50)	2,5	150	—25 — +100
КТ803А	—	60 (50)	1,66	150	—60 — +100
КТ805А, Б	—	30 (50)	3,3	150	—60 — +100
КТ807А, Б	—	10 (70)	8,0	120	—40 — +85
КТ808А	5 (50)	50 (50)	2,0	150	—60 — +100
КТ809А	—	40 (50)	2,5	150	—60 — +125
КТ902А	—	30 (50)	3,3	150	—60 — +125
КТ903А, Б	—	30 (20); 9 (85); 60 (20); 18 (85)	3,33	115	—40 — +85
КТ904А, Б	—	5 (40)	16	120	—40 — +85
КТ907А, Б	—	13,5 (25)	7,5	120	—40 — +55
КТ908А, Б	—	50 (50)	2,0	150	—60 — +125
КТ909А-КТ909Г	—	54 (25)	3,3	120	—40 — +85
КТ911А-КТ911Г	—	3 (25)	33	120	—40 — +85

Максимально допускаемые напряжения: $U_{\text{КБ макс}}, U_{\text{КЭ макс}}, U_{\text{БЭ макс}}, U_{\text{СИ макс}}, U_{\text{ЗШ макс}}$. В этих обозначениях параметров первая и вторая подстрочные буквы указывают, между какими выводами электродов транзисторов напряжения с данными значениями допустимо прикладывать: Б — база, К — коллектор, Э — эмиттер; И — исток, С — сток, З — затвор полевого транзистора. Например, $U_{\text{СИ макс}}$ — максимально допустимое напряжение между стоком и истоком полевого транзистора, $U_{\text{Б1Б2}}$ — максимальное напряжение между базами однопереходного транзистора.

Для большинства биполярных транзисторов указывается максимальное сопротивление между базой и эмиттером $R_{\text{БЭ}}$, при котором допустимо данное значение

$U_{КЭ\text{ макс}}$ в отсутствие запирающего смещения на базе. Обычно для маломощных транзисторов максимальное значение $R_{БЭ} \leq 10 \text{ кОм}$, а для мощных 100 Ом. Применение запирающего смещения позволяет увеличивать напряжение $U_{КЭ}$ (но не выше значения $U_{КБ\text{ макс}}$), а увеличение сопротивления $R_{БЭ}$ вызывает необходимость снижать напряжение $U_{КЭ}$.

Максимально допускаемые значений токов: $I_{К\text{ макс}}$, $I_{Э\text{ макс}}$, $I_{Б\text{ макс}}$, $I_{С\text{ макс}}$ (подстрочные буквы указывают электрод транзистора). Ток базы регламентируется только для транзисторов большой и средней мощности. При работе в импульсном режиме и в режиме переключения при насыщении указанные в таблицах максимально допускаемые импульсные токи электродов могут быть значительно больше средних значений в статическом режиме.

Параметры постоянного тока

Параметры постоянного тока характеризуют значения неуправляемых токов через $p-n$ переходы транзисторов.

Обратный ток коллектора $I_{КБ0}$ ($I_{К0}$) — ток через переход коллектор — база при разомкнутой цепи эмиттера и заданном, обычно максимально допускаемом напряжении на коллекторе $U_{КБ}$.

Обратный ток коллектор — эмиттер $I_{КЭ0}$ — ток в цепи коллектора при базе, соединенной непосредственно с эмиттером, и заданном напряжении на коллекторе $U_{КЭ}$ (прежние наименования и обозначения: начальный ток коллектора $I_{К,н}$).

Обратный ток коллектор — эмиттер $I_{КЭR}$ — то же при включении между базой и эмиттером резистора с заданным сопротивлением.

Обратный ток эмиттера $I_{ЭБ0}$ ($I_{Э0}$) — ток через переход эмиттер — база при разомкнутой цепи коллектора при заданном напряжении на эмиттере.

Ток утечки затвора полевого транзистора $I_{Зут}$ — ток в цепи затвора транзистора при заданном напряжении. Для полевых транзисторов с $p-n$ переходом $I_{Зут}$ составляет обычно несколько наноампер, а для транзисторов с изолированным затвором — несколько пикоампер.

Неуправляемые токи $I_{КБ0}$, $I_{ЭБ0}$, $I_{КЭ0}$, $I_{КЭR}$, $I_{Зут}$ растут с увеличением температуры. В таблицах указаны максимально допускаемые значения этих токов, при которых транзисторы считают исправными. Чем меньше неуправляемые токи транзистора, тем лучше его качество.

Начальный ток стока $I_{Снач}$ — ток в цепи стока полевого транзистора при напряжении на затворе, равном нулю, и при заданном напряжении на стоке.

Ток утечки $I_{Э1Э2}$ — ток в цепи запертого двухэмиттерного транзистора, когда между базовыми и коллекторными электродами приложено запирающее напряжение.

Ток включения $I_{вкл}$ — ток в межбазовой цепи, при котором происходит включение однопереходного транзистора.

Ток выключения $I_{выкл}$ — ток в межбазовой цепи, при котором исчезает дифференциальное отрицательное сопротивление однопереходного транзистора.

Напряжение отсечки $U_{зиотс}$ — напряжение на затворе полевого транзистора, при котором ток в цепи стока достигает заданного низкого значения (транзистор запирается). В полевых транзисторах с так называемым индуцированным каналом (например, КП301Б) ток в цепи стока появляется лишь при образовании канала при некотором пороговом напряжении на затворе $U_{пор}$.

Напряжение в лавинном режиме $U_{лав}$ — напряжение на лавинном транзисторе в проводящем состоянии, когда через него проходит большой ток.

Пробивное напряжение $U_{КЭ\text{ проб}}$ — напряжение на лавинном транзисторе, при котором возникает лавинный пробой.

Межбазовое напряжение $U_{Б1Б2}$ — напряжение между базовыми выводами однопереходного транзистора.

Межбазовое сопротивление $R_{Б1Б2}$ — сопротивление между базовыми выводами однопереходного транзистора при токе эмиттера, равном нулю.

Остаточное сопротивление $r_{ост}$ — сопротивление между эмиттерными выводами двухэмиттерного модуляторного транзистора в проводящем состоянии.

Параметры в режиме большого сигнала

Параметры в режиме большого сигнала характеризуют работу транзисторов в мощных каскадах усиления и в переключателях.

Статический коэффициент передачи тока базы $h_{21Э}(B_{ст})$ — отношение постоянного тока коллектора к току базы. В таблицах указан для заданного постоянного напряжения $U_{КЭ}$ и тока I_K .

Напряжение насыщения база — эмиттер $U_{БЭ\text{ нас}}$. Насыщение — состояние транзистора, при котором оба его $p-n$ перехода находятся в прямом включении, — измеряется при заданных значениях тока коллектора и базы.

Напряжение насыщения коллектор — эмиттер $U_{КЭ\text{ нас}}$ измеряется в тех же режимах, что и $U_{КБ\text{ нас}}$.

Время рассасывания $t_{рас}$ — интервал времени между моментом подачи на базу насыщенного транзистора запирающего импульса (ток $I_{Б2}$ на рис. 12-63) и моментом, когда напряжение на коллекторе достигает уровня $(0,1-0,3) U_K$. Время рассасывания зависит от глубины насыщения транзистора и измеряется при определенной величине коллекторного и базового тока. Глубина насыщения определяется коэффициентом насыщения

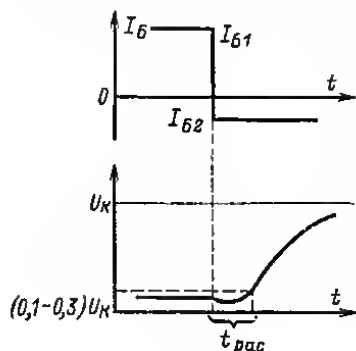


Рис. 12-63.

$$K_{нас} = I_B h_{21Э} / I_K,$$

который показывает, во сколько раз ток базы транзистора, находящегося в режиме насыщения, больше тока базы, требуемого для перевода транзистора на границу насыщения. Граница насыщения характеризуется тем, что напряжение на коллекторном переходе равно нулю. Чем больше глубина насыщения транзистора, тем больше время рассасывания.

Параметры в режиме малого сигнала

Параметры транзисторов, работающих в режиме малого сигнала, используют при расчетах усилительных каскадов, амплитуды сигналов в выходных цепях которых существенно меньше напряжения источников питания, а также при расчете стабилизаторов напряжения и транзисторных фильтров.

Коэффициент передачи тока h_{21} — отношение изменения тока коллектора (выходного тока) к вызвавшему его изменению входного тока в режиме короткого замыкания по переменному току на выходе. В зависимости от схемы включения к цифровым индексам добавляется буквенный: $h_{21Б}$ — коэффициент передачи тока в схеме с ОБ; $h_{21Э}$ — коэффициент передачи тока в схеме ОЭ. (В литературе применяют также устаревшие символы для обозначения коэффициентов передачи тока:

для схемы с ОБ — α , α_0 и для схемы с ОЭ — β , β_0). Соотношения между коэффициентами передачи тока:

$$h_{21\beta} = \frac{-h_{21\alpha}}{1 + h_{21\alpha}};$$

$$h_{21\alpha} = \frac{-h_{21\beta}}{h_{21\beta} + 1}.$$

Измерение коэффициентов передачи тока производят, как правило, на частотах 50—1000 Гц; на ВЧ эти параметры становятся комплексными величинами. Усилительные свойства транзисторов на высокой частоте характеризуются модулем коэффициента передачи тока $|h_{21\alpha}|$. В таблицах указаны значения $h_{21\alpha}$ и $|h_{21\alpha}|$, соответствующие установленным значениям $U_{КЭ}$ и I_K (или $I_Э$).

Входное сопротивление h_{11} — отношение изменения входного напряжения к вызвавшему его изменению входного тока при коротком замыкании по переменному току на выходе. В зависимости от схемы включения транзистора входное сопротивление обозначается $h_{11\beta}$, $h_{11\alpha}$, при этом

$$h_{11\beta} \approx h_{11\alpha} h_{21\beta}.$$

При увеличении тока коллектора значения $h_{11\beta}$ и $h_{11\alpha}$ уменьшаются. Для сплавных германиевых транзисторов малой мощности типичные значения $h_{11\beta} = 22 \div 30$ Ом, для сплавных кремниевых — 35—300 Ом, для диффузионных планарных — 20—50 Ом.

Выходная проводимость h_{22} — отношение изменения выходного тока к вызвавшему его изменению выходного напряжения в режиме холостого хода на входе. При включении транзистора по схеме с ОБ выходная проводимость обозначается $h_{22\beta}$. Выходная проводимость $h_{22\alpha}$ — параметр, аналогичный $h_{22\beta}$, но при включении транзистора по схеме с ОЭ

$$h_{22\beta} \approx h_{22\alpha} h_{21\beta}.$$

Крутизна полевого транзистора S — отношение переменной составляющей тока в цепи стока к переменной составляющей вызвавшего его напряжения между затвором и истоком.

Крутизна обычного (биполярного) транзистора примерно равна: $S = 1000/h_{11\beta}$ мА/В.

Емкость коллекторного перехода C_K — емкость между выводами коллектора и базы при отключенном эмиттере и обратном смещении (несколько вольт) на коллекторе. При увеличении обратного напряжения емкость уменьшается.

Емкость эмиттерного перехода $C_Э$ — емкость между выводами эмиттера и базы при отключенном коллекторе и обратном (или нулевом) смещении на эмиттере. При повышении напряжения значение $C_Э$ также уменьшается.

Постоянная времени цепи обратной связи биполярного транзистора на высокой частоте $\tau_K (r'_B C_K)$ — произведение омического сопротивления базы на емкость коллекторного перехода; выражается в пикосекундах (т. е. Ом · пФ).

Входная емкость полевого транзистора $C_{11\alpha}$ — емкость между выводом затвора и соединенными вместе выводами истока и стока.

Проводная емкость полевого транзистора $C_{12\alpha}$ — емкость между стоком и затвором. Эта емкость вызывает появление обратной связи между выходом и входом усилителя на полевом транзисторе (аналогично действию емкости между сеткой и анодом вакуумного триода в схеме с общим катодом).

Коэффициент шума $K_{ш}$ — отношение полной мощности шумов в выходной цепи транзистора к той ее части, которая вызвана тепловыми шумами сопротивления источника сигнала. Коэффициент шума выражается в децибелах. Его величина дается для определенного диапазона частот и зависит от частоты и тока выход-

ного электрода. Для большинства биполярных транзисторов минимальное значение $K_{ш}$ имеет место на частотах 1—10 кГц. На более высоких и низких частотах $K_{ш}$ биполярных транзисторов увеличивается. Шумы полевых транзисторов на низких частотах обычно значительно меньше, чем у биполярных.

Частотные параметры

Предельная частота коэффициента передачи тока биполярного транзистора — частота, на которой модуль коэффициента передачи тока уменьшается на 3 дБ, т. е. до 0,7 величины, измеренной на НЧ. Для случая включения транзистора по схеме ОБ эта частота обозначается $f_{h21\beta}$ (f_a). При включении транзистора по схеме ОЭ предельная частота обозначается $f_{h21\alpha}$ (f_β). Она примерно в $h_{21\alpha}$ раз ниже частоты $f_{h21\beta}$.

Граничная частота коэффициента передачи тока базы $f_{гр}$ (f_T) — частота, на которой модуль коэффициента передачи тока транзистора, включенного по схеме ОЭ, равен единице. Для любой частоты диапазона $0,1/f_{гр} < f < f_{гр}$ модуль коэффициента усиления по току изменяется по закону «6 дБ на октаву», т. е. вдвое при изменении частоты в 2 раза. Модуль коэффициента передачи тока: $|h_{21\alpha}| = f_{гр}/f$.

Для транзистора имеют место следующие соотношения:

$$\begin{aligned} f_{h21\alpha} &\approx f_{h21\beta}/h_{21\alpha}; & f_{h21\beta} &\approx f_{h21\alpha}h_{21\alpha}; \\ f_{h21\beta} &\approx 1,2/f_{гр}; \\ f_{гр} &\approx 0,8/f_{h21\beta}. \end{aligned}$$

Максимальная частота генерации $f_{макс}$ — наибольшая частота, на которой транзистор способен генерировать колебания в схеме автогенератора при оптимальной обратной связи:

$$\begin{aligned} f_{макс} &\approx 200 \sqrt{f_{гр}/\tau_k}; \\ f_{макс} &\approx 180 \sqrt{f_{h21\beta}/\tau_k}. \end{aligned}$$

Во всех этих формулах частоты выражены в мегагерцах, а τ_k — в пикосекундах [10^{-12} с].

Граничная частота полевого транзистора f_T — частота, при которой коэффициент усиления по мощности усилительного каскада превышает единицу; определяется крутизной и входной емкостью транзистора и примерно равна:

$$f_T \approx S/2\pi C_{ин}.$$

Быстродействие лавинных транзисторов характеризуется временем нарастания $\tau_{нар}$ импульсов.

Параметры транзисторов (рис. 12-64—12-72) даны в табл. 12-73—12-85.

В табл. 12-85 даны параметры полевых транзисторов с двумя отдельными изолированными затворами. Ток стока в таких транзисторах практически одинаково зависит от напряжений на обоих затворах. Эти транзисторы могут использоваться, например, в качестве смесителей двух сигналов разных частот, в схемах совпадения и других устройствах.

Транзисторы ГТ328 предназначены для использования в усилительных каскадах с АРУ приемников и телевизоров. Особенностью этих транзисторов является то, что их предельная частота снижается с увеличением коллекторного тока (200 МГц при 2 мА и 90 МГц при 10 мА). Поэтому модуль передачи тока базы на высокой частоте транзистора также снижается при росте $I_{К1}$, чем достигается регулирование усиления каскада.

МП20А-МП21Е
МП25-МП26Б
МП35-МП42Б
МП111-МП116

ГТ109

ГТ115
ГТ108

КТ104А.

КТ201, КТ203
КТ316, КТ326,
КТ337, КТ340,
КТ343, КТ347,
КТ349, КТ350,
КТ351, КТ352,
КТ363

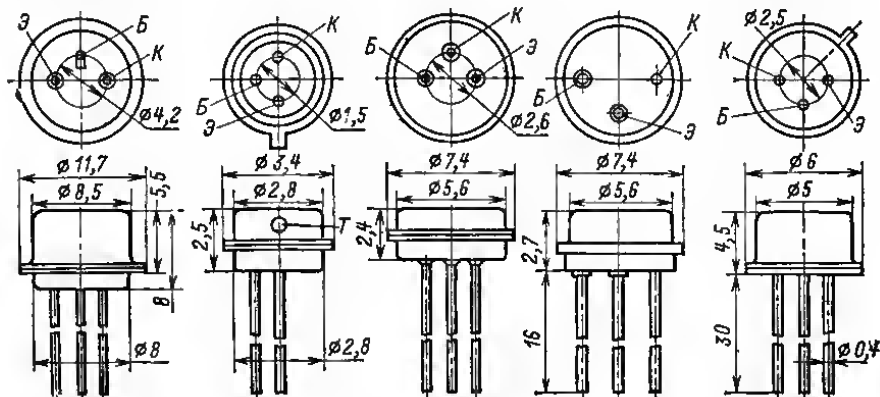


Рис. 12-64.

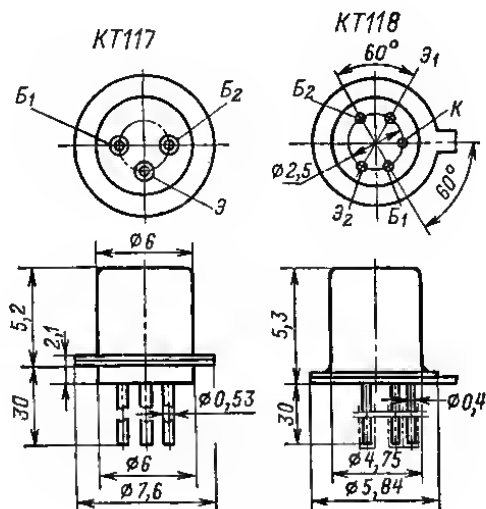


Рис. 12-65.

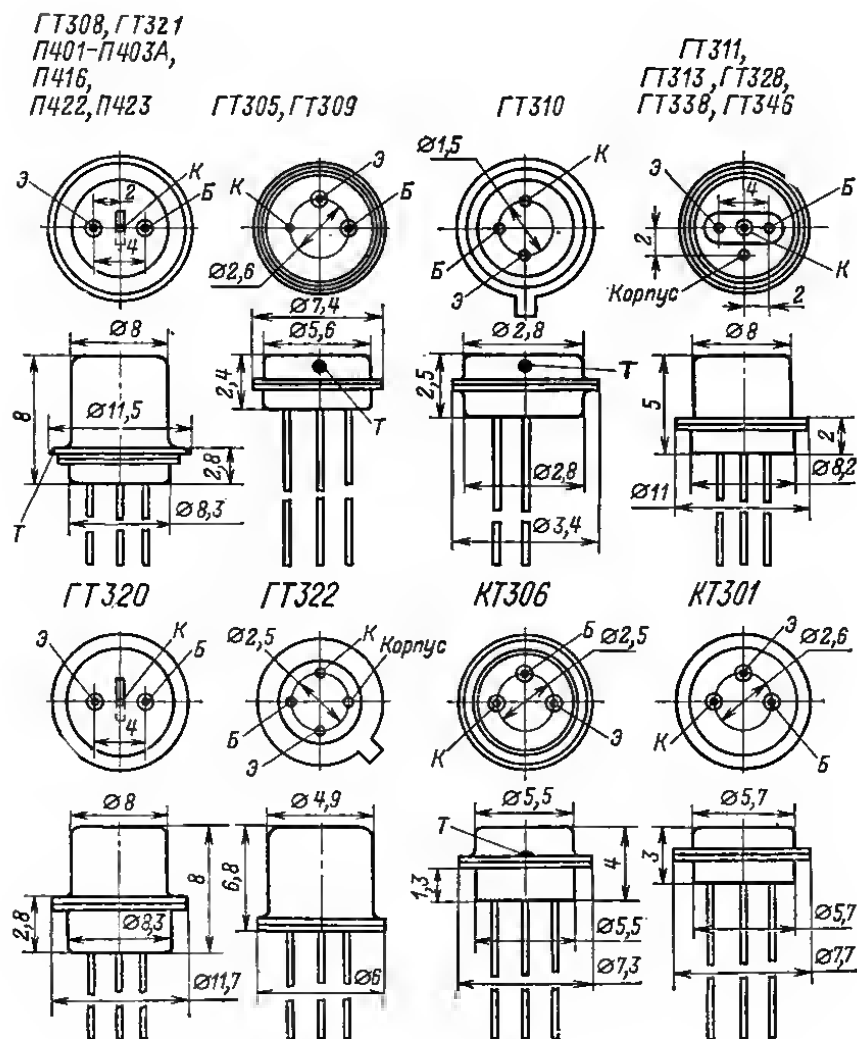


Рис. 12-66.

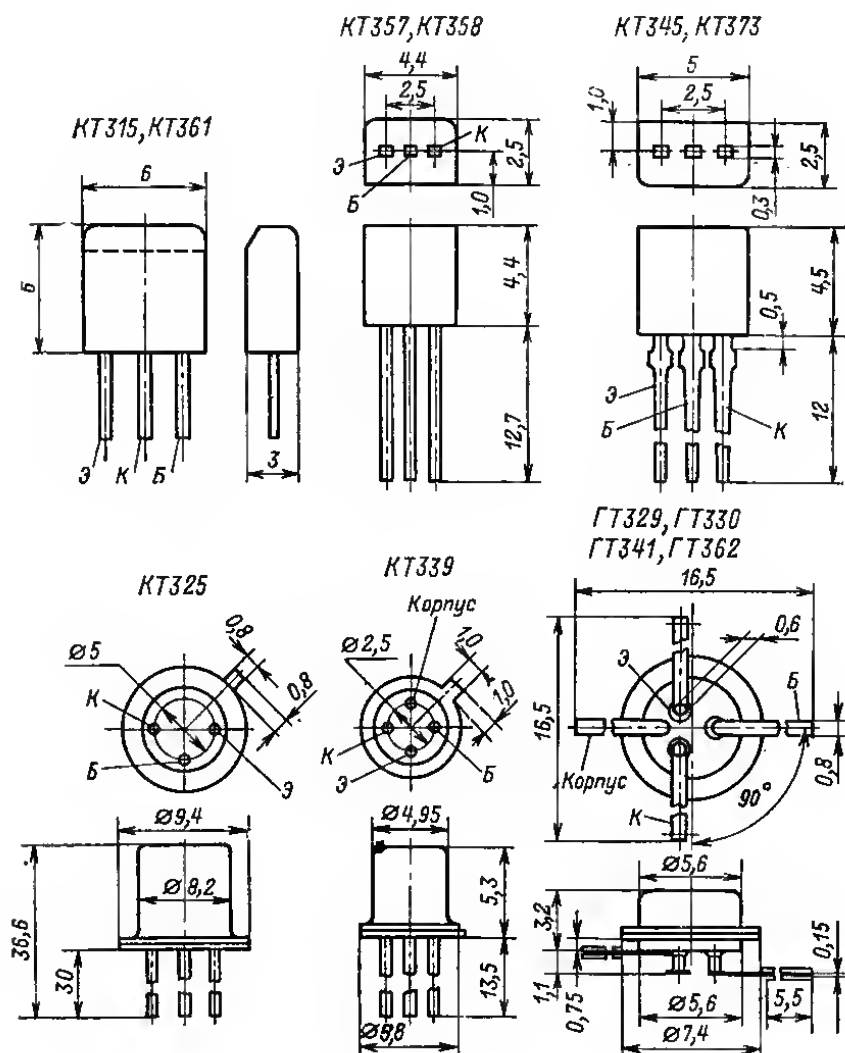
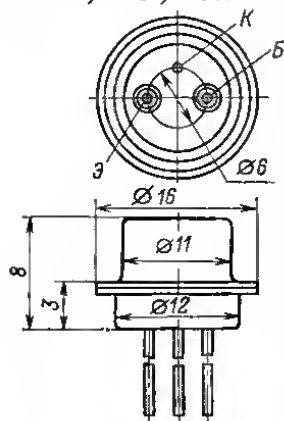
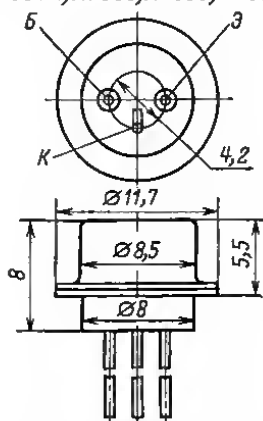


Рис. 12-67.

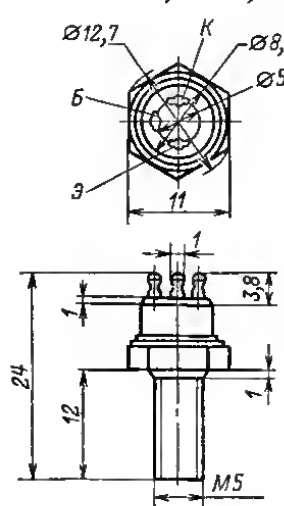
KT602, KT604, KT611



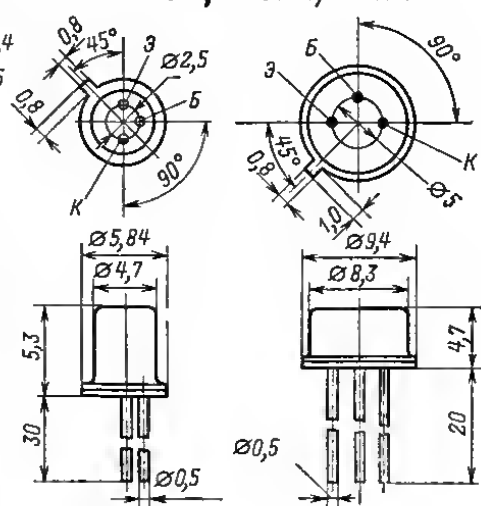
KT601A, KT603, KT605, KT608



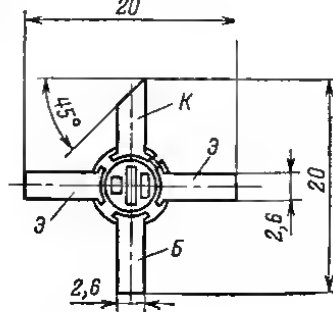
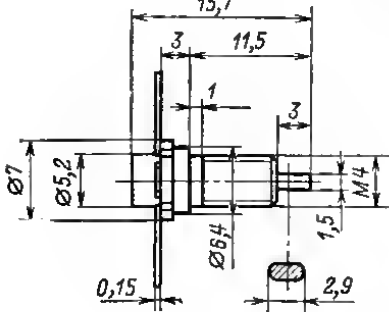
KT606, KT904, KT907



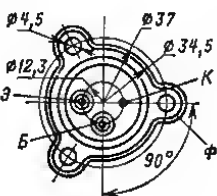
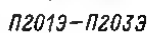
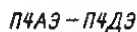
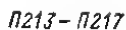
KT616, KT618A, KT617A



KT610



П302-П306А



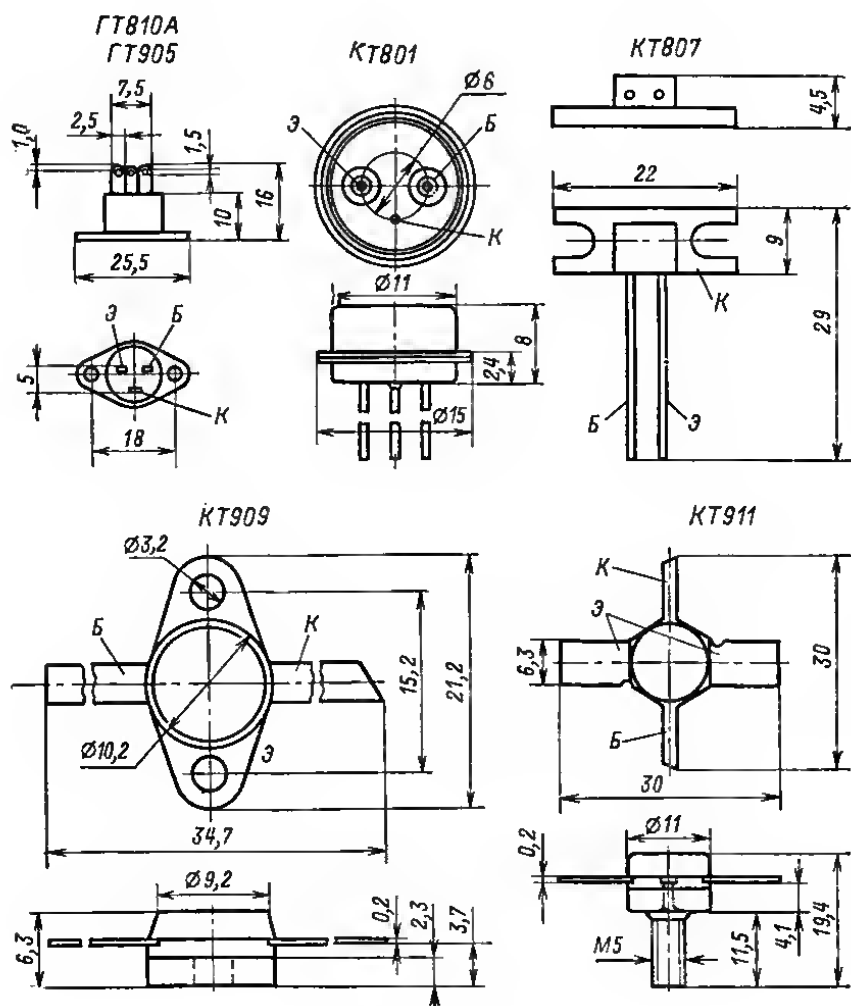


Рис. 12-70.

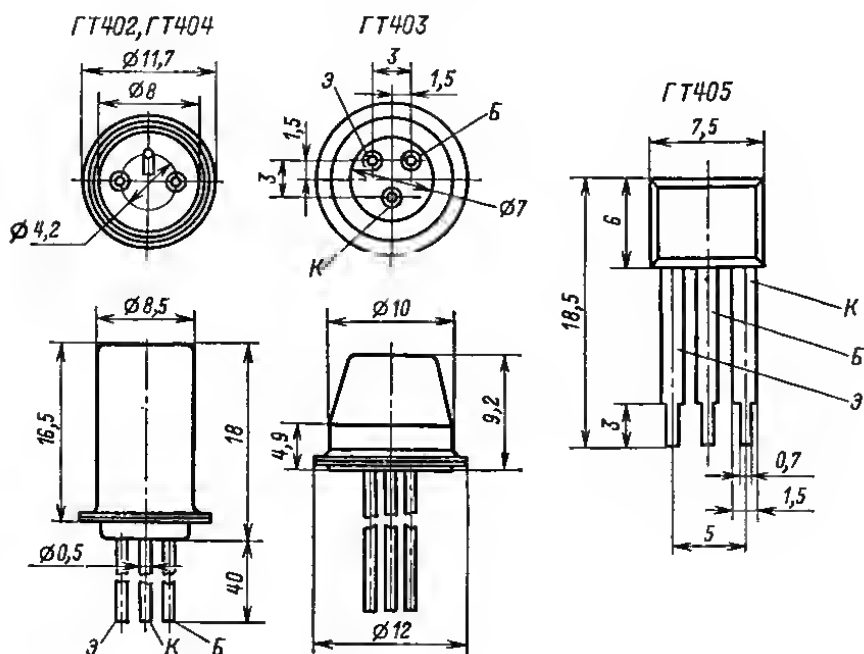


Рис. 12-71.

КП301, КП303, КП304,
КП305, КП306, КП350

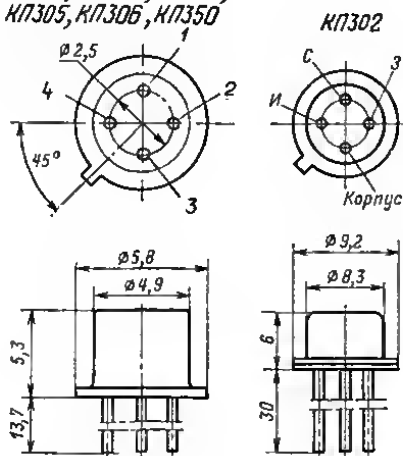


Рис. 12-72.

Тип транзистора	Назначение вывода			
	1	2	3	4
КП301	3	С	К	И
КП303	С	3	К	И
КП304	И	С	К	3
КП305	32	31	И—П—К	С
КП306	3	И	К	С
КП350	32	31	И—П—К	С

Таблица 12-73

Низкочастотные транзисторы малой мощности

Тип транзистора	Предельные режимы при $t_{\text{окр}} = 20^\circ \text{C}$		Электрические параметры			
	$U_{\text{КБ макс}}^*$ $U_{\text{КБ и макс}}^*$ В	$I_{\text{К макс}}^*$ мА	$h_{21\beta}^*$ (при $U_{\text{КЭ}}, U_{\text{КБ}}, \text{В};$ $I_{\text{Э}}, \text{мА})$	I_{h216}^* мГц, не менее	$I_{\text{КБО}}$ мкА, не более	$C_{\text{К}}$ пФ, не более
<i>p-n-p</i>						
МП20А	30	300	50—150 (5; 25)	2,0	50	—
МП20Б	30	300	80—200 (5; 25)	1,5	50	—
МП21В	60	300	20—100 (5; 25)	1,5	50	—
МП21Г	40	300	20—80 (5; 25)	1,0	50	—
МП21Д	50	300	60—200 (5; 25)	1,0	50	—
МП21Е	70	300	30—150 (5; 25)	0,7	50	—
МП25	40	300	13—25 (20; 2,5)	0,2	75	—
МП25А	40	400	20—50 (20; 2,5)	0,2	75	—
МП25Б	40	400	30—80 (20; 2,5)	0,5	75	—
МП26	70	300	13—25 (30; 1,5)	0,2	75	—
МП26А	70	400	20—50 (30; 1,5)	0,2	75	—
МП26Б	70	400	30—80 (30; 1,5)	0,5	75	—
МП39	15	150	> 12 (5; 1)	0,5	15	60
МП39Б	15	150	20—60 (5; 1)	0,5	15	60
МП40	15	150	20—40 (5; 1)	1,0	15	60
МП40А	40	150	20—40 (5; 1)	1,0	15	60
МП41	15	150	30—60 (5; 1)	1,0	15	60
МП41А	15	150	50—100 (5; 1)	1,0	15	60
МП42	15	150	20—35 (1; 10)	1,0	25	—
МП42А	15	150	30—50 (1; 10)	1,0	25	—
МП42Б	15	150	45—100 (1; 10)	1,0	25	—
ГТ108А	10; 18*	50	20—50 (5; 1)	0,5	10	50
ГТ108Б	10; 18*	50	35—80 (5; 1)	1,0	10	50
ГТ108В	10; 18*	50	60—130 (5; 1)	1,0	10	50
ГТ108Г	10; 18*	50	110—250 (5; 1)	1,0	10	50
ГТ109А	10	20	20—50 (5*; 1)	1,0	5,0	30
ГТ109Б	10	20	35—80 (5*; 1)	1,0	5	30
ГТ109В	10	20	60—130 (5*; 1)	1,0	5	30
ГТ109Г	10	20	110—250 (5*; 1)	1,0	5	30
ГТ109Д	10	20	20—70 (1,2*; 0,1)	3,0	2	40
ГТ109Е	10	20	50—100 (1,2*; 0,1)	5,0	2	40
ГТ109Ж	10	20	100 (1,5; 10)	—	1,0	—
ГТ109И	10	20	20—80 (5*; 1)	1,0	5,0	30
ГТ115А	20	30	20—80 (1*; 25)	1,0	40	—
ГТ115Б	30	30	20—80 (1*; 25)	1,0	40	—
ГТ115В	20	30	60—150 (1*; 25)	1,0	40	—
ГТ115Г	30	30	60—150 (1*; 25)	1,0	40	—
ГТ115Д	20	30	125—250 (1*; 25)	1,0	40	—
<i>n-p-n</i>						
МП35	15	150	13—125 (5; 1)	0,5	30	60
МП36А	15	150	15—45 (5; 1)	1,0	30	60
МП37	15	150	15—30 (5; 1)	1,0	30	60
МП37А	30	150	15—30 (5; 1)	1,0	30	60

Продолжение табл. 12-73

Тип транзистора	Предельные режимы при $t_{\text{окр}} = 20^\circ \text{C}$		Электрические параметры			
	$U_{\text{КБ макс}}, U_{\text{КБ н. макс}}, \text{В}$	$I_{\text{К макс}}, \text{мА}$	$h_{21э}, h_{21э}^*$ (при $U_{\text{КЭ}}, U_{\text{КБ}}, \text{В}; I_{\text{Э}}, \text{мА}$)	$f_{\text{H}21э}, \text{МГц, не менее}$	$I_{\text{КБО}}, \text{мкА, не более}$	$C_{\text{к}}, \text{пФ, не более}$
МП37Б	30	150	25—50 (5; 1)	1,0	30	60
МП38	15	150	25—55 (5; 1)	2,0	30	60
МП38А	15	150	45—100 (5; 1)	2,0	30	60
МП111	20	100	10—25 (5; 1)	0,5	3	170
МП111А	10	100	10—30 (5; 1)	0,5	1	170
МП111Б	20	100	15—45 (5; 1)	0,5	3	170
МП112	10	100	15—45 (5; 1)	0,5	3	170
МП113	10	100	15—45 (5; 1)	1,0	3	170
МП113А	10	100	35—105 (5; 1)	1,2	3	170

Примечание. Обратные токи $I_{\text{КБО}}$ измеряются: у транзисторов ГТ109Д, ГТ109Е — при $U_{\text{КБ}} = 1,2 \text{ В}$; у ГТ108А—ГТ108Г; ГТ109А—ГТ109Г, ГТ109И, МП111А, МП112—МП113А при $U_{\text{КБ}} = 5 \text{ В}$; у МП111—МП111Б — при $U_{\text{КБ}} = 10 \text{ В}$; у транзисторов остальных типов при $U_{\text{КБ}} = U_{\text{КБ макс}}$.

Таблица 12-74

Транзисторы малой мощности среднечастотные

Тип транзистора	Предельные режимы при $t_{\text{окр}} = 20^\circ \text{C}$				Электрические параметры	
	$U_{\text{КБ макс}}, \text{В}$	$U_{\text{КЭО н. макс}}$	$I_{\text{К макс}}, I_{\text{К н. макс}}, \text{мА}$	$h_{21э}, h_{21э}^*$ (при $U_{\text{КЭ}}, U_{\text{КБ}}, \text{В}; I_{\text{Э}}, I_{\text{К}}, \text{мА}$)	$f_{\text{H}21э}, \text{МГц, не менее}$	$C_{\text{к}}, \text{пФ, не более}$
p-n-p						
КТ104А	30	30	50	9—36 (5*; 1)	5,0	50
КТ104Б	15	15	50	20—80 (5*; 1)	5,0	50
КТ104В	15	15	50	40—160 (5*; 1)	5,0	50
КТ104Г	30	30	50	15—60 (5*; 1)	5,0	50
КТ203А	60	60	10; 50*	≥ 9 (5; 1)	5,0	10
КТ203Б	30	30	10; 50*	30—90 (5; 1)	5,0	10
КТ203В	15	15	10; 50*	15—100 (5; 1)	5,0	10
n-p-n						
КТ201А	20	20	20; 100*	20*—60* (1; 5*)	10*	20
КТ201Б	20	20	20; 100*	30*—90* (1; 5*)	10*	20
КТ201В	10	10	20; 100*	30*—90* (1; 5*)	10*	20
КТ201Г	10	10	20; 100*	70*—210* (1; 5*)	10*	20
КТ201Д	10	10	20; 100*	30*—90* (1; 5*)	10*	20

Примечания: 1. Для транзисторов всех типов $I_{\text{КБО}} \leq 1 \text{ мкА}$ при $U_{\text{КБ}} = U_{\text{КБ макс}}$.

2. Для транзисторов КТ104А—КТ104Г $C_{\text{к}} \leq 10 \text{ пФ}$.

Таблица 12-75

Транзисторы малой мощности высокочастотные

Тип транзистора	Предельные режимы при $t_{\text{окр}} = 20^\circ\text{C}$				Электрические параметры			
	$U_{\text{КБ}}^{\text{макс}},$ $U_{\text{КБ}}^{\text{н. макс}},$ В	$U_{\text{КЭ}}^{\text{макс}},$ $U_{\text{КЭ}}^{\text{н. макс}},$ $U_{\text{КЭ}}^{\text{н. макс}},$ В	$I_{\text{К}}^{\text{макс}},$ $I_{\text{К}}^{\text{н. макс}},$ мА	$h_{21Э}, h_{21Б}^*$ $U_{\text{КБ}}^{\text{н. макс}},$ В; $I_{\text{Э}}, I_{\text{К}}^*$, мА	$f_{\text{гр}}, f_{\text{нп}}^*$ МГц, не менее	$I_{\text{КБО}}, \text{мкА},$ не более	$C_{\text{К}}, C_{\text{Э}}^*,$ пФ, не более	$\tau_{\text{к}}, \text{нс},$ не более
				<i>p-n-p</i>				
П401	10	10	20	16—300 * (5; 5)	30 *	10	15	3500
П402	10	10	20	16—250 * (5; 5)	60 *	5,0	10	1000
П403	10	10	20	30—100 * (5; 5)	120 *	5,0	10	500
П403А	10	10	20	16—200 * (5; 5)	120 *	5,0	10	500
П416	20	12	25; 120 *	20—80 * (5; 5)	60 *	3,0	8; 40 *	500
П416А	20	12	25; 120 *	60—125 * (5; 5)	90 *	3,0	8; 40 *	500
П416Б	20	12	25; 120 *	100—250 * (5; 5)	120 *	3,0	8; 40 *	500
П422	10	10	20	24—100 * (5; 5)	60 *	5,0	10	1000
П423	10	10	20	24—100 * (5; 5)	120 *	5,0	10	500
ГТ305А	15	15	40; 100 *	25—80 (1; 10)	140	6,0	7,0	500
ГТ305Б	15	15	40; 100 *	60—180 (1; 10)	160	6,0	7	500
ГТ305В	15	15	40; 100 *	40*—120 * (5; 5)	160	4,0	5,5	300
ГТ308А	20; 30 *	20; 12 *	50; 120 *	20—75 (1 *; 10)	90	5,0	8; 25 *	400
ГТ308Б	20; 30 *	20; 12 *	50; 120 *	50—120 (1 *; 10)	120	5,0	8; 25 *	400
ГТ308В	20; 30 *	20; 12 *	50; 120 *	80—200 (1 *; 10)	120	5,0	8; 25 *	400
ГТ309А	—	10	10	20—70 (5 *; 1)	120	5,0	10	500
ГТ309Б	—	10	10	60—180 (5 *; 1)	120	5,0	10	500
ГТ309В	—	10	10	20—70 (5 *; 1)	80	5,0	10	1000
ГТ309Г	—	10	10	60—180 (5 *; 1)	80	5,0	10	1000
ГТ309Д	—	10	10	20—70 (5 *; 1)	40	5,0	10	1000
ГТ309Е	—	10	10	60—180 (5 *; 1)	40	5,0	10	1000
ГТ310А	12	10	10	20—70 (5; 1)	160	5	4,0	30
ГТ310Б	12	10	10	60—180 (5; 1)	160	5,0	4,0	300
ГТ310В	12	10	10	20—70 (5; 1)	120	5,0	5,0	300
ГТ310Г	12	10	10	60—180 (5; 1)	120	5	5,0	300
ГТ310Д	12	10	10	20—70 (5; 1)	80	5	5,0	500
ГТ310Е	12	10	10	60—180 (5; 1)	80	5	5,0	500

Продолжение табл. 12-75

Тип транзистора	Предельные режимы при $t_{окр} = 20^{\circ}\text{C}$			Электрические параметры				
	$U_{КБ}$ макс, $U_{КБ}$ н. макс, В	$U_{КЭ}$ макс, $U_{КЭ}$ н. макс, $U_{КЭR}$ н. макс, В	I_K макс, I_K н. макс, мА	$h_{21Э}^*$, $h_{21Э}$ (при $U_{КЭ}^*$, $U_{КБ}$, В; $I_{Э}$, I_K , мА)	$I_{гр}$, $f_{21Б}$, мГц, не менее	$I_{КБ0}$, мкА, не более	$C_K, C_{Э}$, пФ, не более	τ_K , пс, не более
ГТ320А	20	20	150; 300 *	20—80 (1; 10)	80	10	8; 25 *	500
ГТ320Б	20	20	150; 300 *	50—160 (1; 10)	120	10	8; 25 *	500
ГТ320В	20	20	150; 300 *	80—250 (1; 10)	160	10	8; 25 *	500
ГТ321А	60	50	20; 2000 *	20—60 (3; 500 *)	60	500	80; 600 *	600
ГТ321Б	60	50	20; 2000 *	40—120 (3; 500 *)	60	500	80; 600 *	600
ГТ321В	60	50	20; 2000 *	80—200 (3; 500 *)	60	500	80; 600 *	600
ГТ321Г	45	40	20; 2000 *	20—60 (3; 500 *)	60	500	80; 600 *	600
ГТ321Д	45	40	20; 2000 *	40—120 (3; 500 *)	60	500	80; 600 *	600
ГТ321Е	45	40	20; 2000 *	80—200 (3; 500 *)	60	500	80; 600 *	600
ГТ322А	25	25	10	30—100 (5 *; 1)	80	4	1,8	50
ГТ322Б	25	25	10	50—120 (5 *; 1)	80	4,0	1,8	100
ГТ322В	25	25	10	20—120 (5 *; 1)	80	4	2,5	200
КТ350А	20	15 **	600 *	20 (1; 500)	200	1	—	—
КТ351А	20	15 **	400 *	20—80 (1; 300)	200	1	70; 100 *	—
КТ351Б	20	15 **	400 *	50—200 (1; 300)	200	1	15; 30 *	—
КТ352А	20	15 **	200 *	25—120 (1; 200)	200	1,0	15; 30 *	—
КТ352Б	20	15 **	200 *	70—300 (1; 200)	200	1	15; 30 *	—
КТ357А	6	6 **	40	20—100 (0,5 *; 10 *)	300	5	7; 10 *	—
КТ357Б	6	6 **	40	60—300 (0,5 *; 10 *)	300	5	7; 10 *	—
КТ357В	20	20 **	40	20—100 (0,5 *; 10 *)	300	5	7; 10 *	—
КТ357Г	20	20 **	40	60—300 (0,5 *; 10 *)	300	5	7; 10 *	—
КТ361А	25	25 **	—	20—90 (10 *; 1)	250	1,0	9,0	500
КТ361Б	20	20 **	—	50—350 (10 *; 1)	250	1	9,0	500
КТ361В	40	40 **	—	20—90 (10 *; 1)	250	1	7,0	1000
КТ361Г	35	35 **	—	50—350 (10 *; 1)	250	1	7,0	500
КТ361Д	40	40 **	—	20—90 (10 *; 1)	250	1	7,0	250
КТ361Е	35	35 **	—	50—350 (10 *; 1)	250	1,0	7,0	1000
КТ301	20	20	10	$n-p-n$ 20—60 (10 *; 3)	20	10	10; 80 *	2000

Продолжение табл. 12-75

Тип транзистора	Предельные режимы при $t_{\text{окр}} = 20^\circ\text{C}$			Электрические параметры				
	$U_{\text{КБ макс}}, U_{\text{КБ и макс}}, B$	$U_{\text{КЭ О макс}}, U_{\text{КЭ О и макс}}, U_{\text{КЭ R и макс}}, B$	$I_{\text{К макс}}, I_{\text{К и макс}}, \text{мА}$	$I_{\text{КЭ}}, I_{\text{КЭ2}}, (при U_{\text{КЭ}}, U_{\text{КБ}}, B; I_{\text{Э}}, I_{\text{К}}, \text{мА})$	$I_{\text{гр}}, I_{\text{КЭ1Б}}, \text{мГц, не менее}$	$I_{\text{КБ О}}, \text{мкА, не более}$	$C_{\text{К}}, C_{\text{Э}}, \text{пФ, не более}$	$\tau_{\text{К}}, \text{нс, не более}$
КТ301А	20	20	10	40—120 (10*; 3)	20	10	10; 80*	2000
КТ301Б	30	30	10	10—32 (10*; 3)	20	10	10; 80*	4500
КТ301В	30	30	10	20—60 (10*; 3)	20	10	10; 80*	4500
КТ301Г	20	20	10	10—32 (10*; 3)	30	10	10; 80*	2000
КТ301Д	20	20	10	20—60 (10*; 3)	30	10	10; 80*	2000
КТ301Е	30	30	10	40—120 (10*; 3)	30	10	10; 80*	2000
КТ301Ж	30	30	10	80—300 (10*; 3)	30	10	10; 80*	2000
КТ315А	—	25	100	20—90 (10; 1)	250	1,0	7,0	300
КТ315Б	—	20	100	50—350 (10; 1)	250	1,0	7,0	500
КТ315В	—	40	100	20—90 (10; 1)	250	1,0	7,0	500
КТ315Г	—	35	100	50—350 (10; 1)	250	1,0	7,0	500
КТ315Д	—	40	100	20—90 (10; 1)	250	1,0	7,0	1000
КТ315Е	—	35	100	50—350 (10; 1)	250	1,0	7,0	1000
КТ340А	15	15**	50	100—300 (1; 10*)	300	1	3,7; 7*	60
КТ340Б	20	20**	50; 75*	100 (1; 10*)	300	1	3,7; 7*	—
КТ340В	15	15**	50; 200*	35 (2; 200*)	300	1	3,7; 7*	—
КТ340Д	15	15**	50	45 (1; 10*)	300	1	3,7; 7*	150
КТ349А	20	15**	40*	20—80 (1; 1)	300	1	6; 8*	—
КТ349Б	20	15**	40*	40—160 (1; 1)	300	1	6; 8*	—
КТ349В	20	15**	40*	120—300 (1; 1)	300	1	6; 8*	—
КТ358А	15	15**	30; 60*	10—100 (5,5; 20)	80	5	500	—
КТ358Б	30	30**	30; 60*	25—100 (5,5; 20)	120	5	500	—
КТ358В	15	15**	30; 60*	50—280 (5,5; 20)	120	5	500	—
КТ373А	30	30**	50; 200*	100—250 (5*; 1)	—	—	—	—
КТ373Б	25	25**	50; 200*	200—600 (5*; 1)	—	—	—	—
КТ373В	10	10**	50; 200*	500—1000 (5*; 1)	—	—	—	—
КТ373Г	60	60**	50; 200*	50—125 (5*; 1)	—	—	—	—

Примечание. Значения $I_{\text{КБ О}}$ соответствуют $U_{\text{КБ}} = U_{\text{КБ макс}}$.

Таблица 12-76

Транзисторы малой мощности сверхвысокочастотные

Тип транзистора	Предельные режимы при $t_{\text{окр}} = 20^\circ\text{C}$			Электрические параметры				
	$U_{\text{КВ}}^*$ макс, $U_{\text{КВ}}^*$ н. макс, В	$U_{\text{КЭ}}^*$ макс, $U_{\text{КЭВ}}^*$ макс, $U_{\text{КЭ}}^*$ н. макс, В	$I_{\text{К}}^*$ макс, $I_{\text{К}}^*$ н. макс, мА	h_{21}^* (при $U_{\text{КЭ}}^* \cdot U_{\text{КВ}}^* \cdot V$; $I_{\text{Э}} \cdot I_{\text{К}}^* \cdot \text{мА}$)	$f_{\text{гр}}$, МГц, не менее	$I_{\text{КВ}0}$, мкА, не более	$C_{\text{К}}^*$, СЗ, пФ, не менее	$\tau_{\text{к}}$, мс, не более
<i>p-n-p</i>								
ГТ313А	15	12*	30	20*—250* (5*; 5)	300—1000	5,0	2,5; 14*	75
ГТ313Б	15	12*	30	20*—250* (5*; 5)	450—1000	5,0	2,5; 14*	40
ГТ313В	15	12*	30	30*—170* (5*; 5)	350—1000	5,0	2,5; 14*	75
ГТ328А	15	15	10	20—200 (5*; 3)	400	10	2,5*	5
ГТ328Б	15	15	10	40—200 (5*; 3)	300	10	5*	10
ГТ328В	15	15	10	10—50 (5*; 3)	300	10	5*	10
ГТ346А	15	15	10	10 (10*; 2)	700	10	1,3	3
ГТ346Б	15	15	10	10 (10*; 2)	550	10	1,3	3,5
КТ326А	20	15*	50	20—70 (2*; 10)	400	0,5	5; 4*	450
КТ326Б	20	15*	50	45—160 (2*; 10)	400	0,5	5; 4*	450
КТ337А	6,0	6*	30	30 (0,3; 10)	500	1,0	6; 8*	—
КТ337Б	6,0	6*	30	50 (0,3; 10)	600	1,0	6; 8*	—
КТ337В	6,0	6*	30	70 (0,3; 10)	600	1,0	6; 8*	—
КТ343А	—	17*	50	30 (0,3; 10)	300	1,0	6; 8*	—
КТ343Б	—	17*	50	50 (0,3*; 10)	300	1,0	6; 8*	—
КТ343В	—	9*	50	30 (0,3*; 10)	300	1,0	6; 8*	—
КТ343Г	—	17*	50	20 (1*; 10)	300	1,0	6; 8*	—
КТ345А	20	20*	200	20 (1; 100)	350	1,0	15; 30*	—
КТ345Б	20	20*	200	50 (1; 100)	350	1,0	15; 30*	—

Продолжение табл. 12-76

Тип транзистора	Предельные режимы при $t_{\text{окр}} = 20^\circ\text{C}$			Электрические параметры				
	$U_{\text{КБ макс.}}$ $U_{\text{КБ и макс.}}$ В	$U_{\text{КЭ макс.}}$ $U_{\text{КЭР макс.}}$ $U_{\text{КЭ и макс.}}$ В	$I_{\text{К макс.}}$ $I_{\text{К и макс.}}$ мА	$h_{21Э}, h_{21Э}$ (при $U_{\text{КЭ}}, U_{\text{КБ}}, V$; $I_{\text{Э}}, I_{\text{К}}$ мА)	$I_{\text{гр'}}$ мГц. не менее	$I_{\text{КБО}}, \text{мкА}$, не более	$C_{\text{К}}, C_{\text{Э}}$, пФ, не менее	$\tau_{\text{н}}$, мс, не более
КТ345В	20	20*	200	70 (1; 100)	350	1,0	15; 30*	—
КТ347А	15	15*	50; 110*	30—400 (0,3*; 10)	500	1,0	6; 8*	—
КТ347Б	9,0	9*	50; 110*	30—400 (0,3*; 10)	500	1,0	6; 8*	—
КТ367В	6,0	6*	50; 110*	50—400 (0,3*; 10)	500	1,0	6; 8*	—
КТ363А	15	15*	30; 50*	20—70 (5*; 5)	1200	0,5	2; 2*	50
КТ363Б	15	12*	30; 50*	40—120 (5*; 5)	1200	0,5	2; 2*	75
$n-p-n$								
ГТ311Е	12; 20*	12*	50	15—80 (3; 15)	250	10	2,5; 5*	75
ГТ311Ж	12; 20*	12*	50	50—200 (3; 15)	300	10	2,5; 5*	100
ГТ311И	10; 20*	10*	50	100—300 (3; 15)	450	10	2,5; 5*	100
ГТ329А	10	10; 5*	20	15—300 (5*; 5)	1200	5,0	2; 3,5*	15
ГТ329Б	10	10; 5*	20	15—300 (5*; 5)	1500	5,0	3; 3,5*	20
ГТ329В	10	10; 5*	20	15—300 (5*; 5)	2000	5,0	3; 3,5*	20
ГТ330Д	10; 20*	—	20	30—400 (5*; 5)	500	5,0	3; 5*	30
ГТ330Ж	10; 20*	—	20	30—400 (5*; 5)	1000	5,0	3; 5*	50
ГТ330И	10; 20*	—	20	10—400 (5*; 5)	500	5,0	3; 5*	30
ГТ341А	10	10; 5*	10	15—300 (5*; 5)	1500	5,0	1; 2*	10
ГТ341Б	10	10; 5*	10	15—300 (5*; 5)	2000	5,0	1; 2*	10
ГТ341В	10	10; 5*	10	15—300 (5*; 5)	1500	5,0	1; 2*	10

Продолжение табл. 12-76

Тип транзистора	Предельные режимы при $t_{\text{окр}} = 20^\circ\text{C}$				Электрические параметры			
	$U_{\text{КВ макс}}, U_{\text{КВ и. макс}}, U_{\text{КЭ и. макс}}, U_{\text{КЭ макс}}, U_{\text{КЭР макс}}, U_{\text{КЭ и. макс}}, U_{\text{КЭ макс}}, U_{\text{КЭР макс}}, U_{\text{КЭ и. макс}}, U_{\text{КЭ макс}}$	$U_{\text{КЭ макс}}, U_{\text{КЭР макс}}, U_{\text{КЭ и. макс}}, U_{\text{КЭ макс}}, U_{\text{КЭР макс}}, U_{\text{КЭ и. макс}}, U_{\text{КЭ макс}}$	$I_{\text{К макс}}, I_{\text{К и. макс}}, I_{\text{КЭ и. макс}}, I_{\text{КЭ макс}}, I_{\text{КЭР макс}}, I_{\text{КЭ и. макс}}, I_{\text{КЭ макс}}$	$I_{\text{КЭ макс}}, I_{\text{КЭР макс}}, I_{\text{КЭ и. макс}}, I_{\text{КЭ макс}}, I_{\text{КЭР макс}}, I_{\text{КЭ и. макс}}, I_{\text{КЭ макс}}$	$I_{\text{гр. мГц. не менее}}$	$I_{\text{КВ0}}, \text{мкА. не более}$	$S_{\text{К}}, S_{\text{Э}}, \text{пФ. не менее}$	$\tau_{\text{к}}, \text{нс. не более}$
ГТ362А	5,0	5*	10	10—200 (3*; 5)	2400	5,0	1; 1*	10
ГТ362Б	5,0	5*	10	10—250 (3*; 5)	2400	5,0	1; 1*	20
КТ306А	15	10*	30	20—60 (1; 10*)	300	0,5	5; 4,5*	—
КТ306Б	15	10*	30	40—120 (1; 10*)	500	0,5	5; 4,5*	—
КТ306В	15	10*	30	20—100 (1; 10*)	300	0,5	5; 4,5*	500
КТ306Г	15	10*	30	40—200 (1; 10*)	500	0,5	5; 4,5*	500
КТ306Д	15	10*	30	30—150 (1; 10*)	200	0,5	5; 4,5*	300
КТ316А	10	10*	30	20—60 (1; 10*)	600	0,5	3; 2,5*	—
КТ316Б	10	10*	30	40—120 (1; 10*)	800	0,5	3; 2,5*	—
КТ316В	10	10*	30	40—120 (1; 10*)	800	0,5	3; 2,5*	150
КТ316Г	10	10*	30	20—100 (1; 10*)	600	0,5	3; 2,5*	150
КТ316Д	10	10*	30	60—300 (1; 10*)	800	0,5	3; 2,5*	125
КТ325А	15	15*	60	30—90 (5; 10)	800	0,5	2,5; 2,5*	125
КТ325Б	15	15*	60	70—210 (5; 10)	800	0,5	2,5; 2,5*	125
КТ325В	15	15*	60	160—400 (5; 10)	1000	0,5	2,5; 2,5*	125
КТ339А	40	25; 40**	25	25 (10; 7)	300	1,0	2,0	25
КТ339Б	25	12; 25**	25	15 (10; 7)	250	1,0	2,0	50
КТ339В	40	25; 40**	25	25 (10; 7)	450	1,0	2,0	100
КТ339Г	40	25; 40**	25	40 (10; 7)	250	1,0	2,0	100
КТ339Д	40	25; 40**	25	15 (10; 7)	250	1,0	2,0	150

Примечание. Значения $I_{\text{КВ0}}$ соответствуют $U_{\text{КБ}} = U_{\text{КВ макс.}}$

Таблица 12-77

Транзисторы средней мощности среднечастотные

Тип транзистора	Предельные режимы при $t_{окр} = 20^\circ\text{C}$			Электрические параметры				
	$U_{КЭ}$ макс, В	$U_{КБ}$ макс, В	I_K макс, А	$h_{31Э}, (h_{31Э})^*$	$f_{316} (f_{31Э}),$ МГц, не менее	$I_{КБ0}$, мкА, не более	$U_{КЭ}$ нас (при $I_K = 450$ мА), В, не более	$U_{БЭ}$ нас (при $I_K = 500$ мА), В, не более
<i>p-n-p</i>								
ГТ402А	25	—	0,5	30—80	1,0	20	—	—
ГТ402Б	25	—	0,5	60—150	1,0	20	—	—
ГТ402В	40	—	0,5	30—80	1,0	20	—	—
ГТ402Г	40	—	0,5	60—150	1,0	20	—	—
ГТ403А	30	30	1,25	(20—60)	(0,008)	50	0,8	0,5
ГТ403Б	30	30	1,25	(50—150)	(0,008)	50	0,8	0,5
ГТ403В	60	45	1,25	(20—60)	(0,008)	50	0,8	0,5
ГТ403Г	60	45	1,25	(50—150)	(0,008)	50	0,8	0,5
ГТ403Д	60	45	1,25	(50—150)	(0,008)	50	0,8	0,5
ГТ403Е	60	45	1,25	≥ 30	(0,008)	50	0,8	0,5
ГТ403Ж	45	60	1,25	(20—60)	(0,008)	70	0,8	0,5
ГТ403И	45	60	1,25	≥ 30	(0,008)	70	0,8	0,5
ГТ403Ю	30	45	1,25	(30—60)	(0,008)	50	0,8	0,5
ГТ405А	25	—	0,5	30—80	1,0	25	—	—
ГТ405Б	25	—	0,5	60—150	1,0	25	—	—
ГТ405В	40	—	0,5	30—80	1,0	25	—	—
ГТ405Г	40	—	0,5	60—150	1,0	25	—	—
<i>n-p-n</i>								
ГТ404А	25	—	0,5	30—80	1,0	25	—	—
ГТ404Б	25	—	0,5	60—150	1,0	25	—	—
ГТ404В	40	—	0,5	30—80	1,0	25	—	—
ГТ404Г	40	—	0,5	60—150	1,0	25	—	—

* Для ГТ403А — ГТ403Ю при $U_{КЭ} = 5$ В, $I_K = 100$ мА; $U_{КЭ} = 1$ В, $I_K = 3$ мА для транзисторов остальных типов.

Таблица 12-78

Транзисторы средней мощности высокочастотные структуры $n-p-n$

Тип транзистора	Пределные режимы при $t_{окр} = 25^{\circ}\text{C}$				Электрические параметры				
	$U_{КЭ макс}, U_{КЭ и макс}^*, В$	$U_{КБ макс}, U_{КБ и макс}^*, В$	$I_{К макс}, I_{К и макс}^*, А$	$I_{ДЭ}, I_{ДЭ}^*, В; I_{с}, А$	$f_{гр}, МГц, не менее$	$I_{КБ О}, I_{КЭ О}, мА$	$U_{КЭ нас}, U_{БЭ нас}^*, В (при I_{К}, А)$	$C_{к}, C_{э}^*, пФ, не более$	$t_{к}, пс, не более$
КТ601А	100	100	0,03	16 * (20; 0,01)	40	0,5 *	—	15	600
КТ602А	100	120; 160 *	0,075; 0,5 *	20—80 (10; 0,01)	150	0,07; 0,5 *	3,3 * (0,05)	4; 25 *	300
КТ602Б	100	120; 160 *	0,075; 0,5 *	50 (10; 0,01)	150	0,07; 0,5 *	3,3 * (0,05)	4; 25 *	300
КТ602В	70	80	0,075; 0,5 *	15—80 (10; 0,01)	150	0,07; 0,5 *	3,3 * (0,05)	4; 25 *	300
КТ602Г	70	80	0,075; 0,5 *	50 (10; 0,01)	150	0,07; 0,5 *	3,3 * (0,05)	4; 25 *	300
КТ603А	30	30	0,3; 0,6 *	10—80 (2; 0,15)	200	0,01	1; 1,5 * (0,15)	15; 40 *	400
КТ603Б	30	30	0,3; 0,6 *	60 (2; 0,15)	200	0,01	1; 1,5 * (0,15)	15; 40 *	400
КТ603В	15	15	0,3; 0,6 *	10—80 (2; 0,15)	200	0,005	1; 1,5 * (0,15)	15; 40 *	400
КТ603Г	15	15	0,3; 0,6 *	60 (2; 0,15)	200	0,005	1; 1,5 * (0,15)	15; 40 *	400
КТ603Д	10	10	0,3; 0,6 *	20—80 (2; 0,15)	200	0,001	1; 1,5 * (0,15)	15; 40 *	400
КТ603Е	10	10	0,3; 0,6 *	60—200 (2; 0,15)	200	0,001	1; 1,5 * (0,15)	15; 40 *	400
КТ604А	250	300	0,2	10—40 (40; 0,02)	40	0,05 *	8 (0,02)	7; 50 *	—
КТ604Б	250	300	0,2	30—120 (40; 0,02)	40	0,05 *	8 (0,02)	7; 50 *	—
КТ605А	250	300	0,2 *	10—40 (40; 0,02)	40	0,1	8 (0,02)	7; 50 *	—
КТ605Б	250	300	0,2 *	30—120 (40; 0,02)	40	0,1	8 (0,02)	7; 50 *	—
КТ606А	60	60	0,4; 0,8 *	—	350	1,5 *	—	10	10
КТ606Б	60	60	0,4; 0,8 *	—	300	1,5 *	—	10	12
КТ608А	60; 80 *	60; 80 *	0,4; 0,8 *	20—80 (5; 0,2)	200	0,01	1; 2 * (0,4)	15; 50 *	—
КТ608Б	60; 80 *	60; 80 *	0,4; 0,8 *	40—160 (5; 0,2)	200	0,01	1; 2 * (0,4)	15; 50 *	—
КТ610А	20	20	0,3	50—300 (10; 150)	1000	0,5	—	3,5; 18 *	75
КТ610Б	20	20	0,3	20—300 (10; 150)	700	0,5	—	3,5; 18 *	25
КТ611А	180	200	0,1	10—40 (40; 0,02)	60	0,2 *	8 (0,02)	5,0	200
КТ611Б	180	200	0,1	30—120 (40; 0,02)	60	0,2 *	8 (0,02)	5,0	200
КТ611В	150	180	0,1	10—40 (40; 0,02)	60	0,2 *	8 (0,02)	5,0	200
КТ611Г	150	180	0,1	30—120 (40; 0,02)	60	0,2 *	8 (0,02)	5,0	200
КТ616А	20	20	0,4; 0,6 *	40 (1; 0,5)	200	0,015	0,6; 2 (0,5)	15; 50 *	—
КТ616Б	20	20	0,4; 0,6 *	25 (1; 0,5)	200	0,015	0,6; 2 * (0,5)	15; 50 *	—
КТ617А	20	30	0,4; 0,6 *	30 (2; 0,4)	150	0,005	0,7 (0,15)	15; 50 *	120
КТ618А	250	300	0,1	30 (40; 0,001)	40	0,05 *	—	7; 50 *	—

Примечание. Значения $I_{КБ О}$ соответствуют $U_{КБ макс}$.

Таблица 12-79

Транзисторы большой мощности низкочастотные

Тип транзистора	Предельные режимы при $t_{окр} = 25^\circ\text{C}$				Электрические параметры			
	$U_{ЭБ}^*$ макс, $U_{КБ}^*$ макс, В	$U_{КЭР}^*$ макс, $U_{КЭО}^*$ макс, В	I_K^* макс, I_K^* и макс, мА	$h_{21Э}^*$ (при $U_K, B;$ I_K, A)	$I_{гр}, I_{216}^*$ не менее	$I_{КЭО}^*$ $I_{КБ}^*$ О, мА, не более	$U_{КЭ}^*$ нас, В (при $I_{гр},$ I_B, A)	$U_{БЭ}^*$ нас (при $I_K,$ $I_B, B,$ не менее
<i>p-n-p</i>								
ПТ701А	15*	55; 100*	12	10^* (2; 5)	0,05*	6,0*	—	—
П4АЭ	60	50	5,0	≥ 5 (10; 2)	0,15*	0,5	—	—
П4БЭ	70	60	5,0	$15-40$ (10; 2)	0,15*	0,4	0,5 (2; 0,3)	—
П4ВЭ	40	35	5,0	≥ 10 (10; 2)	0,15*	0,4	0,5 (2; 0,3)	—
П4ГЭ	60	50	5,0	$15-30$ (10; 2)	0,15*	0,4	0,5 (2; 0,3)	—
П4ДЭ	60	50	5,0	≥ 30 (10; 2)	0,15*	0,4	0,5 (2; 0,3)	—
П201Э	—	10	1,5	≥ 20 (10; 0,2)	0,1*	0,4	0,5 (2; 0,3)	—
П201АЭ	—	10	1,5	≥ 40 (10; 0,2)	0,2*	0,4	0,5 (2; 0,3)	—
П202Э	—	15	1,5	≥ 20 (10; 0,2)	0,1*	0,4	0,5 (2; 0,3)	—
П203Э	—	15	1,5	$S=1,2-1,8 A/B$	0,2*	0,4	0,5 (2; 0,3)	—
П210Б	65	40	12	$\geq 10^*$ (2; 5)	0,1*	15	—	—
П210В	45	40	12	$\geq 10^*$ (2; 5)	0,1*	15	—	—
П213	45	30	5,0	$20-50$ (5; 0,2)	—	0,15	—	—
П213А	45	30	5,0	≥ 20 (5; 0,2)	—	1,0	—	—
П213Б	45	30	5,0	≥ 40 (5; 0,2)	—	1,0	—	—
П214	60	45	5,0	$20-50$ (5; 0,2)	—	0,3	—	—
П214А	60	45	5,0	$50-150$ (5; 0,2)	—	0,3	—	—
П214Б	60	45	5,0	$20-150$ (5; 0,2)	—	0,15	—	—
П214В	60	55	5,0	≥ 20 (5; 0,2)	—	1,5	—	—
П214Г	60	55	5,0	$S \geq 1,4 A/B$	—	1,5	—	—

Продолжение табл. 12-79

Тип транзистора	Предельные режимы при $t_{\text{окр}} = 25^{\circ}\text{C}$			Электрические параметры				
	$U_{\text{ЭБ макс.}}$ $U_{\text{КБ макс.}}$ В	$U_{\text{КЭР макс.}}$ $U_{\text{КЭО н. макс.}}$ В	$I_{\text{К макс.}}$ $I_{\text{К н. макс.}}$ мА	$h_{21\text{Э}}$, $h_{21\text{Э}}$ (при $U_{\text{К}}, \text{В}$; $I_{\text{К}}, \text{А}$)	$I_{\text{гр}}, I_{\text{д16}}$, не менее	$I_{\text{КЭ О}}$ $I_{\text{КБ О, мА}}$, не более	$U_{\text{КЭ нас, В}}$ (при $I_{\text{К}}, I_{\text{Б}}, \text{А}$)	$U_{\text{БЭ нас}}$ (при $I_{\text{К}}, I_{\text{Б}}, \text{В}$; не менее
П215	80	60	5,0	20—150 (5; 0,2)	—	0,3	—	—
П216Б	35	35	7,5	≥ 10 (3; 2)	—	1,5	—	—
П216В	35	35	7,5	≥ 30 (3; 2)	—	2,0	—	—
П216Г	50	50	7,5	≥ 5 (3; 2)	—	2,5	—	—
П216Д	50	50	7,5	15—30 (3; 2)	—	2,0	—	—
П217В	60	60	7,5	15—40 (3; 2)	—	3,0	—	—
П217Г	60	60	7,5	15—40 (3; 2)	—	3,0	—	—
П302	35	35	0,5	≥ 10 (10; 0,12)	0,2	0,1	—	—
П303	60	60	0,5	≥ 6 (10; 0,12)	0,1	0,1	—	—
П303А	60	60	0,5	≥ 6 (10; 0,12)	0,1	0,1	—	—
П304	80	80	0,5	≥ 5 (10; 0,06)	0,05	0,1	—	—
П306	60	60	0,4	7—30 (10; 0,1)	0,05	0,1	—	—
П306А	80	80	0,4	5—50 (10; 0,05)	0,05	0,1	—	—
<i>n-p-n</i>								
КТ704А	4 *	1000 *	2,5; 4 *	10—100 * (15; 1)	3,0	5,0	5,0 (2; 1,5)	3 (2; 1,5)
КТ704Б	4 *	700 *	2,5; 4 *	10—100 * (15; 1)	3,0	5,0	5 (2; 1,5)	3 (2; 1,5)
КТ704В	4 *	500 *	2,5; 4 *	10 * (15; 1)	3,0	5,0	5 (2; 1,5)	3 (2; 1,5)
КТ809А	4 *	400	3,5 *	15—100 * (5; 2)	5,25	3,0	1,5 (2; 0,4)	2,3 (2; 0,4)

Примечание. Значения токов $I_{\text{КЭ О}}$ соответствуют напряжению $U_{\text{КЭ макс.}}$. Для транзисторов ГТ701А и КТ809А в этой графе приведены значения $I_{\text{КЭР}}$ при сопротивлении между базой и эмиттером, равным 10 Ом, а для транзисторов П4АЭ — П4ДЕ и П201Э — П203Э — значения обратного тока коллектора $I_{\text{КБ О}}$ при $U_{\text{КБ}} = U_{\text{КБ макс.}}$.

Таблица 12-80
Транзисторы большой мощности, среднечастотные, высокочастотные и сверхвысокочастотные

Тип транзистора	Предельные режимы при $t_{\text{окр}} = 20^\circ\text{C}$					Электрические параметры			
	$U_{\text{КЭ макс}}, \text{В}$	$U_{\text{КВ макс}}, \text{В}$	$I_{\text{К макс}}, \text{А}$	$I_{\text{Б макс}}, \text{А}$	$I_{\text{ЭЭ}}, \text{В}; I_{\text{К}}, \text{А}$	$I_{\text{ЭЭ}}, \text{В}; I_{\text{К}}, \text{А}$	$I_{\text{КЭО}}, \text{мА}, \text{не более}$	$I_{\text{КЭО}}, \text{мА}, \text{не более}$	$U_{\text{КЭ нас}}, U_{\text{БЭ нас}} \text{ (при } I_{\text{К}}, \text{ А), В, не более}$
p-n-p									
ГТ703А	20; 25 *	—	3,5	—	30—70 (1; 0,005)	0,01	0,5	0,6; 1 * (3)	—
ГТ703Б	20; 25 *	—	3,5	—	50—100 (1; 0,005)	0,01	0,5	0,6; 1 * (3)	—
ГТ703В	30; 35 *	—	3,5	—	30—70 (1; 0,005)	0,01	0,5	0,6; 1 * (3)	—
ГТ703Г	30; 35 *	—	3,5	—	50—100 (1; 0,005)	0,01	0,5	0,6; 1 * (3)	—
ГТ703Д	40; 50 *	—	3,5	—	20—45 (1; 0,005)	0,01	0,5	0,6; 1 * (3)	—
ГТ806А	75	—	15 *	3,0	10—100 (0; 10)	10	12 *	0,6; 1 * (15)	—
ГТ806Б	100	—	15 *	3,0	10—100 (0; 10)	10	12 *	0,6; 1 * (15)	—
ГТ806В	120	—	15 *	3,0	10—100 (0; 10)	10	12 *	0,6; 1 * (15)	—
ГТ806Г	50	—	15 *	3,0	10—100 (0; 10)	10	12 *	0,6; 1 * (15)	—
ГТ806Д	140	—	15 *	3,0	10—100 (0; 10)	10	12 *	0,6; 1 * (15)	—
ГТ810А	200; 250 *	200	10	1,5	15 (10; 5)	15 *	20	0,8 * (10)	—
ГТ905А	75	75	3; 7 *	0,6; 1 *	35—100 (10; 3)	—	2,0	0,5 (3)	—
ГТ905Б	60	60	3; 7 *	0,6; 1 *	35—100 (10; 3)	60 *	2,0	0,5 (3)	—
n-p-n									
КТ801А	80	—	2	0,4	13—50 (5; 1)	10 *	10 *	—	—
КТ801Б	60	—	2	0,4	20—100 (5; 1)	10 *	10 *	—	—
КТ802А	130 *	150	5	1,0	15 (10; 2)	10 *	60	5 (5)	—
КТ803А	60; 80 *	—	10	—	10—70 (10; 5)	20 *	5 *	2,5 (5)	—
КТ805А	160	—	5; 8 *	2; 2,5 *	15 (10; 2)	20 *	60 *	2,5; 2,5 * (5)	—

Продолжение табл. 12-80

Тип транзистора	Предельные режимы при $t_{\text{окр}} = 20^{\circ}\text{C}$				Электрические параметры			
	$U_{\text{КЭ макс, В}}$	$U_{\text{КБ макс, В}}$	$I_{\text{К макс, А}}$	$I_{\text{Б макс, А}}$	$h_{21Э}$ (при $U_{\text{КБ, В}}$: $I_{\text{К, А}}$)	$I_{\text{КЭд, Гр, мД, не менее}}$	$I_{\text{КБ О, КЭ О, мА, не более}}$	$U_{\text{КЭ нас, БЭ нас}}$ (при $I_{\text{К, А}}$, $I_{\text{Б, В}}$, не более)
КТ805Б	135	—	5; 8 *	2; 2,5 *	15 (10; 2)	20 *	60 *	5,5 * (5)
КТ807А	100; 120 *	—	0,5; 1,5 *	0,2	15—45 (5; 0,5)	—	5 *	1 (0,5)
КТ807Б	100; 120 *	—	0,5; 1,5 *	0,2	30—100 (5; 0,5)	—	5 *	1 (0,5)
КТ808А	120; 250 *	—	10	4,0	10—50 (3; 6)	7 *	50 *	2,5 * (6)
КТ902А	110 *	65	5,0	2,0	15 (10; 2)	35 *	10	2 (2)
КТ903А	60; 80 *	60; 80 *	3; 10 *	—	15—70 (10; 2)	120 *	10 *	2,5 (2)
КТ903Б	60; 80 *	60; 80 *	3; 10 *	—	40—180 (10; 2)	120 *	10 *	2,5 (2)
КТ904А	60	60	0,8; 1,5 *	0,2	—	350 *	1,5 *	—
КТ904Б	60	60	0,8; 1,5 *	0,2	—	300 *	1,5 *	—
КТ907А	60	—	1	0,4	—	350 *	3 *	—
КТ907Б	60	—	1	0,4	—	300 *	3 *	—
КТ908А	100	—	10	5	8—60 (10; 2)	30 *	25 *	1,5; 2,3 * (10)
КТ908Б	60	—	10	5	20 (4; 4)	30 *	50 *	1 (4)
КТ909А	60	—	2,0	1	—	350 *	30 *	—
КТ909Б	60	—	4,0	2	—	500 *	60 *	—
КТ909В	60	—	2,0	1	—	300 *	30 *	—
КТ909Г	60	—	4,0	2	—	400 *	60 *	—
КТ911А	40	55	0,4	—	—	1000 *	5	—
КТ911Б	40	55	0,4	—	—	800 *	5	—
КТ911В	30	40	0,4	—	—	1000 *	5	—
КТ911Г	30	40	0,4	—	—	800 *	5	—

Примечания: 1. Значения $I_{\text{КБ О}}$ соответствуют $U_{\text{КБ макс}}$.

2. Предельные значения напряжений и токов, отмеченные звездочкой, являются импульсными.

Таблица 12-81
Транзисторы малой мощности высокочастотные лавинные структуры *p-n-p*

Тип транзистора	I_K макс, мА	$I_{КБ О}$, мкА (при $U_{КБ} = 20$ В), не более	$U_{лав}$, В, не более	$U_{КЭ проб}$, В (при I_K , мА)	$t_{нр}$, нс, не более	C_k , пФ, не более
ГТ338А	1000	30	8	20 (1)	1,0	2,0
ГТ338Б	1000	30	13	20 (1)	1,0	2,0
ГТ338В	1000	30	5	20 (1)	1,0	2,0

* При $U_{КЭ} = 20$ В.

Таблица 12-82
Двухэмиттерные модуляторные кремниевые транзисторы структуры *p-p-p*

Тип транзистора	Предельные режимы при $t_{окр} = 25^\circ\text{C}$					Электрические параметры		
	$U_{КБ}$ макс, В	$U_{Э1Э2}$ макс, В	$U_{ВЭ}$ макс, В	I_K макс, мА	$I_{Э}$ макс, мА	$I_{Э1Э2}$ (при $U_{Э1Э2}$, В), мкА	$I_{КБ О}$, мкА, не более	$r_{ост}$, I_B , Ом (при I_B , мА)
КТ118А	15	30	31	50	25	0,1 (30)	0,1	20 (40; 20); 100 (2; 2)
КТ118Б	15	15	16	50	25	0,1 (15)	0,1	20 (40; 2); 100 (2; 2)
КТ118В	15	15	16	50	25	0,1 (15)	0,1	40 (40; 20) 120 (2; 2)

Примечания: 1. Предельная рассеиваемая мощность 100 мВт.

2. Время переключения 500 нс.

3. Управляющее напряжение между базой и коллектором 1,3 В при $I_B = 20$ мА

Таблица 12-83
Однопереходные кремниевые транзисторы

Тип транзистора	$P_{макс}$ при $t_{окр} \leq 35^\circ\text{C}$, мВт	Предельные режимы при $t_{окр} \leq 25^\circ\text{C}$		Электрические параметры		
		$U_{Б1Б2}$ макс, $U_{Б2Э}$ макс, В	$I_{Э}$ макс, мА	$I_{вкл}$, мкА, не более	$I_{выкл}$, мА, не более	$R_{Б1Б2}$, кОм
КТ117А	300	30	50	20	1,0	4—9
Б	300	30	50	20	1,0	4—9
В	300	30	50	20	1,0	8—12
КТ117Г	300	30	50	20	1,0	8—12

Примечания: 1. Тепловое сопротивление 0,33 $^\circ\text{C}/\text{мВт}$.

2. Обратный ток эмиттера $I_{ЭБ О} \leq 1$ мкА.

3. Максимальная частота генерации 200 нГц.

4. Максимальное импульсное значение тока эмиттера $I_{Э.и. макс} = 1$ А.

Полевые транзисторы

Таблица 12-84

Тип транзистора	Предельные режимы при $t_{\text{окр}} = 20^\circ\text{C}$				Электрические параметры			
	$U_{3C} \text{ макс. В}$	$U_{СИ} \text{ макс. В}$	$I_{C \text{ нач. мА}}$ (при $U_{СИ} \text{ В}$)	$U_{3И} \text{ отс. В}$	$S, \text{ мА/В}$	$I_{3 \text{ ут. (при } U_{3 \text{ В}} \text{ В), мА, не более}}$	$C_{11И, \text{ пФ, не более}}$	$C_{12И, \text{ пФ, не более}}$

Ср-п переходом и каналом л-типа

КП302А	20	20	3—24 (7)	5,0	≤ 5	10 (10)	20	8
КП302Б	20	20	18—43 (7)	7,0	≤ 7	10 (10)	20	8
КП302В	20	20	33 (10)	10	—	10 (10)	20	8
КП303А	30	25	0,5—2,5 (10)	0,5—3,0	1—4	1 (10)	0,5—6,0	—
КП303Б	30	25	0,5—2,5 (10)	0,5—3,0	1—4	1 (10)	0,5—6,0	—
КП303В	30	25	1,5—5 (10)	1—4,0	2—5	1 (10)	0,5—6	—
КП303Г	30	25	3—12 (10)	8,0	3—7	0,1 (10)	0,5—6	2
КП303Д	30	25	3,9 (10)	8,0	2—6	5 (10)	0,5—6	—
КП303Е	30	25	5—20 (10)	8,0	≤ 4	5 (10)	0,5—6	—
КП303Ж	30	25	0,3—3 (10)	0,3—3,0	1—4	5 (10)	0,5—6	—
КП303И	30	25	1,5—5 (10)	0,5—2,0	2—6	5 (10)	0,5—6,0	—

С изолированным затвором и каналом р-типа

КП301Б	—	20	$0,5 \cdot 10^{-3}$ (15)	—	≤ 1	0,3 (30)	3,5	2
КП304А	30	25	$2 \cdot 10^{-4}$ (25)	—	4,0	20 (30)	9,0	2

С изолированным затвором и каналом л-типа

КП305Д	15	15	—	6	5,2—10,5	1 (15)	5	0,8
КП305Е	15	15	—	6	4—8,0	0,005 (15)	5,0	0,8
КП305Ж	15	15	—	6	5,2—10,5	1 (15)	5	0,8
КП305И	15	15	—	6	4—10,5	1 (15)	5,0	0,8

* При напряжении стока $U_{СИ} = 7 \text{ В}$; $I_C = 10 \text{ мА}$ для КП302А—КП302В; $U_{СИ} = 10 \text{ В}$; $I_C = 10 \text{ мА}$ для остальных типов транзисторов.

Таблица 12-85

Полевые транзисторы с двумя изолированными затворами и каналом л-типа

Тип транзистора	$U_{31C} \text{ макс. В}$	$U_{32C} \text{ макс. В}$	$U_{СИ} \text{ макс. В}$	$I_{C \text{ нач. мА}}$ (при $U_{СИ} \text{ В}$)	$U_{3И} \text{ отс. В; (при } U_{СИ} \text{ В; } I_C \text{ мА)}$	$S, \text{ мА/В}$	$I_{3 \text{ ут. (при } U_{3 \text{ В}} \text{ В), мА, не более}}$	$C_{31И, \text{ пФ, не более}}$	$C_{32И, \text{ пФ, не более}}$
КП306А-В	20	20	20	$5 \cdot 10^{-3}$ (15)	4 (15; 10)	3—8	5	5	0,7
КП350А-В	21	15	15	$3,5^{**}$ (15)	6 (15; 100)	≤ 6	5	6	0,07

* Для КП306А—КП306В при $U_{СИ} = 20 \text{ В}$, $f = 10^4 \text{ кГц}$; для КП350А—КП350В $U_{СИ} = 10 \text{ В}$, $f = 10^4 \text{ кГц}$.

** Для КП350В $I_{C \text{ нач}} = 6 \text{ мА}$.

12-15. ФОТОРЕЗИСТОРЫ И ФОТОЭЛЕМЕНТЫ

Фоторезисторы

Фоторезисторам и называют полупроводниковые резисторы, сопротивление которых уменьшается при воздействии видимых световых или невидимых лучей (рис. 12-73).

К видимым лучам света наиболее чувствительны фоторезисторы ФСД и СФ-3, токопроводящие элементы которых представляют собой таблетки из селенида кадмия, и типов ФСК и СФ-2 с токопроводящими элементами из сернистого кадмия. Фоторезисторы ФСА и СФ-4, светочувствительные элементы которых представляют тонкий слой сернистого или селенистого свинца, нанесенный на стеклянную пластинку, более чувствительны к инфракрасным лучам, чем к видимому свету.

Токопроводящие элементы фоторезисторов заключены в пластмассовые или металлические кожухи с прозрачными окнами, через которые лучистая энергия воздействует на поверхность токопроводящих элементов.

Основные параметры фоторезисторов приведены в табл. 12-86, они соответствуют нормальной температуре окружающей среды $t_{окр} = 20^\circ \text{C}$ (если нет иных оговорок).

Таблица 12-86

Фоторезисторы

Тип фоторезистора	R_T	Кратность изменения сопротивления	I_T , мкА, не более	$I_{обн}$, мА, не менее	P_{\max} , мВт	U_{\max} , В	τ_n , мс, не более	τ_c , мс, не более
<i>Сернисто-свинцовые и селенисто-свинцовые</i>								
ФСА-1	22 кОм—1 МОм	$\geq 1,2$	—	—	10	100	0,04	0,04
ФСА-Г1	47—470 кОм	$\geq 1,2$	—	—	10	100	0,04	0,04
СФ4-1	0,1—1000 кОм	$\geq 1,02$	—	—	10	15	0,003	0,003
<i>Селенисто-кадмиевые</i>								
ФСД-1, ФСД-Г1	$\geq 2,2$ МОм	≥ 150	10	1,5	50	20	40	20
СФ3-1	≥ 30 МОм	≥ 1500	0,5	0,75	10	15	60	10
<i>Сернисто-кадмиевые</i>								
ФСК-1, ФСК-Г1	$\geq 3,3$ МОм	≥ 100	15	1,5	125	50	50	30
СФ2-1	≥ 15 МОм	≥ 500	1,0	0,5	10	15	80	20
СФ2-2	$\geq 2,0$ МОм	≥ 500	1,0	0,5	50	2	60	20
СФ2-4	≥ 10 МОм	≥ 500	1,0	0,5	10	50	125	35
СФ2-5	$\geq 1,0$ МОм	≥ 880	1,3	0,5	25	10	180	100

Примечание. Допускаемое отклонение темнового сопротивления сернисто-свинцового фоторезистора не более $\pm 20\%$; для фоторезисторов других типов не нормируется.

Темновой ток I_T — ток через фоторезистор, включенный в цепь с источником э. д. с., в отсутствие воздействия лучистой энергии. Для каждого типа фоторезистора нормируется максимальное значение I_T при максимальном напряжении

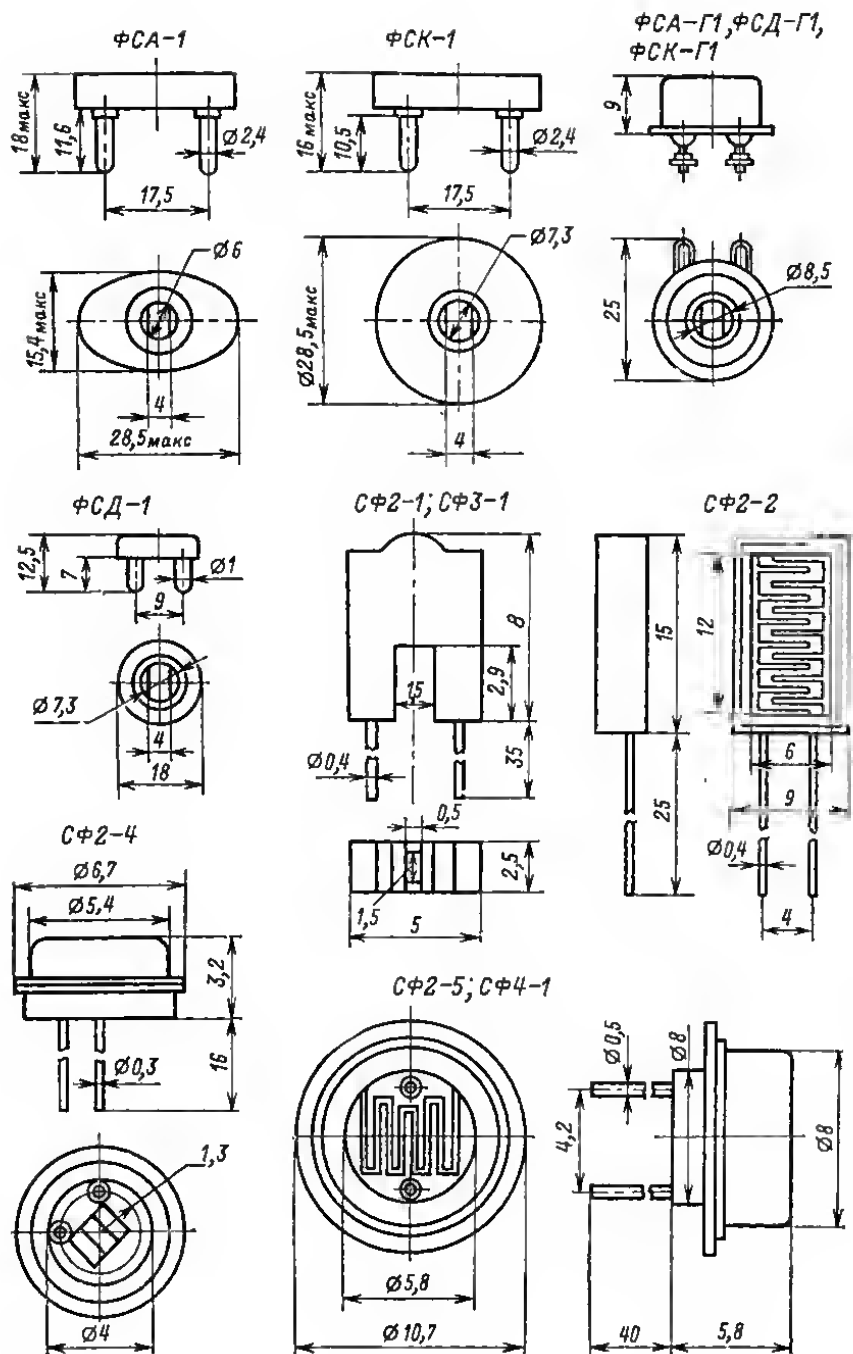


Рис. 12-73.

$U_{\text{макс}}$. Фактическое значение темнового тока у большинства фоторезисторов в нормальных условиях на 1—2 порядка меньше.

Общий ток фоторезистора $I_{\text{общ}}$ (устаревшее название: световой ток) — ток через фоторезистор при воздействии на него лучистой энергии. Принято регламентировать для конкретных типов фоторезисторов минимальный общий ток при максимальном допускаемом напряжении и освещенности 200 лк. Среднее значение общего тока обычно в 2—5 раз больше указанного в табл. 12-86 минимального гарантируемого значения. Разность между значениями общего и темнового токов называется фототоком. Поскольку темновой ток в сотни раз меньше общего тока, между значениями фототока и общего тока практически нет разницы.

Темновое сопротивление $R_{\text{т}}$ — сопротивление фоторезистора в отсутствие освещенности его чувствительного элемента. Для каждого типа селенисто-кадмиевого и селенисто-кадмиевого фоторезистора установлено минимальное темновое сопротивление. Для большинства приборов его значение на 1—2 порядка больше.

Кратность изменения сопротивления — отношение темнового сопротивления фоторезистора к его сопротивлению при освещенности 200 лк.

Постоянная времени τ — время после освещения или затемнения (включения или выключения света), в течение которого общий ток через фоторезистор увеличивается или уменьшается на 63% от установившегося значения. Увеличение освещенности и повышение напряжения на фоторезисторе уменьшает время спа-

Таблица 12-87

Фотоэлементы

Тип фото- элемента (фотокатод)*	$U_{\text{н.п.}}$ В**	Интеграль- ная чувстви- тельность, мкА/лм	Темновой ток, А, не более	Размеры, мм, не более	
				D	h
СЦВ-3 (С)	240 (300)	110	1×10^{-8}	26	62
СЦВ-4 (С)	240 (300)	125	1×10^{-7}	39,5	129
СЦВ-51 (С)	240 (300)	80	1×10^{-8}	30	63
Ф-1 (С)	100 (300)	70	1×10^{-14}	40	103
Ф-2 (С)	100 (300)	15	1×10^{-8}	20	67
Ф-4 (С)	30 (300)	—	5×10^{-11}	42	103
Ф-5 (К)	30 (300)	—	5×10^{-11}	37	103
Ф-6 (В)	30 (300)	40	1×10^{-11}	33	76
Ф-7 (М)	100 (300)	—	1×10^{-11}	44,5	97
Ф-8 (С)	150 (300)	80	1×10^{-8}	26	62
Ф-10 (Г)	100 (300)	80	1×10^{-12}	72	100
Ф-13 (Г)	100 (300)	40	1×10^{-12}	40	62
Ф-16 (Щ)	100	100	1×10^{-13}	55	80
ЩГ-1 (К)	240 (300)	75	1×10^{-7}	56	131
ЩГ-3 (К)	240 (240)	100	1×10^{-7}	27	62
ЩГ-4 (К)	240 (300)	100	1×10^{-7}	39,5	129
Ф-21 (К)	100 (2000)	8,0	3×10^{-10}	41	36
Ф-22 (СКН)	100 (300)	50	1×10^{-13}	45	67
Ф-23 (К)	100 (300)	10	5×10^{-11}	42	48

* Сокращенные обозначения материалов фотокатодов: В — висмута-серебряно-цезиевый; Г — сурьмяно-гидридо-натриево-цезиевый; К — кислородно-серебряно-цезиевый; М — магний; С — сурьмяно-цезиевый; Щ — мультищелочной; СКН — сурьмяно-кадмиево-натриево-цезиевый.

** Без скобок указано номинальное значение напряжения питания, в скобках — максимально допускаемое его значение.

дания тока. Нормируется максимальное значение постоянной времени раздельно по нарастанию t_n и по спаданию t_c тока соответственно после включения и выключения источника света, создающего освещенность 200 лк.

Максимально допустимое постоянное напряжение $U_{\text{макс}}$, указанное в табл. 12-86, допустимо при освещенности фоторезистора 200 лк. При меньшей освещенности допускается большее напряжение, однако рассеиваемая на фоторезисторе мощность не должна превышать допустимой $P_{\text{макс}}$ для наибольшей возможной при эксплуатации температуры.

Фотоэлементы

Фотоэлемент представляет собой двухэлектродный электровакуумный прибор, служащий для преобразования световой энергии в электрическую. Под действием света, падающего на фотозлектронный катод, нанесенный на внутреннюю поверхность стеклянного баллона (или на пластинку, закрепленную в определенном месте баллона), катод эмитирует поток электронов.

Анодом служит проволоочное кольцо (или пластинка из никеля), расположенное так, чтобы не мешать попаданию светового потока на катод.

В ионных фотоэлементах (ЦГ-1—ЦГ-4) баллоны заполнены разреженным газом.

Основные параметры фотоэлементов даны в табл. 12-87.

Темновой ток — ток в цепи прибора, полностью защищенного от воздействия излучений, в амперах.

Интегральная чувствительность — величина фототока, создаваемого в фотоэлементе световым потоком в один люмен.

В вакуумных фотоэлементах интегральная чувствительность составляет 20—90 мкА/лм, в ионных — 150—200 мкА/лм.

Кроме указанных параметров в табл. 12-87 даны значения номинальных и максимально допускаемых (в скобках) напряжений источника питания.

12-16. ИНТЕГРАЛЬНЫЕ МИКРОСХЕМЫ

Терминология

Интегральная микросхема (сокращенно: микросхема, МС) — конструктивно законченное миниатюрное электронное изделие с высокой плотностью упаковки электрически соединенных элементов, компонентов, кристаллов (см. далее), осуществляющее усиление, генерирование, преобразование или иную обработку электрических сигналов. Кристалл и компоненты МС, как правило, заключены в общий корпус — металлотеклянный, стеклянный, пластмассовый, керамический и т. п. (отдельные типы МС — бескорпусные, герметизированные компаундом).

Степень интеграции микросхемы определяется общим количеством входящих в нее транзисторов, диодов, резисторов и других элементов. Микросхему, содержащую до 10 элементов, называют микросхемой первой степени интеграции; содержащую от 11 до 100 элементов — микросхемой второй степени интеграции; содержащую от 101 до 1000 элементов — микросхемой третьей степени интеграции и т. д. Вместе с тем в технической литературе встречаются другие термины: МС, заключающие в себе более 150—200 элементов, называют «большими интегральными схемами» (бисами), а содержащие свыше 1000 элементов, — «сверхбольшими интегральными схемами» (сверхбисами).

Микросхема может выполнять роль какой-либо функциональной группы, функциональной части или устройства, например усилителя, триггера, логического элемента и т. п., либо являться его (ее) базовой частью. В последнем случае некоторые типы МС нормально функционируют при условии подключения к их выводам конденсаторов, катушек индуктивности, трансформаторов или иных внеш-

них элементов, которые по своим размерам не могут быть размещены в объеме корпуса, принятого для МС данной серии.

Элемент интегральной микросхемы — часть МС, выполняющая функцию какого-либо электрорадиоэлемента (транзистора, диода, резистора, конденсатора и т. п.), составляющая нераздельное целое с кристаллом (подложкой), т. е. такая часть МС, которая не может рассматриваться как самостоятельное изделие.

Компонент интегральной микросхемы — часть МС, выполняющая функцию какого-либо электрорадиоэлемента, представляющая собой в начальной стадии производства МС самостоятельное изделие и устанавливаемое в МС в процессе дальнейшего ее изготовления. Одним из наиболее распространенных компонентов являются бескорпусные транзисторы, применяемые в гибридных МС.

Кристалл интегральной микросхемы — пластинка, изготовленная из полупроводника (обычно из монокристаллического кремния), в объеме и на поверхности которого сформированы элементы МС, межэлементные соединения и контактные площадки.

Полупроводниковая интегральная микросхема — МС, все элементы и межэлементные соединения которой выполнены в объеме и на поверхности полупроводника. Элементы полупроводниковой МС изолированы от остального объема полупроводниковой пластины и друг от друга слоями двуокиси кремния или разделительными электронно-дырочными переходами. Транзисторы и диоды полупроводниковой МС, изготовленной по «совместной» технологии, образованы в объеме полупроводникового материала, а конденсаторы, резисторы и другие пассивные элементы — на его поверхности.

Гибридная интегральная микросхема — МС, содержащая кроме элементов компоненты и (или) кристаллы. Элементами гибридной МС обычно являются резисторы и конденсаторы постоянной емкости с относительно малыми емкостями (иногда катушки с малыми индуктивностями), образуемые электропроводящими и диэлектрическими пленками, нанесенными на поверхность подложки, а компонентами — бескорпусные транзисторы, диоды и конденсаторы относительно больших емкостей. Выводы компонентов электрически соединены с элементами и межэлементными проводниками с применением специальных технологических приемов — ультразвуковой сварки, термокомпрессии.

Гибридные МС, элементы и межэлементные соединения которых созданы методом напыления пленок на поверхность подложек из стеклокерамики или иного материала с высокими диэлектрическими свойствами, называют *тонкопленочными*.

Гибридные МС, изготовленные нанесением на подложки через сетчатые трафареты электропроводящих и диэлектрических паст (шелкография) с последующим их вжиганием в подложки при высокой температуре, называются *толстопленочными*.

Аналоговая микросхема — интегральная МС, предназначенная для усиления, генерирования, преобразования или иной обработки сигналов, изменяющихся по закону непрерывной функции, например периодических электрических колебаний или постоянного тока.

Линейная микросхема — аналоговая МС, имеющая линейную вольт-амперную характеристику.

Цифровая микросхема — интегральная МС, предназначенная для преобразования и обработки электрических сигналов, изменяющихся по закону дискретной функции. Активные элементы цифровой МС работают, как правило, в режиме переключения, причем два их состояния принято обозначать символами 0 и 1.

Полярность выходного сигнала цифровой МС с одним источником питания совпадает с полярностью последнего относительно «общего» провода. На выходах некоторых цифровых МС, питаемых от двух источников с разнполярным включением, можно получить напряжения различной полярности; последняя зависит от полярности или (и) значения входного сигнала.

Цифровые МС широко применяют в устройствах дискретной автоматики.

Логическая микросхема — цифровая МС, предназначенная для выполнения определенной логической математической функции. Основные области применения логических МС: электронные вычислительные машины, устройства обработки цифровой информации.

Микросборка — миниатюрное изделие, входящее в состав серии МС, отличающееся тем, что его компоненты (например, транзисторы, диоды, резисторы) имеют самостоятельные внешние выводы, что позволяет каждый из них испытать отдельно.

Микросборки из транзисторов, диодов, резисторов и конденсаторов называют также соответственно наборами транзисторов, диодов и т. д., или, если они соединены между собой внутри изделия по определенной схеме, — матрицами.

Условные обозначения серий и типов микросхем

Условное обозначение серии МС широкого применения состоит из буквы К и группы цифр, причем следующая непосредственно после буквы цифра 1, 5 или 7 указывает, что МС данной серии являются полупроводниковыми, а цифры 2, 4, 6, 8 — что микросхемы гибридные. Следующие две цифры являются порядковым номером разработки серии.

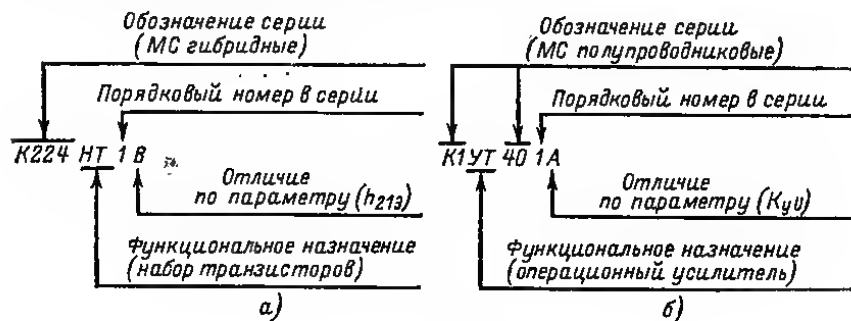


Рис. 12-74.

Условное обозначение типа МС. В него входят: обозначение серии, обозначение выполняемой МС функции (табл. 12-88) и порядковый номер МС данного функционального назначения в серии. В конце обозначения типа может быть буква, указывающая отличие МС по значению электрического параметра от МС с другой конечной буквой. При этом элементы условного обозначения типа МС могут быть расположены различно (сравните рис. 12-74, а, б). Последний способ обозначения — с разбивкой обозначения серии на две части буквами, указывающими выполняемую МС функцию, — применялся для изделий, разработанных до 1973 г.

Конструкции интегральных микросхем и их монтаж

Интегральные микросхемы выпускают в корпусах следующих типов.

Корпусы типа 1 — прямоугольные металлополимерные или металло-стеклянные. Выводы круглого сечения (проволока \varnothing 0,3—0,6 мм) или прямоугольного сечения от $0,3 \times 0,3$ до $0,5 \times 0,5$ мм расположены перпендикулярно плоскости изготовленного из полимера основания корпуса. Остальные 5 стенок корпуса металлические.

Таблица 12-88

Обозначения функций интегральных микросхем

Обозначение		Выполняемая функция
по ГОСТ 18682-73	Прежнее	
АГ	ПМ	Формирователь прямоугольных импульсов (ждущий мультивибратор, блокинг-генератор и др.)
АФ	—	Формирователь импульсов специальной формы
ГС	ГС	Генератор гармонических колебаний (например, тока стирания и подмагничивания магнитофона)
ГГ	—	Генератор сигналов прямоугольной формы (автоколебательный мультивибратор, блокинг-генератор и др.)
ГФ	ГФ	Генератор сигналов специальной формы
ДА	ДА	Детектор амплитудный
ДИ	ДИ	Детектор импульсный
ДС	ДС	Детектор частотный
ЕВ	—	Выпрямитель
ЕН	ПП	Стабилизатор напряжения
ЕТ	—	Стабилизатор тока
—	КД	Ключ диодный
КН	—	Коммутатор напряжения
КТ	—	Коммутатор тока
—	КТ	Ключ транзисторный
ЛБ	ЛБ	Логическая схема И—НЕ, логическая схема ИЛИ—НЕ (схема Шеффера)
ЛИ	ЛИ	Логическая схема И (схема совпадений)
ЛЛ	ЛЛ	Логическая схема ИЛИ (собирательная схема)
ЛН	ЛН	Логическая схема НЕ (схема отрицания)
МА	МА	Модулятор амплитудный
МИ	МИ	Модулятор импульсный
МС	МС	Модулятор частотный
НД	НД	Набор диодов
НТ	НТ	Набор транзисторов
ИМ	—	Преобразователь мощности
ПН	ПН	Преобразователь напряжения
ПС	ПС	Преобразователь частоты
ПУ	—	Преобразователь уровня (согласователь)
ПФ	ПФ	Преобразователь фазы
ПП	ПП	Преобразователи различные
ТВ	—	Триггер универсальный с раздельной установкой состояний «0» и «1» (JK-триггер)
ТД	ТД	Триггер с динамическим запуском
ТК	ТК	Триггер с комбинированным запуском
ТЛ	ТШ	Триггер Шмидта
ТМ	—	Триггер с приемом информации по одному входу (D-триггер)
ТР	ТР	Триггер с раздельной установкой состояний «0» и «1» (RS-триггер)
ТТ	ТС	Триггер со счетным входом (Т-триггер)
ТП	—	Прочие триггеры
—	УВ	Видеоусилитель
УВ	—	УВЧ

Продолжение табл. 12-88

Обозначение		Выполняемая функция
По ГОСТ 18682-73	Прежнее	
УД	УТ	Усилитель операционный
УД	УД	Усилитель дифференциальный
УЕ	УЭ	Повторитель (например, эмиттерный)
УИ	УИ	Усилитель импульсных сигналов
УМ	—	Усилитель индикации
УН	—	УНЧ
УР	—	УПЧ
—	УС	Усилитель синусоидальных сигналов *
УТ	УТ	УПТ
ХА	ЖА	Многофункциональная аналоговая МС (например, смеситель с гетеродином, детектор АМ сигналов с детектором АРУ и др.)
ХЛ	ЖЛ	Многофункциональная цифровая МС

* В некоторых случаях совмещенный с каскадами, выполняющими другие функции.

Корпусы типа 2 — прямоугольные металлополмерные. Из стенок корпуса, перпендикулярных плоскости основания, выходят ленточные выводы толщиной 0,15—0,40 мм; они могут изгибаться под углом от 90 до 105°.

Корпусы типа 3 — круглые металлокерамические диаметром 7,5—9,5 и высотой 3,0—7,5 мм (по типу корпусов транзисторов малой мощности): 12 или 8 выводов круглого сечения (проволока диаметром 0,3—0,5 мм) выходят из стекляной ножки корпуса перпендикулярно к ее плоскости.

Корпусы типа 4 — прямоугольные, стеклянные с выводами прямоугольного сечения, расположенными параллельно плоскости основания (также выводы принято называть планарными).

Некоторые МС старых разработок имеют нестандартные корпуса, известные под названиями «Трап», «Тропа» и т. д.

Обозначение типоразмера стандартного корпуса МС состоит из трех групп цифр: первая цифра первой группы указывает номер типа корпуса, а две следующие являются шифром его конструктивного варианта и размеров. Второе число соответствует числу выводов МС и третье является порядковым номером разработки.

Общие виды наиболее распространенных МС в корпусах показаны на рис. 12-75.

Нумерация выводов МС, выполненных в плоских корпусах типа 1 с расположением выводов в один ряд, ведется от метки на корпусе около вывода 1. Нумерация выводов МС в корпусах типа 1 с расположением выводов в два ряда и в корпусах типа 2 ведется также от метки на корпусе и продолжается во втором ряду в противоположном направлении.

У МС в круглых корпусах (тип 3) выводы нумеруются начиная от выступа на корпусе по часовой стрелке, если смотреть на МС со стороны выводов.

Вывод 1 МС в корпусе типа 4 расширен у места выхода из корпуса. Нумерация выводов идет от этого выхода слева направо, а в другом ряду она продолжается справа налево.

Общие правила монтажа микросхем. Микросхемы монтируют на печатных платах, на возможно большем удалении от компонентов аппаратуры, выделяющих большое количество тепла, вне магнитных полей трансформаторов, дросселей,

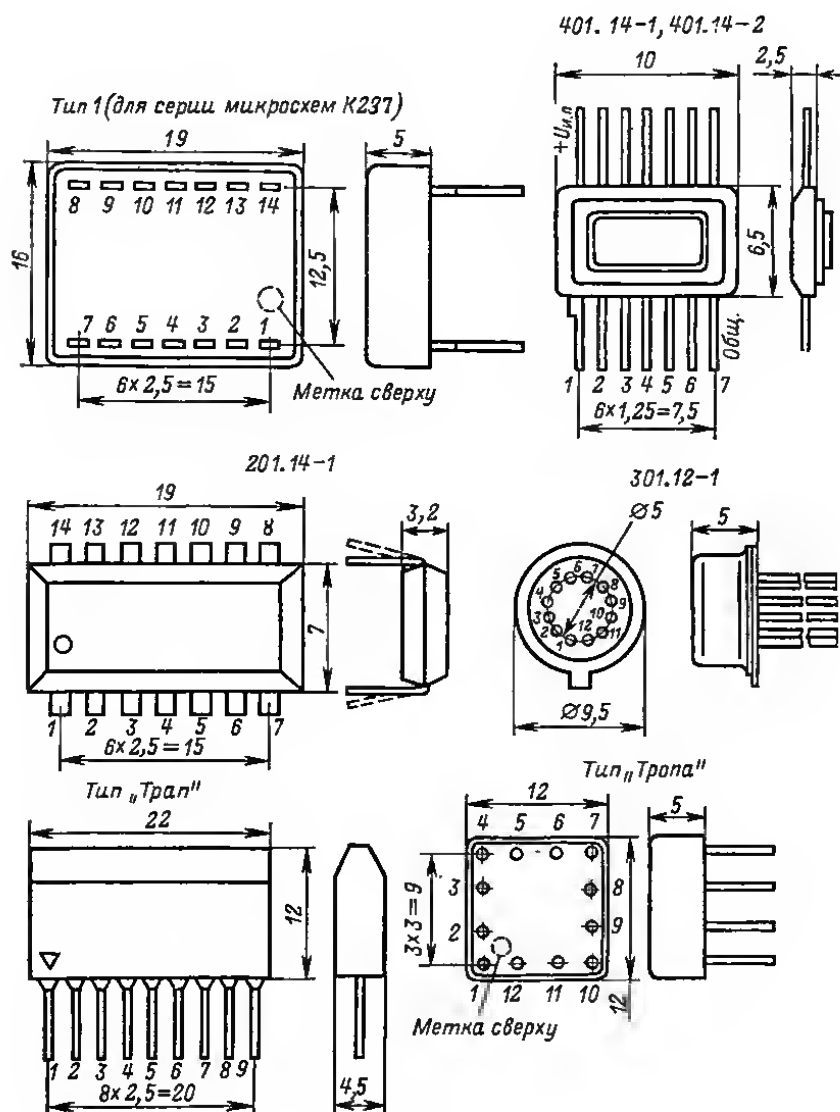


Рис. 12-75.

магнитов головок громкоговорителей. Расстояние между МС должно быть не менее 1,5 мм.

Между корпусом МС и монтажной платой должен быть зазор: для МС в корпусах типа 1 — 1,5 мм; МС в корпусах типа 3 можно устанавливать на печатную плату с зазором не более 3,5 мм. Между корпусом МС типа 4 и печатной платой помещают прокладку из электроизоляционного материала толщиной до 0,7 мм. Ее прилепляют к печатной плате и к МС нитроклеем или эпоксидным клеем. Рекомендуются клеи АК20 и мастика ЛН.

Формовку (изгибание) выводов круглых и ленточных и обжатие ленточных выводов МС следует производить с помощью монтажного инструмента так, чтобы исключалась механическая нагрузка на места крепления выводов. При этом радиус изгиба вывода должен быть не менее двойной толщины (диаметра) вывода, а расстояние от корпуса до центра окружности изгиба — не менее 1 мм.

При распайке выводов МС температура жала паяльника должна быть не более 280° С (для корпуса типа 4 — не более 265° С), время касания паяльника и каждому выводу не более 3 с, расстояние от места пайки до корпуса МС по длине вывода не менее 1 мм, интервал между пайками не менее 10 с. Требуемые температурные условия пайки можно обеспечить, применяя паяльник мощностью 50—60 Вт. Так как МС чувствительны к воздействию статического электричества, жало паяльника должно быть заземлено. Рекомендуется пользоваться низковольтным паяльником, включенным в электросеть через понижающий трансформатор с электростатическим экраном между его первичной и вторичной обмотками.

Корпусы и изоляторы выводов МС необходимо оберегать от брызг и паров паяльного флюса. После монтажа места пайки следует очистить от остатков флюса моющей жидкостью, не оказывающей вредного влияния на корпус и выводы МС.

После очистки от флюса плату с МС нужно покрыть защитным лаком. Наиболее удобным образом защищают от влаги лаки марок УР231 и Э4100.

Микросхемы рекомендуется использовать в облегченных электрических и температурных режимах по сравнению с номинальными.

Электрические параметры

Здесь приведены определения основных параметров МС и их буквенные обозначения с индексами в русской транскрипции, установленные ГОСТ 19480—74 и ГОСТ 19799—74. Если существенные признаки понятия содержатся в буквальном значении параметра, а буквенное обозначение является установившимся для РЭА, определение параметров не дается (например: входное и выходное напряжения $U_{вх}$, $U_{вых}$ и т. п.).

Определения и обозначения параметров элементов, входящих в диодные, транзисторные, резисторные и конденсаторные микросборки, аналогичны параметрам соответствующих дискретных элементов (см. § 12-12 и 12-14).

Измерение параметров МС производят в заданных электрических и температурных режимах.

Напряжение источника питания МС $U_{н.п.}$

Входное напряжение ограничения МС $U_{огр. вх}$ — наименьшее значение входного напряжения МС, при котором возникает ограничение выходного напряжения.

Напряжение срабатывания $U_{срб}$ — наименьшее значение напряжения постоянного тона на входе МС, при котором она переходит из одного устойчивого состояния в другое (параметр относится, например, к триггерам).

Напряжение смещения $U_{см}$ — значение напряжения постоянного тока на входе МС, при котором ее выходное напряжение равно нулю.

Остаточное напряжение $U_{ост}$ — падение напряжения на выходе пороговой МС, находящейся в открытом состоянии.

Выходное напряжение баланса МС $U_{вых. бл}$ (параметр относится к МС с двумя или большим числом выводов) — значение напряжения постоянного тона на каждом выходе МС относительно общего вывода, когда напряжение между выходами равно нулю.

Напряжение шумов, приведенное к входу МС $U_{ш.вх}$ — отношение напряжения собственных шумов на выходе МС при замкнутом накоротко входе к коэффициенту усиления напряжения МС.

Ток потребления $I_{пот}$ — значение тока, потребляемого МС от источника питания.

Ток короткого замыкания $I_{к.з}$ — значение тока, потребляемого МС от источника питания при короткозамкнутом выходе.

Ток холостого хода $I_{х.х}$ — значение тока, потребляемого МС от источника питания при отключенной нагрузке.

Входной ток $I_{вх}$ — ток, протекающий через входной вывод МС.

Выходной ток $I_{вых}$ — ток, протекающий в цепи нагрузки МС.

Разность входных токов $\Delta I_{вх}$ (для МС с несколькими входами) — разность значений токов, протекающих через входные выводы МС.

Ток утечки на входе $I_{ут.вх}$ — значение тока во входной цепи МС при закрытом входе.

Ток утечки на выходе $I_{ут.вых}$ — значение тока в выходной цепи МС при закрытом состоянии выхода.

Потребляемая мощность $P_{пот}$ — значение мощности постоянного тока, потребляемой МС от источника (источников) питания.

Рассеиваемая мощность $P_{рас}$ — разность между потребляемой мощностью и мощностью, отдаваемой МС в нагрузку.

Входное сопротивление $R_{вх}$ — отношение приращения входного напряжения МС к приращению активной составляющей входного тока.

Входная емкость $C_{вх}$ — отношение емкостной реактивной составляющей входного тока МС к произведению круговой частоты на синусоидальное входное напряжение.

Выходное сопротивление $R_{вых}$ — отношение приращения выходного напряжения МС к вызвавшему его приращению выходного тока.

Выходная емкость $C_{вых}$ — отношение емкостной реактивной составляющей выходного тока МС к произведению круговой частоты на вызванное им выходное напряжение.

Значения $R_{вх}$, $C_{вх}$, $R_{вых}$, и $C_{вых}$ регламентируются для заданного значения частоты сигнала.

Нижняя и верхняя граничные частоты полосы пропускания f_n , f_v — наименьшая и наибольшая частоты, на которых коэффициент усиления МС уменьшается на 3 дБ от значения на заданной частоте, находящейся в полосе пропускания МС.

Полоса пропускания МС Δf — диапазон частот между частотами f_n и f_v .

Центральная частота полосы пропускания f_c — значение частоты, равное $(f_v + f_n)/2$.

Частота среза амплитудно-частотной характеристики $f_{срз}$ — значение частоты АЧХ МС, на которой ее коэффициент усиления равен 0 дБ.

Коэффициент усиления напряжения K_{yU} — отношение выходного напряжения МС к входному.

Коэффициент прямоугольности АЧХ МС K_n — отношение полосы частот МС на уровне 0,01 или 0,001 к полосе пропускания на уровне 0,7 (—3 дБ).

Коэффициент гармоник МС K_r — отношение среднеквадратического напряжения суммы всех гармоник сигнала, кроме первой, к среднеквадратическому напряжению первой гармоники.

Коэффициенты ослабления напряжения на нижней и верхней граничных частотах $K_{ос.н}$, $K_{ос.в}$ — отношение коэффициента усиления на частоте f_n или f_v соответственно к коэффициенту усиления на заданной частоте, находящейся в полосе пропускания МС.

Коэффициент неравномерности АЧХ $K_{нр}$ — отношение максимального значения выходного напряжения МС к минимальному значению в заданном диапазоне частот полосы пропускания (в децибелах).

Крутизна преобразования $S_{прб}$ — отношение выходного тока смесителя к вызвавшему его приращению входного напряжения МС; регламентируется при заданном напряжении гетеродина (в миллиамперах на вольт).

*Крутизна прямой передачи линейного усилителя S^** — отношение величины выходного тока к вызвавшему его напряжению входного сигнала; регламентируется для заданных значений f , $U_{вх}$ и $U_{и.п.}$.

*Коэффициент передачи детектора K_d^** — отношение величины первой гармоники напряжения НЧ сигнала на выходе к напряжению ВЧ (ПЧ) входного сигнала МС; регламентируется для заданных значений: несущей частоты, модулирующей частоты (обычно 400 Гц) и коэффициента модуляции (обычно 30 или 80%) входного сигнала и сопротивления выходной нагрузки.

Коэффициент передачи преобразователя частоты $K_{прб}^$* — отношение величины первой гармоники напряжения сигнала на выходе смесителя к напряжению входного сигнала МС, имеющему обычно более высокую частоту; регламентируется для заданных значений частот, напряжений питания и гетеродина и сопротивления выходной нагрузки.

Обозначения параметров МС могут содержать следующие дополнительные нижние индексы:

0 — значение параметра в отсутствие входного сигнала;

мин — минимальное значение параметра, при котором другие параметры МС или их изменения не превышают допустимых пределов;

макс — максимальное значение параметра, при котором другие параметры МС или их изменения не превышают допустимых пределов;

ср — среднее значение параметра;

A — амплитуда импульсов;

пр. доп. — предельно допускаемое значение параметра.

Обозначения параметров МС могут также содержать верхние индексы:

1 или (1) — для значений напряжения, тока и мощности, соответствующих логической единице;

0 или (0) — для значений напряжения, тока или мощности, соответствующих логическому нулю;

0,1 или (01) — для значений параметров, характеризующих длительность процессов перехода МС из состояния логического нуля в состояние логической единицы;

1,0 или (10) — для значений параметров, характеризующих длительность процессов перехода МС из состояния логической единицы в состояние логического нуля.

Указанные в таблицах параметры гибридных МС гарантируются только при емкостях внешних конденсаторов и сопротивлениях внешних резисторов, указанных на схемах включения.

Определять значения параметров каждого из входящих в МС элемента или компонента не представляется возможным (исключение: микросборки).

Обозначения компонентов на схемах включения МС

Внешние дискретные элементы, подключаемые к выводам МС с целью обеспечения нормального их функционирования, на приводимых далее схемах включения имеют следующие обозначения:

- $C_{бл}$ — конденсатор блокировочный;
- $C_{гет}$, $L_{гет}$ — конденсатор и катушка индуктивности контура гетеродина;
- $C_{кор}$ — конденсатор, корректирующий АЧХ устройства с МС;
- $C_{о.с}$ — конденсатор в цепи отрицательной обратной связи;
- C_p — конденсатор разделительный;
- $C_{св}$, $L_{св}$ — конденсатор и катушка связи, например междукаскадной;

* Эти параметры ГОСТ 19480-74 и ГОСТ 19799-74 не установлены.

- $C_{пч}, L_{пч}$ — конденсатор и катушка индуктивности резонансного контура, настроенного на промежуточную частоту;
 $C_{ф}, R_{ф}$ — конденсатор и резистор развязывающего фильтра;
 R_6 — балластный резистор;
 R_n — резистор выходной нагрузки МС;
 $R_{огр}$ — резистор, ограничивающий ток заряда конденсатора;
 $R_{рег}$ — резистор регулирующий или подстроечный;
 R_T — регулятор тембра;
 $R_{см}$ — резистор, входящий в делитель напряжения смещения на базу одного из транзисторов МС;
 R_a — резистор в цепи эмиттера транзистора МС, стабилизирующий его режим.

Микросхемы для РВ и ТВ приемников

Линейные усилители. Параметры гибридных МС, предназначенных для выполнения функций УВЧ, УПЧ в РВ и ТВ приемниках, даны в табл. 12-89, типовые схемы их включения показаны на рис. 12-76.

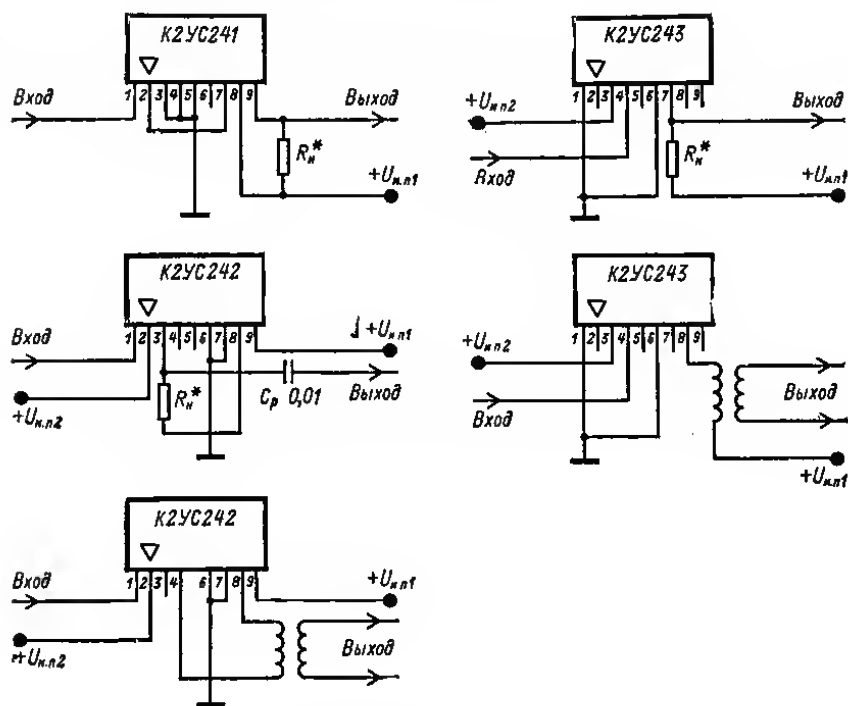


Рис. 12-76.

Таблица 12-90 и рис. 12-77 содержат аналогичную информацию по МС, используемым в качестве предварительных усилителей УНЧ с номинальной выходной мощностью до 3 Вт (см. § 4-2). Выход микросхемы K2YC244 связывается со входом оконечного транзисторного каскада с помощью трансформатора, а выходы остальных

Таблица 12-89

Параметры гибридных микросхем — УВЧ и УПЧ

Тип микросхемы	Выполняемые функции	Частотная характеристика при неравномерности 12 дБ		S_v , мА/В, не менее	$R_{вх'}$, Ом, не менее	$U_{и.п1'}$, В	$U_{и.п2'}$, В	$I_{пот'}$, мА, не более
		$f_{п'}$, МГц	$f_{в'}$, МГц					
K2УС241	УВЧ, УПЧ (каскадный)	0,15	110, 12	30*	150***	5,4—12,0	—	4,0
K2УС242	УВЧ, УПЧ	0,15	33	25***	150***	3,6—9,0	$3,0 \pm 0,15$	1,8
K2УС243	УВЧ, УПЧ	10	100	10**	150	3,6—9,0	$3,0 \pm 0,15$	1,8

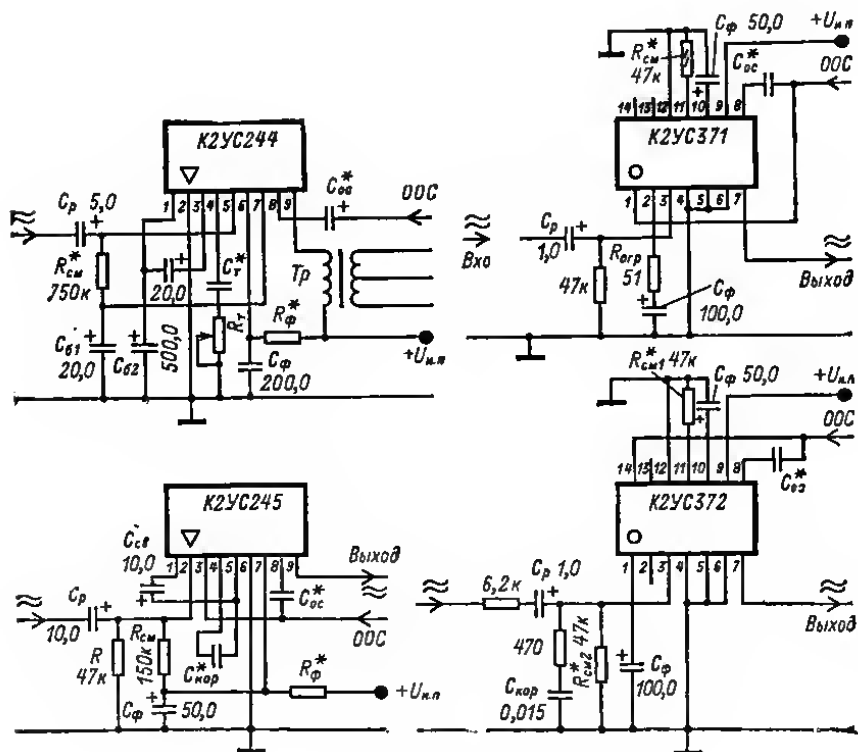
* На частоте $f \leq 30$ МГц.** На частоте $f > 30$ МГц.*** На частоте $f = 10$ МГц.

Рис. 12-77.

ных МС соединяются непосредственно с цепями баз транзисторов фазоинвертирующего каскада (ООС — цепь отрицательной обратной связи с выхода оконечного усилителя).

Таблица 12-90

Параметры предварительных УНЧ

Тип микросхемы (корпус)	Частотная характеристика *		$K_u U$, дБ, не менее	$R_{вх}$, кОм, не менее	$U_{н.п.}$, В
	f_n , Гц	f_v , кГц			
K2УС244 («Трап»)	80	20	40	20	5,4—9,0
K2УС245 («Трап»)	80	20	38	15	5,4—12,0
K2УС371 (тип 1)	60	10	35	—	5,6—9,0
K2УС372 (тип 1)	50	15	37	—	7,2—15,0

* Для микросхем K2УС371 и K2УС372 при неравномерности 6 дБ, для K2УС245 — 3 дБ.

Таблица 12-91

Параметры преобразователей частоты РВ приемников

Параметры	Тип микросхемы (корпус)		
	K2ЖА241 («Трап»)	K2ЖА242 («Трап»)	K2ЖА371 (тип 1)
f_n , МГц	10 (65)	0,15 (0,5)	0,15
f_v , МГц	110 (120)	30 (30)	15
$K_{ос.в.}$, дБ	12	12 (10)	5
$S_{прб.}$, мА/В, не менее	4,0	18	—
$K_{прб.}$, не менее	—	—	100
$U_{гет.}$, мВ, не менее	40	—	300
$R_{ос.}$, кОм	—	—	10 (4,0)
$U_{вх.}$, Ом, не менее	150	500	—
$U_{н.п.}$, В	3,0—5,0	3,6—9,0 (3,0—5,0)	3,6—6,0
$I_{пот.}$, мА, не более	3,8	1,8 (2,0)	3,0

Примечания: 1. В скобках указаны регламентируемые параметры для гетеродина.

2. $K_{ос.в.}$ — коэффициент ослабления по сравнению с уровнем напряжения на частоте f_n .

3. Входное сопротивление $R_{вх}$ — для смесителя при $f = 10$ МГц.

4. Напряжение гетеродина $U_{гет.}$ для МС K2ЖА371 на частоте 15 МГц.

5. Коэффициент шума МС K2ЖА371 не превышает 6 дБ.

Все эти МС выполнены в корпусах «Трап» (серия K224) и типа 1.

Преобразователи частоты. Микросхемы K2ЖА241, K2ЖА242 и K2ЖА371 (табл. 12-91, рис. 12-78) содержат элементы смесителя и отдельного гетеродина для преобразователей частоты сигналов РВ станций; микросхема K2ЖА371, кроме того, имеет предварительный аperiodический каскад УВЧ с регулируемым автоматическим усилением. Микросхема K2ЖА241 предназначена для исполь-

зования в УКВ блоках РВ приемников, а остальные две — в преобразователях частоты диапазонов КВ, СВ и ДВ.

На микросхему К2ЖА371 напряжение АРУ, имеющее значение в пределах 0—6 В, должно поступать с детектора на выходе УПЧ.

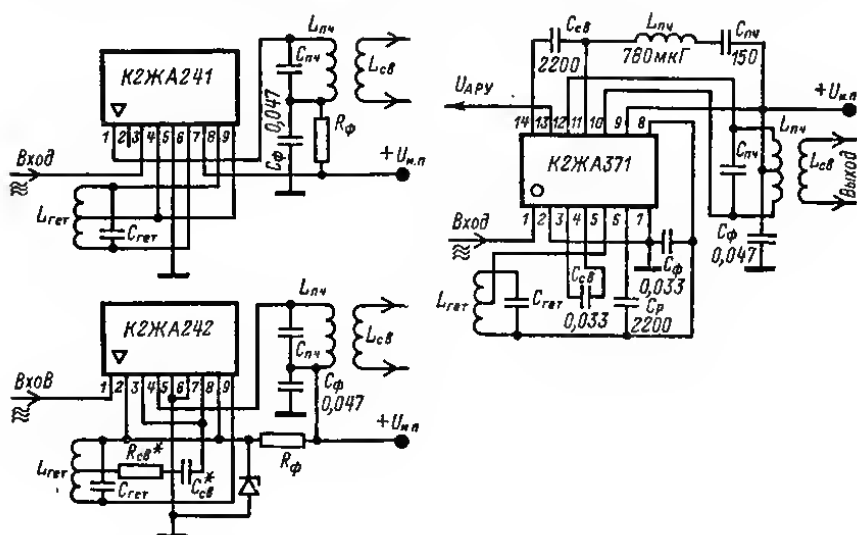


Рис. 12-78.

Коэффициент шума микросхемы К2ЖА371 на частоте 0,15 МГц не более 6 дБ.

Детекторы сигналов. Микросхема К2ЖА243 (рис. 12-79) содержит диодный детектор, преобразующий модулированный по амплитуде ВЧ (ПЧ)

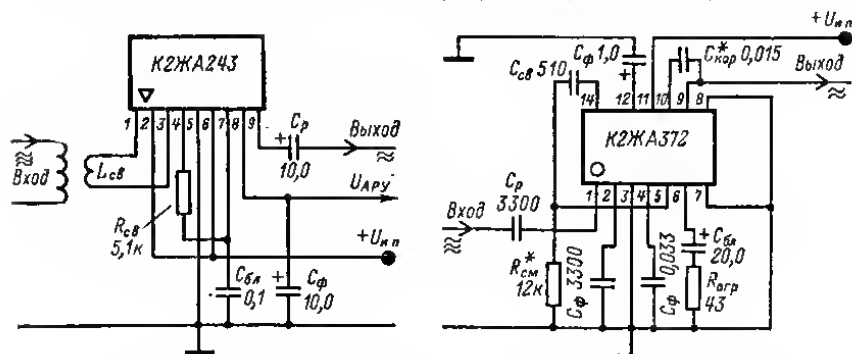


Рис. 12-79.

сигнал в низкочастотный, диодный детектор АРУ и усилитель АРУ. Корпус типа «Трап».

Номинальная несущая частота входного сигнала 465 кГц; на этой частоте $R_{вх} \geq 500 \text{ Ом}$, коэффициент передачи детектора K_d не менее 0,5 при выходной

нагрузке 20 кОм., коэффициент гармоник K_g не более 3,5%. Номинальное напряжение питания $U_{и.п} = 3 \text{ В} \pm 5\%$, $I_{пот} \leq 1,2 \text{ мА}$.

Микросхема К2ЖА372 выполняет функции широкополосного УПЧ с детектором АМ сигналов на выходе; кроме того, она содержит детектор, вырабатывающий напряжение АРУ. Корпус типа 1.

При номиналах внешних резисторов и конденсаторов, указанных на схеме включения (рис. 12-78), на частоте 465 кГц коэффициент передачи напряжения не менее 60 дБ. Входное сопротивление усилителя 430—1000 Ом; коэффициент

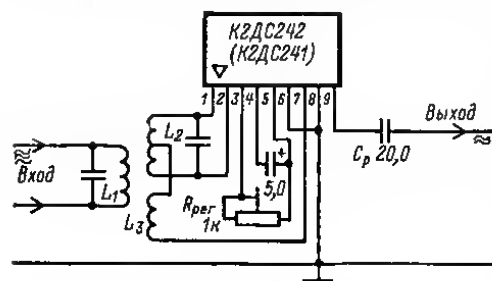


Рис. 12-80.

гармоник K_g выходного НЧ сигнала не более 3% (при входном напряжении 300 мкВ, частоте модуляции 400 Гц и глубине модуляции 80%).

При изменении входного напряжения от 50 мкВ до 3 мВ (на 36 дБ) величина выходного НЧ сигнала изменится не более чем на 2 дБ. Напряжение питания $U_{и.п} = 3,6 \pm 6,0 \text{ В}$; $I_{пот} \leq 4 \text{ мА}$.

Микросхемы К2ДС241 и К2ДС242 выполняют функции детекторов ЧМ сигналов. По-

строены по типовой схеме детектора отношений в корпусе типа «Трап». Предназначаются для использования в УКВ трактах РВ приемников, а также в трактах звукового сопровождения телевизоров. На рис. 12-80 показано подключение входного трансформатора (катушки индуктивности L_1 , L_2 , L_3). Подстроечный резистор $R_{рег}$ служит для симметрирования плеч детектора. Выход МС соединяют со входом УНЧ. При сопротивлении выходной нагрузки 20 кОм $K_d \geq 0,15$. Рабочий диапазон частот входного сигнала МС К2ДС241 и К2ДС242 6—20 МГц. В МС К2ДС241 в качестве диодов использованы коллекторные переходы кремниевых транзисторов, базы которых соединены накоротко с эмиттерами, в в К2ДС242 применены германиевые точечные диоды.

Микросхемы для ТВ приемников

Параметры МС, предназначенных для выполнения функций УПЧИ, УПЧЗ и каскадов видеоусилителей, даны в табл. 12-92, а типовые схемы включения этих МС — на рис. 12-81. Все эти МС выполнены в корпусах типа «Трап».

Вывод 6 К2УБ242 (рис. 12-81) соединяется с блоком цветности.

Переменный резистор $R_{рег}$ является регулятором яркости изображения.

Усилитель К2УС2412 (рис. 12-81) содержит два канала с общим входом (вывод 4) и раздельными выходами (выводы 1 и 9). Резисторы $R_{н1}$ и $R_{н2}$ являются внешними нагрузками выходных эмиттерных повторителей усилительных каналов. Внешний резонансный контур $L_k C_k R_k$ и конденсатор $C_{св}$ обеспечивают связь между оконечным и предоконечным каскадами канала с выходом 2.

Микросхем в К2ЖА245 (рис. 12-82) используется в ключевой АРУ телевизора. Вырабатывает напряжения, управляющие усилением селектора телевизионных каналов и УПЧИ. Напряжения зависят от уровня видеосигнала, поступающего на вход с предварительного видеоусилителя. Подстроечным резистором $R_{зад}$ устанавливают время задержки АРУ, а подстроечным резистором $R_{рег}$ — глубину ее регулирования усиления.

Номинальные значения: $U_{и.п} = 24 \text{ В}$, $I_{пот} \leq 20 \text{ мА}$.

Микросхема К2ЖА246 выполняет функции усилителя-ограничителя блока чувствительности телевизора с цветным изображением. На вход 2 (рис. 12-83) поступает сигнал с каскада опознавания цвета. Вывод 2 соединяется

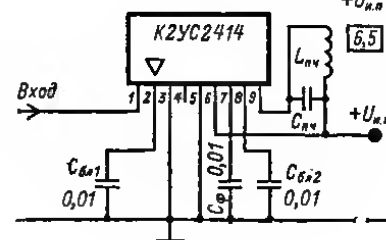
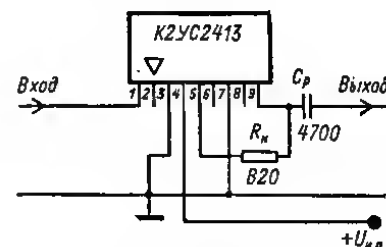
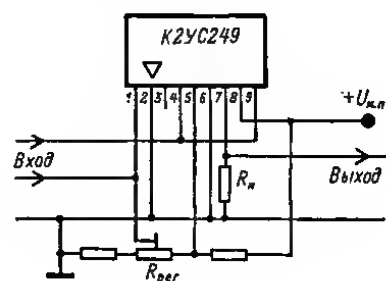
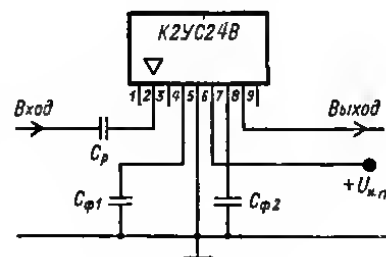
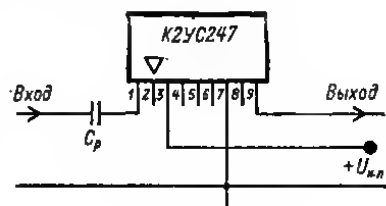
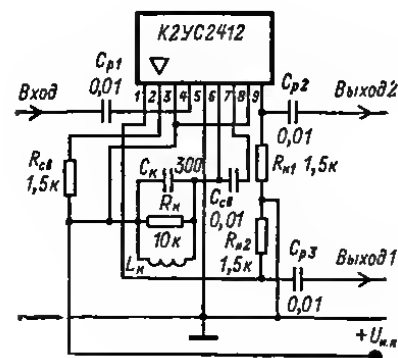
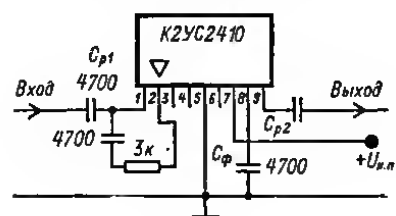
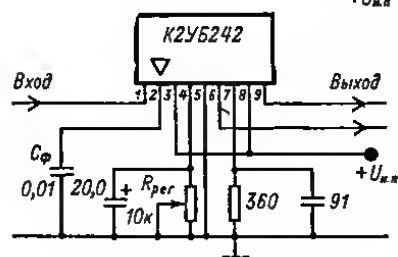
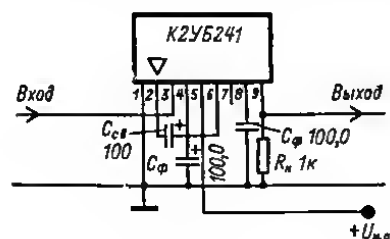


Рис. 12-81.

с регулятором насыщенности. Резистор $R_{\text{рег}}$ служит для установки уровня выходного сигнала. Резонансный контур $L_k C_k$ является выходной нагрузкой усилителя.

Таблица 12-92

Параметры гибридных микросхем — усилителей телевизоров

Тип микросхемы	Выполняемая функция	Частотная характеристика		K_{yU} не менее	S , мА/В, не менее	$I_{\text{пот}}$, мА, не более
		f_H	f_B			
K2УБ241	Видеоусилитель предварительный	25 Гц	6,5 МГц	2	—	15,0
K2УБ242	Видеоусилитель предварительный	25 Гц	6,5 МГц	20	—	10,0
K2УС246	УПЧИ регулируемый	30 МГц	45 МГц	—	25	8,0
K2УС247	УПЧИ выходной (каскадный)	30 МГц	45 МГц	—	70	28,0
K2УС248	УПЧЗ	4,0 МГц	10 МГц	—	1000	15,0
K2УС249	Универсальный	0,5 МГц	50 МГц	—	20	4,0
K2УС2410	Выходной, устройства задержки блока цветности	3,0 МГц	6,0 МГц	10	—	15,0
K2УС2412	Выходной, устройства задержки блока цветности	3,0 МГц	6,0 МГц	10	—	30,0
K2УС2413	УПЧИ (каскадный)	30 МГц	45 МГц	—	25	8,0
K2УС2414	УПЧЗ	4,0 МГц	10 МГц	—	2000	12,0

Примечания: 1. Неравномерность усиления в полосе пропускания МС типов K2УС246 и K2УС2413 — 1 дБ, K2УС247, K2УС248 и K2УС2414 — 3 дБ, K2УС249 и K2УС2410 — 6 дБ, K2УС241 — 10 дБ.

2. Значения K_{yU} указаны при сопротивлении нагрузки 100 Ом; значения K_{yU} и S регламентируются для УПЧИ на частоте $f = 35$ МГц, для видеоусилителей, УПЧЗ и универсального усилителя K2УС249 на $f = 6,5$ МГц.

3. Значения тока потребления $I_{\text{пот}}$ указаны для номинального значения $U_{\text{н.п}} = 12$ В.

Рабочий диапазон частот МС составляет 3—6 МГц. На его средней частоте крутизна переходной характеристики со входа I не менее 0,5 А/В. Номинальное напряжение питания, $U_{\text{н.п}} = 12$ В.

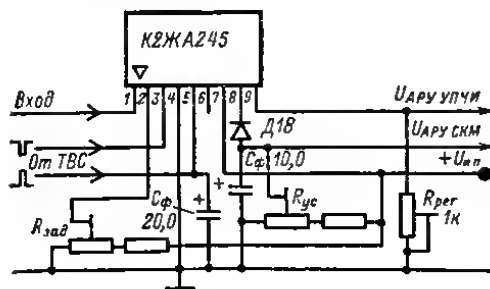


Рис. 12-82.

Микросхема K2СА241 (рис. 12-84) выполняет функции амплитудного селектора блока разверток. На ее вход поступает полный видеосигнал с предварительного видеоусилителя. С выходов 1 и 2 противофазные импульсы с амплитудой около 8 В подаются на устройство АПЧ и Ф устройства строчной развертки. Кроме того, с выхода 2 импульсы поступают на вход интегрирующего каскада, формирующего импульсы синхронизации кадров.

Вывод 3 МС соединяют с регулятором контрастности (в телевизоре с цветным изображением).

Микросхема K2УС2411 (рис. 12-85) выполняет функции матрицы RGB канала цветности, т. е. служит для восстановления в телевизоре

«зеленого» цветоразностного сигнала $E'_G - \gamma$. «Синий» $E'_B - \gamma$ и «красный» $E'_R - \gamma$ цветоразностные сигналы поступают на два входа МС, «зеленый» цветоразностный сигнал получают на выходе.

Рабочий диапазон частот матрицы составляет 0—2 МГц, $K_{yU} \geq 2$, $U_{н.п} = 12$ В.

Микросхема К2ТС241 представляет собой универсальный симметричный триггер на двух транзисторах с отдельными входами (выводы 5 и 7 от баз

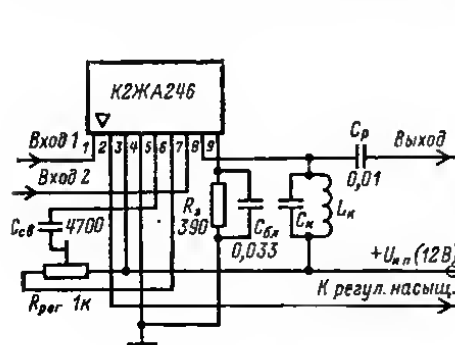


Рис. 12-83.

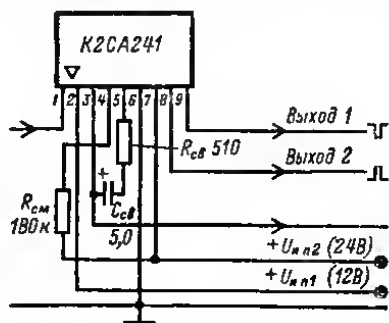


Рис. 12-84.

транзисторов — см. рис. 12-86), а также со счетным входом через диоды (вывод 9) и входом через конденсаторы (вывод 6). Чувствительность триггера по входу 9 не хуже 1,8 В и по входу 6 — не хуже 4 В. При $U_{н.п} = 12 \text{ В} \pm 10\%$ и нагрузке 6 кОм амплитуда прямоугольных импульсов на выходах (выводы 1 и 4) не менее 9 В при длительности их фронтов не более 3 мкс; частота следования импульсов 10—20 кГц.

Используют МС К2ТС241 в блоке цветности телевизора для вырабатывания импульсов, управляющих работой электронного коммутатора прямого и задер-

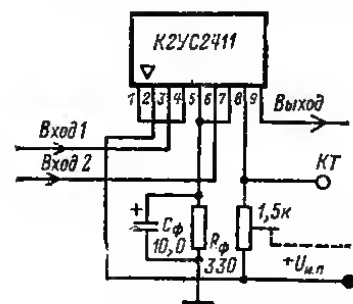


Рис. 12-85.

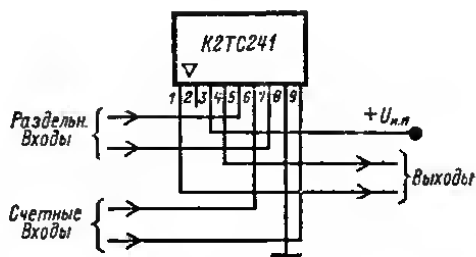


Рис. 12-86.

жания сигналов, в устройстве опознавания цветовых сигналов и в качестве триггера кадровых импульсов.

Микросхема К2КТ241 представляет собой транзисторный ключ, способный обеспечить частоту переключения сигналов 3—6 МГц. Коэффициент передачи ключа не менее 0,8, коэффициент подавления сигнала закрытым ключом — не менее 40 дБ. Номинальное напряжение питания $U_{н.п} = 12 \text{ В} \pm 10\%$, $I_{пот} \leq 15 \text{ мА}$.

Из двух МС К2КТ241 составляют электронный коммутатор блока цветности ТВ приемника (см. разд. 3). При этом на входы МС (рис. 12-87) подаются прямой и задержанный сигналы, на выходе одной из них получают «синий», а на выходе другой — «ирисный» цветоразностный сигналы. Коммутирование входов и выхо-

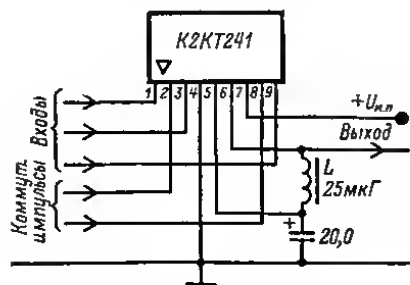


Рис. 12-87.

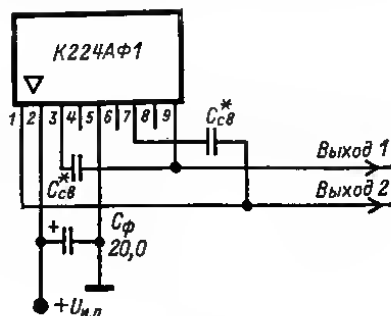


Рис. 12-88.

дов осуществляется импульсами, подаваемыми на выводы 2 и 8 с триггера, выполненного в виде МС К2ТС241.

Микросхема К224АФ1 содержит основные элементы и компоненты мультивибратора, частота колебаний которого зависит от емкостей внешних конденсаторов связи $C_{св}$ (рис. 12-88).

При $U_{н.п.} = 9 \text{ В} \pm 20\%$ на нагрузку 15 кОм амплитуда импульсов составляет 7 В . Длительность импульсов — $95\text{--}135 \text{ мс}$; $I_{пот} \leq 6 \text{ мА}$.

Микросхемы для магнитофонов

Микросхема К2УС373 содержит основные элементы и компоненты универсального усилителя записи-воспроизведения. Типовая схема включения этой МС приведена на рис. 12-89.

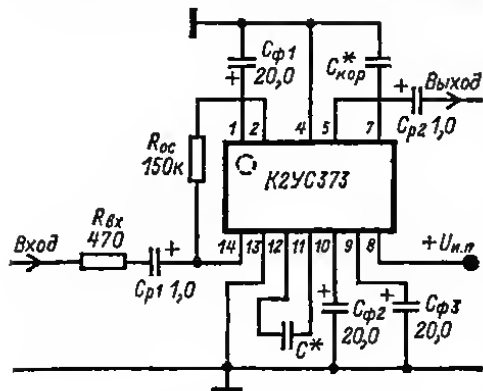


Рис. 12-89.

Основные параметры МС при $U_{н.п.} = 5 \text{ В} \pm 10\%$: $I_{пот} \leq 2,5 \text{ мА}$; $K_{уУ} = 63 \div 70 \text{ дБ}$; напряжение шумов на выходе не более 2 мВ (при и. з. входе); $f_{н} = 30 \text{ Гц}$, $f_{в} = 15 \text{ кГц}$.

В режиме воспроизведения: $U_{вых} = 0,35 \text{ В}$ при $U_{вх} = 250 \text{ мВ}$, $f = 400 \text{ Гц}$. Уровень шумов на выходе — $(43 \div 46) \text{ дБ}$ по отношению к $U_{вых} = 0,35 \text{ В}$ при отдаче магнитной головки $U_{вх} = 250 \text{ мВ}$, скорости ленты $4,76 \text{ см/с}$, на частоте 400 Гц .

В режиме записи: $U_{вых} = 0,35 \text{ В}$ при $U_{вх} \leq 150 \text{ мВ}$; уровень шумов — $(43 \div 50) \text{ дБ}$ по отношению к $U_{вых} = 0,35 \text{ В}$.

Коэффициент гармонии $K_{г} \leq 1\%$ при $U_{вых} = 1,1 \text{ В}$; $K_{г} = 0,25 \div 0,5\%$ при $U_{вых} = 0,35 \text{ В}$.

Микросхема К2ЖА373 содержит основные элементы и компоненты оконечного усилителя записи, совмещенного с усилителем и выпрямителем види-

катора уровня сигнала. Рассчитана МС на подключение магнитной головки УГ9/1 ($12 \text{ мГ} \pm 20\%$, $50 \text{ Ом} \pm 1,5\%$). В качестве узла уровня записи используется микроамперметр М478/3.

Основные параметры при $U_{и.п} = 5 \text{ В} \pm 10\%$: $I_{пот} \leq 3 \text{ мА}$; $K_{yU} = 40 \div 50 \text{ дБ}$ при подаче входного сигнала на вывод 1; $K_{yU} = 16 \div 18 \text{ дБ}$ при подаче входного сигнала на вывод 14; $K_r \leq 0,5\%$ при $U_{вых} = 0,8 \text{ В}$; $K_r \leq 1\%$ при $f_H = 40 \text{ Гц}$, $f_B = 12 \text{ иГц}$.

Типовая схема включения МС К2ЖА373 приведена на рис. 12-90. Выводы 3 и 11 служат для подключения внешних цепей, обеспечивающих требуемую форму

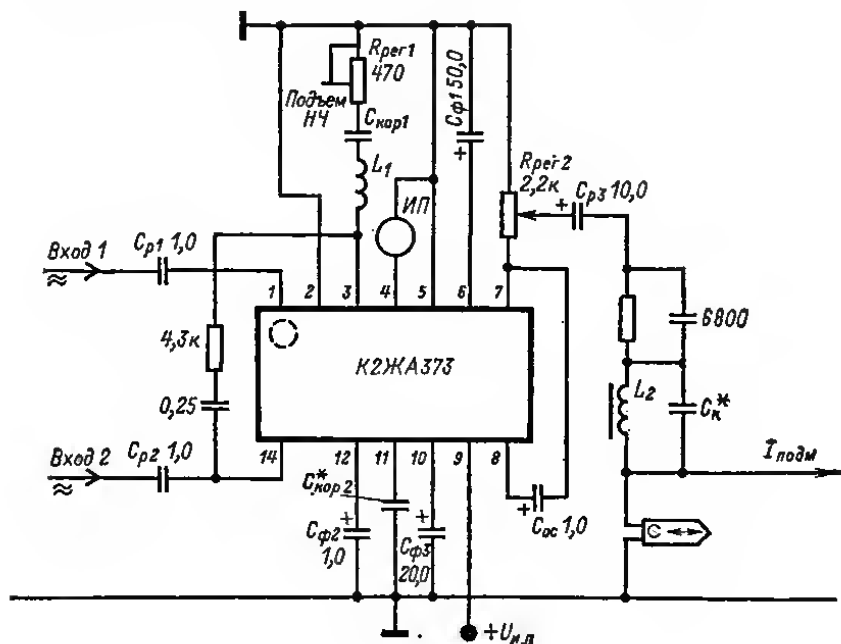


Рис. 12-90.

АЧХ. Цепь $L_1 C_{пер1} R_{пер1}$ создает подъем усиления в области нижних частот; при этом входной сигнал подают на вывод 1. С помощью подстроечного резистора $R_{пер1}$ изменяют подъем усиления в области нижних частот, а с помощью переменного резистора $R_{пер2}$ устанавливают уровень сигнала на головке записи.

Микросхема К2ГС371 содержит транзисторный стабилизатор напряжения, используемый для питания усилителей магнитофона, и транзисторы двухтактного генератора тока стирания и подмагничивания. Типовая схема включения этой МС приведена на рис. 12-91.

Стабилизатор напряжения выполнен по компенсационной схеме (см. § 9-6); делитель выходного напряжения состоит из ряда соединенных последовательно постоянных резисторов с различными номинальными сопротивлениями; ионцы делителя выведены к выводам 6 и 11, промежуточные выводы — 4, 5, 8.

$U_{вх.стаб} = 6 \div 10 \text{ В}$. Номинальное значение выходного напряжения $U_{вых.стаб} = 5 \text{ В} \pm 10\%$ определяется типом применяемого внешнего стабилизатора, который подключают к выводам 7 и 3; $U_{вых.стаб}$ в некоторых пределах

можно изменять соединением в различных комбинациях отводов от секций делителя напряжения, устанавливая тем самым значение этого напряжения в заданных пределах. Ток нагрузки стабилизатора $I_{\text{вых}} \leq 25$ мА.

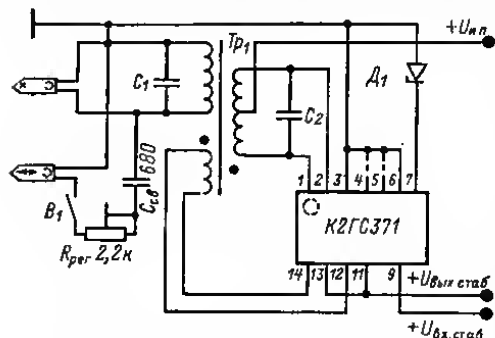


Рис. 12-91.

При напряжении питания $U_{\text{н.п}} = 9$ В: $I_{\text{пот}} \leq 35$ мА, ток стирания 80—100 мА, ток подмагничивания 0,7—1,5 мА.

Все микросхемы выполнены в корпусах типа 1.

Операционные усилители

Операционные усилители широко применяют в устройствах автоматического управления (см. разд. 8) и в ЭВМ. Они представляют собой двухходовые широкополосные усилители с гальваническими междукаскадными связями, обладающие большими коэффициентами усиления (табл. 12-93). Выходные каскады операционных усилителей выполнены по схеме эмиттерного повторителя, что обеспечивает малое выходное сопротивление.

Таблица 12-93

Параметры полупроводниковых микросхем — операционных усилителей

Тип микросхемы	$I_{\text{вх}}$, мкА, не более	$\Delta I_{\text{вх}}$, мкА, не более	$U_{\text{вых}}$, В, не менее	$U_{\text{см}}$, мВ, не более	$K_{\text{УУ}}$	$U_{\text{н.п.}}$, В	$I_{\text{пот}}$, мА, не более
К1УТ401А	8,0	$\pm 3,0$	$\pm 2,8$	± 10	$(0,4 \div 4,5) \cdot 10^3$	6,3	4,2
К1УТ401Б	12,0	$\pm 3,0$	$\pm 5,7$	± 10	$(1,3 \div 12) \cdot 10^3$	12,6	8,0
К1УТ402А	1,5	$\pm 0,5$	± 10	± 10	$(20 \div 200) \cdot 10^3$	12,6	12,0
К1УТ402Б	1,5	$\pm 0,5$	$\pm 3,0$	± 10	$(3,0 \div 35) \cdot 10^3$	6,3	7,0

*Для К1УТ401А, К1УТ401Б при сопротивлении нагрузки $R_{\text{н}} = 5,1$ кОм, для К1УТ402А, К1УТ402Б при $R_{\text{н}} = 1,0$ кОм.

**Допускаемые отклонения не более $\pm 5\%$.

Операционные усилители могут быть использованы как для усиления постоянного тока, так и для усиления сигналов с частотами до нескольких мегагерц.

Обычно операционный усилитель охватывают глубокой ООС; резко уменьшая коэффициент усиления по напряжению, обратная связь делает параметры усилителя мало зависящими от питающих напряжений и окружающей температуры.

Питание операционного усилителя осуществляют от двух источников с одинаковыми напряжениями различной полярности $U_{и.п1}$ и $U_{и.п2}$ (рис. 12-92).

При подаче управляющего сигнала на вход, обозначенный на схеме знаком «+», выходной сигнал имеет такую же полярность, как и входной, а при подаче управляющего сигнала на вход, обозначенный знаком «-» («инвертирующий» вход), полярность выходного сигнала обратна полярности входного. Если же значения сигналов на обоих входах одинаковы, выходное напряжение практически равно нулю.

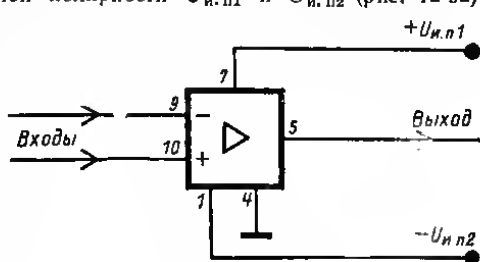


Рис. 12-92.

Операционные усилители типов, приведенных в табл. 12-93, выполнены в металлическом корпусе типа 301.1-12.

В зависимости от схемы входной цепи и структуры цепи обратной связи операционный усилитель может осуществлять суммирование, интегрирование, дифференцирование или инвертирование (поворот фазы на 180°) входных электрических сигналов.

Разные микросхемы и микросборки

Микросхема К2ПП241 может быть использована в качестве базового узла стабилизатора напряжения по компенсационной схеме (см. § 9-6) с током нагрузки $I_{вых} \leq 4$ мА. В МС имеется делитель выходного напряжения, образуемый постоянными резисторами с различными номинальными сопротивлениями (с него подается напряжение на базу транзистора МС, выполняющего функцию усилителя). Выводы 3 и 7 МС (рис. 12-93) являются началом и концом делителя напряжения.

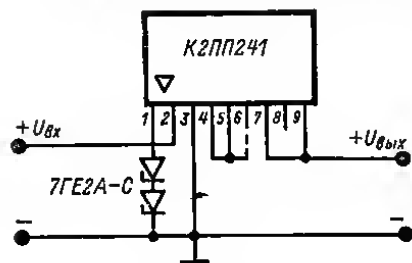


Рис. 12-93.

Входное напряжение стабилизатора $U_{вх} = 5,4 \pm 12$ В. Значение выходного напряжения $U_{вых} = 3 \pm 4$ В определяется параметрами двух соединенных последовательно внешних селеновых стабилиторов 7GE2A-C. Коэффициент стабилизации напряжения $K_{ст} \geq 5$.

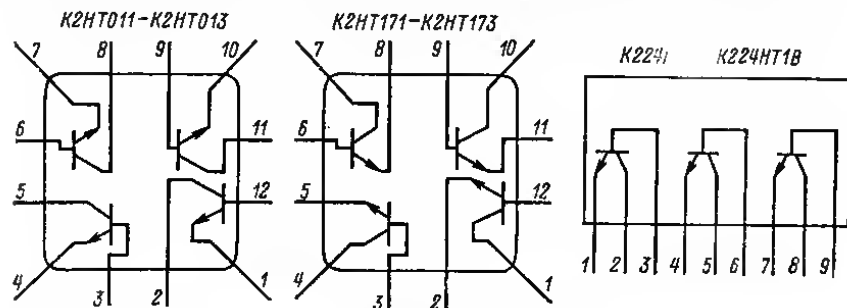


Рис. 12-94.

Для увеличения тока через стабилитроны выводы 5 и 6 следует замкнуть коротко.

Выполнена МС в корпусе типа «Трап».

Таблица 12-94

Транзисторные микросборки*

Тип микросборки	$U_{КЭ}^{**}$ макс. В	$U_{ЭБ}$ макс. В	I_K макс. мА	$h_{21Э}$	$f_{гр}$ МГц. не менее	$U_{КЭ}$ нас. В. не более	$I_{КЭО}$ мкА. не более	C_K пФ. не более
K2HT011	5,0	3,5	15	13	—	0,30	5,0	5,0
K2HT012	5,0	3,5	15	22	—	0,30	5,0	5,0
K2HT013	5,0	3,5	15	35	—	0,33	5,0	5,0
K2HT171	10,0	—	20	30—90	—	0,33	1,0	—
K2HT172	10,0	—	20	15—150	—	0,33	1,0	—
K2HT173	10,0	—	20	70—280	—	0,33	1,0	—
K224HT1A	10,0***	3,5	15	30—90	300	0,70	0,5	5,0
K224HT1B	10,0***	3,5	15	50—150	300	0,70	0,5	5,0
K224HT1B	10,0***	3,5	15	70—280	300	0,70	0,5	5,0

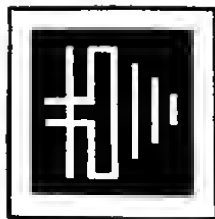
* Обозначения параметров согласно § 12-14.

** При $R_{БЭ} \leq 3$ кОм.

*** Для микросборок K224HT1A — K224HT1B указаны значения $U_{КЭ}$ макс.

Транзисторные микросборки (рис. 12-94, табл. 12-94). Одна транзисторная микросборка может заменить 3—4 транзистора при конструировании приемно-усилительной или иной аппаратуры.

Микросборки K2HT011—K2HT013 выполнены в корпусах типа «Тропа», а микросборки K224HT1A—K224HT1B в корпусах типа «Трап».



АНТЕННЫ

РАЗДЕЛ

13

СОДЕРЖАНИЕ

13-1. Общие сведения	715
Виды поляризации радиоволн (715). Краткие сведения о распространении радиоволн (716). Параметры антенн (719). Параметры и режимы фидерных линий (723). Типы фидерных линий (725).	
13-2. Приемные антенны УКВ	728
Выбор конструкции антенны (728). Простейшие антенны УКВ (729). Симметрирующие-согласующие устройства (731). Антенны типа «волновой канал» (733). Многоканальные антенны (738). Широкополосные антенны (738). Антенны для дальнего приема телевидения (740). Антенны с повышенной помехозащищенностью (743). Изготовление УКВ антенн (744). Ориентирование телевизионных антенн (745). Делители напряжения (745). Подключение и телевизору антенн разных каналов (746). Подключение двух телевизоров к общей антенне (747).	
13-3. Антенны для приема радиовещательных передач	747
13-4. Антенны любительских радиостанций	748
Антенны для работы на нескольких диапазонах (748). Направленные антенны (750). Симметрирующие-согласующие устройства (750).	
13-5. Молниезащита и заземление антенн	751

13-1. ОБЩИЕ СВЕДЕНИЯ

Виды поляризации радиоволн

Передающая антенна преобразует энергию токов радиочастоты, поступающую на ее вход по фидерной линии с выхода передатчика, в энергию радиоволн. Приемная антенна преобразует энергию радиоволн в энергию токов радиочастоты, которая поступает по фидерной линии (кабелю, проводу снижения) на вход приемника.

Радиоволны характеризуются в каждой точке пространства величиной и направлением электрического поля E и магнитного поля H (рис. 13-1). Эти поля графически изображают в виде взаимно перпендикулярных направленных отрезков (векторов), расположенных в плоскости, перпендикулярной направлению распространения волн. В зависимости от расположения в пространстве вектора E (линия действия электрических сил) различают *вертикально* и *горизонтально поляризованные волны*. Вертикальной поляризации соответствует вертикальное расположение вектора E и горизонтальное расположение вектора H (рис. 13-1, а); горизонтальной поляризации — горизонтальное расположение вектора E и вертикальное расположение вектора H (рис. 13-1, б).

Вид поляризации радиоволн определяется конструкцией передающей антенны. Антенны из вертикальных проводников (например, вертикальный вибратор) излучают вертикально поляризованные волны, из горизонтальных проводников — горизонтально поляризованные.

Конструкция приемной антенны должна соответствовать поляризации принимаемых радиоволн. Для приема вертикально поляризованных радиоволн применяется вертикальный вибратор или вертикально расположенная рамка, горизонтально поляризованных волн — горизонтальный вибратор или горизонтально

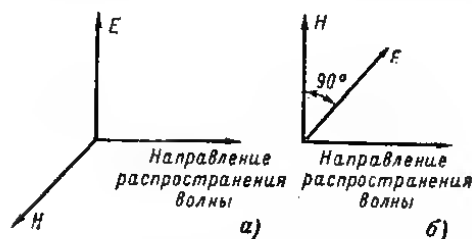


Рис. 13.1.

расположенная рамка. При радиопередачах используются радиоволны обоих видов поляризации. Радиовещательные передачи на ДВ, СВ и КВ ведутся с помощью вертикально поляризованных волн, а РВ передачи на УКВ с ЧМ ведутся с помощью горизонтально поляризованных волн. ТВ передачи в нашей стране ведутся в основном также с помощью горизонтально поляризованных волн.

Следует отметить, что в зависимости от условий распространения радиоволн поляризация их в месте приема может отличаться от поляризации в месте излучения. Изменение поляризации радиоволн является особенно существенным в диапазоне декаметровых волн при дальнем ионосферном распространении. В этом случае поляризация радиоволн может быть произвольной и значительно меняться во времени.

Краткие сведения о распространении радиоволн

Распространение радиоволн может происходить с помощью поверхностных (земных) и пространственных волн. Поверхностная волна распространяется в непосредственной близости к земной поверхности, пространственная — путем однократных или многократных отражений от земли и ионосферы, представляющей собой слой заряженных частиц (ионы и свободные электроны), окружающий Землю. Нижняя граница ионосферы расположена на высоте около 80 км, верхняя — около 400 км. Способность радиоволн отражаться от ионосферы определяется соотношением между частотой радиоволны f и критической частотой ионосферы $f_{кр}$, зависящей от концентрации свободных электронов в единице ее объема. Если $f < f_{кр}$, то волна отражается от ионосферы, если же $f > f_{кр}$, то волна свободно проходит сквозь ионосферу и обратно к Земле не возвращается. В среднем критическая частота ионосферы составляет примерно 30 МГц ($\lambda = 10$ м). Следовательно, ДВ, СВ и КВ, частоты которых меньше критической, отражаются от ионосферы и могут распространяться в виде пространственных волн. УКВ, частота которых превышает критическую, от ионосферы отражаться не могут и распространяются только в виде поверхностных волн.

Мириаметровые и километровые волны. К мириаметровым волнам относятся волны длиной более 10 000 м (диапазон «очень низких частот» ОНЧ), к километровым — от 10 000 до 1000 м (диапазон «низких частот» НЧ). В диапазоне НЧ и ОНЧ поверхностные волны обладают ярко выраженной способностью к дифракции, т. е. к огибанию кривизны земного шара. Поэтому они могут распространяться на расстояние в несколько тысяч километров. До расстояний 300—400 км распространение происходит только с помощью поверхностной волны, а далее — с помощью поверхностной и пространственной волн. На расстояниях более 3000 км распространение обуславливается только пространственной волной. Для диапазонов НЧ и ОНЧ характерны высокая стабильность уровня сигнала во времени, а также постоянство суточного изменения фазы сигнала, что позволяет использовать эти диапазоны для построения навигационных систем. НЧ и ОНЧ применяются для радиовещания, передачи сигналов точного времени и эталонных частот, измерения расстояний и навигационного обеспечения мореплавания

и самолетовождения. Для РВ на километровых волнах используют мощные радио-передатчики (сотни киловатт) и сложные антенно-мачтовые сооружения. Основным источником помех на НЧ и ОНЧ являются грозовые разряды.

Гектометровые волны. К гектометровым волнам (диапазон средних частот СЧ, 300—3000 кГц) относятся волны длиной от 1000 до 100 м. В бытовой технике приема звукового радиовещания диапазон волн длиной от 735,3 до 2000 м, включающий части диапазонов километровых и гектометровых волн, называется «длинными волнами» (ДВ). Другая часть гектометрового диапазона — волны длиной от 185 до 571,4 м, также выделенные для звукового радиовещания, называется «средними волнами» (СВ).

СЧ могут распространяться днем только в виде поверхностной волны, так как концентрация электронов днем в ионосфере недостаточна для отражения СЧ, а до следующего слоя с более высокой электронной концентрацией СЧ не доходят вследствие большого поглощения в нижнем слое. Способность поверхностной волны к дифракции выражена на СЧ слабее, чем на НЧ, поэтому дальность распространения СЧ в дневное время меньше, чем НЧ, и не превышает 500 км над сушей и 1000 км над морем. Прием СЧ в дневное время относительно стабилен.

В ночное время СЧ приобретают возможность отражаться от ионосферы и начинают распространяться не только в виде поверхностных, но и в виде пространственных волн. Поэтому дальность приема значительно возрастает (до 4000 км). Прием ночью менее стабилен, чем днем, так как высота нижней границы ионосферы подвержена случайным изменениям, что приводит к колебаниям уровня напряженности поля за счет интерференции (сложения и вычитания) пространственной и поверхностной волн. Это приводит к замираниям, для борьбы с которыми применяют АРУ в приемниках и передающие антидифинговые антенны. У этих антенн основной лепесток диаграммы направленности в вертикальной плоскости прижат к земле, что усиливает излучение поверхностной волны, которая не подвержена замираниям.

Гектометровые волны используют для служебной связи на расстоянии до 1000 км, радиовещания, навигации и радиопеленгования (определения направления на излучающий объект).

Декаметровые волны. К декаметровым волнам (диапазон высоких частот ВЧ, 3—30 МГц) относятся волны длиной от 100 до 10 м. В этом диапазоне целый ряд полос (25, 31, 41, 49, 52 и 80 м) выделен для звукового радиовещания. В бытовой радиоприемной технике и в любительской радиосвязи эти волны называются «короткими волнами» (КВ). Распространение ВЧ происходит практически только с помощью пространственных волн, так как поверхностные волны в этом диапазоне обладают очень слабой способностью к дифракции. На ВЧ можно установить радиосвязь между точками, отстоящими на десятки тысяч километров, причем если к надежности связи не предъявляются высокие требований, то в отличие от ДВ и СВ для этого могут быть использованы передатчики небольшой мощности (десятки ватт).

Для линий связи на ВЧ заданной длины существуют в зависимости от состояния ионосферы максимально применимые частоты (МПЧ). Если частота меньше МПЧ, то ВЧ отражаются от ионосферы и достигают пункта приема; если же частота больше МПЧ, то ВЧ проходят ионосферу насквозь, не отражаясь, и пункта приема не достигают. Следовательно, для установления связи применяемая частота должна быть меньше МПЧ. Обычно в дневное время, когда степень ионизации ионосферы больше, для связи применяются «дневные» волны (от 10 до 25 м), а в ночное время при более слабой ионизации применяют «ночные» волны (от 35 до 70 м).

При приеме ВЧ имеют место глубокие случайные замирания сигнала, более сильные, чем на СЧ. Замирания на ВЧ объясняются многолучевым характером распространения радиоволн и изменениями высоты отражающего слоя ионосферы. Борьба с замираниями на ВЧ ведется путем применения глубокой АРУ в приемниках, приема на разнесенные антенны и на разнесенных частотах.

Микроволновые диапазоны. К микроволновым диапазонам относят волны длиной от 10 м до 1 мм. К этим диапазонам относятся метровые волны (МВ) с длиной волны от 10 до 1 м (диапазон «очень высоких частот» ОВЧ, 30—300 МГц); дециметровые волны (ДМВ) с длиной волны от 1 м до 10 см (диапазон «ультравысоких частот» УВЧ, 300—3000 МГц); сантиметровые волны с длиной волны от 10 до 1 см (диапазон «сверхвысоких частот» СВЧ, 3—30 ГГц) и миллиметровые волны (ММВ) с длиной волны от 1 см до 1 мм (диапазон «крайне высоких частот» КВЧ, 30—300 ГГц). На ОВЧ и УВЧ ведется звуковое и телевизионное радиовещание; в бытовой радиоприемной технике соответствующие диапазоны называются «ультракороткими волнами» — УКВ.

Наибольший интерес для радиолюбителей представляют диапазоны МВ и ДМВ, которые используют для телевизионных передач.

Распространение волн в микроволновых диапазонах происходит практически только с помощью поверхностной волны, так как пространственные волны в этом диапазоне от ионосферы не отражаются. Предельная дальность распространения волн определяется явлениями дифракции и рефракции. Рефракция радиоволны состоит в искривлении ее траектории за счет преломления в атмосфере. Поскольку радиоволны распространяются в свободном пространстве по прямолинейным траекториям, то при отсутствии дифракции и рефракции дальность



Рис. 13-2.

распространения была бы равна дальности геометрической видимости между передающей и приемной антеннами (рис. 13-2), т. е. суммой расстояний от этих антенн до линии горизонта. Дифракция на УКВ выражена очень слабо, однако она способствует некоторому увеличению дальности по сравнению с дальностью геометрической видимости. Рефракция также приводит к небольшому увеличению дальности распространения УКВ. Оба указанных явления — дифракция и рефракция — приводят к увеличению дальности распространения УКВ на 15—20% по сравнению с дальностью геометрической видимости.

Дальность распространения УКВ в километрах в зависимости от высот передающей и приемной антенн над уровнем моря h_1 и h_2 в метрах рассчитывается по формуле

$$R = 4,1 (\sqrt{h_1} + \sqrt{h_2}).$$

Расстояние R , рассчитанное по этой формуле, называют дальностью прямой видимости с учетом рефракции радиоволн в атмосфере или просто *дальностью прямой видимости*. При высоте установки передающей антенны телецентра $h_1 = 400 \div 500$ м, в приемной антенны $h_2 = 20 \div 25$ м дальность прямой видимости около 110 км. При достаточной мощности телевизионного передатчика (несколько десятков киловатт на уровне вершин синхронизирующих импульсов) радиус зоны уверенного приема сигналов телецентра примерно равен дальности прямой видимости. Зона уверенного приема характеризуется стабильной и достаточно высокой напряженностью поля, при которой собственные шумы приемника не оказывают влияния на качество изображения. За пределами этой зоны уровень напряженности поля падает очень быстро. В связи с тем, что распространение УКВ происходит только с помощью поверхностной волны, замираний на УКВ практически не бывает. Атмосферные осадки (дождь, снег) на дальность распространения метровых и дециметровых волн влияют мало.

Существенное влияние на распространение УКВ оказывает рельеф местности. Так как размеры препятствий на местности (высокие холмы, горы) значительно больше длины волны УКВ, то радиоволны в этом диапазоне обладают слабой способностью к огибанию препятствий и за ними образуются зоны радиотени. По этой причине в низинных районах, закрытых горами от прямого сигнала телецентра,

напряженность поля часто бывает недостаточной для уверенного приема. С целью охвата таких районов телевизионным вещанием применяют ретрансляторы, представляющие собой высокочувствительные приемопередатчики, расположенные в высокой точке местности.

В радиолюбительской практике известны случаи приема телевизионных передач на расстояниях, в десятки раз превышающих дальность прямой видимости (сверхдальний прием). Такие случаи объясняются возникновением над земной поверхностью, при особом состоянии атмосферы, атмосферных волноводов, по которым УКВ могут распространяться на большие расстояния, а также способностью УКВ отражаться в отдельные моменты времени от неоднородностей в атмосфере и ионосфере. Явления сверхдальнего приема являются кратковременными и крайне нерегулярными.

Микроволновые диапазоны используют для телевизионного вещания, а также передачи радиовещания с частотной модуляцией (УКВ-ЧМ вещание), служебной связи на небольшие расстояния (десятки километров), в радиолокации, радиоспорте. На микроволнах работают спутники связи «Молния», обеспечивающие совместно с системой приемных пунктов «Орбита» подачу телевизионных программ в отдаленные районы страны; их используют также и для двусторонней передачи телевизионных программ на большие расстояния (тысячи километров) с помощью радиорелейных линий, представляющих собой цепочки приемопередатчиков, отстоящих друг от друга на расстояние, несколько меньшее дальности прямой видимости (около 60 км при высоте антенных опор 80—100 м).

Основными достоинствами микроволновых диапазонов являются большая частотная вместимость, отсутствие атмосферных помех и замираний, возможность построения остронаправленных антенн относительно небольших габаритов.

Параметры антенн

Параметры антенн не зависят от того, используются ли антенны для передачи или для приема (принцип взаимности). Если известны свойства антенны при использовании ее для передачи, то эти свойства позволяют полностью оценить ее как приемную, и наоборот.

Основными параметрами антенн являются диаграмма направленности, входное сопротивление, коэффициент направленного действия, коэффициент полезного действия, коэффициент усиления, действующая длина (высота) и ширина полосы пропускания.

Диаграмма направленности антенны — график, показывающий зависимость э. д. с. на зажимах антенны от направления прихода сигнала (максимальную э. д. с. условно принимают равной единице).

Полное представление о направленных свойствах антенны дает ее пространственная диаграмма направленности (диаграмма в телесном угле 360°). Однако достаточное для практических целей представление о направленных свойствах антенны можно получить, зная ее диаграммы направленности в горизонтальной (азимутальной) и вертикальной (меридианальной) плоскостях. Более важной, особенно в микроволновых диапазонах, является диаграмма направленности в горизонтальной плоскости.

Диаграмму направленности можно построить либо в полярных (рис. 13-3, а), либо в декартовых (прямоугольных) координатах (рис. 13-3, б).

Область 1 называют **основным лепестком** диаграммы направленности, область 2 — **задним или боковым лепестком** диаграммы направленности; боковых лепестков может быть несколько. Наибольшая э. д. с. на зажимах антенны имеет место в том случае, когда сигнал приходит со стороны максимума основного лепестка диаграммы направленности (сплошная стрелка на рис. 13-3, а).

Ширина диаграммы направленности по половинной мощности — угол, в пределах которого э. д. с. на зажимах антенны уменьшается до уровня 0,707 максимальной э. д. с., а мощность — до уровня 0,5 максимальной мощности (угол φ на рис. 13-3, а).

Уровень задних и боковых лепестков по напряжению γ_U — отношение э. д. с. на зажимах антенны при приеме со стороны максимума наибольшего из задних или боковых лепестков к э. д. с. при приеме со стороны максимума основного лепестка.

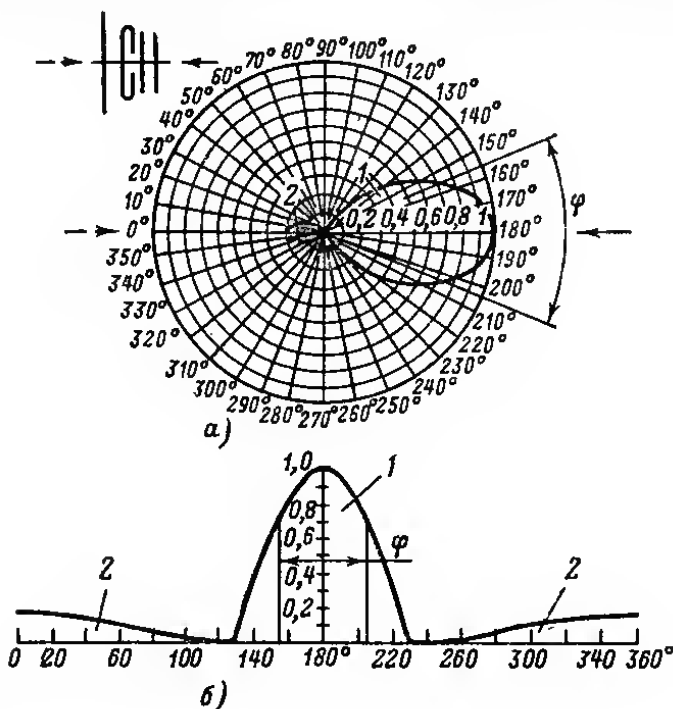


Рис. 13-3.

Уровень задних и боковых лепестков по мощности

$$\gamma_P = \gamma_U^2.$$

Уровень задних и боковых лепестков по напряжению и мощности в процентах

$$\gamma_U \% = 100\gamma_U; \quad \gamma_P \% = 100\gamma_P.$$

Уровень задних и боковых лепестков в децибелах

$$\gamma_{дБ} = 10 \lg \gamma_P = 20 \lg \gamma_U.$$

Например, если $\gamma_U = 0,2$, то $\gamma = -14$ дБ.

Входное сопротивление антенны $z_{вх}$ — отношение напряжения к току на зажимах антенны. Обычно $z_{вх}$ содержит резистивную составляющую $R_{вх}$ и реактивную составляющую $X_{вх}$.

Резистивная составляющая входного сопротивления

$$R_{вх} = R_{\Sigma} + R_{п},$$

где R_{Σ} и R_{Π} — соответственно сопротивление излучения и сопротивление потерь, отнесенные к току $I_{\text{вх}}$ на зажимах антенны.

Сопротивление излучения R_{Σ} характеризует мощность излучения антенны

$$P_{\Sigma} = 0,5 I_{\text{вх}}^2 R_{\Sigma}.$$

Сопротивление потерь R_{Π} характеризует мощность потерь в антенне P_{Π} (в проводниках, изоляторах и т. д.):

$$P_{\Pi} = 0,5 I_{\text{вх}}^2 R_{\Pi}.$$

Сопротивления R_{Σ} и R_{Π} физически (в виде деталей) не существуют и являются коэффициентами при квадрате тока, имеющими размерность сопротивлений.

Модуль полного входного сопротивления антенны

$$z_{\text{вх}} = \sqrt{R_{\Sigma}^2 + X_{\text{вх}}^2}.$$

Чем меньше $X_{\text{вх}}$ и чем ближе R_{Σ} к волновому сопротивлению $z_{\text{в}}$ фидерной линии, тем лучше антенна согласована с фидером.

Коэффициент направленного действия антенны D характеризует выигрыш по мощности в нагрузке благодаря направленным свойствам антенны и представляет собой отношение мощности, которую развивает антенна без потерь на согласованной нагрузке, к мощности, развиваемой на той же нагрузке согласованным с ней воображаемым ненаправленным (изотропным) излучателем при одной и той же напряженности электромагнитного поля в точке приема. При этом предполагается, что антенна ориентирована на максимум приема.

Коэффициент полезного действия антенны η характеризует потери мощности в антенне и представляет собой отношение мощности излучения к сумме мощностей излучения и потерь, т. е. к полной мощности, которая подводится к антенне радиопередающей станции от передатчика:

$$\eta = \frac{P_{\Sigma}}{P_{\Sigma} + P_{\Pi}} = \frac{R_{\Sigma}}{R_{\Sigma} + R_{\Pi}}.$$

Чем меньше сопротивление излучения R_{Σ} и чем больше сопротивление потерь R_{Π} , тем ниже коэффициент полезного действия. У длинноволновых антенн вследствие малости R_{Σ} $\eta \leq 0,1 \div 0,2$. Антенны метровых и дециметровых волн, в частности телевизионные антенны, имеют η , близкий к единице.

Коэффициент усиления антенны по мощности K_P характеризует реальный выигрыш по мощности в нагрузке, даваемый данной антенной по сравнению с ненаправленным излучателем, с учетом направленных свойств антенны и потерь в ней:

$$K_P = D\eta.$$

Коэффициент усиления антенны по напряжению

$$K_U = \sqrt{K_P}.$$

Коэффициент усиления антенны [дБ]

$$K = 10 \lg K_P = 20 \lg K_U.$$

Например, если $K_U = 2$, то $K = 6$ дБ.

Коэффициент усиления антенны тем больше, чем меньше ширина диаграммы направленности и уровень задних и боковых лепестков.

В справочной литературе часто указывают коэффициент усиления не по отношению к ненаправленному излучателю, а по отношению к полуволновому вибратору. Коэффициент усиления антенны по отношению к полуволновому вибратору меньше коэффициента усиления по отношению к ненаправленному излучателю на 2,3 дБ (в 1,64 раза по мощности или в 1,28 раза по напряжению). В данном справочнике указаны коэффициенты усиления антенн по отношению к полуволновому вибратору. Естественно, что свойства антенны не зависят от того, с каким эталоном она сравнивается — с полуволновым вибратором или с ненаправленным излучателем.

Действующая длина антенны l_d — параметр, используемый для характеристики свойств простейших антенн (линейный вибратор, петлевой вибратор и т. д.). Амплитуда тока вдоль линейного полуволнового вибратора меняется по синусоидальному закону (рис. 13-4, а). Заштрихованную площадь

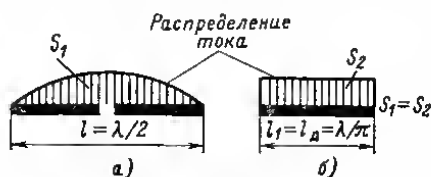


Рис. 13-4.

можно назвать условно «площадью» тока S_1 . Представим себе второй линейный вибратор, вдоль которого ток распределен равномерно с амплитудой, равной амплитуде в центре полуволнового вибратора (рис. 13-4, б). Выберем длину второго вибратора так, чтобы его «площадь» тока S_2 была равна «площади» тока S_1 полуволнового линейного вибратора. Длина такого

вибратора составляет λ/π (λ — длина волны). Следовательно, действующая

длина линейного полуволнового вибратора

$$l_d = \lambda/\pi = \lambda/3,14 = 0,318\lambda.$$

Электродвижущая сила на зажимах вибратора

$$e = I_d E,$$

где E — напряженность поля в точке приема.

В антеннах, используемых для приема передач РВ станций, работающих на ДВ, СВ и КВ с применением вертикально поляризованных волн (антенны в виде вертикального или наклонного провода, Т-образная и Г-образная антенны), ток радиочастоты также распределен неравномерно: пучность (максимальная амплитуда) тока получается в месте подключения приемника или около него. Для таких антенн вместо параметра «действующая длина» пользуются аналогичным по физическому смыслу параметром «действующая высота», который обозначается h_d .

Если антенна согласована с фидерной линией, известны напряженность поля E в точке приема, параметры антенны, тип и длина кабеля снижения, то напряжение на входе приемника (например, телевизионного) можно рассчитать по формуле

$$U_{вх} = E l_d K_U / 2 T_U,$$

где T_U — затухание сигнала по напряжению в фидерной линии; l_d — действующая длина полуволнового вибратора.

Ширина полосы пропускания — полоса частот, в пределах которой неравномерность частотной характеристики (зависимость напряжения на нагрузке от частоты) не превышает заданной. Этот параметр очень важен применительно к телевизионным антеннам, для которых неравномерность частотной характеристики в полосе частот телевизионного канала не должна превышать ± 1 дБ. Ширина полосы пропускания тем больше, чем меньше зависят от частоты коэффициент усиления и входное сопротивление антенны.

Параметры и режимы фидерных линий

Фидерные линии предназначены для передачи энергии радиочастоты от передатчика к передающей антенне, от приемной антенны к приемнику, а также для изготовления симметрирующих и согласующих устройств, междуэтажных соединений в сложных антеннах и т. д.

Основные параметры фидерных линий: волновое сопротивление, коэффициент укорочения длины волны, постоянная распространения и погонное затухание.

Волновое сопротивление — отношение амплитуды падающей волны напряжения в линии к амплитуде падающей волны тока (падающие волны — волны, распространяющиеся по линии от генератора к нагрузке); определяется через погонную индуктивность $L_{\text{пог}}$ и погонную емкость линии $C_{\text{пог}}$ по формуле

$$z_{\text{в}} = \sqrt{L_{\text{пог}}/C_{\text{пог}}}.$$

Волновое сопротивление зависит от формы и взаимного расположения проводников линии, а также от диэлектрической постоянной ϵ и магнитной проницаемости μ материала, разделяющего проводники.

Если сопротивление нагрузки z на конце линии отличается от волнового сопротивления $z_{\text{в}}$, то в линии возникают отраженные волны напряжения и тока, распространяющиеся от нагрузки к генератору.

Коэффициент отражения

$$\rho = U_{\text{отр}}/U_{\text{пад}},$$

где $U_{\text{отр}}$ и $U_{\text{пад}}$ — соответственно амплитуды отраженной и падающей волн.

При наличии отраженных волн распределение амплитуд напряжения (тока) вдоль линии становится неравномерным — пучности (места максимальной амплитуды) напряжения (тока) чередуются с узлами (местами минимальной амплитуды) напряжения (тока), причем расстояние между соседними пучностями и узлом составляет четверть длины волны, между соседними пучностями или соседними узлами — половину длины волны.

Коэффициент бегущей волны к. б. в. $= U_{\text{мин}}/U_{\text{макс}}$, где $U_{\text{мин}}$ и $U_{\text{макс}}$ — соответственно минимальная и максимальная амплитуды напряжения в линии.

Коэффициент бегущей волны и коэффициент отражения связаны соотношением: к. б. в. $= (1 - \rho)/(1 + \rho)$.

Коэффициент стоячей волны — величина, обратная коэффициенту бегущей волны: к. с. в. $= 1/\text{к. б. в.}$.

Если сопротивление нагрузки чисто активно ($z = R$), то при $R < z_{\text{в}}$ к. б. в. $= R/z_{\text{в}}$, при $R > z_{\text{в}}$ к. б. в. $= z_{\text{в}}/R$.

В зависимости от соотношения между волновым сопротивлением линии $z_{\text{в}}$ и сопротивлением нагрузки z (рис. 13-5, а) различают три основных режима работы линий.

Режим бегущей волны (рис. 13-5, б) имеет место при резистивной нагрузке с сопротивлением, равным волновому сопротивлению ($z = R = z_{\text{в}}$). Волны напряжения и тока распространяются только в одном направлении — от генератора

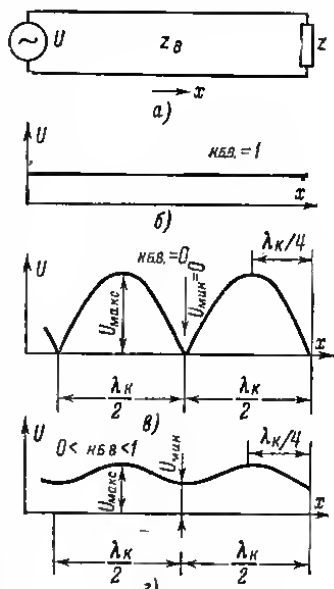


Рис. 13-5.

к нагрузке. Мощность, поступающая из генератора в линию, полностью передается в нагрузку. Амплитуды напряжения и тока вдоль линии — постоянны (к. б. в. = 1). Линия полностью согласована с нагрузкой и работает в наилучший режим.

Режим стоячей волны (рис. 13-5, в) имеет место, когда линия замкнута накоротко ($z = 0$), разомкнута ($z = \infty$) или нагружена на чисто реактивное сопротивление — индуктивность или емкость ($z = jX$). Перепос мощности вдоль линии отсутствует: вся мощность, поступающая из генератора в линию в виде падающих волн напряжения и тока, отражается от конца линии и поступает обратно в генератор. Линия полностью рассогласована с нагрузкой, распределение амплитуд напряжения и тока вдоль линии имеет вид стоячих волн (к. б. в. = 0).

Промежуточный режим (рис. 13-5, г) имеет место при сопротивлении нагрузки, содержащем резистивную и реактивную составляющие ($z = R + jX$), а также при чисто резистивной нагрузке, не равной волновому сопротивлению ($z = R \neq z_0$). Часть мощности, поступающей из генератора в линию, передается в нагрузку, а другая часть отражается от нагрузки и поступает обратно в генератор ($0 < \text{к. б. в.} < 1$).

Измерение к. б. в. проводится с помощью специальных приборов-рефлектометров и измерительных линий. В радиолюбительской практике может быть применен простой и удобный способ измерения к. б. в. в коаксиальном антенном фидере УКВ антенн с помощью измерителя частотных характеристик, например с помощью прибора Х1-19. Измерение производится в следующей последовательности:

а) испытуемую антенну устанавливают на открытой площадке на высоте 3—4 м от земли;

б) переключатель прибора «Род работы» устанавливают в положение «Выход», переключатель «Диапазоны МГц» — в положение, соответствующее диапазону, в котором используется антенна;

в) к гнезду прибора «Выход ВЧ» подключают вспомогательный коаксиальный кабель с волновым сопротивлением 75 Ом (РК-75-9-12, РК-75-4-15, РК-75-4-16, КПТА и т. д.), длиной 15—20 м, второй конец кабеля нужно оставить разомкнутым (холостой ход);

г) измеряют полный размах A кривой, получающейся на экране прибора (по форме эта кривая близка к синусоиде);

д) фидер антенны подключают к разомкнутому концу вспомогательного кабеля, идущего от гнезда прибора «Выход ВЧ» (например, с помощью телевизионного гнезда и штекера) и измеряют полный размах B кривой на экране прибора;

е) к. б. в. вычисляют по формуле: $\text{к. б. в.} = (A - B)/(A + B)$.

Описанный способ позволяет сразу определить к. б. в. в требуемой полосе частот. Несмотря на пониженную точность (относительная погрешность измерения 10—20%) этот способ может быть с успехом использован при настройке антенн, в частности телевизионных, и антенн для спортивной аппаратуры.

При настройке нужно стремиться к тому, чтобы к. б. в. был возможно ближе к единице в рабочей полосе частот.

Коэффициент укорочения длины волны в линии n — отношение длины волны в свободном пространстве λ к длине волны в линии λ_k .

Для экранированных линий, полностью заполненных изоляцией, $n = \sqrt{\epsilon}$, где ϵ — диэлектрическая постоянная изоляции. Наиболее распространенные фидерные линии из коаксиальных кабелей (РК-75-4-15, РК-75-4-11, РК-75-4-12, РК-75-4-16, РК-75-9-12, РК-75-9-13) имеют полиэтиленовую изоляцию с $\epsilon = 2,3$. Поэтому для этих линий (кабелей) $n = 1,52$. Для кабеля КПТА $n = 1,23$. Для воздушных линий экранированных и неэкранированных $n = 1$.

Длина волны в линии $\lambda_k = \lambda/n$.

Пример. Определить длину полуволнового отрезка кабеля РК-75-4-15 на средней частоте третьего телевизионного канала $f = 80$ МГц ($\lambda = 3,75$ м).

1. Длина волны в кабеле

$$\lambda_k = 3,75/1,52 = 2,46 \text{ м.}$$

2. Длина полуволнового отрезка кабеля

$$l = \lambda_k/2 = 2,46/2 = 1,23 \text{ м.}$$

Постоянная распространения фидерной линии α — угол, на который изменяется фаза напряжения (тока) на единицу длины линии $\alpha = 360^\circ/\lambda_k$.

Зная постоянную распространения, можно определить сдвиг фазы в линии заданной длины либо длину линии, обеспечивающую заданный сдвиг фазы

В линии длиной l сдвиг фазы напряжения (тока) $\alpha_l = \alpha l$.

Погонное затухание фидерной линии β — затухание на единицу ее длины; выражается обычно в децибелах на метр [дБ/м] или децибелах на километр [дБ/км].

Затухание в децибелах в линии длиной l $T = \beta l$.

Если β выражено в [дБ/м], значение l подставляют в эту формулу в метрах.

Перевод затухания в децибелах T в затухание в «градах» по напряжению T_U или по мощности T_P , а также обратный перевод производят по таблицам децибел или по формулам

$$T = 20 \lg T_U; \quad \lg T_U = T \text{ [дБ]}/20;$$

$$T = 10 \lg T_P; \quad \lg T_P = T \text{ [дБ]}/10.$$

С увеличением частоты затухание в линии возрастает.

Типы фидерных линий

Гибкие кабели. Конструкция гибкого коаксиального кабеля показана на рис. 13-6. Здесь d_1 — диаметр внутренней жилы, d_2 — внутренний диаметр металлического чулка (диаметр по изоляции), d_3 — наружный диаметр кабеля. Электрические параметры и основные конструктивные данные коаксиальных кабелей приведены в табл. 13-1 и 13-2.

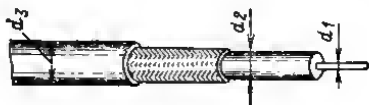


Рис. 13-6.

Жесткие линии. Различные типы экранированных линий показаны на рис. 13-7, а, б; неэкранированных — на рис. 13-7, в, г, д. Волновые сопротивления линий в Омах:

коаксиальная линия (рис. 13-7, а)

$$z_w = 138 \lg \frac{A}{d};$$

двухпроводная экранированная линия (рис. 13-7, б)

$$z_w = 276 \lg \left(\frac{2a}{d} \frac{A^2 - a^2}{A^2 + a^2} \right) \text{ при } \frac{A}{d} > 4;$$

двухпроводная неэкранированная линия (рис. 13-7, в)

$$z_w = 276 \lg \frac{2a}{d} \text{ при } \frac{a}{d} > 2;$$

ленточная линия (рис. 13-7, *з*)

$$z_{\text{в}} = 377 \frac{A}{A+a} \quad \text{при} \quad \frac{A}{a} < 2.$$

Волновые сопротивления коаксиальной и двухпроводной неэкранированной линий (рис. 13-7, *а* и *б*) можно определить также по графикам на рис. 13-8 и 13-9

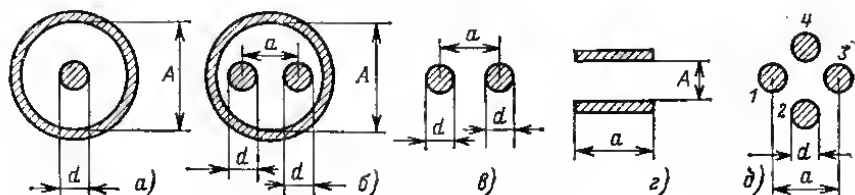


Рис. 13-7.

соответственно. Волновое сопротивление четырехпроводной линии (рис. 13-7, *д*) определяется по графику на рис. 13-10. Кривая 1 на этом графике относится к случаю, когда напряжение приложено между попарно соединенными проводниками 1—2 и 3—4, кривая 2 — к случаю, когда напряжение приложено между попарно соединенными проводниками 1—3 и 2—4. Четырехпроводную линию применяют для получения волнового сопротивления 50—150 Ом, двухпроводную — 150—400 Ом.

Волновое сопротивление экранированной линии (коаксиальной, двухпроводной) при сплошном заполнении диэлектриком уменьшается в $\sqrt{\epsilon}$ раз.

Таблица 13-1

Параметры коаксиальных кабелей

Тип кабеля*	$z_{\text{в}},$ Ом	$C_{\text{пог}},$ пФ/м, не бо- лее	Размеры (рис. 13-6)			Мини- мально допусти- мый радиус изгиба, мм
			$d_1,$ мм	$d_2,$ мм	$d_3,$ мм	
РК-75-4-15 (РК-1)	75 ± 3	76	0,72	$4,6 \pm 0,2$	$7,3 \pm 0,4$	70
РК-75-4-11 (РК-101)	75 ± 3	72	0,72	$4,6 \pm 0,2$	$7,3 \pm 0,4$	70
РК-75-4-16 (РК-49)	75 ± 3	76	0,78**	$4,6 \pm 0,2$	$7,3 \pm 0,4$	70
РК-75-4-12 (РК-149)	75 ± 3	76	0,78**	$4,6 \pm 0,2$	$7,3 \pm 0,4$	70
РК-75-9-12 (РК-3)	75 ± 3	75	1,35	$9,0 \pm 0,5$	$12,2 \pm 0,8$	120
РК-75-9-13 (РК-103)	75 ± 3	75	1,35	$9,0 \pm 0,5$	$12,2 \pm 0,8$	120
КПТА	$75 \pm 7,5$	—	0,52	$2,4 \pm 0,1$	$4,0 \pm 0,2$	40
РК-50-9-12 (РК-6)	50 ± 2	110	2,70**	$9,0 \pm 0,5$	$12,2 \pm 0,8$	120
РК-50-9-11 (РК-106)	50 ± 2	110	2,70**	$9,0 \pm 0,5$	$12,2 \pm 0,8$	120
РК-50-7-15 (РК-47)	50 ± 2	115	2,28**	$7,3 \pm 0,3$	$10,3 \pm 0,6$	100
РК-50-7-11 (РК-147)	50 ± 2	115	2,28**	$7,3 \pm 0,3$	$10,3 \pm 0,6$	100

* В скобках указаны старые обозначения.

** Семижильный проводник.

Таблица 13-2

Погонное затухание коаксиальных кабелей на средних частотах телевизионных каналов
и диапазона радиовещания на УКВ

Тип кабеля	Номера телевизионных каналов												Радио- вещание из УКВ
	Погонное затухание β , дБ/м												
	1	2	3	4	5	6	7	8	9	10	11	12	
РК-75-4-15 (РК-1)	0,072	0,079	0,090	0,094	0,098	0,135	0,139	0,143	0,146	0,150	0,152	0,154	0,083
РК-75-4-11 (РК-101)	0,072	0,079	0,090	0,094	0,098	0,135	0,139	0,143	0,146	0,150	0,152	0,154	0,083
РК-75-4-16 (РК-49)	0,068	0,079	0,094	0,100	0,107	0,171	0,177	0,183	0,189	0,195	0,199	0,204	0,086
РК-75-4-12 (РК-149)	0,064	0,073	0,090	0,096	0,103	0,169	0,165	0,171	0,176	0,181	0,186	0,190	0,081
РК-75-9-12 (РК-3)	0,042	0,046	0,053	0,056	0,061	0,092	0,095	0,098	0,100	0,105	0,108	0,112	0,049
РК-75-9-13 (РК-103)	0,042	0,046	0,052	0,056	0,058	0,088	0,090	0,093	0,095	0,097	0,100	0,102	0,048
КПТА	0,091	0,100	0,119	0,127	0,134	0,192	0,196	0,201	0,205	0,210	0,215	0,219	0,108

Изолирующие шайбы жестких линий могут быть изготовлены из оргстекла, полистирола, фторопласта. Размеры шайб выбирают так, чтобы волновое сопро-

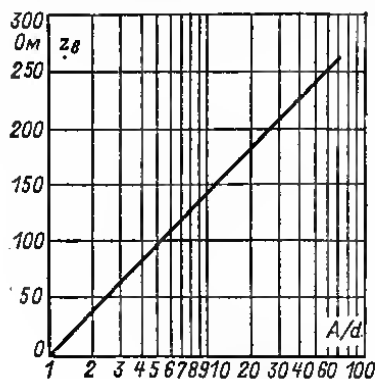


Рис. 13-8.

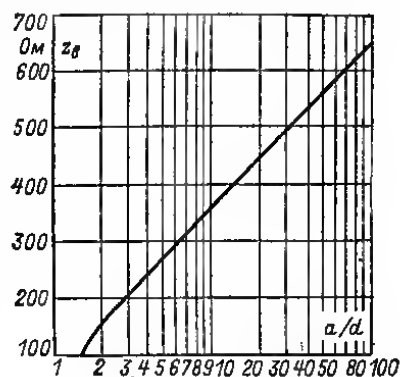


Рис. 13-9.

тивление на участке линии, занимаемом шайбой, было равно волновому сопротивлению остальной линии. Размеры шайбы из полистирола ($\epsilon = 2,5$) для коаксиальной линии с $Z_0 = 75$ Ом показаны на рис. 13-11: $A/d_1 = 3,5$; $A/d_2 = 7,0$; материал шайбы — полистирол. Шайбу выполняют из двух половин, что позволяет «утопить» ее в проточке внутреннего проводника.

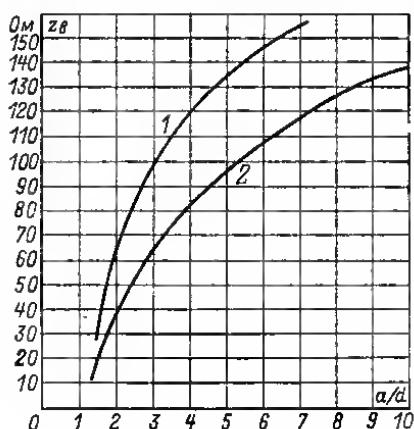


Рис. 13-10.

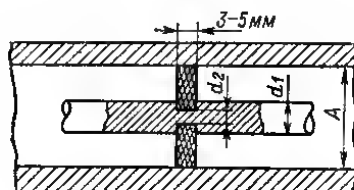


Рис. 13-11.

13-2. ПРИЕМНЫЕ АНТЕННЫ УКВ

Выбор конструкции антенны

Простейшими антеннами для приема телевизионных передач на расстояниях до 40—60 км от телецентра, приема радиовещательных передач на УКВ и для любительской связи являются полуволновые симметричные вибраторы. Такие вибраторы имеют коэффициент усиления $K_U = 1$ (0 дБ). При горизонтальном расположении вибратора диаграмма направленности в горизонтальной плоскости имеет форму восьмерки, в вертикальной — форму окружности.

Направленные антенны используют для приема телевизионных передач на расстояниях более 40—60 км от телецентра и для увеличения дальности связи на УКВ (если известно направление на корреспондента). Для дальнего приема телевидения (на расстояниях более 80—100 км) следует использовать многоэлементные антенны с большим коэффициентом усиления, а также более сложные антенны, состоящие из нескольких многоэлементных антенн, разнесенных в горизонтальной и вертикальной плоскостях. При значительном уровне отраженных сигналов и других помех телевизионному приему направленные антенны целесообразно применять и на меньших расстояниях от телецентра.

Простейшие антенны УКВ

Линейный разрезной вибратор (рис. 13-12, а). Его входное сопротивление 73 Ом; ширина рабочей полосы частот $\pm 15\%$ от средней частоты. Длину вибратора можно найти по табл. 13-3 или вычислить по формуле

$$l = \frac{\lambda}{2} \left(1 - \frac{\delta}{100} \right),$$

где δ — коэффициент укорочения полуволнового вибратора в процентах, определяемый по графику на рис. 13-13.

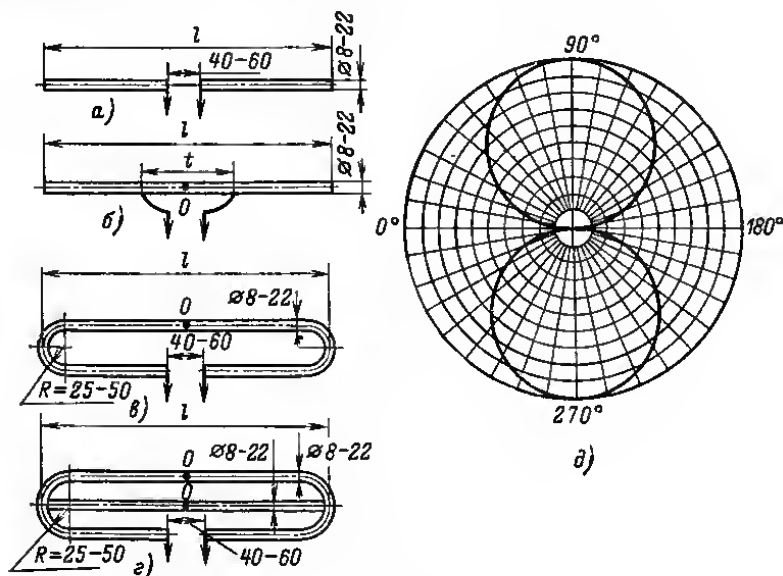


Рис. 13-12.

Если вибратор рассчитывают на прием нескольких телевизионных каналов, длину l определяют для средней частоты полосы частот, занимаемой этими каналами.

Линейный неразрезной вибратор (рис. 13-12, б). Длину вибратора определяют по той же формуле, что и для разрезного вибратора. Входное сопротивление зависит от отношения t/l . При $t/l = 0,2$ входное сопротивление $R_{вх}$ равно 100 Ом; при $t/l = 0,3$ $R_{вх} = 200$ Ом, при $t/l = 0,4$ $R_{вх} = 350$ Ом. Ширина рабочей полосы

частот $\pm 8 \div 10\%$ средней частоты. Такой вибратор часто называют вибратором с шунтовым питанием.

Таблица 13-3

Длина вибраторов для приема ТВ и РВ программ и любительской связи на УКВ

Длина вибратора	Номера телевизионных каналов									Радиовещание УКВ	Диапазоны для связи	
	1	2	3	4	5	6,7	8,9	10—12	6—12		2 м	70 см
Длина линейного разрезного вибратора l , мм	2790	2370	1790	1630	1490	750	690	625	675	2120	970	320
Длина петлевого вибратора l , мм	2740	2300	1740	1580	1450	730	670	605	655	2060	940	310

Петлевой вибратор (рис. 13-12, в). Входное сопротивление 292 Ом, ширина рабочей полосы частот $\pm 20\%$ средней частоты. Длину l рассчитывают по той же

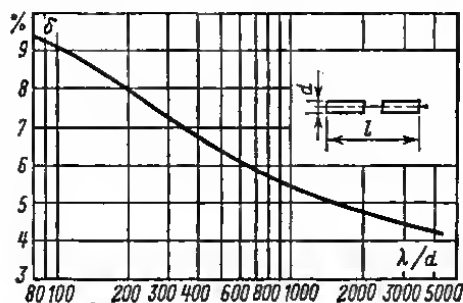


Рис. 13-13.

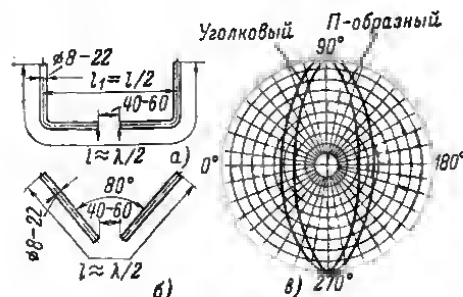


Рис. 13-14.

формуле, что и для линейных вибраторов. При определении коэффициента укорочения δ по графику на рис. 13-13 под диаметром вибратора нужно понимать эквивалентный диаметр $d_{\text{экв}} = \sqrt{2Sd}$, где S — расстояние между осями трубок, d — диаметр трубки. Расстояние S обычно принимают равным 80—100 мм на метровых волнах и 30—60 мм на дециметровых.

В случае приема на нескольких телевизионных каналах длина определяется для средней частоты полосы частот, занимаемой этими каналами.

Двойной петлевой вибратор (рис. 13-12, г) имеет входное сопротивление 660 Ом. Остальные параметры — те же, что у петлевого вибратора.

Диаграмма направленности вибраторов, показанных на рис. 13-12, а—г в горизонтальной плоскости, приведена на рис. 13-12, д.

Все эти вибраторы, кроме линейного разрезного (рис. 13-12, а), крепят к любой мачте, металлической или деревянной, в точке нулевого потенциала (точка «0» на рис. 13-12, б—г) без промежуточных изоляторов (например, с помощью металлических хомутов или сварки).

Крепление на мачте линейного разрезного вибратора производят с помощью диэлектрической платы. Места припайки кабелей должны быть защищены от влаги с помощью монтажных коробов, которые желательно залить

эпоксидной смолой или церезином. Ориентировку вибраторов нужно производить так, чтобы направление на принимаемую станцию было перпендикулярно продольной оси вибраторов.

Наибольшее распространение на практике получили линейный разрезной и петлевой вибраторы, так как они имеют несколько более широкую полосу пропускания, чем остальные вибраторы, и легко согласуются с коаксиальными кабелями с волновым сопротивлением 75 Ом.

П-образный (рис. 13-14, а) и уголкового (рис. 13-14, б) полуволновые вибраторы следует применять, когда нужно вести прием сигналов с различных направлений (или передачу в различных направлениях), так как диаграммы направленности этих вибраторов в горизонтальной плоскости (рис. 13-14, а) не имеют резких провалов («нулей»). Длина вибраторов l определяется по той же формуле, что и для линейного и петлевого вибраторов. Входное сопротивление П-образного вибратора имеет последовательно включенные резистивную составляющую $R_{вх} = 35$ Ом и реактивную составляющую емкостного характера $x_{вх} = 50$ Ом. Уголкового вибратор имеет резистивное входное сопротивление 30 Ом.

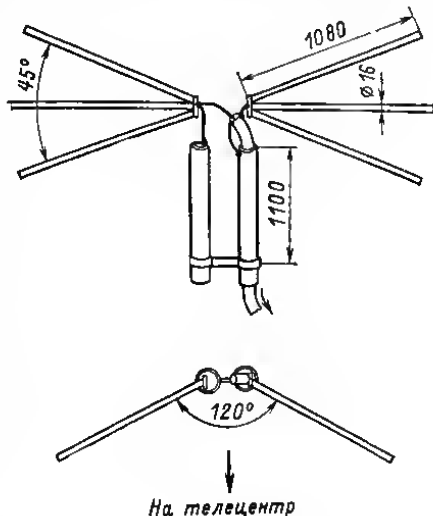


Рис. 13-15.

Широкополосный всеорный вибратор (рис. 13-15) может быть использован для приема телевизионных передач на каналах 1—12. Полная его длина составляет примерно $\lambda/2$ на средней частоте каналов 1—5 ($f_{ср} = 72$ МГц) и $3\lambda/2$ на средней частоте каналов 6—12 ($f_{ср} = 200$ МГц). На каналах 1—5 $K_U = 1,0$ (0 дБ), на каналах 6—12 $K_U = 1,18$ (1,5 дБ).

Симметрирующие-согласующие устройства

Симметрирование производят в тех случаях, когда к симметричной антенне нужно подключить коаксиальную фидерную линию. Симметрирующее устройство устраняет токи радиочастоты на наружной поверхности экрана кабеля и искажения диаграммы направленности антенны. Симметрирование приемных антенн увеличивает помехозащищенность приема, передающих — повышает устойчивость работы выходного каскада передатчика.

Согласование антенн проводят с целью обеспечения высокого к. в. в фидерной линии. Согласующее устройство преобразует входное сопротивление антенны в сопротивление, близкое или равное волновому сопротивлению фидерной линии.

Кабель 3 подключают к симметричным полуволновым вибраторам 1 (рис. 13-16) с помощью симметрирующе-согласующих устройств, обеспечивающих одновременно симметрирование и согласование. Эти устройства могут быть использованы в следующих полосах частот (в процентах от средней частоты): фазосдвигающее колено 2 (рис. 13-16, а) — $\pm 5\%$, волновое U-образное колено (рис. 13-16, б) и четвертьволновый мостик (рис. 13-16, в) — $\pm 6-8\%$, четвертьволновый стакан (рис. 13-16, г) и полуволновое U-образное колено (рис. 13-16, д) — $\pm 15-20\%$.

Фидерную линию 3 и U-образное колено 4 изготавливают из кабеля с $z_{\text{в}} = 75 \text{ Ом}$.

В конструкциях на рис. 13-16, а и г трубки 5, 6 и перемычка 7 — металлические, а детали 8 и 9 — из изоляционных материалов (текстолит, оргстекло, полистирол). Трубки 5 и 6 в конструкции на рис. 13-16, г соединяют круговой сваркой или пайкой 10.

Проволочный трансформатор 300/75 Ом (рис. 13-16, е) можно использовать для симметрирования и согласования любых широкополосных телевизионных антенн, имеющих $z_{\text{вх}} \approx 300 \text{ Ом}$. Четыре катушки трансформатора намотаны

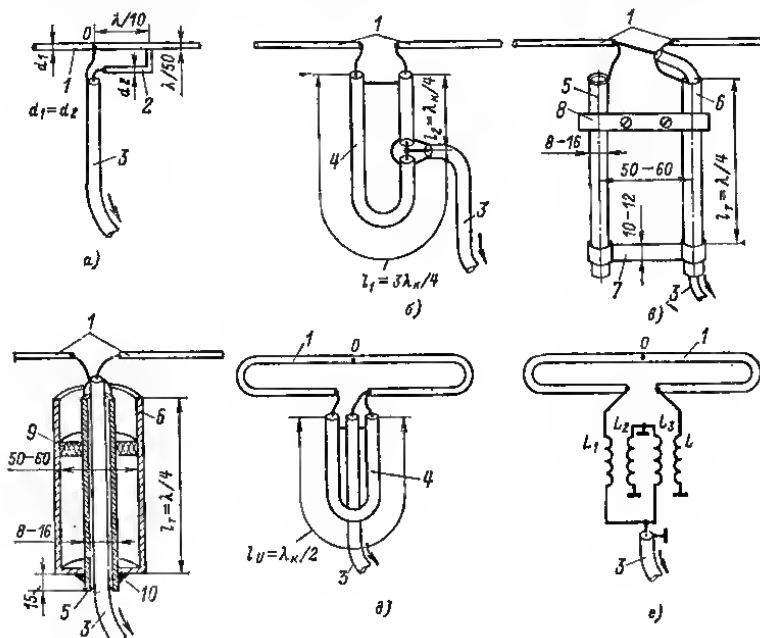


Рис. 13-16.

попарно на двух каркасах диаметром 6—8 мм. Каждая катушка содержит по 12 витков ПЭЛШО 0,3. Намотка — сплошная, в два провода. Расстояние между каркасами 15—20 мм.

К П-образному и уголкового вибраторам кабель подключают с помощью волнового U-образного колена (рис. 13-16, б) или четвертьволнового мостика (рис. 13-16, в).

При изготовлении УКВ антенн (например, многоэтажных) бывает необходимо согласовать фидерную линию с сопротивлением нагрузки R , не равным волновому сопротивлению линии $z_{\text{в}}$. Для этой цели между нагрузкой и линией включают согласующий четвертьволновый трансформатор, представляющий собой отрезок кабеля длиной $\lambda_k/4$ с волновым сопротивлением

$$z_{\text{тр}} = \sqrt{z_{\text{в}} R}.$$

Если кабель с таким волновым сопротивлением отсутствует, то трансформатор можно изготовить либо из отрезка жесткой линии, либо из нескольких соединенных параллельно отрезков кабеля (например, трансформатор с $z_{\text{тр}} = 38 \text{ Ом}$ можно изготовить из двух кабелей с волновым сопротивлением 75 Ом).

Антенны типа «волновой канал»

Наиболее распространенная направленная антенна «волновой канал» (рис. 13-17, а) состоит из активного полуволнового вибратора 1 (обычно петлевого), рефлектора 2 и нескольких директоров 3, укрепленных на несущей стреле 4 с помощью скоб 5 или сварки. Стрела устанавливается на мачте 9. Подключение фидерной линии 6 к активному вибратору производят с помощью симметрирующе-согласующего устройства 7, 8, как показано на рис. 13-16, д. Активный вибратор, рефлектор и директоры называют элементами антенны. Максимум диаграммы направленности антенны обращен в сторону директоров (направление максималь-

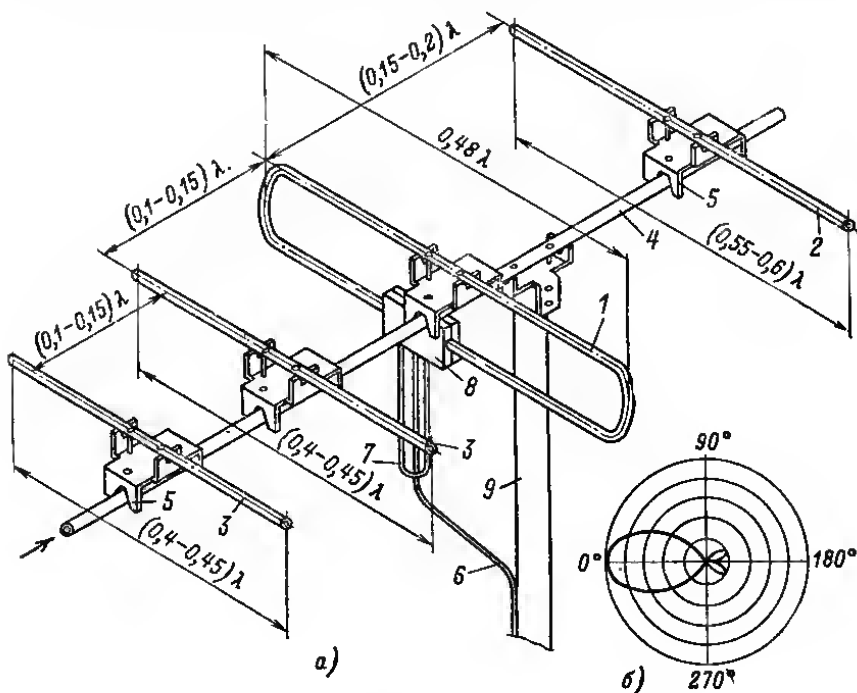


Рис. 13-17.

ной силы приема показано на рис. 13-17, а стрелкой). С увеличением числа директоров коэффициент усиления антенны возрастает. Ширина рабочей полосы частот антенны составляет 8—10%. Примерный вид диаграммы направленности показан на рис. 13-17, б.

Для телевизионного приема обычно применяют антенны «волновой канал», показанные на рис. 13-18, а—г. Размеры этих антенн, а также их основные электрические параметры указаны в табл. 13-4—13-7.

В зависимости от расстояния до телецентра нужно применять следующие антенны: для приема на каналах 1—5 при расстояниях 40—60 км — трехэлементные, 60—70 км — пятиэлементные, 70—80 км — семиэлементные; на каналах 6—12 при расстояниях 40—50 км — трехэлементные, 50—60 км — пятиэлементные, 60—70 км — семиэлементные, 70—80 км — одиннадцатиэлементные; на каналах 21—41 при расстояниях 40—60 км — семиэлементные, 60—70 км — одиннадцатиэлементные.

Таблица 13-4

Размеры и электрические параметры трехэлементных антенн для приема ТВ и РВ программ и любительских связей на УКВ (рис. 13-18, а)

Размеры, мм, и электрические параметры	Номера телевизионных каналов												Радиовещание на УКВ	Диапазоны для связи		
														2 м	70 см	
	1	2	3	4	5	6	7	8	9	10	11	12	6—12			
A	3040	2580	2000	1820	1660	900	860	825	795	765	730	705	830	2300	1100	365
B	2710	2300	1780	1620	1480	795	765	735	705	680	650	630	640	2050	980	325
B	2360	2000	1550	1410	1290	695	665	640	615	590	570	550	620	1800	930	310
a	800	800	800	800	800	550	550	550	550	550	550	550	550	800	600	210
б	880	750	580	530	480	260	250	240	230	225	215	205	275	675	295	100
в	595	505	390	355	325	175	170	265	155	150	145	140	110	450	295	100
K, дБ	5,0	5,0	5,5	5,5	5,5	6,5	6,5	6,5	6,5	6,5	6,5	6,5	4,5	5,0	6,5	7,0
φ°	66	66	64	64	64	60	60	60	60	60	60	60	68	66	60	55
γ, дБ	—15	—15	—15	—15	—15	—17	—17	—17	—17	—17	—17	—17	—14	—15	—17	—20

Таблица 13-6
Размеры и электрические параметры элементов антенн для приема ТВ и РВ
программ на УКВ (рис. 13-18, а)

Размеры, мм, и электри- ческие па- раме- тры	Номера телевизионных каналов																	Радиовещание на УКВ	
	1	2	3	4	5	6	7	8	9	10	11	12	6—12	21—25	26—30	31—35	36—41		21—41
A	3220	2730	2120	1920	1760	925	885	850	815	785	755	730	830	377	348	324	303	336	2450
B	2760	2340	1810	1650	1510	710	680	650	625	600	580	560	665	308	284	264	247	274	2100
B	2200	1870	1450	1320	1200	700	670	640	620	595	570	555	630	293	270	252	235	261	1690
Г	2180	1850	1430	1300	1190	655	625	600	575	555	535	515	590	290	267	249	232	258	1670
Д	2160	1830	1415	1290	1180	620	595	570	545	525	505	485	555	287	264	246	229	255	1650
E	2130	1810	1400	1270	1160	565	540	520	500	480	460	445	515	283	260	243	226	252	1630
Ж	2105	1790	1380	1260	1150	520	500	480	460	440	425	410	470	279	257	240	223	249	1610
a	800	800	800	800	800	550	550	550	550	550	550	550	550	240	240	240	240	240	800
б	1080	910	710	645	590	310	295	285	275	265	255	245	260	140	129	120	112	125	820
в	415	350	275	250	225	125	120	115	110	105	100	95	110	72	67	62	58	64	320
г	810	685	530	485	445	245	235	225	215	205	200	190	220	92	85	79	74	82	615
д	845	715	560	505	460	385	370	355	340	325	315	305	345	104	96	89	83	92	610
е	870	735	570	520	475	400	385	370	350	330	325	320	365	121	112	104	97	104	660
ж	905	765	595	540	495	425	405	390	375	360	345	335	385	132	122	114	105	117	690
K, дБ	9,5	9,5	10,0	10,0	10,0	10,5	10,5	10,5	10,5	10,5	10,5	10,5	8,0	10,0	10,0	10,0	10,0	7,5	9,5
φ°	48	48	46	46	46	44	44	44	44	44	44	44	50	46	46	46	46	50	48
γ, дБ	-18	-18	-18	-18	-18	-20	-20	-20	-20	-20	-20	-20	-14	-18	-18	-18	-18	-12	-18
S	100	100	100	100	100	100	100	100	100	100	100	100	100	40	40	40	40	40	100

Таблица 13-7

Размеры и электрические параметры одиннадцатиполосных антенн на телевизионные каналы 6—12 и 21—41 (рис. 13-8, з)

Размеры, мм, и элек- трические параметры	Номера телевизионных каналов												
	6	7	8	9	10	11	12	6—12	21—25	26—30	31—35	36—41	21—41
А	850	810	780	750	720	695	670	830	377	348	324	303	336
Б	740	710	680	655	630	605	580	665	308	284	264	247	274
В	730	700	670	645	620	595	570	630	293	270	252	235	261
Г	700	670	640	615	590	570	550	590	290	267	249	232	258
Д	690	660	635	610	585	565	545	555	287	264	246	229	255
Е	680	650	625	600	575	555	535	515	283	260	243	226	252
Ж	670	640	615	590	565	545	525	470	279	257	240	223	249
З	645	620	590	570	550	530	510	445	276	254	237	220	246
И	645	620	590	570	550	530	510	420	272	251	234	217	243
К	645	620	590	570	550	530	510	405	269	248	231	214	240
Л	645	620	590	570	550	530	510	395	265	245	228	210	237
а	550	550	550	550	550	550	550	550	240	240	240	240	240
б	420	400	385	370	355	340	325	260	140	129	120	112	125
в	210	195	185	180	170	165	160	110	72	67	62	58	64
г	385	370	355	340	325	315	305	220	92	85	79	74	82
д	510	490	470	450	430	415	400	345	104	96	89	83	92
е	315	305	290	280	270	260	250	365	121	112	104	97	104
ж	425	405	390	375	360	345	330	385	132	122	113	105	117
з	360	345	335	320	305	295	285	405	133	123	114	106	118
и	505	480	460	445	426	410	395	425	134	124	115	107	119
к	415	395	380	365	350	335	320	450	136	126	117	109	121
л	435	420	400	385	370	355	340	480	137	127	118	110	122
с	100	100	100	100	100	100	100	100	40	40	40	40	40
К, дБ	12,0	12,0	12,0	12,0	12,0	12,0	12,0	9,0	11,5	11,5	11,5	11,5	8,5
φ°, дБ	38	38	38	38	38	38	38	42	40	40	40	40	42
γ, дБ	—22	—22	—22	—22	—22	—22	—22	—18	—20	—20	—20	—20	—16

Активный вибратор, рефлектор и директоры изготавливают из трубок следующих наружных диаметров: 16—22 мм для каналов 1—5; 10—14 мм для каналов 6—12; 8—10 мм для каналов 21—41. Толщина стенки 1—1,5 мм. Несущую стрелу изготавливают из трубы наружным диаметром 30—35 мм для каналов 1—5, 18—22 мм для каналов 6—12 и 14—16 мм для каналов 21—41. Толщина стенки 2—2,5 мм. Мачту изготавливают из трубы наружным диаметром 30—50 мм со

стенкой толщиной 3—4 мм или из деревянного бруса размером 60 × 60 мм. Крепить мачту лучше всего в центре тяжести стрелы с вибраторами. При значительной длине стрелы между ее концом и мачтой нужно установить подкос.

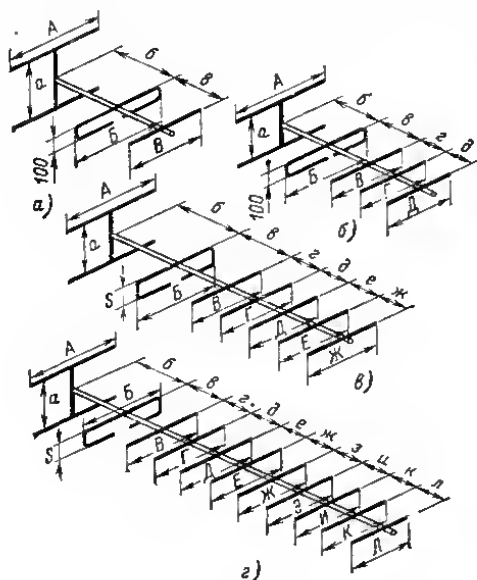


Рис. 13-18.

Многоканальные антенны

Ширину полосы пропускания антенны типа «волновой канал» можно увеличить до ± 30 —40% за счет некоторого снижения коэффициента усиления. Практически это достигается за счет специального подбора размеров элементов и расстояний между ними.

Антенны типа «волновой канал» с расширенной полосой пропускания показаны на рис. 13-19. Антенна на рис. 13-19, а может быть использована для телевизионного приема при следующих сочетаниях каналов: 1 и 3, 1 и 4, 2 и 4, 2 и 5. Размеры антенны для каждого

из этих сочетаний каналов приведены в табл. 13-8. На рис. 13-19, б показаны размеры антенны на телевизионные каналы 1 и 5, на рис. 13-19, в — на каналы 3 и 5. Фидерная линия из коаксиального кабеля с $z_{\text{в}} = 75$ Ом подключается к петлевым вибраторам через проволочный симметрирующе-согласующий трансформатор 300/75, как показано на рис. 13-16, е. Диаметр трубок — от 16 до 22 мм.

Антенны на каналы 1 и 3, 1 и 4, 2 и 5 имеют коэффициент усиления 4 дБ, уровень задних лепестков — от —12 до —20 дБ, к. б. в. — от 0,5 до 0,8; антенна на каналы 3 и 5 имеет коэффициент усиления 7 дБ, уровень задних лепестков — от —14 до —24 дБ, к. б. в. — от 0,5 до 0,85.

Широкополосные антенны

Логопериодические антенны. Широкополосные направленные антенны, работающие без перестройки в десяти-двадцатикратном и более широком диапазоне волн применяют в качестве связных антенн на КВ и УКВ, а также для приема телевизионных передач на расстоянии до 60—70 км от телецентра на каналах 1—12.

Простой вариант антенны, применяемой на УКВ, показан на рис. 13-20. Антенна состоит из ряда вибраторов, подключенных с последовательной переменной фазы к двухпроводной линии. Длины вибраторов и расстояния между ними уменьшаются в геометрической прогрессии в направлении к точкам подключения кабеля.

Позади самого длинного вибратора устанавливают короткозамыкающую перемычку, которая улучшает согласование антенны с фидерной линией. Расстояние от перемычки до вибратора подбирают экспериментально. Фидерная линия (коаксиальный кабель с $z_0 = 75$ Ом) проходит внутри одной из трубок двухпроводной линии (безразлично — верхней или нижней) и припаивается со стороны самого короткого вибратора, как показано на рис. 13-20.

Электрические параметры и размеры антенны определяются периодом структуры τ , равным отношению длины последующего вибратора к длине предыдущего

Таблица 13-8
Размеры многоканальных антенн

Размеры, мм	Номера телевизионных каналов			
	1 и 3	1 и 4	2 и 4	2 и 5
A	3045	2945	2780	2560
B	2540	2540	2315	2130
B	1670	1515	1525	1405
Г	1540	1460	1410	1295
Д	1490	1440	1385	1255
a	940	940	860	790
б	215	190	197	180
в	580	690	530	487
г	670	710	612	563
S	150	150	150	150
p	140	140	140	140

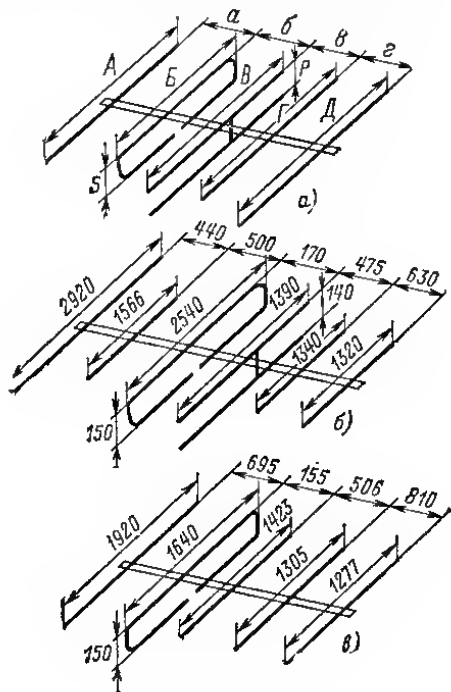


Рис. 13-19.

(знаменатель геометрической прогрессии), и углом ψ при вершине треугольника, в который вписаны вибраторы. Чем ближе период структуры τ к единице и чем меньше угол ψ , тем выше коэффициент усиления. Однако при этом возрастают габариты антенны. На практике принимают обычно $\tau = 0,8 \div 0,9$ и $\psi = 30 \div 45^\circ$.

На каждой частоте рабочего диапазона волн в приеме участвуют те вибраторы, резонансные частоты которых наиболее близки к этой частоте (три-четыре вибратора). Поэтому коэффициент усиления антенны на любом из 12 каналов получается примерно таким же, как у одноканальной трех-, четырехэлементной антенны типа «волновой канал» ($K = 5 \div 6$ дБ).

Расчет антенны. Для расчета размеров антенны нужно знать крайние волны рабочего диапазона $\lambda_{\text{макс}}$ и $\lambda_{\text{мин}}$. Сначала определяют длину наибольшего вибратора l_1 , которая должна быть равна $0,55 \lambda_{\text{макс}}$.

Затем строятся равнобедренный треугольник с выбранным углом ψ при вершине ($30-45^\circ$) и основанием, равным в масштабе построения длине наибольшего вибратора l_1 .

Второй вибратор располагается на расстоянии $d_1 = (0,15 \div 0,18) \lambda_{\text{макс}}$ от первого (в масштабе построения).

Длина второго вибратора определится при этом однозначно, так как он должен полностью вписываться в треугольник. Далее определяется длина третьего вибратора на расстоянии $d_2 = d_1$ от второго, четвертого — на расстоянии $d_3 = d_2$ от третьего и т. д. Построение продолжают до тех пор, пока длина очеред-

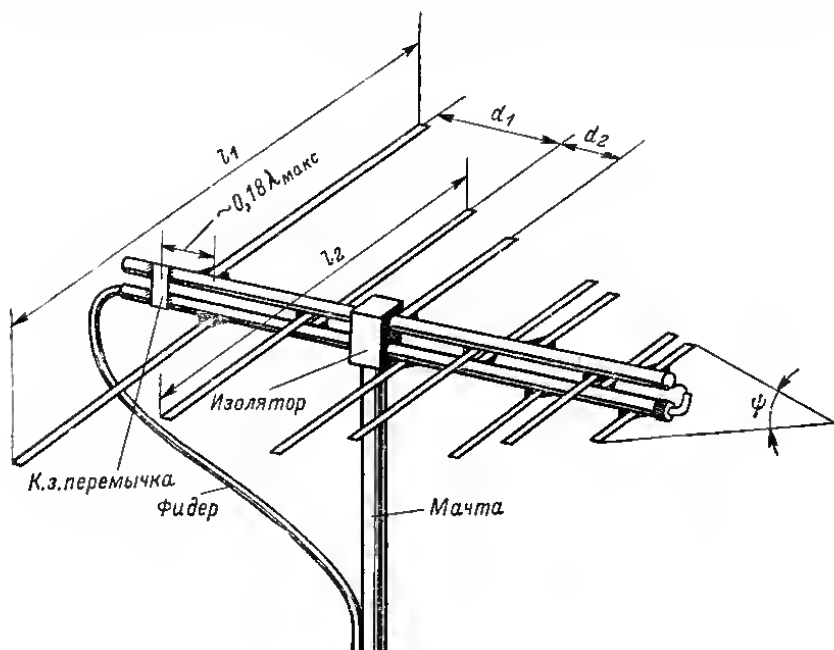


Рис. 13-20.

ного вибратора, вписанного в треугольник, будет равна примерно $0,45\lambda_{\text{мин}}$. Этот вибратор и будет последним.

Размеры антенны на телевизионные каналы 1—12 показаны на рис. 13-21, а; на каналы 1—5 — на рис. 13-21, б; на каналы 6—12 — на рис. 13-21, в. Коэффициент усиления 6 дБ, уровень задних лепестков — 12 дБ, к. б. в. более 0,5. Расстояние между центрами трубок двухпроводной линии 32 мм, диаметр трубок 22 мм, диаметр вибраторов 12 мм.

Антенны для дальнего приема телевидения

Для приема телевизионных передач на расстояниях более 80—100 км применяют многоступенчатые антенны «волновой канал».

Двухэтажная антенна. Схемы расположения элементов и кабельных соединений показаны на рис. 13-22, а. Коэффициент усиления $K = K_1 + 3$, где K_1 — коэффициент усиления одного этажа, дБ.

Четырехэтажная антенна. Схемы расположения элементов и кабельных соединений показаны на рис. 13-22, б. Коэффициент усиления $K = K_1 + 6$.

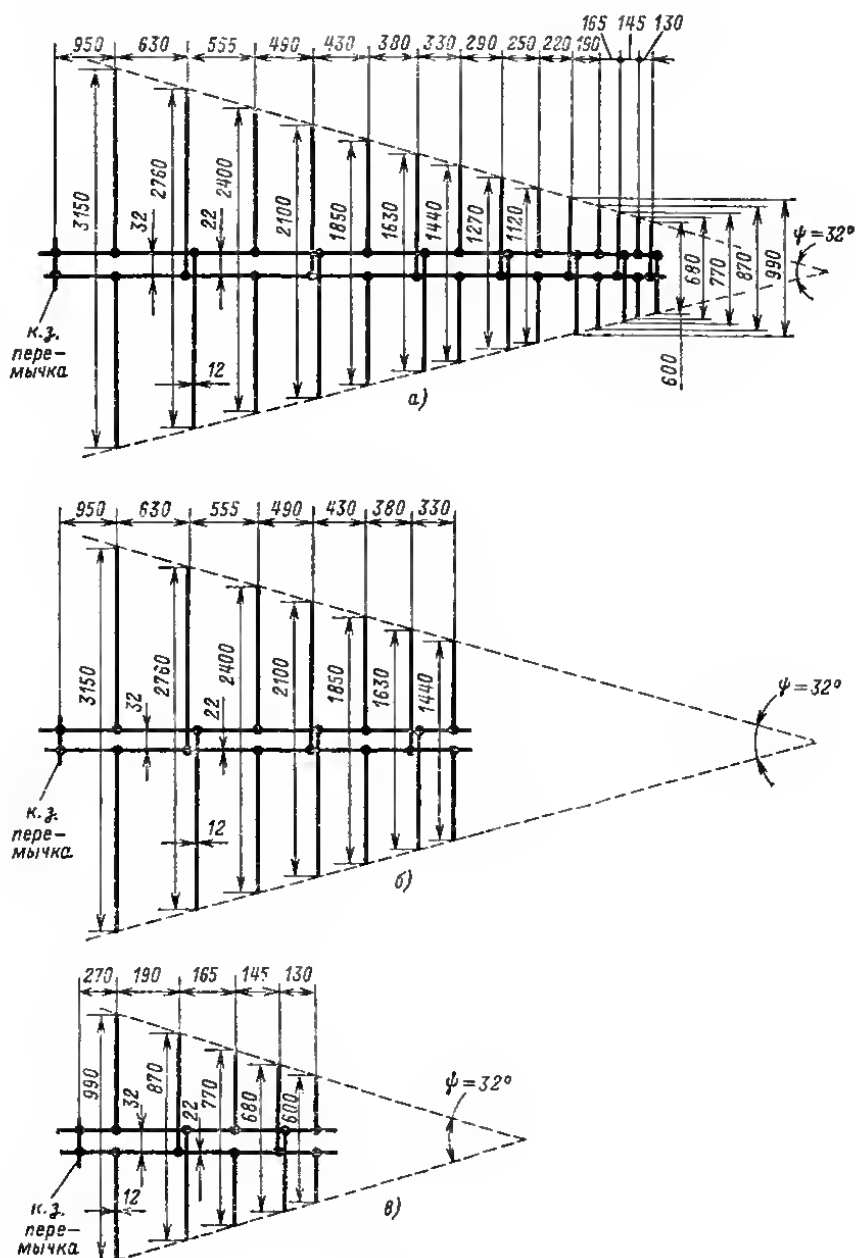


Рис. 13-21.

Полотно каждого этажа двухэтажной и четырехэтажной антенны изготавливают согласно рис. 13-18 и табл. 13-4—13-7. В обеих антеннах все кабели должны иметь $z_{\text{в}} = 75 \text{ Ом}$.

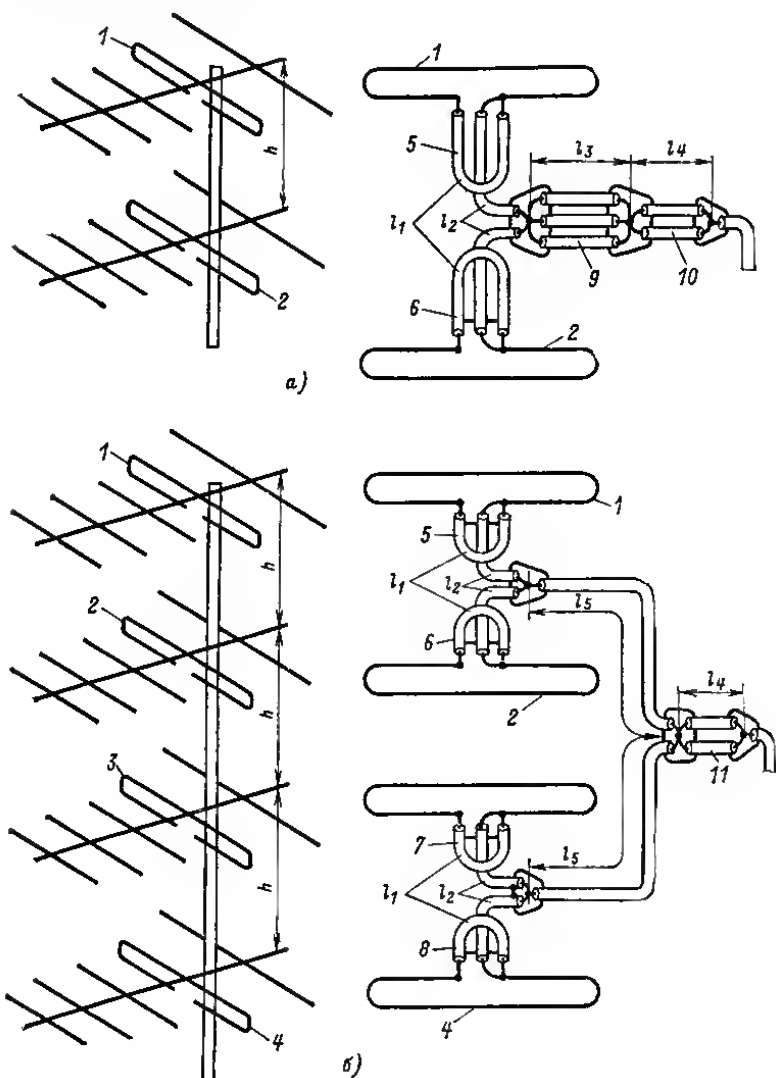


Рис. 13-22.

На рис. 13-22; 1—4 — петлевые вибраторы, 5—8 — полуволновые колена, 9—11 — четвертьволновые трансформаторы. Длины кабелей и разнос этажей по вертикали приведены в табл. 13-9.

Таблица 13-9

Размеры многэтажных антенн типа «волновой канал»

Размеры, мм	Номера телевизионных каналов											
	1	2	3	4	5	6	7	8	9	10	11	12
l_1	1900	1600	1240	1120	1030	560	535	515	495	475	455	440
l_2	1900	1600	1240	1120	1030	560	535	515	495	475	455	440
l_3	950	800	620	560	515	280	270	260	250	240	230	220
l_4	950	800	620	560	515	280	270	260	250	240	230	220
l_5	3800	3200	2480	2240	2060	1120	1070	1030	990	950	910	880
h	2860	2420	1875	1705	1570	840	810	775	740	720	690	660

При монтаже кабельных соединений нужно следить за тем, чтобы оба этажа были включены синфазно. Для этого центральные проводники кабелей l_2 должны быть включены одинаково: оба к правым зажимам или оба к левым зажимам петлевых вибраторов.

Антенна должна быть установлена на возможно более высокой мачте.

Антенны с повышенной помехозащищенностью

Для улучшения качества приема телевизионных передач при большом уровне помех и отраженных сигналов целесообразно применять антенны с повышенной помехозащищенностью, т. е. с минимально возможным задним лепестком диаграммы направленности.

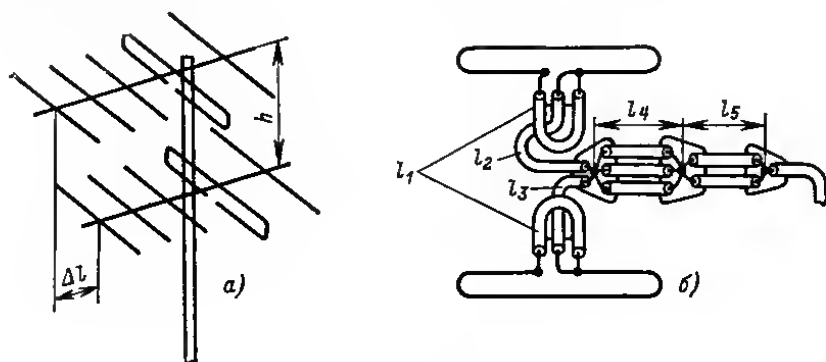


Рис. 13-23.

Антенна с повышенной помехозащищенностью (рис. 13-23, а) состоит из двух этажей. Верхний этаж сдвинут относительно нижнего по горизонтали в направлении на принимаемый телецентр на расстояние $\Delta l = \lambda_{cp}/4$ (λ_{cp} — средняя длина волны телевизионного канала), а кабель питания верхнего этажа длиннее кабеля питания нижнего этажа на $\lambda_k/4$ (λ_k — средняя длина волны телевизионного канала в кабеле). Благодаря сдвигу этажей и разнице в длинах кабелей питания этажей отраженные сигналы и помехи, приходящие с заднего и боковых направлений, складываются в противофазе. В то же время прямые сигналы телецентра, принятые соответственно верхним и нижним этажами, складываются синфазно. В результате коэффициент усиления антенны остается тем же, что

и для обычной двухэтажной антенны дальнего приема, а уровень задних лепестков снижается на 10—15 дБ.

Схема кабельных соединений показана на рис. 13-23, б. Все кабели с $z_{\text{в}} = 75$ Ом. Сдвиг этажей по горизонтали Δl , разнос по вертикали h и длины кабелей для каналов 1—12 приведены в табл. 13-10.

Таблица 13-10

Размеры двухэтажной антенны с повышенной помехозащищенностью

Размеры, мм	Номера телевизионных каналов											
	1	2	3	4	5	6	7	8	9	10	11	12
l_1	1900	1600	1240	1120	1030	560	535	515	495	475	455	440
l_2	2850	2400	1860	1680	1545	840	805	775	745	715	685	660
l_3	1900	1600	1240	1120	1030	560	535	515	495	475	455	440
l_4	950	800	620	560	515	280	270	260	250	240	230	220
l_5	950	800	620	560	515	280	270	260	250	240	230	220
Δl	1450	1220	940	870	780	430	410	390	380	360	350	340
h	2860	2420	1875	1705	1570	840	810	775	740	720	690	660

Антенна может использоваться как для дальнего приема, так и для приема в городах при большом уровне отраженных сигналов.

Изготовление УКВ антенн

Материалы. Для изготовления мачт, стрел, активных вибраторов, рефлекторов и директоров используют трубы из стали и алюминиевых сплавов. Наиболее распространенные стальные бесшовные холоднокатаные трубы из сталей марок Ст10, Ст20, Ст35, Ст40 сваривают электро- и газовой сваркой, они обладают высокой прочностью, хорошо поддаются гибке. Успешно могут быть использованы трубы из алюминиевых сплавов Д1, Д16, АМГН. Трубы из сплавов Д1 и Д16 имеют достаточную механическую прочность, поддаются гибке, однако они не очень устойчивы против коррозии и с трудом поддаются сварке. Трубы из сплава АМГН обладают большой механической прочностью, высокой устойчивостью против коррозии, высокой пластичностью, хорошо свариваются.

Различные металлические детали — скобы крепления, подпятники, кольца крепления растяжек и т. д. изготавливают из листовой стали Ст3 толщиной от 1,5 до 3 мм.

Изоляционные детали изготавливают из гетинакса, текстолита, органического стекла, полистирола, капролона. Детали из гетинакса рекомендуется белизнировать. В условиях субтропического и тропического климата очень хорошо зарекомендовал себя фторопласт, который в течение многих лет работы на открытом воздухе не меняет своих электрических и механических свойств.

Гибка труб. Перед гибкой один конец трубы нужно закрыть деревянной пробкой и плотно набить трубу хорошо просеянным песком. Для более плотного заполнения трубы песком ее нужно периодически встряхивать. После набивки песком второй конец также закрывают деревянной пробкой. Гибка производится между двумя стальными роликами с канавками полукруглого профиля. Первый ролик, радиус которого равен требуемому радиусу изгиба, устанавливают на неподвижной оси, второй — в вилке поворотного рычага. Труба вкладывается в канавку первого ролика, и один конец ее жестко закрепляется. При медленном вращении рычага установленный на нем ролик обкатывает и изгибает трубу. При отсутствии указанного приспособления трубу, заполненную песком, можно согнуть на болванке соответствующего радиуса.

Окрашивание и гальванические покрытия. Для увеличения надежности и срока службы антенны нужно защитить ее от воздействия осадков, туманов, промышленных газов. Для этой цели применяют окрашивание и гальванические покрытия. Крупные детали антенн — металлические и деревянные мачты, стрелы, вибраторы — окрашивают (трубы из сплава АМГН можно не окрашивать). Мелкие стальные детали — скобы крепления, кольца растяжек, крепеж и т. д. нужно цинковать или, еще лучше, кадмировать. Перед окраской металлические детали нужно очистить от следов коррозии и загрунтовать. Детали при грунтовке должны быть совершенно сухими во избежание отслоения грунта. Окрашивание лучше производить влагостойкими эмалями, а при их отсутствии — масляной краской в несколько слоев.

Монтаж. При монтаже кабельных соединений нужно следить за тем, чтобы в процессе разделки конца кабеля не надрезать центральный проводник, так как в месте надреза он может со временем сломаться. Перед пайкой следует проверить, не замкнулся ли волосок экрана кабеля на центральный проводник. Во избежание оплавления полиэтиленовой изоляции кабеля нужно избегать длительного прогрева экрана и центрального проводника при облуживании и пайке. Пользоваться лучше припоями с пониженной температурой плавления (ПОС-61, ПОСК-50). Концы вибраторов, к которым подключается кабель, нужно поместить в диэлектрическую монтажную коробку с крышкой. С целью предохранения паяк от влаги целесообразно залить внутрь монтажной коробки церезин (минеральный воск). В крышке нужно сделать два отверстия диаметром 5—6 мм с пробками. Одно отверстие служит для заливки церезина, второе — для выхода вытесняемого воздуха. В непосредственной близости от места пайки кабеля нужно закрепить хомутами или скобами. При прокладке кабеля следует учитывать, что радиус его изгиба должен быть не меньше минимально допустимого, указанного в табл. 13-1.

Ориентирование телевизионных антенн

Место установки приемной антенны желательно выбрать так, чтобы она не была закрыта близко расположенными зданиями от прямого сигнала телецентра. Устанавливать антенну нужно ближе к коньку крыши, на расстоянии не менее 2—3 м от других антенн, стоек радиотрансляционных сетей, вентиляционных коробов и других выступающих металлических предметов.

Приемную антенну нужно ориентировать на передающую антенну телецентра, что обеспечивает наибольший уровень сигнала на входе телевизора и минимальный уровень помех. Если при этом на экране телевизора будут наблюдаться значительные повторные контуры, то антенну нужно повернуть в ту или иную сторону до положения, в котором повторные контуры не будут существенно ухудшать качества изображения. В тех случаях, когда ослабить повторные контуры не удается, нужно применить антенну с более острой диаграммой направленности или антенну с повышенной помехозащищенностью.

Делители напряжения

При приеме телевизионных передач вблизи телецентра (в радиусе 5—6 км) напряжение на входе телевизора может значительно превышать допустимый уровень даже при подключении фидерной линии к антенному вводу телевизора с коэффициентом деления 1 : 10 или 1 : 30. В результате перегрузки входных цепей телевизора возникают искажения сигнала, проявляющиеся в чрезмерной контрастности, срыве синхронизации и т. д.

Качество изображения можно значительно улучшить, включив на входе телевизора Т-образный (рис. 13-24, а) или П-образный (рис. 13-24, б) делитель. Сопровождающие для различных ослаблений указаны в табл. 13-11.

Таблица 13-11

Сопротивления элементов делителя, Ом

Ослабление по напряжению	Вид схемы				Ослабление по напряжению	Вид схемы			
	Т-образная (рис. 13-24, а)		П-образная (рис. 13-24, б)			Т-образная (рис. 13-24, а)		П-образная (рис. 13-24, б)	
	R_1	R_2	R_1	R_2		R_1	R_2	R_1	R_2
В 3 раза (10 дБ)	39	56	150	100	В 10 раз (20 дБ)	56	15	82	390
В 6 раз (16 дБ)	56	27	100	220	В 20 раз (26 дБ)	68	10	82	820

Подключение к телевизору антенн разных каналов

Подключение к телевизору антенн разных каналов, установленных на общей или раздельных мачтах, производится с помощью фильтра сложения (рис. 13-25). Данные элементов фильтра приведены в табл. 13-12.

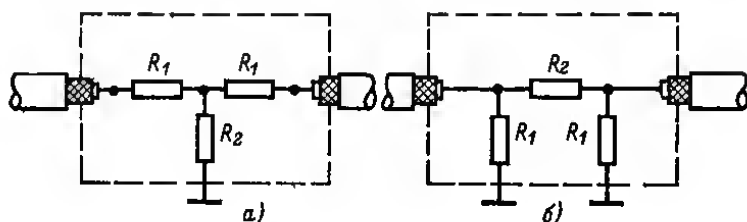


Рис. 13-24.

Потери, вносимые фильтром, не превышают 1 дБ; взаимовлияние антенн через фильтр практически отсутствует (развязка более 20 дБ). Фильтр монтируется в металлической коробке размером 110 × 60 × 20 мм с крышкой.

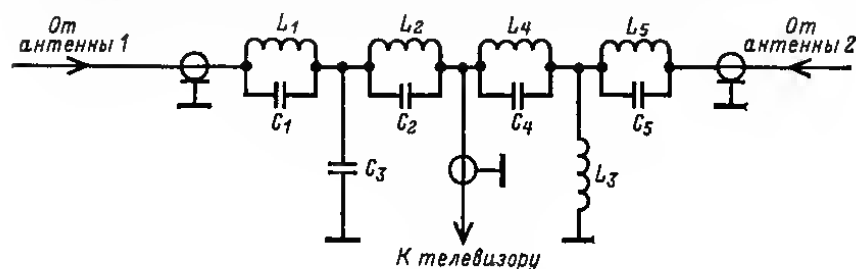


Рис. 13-25.

Экраны кабелей с $z_n = 75$ Ом и заземляемые выводы конденсатора C_3 и катушки L_3 припаивают к лепесткам. Катушки — однослойные, со сплошной намоткой проводом ПЭВ-1 0,67 наматывают на каркасах из полистирола или органического стекла. Катушки L_1, L_2, L_4, L_5 располагают на общем каркасе. Конденсаторы — типа КТ или КД.

Таблица 13-12

Данные элементов фильтра сложения

Комбинация телевизионных каналов	Данные катушек									Емкость конденсаторов, пФ		
	L_1, L_2			L_3			L_4, L_5			C_1, C_2	C_3	C_4, C_5
	Индуктивность, мкГ	Число витков	Диаметр каркаса, мм	Индуктивность, мкГ	Число витков	Диаметр каркаса, мм	Индуктивность, мкГ	Число витков	Диаметр каркаса, мм			
Любой канал или группа каналов с 1-го по 5-й с любым каналом или группой каналов с 6-го по 12-й	0,05	2	5	0,08	3	5	0,39	11	5	12	20	12
Каналы 1 и 3	0,09	3	6	0,16	5	6	0,23	7	6	47	33	39
Каналы 2 и 4	0,08	3	5	0,14	5	5	0,20	7	5	47	30	36
Каналы 2 и 5	0,05	3	5	0,16	6	5	0,14	5	5	43	30	43

Подключение двух телевизоров к общей антенне

Подключение двух телевизоров к общей антенне возможно либо с помощью согласователя на резисторах (рис. 13-26, а), либо с помощью направленного ответвителя (рис. 13-26, б). В согласователе на резисторах сигнал ослабляется по

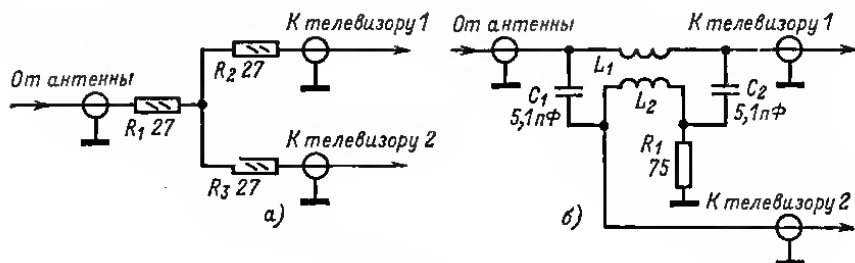


Рис. 13-26.

напряжению в 2 раза, в направленном ответвителе — в 1,5 раза. Оба согласователя работают в полосе частот 12 каналов.

Катушки направленного ответвителя содержат по 32 витка провода ПЭВ-1 0,67; диаметр намотки 7 мм, намотка рядовая, двухзаходная (намотка в два провода).

13-3. АНТЕННЫ ДЛЯ ПРИЕМА РАДИОВЕЩАТЕЛЬНЫХ ПЕРЕДАЧ

Для приема радиовещательных передач на НЧ, СЧ и ВЧ, которые ведутся с помощью вертикально поляризованных волн, используют антенны в виде вертикального или наклонного провода (рис. 13-27, а).

Чем больше действующая высота антенны, тем больше напряжение на входе радиоприемника. Для увеличения действующей высоты верхний конец антенны должен обладать емкостью относительно земли. Такой емкостью служит горизон-

тальный отрезок провода, подключаемый к верхнему концу антенны. Антенны с увеличенной действующей высотой (Г-образная и Т-образная) показаны на рис. 13-27, б, в. Действующая высота этих антенн составляет примерно 0,7—0,8

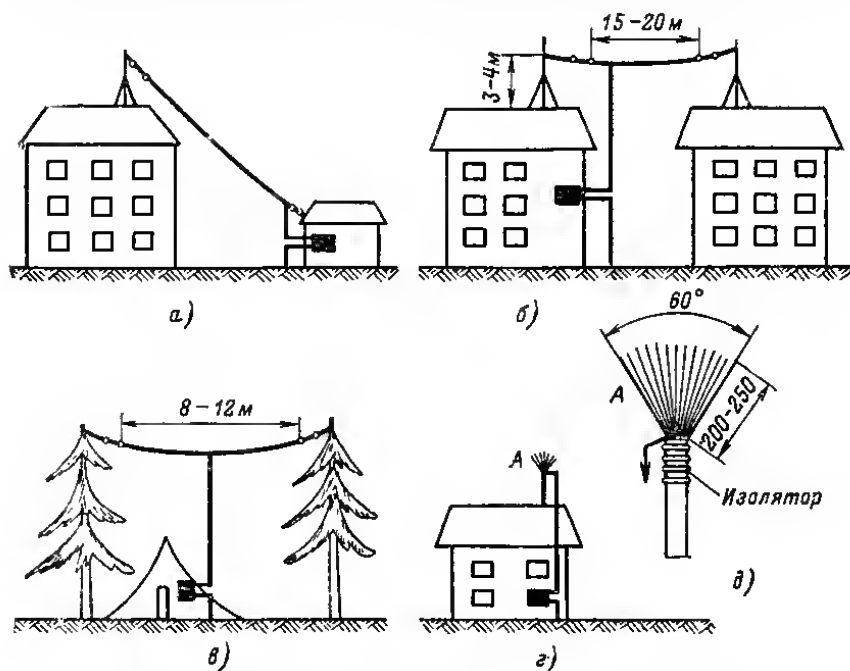


Рис. 13-27.

их геометрической высоты. Разновидностью таких антенн является и широко распространенный вертикальный провод с «метелочкой» (рис. 13-27, г, д).

Для приема вещательных передач могут использоваться и комнатные антенны (например, провод длиной 2—3 м).

13-4. АНТЕННЫ ЛЮБИТЕЛЬСКИХ РАДИОСТАНЦИЙ

Антенны для работы на нескольких диапазонах

Простейшая антенна для работы на двух диапазонах состоит из двух полу-волновых вибраторов 1 и 2 (рис. 13-28, а), подключенных к одной фидерной линии.

Антенна такого типа может быть использована для работы в двух диапазонах, например в 80 и 40-метровом, 20 и 10-метровом и т. д. Примерная длина в метрах каждого вибратора

$$l = \frac{142,5}{f \text{ [МГц]}},$$

где f — средняя частота диапазона, в котором работает данный вибратор.

Окончательно длина антенны уточняется по максимуму к. в. в фидере на средних частотах каждого диапазона.

Вибраторы можно расположить взаимно перпендикулярно. Их центры крепят на мачте, а концы — к четырем другим мачтам, которые могут быть ниже центральной или вообще отсутствовать. В последнем случае концы вибраторов крепят, например, к ограждению крыши. Число параллельно включенных вибраторов

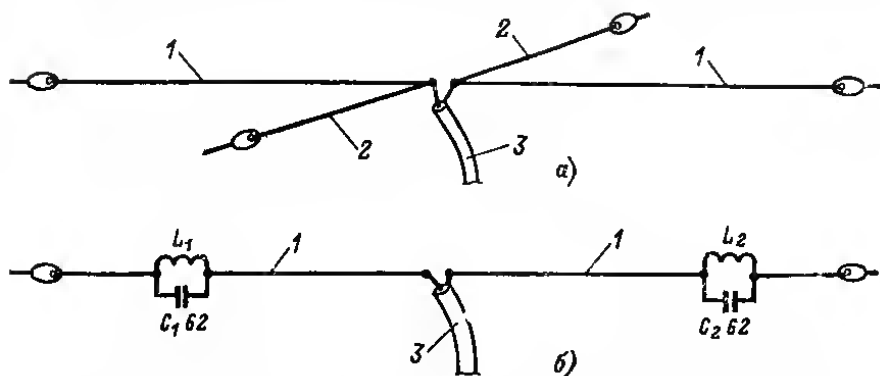


Рис. 13-28.

можно увеличить до трех-четырех, обеспечив тем самым работу на трех-четырех диапазонах. Фидерная линия 3 выполняется из коаксиального кабеля с $z_{\text{в}} = 75$ или 50 Ом.

Многодиапазонная антенна W3DZZ (рис. 13-28, б) может быть использована для работы в 10, 14, 20, 40 и 80-метровом диапазонах. Катушки L_1 и L_2 намотаны на каркасах из пластмассы или керамики диаметром 50 мм и содержат по 20 витков провода ПЭВ-2 1,5; длина намотки 80 мм. Индуктивность катушек нужно окончательно установить такой, чтобы резонансная частота каждого контура была равна 7,05 МГц. Конденсаторы C_1 и C_2 должны иметь емкость 62 ± 2 пФ при номинальном напряжении не менее 3 кВ. Фидерная линия 3 выполняется из коаксиального кабеля с $z_{\text{в}} = 75$ Ом.

Антенна Ground plane (рис. 13-29) представляет собой четвертьволновый вибратор с противовесом. Антенна, рассчитанная на 20-метровый диапазон, может быть использована и в диапазоне 15 м, а антенна, рассчитанная на 15-метровый диапазон, может быть использована в 20 и 10-метровом диапазонах.

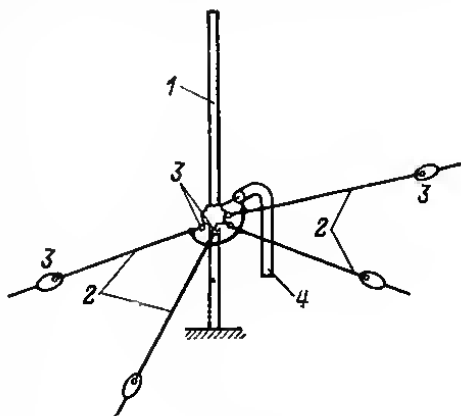


Рис. 13-29.

Антенна имеет круговую диаграмму направленности в горизонтальной и прижатую к земле в вертикальной плоскости, что делает ее очень эффективной при проведении дальних связей на КВ.

Металлический вертикальный штырь 1 укрепляют на изоляционном основании. От основания натягивают четыре противовеса 2 из медного провода или антенного канатника, изолированных с обеих сторон изоляторами 3. Центральный

проводник коаксиальной фидерной линии соединяется со штырем 1, а металлическая оплетка — со всеми проводами противовеса.

Длина l в метрах штыря и каждого противовеса определяется по формуле: $l = 72/f$, где f — средняя частота основного диапазона, на который рассчитывается антенна, МГц.

Штырь антенны 10-метрового диапазона должен иметь диаметр 15—20 мм, 15-метрового — 20—30 мм, 20-метрового — 30—40 мм и 40-метрового — 50—80 мм.

В горизонтальной плоскости противовесы располагают через 90° , в вертикальной плоскости угол между штырем и противовесом — от 90 до 140° . Фидерная линия 4 — коаксиальный кабель с $z_B = 50$ Ом.

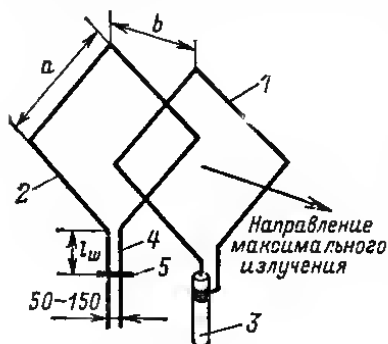


Рис. 13-30.

Его натягивают на деревянные распорки, которые при условии пропитки и окраски могут служить длительное время. Обе рамки имеют одинаковые размеры. Длина стороны в метрах $a = 75,6/f$. Расстояние между рамками в метрах $b = 60/f$.

К рамке 1, которая служит активным вибратором, подключается коаксиальный кабель 3 с $z_B = 75$ Ом. К рамке 2, являющейся рефлектором, подключается двухпроводный шлейф 4 с подвижной короткозамыкающей перемычкой 5. Ориентировочная длина шлейфа в метрах

$$l_{ш} = 20/f.$$

В приведенных формулах f — средняя частота диапазона, МГц.

Настройка антенны состоит в регулировке длины шлейфа до получения минимального заднего лепестка.

Коэффициент усиления антенны — 4—5 дБ, уровень заднего лепестка — 15—20 дБ.

Симметрирующие-согласующие устройства

Симметрирование и согласование петлевых и линейных активных вибраторов антенн типа «волновой канал», применяемых для любительской связи на УКВ, можно производить с помощью устройств, показанных на рис. 13-16. В радиолюбительской практике находят применение и другие симметрирующие-согласующие устройства, показанные на рис. 13-31.

Направленные антенны

Антенны «волновой канал» дают хорошие результаты при связи на УКВ. Размеры таких антенн указаны в табл. 13-4 и 13-5.

Антенну «двойной квадрат» изготавливают из медного провода или антен-

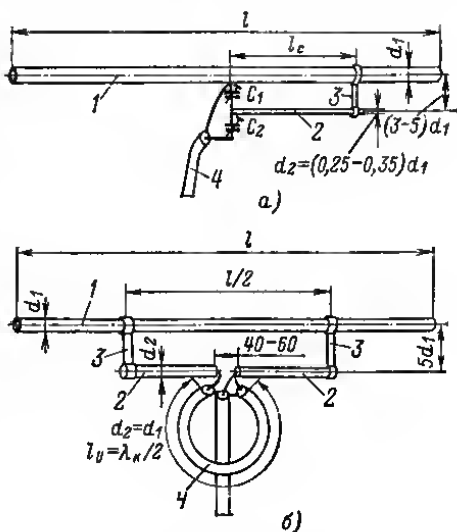


Рис. 13-31.

В устройстве на рис. 13-31, а расстояние (в метрах) от середины активного вибратора 1 до перемычки, соединяющей вибратор с дополнительной трубкой 2, $l_c = 13/f$ [МГц].

Максимальные емкости (в пикофарадах) подстроечных конденсаторов: $C_1 = 2000/f$ [МГц], $C_2 = 500/f$ [МГц].

При настройке антенны последовательной регулировкой емкостей C_1 и C_2 необходимо добиться максимального к. б. в. на средней частоте рабочего диапазона.

На рис. 13-31, б показано симметрирующе-согласующее устройство, состоящее из дополнительных трубок 2 того же диаметра, что и вибратор 1, и полуволнового U-образного колена 4 из коаксиального кабеля. Настройка на максимум к. б. в. производится перемещением короткозамыкающих перемычек 3.

13-5. МОЛНИЕЗАЩИТА И ЗАЗЕМЛЕНИЕ АНТЕНН

Антенна нуждается в грозозащите, если она не расположена в зоне защиты молниевывода, расположенного поблизости. Способ выполнения грозозащиты зависит от конструкции кровли и мачты.

Телевизионная антенна на заземленной металлической кровле. Если мачта металлическая, то нужно соединить ее верхнюю часть с экранами кабелей и с точкой нулевого потенциала антенны, а нижнюю часть — с кровлей. Точка нулевого потенциала находится у петлевого вибратора в середине неразрезанной трубки, у разрезного вибратора — в середине к. з. перемычки симметрирующего мостика.

Если мачта деревянная, то нужно подключить к точке нулевого потенциала антенны медный или стальной провод токоотвода диаметром 3—4 мм, соединив с той же точкой экраны кабелей, проложить провод вдоль мачты (к мачте провод крепится скобками или бандажами) и соединить его с кровлей.

Телевизионная антенна на неметаллической кровле. Если мачта металлическая, то нужно соединить ее верхнюю часть с экранами кабелей и с точкой нулевого потенциала антенны. К нижней части подключить провод токоотвода, проложить его вдоль стены здания и заземлить, уложив по дну траншеи на глубине 0,5—0,8 м. Длина горизонтального (заземляющего) луча должна быть: для глины — не менее 2 м, суглинка — 4 м, чернозема — 6 м, песка — 12—15 м. После укладки провода траншею засыпать.

Если мачта деревянная, то нужно подключить к точке нулевого потенциала антенны провод токоотвода, соединив с той же точкой экраны кабелей, проложить провод вдоль мачты и стены здания и заземлить, как было указано.

Для увеличения надежности молниезащиты можно выполнять заземление в виде двух или нескольких лучей из провода диаметром 3—4 мм или железа шириной 10—20 мм и толщиной 4—5 мм (длина лучей — от 2 до 15 м в зависимости от почвы). Можно использовать также газовые трубы длиной 2—3 м, лист большой площади и т. д. Все соединения в системе молниезащиты нужно выполнять надежно, с помощью паяк, сварки или, в крайнем случае, путем зажима под болт. Места паяк покрывают асфальтовым лаком. Поверхность заземляющих электродов должна быть очищена от краски, лаков и т. д.

Устройство различных систем молниезащиты и заземления показано на рис. 13-32.

Грозовые переключатели. Для защиты наружной антенны и соединенного с ней приемника от атмосферного электричества при радиовещательном приеме на НЧ, СЧ и ВЧ применяют грозовые переключатели. К среднему зажиму переключателя подключают антенну, к крайним — соответственно приемник и заземление. При работающем приемнике и при приближении грозы переключатель переводится в положение, соответствующее заземлению антенны, антенный штекер вынимают из гнезда приемника.

Для улучшения качества радиовещательного приема на НЧ, СЧ и ВЧ шасси приемника (гнездо «Земля») целесообразно заземлить, подключив его, например, к трубе центрального отопления. В месте подключения заземляющего про-

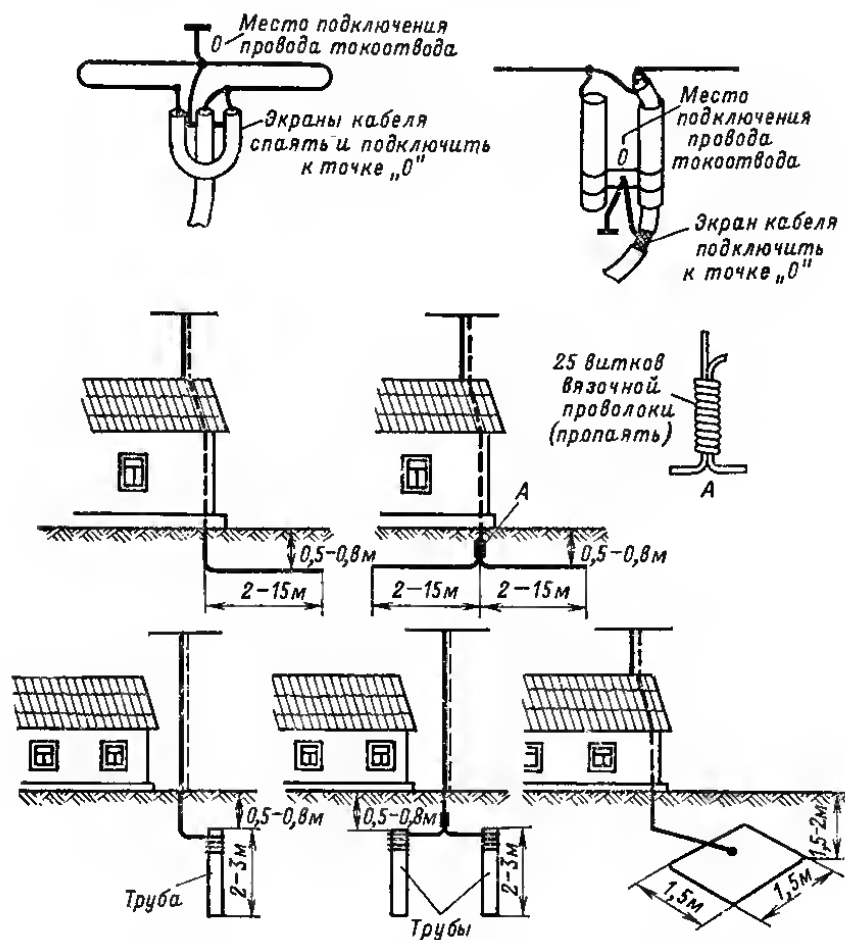


Рис. 13-32.

вода трубу нужно очистить от ржавчины и краски, место подключения провода следует закрасить.

Подключать заземляющий провод к газовым трубам нельзя! Заземлять шасси приемника с автотрансформаторным питанием нельзя!

